



COMUNE DI POMARICO

Provincia di Matera

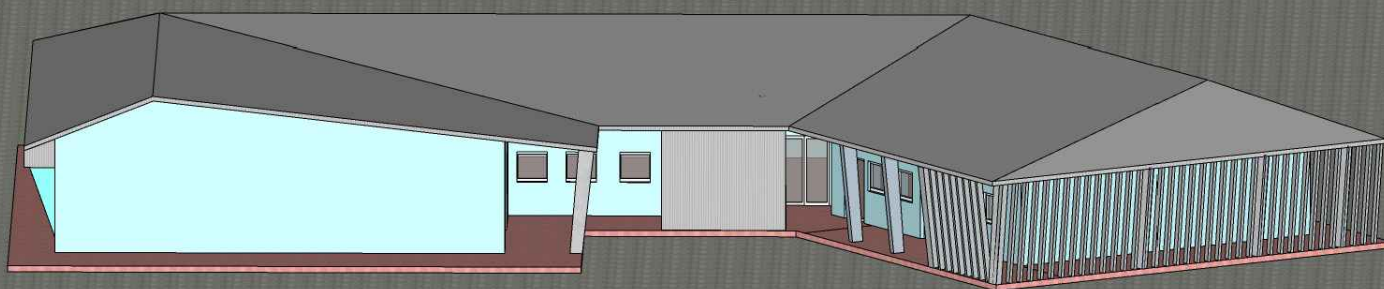


Intervento di nuova costruzione per sostituzione dell'edificio adibito a scuola dell'infanzia A. Falotico

PROGETTO ESECUTIVO

Aggiornamento al Prezzario regionale Basilicata 2023

Finanziamento MIUR per la progettazione di interventi di messa in sicurezza di edifici scolastici - D.DDG n. 251 del 21 giugno 2019



PROGETTISTA:

Ing. PAOLO MANCINI

COLLABORATORI:

Ing. ANGELO PERRONE
Ing. ANTONIO POPOLIZIO
Ing. RAFFAELE CALABRESE
Ing. ROBERTO GLIONNA

RESPONSABILE UNICO DEL PROCEDIMENTO: Ing. Pierpaolo NOBILE

DATA	ELABORATO	PRELIM	DEFIN	ESEC	VAR
GIUGNO 2023					
	FASCICOLO DEI CALCOLI	R.07			

FASCICOLO DEI CALCOLI

DIMOSTRAZIONE NUMERICA DELLA SICUREZZA DELL'OPERA E DEL RAGGIUNGIMENTO DELLE PRESTAZIONI ATTESE

Sommario:

Modellazione -----	2
Affidabilità dei codici utilizzati -----	3
Presentazione dei risultati -----	3
Tabulati di verifica -----	5
Centri di rigidezza e Centri di massa -----	5
Verifiche stato limite ultimo -----	6
Verifica dei Pilastri -----	6
Verifica delle travi -----	38
Verifica dei Muri in calcestruzzo -----	173
Verifica SLU delle aste in Legno secondo NTC -----	198
Verifiche stato limite di esercizio -----	336
Verifica delle travi (Stati limite esercizio) -----	336
Verifica dei pilastri (Stati limite esercizio) -----	419
Verifica dei Muri (Stati limite esercizio) -----	452

Modellazione

La struttura è costituita da diversi elementi distinti, in base alla loro funzione, in particolare:

- Fondazione in c.a. costituita da: platea
- Travi in c.a. e travi in legno
- Pilastri in c.a.
- Solaio per tetti e coperture in legno
- Solaio latero-cementizio

I livelli di sicurezza scelti dal Committente e dal Progettista in funzione del tipo e dell'uso della struttura, nonché in funzione delle conseguenze del danno, con riguardo a persone, beni, e possibile turbativa sociale, compreso il costo delle opere necessarie per la riduzione del rischio di danno o di collasso, hanno indirizzato al progetto di una struttura con i seguenti requisiti:

- sicurezza nei confronti degli Stati Limite Ultimi (SLU);
- sicurezza nei confronti degli Stati Limite di Esercizio (SLE).

La struttura è stata schematizzata attraverso un modello spaziale agli elementi finiti che tenga conto dell'effettivo stato deformativo e di sollecitazione, secondo l'effettiva realizzazione.

I vincoli esterni della struttura sono stati caratterizzati, a seconda della presenza degli elementi di fondazione, con: travi winkler, plinti diretti, plinti su pali, platee, ovvero con vincoli perfetti di incastro, appoggio, carrello, ecc. I vincoli interni sono stati schematizzati secondo le sollecitazioni mutuamente scambiate tra gli elementi strutturali, inserendo, ove opportuno, il rilascio di alcune caratteristiche della sollecitazione per schematizzare il comportamento di vincoli interni non iperstatici (cerniere, carrelli, ecc.).

Il modello agli elementi finiti è stato calcolato tenendo conto dell'interazione tra strutture in fondazione e strutture in elevazione, consentendo un'accurata distribuzione delle azioni statiche e sismiche; il calcolo è stato eseguito considerando che la struttura abbia un comportamento elastico lineare.

I solai sono schematizzati come aree di carico, sulle quali vengono definiti i carichi permanenti (QP Solai), i carichi fissi (QFissi Solai) e i carichi variabili (QV solai); tali carichi sono assegnati alle aste in modo automatico in relazione all'influenza delle diverse aree di carico. Le masse corrispondenti ai carichi variabili sui solai nelle combinazioni sismiche sono state trattate in maniera automatica mediante un coefficiente moltiplicativo, definito in funzione della tipologia del solaio.

Il modello utilizzato è stato valutato alla luce dei diversi scenari di carico a cui la struttura è sottoposta durante la sua costruzione e la sua vita, al fine di garantire la sicurezza e la durabilità della stessa. Per la tipologia strutturale affrontata non è stato necessario definire scenari di contingenza; pertanto non si è tenuto conto delle fasi costruttive della struttura e, inoltre, si ritiene che non ci siano variazioni del modello di calcolo e degli schemi di vincolo, durante la vita dell'opera. Per il dettaglio degli scenari di calcolo si faccia riferimento alla "Relazione di Calcolo".

Il progetto e la verifica degli elementi strutturali è stato effettuato seguendo la teoria degli Stati limite. I parametri relativi alle verifiche effettuate sono riportati nella Relazione di Calcolo.

Il solutore agli elementi finiti impiegato nell'analisi è SpaceSolver, per il calcolo di strutture piane e spaziali schematizzabili da un insieme di elementi finiti tipo:

- BEAM
- PLATE-SHELL
- WINK
- BOUNDARY

Questi elementi interagiscono tra loro attraverso i nodi, con la possibilità di tenere in conto tutti i possibili disassamenti, mediante l'introduzione di concetti rigidi e traslazioni degli elementi bidimensionali. Il solutore lavora in campo elastico lineare, si basa sulle routines di Matlab ed è stato sviluppato in collaborazione con l'Università di Roma – Tor Vergata. Il solutore offre la possibilità di risolvere anche travi su suolo alla Winkler con molle spalmate sull'intera suola, anziché sul solo asse, plinti diretti e su pali, pali singoli, platee, piastre sottili e spesse, con controllo delle rotazioni attorno all'asse normale alla piastra (drilling). Inoltre, per gli elementi BEAM l'equilibrio è scritto rispetto alla linea dei centri di taglio anziché rispetto alla linea dei baricentri. L'affidabilità del solutore è stata testata su una serie di esempi campioni calcolati con altri procedimenti o con formule note, di cui si rende disponibile la documentazione.

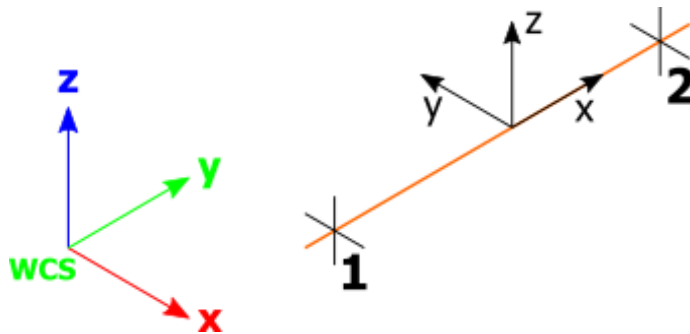
Affidabilità dei codici utilizzati

Il programma è dotato di una serie di filtri di auto diagnostica che segnalano i seguenti eventi:

- labilità della struttura;
- assenza di masse;
- nodi collegati ad aste nulle;
- mancanza di terreno sugli elementi in fondazione;
- controllo sull'assegnazione dei nodi all'impalcato;
- correttezza degli spettri di progetto;
- fattori di partecipazione modali;
- assegnazione dei criteri di verifica agli elementi;
- numerazione degli elementi strutturali;
- congruenza delle connessioni tra elementi shell;
- congruenza delle aree di carico;
- definizione delle caratteristiche d'inerzia delle sezioni;
- presenza del magrone sotto ea travi tipo wink;
- elementi non verificati per semi progetto allo SLU, con inserimento automatico delle armature secondo i criteri di verifica;
- elementi non verificati allo SLU per armature già inserite nell'elemento strutturale;
- elementi non verificati allo SLE per armature già inserite nell'elemento strutturale.

Presentazione dei risultati

I disegni dello schema statico adottato sono riportati nel fascicolo allegato alla presente relazione. È stato impiegato il Sistema Internazionale per le unità di misura, con riferimento al daN per le forze.



Il sistema di riferimento globale rispetto al quale è stata riferita l'intera struttura è una terna di assi cartesiani sinistrorsa OXYZ (X,Y, e Z sono disposti e orientati rispettivamente secondo il pollice, l'indice ed il medio della mano destra, una volta posizionati questi ultimi a 90° tra loro).

La terna di riferimento locale per un'asta è anch'essa una terna sinistrorsa O'xyz che ha l'asse x orientato dal nodo iniziale I dell'asta verso il nodo finale J e gli assi y e z diretti secondo gli assi geometrici della sezione, con l'asse y orizzontale e orientato in modo da portarsi a coincidere con l'asse x a mezzo di una rotazione oraria di 90° e l'asse z di conseguenza.

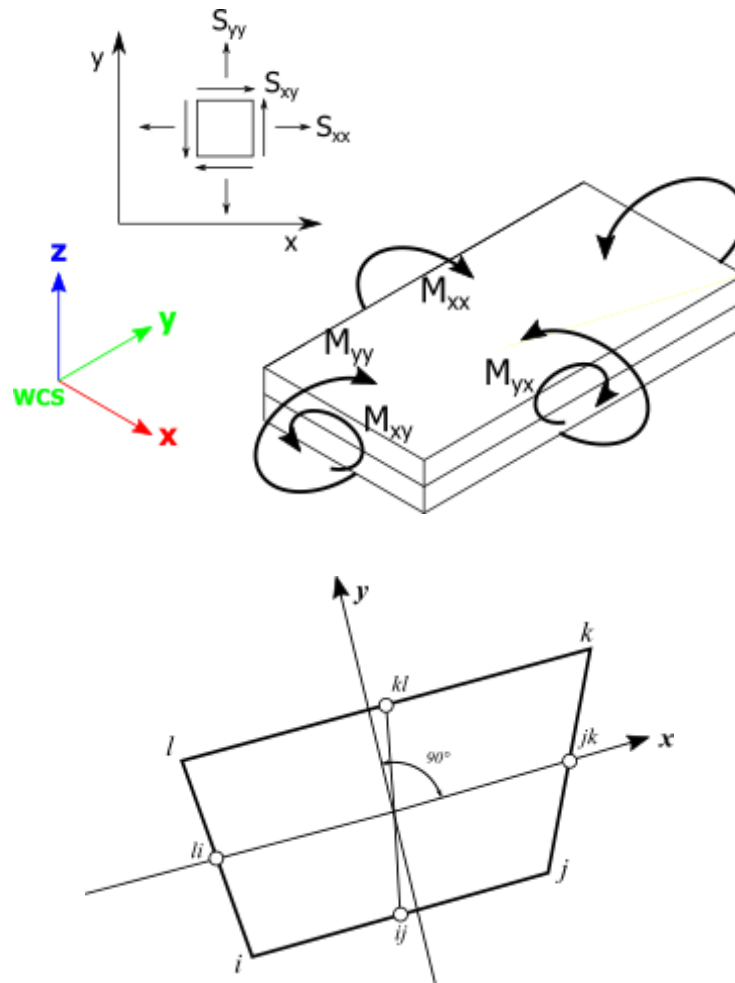
Per un'asta comunque disposta nello spazio la sua terna locale è orientata in modo tale da portarsi a coincidere con la terna globale a mezzo di rotazioni orarie degli assi locali inferiori a 180°.

- Le forze, sia sulle aste che sulle pareti o lastre, sono positive se opposte agli assi locali.
- Le forze nodali sono positive se opposte agli assi globali.
- Le coppie sono positive se sinistrorse.

Le caratteristiche di sollecitazione sono positive se sulla faccia di normale positiva sono rappresentate da vettori equiversi agli assi di riferimento locali; in particolare il vettore momento positivo rappresenta una coppia che ruota come le dita della mano destra che si chiudono quando il pollice è equiverso all'asse locale.

- Le traslazioni sono positive se concordi con gli assi globali.
- Le rotazioni sono positive se sinistrorse.

Il sistema di riferimento locale per gli elementi bidimensionali è quello riportato nelle figure seguenti.



La terna locale per l'elemento shell è costituita dall'asse x locale che va dal nodo li al nodo jk, l'asse y è diretto secondo il piano dell'elemento e orientato verso il nodo i e l'asse z, di conseguenza, è orientato in modo da formare la solita terna sinistrorsa. L'asse z locale rappresenta la normale positiva all'elemento.

Le sollecitazioni dell'elemento sono:

- Sforzi membranali
 - $S_{xx} = \sigma_x$
 - $S_{yy} = \sigma_y$
 - $S_{xy} = \tau_{xy}$
- Sforzi flessionali (momenti)
 - M_{xx} , momento che genera σ_x (intorno ad y)
 - M_{yy} , momento che genera σ_y (intorno a x)
 - M_{xy} , momento torcente che genera τ_{xy}

Le sollecitazioni principali dell'elemento sono:

$$M_{1,2} = \frac{M_{xx} + M_{yy}}{2} \pm \sqrt{\left(\frac{M_{xx} - M_{yy}}{2}\right)^2 + M_{xy}^2}$$

$$S_{1,2} = \frac{S_{xx} + S_{yy}}{2} \pm \sqrt{\left(\frac{S_{xx} - S_{yy}}{2}\right)^2 + S_{xy}^2}$$

$$\tan 2\theta = \frac{M_{xy}}{M_{xx} - M_{yy}} \quad \tan 2\psi = \frac{S_{xy}}{S_{xx} - S_{yy}}$$

dove θ è l'angolo formato dagli assi principali di M_1 e M_2 con quelli di riferimento e ψ è l'angolo formato dagli assi principali di S_1 e S_2 con quelli di riferimento. L'elemento shell usato come piastra fornisce i momenti flettenti e non i tagli in direzione ortogonale all'elemento, che possono ottenersi come derivazione dei momenti flettenti;

$$\tau_{zx} = M_{xx,x} + M_{xy,y}$$

$$\tau_{zy} = M_{xy,y} + M_{yy,y}$$

Quando invece viene usato come lastra ci restituisce valori di σ e τ costanti, non adatti a rappresentare momenti flettenti, ma solo sforzi normali e tagli nel piano della lastra.

I tabulati di calcolo contengono due sezioni principali: la descrizione del modello di calcolo e la presentazione dei risultati.

La descrizione del modello di calcolo contiene:

- i dati generali (dimensioni);
- le coordinate nodali;
- i vincoli dei nodi e i vincoli interni delle aste, con le eventuali sconnessioni;
- le caratteristiche sezionali;
- le caratteristiche dei solai;
- le caratteristiche delle aste;
- i carichi sulle aste, sui nodi e sui muri (inclusa la distribuzione delle distorsioni impresse, e delle variazioni e dei gradienti di temperatura);
- configurazione di sistemi che introducono stati coattivi;
- le caratteristiche dei materiali;
- legami costitutivi e criteri di verifica;
- le condizioni di carico.

La stampa dei risultati contiene:

- le combinazioni dei carichi;
- le forze sismiche agenti sulla struttura;
- gli spostamenti d'impalcato, se l'impalcato è rigido;
- gli spostamenti nodali;
- le sollecitazioni sulle membrature per ogni combinazione di carico;
- la sollecitazione sul terreno sotto travi di fondazione o platee;
- deformate;
- diagrammi sollecitazioni.

Tabulati di verifica

L'esito di ogni elaborazione viene sintetizzato nei disegni e schemi grafici allegati, che evidenziano i valori numerici nei punti e/o nelle sezioni significative, ai fini della valutazione del comportamento complessivo della struttura, e quelli necessari ai fini delle verifiche di misura della sicurezza.

Di seguito si riportano le tabelle relative a:

- Baricentri rigidezze e masse
- Fattori di partecipazione e masse modali

Centri di rigidezza e Centri di massa

Scenario di calcolo: **Set_NT_SLV_SLD_A2_STR/GEO_2018**

Centri rigidezze

Piano	Kx	Ky	Kxy	K ϕ	X	Y	r ² /I _s ² >= 1
	kg/cm	kg/cm	kg/cm	kg*cm/rad	cm	cm	
1	7.979571E05	1.007204E06	6.591896E04	2.104953E12	879	1563	1.071

Ellissi delle rigidezze

Piano	K_{ξ}	K_{η}	alfa	r_{ξ}	r_{η}
	kg/cm	kg/cm	°	cm	cm
1	7.789222E05	1.026239E06	-16	1432	1644

Baricentri masse per posizione masse

Piano	Pos.Masse	X	Y	Peso Sism.
		cm	cm	kg
0	1	0	0	0
1	1	1114	2094	284084

Verifiche stato limite ultimo

Verifica dei Pilastri

Scenario di calcolo: **Set_NT_SLV_SLD_A2_STR/GEO_2018**

Simbologia

L [cm]	Lunghezza teorica elemento (distanza tra i nodi)
Ln [cm]	Lunghezza netta elemento (tiene conto dei conci rigidi)
L2,L3 [cm]	Lunghezze libere di inflessione
Sez. R: Sezione Rettangolare	
	By[cm]: Larghezza (asse locale y)
	Bz[cm]: Larghezza (asse locale z)
Sez. T: Sezione a T (rovescia e non)	
	Ba[cm]: Larghezza base inferiore
	Ha[cm]: Altezza inferiore
	Bs[cm]: Larghezza superiore
	Hs[cm]: Altezza superiore
Sez. L: Sezione ad L (rovescia e non)	
	Ba[cm]: Larghezza base inferiore
	Ha[cm]: Altezza inferiore
	Bs[cm]: Larghezza superiore
	Hs[cm]: Altezza superiore
Sez. C: Sezione circolare	
	R[cm]: Raggio
Sez. G: Sezione generica	
	B[cm]: Larghezza
	H[cm]: Altezza
Aspigoli	Area di ferro negli spigoli
Afy	Area di ferro sul lato Y
Afz	Area di ferro sul lato Z
Zona	Punto di verifica
1/N	Distanza dall'inizio della lunghezza netta
Piede	Inizio lunghezza netta
Testa	Fine lunghezza netta
Comb	Combinazione di carico: quando Comb non è sismica è individuata dal codice [(+/-)C], quando è sismica è individuata dal codice [(+/-)(Cx+Cy) Cm Sc], (+/-) rappresenta la eventuale traslazione del diagramma del momento dovuta al taglio, come specificato nel criterio di verifica [positiva (+) o negativa (-)]
- C	Individua la Combinazione di Carico non sismica (1, 2, ecc. come da scenario);
- Cx	Individua la Combinazione di Carico sismica in direzione x (SismaX, come da scenario);
- Cy	Individua la Combinazione di Carico sismica in direzione y (SismaY, come da scenario);
- Cm	Individua la Combinazione spostamento masse (I, II, III, IV, V, ecc. come da Combinazioni Sisma in Spostamento masse impalcato);
- Sc	Individua la sottocombinazione ottenuta mediante la permutazione dei segni (1, 2, 3, 4, 5, 6,

7, 8):

- 1) $S_c = + S_{ismaZ} \cdot f_z + S_{ismaX} \cdot f_x + S_{ismaY} \cdot f_y$
- 2) $S_c = + S_{ismaZ} \cdot f_z + S_{ismaX} \cdot f_x - S_{ismaY} \cdot f_y$
- 3) $S_c = + S_{ismaZ} \cdot f_z - S_{ismaX} \cdot f_x + S_{ismaY} \cdot f_y$
- 4) $S_c = + S_{ismaZ} \cdot f_z - S_{ismaX} \cdot f_x - S_{ismaY} \cdot f_y$
- 5) $S_c = - S_{ismaZ} \cdot f_z + S_{ismaX} \cdot f_x + S_{ismaY} \cdot f_y$
- 6) $S_c = - S_{ismaZ} \cdot f_z + S_{ismaX} \cdot f_x - S_{ismaY} \cdot f_y$
- 7) $S_c = - S_{ismaZ} \cdot f_z - S_{ismaX} \cdot f_x + S_{ismaY} \cdot f_y$
- 8) $S_c = - S_{ismaZ} \cdot f_z - S_{ismaX} \cdot f_x - S_{ismaY} \cdot f_y$

Le ultime quattro sono assenti quando non è richiesto il contributo del sisma in direzione verticale. Le combinazioni delle azioni sismiche così ottenute vengono combinate con i carichi verticali (come da scenario).

N [kg]	Sforzo Normale
N*y [kg]	Sforzo Normale x Omega2
N*z [kg]	Sforzo Normale x Omega3
My [kg*m]	Momento flettente dir Y
M*y [kg*m]	Momento flettente dir Y x cy
cy [kg*m]	Coefficiente moltiplicativo momento flettente dir Y per verifica a carico di punta
cz [kg*m]	Coefficiente moltiplicativo momento flettente dir Z per verifica a carico di punta
Mz [kg*m]	Momento flettente dir Z
M*z [kg*m]	Momento flettente dir Z x cz
ε _{cmax}	Deformazione massima cls ⁽¹⁾
ε _{fmax}	Deformazione massima acciaio ⁽¹⁾
ε _{cMy}	Deformazione massima cls int direzione Y per pressoflessione retta ⁽¹⁾
ε _{fMy}	Deformazione massima acciaio int direzione Y per pressoflessione retta ⁽¹⁾
ε _{cMz}	Deformazione massima cls int direzione Z per pressoflessione retta ⁽¹⁾
ε _{fMz}	Deformazione massima acciaio int direzione Z per pressoflessione retta ⁽¹⁾
ΣM _{rtY}	Somma dei momenti resistenti delle travi in direzione Y ⁽²⁾
ΣM _{rtZ}	Somma dei momenti resistenti delle travi in direzione Z ⁽²⁾
ΣM _{yRich.}	Momemento resistente richiesto direzione Y per rispettare la gerarchia ⁽²⁾
ΣM _{zRich.}	Momemento resistente richiesto direzione Z per rispettare la gerarchia ⁽²⁾
T [kg]	Valore del taglio
Dir[Y-Z]	Direzione della componente di taglio
VR _{dns} [kg]	Resistenza a taglio in assenza di armature
VR _{cd} [kg]	Resistenza taglio-compressione calcestruzzo
VR _{sd} [kg]	Resistenza taglio-trazione acciaio
VR _d [kg]	Resistenza a taglio =min(VR _{cd} ,VR _{sd})
VR _{d,f} [kg]	Resistenza a taglio dovuta alla resistenza a trazione del calcestruzzo ad alte prestazioni (quando presente)(cfr. eq 4.2 CNR204/2006), oppure resistenza rinforzo del composito (quando presente)(cfr. eq 4.19 CNR200/2013), oppure resistenza rinforzo della camicia in acciaio (quando presente)(cfr. eq C8.7.4.5 Circolare NTC)
A _{st/m} [cmq]	Armatura staffe
Min.Norm.	Valore minimo di norma dell' area delle staffe
cot(θ)	cot(θ) secondo il punto 4.1.2.3.5 delle Norme Tecniche
Fatt.Ampl.Sisma	Fattore moltiplicativo di gruppo per le azioni sismiche (solo se diverso da 1.0)
C _s	Coefficiente di sicurezza definito dal rapporto Fr / Fd (Fr=punto sul dominio di resistenza ottenuto aumentando proporzionalmente Fd,Fd=azione), quando richiesto dal criterio di verifica
ζ _E	Livello di sicurezza sismico definito come rapporto tra l'accelerazione sopportabile e l'accelerazione di progetto(valore stampato quando richiesto dal criterio di verifica)

Verifiche duttilità (quando richieste):

Zona	Sezione di verifica dell'elemento
Comb.	Combinazione di verifica
N _{max} [kg]	Sforzo Normale massimo
Dir	Direzione di flessione (pilastri=Y o Z, travi =Z, pareti= ortogonale alla base)
M _{ry} [kg*m]	Momento di snervamento corrispondente a N _{max}
M _{rU} [kg*m]	Momento ultimo (resistente) corrispondente a N _{max} sulla sezione depurata del calcestruzzo non confinato, considerando il confinamento
φ _y [1/m]	Curvatura allo snervamento (φ _y = M _{rU} /M _{ry} * φ' _y)
φ _u [1/m]	Curvatura allo corrispondente a M _{rU}
μ	Capacità in duttilità della sezione
F.Conf	Fattore di confinamento adottato (= f _{ck} ,c/f _{ck})

μ_d Richiesta in duttilità della sezione

Cs Livello di sicurezza ($Cs = \mu / \mu_d$)

Note Verifica pilastri:

(¹) le deformazioni sono stampate a meno del fattore 10^{-3}

(²) I momenti resistenti richiesti sono quelli dovuti alla ripartizione della somma dei momenti resistenti delle travi quando nella tabella dei momenti appare '--' significa che la gerarchia in quella direzione non è applicabile a seconda che il pilastro sia al piano terra o all'ultimo piano, oppure, la combinazione corrente non è sismica, oppure, la combinazione è sismica ma la sua direzione non è nella direzione del pilastro considerata. Un valore nullo dei momenti resistenti è relativo a piede o testa di pilastri in fondazione o copertura

Pilastro: 1 [1,101] Sez. R: By=30.0 cm Bz=50.0 cm L=330.0 cm Ln=330.0 cm Criterio: CLS_Pilastri_ND - Verifica a presso-flessione deviata: **Verificato**

Piede	AfSpigolo = 3.14	Afy = 0.00	Afz = 1.54
Testa	AfSpigolo = 3.14	Afy = 0.00	Afz = 1.54

$$v_{max}=N/(f_{cd}*A)=0.021 \leq 0.65 \quad [\text{Comb. (16+17)-II-2(+)}]$$

Zona	C.	N	My	Mz	Mry+	Mrz+	Mry-	Mrz-	CS	ζ_E
		kg	kg*m	kg*m	kg*m	kg*m	kg*m	kg*m		
Piede	(16+17)-II-1(-)	-1764	-1870	379	11393	7143	11393	7143	5.9	5.7
Testa	(16+17)-II-1(+)	-526	1549	-285	11177	7011	11177	7011	6.6	6.3

Verifica a taglio

Dir	C.	MrSup	MrInf	T	Vrdns	Vrcd	Vrsd	Vrd	Ast/m	cot(θ)	Cs	ζ_E
		kg*m	kg*m	kg	kg	kg	kg	kg	cmq/m			
Y	(16+17)-I-1	--	--	255	--	28626	13645	13645	5.98	2.500	54	78
Z	(16+17)-II-1	--	--	1036	--	30400	24182	24182	5.98	2.500	23	27

Verifica incendio: TeqvCls(°)=504 TeqvAcc(°)=523 Curva:ISO834,γCls=1.20(Aggregato Calcareo)

γAcc=1.00(Laminato a caldo),verifica per R120(min)

Zona	C.	N	My	Mz	Mry+	Mrz+	Mry-	Mrz-	CS	ζ_E
		kg	kg*m	kg*m	kg*m	kg*m	kg*m	kg*m		
Piede	51(-)	-3130	-314	160	15773	8691	15773	8691	63	--
Testa	51(+)	-1893	171	-105	15516	8559	15516	8559	>100	--

Verifica a taglio

Dir	C.	MrSup	MrInf	T	Vrdns	Vrcd	Vrsd	Vrd	Ast/m	cot(θ)	Cs	ζ_E
		kg*m	kg*m	kg	kg	kg	kg	kg	cmq/m			
Y	51	--	--	80	--	21232	9683	9683	5.98	2.500	>100	--
Z	51	--	--	147	--	22576	17160	17160	5.98	2.500	>100	--

Pilastro: 2 [2,102] Sez. R: By=50.0 cm Bz=30.0 cm L=330.0 cm Ln=330.0 cm Criterio: CLS_Pilastri_ND - Verifica a presso-flessione deviata: **Verificato**

Piede	AfSpigolo = 3.14	Afy = 1.54	Afz = 0.00
Testa	AfSpigolo = 3.14	Afy = 1.54	Afz = 0.00

$$v_{max}=N/(f_{cd}*A)=0.035 \leq 0.65 \quad [\text{Comb. (16+17)-II-2(-)}]$$

Zona	C.	N	My	Mz	Mry+	Mrz+	Mry-	Mrz-	CS	ζ_E
		kg	kg*m	kg*m	kg*m	kg*m	kg*m	kg*m		
Piede	(16+17)-II-1(-)	-6437	-1346	919	7637	12200	7637	12200	6.7	4.7
Testa	(16+17)-II-2(+)	-6364	-1107	545	7629	12187	7629	12187	9.3	7.2

Verifica a taglio

Dir	C.	MrSup	MrInf	T	Vrdns	Vrcd	Vrsd	Vrd	Ast/m	cot(θ)	Cs	ζ_E
		kg*m	kg*m	kg	kg	kg	kg	kg	cmq/m			
Y	(16+17)-I-1	--	--	697	--	31214	24182	24182	5.98	2.500	35	41
Z	(16+17)-II-2	--	--	744	--	29372	13645	13645	5.98	2.500	18	20

Verifica incendio: TeqvCls(°)=504 TeqvAcc(°)=523 Curva:ISO834,γCls=1.20(Aggregato Calcareo)

γAcc=1.00(Laminato a caldo),verifica per R120(min)

Zona	C.	N	My	Mz	Mry+	Mrz+	Mry-	Mrz-	CS	ζ_E
		kg	kg*m	kg*m	kg*m	kg*m	kg*m	kg*m		
Piede	51(-)	-7019	140	279	9118	16567	9118	16567	42	--
Testa	51(+)	-5782	-241	-143	8982	16313	8982	16313	46	--

Verifica a taglio

Dir	C.	MrSup	MrInf	T	Vrdns	Vrcd	Vrsd	Vrd	Ast/m	cot(θ)	Cs	ζ_E
		kg*m	kg*m	kg	kg	kg	kg	kg	cmq/m			

Dir	C.	MrSup	MrInf	T	Vrdns	Vrcd	Vrsd	Vrd	Ast/m	cot(θ)	Cs	ζ _E
Y	51	--	--	115	--	23154	17160	17160	5.98	2.500	>100	--
Z	51	--	--	73	--	21775	9683	9683	5.98	2.500	>100	--

Pilastro: 3 [3,103] Sez. R: By=50.0 cm Bz=30.0 cm L=330.0 cm Ln=330.0 cm Criterio: CLS_Pilastri_ND - Verifica a presso-flessione deviata: **Verificato**

Piede	AfSpigolo = 3.14	Afy = 1.54	Afz = 0.00
Testa	AfSpigolo = 3.14	Afy = 1.54	Afz = 0.00

$$v_{max}=N/(fcd*A)=0.03 \leq 0.65 \quad [\text{Comb. (16+17)-II-2(-)}]$$

Zona	C.	N	My	Mz	Mry+	Mrz+	Mry-	Mrz-	CS	ζ _E
		kg	kg*m	kg*m	kg*m	kg*m	kg*m	kg*m		
Piede	(16+17)-II-1(-)	-4513	-1347	690	7435	11870	7435	11870	6.3	4.9
Testa	(16+17)-II-1(+)	-3276	920	-929	7304	11656	7304	11656	7.5	6.0

Verifica a taglio

Dir	C.	MrSup	MrInf	T	Vrdns	Vrcd	Vrsd	Vrd	Ast/m	cot(θ)	Cs	ζ _E
		kg*m	kg*m	kg	kg	kg	kg	kg	cmq/m			
Y	(16+17)-I-1	--	--	686	--	30869	24182	24182	5.98	2.500	35	36
Z	(16+17)-II-1	--	--	687	--	28958	13645	13645	5.98	2.500	20	23

Verifica incendio: TeqvCls(°)=504 TeqvAcc(°)=523 Curva:ISO834,γCls=1.20(Aggregato Calcareo)
γAcc=1.00(Laminato a caldo),verifica per R120(min)

Zona	C.	N	My	Mz	Mry+	Mrz+	Mry-	Mrz-	CS	ζ _E
		kg	kg*m	kg*m	kg*m	kg*m	kg*m	kg*m		
Piede	51(-)	-5441	-221	-138	8946	16242	8946	16242	49	--
Testa	51(+)	-4203	111	-151	8808	15990	8808	15990	69	--

Verifica a taglio

Dir	C.	MrSup	MrInf	T	Vrdns	Vrcd	Vrsd	Vrd	Ast/m	cot(θ)	Cs	ζ _E
		kg*m	kg*m	kg	kg	kg	kg	kg	cmq/m			
Y	51	--	--	24	--	22929	17160	17160	5.98	2.500	>100	--
Z	51	--	--	101	--	21564	9683	9683	5.98	2.500	96	--

Pilastro: 4 [4,104] Sez. R: By=100.0 cm Bz=30.0 cm L=330.0 cm Ln=330.0 cm Criterio: CLS_Pilastri_ND - Verifica a presso-flessione deviata: **Verificato**

Piede	AfSpigolo = 3.14	Afy = 7.70	Afz = 1.54
Testa	AfSpigolo = 3.14	Afy = 7.70	Afz = 1.54

$$v_{max}=N/(fcd*A)=0.021 \leq 0.65 \quad [\text{Comb. (16+17)-II-2(-)}]$$

Zona	C.	N	My	Mz	Mry+	Mrz+	Mry-	Mrz-	CS	ζ _E
		kg	kg*m	kg*m	kg*m	kg*m	kg*m	kg*m		
Piede	(16+17)-II-1(-)	-7236	-2291	3068	13778	42492	13778	42492	6.2	5.5
Testa	(16+17)-I-3(+)	-5454	493	6563	13594	41901	13594	41901	7.2	9.3

Verifica a taglio

Dir	C.	MrSup	MrInf	T	Vrdns	Vrcd	Vrsd	Vrd	Ast/m	cot(θ)	Cs	ζ _E
		kg*m	kg*m	kg	kg	kg	kg	kg	cmq/m			
Y	(16+17)-I-3	--	--	3271	--	64171	50525	50525	5.98	2.500	15	20
Z	(16+17)-II-1	--	--	1117	--	57677	13645	13645	5.98	2.500	12	15

Verifica incendio: TeqvCls(°)=514 TeqvAcc(°)=508 Curva:ISO834,γCls=1.20(Aggregato Calcareo)
γAcc=1.00(Laminato a caldo),verifica per R120(min)

Zona	C.	N	My	Mz	Mry+	Mrz+	Mry-	Mrz-	CS	ζ _E
		kg	kg*m	kg*m	kg*m	kg*m	kg*m	kg*m		
Piede	51(-)	-8254	-500	413	17455	65388	17455	65388	55	--
Testa	51(+)	-5779	228	2828	17180	64497	17180	64497	38	--

Verifica a taglio

Dir	C.	MrSup	MrInf	T	Vrdns	Vrcd	Vrsd	Vrd	Ast/m	cot(θ)	Cs	ζ _E
		kg*m	kg*m	kg	kg	kg	kg	kg	cmq/m			
Y	51	--	--	832	--	46601	38199	38199	5.98	2.500	46	--
Z	51	--	--	221	--	41953	10316	10316	5.98	2.500	47	--

Pilastro: 5 [5,105] Sez. R: By=100.0 cm Bz=30.0 cm L=330.0 cm Ln=330.0 cm Criterio: CLS_Pilastrini_ND - Verifica a presso-flessione deviata: **Verificato**

Piede	AfSpigolo = 3.14	Afy = 7.70	Afz = 1.54
Testa	AfSpigolo = 3.14	Afy = 7.70	Afz = 1.54

$$v_{max}=N/(fcd*A)=0.018 \leq 0.65 \quad [\text{Comb. (16+17)-II-2(-)}]$$

Zona	C.	N	My	Mz	Mry+	Mrz+	Mry-	Mrz-	CS	ζ _E
		kg	kg*m	kg*m	kg*m	kg*m	kg*m	kg*m		
Piede	(16+17)-II-1(-)	-4814	-3142	465	13528	41688	13528	41688	4.9	4.1
Testa	(16+17)-II-1(+)	-2339	2102	-5063	13271	40862	13271	40862	4.6	5.1

Verifica a taglio

Dir	C.	MrSup	MrInf	T	Vrdns	Vrcd	Vrsd	Vrd	Ast/m	cot(θ)	Cs	ζ _E
		kg*m	kg*m	kg	kg	kg	kg	kg	cmq/m			
Y	(16+17)-I-1	--	--	1846	--	64002	50525	50525	5.98	2.500	27	36
Z	(16+17)-II-1	--	--	1589	--	57352	13645	13645	5.98	2.500	8.6	9.0

Verifica incendio: TeqvCls(°)=514 TeqvAcc(°)=508 Curva:ISO834,γCls=1.20(Aggregato Calcareo)
γAcc=1.00(Laminato a caldo),verifica per R120(min)

Zona	C.	N	My	Mz	Mry+	Mrz+	Mry-	Mrz-	CS	ζ _E
		kg	kg*m	kg*m	kg*m	kg*m	kg*m	kg*m		
Piede	51(+)	-6222	-240	-2069	17232	64658	17232	64658	50	--
Testa	51(+)	-3747	75	-3417	16969	63757	16969	63757	27	--

Verifica a taglio

Dir	C.	MrSup	MrInf	T	Vrdns	Vrcd	Vrsd	Vrd	Ast/m	cot(θ)	Cs	ζ _E
		kg*m	kg*m	kg	kg	kg	kg	kg	cmq/m			
Y	51	--	--	470	--	46299	38199	38199	5.98	2.500	81	--
Z	51	--	--	77	--	41680	10316	10316	5.98	2.500	>100	--

Pilastro: 6 [6,106] Sez. R: By=30.0 cm Bz=50.0 cm L=330.0 cm Ln=330.0 cm Criterio: CLS_Pilastrini_ND - Verifica a presso-flessione deviata: **Verificato**

Piede	AfSpigolo = 3.14	Afy = 0.00	Afz = 1.54
Testa	AfSpigolo = 3.14	Afy = 0.00	Afz = 1.54

$$v_{max}=N/(fcd*A)=0.026 \leq 0.65 \quad [\text{Comb. (16+17)-II-1(+)}]$$

Zona	C.	N	My	Mz	Mry+	Mrz+	Mry-	Mrz-	CS	ζ _E
		kg	kg*m	kg*m	kg*m	kg*m	kg*m	kg*m		
Piede	(16+17)-II-1(-)	-5591	-2108	-1110	12055	7548	12055	7548	4.8	4.1
Testa	(16+17)-II-1(+)	-4354	2122	879	11842	7418	11842	7418	5.0	4.8

Verifica a taglio

Dir	C.	MrSup	MrInf	T	Vrdns	Vrcd	Vrsd	Vrd	Ast/m	cot(θ)	Cs	ζ _E
		kg*m	kg*m	kg	kg	kg	kg	kg	cmq/m			
Y	(16+17)-I-3	--	--	684	--	29090	13645	13645	5.98	2.500	20	24
Z	(16+17)-II-1	--	--	1282	--	30946	24182	24182	5.98	2.500	19	21

Verifica incendio: TeqvCls(°)=504 TeqvAcc(°)=523 Curva:ISO834,γCls=1.20(Aggregato Calcareo)
γAcc=1.00(Laminato a caldo),verifica per R120(min)

Zona	C.	N	My	Mz	Mry+	Mrz+	Mry-	Mrz-	CS	ζ _E
------	----	---	----	----	------	------	------	------	----	----------------

Zona	C.	N	My	Mz	Mry+	Mrz+	Mry-	Mrz-	CS	ζ_E
		kg	kg*m	kg*m	kg*m	kg*m	kg*m	kg*m		
Piede	51(-)	-5182	-213	-129	16192	8917	16192	8917	56	--
Testa	51(+)	-3944	223	271	15939	8779	15939	8779	51	--

Verifica a taglio

Dir	C.	MrSup	MrInf	T	Vrdns	Vrcd	Vrsd	Vrd	Ast/m	cot(θ)	Cs	ζ_E
		kg*m	kg*m	kg	kg	kg	kg	kg	cmq/m			
Y	51	--	--	121	--	21506	9683	9683	5.98	2.500	80	--
Z	51	--	--	132	--	22868	17160	17160	5.98	2.500	>100	--

Pilastro: 7 [7,107] Sez. R: By=30.0 cm Bz=50.0 cm L=360.0 cm Ln=360.0 cm Criterio: CLS_Pilastrini_ND -
Verifica a presso-flessione deviata: **Verificato**

Piede	AfSpigolo = 3.14	Afy = 0.00	Afz = 1.54
Testa	AfSpigolo = 3.14	Afy = 0.00	Afz = 1.54

$$v_{max} = N/(f_{cd} \cdot A) = 0.027 \leq 0.65 \quad [\text{Comb. (16+17)-II-1(+)}]$$

Zona	C.	N	My	Mz	Mry+	Mrz+	Mry-	Mrz-	CS	ζ_E
		kg	kg*m	kg*m	kg*m	kg*m	kg*m	kg*m		
Piede	(16+17)-II-2(-)	-3925	2383	1254	11768	7373	11768	7373	3.7	3.1
Testa	(16+17)-II-2(+)	-2575	-1933	-1345	11535	7230	11535	7230	3.8	3.7

Verifica a taglio

Dir	C.	MrSup	MrInf	T	Vrdns	Vrcd	Vrsd	Vrd	Ast/m	cot(θ)	Cs	ζ_E
		kg*m	kg*m	kg	kg	kg	kg	kg	cmq/m			
Y	(16+17)-I-1	--	--	901	--	28959	13645	13645	5.98	2.500	15	18
Z	(16+17)-II-1	--	--	1346	--	30993	24182	24182	5.98	2.500	18	19

Verifica incendio: TeqvClis(°)=504 TeqvAcc(°)=523 Curva:ISO834, γ_{Clis} =1.20(Aggregato Calcareo)
 γ_{Acc} =1.00(Laminato a caldo),verifica per R120(min)

Zona	C.	N	My	Mz	Mry+	Mrz+	Mry-	Mrz-	CS	ζ_E
		kg	kg*m	kg*m	kg*m	kg*m	kg*m	kg*m		
Piede	51(-)	-4925	-344	160	16137	8888	16137	8888	50	--
Testa	51(+)	-3575	-89	-395	15864	8743	15864	8743	44	--

Verifica a taglio

Dir	C.	MrSup	MrInf	T	Vrdns	Vrcd	Vrsd	Vrd	Ast/m	cot(θ)	Cs	ζ_E
		kg*m	kg*m	kg	kg	kg	kg	kg	cmq/m			
Y	51	--	--	154	--	21472	9683	9683	5.98	2.500	63	--
Z	51	--	--	74	--	22832	17160	17160	5.98	2.500	>100	--

Pilastro: 8 [8,108] Sez. R: By=30.0 cm Bz=50.0 cm L=360.0 cm Ln=360.0 cm Criterio: CLS_Pilastrini_ND -
Verifica a presso-flessione deviata: **Verificato**

Piede	AfSpigolo = 3.14	Afy = 0.00	Afz = 1.54
Testa	AfSpigolo = 3.14	Afy = 0.00	Afz = 1.54

$$v_{max} = N/(f_{cd} \cdot A) = 0.038 \leq 0.65 \quad [\text{Comb. (16+17)-II-1(-)}]$$

Zona	C.	N	My	Mz	Mry+	Mrz+	Mry-	Mrz-	CS	ζ_E
		kg	kg*m	kg*m	kg*m	kg*m	kg*m	kg*m		
Piede	(16+17)-II-1(-)	-8074	-2619	-1883	12478	7807	12478	7807	3.3	3.3
Testa	3(+)	-17001	-2783	3592	13958	8714	13958	8714	2.4	--

Verifica a taglio

Dir	C.	MrSup	MrInf	T	Vrdns	Vrcd	Vrsd	Vrd	Ast/m	cot(θ)	Cs	ζ_E
		kg*m	kg*m	kg	kg	kg	kg	kg	cmq/m			
Y	3	--	--	1572	--	30866	13645	13645	5.98	2.500	8.7	--
Z	(16+17)-II-2	--	--	1158	--	31141	24182	24182	5.98	2.500	21	23

Verifica incendio: TeqvCls(°)=504 TeqvAcc(°)=523 Curva:ISO834,γCls=1.20(Agregato Calcareo)
 γAcc=1.00(Laminato a caldo),verifica per R120(min)

Zona	C.	N	My	Mz	Mry+	Mrz+	Mry-	Mrz-	CS	ζ _E
		kg	kg*m	kg*m	kg*m	kg*m	kg*m	kg*m		
Piede	51(-)	-7517	-312	-743	16667	9175	16667	9175	22	--
Testa	51(+)	-6167	-635	1284	16392	9025	16392	9025	11	--

Verifica a taglio

Dir	C.	MrSup	MrInf	T	Vrdns	Vrcd	Vrsd	Vrd	Ast/m	cot(θ)	Cs	ζ _E
		kg*m	kg*m	kg	kg	kg	kg	kg	cmq/m			
Y	51	--	--	563	--	21819	9683	9683	5.98	2.500	17	--
Z	51	--	--	90	--	23201	17160	17160	5.98	2.500	>100	--

Pilastro: 9 [9,109] Sez. R: By=30.0 cm Bz=50.0 cm L=360.0 cm Ln=360.0 cm Criterio: CLS_Pilastrini_ND -
 Verifica a presso-flessione deviata: **Verificato**

Piede	AfSpigolo = 3.14	Afy = 0.00	Afz = 1.54
Testa	AfSpigolo = 3.14	Afy = 0.00	Afz = 1.54

$v_{max}=N/(fcd*A)=0.037 \leq 0.65$ [Comb. (16+17)-II-1(-)]

Zona	C.	N	My	Mz	Mry+	Mrz+	Mry-	Mrz-	CS	ζ _E
		kg	kg*m	kg*m	kg*m	kg*m	kg*m	kg*m		
Piede	(16+17)-II-2(-)	-6234	3786	1535	12165	7616	12165	7616	2.7	2.5
Testa	3(+)	-12661	-2553	-4982	13246	8278	13246	8278	1.6	--

Verifica a taglio

Dir	C.	MrSup	MrInf	T	Vrdns	Vrcd	Vrsd	Vrd	Ast/m	cot(θ)	Cs	ζ _E
		kg*m	kg*m	kg	kg	kg	kg	kg	cmq/m			
Y	3	--	--	2001	--	30285	13645	13645	5.98	2.500	6.8	--
Z	(16+17)-II-2	--	--	2167	--	31037	24182	24182	5.98	2.500	11	13

Verifica incendio: TeqvCls(°)=504 TeqvAcc(°)=523 Curva:ISO834,γCls=1.20(Agregato Calcareo)
 γAcc=1.00(Laminato a caldo),verifica per R120(min)

Zona	C.	N	My	Mz	Mry+	Mrz+	Mry-	Mrz-	CS	ζ _E
		kg	kg*m	kg*m	kg*m	kg*m	kg*m	kg*m		
Piede	51(-)	-7083	177	699	16578	9125	16578	9125	25	--
Testa	51(+)	-5733	-1027	-1713	16304	8975	16304	8975	7.1	--

Verifica a taglio

Dir	C.	MrSup	MrInf	T	Vrdns	Vrcd	Vrsd	Vrd	Ast/m	cot(θ)	Cs	ζ _E
		kg*m	kg*m	kg	kg	kg	kg	kg	cmq/m			
Y	51	--	--	670	--	21761	9683	9683	5.98	2.500	14	--
Z	51	--	--	289	--	23139	17160	17160	5.98	2.500	59	--

Pilastro: 10 [10,110] Sez. R: By=30.0 cm Bz=50.0 cm L=330.0 cm Ln=330.0 cm Criterio: CLS_Pilastrini_ND -
 Verifica a presso-flessione deviata: **Verificato**

Piede	AfSpigolo = 3.14	Afy = 0.00	Afz = 1.54
Testa	AfSpigolo = 3.14	Afy = 0.00	Afz = 1.54

$v_{max}=N/(fcd*A)=0.037 \leq 0.65$ [Comb. (16+17)-I-3(+)]

Zona	C.	N	My	Mz	Mry+	Mrz+	Mry-	Mrz-	CS	ζ _E
		kg	kg*m	kg*m	kg*m	kg*m	kg*m	kg*m		
Piede	(16+17)-II-2(-)	-6638	2161	778	12234	7658	12234	7658	6.1	4.2
Testa	(16+17)-II-2(+)	-5400	-2425	-524	12022	7528	12022	7528	5.6	4.4

Verifica a taglio

Dir	C.	MrSup	MrInf	T	Vrdns	Vrcd	Vrsd	Vrd	Ast/m	cot(θ)	Cs	ζ _E
		kg*m	kg*m	kg	kg	kg	kg	kg	cmq/m			
Y	(16+17)-I-	--	--	631	--	29418	13645	13645	5.98	2.500	22	22

Dir	C.	MrSup	MrInf	T	Vrdns	Vrcd	Vrsd	Vrd	Ast/m	cot(θ)	Cs	ζ _E
	3											
Z	(16+17)-II-2	--	--	1390	--	31095	24182	24182	5.98	2.500	17	19

Verifica incendio: TeqvCls(°)=504 TeqvAcc(°)=523 Curva:ISO834,γCls=1.20(Agregato Calcareo)
 γAcc=1.00(Laminato a caldo),verifica per R120(min)

Zona	C.	N	My	Mz	Mry+	Mrz+	Mry-	Mrz-	CS	ζ _E
		kg	kg*m	kg*m	kg*m	kg*m	kg*m	kg*m		
Piede	51(-)	-7172	179	-143	16598	9132	16598	9132	43	--
Testa	51(+)	-5934	-333	118	16344	8997	16344	8997	47	--

Verifica a taglio

Dir	C.	MrSup	MrInf	T	Vrdns	Vrcd	Vrsd	Vrd	Ast/m	cot(θ)	Cs	ζ _E
		kg*m	kg*m	kg	kg	kg	kg	kg	cmq/m			
Y	51	--	--	18	--	21773	9683	9683	5.98	2.500	>100	--
Z	51	--	--	110	--	23152	17160	17160	5.98	2.500	>100	--

Pilastro: 11 [11,111] Sez. R: By=50.0 cm Bz=30.0 cm L=360.0 cm Ln=360.0 cm Criterio: CLS_Pilastrini_ND - Verifica a presso-flessione deviata: **Verificato**

Piede	AfSpigolo = 3.14	Afy = 1.54	Afz = 0.00
Testa	AfSpigolo = 3.14	Afy = 1.54	Afz = 0.00

$v_{max}=N/(fcd*A)=0.022 \leq 0.65$ [Comb. (16+17)-I-1(-)]

Zona	C.	N	My	Mz	Mry+	Mrz+	Mry-	Mrz-	CS	ζ _E
		kg	kg*m	kg*m	kg*m	kg*m	kg*m	kg*m		
Piede	(16+17)-II-1(-)	-4419	-1545	-1962	7425	11854	7425	11854	3.8	3.4
Testa	(16+17)-II-1(+)	-3069	1376	1459	7282	11620	7282	11620	4.4	4.2

Verifica a taglio

Dir	C.	MrSup	MrInf	T	Vrdns	Vrcd	Vrsd	Vrd	Ast/m	cot(θ)	Cs	ζ _E
		kg*m	kg*m	kg	kg	kg	kg	kg	cmq/m			
Y	(16+17)-I-3	--	--	1459	--	30767	24182	24182	5.98	2.500	17	17
Z	(16+17)-II-1	--	--	811	--	28946	13645	13645	5.98	2.500	17	20

Verifica incendio: TeqvCls(°)=504 TeqvAcc(°)=523 Curva:ISO834,γCls=1.20(Agregato Calcareo)
 γAcc=1.00(Laminato a caldo),verifica per R120(min)

Zona	C.	N	My	Mz	Mry+	Mrz+	Mry-	Mrz-	CS	ζ _E
		kg	kg*m	kg*m	kg*m	kg*m	kg*m	kg*m		
Piede	51(-)	-4541	-214	-114	8845	16059	8845	16059	56	--
Testa	51(+)	-3191	285	-80	8699	15783	8699	15783	58	--

Verifica a taglio

Dir	C.	MrSup	MrInf	T	Vrdns	Vrcd	Vrsd	Vrd	Ast/m	cot(θ)	Cs	ζ _E
		kg*m	kg*m	kg	kg	kg	kg	kg	cmq/m			
Y	51	--	--	10	--	22801	17160	17160	5.98	2.500	>100	--
Z	51	--	--	139	--	21443	9683	9683	5.98	2.500	70	--

Pilastro: 12 [12,112] Sez. C: Ø=40.0 cm L=336.0 cm Ln=336.0 cm Criterio: CLS_Pilastrini_ND - Verifica a presso-flessione deviata: **Verificato**

Piede	Aftotale = 18.85
Testa	Aftotale = 18.85

$v_{max}=N/(fcd*A)=0.019 \leq 0.65$ [Comb. (16+17)-I-1(-)]

Zona	C.	N	My	Mz	Mry+/-	Mrz+/-	CS	ζ _E
		kg	kg*m	kg*m	kg*m	kg*m		
Piede	(16+17)-II-1(-)	-2032	-1293	-1048	8185	7597	5.1	5.1
Testa	(16+17)-I-3(+)	-675	-336	1234	8041	7458	6.3	5.9

Verifica a taglio

Dir	C.	MrSup	MrInf	T	Vrdns	Vrcd	Vrsd	Vrd	Ast/m	cot(θ)	Cs	ζ _E
		kg*m	kg*m	kg	kg	kg	kg	kg	cmq/m			
Y	(16+17)-I-3	--	--	832	--	19801	15870	15870	5.98	2.500	19	21
Z	(16+17)-II-1	--	--	523	--	19842	15870	15870	5.98	2.500	30	35

Verifica incendio: TeqvCls(°)=605 TeqvAcc(°)=509 Curva:ISO834, γCls=1.20(Agregato Calcareo)
 γAcc=1.00(Laminato a caldo),verifica per R120(min)

Zona	C.	N	My	Mz	Mry+/-	Mrz+/-	CS	ζ _E
		kg	kg*m	kg*m	kg*m	kg*m		
Piede	51(-)	-2579	-232	-126	21873	21433	>100	--
Testa	51(+)	-1525	31	79	21726	21316	>100	--

Verifica a taglio

Dir	C.	MrSup	MrInf	T	Vrdns	Vrcd	Vrsd	Vrd	Ast/m	cot(θ)	Cs	ζ _E
		kg*m	kg*m	kg	kg	kg	kg	kg	cmq/m			
Y	51	--	--	61	--	11930	11930	11930	5.98	2.498	>100	--
Z	51	--	--	73	--	11930	11930	11930	5.98	2.498	>100	--

Pilastro: 13 [13,113] Sez. C: Ø=40.0 cm L=300.0 cm Ln=300.0 cm Criterio: CLS_Pilastri_ND - Verifica a presso-flessione deviata: **Verificato**

Piede	Aftotale = 18.85
Testa	Aftotale = 18.85

$v_{max}=N/(fcd*A)=0.038 \leq 0.65$ [Comb. (16+17)-II-2(-)]

Zona	C.	N	My	Mz	Mry+/-	Mrz+/-	CS	ζ _E
		kg	kg*m	kg*m	kg*m	kg*m		
Piede	(16+17)-I-3(-)	-5029	-683	-3164	8499	7898	2.7	2.8
Testa	3(+)	-13525	1668	4031	9360	8724	2.5	--

Verifica a taglio

Dir	C.	MrSup	MrInf	T	Vrdns	Vrcd	Vrsd	Vrd	Ast/m	cot(θ)	Cs	ζ _E
		kg*m	kg*m	kg	kg	kg	kg	kg	cmq/m			
Y	(16+17)-I-3	--	--	2057	--	20251	15870	15870	5.98	2.500	7.7	11
Z	(16+17)-II-1	--	--	1458	--	20135	15870	15870	5.98	2.500	11	13

Verifica incendio: TeqvCls(°)=605 TeqvAcc(°)=509 Curva:ISO834, γCls=1.20(Agregato Calcareo)
 γAcc=1.00(Laminato a caldo),verifica per R120(min)

Zona	C.	N	My	Mz	Mry+/-	Mrz+/-	CS	ζ _E
		kg	kg*m	kg*m	kg*m	kg*m		
Piede	51(-)	-5483	-180	-627	22276	21754	46	--
Testa	51(+)	-4542	461	1408	22146	21651	20	--

Verifica a taglio

Dir	C.	MrSup	MrInf	T	Vrdns	Vrcd	Vrsd	Vrd	Ast/m	cot(θ)	Cs	ζ _E
		kg*m	kg*m	kg	kg	kg	kg	kg	cmq/m			
Y	51	--	--	678	--	12318	11942	11942	5.98	2.500	18	--
Z	51	--	--	214	--	12318	11942	11942	5.98	2.500	56	--

Pilastro: 14 [14,114] Sez. R: By=30.0 cm Bz=50.0 cm L=300.0 cm Ln=300.0 cm Criterio: CLS_Pilastri_ND - Verifica a presso-flessione deviata: **Verificato**

Piede	AfSpigolo = 3.14	Afy = 0.00	Afz = 1.54
Testa	AfSpigolo = 3.14	Afy = 0.00	Afz = 1.54

$v_{max}=N/(fcd*A)=0.035 \leq 0.65$ [Comb. (16+17)-I-3(+)]

Zona	C.	N	My	Mz	Mry+	Mrz+	Mry-	Mrz-	CS	ζ _E
		kg	kg*m	kg*m	kg*m	kg*m	kg*m	kg*m		

Zona	C.	N	My	Mz	Mry+	Mrz+	Mry-	Mrz-	CS	ζ_E
Piede	(16+17)-I-1(-)	-6985	-381	3251	12293	7694	12293	7694	2.7	2.5
Testa	(16+17)-I-1(+)	-5860	1278	-3117	12101	7576	12101	7576	2.4	2.7

Verifica a taglio

Dir	C.	MrSup	MrInf	T	Vrdns	Vrcd	Vrsd	Vrd	Ast/m	cot(θ)	Cs	ζ_E
		kg*m	kg*m	kg	kg	kg	kg	kg	cmq/m			
Y	(16+17)-I-1	--	--	2123	--	29290	13645	13645	5.98	2.500	6.4	7.5
Z	3	--	--	1891	--	32848	24182	24182	5.98	2.500	13	--

Verifica incendio: $TeqvCl_s(^{\circ})=504$ $TeqvAcc(^{\circ})=523$ Curva:ISO834, $\gamma_{Cl_s}=1.20$ (Aggregato Calcareo) $\gamma_{Acc}=1.00$ (Laminato a caldo),verifica per R120(min)

Zona	C.	N	My	Mz	Mry+	Mrz+	Mry-	Mrz-	CS	ζ_E
		kg	kg*m	kg*m	kg*m	kg*m	kg*m	kg*m		
Piede	51(-)	-7233	-499	403	16609	9139	16609	9139	30	--
Testa	51(+)	-6108	1195	-646	16380	9018	16380	9018	16	--

Verifica a taglio

Dir	C.	MrSup	MrInf	T	Vrdns	Vrcd	Vrsd	Vrd	Ast/m	cot(θ)	Cs	ζ_E
		kg*m	kg*m	kg	kg	kg	kg	kg	cmq/m			
Y	51	--	--	350	--	21781	9683	9683	5.98	2.500	28	--
Z	51	--	--	565	--	23160	17160	17160	5.98	2.500	30	--

Pilastro: 15 [15,115] Sez. R: By=30.0 cm Bz=50.0 cm L=330.0 cm Ln=330.0 cm Criterio: CLS_Pilastrini_ND -
 Verifica a presso-flessione deviata: **Verificato**

Piede	AfSpigolo = 3.14	Afy = 0.00	Afz = 1.54
Testa	AfSpigolo = 3.14	Afy = 0.00	Afz = 1.54

 $v_{max}=N/(f_{cd}*A)=0.03 \leq 0.65$ [Comb. (16+17)-I-1(-)]

Zona	C.	N	My	Mz	Mry+	Mrz+	Mry-	Mrz-	CS	ζ_E
		kg	kg*m	kg*m	kg*m	kg*m	kg*m	kg*m		
Piede	(16+17)-II-2(-)	-6244	4089	1574	12167	7617	12167	7617	2.5	2.3
Testa	(16+17)-II-1(+)	-3752	3987	363	11738	7354	11738	7354	3.1	2.9

Verifica a taglio

Dir	C.	MrSup	MrInf	T	Vrdns	Vrcd	Vrsd	Vrd	Ast/m	cot(θ)	Cs	ζ_E
		kg*m	kg*m	kg	kg	kg	kg	kg	cmq/m			
Y	(16+17)-I-1	--	--	1495	--	29207	13645	13645	5.98	2.500	9.1	11
Z	(16+17)-II-1	--	--	2558	--	30860	24182	24182	5.98	2.500	9.5	11

Verifica incendio: $TeqvCl_s(^{\circ})=504$ $TeqvAcc(^{\circ})=523$ Curva:ISO834, $\gamma_{Cl_s}=1.20$ (Aggregato Calcareo) $\gamma_{Acc}=1.00$ (Laminato a caldo),verifica per R120(min)

Zona	C.	N	My	Mz	Mry+	Mrz+	Mry-	Mrz-	CS	ζ_E
		kg	kg*m	kg*m	kg*m	kg*m	kg*m	kg*m		
Piede	51(-)	-5617	-182	299	16280	8968	16280	8968	43	--
Testa	51(+)	-4379	1025	-629	16026	8830	16026	8830	17	--

Verifica a taglio

Dir	C.	MrSup	MrInf	T	Vrdns	Vrcd	Vrsd	Vrd	Ast/m	cot(θ)	Cs	ζ_E
		kg*m	kg*m	kg	kg	kg	kg	kg	cmq/m			
Y	51	--	--	281	--	21565	9683	9683	5.98	2.500	34	--
Z	51	--	--	366	--	22930	17160	17160	5.98	2.500	47	--

Pilastro: 16 [16,116] Sez. R: By=30.0 cm Bz=50.0 cm L=330.0 cm Ln=330.0 cm Criterio: CLS_Pilastrini_ND -
 Verifica a presso-flessione deviata: **Verificato**

Piede	AfSpigolo = 3.14	Afy = 0.00	Afz = 1.54
Testa	AfSpigolo = 3.14	Afy = 0.00	Afz = 1.54

$$v_{max}=N/(f_{cd}*A)=0.051 \leq 0.65 \quad [\text{Comb. (16+17)-I-3(-)}]$$

Zona	C.	N	My	Mz	Mry+	Mrz+	Mry-	Mrz-	CS	ζ_E
		kg	kg*m	kg*m	kg*m	kg*m	kg*m	kg*m		
Piede	(16+17)-I-1(-)	-4675	886	4509	11898	7452	11898	7452	1.7	1.5
Testa	(16+17)-I-1(+)	-3438	-747	-3522	11684	7321	11684	7321	2.1	1.9

Verifica a taglio

Dir	C.	MrSup	MrInf	T	Vrdns	Vrcd	Vrsd	Vrd	Ast/m	cot(θ)	Cs	ζ_E
		kg*m	kg*m	kg	kg	kg	kg	kg	cmq/m			
Y	(16+17)-I-3	--	--	2475	--	29811	13645	13645	5.98	2.500	5.5	5.6
Z	(16+17)-II-2	--	--	1333	--	31321	24182	24182	5.98	2.500	18	18

Verifica incendio: $T_{eqvClS}(^{\circ})=504$ $T_{eqvAcc}(^{\circ})=523$ Curva:ISO834, $\gamma_{ClS}=1.20$ (Aggregato Calcareo)

$\gamma_{Acc}=1.00$ (Laminato a caldo),verifica per R120(min)

Zona	C.	N	My	Mz	Mry+	Mrz+	Mry-	Mrz-	CS	ζ_E
		kg	kg*m	kg*m	kg*m	kg*m	kg*m	kg*m		
Piede	51(-)	-7776	194	-156	16718	9203	16718	9203	40	--
Testa	51(+)	-6539	163	131	16466	9068	16466	9068	47	--

Verifica a taglio

Dir	C.	MrSup	MrInf	T	Vrdns	Vrcd	Vrsd	Vrd	Ast/m	cot(θ)	Cs	ζ_E
		kg*m	kg*m	kg	kg	kg	kg	kg	cmq/m			
Y	51	--	--	21	--	21854	9683	9683	5.98	2.500	>100	--
Z	51	--	--	10	--	23238	17160	17160	5.98	2.500	>100	--

Pilastro: 17 [17,117] Sez. R: By=50.0 cm Bz=30.0 cm L=360.0 cm Ln=360.0 cm Criterio: CLS_Pilastru_ND - Verifica a presso-flessione deviata: **Verificato**

Piede	AfSpigolo = 3.14	Afy = 1.54	Afz = 0.00
Testa	AfSpigolo = 3.14	Afy = 1.54	Afz = 0.00

$$v_{max}=N/(f_{cd}*A)=0.051 \leq 0.65 \quad [\text{Comb. (16+17)-I-1(+)}]$$

Zona	C.	N	My	Mz	Mry+	Mrz+	Mry-	Mrz-	CS	ζ_E
		kg	kg*m	kg*m	kg*m	kg*m	kg*m	kg*m		
Piede	(16+17)-I-3(-)	-5072	153	-10694	7494	11966	7494	11966	1.1	1.1
Testa	(16+17)-I-3(+)	-3722	-540	7742	7351	11733	7351	11733	1.5	1.5

Verifica a taglio

Dir	C.	MrSup	MrInf	T	Vrdns	Vrcd	Vrsd	Vrd	Ast/m	cot(θ)	Cs	ζ_E
		kg*m	kg*m	kg	kg	kg	kg	kg	cmq/m			
Y	(16+17)-I-3	--	--	5121	--	30872	24182	24182	5.98	2.500	4.7	5.1
Z	(16+17)-II-2	--	--	1269	--	29368	13645	13645	5.98	2.500	11	17

Verifica incendio: $T_{eqvClS}(^{\circ})=504$ $T_{eqvAcc}(^{\circ})=523$ Curva:ISO834, $\gamma_{ClS}=1.20$ (Aggregato Calcareo)

$\gamma_{Acc}=1.00$ (Laminato a caldo),verifica per R120(min)

Zona	C.	N	My	Mz	Mry+	Mrz+	Mry-	Mrz-	CS	ζ_E
		kg	kg*m	kg*m	kg*m	kg*m	kg*m	kg*m		
Piede	51(-)	-8019	609	-561	9232	16769	9232	16769	23	--
Testa	51(+)	-6669	-1146	1013	9082	16495	9082	16495	12	--

Verifica a taglio

Dir	C.	MrSup	MrInf	T	Vrdns	Vrcd	Vrsd	Vrd	Ast/m	cot(θ)	Cs	ζ_E
		kg*m	kg*m	kg	kg	kg	kg	kg	cmq/m			
Y	51	--	--	437	--	23297	17160	17160	5.98	2.500	39	--
Z	51	--	--	487	--	21909	9683	9683	5.98	2.500	20	--

Pilastro: 18 [18,118] Sez. R: By=30.0 cm Bz=50.0 cm L=300.0 cm Ln=300.0 cm Criterio: CLS_Pilastru_ND - Verifica a presso-flessione deviata: **Verificato**

Piede	AfSpigolo = 3.14	Afy = 0.00	Afz = 1.54
Testa	AfSpigolo = 3.14	Afy = 0.00	Afz = 1.54

$$v_{max}=N/(fcd*A)=0.04 \leq 0.65 \quad [\text{Comb. (16+17)-II-1(+)}]$$

Zona	C.	N	My	Mz	Mry+	Mrz+	Mry-	Mrz-	CS	ζ_E
		kg	kg*m	kg*m	kg*m	kg*m	kg*m	kg*m		
Piede	(16+17)-I-1(-)	-6839	2513	5000	12268	7679	12268	7679	1.4	1.4
Testa	(16+17)-I-1(+)	-5714	-3467	-3130	12076	7561	12076	7561	1.8	2.5

Verifica a taglio

Dir	C.	MrSup	MrInf	T	Vrdns	Vrcd	Vrsd	Vrd	Ast/m	cot(θ)	Cs	ζ_E
		kg*m	kg*m	kg	kg	kg	kg	kg	cmq/m			
Y	(16+17)-I-1	--	--	2709	--	29270	13645	13645	5.98	2.500	5.0	6.2
Z	(16+17)-II-2	--	--	3614	--	30993	24182	24182	5.98	2.500	6.7	10

Verifica incendio: TeqvCls(°)=504 TeqvAcc(°)=523 Curva:ISO834,γCls=1.20(Aggregato Calcareo)

γAcc=1.00(Laminato a caldo),verifica per R120(min)

Zona	C.	N	My	Mz	Mry+	Mrz+	Mry-	Mrz-	CS	ζ_E
		kg	kg*m	kg*m	kg*m	kg*m	kg*m	kg*m		
Piede	51(-)	-7213	1528	467	16606	9139	16606	9139	16	--
Testa	51(+)	-6088	-2791	-1309	16374	9018	16374	9018	6.1	--

Verifica a taglio

Dir	C.	MrSup	MrInf	T	Vrdns	Vrcd	Vrsd	Vrd	Ast/m	cot(θ)	Cs	ζ_E
		kg*m	kg*m	kg	kg	kg	kg	kg	cmq/m			
Y	51	--	--	592	--	21779	9683	9683	5.98	2.500	16	--
Z	51	--	--	1440	--	23158	17160	17160	5.98	2.500	12	--

Pilastro: 19 [19,219] Sez. R: By=30.0 cm Bz=50.0 cm L=330.0 cm Ln=330.0 cm Criterio: CLS_Pilastrini_ND - Verifica a presso-flessione deviata: **Verificato**

Piede	AfSpigolo = 3.14	Afy = 0.00	Afz = 1.54
Testa	AfSpigolo = 3.14	Afy = 0.00	Afz = 1.54

$$v_{max}=N/(fcd*A)=0.038 \leq 0.65 \quad [\text{Comb. (16+17)-II-2(-)}]$$

Zona	C.	N	My	Mz	Mry+	Mrz+	Mry-	Mrz-	CS	ζ_E
		kg	kg*m	kg*m	kg*m	kg*m	kg*m	kg*m		
Piede	(16+17)-I-1(-)	-5602	1046	3596	12057	7549	12057	7549	2.1	1.9
Testa	(16+17)-I-3(+)	-6584	-684	3569	12225	7652	12225	7652	2.3	2.1

Verifica a taglio

Dir	C.	MrSup	MrInf	T	Vrdns	Vrcd	Vrsd	Vrd	Ast/m	cot(θ)	Cs	ζ_E
		kg*m	kg*m	kg	kg	kg	kg	kg	cmq/m			
Y	(16+17)-I-3	--	--	2196	--	29402	13645	13645	5.98	2.500	6.2	6.3
Z	(16+17)-II-2	--	--	1894	--	31314	24182	24182	5.98	2.500	13	13

Verifica incendio: TeqvCls(°)=504 TeqvAcc(°)=523 Curva:ISO834,γCls=1.20(Aggregato Calcareo)

γAcc=1.00(Laminato a caldo),verifica per R120(min)

Zona	C.	N	My	Mz	Mry+	Mrz+	Mry-	Mrz-	CS	ζ_E
		kg	kg*m	kg*m	kg*m	kg*m	kg*m	kg*m		
Piede	51(+)	-6712	166	-133	16504	9082	16504	9082	46	--
Testa	51(+)	-5474	-135	109	16252	8946	16252	8946	56	--

Verifica a taglio

Dir	C.	MrSup	MrInf	T	Vrdns	Vrcd	Vrsd	Vrd	Ast/m	cot(θ)	Cs	ζ_E
		kg*m	kg*m	kg	kg	kg	kg	kg	cmq/m			
Y	51	--	--	45	--	21711	9683	9683	5.98	2.500	>100	--
Z	51	--	--	64	--	23086	17160	17160	5.98	2.500	>100	--

Pilastro: 20 [20,220] Sez. R: By=30.0 cm Bz=50.0 cm L=330.0 cm Ln=330.0 cm Criterio: CLS_Pilastrini_ND - Verifica a presso-flessione deviata: **Verificato**

Piede	AfSpigolo = 3.14	Afy = 0.00	Afz = 1.54
Testa	AfSpigolo = 3.14	Afy = 0.00	Afz = 1.54

$$v_{max}=N/(f_{cd}*A)=0.04 \leq 0.65 \quad [\text{Comb. (16+17)-I-1(-)}]$$

Zona	C.	N	My	Mz	Mry+	Mrz+	Mry-	Mrz-	CS	ζ _E
		kg	kg*m	kg*m	kg*m	kg*m	kg*m	kg*m		
Piede	(16+17)-I-1(-)	-8559	293	3752	12560	7857	12560	7857	2.4	2.1
Testa	(16+17)-I-3(+)	-6351	-767	3688	12185	7628	12185	7628	2.2	2.0

Verifica a taglio

Dir	C.	MrSup	MrInf	T	Vrdns	Vrcd	Vrsd	Vrd	Ast/m	cot(θ)	Cs	ζ _E
		kg*m	kg*m	kg	kg	kg	kg	kg	cmq/m			
Y	(16+17)-I-1	--	--	2275	--	29500	13645	13645	5.98	2.500	6.0	6.0
Z	(16+17)-II-2	--	--	1054	--	31279	24182	24182	5.98	2.500	23	29

Verifica incendio: TeqvCls(°)=504 TeqvAcc(°)=523 Curva:ISO834,γCls=1.20(Aggregato Calcareo)

γAcc=1.00(Laminato a caldo),verifica per R120(min)

Zona	C.	N	My	Mz	Mry+	Mrz+	Mry-	Mrz-	CS	ζ _E
		kg	kg*m	kg*m	kg*m	kg*m	kg*m	kg*m		
Piede	51(-)	-8073	202	161	16780	9232	16780	9232	38	--
Testa	51(+)	-6836	-611	-136	16527	9097	16527	9097	35	--

Verifica a taglio

Dir	C.	MrSup	MrInf	T	Vrdns	Vrcd	Vrsd	Vrd	Ast/m	cot(θ)	Cs	ζ _E
		kg*m	kg*m	kg	kg	kg	kg	kg	cmq/m			
Y	51	--	--	22	--	21894	9683	9683	5.98	2.500	>100	--
Z	51	--	--	236	--	23280	17160	17160	5.98	2.500	73	--

Pilastro: 21 [21,221] Sez. R: By=30.0 cm Bz=50.0 cm L=330.0 cm Ln=330.0 cm Criterio: CLS_Pilastrini_ND - Verifica a presso-flessione deviata: **Verificato**

Piede	AfSpigolo = 3.14	Afy = 0.00	Afz = 1.54
Testa	AfSpigolo = 3.14	Afy = 0.00	Afz = 1.54

$$v_{max}=N/(f_{cd}*A)=0.033 \leq 0.65 \quad [\text{Comb. (16+17)-I-1(-)}]$$

Zona	C.	N	My	Mz	Mry+	Mrz+	Mry-	Mrz-	CS	ζ _E
		kg	kg*m	kg*m	kg*m	kg*m	kg*m	kg*m		
Piede	(16+17)-I-1(-)	-7085	1303	3485	12310	7705	12310	7705	2.2	2.1
Testa	(16+17)-I-1(+)	-5848	-1406	-3310	12099	7575	12099	7575	2.2	2.3

Verifica a taglio

Dir	C.	MrSup	MrInf	T	Vrdns	Vrcd	Vrsd	Vrd	Ast/m	cot(θ)	Cs	ζ _E
		kg*m	kg*m	kg	kg	kg	kg	kg	cmq/m			
Y	(16+17)-I-1	--	--	2059	--	29303	13645	13645	5.98	2.500	6.6	6.8
Z	(16+17)-II-2	--	--	2402	--	30888	24182	24182	5.98	2.500	10	12

Verifica incendio: TeqvCls(°)=504 TeqvAcc(°)=523 Curva:ISO834,γCls=1.20(Aggregato Calcareo)

γAcc=1.00(Laminato a caldo),verifica per R120(min)

Zona	C.	N	My	Mz	Mry+	Mrz+	Mry-	Mrz-	CS	ζ _E
		kg	kg*m	kg*m	kg*m	kg*m	kg*m	kg*m		
Piede	51(-)	-5761	525	115	16307	8982	16307	8982	41	--
Testa	51(+)	-4523	-913	-191	16056	8845	16056	8845	30	--

Verifica a taglio

Dir	C.	MrSup	MrInf	T	Vrdns	Vrcd	Vrsd	Vrd	Ast/m	cot(θ)	Cs	ζ _E
		kg*m	kg*m	kg	kg	kg	kg	kg	cmq/m			

Dir	C.	MrSup	MrInf	T	Vrdns	Vrcd	Vrsd	Vrd	Ast/m	cot(θ)	Cs	ζ _E
Y	51	--	--	71	--	21584	9683	9683	5.98	2.500	>100	--
Z	51	--	--	436	--	22951	17160	17160	5.98	2.500	39	--

Pilastro: 22 [22,96] Sez. R: By=20.0 cm Bz=40.0 cm L=332.2 cm Ln=332.2 cm Criterio: CLS_Pilastrini_ND - Verifica a presso-flessione deviata: **Verificato**

Piede	AfSpigolo = 3.14	Afy = 0.00	Afz = 1.54
Testa	AfSpigolo = 3.14	Afy = 0.00	Afz = 1.54

$$v_{max}=N/(fcd \cdot A)=0.028 \leq 0.65 \quad [\text{Comb. (16+17)-I-1(-)}]$$

Zona	C.	N	My	Mz	Mry+	Mrz+	Mry-	Mrz-	CS	ζ _E
		kg	kg*m	kg*m	kg*m	kg*m	kg*m	kg*m		
Piede	(16+17)-I-3(-)	-2377	-671	-1083	8627	4109	8627	4109	3.5	3.4
Testa	(16+17)-I-3(+)	-1717	1073	781	8543	4069	8543	4069	3.9	4.3

Verifica a taglio

Dir	C.	MrSup	MrInf	T	Vrdns	Vrcd	Vrsd	Vrd	Ast/m	cot(θ)	Cs	ζ _E
		kg*m	kg*m	kg	kg	kg	kg	kg	cmq/m			
Y	(16+17)-I-1	--	--	611	--	14322	8377	8377	5.98	2.500	14	14
Z	(16+17)-II-1	--	--	1034	--	17244	17244	17244	5.98	2.279	17	29

Verifica incendio: TeqvCls(°)=461 TeqvAcc(°)=486 Curva:ISO834, γCls=1.20(Aggregato Calcareo)

γAcc=1.00(Laminato a caldo),verifica per R120(min)

Zona	C.	N	My	Mz	Mry+	Mrz+	Mry-	Mrz-	CS	ζ _E
		kg	kg*m	kg*m	kg*m	kg*m	kg*m	kg*m		
Piede	51(-)	-2797	-411	56	11899	4908	11899	4908	36	--
Testa	51(+)	-2137	942	-53	11800	4869	11800	4869	16	--

Verifica a taglio

Dir	C.	MrSup	MrInf	T	Vrdns	Vrcd	Vrsd	Vrd	Ast/m	cot(θ)	Cs	ζ _E
		kg*m	kg*m	kg	kg	kg	kg	kg	cmq/m			
Y	51	--	--	25	--	11246	6795	6795	5.98	2.500	>100	--
Z	51	--	--	445	--	13722	13722	13722	5.98	2.236	31	--

Pilastro: 23 [23,123] Sez. R: By=30.0 cm Bz=50.0 cm L=330.0 cm Ln=330.0 cm Criterio: CLS_Pilastrini_ND - Verifica a presso-flessione deviata: **Verificato**

Piede	AfSpigolo = 3.14	Afy = 0.00	Afz = 1.54
Testa	AfSpigolo = 3.14	Afy = 0.00	Afz = 1.54

$$v_{max}=N/(fcd \cdot A)=0.049 \leq 0.65 \quad [\text{Comb. (16+17)-I-3(-)}]$$

Zona	C.	N	My	Mz	Mry+	Mrz+	Mry-	Mrz-	CS	ζ _E
		kg	kg*m	kg*m	kg*m	kg*m	kg*m	kg*m		
Piede	(16+17)-I-1(-)	-4153	955	4402	11808	7397	11808	7397	1.7	1.6
Testa	(16+17)-I-1(+)	-2915	-988	-3336	11594	7266	11594	7266	2.1	2.0

Verifica a taglio

Dir	C.	MrSup	MrInf	T	Vrdns	Vrcd	Vrsd	Vrd	Ast/m	cot(θ)	Cs	ζ _E
		kg*m	kg*m	kg	kg	kg	kg	kg	cmq/m			
Y	(16+17)-I-1	--	--	2344	--	28910	13645	13645	5.98	2.500	5.8	5.9
Z	(16+17)-II-2	--	--	1434	--	31070	24182	24182	5.98	2.500	17	18

Verifica incendio: TeqvCls(°)=504 TeqvAcc(°)=523 Curva:ISO834, γCls=1.20(Aggregato Calcareo)

γAcc=1.00(Laminato a caldo),verifica per R120(min)

Zona	C.	N	My	Mz	Mry+	Mrz+	Mry-	Mrz-	CS	ζ _E
		kg	kg*m	kg*m	kg*m	kg*m	kg*m	kg*m		
Piede	51(-)	-7289	182	146	16620	9147	16620	9147	42	--
Testa	51(+)	-6051	-199	-120	16368	9011	16368	9011	50	--

Verifica a taglio

Dir	C.	MrSup	MrInf	T	Vrdns	Vrcd	Vrsd	Vrd	Ast/m	cot(θ)	Cs	ζ _E
		kg*m	kg*m	kg	kg	kg	kg	kg	cmq/m			
Y	51	--	--	60	--	21789	9683	9683	5.98	2.500	>100	--
Z	51	--	--	102	--	22992	17160	17160	5.98	2.500	>100	--

Pilastro: 24 [24,124] Sez. R: By=50.0 cm Bz=30.0 cm L=360.0 cm Ln=360.0 cm Criterio: CLS_Pilastri_ND - Verifica a presso-flessione deviata: **Verificato**

Piede	AfSpigolo = 3.14	Afy = 1.54	Afz = 0.00
Testa	AfSpigolo = 3.14	Afy = 1.54	Afz = 0.00

$$v_{max}=N/(fcd*A)=0.051 \leq 0.65 \quad [\text{Comb. (16+17)-I-1(+)}]$$

Zona	C.	N	My	Mz	Mry+	Mrz+	Mry-	Mrz-	CS	ζ _E
		kg	kg*m	kg*m	kg*m	kg*m	kg*m	kg*m		
Piede	(16+17)-I-3(-)	-5005	-1236	-10095	7487	11954	7487	11954	1.1	1.1
Testa	(16+17)-I-3(+)	-3655	465	7853	7344	11722	7344	11722	1.5	1.5

Verifica a taglio

Dir	C.	MrSup	MrInf	T	Vrdns	Vrcd	Vrsd	Vrd	Ast/m	cot(θ)	Cs	ζ _E
		kg*m	kg*m	kg	kg	kg	kg	kg	cmq/m			
Y	(16+17)-I-3	--	--	4984	--	30862	24182	24182	5.98	2.500	4.9	5.1
Z	(16+17)-II-1	--	--	1274	--	29479	13645	13645	5.98	2.500	11	17

Verifica incendio: TeqvCls(°)=504 TeqvAcc(°)=523 Curva:ISO834,γCls=1.20(Aggregato Calcareo)
γAcc=1.00(Laminato a caldo),verifica per R120(min)

Zona	C.	N	My	Mz	Mry+	Mrz+	Mry-	Mrz-	CS	ζ _E
		kg	kg*m	kg*m	kg*m	kg*m	kg*m	kg*m		
Piede	51(-)	-7963	-656	-246	9224	16758	9224	16758	24	--
Testa	51(+)	-6613	1175	847	9075	16483	9075	16483	12	--

Verifica a taglio

Dir	C.	MrSup	MrInf	T	Vrdns	Vrcd	Vrsd	Vrd	Ast/m	cot(θ)	Cs	ζ _E
		kg*m	kg*m	kg	kg	kg	kg	kg	cmq/m			
Y	51	--	--	304	--	23289	17160	17160	5.98	2.500	56	--
Z	51	--	--	508	--	21902	9683	9683	5.98	2.500	19	--

Pilastro: 25 [25,125] Sez. R: By=30.0 cm Bz=50.0 cm L=300.0 cm Ln=300.0 cm Criterio: CLS_Pilastri_ND - Verifica a presso-flessione deviata: **Verificato**

Piede	AfSpigolo = 3.14	Afy = 0.00	Afz = 1.54
Testa	AfSpigolo = 3.14	Afy = 0.00	Afz = 1.54

$$v_{max}=N/(fcd*A)=0.042 \leq 0.65 \quad [\text{Comb. (16+17)-I-3(+)}]$$

Zona	C.	N	My	Mz	Mry+	Mrz+	Mry-	Mrz-	CS	ζ _E
		kg	kg*m	kg*m	kg*m	kg*m	kg*m	kg*m		
Piede	(16+17)-I-1(-)	-7097	-318	5367	12312	7706	12312	7706	1.5	1.5
Testa	(16+17)-I-1(+)	-5972	1929	-4151	12120	7588	12120	7588	1.7	2.0

Verifica a taglio

Dir	C.	MrSup	MrInf	T	Vrdns	Vrcd	Vrsd	Vrd	Ast/m	cot(θ)	Cs	ζ _E
		kg*m	kg*m	kg	kg	kg	kg	kg	cmq/m			
Y	(16+17)-I-1	--	--	3168	--	29305	13645	13645	5.98	2.500	4.3	5.0
Z	(16+17)-II-1	--	--	3198	--	31252	24182	24182	5.98	2.500	7.6	12

Verifica incendio: TeqvCls(°)=504 TeqvAcc(°)=523 Curva:ISO834,γCls=1.20(Aggregato Calcareo)
γAcc=1.00(Laminato a caldo),verifica per R120(min)

Zona	C.	N	My	Mz	Mry+	Mrz+	Mry-	Mrz-	CS	ζ _E
------	----	---	----	----	------	------	------	------	----	----------------

Zona	C.	N	My	Mz	Mry+	Mrz+	Mry-	Mrz-	CS	ζ_E
		kg	kg*m	kg*m	kg*m	kg*m	kg*m	kg*m		
Piede	51(-)	-8094	-1179	444	16785	9239	16785	9239	20	--
Testa	51(+)	-6969	2497	-1121	16555	9111	16555	9111	7.3	--

Verifica a taglio

Dir	C.	MrSup	MrInf	T	Vrdns	Vrcd	Vrsd	Vrd	Ast/m	cot(θ)	Cs	ζ_E
		kg*m	kg*m	kg	kg	kg	kg	kg	cmq/m			
Y	51	--	--	522	--	21897	9683	9683	5.98	2.500	19	--
Z	51	--	--	1226	--	23283	17160	17160	5.98	2.500	14	--

Pilastro: 26 [26,226] Sez. R: By=30.0 cm Bz=50.0 cm L=330.0 cm Ln=330.0 cm Criterio: CLS_Pilastrini_ND - Verifica a presso-flessione deviata: **Verificato**

Piede	AfSpigolo = 3.14	Afy = 0.00	Afz = 1.54
Testa	AfSpigolo = 3.14	Afy = 0.00	Afz = 1.54

$$v_{max} = N / (f_{cd} * A) = 0.042 \leq 0.65 \quad [\text{Comb. (16+17)-II-1(-)}]$$

Zona	C.	N	My	Mz	Mry+	Mrz+	Mry-	Mrz-	CS	ζ_E
		kg	kg*m	kg*m	kg*m	kg*m	kg*m	kg*m		
Piede	(16+17)-I-3(-)	-7991	-1186	-5128	12464	7799	12464	7799	1.5	1.5
Testa	(16+17)-I-3(+)	-6754	1118	4620	12254	7670	12254	7670	1.7	1.7

Verifica a taglio

Dir	C.	MrSup	MrInf	T	Vrdns	Vrcd	Vrsd	Vrd	Ast/m	cot(θ)	Cs	ζ_E
		kg*m	kg*m	kg	kg	kg	kg	kg	cmq/m			
Y	(16+17)-I-3	--	--	2952	--	29424	13645	13645	5.98	2.500	4.6	5.2
Z	(16+17)-II-2	--	--	2273	--	31204	24182	24182	5.98	2.500	11	11

Verifica incendio: TeqvClis(°)=504 TeqvAcc(°)=523 Curva:ISO834, γ_{Clis} =1.20(Aggregato Calcareo) γ_{Acc} =1.00(Laminato a caldo), verifica per R120(min)

Zona	C.	N	My	Mz	Mry+	Mrz+	Mry-	Mrz-	CS	ζ_E
		kg	kg*m	kg*m	kg*m	kg*m	kg*m	kg*m		
Piede	51(-)	-8234	206	-391	16814	9253	16814	9253	30	--
Testa	51(+)	-6997	-173	939	16561	9118	16561	9118	19	--

Verifica a taglio

Dir	C.	MrSup	MrInf	T	Vrdns	Vrcd	Vrsd	Vrd	Ast/m	cot(θ)	Cs	ζ_E
		kg*m	kg*m	kg	kg	kg	kg	kg	cmq/m			
Y	51	--	--	403	--	21915	9683	9683	5.98	2.500	24	--
Z	51	--	--	64	--	23303	17160	17160	5.98	2.500	>100	--

Pilastro: 27 [27,77] Sez. R: By=20.0 cm Bz=40.0 cm L=332.3 cm Ln=332.3 cm Criterio: CLS_Pilastrini_ND - Verifica a presso-flessione deviata: **Verificato**

Piede	AfSpigolo = 3.14	Afy = 0.00	Afz = 1.54
Testa	AfSpigolo = 3.14	Afy = 0.00	Afz = 1.54

$$v_{max} = N / (f_{cd} * A) = 0.064 \leq 0.65 \quad [\text{Comb. (16+17)-I-1(-)}]$$

Zona	C.	N	My	Mz	Mry+	Mrz+	Mry-	Mrz-	CS	ζ_E
		kg	kg*m	kg*m	kg*m	kg*m	kg*m	kg*m		
Piede	(16+17)-I-1(-)	-7272	-222	1425	9238	4398	9238	4398	3.4	3.5
Testa	(16+17)-I-1(+)	-6612	513	-1461	9157	4360	9157	4360	3.2	3.8

Verifica a taglio

Dir	C.	MrSup	MrInf	T	Vrdns	Vrcd	Vrsd	Vrd	Ast/m	cot(θ)	Cs	ζ_E
		kg*m	kg*m	kg	kg	kg	kg	kg	cmq/m			
Y	(16+17)-I-1	--	--	869	--	14822	8377	8377	5.98	2.500	9.6	12
Z	(16+17)-II	--	--	787	--	17502	17502	17502	5.98	2.313	22	46

Dir	C.	MrSup	MrInf	T	Vrdns	Vrcd	Vrsd	Vrd	Ast/m	cot(θ)	Cs	ζ _E
	-1											

Verifica incendio: TeqvCls(°)=461 TeqvAcc(°)=486 Curva:ISO834, γCls=1.20(Agregato Calcareo)
 γAcc=1.00(Laminato a caldo),verifica per R120(min)

Zona	C.	N	My	Mz	Mry+	Mrz+	Mry-	Mrz-	CS	ζ _E
		kg	kg*m	kg*m	kg*m	kg*m	kg*m	kg*m		
Piede	51(-)	-6569	-443	188	12453	5130	12453	5130	21	--
Testa	51(+)	-5909	802	-372	12357	5092	12357	5092	13	--

Verifica a taglio

Dir	C.	MrSup	MrInf	T	Vrdns	Vrcd	Vrsd	Vrd	Ast/m	cot(θ)	Cs	ζ _E
		kg*m	kg*m	kg	kg	kg	kg	kg	cmq/m			
Y	51	--	--	169	--	11711	6795	6795	5.98	2.500	40	--
Z	51	--	--	414	--	14058	14058	14058	5.98	2.291	34	--

Pilastro: 28 [28,128] Sez. C: Ø=40.0 cm L=300.0 cm Ln=300.0 cm Criterio: CLS_Pilastrini_ND - Verifica a presso-flessione deviata: **Verificato**

Piede	Aftotale = 18.85
Testa	Aftotale = 18.85

$v_{max}=N/(f_{cd}*A)=0.021 \leq 0.65$ [Comb. (16+17)-I-3(-)]

Zona	C.	N	My	Mz	Mry+/-	Mrz+/-	CS	ζ _E
		kg	kg*m	kg*m	kg*m	kg*m		
Piede	(16+17)-I-1(-)	-1902	491	3518	8171	7583	2.2	2.1
Testa	(16+17)-I-1(+)	-961	-401	-2158	8071	7488	3.6	3.5

Verifica a taglio

Dir	C.	MrSup	MrInf	T	Vrdns	Vrcd	Vrsd	Vrd	Ast/m	cot(θ)	Cs	ζ _E
		kg*m	kg*m	kg	kg	kg	kg	kg	cmq/m			
Y	(16+17)-I-1	--	--	1892	--	19824	15870	15870	5.98	2.500	8.4	8.6
Z	(16+17)-II-2	--	--	1318	--	19984	15870	15870	5.98	2.500	12	12

Verifica incendio: TeqvCls(°)=605 TeqvAcc(°)=509 Curva:ISO834, γCls=1.20(Agregato Calcareo)
 γAcc=1.00(Laminato a caldo),verifica per R120(min)

Zona	C.	N	My	Mz	Mry+/-	Mrz+/-	CS	ζ _E
		kg	kg*m	kg*m	kg*m	kg*m		
Piede	51(+)	-2861	56	56	21914	21465	>100	--
Testa	51(+)	-1920	-37	-142	21784	21360	>100	--

Verifica a taglio

Dir	C.	MrSup	MrInf	T	Vrdns	Vrcd	Vrsd	Vrd	Ast/m	cot(θ)	Cs	ζ _E
		kg*m	kg*m	kg	kg	kg	kg	kg	cmq/m			
Y	51	--	--	64	--	11960	11942	11942	5.98	2.500	>100	--
Z	51	--	--	21	--	11960	11942	11942	5.98	2.500	>100	--

Pilastro: 29 [29,229] Sez. R: By=30.0 cm Bz=50.0 cm L=330.0 cm Ln=330.0 cm Criterio: CLS_Pilastrini_ND - Verifica a presso-flessione deviata: **Verificato**

Piede	AfSpigolo = 3.14	Afy = 0.00	Afz = 1.54
Testa	AfSpigolo = 3.14	Afy = 0.00	Afz = 1.54

$v_{max}=N/(f_{cd}*A)=0.038 \leq 0.65$ [Comb. (16+17)-I-1(-)]

Zona	C.	N	My	Mz	Mry+	Mrz+	Mry-	Mrz-	CS	ζ _E
		kg	kg*m	kg*m	kg*m	kg*m	kg*m	kg*m		
Piede	(16+17)-I-3(-)	-6438	-1123	-3258	12200	7637	12200	7637	2.4	2.2
Testa	(16+17)-I-3(+)	-5200	-932	2756	11988	7507	11988	7507	2.8	2.7

Verifica a taglio

Dir	C.	MrSup	MrInf	T	Vrdns	Vrcd	Vrsd	Vrd	Ast/m	cot(θ)	Cs	ζ _E
		kg*m	kg*m	kg	kg	kg	kg	kg	cmq/m			
Y	(16+17)-I-3	--	--	1822	--	29216	13645	13645	5.98	2.500	7.5	8.5
Z	(16+17)-II-1	--	--	2162	--	31102	24182	24182	5.98	2.500	11	11

Verifica incendio: TeqvCls(°)=504 TeqvAcc(°)=523 Curva:ISO834, γCls=1.20(Agregato Calcareo)
 γAcc=1.00(Laminato a caldo),verifica per R120(min)

Zona	C.	N	My	Mz	Mry+	Mrz+	Mry-	Mrz-	CS	ζ _E
		kg	kg*m	kg*m	kg*m	kg*m	kg*m	kg*m		
Piede	51(-)	-7338	-183	-246	16631	9154	16631	9154	38	--
Testa	51(+)	-6101	151	593	16377	9018	16377	9018	29	--

Verifica a taglio

Dir	C.	MrSup	MrInf	T	Vrdns	Vrcd	Vrsd	Vrd	Ast/m	cot(θ)	Cs	ζ _E
		kg*m	kg*m	kg	kg	kg	kg	kg	cmq/m			
Y	51	--	--	254	--	21795	9683	9683	5.98	2.500	38	--
Z	51	--	--	55	--	23175	17160	17160	5.98	2.500	>100	--

Pilastro: 30 [30,130] Sez. R: By=30.0 cm Bz=50.0 cm L=330.0 cm Ln=330.0 cm Criterio: CLS_Pilastru_ND -
 Verifica a presso-flessione deviata: **Verificato**

Piede	AfSpigolo = 3.14	Afy = 0.00	Afz = 1.54
Testa	AfSpigolo = 3.14	Afy = 0.00	Afz = 1.54

$v_{max}=N/(fcd*A)=0.043 \leq 0.65$ [Comb. (16+17)-I-3(+)]

Zona	C.	N	My	Mz	Mry+	Mrz+	Mry-	Mrz-	CS	ζ _E
		kg	kg*m	kg*m	kg*m	kg*m	kg*m	kg*m		
Piede	(16+17)-I-1(-)	-5738	1043	2587	12080	7564	12080	7564	3.0	2.7
Testa	(16+17)-I-1(+)	-4500	-955	-1904	11868	7434	11868	7434	4.0	3.3

Verifica a taglio

Dir	C.	MrSup	MrInf	T	Vrdns	Vrcd	Vrsd	Vrd	Ast/m	cot(θ)	Cs	ζ _E
		kg*m	kg*m	kg	kg	kg	kg	kg	cmq/m			
Y	(16+17)-I-1	--	--	1360	--	29122	13645	13645	5.98	2.500	10	11
Z	(16+17)-II-2	--	--	1370	--	31273	24182	24182	5.98	2.500	18	18

Verifica incendio: TeqvCls(°)=504 TeqvAcc(°)=523 Curva:ISO834, γCls=1.20(Agregato Calcareo)
 γAcc=1.00(Laminato a caldo),verifica per R120(min)

Zona	C.	N	My	Mz	Mry+	Mrz+	Mry-	Mrz-	CS	ζ _E
		kg	kg*m	kg*m	kg*m	kg*m	kg*m	kg*m		
Piede	51(-)	-7440	186	264	16650	9168	16650	9168	37	--
Testa	51(+)	-6202	155	-159	16398	9032	16398	9032	48	--

Verifica a taglio

Dir	C.	MrSup	MrInf	T	Vrdns	Vrcd	Vrsd	Vrd	Ast/m	cot(θ)	Cs	ζ _E
		kg*m	kg*m	kg	kg	kg	kg	kg	cmq/m			
Y	51	--	--	128	--	21809	9683	9683	5.98	2.500	76	--
Z	51	--	--	28	--	23190	17160	17160	5.98	2.500	>100	--

Pilastro: 31 [31,131] Sez. R: By=50.0 cm Bz=30.0 cm L=360.0 cm Ln=360.0 cm Criterio: CLS_Pilastru_ND -
 Verifica a presso-flessione deviata: **Verificato**

Piede	AfSpigolo = 3.14	Afy = 1.54	Afz = 0.00
Testa	AfSpigolo = 3.14	Afy = 1.54	Afz = 0.00

$v_{max}=N/(fcd*A)=0.029 \leq 0.65$ [Comb. (16+17)-I-1(+)]

Zona	C.	N	My	Mz	Mry+	Mrz+	Mry-	Mrz-	CS	ζ _E
		kg	kg*m	kg*m	kg*m	kg*m	kg*m	kg*m		
Piede	(16+17)-I-1(-)	-6256	403	5840	7618	12169	7618	12169	2.2	2.2

Zona	C.	N	My	Mz	Mry+	Mrz+	Mry-	Mrz-	CS	ζ_E
Testa	(16+17)-I-3(+)	-1086	281	3160	7071	11275	7071	11275	3.5	3.0

Verifica a taglio

Dir	C.	MrSup	MrInf	T	Vrdns	Vrcd	Vrsd	Vrd	Ast/m	cot(θ)	Cs	ζ_E
		kg*m	kg*m	kg	kg	kg	kg	kg	cmq/m			
Y	(16+17)-I-1	--	--	2627	--	31040	24182	24182	5.98	2.500	9.2	9.9
Z	(16+17)-II-2	--	--	823	--	28889	13645	13645	5.98	2.500	17	17

Verifica incendio: $T_{eqvClis}(^\circ)=504$ $T_{eqvAcc}(^\circ)=523$ Curva:ISO834, $\gamma_{Clis}=1.20$ (Aggregato Calcareo)
 $\gamma_{Acc}=1.00$ (Laminato a caldo),verifica per R120(min)

Zona	C.	N	My	Mz	Mry+	Mrz+	Mry-	Mrz-	CS	ζ_E
		kg	kg*m	kg*m	kg*m	kg*m	kg*m	kg*m		
Piede	51(-)	-4346	87	487	8823	16020	8823	16020	50	--
Testa	51(+)	-2996	-59	-228	8677	15744	8677	15744	85	--

Verifica a taglio

Dir	C.	MrSup	MrInf	T	Vrdns	Vrcd	Vrsd	Vrd	Ast/m	cot(θ)	Cs	ζ_E
		kg*m	kg*m	kg	kg	kg	kg	kg	cmq/m			
Y	51	--	--	199	--	22773	17160	17160	5.98	2.500	86	--
Z	51	--	--	17	--	21417	9683	9683	5.98	2.500	>100	--

Pilastro: 32 [32,80] Sez. R: $B_y=20.0$ cm $B_z=40.0$ cm $L=332.2$ cm $L_n=332.2$ cm Criterio: CLS_Pilastrini_ND -
 Verifica a presso-flessione deviata: **Verificato**

Piede	$A_{fSpigolo} = 3.14$	$A_{fy} = 0.00$	$A_{fz} = 1.54$
Testa	$A_{fSpigolo} = 3.14$	$A_{fy} = 0.00$	$A_{fz} = 1.54$

 $v_{max}=N/(f_{cd}*A)=0.04 \leq 0.65$ [Comb. (16+17)-I-1(-)]

Zona	C.	N	My	Mz	Mry+	Mrz+	Mry-	Mrz-	CS	ζ_E
		kg	kg*m	kg*m	kg*m	kg*m	kg*m	kg*m		
Piede	(16+17)-I-1(-)	-4523	1772	898	8897	4237	8897	4237	3.2	3.3
Testa	(16+17)-I-1(+)	-3863	-1611	-858	8814	4198	8814	4198	3.4	4.3

Verifica a taglio

Dir	C.	MrSup	MrInf	T	Vrdns	Vrcd	Vrsd	Vrd	Ast/m	cot(θ)	Cs	ζ_E
		kg*m	kg*m	kg	kg	kg	kg	kg	cmq/m			
Y	(16+17)-I-1	--	--	535	--	14483	8377	8377	5.98	2.500	16	18
Z	(16+17)-II-2	--	--	1102	--	17332	17332	17332	5.98	2.291	16	26

Verifica incendio: $T_{eqvClis}(^\circ)=461$ $T_{eqvAcc}(^\circ)=486$ Curva:ISO834, $\gamma_{Clis}=1.20$ (Aggregato Calcareo)
 $\gamma_{Acc}=1.00$ (Laminato a caldo),verifica per R120(min)

Zona	C.	N	My	Mz	Mry+	Mrz+	Mry-	Mrz-	CS	ζ_E
		kg	kg*m	kg*m	kg*m	kg*m	kg*m	kg*m		
Piede	51(-)	-3873	414	94	12060	4971	12060	4971	31	--
Testa	51(+)	-3213	-1006	-156	11962	4933	11962	4933	14	--

Verifica a taglio

Dir	C.	MrSup	MrInf	T	Vrdns	Vrcd	Vrsd	Vrd	Ast/m	cot(θ)	Cs	ζ_E
		kg*m	kg*m	kg	kg	kg	kg	kg	cmq/m			
Y	51	--	--	82	--	11379	6795	6795	5.98	2.500	83	--
Z	51	--	--	465	--	13819	13819	13819	5.98	2.252	30	--

Pilastro: 33 [33,233] Sez. C: $\varnothing=40.0$ cm $L=330.0$ cm $L_n=330.0$ cm Criterio: CLS_Pilastrini_ND - Verifica a presso-flessione deviata: **Verificato**

Piede	$A_{ftotale} = 18.85$
Testa	$A_{ftotale} = 18.85$

$$v_{max}=N/(f_{cd}*A)=0.031 \leq 0.65 \quad [\text{Comb. (16+17)-I-3(-)}]$$

Zona	C.	N	My	Mz	Mry+/-	Mrz+/-	CS	ζ_E
		kg	kg*m	kg*m	kg*m	kg*m		
Piede	(16+17)-I-1(-)	-2549	322	2568	8239	7649	3.2	2.8
Testa	(16+17)-I-3(+)	-4404	685	2499	8434	7836	3.5	3.4

Verifica a taglio

Dir	C.	MrSup	MrInf	T	Vrdns	Vrcd	Vrsd	Vrd	Ast/m	cot(θ)	Cs	ζ_E
		kg*m	kg*m	kg	kg	kg	kg	kg	cmq/m			
Y	(16+17)-I-3	--	--	1554	--	20307	15870	15870	5.98	2.500	10	11
Z	(16+17)-II-1	--	--	1075	--	20284	15870	15870	5.98	2.500	15	16

Verifica incendio: TeqvCls(°)=605 TeqvAcc(°)=509 Curva:ISO834, γ_{Cls} =1.20(Agregato Calcareo)

γ_{Acc} =1.00(Laminato a caldo),verifica per R120(min)

Zona	C.	N	My	Mz	Mry+/-	Mrz+/-	CS	ζ_E
		kg	kg*m	kg*m	kg*m	kg*m		
Piede	51(-)	-3994	-139	-80	22069	21591	98	--
Testa	51(+)	-2959	215	155	21922	21474	100	--

Verifica a taglio

Dir	C.	MrSup	MrInf	T	Vrdns	Vrcd	Vrsd	Vrd	Ast/m	cot(θ)	Cs	ζ_E
		kg*m	kg*m	kg	kg	kg	kg	kg	cmq/m			
Y	51	--	--	57	--	12114	11942	11942	5.98	2.500	>100	--
Z	51	--	--	107	--	12114	11942	11942	5.98	2.500	>100	--

Pilastro: 34 [34,81] Sez. R: By=20.0 cm Bz=40.0 cm L=332.0 cm Ln=332.0 cm Criterio: CLS_Pilastru_ND - Verifica a presso-flessione deviata: **Verificato**

Piede	AfSpigolo = 3.14	Afy = 0.00	Afz = 1.54
Testa	AfSpigolo = 3.14	Afy = 0.00	Afz = 1.54

$$v_{max}=N/(f_{cd}*A)=0.042 \leq 0.65 \quad [\text{Comb. (16+17)-I-1(-)}]$$

Zona	C.	N	My	Mz	Mry+	Mrz+	Mry-	Mrz-	CS	ζ_E
		kg	kg*m	kg*m	kg*m	kg*m	kg*m	kg*m		
Piede	(16+17)-I-1(-)	-4776	1654	782	8929	4252	8929	4252	3.6	3.6
Testa	(16+17)-I-1(+)	-4116	-1591	-606	8846	4213	8846	4213	4.2	5.1

Verifica a taglio

Dir	C.	MrSup	MrInf	T	Vrdns	Vrcd	Vrsd	Vrd	Ast/m	cot(θ)	Cs	ζ_E
		kg*m	kg*m	kg	kg	kg	kg	kg	cmq/m			
Y	(16+17)-I-3	--	--	427	--	14268	8377	8377	5.98	2.500	20	20
Z	(16+17)-II-2	--	--	1284	--	17385	17385	17385	5.98	2.298	14	21

Verifica incendio: TeqvCls(°)=461 TeqvAcc(°)=486 Curva:ISO834, γ_{Cls} =1.20(Agregato Calcareo)

γ_{Acc} =1.00(Laminato a caldo),verifica per R120(min)

Zona	C.	N	My	Mz	Mry+	Mrz+	Mry-	Mrz-	CS	ζ_E
		kg	kg*m	kg*m	kg*m	kg*m	kg*m	kg*m		
Piede	51(-)	-4109	461	82	12094	4985	12094	4985	29	--
Testa	51(+)	-3449	-1063	69	11998	4947	11998	4947	15	--

Verifica a taglio

Dir	C.	MrSup	MrInf	T	Vrdns	Vrcd	Vrsd	Vrd	Ast/m	cot(θ)	Cs	ζ_E
		kg*m	kg*m	kg	kg	kg	kg	kg	cmq/m			
Y	51	--	--	7	--	11327	6795	6795	5.98	2.500	>100	--
Z	51	--	--	495	--	13840	13840	13840	5.98	2.255	28	--

Pilastro: 35 [35,135] Sez. C: Ø=40.0 cm L=300.0 cm Ln=300.0 cm Criterio: CLS_Pilastru_ND - Verifica a presso-flessione deviata: **Verificato**

Piede	Aftotale = 18.85
Testa	Aftotale = 18.85

$$v_{max} = N / (f_{cd} \cdot A) = 0.027 \leq 0.65 \quad [\text{Comb. (16+17)-I-3(+)}]$$

Zona	C.	N	My	Mz	Mry+/-	Mrz+/-	CS	ζ_E
		kg	kg*m	kg*m	kg*m	kg*m		
Piede	(16+17)-II-2(-)	-3573	2327	-1699	8347	7752	2.9	3.0
Testa	(16+17)-II-2(+)	-2632	-2093	1747	8248	7657	3.0	3.6

Verifica a taglio

Dir	C.	MrSup	MrInf	T	Vrdns	Vrcd	Vrsd	Vrd	Ast/m	cot(θ)	Cs	ζ_E
		kg*m	kg*m	kg	kg	kg	kg	kg	cmq/m			
Y	(16+17)-I-3	--	--	1714	--	20089	15870	15870	5.98	2.500	9.3	12
Z	(16+17)-II-2	--	--	1473	--	20052	15870	15870	5.98	2.500	11	13

Verifica incendio: $Teq_{vClS}(\circ) = 605$ $Teq_{vAcc}(\circ) = 509$ Curva: ISO834, $\gamma_{ClS} = 1.20$ (Aggregato Calcareo)
 $\gamma_{Acc} = 1.00$ (Laminato a caldo), verifica per R120(min)

Zona	C.	N	My	Mz	Mry+/-	Mrz+/-	CS	ζ_E
		kg	kg*m	kg*m	kg*m	kg*m		
Piede	51(-)	-4031	306	-330	22077	21594	65	--
Testa	51(+)	-3090	-478	807	21947	21490	32	--

Verifica a taglio

Dir	C.	MrSup	MrInf	T	Vrdns	Vrcd	Vrsd	Vrd	Ast/m	cot(θ)	Cs	ζ_E
		kg*m	kg*m	kg	kg	kg	kg	kg	cmq/m			
Y	51	--	--	379	--	11991	11942	11942	5.98	2.500	32	--
Z	51	--	--	261	--	12120	11942	11942	5.98	2.500	46	--

Pilastro: 36 [36,236] Sez. R: $B_y = 30.0$ cm $B_z = 50.0$ cm $L = 330.0$ cm $L_n = 330.0$ cm Criterio: CLS_Pilastri_ND -
 Verifica a presso-flessione deviata: **Verificato**

Piede	AfSpigolo = 3.14	Afy = 0.00	Afz = 1.54
Testa	AfSpigolo = 3.14	Afy = 0.00	Afz = 1.54

$$v_{max} = N / (f_{cd} \cdot A) = 0.03 \leq 0.65 \quad [\text{Comb. (16+17)-II-1(+)}]$$

Zona	C.	N	My	Mz	Mry+	Mrz+	Mry-	Mrz-	CS	ζ_E
		kg	kg*m	kg*m	kg*m	kg*m	kg*m	kg*m		
Piede	(16+17)-I-3(-)	-6463	4725	-2561	12204	7640	12204	7640	1.8	1.7
Testa	(16+17)-I-3(+)	-5226	-4371	1983	11992	7510	11992	7510	2.1	2.0

Verifica a taglio

Dir	C.	MrSup	MrInf	T	Vrdns	Vrcd	Vrsd	Vrd	Ast/m	cot(θ)	Cs	ζ_E
		kg*m	kg*m	kg	kg	kg	kg	kg	cmq/m			
Y	(16+17)-I-3	--	--	1377	--	29220	13645	13645	5.98	2.500	9.9	13
Z	(16+17)-I-1	--	--	3025	--	30927	24182	24182	5.98	2.500	8.0	8.3

Verifica incendio: $Teq_{vClS}(\circ) = 504$ $Teq_{vAcc}(\circ) = 523$ Curva: ISO834, $\gamma_{ClS} = 1.20$ (Aggregato Calcareo)
 $\gamma_{Acc} = 1.00$ (Laminato a caldo), verifica per R120(min)

Zona	C.	N	My	Mz	Mry+	Mrz+	Mry-	Mrz-	CS	ζ_E
		kg	kg*m	kg*m	kg*m	kg*m	kg*m	kg*m		
Piede	51(-)	-5961	-209	-412	16350	9004	16350	9004	36	--
Testa	51(+)	-4724	235	733	16099	8867	16099	8867	23	--

Verifica a taglio

Dir	C.	MrSup	MrInf	T	Vrdns	Vrcd	Vrsd	Vrd	Ast/m	cot(θ)	Cs	ζ_E
		kg*m	kg*m	kg	kg	kg	kg	kg	cmq/m			
Y	51	--	--	347	--	21611	9683	9683	5.98	2.500	28	--
Z	51	--	--	134	--	22979	17160	17160	5.98	2.500	>100	--

Pilastro: 37 [37,137] Sez. R: By=30.0 cm Bz=50.0 cm L=330.0 cm Ln=330.0 cm Criterio: CLS_Pilastri_ND - Verifica a presso-flessione deviata: **Verificato**

Piede	AfSpigolo = 3.14	Afy = 0.00	Afz = 1.54
Testa	AfSpigolo = 3.14	Afy = 0.00	Afz = 1.54

$$v_{max}=N/(f_{cd}*A)=0.027 \leq 0.65 \quad [\text{Comb. (16+17)-II-2(-)}]$$

Zona	C.	N	My	Mz	Mry+	Mrz+	Mry-	Mrz-	CS	ζ _E
		kg	kg*m	kg*m	kg*m	kg*m	kg*m	kg*m		
Piede	(16+17)-I-1(-)	-4976	1070	1715	11949	7484	11949	7484	4.5	4.1
Testa	(16+17)-II-1(+)	-3549	1972	-583	11703	7333	11703	7333	5.9	4.5

Verifica a taglio

Dir	C.	MrSup	MrInf	T	Vrdns	Vrcd	Vrsd	Vrd	Ast/m	cot(θ)	Cs	ζ _E
		kg*m	kg*m	kg	kg	kg	kg	kg	cmq/m			
Y	(16+17)-I-1	--	--	744	--	29020	13645	13645	5.98	2.500	18	20
Z	(16+17)-II-2	--	--	1370	--	30978	24182	24182	5.98	2.500	18	19

Verifica incendio: TeqvCls(°)=504 TeqvAcc(°)=523 Curva:ISO834,γCls=1.20(Aggregato Calcareo)

γAcc=1.00(Laminato a caldo),verifica per R120(min)

Zona	C.	N	My	Mz	Mry+	Mrz+	Mry-	Mrz-	CS	ζ _E
		kg	kg*m	kg*m	kg*m	kg*m	kg*m	kg*m		
Piede	51(-)	-5302	294	226	16214	8932	16214	8932	46	--
Testa	51(+)	-4064	-100	-81	15963	8794	15963	8794	76	--

Verifica a taglio

Dir	C.	MrSup	MrInf	T	Vrdns	Vrcd	Vrsd	Vrd	Ast/m	cot(θ)	Cs	ζ _E
		kg*m	kg*m	kg	kg	kg	kg	kg	cmq/m			
Y	51	--	--	74	--	21522	9683	9683	5.98	2.500	>100	--
Z	51	--	--	115	--	22885	17160	17160	5.98	2.500	>100	--

Pilastro: 38 [38,238] Sez. R: By=30.0 cm Bz=50.0 cm L=330.0 cm Ln=330.0 cm Criterio: CLS_Pilastri_ND - Verifica a presso-flessione deviata: **Verificato**

Piede	AfSpigolo = 3.14	Afy = 0.00	Afz = 1.54
Testa	AfSpigolo = 3.14	Afy = 0.00	Afz = 1.54

$$v_{max}=N/(f_{cd}*A)=0.034 \leq 0.65 \quad [\text{Comb. (16+17)-II-2(-)}]$$

Zona	C.	N	My	Mz	Mry+	Mrz+	Mry-	Mrz-	CS	ζ _E
		kg	kg*m	kg*m	kg*m	kg*m	kg*m	kg*m		
Piede	(16+17)-I-3(-)	-6670	4878	-2235	12239	7661	12239	7661	1.9	1.8
Testa	(16+17)-I-3(+)	-5432	-4777	1901	12028	7532	12028	7532	2.0	2.0

Verifica a taglio

Dir	C.	MrSup	MrInf	T	Vrdns	Vrcd	Vrsd	Vrd	Ast/m	cot(θ)	Cs	ζ _E
		kg*m	kg*m	kg	kg	kg	kg	kg	cmq/m			
Y	(16+17)-II-1	--	--	1425	--	29228	13645	13645	5.98	2.500	9.6	12
Z	(16+17)-I-1	--	--	2963	--	31171	24182	24182	5.98	2.500	8.2	8.2

Verifica incendio: TeqvCls(°)=504 TeqvAcc(°)=523 Curva:ISO834,γCls=1.20(Aggregato Calcareo)

γAcc=1.00(Laminato a caldo),verifica per R120(min)

Zona	C.	N	My	Mz	Mry+	Mrz+	Mry-	Mrz-	CS	ζ _E
		kg	kg*m	kg*m	kg*m	kg*m	kg*m	kg*m		
Piede	51(-)	-6923	-173	-401	16547	9111	16547	9111	34	--
Testa	51(+)	-5686	-142	789	16295	8975	16295	8975	22	--

Verifica a taglio

Dir	C.	MrSup	MrInf	T	Vrdns	Vrcd	Vrsd	Vrd	Ast/m	cot(θ)	Cs	ζ _E
		kg*m	kg*m	kg	kg	kg	kg	kg	cmq/m			

Dir	C.	MrSup	MrInf	T	Vrdns	Vrcd	Vrsd	Vrd	Ast/m	cot(θ)	Cs	ζ _E
Y	51	--	--	361	--	21740	9683	9683	5.98	2.500	27	--
Z	51	--	--	19	--	23116	17160	17160	5.98	2.500	>100	--

Pilastro: 39 [39,82] Sez. R: By=20.0 cm Bz=40.0 cm L=332.0 cm Ln=332.0 cm Criterio: CLS_Pilastrini_ND - Verifica a presso-flessione deviata: **Verificato**

Piede	AfSpigolo = 3.14	Afy = 0.00	Afz = 1.54
Testa	AfSpigolo = 3.14	Afy = 0.00	Afz = 1.54

$$v_{max} = N/(f_{cd} \cdot A) = 0.045 \leq 0.65 \quad [\text{Comb. (16+17)-II-2(-)}]$$

Zona	C.	N	My	Mz	Mry+	Mrz+	Mry-	Mrz-	CS	ζ _E
		kg	kg*m	kg*m	kg*m	kg*m	kg*m	kg*m		
Piede	(16+17)-II-2(-)	-5144	3235	-64	8975	4274	8975	4274	3.2	3.0
Testa	(16+17)-I-1(+)	-4080	-1588	-766	8842	4211	8842	4211	3.7	4.8

Verifica a taglio

Dir	C.	MrSup	MrInf	T	Vrdns	Vrcd	Vrsd	Vrd	Ast/m	cot(θ)	Cs	ζ _E
		kg*m	kg*m	kg	kg	kg	kg	kg	cmq/m			
Y	(16+17)-I-1	--	--	486	--	14510	8377	8377	5.98	2.500	17	21
Z	(16+17)-II-2	--	--	1678	--	17418	17418	17418	5.98	2.302	10	14

Verifica incendio: TeqvCls(°)=461 TeqvAcc(°)=486 Curva:ISO834, γCls=1.20(Agregato Calcareo)

γAcc=1.00(Laminato a caldo), verifica per R120(min)

Zona	C.	N	My	Mz	Mry+	Mrz+	Mry-	Mrz-	CS	ζ _E
		kg	kg*m	kg*m	kg*m	kg*m	kg*m	kg*m		
Piede	51(-)	-4330	403	93	12126	4999	12126	4999	29	--
Testa	51(+)	-3670	-945	-162	12030	4960	12030	4960	16	--

Verifica a taglio

Dir	C.	MrSup	MrInf	T	Vrdns	Vrcd	Vrsd	Vrd	Ast/m	cot(θ)	Cs	ζ _E
		kg*m	kg*m	kg	kg	kg	kg	kg	cmq/m			
Y	51	--	--	83	--	11435	6795	6795	5.98	2.500	82	--
Z	51	--	--	442	--	13860	13860	13860	5.98	2.258	31	--

Pilastro: 40 [40,140] Sez. C: Ø=40.0 cm L=360.0 cm Ln=360.0 cm Criterio: CLS_Pilastrini_ND - Verifica a presso-flessione deviata: **Verificato**

Piede	Aftotale = 18.85
Testa	Aftotale = 18.85

$$v_{max} = N/(f_{cd} \cdot A) = 0.026 \leq 0.65 \quad [\text{Comb. (16+17)-I-1(-)}]$$

Zona	C.	N	My	Mz	Mry+/-	Mrz+/-	CS	ζ _E
		kg	kg*m	kg*m	kg*m	kg*m		
Piede	(16+17)-II-1(-)	-3863	-1610	1408	8377	7781	4.3	3.7
Testa	(16+17)-II-2(+)	-3145	-1274	1163	8302	7709	5.3	4.7

Verifica a taglio

Dir	C.	MrSup	MrInf	T	Vrdns	Vrcd	Vrsd	Vrd	Ast/m	cot(θ)	Cs	ζ _E
		kg*m	kg*m	kg	kg	kg	kg	kg	cmq/m			
Y	(16+17)-I-3	--	--	705	--	20039	15870	15870	5.98	2.500	23	23
Z	(16+17)-II-1	--	--	829	--	20092	15870	15870	5.98	2.500	19	19

Verifica incendio: TeqvCls(°)=605 TeqvAcc(°)=509 Curva:ISO834, γCls=1.20(Agregato Calcareo)

γAcc=1.00(Laminato a caldo), verifica per R120(min)

Zona	C.	N	My	Mz	Mry+/-	Mrz+/-	CS	ζ _E
		kg	kg*m	kg*m	kg*m	kg*m		
Piede	51(+)	-4068	80	151	22077	21598	95	--
Testa	51(-)	-2939	60	181	21922	21474	>100	--

Verifica a taglio

Dir	C.	MrSup	MrInf	T	Vrdns	Vrcd	Vrsd	Vrd	Ast/m	cot(θ)	Cs	ζ _E
		kg*m	kg*m	kg	kg	kg	kg	kg	cmq/m			
Y	51	--	--	9	--	12125	11942	11942	5.98	2.500	>100	--
Z	51	--	--	3	--	12125	11942	11942	5.98	2.500	>100	--

Pilastro: 41 [41,73] Sez. R: By=20.0 cm Bz=40.0 cm L=332.2 cm Ln=332.2 cm Criterio: CLS_Pilastri_ND - Verifica a presso-flessione deviata: **Verificato**

Piede	AfSpigolo = 3.14	Afy = 0.00	Afz = 1.54
Testa	AfSpigolo = 3.14	Afy = 0.00	Afz = 1.54

$$v_{max}=N/(fcd*A)=0.026 \leq 0.65 \quad [\text{Comb. (16+17)-I-1(-)}]$$

Zona	C.	N	My	Mz	Mry+	Mrz+	Mry-	Mrz-	CS	ζ _E
		kg	kg*m	kg*m	kg*m	kg*m	kg*m	kg*m		
Piede	(16+17)-I-1(-)	-3016	-2042	684	8708	4147	8708	4147	3.2	3.2
Testa	(16+17)-II-2(+)	-2346	-20	-1050	8623	4107	8623	4107	4.3	4.5

Verifica a taglio

Dir	C.	MrSup	MrInf	T	Vrdns	Vrcd	Vrsd	Vrd	Ast/m	cot(θ)	Cs	ζ _E
		kg*m	kg*m	kg	kg	kg	kg	kg	cmq/m			
Y	(16+17)-II-2	--	--	698	--	14215	8377	8377	5.98	2.500	12	13
Z	(16+17)-I-1	--	--	919	--	17230	17230	17230	5.98	2.277	19	22

Verifica incendio: TeqvCls(°)=461 TeqvAcc(°)=486 Curva:ISO834,γCls=1.20(Aggregato Calcareo)

γAcc=1.00(Laminato a caldo),verifica per R120(min)

Zona	C.	N	My	Mz	Mry+	Mrz+	Mry-	Mrz-	CS	ζ _E
		kg	kg*m	kg*m	kg*m	kg*m	kg*m	kg*m		
Piede	51(-)	-2354	-172	62	11833	4880	11833	4880	58	--
Testa	51(+)	-1694	177	-175	11733	4843	11733	4843	36	--

Verifica a taglio

Dir	C.	MrSup	MrInf	T	Vrdns	Vrcd	Vrsd	Vrd	Ast/m	cot(θ)	Cs	ζ _E
		kg*m	kg*m	kg	kg	kg	kg	kg	cmq/m			
Y	51	--	--	71	--	11110	6795	6795	5.98	2.500	95	--
Z	51	--	--	143	--	13682	13682	13682	5.98	2.229	96	--

Pilastro: 42 [42,142] Sez. R: By=30.0 cm Bz=50.0 cm L=330.0 cm Ln=330.0 cm Criterio: CLS_Pilastri_ND - Verifica a presso-flessione deviata: **Verificato**

Piede	AfSpigolo = 3.14	Afy = 0.00	Afz = 1.54
Testa	AfSpigolo = 3.14	Afy = 0.00	Afz = 1.54

$$v_{max}=N/(fcd*A)=0.021 \leq 0.65 \quad [\text{Comb. (16+17)-I-3(-)}]$$

Zona	C.	N	My	Mz	Mry+	Mrz+	Mry-	Mrz-	CS	ζ _E
		kg	kg*m	kg*m	kg*m	kg*m	kg*m	kg*m		
Piede	(16+17)-I-1(-)	1010	-2931	1023	10906	6845	10906	6845	2.7	2.8
Testa	(16+17)-I-1(+)	2248	2475	-704	10686	6711	10686	6711	3.1	3.3

Verifica a taglio

Dir	C.	MrSup	MrInf	T	Vrdns	Vrcd	Vrsd	Vrd	Ast/m	cot(θ)	Cs	ζ _E
		kg*m	kg*m	kg	kg	kg	kg	kg	cmq/m			
Y	(16+17)-II-2	--	--	571	--	28354	13645	13645	5.98	2.500	24	30
Z	(16+17)-I-1	--	--	1638	--	30149	24182	24182	5.98	2.500	15	17

Verifica incendio: TeqvCls(°)=504 TeqvAcc(°)=523 Curva:ISO834,γCls=1.20(Aggregato Calcareo)

γAcc=1.00(Laminato a caldo),verifica per R120(min)

Zona	C.	N	My	Mz	Mry+	Mrz+	Mry-	Mrz-	CS	ζ _E
------	----	---	----	----	------	------	------	------	----	----------------

Zona	C.	N	My	Mz	Mry+	Mrz+	Mry-	Mrz-	CS	ζ_E
		kg	kg*m	kg*m	kg*m	kg*m	kg*m	kg*m		
Piede	51(-)	-1769	-364	236	15490	8544	15490	8544	47	--
Testa	51(+)	-532	247	-149	15232	8410	15232	8410	61	--

Verifica a taglio

Dir	C.	MrSup	MrInf	T	Vrdns	Vrcd	Vrsd	Vrd	Ast/m	cot(θ)	Cs	ζ_E
		kg*m	kg*m	kg	kg	kg	kg	kg	cmq/m			
Y	51	--	--	117	--	20883	9683	9683	5.98	2.500	83	--
Z	51	--	--	185	--	22382	17160	17160	5.98	2.500	93	--

Pilastro: 43 [43,243] Sez. R: By=30.0 cm Bz=50.0 cm L=330.0 cm Ln=330.0 cm Criterio: CLS_Pilastri_ND - Verifica a presso-flessione deviata: **Verificato**

Piede	AfSpigolo = 3.14	Afy = 0.00	Afz = 1.54
Testa	AfSpigolo = 3.14	Afy = 0.00	Afz = 1.54

$$v_{max} = N / (f_{cd} * A) = 0.043 \leq 0.65 \quad [\text{Comb. (16+17)-I-1(-)}]$$

Zona	C.	N	My	Mz	Mry+	Mrz+	Mry-	Mrz-	CS	ζ_E
		kg	kg*m	kg*m	kg*m	kg*m	kg*m	kg*m		
Piede	(16+17)-II-1(-)	-5790	-2154	-4359	12089	7569	12089	7569	1.6	1.5
Testa	(16+17)-II-1(+)	-4552	1644	4178	11877	7439	11877	7439	1.7	1.7

Verifica a taglio

Dir	C.	MrSup	MrInf	T	Vrdns	Vrcd	Vrsd	Vrd	Ast/m	cot(θ)	Cs	ζ_E
		kg*m	kg*m	kg	kg	kg	kg	kg	cmq/m			
Y	(16+17)-II-1	--	--	2587	--	29129	13645	13645	5.98	2.500	5.3	5.8
Z	(16+17)-I-1	--	--	2457	--	31475	24182	24182	5.98	2.500	9.8	9.9

Verifica incendio: TeqvCls(°)=504 TeqvAcc(°)=523 Curva:ISO834, γ_{Cls} =1.20(Aggregato Calcareo) γ_{Acc} =1.00(Laminato a caldo), verifica per R120(min)

Zona	C.	N	My	Mz	Mry+	Mrz+	Mry-	Mrz-	CS	ζ_E
		kg	kg*m	kg*m	kg*m	kg*m	kg*m	kg*m		
Piede	51(-)	-7480	-187	-339	16659	9168	16659	9168	34	--
Testa	51(+)	-6242	-156	659	16407	9032	16407	9032	26	--

Verifica a taglio

Dir	C.	MrSup	MrInf	T	Vrdns	Vrcd	Vrsd	Vrd	Ast/m	cot(θ)	Cs	ζ_E
		kg*m	kg*m	kg	kg	kg	kg	kg	cmq/m			
Y	51	--	--	302	--	21814	9683	9683	5.98	2.500	32	--
Z	51	--	--	6	--	23196	17160	17160	5.98	2.500	>100	--

Pilastro: 44 [44,144] Sez. R: By=50.0 cm Bz=30.0 cm L=300.0 cm Ln=300.0 cm Criterio: CLS_Pilastri_ND - Verifica a presso-flessione deviata: **Verificato**

Piede	AfSpigolo = 3.14	Afy = 1.54	Afz = 0.00
Testa	AfSpigolo = 3.14	Afy = 1.54	Afz = 0.00

$$v_{max} = N / (f_{cd} * A) = 0.023 \leq 0.65 \quad [\text{Comb. (16+17)-I-3(+)}]$$

Zona	C.	N	My	Mz	Mry+	Mrz+	Mry-	Mrz-	CS	ζ_E
		kg	kg*m	kg*m	kg*m	kg*m	kg*m	kg*m		
Piede	(16+17)-II-1(-)	-3760	-2431	-5614	7355	11740	7355	11740	1.5	1.5
Testa	(16+17)-I-1(+)	-2454	2764	-2578	7217	11513	7217	11513	2.0	2.2

Verifica a taglio

Dir	C.	MrSup	MrInf	T	Vrdns	Vrcd	Vrsd	Vrd	Ast/m	cot(θ)	Cs	ζ_E
		kg*m	kg*m	kg	kg	kg	kg	kg	cmq/m			
Y	(16+17)-II-2	--	--	2777	--	30840	24182	24182	5.98	2.500	8.7	9.0
Z	(16+17)-I-	--	--	1867	--	28683	13645	13645	5.98	2.500	7.3	9.2

Dir	C.	MrSup	MrInf	T	Vrdns	Vrcd	Vrsd	Vrd	Ast/m	cot(θ)	Cs	ζ _E
	1											

Verifica incendio: TeqvCls(°)=504 TeqvAcc(°)=523 Curva:ISO834,γCls=1.20(Aggregato Calcareo)
 γAcc=1.00(Laminato a caldo),verifica per R120(min)

Zona	C.	N	My	Mz	Mry+	Mrz+	Mry-	Mrz-	CS	ζ _E
		kg	kg*m	kg*m	kg*m	kg*m	kg*m	kg*m		
Piede	51(-)	-4304	-478	-108	8823	16013	8823	16013	37	--
Testa	51(+)	-3179	821	-377	8699	15783	8699	15783	16	--

Verifica a taglio

Dir	C.	MrSup	MrInf	T	Vrdns	Vrcd	Vrsd	Vrd	Ast/m	cot(θ)	Cs	ζ _E
		kg*m	kg*m	kg	kg	kg	kg	kg	cmq/m			
Y	51	--	--	101	--	22768	17160	17160	5.98	2.500	>100	--
Z	51	--	--	433	--	21261	9683	9683	5.98	2.500	22	--

Pilastro: 45 [45,145] Sez. R: By=30.0 cm Bz=50.0 cm L=330.0 cm Ln=330.0 cm Criterio: CLS_Pilastrini_ND -
 Verifica a presso-flessione deviata: **Verificato**

Piede	AfSpigolo = 3.14	Afy = 0.00	Afz = 1.54
Testa	AfSpigolo = 3.14	Afy = 0.00	Afz = 1.54

$v_{max}=N/(fcd*A)=0.031 \leq 0.65$ [Comb. (16+17)-I-1(-)]

Zona	C.	N	My	Mz	Mry+	Mrz+	Mry-	Mrz-	CS	ζ _E
		kg	kg*m	kg*m	kg*m	kg*m	kg*m	kg*m		
Piede	(16+17)-I-1(-)	-6670	-3194	1268	12239	7661	12239	7661	3.4	3.2
Testa	(16+17)-I-1(+)	-5432	2971	-578	12028	7532	12028	7532	4.4	3.8

Verifica a taglio

Dir	C.	MrSup	MrInf	T	Vrdns	Vrcd	Vrsd	Vrd	Ast/m	cot(θ)	Cs	ζ _E
		kg*m	kg*m	kg	kg	kg	kg	kg	cmq/m			
Y	(16+17)-II-2	--	--	631	--	29038	13645	13645	5.98	2.500	22	25
Z	(16+17)-I-1	--	--	1868	--	30923	24182	24182	5.98	2.500	13	14

Verifica incendio: TeqvCls(°)=504 TeqvAcc(°)=523 Curva:ISO834,γCls=1.20(Aggregato Calcareo)
 γAcc=1.00(Laminato a caldo),verifica per R120(min)

Zona	C.	N	My	Mz	Mry+	Mrz+	Mry-	Mrz-	CS	ζ _E
		kg	kg*m	kg*m	kg*m	kg*m	kg*m	kg*m		
Piede	51(-)	-5734	-307	241	16304	8975	16304	8975	43	--
Testa	51(-)	-4497	114	-91	16049	8845	16049	8845	68	--

Verifica a taglio

Dir	C.	MrSup	MrInf	T	Vrdns	Vrcd	Vrsd	Vrd	Ast/m	cot(θ)	Cs	ζ _E
		kg*m	kg*m	kg	kg	kg	kg	kg	cmq/m			
Y	51	--	--	94	--	21580	9683	9683	5.98	2.500	>100	--
Z	51	--	--	125	--	22771	17160	17160	5.98	2.500	>100	--

Pilastro: 46 [46,146] Sez. C: Ø=40.0 cm L=360.0 cm Ln=360.0 cm Criterio: CLS_Pilastrini_ND - Verifica a presso-flessione deviata: **Verificato**

Piede	Aftotale = 18.85
Testa	Aftotale = 18.85

$v_{max}=N/(fcd*A)=0.033 \leq 0.65$ [Comb. (16+17)-I-1(-)]

Zona	C.	N	My	Mz	Mry+/-	Mrz+/-	CS	ζ _E
		kg	kg*m	kg*m	kg*m	kg*m		
Piede	(16+17)-I-1(-)	-5887	1570	3147	8588	7983	2.7	2.7
Testa	(16+17)-II-1(+)	-2576	2326	-879	8242	7652	3.3	3.0

Verifica a taglio

Dir	C.	MrSup	MrInf	T	Vrdns	Vrcd	Vrsd	Vrd	Ast/m	cot(θ)	Cs	ζ _E
		kg*m	kg*m	kg	kg	kg	kg	kg	cmq/m			
Y	(16+17)-I-1	--	--	1588	--	20368	15870	15870	5.98	2.500	10.0	11
Z	(16+17)-II-2	--	--	1591	--	20313	15870	15870	5.98	2.500	10.0	11

Verifica incendio: TeqvCls(°)=605 TeqvAcc(°)=509 Curva:ISO834,γCls=1.20(Agregato Calcareo)
 γAcc=1.00(Laminato a caldo),verifica per R120(min)

Zona	C.	N	My	Mz	Mry+/-	Mrz+/-	CS	ζ _E
		kg	kg*m	kg*m	kg*m	kg*m		
Piede	51(-)	-4592	250	418	22150	21657	60	--
Testa	51(+)	-3462	-110	-303	21996	21531	85	--

Verifica a taglio

Dir	C.	MrSup	MrInf	T	Vrdns	Vrcd	Vrsd	Vrd	Ast/m	cot(θ)	Cs	ζ _E
		kg*m	kg*m	kg	kg	kg	kg	kg	cmq/m			
Y	51	--	--	200	--	12196	11942	11942	5.98	2.500	60	--
Z	51	--	--	100	--	12196	11942	11942	5.98	2.500	>100	--

Pilastro: 47 [47,84] Sez. R: By=20.0 cm Bz=40.0 cm L=332.2 cm Ln=332.2 cm Criterio: CLS_Pilastru_ND -
 Verifica a presso-flessione deviata: **Verificato**

Piede	AfSpigolo = 3.14	Afy = 0.00	Afz = 1.54
Testa	AfSpigolo = 3.14	Afy = 0.00	Afz = 1.54

$v_{max}=N/(fcd*A)=0.033 \leq 0.65$ [Comb. (16+17)-I-1(-)]

Zona	C.	N	My	Mz	Mry+	Mrz+	Mry-	Mrz-	CS	ζ _E
		kg	kg*m	kg*m	kg*m	kg*m	kg*m	kg*m		
Piede	(16+17)-II-1(-)	-3768	-876	-1525	8802	4192	8802	4192	2.6	2.5
Testa	(16+17)-II-1(+)	-3108	776	1501	8719	4153	8719	4153	2.6	2.8

Verifica a taglio

Dir	C.	MrSup	MrInf	T	Vrdns	Vrcd	Vrsd	Vrd	Ast/m	cot(θ)	Cs	ζ _E
		kg*m	kg*m	kg	kg	kg	kg	kg	cmq/m			
Y	(16+17)-II-1	--	--	911	--	14390	8377	8377	5.98	2.500	9.2	10.0
Z	(16+17)-I-1	--	--	794	--	17298	17298	17298	5.98	2.286	22	34

Verifica incendio: TeqvCls(°)=461 TeqvAcc(°)=486 Curva:ISO834,γCls=1.20(Agregato Calcareo)
 γAcc=1.00(Laminato a caldo),verifica per R120(min)

Zona	C.	N	My	Mz	Mry+	Mrz+	Mry-	Mrz-	CS	ζ _E
		kg	kg*m	kg*m	kg*m	kg*m	kg*m	kg*m		
Piede	51(-)	-3552	-296	-93	12013	4952	12013	4952	37	--
Testa	51(+)	-2892	534	168	11914	4913	11914	4913	23	--

Verifica a taglio

Dir	C.	MrSup	MrInf	T	Vrdns	Vrcd	Vrsd	Vrd	Ast/m	cot(θ)	Cs	ζ _E
		kg*m	kg*m	kg	kg	kg	kg	kg	cmq/m			
Y	51	--	--	79	--	11339	6795	6795	5.98	2.500	86	--
Z	51	--	--	288	--	13790	13790	13790	5.98	2.247	48	--

Pilastro: 48 [48,248] Sez. R: By=50.0 cm Bz=30.0 cm L=330.0 cm Ln=330.0 cm Criterio: CLS_Pilastru_ND -
 Verifica a presso-flessione deviata: **Verificato**

Piede	AfSpigolo = 3.14	Afy = 1.54	Afz = 0.00
Testa	AfSpigolo = 3.14	Afy = 1.54	Afz = 0.00

$v_{max}=N/(fcd*A)=0.033 \leq 0.65$ [Comb. (16+17)-II-1(+)]

Zona	C.	N	My	Mz	Mry+	Mrz+	Mry-	Mrz-	CS	ζ _E
		kg	kg*m	kg*m	kg*m	kg*m	kg*m	kg*m		
Piede	(16+17)-II-2(-)	-4969	2162	9681	7483	11948	7483	11948	1.0	1.0

Zona	C.	N	My	Mz	Mry+	Mrz+	Mry-	Mrz-	CS	ζ_E
Testa	(16+17)-II-2(+)	-3732	-2126	-7476	7352	11735	7352	11735	1.3	1.3

Verifica a taglio

Dir	C.	MrSup	MrInf	T	Vrdns	Vrcd	Vrsd	Vrd	Ast/m	cot(θ)	Cs	ζ_E
		kg*m	kg*m	kg	kg	kg	kg	kg	cmq/m			
Y	(16+17)-II-2	--	--	5199	--	30681	24182	24182	5.98	2.500	4.7	4.8
Z	(16+17)-I-3	--	--	1373	--	29060	13645	13645	5.98	2.500	9.9	12

Verifica incendio: $Teq\gamma Cls(^{\circ})=504$ $Teq\gamma Acc(^{\circ})=523$ Curva:ISO834, $\gamma Cls=1.20$ (Aggregato Calcareo)
 $\gamma Acc=1.00$ (Laminato a caldo),verifica per R120(min)

Zona	C.	N	My	Mz	Mry+	Mrz+	Mry-	Mrz-	CS	ζ_E
		kg	kg*m	kg*m	kg*m	kg*m	kg*m	kg*m		
Piede	51(-)	-6002	258	150	9011	16359	9011	16359	43	--
Testa	51(+)	-4764	-501	-421	8874	16105	8874	16105	29	--

Verifica a taglio

Dir	C.	MrSup	MrInf	T	Vrdns	Vrcd	Vrsd	Vrd	Ast/m	cot(θ)	Cs	ζ_E
		kg*m	kg*m	kg	kg	kg	kg	kg	cmq/m			
Y	51	--	--	149	--	22833	17160	17160	5.98	2.500	>100	--
Z	51	--	--	230	--	21473	9683	9683	5.98	2.500	42	--

Pilastro: 49 [49,149] Sez. R: By=30.0 cm Bz=50.0 cm L=330.0 cm Ln=330.0 cm Criterio: CLS_Pilastrini_ND -
 Verifica a presso-flessione deviata: **Verificato**

Piede	AfSpigolo = 3.14	Afy = 0.00	Afz = 1.54
Testa	AfSpigolo = 3.14	Afy = 0.00	Afz = 1.54

$v_{max}=N/(fcd*A)=0.039 \leq 0.65$ [Comb. (16+17)-I-3(+)]

Zona	C.	N	My	Mz	Mry+	Mrz+	Mry-	Mrz-	CS	ζ_E
		kg	kg*m	kg*m	kg*m	kg*m	kg*m	kg*m		
Piede	(16+17)-I-1(-)	-5904	-3385	2867	12109	7581	12109	7581	2.0	1.9
Testa	(16+17)-I-1(+)	-4666	3304	-2175	11896	7451	11896	7451	2.3	2.2

Verifica a taglio

Dir	C.	MrSup	MrInf	T	Vrdns	Vrcd	Vrsd	Vrd	Ast/m	cot(θ)	Cs	ζ_E
		kg*m	kg*m	kg	kg	kg	kg	kg	cmq/m			
Y	(16+17)-I-1	--	--	1528	--	29145	13645	13645	5.98	2.500	8.9	10
Z	(16+17)-I-1	--	--	2027	--	30814	24182	24182	5.98	2.500	12	12

Verifica incendio: $Teq\gamma Cls(^{\circ})=504$ $Teq\gamma Acc(^{\circ})=523$ Curva:ISO834, $\gamma Cls=1.20$ (Aggregato Calcareo)
 $\gamma Acc=1.00$ (Laminato a caldo),verifica per R120(min)

Zona	C.	N	My	Mz	Mry+	Mrz+	Mry-	Mrz-	CS	ζ_E
		kg	kg*m	kg*m	kg*m	kg*m	kg*m	kg*m		
Piede	51(-)	-7110	-178	478	16583	9125	16583	9125	31	--
Testa	51(+)	-5872	145	-338	16332	8997	16332	8997	40	--

Verifica a taglio

Dir	C.	MrSup	MrInf	T	Vrdns	Vrcd	Vrsd	Vrd	Ast/m	cot(θ)	Cs	ζ_E
		kg*m	kg*m	kg	kg	kg	kg	kg	cmq/m			
Y	51	--	--	247	--	21765	9683	9683	5.98	2.500	39	--
Z	51	--	--	44	--	22967	17160	17160	5.98	2.500	>100	--

Pilastro: 50 [50,76] Sez. R: By=20.0 cm Bz=40.0 cm L=332.1 cm Ln=332.1 cm Criterio: CLS_Pilastrini_ND -
 Verifica a presso-flessione deviata: **Verificato**

Piede	AfSpigolo = 3.14	Afy = 0.00	Afz = 1.54
Testa	AfSpigolo = 3.14	Afy = 0.00	Afz = 1.54

$$v_{max}=N/(f_{cd}*A)=0.042 \leq 0.65 \quad [\text{Comb. (16+17)-II-1(-)}]$$

Zona	C.	N	My	Mz	Mry+	Mrz+	Mry-	Mrz-	CS	ζ_E
		kg	kg*m	kg*m	kg*m	kg*m	kg*m	kg*m		
Piede	(16+17)-II-1(-)	-4833	-1789	-1298	8936	4255	8936	4255	2.5	2.4
Testa	(16+17)-II-1(+)	-4173	1570	1000	8853	4216	8853	4216	3.1	3.2

Verifica a taglio

Dir	C.	MrSup	MrInf	T	Vrdns	Vrcd	Vrsd	Vrd	Ast/m	cot(θ)	Cs	ζ_E
		kg*m	kg*m	kg	kg	kg	kg	kg	cmq/m			
Y	(16+17)-II-2	--	--	779	--	14309	8377	8377	5.98	2.500	11	11
Z	(16+17)-I-1	--	--	1089	--	17389	17389	17389	5.98	2.298	16	29

Verifica incendio: $T_{eqvClS}(^{\circ})=461$ $T_{eqvAcc}(^{\circ})=486$ Curva:ISO834, $\gamma_{ClS}=1.20$ (Aggregato Calcareo)

$\gamma_{Acc}=1.00$ (Laminato a caldo),verifica per R120(min)

Zona	C.	N	My	Mz	Mry+	Mrz+	Mry-	Mrz-	CS	ζ_E
		kg	kg*m	kg*m	kg*m	kg*m	kg*m	kg*m		
Piede	51(-)	-4301	-490	86	12122	4996	12122	4996	27	--
Testa	51(+)	-3641	1055	-106	12026	4958	12026	4958	15	--

Verifica a taglio

Dir	C.	MrSup	MrInf	T	Vrdns	Vrcd	Vrsd	Vrd	Ast/m	cot(θ)	Cs	ζ_E
		kg*m	kg*m	kg	kg	kg	kg	kg	cmq/m			
Y	51	--	--	44	--	11350	6795	6795	5.98	2.500	>100	--
Z	51	--	--	503	--	13857	13857	13857	5.98	2.258	28	--

Pilastro: 51 [51,151] Sez. R: By=50.0 cm Bz=30.0 cm L=360.0 cm Ln=360.0 cm Criterio: CLS_Pilastru_ND - Verifica a presso-flessione deviata: **Verificato**

Piede	AfSpigolo = 3.14	Afy = 1.54	Afz = 0.00
Testa	AfSpigolo = 3.14	Afy = 1.54	Afz = 0.00

$$v_{max}=N/(f_{cd}*A)=0.026 \leq 0.65 \quad [\text{Comb. (16+17)-II-2(-)}]$$

Zona	C.	N	My	Mz	Mry+	Mrz+	Mry-	Mrz-	CS	ζ_E
		kg	kg*m	kg*m	kg*m	kg*m	kg*m	kg*m		
Piede	(16+17)-II-1(-)	-3238	-2012	-4575	7300	11650	7300	11650	1.9	1.8
Testa	(16+17)-II-1(+)	-1888	1825	3466	7156	11415	7156	11415	2.2	2.2

Verifica a taglio

Dir	C.	MrSup	MrInf	T	Vrdns	Vrcd	Vrsd	Vrd	Ast/m	cot(θ)	Cs	ζ_E
		kg*m	kg*m	kg	kg	kg	kg	kg	cmq/m			
Y	(16+17)-II-2	--	--	2340	--	30741	24182	24182	5.98	2.500	10	11
Z	(16+17)-II-1	--	--	1066	--	28788	13645	13645	5.98	2.500	13	14

Verifica incendio: $T_{eqvClS}(^{\circ})=504$ $T_{eqvAcc}(^{\circ})=523$ Curva:ISO834, $\gamma_{ClS}=1.20$ (Aggregato Calcareo)

$\gamma_{Acc}=1.00$ (Laminato a caldo),verifica per R120(min)

Zona	C.	N	My	Mz	Mry+	Mrz+	Mry-	Mrz-	CS	ζ_E
		kg	kg*m	kg*m	kg*m	kg*m	kg*m	kg*m		
Piede	51(-)	-4372	-163	236	8830	16026	8830	16026	59	--
Testa	51(+)	-3022	227	76	8684	15751	8684	15751	68	--

Verifica a taglio

Dir	C.	MrSup	MrInf	T	Vrdns	Vrcd	Vrsd	Vrd	Ast/m	cot(θ)	Cs	ζ_E
		kg*m	kg*m	kg	kg	kg	kg	kg	cmq/m			
Y	51	--	--	53	--	22585	17160	17160	5.98	2.500	>100	--
Z	51	--	--	108	--	21421	9683	9683	5.98	2.500	89	--

Pilastro: 52 [52,152] Sez. R: By=30.0 cm Bz=50.0 cm L=330.0 cm Ln=330.0 cm Criterio: CLS_Pilastru_ND - Verifica a presso-flessione deviata: **Verificato**

Piede	AfSpigolo = 3.14	Afy = 0.00	Afz = 1.54
Testa	AfSpigolo = 3.14	Afy = 0.00	Afz = 1.54

$$v_{max}=N/(fcd*A)=0.039 \leq 0.65 \quad [\text{Comb. (16+17)-I-3(+)}]$$

Zona	C.	N	My	Mz	Mry+	Mrz+	Mry-	Mrz-	CS	ζ_E
		kg	kg*m	kg*m	kg*m	kg*m	kg*m	kg*m		
Piede	(16+17)-I-1(-)	-5293	-3210	2004	12004	7517	12004	7517	2.5	2.2
Testa	(16+17)-I-1(+)	-4056	3281	-1517	11791	7387	11791	7387	2.7	2.4

Verifica a taglio

Dir	C.	MrSup	MrInf	T	Vrdns	Vrcd	Vrsd	Vrd	Ast/m	cot(θ)	Cs	ζ_E
		kg*m	kg*m	kg	kg	kg	kg	kg	cmq/m			
Y	(16+17)-II-2	--	--	1184	--	29078	13645	13645	5.98	2.500	12	12
Z	(16+17)-I-1	--	--	1967	--	30727	24182	24182	5.98	2.500	12	12

Verifica incendio: TeqvCls(°)=504 TeqvAcc(°)=523 Curva:ISO834,γCls=1.20(Aggregato Calcareo)

γAcc=1.00(Laminato a caldo),verifica per R120(min)

Zona	C.	N	My	Mz	Mry+	Mrz+	Mry-	Mrz-	CS	ζ_E
		kg	kg*m	kg*m	kg*m	kg*m	kg*m	kg*m		
Piede	51(-)	-6805	170	157	16521	9097	16521	9097	44	--
Testa	51(+)	-5568	139	-110	16270	8961	16270	8961	55	--

Verifica a taglio

Dir	C.	MrSup	MrInf	T	Vrdns	Vrcd	Vrsd	Vrd	Ast/m	cot(θ)	Cs	ζ_E
		kg*m	kg*m	kg	kg	kg	kg	kg	cmq/m			
Y	51	--	--	72	--	21724	9683	9683	5.98	2.500	>100	--
Z	51	--	--	8	--	22923	17160	17160	5.98	2.500	>100	--

Pilastro: 53 [53,253] Sez. R: By=50.0 cm Bz=30.0 cm L=360.0 cm Ln=360.0 cm Criterio: CLS_Pilastrini_ND - Verifica a presso-flessione deviata: **Verificato**

Piede	AfSpigolo = 3.14	Afy = 1.54	Afz = 0.00
Testa	AfSpigolo = 3.14	Afy = 1.54	Afz = 0.00

$$v_{max}=N/(fcd*A)=0.036 \leq 0.65 \quad [\text{Comb. (16+17)-II-2(-)}]$$

Zona	C.	N	My	Mz	Mry+	Mrz+	Mry-	Mrz-	CS	ζ_E
		kg	kg*m	kg*m	kg*m	kg*m	kg*m	kg*m		
Piede	(16+17)-II-2(-)	-7666	1864	8694	7765	12409	7765	12409	1.3	1.2
Testa	(16+17)-II-2(+)	-6316	-1697	-6819	7624	12179	7624	12179	1.6	1.5

Verifica a taglio

Dir	C.	MrSup	MrInf	T	Vrdns	Vrcd	Vrsd	Vrd	Ast/m	cot(θ)	Cs	ζ_E
		kg*m	kg*m	kg	kg	kg	kg	kg	cmq/m			
Y	(16+17)-II-2	--	--	4309	--	31049	24182	24182	5.98	2.500	5.6	5.7
Z	(16+17)-II-2	--	--	989	--	29200	13645	13645	5.98	2.500	14	16

Verifica incendio: TeqvCls(°)=504 TeqvAcc(°)=523 Curva:ISO834,γCls=1.20(Aggregato Calcareo)

γAcc=1.00(Laminato a caldo),verifica per R120(min)

Zona	C.	N	My	Mz	Mry+	Mrz+	Mry-	Mrz-	CS	ζ_E
		kg	kg*m	kg*m	kg*m	kg*m	kg*m	kg*m		
Piede	51(-)	-6583	162	218	9068	16478	9068	16478	45	--
Testa	51(+)	-5233	-321	131	8924	16201	8924	16201	43	--

Verifica a taglio

Dir	C.	MrSup	MrInf	T	Vrdns	Vrcd	Vrsd	Vrd	Ast/m	cot(θ)	Cs	ζ_E
		kg*m	kg*m	kg	kg	kg	kg	kg	cmq/m			
Y	51	--	--	53	--	22900	17160	17160	5.98	2.500	>100	--
Z	51	--	--	134	--	21536	9683	9683	5.98	2.500	72	--

Pilastro: 54 [54,75] Sez. R: By=20.0 cm Bz=40.0 cm L=332.1 cm Ln=332.1 cm Criterio: CLS_Pilastrini_ND - Verifica a presso-flessione deviata: **Verificato**

Piede	AfSpigolo = 3.14	Afy = 0.00	Afz = 1.54
Testa	AfSpigolo = 3.14	Afy = 0.00	Afz = 1.54

$$v_{max}=N/(f_{cd}*A)=0.045 \leq 0.65 \quad [\text{Comb. (16+17)-II-1(-)}]$$

Zona	C.	N	My	Mz	Mry+	Mrz+	Mry-	Mrz-	CS	ζ _E
		kg	kg*m	kg*m	kg*m	kg*m	kg*m	kg*m		
Piede	(16+17)-II-1(-)	-5101	-1846	-1388	8969	4271	8969	4271	2.4	2.3
Testa	(16+17)-II-1(+)	-4441	1608	1274	8887	4232	8887	4232	2.6	2.9

Verifica a taglio

Dir	C.	MrSup	MrInf	T	Vrdns	Vrcd	Vrsd	Vrd	Ast/m	cot(θ)	Cs	ζ _E
		kg*m	kg*m	kg	kg	kg	kg	kg	cmq/m			
Y	(16+17)-II-1	--	--	802	--	14473	8377	8377	5.98	2.500	10	11
Z	(16+17)-II-1	--	--	1077	--	17414	17414	17414	5.98	2.302	16	28

Verifica incendio: TeqvCls(°)=461 TeqvAcc(°)=486 Curva:ISO834,γCls=1.20(Aggregato Calcareo)

γAcc=1.00(Laminato a caldo),verifica per R120(min)

Zona	C.	N	My	Mz	Mry+	Mrz+	Mry-	Mrz-	CS	ζ _E
		kg	kg*m	kg*m	kg*m	kg*m	kg*m	kg*m		
Piede	51(-)	-4315	-454	-86	12124	4996	12124	4996	28	--
Testa	51(+)	-3655	1003	73	12028	4958	12028	4958	16	--

Verifica a taglio

Dir	C.	MrSup	MrInf	T	Vrdns	Vrcd	Vrsd	Vrd	Ast/m	cot(θ)	Cs	ζ _E
		kg*m	kg*m	kg	kg	kg	kg	kg	cmq/m			
Y	51	--	--	27	--	11352	6795	6795	5.98	2.500	>100	--
Z	51	--	--	476	--	13858	13858	13858	5.98	2.258	29	--

Pilastro: 55 [55,155] Sez. R: By=30.0 cm Bz=50.0 cm L=330.0 cm Ln=330.0 cm Criterio: CLS_Pilastrini_ND - Verifica a presso-flessione deviata: **Verificato**

Piede	AfSpigolo = 3.14	Afy = 0.00	Afz = 1.54
Testa	AfSpigolo = 3.14	Afy = 0.00	Afz = 1.54

$$v_{max}=N/(f_{cd}*A)=0.039 \leq 0.65 \quad [\text{Comb. (16+17)-II-1(-)}]$$

Zona	C.	N	My	Mz	Mry+	Mrz+	Mry-	Mrz-	CS	ζ _E
		kg	kg*m	kg*m	kg*m	kg*m	kg*m	kg*m		
Piede	(16+17)-II-2(-)	-3658	2653	3818	11722	7345	11722	7345	1.6	1.5
Testa	(16+17)-II-2(+)	-2421	-2511	-3189	11508	7213	11508	7213	1.8	1.8

Verifica a taglio

Dir	C.	MrSup	MrInf	T	Vrdns	Vrcd	Vrsd	Vrd	Ast/m	cot(θ)	Cs	ζ _E
		kg*m	kg*m	kg	kg	kg	kg	kg	cmq/m			
Y	(16+17)-II-2	--	--	2123	--	28844	13645	13645	5.98	2.500	6.4	6.6
Z	(16+17)-I-3	--	--	1850	--	31199	24182	24182	5.98	2.500	13	14

Verifica incendio: TeqvCls(°)=504 TeqvAcc(°)=523 Curva:ISO834,γCls=1.20(Aggregato Calcareo)

γAcc=1.00(Laminato a caldo),verifica per R120(min)

Zona	C.	N	My	Mz	Mry+	Mrz+	Mry-	Mrz-	CS	ζ _E
		kg	kg*m	kg*m	kg*m	kg*m	kg*m	kg*m		
Piede	51(-)	-6019	186	137	16362	9011	16362	9011	50	--
Testa	51(+)	-4781	-162	-95	16108	8874	16108	8874	63	--

Verifica a taglio

Dir	C.	MrSup	MrInf	T	Vrdns	Vrcd	Vrsd	Vrd	Ast/m	cot(θ)	Cs	ζ _E
		kg*m	kg*m	kg	kg	kg	kg	kg	cmq/m			

Dir	C.	MrSup	MrInf	T	Vrdns	Vrcd	Vrsd	Vrd	Ast/m	cot(θ)	Cs	ζ _E
Y	51	--	--	65	--	21619	9683	9683	5.98	2.500	>100	--
Z	51	--	--	106	--	22987	17160	17160	5.98	2.500	>100	--

Pilastro: 56 [56,86] Sez. R: By=20.0 cm Bz=40.0 cm L=332.1 cm Ln=332.1 cm Criterio: CLS_Pilastris_ND - Verifica a presso-flessione deviata: **Verificato**

Piede	AfSpigolo = 3.14	Afy = 0.00	Afz = 1.54
Testa	AfSpigolo = 3.14	Afy = 0.00	Afz = 1.54

$$v_{max} = N / (f_{cd} \cdot A) = 0.03 \leq 0.65 \quad [\text{Comb. (16+17)-II-1(-)}]$$

Zona	C.	N	My	Mz	Mry+	Mrz+	Mry-	Mrz-	CS	ζ _E
		kg	kg*m	kg*m	kg*m	kg*m	kg*m	kg*m		
Piede	(16+17)-II-2(-)	-1404	810	1275	8503	4050	8503	4050	2.8	2.6
Testa	(16+17)-II-2(+)	-744	-660	-989	8419	4010	8419	4010	3.5	3.2

Verifica a taglio

Dir	C.	MrSup	MrInf	T	Vrdns	Vrcd	Vrsd	Vrd	Ast/m	cot(θ)	Cs	ζ _E
		kg*m	kg*m	kg	kg	kg	kg	kg	cmq/m			
Y	(16+17)-II-2	--	--	682	--	14098	8377	8377	5.98	2.500	12	12
Z	(16+17)-I-1	--	--	620	--	17230	17230	17230	5.98	2.277	28	31

Verifica incendio: TeqvCls(°)=461 TeqvAcc(°)=486 Curva:ISO834, γCls=1.20(Agregato Calcareo)

γAcc=1.00(Laminato a caldo), verifica per R120(min)

Zona	C.	N	My	Mz	Mry+	Mrz+	Mry-	Mrz-	CS	ζ _E
		kg	kg*m	kg*m	kg*m	kg*m	kg*m	kg*m		
Piede	51(+)	-2397	-21	48	11840	4883	11840	4883	73	--
Testa	51(-)	-1737	63	35	11740	4846	11740	4846	98	--

Verifica a taglio

Dir	C.	MrSup	MrInf	T	Vrdns	Vrcd	Vrsd	Vrd	Ast/m	cot(θ)	Cs	ζ _E
		kg*m	kg*m	kg	kg	kg	kg	kg	cmq/m			
Y	51	--	--	4	--	11197	6795	6795	5.98	2.500	>100	--
Z	51	--	--	58	--	13686	13686	13686	5.98	2.230	>100	--

Verifica delle travi

Scenario di calcolo: **Set_NT_SLV_SLD_A2_STR/GEO_2018**

Simbologia:

Terreno Nome della stratigrafia per travi Winkler
 L [cm] Lunghezza teorica elemento (distanza tra i nodi)
 Ln [cm] Lunghezza netta elemento (tiene conto dei conci rigidi)
 L2,L3 [cm] Lunghezze libere di inflessione
 Sez. R: Sezione Rettangolare
 By[cm]: Larghezza (asse locale y)
 Bz[cm]: Larghezza (asse locale z)
 Sez. T: Sezione a T (rovescia e non)
 Ba[cm]: Larghezza base inferiore
 Ha[cm]: Altezza inferiore
 Bs[cm]: Larghezza superiore
 Hs[cm]: Altezza superiore
 Sez. L: Sezione ad L (rovescia e non)
 Ba[cm]: Larghezza base inferiore
 Ha[cm]: Altezza inferiore
 Bs[cm]: Larghezza superiore
 Hs[cm]: Altezza superiore

Sez. C: Sezione circolare

R[cm]: Raggio

Sez. G: Sezione generica

B[cm]: Larghezza

H[cm]: Altezza

Fatt.Ampl.Sisma Fattore moltiplicativo di gruppo per le azioni sismiche (solo se diverso da 1.0)

X [cm] Punto di verifica

ILN Inizio luce netta

CAMP Punto di massimo momento sia superiore che inferiore ad esclusione degli estremi

FLN Fine luce netta

M- [kg*m] Momento negativo massimo di calcolo⁽¹⁾

N- [kg] Sforzo normale corrispondente ad M-

M+ [kg*m] Momento positivo massimo di calcolo⁽¹⁾

N+ [kg] Sforzo normale corrispondente ad M+

ΔM- [kg*m] Incremento di M- per la traslazione del diagramma del momento a causa del taglio

ΔM+ [kg*m] Incremento di M+ per la traslazione del diagramma del momento a causa del taglio

Afs [cmq] Area di ferro superiore

Afi [cmq] Area di ferro inferiore

εSC- Deformazione nel cls per effetto di M-:N-⁽⁴⁾

εSC+ Deformazione nel cls per effetto di M+:N+⁽⁴⁾

εSF- Deformazione nell'acciaio per effetto di M-:N-⁽⁴⁾

εSF+ Deformazione nell'acciaio per effetto di M+:N+⁽⁴⁾

C- Combinazione di carico generatore di M-:N-

C+ Combinazione di carico generatore di M+:N+

x- [cm] Profondità asse neutro per la combinazione C-⁽⁵⁾

d- [cm] Altezza utile della sezione per la combinazione C-⁽⁶⁾

x+ [cm] Profondità asse neutro per la combinazione C+⁽⁵⁾

d+ [cm] Altezza utile della sezione per la combinazione C+⁽⁶⁾

Mr- [kg*m] Momento resistente superiore

Mr+ [kg*m] Momento resistente inferiore

Stato- Stato della sezione per la combinazione C-⁽⁷⁾

Stato+ Stato della sezione per la combinazione C+⁽⁷⁾

Comb Combinazione di carico: quando Comb non è sismica è individuata dal codice [C], quando è sismica è individuata dal codice [(Cx+Cy) Cm Sc].

- C Individua la Combinazione di Carico non sismica (1, 2, ecc. come da scenario);

- Cx Individua la Combinazione di Carico sismica in direzione x (SismaX, come da scenario);

- Cy Individua la Combinazione di Carico sismica in direzione y (SismaY, come da scenario);

- Cm Individua la Combinazione spostamento masse (I, II, III, IV, V, ecc. come da Combinazioni Sisma in Spostamento masse impalcato);

- Sc Individua la sottocombinazione ottenuta mediante la permutazione dei segni (1, 2, 3, 4, 5, 6, 7, 8):

1) $Sc = + SismaZ*fz + SismaX*fx + SismaY*fy$

2) $Sc = + SismaZ*fz + SismaX*fx - SismaY*fy$

3) $Sc = + SismaZ*fz - SismaX*fx + SismaY*fy$

4) $Sc = + SismaZ*fz - SismaX*fx - SismaY*fy$

5) $Sc = - SismaZ*fz + SismaX*fx + SismaY*fy$

6) $Sc = - SismaZ*fz + SismaX*fx - SismaY*fy$

7) $Sc = - SismaZ*fz - SismaX*fx + SismaY*fy$

8) $Sc = - SismaZ*fz - SismaX*fx - SismaY*fy$

Le ultime quattro sono assenti quando non è richiesto il contributo del sisma in direzione verticale. Le combinazioni delle azioni sismiche così ottenute vengono combinate con i carichi verticali (come da scenario).

Sez Sezione di verifica [Sinistra/Destra]

Td [kg] Taglio di verifica⁽²⁾

VRdns [kg] Resistenza a taglio in assenza di armature

VRcd [kg] Resistenza taglio-compressione calcestruzzo

VRsd [kg] Resistenza taglio-trazione acciaio

VRd [kg] Resistenza a taglio = min(VRcd, VRsd)

VRd,f [kg] Resistenza a taglio dovuta alla resistenza a trazione del calcestruzzo ad alte prestazioni (quando presente)(cfr. eq 4.2 CNR204/2006), oppure resistenza rinforzo del composito (quando presente)(cfr. eq 4.19 CNR200/2013), oppure resistenza rinforzo della camicia in acciaio (quando presente)(cfr. eq C8.7.4.5 Circolare NTC)

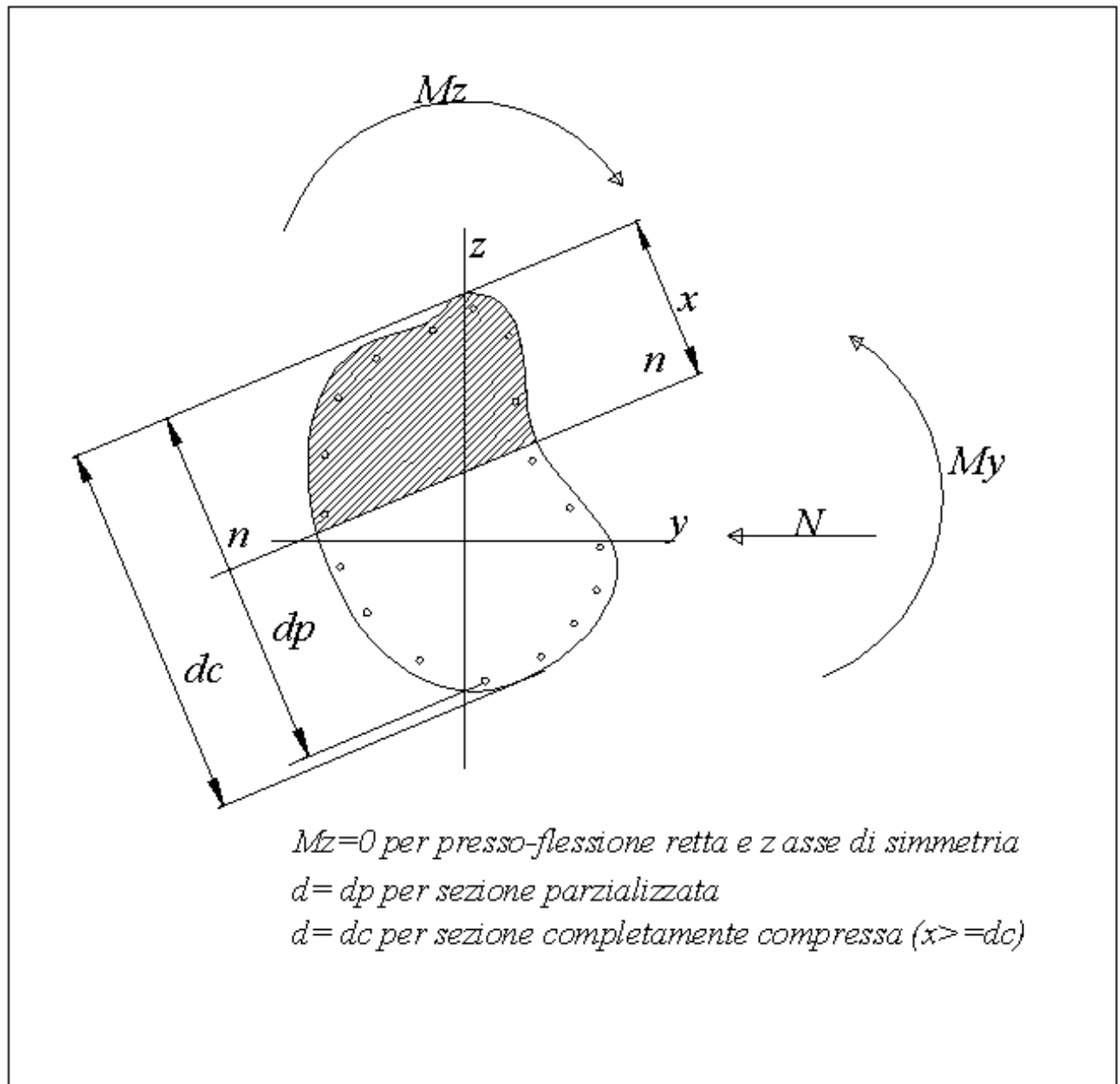
Mt [kg*m]	Momento torcente
Tpl [kg]	Taglio dovuto ai momenti resistenti alle estremità della trave
Mr [kg*m]	Momento resistente (ultimo) utilizzato per il calcolo di Tpl quando richiesto
Dx [cm]	Distanza dall'estremo da armare con staffe
Staffe [cmq]	Area delle staffe
cot(θ)	cot(θ) secondo il punto 4.1.2.3.5 delle Norme Tecniche
F.Par. [cmq]	Area armatura longitudinale di parete ⁽³⁾
Cs	Coefficiente di sicurezza definito dal rapporto Fr/Fd (Fr=resistenza, Fd=azione)
ζ_E	Livello di sicurezza sismico definito come rapporto tra l'accelerazione soportabile e l'accelerazione di progetto, quando richiesto dal criterio di verifica
Simbologia verifica travi collegamento:	
Comb	Combinazione più gravosa
Nsd [kg]	Azione verticale negli elementi collegati, nella combinazione specificata
α	Coefficiente in funzione della classe di terreno (NTC 7.2.5.1)
a/g	Punto di aggancio dello spettro di accelerazione [$a/g=Sa(0)$]
N	Sforzo normale di verifica $N=\alpha*Nsd*a/g$
Af [cmq]	Area di ferro complessiva nella sezione
NRd C [kg]	Resistenza a compressione della sezione
NRd T [kg]	Resistenza a trazione della sezione

Verifiche duttilità (quando richieste):

Zona	Sezione di verifica dell'elemento
Comb.	Combinazione di verifica
Nmax [kg]	Sforzo Normale massimo
Dir	Direzione di flessione (pilastri=Y o Z, travi =Z, pareti= ortogonale alla base)
Mry [kg*m]	Momento di snervamento corrispondente a Nmax
MrU [kg*m]	Momento ultimo (resistente) corrispondente a Nmax sulla sezione depurata del calcestruzzo non confinato, considerando il confinamento
ϕ_y [1/m]	Curvatura allo snervamento ($\phi_y = MrU/Mry * \phi'_y$)
ϕ_u [1/m]	Curvatura allo corrispondente a MrU
μ	Capacità in duttilità della sezione
F.Conf	Fattore di confinamento adottato (= fck,c/fck)
μ_d	Richiesta in duttilità della sezione
Cs	Livello di sicurezza ($Cs=\mu/\mu_d$)

Note Verifica travi:

- (¹) il valore del momento di verifica è dato da $M + \Delta M$
- (²) Td è il valore di verifica a taglio esso è calcolato in funzione della somma tra taglio da carichi verticali il valore di Tpl ovvero quando la trave è tozza amplificando il taglio di calcolo dovuto al sisma per il fattore di comportamento
- (³) armatura necessaria per la sola verifica a torsione
- (⁴) le deformazioni sono stampate a meno del fattore 10^{-3}
- (⁵) distanza tra la fibra di cls compressa più lontana e l'asse neutro in direzione ortogonale all'asse neutro
- (⁶) distanza tra le fibre sollecitate più lontane dall'asse neutro: nel caso di sezione parzializzata le due fibre sono quella di cls compresso e quella dell'acciaio teso più lontane da n-n, mentre nel caso di sezione completamente compressa le due fibre sono le due di cls compresso più lontane da n-n
- (⁷) Indica lo stato della sezione se: completamente compressa (Compr.), completamente tesa (Tesa), parzializzata (Parz.)



Schema geometrico verifica della sezione

Trave: 101 [145,142], Pilastrate [45,42] Sez. R: By=30.0 cm Bz=80.0 cm L=202.0 cm Ln=202.0 cm Criterio : CLS_TraviAlte_ND - Verifica a flessione: **Verificato**

X	M-	M+	ΔM-	ΔM+	Afs	Afi	Mr-	Mr+	C-	C+	CS	ζ _E
cm	kg*m	kg*m	kg*m	kg*m	cmq	cmq	kg*m	kg*m				
ILN	2553	--	--	--	7.70	7.70	21139	21139	2	50	8.3	--
20.2	1979	--	--	--	7.70	7.70	21139	21139	2	50	11	--
CAMP	2091	2650	--	--	7.70	7.70	21139	21139	(16+17)-I-3	(16+17)-I-1	8.0	8.8
181.8	2384	3047	--	--	7.70	7.70	21139	21139	(16+17)-I-3	(16+17)-I-1	6.9	7.7
FLN	2719	3403	--	--	7.70	7.70	21139	21139	(16+17)-I-3	(16+17)-I-1	6.2	6.8

X	x-	d-	x-/d-	x+	d+	x+/d+	Mr-	Mr+	C-	C+	Stato-	Stato+
cm	cm	cm		cm	cm		kg*m	kg*m				
ILN	18.3	75.9	0.241	--	--	--	21139	21139	2	50	Parz.	--
20.2	18.3	75.9	0.241	--	--	--	21139	21139	2	50	Parz.	--
CAMP	18.3	75.9	0.241	18.3	75.9	0.241	21139	21139	(16+17)-I-3	(16+17)-I-1	Parz.	Parz.
181.8	18.3	75.9	0.241	18.3	75.9	0.241	21139	21139	(16+17)-I-3	(16+17)-I-1	Parz.	Parz.
FLN	18.3	75.9	0.241	18.3	75.9	0.242	21139	21139	(16+17)-I-3	(16+17)-I-1	Parz.	Parz.

Verifica a taglio: $\cot(\theta) = 2.093$ Comb: (16+17)-I-1

Sez	Td	VRdhs	VRcd	VRsd	VRd	Tpl	Mr	Dx	Staffe	CS	ζ _E
	kg	kg	kg	kg	kg	kg	kg*m	cm	cmq/m		
Sin	3695	--	56240	56240	56240	0	21139	202.0	10.05	15	32
Des							21139				

Verifica incendio: TeqvCls(°)=328 TeqvAcc(°)=429 Curva:ISO834, γCls=1.20(Agregato Calcareo)
γAcc=1.00(Laminato a caldo), verifica per R120(min)

X	M-	M+	ΔM-	ΔM+	Afs	Afi	Mr-	Mr+	C-	C+	CS	ζ _E
cm	kg*m	kg*m	kg*m	kg*m	cmq	cmq	kg*m	kg*m				
ILN	1611	--	--	--	7.70	7.70	25310	24351	51	51	16	--
20.2	1232	--	--	--	7.70	7.70	25310	24351	51	51	21	--
CAMP	893	--	--	--	7.70	7.70	25310	24351	51	51	28	--
181.8	--	331	--	--	7.70	7.70	25310	24351	51	51	74	--
FLN	--	342	--	--	7.70	7.70	25310	24351	51	51	71	--

X	x-	d-	x-/d-	x+	d+	x+/d+	Mr-	Mr+	C-	C+	Stato-	Stato+
cm	cm	cm		cm	cm		kg*m	kg*m				
ILN	27.0	80.7	0.334	--	--	--	25310	24351	51	51	Parz.	--
20.2	27.0	80.7	0.334	--	--	--	25310	24351	51	51	Parz.	--
CAMP	27.0	80.7	0.334	--	--	--	25310	24351	51	51	Parz.	--
181.8	--	--	--	20.0	79.1	0.253	25310	24351	51	51	--	Parz.
FLN	--	--	--	20.0	79.1	0.253	25310	24351	51	51	--	Parz.

Verifica a taglio: $\cot(\theta) = 2.034$ Comb: 51

Sez	Td	VRdhs	VRcd	VRsd	VRd	Tpl	Mr	Dx	Staffe	CS	ζ _E
	kg	kg	kg	kg	kg	kg	kg*m	cm	cmq/m		
Sin	1980	--	51129	51129	51129	0	24351	202.0	10.05	26	--
Des							25310				

Trave: 101 [0,145], Pilastrate [--,45] Sez. R: By=30.0 cm Bz=80.0 cm L=100.4 cm Ln=100.4 cm Criterio : CLS_TraviAlte_ND - Verifica a flessione: **Verificato**

X	M-	M+	ΔM-	ΔM+	Afs	Afi	Mr-	Mr+	C-	C+	CS	ζ _E
cm	kg*m	kg*m	kg*m	kg*m	cmq	cmq	kg*m	kg*m				
ILN	769	1490	--	--	7.70	7.70	21139	21139	(16+17)-I-3	(16+17)-I-1	14	18
10.0	990	1420	--	--	7.70	7.70	21139	21139	(16+17)-I-3	(16+17)-I-1	15	17
CAMP	2819	1340	--	--	7.70	7.70	21139	21139	(16+17)-I-3	(16+17)-I-1	7.5	12

X	M-	M+	ΔM-	ΔM+	Afs	Afi	Mr-	Mr+	C-	C+	CS	ζ _E
90.4	3120	496	--	--	7.70	7.70	21139	21139	(16+17)-I-3	(16+17)-I-1	6.8	11
FLN	3432	335	--	--	7.70	7.70	21139	21139	(16+17)-I-3	(16+17)-I-1	6.2	10

X	x-	d-	x-/d-	x+	d+	x+/d+	Mr-	Mr+	C-	C+	Stato-	Stato+
cm	cm	cm		cm	cm		kg*m	kg*m				
ILN	18.3	75.9	0.241	18.3	75.9	0.241	21139	21139	(16+17)-I-3	(16+17)-I-1	Parz.	Parz.
10.0	18.3	75.9	0.241	18.3	75.9	0.241	21139	21139	(16+17)-I-3	(16+17)-I-1	Parz.	Parz.
CAMP	18.3	75.9	0.241	18.3	75.9	0.241	21139	21139	(16+17)-I-3	(16+17)-I-1	Parz.	Parz.
90.4	18.3	75.9	0.241	18.2	75.9	0.240	21139	21139	(16+17)-I-3	(16+17)-I-1	Parz.	Parz.
FLN	18.3	75.9	0.242	18.2	75.9	0.240	21139	21139	(16+17)-I-3	(16+17)-I-1	Parz.	Parz.

Verifica a taglio: $\cot(\theta) = 2.017$ Comb: 3

Sez	Td	VRdhs	VRcd	VRsd	VRd	Tpl	Mr	Dx	Staffe	CS	ζ _E
	kg	kg	kg	kg	kg	kg	kg*m	cm	cmq/m		
Sin	3981	--	57533	57533	57533	0	21139	100.4	10.67	14	--
Des							21139				

Verifica incendio: $T_{eqvClS}(^{\circ}) = 328$ $T_{eqvAcc}(^{\circ}) = 429$ Curva: ISO834, $\gamma_{ClS} = 1.20$ (Aggregato Calcareo)
 $\gamma_{Acc} = 1.00$ (Laminato a caldo), verifica per R120(min)

X	M-	M+	ΔM-	ΔM+	Afs	Afi	Mr-	Mr+	C-	C+	CS	ζ _E
cm	kg*m	kg*m	kg*m	kg*m	cmq	cmq	kg*m	kg*m				
ILN	--	360	--	--	7.70	7.70	25310	24351	51	51	68	--
10.0	--	215	--	--	7.70	7.70	25310	24351	51	51	>100	--
CAMP	1086	--	--	--	7.70	7.70	25310	24351	51	51	23	--
90.4	1312	--	--	--	7.70	7.70	25310	24351	51	51	19	--
FLN	1549	--	--	--	7.70	7.70	25310	24351	51	51	16	--

X	x-	d-	x-/d-	x+	d+	x+/d+	Mr-	Mr+	C-	C+	Stato-	Stato+
cm	cm	cm		cm	cm		kg*m	kg*m				
ILN	--	--	--	20.0	79.1	0.253	25310	24351	51	51	--	Parz.
10.0	--	--	--	20.0	79.1	0.253	25310	24351	51	51	--	Parz.
CAMP	27.0	80.7	0.334	--	--	--	25310	24351	51	51	Parz.	--
90.4	27.0	80.7	0.334	--	--	--	25310	24351	51	51	Parz.	--
FLN	27.0	80.7	0.334	--	--	--	25310	24351	51	51	Parz.	--

Verifica a taglio: $\cot(\theta) = 1.960$ Comb: 51

Sez	Td	VRdhs	VRcd	VRsd	VRd	Tpl	Mr	Dx	Staffe	CS	ζ _E
	kg	kg	kg	kg	kg	kg	kg*m	cm	cmq/m		
Sin	2405	--	52283	52283	52283	0	24351	100.4	10.67	22	--
Des							25310				

Trave: 101 [0,0], Pilastrate [--,--] Sez. R: By=30.0 cm Bz=80.0 cm L=100.4 cm Ln=100.4 cm Criterio :
 CLS_TraviAlte_ND - Verifica a flessione: **Verificato**

X	M-	M+	ΔM-	ΔM+	Afs	Afi	Mr-	Mr+	C-	C+	CS	ζ _E
cm	kg*m	kg*m	kg*m	kg*m	cmq	cmq	kg*m	kg*m				
ILN	--	2044	--	--	7.70	7.70	21139	21139	50	2	10	--
10.0	--	1973	--	--	7.70	7.70	21139	21139	50	2	11	--
CAMP	--	1887	--	--	7.70	7.70	21139	21139	50	2	11	--
90.4	637	1618	--	--	7.70	7.70	21139	21139	(16+17)-I-3	(16+17)-I-1	13	18
FLN	837	1564	--	--	7.70	7.70	21139	21139	(16+17)-I-3	(16+17)-I-1	14	17

X	x-	d-	x-/d-	x+	d+	x+/d+	Mr-	Mr+	C-	C+	Stato-	Stato+
cm	cm	cm		cm	cm		kg*m	kg*m				

X	x-	d-	x-/d-	x+	d+	x+/d+	Mr-	Mr+	C-	C+	Stato-	Stato+
ILN	--	--	--	18.3	75.9	0.241	21139	21139	50	2	--	Parz.
10.0	--	--	--	18.3	75.9	0.241	21139	21139	50	2	--	Parz.
CAMP	--	--	--	18.3	75.9	0.241	21139	21139	50	2	--	Parz.
90.4	18.3	75.9	0.240	18.3	75.9	0.241	21139	21139	(16+17)-I-3	(16+17)-I-1	Parz.	Parz.
FLN	18.3	75.9	0.241	18.3	75.9	0.241	21139	21139	(16+17)-I-3	(16+17)-I-1	Parz.	Parz.

Verifica a taglio: $\cot(\theta) = 2.093$ Comb: 3

Sez	Td	VRdns	VRcd	VRsd	VRd	Tpl	Mr	Dx	Staffe	CS	ζ_E
	kg	kg	kg	kg	kg	kg	kg*m	cm	cmq/m		
Sin	2122	--	56240	56240	56240	0	21139	100.4	10.05	27	--
Des							21139				

Verifica incendio: $T_{eqvClS}(^{\circ}) = 328$ $T_{eqvAcc}(^{\circ}) = 429$ Curva: ISO834, $\gamma_{ClS} = 1.20$ (Aggregato Calcareo)
 $\gamma_{Acc} = 1.00$ (Laminato a caldo), verifica per R120(min)

X	M-	M+	$\Delta M-$	$\Delta M+$	Afs	Afi	Mr-	Mr+	C-	C+	CS	ζ_E
cm	kg*m	kg*m	kg*m	kg*m	cmq	cmq	kg*m	kg*m				
ILN	--	1177	--	--	7.70	7.70	25310	24351	51	51	21	--
10.0	--	1141	--	--	7.70	7.70	25310	24351	51	51	21	--
CAMP	--	1095	--	--	7.70	7.70	25310	24351	51	51	22	--
90.4	--	491	--	--	7.70	7.70	25310	24351	51	51	50	--
FLN	--	364	--	--	7.70	7.70	25310	24351	51	51	67	--

X	x-	d-	x-/d-	x+	d+	x+/d+	Mr-	Mr+	C-	C+	Stato-	Stato+
cm	cm	cm		cm	cm		kg*m	kg*m				
ILN	--	--	--	20.0	79.1	0.253	25310	24351	51	51	--	Parz.
10.0	--	--	--	20.0	79.1	0.253	25310	24351	51	51	--	Parz.
CAMP	--	--	--	20.0	79.1	0.253	25310	24351	51	51	--	Parz.
90.4	--	--	--	20.0	79.1	0.253	25310	24351	51	51	--	Parz.
FLN	--	--	--	20.0	79.1	0.253	25310	24351	51	51	--	Parz.

Verifica a taglio: $\cot(\theta) = 2.034$ Comb: 51

Sez	Td	VRdns	VRcd	VRsd	VRd	Tpl	Mr	Dx	Staffe	CS	ζ_E
	kg	kg	kg	kg	kg	kg	kg*m	cm	cmq/m		
Sin	1314	--	51129	51129	51129	0	24351	100.4	10.05	39	--
Des							25310				

Trave: 101 [0,0], Pilastrate [--,--] Sez. R: $B_y = 30.0$ cm $B_z = 80.0$ cm $L = 100.4$ cm $L_n = 100.4$ cm Criterio :
 CLS_TraviAlte_ND - Verifica a flessione: **Verificato**

X	M-	M+	$\Delta M-$	$\Delta M+$	Afs	Afi	Mr-	Mr+	C-	C+	CS	ζ_E
cm	kg*m	kg*m	kg*m	kg*m	cmq	cmq	kg*m	kg*m				
ILN	--	1581	--	--	7.70	15.3 ₉	21380	40973	50	2	26	--
10.0	--	1695	--	--	7.70	15.3 ₉	21380	40973	50	2	24	--
CAMP	--	2078	--	--	7.70	15.3 ₉	21380	40973	50	2	20	--
90.4	--	2073	--	--	7.70	7.70	21139	21139	50	2	10	--
FLN	--	2053	--	--	7.70	7.70	21139	21139	50	2	10	--

X	x-	d-	x-/d-	x+	d+	x+/d+	Mr-	Mr+	C-	C+	Stato-	Stato+
cm	cm	cm		cm	cm		kg*m	kg*m				
ILN	--	--	--	25.0	75.9	0.329	21380	40973	50	2	--	Parz.
10.0	--	--	--	25.0	75.9	0.329	21380	40973	50	2	--	Parz.
CAMP	--	--	--	25.0	75.9	0.329	21380	40973	50	2	--	Parz.
90.4	--	--	--	18.3	75.9	0.241	21139	21139	50	2	--	Parz.

X	x-	d-	x-/d-	x+	d+	x+/d+	Mr-	Mr+	C-	C+	Stato-	Stato+
FLN	--	--	--	18.3	75.9	0.241	21139	21139	50	2	--	Parz.

Verifica a taglio: $\cot(\theta) = 2.093$ Comb: (16+17)-I-1

Sez	Td	VRdhs	VRcd	VRsd	VRd	Tpl	Mr	Dx	Staffe	CS	ζ_E
	kg	kg	kg	kg	kg	kg	kg*m	cm	cmq/m		
Sin	1481	--	56240	56240	56240	0	40973	100.4	10.05	38	79
Des							21139				

Verifica incendio: $T_{eqvClS}(^{\circ}) = 328$ $T_{eqvAcc}(^{\circ}) = 429$ Curva: ISO834, $\gamma_{ClS} = 1.20$ (Aggregato Calcareo)
 $\gamma_{Acc} = 1.00$ (Laminato a caldo), verifica per R120(min)

X	M-	M+	$\Delta M-$	$\Delta M+$	Afs	Afi	Mr-	Mr+	C-	C+	CS	ζ_E
cm	kg*m	kg*m	kg*m	kg*m	cmq	cmq	kg*m	kg*m				
ILN	--	901	--	--	7.70	15.3 ₉	25304	49184	51	51	55	--
10.0	--	975	--	--	7.70	15.3 ₉	25304	49184	51	51	50	--
CAMP	--	1205	--	--	7.70	15.3 ₉	25304	49184	51	51	41	--
90.4	--	1197	--	--	7.70	7.70	25310	24351	51	51	20	--
FLN	--	1180	--	--	7.70	7.70	25310	24351	51	51	21	--

X	x-	d-	x-/d-	x+	d+	x+/d+	Mr-	Mr+	C-	C+	Stato-	Stato+
cm	cm	cm		cm	cm		kg*m	kg*m				
ILN	--	--	--	26.8	78.9	0.340	25304	49184	51	51	--	Parz.
10.0	--	--	--	26.8	78.9	0.340	25304	49184	51	51	--	Parz.
CAMP	--	--	--	26.8	78.9	0.340	25304	49184	51	51	--	Parz.
90.4	--	--	--	20.0	79.1	0.253	25310	24351	51	51	--	Parz.
FLN	--	--	--	20.0	79.1	0.253	25310	24351	51	51	--	Parz.

Verifica a taglio: $\cot(\theta) = 2.034$ Comb: 51

Sez	Td	VRdhs	VRcd	VRsd	VRd	Tpl	Mr	Dx	Staffe	CS	ζ_E
	kg	kg	kg	kg	kg	kg	kg*m	cm	cmq/m		
Sin	780	--	51129	51129	51129	0	49184	100.4	10.05	66	--
Des							25310				

Trave: 101 [0,0], Pilastrate [--,--] Sez. R: $B_y = 30.0$ cm $B_z = 80.0$ cm $L = 100.4$ cm $L_n = 100.4$ cm Criterio :
 CLS_TraviAlte_ND - Verifica a flessione: **Verificato**

X	M-	M+	$\Delta M-$	$\Delta M+$	Afs	Afi	Mr-	Mr+	C-	C+	CS	ζ_E
cm	kg*m	kg*m	kg*m	kg*m	cmq	cmq	kg*m	kg*m				
ILN	1221	300	--	--	7.70	7.70	21139	21139	(16+17)-I-1	(16+17)-I-3	17	27
10.0	972	415	--	--	7.70	7.70	21139	21139	(16+17)-I-1	(16+17)-I-3	22	30
CAMP	734	1244	--	--	9.24	15.3 ₉	25530	41173	(16+17)-I-1		2	33
90.4	--	1423	--	--	9.24	15.3 ₉	25530	41173	50		2	29
FLN	--	1586	--	--	9.24	15.3 ₉	25530	41173	50		2	26

X	x-	d-	x-/d-	x+	d+	x+/d+	Mr-	Mr+	C-	C+	Stato-	Stato+
cm	cm	cm		cm	cm		kg*m	kg*m				
ILN	18.3	75.9	0.241	18.2	75.9	0.240	21139	21139	(16+17)-I-1	(16+17)-I-3	Parz.	Parz.
10.0	18.3	75.9	0.241	18.2	75.9	0.240	21139	21139	(16+17)-I-1	(16+17)-I-3	Parz.	Parz.
CAMP	17.9	75.9	0.236	24.5	75.9	0.323	25530	41173	(16+17)-I-1	2	Parz.	Parz.
90.4	--	--	--	24.5	75.9	0.323	25530	41173	50	2	--	Parz.
FLN	--	--	--	24.5	75.9	0.323	25530	41173	50	2	--	Parz.

Verifica a taglio: $\cot(\theta) = 2.093$ Comb: 3

Sez	Td	VRdns	VRcd	VRsd	VRd	Tpl	Mr	Dx	Staffe	CS	ζ_E
	kg	kg	kg	kg	kg	kg	kg*m	cm	cmq/m		
Sin	3038	--	56240	56240	56240	0	21139	100.4	10.05	19	--
Des							41173				

Verifica incendio: $T_{eqvClS}(^{\circ}) = 328$ $T_{eqvAcc}(^{\circ}) = 430$ Curva: ISO834, $\gamma_{ClS} = 1.20$ (Aggregato Calcareo)
 $\gamma_{Acc} = 1.00$ (Laminato a caldo), verifica per R120(min)

X	M-	M+	$\Delta M-$	$\Delta M+$	Afs	Afi	Mr-	Mr+	C-	C+	CS	ζ_E
cm	kg*m	kg*m	kg*m	kg*m	cmq	cmq	kg*m	kg*m				
ILN	461	--	--	--	7.70	7.70	25310	24351	51	51	55	--
10.0	279	--	--	--	7.70	7.70	25310	24351	51	51	91	--
CAMP	--	711	--	--	9.24	15.3 9	30277	49217	51	51	69	--
90.4	--	812	--	--	9.24	15.3 9	30277	49217	51	51	61	--
FLN	--	903	--	--	9.24	15.3 9	30277	49217	51	51	54	--

X	x-	d-	x-/d-	x+	d+	x+/d+	Mr-	Mr+	C-	C+	Stato-	Stato+
cm	cm	cm		cm	cm		kg*m	kg*m				
ILN	27.0	80.7	0.334	--	--	--	25310	24351	51	51	Parz.	--
10.0	27.0	80.7	0.334	--	--	--	25310	24351	51	51	Parz.	--
CAMP	--	--	--	26.4	78.9	0.334	30277	49217	51	51	--	Parz.
90.4	--	--	--	26.4	78.9	0.334	30277	49217	51	51	--	Parz.
FLN	--	--	--	26.4	78.9	0.334	30277	49217	51	51	--	Parz.

Verifica a taglio: $\cot(\theta) = 2.036$ Comb: 51

Sez	Td	VRdns	VRcd	VRsd	VRd	Tpl	Mr	Dx	Staffe	CS	ζ_E
	kg	kg	kg	kg	kg	kg	kg*m	cm	cmq/m		
Sin	1861	--	51103	51103	51103	0	25310	100.4	10.05	27	--
Des							49217				

Trave: 101 [149,0], Pilastrate [49,--] Sez. R: $B_y = 30.0$ cm $B_z = 80.0$ cm $L = 100.4$ cm $L_n = 100.4$ cm Criterio :
 CLS_TraviAlte_ND - Verifica a flessione: **Verificato**

X	M-	M+	$\Delta M-$	$\Delta M+$	Afs	Afi	Mr-	Mr+	C-	C+	CS	ζ_E
cm	kg*m	kg*m	kg*m	kg*m	cmq	cmq	kg*m	kg*m				
ILN	4840	--	--	--	7.70	7.70	21139	21139	2	50	4.4	--
10.0	4361	--	--	--	7.70	7.70	21139	21139	2	50	4.8	--
CAMP	3896	--	--	--	7.70	7.70	21139	21139	2	50	5.4	--
90.4	1406	89	--	--	7.70	7.70	21139	21139	(16+17)-I-1	(16+17)-I-3	15	27
FLN	1146	227	--	--	7.70	7.70	21139	21139	(16+17)-I-1	(16+17)-I-3	18	30

X	x-	d-	x-/d-	x+	d+	x+/d+	Mr-	Mr+	C-	C+	Stato-	Stato+
cm	cm	cm		cm	cm		kg*m	kg*m				
ILN	18.4	75.9	0.242	--	--	--	21139	21139	2	50	Parz.	--
10.0	18.4	75.9	0.242	--	--	--	21139	21139	2	50	Parz.	--
CAMP	18.4	75.9	0.242	--	--	--	21139	21139	2	50	Parz.	--
90.4	18.3	75.9	0.241	18.2	75.9	0.240	21139	21139	(16+17)-I-1	(16+17)-I-3	Parz.	Parz.
FLN	18.3	75.9	0.241	18.2	75.9	0.240	21139	21139	(16+17)-I-1	(16+17)-I-3	Parz.	Parz.

Verifica a taglio: $\cot(\theta) = 2.017$ Comb: 3

Sez	Td	VRdns	VRcd	VRsd	VRd	Tpl	Mr	Dx	Staffe	CS	ζ_E
	kg	kg	kg	kg	kg	kg	kg*m	cm	cmq/m		
Sin	4847	--	57533	57533	57533	0	21139	100.4	10.67	12	--

Sez	Td	VRdhs	VRcd	VRsd	VRd	Tpl	Mr	Dx	Staffe	CS	ζ_E
Des							21139				

Verifica incendio: $T_{eqvClis}(^{\circ})=328$ $T_{eqvAcc}(^{\circ})=429$ Curva:ISO834, $\gamma_{Clis}=1.20$ (Aggregato Calcareo)
 $\gamma_{Acc}=1.00$ (Laminato a caldo),verifica per R120(min)

X	M-	M+	$\Delta M-$	$\Delta M+$	Afs	Afi	Mr-	Mr+	C-	C+	CS	ζ_E
cm	kg*m	kg*m	kg*m	kg*m	cmq	cmq	kg*m	kg*m				
ILN	2903	--	--	--	7.70	7.70	25310	24351	51	51	8.7	--
10.0	2613	--	--	--	7.70	7.70	25310	24351	51	51	9.7	--
CAMP	2333	--	--	--	7.70	7.70	25310	24351	51	51	11	--
90.4	658	--	--	--	7.70	7.70	25310	24351	51	51	38	--
FLN	459	--	--	--	7.70	7.70	25310	24351	51	51	55	--

X	x-	d-	x-/d-	x+	d+	x+/d+	Mr-	Mr+	C-	C+	Stato-	Stato+
cm	cm	cm		cm	cm		kg*m	kg*m				
ILN	27.0	80.7	0.334	--	--	--	25310	24351	51	51	Parz.	--
10.0	27.0	80.7	0.334	--	--	--	25310	24351	51	51	Parz.	--
CAMP	27.0	80.7	0.334	--	--	--	25310	24351	51	51	Parz.	--
90.4	27.0	80.7	0.334	--	--	--	25310	24351	51	51	Parz.	--
FLN	27.0	80.7	0.334	--	--	--	25310	24351	51	51	Parz.	--

Verifica a taglio: $\cot(\theta) = 1.960$ Comb: 51

Sez	Td	VRdhs	VRcd	VRsd	VRd	Tpl	Mr	Dx	Staffe	CS	ζ_E
	kg	kg	kg	kg	kg	kg	kg*m	cm	cmq/m		
Sin	2936	--	52283	52283	52283	0	24351	100.4	10.67	18	--
Des							25310				

Trave: 101 [0,149], Pilastrate [--,49] Sez. R: $B_y=30.0$ cm $B_z=80.0$ cm $L=111.4$ cm $L_n=111.4$ cm Criterio :
 CLS_TraviAlte_ND - Verifica a flessione: **Verificato**

X	M-	M+	$\Delta M-$	$\Delta M+$	Afs	Afi	Mr-	Mr+	C-	C+	CS	ζ_E
cm	kg*m	kg*m	kg*m	kg*m	cmq	cmq	kg*m	kg*m				
ILN	833	575	--	--	7.70	7.70	21139	21139	(16+17)-I-3	(16+17)-I-1	25	30
11.1	1117	423	--	--	7.70	7.70	21139	21139	(16+17)-I-3	(16+17)-I-1	19	27
CAMP	3813	--	--	--	7.70	7.70	21139	21139	2	50	5.5	--
100.3	4344	--	--	--	7.70	7.70	21139	21139	2	50	4.9	--
FLN	4894	--	--	--	7.70	7.70	21139	21139	2	50	4.3	--

X	x-	d-	x-/d-	x+	d+	x+/d+	Mr-	Mr+	C-	C+	Stato-	Stato+
cm	cm	cm		cm	cm		kg*m	kg*m				
ILN	18.3	75.9	0.241	18.3	75.9	0.240	21139	21139	(16+17)-I-3	(16+17)-I-1	Parz.	Parz.
11.1	18.3	75.9	0.241	18.2	75.9	0.240	21139	21139	(16+17)-I-3	(16+17)-I-1	Parz.	Parz.
CAMP	18.3	75.9	0.242	--	--	--	21139	21139	2	50	Parz.	--
100.3	18.4	75.9	0.242	--	--	--	21139	21139	2	50	Parz.	--
FLN	18.4	75.9	0.242	--	--	--	21139	21139	2	50	Parz.	--

Verifica a taglio: $\cot(\theta) = 2.041$ Comb: 3

Sez	Td	VRdhs	VRcd	VRsd	VRd	Tpl	Mr	Dx	Staffe	CS	ζ_E
	kg	kg	kg	kg	kg	kg	kg*m	cm	cmq/m		
Sin	5015	--	57132	57132	57132	0	21139	111.4	10.47	11	--
Des							21139				

Verifica incendio: $T_{eqvClis}(^{\circ})=328$ $T_{eqvAcc}(^{\circ})=429$ Curva:ISO834, $\gamma_{Clis}=1.20$ (Aggregato Calcareo)
 $\gamma_{Acc}=1.00$ (Laminato a caldo),verifica per R120(min)

X	M-	M+	$\Delta M-$	$\Delta M+$	Afs	Afi	Mr-	Mr+	C-	C+	CS	ζ_E
cm	kg*m	kg*m	kg*m	kg*m	cmq	cmq	kg*m	kg*m				
ILN	129	--	--	--	7.70	7.70	25310	24351	51	51	>100	--

X	M-	M+	ΔM-	ΔM+	Afs	Afi	Mr-	Mr+	C-	C+	CS	ζ _E
11.1	347	--	--	--	7.70	7.70	25310	24351	51	51	73	--
CAMP	2220	--	--	--	7.70	7.70	25310	24351	51	51	11	--
100.3	2537	--	--	--	7.70	7.70	25310	24351	51	51	10.0	--
FLN	2867	--	--	--	7.70	7.70	25310	24351	51	51	8.8	--

X	x-	d-	x-/d-	x+	d+	x+/d+	Mr-	Mr+	C-	C+	Stato-	Stato+
cm	cm	cm		cm	cm		kg*m	kg*m				
ILN	27.0	80.7	0.334	--	--	--	25310	24351	51	51	Parz.	--
11.1	27.0	80.7	0.334	--	--	--	25310	24351	51	51	Parz.	--
CAMP	27.0	80.7	0.334	--	--	--	25310	24351	51	51	Parz.	--
100.3	27.0	80.7	0.334	--	--	--	25310	24351	51	51	Parz.	--
FLN	27.0	80.7	0.334	--	--	--	25310	24351	51	51	Parz.	--

Verifica a taglio: $\cot(\theta) = 1.983$ Comb: 51

Sez	Td	VRdhs	VRcd	VRsd	VRd	Tpl	Mr	Dx	Staffe	CS	ζ _E
	kg	kg	kg	kg	kg	kg	kg*m	cm	cmq/m		
Sin	3016	--	51925	51925	51925	0	24351	111.4	10.47	17	--
Des							25310				

Trave: 101 [0,0], Pilastrate [--,--] Sez. R: By=30.0 cm Bz=80.0 cm L=111.4 cm Ln=111.4 cm Criterio :
CLS_TraviAlte_ND - Verifica a flessione: **Verificato**

X	M-	M+	ΔM-	ΔM+	Afs	Afi	Mr-	Mr+	C-	C+	CS	ζ _E
cm	kg*m	kg*m	kg*m	kg*m	cmq	cmq	kg*m	kg*m				
ILN	--	2202	--	--	7.70	7.70	21139	21139	50	2	9.6	--
11.1	--	2042	--	--	7.70	7.70	21139	21139	50	2	10	--
CAMP	--	1864	--	--	7.70	7.70	21139	21139	50	2	11	--
100.3	659	796	--	--	7.70	7.70	21139	21139	(16+17)-I-3	(16+17)-I-1	27	29
FLN	918	662	--	--	7.70	7.70	21139	21139	(16+17)-I-3	(16+17)-I-1	23	27

X	x-	d-	x-/d-	x+	d+	x+/d+	Mr-	Mr+	C-	C+	Stato-	Stato+
cm	cm	cm		cm	cm		kg*m	kg*m				
ILN	--	--	--	18.3	75.9	0.241	21139	21139	50	2	--	Parz.
11.1	--	--	--	18.3	75.9	0.241	21139	21139	50	2	--	Parz.
CAMP	--	--	--	18.3	75.9	0.241	21139	21139	50	2	--	Parz.
100.3	18.3	75.9	0.240	18.3	75.9	0.241	21139	21139	(16+17)-I-3	(16+17)-I-1	Parz.	Parz.
FLN	18.3	75.9	0.241	18.3	75.9	0.240	21139	21139	(16+17)-I-3	(16+17)-I-1	Parz.	Parz.

Verifica a taglio: $\cot(\theta) = 2.093$ Comb: 3

Sez	Td	VRdhs	VRcd	VRsd	VRd	Tpl	Mr	Dx	Staffe	CS	ζ _E
	kg	kg	kg	kg	kg	kg	kg*m	cm	cmq/m		
Sin	3005	--	56240	56240	56240	0	21139	111.4	10.05	19	--
Des							21139				

Verifica incendio: $T_{eqvClis}(^{\circ}) = 328$ $T_{eqvAcc}(^{\circ}) = 429$ Curva: ISO834, $\gamma_{Clis} = 1.20$ (Aggregato Calcareo)
 $\gamma_{Acc} = 1.00$ (Laminato a caldo), verifica per R120(min)

X	M-	M+	ΔM-	ΔM+	Afs	Afi	Mr-	Mr+	C-	C+	CS	ζ _E
cm	kg*m	kg*m	kg*m	kg*m	cmq	cmq	kg*m	kg*m				
ILN	--	1277	--	--	7.70	7.70	25310	24351	51	51	19	--
11.1	--	1192	--	--	7.70	7.70	25310	24351	51	51	20	--
CAMP	--	1095	--	--	7.70	7.70	25310	24351	51	51	22	--
100.3	--	69	--	--	7.70	7.70	25310	24351	51	51	>100	--
FLN	128	--	--	--	7.70	7.70	25310	24351	51	51	>100	--

X	x-	d-	x-/d-	x+	d+	x+/d+	Mr-	Mr+	C-	C+	Stato-	Stato+
cm	cm	cm		cm	cm		kg*m	kg*m				
ILN	--	--	--	20.0	79.1	0.253	25310	24351	51	51	--	Parz.
11.1	--	--	--	20.0	79.1	0.253	25310	24351	51	51	--	Parz.
CAMP	--	--	--	20.0	79.1	0.253	25310	24351	51	51	--	Parz.
100.3	--	--	--	20.0	79.1	0.253	25310	24351	51	51	--	Parz.
FLN	27.0	80.7	0.334	--	--	--	25310	24351	51	51	Parz.	--

Verifica a taglio: $\cot(\theta) = 2.034$ Comb: 51

Sez	Td	VRdns	VRcd	VRsd	VRd	Tpl	Mr	Dx	Staffe	CS	ζ_E
	kg	kg	kg	kg	kg	kg	kg*m	cm	cmq/m		
Sin	1820	--	51129	51129	51129	0	24351	111.4	10.05	28	--
Des							25310				

Trave: 101 [0,0], Pilastrate [--,--] Sez. R: By=30.0 cm Bz=80.0 cm L=111.4 cm Ln=111.4 cm Criterio : CLS_TraviAlte_ND - Verifica a flessione: **Verificato**

X	M-	M+	$\Delta M-$	$\Delta M+$	Afs	Afi	Mr-	Mr+	C-	C+	CS	ζ_E
cm	kg*m	kg*m	kg*m	kg*m	cmq	cmq	kg*m	kg*m				
ILN	--	2363	--	--	13.8 5	13.8 5	37664	37664	50	2	16	--
11.1	--	2429	--	--	13.8 5	13.8 5	37664	37664	50	2	16	--
CAMP	--	2519	--	--	13.8 5	13.8 5	37664	37664	50	2	15	--
100.3	--	2301	--	--	13.8 5	13.8 5	37664	37664	50	2	16	--
FLN	--	2202	--	--	13.8 5	13.8 5	37664	37664	50	2	17	--

X	x-	d-	x-/d-	x+	d+	x+/d+	Mr-	Mr+	C-	C+	Stato-	Stato+
cm	cm	cm		cm	cm		kg*m	kg*m				
ILN	--	--	--	22.2	75.9	0.293	37664	37664	50	2	--	Parz.
11.1	--	--	--	22.2	75.9	0.293	37664	37664	50	2	--	Parz.
CAMP	--	--	--	22.2	75.9	0.293	37664	37664	50	2	--	Parz.
100.3	--	--	--	22.2	75.9	0.293	37664	37664	50	2	--	Parz.
FLN	--	--	--	22.2	75.9	0.293	37664	37664	50	2	--	Parz.

Verifica a taglio: $\cot(\theta) = 2.093$ Comb: (16+17)-I-3

Sez	Td	VRdns	VRcd	VRsd	VRd	Tpl	Mr	Dx	Staffe	CS	ζ_E
	kg	kg	kg	kg	kg	kg	kg*m	cm	cmq/m		
Sin	1157	--	56240	56240	56240	0	37664	111.4	10.05	49	>100
Des							37664				

Verifica incendio: $T_{eqvClS}(\circ) = 328$ $T_{eqvAcc}(\circ) = 424$ Curva: ISO834, $\gamma_{ClS} = 1.20$ (Aggregato Calcareo) $\gamma_{Acc} = 1.00$ (Laminato a caldo), verifica per R120(min)

X	M-	M+	$\Delta M-$	$\Delta M+$	Afs	Afi	Mr-	Mr+	C-	C+	CS	ζ_E
cm	kg*m	kg*m	kg*m	kg*m	cmq	cmq	kg*m	kg*m				
ILN	--	1342	--	--	13.8 5	13.8 5	45230	44255	51	51	33	--
11.1	--	1392	--	--	13.8 5	13.8 5	45230	44255	51	51	32	--
CAMP	--	1466	--	--	13.8 5	13.8 5	45230	44255	51	51	30	--
100.3	--	1339	--	--	13.8 5	13.8 5	45230	44255	51	51	33	--
FLN	--	1277	--	--	13.8 5	13.8 5	45230	44255	51	51	35	--

X	x-	d-	x-/d-	x+	d+	x+/d+	Mr-	Mr+	C-	C+	Stato-	Stato+
cm	cm	cm		cm	cm		kg*m	kg*m				
ILN	--	--	--	23.9	79.0	0.303	45230	44255	51	51	--	Parz.
11.1	--	--	--	23.9	79.0	0.303	45230	44255	51	51	--	Parz.
CAMP	--	--	--	23.9	79.0	0.303	45230	44255	51	51	--	Parz.
100.3	--	--	--	23.9	79.0	0.303	45230	44255	51	51	--	Parz.
FLN	--	--	--	23.9	79.0	0.303	45230	44255	51	51	--	Parz.

Verifica a taglio: $\cot(\theta) = 2.019$ Comb: 51

Sez	Td	VRdhs	VRcd	VRsd	VRd	Tpl	Mr	Dx	Staffe	CS	ζ_E
	kg	kg	kg	kg	kg	kg	kg*m	cm	cmq/m		
Sin	618	--	51364	51364	51364	0	44255	111.4	10.05	83	--
Des							45230				

Trave: 101 [0,0], Pilastrate [--,--] Sez. R: By=30.0 cm Bz=80.0 cm L=111.4 cm Ln=111.4 cm Criterio :
CLS_TraviAlte_ND - Verifica a flessione: **Verificato**

X	M-	M+	$\Delta M-$	$\Delta M+$	Afs	Afi	Mr-	Mr+	C-	C+	CS	ζ_E
cm	kg*m	kg*m	kg*m	kg*m	cmq	cmq	kg*m	kg*m				
ILN	762	895	--	--	7.70	7.70	21139	21139	(16+17)-I-1	(16+17)-I-3	24	25
11.1	523	1023	--	--	7.70	7.70	21139	21139	(16+17)-I-1	(16+17)-I-3	21	27
CAMP	--	2083	--	--	7.70	15.3 9	21380	40973	50	2	20	--
100.3	--	2230	--	--	7.70	13.8 5	21343	37087	50	2	17	--
FLN	--	2358	--	--	7.70	13.8 5	21343	37087	50	2	16	--

X	x-	d-	x-/d-	x+	d+	x+/d+	Mr-	Mr+	C-	C+	Stato-	Stato+
cm	cm	cm		cm	cm		kg*m	kg*m				
ILN	18.3	75.9	0.241	18.3	75.9	0.241	21139	21139	(16+17)-I-1	(16+17)-I-3	Parz.	Parz.
11.1	18.2	75.9	0.240	18.3	75.9	0.241	21139	21139	(16+17)-I-1	(16+17)-I-3	Parz.	Parz.
CAMP	--	--	--	25.0	75.9	0.329	21380	40973	50	2	--	Parz.
100.3	--	--	--	23.9	75.9	0.314	21343	37087	50	2	--	Parz.
FLN	--	--	--	23.9	75.9	0.314	21343	37087	50	2	--	Parz.

Verifica a taglio: $\cot(\theta) = 2.093$ Comb: 3

Sez	Td	VRdhs	VRcd	VRsd	VRd	Tpl	Mr	Dx	Staffe	CS	ζ_E
	kg	kg	kg	kg	kg	kg	kg*m	cm	cmq/m		
Sin	2717	--	56240	56240	56240	0	21139	111.4	10.05	21	--
Des							37087				

Verifica incendio: $T_{eqvClS}(^{\circ}) = 328$ $T_{eqvAcc}(^{\circ}) = 431$ Curva: ISO834, $\gamma_{ClS} = 1.20$ (Aggregato Calcareo)
 $\gamma_{Acc} = 1.00$ (Laminato a caldo), verifica per R120(min)

X	M-	M+	$\Delta M-$	$\Delta M+$	Afs	Afi	Mr-	Mr+	C-	C+	CS	ζ_E
cm	kg*m	kg*m	kg*m	kg*m	cmq	cmq	kg*m	kg*m				
ILN	--	67	--	--	7.70	7.70	25310	24351	51	51	>100	--
11.1	--	250	--	--	7.70	7.70	25310	24351	51	51	97	--
CAMP	--	1186	--	--	7.70	15.3 9	25304	49184	51	51	41	--
100.3	--	1270	--	--	7.70	13.8 5	25317	44236	51	51	35	--
FLN	--	1341	--	--	7.70	13.8 5	25317	44236	51	51	33	--

X	x-	d-	x-/d-	x+	d+	x+/d+	Mr-	Mr+	C-	C+	Stato-	Stato+
cm	cm	cm		cm	cm		kg*m	kg*m				
ILN	--	--	--	20.0	79.1	0.253	25310	24351	51	51	--	Parz.
11.1	--	--	--	20.0	79.1	0.253	25310	24351	51	51	--	Parz.
CAMP	--	--	--	26.8	78.9	0.340	25304	49184	51	51	--	Parz.
100.3	--	--	--	25.7	78.9	0.325	25317	44236	51	51	--	Parz.
FLN	--	--	--	25.7	78.9	0.325	25317	44236	51	51	--	Parz.

Verifica a taglio: $\cot(\theta) = 2.039$ Comb: 51

Sez	Td	VRdns	VRcd	VRsd	VRd	Tpl	Mr	Dx	Staffe	CS	ζ_E
	kg	kg	kg	kg	kg	kg	kg*m	cm	cmq/m		
Sin	1702	--	51050	51050	51050	0	25310	111.4	10.05	30	--
Des							44236				

Trave: 101 [152,0], Pilastrate [52,--] Sez. R: By=30.0 cm Bz=80.0 cm L=111.4 cm Ln=111.4 cm Criterio : CLS_TraviAlte_ND - Verifica a flessione: **Verificato**

X	M-	M+	$\Delta M-$	$\Delta M+$	Afs	Afi	Mr-	Mr+	C-	C+	CS	ζ_E
cm	kg*m	kg*m	kg*m	kg*m	cmq	cmq	kg*m	kg*m				
ILN	4194	--	--	--	7.70	7.70	21139	21139	2	50	5.0	--
11.1	3668	--	--	--	7.70	7.70	21139	21139	2	50	5.8	--
CAMP	3160	--	--	--	7.70	7.70	21139	21139	2	50	6.7	--
100.3	930	648	--	--	7.70	7.70	21139	21139	(16+17)-I-1	(16+17)-I-3	23	27
FLN	675	806	--	--	7.70	7.70	21139	21139	(16+17)-I-1	(16+17)-I-3	26	28

X	x-	d-	x-/d-	x+	d+	x+/d+	Mr-	Mr+	C-	C+	Stato-	Stato+
cm	cm	cm		cm	cm		kg*m	kg*m				
ILN	18.4	75.9	0.242	--	--	--	21139	21139	2	50	Parz.	--
11.1	18.3	75.9	0.242	--	--	--	21139	21139	2	50	Parz.	--
CAMP	18.3	75.9	0.241	--	--	--	21139	21139	2	50	Parz.	--
100.3	18.3	75.9	0.241	18.3	75.9	0.240	21139	21139	(16+17)-I-1	(16+17)-I-3	Parz.	Parz.
FLN	18.3	75.9	0.240	18.3	75.9	0.241	21139	21139	(16+17)-I-1	(16+17)-I-3	Parz.	Parz.

Verifica a taglio: $\cot(\theta) = 2.041$ Comb: 3

Sez	Td	VRdns	VRcd	VRsd	VRd	Tpl	Mr	Dx	Staffe	CS	ζ_E
	kg	kg	kg	kg	kg	kg	kg*m	cm	cmq/m		
Sin	4803	--	57132	57132	57132	0	21139	111.4	10.47	12	--
Des							21139				

Verifica incendio: $T_{eqvClS}(^{\circ}) = 328$ $T_{eqvAcc}(^{\circ}) = 429$ Curva: ISO834, $\gamma_{ClS} = 1.20$ (Aggregato Calcareo)
 $\gamma_{Acc} = 1.00$ (Laminato a caldo), verifica per R120(min)

X	M-	M+	$\Delta M-$	$\Delta M+$	Afs	Afi	Mr-	Mr+	C-	C+	CS	ζ_E
cm	kg*m	kg*m	kg*m	kg*m	cmq	cmq	kg*m	kg*m				
ILN	2559	--	--	--	7.70	7.70	25310	24351	51	51	9.9	--
11.1	2241	--	--	--	7.70	7.70	25310	24351	51	51	11	--
CAMP	1935	--	--	--	7.70	7.70	25310	24351	51	51	13	--
100.3	141	--	--	--	7.70	7.70	25310	24351	51	51	>100	--
FLN	--	65	--	--	7.70	7.70	25310	24351	51	51	>100	--

X	x-	d-	x-/d-	x+	d+	x+/d+	Mr-	Mr+	C-	C+	Stato-	Stato+
cm	cm	cm		cm	cm		kg*m	kg*m				
ILN	27.0	80.7	0.334	--	--	--	25310	24351	51	51	Parz.	--
11.1	27.0	80.7	0.334	--	--	--	25310	24351	51	51	Parz.	--
CAMP	27.0	80.7	0.334	--	--	--	25310	24351	51	51	Parz.	--
100.3	27.0	80.7	0.334	--	--	--	25310	24351	51	51	Parz.	--
FLN	--	--	--	20.0	79.1	0.253	25310	24351	51	51	--	Parz.

Verifica a taglio: $\cot(\theta) = 1.983$ Comb: 51

Sez	Td	VRdns	VRcd	VRsd	VRd	Tpl	Mr	Dx	Staffe	CS	ζ_E
	kg	kg	kg	kg	kg	kg	kg*m	cm	cmq/m		
Sin	2913	--	51925	51925	51925	0	25310	111.4	10.47	18	--
Des							24351				

Trave: 101 [0,152], Pilastrate [--,52] Sez. R: By=30.0 cm Bz=80.0 cm L=88.0 cm Ln=88.0 cm Criterio : CLS_TraviAlte_ND - Verifica a flessione: **Verificato**

X	M-	M+	$\Delta M-$	$\Delta M+$	Afs	Afi	Mr-	Mr+	C-	C+	CS	ζ_E
cm	kg*m	kg*m	kg*m	kg*m	cmq	cmq	kg*m	kg*m				
ILN	1213	21	--	--	7.70	7.70	21139	21139	(16+17)-I-3	(16+17)-I-1	17	33
8.8	1447	--	--	--	7.70	7.70	21139	21139	(16+17)-I-3	50	15	29
CAMP	3413	--	--	--	7.70	7.70	21139	21139	2	50	6.2	--
79.2	3778	--	--	--	7.70	7.70	21139	21139	2	50	5.6	--
FLN	4155	--	--	--	7.70	7.70	21139	21139	2	50	5.1	--

X	x-	d-	x-/d-	x+	d+	x+/d+	Mr-	Mr+	C-	C+	Stato-	Stato+
cm	cm	cm		cm	cm		kg*m	kg*m				
ILN	18.3	75.9	0.241	18.2	75.9	0.240	21139	21139	(16+17)-I-3	(16+17)-I-1	Parz.	Parz.
8.8	18.3	75.9	0.241	--	--	--	21139	21139	(16+17)-I-3	50	Parz.	--
CAMP	18.3	75.9	0.242	--	--	--	21139	21139	2	50	Parz.	--
79.2	18.3	75.9	0.242	--	--	--	21139	21139	2	50	Parz.	--
FLN	18.4	75.9	0.242	--	--	--	21139	21139	2	50	Parz.	--

Verifica a taglio: $\cot(\theta) = 2.093$ Comb: 3

Sez	Td	VRdns	VRcd	VRsd	VRd	Tpl	Mr	Dx	Staffe	CS	ζ_E
	kg	kg	kg	kg	kg	kg	kg*m	cm	cmq/m		
Sin	4347	--	56240	56240	56240	0	21139	88.0	10.05	13	--
Des							21139				

Verifica incendio: $T_{eqvClis}(\circ) = 328$ $T_{eqvAcc}(\circ) = 429$ Curva: ISO834, $\gamma_{Clis} = 1.20$ (Aggregato Calcareo)
 $\gamma_{Acc} = 1.00$ (Laminato a caldo), verifica per R120(min)

X	M-	M+	$\Delta M-$	$\Delta M+$	Afs	Afi	Mr-	Mr+	C-	C+	CS	ζ_E
cm	kg*m	kg*m	kg*m	kg*m	cmq	cmq	kg*m	kg*m				
ILN	596	--	--	--	7.70	7.70	25310	24351	51	51	42	--
8.8	751	--	--	--	7.70	7.70	25310	24351	51	51	34	--
CAMP	2054	--	--	--	7.70	7.70	25310	24351	51	51	12	--
79.2	2271	--	--	--	7.70	7.70	25310	24351	51	51	11	--
FLN	2496	--	--	--	7.70	7.70	25310	24351	51	51	10	--

X	x-	d-	x-/d-	x+	d+	x+/d+	Mr-	Mr+	C-	C+	Stato-	Stato+
cm	cm	cm		cm	cm		kg*m	kg*m				
ILN	27.0	80.7	0.334	--	--	--	25310	24351	51	51	Parz.	--
8.8	27.0	80.7	0.334	--	--	--	25310	24351	51	51	Parz.	--
CAMP	27.0	80.7	0.334	--	--	--	25310	24351	51	51	Parz.	--
79.2	27.0	80.7	0.334	--	--	--	25310	24351	51	51	Parz.	--
FLN	27.0	80.7	0.334	--	--	--	25310	24351	51	51	Parz.	--

Verifica a taglio: $\cot(\theta) = 2.034$ Comb: 51

Sez	Td	VRdns	VRcd	VRsd	VRd	Tpl	Mr	Dx	Staffe	CS	ζ_E
	kg	kg	kg	kg	kg	kg	kg*m	cm	cmq/m		
Sin	2601	--	51129	51129	51129	0	24351	88.0	10.05	20	--
Des							25310				

Trave: 101 [0,0], Pilastrate [--,--] Sez. R: By=30.0 cm Bz=80.0 cm L=88.0 cm Ln=88.0 cm Criterio :

CLS_TraviAlte_ND - Verifica a flessione: **Verificato**

X	M-	M+	ΔM-	ΔM+	Afs	Afi	Mr-	Mr+	C-	C+	CS	ζ _E
cm	kg*m	kg*m	kg*m	kg*m	cmq	cmq	kg*m	kg*m				
ILN	--	907	--	--	7.70	7.70	21139	21139	50	2	23	--
8.8	--	778	--	--	7.70	7.70	21139	21139	50	2	27	--
CAMP	868	637	--	--	7.70	7.70	21139	21139	(16+17)-II-2	2	24	38
79.2	1070	162	--	--	7.70	7.70	21139	21139	(16+17)-I-3	(16+17)-I-1	20	34
FLN	1286	96	--	--	7.70	7.70	21139	21139	(16+17)-I-3	(16+17)-I-1	16	30

X	x-	d-	x-/d-	x+	d+	x+/d+	Mr-	Mr+	C-	C+	Stato-	Stato +
cm	cm	cm		cm	cm		kg*m	kg*m				
ILN	--	--	--	18.3	75.9	0.241	21139	21139	50	2	--	Parz.
8.8	--	--	--	18.3	75.9	0.241	21139	21139	50	2	--	Parz.
CAMP	18.3	75.9	0.241	18.3	75.9	0.240	21139	21139	(16+17)-II-2	2	Parz.	Parz.
79.2	18.3	75.9	0.241	18.2	75.9	0.240	21139	21139	(16+17)-I-3	(16+17)-I-1	Parz.	Parz.
FLN	18.3	75.9	0.241	18.2	75.9	0.240	21139	21139	(16+17)-I-3	(16+17)-I-1	Parz.	Parz.

Verifica a taglio: $\cot(\theta) = 2.064$ Comb: 3

Sez	Td	VRdhs	VRcd	VRsd	VRd	Tpl	Mr	Dx	Staffe	CS	ζ _E
	kg	kg	kg	kg	kg	kg	kg*m	cm	cmq/m		
Sin	2708	--	56729	56729	56729	0	21139	88.0	10.28	21	--
Des							21139				

Verifica incendio: $T_{eqvClS}(^{\circ})=328$ $T_{eqvAcc}(^{\circ})=429$ Curva:ISO834, $\gamma_{ClS}=1.20$ (Aggregato Calcareo)
 $\gamma_{Acc}=1.00$ (Laminato a caldo),verifica per R120(min)

X	M-	M+	ΔM-	ΔM+	Afs	Afi	Mr-	Mr+	C-	C+	CS	ζ _E
cm	kg*m	kg*m	kg*m	kg*m	cmq	cmq	kg*m	kg*m				
ILN	--	467	--	--	7.70	7.70	25310	24351	51	51	52	--
8.8	--	395	--	--	7.70	7.70	25310	24351	51	51	62	--
CAMP	320	--	--	--	7.70	7.70	25310	24351	51	51	79	--
79.2	454	--	--	--	7.70	7.70	25310	24351	51	51	56	--
FLN	595	--	--	--	7.70	7.70	25310	24351	51	51	43	--

X	x-	d-	x-/d-	x+	d+	x+/d+	Mr-	Mr+	C-	C+	Stato-	Stato +
cm	cm	cm		cm	cm		kg*m	kg*m				
ILN	--	--	--	20.0	79.1	0.253	25310	24351	51	51	--	Parz.
8.8	--	--	--	20.0	79.1	0.253	25310	24351	51	51	--	Parz.
CAMP	27.0	80.7	0.334	--	--	--	25310	24351	51	51	Parz.	--
79.2	27.0	80.7	0.334	--	--	--	25310	24351	51	51	Parz.	--
FLN	27.0	80.7	0.334	--	--	--	25310	24351	51	51	Parz.	--

Verifica a taglio: $\cot(\theta) = 2.006$ Comb: 51

Sez	Td	VRdhs	VRcd	VRsd	VRd	Tpl	Mr	Dx	Staffe	CS	ζ _E
	kg	kg	kg	kg	kg	kg	kg*m	cm	cmq/m		
Sin	1648	--	51566	51566	51566	0	24351	88.0	10.28	31	--
Des							25310				

Trave: 101 [0,0], Pilastrate [--,--] Sez. R: By=30.0 cm Bz=80.0 cm L=88.0 cm Ln=88.0 cm Criterio :
 CLS_TraviAlte_ND - Verifica a flessione: **Verificato**

X	M-	M+	ΔM-	ΔM+	Afs	Afi	Mr-	Mr+	C-	C+	CS	ζ _E
cm	kg*m	kg*m	kg*m	kg*m	cmq	cmq	kg*m	kg*m				
ILN	29	1413	--	--	7.70	7.70	21139	21139	(16+17)-I-1	(16+17)-I-3	15	28
8.8	--	1353	--	--	7.70	7.70	21139	21139	50	(16+17)-I-3	16	32
CAMP	--	1304	--	--	7.70	7.70	21139	21139	50	2	16	--
79.2	--	998	--	--	7.70	7.70	21139	21139	50	2	21	--

X	M-	M+	ΔM-	ΔM+	Afs	Afi	Mr-	Mr+	C-	C+	CS	ζ _E
FLN	--	909	--	--	7.70	7.70	21139	21139	50	2	23	--

X	x-	d-	x-/d-	x+	d+	x+/d+	Mr-	Mr+	C-	C+	Stato-	Stato+
cm	cm	cm		cm	cm		kg*m	kg*m				
ILN	18.2	75.9	0.240	18.3	75.9	0.241	21139	21139	(16+17)-I-1	(16+17)-I-3	Parz.	Parz.
8.8	--	--	--	18.3	75.9	0.241	21139	21139	50	(16+17)-I-3	--	Parz.
CAMP	--	--	--	18.3	75.9	0.241	21139	21139	50	2	--	Parz.
79.2	--	--	--	18.3	75.9	0.241	21139	21139	50	2	--	Parz.
FLN	--	--	--	18.3	75.9	0.241	21139	21139	50	2	--	Parz.

Verifica a taglio: $\cot(\theta) = 2.064$ Comb: (16+17)-I-3

Sez	Td	VRdhs	VRcd	VRsd	VRd	Tpl	Mr	Dx	Staffe	CS	ζ _E
	kg	kg	kg	kg	kg	kg	kg*m	cm	cmq/m		
Sin	1525	--	56729	56729	56729	0	21139	88.0	10.28	37	68
Des							21139				

Verifica incendio: $T_{eqvClis}(^{\circ}) = 328$ $T_{eqvAcc}(^{\circ}) = 429$ Curva: ISO834, $\gamma_{Clis} = 1.20$ (Aggregato Calcareo)
 $\gamma_{Acc} = 1.00$ (Laminato a caldo), verifica per R120(min)

X	M-	M+	ΔM-	ΔM+	Afs	Afi	Mr-	Mr+	C-	C+	CS	ζ _E
cm	kg*m	kg*m	kg*m	kg*m	cmq	cmq	kg*m	kg*m				
ILN	--	692	--	--	7.70	7.70	25310	24351	51	51	35	--
8.8	--	705	--	--	7.70	7.70	25310	24351	51	51	35	--
CAMP	--	709	--	--	7.70	7.70	25310	24351	51	51	34	--
79.2	--	525	--	--	7.70	7.70	25310	24351	51	51	46	--
FLN	--	467	--	--	7.70	7.70	25310	24351	51	51	52	--

X	x-	d-	x-/d-	x+	d+	x+/d+	Mr-	Mr+	C-	C+	Stato-	Stato+
cm	cm	cm		cm	cm		kg*m	kg*m				
ILN	--	--	--	20.0	79.1	0.253	25310	24351	51	51	--	Parz.
8.8	--	--	--	20.0	79.1	0.253	25310	24351	51	51	--	Parz.
CAMP	--	--	--	20.0	79.1	0.253	25310	24351	51	51	--	Parz.
79.2	--	--	--	20.0	79.1	0.253	25310	24351	51	51	--	Parz.
FLN	--	--	--	20.0	79.1	0.253	25310	24351	51	51	--	Parz.

Verifica a taglio: $\cot(\theta) = 2.006$ Comb: 51

Sez	Td	VRdhs	VRcd	VRsd	VRd	Tpl	Mr	Dx	Staffe	CS	ζ _E
	kg	kg	kg	kg	kg	kg	kg*m	cm	cmq/m		
Sin	697	--	51566	51566	51566	0	24351	88.0	10.28	74	--
Des							25310				

Trave: 101 [0,0], Pilastrate [--,--] Sez. R: By=30.0 cm Bz=80.0 cm L=88.0 cm Ln=88.0 cm Criterio :
 CLS_TraviAlte_ND - Verifica a flessione: **Verificato**

X	M-	M+	ΔM-	ΔM+	Afs	Afi	Mr-	Mr+	C-	C+	CS	ζ _E
cm	kg*m	kg*m	kg*m	kg*m	cmq	cmq	kg*m	kg*m				
ILN	1267	1425	--	--	7.70	7.70	21139	21139	(16+17)-I-1	(16+17)-I-3	15	16
8.8	1100	1451	--	--	7.70	7.70	21139	21139	(16+17)-I-1	(16+17)-I-3	15	16
CAMP	942	1483	--	--	7.70	7.70	21139	21139	(16+17)-I-1	(16+17)-I-3	14	18
79.2	50	1383	--	--	7.70	7.70	21139	21139	(16+17)-I-1	(16+17)-I-3	15	29
FLN	--	1339	--	--	7.70	7.70	21139	21139	50	(16+17)-I-3	16	32

X	x-	d-	x-/d-	x+	d+	x+/d+	Mr-	Mr+	C-	C+	Stato-	Stato+
cm	cm	cm		cm	cm		kg*m	kg*m				
ILN	18.3	75.9	0.241	18.3	75.9	0.241	21139	21139	(16+17)-I-1	(16+17)-I-3	Parz.	Parz.

X	x-	d-	x-/d-	x+	d+	x+/d+	Mr-	Mr+	C-	C+	Stato-	Stato+
8.8	18.3	75.9	0.241	18.3	75.9	0.241	21139	21139	(16+17)-I-1	(16+17)-I-3	Parz.	Parz.
CAMP	18.3	75.9	0.241	18.3	75.9	0.241	21139	21139	(16+17)-I-1	(16+17)-I-3	Parz.	Parz.
79.2	18.2	75.9	0.240	18.3	75.9	0.241	21139	21139	(16+17)-I-1	(16+17)-I-3	Parz.	Parz.
FLN	--	--	--	18.3	75.9	0.241	21139	21139	50	(16+17)-I-3	--	Parz.

Verifica a taglio: $\cot(\theta) = 2.064$ Comb: (16+17)-II-1

Sez	Td	VRdns	VRcd	VRsd	VRd	Tpl	Mr	Dx	Staffe	CS	ζ_E
	kg	kg	kg	kg	kg	kg	kg*m	cm	cmq/m		
Sin	1951	--	56729	56729	56729	0	21139	88.0	10.28	29	68
Des							21139				

Verifica incendio: $T_{eqvClS}(\circ) = 328$ $T_{eqvAcc}(\circ) = 429$ Curva: ISO834, $\gamma_{ClS} = 1.20$ (Aggregato Calcareo)
 $\gamma_{Acc} = 1.00$ (Laminato a caldo), verifica per R120(min)

X	M-	M+	$\Delta M-$	$\Delta M+$	Afs	Afi	Mr-	Mr+	C-	C+	CS	ζ_E
cm	kg*m	kg*m	kg*m	kg*m	cmq	cmq	kg*m	kg*m				
ILN	--	79	--	--	7.70	7.70	25310	24351	51	51	>100	--
8.8	--	176	--	--	7.70	7.70	25310	24351	51	51	>100	--
CAMP	--	632	--	--	7.70	7.70	25310	24351	51	51	39	--
79.2	--	666	--	--	7.70	7.70	25310	24351	51	51	37	--
FLN	--	693	--	--	7.70	7.70	25310	24351	51	51	35	--

X	x-	d-	x-/d-	x+	d+	x+/d+	Mr-	Mr+	C-	C+	Stato-	Stato+
cm	cm	cm		cm	cm		kg*m	kg*m				
ILN	--	--	--	20.0	79.1	0.253	25310	24351	51	51	--	Parz.
8.8	--	--	--	20.0	79.1	0.253	25310	24351	51	51	--	Parz.
CAMP	--	--	--	20.0	79.1	0.253	25310	24351	51	51	--	Parz.
79.2	--	--	--	20.0	79.1	0.253	25310	24351	51	51	--	Parz.
FLN	--	--	--	20.0	79.1	0.253	25310	24351	51	51	--	Parz.

Verifica a taglio: $\cot(\theta) = 2.006$ Comb: 51

Sez	Td	VRdns	VRcd	VRsd	VRd	Tpl	Mr	Dx	Staffe	CS	ζ_E
	kg	kg	kg	kg	kg	kg	kg*m	cm	cmq/m		
Sin	1138	--	51566	51566	51566	0	24351	88.0	10.28	45	--
Des							25310				

Trave: 101 [155,0], Pilastrate [55,--] Sez. R: $B_y = 30.0$ cm $B_z = 80.0$ cm $L = 88.0$ cm $L_n = 88.0$ cm Criterio :
 CLS_TraviAlte_ND - Verifica a flessione: **Verificato**

X	M-	M+	$\Delta M-$	$\Delta M+$	Afs	Afi	Mr-	Mr+	C-	C+	CS	ζ_E
cm	kg*m	kg*m	kg*m	kg*m	cmq	cmq	kg*m	kg*m				
ILN	3315	565	--	--	7.70	7.70	21139	21139	(16+17)-I-1	(16+17)-I-3	6.4	10
8.8	3067	678	--	--	7.70	7.70	21139	21139	(16+17)-I-1	(16+17)-I-3	6.9	11
CAMP	2827	1254	--	--	7.70	7.70	21139	21139	(16+17)-I-1	(16+17)-I-3	7.5	11
79.2	1366	1305	--	--	7.70	7.70	21139	21139	(16+17)-I-1	(16+17)-I-3	15	16
FLN	1189	1349	--	--	7.70	7.70	21139	21139	(16+17)-I-1	(16+17)-I-3	16	17

X	x-	d-	x-/d-	x+	d+	x+/d+	Mr-	Mr+	C-	C+	Stato-	Stato+
cm	cm	cm		cm	cm		kg*m	kg*m				
ILN	18.3	75.9	0.242	18.3	75.9	0.240	21139	21139	(16+17)-I-1	(16+17)-I-3	Parz.	Parz.
8.8	18.3	75.9	0.241	18.3	75.9	0.240	21139	21139	(16+17)-I-1	(16+17)-I-3	Parz.	Parz.
CAMP	18.3	75.9	0.241	18.3	75.9	0.241	21139	21139	(16+17)-I-1	(16+17)-I-3	Parz.	Parz.
79.2	18.3	75.9	0.241	18.3	75.9	0.241	21139	21139	(16+17)-I-1	(16+17)-I-3	Parz.	Parz.
FLN	18.3	75.9	0.241	18.3	75.9	0.241	21139	21139	(16+17)-I-1	(16+17)-I-3	Parz.	Parz.

Verifica a taglio: $\cot(\theta) = 2.093$ Comb: 3

Sez	Td	VRdns	VRcd	VRsd	VRd	Tpl	Mr	Dx	Staffe	CS	ζ _E
	kg	kg	kg	kg	kg	kg	kg*m	cm	cmq/m		
Sin	3491	--	56240	56240	56240	0	21139	88.0	10.05	16	--
Des							21139				

Verifica incendio: TeqvCls(°)=328 TeqvAcc(°)=429 Curva:ISO834,γCls=1.20(Aggregato Calcareo)
 γAcc=1.00(Laminato a caldo),verifica per R120(min)

X	M-	M+	ΔM-	ΔM+	Afs	Afi	Mr-	Mr+	C-	C+	CS	ζ _E
cm	kg*m	kg*m	kg*m	kg*m	cmq	cmq	kg*m	kg*m				
ILN	1375	--	--	--	7.70	7.70	25310	24351	51	51	18	--
8.8	1195	--	--	--	7.70	7.70	25310	24351	51	51	21	--
CAMP	1022	--	--	--	7.70	7.70	25310	24351	51	51	25	--
79.2	31	--	--	--	7.70	7.70	25310	24351	51	51	>100	--
FLN	--	80	--	--	7.70	7.70	25310	24351	51	51	>100	--

X	x-	d-	x-/d-	x+	d+	x+/d+	Mr-	Mr+	C-	C+	Stato-	Stato+
cm	cm	cm		cm	cm		kg*m	kg*m				
ILN	27.0	80.7	0.334	--	--	--	25310	24351	51	51	Parz.	--
8.8	27.0	80.7	0.334	--	--	--	25310	24351	51	51	Parz.	--
CAMP	27.0	80.7	0.334	--	--	--	25310	24351	51	51	Parz.	--
79.2	27.0	80.7	0.334	--	--	--	25310	24351	51	51	Parz.	--
FLN	--	--	--	20.0	79.1	0.253	25310	24351	51	51	--	Parz.

Verifica a taglio: cot(θ) = 2.034 Comb: 51

Sez	Td	VRdns	VRcd	VRsd	VRd	Tpl	Mr	Dx	Staffe	CS	ζ _E
	kg	kg	kg	kg	kg	kg	kg*m	cm	cmq/m		
Sin	2094	--	51129	51129	51129	0	24351	88.0	10.05	24	--
Des							25310				

Trave: 101 [86,155], Pilastrate [56,55] Sez. R: By=20.0 cm Bz=80.0 cm L=311.4 cm Ln=291.5 cm Criterio :
 CLS_TraviAlte_ND - Verifica a flessione: **Verificato**

X	M-	M+	ΔM-	ΔM+	Afs	Afi	Mr-	Mr+	C-	C+	CS	ζ _E
cm	kg*m	kg*m	kg*m	kg*m	cmq	cmq	kg*m	kg*m				
ILN	914	1441	--	--	6.16	6.16	16851	16851	(16+17)-II-1	(16+17)-II-2	12	14
29.2	389	1610	--	--	6.16	6.16	16851	16851	(16+17)-II-1	(16+17)-II-2	10	16
CAMP	--	1666	--	--	6.16	6.16	16851	16851	50	(16+17)-II-2	10	19
262.4	1222	--	--	--	6.16	6.16	16851	16851	2	50	14	--
FLN	2315	--	--	--	6.16	6.16	16851	16851	2	50	7.3	--

X	x-	d-	x-/d-	x+	d+	x+/d+	Mr-	Mr+	C-	C+	Stato-	Stato+
cm	cm	cm		cm	cm		kg*m	kg*m				
ILN	19.5	75.9	0.256	19.5	75.9	0.257	16851	16851	(16+17)-II-1	(16+17)-II-2	Parz.	Parz.
29.2	19.4	75.9	0.256	19.5	75.9	0.257	16851	16851	(16+17)-II-1	(16+17)-II-2	Parz.	Parz.
CAMP	--	--	--	19.5	75.9	0.257	16851	16851	50	(16+17)-II-2	--	Parz.
262.4	19.5	75.9	0.257	--	--	--	16851	16851	2	50	Parz.	--
FLN	19.5	75.9	0.257	--	--	--	16851	16851	2	50	Parz.	--

Verifica a taglio: cot(θ) Sin=1.608,cot(θ) Cen=2.500,cot(θ) Des=1.608 Comb: Sin=3 Cen=3 Des=3

Sez	Td	VRdns	VRcd	VRsd	VRd	Tpl	Mr	Dx	Staffe	CS	ζ _E
	kg	kg	kg	kg	kg	kg	kg*m	cm	cmq/m		
Sin	2204	--	43220	43220	43220	0	16851	80.0	10.05	20	--
Cen	2182	--	33236	26872	26872	--	--	--	4.02	12	--
Des	4063	--	43220	43220	43220	0	16851	80.0	10.05	11	--

Verifica incendio: TeqvCls(°)=376 TeqvAcc(°)=429 Curva:ISO834,γCls=1.20(Aggregato Calcareo)
 γAcc=1.00(Laminato a caldo),verifica per R120(min)

X	M-	M+	ΔM-	ΔM+	Afs	Afi	Mr-	Mr+	C-	C+	CS	ζ _E
cm	kg*m	kg*m	kg*m	kg*m	cmq	cmq	kg*m	kg*m				
ILN	--	264	--	--	6.16	6.16	20200	20033	51	51	76	--
29.2	--	610	--	--	6.16	6.16	20200	20033	51	51	33	--
CAMP	--	966	--	--	6.16	6.16	20200	20033	51	51	21	--
262.4	727	--	--	--	6.16	6.16	20200	20033	51	51	28	--
FLN	1409	--	--	--	6.16	6.16	20200	20033	51	51	14	--

X	x-	d-	x-/d-	x+	d+	x+/d+	Mr-	Mr+	C-	C+	Stato-	Stato+
cm	cm	cm		cm	cm		kg*m	kg*m				
ILN	--	--	--	20.9	78.0	0.268	20200	20033	51	51	--	Parz.
29.2	--	--	--	20.9	78.0	0.268	20200	20033	51	51	--	Parz.
CAMP	--	--	--	20.9	78.0	0.268	20200	20033	51	51	--	Parz.
262.4	26.3	72.1	0.365	--	--	--	20200	20033	51	51	Parz.	--
FLN	26.3	72.1	0.365	--	--	--	20200	20033	51	51	Parz.	--

Verifica a taglio: $\cot(\theta)$ Sin=1.521, $\cot(\theta)$ Cen=2.500, $\cot(\theta)$ Des=1.521 Comb: Sin=51 Cen=51 Des=51

Sez	Td	VRdns	VRcd	VRsd	VRd	Tpl	Mr	Dx	Staffe	CS	ζ _E
	kg	kg	kg	kg	kg	kg	kg*m	cm	cmq/m		
Sin	1386	--	38234	38234	38234	0	20033	80.0	10.05	28	--
Cen	1358	--	28722	25136	25136	--	--	--	4.02	19	--
Des	2534	--	38234	38234	38234	0	20200	80.0	10.05	15	--

Trave: 102 [106,101], Pilastrate [6,1] Sez. R: By=30.0 cm Bz=80.0 cm L=265.0 cm Ln=265.0 cm Criterio : CLS_TraviAlte_ND - Verifica a flessione: **Verificato**

X	M-	M+	ΔM-	ΔM+	Afs	Afi	Mr-	Mr+	C-	C+	CS	ζ _E
cm	kg*m	kg*m	kg*m	kg*m	cmq	cmq	kg*m	kg*m				
ILN	1861	--	--	--	7.70	7.70	21139	21139	2	50	11	--
26.5	1102	--	--	--	7.70	7.70	21139	21139	2	50	19	--
CAMP	883	2058	--	--	7.70	7.70	21139	21139	(16+17)-II-2	(16+17)-II-1	10	14
238.5	1255	2170	--	--	7.70	7.70	21139	21139	(16+17)-II-2	(16+17)-II-1	9.7	12
FLN	1707	2203	--	--	7.70	7.70	21139	21139	(16+17)-II-2	(16+17)-II-1	9.6	11

X	x-	d-	x-/d-	x+	d+	x+/d+	Mr-	Mr+	C-	C+	Stato-	Stato+
cm	cm	cm		cm	cm		kg*m	kg*m				
ILN	18.3	75.9	0.241	--	--	--	21139	21139	2	50	Parz.	--
26.5	18.3	75.9	0.241	--	--	--	21139	21139	2	50	Parz.	--
CAMP	18.3	75.9	0.241	18.3	75.9	0.241	21139	21139	(16+17)-II-2	(16+17)-II-1	Parz.	Parz.
238.5	18.3	75.9	0.241	18.3	75.9	0.241	21139	21139	(16+17)-II-2	(16+17)-II-1	Parz.	Parz.
FLN	18.3	75.9	0.241	18.3	75.9	0.241	21139	21139	(16+17)-II-2	(16+17)-II-1	Parz.	Parz.

Verifica a taglio: $\cot(\theta)$ Sin=2.093, $\cot(\theta)$ Cen=2.500, $\cot(\theta)$ Des=2.093 Comb: Sin=3 Cen=(16+17)-II-1 Des=(16+17)-II-2

Sez	Td	VRdns	VRcd	VRsd	VRd	Tpl	Mr	Dx	Staffe	CS	ζ _E
	kg	kg	kg	kg	kg	kg	kg*m	cm	cmq/m		
Sin	3062	--	56240	56240	56240	0	21139	80.0	10.05	18	--
Cen	1740	--	49855	36644	36644	--	--	--	5.48	21	39
Des	1862	--	56240	56240	56240	0	21139	80.0	10.05	30	60

Verifica incendio: TeqvCls(°)=328 TeqvAcc(°)=429 Curva:ISO834, γCls=1.20(Agregato Calcareo) γAcc=1.00(Laminato a caldo),verifica per R120(min)

X	M-	M+	ΔM-	ΔM+	Afs	Afi	Mr-	Mr+	C-	C+	CS	ζ _E
cm	kg*m	kg*m	kg*m	kg*m	cmq	cmq	kg*m	kg*m				
ILN	1134	--	--	--	7.70	7.70	25310	24351	51	51	22	--
26.5	661	--	--	--	7.70	7.70	25310	24351	51	51	38	--
CAMP	--	637	--	--	7.70	7.70	25310	24351	51	51	38	--

X	M-	M+	ΔM-	ΔM+	Afs	Afi	Mr-	Mr+	C-	C+	CS	ζ _E
238.5	--	458	--	--	7.70	7.70	25310	24351	51	51	53	--
FLN	--	248	--	--	7.70	7.70	25310	24351	51	51	98	--

X	x-	d-	x-/d-	x+	d+	x+/d+	Mr-	Mr+	C-	C+	Stato-	Stato+
cm	cm	cm		cm	cm		kg*m	kg*m				
ILN	27.0	80.7	0.334	--	--	--	25310	24351	51	51	Parz.	--
26.5	27.0	80.7	0.334	--	--	--	25310	24351	51	51	Parz.	--
CAMP	--	--	--	20.0	79.1	0.253	25310	24351	51	51	--	Parz.
238.5	--	--	--	20.0	79.1	0.253	25310	24351	51	51	--	Parz.
FLN	--	--	--	20.0	79.1	0.253	25310	24351	51	51	--	Parz.

Verifica a taglio: $\cot(\theta)$ Sin=2.034, $\cot(\theta)$ Cen=2.500, $\cot(\theta)$ Des=2.034 Comb: Sin=51 Cen=51 Des=51

Sez	Td	VRdns	VRcd	VRsd	VRd	Tpl	Mr	Dx	Staffe	CS	ζ _E
	kg	kg	kg	kg	kg	kg	kg*m	cm	cmq/m		
Sin	1917	--	51129	51129	51129	0	24351	80.0	10.05	27	--
Cen	823	--	44531	34276	34276	--	--	--	5.48	42	--
Des	945	--	51129	51129	51129	0	25310	80.0	10.05	54	--

Trave: 102 [110,106], Pilastrate [10,6] Sez. R: By=30.0 cm Bz=80.0 cm L=327.5 cm Ln=327.5 cm Criterio : CLS_TraviAlte_ND - Verifica a flessione: **Verificato**

X	M-	M+	ΔM-	ΔM+	Afs	Afi	Mr-	Mr+	C-	C+	CS	ζ _E
cm	kg*m	kg*m	kg*m	kg*m	cmq	cmq	kg*m	kg*m				
ILN	4398	--	--	--	7.70	7.70	21139	21139	2	50	4.8	--
32.7	3129	--	--	--	7.70	7.70	21139	21139	2	50	6.8	--
CAMP	2081	--	--	--	7.70	7.70	21139	21139	2	50	10	--
294.7	1530	396	--	--	7.70	7.70	21139	21139	(16+17)-II-2	(16+17)-II-1	14	21
FLN	2143	196	--	--	7.70	7.70	21139	21139	(16+17)-II-2	(16+17)-II-1	9.9	17

X	x-	d-	x-/d-	x+	d+	x+/d+	Mr-	Mr+	C-	C+	Stato-	Stato+
cm	cm	cm		cm	cm		kg*m	kg*m				
ILN	18.4	75.9	0.242	--	--	--	21139	21139	2	50	Parz.	--
32.7	18.3	75.9	0.241	--	--	--	21139	21139	2	50	Parz.	--
CAMP	18.3	75.9	0.241	--	--	--	21139	21139	2	50	Parz.	--
294.7	18.3	75.9	0.241	18.2	75.9	0.240	21139	21139	(16+17)-II-2	(16+17)-II-1	Parz.	Parz.
FLN	18.3	75.9	0.241	18.2	75.9	0.240	21139	21139	(16+17)-II-2	(16+17)-II-1	Parz.	Parz.

Verifica a taglio: $\cot(\theta)$ Sin=2.093, $\cot(\theta)$ Cen=2.500, $\cot(\theta)$ Des=2.093 Comb: Sin=3 Cen=3 Des=3

Sez	Td	VRdns	VRcd	VRsd	VRd	Tpl	Mr	Dx	Staffe	CS	ζ _E
	kg	kg	kg	kg	kg	kg	kg*m	cm	cmq/m		
Sin	4214	--	56240	56240	56240	0	21139	80.0	10.05	13	--
Cen	2185	--	49855	30536	30536	--	--	--	4.57	14	--
Des	2550	--	56240	56240	56240	0	21139	80.0	10.05	22	--

Verifica incendio: TeqvCls(°)=328 TeqvAcc(°)=429 Curva:ISO834, γCls=1.20(Agregato Calcareo)
γAcc=1.00(Laminato a caldo), verifica per R120(min)

X	M-	M+	ΔM-	ΔM+	Afs	Afi	Mr-	Mr+	C-	C+	CS	ζ _E
cm	kg*m	kg*m	kg*m	kg*m	cmq	cmq	kg*m	kg*m				
ILN	2529	--	--	--	7.70	7.70	25310	24351	51	51	10	--
32.7	1811	--	--	--	7.70	7.70	25310	24351	51	51	14	--
CAMP	1218	--	--	--	7.70	7.70	25310	24351	51	51	21	--
294.7	567	--	--	--	7.70	7.70	25310	24351	51	51	45	--
FLN	974	--	--	--	7.70	7.70	25310	24351	51	51	26	--

X	x-	d-	x-/d-	x+	d+	x+/d+	Mr-	Mr+	C-	C+	Stato-	Stato+
cm	cm	cm		cm	cm		kg*m	kg*m				
ILN	27.0	80.7	0.334	--	--	--	25310	24351	51	51	Parz.	--
32.7	27.0	80.7	0.334	--	--	--	25310	24351	51	51	Parz.	--
CAMP	27.0	80.7	0.334	--	--	--	25310	24351	51	51	Parz.	--
294.7	27.0	80.7	0.334	--	--	--	25310	24351	51	51	Parz.	--
FLN	27.0	80.7	0.334	--	--	--	25310	24351	51	51	Parz.	--

Verifica a taglio: $\cot(\theta)$ Sin=2.034, $\cot(\theta)$ Cen=2.500, $\cot(\theta)$ Des=2.034 Comb: Sin=51 Cen=51 Des=51

Sez	Td	VRdns	VRcd	VRsd	VRd	Tpl	Mr	Dx	Staffe	CS	ζ_E
	kg	kg	kg	kg	kg	kg	kg*m	cm	cmq/m		
Sin	2384	--	51129	51129	51129	0	24351	80.0	10.05	21	--
Cen	1239	--	44531	28563	28563	--	--	--	4.57	23	--
Des	1434	--	51129	51129	51129	0	25310	80.0	10.05	36	--

Trave: 102 [116,110], Pilastrate [16,10] Sez. R: By=30.0 cm Bz=80.0 cm L=590.0 cm Ln=590.0 cm Criterio : CLS_TraviAlte_ND - Verifica a flessione: **Verificato**

X	M-	M+	$\Delta M-$	$\Delta M+$	Afs	Afi	Mr-	Mr+	C-	C+	CS	ζ_E
cm	kg*m	kg*m	kg*m	kg*m	cmq	cmq	kg*m	kg*m				
ILN	5713	--	--	--	7.70	7.70	21139	21139	2	50	3.7	--
59.0	2402	--	--	--	7.70	7.70	21139	21139	2	50	8.8	--
CAMP	--	3653	--	--	7.70	7.70	21139	21139	50	2	5.8	--
531.0	1898	--	--	--	7.70	7.70	21139	21139	(16+17)-II-2	50	11	24
FLN	4957	--	--	--	7.70	7.70	21139	21139	2	50	4.3	--

X	x-	d-	x-/d-	x+	d+	x+/d+	Mr-	Mr+	C-	C+	Stato-	Stato+
cm	cm	cm		cm	cm		kg*m	kg*m				
ILN	18.4	75.9	0.243	--	--	--	21139	21139	2	50	Parz.	--
59.0	18.3	75.9	0.241	--	--	--	21139	21139	2	50	Parz.	--
CAMP	--	--	--	18.3	75.9	0.242	21139	21139	50	2	--	Parz.
531.0	18.3	75.9	0.241	--	--	--	21139	21139	(16+17)-II-2	50	Parz.	--
FLN	18.4	75.9	0.242	--	--	--	21139	21139	2	50	Parz.	--

Verifica a taglio: $\cot(\theta)$ Sin=2.093, $\cot(\theta)$ Cen=2.500, $\cot(\theta)$ Des=2.093 Comb: Sin=3 Cen=3 Des=3

Sez	Td	VRdns	VRcd	VRsd	VRd	Tpl	Mr	Dx	Staffe	CS	ζ_E
	kg	kg	kg	kg	kg	kg	kg*m	cm	cmq/m		
Sin	6221	--	56240	56240	56240	0	21139	80.0	10.05	9.0	--
Cen	3784	--	49855	30536	30536	--	--	--	4.57	8.1	--
Des	5965	--	56240	56240	56240	0	21139	80.0	10.05	9.4	--

Verifica incendio: $T_{eqvClS}(^{\circ})=328$ $T_{eqvAcc}(^{\circ})=429$ Curva:ISO834, $\gamma_{ClS}=1.20$ (Aggregato Calcareo)
 $\gamma_{Acc}=1.00$ (Laminato a caldo), verifica per R120(min)

X	M-	M+	$\Delta M-$	$\Delta M+$	Afs	Afi	Mr-	Mr+	C-	C+	CS	ζ_E
cm	kg*m	kg*m	kg*m	kg*m	cmq	cmq	kg*m	kg*m				
ILN	3225	--	--	--	7.70	7.70	25310	24351	51	51	7.8	--
59.0	1360	--	--	--	7.70	7.70	25310	24351	51	51	19	--
CAMP	--	2040	--	--	7.70	7.70	25310	24351	51	51	12	--
531.0	1054	--	--	--	7.70	7.70	25310	24351	51	51	24	--
FLN	2842	--	--	--	7.70	7.70	25310	24351	51	51	8.9	--

X	x-	d-	x-/d-	x+	d+	x+/d+	Mr-	Mr+	C-	C+	Stato-	Stato+
cm	cm	cm		cm	cm		kg*m	kg*m				
ILN	27.0	80.7	0.334	--	--	--	25310	24351	51	51	Parz.	--
59.0	27.0	80.7	0.334	--	--	--	25310	24351	51	51	Parz.	--
CAMP	--	--	--	20.0	79.1	0.253	25310	24351	51	51	--	Parz.

X	x-	d-	x-/d-	x+	d+	x+/d+	Mr-	Mr+	C-	C+	Stato-	Stato+
531.0	27.0	80.7	0.334	--	--	--	25310	24351	51	51	Parz.	--
FLN	27.0	80.7	0.334	--	--	--	25310	24351	51	51	Parz.	--

Verifica a taglio: $\cot(\theta)$ Sin=2.034, $\cot(\theta)$ Cen=2.500, $\cot(\theta)$ Des=2.034 Comb: Sin=51 Cen=51 Des=51

Sez	Td	VRdhs	VRcd	VRsd	VRd	Tpl	Mr	Dx	Staffe	CS	ζ_E
	kg	kg	kg	kg	kg	kg	kg*m	cm	cmq/m		
Sin	3504	--	51129	51129	51129	0	24351	80.0	10.05	15	--
Cen	2129	--	44531	28563	28563	--	--	--	4.57	13	--
Des	3375	--	51129	51129	51129	0	25310	80.0	10.05	15	--

Trave: 102 [0,116], Pilastrate [--,16] Sez. R: By=30.0 cm Bz=80.0 cm L=73.7 cm Ln=73.7 cm Criterio :
CLS_TraviAlte_ND - Verifica a flessione: **Verificato**

X	M-	M+	$\Delta M-$	$\Delta M+$	Afs	Afi	Mr-	Mr+	C-	C+	CS	ζ_E
cm	kg*m	kg*m	kg*m	kg*m	cmq	cmq	kg*m	kg*m				
ILN	2183	--	--	--	13.8 5	13.8 5	37664	37664	2	50	17	--
7.4	2472	--	--	--	13.8 5	13.8 5	37664	37664	2	50	15	--
CAMP	4718	--	--	--	10.7 8	13.8 5	29574	37407	2	50	6.3	--
66.4	5071	--	--	--	10.7 8	10.7 8	29408	29408	2	50	5.8	--
FLN	5432	--	--	--	10.7 8	10.7 8	29408	29408	2	50	5.4	--

X	x-	d-	x-/d-	x+	d+	x+/d+	Mr-	Mr+	C-	C+	Stato-	Stato+
cm	cm	cm		cm	cm		kg*m	kg*m				
ILN	22.2	75.9	0.293	--	--	--	37664	37664	2	50	Parz.	--
7.4	22.2	75.9	0.293	--	--	--	37664	37664	2	50	Parz.	--
CAMP	19.8	75.9	0.261	--	--	--	29574	37407	2	50	Parz.	--
66.4	20.6	75.9	0.271	--	--	--	29408	29408	2	50	Parz.	--
FLN	20.6	75.9	0.271	--	--	--	29408	29408	2	50	Parz.	--

Verifica a taglio: $\cot(\theta)$ = 2.061 Comb: 3

Sez	Td	VRdhs	VRcd	VRsd	VRd	Tpl	Mr	Dx	Staffe	CS	ζ_E
	kg	kg		kg	kg	kg	kg*m	cm	cmq/m		
Sin	4947	--	56790	56790	56790	0	37664	73.7	10.31	11	--
Des							29408				

Verifica incendio: TeqvCls(°)=328 TeqvAcc(°)=426 Curva:ISO834, γ_{Cls} =1.20(Aggregato Calcareo)
 γ_{Acc} =1.00(Laminato a caldo),verifica per R120(min)

X	M-	M+	$\Delta M-$	$\Delta M+$	Afs	Afi	Mr-	Mr+	C-	C+	CS	ζ_E
cm	kg*m	kg*m	kg*m	kg*m	cmq	cmq	kg*m	kg*m				
ILN	1219	--	--	--	13.8 5	13.8 5	45230	44255	51	51	37	--
7.4	1379	--	--	--	13.8 5	13.8 5	45230	44255	51	51	33	--
CAMP	2648	--	--	--	10.7 8	13.8 5	35258	44243	51	51	13	--
66.4	2851	--	--	--	10.7 8	10.7 8	35268	34297	51	51	12	--
FLN	3059	--	--	--	10.7 8	10.7 8	35268	34297	51	51	12	--

X	x-	d-	x-/d-	x+	d+	x+/d+	Mr-	Mr+	C-	C+	Stato-	Stato+
---	----	----	-------	----	----	-------	-----	-----	----	----	--------	--------

X	x-	d-	x-/d-	x+	d+	x+/d+	Mr-	Mr+	C-	C+	Stato-	Stato+
cm	cm	cm		cm	cm		kg*m	kg*m				
ILN	30.7	80.6	0.381	--	--	--	45230	44255	51	51	Parz.	--
7.4	30.7	80.6	0.381	--	--	--	45230	44255	51	51	Parz.	--
CAMP	27.9	80.8	0.345	--	--	--	35258	44243	51	51	Parz.	--
66.4	29.1	80.6	0.361	--	--	--	35268	34297	51	51	Parz.	--
FLN	29.1	80.6	0.361	--	--	--	35268	34297	51	51	Parz.	--

Verifica a taglio: $\cot(\theta) = 1.994$ Comb: 51

Sez	Td	VRdns	VRcd	VRsd	VRd	Tpl	Mr	Dx	Staffe	CS	ζ_E
	kg	kg	kg	kg	kg	kg	kg*m	cm	cmq/m		
Sin	2863	--	51751	51751	51751	0	45230	73.7	10.31	18	--
Des							34297				

Trave: 102 [0,0], Pilastrate [--,--] Sez. R: By=30.0 cm Bz=80.0 cm L=73.8 cm Ln=73.8 cm Criterio : CLS_TraviAlte_ND - Verifica a flessione: **Verificato**

X	M-	M+	$\Delta M-$	$\Delta M+$	Afs	Afi	Mr-	Mr+	C-	C+	CS	ζ_E
cm	kg*m	kg*m	kg*m	kg*m	cmq	cmq	kg*m	kg*m				
ILN	370	525	--	--	9.24	9.24	25277	25277	(16+17)-II-2	(16+17)-II-1	48	56
7.4	501	447	--	--	9.24	9.24	25277	25277	(16+17)-II-2	(16+17)-II-1	50	53
CAMP	1650	363	--	--	9.24	9.24	25277	25277	2	(16+17)-II-1	15	51
66.4	1906	--	--	--	13.8 5	13.8 5	37664	37664	2	50	20	--
FLN	2171	--	--	--	13.8 5	13.8 5	37664	37664	2	50	17	--

X	x-	d-	x-/d-	x+	d+	x+/d+	Mr-	Mr+	C-	C+	Stato-	Stato+
cm	cm	cm		cm	cm		kg*m	kg*m				
ILN	19.4	75.9	0.256	19.4	75.9	0.256	25277	25277	(16+17)-II-2	(16+17)-II-1	Parz.	Parz.
7.4	19.4	75.9	0.256	19.4	75.9	0.256	25277	25277	(16+17)-II-2	(16+17)-II-1	Parz.	Parz.
CAMP	19.5	75.9	0.256	19.4	75.9	0.256	25277	25277	2	(16+17)-II-1	Parz.	Parz.
66.4	22.2	75.9	0.292	--	--	--	37664	37664	2	50	Parz.	--
FLN	22.2	75.9	0.293	--	--	--	37664	37664	2	50	Parz.	--

Verifica a taglio: $\cot(\theta) = 2.093$ Comb: 3

Sez	Td	VRdns	VRcd	VRsd	VRd	Tpl	Mr	Dx	Staffe	CS	ζ_E
	kg	kg	kg	kg	kg	kg	kg*m	cm	cmq/m		
Sin	3640	--	56240	56240	56240	0	25277	73.8	10.05	15	--
Des							37664				

Verifica incendio: $T_{eqvClis}(\circ) = 328$ $T_{eqvAcc}(\circ) = 424$ Curva: ISO834, $\gamma_{Clis} = 1.20$ (Aggregato Calcareo) $\gamma_{Acc} = 1.00$ (Laminato a caldo), verifica per R120(min)

X	M-	M+	$\Delta M-$	$\Delta M+$	Afs	Afi	Mr-	Mr+	C-	C+	CS	ζ_E
cm	kg*m	kg*m	kg*m	kg*m	cmq	cmq	kg*m	kg*m				
ILN	--	78	--	--	9.24	9.24	30303	29342	51	51	>100	--
7.4	27	--	--	--	9.24	9.24	30303	29342	51	51	>100	--
CAMP	910	--	--	--	9.24	9.24	30303	29342	51	51	33	--
66.4	1058	--	--	--	13.8 5	13.8 5	45230	44255	51	51	43	--
FLN	1212	--	--	--	13.8 5	13.8 5	45230	44255	51	51	37	--

X	x-	d-	x-/d-	x+	d+	x+/d+	Mr-	Mr+	C-	C+	Stato-	Stato+
cm	cm	cm		cm	cm		kg*m	kg*m				
ILN	--	--	--	21.2	79.0	0.268	30303	29342	51	51	--	Parz.
7.4	28.1	80.6	0.349	--	--	--	30303	29342	51	51	Parz.	--

X	x-	d-	x-/d-	x+	d+	x+/d+	Mr-	Mr+	C-	C+	Stato-	Stato+
CAMP	28.1	80.6	0.349	--	--	--	30303	29342	51	51	Parz.	--
66.4	30.7	80.6	0.381	--	--	--	45230	44255	51	51	Parz.	--
FLN	30.7	80.6	0.381	--	--	--	45230	44255	51	51	Parz.	--

Verifica a taglio: $\cot(\theta) = 2.019$ Comb: 51

Sez	Td	VRdhs	VRcd	VRsd	VRd	Tpl	Mr	Dx	Staffe	CS	ζ_E
	kg	kg	kg	kg	kg	kg	kg*m	cm	cmq/m		
Sin	2117	--	51364	51364	51364	0	29342	73.8	10.05	24	--
Des							45230				

Trave: 102 [0,0], Pilastrate [--,--] Sez. R: By=30.0 cm Bz=80.0 cm L=73.8 cm Ln=73.8 cm Criterio :
CLS_TraviAlte_ND - Verifica a flessione: **Verificato**

X	M-	M+	$\Delta M-$	$\Delta M+$	Afs	Afi	Mr-	Mr+	C-	C+	CS	ζ_E
cm	kg*m	kg*m	kg*m	kg*m	cmq	cmq	kg*m	kg*m				
ILN	--	1508	--	--	7.70	7.70	21139	21139	50	2	14	--
7.4	--	1405	--	--	7.70	7.70	21139	21139	50	2	15	--
CAMP	--	1295	--	--	7.70	7.70	21139	21139	50	2	16	--
66.4	280	652	--	--	7.70	7.70	21139	21139	(16+17)-II-2	(16+17)-II-1	32	45
FLN	409	576	--	--	7.70	7.70	21139	21139	(16+17)-II-2	(16+17)-II-1	37	43

X	x-	d-	x-/d-	x+	d+	x+/d+	Mr-	Mr+	C-	C+	Stato-	Stato+
cm	cm	cm		cm	cm		kg*m	kg*m				
ILN	--	--	--	18.3	75.9	0.241	21139	21139	50	2	--	Parz.
7.4	--	--	--	18.3	75.9	0.241	21139	21139	50	2	--	Parz.
CAMP	--	--	--	18.3	75.9	0.241	21139	21139	50	2	--	Parz.
66.4	18.2	75.9	0.240	18.3	75.9	0.240	21139	21139	(16+17)-II-2	(16+17)-II-1	Parz.	Parz.
FLN	18.2	75.9	0.240	18.3	75.9	0.240	21139	21139	(16+17)-II-2	(16+17)-II-1	Parz.	Parz.

Verifica a taglio: $\cot(\theta) = 2.093$ Comb: 3

Sez	Td	VRdhs	VRcd	VRsd	VRd	Tpl	Mr	Dx	Staffe	CS	ζ_E
	kg	kg	kg	kg	kg	kg	kg*m	cm	cmq/m		
Sin	2419	--	56240	56240	56240	0	21139	73.8	10.05	23	--
Des							21139				

Verifica incendio: $T_{eqvClis}(\circ) = 328$ $T_{eqvAcc}(\circ) = 429$ Curva: ISO834, $\gamma_{Clis} = 1.20$ (Aggregato Calcareo)
 $\gamma_{Acc} = 1.00$ (Laminato a caldo), verifica per R120(min)

X	M-	M+	$\Delta M-$	$\Delta M+$	Afs	Afi	Mr-	Mr+	C-	C+	CS	ζ_E
cm	kg*m	kg*m	kg*m	kg*m	cmq	cmq	kg*m	kg*m				
ILN	--	861	--	--	7.70	7.70	25310	24351	51	51	28	--
7.4	--	808	--	--	7.70	7.70	25310	24351	51	51	30	--
CAMP	--	749	--	--	7.70	7.70	25310	24351	51	51	32	--
66.4	--	186	--	--	7.70	7.70	25310	24351	51	51	>100	--
FLN	--	84	--	--	7.70	7.70	25310	24351	51	51	>100	--

X	x-	d-	x-/d-	x+	d+	x+/d+	Mr-	Mr+	C-	C+	Stato-	Stato+
cm	cm	cm		cm	cm		kg*m	kg*m				
ILN	--	--	--	20.0	79.1	0.253	25310	24351	51	51	--	Parz.
7.4	--	--	--	20.0	79.1	0.253	25310	24351	51	51	--	Parz.
CAMP	--	--	--	20.0	79.1	0.253	25310	24351	51	51	--	Parz.
66.4	--	--	--	20.0	79.1	0.253	25310	24351	51	51	--	Parz.
FLN	--	--	--	20.0	79.1	0.253	25310	24351	51	51	--	Parz.

Verifica a taglio: $\cot(\theta) = 2.034$ Comb: 51

Sez	Td	VRdhs	VRcd	VRsd	VRd	Tpl	Mr	Dx	Staffe	CS	ζ_E
-----	----	-------	------	------	-----	-----	----	----	--------	----	-----------

Sez	Td	VRdhs	VRcd	VRsd	VRd	Tpl	Mr	Dx	Staffe	CS	ζ_E
	kg	kg	kg	kg	kg	kg	kg*m	cm	cmq/m		
Sin	1423	--	51129	51129	51129	0	24351	73.8	10.05	36	--
Des							25310				

Trave: 102 [0,0], Pilastrate [--,--] Sez. R: By=30.0 cm Bz=80.0 cm L=73.8 cm Ln=73.8 cm Criterio : CLS_TraviAlte_ND - Verifica a flessione: **Verificato**

X	M-	M+	$\Delta M-$	$\Delta M+$	Afs	Afi	Mr-	Mr+	C-	C+	CS	ζ_E
cm	kg*m	kg*m	kg*m	kg*m	cmq	cmq	kg*m	kg*m				
ILN	--	2014	--	--	7.70	7.70	21139	21139	50	2	10	--
7.4	--	2000	--	--	7.70	7.70	21139	21139	50	2	11	--
CAMP	--	1978	--	--	7.70	7.70	21139	21139	50	2	11	--
66.4	--	1599	--	--	7.70	7.70	21139	21139	50	2	13	--
FLN	--	1513	--	--	7.70	7.70	21139	21139	50	2	14	--

X	x-	d-	x-/d-	x+	d+	x+/d+	Mr-	Mr+	C-	C+	Stato-	Stato +
cm	cm	cm		cm	cm		kg*m	kg*m				
ILN	--	--	--	18.3	75.9	0.241	21139	21139	50	2	--	Parz.
7.4	--	--	--	18.3	75.9	0.241	21139	21139	50	2	--	Parz.
CAMP	--	--	--	18.3	75.9	0.241	21139	21139	50	2	--	Parz.
66.4	--	--	--	18.3	75.9	0.241	21139	21139	50	2	--	Parz.
FLN	--	--	--	18.3	75.9	0.241	21139	21139	50	2	--	Parz.

Verifica a taglio: $\cot(\theta) = 2.093$ Comb: 3

Sez	Td	VRdhs	VRcd	VRsd	VRd	Tpl	Mr	Dx	Staffe	CS	ζ_E
	kg	kg	kg	kg	kg	kg	kg*m	cm	cmq/m		
Sin	1221	--	56240	56240	56240	0	21139	73.8	10.05	46	--
Des							21139				

Verifica incendio: $T_{eqvClS}(^{\circ})=328$ $T_{eqvAcc}(^{\circ})=429$ Curva:ISO834, $\gamma_{ClS}=1.20$ (Aggregato Calcareo)
 $\gamma_{Acc}=1.00$ (Laminato a caldo),verifica per R120(min)

X	M-	M+	$\Delta M-$	$\Delta M+$	Afs	Afi	Mr-	Mr+	C-	C+	CS	ζ_E
cm	kg*m	kg*m	kg*m	kg*m	cmq	cmq	kg*m	kg*m				
ILN	--	1143	--	--	7.70	7.70	25310	24351	51	51	21	--
7.4	--	1139	--	--	7.70	7.70	25310	24351	51	51	21	--
CAMP	--	1131	--	--	7.70	7.70	25310	24351	51	51	22	--
66.4	--	917	--	--	7.70	7.70	25310	24351	51	51	27	--
FLN	--	865	--	--	7.70	7.70	25310	24351	51	51	28	--

X	x-	d-	x-/d-	x+	d+	x+/d+	Mr-	Mr+	C-	C+	Stato-	Stato +
cm	cm	cm		cm	cm		kg*m	kg*m				
ILN	--	--	--	20.0	79.1	0.253	25310	24351	51	51	--	Parz.
7.4	--	--	--	20.0	79.1	0.253	25310	24351	51	51	--	Parz.
CAMP	--	--	--	20.0	79.1	0.253	25310	24351	51	51	--	Parz.
66.4	--	--	--	20.0	79.1	0.253	25310	24351	51	51	--	Parz.
FLN	--	--	--	20.0	79.1	0.253	25310	24351	51	51	--	Parz.

Verifica a taglio: $\cot(\theta) = 2.034$ Comb: 51

Sez	Td	VRdhs	VRcd	VRsd	VRd	Tpl	Mr	Dx	Staffe	CS	ζ_E
	kg	kg	kg	kg	kg	kg	kg*m	cm	cmq/m		
Sin	746	--	51129	51129	51129	0	24351	73.8	10.05	69	--
Des							25310				

Trave: 102 [0,0], Pilastrate [--,--] Sez. R: By=30.0 cm Bz=80.0 cm L=73.8 cm Ln=73.8 cm Criterio : CLS_TraviAlte_ND - Verifica a flessione: **Verificato**

X	M-	M+	ΔM-	ΔM+	Afs	Afi	Mr-	Mr+	C-	C+	CS	ζ _E
cm	kg*m	kg*m	kg*m	kg*m	cmq	cmq	kg*m	kg*m				
ILN	--	1635	--	--	7.70	7.70	21139	21139	50	2	13	--
7.4	--	1709	--	--	7.70	7.70	21139	21139	50	2	12	--
CAMP	--	2003	--	--	7.70	7.70	21139	21139	50	2	11	--
66.4	--	2013	--	--	7.70	7.70	21139	21139	50	2	11	--
FLN	--	2015	--	--	7.70	7.70	21139	21139	50	2	10	--

X	x-	d-	x-/d-	x+	d+	x+/d+	Mr-	Mr+	C-	C+	Stato-	Stato+
cm	cm	cm		cm	cm		kg*m	kg*m				
ILN	--	--	--	18.3	75.9	0.241	21139	21139	50	2	--	Parz.
7.4	--	--	--	18.3	75.9	0.241	21139	21139	50	2	--	Parz.
CAMP	--	--	--	18.3	75.9	0.241	21139	21139	50	2	--	Parz.
66.4	--	--	--	18.3	75.9	0.241	21139	21139	50	2	--	Parz.
FLN	--	--	--	18.3	75.9	0.241	21139	21139	50	2	--	Parz.

Verifica a taglio: $\cot(\theta) = 2.093$ Comb: 3

Sez	Td	VRdns	VRcd	VRsd	VRd	Tpl	Mr	Dx	Staffe	CS	ζ _E
	kg	kg	kg	kg	kg	kg	kg*m	cm	cmq/m		
Sin	1058	--	56240	56240	56240	0	21139	73.8	10.05	53	--
Des							21139				

Verifica incendio: $T_{eqvClS}(^{\circ}) = 328$ $T_{eqvAcc}(^{\circ}) = 429$ Curva: ISO834, $\gamma_{ClS} = 1.20$ (Aggregato Calcareo)
 $\gamma_{Acc} = 1.00$ (Laminato a caldo), verifica per R120(min)

X	M-	M+	ΔM-	ΔM+	Afs	Afi	Mr-	Mr+	C-	C+	CS	ζ _E
cm	kg*m	kg*m	kg*m	kg*m	cmq	cmq	kg*m	kg*m				
ILN	--	924	--	--	7.70	7.70	25310	24351	51	51	26	--
7.4	--	970	--	--	7.70	7.70	25310	24351	51	51	25	--
CAMP	--	1143	--	--	7.70	7.70	25310	24351	51	51	21	--
66.4	--	1146	--	--	7.70	7.70	25310	24351	51	51	21	--
FLN	--	1144	--	--	7.70	7.70	25310	24351	51	51	21	--

X	x-	d-	x-/d-	x+	d+	x+/d+	Mr-	Mr+	C-	C+	Stato-	Stato+
cm	cm	cm		cm	cm		kg*m	kg*m				
ILN	--	--	--	20.0	79.1	0.253	25310	24351	51	51	--	Parz.
7.4	--	--	--	20.0	79.1	0.253	25310	24351	51	51	--	Parz.
CAMP	--	--	--	20.0	79.1	0.253	25310	24351	51	51	--	Parz.
66.4	--	--	--	20.0	79.1	0.253	25310	24351	51	51	--	Parz.
FLN	--	--	--	20.0	79.1	0.253	25310	24351	51	51	--	Parz.

Verifica a taglio: $\cot(\theta) = 2.034$ Comb: 51

Sez	Td	VRdns	VRcd	VRsd	VRd	Tpl	Mr	Dx	Staffe	CS	ζ _E
	kg	kg	kg	kg	kg	kg	kg*m	cm	cmq/m		
Sin	667	--	51129	51129	51129	0	24351	73.8	10.05	77	--
Des							25310				

Trave: 102 [0,0], Pilastrate [--,--] Sez. R: $B_y = 30.0$ cm $B_z = 80.0$ cm $L = 73.8$ cm $L_n = 73.8$ cm Criterio :
 CLS_TraviAlte_ND - Verifica a flessione: **Verificato**

X	M-	M+	ΔM-	ΔM+	Afs	Afi	Mr-	Mr+	C-	C+	CS	ζ _E
cm	kg*m	kg*m	kg*m	kg*m	cmq	cmq	kg*m	kg*m				
ILN	263	671	--	--	7.70	7.70	21139	21139	(16+17)-II-1	(16+17)-II-2	32	45
7.4	139	740	--	--	7.70	7.70	21139	21139	(16+17)-II-1	(16+17)-II-2	29	47
CAMP	--	1443	--	--	7.70	7.70	21139	21139	50	2	15	--
66.4	--	1541	--	--	7.70	7.70	21139	21139	50	2	14	--
FLN	--	1631	--	--	7.70	7.70	21139	21139	50	2	13	--

X	x-	d-	x-/d-	x+	d+	x+/d+	Mr-	Mr+	C-	C+	Stato-	Stato+
cm	cm	cm		cm	cm		kg*m	kg*m				
ILN	18.2	75.9	0.240	18.3	75.9	0.240	21139	21139	(16+17)-II-1	(16+17)-II-2	Parz.	Parz.
7.4	18.2	75.9	0.240	18.3	75.9	0.241	21139	21139	(16+17)-II-1	(16+17)-II-2	Parz.	Parz.
CAMP	--	--	--	18.3	75.9	0.241	21139	21139	50	2	--	Parz.
66.4	--	--	--	18.3	75.9	0.241	21139	21139	50	2	--	Parz.
FLN	--	--	--	18.3	75.9	0.241	21139	21139	50	2	--	Parz.

Verifica a taglio: $\cot(\theta) = 2.093$ Comb: 3

Sez	Td	VRdhs	VRcd	VRsd	VRd	Tpl	Mr	Dx	Staffe	CS	ζ_E
	kg	kg	kg	kg	kg	kg	kg*m	cm	cmq/m		
Sin	2252	--	56240	56240	56240	0	21139	73.8	10.05	25	--
Des							21139				

Verifica incendio: $T_{eqvClS}(^{\circ})=328$ $T_{eqvAcc}(^{\circ})=429$ Curva:ISO834, $\gamma_{ClS}=1.20$ (Aggregato Calcareo)
 $\gamma_{Acc}=1.00$ (Laminato a caldo),verifica per R120(min)

X	M-	M+	$\Delta M-$	$\Delta M+$	Afs	Afi	Mr-	Mr+	C-	C+	CS	ζ_E
cm	kg*m	kg*m	kg*m	kg*m	cmq	cmq	kg*m	kg*m				
ILN	--	204	--	--	7.70	7.70	25310	24351	51	51	>100	--
7.4	--	300	--	--	7.70	7.70	25310	24351	51	51	81	--
CAMP	--	822	--	--	7.70	7.70	25310	24351	51	51	30	--
66.4	--	874	--	--	7.70	7.70	25310	24351	51	51	28	--
FLN	--	922	--	--	7.70	7.70	25310	24351	51	51	26	--

X	x-	d-	x-/d-	x+	d+	x+/d+	Mr-	Mr+	C-	C+	Stato-	Stato+
cm	cm	cm		cm	cm		kg*m	kg*m				
ILN	--	--	--	20.0	79.1	0.253	25310	24351	51	51	--	Parz.
7.4	--	--	--	20.0	79.1	0.253	25310	24351	51	51	--	Parz.
CAMP	--	--	--	20.0	79.1	0.253	25310	24351	51	51	--	Parz.
66.4	--	--	--	20.0	79.1	0.253	25310	24351	51	51	--	Parz.
FLN	--	--	--	20.0	79.1	0.253	25310	24351	51	51	--	Parz.

Verifica a taglio: $\cot(\theta) = 2.034$ Comb: 51

Sez	Td	VRdhs	VRcd	VRsd	VRd	Tpl	Mr	Dx	Staffe	CS	ζ_E
	kg	kg	kg	kg	kg	kg	kg*m	cm	cmq/m		
Sin	1342	--	51129	51129	51129	0	24351	73.8	10.05	38	--
Des							25310				

Trave: 102 [0,0], Pilastrate [--,--] Sez. R: $B_y=30.0$ cm $B_z=80.0$ cm $L=73.8$ cm $L_n=73.8$ cm Criterio :
 CLS_TraviAlte_ND - Verifica a flessione: **Verificato**

X	M-	M+	$\Delta M-$	$\Delta M+$	Afs	Afi	Mr-	Mr+	C-	C+	CS	ζ_E
cm	kg*m	kg*m	kg*m	kg*m	cmq	cmq	kg*m	kg*m				
ILN	1795	--	--	--	7.70	7.70	21139	21139	2	50	12	--
7.4	1544	--	--	--	7.70	7.70	21139	21139	2	50	14	--
CAMP	1374	471	--	--	7.70	7.70	21139	21139	(16+17)-II-1	(16+17)-II-2	15	32
66.4	345	547	--	--	7.70	7.70	21139	21139	(16+17)-II-1	(16+17)-II-2	39	47
FLN	219	618	--	--	7.70	7.70	21139	21139	(16+17)-II-1	(16+17)-II-2	34	50

X	x-	d-	x-/d-	x+	d+	x+/d+	Mr-	Mr+	C-	C+	Stato-	Stato+
cm	cm	cm		cm	cm		kg*m	kg*m				
ILN	18.3	75.9	0.241	--	--	--	21139	21139	2	50	Parz.	--
7.4	18.3	75.9	0.241	--	--	--	21139	21139	2	50	Parz.	--
CAMP	18.3	75.9	0.241	18.2	75.9	0.240	21139	21139	(16+17)-II-1	(16+17)-II-2	Parz.	Parz.
66.4	18.2	75.9	0.240	18.2	75.9	0.240	21139	21139	(16+17)-II-1	(16+17)-II-2	Parz.	Parz.

X	x-	d-	x-/d-	x+	d+	x+/d+	Mr-	Mr+	C-	C+	Stato-	Stato+
FLN	18.2	75.9	0.240	18.3	75.9	0.240	21139	21139	(16+17)-II-1	(16+17)-II-2	Parz.	Parz.

Verifica a taglio: $\cot(\theta) = 2.093$ Comb: 3

Sez	Td	VRdhs	VRcd	VRsd	VRd	Tpl	Mr	Dx	Staffe	CS	ζ_E
	kg	kg	kg	kg	kg	kg	kg*m	cm	cmq/m		
Sin	3467	--	56240	56240	56240	0	21139	73.8	10.05	16	--
Des							21139				

Verifica incendio: $T_{eqvClS}(^{\circ}) = 328$ $T_{eqvAcc}(^{\circ}) = 429$ Curva: ISO834, $\gamma_{ClS} = 1.20$ (Aggregato Calcareo)
 $\gamma_{Acc} = 1.00$ (Laminato a caldo), verifica per R120(min)

X	M-	M+	$\Delta M-$	$\Delta M+$	Afs	Afi	Mr-	Mr+	C-	C+	CS	ζ_E
cm	kg*m	kg*m	kg*m	kg*m	cmq	cmq	kg*m	kg*m				
ILN	1027	--	--	--	7.70	7.70	25310	24351	51	51	25	--
7.4	880	--	--	--	7.70	7.70	25310	24351	51	51	29	--
CAMP	738	--	--	--	7.70	7.70	25310	24351	51	51	34	--
66.4	--	101	--	--	7.70	7.70	25310	24351	51	51	>100	--
FLN	--	199	--	--	7.70	7.70	25310	24351	51	51	>100	--

X	x-	d-	x-/d-	x+	d+	x+/d+	Mr-	Mr+	C-	C+	Stato-	Stato+
cm	cm	cm		cm	cm		kg*m	kg*m				
ILN	27.0	80.7	0.334	--	--	--	25310	24351	51	51	Parz.	--
7.4	27.0	80.7	0.334	--	--	--	25310	24351	51	51	Parz.	--
CAMP	27.0	80.7	0.334	--	--	--	25310	24351	51	51	Parz.	--
66.4	--	--	--	20.0	79.1	0.253	25310	24351	51	51	--	Parz.
FLN	--	--	--	20.0	79.1	0.253	25310	24351	51	51	--	Parz.

Verifica a taglio: $\cot(\theta) = 2.034$ Comb: 51

Sez	Td	VRdhs	VRcd	VRsd	VRd	Tpl	Mr	Dx	Staffe	CS	ζ_E
	kg	kg	kg	kg	kg	kg	kg*m	cm	cmq/m		
Sin	2031	--	51129	51129	51129	0	24351	73.8	10.05	25	--
Des							25310				

Trave: 102 [123,0], Pilastrate [23,--] Sez. R: $B_y = 30.0$ cm $B_z = 80.0$ cm $L = 73.8$ cm $L_n = 73.8$ cm Criterio :
 CLS_TraviAlte_ND - Verifica a flessione: **Verificato**

X	M-	M+	$\Delta M-$	$\Delta M+$	Afs	Afi	Mr-	Mr+	C-	C+	CS	ζ_E
cm	kg*m	kg*m	kg*m	kg*m	cmq	cmq	kg*m	kg*m				
ILN	4920	--	--	--	9.24	9.24	25277	25277	2	50	5.1	--
7.4	4573	--	--	--	9.24	9.24	25277	25277	2	50	5.5	--
CAMP	4233	--	--	--	9.24	9.24	25277	25277	2	50	6.0	--
66.4	2081	--	--	--	9.24	9.24	25277	25277	2	50	12	--
FLN	1805	--	--	--	9.24	9.24	25277	25277	2	50	14	--

X	x-	d-	x-/d-	x+	d+	x+/d+	Mr-	Mr+	C-	C+	Stato-	Stato+
cm	cm	cm		cm	cm		kg*m	kg*m				
ILN	19.6	75.9	0.258	--	--	--	25277	25277	2	50	Parz.	--
7.4	19.6	75.9	0.258	--	--	--	25277	25277	2	50	Parz.	--
CAMP	19.5	75.9	0.257	--	--	--	25277	25277	2	50	Parz.	--
66.4	19.5	75.9	0.257	--	--	--	25277	25277	2	50	Parz.	--
FLN	19.5	75.9	0.257	--	--	--	25277	25277	2	50	Parz.	--

Verifica a taglio: $\cot(\theta) = 2.061$ Comb: 3

Sez	Td	VRdhs	VRcd	VRsd	VRd	Tpl	Mr	Dx	Staffe	CS	ζ_E
	kg	kg	kg	kg	kg	kg	kg*m	cm	cmq/m		
Sin	4766	--	56790	56790	56790	0	25277	73.8	10.31	12	--

Sez	Td	VRdhs	VRcd	VRsd	VRd	Tpl	Mr	Dx	Staffe	CS	ζ_E
Des							25277				

Verifica incendio: $T_{eqvClis}(^{\circ})=328$ $T_{eqvAcc}(^{\circ})=427$ Curva:ISO834, $\gamma_{Clis}=1.20$ (Aggregato Calcareo)
 $\gamma_{Acc}=1.00$ (Laminato a caldo),verifica per R120(min)

X	M-	M+	$\Delta M-$	$\Delta M+$	Afs	Afi	Mr-	Mr+	C-	C+	CS	ζ_E
cm	kg*m	kg*m	kg*m	kg*m	cmq	cmq	kg*m	kg*m				
ILN	2804	--	--	--	9.24	9.24	30303	29342	51	51	11	--
7.4	2602	--	--	--	9.24	9.24	30303	29342	51	51	12	--
CAMP	2406	--	--	--	9.24	9.24	30303	29342	51	51	13	--
66.4	1185	--	--	--	9.24	9.24	30303	29342	51	51	26	--
FLN	1033	--	--	--	9.24	9.24	30303	29342	51	51	29	--

X	x-	d-	x-/d-	x+	d+	x+/d+	Mr-	Mr+	C-	C+	Stato-	Stato+
cm	cm	cm		cm	cm		kg*m	kg*m				
ILN	28.1	80.6	0.349	--	--	--	30303	29342	51	51	Parz.	--
7.4	28.1	80.6	0.349	--	--	--	30303	29342	51	51	Parz.	--
CAMP	28.1	80.6	0.349	--	--	--	30303	29342	51	51	Parz.	--
66.4	28.1	80.6	0.349	--	--	--	30303	29342	51	51	Parz.	--
FLN	28.1	80.6	0.349	--	--	--	30303	29342	51	51	Parz.	--

Verifica a taglio: $\cot(\theta) = 1.996$ Comb: 51

Sez	Td	VRdhs	VRcd	VRsd	VRd	Tpl	Mr	Dx	Staffe	CS	ζ_E
	kg	kg	kg	kg	kg	kg	kg*m	cm	cmq/m		
Sin	2770	--	51725	51725	51725	0	29342	73.8	10.31	19	--
Des							30303				

Trave: 102 [0,123], Pilastrate [--,23] Sez. R: $B_y=30.0$ cm $B_z=80.0$ cm $L=75.0$ cm $L_n=75.0$ cm Criterio :
 CLS_TraviAlte_ND - Verifica a flessione: **Verificato**

X	M-	M+	$\Delta M-$	$\Delta M+$	Afs	Afi	Mr-	Mr+	C-	C+	CS	ζ_E
cm	kg*m	kg*m	kg*m	kg*m	cmq	cmq	kg*m	kg*m				
ILN	1650	--	--	--	9.24	9.24	25277	25277	2	50	15	--
7.5	1975	--	--	--	9.24	9.24	25277	25277	2	50	13	--
CAMP	4484	--	--	--	9.24	9.24	25277	25277	2	50	5.6	--
67.5	4875	--	--	--	9.24	9.24	25277	25277	2	50	5.2	--
FLN	5275	--	--	--	9.24	9.24	25277	25277	2	50	4.8	--

X	x-	d-	x-/d-	x+	d+	x+/d+	Mr-	Mr+	C-	C+	Stato-	Stato+
cm	cm	cm		cm	cm		kg*m	kg*m				
ILN	19.5	75.9	0.256	--	--	--	25277	25277	2	50	Parz.	--
7.5	19.5	75.9	0.257	--	--	--	25277	25277	2	50	Parz.	--
CAMP	19.5	75.9	0.258	--	--	--	25277	25277	2	50	Parz.	--
67.5	19.6	75.9	0.258	--	--	--	25277	25277	2	50	Parz.	--
FLN	19.6	75.9	0.258	--	--	--	25277	25277	2	50	Parz.	--

Verifica a taglio: $\cot(\theta) = 2.092$ Comb: 3

Sez	Td	VRdhs	VRcd	VRsd	VRd	Tpl	Mr	Dx	Staffe	CS	ζ_E
	kg	kg	kg	kg	kg	kg	kg*m	cm	cmq/m		
Sin	5387	--	56257	56257	56257	0	25277	75.0	10.06	10	--
Des							25277				

Verifica incendio: $T_{eqvClis}(^{\circ})=328$ $T_{eqvAcc}(^{\circ})=427$ Curva:ISO834, $\gamma_{Clis}=1.20$ (Aggregato Calcareo)
 $\gamma_{Acc}=1.00$ (Laminato a caldo),verifica per R120(min)

X	M-	M+	$\Delta M-$	$\Delta M+$	Afs	Afi	Mr-	Mr+	C-	C+	CS	ζ_E
cm	kg*m	kg*m	kg*m	kg*m	cmq	cmq	kg*m	kg*m				
ILN	939	--	--	--	9.24	9.24	30303	29342	51	51	32	--

X	M-	M+	ΔM-	ΔM+	Afs	Afi	Mr-	Mr+	C-	C+	CS	ζ _E
7.5	1124	--	--	--	9.24	9.24	30303	29342	51	51	27	--
CAMP	2580	--	--	--	9.24	9.24	30303	29342	51	51	12	--
67.5	2811	--	--	--	9.24	9.24	30303	29342	51	51	11	--
FLN	3047	--	--	--	9.24	9.24	30303	29342	51	51	9.9	--

X	x-	d-	x-/d-	x+	d+	x+/d+	Mr-	Mr+	C-	C+	Stato-	Stato+
cm	cm	cm		cm	cm		kg*m	kg*m				
ILN	28.1	80.6	0.349	--	--	--	30303	29342	51	51	Parz.	--
7.5	28.1	80.6	0.349	--	--	--	30303	29342	51	51	Parz.	--
CAMP	28.1	80.6	0.349	--	--	--	30303	29342	51	51	Parz.	--
67.5	28.1	80.6	0.349	--	--	--	30303	29342	51	51	Parz.	--
FLN	28.1	80.6	0.349	--	--	--	30303	29342	51	51	Parz.	--

Verifica a taglio: $\cot(\theta) = 2.026$ Comb: 51

Sez	Td	VRd _{ns}	VR _{cd}	VR _{sd}	VR _d	Tpl	Mr	Dx	Staffe	CS	ζ _E
	kg	kg	kg	kg	kg	kg	kg*m	cm	cmq/m		
Sin	3187	--	51249	51249	51249	0	29342	75.0	10.06	16	--
Des							30303				

Trave: 102 [0,0], Pilastrate [--,--] Sez. R: By=30.0 cm Bz=80.0 cm L=75.0 cm Ln=75.0 cm Criterio :
CLS_TraviAlte_ND - Verifica a flessione: **Verificato**

X	M-	M+	ΔM-	ΔM+	Afs	Afi	Mr-	Mr+	C-	C+	CS	ζ _E
cm	kg*m	kg*m	kg*m	kg*m	cmq	cmq	kg*m	kg*m				
ILN	--	1001	--	--	10.7 8	10.7 8	29408	29408	50	(16+17)-II-1	29	67
7.5	19	903	--	--	10.7 8	10.7 8	29408	29408	(16+17)-II-2	(16+17)-II-1	33	63
CAMP	1246	800	--	--	9.24	10.7 8	25352	29310	(16+17)-II-2	(16+17)-II-1	20	38
67.5	1444	--	--	--	9.24	9.24	25277	25277	(16+17)-II-2	50	18	36
FLN	1647	--	--	--	9.24	9.24	25277	25277	(16+17)-II-2	50	15	34

X	x-	d-	x-/d-	x+	d+	x+/d+	Mr-	Mr+	C-	C+	Stato-	Stato+
cm	cm	cm		cm	cm		kg*m	kg*m				
ILN	--	--	--	20.5	75.9	0.270	29408	29408	50	(16+17)-II-1	--	Parz.
7.5	20.4	75.9	0.269	20.5	75.9	0.270	29408	29408	(16+17)-II-2	(16+17)-II-1	Parz.	Parz.
CAMP	19.1	75.9	0.251	20.9	75.9	0.275	25352	29310	(16+17)-II-2	(16+17)-II-1	Parz.	Parz.
67.5	19.5	75.9	0.256	--	--	--	25277	25277	(16+17)-II-2	50	Parz.	--
FLN	19.5	75.9	0.256	--	--	--	25277	25277	(16+17)-II-2	50	Parz.	--

Verifica a taglio: $\cot(\theta) = 2.093$ Comb: 3

Sez	Td	VRd _{ns}	VR _{cd}	VR _{sd}	VR _d	Tpl	Mr	Dx	Staffe	CS	ζ _E
	kg	kg	kg	kg	kg	kg	kg*m	cm	cmq/m		
Sin	4002	--	56240	56240	56240	0	29408	75.0	10.05	14	--
Des							25277				

Verifica incendio: Teq_vCl_s(°)=328 Teq_vAcc(°)=427 Curva:ISO834,γCl_s=1.20(Aggregato Calcareo)
γAcc=1.00(Laminato a caldo),verifica per R120(min)

X	M-	M+	ΔM-	ΔM+	Afs	Afi	Mr-	Mr+	C-	C+	CS	ζ _E
cm	kg*m	kg*m	kg*m	kg*m	cmq	cmq	kg*m	kg*m				
ILN	--	567	--	--	10.7 8	10.7 8	35268	34297	51	51	60	--
7.5	--	442	--	--	10.7 8	10.7 8	35268	34297	51	51	78	--
CAMP	592	--	--	--	9.24	10.7 8	30304	34292	51	51	51	--

X	M-	M+	ΔM-	ΔM+	Afs	Afi	Mr-	Mr+	C-	C+	CS	ζ _E
67.5	763	--	--	--	9.24	9.24	30303	29342	51	51	40	--
FLN	938	--	--	--	9.24	9.24	30303	29342	51	51	32	--

X	x-	d-	x-/d-	x+	d+	x+/d+	Mr-	Mr+	C-	C+	Stato-	Stato +
cm	cm	cm		cm	cm		kg*m	kg*m				
ILN	--	--	--	22.2	79.0	0.281	35268	34297	51	51	--	Parz.
7.5	--	--	--	22.2	79.0	0.281	35268	34297	51	51	--	Parz.
CAMP	27.5	80.7	0.341	--	--	--	30304	34292	51	51	Parz.	--
67.5	28.1	80.6	0.349	--	--	--	30303	29342	51	51	Parz.	--
FLN	28.1	80.6	0.349	--	--	--	30303	29342	51	51	Parz.	--

Verifica a taglio: $\cot(\theta) = 2.027$ Comb: 51

Sez	Td	VRdns	VRcd	VRsd	VRd	Tpl	Mr	Dx	Staffe	CS	ζ _E
	kg	kg	kg	kg	kg	kg	kg*m	cm	cmq/m		
Sin	2383	--	51234	51234	51234	0	35268	75.0	10.05	21	--
Des							29342				

Trave: 102 [0,0], Pilastrate [--,--] Sez. R: By=30.0 cm Bz=80.0 cm L=75.0 cm Ln=75.0 cm Criterio :
CLS_TraviAlte_ND - Verifica a flessione: **Verificato**

X	M-	M+	ΔM-	ΔM+	Afs	Afi	Mr-	Mr+	C-	C+	CS	ζ _E
cm	kg*m	kg*m	kg*m	kg*m	cmq	cmq	kg*m	kg*m				
ILN	--	2509	--	--	10.7 8	10.7 8	29408	29408	50	2	12	--
7.5	--	2389	--	--	10.7 8	10.7 8	29408	29408	50	2	12	--
CAMP	--	2262	--	--	10.7 8	10.7 8	29408	29408	50	2	13	--
67.5	--	1141	--	--	10.7 8	10.7 8	29408	29408	50	(16+17)-II-1	26	63
FLN	--	1053	--	--	10.7 8	10.7 8	29408	29408	50	(16+17)-II-1	28	60

X	x-	d-	x-/d-	x+	d+	x+/d+	Mr-	Mr+	C-	C+	Stato-	Stato +
cm	cm	cm		cm	cm		kg*m	kg*m				
ILN	--	--	--	20.5	75.9	0.270	29408	29408	50	2	--	Parz.
7.5	--	--	--	20.5	75.9	0.270	29408	29408	50	2	--	Parz.
CAMP	--	--	--	20.5	75.9	0.270	29408	29408	50	2	--	Parz.
67.5	--	--	--	20.5	75.9	0.270	29408	29408	50	(16+17)-II-1	--	Parz.
FLN	--	--	--	20.5	75.9	0.270	29408	29408	50	(16+17)-II-1	--	Parz.

Verifica a taglio: $\cot(\theta) = 2.093$ Comb: 3

Sez	Td	VRdns	VRcd	VRsd	VRd	Tpl	Mr	Dx	Staffe	CS	ζ _E
	kg	kg	kg	kg	kg	kg	kg*m	cm	cmq/m		
Sin	2639	--	56240	56240	56240	0	29408	75.0	10.05	21	--
Des							29408				

Verifica incendio: $T_{eqvClis}(^{\circ}) = 328$ $T_{eqvAcc}(^{\circ}) = 426$ Curva: ISO834, $\gamma_{Clis} = 1.20$ (Aggregato Calcareo)
 $\gamma_{Acc} = 1.00$ (Laminato a caldo), verifica per R120(min)

X	M-	M+	ΔM-	ΔM+	Afs	Afi	Mr-	Mr+	C-	C+	CS	ζ _E
cm	kg*m	kg*m	kg*m	kg*m	cmq	cmq	kg*m	kg*m				
ILN	--	1475	--	--	10.7 8	10.7 8	35268	34297	51	51	23	--
7.5	--	1410	--	--	10.7 8	10.7 8	35268	34297	51	51	24	--
CAMP	--	1339	--	--	10.7 8	10.7 8	35268	34297	51	51	26	--

X	M-	M+	ΔM-	ΔM+	Afs	Afi	Mr-	Mr+	C-	C+	CS	ζ _E
67.5	--	684	--	--	10.7 8	10.7 8	35268	34297	51	51	50	--
FLN	--	568	--	--	10.7 8	10.7 8	35268	34297	51	51	60	--

X	x-	d-	x-/d-	x+	d+	x+/d+	Mr-	Mr+	C-	C+	Stato-	Stato+
cm	cm	cm		cm	cm		kg*m	kg*m				
ILN	--	--	--	22.2	79.0	0.281	35268	34297	51	51	--	Parz.
7.5	--	--	--	22.2	79.0	0.281	35268	34297	51	51	--	Parz.
CAMP	--	--	--	22.2	79.0	0.281	35268	34297	51	51	--	Parz.
67.5	--	--	--	22.2	79.0	0.281	35268	34297	51	51	--	Parz.
FLN	--	--	--	22.2	79.0	0.281	35268	34297	51	51	--	Parz.

Verifica a taglio: $\cot(\theta) = 2.026$ Comb: 51

Sez	Td	VRdhs	VRcd	VRsd	VRd	Tpl	Mr	Dx	Staffe	CS	ζ _E
	kg	kg	kg	kg	kg	kg	kg*m	cm	cmq/m		
Sin	1585	--	51260	51260	51260	0	34297	75.0	10.05	32	--
Des							35268				

Trave: 102 [0,0], Pilastrate [--,--] Sez. R: By=30.0 cm Bz=80.0 cm L=75.0 cm Ln=75.0 cm Criterio : CLS_TraviAlte_ND - Verifica a flessione: **Verificato**

X	M-	M+	ΔM-	ΔM+	Afs	Afi	Mr-	Mr+	C-	C+	CS	ζ _E
cm	kg*m	kg*m	kg*m	kg*m	cmq	cmq	kg*m	kg*m				
ILN	--	3046	--	--	7.70	7.70	21139	21139	50	2	6.9	--
7.5	--	3030	--	--	7.70	7.70	21139	21139	50	2	7.0	--
CAMP	--	3005	--	--	7.70	7.70	21139	21139	50	2	7.0	--
67.5	--	2601	--	--	7.70	7.70	21139	21139	50	2	8.1	--
FLN	--	2511	--	--	7.70	7.70	21139	21139	50	2	8.4	--

X	x-	d-	x-/d-	x+	d+	x+/d+	Mr-	Mr+	C-	C+	Stato-	Stato+
cm	cm	cm		cm	cm		kg*m	kg*m				
ILN	--	--	--	18.3	75.9	0.241	21139	21139	50	2	--	Parz.
7.5	--	--	--	18.3	75.9	0.241	21139	21139	50	2	--	Parz.
CAMP	--	--	--	18.3	75.9	0.241	21139	21139	50	2	--	Parz.
67.5	--	--	--	18.3	75.9	0.241	21139	21139	50	2	--	Parz.
FLN	--	--	--	18.3	75.9	0.241	21139	21139	50	2	--	Parz.

Verifica a taglio: $\cot(\theta) = 2.093$ Comb: 3

Sez	Td	VRdhs	VRcd	VRsd	VRd	Tpl	Mr	Dx	Staffe	CS	ζ _E
	kg	kg	kg	kg	kg	kg	kg*m	cm	cmq/m		
Sin	1265	--	56240	56240	56240	0	21139	75.0	10.05	44	--
Des							21139				

Verifica incendio: $T_{eqvClS}(^{\circ})=328$ $T_{eqvAcc}(^{\circ})=429$ Curva:ISO834, $\gamma_{ClS}=1.20$ (Aggregato Calcareo) $\gamma_{Acc}=1.00$ (Laminato a caldo),verifica per R120(min)

X	M-	M+	ΔM-	ΔM+	Afs	Afi	Mr-	Mr+	C-	C+	CS	ζ _E
cm	kg*m	kg*m	kg*m	kg*m	cmq	cmq	kg*m	kg*m				
ILN	--	1780	--	--	7.70	7.70	25310	24351	51	51	14	--
7.5	--	1775	--	--	7.70	7.70	25310	24351	51	51	14	--
CAMP	--	1764	--	--	7.70	7.70	25310	24351	51	51	14	--
67.5	--	1532	--	--	7.70	7.70	25310	24351	51	51	16	--
FLN	--	1476	--	--	7.70	7.70	25310	24351	51	51	16	--

X	x-	d-	x-/d-	x+	d+	x+/d+	Mr-	Mr+	C-	C+	Stato-	Stato+
cm	cm	cm		cm	cm		kg*m	kg*m				
ILN	--	--	--	20.0	79.1	0.253	25310	24351	51	51	--	Parz.
7.5	--	--	--	20.0	79.1	0.253	25310	24351	51	51	--	Parz.
CAMP	--	--	--	20.0	79.1	0.253	25310	24351	51	51	--	Parz.
67.5	--	--	--	20.0	79.1	0.253	25310	24351	51	51	--	Parz.
FLN	--	--	--	20.0	79.1	0.253	25310	24351	51	51	--	Parz.

Verifica a taglio: $\cot(\theta) = 2.034$ Comb: 51

Sez	Td	VRdns	VRcd	VRsd	VRd	Tpl	Mr	Dx	Staffe	CS	ζ_E
	kg	kg	kg	kg	kg	kg	kg*m	cm	cmq/m		
Sin	780	--	51129	51129	51129	0	24351	75.0	10.05	66	--
Des							25310				

Trave: 102 [0,0], Pilastrate [--,--] Sez. R: By=30.0 cm Bz=80.0 cm L=75.0 cm Ln=75.0 cm Criterio : CLS_TraviAlte_ND - Verifica a flessione: **Verificato**

X	M-	M+	$\Delta M-$	$\Delta M+$	Afs	Afi	Mr-	Mr+	C-	C+	CS	ζ_E
cm	kg*m	kg*m	kg*m	kg*m	cmq	cmq	kg*m	kg*m				
ILN	--	2553	--	--	7.70	7.70	21139	21139	50	2	8.3	--
7.5	--	2640	--	--	7.70	7.70	21139	21139	50	2	8.0	--
CAMP	--	3015	--	--	7.70	7.70	21139	21139	50	2	7.0	--
67.5	--	3035	--	--	7.70	7.70	21139	21139	50	2	7.0	--
FLN	--	3047	--	--	7.70	7.70	21139	21139	50	2	6.9	--

X	x-	d-	x-/d-	x+	d+	x+/d+	Mr-	Mr+	C-	C+	Stato-	Stato+
cm	cm	cm		cm	cm		kg*m	kg*m				
ILN	--	--	--	18.3	75.9	0.241	21139	21139	50	2	--	Parz.
7.5	--	--	--	18.3	75.9	0.241	21139	21139	50	2	--	Parz.
CAMP	--	--	--	18.3	75.9	0.241	21139	21139	50	2	--	Parz.
67.5	--	--	--	18.3	75.9	0.241	21139	21139	50	2	--	Parz.
FLN	--	--	--	18.3	75.9	0.241	21139	21139	50	2	--	Parz.

Verifica a taglio: $\cot(\theta) = 2.093$ Comb: 3

Sez	Td	VRdns	VRcd	VRsd	VRd	Tpl	Mr	Dx	Staffe	CS	ζ_E
	kg	kg	kg	kg	kg	kg	kg*m	cm	cmq/m		
Sin	1210	--	56240	56240	56240	0	21139	75.0	10.05	46	--
Des							21139				

Verifica incendio: $T_{eqvClS}(^{\circ})=328$ $T_{eqvAcc}(^{\circ})=429$ Curva:ISO834, $\gamma_{ClS}=1.20$ (Aggregato Calcareo)
 $\gamma_{Acc}=1.00$ (Laminato a caldo),verifica per R120(min)

X	M-	M+	$\Delta M-$	$\Delta M+$	Afs	Afi	Mr-	Mr+	C-	C+	CS	ζ_E
cm	kg*m	kg*m	kg*m	kg*m	cmq	cmq	kg*m	kg*m				
ILN	--	1480	--	--	7.70	7.70	25310	24351	51	51	16	--
7.5	--	1536	--	--	7.70	7.70	25310	24351	51	51	16	--
CAMP	--	1766	--	--	7.70	7.70	25310	24351	51	51	14	--
67.5	--	1776	--	--	7.70	7.70	25310	24351	51	51	14	--
FLN	--	1781	--	--	7.70	7.70	25310	24351	51	51	14	--

X	x-	d-	x-/d-	x+	d+	x+/d+	Mr-	Mr+	C-	C+	Stato-	Stato+
cm	cm	cm		cm	cm		kg*m	kg*m				
ILN	--	--	--	20.0	79.1	0.253	25310	24351	51	51	--	Parz.
7.5	--	--	--	20.0	79.1	0.253	25310	24351	51	51	--	Parz.
CAMP	--	--	--	20.0	79.1	0.253	25310	24351	51	51	--	Parz.
67.5	--	--	--	20.0	79.1	0.253	25310	24351	51	51	--	Parz.
FLN	--	--	--	20.0	79.1	0.253	25310	24351	51	51	--	Parz.

Verifica a taglio: $\cot(\theta) = 2.034$ Comb: 51

Sez	Td	VRdns	VRcd	VRsd	VRd	Tpl	Mr	Dx	Staffe	CS	ζ_E
	kg	kg	kg	kg	kg	kg	kg*m	cm	cmq/m		
Sin	776	--	51129	51129	51129	0	24351	75.0	10.05	66	--
Des							25310				

Trave: 102 [0,0], Pilastrate [--,--] Sez. R: By=30.0 cm Bz=80.0 cm L=75.0 cm Ln=75.0 cm Criterio : CLS_TraviAlte_ND - Verifica a flessione: **Verificato**

X	M-	M+	$\Delta M-$	$\Delta M+$	Afs	Afi	Mr-	Mr+	C-	C+	CS	ζ_E
cm	kg*m	kg*m	kg*m	kg*m	cmq	cmq	kg*m	kg*m				
ILN	--	1063	--	--	7.70	7.70	21139	21139	50	(16+17)-II-2	20	42
7.5	--	1228	--	--	7.70	7.70	21139	21139	50	2	17	--
CAMP	--	2316	--	--	7.70	7.70	21139	21139	50	2	9.1	--
67.5	--	2438	--	--	7.70	7.70	21139	21139	50	2	8.7	--
FLN	--	2552	--	--	7.70	7.70	21139	21139	50	2	8.3	--

X	x-	d-	x-/d-	x+	d+	x+/d+	Mr-	Mr+	C-	C+	Stato-	Stato+
cm	cm	cm		cm	cm		kg*m	kg*m				
ILN	--	--	--	18.3	75.9	0.241	21139	21139	50	(16+17)-II-2	--	Parz.
7.5	--	--	--	18.3	75.9	0.241	21139	21139	50	2	--	Parz.
CAMP	--	--	--	18.3	75.9	0.241	21139	21139	50	2	--	Parz.
67.5	--	--	--	18.3	75.9	0.241	21139	21139	50	2	--	Parz.
FLN	--	--	--	18.3	75.9	0.241	21139	21139	50	2	--	Parz.

Verifica a taglio: $\cot(\theta) = 2.093$ Comb: 3

Sez	Td	VRdns	VRcd	VRsd	VRd	Tpl	Mr	Dx	Staffe	CS	ζ_E
	kg	kg	kg	kg	kg	kg	kg*m	cm	cmq/m		
Sin	2569	--	56240	56240	56240	0	21139	75.0	10.05	22	--
Des							21139				

Verifica incendio: $T_{eqvClis}(\circ) = 328$ $T_{eqvAcc}(\circ) = 429$ Curva: ISO834, $\gamma_{Clis} = 1.20$ (Aggregato Calcareo)
 $\gamma_{Acc} = 1.00$ (Laminato a caldo), verifica per R120(min)

X	M-	M+	$\Delta M-$	$\Delta M+$	Afs	Afi	Mr-	Mr+	C-	C+	CS	ζ_E
cm	kg*m	kg*m	kg*m	kg*m	cmq	cmq	kg*m	kg*m				
ILN	--	578	--	--	7.70	7.70	25310	24351	51	51	42	--
7.5	--	693	--	--	7.70	7.70	25310	24351	51	51	35	--
CAMP	--	1345	--	--	7.70	7.70	25310	24351	51	51	18	--
67.5	--	1416	--	--	7.70	7.70	25310	24351	51	51	17	--
FLN	--	1481	--	--	7.70	7.70	25310	24351	51	51	16	--

X	x-	d-	x-/d-	x+	d+	x+/d+	Mr-	Mr+	C-	C+	Stato-	Stato+
cm	cm	cm		cm	cm		kg*m	kg*m				
ILN	--	--	--	20.0	79.1	0.253	25310	24351	51	51	--	Parz.
7.5	--	--	--	20.0	79.1	0.253	25310	24351	51	51	--	Parz.
CAMP	--	--	--	20.0	79.1	0.253	25310	24351	51	51	--	Parz.
67.5	--	--	--	20.0	79.1	0.253	25310	24351	51	51	--	Parz.
FLN	--	--	--	20.0	79.1	0.253	25310	24351	51	51	--	Parz.

Verifica a taglio: $\cot(\theta) = 2.034$ Comb: 51

Sez	Td	VRdns	VRcd	VRsd	VRd	Tpl	Mr	Dx	Staffe	CS	ζ_E
	kg	kg	kg	kg	kg	kg	kg*m	cm	cmq/m		
Sin	1579	--	51129	51129	51129	0	24351	75.0	10.05	32	--
Des							25310				

Trave: 102 [0,0], Pilastrate [--,--] Sez. R: By=30.0 cm Bz=80.0 cm L=75.0 cm Ln=75.0 cm Criterio :

CLS_TraviAlte_ND - Verifica a flessione: **Verificato**

X	M-	M+	ΔM-	ΔM+	Afs	Afi	Mr-	Mr+	C-	C+	CS	ζ _E
cm	kg*m	kg*m	kg*m	kg*m	cmq	cmq	kg*m	kg*m				
ILN	1636	--	--	--	7.70	7.70	21139	21139	(16+17)-II-1	50	13	29
7.5	1432	--	--	--	7.70	7.70	21139	21139	(16+17)-II-1	50	15	30
CAMP	1235	807	--	--	7.70	7.70	21139	21139	(16+17)-II-1	(16+17)-II-2	17	32
67.5	7	911	--	--	7.70	7.70	21139	21139	(16+17)-II-1	(16+17)-II-2	23	45
FLN	--	1037	--	--	7.70	7.70	21139	21139	50	2	20	--

X	x-	d-	x-/d-	x+	d+	x+/d+	Mr-	Mr+	C-	C+	Stato-	Stato+
cm	cm	cm		cm	cm		kg*m	kg*m				
ILN	18.3	75.9	0.241	--	--	--	21139	21139	(16+17)-II-1	50	Parz.	--
7.5	18.3	75.9	0.241	--	--	--	21139	21139	(16+17)-II-1	50	Parz.	--
CAMP	18.3	75.9	0.241	18.3	75.9	0.241	21139	21139	(16+17)-II-1	(16+17)-II-2	Parz.	Parz.
67.5	18.2	75.9	0.240	18.3	75.9	0.241	21139	21139	(16+17)-II-1	(16+17)-II-2	Parz.	Parz.
FLN	--	--	--	18.3	75.9	0.241	21139	21139	50	2	--	Parz.

Verifica a taglio: $\cot(\theta) = 2.093$ Comb: 3

Sez	Td	VRdhs	VRcd	VRsd	VRd	Tpl	Mr	Dx	Staffe	CS	ζ _E
	kg	kg	kg	kg	kg	kg	kg*m	cm	cmq/m		
Sin	3960	--	56240	56240	56240	0	21139	75.0	10.05	14	--
Des							21139				

Verifica incendio: $T_{eqvClS}(^{\circ})=328$ $T_{eqvAcc}(^{\circ})=429$ Curva:ISO834, $\gamma_{ClS}=1.20$ (Aggregato Calcareo)
 $\gamma_{Acc}=1.00$ (Laminato a caldo),verifica per R120(min)

X	M-	M+	ΔM-	ΔM+	Afs	Afi	Mr-	Mr+	C-	C+	CS	ζ _E
cm	kg*m	kg*m	kg*m	kg*m	cmq	cmq	kg*m	kg*m				
ILN	933	--	--	--	7.70	7.70	25310	24351	51	51	27	--
7.5	757	--	--	--	7.70	7.70	25310	24351	51	51	33	--
CAMP	586	--	--	--	7.70	7.70	25310	24351	51	51	43	--
67.5	--	452	--	--	7.70	7.70	25310	24351	51	51	54	--
FLN	--	578	--	--	7.70	7.70	25310	24351	51	51	42	--

X	x-	d-	x-/d-	x+	d+	x+/d+	Mr-	Mr+	C-	C+	Stato-	Stato+
cm	cm	cm		cm	cm		kg*m	kg*m				
ILN	27.0	80.7	0.334	--	--	--	25310	24351	51	51	Parz.	--
7.5	27.0	80.7	0.334	--	--	--	25310	24351	51	51	Parz.	--
CAMP	27.0	80.7	0.334	--	--	--	25310	24351	51	51	Parz.	--
67.5	--	--	--	20.0	79.1	0.253	25310	24351	51	51	--	Parz.
FLN	--	--	--	20.0	79.1	0.253	25310	24351	51	51	--	Parz.

Verifica a taglio: $\cot(\theta) = 2.034$ Comb: 51

Sez	Td	VRdhs	VRcd	VRsd	VRd	Tpl	Mr	Dx	Staffe	CS	ζ _E
	kg	kg	kg	kg	kg	kg	kg*m	cm	cmq/m		
Sin	2391	--	51129	51129	51129	0	24351	75.0	10.05	21	--
Des							25310				

Trave: 102 [130,0], Pilastrate [30,--] Sez. R: By=30.0 cm Bz=80.0 cm L=75.3 cm Ln=75.3 cm Criterio :
 CLS_TraviAlte_ND - Verifica a flessione: **Verificato**

X	M-	M+	ΔM-	ΔM+	Afs	Afi	Mr-	Mr+	C-	C+	CS	ζ _E
cm	kg*m	kg*m	kg*m	kg*m	cmq	cmq	kg*m	kg*m				
ILN	5162	--	--	--	9.24	9.24	25277	25277	2	50	4.9	--
7.5	4761	--	--	--	9.24	9.24	25277	25277	2	50	5.3	--
CAMP	4367	--	--	--	9.24	9.24	25277	25277	2	50	5.8	--
67.7	1847	--	--	--	9.24	9.24	25277	25277	2	50	14	--

X	M-	M+	ΔM-	ΔM+	Afs	Afi	Mr-	Mr+	C-	C+	CS	ζ _E
FLN	1582	--	--	--	9.24	9.24	25277	25277	(16+17)-II-1	50	16	38

X	x-	d-	x-/d-	x+	d+	x+/d+	Mr-	Mr+	C-	C+	Stato-	Stato+
cm	cm	cm		cm	cm		kg*m	kg*m				
ILN	19.6	75.9	0.258	--	--	--	25277	25277	2	50	Parz.	--
7.5	19.6	75.9	0.258	--	--	--	25277	25277	2	50	Parz.	--
CAMP	19.5	75.9	0.258	--	--	--	25277	25277	2	50	Parz.	--
67.7	19.5	75.9	0.257	--	--	--	25277	25277	2	50	Parz.	--
FLN	19.5	75.9	0.256	--	--	--	25277	25277	(16+17)-II-1	50	Parz.	--

Verifica a taglio: $\cot(\theta) = 2.093$ Comb: 3

Sez	Td	VRd _{ns}	VRcd	VRsd	VRd	Tpl	Mr	Dx	Staffe	CS	ζ _E
	kg	kg	kg	kg	kg	kg	kg*m	cm	cmq/m		
Sin	5392	--	56240	56240	56240	0	25277	75.3	10.05	10	--
Des							25277				

Verifica incendio: $T_{eqvClis}(^{\circ}) = 328$ $T_{eqvAcc}(^{\circ}) = 427$ Curva: ISO834, $\gamma_{Clis} = 1.20$ (Aggregato Calcareo)
 $\gamma_{Acc} = 1.00$ (Laminato a caldo), verifica per R120(min)

X	M-	M+	ΔM-	ΔM+	Afs	Afi	Mr-	Mr+	C-	C+	CS	ζ _E
cm	kg*m	kg*m	kg*m	kg*m	cmq	cmq	kg*m	kg*m				
ILN	3070	--	--	--	9.24	9.24	30303	29342	51	51	9.9	--
7.5	2831	--	--	--	9.24	9.24	30303	29342	51	51	11	--
CAMP	2597	--	--	--	9.24	9.24	30303	29342	51	51	12	--
67.7	1122	--	--	--	9.24	9.24	30303	29342	51	51	27	--
FLN	933	--	--	--	9.24	9.24	30303	29342	51	51	32	--

X	x-	d-	x-/d-	x+	d+	x+/d+	Mr-	Mr+	C-	C+	Stato-	Stato+
cm	cm	cm		cm	cm		kg*m	kg*m				
ILN	28.1	80.6	0.349	--	--	--	30303	29342	51	51	Parz.	--
7.5	28.1	80.6	0.349	--	--	--	30303	29342	51	51	Parz.	--
CAMP	28.1	80.6	0.349	--	--	--	30303	29342	51	51	Parz.	--
67.7	28.1	80.6	0.349	--	--	--	30303	29342	51	51	Parz.	--
FLN	28.1	80.6	0.349	--	--	--	30303	29342	51	51	Parz.	--

Verifica a taglio: $\cot(\theta) = 2.027$ Comb: 51

Sez	Td	VRd _{ns}	VRcd	VRsd	VRd	Tpl	Mr	Dx	Staffe	CS	ζ _E
	kg	kg	kg	kg	kg	kg	kg*m	cm	cmq/m		
Sin	3215	--	51234	51234	51234	0	29342	75.3	10.05	16	--
Des							30303				

Trave: 102 [0,130], Pilastrate [--,30] Sez. R: $B_y = 30.0$ cm $B_z = 80.0$ cm $L = 161.5$ cm $L_n = 161.5$ cm Criterio :
 CLS_TraviAlte_ND - Verifica a flessione: **Verificato**

X	M-	M+	ΔM-	ΔM+	Afs	Afi	Mr-	Mr+	C-	C+	CS	ζ _E
cm	kg*m	kg*m	kg*m	kg*m	cmq	cmq	kg*m	kg*m				
ILN	--	835	--	--	7.70	7.70	21139	21139	50	2	25	--
16.1	92	459	--	--	7.70	7.70	21139	21139	(16+17)-II-2	(16+17)-II-1	46	76
CAMP	3596	--	--	--	9.24	12.3 2	25419	33302	2	50	7.1	--
145.3	4323	--	--	--	9.24	9.24	25277	25277	2	50	5.8	--
FLN	5088	--	--	--	9.24	9.24	25277	25277	2	50	5.0	--

X	x-	d-	x-/d-	x+	d+	x+/d+	Mr-	Mr+	C-	C+	Stato-	Stato+
cm	cm	cm		cm	cm		kg*m	kg*m				

X	x-	d-	x-/d-	x+	d+	x+/d+	Mr-	Mr+	C-	C+	Stato-	Stato+
ILN	--	--	--	18.3	75.9	0.241	21139	21139	50	2	--	Parz.
16.1	18.2	75.9	0.240	18.2	75.9	0.240	21139	21139	(16+17)-II-2	(16+17)-II-1	Parz.	Parz.
CAMP	18.7	75.9	0.247	--	--	--	25419	33302	2	50	Parz.	--
145.3	19.5	75.9	0.257	--	--	--	25277	25277	2	50	Parz.	--
FLN	19.6	75.9	0.258	--	--	--	25277	25277	2	50	Parz.	--

Verifica a taglio: $\cot(\theta) = 2.061$ Comb: 3

Sez	Td	VRdns	VRcd	VRsd	VRd	Tpl	Mr	Dx	Staffe	CS	ζ_E
	kg	kg	kg	kg	kg	kg	kg*m	cm	cmq/m		
Sin	4854	--	56790	56790	56790	0	21139	161.5	10.31	12	--
Des							25277				

Verifica incendio: $T_{eqvClS}(^{\circ}) = 328$ $T_{eqvAcc}(^{\circ}) = 427$ Curva: ISO834, $\gamma_{ClS} = 1.20$ (Aggregato Calcareo)
 $\gamma_{Acc} = 1.00$ (Laminato a caldo), verifica per R120(min)

X	M-	M+	$\Delta M-$	$\Delta M+$	Afs	Afi	Mr-	Mr+	C-	C+	CS	ζ_E
cm	kg*m	kg*m	kg*m	kg*m	cmq	cmq	kg*m	kg*m				
ILN	--	411	--	--	7.70	7.70	25310	24351	51	51	59	--
16.1	--	184	--	--	7.70	7.70	25310	24351	51	51	>100	--
CAMP	2139	--	--	--	9.24	12.3 2	30293	39284	51	51	14	--
145.3	2575	--	--	--	9.24	9.24	30303	29342	51	51	12	--
FLN	3037	--	--	--	9.24	9.24	30303	29342	51	51	10.0	--

X	x-	d-	x-/d-	x+	d+	x+/d+	Mr-	Mr+	C-	C+	Stato-	Stato+
cm	cm	cm		cm	cm		kg*m	kg*m				
ILN	--	--	--	20.0	79.1	0.253	25310	24351	51	51	--	Parz.
16.1	--	--	--	20.0	79.1	0.253	25310	24351	51	51	--	Parz.
CAMP	26.9	80.8	0.332	--	--	--	30293	39284	51	51	Parz.	--
145.3	28.1	80.6	0.349	--	--	--	30303	29342	51	51	Parz.	--
FLN	28.1	80.6	0.349	--	--	--	30303	29342	51	51	Parz.	--

Verifica a taglio: $\cot(\theta) = 1.996$ Comb: 51

Sez	Td	VRdns	VRcd	VRsd	VRd	Tpl	Mr	Dx	Staffe	CS	ζ_E
	kg	kg	kg	kg	kg	kg	kg*m	cm	cmq/m		
Sin	2943	--	51725	51725	51725	0	24351	161.5	10.31	18	--
Des							30303				

Trave: 102 [0,0], Pilastrate [--,--] Sez. R: $B_y = 30.0$ cm $B_z = 80.0$ cm $L = 161.8$ cm $L_n = 161.8$ cm Criterio :
 CLS_TraviAlte_ND - Verifica a flessione: **Verificato**

X	M-	M+	$\Delta M-$	$\Delta M+$	Afs	Afi	Mr-	Mr+	C-	C+	CS	ζ_E
cm	kg*m	kg*m	kg*m	kg*m	cmq	cmq	kg*m	kg*m				
ILN	--	1913	--	--	7.70	7.70	21139	21139	50	2	11	--
16.2	--	1976	--	--	7.70	7.70	21139	21139	50	2	11	--
CAMP	--	2000	--	--	7.70	7.70	21139	21139	50	2	11	--
145.6	--	1092	--	--	7.70	7.70	21139	21139	50	2	19	--
FLN	--	809	--	--	7.70	7.70	21139	21139	50	2	26	--

X	x-	d-	x-/d-	x+	d+	x+/d+	Mr-	Mr+	C-	C+	Stato-	Stato+
cm	cm	cm		cm	cm		kg*m	kg*m				
ILN	--	--	--	18.3	75.9	0.241	21139	21139	50	2	--	Parz.
16.2	--	--	--	18.3	75.9	0.241	21139	21139	50	2	--	Parz.
CAMP	--	--	--	18.3	75.9	0.241	21139	21139	50	2	--	Parz.
145.6	--	--	--	18.3	75.9	0.241	21139	21139	50	2	--	Parz.
FLN	--	--	--	18.3	75.9	0.241	21139	21139	50	2	--	Parz.

Verifica a taglio: $\cot(\theta) = 2.093$ Comb: 3

Sez	Td	VRdns	VRcd	VRsd	VRd	Tpl	Mr	Dx	Staffe	CS	ζ_E
	kg	kg	kg	kg	kg	kg	kg*m	cm	cmq/m		
Sin	1872	--	56240	56240	56240	0	21139	161.8	10.05	30	--
Des							21139				

Verifica incendio: $T_{eqvClS}(^{\circ})=328$ $T_{eqvAcc}(^{\circ})=429$ Curva:ISO834, $\gamma_{ClS}=1.20$ (Aggregato Calcareo)
 $\gamma_{Acc}=1.00$ (Laminato a caldo),verifica per R120(min)

X	M-	M+	$\Delta M-$	$\Delta M+$	Afs	Afi	Mr-	Mr+	C-	C+	CS	ζ_E
cm	kg*m	kg*m	kg*m	kg*m	cmq	cmq	kg*m	kg*m				
ILN	--	1031	--	--	7.70	7.70	25310	24351	51	51	24	--
16.2	--	1086	--	--	7.70	7.70	25310	24351	51	51	22	--
CAMP	--	1117	--	--	7.70	7.70	25310	24351	51	51	22	--
145.6	--	581	--	--	7.70	7.70	25310	24351	51	51	42	--
FLN	--	400	--	--	7.70	7.70	25310	24351	51	51	61	--

X	x-	d-	x-/d-	x+	d+	x+/d+	Mr-	Mr+	C-	C+	Stato-	Stato+
cm	cm	cm		cm	cm		kg*m	kg*m				
ILN	--	--	--	20.0	79.1	0.253	25310	24351	51	51	--	Parz.
16.2	--	--	--	20.0	79.1	0.253	25310	24351	51	51	--	Parz.
CAMP	--	--	--	20.0	79.1	0.253	25310	24351	51	51	--	Parz.
145.6	--	--	--	20.0	79.1	0.253	25310	24351	51	51	--	Parz.
FLN	--	--	--	20.0	79.1	0.253	25310	24351	51	51	--	Parz.

Verifica a taglio: $\cot(\theta) = 2.034$ Comb: 51

Sez	Td	VRdns	VRcd	VRsd	VRd	Tpl	Mr	Dx	Staffe	CS	ζ_E
	kg	kg	kg	kg	kg	kg	kg*m	cm	cmq/m		
Sin	1199	--	51129	51129	51129	0	24351	161.8	10.05	43	--
Des							25310				

Trave: 102 [137,0], Pilastrate [37,--] Sez. R: $B_y=30.0$ cm $B_z=80.0$ cm $L=161.7$ cm $L_n=161.7$ cm Criterio :
 CLS_TraviAlte_ND - Verifica a flessione: **Verificato**

X	M-	M+	$\Delta M-$	$\Delta M+$	Afs	Afi	Mr-	Mr+	C-	C+	CS	ζ_E
cm	kg*m	kg*m	kg*m	kg*m	cmq	cmq	kg*m	kg*m				
ILN	2375	9	--	--	7.70	7.70	21139	21139	(16+17)-I-3	(16+17)-I-1	8.9	17
16.2	1975	281	--	--	7.70	7.70	21139	21139	(16+17)-I-3	(16+17)-I-1	11	18
CAMP	1600	1456	--	--	7.70	7.70	21139	21139	(16+17)-I-3	(16+17)-I-1	13	19
145.5	--	1613	--	--	7.70	7.70	21139	21139	50	2	13	--
FLN	--	1807	--	--	7.70	7.70	21139	21139	50	2	12	--

X	x-	d-	x-/d-	x+	d+	x+/d+	Mr-	Mr+	C-	C+	Stato-	Stato+
cm	cm	cm		cm	cm		kg*m	kg*m				
ILN	18.3	75.9	0.241	18.2	75.9	0.240	21139	21139	(16+17)-I-3	(16+17)-I-1	Parz.	Parz.
16.2	18.3	75.9	0.241	18.2	75.9	0.240	21139	21139	(16+17)-I-3	(16+17)-I-1	Parz.	Parz.
CAMP	18.3	75.9	0.241	18.3	75.9	0.241	21139	21139	(16+17)-I-3	(16+17)-I-1	Parz.	Parz.
145.5	--	--	--	18.3	75.9	0.241	21139	21139	50	2	--	Parz.
FLN	--	--	--	18.3	75.9	0.241	21139	21139	50	2	--	Parz.

Verifica a taglio: $\cot(\theta) = 2.062$ Comb: 3

Sez	Td	VRdns	VRcd	VRsd	VRd	Tpl	Mr	Dx	Staffe	CS	ζ_E
	kg	kg	kg	kg	kg	kg	kg*m	cm	cmq/m		
Sin	3461	--	56758	56758	56758	0	21139	161.7	10.30	16	--
Des							21139				

Verifica incendio: $T_{eqvClS}(^{\circ})=328$ $T_{eqvAcc}(^{\circ})=429$ Curva:ISO834, $\gamma_{ClS}=1.20$ (Aggregato Calcareo)

$\gamma_{Acc}=1.00$ (Laminato a caldo),verifica per R120(min)

X	M-	M+	$\Delta M-$	$\Delta M+$	Afs	Afi	Mr-	Mr+	C-	C+	CS	ζ_E
cm	kg*m	kg*m	kg*m	kg*m	cmq	cmq	kg*m	kg*m				
ILN	1183	--	--	--	7.70	7.70	25310	24351	51	51	21	--
16.2	847	--	--	--	7.70	7.70	25310	24351	51	51	30	--
CAMP	--	776	--	--	7.70	7.70	25310	24351	51	51	31	--
145.5	--	903	--	--	7.70	7.70	25310	24351	51	51	27	--
FLN	--	1004	--	--	7.70	7.70	25310	24351	51	51	24	--

X	x-	d-	x-/d-	x+	d+	x+/d+	Mr-	Mr+	C-	C+	Stato-	Stato+
cm	cm	cm		cm	cm		kg*m	kg*m				
ILN	27.0	80.7	0.334	--	--	--	25310	24351	51	51	Parz.	--
16.2	27.0	80.7	0.334	--	--	--	25310	24351	51	51	Parz.	--
CAMP	--	--	--	20.0	79.1	0.253	25310	24351	51	51	--	Parz.
145.5	--	--	--	20.0	79.1	0.253	25310	24351	51	51	--	Parz.
FLN	--	--	--	20.0	79.1	0.253	25310	24351	51	51	--	Parz.

Verifica a taglio: $\cot(\theta) = 2.004$ Comb: 51

Sez	Td	VRdns	VRcd	VRsd	VRd	Tpl	Mr	Dx	Staffe	CS	ζ_E
	kg	kg	kg	kg	kg	kg	kg*m	cm	cmq/m		
Sin	2161	--	51592	51592	51592	0	24351	161.7	10.30	24	--
Des							25310				

Trave: 102 [0,137], Pilastrate [--,37] Sez. R: By=30.0 cm Bz=80.0 cm L=107.5 cm Ln=107.5 cm Criterio : CLS_TraviAlte_ND - Verifica a flessione: **Verificato**

X	M-	M+	$\Delta M-$	$\Delta M+$	Afs	Afi	Mr-	Mr+	C-	C+	CS	ζ_E
cm	kg*m	kg*m	kg*m	kg*m	cmq	cmq	kg*m	kg*m				
ILN	973	1165	--	--	7.70	7.70	21139	21139	(16+17)-I-3	(16+17)-I-1	18	20
10.8	1034	1061	--	--	7.70	7.70	21139	21139	(16+17)-I-3	(16+17)-I-1	20	20
CAMP	1805	946	--	--	7.70	7.70	21139	21139	(16+17)-I-3	(16+17)-I-1	12	21
96.8	1965	--	--	--	7.70	7.70	21139	21139	(16+17)-I-3	50	11	22
FLN	2139	--	--	--	7.70	7.70	21139	21139	(16+17)-I-3	50	9.9	22

X	x-	d-	x-/d-	x+	d+	x+/d+	Mr-	Mr+	C-	C+	Stato-	Stato+
cm	cm	cm		cm	cm		kg*m	kg*m				
ILN	18.3	75.9	0.241	18.3	75.9	0.241	21139	21139	(16+17)-I-3	(16+17)-I-1	Parz.	Parz.
10.8	18.3	75.9	0.241	18.3	75.9	0.241	21139	21139	(16+17)-I-3	(16+17)-I-1	Parz.	Parz.
CAMP	18.3	75.9	0.241	18.3	75.9	0.241	21139	21139	(16+17)-I-3	(16+17)-I-1	Parz.	Parz.
96.8	18.3	75.9	0.241	--	--	--	21139	21139	(16+17)-I-3	50	Parz.	--
FLN	18.3	75.9	0.241	--	--	--	21139	21139	(16+17)-I-3	50	Parz.	--

Verifica a taglio: $\cot(\theta) = 2.093$ Comb: 3

Sez	Td	VRdns	VRcd	VRsd	VRd	Tpl	Mr	Dx	Staffe	CS	ζ_E
	kg	kg	kg	kg	kg	kg	kg*m	cm	cmq/m		
Sin	2830	--	56240	56240	56240	0	21139	107.5	10.05	20	--
Des							21139				

Verifica incendio: $T_{eqvClS}(^{\circ})=328$ $T_{eqvAcc}(^{\circ})=429$ Curva:ISO834, $\gamma_{ClS}=1.20$ (Aggregato Calcareo)

$\gamma_{Acc}=1.00$ (Laminato a caldo),verifica per R120(min)

X	M-	M+	$\Delta M-$	$\Delta M+$	Afs	Afi	Mr-	Mr+	C-	C+	CS	ζ_E
cm	kg*m	kg*m	kg*m	kg*m	cmq	cmq	kg*m	kg*m				
ILN	--	96	--	--	7.70	7.70	25310	24351	51	51	>100	--
10.8	--	14	--	--	7.70	7.70	25310	24351	51	51	>100	--
CAMP	886	--	--	--	7.70	7.70	25310	24351	51	51	29	--
96.8	1061	--	--	--	7.70	7.70	25310	24351	51	51	24	--
FLN	1247	--	--	--	7.70	7.70	25310	24351	51	51	20	--

X	x-	d-	x-/d-	x+	d+	x+/d+	Mr-	Mr+	C-	C+	Stato-	Stato+
cm	cm	cm		cm	cm		kg*m	kg*m				
ILN	--	--	--	20.0	79.1	0.253	25310	24351	51	51	--	Parz.
10.8	--	--	--	20.0	79.1	0.253	25310	24351	51	51	--	Parz.
CAMP	27.0	80.7	0.334	--	--	--	25310	24351	51	51	Parz.	--
96.8	27.0	80.7	0.334	--	--	--	25310	24351	51	51	Parz.	--
FLN	27.0	80.7	0.334	--	--	--	25310	24351	51	51	Parz.	--

Verifica a taglio: $\cot(\theta) = 2.034$ Comb: 51

Sez	Td	VRdns	VRcd	VRsd	VRd	Tpl	Mr	Dx	Staffe	CS	ζ_E
	kg	kg	kg	kg	kg	kg	kg*m	cm	cmq/m		
Sin	1787	--	51129	51129	51129	0	24351	107.5	10.05	29	--
Des							25310				

Trave: 102 [142,0], Pilastrate [42,--] Sez. R: By=30.0 cm Bz=80.0 cm L=107.4 cm Ln=107.4 cm Criterio : CLS_TraviAlte_ND - Verifica a flessione: **Verificato**

X	M-	M+	$\Delta M-$	$\Delta M+$	Afs	Afi	Mr-	Mr+	C-	C+	CS	ζ_E
cm	kg*m	kg*m	kg*m	kg*m	cmq	cmq	kg*m	kg*m				
ILN	1228	1526	--	--	7.70	7.70	21139	21139	(16+17)-II-1	(16+17)-II-2	14	15
10.7	1090	1476	--	--	7.70	7.70	21139	21139	(16+17)-I-3	(16+17)-I-1	14	16
CAMP	1022	1471	--	--	7.70	7.70	21139	21139	(16+17)-I-3	(16+17)-I-1	14	17
96.7	881	1129	--	--	7.70	7.70	21139	21139	(16+17)-I-3	(16+17)-I-1	19	21
FLN	910	1036	--	--	7.70	7.70	21139	21139	(16+17)-I-3	(16+17)-I-1	20	22

X	x-	d-	x-/d-	x+	d+	x+/d+	Mr-	Mr+	C-	C+	Stato-	Stato+
cm	cm	cm		cm	cm		kg*m	kg*m				
ILN	18.3	75.9	0.241	18.3	75.9	0.241	21139	21139	(16+17)-II-1	(16+17)-II-2	Parz.	Parz.
10.7	18.3	75.9	0.241	18.3	75.9	0.241	21139	21139	(16+17)-I-3	(16+17)-I-1	Parz.	Parz.
CAMP	18.3	75.9	0.241	18.3	75.9	0.241	21139	21139	(16+17)-I-3	(16+17)-I-1	Parz.	Parz.
96.7	18.3	75.9	0.241	18.3	75.9	0.241	21139	21139	(16+17)-I-3	(16+17)-I-1	Parz.	Parz.
FLN	18.3	75.9	0.241	18.3	75.9	0.241	21139	21139	(16+17)-I-3	(16+17)-I-1	Parz.	Parz.

Verifica a taglio: $\cot(\theta) = 2.093$ Comb: (16+17)-II-2

Sez	Td	VRdns	VRcd	VRsd	VRd	Tpl	Mr	Dx	Staffe	CS	ζ_E
	kg	kg	kg	kg	kg	kg	kg*m	cm	cmq/m		
Sin	1607	--	56240	56240	56240	0	21139	107.4	10.05	35	56
Des							21139				

Verifica incendio: $T_{eqvClis}(\circ) = 328$ $T_{eqvAcc}(\circ) = 429$ Curva: ISO834, $\gamma_{Clis} = 1.20$ (Aggregato Calcareo)

$\gamma_{Acc} = 1.00$ (Laminato a caldo), verifica per R120(min)

X	M-	M+	$\Delta M-$	$\Delta M+$	Afs	Afi	Mr-	Mr+	C-	C+	CS	ζ_E
cm	kg*m	kg*m	kg*m	kg*m	cmq	cmq	kg*m	kg*m				
ILN	--	149	--	--	7.70	7.70	25310	24351	51	51	>100	--
10.7	--	193	--	--	7.70	7.70	25310	24351	51	51	>100	--
CAMP	--	254	--	--	7.70	7.70	25310	24351	51	51	96	--
96.7	--	124	--	--	7.70	7.70	25310	24351	51	51	>100	--
FLN	--	63	--	--	7.70	7.70	25310	24351	51	51	>100	--

X	x-	d-	x-/d-	x+	d+	x+/d+	Mr-	Mr+	C-	C+	Stato-	Stato+
cm	cm	cm		cm	cm		kg*m	kg*m				
ILN	--	--	--	20.0	79.1	0.253	25310	24351	51	51	--	Parz.
10.7	--	--	--	20.0	79.1	0.253	25310	24351	51	51	--	Parz.
CAMP	--	--	--	20.0	79.1	0.253	25310	24351	51	51	--	Parz.

X	x-	d-	x-/d-	x+	d+	x+/d+	Mr-	Mr+	C-	C+	Stato-	Stato+
96.7	--	--	--	20.0	79.1	0.253	25310	24351	51	51	--	Parz.
FLN	--	--	--	20.0	79.1	0.253	25310	24351	51	51	--	Parz.

Verifica a taglio: $\cot(\theta) = 2.034$ Comb: 51

Sez	Td	VRdhs	VRcd	VRsd	VRd	Tpl	Mr	Dx	Staffe	CS	ζ_E
	kg	kg	kg	kg	kg	kg	kg*m	cm	cmq/m		
Sin	618	--	51129	51129	51129	0	24351	107.4	10.05	83	--
Des							25310				

Trave: 103 [101,102], Pilastrate [1,2] Sez. R: By=30.0 cm Bz=80.0 cm L=275.2 cm Ln=275.4 cm Criterio : CLS_TraviAlte_ND - Verifica a flessione: **Verificato**

X	M-	M+	$\Delta M-$	$\Delta M+$	Afs	Afi	Mr-	Mr+	C-	C+	CS	ζ_E
cm	kg*m	kg*m	kg*m	kg*m	cmq	cmq	kg*m	kg*m				
ILN	1200	1545	--	--	7.70	7.70	21139	21139	(16+17)-I-3	(16+17)-I-1	14	15
27.5	862	1577	--	--	7.70	7.70	21139	21139	(16+17)-I-3	(16+17)-I-1	13	17
CAMP	1618	1512	--	--	7.70	7.70	21139	21139	2	(16+17)-I-1	13	19
247.8	2523	--	--	--	7.70	7.70	21139	21139	2	50	8.4	--
FLN	3548	--	--	--	7.70	7.70	21139	21139	2	50	6.0	--

X	x-	d-	x-/d-	x+	d+	x+/d+	Mr-	Mr+	C-	C+	Stato-	Stato+
cm	cm	cm		cm	cm		kg*m	kg*m				
ILN	18.3	75.9	0.241	18.3	75.9	0.241	21139	21139	(16+17)-I-3	(16+17)-I-1	Parz.	Parz.
27.5	18.3	75.9	0.241	18.3	75.9	0.241	21139	21139	(16+17)-I-3	(16+17)-I-1	Parz.	Parz.
CAMP	18.3	75.9	0.241	18.3	75.9	0.241	21139	21139	2	(16+17)-I-1	Parz.	Parz.
247.8	18.3	75.9	0.241	--	--	--	21139	21139	2	50	Parz.	--
FLN	18.3	75.9	0.242	--	--	--	21139	21139	2	50	Parz.	--

Verifica a taglio: $\cot(\theta)$ Sin=2.093, $\cot(\theta)$ Cen=2.500, $\cot(\theta)$ Des=2.093 Comb: Sin=3 Cen=3 Des=3

Sez	Td	VRdhs	VRcd	VRsd	VRd	Tpl	Mr	Dx	Staffe	CS	ζ_E
	kg	kg	kg	kg	kg	kg	kg*m	cm	cmq/m		
Sin	1717	--	56240	56240	56240	0	21139	80.0	10.05	33	--
Cen	2572	--	49855	30536	30536	--	--	--	4.57	12	--
Des	3930	--	56240	56240	56240	0	21139	80.0	10.05	14	--

Verifica incendio: $T_{eqvClis}(\circ) = 328$ $T_{eqvAcc}(\circ) = 429$ Curva: ISO834, $\gamma_{Clis} = 1.20$ (Aggregato Calcareo) $\gamma_{Acc} = 1.00$ (Laminato a caldo), verifica per R120(min)

X	M-	M+	$\Delta M-$	$\Delta M+$	Afs	Afi	Mr-	Mr+	C-	C+	CS	ζ_E
cm	kg*m	kg*m	kg*m	kg*m	cmq	cmq	kg*m	kg*m				
ILN	--	173	--	--	7.70	7.70	25310	24351	51	51	>100	--
27.5	--	358	--	--	7.70	7.70	25310	24351	51	51	68	--
CAMP	952	--	--	--	7.70	7.70	25310	24351	51	51	27	--
247.8	1482	--	--	--	7.70	7.70	25310	24351	51	51	17	--
FLN	2090	--	--	--	7.70	7.70	25310	24351	51	51	12	--

X	x-	d-	x-/d-	x+	d+	x+/d+	Mr-	Mr+	C-	C+	Stato-	Stato+
cm	cm	cm		cm	cm		kg*m	kg*m				
ILN	--	--	--	20.0	79.1	0.253	25310	24351	51	51	--	Parz.
27.5	--	--	--	20.0	79.1	0.253	25310	24351	51	51	--	Parz.
CAMP	27.0	80.7	0.334	--	--	--	25310	24351	51	51	Parz.	--
247.8	27.0	80.7	0.334	--	--	--	25310	24351	51	51	Parz.	--
FLN	27.0	80.7	0.334	--	--	--	25310	24351	51	51	Parz.	--

Verifica a taglio: $\cot(\theta)$ Sin=2.034, $\cot(\theta)$ Cen=2.500, $\cot(\theta)$ Des=2.034 Comb: Sin=51 Cen=51 Des=51

Sez	Td	VRdhs	VRcd	VRsd	VRd	Tpl	Mr	Dx	Staffe	CS	ζ_E
-----	----	-------	------	------	-----	-----	----	----	--------	----	-----------

Sez	Td	VRdns	VRcd	VRsd	VRd	Tpl	Mr	Dx	Staffe	CS	ζ _E
	kg	kg	kg	kg	kg	kg	kg*m	cm	cmq/m		
Sin	852	--	51129	51129	51129	0	24351	80.0	10.05	60	--
Cen	1481	--	44531	28563	28563	--	--	--	4.57	19	--
Des	2347	--	51129	51129	51129	0	25310	80.0	10.05	22	--

Trave: 103 [102,103], Pilastrate [2,3] Sez. R: By=30.0 cm Bz=80.0 cm L=465.0 cm Ln=465.0 cm Criterio : CLS_TraviAlte_ND - Verifica a flessione: **Verificato**

X	M-	M+	ΔM-	ΔM+	Afs	Afi	Mr-	Mr+	C-	C+	CS	ζ _E
cm	kg*m	kg*m	kg*m	kg*m	cmq	cmq	kg*m	kg*m				
ILN	3565	--	--	--	7.70	7.70	21139	21139	2	50	5.9	--
46.5	1487	--	--	--	7.70	7.70	21139	21139	2	50	14	--
CAMP	--	2357	--	--	7.70	7.70	21139	21139	50	2	9.0	--
418.5	945	--	--	--	7.70	7.70	21139	21139	2	50	22	--
FLN	2887	--	--	--	7.70	7.70	21139	21139	2	50	7.3	--

X	x-	d-	x-/d-	x+	d+	x+/d+	Mr-	Mr+	C-	C+	Stato-	Stato+
cm	cm	cm		cm	cm		kg*m	kg*m				
ILN	18.3	75.9	0.242	--	--	--	21139	21139	2	50	Parz.	--
46.5	18.3	75.9	0.241	--	--	--	21139	21139	2	50	Parz.	--
CAMP	--	--	--	18.3	75.9	0.241	21139	21139	50	2	--	Parz.
418.5	18.3	75.9	0.241	--	--	--	21139	21139	2	50	Parz.	--
FLN	18.3	75.9	0.241	--	--	--	21139	21139	2	50	Parz.	--

Verifica a taglio: cot(θ) Sin=2.093,cot(θ) Cen=2.500,cot(θ) Des=2.093 Comb: Sin=3 Cen=3 Des=3

Sez	Td	VRdns	VRcd	VRsd	VRd	Tpl	Mr	Dx	Staffe	CS	ζ _E
	kg	kg	kg	kg	kg	kg	kg*m	cm	cmq/m		
Sin	4948	--	56240	56240	56240	0	21139	80.0	10.05	11	--
Cen	3027	--	49855	31614	31614	--	--	--	4.73	10	--
Des	4656	--	56240	56240	56240	0	21139	80.0	10.05	12	--

Verifica incendio: TeqvCls(°)=328 TeqvAcc(°)=429 Curva:ISO834,γCls=1.20(Agregato Calcareo)
γAcc=1.00(Laminato a caldo),verifica per R120(min)

X	M-	M+	ΔM-	ΔM+	Afs	Afi	Mr-	Mr+	C-	C+	CS	ζ _E
cm	kg*m	kg*m	kg*m	kg*m	cmq	cmq	kg*m	kg*m				
ILN	2036	--	--	--	7.70	7.70	25310	24351	51	51	12	--
46.5	867	--	--	--	7.70	7.70	25310	24351	51	51	29	--
CAMP	--	1285	--	--	7.70	7.70	25310	24351	51	51	19	--
418.5	597	--	--	--	7.70	7.70	25310	24351	51	51	42	--
FLN	1698	--	--	--	7.70	7.70	25310	24351	51	51	15	--

X	x-	d-	x-/d-	x+	d+	x+/d+	Mr-	Mr+	C-	C+	Stato-	Stato+
cm	cm	cm		cm	cm		kg*m	kg*m				
ILN	27.0	80.7	0.334	--	--	--	25310	24351	51	51	Parz.	--
46.5	27.0	80.7	0.334	--	--	--	25310	24351	51	51	Parz.	--
CAMP	--	--	--	20.0	79.1	0.253	25310	24351	51	51	--	Parz.
418.5	27.0	80.7	0.334	--	--	--	25310	24351	51	51	Parz.	--
FLN	27.0	80.7	0.334	--	--	--	25310	24351	51	51	Parz.	--

Verifica a taglio: cot(θ) Sin=2.034,cot(θ) Cen=2.500,cot(θ) Des=2.034 Comb: Sin=51 Cen=51 Des=51

Sez	Td	VRdns	VRcd	VRsd	VRd	Tpl	Mr	Dx	Staffe	CS	ζ _E
	kg	kg	kg	kg	kg	kg	kg*m	cm	cmq/m		
Sin	2784	--	51129	51129	51129	0	24351	80.0	10.05	18	--
Cen	1699	--	44531	29571	29571	--	--	--	4.73	17	--
Des	2638	--	51129	51129	51129	0	25310	80.0	10.05	19	--

Trave: 103 [103,0], Pilastrate [3,--] Sez. R: By=30.0 cm Bz=80.0 cm L=64.7 cm Ln=64.7 cm Criterio : CLS_TraviAlte_ND - Verifica a flessione: **Verificato**

X	M-	M+	ΔM-	ΔM+	Afs	Afi	Mr-	Mr+	C-	C+	CS	ζ _E
cm	kg*m	kg*m	kg*m	kg*m	cmq	cmq	kg*m	kg*m				
ILN	2716	--	--	--	7.70	15.3 ₉	21380	40973	2	50	7.9	--
6.5	2551	--	--	--	7.70	15.3 ₉	21380	40973	2	50	8.4	--
CAMP	2392	--	--	--	7.70	15.3 ₉	21380	40973	2	50	8.9	--
58.2	1451	--	--	--	7.70	15.3 ₉	21380	40973	2	50	15	--
FLN	1341	--	--	--	7.70	15.3 ₉	21380	40973	2	50	16	--

X	x-	d-	x-/d-	x+	d+	x+/d+	Mr-	Mr+	C-	C+	Stato-	Stato+
cm	cm	cm		cm	cm		kg*m	kg*m				
ILN	16.4	75.9	0.216	--	--	--	21380	40973	2	50	Parz.	--
6.5	16.4	75.9	0.216	--	--	--	21380	40973	2	50	Parz.	--
CAMP	16.4	75.9	0.216	--	--	--	21380	40973	2	50	Parz.	--
58.2	16.4	75.9	0.216	--	--	--	21380	40973	2	50	Parz.	--
FLN	16.4	75.9	0.216	--	--	--	21380	40973	2	50	Parz.	--

Verifica a taglio: $\cot(\theta) = 2.048$ Comb: 3

Sez	Td	VRdhs	VRcd	VRsd	VRd	Tpl	Mr	Dx	Staffe	CS	ζ _E
	kg	kg	kg	kg	kg	kg	kg*m	cm	cmq/m		
Sin	2601	--	57009	57009	57009	0	40973	64.7	10.42	22	--
Des							21380				

Verifica incendio: TeqvCls(°)=328 TeqvAcc(°)=432 Curva:ISO834, γCls=1.20(Aggregato Calcareo)
γAcc=1.00(Laminato a caldo), verifica per R120(min)

X	M-	M+	ΔM-	ΔM+	Afs	Afi	Mr-	Mr+	C-	C+	CS	ζ _E
cm	kg*m	kg*m	kg*m	kg*m	cmq	cmq	kg*m	kg*m				
ILN	1580	--	--	--	7.70	15.3 ₉	25304	49184	51	51	16	--
6.5	1479	--	--	--	7.70	15.3 ₉	25304	49184	51	51	17	--
CAMP	1382	--	--	--	7.70	15.3 ₉	25304	49184	51	51	18	--
58.2	821	--	--	--	7.70	15.3 ₉	25304	49184	51	51	31	--
FLN	758	--	--	--	7.70	15.3 ₉	25304	49184	51	51	33	--

X	x-	d-	x-/d-	x+	d+	x+/d+	Mr-	Mr+	C-	C+	Stato-	Stato+
cm	cm	cm		cm	cm		kg*m	kg*m				
ILN	23.7	80.9	0.293	--	--	--	25304	49184	51	51	Parz.	--
6.5	23.7	80.9	0.293	--	--	--	25304	49184	51	51	Parz.	--
CAMP	23.7	80.9	0.293	--	--	--	25304	49184	51	51	Parz.	--
58.2	23.7	80.9	0.293	--	--	--	25304	49184	51	51	Parz.	--
FLN	23.7	80.9	0.293	--	--	--	25304	49184	51	51	Parz.	--

Verifica a taglio: $\cot(\theta) = 1.997$ Comb: 51

Sez	Td	VRdhs	VRcd	VRsd	VRd	Tpl	Mr	Dx	Staffe	CS	ζ _E
	kg	kg	kg	kg	kg	kg	kg*m	cm	cmq/m		
Sin	1595	--	51710	51710	51710	0	49184	64.7	10.42	32	--
Des							25304				

Trave: 103 [0,0], Pilastrate [--,--] Sez. R: By=30.0 cm Bz=80.0 cm L=67.0 cm Ln=67.0 cm Criterio :
CLS_TraviAlte_ND - Verifica a flessione: **Verificato**

X	M-	M+	ΔM-	ΔM+	Afs	Afi	Mr-	Mr+	C-	C+	CS	ζ _E
cm	kg*m	kg*m	kg*m	kg*m	cmq	cmq	kg*m	kg*m				
ILN	1328	--	--	--	7.70	15.3 ₉	21380	40973	2	50	16	--
6.7	1239	--	--	--	7.70	15.3 ₉	21380	40973	2	50	17	--
CAMP	1156	--	--	--	7.70	15.3 ₉	21380	40973	2	50	18	--
60.3	762	--	--	--	7.70	15.3 ₉	21380	40973	2	50	28	--
FLN	732	--	--	--	7.70	15.3 ₉	21380	40973	2	50	29	--

X	x-	d-	x-/d-	x+	d+	x+/d+	Mr-	Mr+	C-	C+	Stato-	Stato+
cm	cm	cm		cm	cm		kg*m	kg*m				
ILN	16.4	75.9	0.216	--	--	--	21380	40973	2	50	Parz.	--
6.7	16.4	75.9	0.216	--	--	--	21380	40973	2	50	Parz.	--
CAMP	16.4	75.9	0.216	--	--	--	21380	40973	2	50	Parz.	--
60.3	16.4	75.9	0.216	--	--	--	21380	40973	2	50	Parz.	--
FLN	16.4	75.9	0.216	--	--	--	21380	40973	2	50	Parz.	--

Verifica a taglio: $\cot(\theta) = 2.037$ Comb: (16+17)-I-3

Sez	Td	VRdns	VRcd	VRsd	VRd	Tpl	Mr	Dx	Staffe	CS	ζ _E
	kg	kg	kg	kg	kg	kg	kg*m	cm	cmq/m		
Sin	1533	--	57191	57191	57191	0	40973	67.0	10.50	37	86
Des							21380				

Verifica incendio: $T_{eqvClS}(^{\circ})=328$ $T_{eqvAcc}(^{\circ})=432$ Curva:ISO834, $\gamma_{ClS}=1.20$ (Aggregato Calcareo)
 $\gamma_{Acc}=1.00$ (Laminato a caldo),verifica per R120(min)

X	M-	M+	ΔM-	ΔM+	Afs	Afi	Mr-	Mr+	C-	C+	CS	ζ _E
cm	kg*m	kg*m	kg*m	kg*m	cmq	cmq	kg*m	kg*m				
ILN	752	--	--	--	7.70	15.3 ₉	25304	49184	51	51	34	--
6.7	696	--	--	--	7.70	15.3 ₉	25304	49184	51	51	36	--
CAMP	644	--	--	--	7.70	15.3 ₉	25304	49184	51	51	39	--
60.3	406	--	--	--	7.70	15.3 ₉	25304	49184	51	51	62	--
FLN	390	--	--	--	7.70	15.3 ₉	25304	49184	51	51	65	--

X	x-	d-	x-/d-	x+	d+	x+/d+	Mr-	Mr+	C-	C+	Stato-	Stato+
cm	cm	cm		cm	cm		kg*m	kg*m				
ILN	23.7	80.9	0.293	--	--	--	25304	49184	51	51	Parz.	--
6.7	23.7	80.9	0.293	--	--	--	25304	49184	51	51	Parz.	--
CAMP	23.7	80.9	0.293	--	--	--	25304	49184	51	51	Parz.	--
60.3	23.7	80.9	0.293	--	--	--	25304	49184	51	51	Parz.	--
FLN	23.7	80.9	0.293	--	--	--	25304	49184	51	51	Parz.	--

Verifica a taglio: $\cot(\theta) = 1.986$ Comb: 51

Sez	Td	VRdns	VRcd	VRsd	VRd	Tpl	Mr	Dx	Staffe	CS	ζ _E
	kg	kg	kg	kg	kg	kg	kg*m	cm	cmq/m		
Sin	875	--	51873	51873	51873	0	25304	67.0	10.50	59	--

Sez	Td	VRdns	VRcd	VRsd	VRd	Tpl	Mr	Dx	Staffe	CS	ζ _E
Des							49184				

Trave: 103 [0,0], Pilastrate [--,--] Sez. R: By=30.0 cm Bz=80.0 cm L=67.0 cm Ln=67.0 cm Criterio : CLS_TraviAlte_ND - Verifica a flessione: **Verificato**

X	M-	M+	ΔM-	ΔM+	Afs	Afi	Mr-	Mr+	C-	C+	CS	ζ _E
cm	kg*m	kg*m	kg*m	kg*m	cmq	cmq	kg*m	kg*m				
ILN	730	--	--	--	7.70	7.70	21139	21139	2	50	29	--
6.7	718	--	--	--	7.70	7.70	21139	21139	2	50	29	--
CAMP	1059	166	--	--	7.70	7.70	21139	21139	(16+17)-I-1	(16+17)-I-3	20	34
60.3	1131	183	--	--	7.70	7.70	21139	21139	(16+17)-I-1	(16+17)-I-3	19	31
FLN	1207	196	--	--	7.70	7.70	21139	21139	(16+17)-I-1	(16+17)-I-3	18	29

X	x-	d-	x-/d-	x+	d+	x+/d+	Mr-	Mr+	C-	C+	Stato-	Stato+
cm	cm	cm		cm	cm		kg*m	kg*m				
ILN	18.3	75.9	0.241	--	--	--	21139	21139	2	50	Parz.	--
6.7	18.3	75.9	0.241	--	--	--	21139	21139	2	50	Parz.	--
CAMP	18.3	75.9	0.241	18.2	75.9	0.240	21139	21139	(16+17)-I-1	(16+17)-I-3	Parz.	Parz.
60.3	18.3	75.9	0.241	18.2	75.9	0.240	21139	21139	(16+17)-I-1	(16+17)-I-3	Parz.	Parz.
FLN	18.3	75.9	0.241	18.2	75.9	0.240	21139	21139	(16+17)-I-1	(16+17)-I-3	Parz.	Parz.

Verifica a taglio: $\cot(\theta) = 2.037$ Comb: (16+17)-I-1

Sez	Td	VRdns	VRcd	VRsd	VRd	Tpl	Mr	Dx	Staffe	CS	ζ _E
	kg	kg	kg	kg	kg	kg	kg*m	cm	cmq/m		
Sin	1172	--	57191	57191	57191	0	21139	67.0	10.50	49	85
Des							21139				

Verifica incendio: $T_{eqvClis}(^{\circ})=328$ $T_{eqvAcc}(^{\circ})=429$ Curva: ISO834, $\gamma_{Clis}=1.20$ (Aggregato Calcareo) $\gamma_{Acc}=1.00$ (Laminato a caldo), verifica per R120(min)

X	M-	M+	ΔM-	ΔM+	Afs	Afi	Mr-	Mr+	C-	C+	CS	ζ _E
cm	kg*m	kg*m	kg*m	kg*m	cmq	cmq	kg*m	kg*m				
ILN	390	--	--	--	7.70	7.70	25310	24351	51	51	65	--
6.7	381	--	--	--	7.70	7.70	25310	24351	51	51	66	--
CAMP	447	--	--	--	7.70	7.70	25310	24351	51	51	57	--
60.3	474	--	--	--	7.70	7.70	25310	24351	51	51	53	--
FLN	506	--	--	--	7.70	7.70	25310	24351	51	51	50	--

X	x-	d-	x-/d-	x+	d+	x+/d+	Mr-	Mr+	C-	C+	Stato-	Stato+
cm	cm	cm		cm	cm		kg*m	kg*m				
ILN	27.0	80.7	0.334	--	--	--	25310	24351	51	51	Parz.	--
6.7	27.0	80.7	0.334	--	--	--	25310	24351	51	51	Parz.	--
CAMP	27.0	80.7	0.334	--	--	--	25310	24351	51	51	Parz.	--
60.3	27.0	80.7	0.334	--	--	--	25310	24351	51	51	Parz.	--
FLN	27.0	80.7	0.334	--	--	--	25310	24351	51	51	Parz.	--

Verifica a taglio: $\cot(\theta) = 1.979$ Comb: 51

Sez	Td	VRdns	VRcd	VRsd	VRd	Tpl	Mr	Dx	Staffe	CS	ζ _E
	kg	kg	kg	kg	kg	kg	kg*m	cm	cmq/m		
Sin	508	--	51978	51978	51978	0	25310	67.0	10.50	>100	--
Des							24351				

Trave: 103 [0,0], Pilastrate [--,--] Sez. R: By=30.0 cm Bz=80.0 cm L=67.0 cm Ln=67.0 cm Criterio : CLS_TraviAlte_ND - Verifica a flessione: **Verificato**

X	M-	M+	ΔM-	ΔM+	Afs	Afi	Mr-	Mr+	C-	C+	CS	ζ _E
cm	kg*m	kg*m	kg*m	kg*m	cmq	cmq	kg*m	kg*m				

X	M-	M+	ΔM-	ΔM+	Afs	Afi	Mr-	Mr+	C-	C+	CS	ζ _E
ILN	1183	170	--	--	7.70	7.70	21139	21139	(16+17)-I-1	(16+17)-I-3	18	30
6.7	1266	176	--	--	7.70	7.70	21139	21139	(16+17)-I-1	(16+17)-I-3	17	29
CAMP	1969	177	--	--	7.70	7.70	21139	21139	(16+17)-I-1	(16+17)-I-3	11	20
60.3	2087	59	--	--	7.70	7.70	21139	21139	(16+17)-I-1	(16+17)-I-3	10	19
FLN	2210	25	--	--	7.70	7.70	21139	21139	(16+17)-I-1	(16+17)-I-3	9.6	18

X	x-	d-	x-/d-	x+	d+	x+/d+	Mr-	Mr+	C-	C+	Stato-	Stato+
cm	cm	cm		cm	cm		kg*m	kg*m				
ILN	18.3	75.9	0.241	18.2	75.9	0.240	21139	21139	(16+17)-I-1	(16+17)-I-3	Parz.	Parz.
6.7	18.3	75.9	0.241	18.2	75.9	0.240	21139	21139	(16+17)-I-1	(16+17)-I-3	Parz.	Parz.
CAMP	18.3	75.9	0.241	18.2	75.9	0.240	21139	21139	(16+17)-I-1	(16+17)-I-3	Parz.	Parz.
60.3	18.3	75.9	0.241	18.2	75.9	0.240	21139	21139	(16+17)-I-1	(16+17)-I-3	Parz.	Parz.
FLN	18.3	75.9	0.241	18.2	75.9	0.240	21139	21139	(16+17)-I-1	(16+17)-I-3	Parz.	Parz.

Verifica a taglio: $\cot(\theta) = 2.037$ Comb: 3

Sez	Td	VRdns	VRcd	VRsd	VRd	Tpl	Mr	Dx	Staffe	CS	ζ _E
	kg	kg	kg	kg	kg	kg	kg*m	cm	cmq/m		
Sin	1880	--	57191	57191	57191	0	21139	67.0	10.50	30	--
Des							21139				

Verifica incendio: $T_{eqvClS}(^{\circ})=328$ $T_{eqvAcc}(^{\circ})=429$ Curva:ISO834, $\gamma_{ClS}=1.20$ (Aggregato Calcareo)
 $\gamma_{Acc}=1.00$ (Laminato a caldo),verifica per R120(min)

X	M-	M+	ΔM-	ΔM+	Afs	Afi	Mr-	Mr+	C-	C+	CS	ζ _E
cm	kg*m	kg*m	kg*m	kg*m	cmq	cmq	kg*m	kg*m				
ILN	506	--	--	--	7.70	7.70	25310	24351	51	51	50	--
6.7	545	--	--	--	7.70	7.70	25310	24351	51	51	46	--
CAMP	940	--	--	--	7.70	7.70	25310	24351	51	51	27	--
60.3	1014	--	--	--	7.70	7.70	25310	24351	51	51	25	--
FLN	1093	--	--	--	7.70	7.70	25310	24351	51	51	23	--

X	x-	d-	x-/d-	x+	d+	x+/d+	Mr-	Mr+	C-	C+	Stato-	Stato+
cm	cm	cm		cm	cm		kg*m	kg*m				
ILN	27.0	80.7	0.334	--	--	--	25310	24351	51	51	Parz.	--
6.7	27.0	80.7	0.334	--	--	--	25310	24351	51	51	Parz.	--
CAMP	27.0	80.7	0.334	--	--	--	25310	24351	51	51	Parz.	--
60.3	27.0	80.7	0.334	--	--	--	25310	24351	51	51	Parz.	--
FLN	27.0	80.7	0.334	--	--	--	25310	24351	51	51	Parz.	--

Verifica a taglio: $\cot(\theta) = 1.979$ Comb: 51

Sez	Td	VRdns	VRcd	VRsd	VRd	Tpl	Mr	Dx	Staffe	CS	ζ _E
	kg	kg	kg	kg	kg	kg	kg*m	cm	cmq/m		
Sin	1211	--	51978	51978	51978	0	24351	67.0	10.50	43	--
Des							25310				

Trave: 103 [0,104], Pilastrate [--,4] Sez. R: $B_y=30.0$ cm $B_z=80.0$ cm $L=64.7$ cm $L_n=64.7$ cm Criterio :
 CLS_TraviAlte_ND - Verifica a flessione: **Verificato**

X	M-	M+	ΔM-	ΔM+	Afs	Afi	Mr-	Mr+	C-	C+	CS	ζ _E
cm	kg*m	kg*m	kg*m	kg*m	cmq	cmq	kg*m	kg*m				
ILN	2177	4	--	--	7.70	7.70	21139	21139	(16+17)-I-1	(16+17)-I-3	9.7	18
6.5	2305	--	--	--	7.70	7.70	21139	21139	(16+17)-I-1	50	9.2	18
CAMP	3313	--	--	--	7.70	7.70	21139	21139	(16+17)-I-1	50	6.4	13
58.2	3474	--	--	--	7.70	7.70	21139	21139	(16+17)-I-1	50	6.1	13
FLN	3639	--	--	--	7.70	7.70	21139	21139	(16+17)-I-1	50	5.8	13

X	x-	d-	x-/d-	x+	d+	x+/d+	Mr-	Mr+	C-	C+	Stato-	Stato+
cm	cm	cm		cm	cm		kg*m	kg*m				
ILN	18.3	75.9	0.241	18.2	75.9	0.240	21139	21139	(16+17)-I-1	(16+17)-I-3	Parz.	Parz.
6.5	18.3	75.9	0.241	--	--	--	21139	21139	(16+17)-I-1	50	Parz.	--
CAMP	18.3	75.9	0.242	--	--	--	21139	21139	(16+17)-I-1	50	Parz.	--
58.2	18.3	75.9	0.242	--	--	--	21139	21139	(16+17)-I-1	50	Parz.	--
FLN	18.3	75.9	0.242	--	--	--	21139	21139	(16+17)-I-1	50	Parz.	--

Verifica a taglio: $\cot(\theta) = 2.093$ Comb: 3

Sez	Td	VRdns	VRcd	VRsd	VRd	Tpl	Mr	Dx	Staffe	CS	ζ_E
	kg	kg	kg	kg	kg	kg	kg*m	cm	cmq/m		
Sin	3093	--	56240	56240	56240	0	21139	64.7	10.05	18	--
Des							21139				

Verifica incendio: $T_{eqvClS}(\circ) = 328$ $T_{eqvAcc}(\circ) = 429$ Curva: ISO834, $\gamma_{ClS} = 1.20$ (Aggregato Calcareo)
 $\gamma_{Acc} = 1.00$ (Laminato a caldo), verifica per R120(min)

X	M-	M+	$\Delta M-$	$\Delta M+$	Afs	Afi	Mr-	Mr+	C-	C+	CS	ζ_E
cm	kg*m	kg*m	kg*m	kg*m	cmq	cmq	kg*m	kg*m				
ILN	1087	--	--	--	7.70	7.70	25310	24351	51	51	23	--
6.5	1172	--	--	--	7.70	7.70	25310	24351	51	51	22	--
CAMP	1886	--	--	--	7.70	7.70	25310	24351	51	51	13	--
58.2	2004	--	--	--	7.70	7.70	25310	24351	51	51	13	--
FLN	2127	--	--	--	7.70	7.70	25310	24351	51	51	12	--

X	x-	d-	x-/d-	x+	d+	x+/d+	Mr-	Mr+	C-	C+	Stato-	Stato+
cm	cm	cm		cm	cm		kg*m	kg*m				
ILN	27.0	80.7	0.334	--	--	--	25310	24351	51	51	Parz.	--
6.5	27.0	80.7	0.334	--	--	--	25310	24351	51	51	Parz.	--
CAMP	27.0	80.7	0.334	--	--	--	25310	24351	51	51	Parz.	--
58.2	27.0	80.7	0.334	--	--	--	25310	24351	51	51	Parz.	--
FLN	27.0	80.7	0.334	--	--	--	25310	24351	51	51	Parz.	--

Verifica a taglio: $\cot(\theta) = 2.034$ Comb: 51

Sez	Td	VRdns	VRcd	VRsd	VRd	Tpl	Mr	Dx	Staffe	CS	ζ_E
	kg	kg	kg	kg	kg	kg	kg*m	cm	cmq/m		
Sin	1932	--	51129	51129	51129	0	24351	64.7	10.05	26	--
Des							25310				

Trave: 103 [104,0], Pilastrate [4,--] Sez. R: $B_y = 30.0$ cm $B_z = 80.0$ cm $L = 63.8$ cm $L_n = 63.8$ cm Criterio :
 CLS_TraviAlte_ND - Verifica a flessione: **Verificato**

X	M-	M+	$\Delta M-$	$\Delta M+$	Afs	Afi	Mr-	Mr+	C-	C+	CS	ζ_E
cm	kg*m	kg*m	kg*m	kg*m	cmq	cmq	kg*m	kg*m				
ILN	7763	--	--	--	7.70	10.78	21255	29199	2	50	2.7	--
6.4	7337	--	--	--	7.70	10.78	21255	29199	2	50	2.9	--
CAMP	6917	--	--	--	7.70	10.78	21255	29199	2	50	3.1	--
57.4	4145	--	--	--	7.70	10.78	21255	29199	2	50	5.1	--
FLN	3773	--	--	--	7.70	10.78	21255	29199	2	50	5.6	--

X	x-	d-	x-/d-	x+	d+	x+/d+	Mr-	Mr+	C-	C+	Stato-	Stato+
cm	cm	cm		cm	cm		kg*m	kg*m				
ILN	17.6	75.9	0.232	--	--	--	21255	29199	2	50	Parz.	--

X	x-	d-	x-/d-	x+	d+	x+/d+	Mr-	Mr+	C-	C+	Stato-	Stato+
6.4	17.6	75.9	0.232	--	--	--	21255	29199	2	50	Parz.	--
CAMP	17.6	75.9	0.232	--	--	--	21255	29199	2	50	Parz.	--
57.4	17.5	75.9	0.231	--	--	--	21255	29199	2	50	Parz.	--
FLN	17.5	75.9	0.231	--	--	--	21255	29199	2	50	Parz.	--

Verifica a taglio: $\cot(\theta) = 2.093$ Comb: 3

Sez	Td	VRdns	VRcd	VRsd	VRd	Tpl	Mr	Dx	Staffe	CS	ζ_E
	kg	kg	kg	kg	kg	kg	kg*m	cm	cmq/m		
Sin	6727	--	56240	56240	56240	0	29199	63.8	10.05	8.4	--
Des							21255				

Verifica incendio: $T_{eqvClS}(\circ) = 328$ $T_{eqvAcc}(\circ) = 431$ Curva: ISO834, $\gamma_{ClS} = 1.20$ (Aggregato Calcareo)
 $\gamma_{Acc} = 1.00$ (Laminato a caldo), verifica per R120(min)

X	M-	M+	$\Delta M-$	$\Delta M+$	Afs	Afi	Mr-	Mr+	C-	C+	CS	ζ_E
cm	kg*m	kg*m	kg*m	kg*m	cmq	cmq	kg*m	kg*m				
ILN	4582	--	--	--	7.70	10.78	25329	34307	51	51	5.5	--
6.4	4325	--	--	--	7.70	10.78	25329	34307	51	51	5.9	--
CAMP	4073	--	--	--	7.70	10.78	25329	34307	51	51	6.2	--
57.4	2423	--	--	--	7.70	10.78	25329	34307	51	51	10	--
FLN	2204	--	--	--	7.70	10.78	25329	34307	51	51	11	--

X	x-	d-	x-/d-	x+	d+	x+/d+	Mr-	Mr+	C-	C+	Stato-	Stato+
cm	cm	cm		cm	cm		kg*m	kg*m				
ILN	25.6	80.8	0.317	--	--	--	25329	34307	51	51	Parz.	--
6.4	25.6	80.8	0.317	--	--	--	25329	34307	51	51	Parz.	--
CAMP	25.6	80.8	0.317	--	--	--	25329	34307	51	51	Parz.	--
57.4	25.6	80.8	0.317	--	--	--	25329	34307	51	51	Parz.	--
FLN	25.6	80.8	0.317	--	--	--	25329	34307	51	51	Parz.	--

Verifica a taglio: $\cot(\theta) = 2.038$ Comb: 51

Sez	Td	VRdns	VRcd	VRsd	VRd	Tpl	Mr	Dx	Staffe	CS	ζ_E
	kg	kg	kg	kg	kg	kg	kg*m	cm	cmq/m		
Sin	4048	--	51077	51077	51077	0	34307	63.8	10.05	13	--
Des							25329				

Trave: 103 [0,0], Pilastrate [--,-] Sez. R: $B_y = 30.0$ cm $B_z = 80.0$ cm $L = 61.1$ cm $L_n = 61.1$ cm Criterio :
 CLS_TraviAlte_ND - Verifica a flessione: **Verificato**

X	M-	M+	$\Delta M-$	$\Delta M+$	Afs	Afi	Mr-	Mr+	C-	C+	CS	ζ_E
cm	kg*m	kg*m	kg*m	kg*m	cmq	cmq	kg*m	kg*m				
ILN	3768	--	--	--	7.70	10.78	21255	29199	2	50	5.6	--
6.1	3429	--	--	--	7.70	10.78	21255	29199	2	50	6.2	--
CAMP	3096	--	--	--	7.70	10.78	21255	29199	2	50	6.9	--
55.0	1399	378	--	--	7.70	10.78	21255	29199	(16+17)-I-3	(16+17)-I-1	15	23
FLN	1202	520	--	--	7.70	10.78	21255	29199	(16+17)-I-3	(16+17)-I-1	18	24

X	x-	d-	x-/d-	x+	d+	x+/d+	Mr-	Mr+	C-	C+	Stato-	Stato+
cm	cm	cm		cm	cm		kg*m	kg*m				
ILN	17.5	75.9	0.231	--	--	--	21255	29199	2	50	Parz.	--
6.1	17.5	75.9	0.231	--	--	--	21255	29199	2	50	Parz.	--
CAMP	17.5	75.9	0.231	--	--	--	21255	29199	2	50	Parz.	--
55.0	17.5	75.9	0.230	21.3	75.9	0.281	21255	29199	(16+17)-I-3	(16+17)-I-1	Parz.	Parz.
FLN	17.5	75.9	0.230	21.3	75.9	0.281	21255	29199	(16+17)-I-3	(16+17)-I-1	Parz.	Parz.

Verifica a taglio: $\cot(\theta) = 2.093$ Comb: 3

Sez	Td	VRdns	VRcd	VRsd	VRd	Tpl	Mr	Dx	Staffe	CS	ζ_E
	kg	kg	kg	kg	kg	kg	kg*m	cm	cmq/m		
Sin	5593	--	56240	56240	56240	0	29199	61.1	10.05	10	--
Des							21255				

Verifica incendio: $T_{eqvCl_s}(\circ) = 328$ $T_{eqvAcc}(\circ) = 431$ Curva: ISO834, $\gamma_{Cl_s} = 1.20$ (Aggregato Calcareo)
 $\gamma_{Acc} = 1.00$ (Laminato a caldo), verifica per R120(min)

X	M-	M+	$\Delta M-$	$\Delta M+$	Afs	Afi	Mr-	Mr+	C-	C+	CS	ζ_E
cm	kg*m	kg*m	kg*m	kg*m	cmq	cmq	kg*m	kg*m				
ILN	2205	--	--	--	7.70	10.7 ₈	25329	34307	51	51	11	--
6.1	2002	--	--	--	7.70	10.7 ₈	25329	34307	51	51	13	--
CAMP	1802	--	--	--	7.70	10.7 ₈	25329	34307	51	51	14	--
55.0	510	--	--	--	7.70	10.7 ₈	25329	34307	51	51	50	--
FLN	341	--	--	--	7.70	10.7 ₈	25329	34307	51	51	74	--

X	x-	d-	x-/d-	x+	d+	x+/d+	Mr-	Mr+	C-	C+	Stato-	Stato+
cm	cm	cm		cm	cm		kg*m	kg*m				
ILN	25.6	80.8	0.317	--	--	--	25329	34307	51	51	Parz.	--
6.1	25.6	80.8	0.317	--	--	--	25329	34307	51	51	Parz.	--
CAMP	25.6	80.8	0.317	--	--	--	25329	34307	51	51	Parz.	--
55.0	25.6	80.8	0.317	--	--	--	25329	34307	51	51	Parz.	--
FLN	25.6	80.8	0.317	--	--	--	25329	34307	51	51	Parz.	--

Verifica a taglio: $\cot(\theta) = 2.038$ Comb: 51

Sez	Td	VRdns	VRcd	VRsd	VRd	Tpl	Mr	Dx	Staffe	CS	ζ_E
	kg	kg	kg	kg	kg	kg	kg*m	cm	cmq/m		
Sin	3358	--	51077	51077	51077	0	34307	61.1	10.05	15	--
Des							25329				

Trave: 103 [0,0], Pilastrate [--,--] Sez. R: $B_y = 30.0$ cm $B_z = 80.0$ cm $L = 61.1$ cm $L_n = 61.1$ cm Criterio :
 CLS_TraviAlte_ND - Verifica a flessione: **Verificato**

X	M-	M+	$\Delta M-$	$\Delta M+$	Afs	Afi	Mr-	Mr+	C-	C+	CS	ζ_E
cm	kg*m	kg*m	kg*m	kg*m	cmq	cmq	kg*m	kg*m				
ILN	1225	546	--	--	7.70	10.7 ₈	21255	29199	(16+17)-I-3	(16+17)-I-1	17	24
6.1	1034	680	--	--	7.70	10.7 ₈	21255	29199	(16+17)-I-3	(16+17)-I-1	21	25
CAMP	847	1516	--	--	7.70	10.7 ₈	21255	29199	(16+17)-I-3	(16+17)-I-1	19	26
55.0	--	1627	--	--	9.24	10.7 ₈	25352	29310	50	2	18	--
FLN	--	1850	--	--	9.24	10.7 ₈	25352	29310	50	2	16	--

X	x-	d-	x-/d-	x+	d+	x+/d+	Mr-	Mr+	C-	C+	Stato-	Stato+
cm	cm	cm		cm	cm		kg*m	kg*m				
ILN	17.5	75.9	0.230	21.3	75.9	0.281	21255	29199	(16+17)-I-3	(16+17)-I-1	Parz.	Parz.
6.1	17.5	75.9	0.230	21.3	75.9	0.281	21255	29199	(16+17)-I-3	(16+17)-I-1	Parz.	Parz.
CAMP	17.5	75.9	0.230	21.3	75.9	0.281	21255	29199	(16+17)-I-3	(16+17)-I-1	Parz.	Parz.
55.0	--	--	--	20.9	75.9	0.275	25352	29310	50	2	--	Parz.
FLN	--	--	--	20.9	75.9	0.275	25352	29310	50	2	--	Parz.

Verifica a taglio: $\cot(\theta) = 2.093$ Comb: 3

Sez	Td	VRdhs	VRcd	VRsd	VRd	Tpl	Mr	Dx	Staffe	CS	ζ_E
	kg	kg	kg	kg	kg	kg	kg*m	cm	cmq/m		
Sin	4496	--	56240	56240	56240	0	29199	61.1	10.05	13	--
Des							25352				

Verifica incendio: $T_{eqvClS}(^{\circ})=328$ $T_{eqvAcc}(^{\circ})=428$ Curva:ISO834, $\gamma_{ClS}=1.20$ (Aggregato Calcareo)
 $\gamma_{Acc}=1.00$ (Laminato a caldo),verifica per R120(min)

X	M-	M+	$\Delta M-$	$\Delta M+$	Afs	Afi	Mr-	Mr+	C-	C+	CS	ζ_E
cm	kg*m	kg*m	kg*m	kg*m	cmq	cmq	kg*m	kg*m				
ILN	340	--	--	--	7.70	10.78	25329	34307	51	51	75	--
6.1	177	--	--	--	7.70	10.78	25329	34307	51	51	>100	--
CAMP	--	856	--	--	7.70	10.78	25329	34307	51	51	40	--
55.0	--	989	--	--	9.24	10.78	30304	34292	51	51	35	--
FLN	--	1118	--	--	9.24	10.78	30304	34292	51	51	31	--

X	x-	d-	x-/d-	x+	d+	x+/d+	Mr-	Mr+	C-	C+	Stato-	Stato+
cm	cm	cm		cm	cm		kg*m	kg*m				
ILN	25.6	80.8	0.317	--	--	--	25329	34307	51	51	Parz.	--
6.1	25.6	80.8	0.317	--	--	--	25329	34307	51	51	Parz.	--
CAMP	--	--	--	23.1	79.0	0.293	25329	34307	51	51	--	Parz.
55.0	--	--	--	22.7	79.0	0.287	30304	34292	51	51	--	Parz.
FLN	--	--	--	22.7	79.0	0.287	30304	34292	51	51	--	Parz.

Verifica a taglio: $\cot(\theta) = 2.031$ Comb: 51

Sez	Td	VRdhs	VRcd	VRsd	VRd	Tpl	Mr	Dx	Staffe	CS	ζ_E
	kg	kg	kg	kg	kg	kg	kg*m	cm	cmq/m		
Sin	2693	--	51182	51182	51182	0	34307	61.1	10.05	19	--
Des							30304				

Trave: 103 [0,0], Pilastrate [--,--] Sez. R: By=30.0 cm Bz=80.0 cm L=61.1 cm Ln=61.1 cm Criterio :
 CLS_TraviAlte_ND - Verifica a flessione: **Verificato**

X	M-	M+	$\Delta M-$	$\Delta M+$	Afs	Afi	Mr-	Mr+	C-	C+	CS	ζ_E
cm	kg*m	kg*m	kg*m	kg*m	cmq	cmq	kg*m	kg*m				
ILN	--	1853	--	--	9.24	10.78	25352	29310	50	2	16	--
6.1	--	2057	--	--	9.24	10.78	25352	29310	50	2	14	--
CAMP	--	3335	--	--	9.24	7.70	25192	21201	50	2	6.4	--
55.0	--	3496	--	--	9.24	7.70	25192	21201	50	2	6.1	--
FLN	--	3651	--	--	9.24	7.70	25192	21201	50	2	5.8	--

X	x-	d-	x-/d-	x+	d+	x+/d+	Mr-	Mr+	C-	C+	Stato-	Stato+
cm	cm	cm		cm	cm		kg*m	kg*m				
ILN	--	--	--	20.9	75.9	0.275	25352	29310	50	2	--	Parz.
6.1	--	--	--	20.9	75.9	0.276	25352	29310	50	2	--	Parz.
CAMP	--	--	--	17.9	75.9	0.236	25192	21201	50	2	--	Parz.
55.0	--	--	--	17.9	75.9	0.236	25192	21201	50	2	--	Parz.
FLN	--	--	--	17.9	75.9	0.236	25192	21201	50	2	--	Parz.

Verifica a taglio: $\cot(\theta) = 2.093$ Comb: 3

Sez	Td	VRdns	VRcd	VRsd	VRd	Tpl	Mr	Dx	Staffe	CS	ζ_E
	kg	kg	kg	kg	kg	kg	kg*m	cm	cmq/m		
Sin	3394	--	56240	56240	56240	0	29310	61.1	10.05	17	--
Des							25192				

Verifica incendio: $T_{eqvCl_s}(\circ) = 328$ $T_{eqvAcc}(\circ) = 426$ Curva: ISO834, $\gamma_{Cl_s} = 1.20$ (Aggregato Calcareo)
 $\gamma_{Acc} = 1.00$ (Laminato a caldo), verifica per R120(min)

X	M-	M+	$\Delta M-$	$\Delta M+$	Afs	Afi	Mr-	Mr+	C-	C+	CS	ζ_E
cm	kg*m	kg*m	kg*m	kg*m	cmq	cmq	kg*m	kg*m				
ILN	--	1119	--	--	9.24	10.78	30304	34292	51	51	31	--
6.1	--	1241	--	--	9.24	10.78	30304	34292	51	51	28	--
CAMP	--	1988	--	--	9.24	7.70	30287	24364	51	51	12	--
55.0	--	2080	--	--	9.24	7.70	30287	24364	51	51	12	--
FLN	--	2169	--	--	9.24	7.70	30287	24364	51	51	11	--

X	x-	d-	x-/d-	x+	d+	x+/d+	Mr-	Mr+	C-	C+	Stato-	Stato+
cm	cm	cm		cm	cm		kg*m	kg*m				
ILN	--	--	--	22.7	79.0	0.287	30304	34292	51	51	--	Parz.
6.1	--	--	--	22.7	79.0	0.287	30304	34292	51	51	--	Parz.
CAMP	--	--	--	19.6	79.1	0.248	30287	24364	51	51	--	Parz.
55.0	--	--	--	19.6	79.1	0.248	30287	24364	51	51	--	Parz.
FLN	--	--	--	19.6	79.1	0.248	30287	24364	51	51	--	Parz.

Verifica a taglio: $\cot(\theta) = 2.026$ Comb: 51

Sez	Td	VRdns	VRcd	VRsd	VRd	Tpl	Mr	Dx	Staffe	CS	ζ_E
	kg	kg	kg	kg	kg	kg	kg*m	cm	cmq/m		
Sin	2024	--	51260	51260	51260	0	34292	61.1	10.05	25	--
Des							30287				

Trave: 103 [0,0], Pilastrate [--,--] Sez. R: By=30.0 cm Bz=80.0 cm L=61.1 cm Ln=61.1 cm Criterio : CLS_TraviAlte_ND - Verifica a flessione: **Verificato**

X	M-	M+	$\Delta M-$	$\Delta M+$	Afs	Afi	Mr-	Mr+	C-	C+	CS	ζ_E
cm	kg*m	kg*m	kg*m	kg*m	cmq	cmq	kg*m	kg*m				
ILN	--	3652	--	--	9.24	7.70	25192	21201	50	2	5.8	--
6.1	--	3787	--	--	9.24	7.70	25192	21201	50	2	5.6	--
CAMP	--	4578	--	--	9.24	7.70	25192	21201	50	2	4.6	--
55.0	--	4669	--	--	9.24	7.70	25192	21201	50	2	4.5	--
FLN	--	4755	--	--	9.24	7.70	25192	21201	50	2	4.5	--

X	x-	d-	x-/d-	x+	d+	x+/d+	Mr-	Mr+	C-	C+	Stato-	Stato+
cm	cm	cm		cm	cm		kg*m	kg*m				
ILN	--	--	--	17.9	75.9	0.236	25192	21201	50	2	--	Parz.
6.1	--	--	--	17.9	75.9	0.236	25192	21201	50	2	--	Parz.
CAMP	--	--	--	18.0	75.9	0.237	25192	21201	50	2	--	Parz.
55.0	--	--	--	18.0	75.9	0.237	25192	21201	50	2	--	Parz.

X	x-	d-	x-/d-	x+	d+	x+/d+	Mr-	Mr+	C-	C+	Stato-	Stato+
FLN	--	--	--	18.0	75.9	0.237	25192	21201	50	2	--	Parz.

Verifica a taglio: $\cot(\theta) = 2.093$ Comb: 3

Sez	Td	VRdhs	VRcd	VRsd	VRd	Tpl	Mr	Dx	Staffe	CS	ζ_E
	kg	kg	kg	kg	kg	kg	kg*m	cm	cmq/m		
Sin	2255	--	56240	56240	56240	0	21201	61.1	10.05	25	--
Des							25192				

Verifica incendio: $T_{eqvClS}(^{\circ}) = 328$ $T_{eqvAcc}(^{\circ}) = 426$ Curva: ISO834, $\gamma_{ClS} = 1.20$ (Aggregato Calcareo)
 $\gamma_{Acc} = 1.00$ (Laminato a caldo), verifica per R120(min)

X	M-	M+	$\Delta M-$	$\Delta M+$	Afs	Afi	Mr-	Mr+	C-	C+	CS	ζ_E
cm	kg*m	kg*m	kg*m	kg*m	cmq	cmq	kg*m	kg*m				
ILN	--	2168	--	--	9.24	7.70	30287	24364	51	51	11	--
6.1	--	2249	--	--	9.24	7.70	30287	24364	51	51	11	--
CAMP	--	2705	--	--	9.24	7.70	30287	24364	51	51	9.0	--
55.0	--	2755	--	--	9.24	7.70	30287	24364	51	51	8.8	--
FLN	--	2802	--	--	9.24	7.70	30287	24364	51	51	8.7	--

X	x-	d-	x-/d-	x+	d+	x+/d+	Mr-	Mr+	C-	C+	Stato-	Stato+
cm	cm	cm		cm	cm		kg*m	kg*m				
ILN	--	--	--	19.6	79.1	0.248	30287	24364	51	51	--	Parz.
6.1	--	--	--	19.6	79.1	0.248	30287	24364	51	51	--	Parz.
CAMP	--	--	--	19.6	79.1	0.248	30287	24364	51	51	--	Parz.
55.0	--	--	--	19.6	79.1	0.248	30287	24364	51	51	--	Parz.
FLN	--	--	--	19.6	79.1	0.248	30287	24364	51	51	--	Parz.

Verifica a taglio: $\cot(\theta) = 2.026$ Comb: 51

Sez	Td	VRdhs	VRcd	VRsd	VRd	Tpl	Mr	Dx	Staffe	CS	ζ_E
	kg	kg	kg	kg	kg	kg	kg*m	cm	cmq/m		
Sin	1343	--	51260	51260	51260	0	24364	61.1	10.05	38	--
Des							30287				

Trave: 103 [0,0], Pilastrate [--,-] Sez. R: $B_y = 30.0$ cm $B_z = 80.0$ cm $L = 61.1$ cm $L_n = 61.1$ cm Criterio :
 CLS_TraviAlte_ND - Verifica a flessione: **Verificato**

X	M-	M+	$\Delta M-$	$\Delta M+$	Afs	Afi	Mr-	Mr+	C-	C+	CS	ζ_E
cm	kg*m	kg*m	kg*m	kg*m	cmq	cmq	kg*m	kg*m				
ILN	--	4755	--	--	7.70	7.70	21139	21139	50	2	4.4	--
6.1	--	4818	--	--	7.70	7.70	21139	21139	50	2	4.4	--
CAMP	--	5103	--	--	7.70	7.70	21139	21139	50	2	4.1	--
55.0	--	5122	--	--	7.70	7.70	21139	21139	50	2	4.1	--
FLN	--	5135	--	--	7.70	7.70	21139	21139	50	2	4.1	--

X	x-	d-	x-/d-	x+	d+	x+/d+	Mr-	Mr+	C-	C+	Stato-	Stato+
cm	cm	cm		cm	cm		kg*m	kg*m				
ILN	--	--	--	18.4	75.9	0.242	21139	21139	50	2	--	Parz.
6.1	--	--	--	18.4	75.9	0.242	21139	21139	50	2	--	Parz.
CAMP	--	--	--	18.4	75.9	0.242	21139	21139	50	2	--	Parz.
55.0	--	--	--	18.4	75.9	0.242	21139	21139	50	2	--	Parz.
FLN	--	--	--	18.4	75.9	0.242	21139	21139	50	2	--	Parz.

Verifica a taglio: $\cot(\theta) = 2.093$ Comb: (16+17)-I-3

Sez	Td	VRdhs	VRcd	VRsd	VRd	Tpl	Mr	Dx	Staffe	CS	ζ_E
	kg	kg	kg	kg	kg	kg	kg*m	cm	cmq/m		
Sin	1117	--	56240	56240	56240	0	21139	61.1	10.05	50	>100

Sez	Td	VRdhs	VRcd	VRsd	VRd	Tpl	Mr	Dx	Staffe	CS	ζ_E
Des							21139				

Verifica incendio: $T_{eqvClis}(^{\circ})=328$ $T_{eqvAcc}(^{\circ})=429$ Curva:ISO834, $\gamma_{Clis}=1.20$ (Aggregato Calcareo)
 $\gamma_{Acc}=1.00$ (Laminato a caldo),verifica per R120(min)

X	M-	M+	$\Delta M-$	$\Delta M+$	Afs	Afi	Mr-	Mr+	C-	C+	CS	ζ_E
cm	kg*m	kg*m	kg*m	kg*m	cmq	cmq	kg*m	kg*m				
ILN	--	2801	--	--	7.70	7.70	25310	24351	51	51	8.7	--
6.1	--	2839	--	--	7.70	7.70	25310	24351	51	51	8.6	--
CAMP	--	2996	--	--	7.70	7.70	25310	24351	51	51	8.1	--
55.0	--	3004	--	--	7.70	7.70	25310	24351	51	51	8.1	--
FLN	--	3008	--	--	7.70	7.70	25310	24351	51	51	8.1	--

X	x-	d-	x-/d-	x+	d+	x+/d+	Mr-	Mr+	C-	C+	Stato-	Stato +
cm	cm	cm		cm	cm		kg*m	kg*m				
ILN	--	--	--	20.0	79.1	0.253	25310	24351	51	51	--	Parz.
6.1	--	--	--	20.0	79.1	0.253	25310	24351	51	51	--	Parz.
CAMP	--	--	--	20.0	79.1	0.253	25310	24351	51	51	--	Parz.
55.0	--	--	--	20.0	79.1	0.253	25310	24351	51	51	--	Parz.
FLN	--	--	--	20.0	79.1	0.253	25310	24351	51	51	--	Parz.

Verifica a taglio: $\cot(\theta) = 2.034$ Comb: 51

Sez	Td	VRdhs	VRcd	VRsd	VRd	Tpl	Mr	Dx	Staffe	CS	ζ_E
	kg	kg	kg	kg	kg	kg	kg*m	cm	cmq/m		
Sin	643	--	51129	51129	51129	0	24351	61.1	10.05	79	--
Des							25310				

Trave: 103 [0,0], Pilastrate [--,--] Sez. R: $B_y=30.0$ cm $B_z=80.0$ cm $L=61.1$ cm $L_n=61.1$ cm Criterio :
 CLS_TraviAlte_ND - Verifica a flessione: **Verificato**

X	M-	M+	$\Delta M-$	$\Delta M+$	Afs	Afi	Mr-	Mr+	C-	C+	CS	ζ_E
cm	kg*m	kg*m	kg*m	kg*m	cmq	cmq	kg*m	kg*m				
ILN	--	5134	--	--	7.70	7.70	21139	21139	50	2	4.1	--
6.1	--	5120	--	--	7.70	7.70	21139	21139	50	2	4.1	--
CAMP	--	5100	--	--	7.70	7.70	21139	21139	50	2	4.1	--
55.0	--	4806	--	--	7.70	7.70	21139	21139	50	2	4.4	--
FLN	--	4742	--	--	7.70	7.70	21139	21139	50	2	4.5	--

X	x-	d-	x-/d-	x+	d+	x+/d+	Mr-	Mr+	C-	C+	Stato-	Stato +
cm	cm	cm		cm	cm		kg*m	kg*m				
ILN	--	--	--	18.4	75.9	0.242	21139	21139	50	2	--	Parz.
6.1	--	--	--	18.4	75.9	0.242	21139	21139	50	2	--	Parz.
CAMP	--	--	--	18.4	75.9	0.242	21139	21139	50	2	--	Parz.
55.0	--	--	--	18.4	75.9	0.242	21139	21139	50	2	--	Parz.
FLN	--	--	--	18.4	75.9	0.242	21139	21139	50	2	--	Parz.

Verifica a taglio: $\cot(\theta) = 2.093$ Comb: (16+17)-I-1

Sez	Td	VRdhs	VRcd	VRsd	VRd	Tpl	Mr	Dx	Staffe	CS	ζ_E
	kg	kg	kg	kg	kg	kg	kg*m	cm	cmq/m		
Sin	1172	--	56240	56240	56240	0	21139	61.1	10.05	48	>100
Des							21139				

Verifica incendio: $T_{eqvClis}(^{\circ})=328$ $T_{eqvAcc}(^{\circ})=429$ Curva:ISO834, $\gamma_{Clis}=1.20$ (Aggregato Calcareo)
 $\gamma_{Acc}=1.00$ (Laminato a caldo),verifica per R120(min)

X	M-	M+	$\Delta M-$	$\Delta M+$	Afs	Afi	Mr-	Mr+	C-	C+	CS	ζ_E
cm	kg*m	kg*m	kg*m	kg*m	cmq	cmq	kg*m	kg*m				
ILN	--	3007	--	--	7.70	7.70	25310	24351	51	51	8.1	--

X	M-	M+	ΔM-	ΔM+	Afs	Afi	Mr-	Mr+	C-	C+	CS	ζ _E
6.1	--	3001	--	--	7.70	7.70	25310	24351	51	51	8.1	--
CAMP	--	2990	--	--	7.70	7.70	25310	24351	51	51	8.1	--
55.0	--	2812	--	--	7.70	7.70	25310	24351	51	51	8.7	--
FLN	--	2772	--	--	7.70	7.70	25310	24351	51	51	8.8	--

X	x-	d-	x-/d-	x+	d+	x+/d+	Mr-	Mr+	C-	C+	Stato-	Stato +
cm	cm	cm		cm	cm		kg*m	kg*m				
ILN	--	--	--	20.0	79.1	0.253	25310	24351	51	51	--	Parz.
6.1	--	--	--	20.0	79.1	0.253	25310	24351	51	51	--	Parz.
CAMP	--	--	--	20.0	79.1	0.253	25310	24351	51	51	--	Parz.
55.0	--	--	--	20.0	79.1	0.253	25310	24351	51	51	--	Parz.
FLN	--	--	--	20.0	79.1	0.253	25310	24351	51	51	--	Parz.

Verifica a taglio: $\cot(\theta) = 2.034$ Comb: 51

Sez	Td	VRdhs	VRcd	VRsd	VRd	Tpl	Mr	Dx	Staffe	CS	ζ _E
	kg	kg	kg	kg	kg	kg	kg*m	cm	cmq/m		
Sin	692	--	51129	51129	51129	0	24351	61.1	10.05	74	--
Des							25310				

Trave: 103 [0,0], Pilastrate [--,-] Sez. R: By=30.0 cm Bz=80.0 cm L=61.1 cm Ln=61.1 cm Criterio :
CLS_TraviAlte_ND - Verifica a flessione: **Verificato**

X	M-	M+	ΔM-	ΔM+	Afs	Afi	Mr-	Mr+	C-	C+	CS	ζ _E
cm	kg*m	kg*m	kg*m	kg*m	cmq	cmq	kg*m	kg*m				
ILN	--	4740	--	--	7.70	7.70	21139	21139	50	2	4.5	--
6.1	--	4659	--	--	7.70	7.70	21139	21139	50	2	4.5	--
CAMP	--	4573	--	--	7.70	7.70	21139	21139	50	2	4.6	--
55.0	--	3815	--	--	7.70	7.70	21139	21139	50	2	5.5	--
FLN	--	3685	--	--	7.70	7.70	21139	21139	50	2	5.7	--

X	x-	d-	x-/d-	x+	d+	x+/d+	Mr-	Mr+	C-	C+	Stato-	Stato +
cm	cm	cm		cm	cm		kg*m	kg*m				
ILN	--	--	--	18.4	75.9	0.242	21139	21139	50	2	--	Parz.
6.1	--	--	--	18.4	75.9	0.242	21139	21139	50	2	--	Parz.
CAMP	--	--	--	18.4	75.9	0.242	21139	21139	50	2	--	Parz.
55.0	--	--	--	18.3	75.9	0.242	21139	21139	50	2	--	Parz.
FLN	--	--	--	18.3	75.9	0.242	21139	21139	50	2	--	Parz.

Verifica a taglio: $\cot(\theta) = 2.093$ Comb: 3

Sez	Td	VRdhs	VRcd	VRsd	VRd	Tpl	Mr	Dx	Staffe	CS	ζ _E
	kg	kg	kg	kg	kg	kg	kg*m	cm	cmq/m		
Sin	2176	--	56240	56240	56240	0	21139	61.1	10.05	26	--
Des							21139				

Verifica incendio: $T_{eqvClS}(^{\circ})=328$ $T_{eqvAcc}(^{\circ})=429$ Curva:ISO834, $\gamma_{ClS}=1.20$ (Aggregato Calcareo)
 $\gamma_{Acc}=1.00$ (Laminato a caldo),verifica per R120(min)

X	M-	M+	ΔM-	ΔM+	Afs	Afi	Mr-	Mr+	C-	C+	CS	ζ _E
cm	kg*m	kg*m	kg*m	kg*m	cmq	cmq	kg*m	kg*m				
ILN	--	2771	--	--	7.70	7.70	25310	24351	51	51	8.8	--
6.1	--	2723	--	--	7.70	7.70	25310	24351	51	51	8.9	--
CAMP	--	2672	--	--	7.70	7.70	25310	24351	51	51	9.1	--
55.0	--	2209	--	--	7.70	7.70	25310	24351	51	51	11	--
FLN	--	2128	--	--	7.70	7.70	25310	24351	51	51	11	--

X	x-	d-	x-/d-	x+	d+	x+/d+	Mr-	Mr+	C-	C+	Stato-	Stato+
cm	cm	cm		cm	cm		kg*m	kg*m				
ILN	--	--	--	20.0	79.1	0.253	25310	24351	51	51	--	Parz.
6.1	--	--	--	20.0	79.1	0.253	25310	24351	51	51	--	Parz.
CAMP	--	--	--	20.0	79.1	0.253	25310	24351	51	51	--	Parz.
55.0	--	--	--	20.0	79.1	0.253	25310	24351	51	51	--	Parz.
FLN	--	--	--	20.0	79.1	0.253	25310	24351	51	51	--	Parz.

Verifica a taglio: $\cot(\theta) = 2.034$ Comb: 51

Sez	Td	VRdns	VRcd	VRsd	VRd	Tpl	Mr	Dx	Staffe	CS	ζ_E
	kg	kg	kg	kg	kg	kg	kg*m	cm	cmq/m		
Sin	1357	--	51129	51129	51129	0	24351	61.1	10.05	38	--
Des							25310				

Trave: 103 [0,0], Pilastrate [--,--] Sez. R: By=30.0 cm Bz=80.0 cm L=61.1 cm Ln=61.1 cm Criterio : CLS_TraviAlte_ND - Verifica a flessione: **Verificato**

X	M-	M+	$\Delta M-$	$\Delta M+$	Afs	Afi	Mr-	Mr+	C-	C+	CS	ζ_E
cm	kg*m	kg*m	kg*m	kg*m	cmq	cmq	kg*m	kg*m				
ILN	--	3680	--	--	7.70	7.70	21139	21139	50	2	5.7	--
6.1	--	3524	--	--	7.70	7.70	21139	21139	50	2	6.0	--
CAMP	--	3362	--	--	7.70	7.70	21139	21139	50	2	6.3	--
55.0	--	2149	--	--	7.70	7.70	21139	21139	50	(16+17)-I-3	9.8	20
FLN	--	2054	--	--	7.70	7.70	21139	21139	50	(16+17)-I-3	10	20

X	x-	d-	x-/d-	x+	d+	x+/d+	Mr-	Mr+	C-	C+	Stato-	Stato+
cm	cm	cm		cm	cm		kg*m	kg*m				
ILN	--	--	--	18.3	75.9	0.242	21139	21139	50	2	--	Parz.
6.1	--	--	--	18.3	75.9	0.242	21139	21139	50	2	--	Parz.
CAMP	--	--	--	18.3	75.9	0.242	21139	21139	50	2	--	Parz.
55.0	--	--	--	18.3	75.9	0.241	21139	21139	50	(16+17)-I-3	--	Parz.
FLN	--	--	--	18.3	75.9	0.241	21139	21139	50	(16+17)-I-3	--	Parz.

Verifica a taglio: $\cot(\theta) = 2.093$ Comb: 3

Sez	Td	VRdns	VRcd	VRsd	VRd	Tpl	Mr	Dx	Staffe	CS	ζ_E
	kg	kg	kg	kg	kg	kg	kg*m	cm	cmq/m		
Sin	3412	--	56240	56240	56240	0	21139	61.1	10.05	16	--
Des							21139				

Verifica incendio: $T_{eqvClS}(^{\circ})=328$ $T_{eqvAcc}(^{\circ})=429$ Curva:ISO834, $\gamma_{ClS}=1.20$ (Aggregato Calcareo)
 $\gamma_{Acc}=1.00$ (Laminato a caldo),verifica per R120(min)

X	M-	M+	$\Delta M-$	$\Delta M+$	Afs	Afi	Mr-	Mr+	C-	C+	CS	ζ_E
cm	kg*m	kg*m	kg*m	kg*m	cmq	cmq	kg*m	kg*m				
ILN	--	2127	--	--	7.70	7.70	25310	24351	51	51	11	--
6.1	--	2036	--	--	7.70	7.70	25310	24351	51	51	12	--
CAMP	--	1941	--	--	7.70	7.70	25310	24351	51	51	13	--
55.0	--	1172	--	--	7.70	7.70	25310	24351	51	51	21	--
FLN	--	1048	--	--	7.70	7.70	25310	24351	51	51	23	--

X	x-	d-	x-/d-	x+	d+	x+/d+	Mr-	Mr+	C-	C+	Stato-	Stato+
cm	cm	cm		cm	cm		kg*m	kg*m				
ILN	--	--	--	20.0	79.1	0.253	25310	24351	51	51	--	Parz.
6.1	--	--	--	20.0	79.1	0.253	25310	24351	51	51	--	Parz.
CAMP	--	--	--	20.0	79.1	0.253	25310	24351	51	51	--	Parz.
55.0	--	--	--	20.0	79.1	0.253	25310	24351	51	51	--	Parz.
FLN	--	--	--	20.0	79.1	0.253	25310	24351	51	51	--	Parz.

Verifica a taglio: $\cot(\theta) = 2.034$ Comb: 51

Sez	Td	VRdns	VRcd	VRsd	VRd	Tpl	Mr	Dx	Staffe	CS	ζ_E
	kg	kg	kg	kg	kg	kg	kg*m	cm	cmq/m		
Sin	2073	--	51129	51129	51129	0	24351	61.1	10.05	25	--
Des							25310				

Trave: 103 [0,0], Pilastrate [--,--] Sez. R: By=30.0 cm Bz=80.0 cm L=61.1 cm Ln=61.1 cm Criterio : CLS_TraviAlte_ND - Verifica a flessione: **Verificato**

X	M-	M+	$\Delta M-$	$\Delta M+$	Afs	Afi	Mr-	Mr+	C-	C+	CS	ζ_E
cm	kg*m	kg*m	kg*m	kg*m	cmq	cmq	kg*m	kg*m				
ILN	--	2025	--	--	7.70	7.70	21139	21139	50	(16+17)-I-3	10	20
6.1	97	1923	--	--	7.70	7.70	21139	21139	(16+17)-I-1	(16+17)-I-3	11	20
CAMP	1333	1816	--	--	7.70	7.70	21139	21139	(16+17)-I-1	(16+17)-I-3	12	17
55.0	1525	966	--	--	7.70	7.70	21139	21139	(16+17)-I-1	(16+17)-I-3	14	17
FLN	1720	829	--	--	7.70	7.70	21139	21139	(16+17)-I-1	(16+17)-I-3	12	16

X	x-	d-	x-/d-	x+	d+	x+/d+	Mr-	Mr+	C-	C+	Stato-	Stato+
cm	cm	cm		cm	cm		kg*m	kg*m				
ILN	--	--	--	18.3	75.9	0.241	21139	21139	50	(16+17)-I-3	--	Parz.
6.1	18.2	75.9	0.240	18.3	75.9	0.241	21139	21139	(16+17)-I-1	(16+17)-I-3	Parz.	Parz.
CAMP	18.3	75.9	0.241	18.3	75.9	0.241	21139	21139	(16+17)-I-1	(16+17)-I-3	Parz.	Parz.
55.0	18.3	75.9	0.241	18.3	75.9	0.241	21139	21139	(16+17)-I-1	(16+17)-I-3	Parz.	Parz.
FLN	18.3	75.9	0.241	18.3	75.9	0.241	21139	21139	(16+17)-I-1	(16+17)-I-3	Parz.	Parz.

Verifica a taglio: $\cot(\theta) = 2.093$ Comb: 3

Sez	Td	VRdns	VRcd	VRsd	VRd	Tpl	Mr	Dx	Staffe	CS	ζ_E
	kg	kg	kg	kg	kg	kg	kg*m	cm	cmq/m		
Sin	4520	--	56240	56240	56240	0	21139	61.1	10.05	12	--
Des							21139				

Verifica incendio: $T_{eqvClis}(\circ) = 328$ $T_{eqvAcc}(\circ) = 429$ Curva: ISO834, $\gamma_{Clis} = 1.20$ (Aggregato Calcareo) $\gamma_{Acc} = 1.00$ (Laminato a caldo), verifica per R120(min)

X	M-	M+	$\Delta M-$	$\Delta M+$	Afs	Afi	Mr-	Mr+	C-	C+	CS	ζ_E
cm	kg*m	kg*m	kg*m	kg*m	cmq	cmq	kg*m	kg*m				
ILN	--	1045	--	--	7.70	7.70	25310	24351	51	51	23	--
6.1	--	913	--	--	7.70	7.70	25310	24351	51	51	27	--
CAMP	--	777	--	--	7.70	7.70	25310	24351	51	51	31	--
55.0	279	--	--	--	7.70	7.70	25310	24351	51	51	91	--
FLN	445	--	--	--	7.70	7.70	25310	24351	51	51	57	--

X	x-	d-	x-/d-	x+	d+	x+/d+	Mr-	Mr+	C-	C+	Stato-	Stato+
cm	cm	cm		cm	cm		kg*m	kg*m				
ILN	--	--	--	20.0	79.1	0.253	25310	24351	51	51	--	Parz.
6.1	--	--	--	20.0	79.1	0.253	25310	24351	51	51	--	Parz.
CAMP	--	--	--	20.0	79.1	0.253	25310	24351	51	51	--	Parz.
55.0	27.0	80.7	0.334	--	--	--	25310	24351	51	51	Parz.	--
FLN	27.0	80.7	0.334	--	--	--	25310	24351	51	51	Parz.	--

Verifica a taglio: $\cot(\theta) = 2.034$ Comb: 51

Sez	Td	VRdns	VRcd	VRsd	VRd	Tpl	Mr	Dx	Staffe	CS	ζ_E
	kg	kg	kg	kg	kg	kg	kg*m	cm	cmq/m		
Sin	2746	--	51129	51129	51129	0	24351	61.1	10.05	19	--
Des							25310				

Trave: 103 [0,0], Pilastrate [--,--] Sez. R: By=30.0 cm Bz=80.0 cm L=61.1 cm Ln=61.1 cm Criterio :

CLS_TraviAlte_ND - Verifica a flessione: **Verificato**

X	M-	M+	ΔM-	ΔM+	Afs	Afi	Mr-	Mr+	C-	C+	CS	ζ _E
cm	kg*m	kg*m	kg*m	kg*m	cmq	cmq	kg*m	kg*m				
ILN	1697	800	--	--	7.70	7.70	21139	21139	(16+17)-I-1	(16+17)-I-3	12	17
6.1	1901	655	--	--	7.70	7.70	21139	21139	(16+17)-I-1	(16+17)-I-3	11	16
CAMP	3434	507	--	--	7.70	23.0 ₉	21508	59859	(16+17)-I-1	(16+17)-I-3	6.3	13
55.0	3668	--	--	--	7.70	23.0 ₉	21508	59859	(16+17)-I-1	50	5.9	13
FLN	3905	--	--	--	7.70	23.0 ₉	21508	59859	(16+17)-I-1	50	5.5	12

X	x-	d-	x-/d-	x+	d+	x+/d+	Mr-	Mr+	C-	C+	Stato-	Stato+
cm	cm	cm		cm	cm		kg*m	kg*m				
ILN	18.3	75.9	0.241	18.3	75.9	0.241	21139	21139	(16+17)-I-1	(16+17)-I-3	Parz.	Parz.
6.1	18.3	75.9	0.241	18.3	75.9	0.240	21139	21139	(16+17)-I-1	(16+17)-I-3	Parz.	Parz.
CAMP	14.9	75.9	0.196	29.5	75.9	0.389	21508	59859	(16+17)-I-1	(16+17)-I-3	Parz.	Parz.
55.0	14.9	75.9	0.196	--	--	--	21508	59859	(16+17)-I-1	50	Parz.	--
FLN	14.9	75.9	0.196	--	--	--	21508	59859	(16+17)-I-1	50	Parz.	--

Verifica a taglio: $\cot(\theta) = 2.093$ Comb: 3

Sez	Td	VRdns	VRcd	VRsd	VRd	Tpl	Mr	Dx	Staffe	CS	ζ _E
	kg	kg	kg	kg	kg	kg	kg*m	cm	cmq/m		
Sin	5680	--	56240	56240	56240	0	21139	61.1	10.05	9.9	--
Des							59859				

Verifica incendio: $T_{eqvCl_s}(\circ) = 328$ $T_{eqvAcc}(\circ) = 434$ Curva: ISO834, $\gamma_{Cl_s} = 1.20$ (Aggregato Calcareo)
 $\gamma_{Acc} = 1.00$ (Laminato a caldo), verifica per R120(min)

X	M-	M+	ΔM-	ΔM+	Afs	Afi	Mr-	Mr+	C-	C+	CS	ζ _E
cm	kg*m	kg*m	kg*m	kg*m	cmq	cmq	kg*m	kg*m				
ILN	449	--	--	--	7.70	7.70	25310	24351	51	51	56	--
6.1	623	--	--	--	7.70	7.70	25310	24351	51	51	41	--
CAMP	1947	--	--	--	7.70	23.0 ₉	25290	72648	51	51	13	--
55.0	2151	--	--	--	7.70	23.0 ₉	25290	72648	51	51	12	--
FLN	2359	--	--	--	7.70	23.0 ₉	25290	72648	51	51	11	--

X	x-	d-	x-/d-	x+	d+	x+/d+	Mr-	Mr+	C-	C+	Stato-	Stato+
cm	cm	cm		cm	cm		kg*m	kg*m				
ILN	27.0	80.7	0.334	--	--	--	25310	24351	51	51	Parz.	--
6.1	27.0	80.7	0.334	--	--	--	25310	24351	51	51	Parz.	--
CAMP	21.0	80.6	0.260	--	--	--	25290	72648	51	51	Parz.	--
55.0	21.0	80.6	0.260	--	--	--	25290	72648	51	51	Parz.	--
FLN	21.0	80.6	0.260	--	--	--	25290	72648	51	51	Parz.	--

Verifica a taglio: $\cot(\theta) = 2.048$ Comb: 51

Sez	Td	VRdns	VRcd	VRsd	VRd	Tpl	Mr	Dx	Staffe	CS	ζ _E
	kg	kg	kg	kg	kg	kg	kg*m	cm	cmq/m		
Sin	3434	--	50918	50918	50918	0	25310	61.1	10.05	15	--
Des							72648				

Trave: 103 [0,105], Pilastrate [--,5] Sez. R: By=30.0 cm Bz=80.0 cm L=51.0 cm Ln=16.5 cm Criterio :
 CLS_TraviAlte_ND - Verifica a flessione: **Verificato**

X	M-	M+	ΔM-	ΔM+	Afs	Afi	Mr-	Mr+	C-	C+	CS	ζ _E
cm	kg*m	kg*m	kg*m	kg*m	cmq	cmq	kg*m	kg*m				
ILN	3701	--	--	--	7.70	23.0 ₉	21508	59859	(16+17)-I-1	50	5.8	13
1.7	3790	--	--	--	7.70	23.0 ₉	21508	59859	2	50	5.7	--
CAMP	4491	--	--	--	7.70	23.0 ₉	21508	59859	2	50	4.8	--
14.9	4593	--	--	--	7.70	23.0 ₉	21508	59859	2	50	4.7	--
FLN	4695	--	--	--	7.70	23.0 ₉	21508	59859	2	50	4.6	--

X	x-	d-	x-/d-	x+	d+	x+/d+	Mr-	Mr+	C-	C+	Stato-	Stato+
cm	cm	cm		cm	cm		kg*m	kg*m				
ILN	14.9	75.9	0.196	--	--	--	21508	59859	(16+17)-I-1	50	Parz.	--
1.7	14.9	75.9	0.196	--	--	--	21508	59859	2	50	Parz.	--
CAMP	14.9	75.9	0.196	--	--	--	21508	59859	2	50	Parz.	--
14.9	14.9	75.9	0.196	--	--	--	21508	59859	2	50	Parz.	--
FLN	14.9	75.9	0.196	--	--	--	21508	59859	2	50	Parz.	--

Verifica a taglio: $\cot(\theta) = 1.948$ Comb: 3

Sez	Td	VRdns	VRcd	VRsd	VRd	Tpl	Mr	Dx	Staffe	CS	ζ _E
	kg	kg	kg	kg	kg	kg	kg*m	cm	cmq/m		
Sin	6190	--	58735	58735	58735	0	59859	16.5	11.28	9.5	--
Des							21508				

Verifica incendio: $T_{eqvClis}(\circ) = 328$ $T_{eqvAcc}(\circ) = 434$ Curva: ISO834, $\gamma_{Clis} = 1.20$ (Aggregato Calcareo)
 $\gamma_{Acc} = 1.00$ (Laminato a caldo), verifica per R120(min)

X	M-	M+	ΔM-	ΔM+	Afs	Afi	Mr-	Mr+	C-	C+	CS	ζ _E
cm	kg*m	kg*m	kg*m	kg*m	cmq	cmq	kg*m	kg*m				
ILN	2270	--	--	--	7.70	23.0 ₉	25290	72648	51	51	11	--
1.7	2328	--	--	--	7.70	23.0 ₉	25290	72648	51	51	11	--
CAMP	2742	--	--	--	7.70	23.0 ₉	25290	72648	51	51	9.2	--
14.9	2802	--	--	--	7.70	23.0 ₉	25290	72648	51	51	9.0	--
FLN	2863	--	--	--	7.70	23.0 ₉	25290	72648	51	51	8.8	--

X	x-	d-	x-/d-	x+	d+	x+/d+	Mr-	Mr+	C-	C+	Stato-	Stato+
cm	cm	cm		cm	cm		kg*m	kg*m				
ILN	21.0	80.6	0.260	--	--	--	25290	72648	51	51	Parz.	--
1.7	21.0	80.6	0.260	--	--	--	25290	72648	51	51	Parz.	--
CAMP	21.0	80.6	0.260	--	--	--	25290	72648	51	51	Parz.	--
14.9	21.0	80.6	0.260	--	--	--	25290	72648	51	51	Parz.	--
FLN	21.0	80.6	0.260	--	--	--	25290	72648	51	51	Parz.	--

Verifica a taglio: $\cot(\theta) = 1.905$ Comb: 51

Sez	Td	VRdns	VRcd	VRsd	VRd	Tpl	Mr	Dx	Staffe	CS	ζ _E
	kg	kg	kg	kg	kg	kg	kg*m	cm	cmq/m		
Sin	3667	--	53142	53142	53142	0	72648	16.5	11.28	14	--
Des							25290				

Trave: 110 [0,219], Pilastrate [--,19] Sez. R: By=30.0 cm Bz=60.0 cm L=47.6 cm Ln=47.6 cm Criterio :
 CLS_TraviAlte_ND - Verifica a flessione: **Verificato**

X	M-	M+	ΔM-	ΔM+	Afs	Afi	Mr-	Mr+	C-	C+	CS	ζ _E
cm	kg*m	kg*m	kg*m	kg*m	cmq	cmq	kg*m	kg*m				
ILN	1588	2296	--	--	6.16	6.16	12346	12346	(16+17)-I-3	(16+17)-I-1	5.4	6.2
4.8	1738	2313	--	--	6.16	6.16	12346	12346	(16+17)-I-3	(16+17)-I-1	5.3	6.0
CAMP	2862	2359	--	--	6.16	6.16	12346	12346	(16+17)-I-3	(16+17)-I-1	4.3	4.6
42.8	3034	2351	--	--	6.16	6.16	12346	12346	(16+17)-I-3	(16+17)-I-1	4.1	4.5
FLN	3209	2343	--	--	6.16	6.16	12346	12346	(16+17)-I-3	(16+17)-I-1	3.8	4.3

X	x-	d-	x-/d-	x+	d+	x+/d+	Mr-	Mr+	C-	C+	Stato-	Stato+
cm	cm	cm		cm	cm		kg*m	kg*m				
ILN	14.1	55.9	0.251	14.1	55.9	0.252	12346	12346	(16+17)-I-3	(16+17)-I-1	Parz.	Parz.
4.8	14.1	55.9	0.252	14.1	55.9	0.252	12346	12346	(16+17)-I-3	(16+17)-I-1	Parz.	Parz.
CAMP	14.1	55.9	0.252	14.1	55.9	0.252	12346	12346	(16+17)-I-3	(16+17)-I-1	Parz.	Parz.
42.8	14.1	55.9	0.253	14.1	55.9	0.252	12346	12346	(16+17)-I-3	(16+17)-I-1	Parz.	Parz.
FLN	14.1	55.9	0.253	14.1	55.9	0.252	12346	12346	(16+17)-I-3	(16+17)-I-1	Parz.	Parz.

Verifica a taglio: $\cot(\theta) = 2.093$ Comb: (16+17)-I-3

Sez	Td	VRdhs	VRcd	VRsd	VRd	Tpl	Mr	Dx	Staffe	CS	ζ _E
	kg	kg	kg	kg	kg	kg	kg*m	cm	cmq/m		
Sin	3705	--	41421	41421	41421	0	12346	47.6	10.05	11	22
Des							12346				

Verifica incendio: $T_{eqvClS}(^{\circ})=286$ $T_{eqvAcc}(^{\circ})=432$ Curva:ISO834, $\gamma_{ClS}=1.20$ (Aggregato Calcareo)
 $\gamma_{Acc}=1.00$ (Laminato a caldo),verifica per R120(min)

X	M-	M+	ΔM-	ΔM+	Afs	Afi	Mr-	Mr+	C-	C+	CS	ζ _E
cm	kg*m	kg*m	kg*m	kg*m	cmq	cmq	kg*m	kg*m				
ILN	--	354	--	--	6.16	6.16	14811	14154	51	51	40	--
4.8	--	288	--	--	6.16	6.16	14811	14154	51	51	49	--
CAMP	253	--	--	--	6.16	6.16	14811	14154	51	51	59	--
42.8	341	--	--	--	6.16	6.16	14811	14154	51	51	43	--
FLN	433	--	--	--	6.16	6.16	14811	14154	51	51	34	--

X	x-	d-	x-/d-	x+	d+	x+/d+	Mr-	Mr+	C-	C+	Stato-	Stato+
cm	cm	cm		cm	cm		kg*m	kg*m				
ILN	--	--	--	15.5	58.8	0.263	14811	14154	51	51	--	Parz.
4.8	--	--	--	15.5	58.8	0.263	14811	14154	51	51	--	Parz.
CAMP	21.4	61.9	0.346	--	--	--	14811	14154	51	51	Parz.	--
42.8	21.4	61.9	0.346	--	--	--	14811	14154	51	51	Parz.	--
FLN	21.4	61.9	0.346	--	--	--	14811	14154	51	51	Parz.	--

Verifica a taglio: $\cot(\theta) = 2.076$ Comb: 51

Sez	Td	VRdhs	VRcd	VRsd	VRd	Tpl	Mr	Dx	Staffe	CS	ζ _E
	kg	kg	kg	kg	kg	kg	kg*m	cm	cmq/m		
Sin	1948	--	38232	38232	38232	0	14154	47.6	10.05	20	--
Des							14811				

Trave: 110 [0,0], Pilastrate [--,--] Sez. R: By=30.0 cm Bz=60.0 cm L=47.6 cm Ln=47.6 cm Criterio :
 CLS_TraviAlte_ND - Verifica a flessione: **Verificato**

X	M-	M+	ΔM-	ΔM+	Afs	Afi	Mr-	Mr+	C-	C+	CS	ζ _E
cm	kg*m	kg*m	kg*m	kg*m	cmq	cmq	kg*m	kg*m				
ILN	464	1915	--	--	6.16	6.16	12346	12346	(16+17)-I-3	(16+17)-I-1	6.4	9.8
4.8	577	1968	--	--	6.16	6.16	12346	12346	(16+17)-I-3	(16+17)-I-1	6.3	9.2
CAMP	1446	2263	--	--	6.16	6.16	12346	12346	(16+17)-I-3	(16+17)-I-1	5.5	6.4
42.8	1581	2294	--	--	6.16	6.16	12346	12346	(16+17)-I-3	(16+17)-I-1	5.4	6.2
FLN	1720	2322	--	--	6.16	6.16	12346	12346	(16+17)-I-3	(16+17)-I-1	5.3	6.0

X	x-	d-	x-/d-	x+	d+	x+/d+	Mr-	Mr+	C-	C+	Stato-	Stato+
cm	cm	cm		cm	cm		kg*m	kg*m				
ILN	14.0	55.9	0.251	14.1	55.9	0.252	12346	12346	(16+17)-I-3	(16+17)-I-1	Parz.	Parz.
4.8	14.0	55.9	0.251	14.1	55.9	0.252	12346	12346	(16+17)-I-3	(16+17)-I-1	Parz.	Parz.
CAMP	14.0	55.9	0.251	14.1	55.9	0.252	12346	12346	(16+17)-I-3	(16+17)-I-1	Parz.	Parz.
42.8	14.1	55.9	0.251	14.1	55.9	0.252	12346	12346	(16+17)-I-3	(16+17)-I-1	Parz.	Parz.
FLN	14.1	55.9	0.252	14.1	55.9	0.252	12346	12346	(16+17)-I-3	(16+17)-I-1	Parz.	Parz.

Verifica a taglio: $\cot(\theta) = 2.030$ Comb: (16+17)-I-3

Sez	Td	VRdns	VRcd	VRsd	VRd	Tpl	Mr	Dx	Staffe	CS	ζ_E
	kg	kg	kg	kg	kg	kg	kg*m	cm	cmq/m		
Sin	2944	--	42207	42207	42207	0	12346	47.6	10.56	14	23
Des							12346				

Verifica incendio: $T_{eqvClS}(^{\circ})=286$ $T_{eqvAcc}(^{\circ})=432$ Curva: ISO834, $\gamma_{ClS}=1.20$ (Aggregato Calcareo)
 $\gamma_{Acc}=1.00$ (Laminato a caldo), verifica per R120(min)

X	M-	M+	$\Delta M-$	$\Delta M+$	Afs	Afi	Mr-	Mr+	C-	C+	CS	ζ_E
cm	kg*m	kg*m	kg*m	kg*m	cmq	cmq	kg*m	kg*m				
ILN	--	726	--	--	6.16	6.16	14811	14154	51	51	20	--
4.8	--	696	--	--	6.16	6.16	14811	14154	51	51	20	--
CAMP	--	663	--	--	6.16	6.16	14811	14154	51	51	21	--
42.8	--	356	--	--	6.16	6.16	14811	14154	51	51	40	--
FLN	--	301	--	--	6.16	6.16	14811	14154	51	51	47	--

X	x-	d-	x-/d-	x+	d+	x+/d+	Mr-	Mr+	C-	C+	Stato-	Stato+
cm	cm	cm		cm	cm		kg*m	kg*m				
ILN	--	--	--	15.5	58.8	0.263	14811	14154	51	51	--	Parz.
4.8	--	--	--	15.5	58.8	0.263	14811	14154	51	51	--	Parz.
CAMP	--	--	--	15.5	58.8	0.263	14811	14154	51	51	--	Parz.
42.8	--	--	--	15.5	58.8	0.263	14811	14154	51	51	--	Parz.
FLN	--	--	--	15.5	58.8	0.263	14811	14154	51	51	--	Parz.

Verifica a taglio: $\cot(\theta) = 2.014$ Comb: 51

Sez	Td	VRdns	VRcd	VRsd	VRd	Tpl	Mr	Dx	Staffe	CS	ζ_E
	kg	kg	kg	kg	kg	kg	kg*m	cm	cmq/m		
Sin	1188	--	38954	38954	38954	0	14154	47.6	10.56	33	--
Des							14811				

Trave: 110 [0,0], Pilastrate [--,--] Sez. R: $B_y=30.0$ cm $B_z=60.0$ cm $L=47.6$ cm $L_n=47.6$ cm Criterio :
 CLS_TraviAlte_ND - Verifica a flessione: **Verificato**

X	M-	M+	$\Delta M-$	$\Delta M+$	Afs	Afi	Mr-	Mr+	C-	C+	CS	ζ_E
cm	kg*m	kg*m	kg*m	kg*m	cmq	cmq	kg*m	kg*m				
ILN	--	1410	--	--	6.16	6.16	12346	12346	50	2	8.8	--
4.8	--	1417	--	--	6.16	6.16	12346	12346	50	2	8.7	--
CAMP	377	1828	--	--	6.16	6.16	12346	12346	(16+17)-I-3	(16+17)-I-1	6.8	11
42.8	477	1895	--	--	6.16	6.16	12346	12346	(16+17)-I-3	(16+17)-I-1	6.5	9.8
FLN	579	1958	--	--	6.16	6.16	12346	12346	(16+17)-I-3	(16+17)-I-1	6.3	9.2

X	x-	d-	x-/d-	x+	d+	x+/d+	Mr-	Mr+	C-	C+	Stato-	Stato+
cm	cm	cm		cm	cm		kg*m	kg*m				
ILN	--	--	--	14.0	55.9	0.251	12346	12346	50	2	--	Parz.
4.8	--	--	--	14.0	55.9	0.251	12346	12346	50	2	--	Parz.
CAMP	14.0	55.9	0.251	14.1	55.9	0.252	12346	12346	(16+17)-I-3	(16+17)-I-1	Parz.	Parz.

X	x-	d-	x-/d-	x+	d+	x+/d+	Mr-	Mr+	C-	C+	Stato-	Stato+
42.8	14.0	55.9	0.251	14.1	55.9	0.252	12346	12346	(16+17)-I-3	(16+17)-I-1	Parz.	Parz.
FLN	14.0	55.9	0.251	14.1	55.9	0.252	12346	12346	(16+17)-I-3	(16+17)-I-1	Parz.	Parz.

Verifica a taglio: $\cot(\theta) = 2.030$ Comb: (16+17)-I-3

Sez	Td	VRdhs	VRcd	VRsd	VRd	Tpl	Mr	Dx	Staffe	CS	ζ_E
	kg	kg	kg	kg	kg	kg	kg*m	cm	cmq/m		
Sin	2193	--	42207	42207	42207	0	12346	47.6	10.56	19	24
Des							12346				

Verifica incendio: $T_{eqvClS}(^{\circ})=286$ $T_{eqvAcc}(^{\circ})=432$ Curva:ISO834, $\gamma_{ClS}=1.20$ (Aggregato Calcareo)
 $\gamma_{Acc}=1.00$ (Laminato a caldo),verifica per R120(min)

X	M-	M+	$\Delta M-$	$\Delta M+$	Afs	Afi	Mr-	Mr+	C-	C+	CS	ζ_E
cm	kg*m	kg*m	kg*m	kg*m	cmq	cmq	kg*m	kg*m				
ILN	--	757	--	--	6.16	6.16	14811	14154	51	51	19	--
4.8	--	763	--	--	6.16	6.16	14811	14154	51	51	19	--
CAMP	--	766	--	--	6.16	6.16	14811	14154	51	51	18	--
42.8	--	709	--	--	6.16	6.16	14811	14154	51	51	20	--
FLN	--	689	--	--	6.16	6.16	14811	14154	51	51	21	--

X	x-	d-	x-/d-	x+	d+	x+/d+	Mr-	Mr+	C-	C+	Stato-	Stato+
cm	cm	cm		cm	cm		kg*m	kg*m				
ILN	--	--	--	15.5	58.8	0.263	14811	14154	51	51	--	Parz.
4.8	--	--	--	15.5	58.8	0.263	14811	14154	51	51	--	Parz.
CAMP	--	--	--	15.5	58.8	0.263	14811	14154	51	51	--	Parz.
42.8	--	--	--	15.5	58.8	0.263	14811	14154	51	51	--	Parz.
FLN	--	--	--	15.5	58.8	0.263	14811	14154	51	51	--	Parz.

Verifica a taglio: $\cot(\theta) = 2.014$ Comb: 51

Sez	Td	VRdhs	VRcd	VRsd	VRd	Tpl	Mr	Dx	Staffe	CS	ζ_E
	kg	kg	kg	kg	kg	kg	kg*m	cm	cmq/m		
Sin	439	--	38954	38954	38954	0	14154	47.6	10.56	89	--
Des							14811				

Trave: 110 [0,0], Pilastrate [--,--] Sez. R: $B_y=30.0$ cm $B_z=60.0$ cm $L=47.6$ cm $L_n=47.6$ cm Criterio :
 CLS_TraviAlte_ND - Verifica a flessione: **Verificato**

X	M-	M+	$\Delta M-$	$\Delta M+$	Afs	Afi	Mr-	Mr+	C-	C+	CS	ζ_E
cm	kg*m	kg*m	kg*m	kg*m	cmq	cmq	kg*m	kg*m				
ILN	--	801	--	--	6.16	6.16	12346	12346	50	(16+17)-I-3	15	33
4.8	--	856	--	--	6.16	6.16	12346	12346	50	2	14	--
CAMP	--	1248	--	--	6.16	6.16	12346	12346	50	2	9.9	--
42.8	--	1287	--	--	6.16	6.16	12346	12346	50	2	9.6	--
FLN	--	1320	--	--	6.16	6.16	12346	12346	50	2	9.4	--

X	x-	d-	x-/d-	x+	d+	x+/d+	Mr-	Mr+	C-	C+	Stato-	Stato+
cm	cm	cm		cm	cm		kg*m	kg*m				
ILN	--	--	--	14.0	55.9	0.251	12346	12346	50	(16+17)-I-3	--	Parz.
4.8	--	--	--	14.0	55.9	0.251	12346	12346	50	2	--	Parz.
CAMP	--	--	--	14.0	55.9	0.251	12346	12346	50	2	--	Parz.
42.8	--	--	--	14.0	55.9	0.251	12346	12346	50	2	--	Parz.
FLN	--	--	--	14.0	55.9	0.251	12346	12346	50	2	--	Parz.

Verifica a taglio: $\cot(\theta) = 2.030$ Comb: (16+17)-I-1

Sez	Td	VRdhs	VRcd	VRsd	VRd	Tpl	Mr	Dx	Staffe	CS	ζ_E
	kg	kg	kg	kg	kg	kg	kg*m	cm	cmq/m		

Sez	Td	VRdhs	VRcd	VRsd	VRd	Tpl	Mr	Dx	Staffe	CS	ζ_E
Sin	2657	--	42207	42207	42207	0	12346	47.6	10.56	16	24
Des							12346				

Verifica incendio: $T_{eqvClis}(^{\circ})=286$ $T_{eqvAcc}(^{\circ})=432$ Curva:ISO834, $\gamma_{Clis}=1.20$ (Aggregato Calcareo)
 $\gamma_{Acc}=1.00$ (Laminato a caldo),verifica per R120(min)

X	M-	M+	$\Delta M-$	$\Delta M+$	Afs	Afi	Mr-	Mr+	C-	C+	CS	ζ_E
cm	kg*m	kg*m	kg*m	kg*m	cmq	cmq	kg*m	kg*m				
ILN	--	437	--	--	6.16	6.16	14811	14154	51	51	32	--
4.8	--	478	--	--	6.16	6.16	14811	14154	51	51	30	--
CAMP	--	689	--	--	6.16	6.16	14811	14154	51	51	21	--
42.8	--	708	--	--	6.16	6.16	14811	14154	51	51	20	--
FLN	--	724	--	--	6.16	6.16	14811	14154	51	51	20	--

X	x-	d-	x-/d-	x+	d+	x+/d+	Mr-	Mr+	C-	C+	Stato-	Stato +
cm	cm	cm		cm	cm		kg*m	kg*m				
ILN	--	--	--	15.5	58.8	0.263	14811	14154	51	51	--	Parz.
4.8	--	--	--	15.5	58.8	0.263	14811	14154	51	51	--	Parz.
CAMP	--	--	--	15.5	58.8	0.263	14811	14154	51	51	--	Parz.
42.8	--	--	--	15.5	58.8	0.263	14811	14154	51	51	--	Parz.
FLN	--	--	--	15.5	58.8	0.263	14811	14154	51	51	--	Parz.

Verifica a taglio: $\cot(\theta) = 2.014$ Comb: 51

Sez	Td	VRdhs	VRcd	VRsd	VRd	Tpl	Mr	Dx	Staffe	CS	ζ_E
	kg	kg	kg	kg	kg	kg	kg*m	cm	cmq/m		
Sin	900	--	38954	38954	38954	0	14154	47.6	10.56	43	--
Des							14811				

Trave: 110 [0,0], Pilastrate [--,--] Sez. R: $B_y=30.0$ cm $B_z=60.0$ cm $L=47.6$ cm $L_n=47.6$ cm Criterio :
 CLS_TraviAlte_ND - Verifica a flessione: **Verificato**

X	M-	M+	$\Delta M-$	$\Delta M+$	Afs	Afi	Mr-	Mr+	C-	C+	CS	ζ_E
cm	kg*m	kg*m	kg*m	kg*m	cmq	cmq	kg*m	kg*m				
ILN	1348	890	--	--	6.16	6.16	12346	12346	(16+17)-I-1	(16+17)-I-3	9.2	11
4.8	1188	883	--	--	6.16	6.16	12346	12346	(16+17)-I-1	(16+17)-I-3	10	12
CAMP	1032	874	--	--	6.16	6.16	12346	12346	(16+17)-I-1	(16+17)-I-3	12	13
42.8	24	743	--	--	6.16	6.16	12346	12346	(16+17)-I-1	(16+17)-I-3	17	31
FLN	--	718	--	--	6.16	6.16	12346	12346	50	(16+17)-I-3	17	39

X	x-	d-	x-/d-	x+	d+	x+/d+	Mr-	Mr+	C-	C+	Stato-	Stato +
cm	cm	cm		cm	cm		kg*m	kg*m				
ILN	14.0	55.9	0.251	14.0	55.9	0.251	12346	12346	(16+17)-I-1	(16+17)-I-3	Parz.	Parz.
4.8	14.0	55.9	0.251	14.0	55.9	0.251	12346	12346	(16+17)-I-1	(16+17)-I-3	Parz.	Parz.
CAMP	14.0	55.9	0.251	14.0	55.9	0.251	12346	12346	(16+17)-I-1	(16+17)-I-3	Parz.	Parz.
42.8	14.0	55.9	0.250	14.0	55.9	0.251	12346	12346	(16+17)-I-1	(16+17)-I-3	Parz.	Parz.
FLN	--	--	--	14.0	55.9	0.251	12346	12346	50	(16+17)-I-3	--	Parz.

Verifica a taglio: $\cot(\theta) = 2.030$ Comb: (16+17)-I-1

Sez	Td	VRdhs	VRcd	VRsd	VRd	Tpl	Mr	Dx	Staffe	CS	ζ_E
	kg	kg	kg	kg	kg	kg	kg*m	cm	cmq/m		
Sin	3403	--	42207	42207	42207	0	12346	47.6	10.56	12	23
Des							12346				

Verifica incendio: $T_{eqvClis}(^{\circ})=286$ $T_{eqvAcc}(^{\circ})=432$ Curva:ISO834, $\gamma_{Clis}=1.20$ (Aggregato Calcareo)
 $\gamma_{Acc}=1.00$ (Laminato a caldo),verifica per R120(min)

X	M-	M+	$\Delta M-$	$\Delta M+$	Afs	Afi	Mr-	Mr+	C-	C+	CS	ζ_E
cm	kg*m	kg*m	kg*m	kg*m	cmq	cmq	kg*m	kg*m				

X	M-	M+	ΔM-	ΔM+	Afs	Afi	Mr-	Mr+	C-	C+	CS	ζ _E
ILN	229	--	--	--	6.16	6.16	14811	14154	51	51	65	--
4.8	153	--	--	--	6.16	6.16	14811	14154	51	51	97	--
CAMP	--	305	--	--	6.16	6.16	14811	14154	51	51	46	--
42.8	--	359	--	--	6.16	6.16	14811	14154	51	51	39	--
FLN	--	411	--	--	6.16	6.16	14811	14154	51	51	34	--

X	x-	d-	x-/d-	x+	d+	x+/d+	Mr-	Mr+	C-	C+	Stato-	Stato+
cm	cm	cm		cm	cm		kg*m	kg*m				
ILN	21.4	61.9	0.346	--	--	--	14811	14154	51	51	Parz.	--
4.8	21.4	61.9	0.346	--	--	--	14811	14154	51	51	Parz.	--
CAMP	--	--	--	15.5	58.8	0.263	14811	14154	51	51	--	Parz.
42.8	--	--	--	15.5	58.8	0.263	14811	14154	51	51	--	Parz.
FLN	--	--	--	15.5	58.8	0.263	14811	14154	51	51	--	Parz.

Verifica a taglio: $\cot(\theta) = 2.014$ Comb: 51

Sez	Td	VRd _{ns}	VRd _{cd}	VRd _{sd}	VRd	Tpl	Mr	Dx	Staffe	CS	ζ _E
	kg	kg	kg	kg	kg	kg	kg*m	cm	cmq/m		
Sin	1641	--	38954	38954	38954	0	14154	47.6	10.56	24	--
Des							14811				

Trave: 110 [220,0], Pilastrate [20,--] Sez. R: By=30.0 cm Bz=60.0 cm L=47.6 cm Ln=47.6 cm Criterio : CLS_TraviAlte_ND - Verifica a flessione: **Verificato**

X	M-	M+	ΔM-	ΔM+	Afs	Afi	Mr-	Mr+	C-	C+	CS	ζ _E
cm	kg*m	kg*m	kg*m	kg*m	cmq	cmq	kg*m	kg*m				
ILN	3157	634	--	--	6.16	6.16	12346	12346	(16+17)-I-1	(16+17)-I-3	3.9	5.8
4.8	2960	663	--	--	6.16	6.16	12346	12346	(16+17)-I-1	(16+17)-I-3	4.2	6.2
CAMP	2765	790	--	--	6.16	6.16	12346	12346	(16+17)-I-1	(16+17)-I-3	4.5	6.5
42.8	1484	797	--	--	6.16	6.16	12346	12346	(16+17)-I-1	(16+17)-I-3	8.3	11
FLN	1313	801	--	--	6.16	6.16	12346	12346	(16+17)-I-1	(16+17)-I-3	9.4	11

X	x-	d-	x-/d-	x+	d+	x+/d+	Mr-	Mr+	C-	C+	Stato-	Stato+
cm	cm	cm		cm	cm		kg*m	kg*m				
ILN	14.1	55.9	0.253	14.0	55.9	0.251	12346	12346	(16+17)-I-1	(16+17)-I-3	Parz.	Parz.
4.8	14.1	55.9	0.252	14.0	55.9	0.251	12346	12346	(16+17)-I-1	(16+17)-I-3	Parz.	Parz.
CAMP	14.1	55.9	0.252	14.0	55.9	0.251	12346	12346	(16+17)-I-1	(16+17)-I-3	Parz.	Parz.
42.8	14.0	55.9	0.251	14.0	55.9	0.251	12346	12346	(16+17)-I-1	(16+17)-I-3	Parz.	Parz.
FLN	14.0	55.9	0.251	14.0	55.9	0.251	12346	12346	(16+17)-I-1	(16+17)-I-3	Parz.	Parz.

Verifica a taglio: $\cot(\theta) = 2.093$ Comb: 3

Sez	Td	VRd _{ns}	VRd _{cd}	VRd _{sd}	VRd	Tpl	Mr	Dx	Staffe	CS	ζ _E
	kg	kg	kg	kg	kg	kg	kg*m	cm	cmq/m		
Sin	4460	--	41421	41421	41421	0	12346	47.6	10.05	9.3	--
Des							12346				

Verifica incendio: TeqvCl_s(°)=286 TeqvAcc(°)=432 Curva:ISO834, γCl_s=1.20(Agregato Calcareo)
γAcc=1.00(Laminato a caldo), verifica per R120(min)

X	M-	M+	ΔM-	ΔM+	Afs	Afi	Mr-	Mr+	C-	C+	CS	ζ _E
cm	kg*m	kg*m	kg*m	kg*m	cmq	cmq	kg*m	kg*m				
ILN	1262	--	--	--	6.16	6.16	14811	14154	51	51	12	--
4.8	1148	--	--	--	6.16	6.16	14811	14154	51	51	13	--
CAMP	1038	--	--	--	6.16	6.16	14811	14154	51	51	14	--
42.8	344	--	--	--	6.16	6.16	14811	14154	51	51	43	--
FLN	256	--	--	--	6.16	6.16	14811	14154	51	51	58	--

X	x-	d-	x-/d-	x+	d+	x+/d+	Mr-	Mr+	C-	C+	Stato-	Stato+
cm	cm	cm		cm	cm		kg*m	kg*m				
ILN	21.4	61.9	0.346	--	--	--	14811	14154	51	51	Parz.	--
4.8	21.4	61.9	0.346	--	--	--	14811	14154	51	51	Parz.	--
CAMP	21.4	61.9	0.346	--	--	--	14811	14154	51	51	Parz.	--
42.8	21.4	61.9	0.346	--	--	--	14811	14154	51	51	Parz.	--
FLN	21.4	61.9	0.346	--	--	--	14811	14154	51	51	Parz.	--

Verifica a taglio: $\cot(\theta) = 2.076$ Comb: 51

Sez	Td	VRdns	VRcd	VRsd	VRd	Tpl	Mr	Dx	Staffe	CS	ζ_E
	kg	kg	kg	kg	kg	kg	kg*m	cm	cmq/m		
Sin	2410	--	38232	38232	38232	0	14154	47.6	10.05	16	--
Des							14811				

Trave: 110 [0,220], Pilastrate [--,20] Sez. R: By=30.0 cm Bz=60.0 cm L=59.2 cm Ln=59.2 cm Criterio : CLS_TraviAlte_ND - Verifica a flessione: **Verificato**

X	M-	M+	$\Delta M-$	$\Delta M+$	Afs	Afi	Mr-	Mr+	C-	C+	CS	ζ_E
cm	kg*m	kg*m	kg*m	kg*m	cmq	cmq	kg*m	kg*m				
ILN	1448	771	--	--	6.16	6.16	12346	12346	(16+17)-I-3	(16+17)-I-1	8.5	11
5.9	1606	766	--	--	6.16	6.16	12346	12346	(16+17)-I-3	(16+17)-I-1	7.7	10
CAMP	2754	759	--	--	6.16	6.16	12346	12346	(16+17)-I-3	(16+17)-I-1	4.5	6.6
53.3	2924	670	--	--	6.16	6.16	12346	12346	(16+17)-I-3	(16+17)-I-1	4.2	6.2
FLN	3096	652	--	--	6.16	6.16	12346	12346	(16+17)-I-3	(16+17)-I-1	4.0	5.9

X	x-	d-	x-/d-	x+	d+	x+/d+	Mr-	Mr+	C-	C+	Stato-	Stato+
cm	cm	cm		cm	cm		kg*m	kg*m				
ILN	14.0	55.9	0.251	14.0	55.9	0.251	12346	12346	(16+17)-I-3	(16+17)-I-1	Parz.	Parz.
5.9	14.1	55.9	0.251	14.0	55.9	0.251	12346	12346	(16+17)-I-3	(16+17)-I-1	Parz.	Parz.
CAMP	14.1	55.9	0.252	14.0	55.9	0.251	12346	12346	(16+17)-I-3	(16+17)-I-1	Parz.	Parz.
53.3	14.1	55.9	0.252	14.0	55.9	0.251	12346	12346	(16+17)-I-3	(16+17)-I-1	Parz.	Parz.
FLN	14.1	55.9	0.253	14.0	55.9	0.251	12346	12346	(16+17)-I-3	(16+17)-I-1	Parz.	Parz.

Verifica a taglio: $\cot(\theta) = 2.093$ Comb: 3

Sez	Td	VRdns	VRcd	VRsd	VRd	Tpl	Mr	Dx	Staffe	CS	ζ_E
	kg	kg	kg	kg	kg	kg	kg*m	cm	cmq/m		
Sin	3168	--	41421	41421	41421	0	12346	59.2	10.05	13	--
Des							12346				

Verifica incendio: $T_{eqvClS}(^{\circ}) = 286$ $T_{eqvAcc}(^{\circ}) = 432$ Curva: ISO834, $\gamma_{ClS} = 1.20$ (Aggregato Calcareo)
 $\gamma_{Acc} = 1.00$ (Laminato a caldo), verifica per R120(min)

X	M-	M+	$\Delta M-$	$\Delta M+$	Afs	Afi	Mr-	Mr+	C-	C+	CS	ζ_E
cm	kg*m	kg*m	kg*m	kg*m	cmq	cmq	kg*m	kg*m				
ILN	339	--	--	--	6.16	6.16	14811	14154	51	51	44	--
5.9	420	--	--	--	6.16	6.16	14811	14154	51	51	35	--
CAMP	1033	--	--	--	6.16	6.16	14811	14154	51	51	14	--
53.3	1127	--	--	--	6.16	6.16	14811	14154	51	51	13	--
FLN	1222	--	--	--	6.16	6.16	14811	14154	51	51	12	--

X	x-	d-	x-/d-	x+	d+	x+/d+	Mr-	Mr+	C-	C+	Stato-	Stato+
cm	cm	cm		cm	cm		kg*m	kg*m				
ILN	21.4	61.9	0.346	--	--	--	14811	14154	51	51	Parz.	--
5.9	21.4	61.9	0.346	--	--	--	14811	14154	51	51	Parz.	--
CAMP	21.4	61.9	0.346	--	--	--	14811	14154	51	51	Parz.	--
53.3	21.4	61.9	0.346	--	--	--	14811	14154	51	51	Parz.	--
FLN	21.4	61.9	0.346	--	--	--	14811	14154	51	51	Parz.	--

Verifica a taglio: $\cot(\theta) = 2.076$ Comb: 51

Sez	Td	VRdns	VRcd	VRsd	VRd	Tpl	Mr	Dx	Staffe	CS	ζ_E
	kg	kg	kg	kg	kg	kg	kg*m	cm	cmq/m		
Sin	1626	--	38232	38232	38232	0	14154	59.2	10.05	24	--
Des							14811				

Trave: 110 [0,0], Pilastrate [--,--] Sez. R: By=30.0 cm Bz=60.0 cm L=59.2 cm Ln=59.2 cm Criterio : CLS_TraviAlte_ND - Verifica a flessione: **Verificato**

X	M-	M+	$\Delta M-$	$\Delta M+$	Afs	Afi	Mr-	Mr+	C-	C+	CS	ζ_E
cm	kg*m	kg*m	kg*m	kg*m	cmq	cmq	kg*m	kg*m				
ILN	111	678	--	--	6.16	6.16	12346	12346	(16+17)-I-3	(16+17)-I-1	18	31
5.9	242	698	--	--	6.16	6.16	12346	12346	(16+17)-I-3	(16+17)-I-1	18	26
CAMP	1206	799	--	--	6.16	6.16	12346	12346	(16+17)-I-3	(16+17)-I-1	10	12
53.3	1351	808	--	--	6.16	6.16	12346	12346	(16+17)-I-3	(16+17)-I-1	9.1	11
FLN	1496	815	--	--	6.16	6.16	12346	12346	(16+17)-I-3	(16+17)-I-1	8.3	10

X	x-	d-	x-/d-	x+	d+	x+/d+	Mr-	Mr+	C-	C+	Stato-	Stato+
cm	cm	cm		cm	cm		kg*m	kg*m				
ILN	14.0	55.9	0.250	14.0	55.9	0.251	12346	12346	(16+17)-I-3	(16+17)-I-1	Parz.	Parz.
5.9	14.0	55.9	0.250	14.0	55.9	0.251	12346	12346	(16+17)-I-3	(16+17)-I-1	Parz.	Parz.
CAMP	14.0	55.9	0.251	14.0	55.9	0.251	12346	12346	(16+17)-I-3	(16+17)-I-1	Parz.	Parz.
53.3	14.0	55.9	0.251	14.0	55.9	0.251	12346	12346	(16+17)-I-3	(16+17)-I-1	Parz.	Parz.
FLN	14.0	55.9	0.251	14.0	55.9	0.251	12346	12346	(16+17)-I-3	(16+17)-I-1	Parz.	Parz.

Verifica a taglio: $\cot(\theta) = 2.075$ Comb: (16+17)-I-3

Sez	Td	VRdns	VRcd	VRsd	VRd	Tpl	Mr	Dx	Staffe	CS	ζ_E
	kg	kg	kg	kg	kg	kg	kg*m	cm	cmq/m		
Sin	2482	--	41643	41643	41643	0	12346	59.2	10.19	17	31
Des							12346				

Verifica incendio: $T_{eqvClis}(\circ) = 286$ $T_{eqvAcc}(\circ) = 432$ Curva: ISO834, $\gamma_{Clis} = 1.20$ (Aggregato Calcareo) $\gamma_{Acc} = 1.00$ (Laminato a caldo), verifica per R120(min)

X	M-	M+	$\Delta M-$	$\Delta M+$	Afs	Afi	Mr-	Mr+	C-	C+	CS	ζ_E
cm	kg*m	kg*m	kg*m	kg*m	cmq	cmq	kg*m	kg*m				
ILN	--	283	--	--	6.16	6.16	14811	14154	51	51	50	--
5.9	--	228	--	--	6.16	6.16	14811	14154	51	51	62	--
CAMP	203	--	--	--	6.16	6.16	14811	14154	51	51	73	--
53.3	271	--	--	--	6.16	6.16	14811	14154	51	51	55	--
FLN	341	--	--	--	6.16	6.16	14811	14154	51	51	43	--

X	x-	d-	x-/d-	x+	d+	x+/d+	Mr-	Mr+	C-	C+	Stato-	Stato+
cm	cm	cm		cm	cm		kg*m	kg*m				
ILN	--	--	--	15.5	58.8	0.263	14811	14154	51	51	--	Parz.
5.9	--	--	--	15.5	58.8	0.263	14811	14154	51	51	--	Parz.
CAMP	21.4	61.9	0.346	--	--	--	14811	14154	51	51	Parz.	--
53.3	21.4	61.9	0.346	--	--	--	14811	14154	51	51	Parz.	--
FLN	21.4	61.9	0.346	--	--	--	14811	14154	51	51	Parz.	--

Verifica a taglio: $\cot(\theta) = 2.059$ Comb: 51

Sez	Td	VRdns	VRcd	VRsd	VRd	Tpl	Mr	Dx	Staffe	CS	ζ_E
	kg	kg	kg	kg	kg	kg	kg*m	cm	cmq/m		
Sin	1188	--	38436	38436	38436	0	14154	59.2	10.19	32	--
Des							14811				

Trave: 110 [0,0], Pilastrate [--,--] Sez. R: By=30.0 cm Bz=60.0 cm L=59.2 cm Ln=59.2 cm Criterio :

CLS_TraviAlte_ND - Verifica a flessione: **Verificato**

X	M-	M+	ΔM-	ΔM+	Afs	Afi	Mr-	Mr+	C-	C+	CS	ζ _E
cm	kg*m	kg*m	kg*m	kg*m	cmq	cmq	kg*m	kg*m				
ILN	--	1398	--	--	6.16	6.16	12346	12346	50	2	8.8	--
5.9	--	1333	--	--	6.16	6.16	12346	12346	50	2	9.3	--
CAMP	--	1265	--	--	6.16	6.16	12346	12346	50	2	9.8	--
53.3	37	736	--	--	6.16	6.16	12346	12346	(16+17)-I-3	2	17	35
FLN	157	723	--	--	6.16	6.16	12346	12346	(16+17)-I-3	(16+17)-I-1	17	27

X	x-	d-	x-/d-	x+	d+	x+/d+	Mr-	Mr+	C-	C+	Stato-	Stato+
cm	cm	cm		cm	cm		kg*m	kg*m				
ILN	--	--	--	14.0	55.9	0.251	12346	12346	50	2	--	Parz.
5.9	--	--	--	14.0	55.9	0.251	12346	12346	50	2	--	Parz.
CAMP	--	--	--	14.0	55.9	0.251	12346	12346	50	2	--	Parz.
53.3	14.0	55.9	0.250	14.0	55.9	0.251	12346	12346	(16+17)-I-3	2	Parz.	Parz.
FLN	14.0	55.9	0.250	14.0	55.9	0.251	12346	12346	(16+17)-I-3	(16+17)-I-1	Parz.	Parz.

Verifica a taglio: $\cot(\theta) = 2.075$ Comb: (16+17)-I-3

Sez	Td	VRdhs	VRcd	VRsd	VRd	Tpl	Mr	Dx	Staffe	CS	ζ _E
	kg	kg	kg	kg	kg	kg	kg*m	cm	cmq/m		
Sin	2054	--	41643	41643	41643	0	12346	59.2	10.19	20	32
Des							12346				

Verifica incendio: $T_{eqvClS}(^{\circ})=286$ $T_{eqvAcc}(^{\circ})=432$ Curva:ISO834, $\gamma_{ClS}=1.20$ (Aggregato Calcareo) $\gamma_{Acc}=1.00$ (Laminato a caldo),verifica per R120(min)

X	M-	M+	ΔM-	ΔM+	Afs	Afi	Mr-	Mr+	C-	C+	CS	ζ _E
cm	kg*m	kg*m	kg*m	kg*m	cmq	cmq	kg*m	kg*m				
ILN	--	654	--	--	6.16	6.16	14811	14154	51	51	22	--
5.9	--	624	--	--	6.16	6.16	14811	14154	51	51	23	--
CAMP	--	593	--	--	6.16	6.16	14811	14154	51	51	24	--
53.3	--	327	--	--	6.16	6.16	14811	14154	51	51	43	--
FLN	--	283	--	--	6.16	6.16	14811	14154	51	51	50	--

X	x-	d-	x-/d-	x+	d+	x+/d+	Mr-	Mr+	C-	C+	Stato-	Stato+
cm	cm	cm		cm	cm		kg*m	kg*m				
ILN	--	--	--	15.5	58.8	0.263	14811	14154	51	51	--	Parz.
5.9	--	--	--	15.5	58.8	0.263	14811	14154	51	51	--	Parz.
CAMP	--	--	--	15.5	58.8	0.263	14811	14154	51	51	--	Parz.
53.3	--	--	--	15.5	58.8	0.263	14811	14154	51	51	--	Parz.
FLN	--	--	--	15.5	58.8	0.263	14811	14154	51	51	--	Parz.

Verifica a taglio: $\cot(\theta) = 2.059$ Comb: 51

Sez	Td	VRdhs	VRcd	VRsd	VRd	Tpl	Mr	Dx	Staffe	CS	ζ _E
	kg	kg	kg	kg	kg	kg	kg*m	cm	cmq/m		
Sin	761	--	38436	38436	38436	0	14154	59.2	10.19	51	--
Des							14811				

Trave: 110 [0,0], Pilastrate [--,--] Sez. R: By=30.0 cm Bz=60.0 cm L=59.2 cm Ln=59.2 cm Criterio :CLS_TraviAlte_ND - Verifica a flessione: **Verificato**

X	M-	M+	ΔM-	ΔM+	Afs	Afi	Mr-	Mr+	C-	C+	CS	ζ _E
cm	kg*m	kg*m	kg*m	kg*m	cmq	cmq	kg*m	kg*m				
ILN	276	1823	--	--	6.16	6.16	12346	12346	(16+17)-I-1	(16+17)-I-3	6.8	11
5.9	205	1742	--	--	6.16	6.16	12346	12346	(16+17)-I-1	(16+17)-I-3	7.1	12
CAMP	--	1659	--	--	6.16	6.16	12346	12346	50	(16+17)-I-3	7.4	13
53.3	--	1430	--	--	6.16	6.16	12346	12346	50	2	8.6	--

X	M-	M+	ΔM-	ΔM+	Afs	Afi	Mr-	Mr+	C-	C+	CS	ζ _E
FLN	--	1396	--	--	6.16	6.16	12346	12346	50	2	8.8	--

X	x-	d-	x-/d-	x+	d+	x+/d+	Mr-	Mr+	C-	C+	Stato-	Stato+
cm	cm	cm		cm	cm		kg*m	kg*m				
ILN	14.0	55.9	0.250	14.1	55.9	0.252	12346	12346	(16+17)-I-1	(16+17)-I-3	Parz.	Parz.
5.9	14.0	55.9	0.250	14.1	55.9	0.252	12346	12346	(16+17)-I-1	(16+17)-I-3	Parz.	Parz.
CAMP	--	--	--	14.1	55.9	0.251	12346	12346	50	(16+17)-I-3	--	Parz.
53.3	--	--	--	14.0	55.9	0.251	12346	12346	50	2	--	Parz.
FLN	--	--	--	14.0	55.9	0.251	12346	12346	50	2	--	Parz.

Verifica a taglio: $\cot(\theta) = 2.075$ Comb: (16+17)-I-3

Sez	Td	VRdhs	VRcd	VRsd	VRd	Tpl	Mr	Dx	Staffe	CS	ζ _E
	kg	kg	kg	kg	kg	kg	kg*m	cm	cmq/m		
Sin	1627	--	41643	41643	41643	0	12346	59.2	10.19	26	32
Des							12346				

Verifica incendio: $T_{eqvClis}(^{\circ}) = 286$ $T_{eqvAcc}(^{\circ}) = 432$ Curva: ISO834, $\gamma_{Clis} = 1.20$ (Aggregato Calcareo)
 $\gamma_{Acc} = 1.00$ (Laminato a caldo), verifica per R120(min)

X	M-	M+	ΔM-	ΔM+	Afs	Afi	Mr-	Mr+	C-	C+	CS	ζ _E
cm	kg*m	kg*m	kg*m	kg*m	cmq	cmq	kg*m	kg*m				
ILN	--	773	--	--	6.16	6.16	14811	14154	51	51	18	--
5.9	--	769	--	--	6.16	6.16	14811	14154	51	51	18	--
CAMP	--	762	--	--	6.16	6.16	14811	14154	51	51	19	--
53.3	--	673	--	--	6.16	6.16	14811	14154	51	51	21	--
FLN	--	654	--	--	6.16	6.16	14811	14154	51	51	22	--

X	x-	d-	x-/d-	x+	d+	x+/d+	Mr-	Mr+	C-	C+	Stato-	Stato+
cm	cm	cm		cm	cm		kg*m	kg*m				
ILN	--	--	--	15.5	58.8	0.263	14811	14154	51	51	--	Parz.
5.9	--	--	--	15.5	58.8	0.263	14811	14154	51	51	--	Parz.
CAMP	--	--	--	15.5	58.8	0.263	14811	14154	51	51	--	Parz.
53.3	--	--	--	15.5	58.8	0.263	14811	14154	51	51	--	Parz.
FLN	--	--	--	15.5	58.8	0.263	14811	14154	51	51	--	Parz.

Verifica a taglio: $\cot(\theta) = 2.059$ Comb: 51

Sez	Td	VRdhs	VRcd	VRsd	VRd	Tpl	Mr	Dx	Staffe	CS	ζ _E
	kg	kg	kg	kg	kg	kg	kg*m	cm	cmq/m		
Sin	335	--	38436	38436	38436	0	14154	59.2	10.19	>100	--
Des							14811				

Trave: 110 [0,0], Pilastrate [--,--] Sez. R: By=30.0 cm Bz=60.0 cm L=59.2 cm Ln=59.2 cm Criterio :
 CLS_TraviAlte_ND - Verifica a flessione: **Verificato**

X	M-	M+	ΔM-	ΔM+	Afs	Afi	Mr-	Mr+	C-	C+	CS	ζ _E
cm	kg*m	kg*m	kg*m	kg*m	cmq	cmq	kg*m	kg*m				
ILN	1128	2403	--	--	6.16	6.16	12346	12346	(16+17)-I-1	(16+17)-I-3	5.1	6.6
5.9	1031	2348	--	--	6.16	6.16	12346	12346	(16+17)-I-1	(16+17)-I-3	5.3	6.9
CAMP	936	2290	--	--	6.16	6.16	12346	12346	(16+17)-I-1	(16+17)-I-3	5.4	7.2
53.3	312	1845	--	--	6.16	6.16	12346	12346	(16+17)-I-1	(16+17)-I-3	6.7	11
FLN	229	1775	--	--	6.16	6.16	12346	12346	(16+17)-I-1	(16+17)-I-3	7.0	12

X	x-	d-	x-/d-	x+	d+	x+/d+	Mr-	Mr+	C-	C+	Stato-	Stato+
cm	cm	cm		cm	cm		kg*m	kg*m				
ILN	14.0	55.9	0.251	14.1	55.9	0.252	12346	12346	(16+17)-I-1	(16+17)-I-3	Parz.	Parz.

X	x-	d-	x-/d-	x+	d+	x+/d+	Mr-	Mr+	C-	C+	Stato-	Stato+
5.9	14.0	55.9	0.251	14.1	55.9	0.252	12346	12346	(16+17)-I-1	(16+17)-I-3	Parz.	Parz.
CAMP	14.0	55.9	0.251	14.1	55.9	0.252	12346	12346	(16+17)-I-1	(16+17)-I-3	Parz.	Parz.
53.3	14.0	55.9	0.250	14.1	55.9	0.252	12346	12346	(16+17)-I-1	(16+17)-I-3	Parz.	Parz.
FLN	14.0	55.9	0.250	14.1	55.9	0.252	12346	12346	(16+17)-I-1	(16+17)-I-3	Parz.	Parz.

Verifica a taglio: $\cot(\theta) = 2.077$ Comb: (16+17)-I-1

Sez	Td	VRdns	VRcd	VRsd	VRd	Tpl	Mr	Dx	Staffe	CS	ζ_E
	kg	kg	kg	kg	kg	kg	kg*m	cm	cmq/m		
Sin	1654	--	41689	41689	41689	0	12346	59.2	10.19	25	32
Des							12346				

Verifica incendio: $T_{eqvClS}(^{\circ}) = 286$ $T_{eqvAcc}(^{\circ}) = 432$ Curva: ISO834, $\gamma_{ClS} = 1.20$ (Aggregato Calcareo)
 $\gamma_{Acc} = 1.00$ (Laminato a caldo), verifica per R120(min)

X	M-	M+	$\Delta M-$	$\Delta M+$	Afs	Afi	Mr-	Mr+	C-	C+	CS	ζ_E
cm	kg*m	kg*m	kg*m	kg*m	cmq	cmq	kg*m	kg*m				
ILN	--	638	--	--	6.16	6.16	14811	14154	51	51	22	--
5.9	--	658	--	--	6.16	6.16	14811	14154	51	51	22	--
CAMP	--	758	--	--	6.16	6.16	14811	14154	51	51	19	--
53.3	--	766	--	--	6.16	6.16	14811	14154	51	51	18	--
FLN	--	773	--	--	6.16	6.16	14811	14154	51	51	18	--

X	x-	d-	x-/d-	x+	d+	x+/d+	Mr-	Mr+	C-	C+	Stato-	Stato+
cm	cm	cm		cm	cm		kg*m	kg*m				
ILN	--	--	--	15.5	58.8	0.263	14811	14154	51	51	--	Parz.
5.9	--	--	--	15.5	58.8	0.263	14811	14154	51	51	--	Parz.
CAMP	--	--	--	15.5	58.8	0.263	14811	14154	51	51	--	Parz.
53.3	--	--	--	15.5	58.8	0.263	14811	14154	51	51	--	Parz.
FLN	--	--	--	15.5	58.8	0.263	14811	14154	51	51	--	Parz.

Verifica a taglio: $\cot(\theta) = 2.059$ Comb: 51

Sez	Td	VRdns	VRcd	VRsd	VRd	Tpl	Mr	Dx	Staffe	CS	ζ_E
	kg	kg	kg	kg	kg	kg	kg*m	cm	cmq/m		
Sin	362	--	38436	38436	38436	0	14154	59.2	10.19	>100	--
Des							14811				

Trave: 110 [0,0], Pilastrate [--,--] Sez. R: $B_y = 30.0$ cm $B_z = 60.0$ cm $L = 59.2$ cm $L_n = 59.2$ cm Criterio :
 CLS_TraviAlte_ND - Verifica a flessione: **Verificato**

X	M-	M+	$\Delta M-$	$\Delta M+$	Afs	Afi	Mr-	Mr+	C-	C+	CS	ζ_E
cm	kg*m	kg*m	kg*m	kg*m	cmq	cmq	kg*m	kg*m				
ILN	2238	2727	--	--	6.16	6.16	12346	12346	(16+17)-I-1	(16+17)-I-3	4.5	4.9
5.9	2115	2697	--	--	6.16	6.16	12346	12346	(16+17)-I-1	(16+17)-I-3	4.6	5.0
CAMP	1994	2665	--	--	6.16	6.16	12346	12346	(16+17)-I-1	(16+17)-I-3	4.6	5.2
53.3	1189	2399	--	--	6.16	6.16	12346	12346	(16+17)-I-1	(16+17)-I-3	5.1	6.5
FLN	1080	2354	--	--	6.16	6.16	12346	12346	(16+17)-I-1	(16+17)-I-3	5.2	6.8

X	x-	d-	x-/d-	x+	d+	x+/d+	Mr-	Mr+	C-	C+	Stato-	Stato+
cm	cm	cm		cm	cm		kg*m	kg*m				
ILN	14.1	55.9	0.252	14.1	55.9	0.252	12346	12346	(16+17)-I-1	(16+17)-I-3	Parz.	Parz.
5.9	14.1	55.9	0.252	14.1	55.9	0.252	12346	12346	(16+17)-I-1	(16+17)-I-3	Parz.	Parz.
CAMP	14.1	55.9	0.252	14.1	55.9	0.252	12346	12346	(16+17)-I-1	(16+17)-I-3	Parz.	Parz.
53.3	14.0	55.9	0.251	14.1	55.9	0.252	12346	12346	(16+17)-I-1	(16+17)-I-3	Parz.	Parz.
FLN	14.0	55.9	0.251	14.1	55.9	0.252	12346	12346	(16+17)-I-1	(16+17)-I-3	Parz.	Parz.

Verifica a taglio: $\cot(\theta) = 2.077$ Comb: (16+17)-I-1

Sez	Td	VRdns	VRcd	VRsd	VRd	Tpl	Mr	Dx	Staffe	CS	ζ _E
	kg	kg	kg	kg	kg	kg	kg*m	cm	cmq/m		
Sin	2090	--	41688	41688	41688	0	12346	59.2	10.19	20	32
Des							12346				

Verifica incendio: TeqvCls(°)=286 TeqvAcc(°)=432 Curva:ISO834,γCls=1.20(Agregato Calcareo)
 γAcc=1.00(Laminato a caldo),verifica per R120(min)

X	M-	M+	ΔM-	ΔM+	Afs	Afi	Mr-	Mr+	C-	C+	CS	ζ _E
cm	kg*m	kg*m	kg*m	kg*m	cmq	cmq	kg*m	kg*m				
ILN	--	245	--	--	6.16	6.16	14811	14154	51	51	58	--
5.9	--	291	--	--	6.16	6.16	14811	14154	51	51	49	--
CAMP	--	571	--	--	6.16	6.16	14811	14154	51	51	25	--
53.3	--	605	--	--	6.16	6.16	14811	14154	51	51	23	--
FLN	--	637	--	--	6.16	6.16	14811	14154	51	51	22	--

X	x-	d-	x-/d-	x+	d+	x+/d+	Mr-	Mr+	C-	C+	Stato-	Stato +
cm	cm	cm		cm	cm		kg*m	kg*m				
ILN	--	--	--	15.5	58.8	0.263	14811	14154	51	51	--	Parz.
5.9	--	--	--	15.5	58.8	0.263	14811	14154	51	51	--	Parz.
CAMP	--	--	--	15.5	58.8	0.263	14811	14154	51	51	--	Parz.
53.3	--	--	--	15.5	58.8	0.263	14811	14154	51	51	--	Parz.
FLN	--	--	--	15.5	58.8	0.263	14811	14154	51	51	--	Parz.

Verifica a taglio: cot(θ) = 2.059 Comb: 51

Sez	Td	VRdns	VRcd	VRsd	VRd	Tpl	Mr	Dx	Staffe	CS	ζ _E
	kg	kg	kg	kg	kg	kg	kg*m	cm	cmq/m		
Sin	796	--	38436	38436	38436	0	14154	59.2	10.19	48	--
Des							14811				

Trave: 110 [221,0], Pilastrate [21,--] Sez. R: By=30.0 cm Bz=60.0 cm L=58.9 cm Ln=58.9 cm Criterio :
 CLS_TraviAlte_ND - Verifica a flessione: **Verificato**

X	M-	M+	ΔM-	ΔM+	Afs	Afi	Mr-	Mr+	C-	C+	CS	ζ _E
cm	kg*m	kg*m	kg*m	kg*m	cmq	cmq	kg*m	kg*m				
ILN	3602	2790	--	--	6.16	6.16	12346	12346	(16+17)-I-1	(16+17)-I-3	3.4	3.7
5.9	3454	2786	--	--	6.16	6.16	12346	12346	(16+17)-I-1	(16+17)-I-3	3.6	3.9
CAMP	3307	2780	--	--	6.16	6.16	12346	12346	(16+17)-I-1	(16+17)-I-3	3.7	4.0
53.0	2323	2695	--	--	6.16	6.16	12346	12346	(16+17)-I-1	(16+17)-I-3	4.6	4.8
FLN	2189	2677	--	--	6.16	6.16	12346	12346	(16+17)-I-1	(16+17)-I-3	4.6	5.0

X	x-	d-	x-/d-	x+	d+	x+/d+	Mr-	Mr+	C-	C+	Stato-	Stato +
cm	cm	cm		cm	cm		kg*m	kg*m				
ILN	14.1	55.9	0.253	14.1	55.9	0.252	12346	12346	(16+17)-I-1	(16+17)-I-3	Parz.	Parz.
5.9	14.1	55.9	0.253	14.1	55.9	0.252	12346	12346	(16+17)-I-1	(16+17)-I-3	Parz.	Parz.
CAMP	14.1	55.9	0.253	14.1	55.9	0.252	12346	12346	(16+17)-I-1	(16+17)-I-3	Parz.	Parz.
53.0	14.1	55.9	0.252	14.1	55.9	0.252	12346	12346	(16+17)-I-1	(16+17)-I-3	Parz.	Parz.
FLN	14.1	55.9	0.252	14.1	55.9	0.252	12346	12346	(16+17)-I-1	(16+17)-I-3	Parz.	Parz.

Verifica a taglio: cot(θ) = 2.095 Comb: (16+17)-I-1

Sez	Td	VRdns	VRcd	VRsd	VRd	Tpl	Mr	Dx	Staffe	CS	ζ _E
	kg	kg	kg	kg	kg	kg	kg*m	cm	cmq/m		
Sin	2534	--	41468	41468	41468	0	12346	58.9	10.05	16	31
Des							12346				

Verifica incendio: TeqvCls(°)=286 TeqvAcc(°)=432 Curva:ISO834,γCls=1.20(Agregato Calcareo)
 γAcc=1.00(Laminato a caldo),verifica per R120(min)

X	M-	M+	ΔM-	ΔM+	Afs	Afi	Mr-	Mr+	C-	C+	CS	ζ _E
---	----	----	-----	-----	-----	-----	-----	-----	----	----	----	----------------

X	M-	M+	ΔM-	ΔM+	Afs	Afi	Mr-	Mr+	C-	C+	CS	ζ _E
cm	kg*m	kg*m	kg*m	kg*m	cmq	cmq	kg*m	kg*m				
ILN	406	--	--	--	6.16	6.16	14811	14154	51	51	36	--
5.9	334	--	--	--	6.16	6.16	14811	14154	51	51	44	--
CAMP	264	--	--	--	6.16	6.16	14811	14154	51	51	56	--
53.0	--	186	--	--	6.16	6.16	14811	14154	51	51	76	--
FLN	--	244	--	--	6.16	6.16	14811	14154	51	51	58	--

X	x-	d-	x-/d-	x+	d+	x+/d+	Mr-	Mr+	C-	C+	Stato-	Stato+
cm	cm	cm		cm	cm		kg*m	kg*m				
ILN	21.4	61.9	0.346	--	--	--	14811	14154	51	51	Parz.	--
5.9	21.4	61.9	0.346	--	--	--	14811	14154	51	51	Parz.	--
CAMP	21.4	61.9	0.346	--	--	--	14811	14154	51	51	Parz.	--
53.0	--	--	--	15.5	58.8	0.263	14811	14154	51	51	--	Parz.
FLN	--	--	--	15.5	58.8	0.263	14811	14154	51	51	--	Parz.

Verifica a taglio: $\cot(\theta) = 2.076$ Comb: 51

Sez	Td	VRdns	VRcd	VRsd	VRd	Tpl	Mr	Dx	Staffe	CS	ζ _E
	kg	kg	kg	kg	kg	kg	kg*m	cm	cmq/m		
Sin	1237	--	38232	38232	38232	0	14154	58.9	10.05	31	--
Des							14811				

Trave: 111 [219,226], Pilastrate [19,26] Sez. R: By=30.0 cm Bz=60.0 cm L=372.5 cm Ln=372.5 cm Criterio : CLS_TraviAlte_ND - Verifica a flessione: **Verificato**

X	M-	M+	ΔM-	ΔM+	Afs	Afi	Mr-	Mr+	C-	C+	CS	ζ _E
cm	kg*m	kg*m	kg*m	kg*m	cmq	cmq	kg*m	kg*m				
ILN	4452	1832	--	--	6.16	6.16	12346	12346	(16+17)-II-2	(16+17)-II-1	2.8	3.5
37.2	3221	1987	--	--	6.16	6.16	12346	12346	(16+17)-II-2	(16+17)-II-1	3.8	4.5
CAMP	2145	1987	--	--	6.16	6.16	12346	12346	(16+17)-II-2	(16+17)-II-1	5.8	5.9
335.2	2362	1046	--	--	6.16	6.16	12346	12346	(16+17)-II-1	(16+17)-II-2	5.2	6.9
FLN	3603	881	--	--	6.16	6.16	12346	12346	(16+17)-II-1	(16+17)-II-2	3.4	4.9

X	x-	d-	x-/d-	x+	d+	x+/d+	Mr-	Mr+	C-	C+	Stato-	Stato+
cm	cm	cm		cm	cm		kg*m	kg*m				
ILN	14.2	55.9	0.254	14.1	55.9	0.252	12346	12346	(16+17)-II-2	(16+17)-II-1	Parz.	Parz.
37.2	14.1	55.9	0.253	14.1	55.9	0.252	12346	12346	(16+17)-II-2	(16+17)-II-1	Parz.	Parz.
CAMP	14.1	55.9	0.252	14.1	55.9	0.252	12346	12346	(16+17)-II-2	(16+17)-II-1	Parz.	Parz.
335.2	14.1	55.9	0.252	14.0	55.9	0.251	12346	12346	(16+17)-II-1	(16+17)-II-2	Parz.	Parz.
FLN	14.1	55.9	0.253	14.0	55.9	0.251	12346	12346	(16+17)-II-1	(16+17)-II-2	Parz.	Parz.

Verifica a taglio: $\cot(\theta)$ Sin=2.093, $\cot(\theta)$ Cen=2.500, $\cot(\theta)$ Des=2.093 Comb: Sin=(16+17)-II-2
Cen=(16+17)-II-1 Des=(16+17)-II-1

Sez	Td	VRdns	VRcd	VRsd	VRd	Tpl	Mr	Dx	Staffe	CS	ζ _E
	kg	kg	kg	kg	kg	kg	kg*m	cm	cmq/m		
Sin	3515	--	41421	41421	41421	0	12346	60.0	10.05	12	27
Cen	2709	--	36718	22490	22490	--	--	--	4.57	8.3	15
Des	3542	--	41421	41421	41421	0	12346	60.0	10.05	12	27

Verifica incendio: $T_{eqvClS}(^{\circ})=286$ $T_{eqvAcc}(^{\circ})=432$ Curva: ISO834, $\gamma_{ClS}=1.20$ (Aggregato Calcareo)
 $\gamma_{Acc}=1.00$ (Laminato a caldo), verifica per R120(min)

X	M-	M+	ΔM-	ΔM+	Afs	Afi	Mr-	Mr+	C-	C+	CS	ζ _E
cm	kg*m	kg*m	kg*m	kg*m	cmq	cmq	kg*m	kg*m				
ILN	1310	--	--	--	6.16	6.16	14811	14154	51	51	11	--
37.2	617	--	--	--	6.16	6.16	14811	14154	51	51	24	--
CAMP	--	604	--	--	6.16	6.16	14811	14154	51	51	23	--
335.2	658	--	--	--	6.16	6.16	14811	14154	51	51	23	--

X	M-	M+	ΔM-	ΔM+	Afs	Afi	Mr-	Mr+	C-	C+	CS	ζ _E
FLN	1361	--	--	--	6.16	6.16	14811	14154	51	51	11	--

X	x-	d-	x-/d-	x+	d+	x+/d+	Mr-	Mr+	C-	C+	Stato-	Stato+
cm	cm	cm		cm	cm		kg*m	kg*m				
ILN	21.4	61.9	0.346	--	--	--	14811	14154	51	51	Parz.	--
37.2	21.4	61.9	0.346	--	--	--	14811	14154	51	51	Parz.	--
CAMP	--	--	--	15.5	58.8	0.263	14811	14154	51	51	--	Parz.
335.2	21.4	61.9	0.346	--	--	--	14811	14154	51	51	Parz.	--
FLN	21.4	61.9	0.346	--	--	--	14811	14154	51	51	Parz.	--

Verifica a taglio: $\cot(\theta)$ Sin=2.076, $\cot(\theta)$ Cen=2.500, $\cot(\theta)$ Des=2.076 Comb: Sin=51 Cen=51 Des=51

Sez	Td	VRdns	VRcd	VRsd	VRd	Tpl	Mr	Dx	Staffe	CS	ζ _E
	kg	kg	kg	kg	kg	kg	kg*m	cm	cmq/m		
Sin	2070	--	38232	38232	38232	0	14154	60.0	10.05	18	--
Cen	1264	--	33724	20923	20923	--	--	--	4.57	17	--
Des	2097	--	38232	38232	38232	0	14811	60.0	10.05	18	--

Trave: 111 [226,0], Pilastrate [26,--] Sez. R: By=30.0 cm Bz=60.0 cm L=68.5 cm Ln=68.5 cm Criterio : CLS_TraviAlte_ND - Verifica a flessione: **Verificato**

X	M-	M+	ΔM-	ΔM+	Afs	Afi	Mr-	Mr+	C-	C+	CS	ζ _E
cm	kg*m	kg*m	kg*m	kg*m	cmq	cmq	kg*m	kg*m				
ILN	1988	441	--	--	6.16	6.16	12346	12346	(16+17)-II-2	(16+17)-II-1	6.2	9.5
6.8	1863	488	--	--	6.16	6.16	12346	12346	(16+17)-II-2	(16+17)-II-1	6.6	9.9
CAMP	1740	762	--	--	6.16	6.16	12346	12346	(16+17)-II-2	(16+17)-II-1	7.1	10
61.6	939	793	--	--	6.16	6.16	12346	12346	(16+17)-II-2	(16+17)-II-1	13	14
FLN	833	821	--	--	6.16	6.16	12346	12346	(16+17)-II-2	(16+17)-II-1	15	15

X	x-	d-	x-/d-	x+	d+	x+/d+	Mr-	Mr+	C-	C+	Stato-	Stato+
cm	cm	cm		cm	cm		kg*m	kg*m				
ILN	14.1	55.9	0.252	14.0	55.9	0.251	12346	12346	(16+17)-II-2	(16+17)-II-1	Parz.	Parz.
6.8	14.1	55.9	0.252	14.0	55.9	0.251	12346	12346	(16+17)-II-2	(16+17)-II-1	Parz.	Parz.
CAMP	14.1	55.9	0.252	14.0	55.9	0.251	12346	12346	(16+17)-II-2	(16+17)-II-1	Parz.	Parz.
61.6	14.0	55.9	0.251	14.0	55.9	0.251	12346	12346	(16+17)-II-2	(16+17)-II-1	Parz.	Parz.
FLN	14.0	55.9	0.251	14.0	55.9	0.251	12346	12346	(16+17)-II-2	(16+17)-II-1	Parz.	Parz.

Verifica a taglio: $\cot(\theta)$ =2.093 Comb: 3

Sez	Td	VRdns	VRcd	VRsd	VRd	Tpl	Mr	Dx	Staffe	CS	ζ _E
	kg	kg	kg	kg	kg	kg	kg*m	cm	cmq/m		
Sin	2306	--	41421	41421	41421	0	12346	68.5	10.05	18	--
Des							12346				

Verifica incendio: TeqvCl_s(°)=286 TeqvAcc(°)=432 Curva:ISO834, γCl_s=1.20(Aggregato Calcareo)
γAcc=1.00(Laminato a caldo),verifica per R120(min)

X	M-	M+	ΔM-	ΔM+	Afs	Afi	Mr-	Mr+	C-	C+	CS	ζ _E
cm	kg*m	kg*m	kg*m	kg*m	cmq	cmq	kg*m	kg*m				
ILN	773	--	--	--	6.16	6.16	14811	14154	51	51	19	--
6.8	687	--	--	--	6.16	6.16	14811	14154	51	51	22	--
CAMP	603	--	--	--	6.16	6.16	14811	14154	51	51	25	--
61.6	73	--	--	--	6.16	6.16	14811	14154	51	51	>100	--
FLN	6	--	--	--	6.16	6.16	14811	14154	51	51	>100	--

X	x-	d-	x-/d-	x+	d+	x+/d+	Mr-	Mr+	C-	C+	Stato-	Stato+
cm	cm	cm		cm	cm		kg*m	kg*m				

X	x-	d-	x-/d-	x+	d+	x+/d+	Mr-	Mr+	C-	C+	Stato-	Stato+
ILN	21.4	61.9	0.346	--	--	--	14811	14154	51	51	Parz.	--
6.8	21.4	61.9	0.346	--	--	--	14811	14154	51	51	Parz.	--
CAMP	21.4	61.9	0.346	--	--	--	14811	14154	51	51	Parz.	--
61.6	21.4	61.9	0.346	--	--	--	14811	14154	51	51	Parz.	--
FLN	21.4	61.9	0.346	--	--	--	14811	14154	51	51	Parz.	--

Verifica a taglio: $\cot(\theta) = 2.076$ Comb: 51

Sez	Td	VRdns	VRcd	VRsd	VRd	Tpl	Mr	Dx	Staffe	CS	ζ_E
	kg	kg	kg	kg	kg	kg	kg*m	cm	cmq/m		
Sin	1276	--	38232	38232	38232	0	14154	68.5	10.05	30	--
Des							14811				

Trave: 111 [0,0], Pilastrate [--,--] Sez. R: By=30.0 cm Bz=60.0 cm L=68.5 cm Ln=68.5 cm Criterio : CLS_TraviAlte_ND - Verifica a flessione: **Verificato**

X	M-	M+	$\Delta M-$	$\Delta M+$	Afs	Afi	Mr-	Mr+	C-	C+	CS	ζ_E
cm	kg*m	kg*m	kg*m	kg*m	cmq	cmq	kg*m	kg*m				
ILN	873	860	--	--	6.16	6.16	12346	12346	(16+17)-II-2	(16+17)-II-1	14	14
6.8	777	877	--	--	6.16	6.16	12346	12346	(16+17)-II-2	(16+17)-II-1	14	15
CAMP	683	938	--	--	6.16	6.16	12346	12346	(16+17)-II-2	(16+17)-II-1	13	16
61.6	87	939	--	--	6.16	6.16	12346	12346	(16+17)-II-2	(16+17)-II-1	13	23
FLN	11	937	--	--	6.16	6.16	12346	12346	(16+17)-II-2	(16+17)-II-1	13	25

X	x-	d-	x-/d-	x+	d+	x+/d+	Mr-	Mr+	C-	C+	Stato-	Stato+
cm	cm	cm		cm	cm		kg*m	kg*m				
ILN	14.0	55.9	0.251	14.0	55.9	0.251	12346	12346	(16+17)-II-2	(16+17)-II-1	Parz.	Parz.
6.8	14.0	55.9	0.251	14.0	55.9	0.251	12346	12346	(16+17)-II-2	(16+17)-II-1	Parz.	Parz.
CAMP	14.0	55.9	0.251	14.0	55.9	0.251	12346	12346	(16+17)-II-2	(16+17)-II-1	Parz.	Parz.
61.6	14.0	55.9	0.250	14.0	55.9	0.251	12346	12346	(16+17)-II-2	(16+17)-II-1	Parz.	Parz.
FLN	14.0	55.9	0.250	14.0	55.9	0.251	12346	12346	(16+17)-II-2	(16+17)-II-1	Parz.	Parz.

Verifica a taglio: $\cot(\theta) = 2.064$ Comb: 3

Sez	Td	VRdns	VRcd	VRsd	VRd	Tpl	Mr	Dx	Staffe	CS	ζ_E
	kg	kg	kg	kg	kg	kg	kg*m	cm	cmq/m		
Sin	1489	--	41777	41777	41777	0	12346	68.5	10.28	28	--
Des							12346				

Verifica incendio: $T_{eqvClS}(^{\circ})=286$ $T_{eqvAcc}(^{\circ})=432$ Curva:ISO834, $\gamma_{ClS}=1.20$ (Aggregato Calcareo)
 $\gamma_{Acc}=1.00$ (Laminato a caldo),verifica per R120(min)

X	M-	M+	$\Delta M-$	$\Delta M+$	Afs	Afi	Mr-	Mr+	C-	C+	CS	ζ_E
cm	kg*m	kg*m	kg*m	kg*m	cmq	cmq	kg*m	kg*m				
ILN	6	--	--	--	6.16	6.16	14811	14154	51	51	>100	--
6.8	--	50	--	--	6.16	6.16	14811	14154	51	51	>100	--
CAMP	--	386	--	--	6.16	6.16	14811	14154	51	51	37	--
61.6	--	426	--	--	6.16	6.16	14811	14154	51	51	33	--
FLN	--	463	--	--	6.16	6.16	14811	14154	51	51	31	--

X	x-	d-	x-/d-	x+	d+	x+/d+	Mr-	Mr+	C-	C+	Stato-	Stato+
cm	cm	cm		cm	cm		kg*m	kg*m				
ILN	21.4	61.9	0.346	--	--	--	14811	14154	51	51	Parz.	--
6.8	--	--	--	15.5	58.8	0.263	14811	14154	51	51	--	Parz.
CAMP	--	--	--	15.5	58.8	0.263	14811	14154	51	51	--	Parz.
61.6	--	--	--	15.5	58.8	0.263	14811	14154	51	51	--	Parz.
FLN	--	--	--	15.5	58.8	0.263	14811	14154	51	51	--	Parz.

Verifica a taglio: $\cot(\theta) = 2.048$ Comb: 51

Sez	Td	VRdhs	VRcd	VRsd	VRd	Tpl	Mr	Dx	Staffe	CS	ζ_E
	kg	kg	kg	kg	kg	kg	kg*m	cm	cmq/m		
Sin	840	--	38559	38559	38559	0	14154	68.5	10.28	46	--
Des							14811				

Trave: 111 [0,0], Pilastrate [--,--] Sez. R: By=30.0 cm Bz=60.0 cm L=68.5 cm Ln=68.5 cm Criterio : CLS_TraviAlte_ND - Verifica a flessione: **Verificato**

X	M-	M+	$\Delta M-$	$\Delta M+$	Afs	Afi	Mr-	Mr+	C-	C+	CS	ζ_E
cm	kg*m	kg*m	kg*m	kg*m	cmq	cmq	kg*m	kg*m				
ILN	50	975	--	--	6.16	6.16	12346	12346	(16+17)-II-2	(16+17)-II-1	13	23
6.8	--	964	--	--	6.16	6.16	12346	12346	50	(16+17)-II-1	13	25
CAMP	--	1217	--	--	6.16	6.16	12346	12346	50	2	10	--
61.6	--	1243	--	--	6.16	6.16	12346	12346	50	2	9.9	--
FLN	--	1267	--	--	6.16	6.16	12346	12346	50	2	9.7	--

X	x-	d-	x-/d-	x+	d+	x+/d+	Mr-	Mr+	C-	C+	Stato-	Stato +
cm	cm	cm		cm	cm		kg*m	kg*m				
ILN	14.0	55.9	0.250	14.0	55.9	0.251	12346	12346	(16+17)-II-2	(16+17)-II-1	Parz.	Parz.
6.8	--	--	--	14.0	55.9	0.251	12346	12346	50	(16+17)-II-1	--	Parz.
CAMP	--	--	--	14.0	55.9	0.251	12346	12346	50	2	--	Parz.
61.6	--	--	--	14.0	55.9	0.251	12346	12346	50	2	--	Parz.
FLN	--	--	--	14.0	55.9	0.251	12346	12346	50	2	--	Parz.

Verifica a taglio: $\cot(\theta) = 2.064$ Comb: (16+17)-II-2

Sez	Td	VRdhs	VRcd	VRsd	VRd	Tpl	Mr	Dx	Staffe	CS	ζ_E
	kg	kg	kg	kg	kg	kg	kg*m	cm	cmq/m		
Sin	1013	--	41777	41777	41777	0	12346	68.5	10.28	41	71
Des							12346				

Verifica incendio: $T_{eqvClis}(^{\circ}) = 286$ $T_{eqvAcc}(^{\circ}) = 432$ Curva: ISO834, $\gamma_{Clis} = 1.20$ (Aggregato Calcareo) $\gamma_{Acc} = 1.00$ (Laminato a caldo), verifica per R120(min)

X	M-	M+	$\Delta M-$	$\Delta M+$	Afs	Afi	Mr-	Mr+	C-	C+	CS	ζ_E
cm	kg*m	kg*m	kg*m	kg*m	cmq	cmq	kg*m	kg*m				
ILN	--	463	--	--	6.16	6.16	14811	14154	51	51	31	--
6.8	--	491	--	--	6.16	6.16	14811	14154	51	51	29	--
CAMP	--	631	--	--	6.16	6.16	14811	14154	51	51	22	--
61.6	--	643	--	--	6.16	6.16	14811	14154	51	51	22	--
FLN	--	652	--	--	6.16	6.16	14811	14154	51	51	22	--

X	x-	d-	x-/d-	x+	d+	x+/d+	Mr-	Mr+	C-	C+	Stato-	Stato +
cm	cm	cm		cm	cm		kg*m	kg*m				
ILN	--	--	--	15.5	58.8	0.263	14811	14154	51	51	--	Parz.
6.8	--	--	--	15.5	58.8	0.263	14811	14154	51	51	--	Parz.
CAMP	--	--	--	15.5	58.8	0.263	14811	14154	51	51	--	Parz.
61.6	--	--	--	15.5	58.8	0.263	14811	14154	51	51	--	Parz.
FLN	--	--	--	15.5	58.8	0.263	14811	14154	51	51	--	Parz.

Verifica a taglio: $\cot(\theta) = 2.048$ Comb: 51

Sez	Td	VRdhs	VRcd	VRsd	VRd	Tpl	Mr	Dx	Staffe	CS	ζ_E
	kg	kg	kg	kg	kg	kg	kg*m	cm	cmq/m		
Sin	431	--	38559	38559	38559	0	14154	68.5	10.28	90	--
Des							14811				

Trave: 111 [0,0], Pilastrate [--,--] Sez. R: By=30.0 cm Bz=60.0 cm L=68.5 cm Ln=68.5 cm Criterio : CLS_TraviAlte_ND - Verifica a flessione: **Verificato**

X	M-	M+	ΔM-	ΔM+	Afs	Afi	Mr-	Mr+	C-	C+	CS	ζ _E
cm	kg*m	kg*m	kg*m	kg*m	cmq	cmq	kg*m	kg*m				
ILN	--	1267	--	--	6.16	6.16	12346	12346	50	2	9.7	--
6.8	--	1268	--	--	6.16	6.16	12346	12346	50	2	9.7	--
CAMP	--	1265	--	--	6.16	6.16	12346	12346	50	2	9.8	--
61.6	--	1173	--	--	6.16	6.16	12346	12346	50	2	11	--
FLN	--	1149	--	--	6.16	6.16	12346	12346	50	2	11	--

X	x-	d-	x-/d-	x+	d+	x+/d+	Mr-	Mr+	C-	C+	Stato-	Stato+
cm	cm	cm		cm	cm		kg*m	kg*m				
ILN	--	--	--	14.0	55.9	0.251	12346	12346	50	2	--	Parz.
6.8	--	--	--	14.0	55.9	0.251	12346	12346	50	2	--	Parz.
CAMP	--	--	--	14.0	55.9	0.251	12346	12346	50	2	--	Parz.
61.6	--	--	--	14.0	55.9	0.251	12346	12346	50	2	--	Parz.
FLN	--	--	--	14.0	55.9	0.251	12346	12346	50	2	--	Parz.

Verifica a taglio: $\cot(\theta) = 2.064$ Comb: (16+17)-II-1

Sez	Td	VRdhs	VRcd	VRsd	VRd	Tpl	Mr	Dx	Staffe	CS	ζ _E
	kg	kg	kg	kg	kg	kg	kg*m	cm	cmq/m		
Sin	845	--	41777	41777	41777	0	12346	68.5	10.28	49	71
Des							12346				

Verifica incendio: $T_{eqvClS}(^{\circ})=286$ $T_{eqvAcc}(^{\circ})=432$ Curva:ISO834, $\gamma_{ClS}=1.20$ (Aggregato Calcareo)
 $\gamma_{Acc}=1.00$ (Laminato a caldo),verifica per R120(min)

X	M-	M+	ΔM-	ΔM+	Afs	Afi	Mr-	Mr+	C-	C+	CS	ζ _E
cm	kg*m	kg*m	kg*m	kg*m	cmq	cmq	kg*m	kg*m				
ILN	--	652	--	--	6.16	6.16	14811	14154	51	51	22	--
6.8	--	655	--	--	6.16	6.16	14811	14154	51	51	22	--
CAMP	--	655	--	--	6.16	6.16	14811	14154	51	51	22	--
61.6	--	597	--	--	6.16	6.16	14811	14154	51	51	24	--
FLN	--	580	--	--	6.16	6.16	14811	14154	51	51	24	--

X	x-	d-	x-/d-	x+	d+	x+/d+	Mr-	Mr+	C-	C+	Stato-	Stato+
cm	cm	cm		cm	cm		kg*m	kg*m				
ILN	--	--	--	15.5	58.8	0.263	14811	14154	51	51	--	Parz.
6.8	--	--	--	15.5	58.8	0.263	14811	14154	51	51	--	Parz.
CAMP	--	--	--	15.5	58.8	0.263	14811	14154	51	51	--	Parz.
61.6	--	--	--	15.5	58.8	0.263	14811	14154	51	51	--	Parz.
FLN	--	--	--	15.5	58.8	0.263	14811	14154	51	51	--	Parz.

Verifica a taglio: $\cot(\theta) = 2.048$ Comb: 51

Sez	Td	VRdhs	VRcd	VRsd	VRd	Tpl	Mr	Dx	Staffe	CS	ζ _E
	kg	kg	kg	kg	kg	kg	kg*m	cm	cmq/m		
Sin	259	--	38559	38559	38559	0	14154	68.5	10.28	>100	--
Des							14811				

Trave: 111 [0,0], Pilastrate [--,-] Sez. R: By=30.0 cm Bz=60.0 cm L=68.5 cm Ln=68.5 cm Criterio :
 CLS_TraviAlte_ND - Verifica a flessione: **Verificato**

X	M-	M+	ΔM-	ΔM+	Afs	Afi	Mr-	Mr+	C-	C+	CS	ζ _E
cm	kg*m	kg*m	kg*m	kg*m	cmq	cmq	kg*m	kg*m				
ILN	--	1148	--	--	6.16	6.16	12346	12346	50	2	11	--
6.8	--	1097	--	--	6.16	6.16	12346	12346	50	2	11	--
CAMP	--	1043	--	--	6.16	6.16	12346	12346	50	2	12	--
61.6	294	849	--	--	6.16	6.16	12346	12346	(16+17)-II-1	(16+17)-II-2	15	21
FLN	378	844	--	--	6.16	6.16	12346	12346	(16+17)-II-1	(16+17)-II-2	15	20

X	x-	d-	x-/d-	x+	d+	x+/d+	Mr-	Mr+	C-	C+	Stato-	Stato+
cm	cm	cm		cm	cm		kg*m	kg*m				
ILN	--	--	--	14.0	55.9	0.251	12346	12346	50	2	--	Parz.
6.8	--	--	--	14.0	55.9	0.251	12346	12346	50	2	--	Parz.
CAMP	--	--	--	14.0	55.9	0.251	12346	12346	50	2	--	Parz.
61.6	14.0	55.9	0.250	14.0	55.9	0.251	12346	12346	(16+17)-II-1	(16+17)-II-2	Parz.	Parz.
FLN	14.0	55.9	0.251	14.0	55.9	0.251	12346	12346	(16+17)-II-1	(16+17)-II-2	Parz.	Parz.

Verifica a taglio: $\cot(\theta) = 2.064$ Comb: (16+17)-II-1

Sez	Td	VRdns	VRcd	VRsd	VRd	Tpl	Mr	Dx	Staffe	CS	ζ_E
	kg	kg	kg	kg	kg	kg	kg*m	cm	cmq/m		
Sin	1245	--	41777	41777	41777	0	12346	68.5	10.28	34	70
Des							12346				

Verifica incendio: $T_{eqvClS}(^{\circ})=286$ $T_{eqvAcc}(^{\circ})=432$ Curva:ISO834, $\gamma_{ClS}=1.20$ (Aggregato Calcareo)
 $\gamma_{Acc}=1.00$ (Laminato a caldo),verifica per R120(min)

X	M-	M+	$\Delta M-$	$\Delta M+$	Afs	Afi	Mr-	Mr+	C-	C+	CS	ζ_E
cm	kg*m	kg*m	kg*m	kg*m	cmq	cmq	kg*m	kg*m				
ILN	--	580	--	--	6.16	6.16	14811	14154	51	51	24	--
6.8	--	555	--	--	6.16	6.16	14811	14154	51	51	26	--
CAMP	--	528	--	--	6.16	6.16	14811	14154	51	51	27	--
61.6	--	277	--	--	6.16	6.16	14811	14154	51	51	51	--
FLN	--	233	--	--	6.16	6.16	14811	14154	51	51	61	--

X	x-	d-	x-/d-	x+	d+	x+/d+	Mr-	Mr+	C-	C+	Stato-	Stato+
cm	cm	cm		cm	cm		kg*m	kg*m				
ILN	--	--	--	15.5	58.8	0.263	14811	14154	51	51	--	Parz.
6.8	--	--	--	15.5	58.8	0.263	14811	14154	51	51	--	Parz.
CAMP	--	--	--	15.5	58.8	0.263	14811	14154	51	51	--	Parz.
61.6	--	--	--	15.5	58.8	0.263	14811	14154	51	51	--	Parz.
FLN	--	--	--	15.5	58.8	0.263	14811	14154	51	51	--	Parz.

Verifica a taglio: $\cot(\theta) = 2.048$ Comb: 51

Sez	Td	VRdns	VRcd	VRsd	VRd	Tpl	Mr	Dx	Staffe	CS	ζ_E
	kg	kg	kg	kg	kg	kg	kg*m	cm	cmq/m		
Sin	661	--	38559	38559	38559	0	14154	68.5	10.28	58	--
Des							14811				

Trave: 111 [0,0], Pilastrate [--,--] Sez. R: $B_y=30.0$ cm $B_z=60.0$ cm $L=68.5$ cm $L_n=68.5$ cm Criterio :
 CLS_TraviAlte_ND - Verifica a flessione: **Verificato**

X	M-	M+	$\Delta M-$	$\Delta M+$	Afs	Afi	Mr-	Mr+	C-	C+	CS	ζ_E
cm	kg*m	kg*m	kg*m	kg*m	cmq	cmq	kg*m	kg*m				
ILN	340	805	--	--	6.16	6.16	12346	12346	(16+17)-II-1	(16+17)-II-2	15	21
6.8	432	792	--	--	6.16	6.16	12346	12346	(16+17)-II-1	(16+17)-II-2	16	20
CAMP	1139	776	--	--	6.16	6.16	12346	12346	(16+17)-II-1	(16+17)-II-2	11	14
61.6	1248	608	--	--	6.16	6.16	12346	12346	(16+17)-II-1	(16+17)-II-2	9.9	13
FLN	1360	575	--	--	6.16	6.16	12346	12346	(16+17)-II-1	(16+17)-II-2	9.1	12

X	x-	d-	x-/d-	x+	d+	x+/d+	Mr-	Mr+	C-	C+	Stato-	Stato+
cm	cm	cm		cm	cm		kg*m	kg*m				
ILN	14.0	55.9	0.250	14.0	55.9	0.251	12346	12346	(16+17)-II-1	(16+17)-II-2	Parz.	Parz.
6.8	14.0	55.9	0.251	14.0	55.9	0.251	12346	12346	(16+17)-II-1	(16+17)-II-2	Parz.	Parz.
CAMP	14.0	55.9	0.251	14.0	55.9	0.251	12346	12346	(16+17)-II-1	(16+17)-II-2	Parz.	Parz.

X	x-	d-	x-/d-	x+	d+	x+/d+	Mr-	Mr+	C-	C+	Stato-	Stato+
61.6	14.0	55.9	0.251	14.0	55.9	0.251	12346	12346	(16+17)-II-1	(16+17)-II-2	Parz.	Parz.
FLN	14.0	55.9	0.251	14.0	55.9	0.251	12346	12346	(16+17)-II-1	(16+17)-II-2	Parz.	Parz.

Verifica a taglio: $\cot(\theta) = 2.064$ Comb: 3

Sez	Td	VRdhs	VRcd	VRsd	VRd	Tpl	Mr	Dx	Staffe	CS	ζ_E
	kg	kg	kg	kg	kg	kg	kg*m	cm	cmq/m		
Sin	1891	--	41777	41777	41777	0	12346	68.5	10.28	22	--
Des							12346				

Verifica incendio: $T_{eqvClS}(^{\circ})=286$ $T_{eqvAcc}(^{\circ})=432$ Curva:ISO834, $\gamma_{ClS}=1.20$ (Aggregato Calcareo)
 $\gamma_{Acc}=1.00$ (Laminato a caldo),verifica per R120(min)

X	M-	M+	$\Delta M-$	$\Delta M+$	Afs	Afi	Mr-	Mr+	C-	C+	CS	ζ_E
cm	kg*m	kg*m	kg*m	kg*m	cmq	cmq	kg*m	kg*m				
ILN	--	233	--	--	6.16	6.16	14811	14154	51	51	61	--
6.8	--	180	--	--	6.16	6.16	14811	14154	51	51	79	--
CAMP	250	--	--	--	6.16	6.16	14811	14154	51	51	59	--
61.6	320	--	--	--	6.16	6.16	14811	14154	51	51	46	--
FLN	392	--	--	--	6.16	6.16	14811	14154	51	51	38	--

X	x-	d-	x-/d-	x+	d+	x+/d+	Mr-	Mr+	C-	C+	Stato-	Stato+
cm	cm	cm		cm	cm		kg*m	kg*m				
ILN	--	--	--	15.5	58.8	0.263	14811	14154	51	51	--	Parz.
6.8	--	--	--	15.5	58.8	0.263	14811	14154	51	51	--	Parz.
CAMP	21.4	61.9	0.346	--	--	--	14811	14154	51	51	Parz.	--
61.6	21.4	61.9	0.346	--	--	--	14811	14154	51	51	Parz.	--
FLN	21.4	61.9	0.346	--	--	--	14811	14154	51	51	Parz.	--

Verifica a taglio: $\cot(\theta) = 2.048$ Comb: 51

Sez	Td	VRdhs	VRcd	VRsd	VRd	Tpl	Mr	Dx	Staffe	CS	ζ_E
	kg	kg	kg	kg	kg	kg	kg*m	cm	cmq/m		
Sin	1067	--	38559	38559	38559	0	14154	68.5	10.28	36	--
Des							14811				

Trave: 111 [0,229], Pilastrate [--,29] Sez. R: $B_y=30.0$ cm $B_z=60.0$ cm $L=68.5$ cm $L_n=68.5$ cm Criterio :
 CLS_TraviAlte_ND - Verifica a flessione: **Verificato**

X	M-	M+	$\Delta M-$	$\Delta M+$	Afs	Afi	Mr-	Mr+	C-	C+	CS	ζ_E
cm	kg*m	kg*m	kg*m	kg*m	cmq	cmq	kg*m	kg*m				
ILN	1320	535	--	--	6.16	6.16	12346	12346	(16+17)-II-1	(16+17)-II-2	9.4	13
6.8	1441	492	--	--	6.16	6.16	12346	12346	(16+17)-II-1	(16+17)-II-2	8.6	12
CAMP	2348	448	--	--	6.16	6.16	12346	12346	(16+17)-II-1	(16+17)-II-2	5.3	9.1
61.6	2486	75	--	--	6.16	6.16	12346	12346	(16+17)-II-1	(16+17)-II-2	5.0	8.7
FLN	2627	13	--	--	6.16	6.16	12346	12346	(16+17)-II-1	(16+17)-II-2	4.7	8.4

X	x-	d-	x-/d-	x+	d+	x+/d+	Mr-	Mr+	C-	C+	Stato-	Stato+
cm	cm	cm		cm	cm		kg*m	kg*m				
ILN	14.0	55.9	0.251	14.0	55.9	0.251	12346	12346	(16+17)-II-1	(16+17)-II-2	Parz.	Parz.
6.8	14.0	55.9	0.251	14.0	55.9	0.251	12346	12346	(16+17)-II-1	(16+17)-II-2	Parz.	Parz.
CAMP	14.1	55.9	0.252	14.0	55.9	0.251	12346	12346	(16+17)-II-1	(16+17)-II-2	Parz.	Parz.
61.6	14.1	55.9	0.252	14.0	55.9	0.250	12346	12346	(16+17)-II-1	(16+17)-II-2	Parz.	Parz.
FLN	14.1	55.9	0.252	14.0	55.9	0.250	12346	12346	(16+17)-II-1	(16+17)-II-2	Parz.	Parz.

Verifica a taglio: $\cot(\theta) = 2.093$ Comb: 3

Sez	Td	VRdhs	VRcd	VRsd	VRd	Tpl	Mr	Dx	Staffe	CS	ζ_E
	kg	kg	kg	kg	kg	kg	kg*m	cm	cmq/m		

Sez	Td	VRdhs	VRcd	VRsd	VRd	Tpl	Mr	Dx	Staffe	CS	ζ_E
Sin	2678	--	41421	41421	41421	0	12346	68.5	10.05	15	--
Des							12346				

Verifica incendio: $T_{eqvClis}(^{\circ})=286$ $T_{eqvAcc}(^{\circ})=432$ Curva:ISO834, $\gamma_{Clis}=1.20$ (Aggregato Calcareo)
 $\gamma_{Acc}=1.00$ (Laminato a caldo),verifica per R120(min)

X	M-	M+	$\Delta M-$	$\Delta M+$	Afs	Afi	Mr-	Mr+	C-	C+	CS	ζ_E
cm	kg*m	kg*m	kg*m	kg*m	cmq	cmq	kg*m	kg*m				
ILN	393	--	--	--	6.16	6.16	14811	14154	51	51	38	--
6.8	474	--	--	--	6.16	6.16	14811	14154	51	51	31	--
CAMP	1107	--	--	--	6.16	6.16	14811	14154	51	51	13	--
61.6	1206	--	--	--	6.16	6.16	14811	14154	51	51	12	--
FLN	1307	--	--	--	6.16	6.16	14811	14154	51	51	11	--

X	x-	d-	x-/d-	x+	d+	x+/d+	Mr-	Mr+	C-	C+	Stato-	Stato +
cm	cm	cm		cm	cm		kg*m	kg*m				
ILN	21.4	61.9	0.346	--	--	--	14811	14154	51	51	Parz.	--
6.8	21.4	61.9	0.346	--	--	--	14811	14154	51	51	Parz.	--
CAMP	21.4	61.9	0.346	--	--	--	14811	14154	51	51	Parz.	--
61.6	21.4	61.9	0.346	--	--	--	14811	14154	51	51	Parz.	--
FLN	21.4	61.9	0.346	--	--	--	14811	14154	51	51	Parz.	--

Verifica a taglio: $\cot(\theta) = 2.076$ Comb: 51

Sez	Td	VRdhs	VRcd	VRsd	VRd	Tpl	Mr	Dx	Staffe	CS	ζ_E
	kg	kg	kg	kg	kg	kg	kg*m	cm	cmq/m		
Sin	1490	--	38232	38232	38232	0	14154	68.5	10.05	26	--
Des							14811				

Trave: 111 [229,0], Pilastrate [29,--] Sez. R: $B_y=30.0$ cm $B_z=60.0$ cm $L=51.8$ cm $L_n=51.8$ cm Criterio :
 CLS_TraviAlte_ND - Verifica a flessione: **Verificato**

X	M-	M+	$\Delta M-$	$\Delta M+$	Afs	Afi	Mr-	Mr+	C-	C+	CS	ζ_E
cm	kg*m	kg*m	kg*m	kg*m	cmq	cmq	kg*m	kg*m				
ILN	2296	1160	--	--	6.16	6.16	12346	12346	(16+17)-II-2	(16+17)-II-1	5.4	6.8
5.2	2144	1176	--	--	6.16	6.16	12346	12346	(16+17)-II-2	(16+17)-II-1	5.8	7.1
CAMP	1995	1251	--	--	6.16	6.16	12346	12346	(16+17)-II-2	(16+17)-II-1	6.2	7.5
46.6	1000	1251	--	--	6.16	6.16	12346	12346	(16+17)-II-2	(16+17)-II-1	9.9	11
FLN	871	1247	--	--	6.16	6.16	12346	12346	(16+17)-II-2	(16+17)-II-1	9.9	11

X	x-	d-	x-/d-	x+	d+	x+/d+	Mr-	Mr+	C-	C+	Stato-	Stato +
cm	cm	cm		cm	cm		kg*m	kg*m				
ILN	14.1	55.9	0.252	14.0	55.9	0.251	12346	12346	(16+17)-II-2	(16+17)-II-1	Parz.	Parz.
5.2	14.1	55.9	0.252	14.0	55.9	0.251	12346	12346	(16+17)-II-2	(16+17)-II-1	Parz.	Parz.
CAMP	14.1	55.9	0.252	14.0	55.9	0.251	12346	12346	(16+17)-II-2	(16+17)-II-1	Parz.	Parz.
46.6	14.0	55.9	0.251	14.0	55.9	0.251	12346	12346	(16+17)-II-2	(16+17)-II-1	Parz.	Parz.
FLN	14.0	55.9	0.251	14.0	55.9	0.251	12346	12346	(16+17)-II-2	(16+17)-II-1	Parz.	Parz.

Verifica a taglio: $\cot(\theta) = 1.946$ Comb: (16+17)-II-2

Sez	Td	VRdhs	VRcd	VRsd	VRd	Tpl	Mr	Dx	Staffe	CS	ζ_E
	kg	kg	kg	kg	kg	kg	kg*m	cm	cmq/m		
Sin	2938	--	43288	43288	43288	0	12346	51.8	11.30	15	32
Des							12346				

Verifica incendio: $T_{eqvClis}(^{\circ})=286$ $T_{eqvAcc}(^{\circ})=432$ Curva:ISO834, $\gamma_{Clis}=1.20$ (Aggregato Calcareo)
 $\gamma_{Acc}=1.00$ (Laminato a caldo),verifica per R120(min)

X	M-	M+	$\Delta M-$	$\Delta M+$	Afs	Afi	Mr-	Mr+	C-	C+	CS	ζ_E
cm	kg*m	kg*m	kg*m	kg*m	cmq	cmq	kg*m	kg*m				

X	M-	M+	ΔM-	ΔM+	Afs	Afi	Mr-	Mr+	C-	C+	CS	ζ _E
ILN	568	--	--	--	6.16	6.16	14811	14154	51	51	26	--
5.2	484	--	--	--	6.16	6.16	14811	14154	51	51	31	--
CAMP	401	--	--	--	6.16	6.16	14811	14154	51	51	37	--
46.6	--	125	--	--	6.16	6.16	14811	14154	51	51	>100	--
FLN	--	188	--	--	6.16	6.16	14811	14154	51	51	75	--

X	x-	d-	x-/d-	x+	d+	x+/d+	Mr-	Mr+	C-	C+	Stato-	Stato+
cm	cm	cm		cm	cm		kg*m	kg*m				
ILN	21.4	61.9	0.346	--	--	--	14811	14154	51	51	Parz.	--
5.2	21.4	61.9	0.346	--	--	--	14811	14154	51	51	Parz.	--
CAMP	21.4	61.9	0.346	--	--	--	14811	14154	51	51	Parz.	--
46.6	--	--	--	15.5	58.8	0.263	14811	14154	51	51	--	Parz.
FLN	--	--	--	15.5	58.8	0.263	14811	14154	51	51	--	Parz.

Verifica a taglio: $\cot(\theta) = 1.930$ Comb: 51

Sez	Td	VRd _{ns}	VRd _{cd}	VRd _{sd}	VRd	Tpl	Mr	Dx	Staffe	CS	ζ _E
	kg	kg	kg	kg	kg	kg	kg*m	cm	cmq/m		
Sin	1632	--	39946	39946	39946	0	14154	51.8	11.30	24	--
Des							14811				

Trave: 111 [0,0], Pilastrate [--,--] Sez. R: By=30.0 cm Bz=60.0 cm L=51.8 cm Ln=51.8 cm Criterio :
CLS_TraviAlte_ND - Verifica a flessione: **Verificato**

X	M-	M+	ΔM-	ΔM+	Afs	Afi	Mr-	Mr+	C-	C+	CS	ζ _E
cm	kg*m	kg*m	kg*m	kg*m	cmq	cmq	kg*m	kg*m				
ILN	936	1330	--	--	6.16	6.16	12346	12346	(16+17)-II-2	(16+17)-II-1	9.3	11
5.2	815	1316	--	--	6.16	6.16	12346	12346	(16+17)-II-2	(16+17)-II-1	9.4	11
CAMP	698	1298	--	--	6.16	6.16	12346	12346	(16+17)-II-2	(16+17)-II-1	9.5	12
46.6	--	1091	--	--	6.16	6.16	12346	12346	50	(16+17)-II-1	11	22
FLN	--	1051	--	--	6.16	6.16	12346	12346	50	(16+17)-II-1	12	25

X	x-	d-	x-/d-	x+	d+	x+/d+	Mr-	Mr+	C-	C+	Stato-	Stato+
cm	cm	cm		cm	cm		kg*m	kg*m				
ILN	14.0	55.9	0.251	14.0	55.9	0.251	12346	12346	(16+17)-II-2	(16+17)-II-1	Parz.	Parz.
5.2	14.0	55.9	0.251	14.0	55.9	0.251	12346	12346	(16+17)-II-2	(16+17)-II-1	Parz.	Parz.
CAMP	14.0	55.9	0.251	14.0	55.9	0.251	12346	12346	(16+17)-II-2	(16+17)-II-1	Parz.	Parz.
46.6	--	--	--	14.0	55.9	0.251	12346	12346	50	(16+17)-II-1	--	Parz.
FLN	--	--	--	14.0	55.9	0.251	12346	12346	50	(16+17)-II-1	--	Parz.

Verifica a taglio: $\cot(\theta) = 2.093$ Comb: (16+17)-II-2

Sez	Td	VRd _{ns}	VRd _{cd}	VRd _{sd}	VRd	Tpl	Mr	Dx	Staffe	CS	ζ _E
	kg	kg	kg	kg	kg	kg	kg*m	cm	cmq/m		
Sin	2395	--	41421	41421	41421	0	12346	51.8	10.05	17	30
Des							12346				

Verifica incendio: TeqvCl_s(°)=286 TeqvAcc(°)=432 Curva:ISO834,γCl_s=1.20(Aggregato Calcareo)
γAcc=1.00(Laminato a caldo),verifica per R120(min)

X	M-	M+	ΔM-	ΔM+	Afs	Afi	Mr-	Mr+	C-	C+	CS	ζ _E
cm	kg*m	kg*m	kg*m	kg*m	cmq	cmq	kg*m	kg*m				
ILN	--	197	--	--	6.16	6.16	14811	14154	51	51	72	--
5.2	--	250	--	--	6.16	6.16	14811	14154	51	51	57	--
CAMP	--	528	--	--	6.16	6.16	14811	14154	51	51	27	--
46.6	--	554	--	--	6.16	6.16	14811	14154	51	51	26	--
FLN	--	577	--	--	6.16	6.16	14811	14154	51	51	25	--

X	x-	d-	x-/d-	x+	d+	x+/d+	Mr-	Mr+	C-	C+	Stato-	Stato+
cm	cm	cm		cm	cm		kg*m	kg*m				
ILN	--	--	--	15.5	58.8	0.263	14811	14154	51	51	--	Parz.
5.2	--	--	--	15.5	58.8	0.263	14811	14154	51	51	--	Parz.
CAMP	--	--	--	15.5	58.8	0.263	14811	14154	51	51	--	Parz.
46.6	--	--	--	15.5	58.8	0.263	14811	14154	51	51	--	Parz.
FLN	--	--	--	15.5	58.8	0.263	14811	14154	51	51	--	Parz.

Verifica a taglio: $\cot(\theta) = 2.076$ Comb: 51

Sez	Td	VRdns	VRcd	VRsd	VRd	Tpl	Mr	Dx	Staffe	CS	ζ_E
	kg	kg	kg	kg	kg	kg	kg*m	cm	cmq/m		
Sin	1068	--	38232	38232	38232	0	14154	51.8	10.05	36	--
Des							14811				

Trave: 111 [0,0], Pilastrate [--,--] Sez. R: By=30.0 cm Bz=60.0 cm L=51.8 cm Ln=51.8 cm Criterio : CLS_TraviAlte_ND - Verifica a flessione: **Verificato**

X	M-	M+	$\Delta M-$	$\Delta M+$	Afs	Afi	Mr-	Mr+	C-	C+	CS	ζ_E
cm	kg*m	kg*m	kg*m	kg*m	cmq	cmq	kg*m	kg*m				
ILN	--	1135	--	--	6.16	6.16	12346	12346	50	(16+17)-II-1	11	21
5.2	--	1086	--	--	6.16	6.16	12346	12346	50	(16+17)-II-1	11	24
CAMP	--	1096	--	--	6.16	6.16	12346	12346	50	(16+17)-I-1	11	24
46.6	--	1104	--	--	6.16	6.16	12346	12346	50	(16+17)-I-1	11	23
FLN	--	1110	--	--	6.16	6.16	12346	12346	50	(16+17)-I-1	11	22

X	x-	d-	x-/d-	x+	d+	x+/d+	Mr-	Mr+	C-	C+	Stato-	Stato+
cm	cm	cm		cm	cm		kg*m	kg*m				
ILN	--	--	--	14.0	55.9	0.251	12346	12346	50	(16+17)-II-1	--	Parz.
5.2	--	--	--	14.0	55.9	0.251	12346	12346	50	(16+17)-II-1	--	Parz.
CAMP	--	--	--	14.0	55.9	0.251	12346	12346	50	(16+17)-I-1	--	Parz.
46.6	--	--	--	14.0	55.9	0.251	12346	12346	50	(16+17)-I-1	--	Parz.
FLN	--	--	--	14.0	55.9	0.251	12346	12346	50	(16+17)-I-1	--	Parz.

Verifica a taglio: $\cot(\theta) = 2.093$ Comb: (16+17)-II-1

Sez	Td	VRdns	VRcd	VRsd	VRd	Tpl	Mr	Dx	Staffe	CS	ζ_E
	kg	kg	kg	kg	kg	kg	kg*m	cm	cmq/m		
Sin	1671	--	41421	41421	41421	0	12346	51.8	10.05	25	31
Des							12346				

Verifica incendio: $T_{eqvClS}(^{\circ}) = 286$ $T_{eqvAcc}(^{\circ}) = 432$ Curva: ISO834, $\gamma_{ClS} = 1.20$ (Aggregato Calcareo) $\gamma_{Acc} = 1.00$ (Laminato a caldo), verifica per R120(min)

X	M-	M+	$\Delta M-$	$\Delta M+$	Afs	Afi	Mr-	Mr+	C-	C+	CS	ζ_E
cm	kg*m	kg*m	kg*m	kg*m	cmq	cmq	kg*m	kg*m				
ILN	--	588	--	--	6.16	6.16	14811	14154	51	51	24	--
5.2	--	602	--	--	6.16	6.16	14811	14154	51	51	24	--
CAMP	--	626	--	--	6.16	6.16	14811	14154	51	51	23	--
46.6	--	597	--	--	6.16	6.16	14811	14154	51	51	24	--
FLN	--	582	--	--	6.16	6.16	14811	14154	51	51	24	--

X	x-	d-	x-/d-	x+	d+	x+/d+	Mr-	Mr+	C-	C+	Stato-	Stato+
cm	cm	cm		cm	cm		kg*m	kg*m				
ILN	--	--	--	15.5	58.8	0.263	14811	14154	51	51	--	Parz.
5.2	--	--	--	15.5	58.8	0.263	14811	14154	51	51	--	Parz.
CAMP	--	--	--	15.5	58.8	0.263	14811	14154	51	51	--	Parz.
46.6	--	--	--	15.5	58.8	0.263	14811	14154	51	51	--	Parz.
FLN	--	--	--	15.5	58.8	0.263	14811	14154	51	51	--	Parz.

Verifica a taglio: $\cot(\theta) = 2.076$ Comb: 51

Sez	Td	VRdns	VRcd	VRsd	VRd	Tpl	Mr	Dx	Staffe	CS	ζ_E
	kg	kg	kg	kg	kg	kg	kg*m	cm	cmq/m		
Sin	324	--	38232	38232	38232	0	14154	51.8	10.05	>100	--
Des							14811				

Trave: 111 [0,0], Pilastrate [--,--] Sez. R: By=30.0 cm Bz=60.0 cm L=51.8 cm Ln=51.8 cm Criterio : CLS_TraviAlte_ND - Verifica a flessione: **Verificato**

X	M-	M+	$\Delta M-$	$\Delta M+$	Afs	Afi	Mr-	Mr+	C-	C+	CS	ζ_E
cm	kg*m	kg*m	kg*m	kg*m	cmq	cmq	kg*m	kg*m				
ILN	--	1136	--	--	6.16	6.16	12346	12346	50	(16+17)-I-1	11	22
5.2	--	1136	--	--	6.16	6.16	12346	12346	50	(16+17)-I-1	11	21
CAMP	401	1133	--	--	6.16	6.16	12346	12346	(16+17)-I-3	(16+17)-I-1	11	17
46.6	477	1037	--	--	6.16	6.16	12346	12346	(16+17)-II-1	(16+17)-II-2	12	16
FLN	597	1055	--	--	6.16	6.16	12346	12346	(16+17)-II-1	(16+17)-II-2	12	15

X	x-	d-	x-/d-	x+	d+	x+/d+	Mr-	Mr+	C-	C+	Stato-	Stato+
cm	cm	cm		cm	cm		kg*m	kg*m				
ILN	--	--	--	14.0	55.9	0.251	12346	12346	50	(16+17)-I-1	--	Parz.
5.2	--	--	--	14.0	55.9	0.251	12346	12346	50	(16+17)-I-1	--	Parz.
CAMP	14.0	55.9	0.251	14.0	55.9	0.251	12346	12346	(16+17)-I-3	(16+17)-I-1	Parz.	Parz.
46.6	14.0	55.9	0.251	14.0	55.9	0.251	12346	12346	(16+17)-II-1	(16+17)-II-2	Parz.	Parz.
FLN	14.0	55.9	0.251	14.0	55.9	0.251	12346	12346	(16+17)-II-1	(16+17)-II-2	Parz.	Parz.

Verifica a taglio: $\cot(\theta) = 2.093$ Comb: (16+17)-II-1

Sez	Td	VRdns	VRcd	VRsd	VRd	Tpl	Mr	Dx	Staffe	CS	ζ_E
	kg	kg	kg	kg	kg	kg	kg*m	cm	cmq/m		
Sin	2390	--	41421	41421	41421	0	12346	51.8	10.05	17	29
Des							12346				

Verifica incendio: $T_{eqvClis}(\circ) = 286$ $T_{eqvAcc}(\circ) = 432$ Curva: ISO834, $\gamma_{Clis} = 1.20$ (Aggregato Calcareo) $\gamma_{Acc} = 1.00$ (Laminato a caldo), verifica per R120(min)

X	M-	M+	$\Delta M-$	$\Delta M+$	Afs	Afi	Mr-	Mr+	C-	C+	CS	ζ_E
cm	kg*m	kg*m	kg*m	kg*m	cmq	cmq	kg*m	kg*m				
ILN	--	603	--	--	6.16	6.16	14811	14154	51	51	23	--
5.2	--	580	--	--	6.16	6.16	14811	14154	51	51	24	--
CAMP	--	553	--	--	6.16	6.16	14811	14154	51	51	26	--
46.6	--	280	--	--	6.16	6.16	14811	14154	51	51	50	--
FLN	--	229	--	--	6.16	6.16	14811	14154	51	51	62	--

X	x-	d-	x-/d-	x+	d+	x+/d+	Mr-	Mr+	C-	C+	Stato-	Stato+
cm	cm	cm		cm	cm		kg*m	kg*m				
ILN	--	--	--	15.5	58.8	0.263	14811	14154	51	51	--	Parz.
5.2	--	--	--	15.5	58.8	0.263	14811	14154	51	51	--	Parz.
CAMP	--	--	--	15.5	58.8	0.263	14811	14154	51	51	--	Parz.
46.6	--	--	--	15.5	58.8	0.263	14811	14154	51	51	--	Parz.
FLN	--	--	--	15.5	58.8	0.263	14811	14154	51	51	--	Parz.

Verifica a taglio: $\cot(\theta) = 2.076$ Comb: 51

Sez	Td	VRdns	VRcd	VRsd	VRd	Tpl	Mr	Dx	Staffe	CS	ζ_E
	kg	kg	kg	kg	kg	kg	kg*m	cm	cmq/m		
Sin	1020	--	38232	38232	38232	0	14154	51.8	10.05	37	--
Des							14811				

Trave: 111 [0,233], Pilastrate [--,33] Sez. R: By=30.0 cm Bz=60.0 cm L=51.8 cm Ln=51.8 cm Criterio :

CLS_TraviAlte_ND - Verifica a flessione: **Verificato**

X	M-	M+	ΔM-	ΔM+	Afs	Afi	Mr-	Mr+	C-	C+	CS	ζ _E
cm	kg*m	kg*m	kg*m	kg*m	cmq	cmq	kg*m	kg*m				
ILN	579	1070	--	--	7.70	7.70	15353	15353	(16+17)-I-3	(16+17)-I-1	14	18
5.2	663	1037	--	--	7.70	7.70	15353	15353	(16+17)-I-3	(16+17)-I-1	15	18
CAMP	1622	1019	--	--	7.70	7.70	15353	15353	(16+17)-II-1	(16+17)-II-2	9.5	11
46.6	1776	992	--	--	7.70	7.70	15353	15353	(16+17)-II-1	(16+17)-II-2	8.6	11
FLN	1933	978	--	--	7.70	7.70	15353	15353	(16+17)-II-1	(16+17)-II-2	7.9	10

X	x-	d-	x-/d-	x+	d+	x+/d+	Mr-	Mr+	C-	C+	Stato-	Stato +
cm	cm	cm		cm	cm		kg*m	kg*m				
ILN	15.1	55.9	0.270	15.1	55.9	0.271	15353	15353	(16+17)-I-3	(16+17)-I-1	Parz.	Parz.
5.2	15.1	55.9	0.270	15.1	55.9	0.271	15353	15353	(16+17)-I-3	(16+17)-I-1	Parz.	Parz.
CAMP	15.2	55.9	0.271	15.1	55.9	0.271	15353	15353	(16+17)-II-1	(16+17)-II-2	Parz.	Parz.
46.6	15.2	55.9	0.271	15.1	55.9	0.271	15353	15353	(16+17)-II-1	(16+17)-II-2	Parz.	Parz.
FLN	15.2	55.9	0.271	15.1	55.9	0.271	15353	15353	(16+17)-II-1	(16+17)-II-2	Parz.	Parz.

Verifica a taglio: $\cot(\theta) = 2.093$ Comb: 3

Sez	Td	VRdhs	VRcd	VRsd	VRd	Tpl	Mr	Dx	Staffe	CS	ζ _E
	kg	kg	kg	kg	kg	kg	kg*m	cm	cmq/m		
Sin	3074	--	41421	41421	41421	0	15353	51.8	10.05	13	--
Des							15353				

Verifica incendio: $T_{eqvClS}(^{\circ})=286$ $T_{eqvAcc}(^{\circ})=429$ Curva:ISO834, $\gamma_{ClS}=1.20$ (Aggregato Calcareo) $\gamma_{Acc}=1.00$ (Laminato a caldo),verifica per R120(min)

X	M-	M+	ΔM-	ΔM+	Afs	Afi	Mr-	Mr+	C-	C+	CS	ζ _E
cm	kg*m	kg*m	kg*m	kg*m	cmq	cmq	kg*m	kg*m				
ILN	--	245	--	--	7.70	7.70	18397	17733	51	51	72	--
5.2	--	187	--	--	7.70	7.70	18397	17733	51	51	95	--
CAMP	309	--	--	--	7.70	7.70	18397	17733	51	51	59	--
46.6	392	--	--	--	7.70	7.70	18397	17733	51	51	47	--
FLN	477	--	--	--	7.70	7.70	18397	17733	51	51	39	--

X	x-	d-	x-/d-	x+	d+	x+/d+	Mr-	Mr+	C-	C+	Stato-	Stato +
cm	cm	cm		cm	cm		kg*m	kg*m				
ILN	--	--	--	16.5	58.7	0.282	18397	17733	51	51	--	Parz.
5.2	--	--	--	16.5	58.7	0.282	18397	17733	51	51	--	Parz.
CAMP	22.5	61.9	0.363	--	--	--	18397	17733	51	51	Parz.	--
46.6	22.5	61.9	0.363	--	--	--	18397	17733	51	51	Parz.	--
FLN	22.5	61.9	0.363	--	--	--	18397	17733	51	51	Parz.	--

Verifica a taglio: $\cot(\theta) = 2.068$ Comb: 51

Sez	Td	VRdhs	VRcd	VRsd	VRd	Tpl	Mr	Dx	Staffe	CS	ζ _E
	kg	kg	kg	kg	kg	kg	kg*m	cm	cmq/m		
Sin	1678	--	38331	38331	38331	0	17733	51.8	10.05	23	--
Des							18397				

Trave: 112 [233,0], Pilastrate [33,--] Sez. R: By=30.0 cm Bz=60.0 cm L=55.6 cm Ln=55.6 cm Criterio :CLS_TraviAlte_ND - Verifica a flessione: **Verificato**

X	M-	M+	ΔM-	ΔM+	Afs	Afi	Mr-	Mr+	C-	C+	CS	ζ _E
cm	kg*m	kg*m	kg*m	kg*m	cmq	cmq	kg*m	kg*m				
ILN	2426	1837	--	--	6.16	6.16	12346	12346	(16+17)-I-3	(16+17)-I-1	5.1	5.7
5.6	2298	1823	--	--	6.16	6.16	12346	12346	(16+17)-I-3	(16+17)-I-1	5.4	5.9
CAMP	2171	1808	--	--	6.16	6.16	12346	12346	(16+17)-I-3	(16+17)-I-1	5.7	6.1
50.0	1332	1651	--	--	6.16	6.16	12346	12346	(16+17)-I-3	(16+17)-I-1	7.5	8.2

X	M-	M+	ΔM-	ΔM+	Afs	Afi	Mr-	Mr+	C-	C+	CS	ζ _E
FLN	1218	1622	--	--	6.16	6.16	12346	12346	(16+17)-I-3	(16+17)-I-1	7.6	8.6

X	x-	d-	x-/d-	x+	d+	x+/d+	Mr-	Mr+	C-	C+	Stato-	Stato+
cm	cm	cm		cm	cm		kg*m	kg*m				
ILN	14.1	55.9	0.252	14.1	55.9	0.252	12346	12346	(16+17)-I-3	(16+17)-I-1	Parz.	Parz.
5.6	14.1	55.9	0.252	14.1	55.9	0.252	12346	12346	(16+17)-I-3	(16+17)-I-1	Parz.	Parz.
CAMP	14.1	55.9	0.252	14.1	55.9	0.252	12346	12346	(16+17)-I-3	(16+17)-I-1	Parz.	Parz.
50.0	14.0	55.9	0.251	14.1	55.9	0.251	12346	12346	(16+17)-I-3	(16+17)-I-1	Parz.	Parz.
FLN	14.0	55.9	0.251	14.1	55.9	0.251	12346	12346	(16+17)-I-3	(16+17)-I-1	Parz.	Parz.

Verifica a taglio: $\cot(\theta) = 1.960$ Comb: (16+17)-I-3

Sez	Td	VRd _{ns}	VRcd	VRsd	VRd	Tpl	Mr	Dx	Staffe	CS	ζ _E
	kg	kg	kg	kg	kg	kg	kg*m	cm	cmq/m		
Sin	2326	--	43113	43113	43113	0	12346	55.6	11.18	19	33
Des							12346				

Verifica incendio: $T_{eqvClis}(^{\circ}) = 286$ $T_{eqvAcc}(^{\circ}) = 432$ Curva: ISO834, $\gamma_{Clis} = 1.20$ (Aggregato Calcareo)
 $\gamma_{Acc} = 1.00$ (Laminato a caldo), verifica per R120(min)

X	M-	M+	ΔM-	ΔM+	Afs	Afi	Mr-	Mr+	C-	C+	CS	ζ _E
cm	kg*m	kg*m	kg*m	kg*m	cmq	cmq	kg*m	kg*m				
ILN	294	--	--	--	6.16	6.16	14811	14154	51	51	50	--
5.6	237	--	--	--	6.16	6.16	14811	14154	51	51	62	--
CAMP	182	--	--	--	6.16	6.16	14811	14154	51	51	81	--
50.0	--	159	--	--	6.16	6.16	14811	14154	51	51	89	--
FLN	--	202	--	--	6.16	6.16	14811	14154	51	51	70	--

X	x-	d-	x-/d-	x+	d+	x+/d+	Mr-	Mr+	C-	C+	Stato-	Stato+
cm	cm	cm		cm	cm		kg*m	kg*m				
ILN	21.4	61.9	0.346	--	--	--	14811	14154	51	51	Parz.	--
5.6	21.4	61.9	0.346	--	--	--	14811	14154	51	51	Parz.	--
CAMP	21.4	61.9	0.346	--	--	--	14811	14154	51	51	Parz.	--
50.0	--	--	--	15.5	58.8	0.263	14811	14154	51	51	--	Parz.
FLN	--	--	--	15.5	58.8	0.263	14811	14154	51	51	--	Parz.

Verifica a taglio: $\cot(\theta) = 1.944$ Comb: 51

Sez	Td	VRd _{ns}	VRcd	VRsd	VRd	Tpl	Mr	Dx	Staffe	CS	ζ _E
	kg	kg	kg	kg	kg	kg	kg*m	cm	cmq/m		
Sin	1044	--	39785	39785	39785	0	14154	55.6	11.18	38	--
Des							14811				

Trave: 112 [0,0], Pilastrate [--,--] Sez. R: By=30.0 cm Bz=60.0 cm L=55.6 cm Ln=55.6 cm Criterio :
 CLS_TraviAlte_ND - Verifica a flessione: **Verificato**

X	M-	M+	ΔM-	ΔM+	Afs	Afi	Mr-	Mr+	C-	C+	CS	ζ _E
cm	kg*m	kg*m	kg*m	kg*m	cmq	cmq	kg*m	kg*m				
ILN	1239	1593	--	--	6.16	6.16	12346	12346	(16+17)-I-3	(16+17)-I-1	7.7	8.6
5.6	1132	1556	--	--	6.16	6.16	12346	12346	(16+17)-I-3	(16+17)-I-1	7.9	9.0
CAMP	1026	1518	--	--	6.16	6.16	12346	12346	(16+17)-I-3	(16+17)-I-1	8.1	9.5
50.0	337	1204	--	--	6.16	6.16	12346	12346	(16+17)-I-3	(16+17)-I-1	10	15
FLN	246	1154	--	--	6.16	6.16	12346	12346	(16+17)-I-3	(16+17)-I-1	11	17

X	x-	d-	x-/d-	x+	d+	x+/d+	Mr-	Mr+	C-	C+	Stato-	Stato+
cm	cm	cm		cm	cm		kg*m	kg*m				
ILN	14.0	55.9	0.251	14.1	55.9	0.251	12346	12346	(16+17)-I-3	(16+17)-I-1	Parz.	Parz.

X	x-	d-	x-/d-	x+	d+	x+/d+	Mr-	Mr+	C-	C+	Stato-	Stato+
5.6	14.0	55.9	0.251	14.1	55.9	0.251	12346	12346	(16+17)-I-3	(16+17)-I-1	Parz.	Parz.
CAMP	14.0	55.9	0.251	14.1	55.9	0.251	12346	12346	(16+17)-I-3	(16+17)-I-1	Parz.	Parz.
50.0	14.0	55.9	0.250	14.0	55.9	0.251	12346	12346	(16+17)-I-3	(16+17)-I-1	Parz.	Parz.
FLN	14.0	55.9	0.250	14.0	55.9	0.251	12346	12346	(16+17)-I-3	(16+17)-I-1	Parz.	Parz.

Verifica a taglio: $\cot(\theta) = 1.997$ Comb: (16+17)-I-3

Sez	Td	VRdns	VRcd	VRsd	VRd	Tpl	Mr	Dx	Staffe	CS	ζ_E
	kg	kg	kg	kg	kg	kg	kg*m	cm	cmq/m		
Sin	1956	--	42636	42636	42636	0	12346	55.6	10.85	22	32
Des							12346				

Verifica incendio: $T_{eqvClS}(^{\circ}) = 286$ $T_{eqvAcc}(^{\circ}) = 432$ Curva: ISO834, $\gamma_{ClS} = 1.20$ (Aggregato Calcareo)
 $\gamma_{Acc} = 1.00$ (Laminato a caldo), verifica per R120(min)

X	M-	M+	$\Delta M-$	$\Delta M+$	Afs	Afi	Mr-	Mr+	C-	C+	CS	ζ_E
cm	kg*m	kg*m	kg*m	kg*m	cmq	cmq	kg*m	kg*m				
ILN	--	177	--	--	6.16	6.16	14811	14154	51	51	80	--
5.6	--	212	--	--	6.16	6.16	14811	14154	51	51	67	--
CAMP	--	412	--	--	6.16	6.16	14811	14154	51	51	34	--
50.0	--	434	--	--	6.16	6.16	14811	14154	51	51	33	--
FLN	--	454	--	--	6.16	6.16	14811	14154	51	51	31	--

X	x-	d-	x-/d-	x+	d+	x+/d+	Mr-	Mr+	C-	C+	Stato-	Stato+
cm	cm	cm		cm	cm		kg*m	kg*m				
ILN	--	--	--	15.5	58.8	0.263	14811	14154	51	51	--	Parz.
5.6	--	--	--	15.5	58.8	0.263	14811	14154	51	51	--	Parz.
CAMP	--	--	--	15.5	58.8	0.263	14811	14154	51	51	--	Parz.
50.0	--	--	--	15.5	58.8	0.263	14811	14154	51	51	--	Parz.
FLN	--	--	--	15.5	58.8	0.263	14811	14154	51	51	--	Parz.

Verifica a taglio: $\cot(\theta) = 1.981$ Comb: 51

Sez	Td	VRdns	VRcd	VRsd	VRd	Tpl	Mr	Dx	Staffe	CS	ζ_E
	kg	kg	kg	kg	kg	kg	kg*m	cm	cmq/m		
Sin	646	--	39347	39347	39347	0	14154	55.6	10.85	61	--
Des							14811				

Trave: 112 [0,0], Pilastrate [--,--] Sez. R: $B_y = 30.0$ cm $B_z = 60.0$ cm $L = 55.6$ cm $L_n = 55.6$ cm Criterio :
 CLS_TraviAlte_ND - Verifica a flessione: **Verificato**

X	M-	M+	$\Delta M-$	$\Delta M+$	Afs	Afi	Mr-	Mr+	C-	C+	CS	ζ_E
cm	kg*m	kg*m	kg*m	kg*m	cmq	cmq	kg*m	kg*m				
ILN	311	1166	--	--	6.16	6.16	12346	12346	(16+17)-I-3	(16+17)-I-1	11	16
5.6	227	1109	--	--	6.16	6.16	12346	12346	(16+17)-I-3	(16+17)-I-1	11	18
CAMP	--	1051	--	--	6.16	6.16	12346	12346	50	(16+17)-I-1	12	20
50.0	--	847	--	--	6.16	6.16	12346	12346	50	2	15	--
FLN	--	856	--	--	6.16	6.16	12346	12346	50	2	14	--

X	x-	d-	x-/d-	x+	d+	x+/d+	Mr-	Mr+	C-	C+	Stato-	Stato+
cm	cm	cm		cm	cm		kg*m	kg*m				
ILN	14.0	55.9	0.250	14.0	55.9	0.251	12346	12346	(16+17)-I-3	(16+17)-I-1	Parz.	Parz.
5.6	14.0	55.9	0.250	14.0	55.9	0.251	12346	12346	(16+17)-I-3	(16+17)-I-1	Parz.	Parz.
CAMP	--	--	--	14.0	55.9	0.251	12346	12346	50	(16+17)-I-1	--	Parz.
50.0	--	--	--	14.0	55.9	0.251	12346	12346	50	2	--	Parz.
FLN	--	--	--	14.0	55.9	0.251	12346	12346	50	2	--	Parz.

Verifica a taglio: $\cot(\theta) = 1.997$ Comb: (16+17)-I-3

Sez	Td	VRdns	VRcd	VRsd	VRd	Tpl	Mr	Dx	Staffe	CS	ζ_E
	kg	kg	kg	kg	kg	kg	kg*m	cm	cmq/m		
Sin	1571	--	42636	42636	42636	0	12346	55.6	10.85	27	32
Des							12346				

Verifica incendio: $T_{eqvClS}(^{\circ})=286$ $T_{eqvAcc}(^{\circ})=432$ Curva:ISO834, $\gamma_{ClS}=1.20$ (Aggregato Calcareo)
 $\gamma_{Acc}=1.00$ (Laminato a caldo),verifica per R120(min)

X	M-	M+	$\Delta M-$	$\Delta M+$	Afs	Afi	Mr-	Mr+	C-	C+	CS	ζ_E
cm	kg*m	kg*m	kg*m	kg*m	cmq	cmq	kg*m	kg*m				
ILN	--	427	--	--	6.16	6.16	14811	14154	51	51	33	--
5.6	--	441	--	--	6.16	6.16	14811	14154	51	51	32	--
CAMP	--	490	--	--	6.16	6.16	14811	14154	51	51	29	--
50.0	--	491	--	--	6.16	6.16	14811	14154	51	51	29	--
FLN	--	490	--	--	6.16	6.16	14811	14154	51	51	29	--

X	x-	d-	x-/d-	x+	d+	x+/d+	Mr-	Mr+	C-	C+	Stato-	Stato +
cm	cm	cm		cm	cm		kg*m	kg*m				
ILN	--	--	--	15.5	58.8	0.263	14811	14154	51	51	--	Parz.
5.6	--	--	--	15.5	58.8	0.263	14811	14154	51	51	--	Parz.
CAMP	--	--	--	15.5	58.8	0.263	14811	14154	51	51	--	Parz.
50.0	--	--	--	15.5	58.8	0.263	14811	14154	51	51	--	Parz.
FLN	--	--	--	15.5	58.8	0.263	14811	14154	51	51	--	Parz.

Verifica a taglio: $\cot(\theta) = 1.981$ Comb: 51

Sez	Td	VRdns	VRcd	VRsd	VRd	Tpl	Mr	Dx	Staffe	CS	ζ_E
	kg	kg	kg	kg	kg	kg	kg*m	cm	cmq/m		
Sin	256	--	39347	39347	39347	0	14154	55.6	10.85	>100	--
Des							14811				

Trave: 112 [0,0], Pilastrate [--,--] Sez. R: $B_y=30.0$ cm $B_z=60.0$ cm $L=55.6$ cm $L_n=55.6$ cm Criterio :
 CLS_TraviAlte_ND - Verifica a flessione: **Verificato**

X	M-	M+	$\Delta M-$	$\Delta M+$	Afs	Afi	Mr-	Mr+	C-	C+	CS	ζ_E
cm	kg*m	kg*m	kg*m	kg*m	cmq	cmq	kg*m	kg*m				
ILN	--	802	--	--	6.16	6.16	12346	12346	50	(16+17)-II-1	15	35
5.6	--	784	--	--	6.16	6.16	12346	12346	50	(16+17)-II-2	16	36
CAMP	236	947	--	--	6.16	6.16	12346	12346	(16+17)-I-1	(16+17)-I-3	13	20
50.0	326	997	--	--	6.16	6.16	12346	12346	(16+17)-I-1	(16+17)-I-3	12	18
FLN	418	1045	--	--	6.16	6.16	12346	12346	(16+17)-I-1	(16+17)-I-3	12	16

X	x-	d-	x-/d-	x+	d+	x+/d+	Mr-	Mr+	C-	C+	Stato-	Stato +
cm	cm	cm		cm	cm		kg*m	kg*m				
ILN	--	--	--	14.0	55.9	0.251	12346	12346	50	(16+17)-II-1	--	Parz.
5.6	--	--	--	14.0	55.9	0.251	12346	12346	50	(16+17)-II-2	--	Parz.
CAMP	14.0	55.9	0.250	14.0	55.9	0.251	12346	12346	(16+17)-I-1	(16+17)-I-3	Parz.	Parz.
50.0	14.0	55.9	0.250	14.0	55.9	0.251	12346	12346	(16+17)-I-1	(16+17)-I-3	Parz.	Parz.
FLN	14.0	55.9	0.251	14.0	55.9	0.251	12346	12346	(16+17)-I-1	(16+17)-I-3	Parz.	Parz.

Verifica a taglio: $\cot(\theta) = 1.997$ Comb: (16+17)-I-1

Sez	Td	VRdns	VRcd	VRsd	VRd	Tpl	Mr	Dx	Staffe	CS	ζ_E
	kg	kg	kg	kg	kg	kg	kg*m	cm	cmq/m		
Sin	1717	--	42636	42636	42636	0	12346	55.6	10.85	25	32
Des							12346				

Verifica incendio: $T_{eqvClS}(^{\circ})=286$ $T_{eqvAcc}(^{\circ})=432$ Curva:ISO834, $\gamma_{ClS}=1.20$ (Aggregato Calcareo)
 $\gamma_{Acc}=1.00$ (Laminato a caldo),verifica per R120(min)

X	M-	M+	$\Delta M-$	$\Delta M+$	Afs	Afi	Mr-	Mr+	C-	C+	CS	ζ_E
---	----	----	-------------	-------------	-----	-----	-----	-----	----	----	----	-----------

X	M-	M+	ΔM-	ΔM+	Afs	Afi	Mr-	Mr+	C-	C+	CS	ζ _E
cm	kg*m	kg*m	kg*m	kg*m	cmq	cmq	kg*m	kg*m				
ILN	--	462	--	--	6.16	6.16	14811	14154	51	51	31	--
5.6	--	454	--	--	6.16	6.16	14811	14154	51	51	31	--
CAMP	--	445	--	--	6.16	6.16	14811	14154	51	51	32	--
50.0	--	335	--	--	6.16	6.16	14811	14154	51	51	42	--
FLN	--	314	--	--	6.16	6.16	14811	14154	51	51	45	--

X	x-	d-	x-/d-	x+	d+	x+/d+	Mr-	Mr+	C-	C+	Stato-	Stato+
cm	cm	cm		cm	cm		kg*m	kg*m				
ILN	--	--	--	15.5	58.8	0.263	14811	14154	51	51	--	Parz.
5.6	--	--	--	15.5	58.8	0.263	14811	14154	51	51	--	Parz.
CAMP	--	--	--	15.5	58.8	0.263	14811	14154	51	51	--	Parz.
50.0	--	--	--	15.5	58.8	0.263	14811	14154	51	51	--	Parz.
FLN	--	--	--	15.5	58.8	0.263	14811	14154	51	51	--	Parz.

Verifica a taglio: $\cot(\theta) = 1.981$ Comb: 51

Sez	Td	VRdns	VRcd	VRsd	VRd	Tpl	Mr	Dx	Staffe	CS	ζ _E
	kg	kg	kg	kg	kg	kg	kg*m	cm	cmq/m		
Sin	403	--	39347	39347	39347	0	14154	55.6	10.85	98	--
Des							14811				

Trave: 112 [0,0], Pilastrate [--,--] Sez. R: By=30.0 cm Bz=60.0 cm L=55.6 cm Ln=55.6 cm Criterio : CLS_TraviAlte_ND - Verifica a flessione: **Verificato**

X	M-	M+	ΔM-	ΔM+	Afs	Afi	Mr-	Mr+	C-	C+	CS	ζ _E
cm	kg*m	kg*m	kg*m	kg*m	cmq	cmq	kg*m	kg*m				
ILN	419	982	--	--	6.16	6.16	12346	12346	(16+17)-I-1	(16+17)-I-3	13	17
5.6	519	1023	--	--	6.16	6.16	12346	12346	(16+17)-I-1	(16+17)-I-3	12	16
CAMP	1267	1280	--	--	6.16	6.16	12346	12346	(16+17)-I-1	(16+17)-I-3	9.6	9.7
50.0	1381	1312	--	--	6.16	6.16	12346	12346	(16+17)-I-1	(16+17)-I-3	8.9	9.1
FLN	1495	1342	--	--	6.16	6.16	12346	12346	(16+17)-I-1	(16+17)-I-3	8.3	8.6

X	x-	d-	x-/d-	x+	d+	x+/d+	Mr-	Mr+	C-	C+	Stato-	Stato+
cm	cm	cm		cm	cm		kg*m	kg*m				
ILN	14.0	55.9	0.251	14.0	55.9	0.251	12346	12346	(16+17)-I-1	(16+17)-I-3	Parz.	Parz.
5.6	14.0	55.9	0.251	14.0	55.9	0.251	12346	12346	(16+17)-I-1	(16+17)-I-3	Parz.	Parz.
CAMP	14.0	55.9	0.251	14.0	55.9	0.251	12346	12346	(16+17)-I-1	(16+17)-I-3	Parz.	Parz.
50.0	14.0	55.9	0.251	14.0	55.9	0.251	12346	12346	(16+17)-I-1	(16+17)-I-3	Parz.	Parz.
FLN	14.0	55.9	0.251	14.0	55.9	0.251	12346	12346	(16+17)-I-1	(16+17)-I-3	Parz.	Parz.

Verifica a taglio: $\cot(\theta) = 1.997$ Comb: (16+17)-I-1

Sez	Td	VRdns	VRcd	VRsd	VRd	Tpl	Mr	Dx	Staffe	CS	ζ _E
	kg	kg	kg	kg	kg	kg	kg*m	cm	cmq/m		
Sin	2092	--	42636	42636	42636	0	12346	55.6	10.85	20	32
Des							12346				

Verifica incendio: $T_{eqvClS}(^{\circ}) = 286$ $T_{eqvAcc}(^{\circ}) = 432$ Curva: ISO834, $\gamma_{ClS} = 1.20$ (Aggregato Calcareo) $\gamma_{Acc} = 1.00$ (Laminato a caldo), verifica per R120(min)

X	M-	M+	ΔM-	ΔM+	Afs	Afi	Mr-	Mr+	C-	C+	CS	ζ _E
cm	kg*m	kg*m	kg*m	kg*m	cmq	cmq	kg*m	kg*m				
ILN	--	281	--	--	6.16	6.16	14811	14154	51	51	50	--
5.6	--	252	--	--	6.16	6.16	14811	14154	51	51	56	--
CAMP	--	222	--	--	6.16	6.16	14811	14154	51	51	64	--
50.0	34	--	--	--	6.16	6.16	14811	14154	51	51	>100	--
FLN	77	--	--	--	6.16	6.16	14811	14154	51	51	>100	--

X	x-	d-	x-/d-	x+	d+	x+/d+	Mr-	Mr+	C-	C+	Stato-	Stato+
cm	cm	cm		cm	cm		kg*m	kg*m				
ILN	--	--	--	15.5	58.8	0.263	14811	14154	51	51	--	Parz.
5.6	--	--	--	15.5	58.8	0.263	14811	14154	51	51	--	Parz.
CAMP	--	--	--	15.5	58.8	0.263	14811	14154	51	51	--	Parz.
50.0	21.4	61.9	0.346	--	--	--	14811	14154	51	51	Parz.	--
FLN	21.4	61.9	0.346	--	--	--	14811	14154	51	51	Parz.	--

Verifica a taglio: $\cot(\theta) = 1.981$ Comb: 51

Sez	Td	VRdhs	VRcd	VRsd	VRd	Tpl	Mr	Dx	Staffe	CS	ζ_E
	kg	kg	kg	kg	kg	kg	kg*m	cm	cmq/m		
Sin	776	--	39347	39347	39347	0	14154	55.6	10.85	51	--
Des							14811				

Trave: 112 [0,236], Pilastrate [--,36] Sez. R: By=30.0 cm Bz=60.0 cm L=55.6 cm Ln=55.6 cm Criterio :
CLS_TraviAlte_ND - Verifica a flessione: **Verificato**

X	M-	M+	$\Delta M-$	$\Delta M+$	Afs	Afi	Mr-	Mr+	C-	C+	CS	ζ_E
cm	kg*m	kg*m	kg*m	kg*m	cmq	cmq	kg*m	kg*m				
ILN	1515	1288	--	--	6.16	6.16	12346	12346	(16+17)-I-1	(16+17)-I-3	8.1	8.7
5.6	1639	1311	--	--	6.16	6.16	12346	12346	(16+17)-I-1	(16+17)-I-3	7.5	8.3
CAMP	2547	1431	--	--	6.16	6.16	12346	12346	(16+17)-I-1	(16+17)-I-3	4.8	5.9
50.0	2682	1442	--	--	6.16	6.16	12346	12346	(16+17)-I-1	(16+17)-I-3	4.6	5.7
FLN	2819	1453	--	--	6.16	6.16	12346	12346	(16+17)-I-1	(16+17)-I-3	4.4	5.5

X	x-	d-	x-/d-	x+	d+	x+/d+	Mr-	Mr+	C-	C+	Stato-	Stato+
cm	cm	cm		cm	cm		kg*m	kg*m				
ILN	14.1	55.9	0.251	14.0	55.9	0.251	12346	12346	(16+17)-I-1	(16+17)-I-3	Parz.	Parz.
5.6	14.1	55.9	0.251	14.0	55.9	0.251	12346	12346	(16+17)-I-1	(16+17)-I-3	Parz.	Parz.
CAMP	14.1	55.9	0.252	14.0	55.9	0.251	12346	12346	(16+17)-I-1	(16+17)-I-3	Parz.	Parz.
50.0	14.1	55.9	0.252	14.0	55.9	0.251	12346	12346	(16+17)-I-1	(16+17)-I-3	Parz.	Parz.
FLN	14.1	55.9	0.252	14.0	55.9	0.251	12346	12346	(16+17)-I-1	(16+17)-I-3	Parz.	Parz.

Verifica a taglio: $\cot(\theta) = 2.093$ Comb: (16+17)-I-1

Sez	Td	VRdhs	VRcd	VRsd	VRd	Tpl	Mr	Dx	Staffe	CS	ζ_E
	kg	kg	kg	kg	kg	kg	kg*m	cm	cmq/m		
Sin	2480	--	41421	41421	41421	0	12346	55.6	10.05	17	30
Des							12346				

Verifica incendio: $T_{eqvClS}(^{\circ}) = 286$ $T_{eqvAcc}(^{\circ}) = 432$ Curva: ISO834, $\gamma_{ClS} = 1.20$ (Aggregato Calcareo)
 $\gamma_{Acc} = 1.00$ (Laminato a caldo), verifica per R120(min)

X	M-	M+	$\Delta M-$	$\Delta M+$	Afs	Afi	Mr-	Mr+	C-	C+	CS	ζ_E
cm	kg*m	kg*m	kg*m	kg*m	cmq	cmq	kg*m	kg*m				
ILN	114	--	--	--	6.16	6.16	14811	14154	51	51	>100	--
5.6	164	--	--	--	6.16	6.16	14811	14154	51	51	90	--
CAMP	558	--	--	--	6.16	6.16	14811	14154	51	51	27	--
50.0	620	--	--	--	6.16	6.16	14811	14154	51	51	24	--
FLN	683	--	--	--	6.16	6.16	14811	14154	51	51	22	--

X	x-	d-	x-/d-	x+	d+	x+/d+	Mr-	Mr+	C-	C+	Stato-	Stato+
cm	cm	cm		cm	cm		kg*m	kg*m				
ILN	21.4	61.9	0.346	--	--	--	14811	14154	51	51	Parz.	--
5.6	21.4	61.9	0.346	--	--	--	14811	14154	51	51	Parz.	--
CAMP	21.4	61.9	0.346	--	--	--	14811	14154	51	51	Parz.	--
50.0	21.4	61.9	0.346	--	--	--	14811	14154	51	51	Parz.	--

X	x-	d-	x-/d-	x+	d+	x+/d+	Mr-	Mr+	C-	C+	Stato-	Stato+
FLN	21.4	61.9	0.346	--	--	--	14811	14154	51	51	Parz.	--

Verifica a taglio: $\cot(\theta) = 2.076$ Comb: 51

Sez	Td	VRdhs	VRcd	VRsd	VRd	Tpl	Mr	Dx	Staffe	CS	ζ_E
	kg	kg	kg	kg	kg	kg	kg*m	cm	cmq/m		
Sin	1151	--	38232	38232	38232	0	14154	55.6	10.05	33	--
Des							14811				

Trave: 112 [0,236], Pilastrate [--,36] Sez. R: By=30.0 cm Bz=60.0 cm L=65.8 cm Ln=65.8 cm Criterio : CLS_TraviAlte_ND - Verifica a flessione: **Verificato**

X	M-	M+	$\Delta M-$	$\Delta M+$	Afs	Afi	Mr-	Mr+	C-	C+	CS	ζ_E
cm	kg*m	kg*m	kg*m	kg*m	cmq	cmq	kg*m	kg*m				
ILN	1130	1251	--	--	6.16	6.16	12346	12346	(16+17)-I-3	(16+17)-I-1	9.9	10
6.6	1248	1299	--	--	6.16	6.16	12346	12346	(16+17)-I-3	(16+17)-I-1	9.5	9.7
CAMP	2140	1569	--	--	6.16	6.16	12346	12346	(16+17)-I-3	(16+17)-I-1	5.8	6.5
59.2	2277	1599	--	--	6.16	6.16	12346	12346	(16+17)-I-3	(16+17)-I-1	5.4	6.2
FLN	2416	1625	--	--	6.16	6.16	12346	12346	(16+17)-I-3	(16+17)-I-1	5.1	5.9

X	x-	d-	x-/d-	x+	d+	x+/d+	Mr-	Mr+	C-	C+	Stato-	Stato+
cm	cm	cm		cm	cm		kg*m	kg*m				
ILN	14.0	55.9	0.251	14.0	55.9	0.251	12346	12346	(16+17)-I-3	(16+17)-I-1	Parz.	Parz.
6.6	14.0	55.9	0.251	14.0	55.9	0.251	12346	12346	(16+17)-I-3	(16+17)-I-1	Parz.	Parz.
CAMP	14.1	55.9	0.252	14.1	55.9	0.251	12346	12346	(16+17)-I-3	(16+17)-I-1	Parz.	Parz.
59.2	14.1	55.9	0.252	14.1	55.9	0.251	12346	12346	(16+17)-I-3	(16+17)-I-1	Parz.	Parz.
FLN	14.1	55.9	0.252	14.1	55.9	0.251	12346	12346	(16+17)-I-3	(16+17)-I-1	Parz.	Parz.

Verifica a taglio: $\cot(\theta) = 2.093$ Comb: (16+17)-I-3

Sez	Td	VRdhs	VRcd	VRsd	VRd	Tpl	Mr	Dx	Staffe	CS	ζ_E
	kg	kg	kg	kg	kg	kg	kg*m	cm	cmq/m		
Sin	2135	--	41421	41421	41421	0	12346	65.8	10.05	19	32
Des							12346				

Verifica incendio: $T_{eqvClis}(^{\circ}) = 286$ $T_{eqvAcc}(^{\circ}) = 432$ Curva: ISO834, $\gamma_{Clis} = 1.20$ (Aggregato Calcareo) $\gamma_{Acc} = 1.00$ (Laminato a caldo), verifica per R120(min)

X	M-	M+	$\Delta M-$	$\Delta M+$	Afs	Afi	Mr-	Mr+	C-	C+	CS	ζ_E
cm	kg*m	kg*m	kg*m	kg*m	cmq	cmq	kg*m	kg*m				
ILN	--	61	--	--	6.16	6.16	14811	14154	51	51	>100	--
6.6	--	26	--	--	6.16	6.16	14811	14154	51	51	>100	--
CAMP	285	--	--	--	6.16	6.16	14811	14154	51	51	52	--
59.2	339	--	--	--	6.16	6.16	14811	14154	51	51	44	--
FLN	395	--	--	--	6.16	6.16	14811	14154	51	51	37	--

X	x-	d-	x-/d-	x+	d+	x+/d+	Mr-	Mr+	C-	C+	Stato-	Stato+
cm	cm	cm		cm	cm		kg*m	kg*m				
ILN	--	--	--	15.5	58.8	0.263	14811	14154	51	51	--	Parz.
6.6	--	--	--	15.5	58.8	0.263	14811	14154	51	51	--	Parz.
CAMP	21.4	61.9	0.346	--	--	--	14811	14154	51	51	Parz.	--
59.2	21.4	61.9	0.346	--	--	--	14811	14154	51	51	Parz.	--
FLN	21.4	61.9	0.346	--	--	--	14811	14154	51	51	Parz.	--

Verifica a taglio: $\cot(\theta) = 2.076$ Comb: 51

Sez	Td	VRdhs	VRcd	VRsd	VRd	Tpl	Mr	Dx	Staffe	CS	ζ_E
	kg	kg	kg	kg	kg	kg	kg*m	cm	cmq/m		
Sin	873	--	38232	38232	38232	0	14154	65.8	10.05	44	--

Sez	Td	VRdns	VRcd	VRsd	VRd	Tpl	Mr	Dx	Staffe	CS	ζ _E
Des							14811				

Trave: 112 [0,0], Pilastrate [--,--] Sez. R: By=30.0 cm Bz=60.0 cm L=65.8 cm Ln=65.8 cm Criterio : CLS_TraviAlte_ND - Verifica a flessione: **Verificato**

X	M-	M+	ΔM-	ΔM+	Afs	Afi	Mr-	Mr+	C-	C+	CS	ζ _E
cm	kg*m	kg*m	kg*m	kg*m	cmq	cmq	kg*m	kg*m				
ILN	227	586	--	--	6.16	6.16	12346	12346	(16+17)-I-3	(16+17)-I-1	21	30
6.6	314	664	--	--	6.16	6.16	12346	12346	(16+17)-I-3	(16+17)-I-1	19	25
CAMP	984	1150	--	--	6.16	6.16	12346	12346	(16+17)-I-3	(16+17)-I-1	11	11
59.2	1089	1210	--	--	6.16	6.16	12346	12346	(16+17)-I-3	(16+17)-I-1	10	11
FLN	1197	1268	--	--	6.16	6.16	12346	12346	(16+17)-I-3	(16+17)-I-1	9.7	10.0

X	x-	d-	x-/d-	x+	d+	x+/d+	Mr-	Mr+	C-	C+	Stato-	Stato+
cm	cm	cm		cm	cm		kg*m	kg*m				
ILN	14.0	55.9	0.250	14.0	55.9	0.251	12346	12346	(16+17)-I-3	(16+17)-I-1	Parz.	Parz.
6.6	14.0	55.9	0.250	14.0	55.9	0.251	12346	12346	(16+17)-I-3	(16+17)-I-1	Parz.	Parz.
CAMP	14.0	55.9	0.251	14.0	55.9	0.251	12346	12346	(16+17)-I-3	(16+17)-I-1	Parz.	Parz.
59.2	14.0	55.9	0.251	14.0	55.9	0.251	12346	12346	(16+17)-I-3	(16+17)-I-1	Parz.	Parz.
FLN	14.0	55.9	0.251	14.0	55.9	0.251	12346	12346	(16+17)-I-3	(16+17)-I-1	Parz.	Parz.

Verifica a taglio: $\cot(\theta) = 2.014$ Comb: (16+17)-I-3

Sez	Td	VRdns	VRcd	VRsd	VRd	Tpl	Mr	Dx	Staffe	CS	ζ _E
	kg	kg	kg	kg	kg	kg	kg*m	cm	cmq/m		
Sin	1650	--	42419	42419	42419	0	12346	65.8	10.70	26	33
Des							12346				

Verifica incendio: $T_{eqvClis}(^{\circ})=286$ $T_{eqvAcc}(^{\circ})=432$ Curva: ISO834, $\gamma_{Clis}=1.20$ (Aggregato Calcareo) $\gamma_{Acc}=1.00$ (Laminato a caldo), verifica per R120(min)

X	M-	M+	ΔM-	ΔM+	Afs	Afi	Mr-	Mr+	C-	C+	CS	ζ _E
cm	kg*m	kg*m	kg*m	kg*m	cmq	cmq	kg*m	kg*m				
ILN	--	180	--	--	6.16	6.16	14811	14154	51	51	79	--
6.6	--	175	--	--	6.16	6.16	14811	14154	51	51	81	--
CAMP	--	169	--	--	6.16	6.16	14811	14154	51	51	84	--
59.2	--	60	--	--	6.16	6.16	14811	14154	51	51	>100	--
FLN	--	36	--	--	6.16	6.16	14811	14154	51	51	>100	--

X	x-	d-	x-/d-	x+	d+	x+/d+	Mr-	Mr+	C-	C+	Stato-	Stato+
cm	cm	cm		cm	cm		kg*m	kg*m				
ILN	--	--	--	15.5	58.8	0.263	14811	14154	51	51	--	Parz.
6.6	--	--	--	15.5	58.8	0.263	14811	14154	51	51	--	Parz.
CAMP	--	--	--	15.5	58.8	0.263	14811	14154	51	51	--	Parz.
59.2	--	--	--	15.5	58.8	0.263	14811	14154	51	51	--	Parz.
FLN	--	--	--	15.5	58.8	0.263	14811	14154	51	51	--	Parz.

Verifica a taglio: $\cot(\theta) = 1.998$ Comb: 51

Sez	Td	VRdns	VRcd	VRsd	VRd	Tpl	Mr	Dx	Staffe	CS	ζ _E
	kg	kg	kg	kg	kg	kg	kg*m	cm	cmq/m		
Sin	392	--	39148	39148	39148	0	14154	65.8	10.70	100	--
Des							14811				

Trave: 112 [0,0], Pilastrate [--,--] Sez. R: By=30.0 cm Bz=60.0 cm L=65.8 cm Ln=65.8 cm Criterio : CLS_TraviAlte_ND - Verifica a flessione: **Verificato**

X	M-	M+	ΔM-	ΔM+	Afs	Afi	Mr-	Mr+	C-	C+	CS	ζ _E
cm	kg*m	kg*m	kg*m	kg*m	cmq	cmq	kg*m	kg*m				

X	M-	M+	ΔM-	ΔM+	Afs	Afi	Mr-	Mr+	C-	C+	CS	ζ _E
ILN	359	391	--	--	6.16	6.16	12346	12346	(16+17)-I-1	(16+17)-I-3	32	33
6.6	253	335	--	--	6.16	6.16	12346	12346	(16+17)-I-1	(16+17)-I-3	37	42
CAMP	--	440	--	--	6.16	6.16	12346	12346	50	(16+17)-I-1	28	42
59.2	208	529	--	--	6.16	6.16	12346	12346	(16+17)-I-3	(16+17)-I-1	23	33
FLN	284	615	--	--	6.16	6.16	12346	12346	(16+17)-I-3	(16+17)-I-1	20	27

X	x-	d-	x-/d-	x+	d+	x+/d+	Mr-	Mr+	C-	C+	Stato-	Stato+
cm	cm	cm		cm	cm		kg*m	kg*m				
ILN	14.0	55.9	0.250	14.0	55.9	0.251	12346	12346	(16+17)-I-1	(16+17)-I-3	Parz.	Parz.
6.6	14.0	55.9	0.250	14.0	55.9	0.250	12346	12346	(16+17)-I-1	(16+17)-I-3	Parz.	Parz.
CAMP	--	--	--	14.0	55.9	0.251	12346	12346	50	(16+17)-I-1	--	Parz.
59.2	14.0	55.9	0.250	14.0	55.9	0.251	12346	12346	(16+17)-I-3	(16+17)-I-1	Parz.	Parz.
FLN	14.0	55.9	0.250	14.0	55.9	0.251	12346	12346	(16+17)-I-3	(16+17)-I-1	Parz.	Parz.

Verifica a taglio: $\cot(\theta) = 2.014$ Comb: (16+17)-I-1

Sez	Td	VRdns	VRcd	VRsd	VRd	Tpl	Mr	Dx	Staffe	CS	ζ _E
	kg	kg	kg	kg	kg	kg	kg*m	cm	cmq/m		
Sin	1638	--	42419	42419	42419	0	12346	65.8	10.70	26	34
Des							12346				

Verifica incendio: $T_{eqvClS}(^{\circ})=286$ $T_{eqvAcc}(^{\circ})=432$ Curva:ISO834, $\gamma_{ClS}=1.20$ (Aggregato Calcareo)
 $\gamma_{Acc}=1.00$ (Laminato a caldo),verifica per R120(min)

X	M-	M+	ΔM-	ΔM+	Afs	Afi	Mr-	Mr+	C-	C+	CS	ζ _E
cm	kg*m	kg*m	kg*m	kg*m	cmq	cmq	kg*m	kg*m				
ILN	--	16	--	--	6.16	6.16	14811	14154	51	51	>100	--
6.6	--	41	--	--	6.16	6.16	14811	14154	51	51	>100	--
CAMP	--	153	--	--	6.16	6.16	14811	14154	51	51	92	--
59.2	--	160	--	--	6.16	6.16	14811	14154	51	51	88	--
FLN	--	165	--	--	6.16	6.16	14811	14154	51	51	86	--

X	x-	d-	x-/d-	x+	d+	x+/d+	Mr-	Mr+	C-	C+	Stato-	Stato+
cm	cm	cm		cm	cm		kg*m	kg*m				
ILN	--	--	--	15.5	58.8	0.263	14811	14154	51	51	--	Parz.
6.6	--	--	--	15.5	58.8	0.263	14811	14154	51	51	--	Parz.
CAMP	--	--	--	15.5	58.8	0.263	14811	14154	51	51	--	Parz.
59.2	--	--	--	15.5	58.8	0.263	14811	14154	51	51	--	Parz.
FLN	--	--	--	15.5	58.8	0.263	14811	14154	51	51	--	Parz.

Verifica a taglio: $\cot(\theta) = 1.998$ Comb: 51

Sez	Td	VRdns	VRcd	VRsd	VRd	Tpl	Mr	Dx	Staffe	CS	ζ _E
	kg	kg	kg	kg	kg	kg	kg*m	cm	cmq/m		
Sin	393	--	39148	39148	39148	0	14154	65.8	10.70	100	--
Des							14811				

Trave: 112 [0,0], Pilastrate [--,--] Sez. R: By=30.0 cm Bz=60.0 cm L=65.8 cm Ln=65.8 cm Criterio :
 CLS_TraviAlte_ND - Verifica a flessione: **Verificato**

X	M-	M+	ΔM-	ΔM+	Afs	Afi	Mr-	Mr+	C-	C+	CS	ζ _E
cm	kg*m	kg*m	kg*m	kg*m	cmq	cmq	kg*m	kg*m				
ILN	1577	729	--	--	6.16	6.16	12346	12346	(16+17)-I-1	(16+17)-I-3	7.8	10
6.6	1443	700	--	--	6.16	6.16	12346	12346	(16+17)-I-1	(16+17)-I-3	8.6	11
CAMP	1311	669	--	--	6.16	6.16	12346	12346	(16+17)-I-1	(16+17)-I-3	9.4	12
59.2	447	392	--	--	6.16	6.16	12346	12346	(16+17)-I-1	(16+17)-I-3	28	29
FLN	332	345	--	--	6.16	6.16	12346	12346	(16+17)-I-1	(16+17)-I-3	36	36

X	x-	d-	x-/d-	x+	d+	x+/d+	Mr-	Mr+	C-	C+	Stato-	Stato+
cm	cm	cm		cm	cm		kg*m	kg*m				
ILN	14.1	55.9	0.251	14.0	55.9	0.251	12346	12346	(16+17)-I-1	(16+17)-I-3	Parz.	Parz.
6.6	14.0	55.9	0.251	14.0	55.9	0.251	12346	12346	(16+17)-I-1	(16+17)-I-3	Parz.	Parz.
CAMP	14.0	55.9	0.251	14.0	55.9	0.251	12346	12346	(16+17)-I-1	(16+17)-I-3	Parz.	Parz.
59.2	14.0	55.9	0.251	14.0	55.9	0.251	12346	12346	(16+17)-I-1	(16+17)-I-3	Parz.	Parz.
FLN	14.0	55.9	0.250	14.0	55.9	0.250	12346	12346	(16+17)-I-1	(16+17)-I-3	Parz.	Parz.

Verifica a taglio: $\cot(\theta) = 2.014$ Comb: (16+17)-I-1

Sez	Td	VRdns	VRcd	VRsd	VRd	Tpl	Mr	Dx	Staffe	CS	ζ_E
	kg	kg	kg	kg	kg	kg	kg*m	cm	cmq/m		
Sin	2056	--	42419	42419	42419	0	12346	65.8	10.70	21	33
Des							12346				

Verifica incendio: $T_{eqvClS}(^{\circ}) = 286$ $T_{eqvAcc}(^{\circ}) = 432$ Curva: ISO834, $\gamma_{ClS} = 1.20$ (Aggregato Calcareo)
 $\gamma_{Acc} = 1.00$ (Laminato a caldo), verifica per R120(min)

X	M-	M+	$\Delta M-$	$\Delta M+$	Afs	Afi	Mr-	Mr+	C-	C+	CS	ζ_E
cm	kg*m	kg*m	kg*m	kg*m	cmq	cmq	kg*m	kg*m				
ILN	424	--	--	--	6.16	6.16	14811	14154	51	51	35	--
6.6	371	--	--	--	6.16	6.16	14811	14154	51	51	40	--
CAMP	321	--	--	--	6.16	6.16	14811	14154	51	51	46	--
59.2	27	--	--	--	6.16	6.16	14811	14154	51	51	>100	--
FLN	--	6	--	--	6.16	6.16	14811	14154	51	51	>100	--

X	x-	d-	x-/d-	x+	d+	x+/d+	Mr-	Mr+	C-	C+	Stato-	Stato+
cm	cm	cm		cm	cm		kg*m	kg*m				
ILN	21.4	61.9	0.346	--	--	--	14811	14154	51	51	Parz.	--
6.6	21.4	61.9	0.346	--	--	--	14811	14154	51	51	Parz.	--
CAMP	21.4	61.9	0.346	--	--	--	14811	14154	51	51	Parz.	--
59.2	21.4	61.9	0.346	--	--	--	14811	14154	51	51	Parz.	--
FLN	--	--	--	15.5	58.8	0.263	14811	14154	51	51	--	Parz.

Verifica a taglio: $\cot(\theta) = 1.998$ Comb: 51

Sez	Td	VRdns	VRcd	VRsd	VRd	Tpl	Mr	Dx	Staffe	CS	ζ_E
	kg	kg	kg	kg	kg	kg	kg*m	cm	cmq/m		
Sin	813	--	39148	39148	39148	0	14154	65.8	10.70	48	--
Des							14811				

Trave: 112 [238,0], Pilastrate [38,--] Sez. R: $B_y = 30.0$ cm $B_z = 60.0$ cm $L = 65.8$ cm $L_n = 65.8$ cm Criterio :
 CLS_TraviAlte_ND - Verifica a flessione: **Verificato**

X	M-	M+	$\Delta M-$	$\Delta M+$	Afs	Afi	Mr-	Mr+	C-	C+	CS	ζ_E
cm	kg*m	kg*m	kg*m	kg*m	cmq	cmq	kg*m	kg*m				
ILN	3108	819	--	--	6.16	6.16	12346	12346	(16+17)-I-1	(16+17)-I-3	4.0	5.7
6.6	2943	815	--	--	6.16	6.16	12346	12346	(16+17)-I-1	(16+17)-I-3	4.2	6.0
CAMP	2781	809	--	--	6.16	6.16	12346	12346	(16+17)-I-1	(16+17)-I-3	4.4	6.3
59.2	1701	713	--	--	6.16	6.16	12346	12346	(16+17)-I-1	(16+17)-I-3	7.3	9.8
FLN	1555	691	--	--	6.16	6.16	12346	12346	(16+17)-I-1	(16+17)-I-3	7.9	11

X	x-	d-	x-/d-	x+	d+	x+/d+	Mr-	Mr+	C-	C+	Stato-	Stato+
cm	cm	cm		cm	cm		kg*m	kg*m				
ILN	14.1	55.9	0.253	14.0	55.9	0.251	12346	12346	(16+17)-I-1	(16+17)-I-3	Parz.	Parz.
6.6	14.1	55.9	0.252	14.0	55.9	0.251	12346	12346	(16+17)-I-1	(16+17)-I-3	Parz.	Parz.
CAMP	14.1	55.9	0.252	14.0	55.9	0.251	12346	12346	(16+17)-I-1	(16+17)-I-3	Parz.	Parz.
59.2	14.1	55.9	0.251	14.0	55.9	0.251	12346	12346	(16+17)-I-1	(16+17)-I-3	Parz.	Parz.
FLN	14.1	55.9	0.251	14.0	55.9	0.251	12346	12346	(16+17)-I-1	(16+17)-I-3	Parz.	Parz.

Verifica a taglio: $\cot(\theta) = 2.093$ Comb: (16+17)-I-1

Sez	Td	VRdns	VRcd	VRsd	VRd	Tpl	Mr	Dx	Staffe	CS	ζ_E
	kg	kg	kg	kg	kg	kg	kg*m	cm	cmq/m		
Sin	2515	--	41421	41421	41421	0	12346	65.8	10.05	16	31
Des							12346				

Verifica incendio: $T_{eqvClS}(^{\circ})=286$ $T_{eqvAcc}(^{\circ})=432$ Curva:ISO834, $\gamma_{ClS}=1.20$ (Aggregato Calcareo)
 $\gamma_{Acc}=1.00$ (Laminato a caldo),verifica per R120(min)

X	M-	M+	$\Delta M-$	$\Delta M+$	Afs	Afi	Mr-	Mr+	C-	C+	CS	ζ_E
cm	kg*m	kg*m	kg*m	kg*m	cmq	cmq	kg*m	kg*m				
ILN	1145	--	--	--	6.16	6.16	14811	14154	51	51	13	--
6.6	1064	--	--	--	6.16	6.16	14811	14154	51	51	14	--
CAMP	986	--	--	--	6.16	6.16	14811	14154	51	51	15	--
59.2	494	--	--	--	6.16	6.16	14811	14154	51	51	30	--
FLN	432	--	--	--	6.16	6.16	14811	14154	51	51	34	--

X	x-	d-	x-/d-	x+	d+	x+/d+	Mr-	Mr+	C-	C+	Stato-	Stato+
cm	cm	cm		cm	cm		kg*m	kg*m				
ILN	21.4	61.9	0.346	--	--	--	14811	14154	51	51	Parz.	--
6.6	21.4	61.9	0.346	--	--	--	14811	14154	51	51	Parz.	--
CAMP	21.4	61.9	0.346	--	--	--	14811	14154	51	51	Parz.	--
59.2	21.4	61.9	0.346	--	--	--	14811	14154	51	51	Parz.	--
FLN	21.4	61.9	0.346	--	--	--	14811	14154	51	51	Parz.	--

Verifica a taglio: $\cot(\theta) = 2.076$ Comb: 51

Sez	Td	VRdns	VRcd	VRsd	VRd	Tpl	Mr	Dx	Staffe	CS	ζ_E
	kg	kg	kg	kg	kg	kg	kg*m	cm	cmq/m		
Sin	1236	--	38232	38232	38232	0	14154	65.8	10.05	31	--
Des							14811				

Trave: 112 [238,0], Pilastrate [38,--] Sez. R: $B_y=30.0$ cm $B_z=60.0$ cm $L=88.0$ cm $L_n=88.0$ cm Criterio :
 CLS_TraviAlte_ND - Verifica a flessione: **Verificato**

X	M-	M+	$\Delta M-$	$\Delta M+$	Afs	Afi	Mr-	Mr+	C-	C+	CS	ζ_E
cm	kg*m	kg*m	kg*m	kg*m	cmq	cmq	kg*m	kg*m				
ILN	2917	1698	--	--	6.16	6.16	12346	12346	(16+17)-I-3	(16+17)-I-1	4.2	5.1
8.8	2701	1692	--	--	6.16	6.16	12346	12346	(16+17)-I-3	(16+17)-I-1	4.6	5.4
CAMP	2487	1682	--	--	6.16	6.16	12346	12346	(16+17)-I-3	(16+17)-I-1	5.0	5.7
79.2	1111	1500	--	--	6.16	6.16	12346	12346	(16+17)-I-3	(16+17)-I-1	8.2	9.3
FLN	932	1456	--	--	6.16	6.16	12346	12346	(16+17)-I-3	(16+17)-I-1	8.5	10

X	x-	d-	x-/d-	x+	d+	x+/d+	Mr-	Mr+	C-	C+	Stato-	Stato+
cm	cm	cm		cm	cm		kg*m	kg*m				
ILN	14.1	55.9	0.252	14.1	55.9	0.251	12346	12346	(16+17)-I-3	(16+17)-I-1	Parz.	Parz.
8.8	14.1	55.9	0.252	14.1	55.9	0.251	12346	12346	(16+17)-I-3	(16+17)-I-1	Parz.	Parz.
CAMP	14.1	55.9	0.252	14.1	55.9	0.251	12346	12346	(16+17)-I-3	(16+17)-I-1	Parz.	Parz.
79.2	14.0	55.9	0.251	14.0	55.9	0.251	12346	12346	(16+17)-I-3	(16+17)-I-1	Parz.	Parz.
FLN	14.0	55.9	0.251	14.0	55.9	0.251	12346	12346	(16+17)-I-3	(16+17)-I-1	Parz.	Parz.

Verifica a taglio: $\cot(\theta) = 2.093$ Comb: (16+17)-I-3

Sez	Td	VRdns	VRcd	VRsd	VRd	Tpl	Mr	Dx	Staffe	CS	ζ_E
	kg	kg	kg	kg	kg	kg	kg*m	cm	cmq/m		
Sin	2481	--	41421	41421	41421	0	12346	88.0	10.05	17	32
Des							12346				

Verifica incendio: $T_{eqvClS}(^{\circ})=286$ $T_{eqvAcc}(^{\circ})=432$ Curva:ISO834, $\gamma_{ClS}=1.20$ (Aggregato Calcareo)

$\gamma_{Acc}=1.00$ (Laminato a caldo),verifica per R120(min)

X	M-	M+	$\Delta M-$	$\Delta M+$	Afs	Afi	Mr-	Mr+	C-	C+	CS	ζ_E
cm	kg*m	kg*m	kg*m	kg*m	cmq	cmq	kg*m	kg*m				
ILN	610	--	--	--	6.16	6.16	14811	14154	51	51	24	--
8.8	504	--	--	--	6.16	6.16	14811	14154	51	51	29	--
CAMP	403	--	--	--	6.16	6.16	14811	14154	51	51	37	--
79.2	--	194	--	--	6.16	6.16	14811	14154	51	51	73	--
FLN	--	262	--	--	6.16	6.16	14811	14154	51	51	54	--

X	x-	d-	x-/d-	x+	d+	x+/d+	Mr-	Mr+	C-	C+	Stato-	Stato+
cm	cm	cm		cm	cm		kg*m	kg*m				
ILN	21.4	61.9	0.346	--	--	--	14811	14154	51	51	Parz.	--
8.8	21.4	61.9	0.346	--	--	--	14811	14154	51	51	Parz.	--
CAMP	21.4	61.9	0.346	--	--	--	14811	14154	51	51	Parz.	--
79.2	--	--	--	15.5	58.8	0.263	14811	14154	51	51	--	Parz.
FLN	--	--	--	15.5	58.8	0.263	14811	14154	51	51	--	Parz.

Verifica a taglio: $\cot(\theta) = 2.076$ Comb: 51

Sez	Td	VRdns	VRcd	VRsd	VRd	Tpl	Mr	Dx	Staffe	CS	ζ_E
	kg	kg	kg	kg	kg	kg	kg*m	cm	cmq/m		
Sin	1215	--	38232	38232	38232	0	14154	88.0	10.05	31	--
Des							14811				

Trave: 112 [0,0], Pilastrate [--,--] Sez. R: By=30.0 cm Bz=60.0 cm L=88.0 cm Ln=88.0 cm Criterio : CLS_TraviAlte_ND - Verifica a flessione: **Verificato**

X	M-	M+	$\Delta M-$	$\Delta M+$	Afs	Afi	Mr-	Mr+	C-	C+	CS	ζ_E
cm	kg*m	kg*m	kg*m	kg*m	cmq	cmq	kg*m	kg*m				
ILN	980	1504	--	--	6.16	6.16	12346	12346	(16+17)-I-3	(16+17)-I-1	8.2	9.7
8.8	813	1442	--	--	6.16	6.16	12346	12346	(16+17)-I-3	(16+17)-I-1	8.6	11
CAMP	651	1376	--	--	6.16	6.16	12346	12346	(16+17)-I-3	(16+17)-I-1	9.0	12
79.2	--	1121	--	--	6.16	6.16	12346	12346	50	2	11	--
FLN	--	1159	--	--	6.16	6.16	12346	12346	50	2	11	--

X	x-	d-	x-/d-	x+	d+	x+/d+	Mr-	Mr+	C-	C+	Stato-	Stato+
cm	cm	cm		cm	cm		kg*m	kg*m				
ILN	14.0	55.9	0.251	14.0	55.9	0.251	12346	12346	(16+17)-I-3	(16+17)-I-1	Parz.	Parz.
8.8	14.0	55.9	0.251	14.0	55.9	0.251	12346	12346	(16+17)-I-3	(16+17)-I-1	Parz.	Parz.
CAMP	14.0	55.9	0.251	14.0	55.9	0.251	12346	12346	(16+17)-I-3	(16+17)-I-1	Parz.	Parz.
79.2	--	--	--	14.0	55.9	0.251	12346	12346	50	2	--	Parz.
FLN	--	--	--	14.0	55.9	0.251	12346	12346	50	2	--	Parz.

Verifica a taglio: $\cot(\theta) = 2.064$ Comb: (16+17)-I-3

Sez	Td	VRdns	VRcd	VRsd	VRd	Tpl	Mr	Dx	Staffe	CS	ζ_E
	kg	kg	kg	kg	kg	kg	kg*m	cm	cmq/m		
Sin	1922	--	41778	41778	41778	0	12346	88.0	10.28	22	32
Des							12346				

Verifica incendio: $T_{eqvClS}(^{\circ})=286$ $T_{eqvAcc}(^{\circ})=432$ Curva:ISO834, $\gamma_{ClS}=1.20$ (Aggregato Calcareo)

$\gamma_{Acc}=1.00$ (Laminato a caldo),verifica per R120(min)

X	M-	M+	$\Delta M-$	$\Delta M+$	Afs	Afi	Mr-	Mr+	C-	C+	CS	ζ_E
cm	kg*m	kg*m	kg*m	kg*m	cmq	cmq	kg*m	kg*m				
ILN	--	262	--	--	6.16	6.16	14811	14154	51	51	54	--
8.8	--	314	--	--	6.16	6.16	14811	14154	51	51	45	--
CAMP	--	563	--	--	6.16	6.16	14811	14154	51	51	25	--
79.2	--	581	--	--	6.16	6.16	14811	14154	51	51	24	--
FLN	--	596	--	--	6.16	6.16	14811	14154	51	51	24	--

X	x-	d-	x-/d-	x+	d+	x+/d+	Mr-	Mr+	C-	C+	Stato-	Stato +
cm	cm	cm		cm	cm		kg*m	kg*m				
ILN	--	--	--	15.5	58.8	0.263	14811	14154	51	51	--	Parz.
8.8	--	--	--	15.5	58.8	0.263	14811	14154	51	51	--	Parz.
CAMP	--	--	--	15.5	58.8	0.263	14811	14154	51	51	--	Parz.
79.2	--	--	--	15.5	58.8	0.263	14811	14154	51	51	--	Parz.
FLN	--	--	--	15.5	58.8	0.263	14811	14154	51	51	--	Parz.

Verifica a taglio: $\cot(\theta) = 2.048$ Comb: 51

Sez	Td	VRdns	VRcd	VRsd	VRd	Tpl	Mr	Dx	Staffe	CS	ζ_E
	kg	kg	kg	kg	kg	kg	kg*m	cm	cmq/m		
Sin	622	--	38560	38560	38560	0	14154	88.0	10.28	62	--
Des							14811				

Trave: 112 [0,0], Pilastrate [--,--] Sez. R: By=30.0 cm Bz=60.0 cm L=88.0 cm Ln=88.0 cm Criterio : CLS_TraviAlte_ND - Verifica a flessione: **Verificato**

X	M-	M+	$\Delta M-$	$\Delta M+$	Afs	Afi	Mr-	Mr+	C-	C+	CS	ζ_E
cm	kg*m	kg*m	kg*m	kg*m	cmq	cmq	kg*m	kg*m				
ILN	--	1160	--	--	6.16	6.16	12346	12346	50	2	11	--
8.8	--	1157	--	--	6.16	6.16	12346	12346	50	2	11	--
CAMP	--	1272	--	--	6.16	6.16	12346	12346	50	(16+17)-I-3	9.7	15
79.2	434	1356	--	--	6.16	6.16	12346	12346	(16+17)-I-1	(16+17)-I-3	9.1	13
FLN	585	1436	--	--	6.16	6.16	12346	12346	(16+17)-I-1	(16+17)-I-3	8.6	12

X	x-	d-	x-/d-	x+	d+	x+/d+	Mr-	Mr+	C-	C+	Stato-	Stato +
cm	cm	cm		cm	cm		kg*m	kg*m				
ILN	--	--	--	14.0	55.9	0.251	12346	12346	50	2	--	Parz.
8.8	--	--	--	14.0	55.9	0.251	12346	12346	50	2	--	Parz.
CAMP	--	--	--	14.0	55.9	0.251	12346	12346	50	(16+17)-I-3	--	Parz.
79.2	14.0	55.9	0.251	14.0	55.9	0.251	12346	12346	(16+17)-I-1	(16+17)-I-3	Parz.	Parz.
FLN	14.0	55.9	0.251	14.0	55.9	0.251	12346	12346	(16+17)-I-1	(16+17)-I-3	Parz.	Parz.

Verifica a taglio: $\cot(\theta) = 2.064$ Comb: (16+17)-I-1

Sez	Td	VRdns	VRcd	VRsd	VRd	Tpl	Mr	Dx	Staffe	CS	ζ_E
	kg	kg	kg	kg	kg	kg	kg*m	cm	cmq/m		
Sin	1734	--	41778	41778	41778	0	12346	88.0	10.28	24	32
Des							12346				

Verifica incendio: $T_{eqvClis}(\circ) = 286$ $T_{eqvAcc}(\circ) = 432$ Curva: ISO834, $\gamma_{Clis} = 1.20$ (Aggregato Calcareo)

$\gamma_{Acc} = 1.00$ (Laminato a caldo), verifica per R120(min)

X	M-	M+	$\Delta M-$	$\Delta M+$	Afs	Afi	Mr-	Mr+	C-	C+	CS	ζ_E
cm	kg*m	kg*m	kg*m	kg*m	cmq	cmq	kg*m	kg*m				
ILN	--	596	--	--	6.16	6.16	14811	14154	51	51	24	--
8.8	--	597	--	--	6.16	6.16	14811	14154	51	51	24	--
CAMP	--	594	--	--	6.16	6.16	14811	14154	51	51	24	--
79.2	--	461	--	--	6.16	6.16	14811	14154	51	51	31	--
FLN	--	426	--	--	6.16	6.16	14811	14154	51	51	33	--

X	x-	d-	x-/d-	x+	d+	x+/d+	Mr-	Mr+	C-	C+	Stato-	Stato +
cm	cm	cm		cm	cm		kg*m	kg*m				
ILN	--	--	--	15.5	58.8	0.263	14811	14154	51	51	--	Parz.
8.8	--	--	--	15.5	58.8	0.263	14811	14154	51	51	--	Parz.
CAMP	--	--	--	15.5	58.8	0.263	14811	14154	51	51	--	Parz.

X	x-	d-	x-/d-	x+	d+	x+/d+	Mr-	Mr+	C-	C+	Stato-	Stato+
79.2	--	--	--	15.5	58.8	0.263	14811	14154	51	51	--	Parz.
FLN	--	--	--	15.5	58.8	0.263	14811	14154	51	51	--	Parz.

Verifica a taglio: $\cot(\theta) = 2.048$ Comb: 51

Sez	Td	VRdhs	VRcd	VRsd	VRd	Tpl	Mr	Dx	Staffe	CS	ζ_E
	kg	kg	kg	kg	kg	kg	kg*m	cm	cmq/m		
Sin	422	--	38560	38560	38560	0	14154	88.0	10.28	91	--
Des							14811				

Trave: 112 [0,0], Pilastrate [--,--] Sez. R: By=30.0 cm Bz=60.0 cm L=88.0 cm Ln=88.0 cm Criterio :
CLS_TraviAlte_ND - Verifica a flessione: **Verificato**

X	M-	M+	$\Delta M-$	$\Delta M+$	Afs	Afi	Mr-	Mr+	C-	C+	CS	ζ_E
cm	kg*m	kg*m	kg*m	kg*m	cmq	cmq	kg*m	kg*m				
ILN	538	1390	--	--	6.16	6.16	12346	12346	(16+17)-I-1	(16+17)-I-3	8.9	12
8.8	702	1458	--	--	6.16	6.16	12346	12346	(16+17)-I-1	(16+17)-I-3	8.5	11
CAMP	1957	1823	--	--	6.16	6.16	12346	12346	(16+17)-I-1	(16+17)-I-3	6.3	6.5
79.2	2152	1860	--	--	6.16	6.16	12346	12346	(16+17)-I-1	(16+17)-I-3	5.7	6.1
FLN	2350	1893	--	--	6.16	6.16	12346	12346	(16+17)-I-1	(16+17)-I-3	5.3	5.7

X	x-	d-	x-/d-	x+	d+	x+/d+	Mr-	Mr+	C-	C+	Stato-	Stato+
cm	cm	cm		cm	cm		kg*m	kg*m				
ILN	14.0	55.9	0.251	14.0	55.9	0.251	12346	12346	(16+17)-I-1	(16+17)-I-3	Parz.	Parz.
8.8	14.0	55.9	0.251	14.0	55.9	0.251	12346	12346	(16+17)-I-1	(16+17)-I-3	Parz.	Parz.
CAMP	14.1	55.9	0.252	14.1	55.9	0.252	12346	12346	(16+17)-I-1	(16+17)-I-3	Parz.	Parz.
79.2	14.1	55.9	0.252	14.1	55.9	0.252	12346	12346	(16+17)-I-1	(16+17)-I-3	Parz.	Parz.
FLN	14.1	55.9	0.252	14.1	55.9	0.252	12346	12346	(16+17)-I-1	(16+17)-I-3	Parz.	Parz.

Verifica a taglio: $\cot(\theta) = 2.064$ Comb: (16+17)-I-1

Sez	Td	VRdhs	VRcd	VRsd	VRd	Tpl	Mr	Dx	Staffe	CS	ζ_E
	kg	kg	kg	kg	kg	kg	kg*m	cm	cmq/m		
Sin	2276	--	41778	41778	41778	0	12346	88.0	10.28	18	31
Des							12346				

Verifica incendio: $T_{eqvClis}(^{\circ})=286$ $T_{eqvAcc}(^{\circ})=432$ Curva:ISO834, $\gamma_{Clis}=1.20$ (Aggregato Calcareo)
 $\gamma_{Acc}=1.00$ (Laminato a caldo),verifica per R120(min)

X	M-	M+	$\Delta M-$	$\Delta M+$	Afs	Afi	Mr-	Mr+	C-	C+	CS	ζ_E
cm	kg*m	kg*m	kg*m	kg*m	cmq	cmq	kg*m	kg*m				
ILN	--	426	--	--	6.16	6.16	14811	14154	51	51	33	--
8.8	--	378	--	--	6.16	6.16	14811	14154	51	51	37	--
CAMP	--	326	--	--	6.16	6.16	14811	14154	51	51	43	--
79.2	146	--	--	--	6.16	6.16	14811	14154	51	51	>100	--
FLN	229	--	--	--	6.16	6.16	14811	14154	51	51	65	--

X	x-	d-	x-/d-	x+	d+	x+/d+	Mr-	Mr+	C-	C+	Stato-	Stato+
cm	cm	cm		cm	cm		kg*m	kg*m				
ILN	--	--	--	15.5	58.8	0.263	14811	14154	51	51	--	Parz.
8.8	--	--	--	15.5	58.8	0.263	14811	14154	51	51	--	Parz.
CAMP	--	--	--	15.5	58.8	0.263	14811	14154	51	51	--	Parz.
79.2	21.4	61.9	0.346	--	--	--	14811	14154	51	51	Parz.	--
FLN	21.4	61.9	0.346	--	--	--	14811	14154	51	51	Parz.	--

Verifica a taglio: $\cot(\theta) = 2.048$ Comb: 51

Sez	Td	VRdhs	VRcd	VRsd	VRd	Tpl	Mr	Dx	Staffe	CS	ζ_E
	kg	kg	kg	kg	kg	kg	kg*m	cm	cmq/m		

Sez	Td	VRdns	VRcd	VRsd	VRd	Tpl	Mr	Dx	Staffe	CS	ζ _E
Sin	961	--	38560	38560	38560	0	14154	88.0	10.28	40	--
Des							14811				

Trave: 112 [0,243], Pilastrate [--,43] Sez. R: By=30.0 cm Bz=60.0 cm L=88.0 cm Ln=88.0 cm Criterio : CLS_TraviAlte_ND - Verifica a flessione: **Verificato**

X	M-	M+	ΔM-	ΔM+	Afs	Afi	Mr-	Mr+	C-	C+	CS	ζ _E
cm	kg*m	kg*m	kg*m	kg*m	cmq	cmq	kg*m	kg*m				
ILN	2303	1847	--	--	6.16	7.70	12380	15299	(16+17)-I-1	(16+17)-I-3	5.4	5.9
8.8	2516	1868	--	--	6.16	7.70	12380	15299	(16+17)-I-1	(16+17)-I-3	4.9	5.5
CAMP	4110	1915	--	--	6.16	7.70	12380	15299	(16+17)-I-1	(16+17)-I-3	3.0	3.7
79.2	4352	1899	--	--	6.16	7.70	12380	15299	(16+17)-I-1	(16+17)-I-3	2.8	3.6
FLN	4598	1887	--	--	6.16	7.70	12380	15299	(16+17)-I-1	(16+17)-I-3	2.7	3.4

X	x-	d-	x-/d-	x+	d+	x+/d+	Mr-	Mr+	C-	C+	Stato-	Stato+
cm	cm	cm		cm	cm		kg*m	kg*m				
ILN	13.7	55.9	0.245	15.5	55.9	0.278	12380	15299	(16+17)-I-1	(16+17)-I-3	Parz.	Parz.
8.8	13.7	55.9	0.245	15.5	55.9	0.278	12380	15299	(16+17)-I-1	(16+17)-I-3	Parz.	Parz.
CAMP	13.8	55.9	0.246	15.6	55.9	0.278	12380	15299	(16+17)-I-1	(16+17)-I-3	Parz.	Parz.
79.2	13.8	55.9	0.247	15.5	55.9	0.278	12380	15299	(16+17)-I-1	(16+17)-I-3	Parz.	Parz.
FLN	13.8	55.9	0.247	15.5	55.9	0.278	12380	15299	(16+17)-I-1	(16+17)-I-3	Parz.	Parz.

Verifica a taglio: $\cot(\theta) = 2.093$ Comb: (16+17)-I-1

Sez	Td	VRdns	VRcd	VRsd	VRd	Tpl	Mr	Dx	Staffe	CS	ζ _E
	kg	kg	kg	kg	kg	kg	kg*m	cm	cmq/m		
Sin	2814	--	41421	41421	41421	0	15299	88.0	10.05	15	30
Des							12380				

Verifica incendio: $T_{eqvClis}(^{\circ}) = 286$ $T_{eqvAcc}(^{\circ}) = 432$ Curva: ISO834, $\gamma_{Clis} = 1.20$ (Aggregato Calcareo) $\gamma_{Acc} = 1.00$ (Laminato a caldo), verifica per R120(min)

X	M-	M+	ΔM-	ΔM+	Afs	Afi	Mr-	Mr+	C-	C+	CS	ζ _E
cm	kg*m	kg*m	kg*m	kg*m	cmq	cmq	kg*m	kg*m				
ILN	228	--	--	--	6.16	7.70	14809	17735	51	51	65	--
8.8	324	--	--	--	6.16	7.70	14809	17735	51	51	46	--
CAMP	1101	--	--	--	6.16	7.70	14809	17735	51	51	13	--
79.2	1226	--	--	--	6.16	7.70	14809	17735	51	51	12	--
FLN	1356	--	--	--	6.16	7.70	14809	17735	51	51	11	--

X	x-	d-	x-/d-	x+	d+	x+/d+	Mr-	Mr+	C-	C+	Stato-	Stato+
cm	cm	cm		cm	cm		kg*m	kg*m				
ILN	20.6	61.7	0.335	--	--	--	14809	17735	51	51	Parz.	--
8.8	20.6	61.7	0.335	--	--	--	14809	17735	51	51	Parz.	--
CAMP	20.6	61.7	0.335	--	--	--	14809	17735	51	51	Parz.	--
79.2	20.6	61.7	0.335	--	--	--	14809	17735	51	51	Parz.	--
FLN	20.6	61.7	0.335	--	--	--	14809	17735	51	51	Parz.	--

Verifica a taglio: $\cot(\theta) = 2.078$ Comb: 51

Sez	Td	VRdns	VRcd	VRsd	VRd	Tpl	Mr	Dx	Staffe	CS	ζ _E
	kg	kg	kg	kg	kg	kg	kg*m	cm	cmq/m		
Sin	1487	--	38212	38212	38212	0	17735	88.0	10.05	26	--
Des							14809				

Trave: 112 [243,84], Pilastrate [43,47] Sez. R: By=50.0 cm Bz=20.0 cm L=309.9 cm Ln=309.9 cm Criterio : CLS_TraviSpessore_ND - Verifica a flessione: **Verificato**

X	M-	M+	ΔM-	ΔM+	Afs	Afi	Mr-	Mr+	C-	C+	CS	ζ _E
---	----	----	-----	-----	-----	-----	-----	-----	----	----	----	----------------

X	M-	M+	ΔM-	ΔM+	Afs	Afi	Mr-	Mr+	C-	C+	CS	ζ _E
cm	kg*m	kg*m	kg*m	kg*m	cmq	cmq	kg*m	kg*m				
ILN	1234	--	--	--	6.16	6.16	3238	3238	2	50	2.6	--
31.0	676	--	--	--	6.16	6.16	3238	3238	(16+17)-I-3	50	4.8	9.3
CAMP	--	633	--	--	6.16	6.16	3238	3238	50	2	5.1	--
278.9	630	275	--	--	6.16	6.16	3238	3238	(16+17)-I-1	(16+17)-I-3	5.1	6.8
FLN	1079	17	--	--	6.16	6.16	3238	3238	(16+17)-I-1	(16+17)-I-3	3.0	4.9

X	x-	d-	x-/d-	x+	d+	x+/d+	Mr-	Mr+	C-	C+	Stato-	Stato+
cm	cm	cm		cm	cm		kg*m	kg*m				
ILN	5.8	15.9	0.363	--	--	--	3238	3238	2	50	Parz.	--
31.0	5.7	15.9	0.359	--	--	--	3238	3238	(16+17)-I-3	50	Parz.	--
CAMP	--	--	--	5.7	15.9	0.359	3238	3238	50	2	--	Parz.
278.9	5.7	15.9	0.359	5.7	15.9	0.357	3238	3238	(16+17)-I-1	(16+17)-I-3	Parz.	Parz.
FLN	5.8	15.9	0.362	5.6	15.9	0.355	3238	3238	(16+17)-I-1	(16+17)-I-3	Parz.	Parz.

Verifica a taglio: $\cot(\theta) \sin=2.500, \cot(\theta) \cos=2.500, \cot(\theta) \tan=2.500$ Comb: $\sin=3 \cos=3 \tan=3$

Sez	Td	VRdns	VRcd	VRsd	VRd	Tpl	Mr	Dx	Staffe	CS	ζ _E
	kg	kg	kg	kg	kg	kg	kg*m	cm	cmq/m		
Sin	2288	--	17406	14073	14073	0	3238	31.8	10.05	6.1	--
Cen	1422	--	17406	11881	11881	--	--	--	8.49	8.4	--
Des	2046	--	17406	14073	14073	0	3238	31.8	10.05	6.9	--

Verifica incendio: $T_{eqvClis}(\circ)=323 \ T_{eqvAcc}(\circ)=422$ Curva: ISO834, $\gamma_{Clis}=1.20$ (Aggregato Calcareo)
 $\gamma_{Acc}=1.00$ (Laminato a caldo), verifica per R120(min)

X	M-	M+	ΔM-	ΔM+	Afs	Afi	Mr-	Mr+	C-	C+	CS	ζ _E
cm	kg*m	kg*m	kg*m	kg*m	cmq	cmq	kg*m	kg*m				
ILN	767	--	--	--	6.16	6.16	4059	4132	51	51	5.3	--
31.0	366	--	--	--	6.16	6.16	4059	4132	51	51	11	--
CAMP	--	399	--	--	6.16	6.16	4059	4132	51	51	10	--
278.9	178	--	--	--	6.16	6.16	4059	4132	51	51	23	--
FLN	531	--	--	--	6.16	6.16	4059	4132	51	51	7.6	--

X	x-	d-	x-/d-	x+	d+	x+/d+	Mr-	Mr+	C-	C+	Stato-	Stato+
cm	cm	cm		cm	cm		kg*m	kg*m				
ILN	8.1	18.5	0.440	--	--	--	4059	4132	51	51	Parz.	--
31.0	8.1	18.5	0.440	--	--	--	4059	4132	51	51	Parz.	--
CAMP	--	--	--	6.0	16.3	0.367	4059	4132	51	51	--	Parz.
278.9	8.1	18.5	0.440	--	--	--	4059	4132	51	51	Parz.	--
FLN	8.1	18.5	0.440	--	--	--	4059	4132	51	51	Parz.	--

Verifica a taglio: $\cot(\theta) \sin=2.500, \cot(\theta) \cos=2.500, \cot(\theta) \tan=2.500$ Comb: $\sin=51 \cos=51 \tan=51$

Sez	Td	VRdns	VRcd	VRsd	VRd	Tpl	Mr	Dx	Staffe	CS	ζ _E
	kg	kg	kg	kg	kg	kg	kg*m	cm	cmq/m		
Sin	1428	--	15596	13396	13396	0	4132	31.8	10.05	9.4	--
Cen	887	--	15596	11309	11309	--	--	--	8.49	13	--
Des	1276	--	15596	13396	13396	0	4059	31.8	10.05	11	--

Trave: 113 [105,109], Pilastrate [5,9] Sez. R: $B_y=30.0 \text{ cm} \ B_z=40.0 \text{ cm} \ L=276.8 \text{ cm} \ L_n=278.4 \text{ cm}$ Criterio : CLS_TraviAlte_ND - Verifica a flessione: **Verificato**

X	M-	M+	ΔM-	ΔM+	Afs	Afi	Mr-	Mr+	C-	C+	CS	ζ _E
cm	kg*m	kg*m	kg*m	kg*m	cmq	cmq	kg*m	kg*m				
ILN	1548	2182	--	--	4.62	4.62	5843	5843	(16+17)-II-2	(16+17)-II-1	2.7	3.0
27.8	1193	1834	--	--	4.62	4.62	5843	5843	(16+17)-II-2	(16+17)-II-1	3.2	3.6
CAMP	1673	--	--	--	4.62	4.62	5843	5843	(16+17)-II-1	50	3.5	5.4
250.6	2326	274	--	--	4.62	4.62	5843	5843	(16+17)-II-1	(16+17)-II-2	2.5	3.7

X	M-	M+	ΔM-	ΔM+	Afs	Afi	Mr-	Mr+	C-	C+	CS	ζ _E
FLN	3018	285	--	--	4.62	4.62	5843	5843	(16+17)-II-1	(16+17)-II-2	1.9	2.7

X	x-	d-	x-/d-	x+	d+	x+/d+	Mr-	Mr+	C-	C+	Stato-	Stato+
cm	cm	cm		cm	cm		kg*m	kg*m				
ILN	9.8	35.9	0.273	9.9	35.9	0.275	5843	5843	(16+17)-II-2	(16+17)-II-1	Parz.	Parz.
27.8	9.8	35.9	0.273	9.8	35.9	0.274	5843	5843	(16+17)-II-2	(16+17)-II-1	Parz.	Parz.
CAMP	9.8	35.9	0.274	--	--	--	5843	5843	(16+17)-II-1	50	Parz.	--
250.6	9.9	35.9	0.275	9.7	35.9	0.271	5843	5843	(16+17)-II-1	(16+17)-II-2	Parz.	Parz.
FLN	9.9	35.9	0.276	9.7	35.9	0.271	5843	5843	(16+17)-II-1	(16+17)-II-2	Parz.	Parz.

Verifica a taglio: $\cot(\theta) \sin=2.093, \cot(\theta) \cos=2.500, \cot(\theta) \tan=2.093$ Comb: $\sin=(16+17)-II-2$
 $\cos=(16+17)-II-1 \tan=(16+17)-II-1$

Sez	Td	VRd _{ns}	VRd _{cd}	VRd _{sd}	VRd	Tpl	Mr	Dx	Staffe	CS	ζ _E
	kg	kg	kg	kg	kg	kg	kg*m	cm	cmq/m		
Sin	1343	--	26601	26601	26601	0	5843	40.0	10.05	20	21
Cen	2279	--	23581	14443	14443	--	--	--	4.57	6.3	11
Des	2553	--	26601	26601	26601	0	5843	40.0	10.05	10	20

Verifica incendio: $T_{eqvClS}(^{\circ})=218$ $T_{eqvAcc}(^{\circ})=420$ Curva:ISO834, $\gamma_{ClS}=1.20$ (Aggregato Calcareo)
 $\gamma_{Acc}=1.00$ (Laminato a caldo),verifica per R120(min)

X	M-	M+	ΔM-	ΔM+	Afs	Afi	Mr-	Mr+	C-	C+	CS	ζ _E
cm	kg*m	kg*m	kg*m	kg*m	cmq	cmq	kg*m	kg*m				
ILN	--	317	--	--	4.62	4.62	7102	7138	51	51	23	--
27.8	--	320	--	--	4.62	4.62	7102	7138	51	51	22	--
CAMP	724	--	--	--	4.62	4.62	7102	7138	51	51	9.8	--
250.6	1026	--	--	--	4.62	4.62	7102	7138	51	51	6.9	--
FLN	1366	--	--	--	4.62	4.62	7102	7138	51	51	5.2	--

X	x-	d-	x-/d-	x+	d+	x+/d+	Mr-	Mr+	C-	C+	Stato-	Stato+
cm	cm	cm		cm	cm		kg*m	kg*m				
ILN	--	--	--	10.5	37.0	0.282	7102	7138	51	51	--	Parz.
27.8	--	--	--	10.5	37.0	0.282	7102	7138	51	51	--	Parz.
CAMP	13.4	39.3	0.341	--	--	--	7102	7138	51	51	Parz.	--
250.6	13.4	39.3	0.341	--	--	--	7102	7138	51	51	Parz.	--
FLN	13.4	39.3	0.341	--	--	--	7102	7138	51	51	Parz.	--

Verifica a taglio: $\cot(\theta) \sin=2.098, \cot(\theta) \cos=2.500, \cot(\theta) \tan=2.098$ Comb: $\sin=51 \cos=51 \tan=51$

Sez	Td	VRd _{ns}	VRd _{cd}	VRd _{sd}	VRd	Tpl	Mr	Dx	Staffe	CS	ζ _E
	kg	kg	kg	kg	kg	kg	kg*m	cm	cmq/m		
Sin	80	--	25480	25480	25480	0	7138	40.0	10.05	>100	--
Cen	1016	--	22620	13803	13803	--	--	--	4.57	14	--
Des	1291	--	25480	25480	25480	0	7102	40.0	10.05	20	--

Trave: 113 [109,115], Pilastrate [9,15] Sez. R: $B_y=30.0$ cm $B_z=40.0$ cm $L=690.7$ cm $L_n=691.3$ cm Criterio :
 CLS_TraviAlte_ND - Verifica a flessione: **Verificato**

X	M-	M+	ΔM-	ΔM+	Afs	Afi	Mr-	Mr+	C-	C+	CS	ζ _E
cm	kg*m	kg*m	kg*m	kg*m	cmq	cmq	kg*m	kg*m				
ILN	2606	--	--	--	4.62	4.62	5843	5843	(16+17)-II-2	50	2.2	4.5
69.1	1377	71	--	--	4.62	4.62	5843	5843	(16+17)-II-2	(16+17)-II-1	4.2	7.2
CAMP	--	1965	--	--	4.62	4.62	5843	5843	50	2	3.0	--
622.2	1582	34	--	--	4.62	4.62	5843	5843	(16+17)-II-1	(16+17)-II-2	3.7	6.3
FLN	2921	--	--	--	4.62	4.62	5843	5843	2	50	2.0	--

X	x-	d-	x-/d-	x+	d+	x+/d+	Mr-	Mr+	C-	C+	Stato-	Stato+
cm	cm	cm		cm	cm		kg*m	kg*m				
ILN	9.9	35.9	0.275	--	--	--	5843	5843	(16+17)-II-2	50	Parz.	--
69.1	9.8	35.9	0.273	9.7	35.9	0.271	5843	5843	(16+17)-II-2	(16+17)-II-1	Parz.	Parz.
CAMP	--	--	--	9.8	35.9	0.274	5843	5843	50	2	--	Parz.
622.2	9.8	35.9	0.273	9.7	35.9	0.271	5843	5843	(16+17)-II-1	(16+17)-II-2	Parz.	Parz.
FLN	9.9	35.9	0.276	--	--	--	5843	5843	2	50	Parz.	--

Verifica a taglio: $\cot(\theta)$ Sin=2.041, $\cot(\theta)$ Cen=2.500, $\cot(\theta)$ Des=2.041 Comb: Sin=3 Cen=3 Des=3

Sez	Td	VRdns	VRcd	VRsd	VRd	Tpl	Mr	Dx	Staffe	CS	ζ_E
	kg	kg	kg	kg	kg	kg	kg*m	cm	cmq/m		
Sin	2613	--	27020	27020	27020	0	5843	76.8	10.47	10	--
Cen	1685	--	23581	14443	14443	--	--	--	4.57	8.6	--
Des	2799	--	27020	27020	27020	0	5843	76.8	10.47	9.7	--

Verifica incendio: $T_{eqvClis}(\circ)=218$ $T_{eqvAcc}(\circ)=420$ Curva:ISO834, $\gamma_{Clis}=1.20$ (Aggregato Calcareo)
 $\gamma_{Acc}=1.00$ (Laminato a caldo), verifica per R120(min)

X	M-	M+	$\Delta M-$	$\Delta M+$	Afs	Afi	Mr-	Mr+	C-	C+	CS	ζ_E
cm	kg*m	kg*m	kg*m	kg*m	cmq	cmq	kg*m	kg*m				
ILN	1691	--	--	--	4.62	4.62	7102	7138	51	51	4.2	--
69.1	653	--	--	--	4.62	4.62	7102	7138	51	51	11	--
CAMP	--	1170	--	--	4.62	4.62	7102	7138	51	51	6.1	--
622.2	774	--	--	--	4.62	4.62	7102	7138	51	51	9.2	--
FLN	1854	--	--	--	4.62	4.62	7102	7138	51	51	3.8	--

X	x-	d-	x-/d-	x+	d+	x+/d+	Mr-	Mr+	C-	C+	Stato-	Stato+
cm	cm	cm		cm	cm		kg*m	kg*m				
ILN	13.4	39.3	0.341	--	--	--	7102	7138	51	51	Parz.	--
69.1	13.4	39.3	0.341	--	--	--	7102	7138	51	51	Parz.	--
CAMP	--	--	--	10.5	37.0	0.282	7102	7138	51	51	--	Parz.
622.2	13.4	39.3	0.341	--	--	--	7102	7138	51	51	Parz.	--
FLN	13.4	39.3	0.341	--	--	--	7102	7138	51	51	Parz.	--

Verifica a taglio: $\cot(\theta)$ Sin=2.046, $\cot(\theta)$ Cen=2.500, $\cot(\theta)$ Des=2.046 Comb: Sin=51 Cen=51 Des=51

Sez	Td	VRdns	VRcd	VRsd	VRd	Tpl	Mr	Dx	Staffe	CS	ζ_E
	kg	kg	kg	kg	kg	kg	kg*m	cm	cmq/m		
Sin	1670	--	25882	25882	25882	0	7138	76.8	10.47	16	--
Cen	1045	--	22620	13803	13803	--	--	--	4.57	13	--
Des	1735	--	25882	25882	25882	0	7102	76.8	10.47	15	--

Trave: 113 [115,221], Pilastrate [15,21] Sez. R: By=30.0 cm Bz=40.0 cm L=445.0 cm Ln=445.0 cm Criterio : CLS_TraviAlte_ND - Verifica a flessione: **Verificato**

X	M-	M+	$\Delta M-$	$\Delta M+$	Afs	Afi	Mr-	Mr+	C-	C+	CS	ζ_E
cm	kg*m	kg*m	kg*m	kg*m	cmq	cmq	kg*m	kg*m				
ILN	3031	393	--	--	4.62	4.62	5843	5843	(16+17)-II-2	(16+17)-II-1	1.9	2.6
44.5	2177	535	--	--	4.62	4.62	5843	5843	(16+17)-II-2	(16+17)-II-1	2.7	3.7
CAMP	1422	--	--	--	4.62	4.62	5843	5843	(16+17)-II-2	50	4.1	5.4
400.5	1862	1112	--	--	4.62	4.62	5843	5843	(16+17)-II-1	(16+17)-II-2	3.1	3.7
FLN	2603	1081	--	--	4.62	4.62	5843	5843	(16+17)-II-1	(16+17)-II-2	2.2	2.8

X	x-	d-	x-/d-	x+	d+	x+/d+	Mr-	Mr+	C-	C+	Stato-	Stato+
cm	cm	cm		cm	cm		kg*m	kg*m				
ILN	9.9	35.9	0.276	9.7	35.9	0.271	5843	5843	(16+17)-II-2	(16+17)-II-1	Parz.	Parz.
44.5	9.9	35.9	0.275	9.7	35.9	0.271	5843	5843	(16+17)-II-2	(16+17)-II-1	Parz.	Parz.
CAMP	9.8	35.9	0.273	--	--	--	5843	5843	(16+17)-II-2	50	Parz.	--

X	x-	d-	x-/d-	x+	d+	x+/d+	Mr-	Mr+	C-	C+	Stato-	Stato+
400.5	9.8	35.9	0.274	9.8	35.9	0.273	5843	5843	(16+17)-II-1	(16+17)-II-2	Parz.	Parz.
FLN	9.9	35.9	0.275	9.8	35.9	0.272	5843	5843	(16+17)-II-1	(16+17)-II-2	Parz.	Parz.

Verifica a taglio: $\cot(\theta) \sin=2.025, \cot(\theta) \cos=2.500, \cot(\theta) \tan=2.025$ Comb: $\sin=3 \cos=(16+17)-II-2$
 $\tan=(16+17)-II-1$

Sez	Td	VRdhs	VRcd	VRsd	VRd	Tpl	Mr	Dx	Staffe	CS	ζ_E
	kg	kg	kg	kg	kg	kg	kg*m	cm	cmq/m		
Sin	2055	--	27149	27149	27149	0	5843	47.4	10.60	13	--
Cen	1586	--	23581	14819	14819	--	--	--	4.69	9.3	18
Des	1776	--	27149	27149	27149	0	5843	47.4	10.60	15	33

Verifica incendio: $T_{eqvClS}(^{\circ})=218$ $T_{eqvAcc}(^{\circ})=420$ Curva:ISO834, $\gamma_{ClS}=1.20$ (Aggregato Calcareo)
 $\gamma_{Acc}=1.00$ (Laminato a caldo),verifica per R120(min)

X	M-	M+	$\Delta M-$	$\Delta M+$	Afs	Afi	Mr-	Mr+	C-	C+	CS	ζ_E
cm	kg*m	kg*m	kg*m	kg*m	cmq	cmq	kg*m	kg*m				
ILN	1319	--	--	--	4.62	4.62	7102	7138	51	51	5.4	--
44.5	821	--	--	--	4.62	4.62	7102	7138	51	51	8.7	--
CAMP	421	--	--	--	4.62	4.62	7102	7138	51	51	17	--
400.5	375	--	--	--	4.62	4.62	7102	7138	51	51	19	--
FLN	761	--	--	--	4.62	4.62	7102	7138	51	51	9.3	--

X	x-	d-	x-/d-	x+	d+	x+/d+	Mr-	Mr+	C-	C+	Stato-	Stato+
cm	cm	cm		cm	cm		kg*m	kg*m				
ILN	13.4	39.3	0.341	--	--	--	7102	7138	51	51	Parz.	--
44.5	13.4	39.3	0.341	--	--	--	7102	7138	51	51	Parz.	--
CAMP	13.4	39.3	0.341	--	--	--	7102	7138	51	51	Parz.	--
400.5	13.4	39.3	0.341	--	--	--	7102	7138	51	51	Parz.	--
FLN	13.4	39.3	0.341	--	--	--	7102	7138	51	51	Parz.	--

Verifica a taglio: $\cot(\theta) \sin=2.030, \cot(\theta) \cos=2.500, \cot(\theta) \tan=2.030$ Comb: $\sin=51 \cos=51 \tan=51$

Sez	Td	VRdhs	VRcd	VRsd	VRd	Tpl	Mr	Dx	Staffe	CS	ζ_E
	kg	kg	kg	kg	kg	kg	kg*m	cm	cmq/m		
Sin	1229	--	26006	26006	26006	0	7138	47.4	10.60	21	--
Cen	787	--	22620	14162	14162	--	--	--	4.69	18	--
Des	978	--	26006	26006	26006	0	7102	47.4	10.60	27	--

Trave: 113 [96,221], Pilastrate [22,21] Sez. R: $B_y=50.0$ cm $B_z=20.0$ cm $L=398.9$ cm $L_n=374.2$ cm Criterio :
CLS_TraviSpessore_ND - Verifica a flessione: **Verificato**

X	M-	M+	$\Delta M-$	$\Delta M+$	Afs	Afi	Mr-	Mr+	C-	C+	CS	ζ_E
cm	kg*m	kg*m	kg*m	kg*m	cmq	cmq	kg*m	kg*m				
ILN	1547	--	--	--	6.16	6.16	3238	3238	2	50	2.1	--
37.4	794	114	--	--	6.16	6.16	3238	3238	(16+17)-II-1	(16+17)-II-2	4.1	6.4
CAMP	--	1150	--	--	6.16	6.16	3238	3238	50	2	2.8	--
336.8	1012	--	--	--	6.16	6.16	3238	3238	(16+17)-II-2	50	3.2	6.4
FLN	2147	--	--	--	6.16	6.16	3238	3238	2	50	1.5	--

X	x-	d-	x-/d-	x+	d+	x+/d+	Mr-	Mr+	C-	C+	Stato-	Stato+
cm	cm	cm		cm	cm		kg*m	kg*m				
ILN	5.8	15.9	0.365	--	--	--	3238	3238	2	50	Parz.	--
37.4	5.7	15.9	0.360	5.7	15.9	0.356	3238	3238	(16+17)-II-1	(16+17)-II-2	Parz.	Parz.
CAMP	--	--	--	5.8	15.9	0.362	3238	3238	50	2	--	Parz.
336.8	5.7	15.9	0.361	--	--	--	3238	3238	(16+17)-II-2	50	Parz.	--
FLN	5.9	15.9	0.369	--	--	--	3238	3238	2	50	Parz.	--

Verifica a taglio: $\cot(\theta)$ Sin=2.500, $\cot(\theta)$ Cen=2.500, $\cot(\theta)$ Des=2.500 Comb: Sin=3 Cen=3 Des=3

Sez	Td	VRdns	VRcd	VRsd	VRd	Tpl	Mr	Dx	Staffe	CS	ζ_E
	kg	kg	kg	kg	kg	kg	kg*m	cm	cmq/m		
Sin	2992	--	17406	14073	14073	0	3238	42.3	10.05	4.7	--
Cen	2085	--	17406	11728	11728	--	--	--	8.38	5.6	--
Des	3416	--	17406	14073	14073	0	3238	42.3	10.05	4.1	--

Verifica incendio: $T_{eqvClS}(^{\circ})=323$ $T_{eqvAcc}(^{\circ})=422$ Curva:ISO834, $\gamma_{ClS}=1.20$ (Aggregato Calcareo)
 $\gamma_{Acc}=1.00$ (Laminato a caldo), verifica per R120(min)

X	M-	M+	$\Delta M-$	$\Delta M+$	Afs	Afi	Mr-	Mr+	C-	C+	CS	ζ_E
cm	kg*m	kg*m	kg*m	kg*m	cmq	cmq	kg*m	kg*m				
ILN	962	--	--	--	6.16	6.16	4059	4132	51	51	4.2	--
37.4	340	--	--	--	6.16	6.16	4059	4132	51	51	12	--
CAMP	--	711	--	--	6.16	6.16	4059	4132	51	51	5.8	--
336.8	599	--	--	--	6.16	6.16	4059	4132	51	51	6.8	--
FLN	1306	--	--	--	6.16	6.16	4059	4132	51	51	3.1	--

X	x-	d-	x-/d-	x+	d+	x+/d+	Mr-	Mr+	C-	C+	Stato-	Stato+
cm	cm	cm		cm	cm		kg*m	kg*m				
ILN	8.1	18.5	0.440	--	--	--	4059	4132	51	51	Parz.	--
37.4	8.1	18.5	0.440	--	--	--	4059	4132	51	51	Parz.	--
CAMP	--	--	--	6.0	16.3	0.367	4059	4132	51	51	--	Parz.
336.8	8.1	18.5	0.440	--	--	--	4059	4132	51	51	Parz.	--
FLN	8.1	18.5	0.440	--	--	--	4059	4132	51	51	Parz.	--

Verifica a taglio: $\cot(\theta)$ Sin=2.500, $\cot(\theta)$ Cen=2.500, $\cot(\theta)$ Des=2.500 Comb: Sin=51 Cen=51 Des=51

Sez	Td	VRdns	VRcd	VRsd	VRd	Tpl	Mr	Dx	Staffe	CS	ζ_E
	kg	kg	kg	kg	kg	kg	kg*m	cm	cmq/m		
Sin	1850	--	15596	13396	13396	0	4132	42.3	10.05	7.2	--
Cen	1277	--	15596	11163	11163	--	--	--	8.38	8.7	--
Des	2095	--	15596	13396	13396	0	4059	42.3	10.05	6.4	--

Trave: 114 [243,82], Pilastrate [43,39] Sez. R: By=50.0 cm Bz=20.0 cm L=314.8 cm Ln=300.8 cm Criterio : CLS_TraviSpessore_ND - Verifica a flessione: **Verificato**

X	M-	M+	$\Delta M-$	$\Delta M+$	Afs	Afi	Mr-	Mr+	C-	C+	CS	ζ_E
cm	kg*m	kg*m	kg*m	kg*m	cmq	cmq	kg*m	kg*m				
ILN	2097	--	--	--	6.16	6.16	3238	3238	2	50	1.5	--
30.1	1096	--	--	--	6.16	6.16	3238	3238	(16+17)-II-1	50	3.0	4.9
CAMP	--	1323	--	--	6.16	6.16	3238	3238	50	2	2.4	--
270.7	1260	591	--	--	6.16	6.16	3238	3238	(16+17)-II-2	(16+17)-II-1	2.6	3.1
FLN	2117	101	--	--	6.16	6.16	3238	3238	(16+17)-II-2	(16+17)-II-1	1.5	2.0

X	x-	d-	x-/d-	x+	d+	x+/d+	Mr-	Mr+	C-	C+	Stato-	Stato+
cm	cm	cm		cm	cm		kg*m	kg*m				
ILN	5.9	15.9	0.369	--	--	--	3238	3238	2	50	Parz.	--
30.1	5.8	15.9	0.362	--	--	--	3238	3238	(16+17)-II-1	50	Parz.	--
CAMP	--	--	--	5.8	15.9	0.363	3238	3238	50	2	--	Parz.
270.7	5.8	15.9	0.363	5.7	15.9	0.359	3238	3238	(16+17)-II-2	(16+17)-II-1	Parz.	Parz.
FLN	5.9	15.9	0.369	5.7	15.9	0.356	3238	3238	(16+17)-II-2	(16+17)-II-1	Parz.	Parz.

Verifica a taglio: $\cot(\theta)$ Sin=2.500, $\cot(\theta)$ Cen=2.500, $\cot(\theta)$ Des=2.500 Comb: Sin=3 Cen=3 Des=3

Sez	Td	VRdns	VRcd	VRsd	VRd	Tpl	Mr	Dx	Staffe	CS	ζ_E
	kg	kg	kg	kg	kg	kg	kg*m	cm	cmq/m		
Sin	4160	--	17406	14073	14073	0	3238	33.1	10.05	3.4	--
Cen	2733	--	17406	11728	11728	--	--	--	8.38	4.3	--
Des	4085	--	17406	14073	14073	0	3238	33.1	10.05	3.4	--

Verifica incendio: $T_{eqvClis}(°)=323$ $T_{eqvAcc}(°)=422$ Curva:ISO834, $\gamma_{Clis}=1.20$ (Aggregato Calcareo)
 $\gamma_{Acc}=1.00$ (Laminato a caldo),verifica per R120(min)

X	M-	M+	$\Delta M-$	$\Delta M+$	Afs	Afi	Mr-	Mr+	C-	C+	CS	ζ_E
cm	kg*m	kg*m	kg*m	kg*m	cmq	cmq	kg*m	kg*m				
ILN	1253	--	--	--	6.16	6.16	4059	4132	51	51	3.2	--
30.1	553	--	--	--	6.16	6.16	4059	4132	51	51	7.3	--
CAMP	--	800	--	--	6.16	6.16	4059	4132	51	51	5.2	--
270.7	335	--	--	--	6.16	6.16	4059	4132	51	51	12	--
FLN	1008	--	--	--	6.16	6.16	4059	4132	51	51	4.0	--

X	x-	d-	x-/d-	x+	d+	x+/d+	Mr-	Mr+	C-	C+	Stato-	Stato+
cm	cm	cm		cm	cm		kg*m	kg*m				
ILN	8.1	18.5	0.440	--	--	--	4059	4132	51	51	Parz.	--
30.1	8.1	18.5	0.440	--	--	--	4059	4132	51	51	Parz.	--
CAMP	--	--	--	6.0	16.3	0.367	4059	4132	51	51	--	Parz.
270.7	8.1	18.5	0.440	--	--	--	4059	4132	51	51	Parz.	--
FLN	8.1	18.5	0.440	--	--	--	4059	4132	51	51	Parz.	--

Verifica a taglio: $\cot(\theta)$ Sin=2.500, $\cot(\theta)$ Cen=2.500, $\cot(\theta)$ Des=2.500 Comb: Sin=51 Cen=51 Des=51

Sez	Td	VRdns	VRcd	VRsd	VRd	Tpl	Mr	Dx	Staffe	CS	ζ_E
	kg	kg	kg	kg	kg	kg	kg*m	cm	cmq/m		
Sin	2505	--	15596	13396	13396	0	4132	33.1	10.05	5.3	--
Cen	1640	--	15596	11163	11163	--	--	--	8.38	6.8	--
Des	2461	--	15596	13396	13396	0	4059	33.1	10.05	5.4	--

Trave: 114 [243,248], Pilastrate [43,48] Sez. R: By=30.0 cm Bz=40.0 cm L=310.6 cm Ln=310.6 cm Criterio : CLS_TraviAlte_ND - Verifica a flessione: **Verificato**

X	M-	M+	$\Delta M-$	$\Delta M+$	Afs	Afi	Mr-	Mr+	C-	C+	CS	ζ_E
cm	kg*m	kg*m	kg*m	kg*m	cmq	cmq	kg*m	kg*m				
ILN	3874	2012	--	--	4.62	4.62	5843	5843	(16+17)-II-2	(16+17)-II-1	1.5	1.7
31.1	3011	1565	--	--	4.62	4.62	5843	5843	(16+17)-II-2	(16+17)-II-1	1.9	2.2
CAMP	2459	--	--	--	4.62	4.62	5843	5843	(16+17)-II-1	50	2.4	2.5
279.6	3161	2755	--	--	4.62	4.62	5843	5843	(16+17)-II-1	(16+17)-II-2	1.8	1.9
FLN	3895	3332	--	--	4.62	4.62	5843	5843	(16+17)-II-1	(16+17)-II-2	1.5	1.5

X	x-	d-	x-/d-	x+	d+	x+/d+	Mr-	Mr+	C-	C+	Stato-	Stato+
cm	cm	cm		cm	cm		kg*m	kg*m				
ILN	10.0	35.9	0.278	9.8	35.9	0.274	5843	5843	(16+17)-II-2	(16+17)-II-1	Parz.	Parz.
31.1	9.9	35.9	0.276	9.8	35.9	0.273	5843	5843	(16+17)-II-2	(16+17)-II-1	Parz.	Parz.
CAMP	9.9	35.9	0.275	--	--	--	5843	5843	(16+17)-II-1	50	Parz.	--
279.6	9.9	35.9	0.277	9.9	35.9	0.276	5843	5843	(16+17)-II-1	(16+17)-II-2	Parz.	Parz.
FLN	10.0	35.9	0.278	9.9	35.9	0.277	5843	5843	(16+17)-II-1	(16+17)-II-2	Parz.	Parz.

Verifica a taglio: $\cot(\theta)$ Sin=2.093, $\cot(\theta)$ Cen=2.500, $\cot(\theta)$ Des=2.093 Comb: Sin=(16+17)-II-2
Cen=(16+17)-II-2 Des=(16+17)-II-1

Sez	Td	VRdns	VRcd	VRsd	VRd	Tpl	Mr	Dx	Staffe	CS	ζ_E
	kg	kg	kg	kg	kg	kg	kg*m	cm	cmq/m		
Sin	2831	--	26601	26601	26601	0	5843	40.0	10.05	9.4	12
Cen	2627	--	23581	15010	15010	--	--	--	4.75	5.7	6.9
Des	2412	--	26601	26601	26601	0	5843	40.0	10.05	11	12

Verifica incendio: $T_{eqvClis}(°)=218$ $T_{eqvAcc}(°)=420$ Curva:ISO834, $\gamma_{Clis}=1.20$ (Aggregato Calcareo)
 $\gamma_{Acc}=1.00$ (Laminato a caldo),verifica per R120(min)

X	M-	M+	$\Delta M-$	$\Delta M+$	Afs	Afi	Mr-	Mr+	C-	C+	CS	ζ_E
cm	kg*m	kg*m	kg*m	kg*m	cmq	cmq	kg*m	kg*m				

X	M-	M+	ΔM-	ΔM+	Afs	Afi	Mr-	Mr+	C-	C+	CS	ζ _E
ILN	931	--	--	--	4.62	4.62	7102	7138	51	51	7.6	--
31.1	723	--	--	--	4.62	4.62	7102	7138	51	51	9.8	--
CAMP	547	--	--	--	4.62	4.62	7102	7138	51	51	13	--
279.6	203	--	--	--	4.62	4.62	7102	7138	51	51	35	--
FLN	281	--	--	--	4.62	4.62	7102	7138	51	51	25	--

X	x-	d-	x-/d-	x+	d+	x+/d+	Mr-	Mr+	C-	C+	Stato-	Stato+
cm	cm	cm		cm	cm		kg*m	kg*m				
ILN	13.4	39.3	0.341	--	--	--	7102	7138	51	51	Parz.	--
31.1	13.4	39.3	0.341	--	--	--	7102	7138	51	51	Parz.	--
CAMP	13.4	39.3	0.341	--	--	--	7102	7138	51	51	Parz.	--
279.6	13.4	39.3	0.341	--	--	--	7102	7138	51	51	Parz.	--
FLN	13.4	39.3	0.341	--	--	--	7102	7138	51	51	Parz.	--

Verifica a taglio: $\cot(\theta)$ Sin=2.098, $\cot(\theta)$ Cen=2.500, $\cot(\theta)$ Des=2.098 Comb: Sin=51 Cen=51 Des=51

Sez	Td	VRdns	VRcd	VRsd	VRd	Tpl	Mr	Dx	Staffe	CS	ζ _E
	kg	kg	kg	kg	kg	kg	kg*m	cm	cmq/m		
Sin	721	--	25480	25480	25480	0	7138	40.0	10.05	35	--
Cen	516	--	22620	14345	14345	--	--	--	4.75	28	--
Des	302	--	25480	25480	25480	0	7102	40.0	10.05	84	--

Trave: 114 [248,253], Pilastrate [48,53] Sez. R: By=30.0 cm Bz=40.0 cm L=475.9 cm Ln=476.9 cm Criterio : CLS_TraviAlte_ND - Verifica a flessione: **Verificato**

X	M-	M+	ΔM-	ΔM+	Afs	Afi	Mr-	Mr+	C-	C+	CS	ζ _E
cm	kg*m	kg*m	kg*m	kg*m	cmq	cmq	kg*m	kg*m				
ILN	3356	2272	--	--	4.62	4.62	5843	5843	(16+17)-II-2	(16+17)-II-1	1.7	1.9
47.7	2481	2065	--	--	4.62	4.62	5843	5843	(16+17)-II-2	(16+17)-II-1	2.4	2.5
CAMP	1680	1783	--	--	4.62	4.62	5843	5843	(16+17)-II-2	(16+17)-II-1	3.3	3.3
429.2	2286	1828	--	--	4.62	4.62	5843	5843	(16+17)-II-1	(16+17)-II-2	2.6	2.7
FLN	3167	2029	--	--	4.62	4.62	5843	5843	(16+17)-II-1	(16+17)-II-2	1.8	2.0

X	x-	d-	x-/d-	x+	d+	x+/d+	Mr-	Mr+	C-	C+	Stato-	Stato+
cm	cm	cm		cm	cm		kg*m	kg*m				
ILN	9.9	35.9	0.277	9.9	35.9	0.275	5843	5843	(16+17)-II-2	(16+17)-II-1	Parz.	Parz.
47.7	9.9	35.9	0.275	9.9	35.9	0.274	5843	5843	(16+17)-II-2	(16+17)-II-1	Parz.	Parz.
CAMP	9.8	35.9	0.274	9.8	35.9	0.274	5843	5843	(16+17)-II-2	(16+17)-II-1	Parz.	Parz.
429.2	9.9	35.9	0.275	9.8	35.9	0.274	5843	5843	(16+17)-II-1	(16+17)-II-2	Parz.	Parz.
FLN	9.9	35.9	0.277	9.8	35.9	0.274	5843	5843	(16+17)-II-1	(16+17)-II-2	Parz.	Parz.

Verifica a taglio: $\cot(\theta)$ Sin=2.093, $\cot(\theta)$ Cen=2.500, $\cot(\theta)$ Des=2.093 Comb: Sin=(16+17)-II-2 Cen=(16+17)-II-1 Des=(16+17)-II-1

Sez	Td	VRdns	VRcd	VRsd	VRd	Tpl	Mr	Dx	Staffe	CS	ζ _E
	kg	kg	kg	kg	kg	kg	kg*m	cm	cmq/m		
Sin	1914	--	26601	26601	26601	0	5843	51.0	10.05	14	23
Cen	1612	--	23581	14761	14761	--	--	--	4.67	9.2	13
Des	1925	--	26601	26601	26601	0	5843	51.0	10.05	14	23

Verifica incendio: TeqvCls(°)=218 TeqvAcc(°)=420 Curva:ISO834, γCls=1.20(Aggregato Calcareo) γAcc=1.00(Laminato a caldo), verifica per R120(min)

X	M-	M+	ΔM-	ΔM+	Afs	Afi	Mr-	Mr+	C-	C+	CS	ζ _E
cm	kg*m	kg*m	kg*m	kg*m	cmq	cmq	kg*m	kg*m				
ILN	542	--	--	--	4.62	4.62	7102	7138	51	51	13	--
47.7	208	--	--	--	4.62	4.62	7102	7138	51	51	34	--
CAMP	--	381	--	--	4.62	4.62	7102	7138	51	51	19	--
429.2	229	--	--	--	4.62	4.62	7102	7138	51	51	31	--

X	M-	M+	ΔM-	ΔM+	Afs	Afi	Mr-	Mr+	C-	C+	CS	ζ _E
FLN	569	--	--	--	4.62	4.62	7102	7138	51	51	12	--

X	x-	d-	x-/d-	x+	d+	x+/d+	Mr-	Mr+	C-	C+	Stato-	Stato+
cm	cm	cm		cm	cm		kg*m	kg*m				
ILN	13.4	39.3	0.341	--	--	--	7102	7138	51	51	Parz.	--
47.7	13.4	39.3	0.341	--	--	--	7102	7138	51	51	Parz.	--
CAMP	--	--	--	10.5	37.0	0.282	7102	7138	51	51	--	Parz.
429.2	13.4	39.3	0.341	--	--	--	7102	7138	51	51	Parz.	--
FLN	13.4	39.3	0.341	--	--	--	7102	7138	51	51	Parz.	--

Verifica a taglio: $\cot(\theta)$ Sin=2.098, $\cot(\theta)$ Cen=2.500, $\cot(\theta)$ Des=2.098 Comb: Sin=51 Cen=51 Des=51

Sez	Td	VRdns	VRcd	VRsd	VRd	Tpl	Mr	Dx	Staffe	CS	ζ _E
	kg	kg	kg	kg	kg	kg	kg*m	cm	cmq/m		
Sin	779	--	25480	25480	25480	0	7138	51.0	10.05	33	--
Cen	477	--	22620	14107	14107	--	--	--	4.67	30	--
Des	790	--	25480	25480	25480	0	7102	51.0	10.05	32	--

Trave: 114 [253,155], Pilastrate [53,55] Sez. R: By=30.0 cm Bz=40.0 cm L=276.1 cm Ln=277.7 cm Criterio : CLS_TraviAlte_ND - Verifica a flessione: **Verificato**

X	M-	M+	ΔM-	ΔM+	Afs	Afi	Mr-	Mr+	C-	C+	CS	ζ _E
cm	kg*m	kg*m	kg*m	kg*m	cmq	cmq	kg*m	kg*m				
ILN	3776	2437	--	--	4.62	4.62	5843	5843	(16+17)-II-2	(16+17)-II-1	1.5	1.7
27.8	2969	2026	--	--	4.62	4.62	5843	5843	(16+17)-II-2	(16+17)-II-1	2.0	2.2
CAMP	2188	1590	--	--	4.62	4.62	5843	5843	(16+17)-II-2	(16+17)-II-1	2.7	2.9
249.9	2178	2573	--	--	4.62	4.62	5843	5843	(16+17)-II-1	(16+17)-II-2	2.3	2.4
FLN	2817	3151	--	--	4.62	4.62	5843	5843	(16+17)-II-1	(16+17)-II-2	1.9	1.9

X	x-	d-	x-/d-	x+	d+	x+/d+	Mr-	Mr+	C-	C+	Stato-	Stato+
cm	cm	cm		cm	cm		kg*m	kg*m				
ILN	10.0	35.9	0.278	9.9	35.9	0.275	5843	5843	(16+17)-II-2	(16+17)-II-1	Parz.	Parz.
27.8	9.9	35.9	0.276	9.8	35.9	0.274	5843	5843	(16+17)-II-2	(16+17)-II-1	Parz.	Parz.
CAMP	9.9	35.9	0.275	9.8	35.9	0.273	5843	5843	(16+17)-II-2	(16+17)-II-1	Parz.	Parz.
249.9	9.9	35.9	0.275	9.9	35.9	0.275	5843	5843	(16+17)-II-1	(16+17)-II-2	Parz.	Parz.
FLN	9.9	35.9	0.276	9.9	35.9	0.277	5843	5843	(16+17)-II-1	(16+17)-II-2	Parz.	Parz.

Verifica a taglio: $\cot(\theta)$ Sin=2.093, $\cot(\theta)$ Cen=2.500, $\cot(\theta)$ Des=2.093 Comb: Sin=(16+17)-II-2 Cen=(16+17)-II-2 Des=(16+17)-II-1

Sez	Td	VRdns	VRcd	VRsd	VRd	Tpl	Mr	Dx	Staffe	CS	ζ _E
	kg	kg	kg	kg	kg	kg	kg*m	cm	cmq/m		
Sin	2950	--	26601	26601	26601	0	5843	40.0	10.05	9.0	12
Cen	2769	--	23581	14443	14443	--	--	--	4.57	5.2	6.3
Des	2348	--	26601	26601	26601	0	5843	40.0	10.05	11	12

Verifica incendio: TeqvCls(°)=218 TeqvAcc(°)=420 Curva:ISO834, γCls=1.20(Agregato Calcareo) γAcc=1.00(Laminato a caldo), verifica per R120(min)

X	M-	M+	ΔM-	ΔM+	Afs	Afi	Mr-	Mr+	C-	C+	CS	ζ _E
cm	kg*m	kg*m	kg*m	kg*m	cmq	cmq	kg*m	kg*m				
ILN	669	--	--	--	4.62	4.62	7102	7138	51	51	11	--
27.8	471	--	--	--	4.62	4.62	7102	7138	51	51	15	--
CAMP	299	--	--	--	4.62	4.62	7102	7138	51	51	24	--
249.9	--	197	--	--	4.62	4.62	7102	7138	51	51	36	--
FLN	--	167	--	--	4.62	4.62	7102	7138	51	51	43	--

X	x-	d-	x-/d-	x+	d+	x+/d+	Mr-	Mr+	C-	C+	Stato-	Stato+
cm	cm	cm		cm	cm		kg*m	kg*m				
ILN	13.4	39.3	0.341	--	--	--	7102	7138	51	51	Parz.	--
27.8	13.4	39.3	0.341	--	--	--	7102	7138	51	51	Parz.	--
CAMP	13.4	39.3	0.341	--	--	--	7102	7138	51	51	Parz.	--
249.9	--	--	--	10.5	37.0	0.282	7102	7138	51	51	--	Parz.
FLN	--	--	--	10.5	37.0	0.282	7102	7138	51	51	--	Parz.

Verifica a taglio: $\cot(\theta)$ Sin=2.098, $\cot(\theta)$ Cen=2.500, $\cot(\theta)$ Des=2.098 Comb: Sin=51 Cen=51 Des=51

Sez	Td	VRdns	VRcd	VRsd	VRd	Tpl	Mr	Dx	Staffe	CS	ζ_E
	kg	kg	kg	kg	kg	kg	kg*m	cm	cmq/m		
Sin	757	--	25480	25480	25480	0	7138	40.0	10.05	34	--
Cen	576	--	22620	13803	13803	--	--	--	4.57	24	--
Des	155	--	25480	25480	25480	0	7102	40.0	10.05	>100	--

Trave: 117 [149,146], Pilastrate [49,46] Sez. R: By=20.0 cm Bz=40.0 cm L=276.1 cm Ln=277.8 cm Criterio : CLS_TraviAlte_ND - Verifica a flessione: **Verificato**

X	M-	M+	$\Delta M-$	$\Delta M+$	Afs	Afi	Mr-	Mr+	C-	C+	CS	ζ_E
cm	kg*m	kg*m	kg*m	kg*m	cmq	cmq	kg*m	kg*m				
ILN	1247	2109	--	--	3.08	3.08	3895	3895	(16+17)-I-3	(16+17)-I-1	1.8	2.1
27.8	960	1757	--	--	3.08	3.08	3895	3895	(16+17)-I-3	(16+17)-I-1	2.2	2.6
CAMP	1244	1385	--	--	3.08	3.08	3895	3895	2	(16+17)-I-1	2.8	3.4
250.0	1801	593	--	--	3.08	3.08	3895	3895	(16+17)-I-1	(16+17)-I-3	2.2	2.7
FLN	2339	694	--	--	3.08	3.08	3895	3895	(16+17)-I-1	(16+17)-I-3	1.7	2.0

X	x-	d-	x-/d-	x+	d+	x+/d+	Mr-	Mr+	C-	C+	Stato-	Stato+
cm	cm	cm		cm	cm		kg*m	kg*m				
ILN	9.8	35.9	0.274	9.9	35.9	0.277	3895	3895	(16+17)-I-3	(16+17)-I-1	Parz.	Parz.
27.8	9.8	35.9	0.273	9.9	35.9	0.276	3895	3895	(16+17)-I-3	(16+17)-I-1	Parz.	Parz.
CAMP	9.8	35.9	0.274	9.9	35.9	0.274	3895	3895	2	(16+17)-I-1	Parz.	Parz.
250.0	9.9	35.9	0.276	9.8	35.9	0.272	3895	3895	(16+17)-I-1	(16+17)-I-3	Parz.	Parz.
FLN	10.0	35.9	0.277	9.8	35.9	0.272	3895	3895	(16+17)-I-1	(16+17)-I-3	Parz.	Parz.

Verifica a taglio: $\cot(\theta)$ Sin=1.608, $\cot(\theta)$ Cen=2.500, $\cot(\theta)$ Des=1.608 Comb: Sin=(16+17)-I-1 Cen=(16+17)-I-1 Des=3

Sez	Td	VRdns	VRcd	VRsd	VRd	Tpl	Mr	Dx	Staffe	CS	ζ_E
	kg	kg	kg	kg	kg	kg	kg*m	cm	cmq/m		
Sin	1303	--	20443	20443	20443	0	3895	40.0	10.05	16	18
Cen	1825	--	15720	12710	12710	--	--	--	4.02	7.0	10
Des	2023	--	20443	20443	20443	0	3895	40.0	10.05	10	--

Verifica incendio: $T_{eqvClS}(^{\circ})=200$ $T_{eqvAcc}(^{\circ})=418$ Curva:ISO834, $\gamma_{ClS}=1.20$ (Aggregato Calcareo) $\gamma_{Acc}=1.00$ (Laminato a caldo), verifica per R120(min)

X	M-	M+	$\Delta M-$	$\Delta M+$	Afs	Afi	Mr-	Mr+	C-	C+	CS	ζ_E
cm	kg*m	kg*m	kg*m	kg*m	cmq	cmq	kg*m	kg*m				
ILN	--	431	--	--	3.08	3.08	4741	4752	51	51	11	--
27.8	--	399	--	--	3.08	3.08	4741	4752	51	51	12	--
CAMP	406	--	--	--	3.08	3.08	4741	4752	51	51	12	--
250.0	604	--	--	--	3.08	3.08	4741	4752	51	51	7.8	--
FLN	822	--	--	--	3.08	3.08	4741	4752	51	51	5.8	--

X	x-	d-	x-/d-	x+	d+	x+/d+	Mr-	Mr+	C-	C+	Stato-	Stato+
cm	cm	cm		cm	cm		kg*m	kg*m				
ILN	--	--	--	10.3	36.7	0.281	4741	4752	51	51	--	Parz.
27.8	--	--	--	10.3	36.7	0.281	4741	4752	51	51	--	Parz.

X	x-	d-	x-/d-	x+	d+	x+/d+	Mr-	Mr+	C-	C+	Stato-	Stato+
CAMP	12.7	38.0	0.334	--	--	--	4741	4752	51	51	Parz.	--
250.0	12.7	38.0	0.334	--	--	--	4741	4752	51	51	Parz.	--
FLN	12.7	38.0	0.334	--	--	--	4741	4752	51	51	Parz.	--

Verifica a taglio: $\cot(\theta)$ Sin=1.619, $\cot(\theta)$ Cen=2.500, $\cot(\theta)$ Des=1.619 Comb: Sin=51 Cen=51 Des=51

Sez	Td	VRdns	VRcd	VRsd	VRd	Tpl	Mr	Dx	Staffe	CS	ζ_E
	kg	kg	kg	kg	kg	kg	kg*m	cm	cmq/m		
Sin	153	--	19770	19770	19770	0	4752	40.0	10.05	>100	--
Cen	675	--	15248	12211	12211	--	--	--	4.02	18	--
Des	818	--	19770	19770	19770	0	4741	40.0	10.05	24	--

Trave: 118 [142,140], Pilastrate [42,40] Sez. R: By=20.0 cm Bz=40.0 cm L=303.2 cm Ln=304.7 cm Criterio : CLS_TraviAlte_ND - Verifica a flessione: **Verificato**

X	M-	M+	$\Delta M-$	$\Delta M+$	Afs	Afi	Mr-	Mr+	C-	C+	CS	ζ_E
cm	kg*m	kg*m	kg*m	kg*m	cmq	cmq	kg*m	kg*m				
ILN	709	1271	--	--	3.08	3.08	3895	3895	(16+17)-I-3	(16+17)-I-1	3.1	3.7
30.5	500	1050	--	--	3.08	3.08	3895	3895	(16+17)-I-3	(16+17)-I-1	3.7	4.7
CAMP	1239	477	--	--	3.08	3.08	3895	3895	2	(16+17)-II-2	3.1	16
274.2	1710	246	--	--	3.08	3.08	3895	3895	2	(16+17)-I-3	2.3	4.9
FLN	2230	228	--	--	3.08	3.08	3895	3895	2	(16+17)-I-3	1.7	4.2

X	x-	d-	x-/d-	x+	d+	x+/d+	Mr-	Mr+	C-	C+	Stato-	Stato+
cm	cm	cm		cm	cm		kg*m	kg*m				
ILN	9.8	35.9	0.272	9.8	35.9	0.274	3895	3895	(16+17)-I-3	(16+17)-I-1	Parz.	Parz.
30.5	9.8	35.9	0.272	9.8	35.9	0.273	3895	3895	(16+17)-I-3	(16+17)-I-1	Parz.	Parz.
CAMP	9.8	35.9	0.274	9.8	35.9	0.272	3895	3895	2	(16+17)-II-2	Parz.	Parz.
274.2	9.9	35.9	0.275	9.7	35.9	0.271	3895	3895	2	(16+17)-I-3	Parz.	Parz.
FLN	9.9	35.9	0.277	9.7	35.9	0.271	3895	3895	2	(16+17)-I-3	Parz.	Parz.

Verifica a taglio: $\cot(\theta)$ Sin=1.608, $\cot(\theta)$ Cen=2.500, $\cot(\theta)$ Des=1.608 Comb: Sin=(16+17)-I-1 Cen=3 Des=3

Sez	Td	VRdns	VRcd	VRsd	VRd	Tpl	Mr	Dx	Staffe	CS	ζ_E
	kg	kg	kg	kg	kg	kg	kg*m	cm	cmq/m		
Sin	767	--	20443	20443	20443	0	3895	40.0	10.05	27	29
Cen	1460	--	15720	12710	12710	--	--	--	4.02	8.7	--
Des	1771	--	20443	20443	20443	0	3895	40.0	10.05	12	--

Verifica incendio: $T_{eqvClS}(^{\circ})=200$ $T_{eqvAcc}(^{\circ})=418$ Curva:ISO834, $\gamma_{ClS}=1.20$ (Aggregato Calcareo)
 $\gamma_{Acc}=1.00$ (Laminato a caldo),verifica per R120(min)

X	M-	M+	$\Delta M-$	$\Delta M+$	Afs	Afi	Mr-	Mr+	C-	C+	CS	ζ_E
cm	kg*m	kg*m	kg*m	kg*m	cmq	cmq	kg*m	kg*m				
ILN	--	281	--	--	3.08	3.08	4741	4752	51	51	17	--
30.5	--	275	--	--	3.08	3.08	4741	4752	51	51	17	--
CAMP	487	--	--	--	3.08	3.08	4741	4752	51	51	9.7	--
274.2	696	--	--	--	3.08	3.08	4741	4752	51	51	6.8	--
FLN	928	--	--	--	3.08	3.08	4741	4752	51	51	5.1	--

X	x-	d-	x-/d-	x+	d+	x+/d+	Mr-	Mr+	C-	C+	Stato-	Stato+
cm	cm	cm		cm	cm		kg*m	kg*m				
ILN	--	--	--	10.3	36.7	0.281	4741	4752	51	51	--	Parz.
30.5	--	--	--	10.3	36.7	0.281	4741	4752	51	51	--	Parz.
CAMP	12.7	38.0	0.334	--	--	--	4741	4752	51	51	Parz.	--
274.2	12.7	38.0	0.334	--	--	--	4741	4752	51	51	Parz.	--
FLN	12.7	38.0	0.334	--	--	--	4741	4752	51	51	Parz.	--

Verifica a taglio: $\cot(\theta)$ Sin=1.619, $\cot(\theta)$ Cen=2.500, $\cot(\theta)$ Des=1.619 Comb: Sin=51 Cen=51 Des=51

Sez	Td	VRdhs	VRcd	VRsd	VRd	Tpl	Mr	Dx	Staffe	CS	ζ_E
	kg	kg	kg	kg	kg	kg	kg*m	cm	cmq/m		
Sin	63	--	19770	19770	19770	0	4752	40.0	10.05	>100	--
Cen	644	--	15248	12211	12211	--	--	--	4.02	19	--
Des	798	--	19770	19770	19770	0	4741	40.0	10.05	25	--

Trave: 119 [123,124], Pilastrate [23,24] Sez. R: By=20.0 cm Bz=40.0 cm L=276.6 cm Ln=277.4 cm Criterio : CLS_TraviAlte_ND - Verifica a flessione: **Verificato**

X	M-	M+	$\Delta M-$	$\Delta M+$	Afs	Afi	Mr-	Mr+	C-	C+	CS	ζ_E
cm	kg*m	kg*m	kg*m	kg*m	cmq	cmq	kg*m	kg*m				
ILN	3316	3436	--	--	4.62	3.08	5738	3903	(16+17)-I-3	(16+17)-I-1	1.1	1.1
27.7	2624	2773	--	--	4.62	3.08	5738	3903	(16+17)-I-3	(16+17)-I-1	1.4	1.4
CAMP	2408	--	--	--	4.62	3.08	5738	3903	(16+17)-I-1	50	2.4	2.6
249.6	3223	2231	--	--	4.62	3.08	5738	3903	(16+17)-I-1	(16+17)-I-3	1.7	1.6
FLN	4057	2750	--	--	4.62	3.08	5738	3903	(16+17)-I-1	(16+17)-I-3	1.4	1.3

X	x-	d-	x-/d-	x+	d+	x+/d+	Mr-	Mr+	C-	C+	Stato-	Stato +
cm	cm	cm		cm	cm		kg*m	kg*m				
ILN	11.9	35.9	0.332	9.6	35.9	0.267	5738	3903	(16+17)-I-3	(16+17)-I-1	Parz.	Parz.
27.7	11.8	35.9	0.329	9.5	35.9	0.265	5738	3903	(16+17)-I-3	(16+17)-I-1	Parz.	Parz.
CAMP	11.8	35.9	0.329	--	--	--	5738	3903	(16+17)-I-1	50	Parz.	--
249.6	11.9	35.9	0.331	9.5	35.9	0.264	5738	3903	(16+17)-I-1	(16+17)-I-3	Parz.	Parz.
FLN	12.0	35.9	0.334	9.5	35.9	0.265	5738	3903	(16+17)-I-1	(16+17)-I-3	Parz.	Parz.

Verifica a taglio: $\cot(\theta)$ Sin=1.608, $\cot(\theta)$ Cen=2.500, $\cot(\theta)$ Des=1.608 Comb: Sin=(16+17)-I-3
Cen=(16+17)-I-1 Des=(16+17)-I-1

Sez	Td	VRdhs	VRcd	VRsd	VRd	Tpl	Mr	Dx	Staffe	CS	ζ_E
	kg	kg	kg	kg	kg	kg	kg*m	cm	cmq/m		
Sin	2530	--	20443	20443	20443	0	3903	40.0	10.05	8.1	8.3
Cen	2906	--	15720	12710	12710	--	--	--	4.02	4.4	5.0
Des	3044	--	20443	20443	20443	0	5738	40.0	10.05	6.7	8.1

Verifica incendio: TeqvCls(°)=200 TeqvAcc(°)=414 Curva:ISO834, γ_{Cls} =1.20(Agregato Calcareo)
 γ_{Acc} =1.00(Laminato a caldo), verifica per R120(min)

X	M-	M+	$\Delta M-$	$\Delta M+$	Afs	Afi	Mr-	Mr+	C-	C+	CS	ζ_E
cm	kg*m	kg*m	kg*m	kg*m	cmq	cmq	kg*m	kg*m				
ILN	--	60	--	--	4.62	3.08	6947	4754	51	51	79	--
27.7	--	75	--	--	4.62	3.08	6947	4754	51	51	64	--
CAMP	358	--	--	--	4.62	3.08	6947	4754	51	51	19	--
249.6	496	--	--	--	4.62	3.08	6947	4754	51	51	14	--
FLN	653	--	--	--	4.62	3.08	6947	4754	51	51	11	--

X	x-	d-	x-/d-	x+	d+	x+/d+	Mr-	Mr+	C-	C+	Stato-	Stato +
cm	cm	cm		cm	cm		kg*m	kg*m				
ILN	--	--	--	9.9	36.7	0.269	6947	4754	51	51	--	Parz.
27.7	--	--	--	9.9	36.7	0.269	6947	4754	51	51	--	Parz.
CAMP	14.9	38.4	0.388	--	--	--	6947	4754	51	51	Parz.	--
249.6	14.9	38.4	0.388	--	--	--	6947	4754	51	51	Parz.	--
FLN	14.9	38.4	0.388	--	--	--	6947	4754	51	51	Parz.	--

Verifica a taglio: $\cot(\theta)$ Sin=1.611, $\cot(\theta)$ Cen=2.500, $\cot(\theta)$ Des=1.611 Comb: Sin=51 Cen=51 Des=51

Sez	Td	VRdhs	VRcd	VRsd	VRd	Tpl	Mr	Dx	Staffe	CS	ζ_E
	kg	kg	kg	kg	kg	kg	kg*m	cm	cmq/m		
Sin	87	--	19850	19850	19850	0	6947	40.0	10.05	>100	--
Cen	464	--	15274	12324	12324	--	--	--	4.02	27	--

Sez	Td	VRdns	VRcd	VRsd	VRd	Tpl	Mr	Dx	Staffe	CS	ζ _E
Des	601	--	19850	19850	19850	0	4754	40.0	10.05	33	--

Trave: 122 [128,229], Pilastrate [28,29] Sez. R: By=20.0 cm Bz=30.0 cm L=334.3 cm Ln=335.7 cm Criterio : CLS_TraviAlte_ND - Verifica a flessione: **Verificato**

X	M-	M+	ΔM-	ΔM+	Afs	Afi	Mr-	Mr+	C-	C+	CS	ζ _E
cm	kg*m	kg*m	kg*m	kg*m	cmq	cmq	kg*m	kg*m				
ILN	1468	1098	--	--	3.08	3.08	2739	2739	(16+17)-I-3	(16+17)-I-1	1.9	2.0
33.6	1143	936	--	--	3.08	3.08	2739	2739	(16+17)-I-3	(16+17)-I-1	2.4	2.5
CAMP	839	--	--	--	3.08	3.08	2739	2739	(16+17)-I-3	50	3.3	3.4
302.1	1145	681	--	--	3.08	3.08	2739	2739	(16+17)-I-1	(16+17)-I-3	2.4	2.7
FLN	1502	812	--	--	3.08	3.08	2739	2739	(16+17)-I-1	(16+17)-I-3	1.8	2.1

X	x-	d-	x-/d-	x+	d+	x+/d+	Mr-	Mr+	C-	C+	Stato-	Stato+
cm	cm	cm		cm	cm		kg*m	kg*m				
ILN	8.2	25.9	0.317	8.2	25.9	0.315	2739	2739	(16+17)-I-3	(16+17)-I-1	Parz.	Parz.
33.6	8.2	25.9	0.315	8.1	25.9	0.314	2739	2739	(16+17)-I-3	(16+17)-I-1	Parz.	Parz.
CAMP	8.1	25.9	0.313	--	--	--	2739	2739	(16+17)-I-3	50	Parz.	--
302.1	8.2	25.9	0.315	8.1	25.9	0.313	2739	2739	(16+17)-I-1	(16+17)-I-3	Parz.	Parz.
FLN	8.2	25.9	0.317	8.1	25.9	0.313	2739	2739	(16+17)-I-1	(16+17)-I-3	Parz.	Parz.

Verifica a taglio: $\cot(\theta) \sin=1.485, \cot(\theta) \cos=2.485, \cot(\theta) \tan=1.485$ Comb: $\sin=(16+17)-I-3$
 $\cos=(16+17)-I-1$ $\tan=(16+17)-I-1$

Sez	Td	VRdns	VRcd	VRsd	VRd	Tpl	Mr	Dx	Staffe	CS	ζ _E
	kg	kg	kg	kg	kg	kg	kg*m	cm	cmq/m		
Sin	1003	--	15236	15236	15236	0	2739	35.8	11.25	15	21
Cen	968	--	11392	11392	11392	--	--	--	5.03	12	15
Des	1094	--	15236	15236	15236	0	2739	35.8	11.25	14	20

Verifica incendio: $T_{eqvClis}(^{\circ})=182$ $T_{eqvAcc}(^{\circ})=405$ Curva: ISO834, $\gamma_{Clis}=1.20$ (Aggregato Calcareo)
 $\gamma_{Acc}=1.00$ (Laminato a caldo), verifica per R120(min)

X	M-	M+	ΔM-	ΔM+	Afs	Afi	Mr-	Mr+	C-	C+	CS	ζ _E
cm	kg*m	kg*m	kg*m	kg*m	cmq	cmq	kg*m	kg*m				
ILN	185	--	--	--	3.08	3.08	3363	3367	51	51	18	--
33.6	103	--	--	--	3.08	3.08	3363	3367	51	51	33	--
CAMP	141	--	--	--	3.08	3.08	3363	3367	51	51	24	--
302.1	232	--	--	--	3.08	3.08	3363	3367	51	51	14	--
FLN	345	--	--	--	3.08	3.08	3363	3367	51	51	9.7	--

X	x-	d-	x-/d-	x+	d+	x+/d+	Mr-	Mr+	C-	C+	Stato-	Stato+
cm	cm	cm		cm	cm		kg*m	kg*m				
ILN	9.8	27.2	0.361	--	--	--	3363	3367	51	51	Parz.	--
33.6	9.8	27.2	0.361	--	--	--	3363	3367	51	51	Parz.	--
CAMP	9.8	27.2	0.361	--	--	--	3363	3367	51	51	Parz.	--
302.1	9.8	27.2	0.361	--	--	--	3363	3367	51	51	Parz.	--
FLN	9.8	27.2	0.361	--	--	--	3363	3367	51	51	Parz.	--

Verifica a taglio: $\cot(\theta) \sin=1.473, \cot(\theta) \cos=2.468, \cot(\theta) \tan=1.473$ Comb: $\sin=51$ $\cos=51$ $\tan=51$

Sez	Td	VRdns	VRcd	VRsd	VRd	Tpl	Mr	Dx	Staffe	CS	ζ _E
	kg	kg	kg	kg	kg	kg	kg*m	cm	cmq/m		
Sin	276	--	14940	14940	14940	0	3367	35.8	11.25	54	--
Cen	241	--	11189	11189	11189	--	--	--	5.03	46	--
Des	367	--	14940	14940	14940	0	3363	35.8	11.25	41	--

Trave: 122 [229,79], Pilastrate [29,--] Sez. R: By=50.0 cm Bz=20.0 cm L=321.7 cm Ln=306.8 cm Criterio : CLS_TraviSpessore_ND - Verifica a flessione: **Verificato**

X	M-	M+	ΔM-	ΔM+	Afs	Afi	Mr-	Mr+	C-	C+	CS	ζ _E
cm	kg*m	kg*m	kg*m	kg*m	cmq	cmq	kg*m	kg*m				
ILN	1902	--	--	--	6.16	6.16	3238	3238	(16+17)-I-3	50	1.7	2.7
30.7	1078	187	--	--	6.16	6.16	3238	3238	(16+17)-I-3	(16+17)-I-1	3.0	4.4
CAMP	--	1135	--	--	6.16	6.16	3238	3238	50	2	2.9	--
276.2	930	447	--	--	6.16	6.16	3238	3238	(16+17)-I-1	(16+17)-I-3	3.5	4.4
FLN	1624	84	--	--	6.16	6.16	3238	3238	(16+17)-I-1	(16+17)-I-3	2.0	2.9

X	x-	d-	x-/d-	x+	d+	x+/d+	Mr-	Mr+	C-	C+	Stato-	Stato+
cm	cm	cm		cm	cm		kg*m	kg*m				
ILN	5.8	15.9	0.367	--	--	--	3238	3238	(16+17)-I-3	50	Parz.	--
30.7	5.8	15.9	0.362	5.7	15.9	0.356	3238	3238	(16+17)-I-3	(16+17)-I-1	Parz.	Parz.
CAMP	--	--	--	5.8	15.9	0.362	3238	3238	50	2	--	Parz.
276.2	5.7	15.9	0.361	5.7	15.9	0.358	3238	3238	(16+17)-I-1	(16+17)-I-3	Parz.	Parz.
FLN	5.8	15.9	0.365	5.7	15.9	0.356	3238	3238	(16+17)-I-1	(16+17)-I-3	Parz.	Parz.

Verifica a taglio: $\cot(\theta)$ Sin=2.500, $\cot(\theta)$ Cen=2.500, $\cot(\theta)$ Des=2.500 Comb: Sin=3 Cen=3 Des=3

Sez	Td	VRdns	VRcd	VRsd	VRd	Tpl	Mr	Dx	Staffe	CS	ζ _E
	kg	kg	kg	kg	kg	kg	kg*m	cm	cmq/m		
Sin	3978	--	17406	15926	15926	0	3238	35.3	11.38	4.0	--
Cen	2322	--	17406	11944	11944	--	--	--	8.53	5.1	--
Des	3120	--	17406	15926	15926	0	3238	35.3	11.38	5.1	--

Verifica incendio: $T_{eqvClS}(^{\circ})=323$ $T_{eqvAcc}(^{\circ})=422$ Curva:ISO834, $\gamma_{ClS}=1.20$ (Aggregato Calcareo)

$\gamma_{Acc}=1.00$ (Laminato a caldo), verifica per R120(min)

X	M-	M+	ΔM-	ΔM+	Afs	Afi	Mr-	Mr+	C-	C+	CS	ζ _E
cm	kg*m	kg*m	kg*m	kg*m	cmq	cmq	kg*m	kg*m				
ILN	1105	--	--	--	6.16	6.16	4059	4132	51	51	3.7	--
30.7	446	--	--	--	6.16	6.16	4059	4132	51	51	9.1	--
CAMP	--	700	--	--	6.16	6.16	4059	4132	51	51	5.9	--
276.2	242	--	--	--	6.16	6.16	4059	4132	51	51	17	--
FLN	770	--	--	--	6.16	6.16	4059	4132	51	51	5.3	--

X	x-	d-	x-/d-	x+	d+	x+/d+	Mr-	Mr+	C-	C+	Stato-	Stato+
cm	cm	cm		cm	cm		kg*m	kg*m				
ILN	8.1	18.5	0.440	--	--	--	4059	4132	51	51	Parz.	--
30.7	8.1	18.5	0.440	--	--	--	4059	4132	51	51	Parz.	--
CAMP	--	--	--	6.0	16.3	0.367	4059	4132	51	51	--	Parz.
276.2	8.1	18.5	0.440	--	--	--	4059	4132	51	51	Parz.	--
FLN	8.1	18.5	0.440	--	--	--	4059	4132	51	51	Parz.	--

Verifica a taglio: $\cot(\theta)$ Sin=2.500, $\cot(\theta)$ Cen=2.500, $\cot(\theta)$ Des=2.500 Comb: Sin=51 Cen=51 Des=51

Sez	Td	VRdns	VRcd	VRsd	VRd	Tpl	Mr	Dx	Staffe	CS	ζ _E
	kg	kg	kg	kg	kg	kg	kg*m	cm	cmq/m		
Sin	2399	--	15596	15159	15159	0	4132	35.3	11.38	6.3	--
Cen	1402	--	15596	11369	11369	--	--	--	8.53	8.1	--
Des	1904	--	15596	15159	15159	0	4059	35.3	11.38	8.0	--

Trave: 123 [114,220], Pilastrate [14,20] Sez. R: By=20.0 cm Bz=30.0 cm L=446.0 cm Ln=447.0 cm Criterio : CLS_TraviAlte_ND - Verifica a flessione: **Verificato**

X	M-	M+	ΔM-	ΔM+	Afs	Afi	Mr-	Mr+	C-	C+	CS	ζ _E
cm	kg*m	kg*m	kg*m	kg*m	cmq	cmq	kg*m	kg*m				
ILN	1280	--	--	--	3.08	3.08	2739	2739	2	50	2.1	--
44.7	744	61	--	--	3.08	3.08	2739	2739	2	(16+17)-II-1	3.7	8.6
CAMP	383	188	--	--	3.08	3.08	2739	2739	(16+17)-II-2	1	7.2	9.7

X	M-	M+	ΔM-	ΔM+	Afs	Afi	Mr-	Mr+	C-	C+	CS	ζ _E
402.3	484	118	--	--	3.08	3.08	2739	2739	(16+17)-II-1	(16+17)-II-2	5.7	8.5
FLN	758	7	--	--	3.08	3.08	2739	2739	(16+17)-II-1	(16+17)-II-2	3.6	6.2

X	x-	d-	x-/d-	x+	d+	x+/d+	Mr-	Mr+	C-	C+	Stato-	Stato+
cm	cm	cm		cm	cm		kg*m	kg*m				
ILN	8.2	25.9	0.316	--	--	--	2739	2739	2	50	Parz.	--
44.7	8.1	25.9	0.313	8.0	25.9	0.309	2739	2739	2	(16+17)-II-1	Parz.	Parz.
CAMP	8.1	25.9	0.311	8.0	25.9	0.310	2739	2739	(16+17)-II-2	1	Parz.	Parz.
402.3	8.1	25.9	0.312	8.0	25.9	0.310	2739	2739	(16+17)-II-1	(16+17)-II-2	Parz.	Parz.
FLN	8.1	25.9	0.313	8.0	25.9	0.309	2739	2739	(16+17)-II-1	(16+17)-II-2	Parz.	Parz.

Verifica a taglio: $\cot(\theta)$ Sin=1.549, $\cot(\theta)$ Cen=2.485, $\cot(\theta)$ Des=1.549 Comb: Sin=3 Cen=3 Des=3

Sez	Td	VRdns	VRcd	VRsd	VRd	Tpl	Mr	Dx	Staffe	CS	ζ _E
	kg	kg	kg	kg	kg	kg	kg*m	cm	cmq/m		
Sin	1330	--	14986	14986	14986	0	2739	47.4	10.60	11	--
Cen	818	--	11392	11392	11392	--	--	--	5.03	14	--
Des	945	--	14986	14986	14986	0	2739	47.4	10.60	16	--

Verifica incendio: TeqvCls(°)=182 TeqvAcc(°)=405 Curva:ISO834, γCls=1.20(Agregato Calcareo)

γAcc=1.00(Laminato a caldo), verifica per R120(min)

X	M-	M+	ΔM-	ΔM+	Afs	Afi	Mr-	Mr+	C-	C+	CS	ζ _E
cm	kg*m	kg*m	kg*m	kg*m	cmq	cmq	kg*m	kg*m				
ILN	527	--	--	--	3.08	3.08	3363	3367	51	51	6.4	--
44.7	293	--	--	--	3.08	3.08	3363	3367	51	51	11	--
CAMP	--	142	--	--	3.08	3.08	3363	3367	51	51	24	--
402.3	183	--	--	--	3.08	3.08	3363	3367	51	51	18	--
FLN	376	--	--	--	3.08	3.08	3363	3367	51	51	9.0	--

X	x-	d-	x-/d-	x+	d+	x+/d+	Mr-	Mr+	C-	C+	Stato-	Stato+
cm	cm	cm		cm	cm		kg*m	kg*m				
ILN	9.8	27.2	0.361	--	--	--	3363	3367	51	51	Parz.	--
44.7	9.8	27.2	0.361	--	--	--	3363	3367	51	51	Parz.	--
CAMP	--	--	--	8.4	26.1	0.321	3363	3367	51	51	--	Parz.
402.3	9.8	27.2	0.361	--	--	--	3363	3367	51	51	Parz.	--
FLN	9.8	27.2	0.361	--	--	--	3363	3367	51	51	Parz.	--

Verifica a taglio: $\cot(\theta)$ Sin=1.535, $\cot(\theta)$ Cen=2.465, $\cot(\theta)$ Des=1.535 Comb: Sin=51 Cen=51 Des=51

Sez	Td	VRdns	VRcd	VRsd	VRd	Tpl	Mr	Dx	Staffe	CS	ζ _E
	kg	kg	kg	kg	kg	kg	kg*m	cm	cmq/m		
Sin	581	--	14676	14676	14676	0	3367	47.4	10.60	25	--
Cen	353	--	11175	11175	11175	--	--	--	5.03	32	--
Des	480	--	14676	14676	14676	0	3363	47.4	10.60	31	--

Trave: 123 [220,77], Pilastrate [20,27] Sez. R: By=50.0 cm Bz=20.0 cm L=400.5 cm Ln=400.5 cm Criterio : CLS_TraviSpessore_ND - Verifica a flessione: **Verificato**

X	M-	M+	ΔM-	ΔM+	Afs	Afi	Mr-	Mr+	C-	C+	CS	ζ _E
cm	kg*m	kg*m	kg*m	kg*m	cmq	cmq	kg*m	kg*m				
ILN	2525	--	--	--	6.16	6.16	3238	3238	2	50	1.3	--
40.1	1160	--	--	--	6.16	6.16	3238	3238	2	50	2.8	--
CAMP	--	1306	--	--	6.16	6.16	3238	3238	50	2	2.5	--
360.5	784	--	--	--	6.16	6.16	3238	3238	2	50	4.1	--
FLN	1982	--	--	--	6.16	6.16	3238	3238	2	50	1.6	--

X	x-	d-	x-/d-	x+	d+	x+/d+	Mr-	Mr+	C-	C+	Stato-	Stato+
cm	cm	cm		cm	cm		kg*m	kg*m				
ILN	5.9	15.9	0.372	--	--	--	3238	3238	2	50	Parz.	--
40.1	5.8	15.9	0.362	--	--	--	3238	3238	2	50	Parz.	--
CAMP	--	--	--	5.8	15.9	0.363	3238	3238	50	2	--	Parz.
360.5	5.7	15.9	0.360	--	--	--	3238	3238	2	50	Parz.	--
FLN	5.8	15.9	0.368	--	--	--	3238	3238	2	50	Parz.	--

Verifica a taglio: $\cot(\theta)$ Sin=2.500, $\cot(\theta)$ Cen=2.500, $\cot(\theta)$ Des=2.500 Comb: Sin=3 Cen=3 Des=3

Sez	Td	VRdns	VRcd	VRsd	VRd	Tpl	Mr	Dx	Staffe	CS	ζ_E
	kg	kg	kg	kg	kg	kg	kg*m	cm	cmq/m		
Sin	3791	--	17406	14073	14073	0	3238	42.4	10.05	3.7	--
Cen	2273	--	17406	11728	11728	--	--	--	8.38	5.2	--
Des	3319	--	17406	14073	14073	0	3238	42.4	10.05	4.2	--

Verifica incendio: $T_{eqvClis}(\circ)=323$ $T_{eqvAcc}(\circ)=422$ Curva: ISO834, $\gamma_{Clis}=1.20$ (Aggregato Calcareo)
 $\gamma_{Acc}=1.00$ (Laminato a caldo), verifica per R120(min)

X	M-	M+	$\Delta M-$	$\Delta M+$	Afs	Afi	Mr-	Mr+	C-	C+	CS	ζ_E
cm	kg*m	kg*m	kg*m	kg*m	cmq	cmq	kg*m	kg*m				
ILN	1532	--	--	--	6.16	6.16	4059	4132	51	51	2.6	--
40.1	697	--	--	--	6.16	6.16	4059	4132	51	51	5.8	--
CAMP	--	809	--	--	6.16	6.16	4059	4132	51	51	5.1	--
360.5	484	--	--	--	6.16	6.16	4059	4132	51	51	8.4	--
FLN	1224	--	--	--	6.16	6.16	4059	4132	51	51	3.3	--

X	x-	d-	x-/d-	x+	d+	x+/d+	Mr-	Mr+	C-	C+	Stato-	Stato+
cm	cm	cm		cm	cm		kg*m	kg*m				
ILN	8.1	18.5	0.440	--	--	--	4059	4132	51	51	Parz.	--
40.1	8.1	18.5	0.440	--	--	--	4059	4132	51	51	Parz.	--
CAMP	--	--	--	6.0	16.3	0.367	4059	4132	51	51	--	Parz.
360.5	8.1	18.5	0.440	--	--	--	4059	4132	51	51	Parz.	--
FLN	8.1	18.5	0.440	--	--	--	4059	4132	51	51	Parz.	--

Verifica a taglio: $\cot(\theta)$ Sin=2.500, $\cot(\theta)$ Cen=2.500, $\cot(\theta)$ Des=2.500 Comb: Sin=51 Cen=51 Des=51

Sez	Td	VRdns	VRcd	VRsd	VRd	Tpl	Mr	Dx	Staffe	CS	ζ_E
	kg	kg	kg	kg	kg	kg	kg*m	cm	cmq/m		
Sin	2319	--	15596	13396	13396	0	4132	42.4	10.05	5.8	--
Cen	1390	--	15596	11163	11163	--	--	--	8.38	8.0	--
Des	2049	--	15596	13396	13396	0	4059	42.4	10.05	6.5	--

Trave: 123 [78,77], Pilastrate [--,27] Sez. R: By=50.0 cm Bz=20.0 cm L=213.7 cm Ln=213.7 cm Criterio : CLS_TraviSpessore_ND - Verifica a flessione: **Verificato**

X	M-	M+	$\Delta M-$	$\Delta M+$	Afs	Afi	Mr-	Mr+	C-	C+	CS	ζ_E
cm	kg*m	kg*m	kg*m	kg*m	cmq	cmq	kg*m	kg*m				
ILN	622	501	--	--	6.16	6.16	3238	3238	(16+17)-II-1	(16+17)-II-2	5.2	5.7
21.4	490	417	--	--	6.16	6.16	3238	3238	(16+17)-II-1	(16+17)-II-2	6.6	7.1
CAMP	492	--	--	--	6.16	6.16	3238	3238	(16+17)-II-2	50	6.6	10
192.3	668	157	--	--	6.16	6.16	3238	3238	(16+17)-II-2	(16+17)-II-1	4.8	7.2
FLN	855	186	--	--	6.16	6.16	3238	3238	(16+17)-II-2	(16+17)-II-1	3.8	5.6

X	x-	d-	x-/d-	x+	d+	x+/d+	Mr-	Mr+	C-	C+	Stato-	Stato+
cm	cm	cm		cm	cm		kg*m	kg*m				
ILN	5.7	15.9	0.359	5.7	15.9	0.358	3238	3238	(16+17)-II-1	(16+17)-II-2	Parz.	Parz.
21.4	5.7	15.9	0.358	5.7	15.9	0.358	3238	3238	(16+17)-II-1	(16+17)-II-2	Parz.	Parz.
CAMP	5.7	15.9	0.358	--	--	--	3238	3238	(16+17)-II-2	50	Parz.	--

X	x-	d-	x-/d-	x+	d+	x+/d+	Mr-	Mr+	C-	C+	Stato-	Stato+
192.3	5.7	15.9	0.359	5.7	15.9	0.356	3238	3238	(16+17)-II-2	(16+17)-II-1	Parz.	Parz.
FLN	5.7	15.9	0.360	5.7	15.9	0.356	3238	3238	(16+17)-II-2	(16+17)-II-1	Parz.	Parz.

Verifica a taglio: $\cot(\theta)$ Sin=2.500, $\cot(\theta)$ Des=2.500 Comb: Sin=(16+17)-II-1 Des=(16+17)-II-2

Sez	Td	VRdns	VRcd	VRsd	VRd	Tpl	Mr	Dx	Staffe	CS	ζ_E
	kg	kg	kg	kg	kg	kg	kg*m	cm	cmq/m		
Sin	645	--	17406	11728	11728	0	3238	106.9	8.38	18	23
Des	901	--	17406	14073	14073	0	3238	106.9	10.05	16	27

Verifica incendio: TeqvCls(°)=323 TeqvAcc(°)=422 Curva:ISO834, γ_{Cls} =1.20(Agregato Calcareo)
 γ_{Acc} =1.00(Laminato a caldo), verifica per R120(min)

X	M-	M+	$\Delta M-$	$\Delta M+$	Afs	Afi	Mr-	Mr+	C-	C+	CS	ζ_E
cm	kg*m	kg*m	kg*m	kg*m	cmq	cmq	kg*m	kg*m				
ILN	61	--	--	--	6.16	6.16	4059	4132	51	51	67	--
21.4	37	--	--	--	6.16	6.16	4059	4132	51	51	>100	--
CAMP	188	--	--	--	6.16	6.16	4059	4132	51	51	22	--
192.3	256	--	--	--	6.16	6.16	4059	4132	51	51	16	--
FLN	334	--	--	--	6.16	6.16	4059	4132	51	51	12	--

X	x-	d-	x-/d-	x+	d+	x+/d+	Mr-	Mr+	C-	C+	Stato-	Stato+
cm	cm	cm		cm	cm		kg*m	kg*m				
ILN	8.1	18.5	0.440	--	--	--	4059	4132	51	51	Parz.	--
21.4	8.1	18.5	0.440	--	--	--	4059	4132	51	51	Parz.	--
CAMP	8.1	18.5	0.440	--	--	--	4059	4132	51	51	Parz.	--
192.3	8.1	18.5	0.440	--	--	--	4059	4132	51	51	Parz.	--
FLN	8.1	18.5	0.440	--	--	--	4059	4132	51	51	Parz.	--

Verifica a taglio: $\cot(\theta)$ Sin=2.500, $\cot(\theta)$ Des=2.500 Comb: Sin=51 Des=51

Sez	Td	VRdns	VRcd	VRsd	VRd	Tpl	Mr	Dx	Staffe	CS	ζ_E
	kg	kg	kg	kg	kg	kg	kg*m	cm	cmq/m		
Sin	139	--	15631	11163	11163	0	4132	106.9	8.38	80	--
Des	395	--	15631	13396	13396	0	4059	106.9	10.05	34	--

Trave: 123 [78,79], Pilastrate [--,--] Sez. R: By=50.0 cm Bz=20.0 cm L=249.6 cm Ln=249.6 cm Criterio : CLS_TraviSpessore_ND - Verifica a flessione: **Verificato**

X	M-	M+	$\Delta M-$	$\Delta M+$	Afs	Afi	Mr-	Mr+	C-	C+	CS	ζ_E
cm	kg*m	kg*m	kg*m	kg*m	cmq	cmq	kg*m	kg*m				
ILN	126	79	--	--	6.16	6.16	3238	3238	(16+17)-I-3	(16+17)-I-1	26	31
25.0	66	57	--	--	6.16	6.16	3238	3238	(16+17)-I-3	(16+17)-I-1	49	53
CAMP	91	63	--	--	6.16	6.16	3238	3238	2	(16+17)-II-2	35	43
224.6	160	--	--	--	6.16	6.16	3238	3238	2	50	20	--
FLN	248	--	--	--	6.16	6.16	3238	3238	2	50	13	--

X	x-	d-	x-/d-	x+	d+	x+/d+	Mr-	Mr+	C-	C+	Stato-	Stato+
cm	cm	cm		cm	cm		kg*m	kg*m				
ILN	5.7	15.9	0.356	5.7	15.9	0.356	3238	3238	(16+17)-I-3	(16+17)-I-1	Parz.	Parz.
25.0	5.7	15.9	0.356	5.7	15.9	0.356	3238	3238	(16+17)-I-3	(16+17)-I-1	Parz.	Parz.
CAMP	5.7	15.9	0.356	5.7	15.9	0.356	3238	3238	2	(16+17)-II-2	Parz.	Parz.
224.6	5.7	15.9	0.356	--	--	--	3238	3238	2	50	Parz.	--
FLN	5.7	15.9	0.357	--	--	--	3238	3238	2	50	Parz.	--

Verifica a taglio: $\cot(\theta)$ Sin=2.500, $\cot(\theta)$ Des=2.500 Comb: Sin=(16+17)-II-1 Des=3

Sez	Td	VRdns	VRcd	VRsd	VRd	Tpl	Mr	Dx	Staffe	CS	ζ_E
	kg	kg	kg	kg	kg	kg	kg*m	cm	cmq/m		

Sez	Td	VRdhs	VRcd	VRsd	VRd	Tpl	Mr	Dx	Staffe	CS	ζ_E
Sin	297	--	17406	11728	11728	0	3238	124.8	8.38	40	62
Des	396	--	17406	14073	14073	0	3238	124.8	10.05	36	--

Verifica incendio: $T_{eqvClis}(^{\circ})=323$ $T_{eqvAcc}(^{\circ})=422$ Curva:ISO834, $\gamma_{Clis}=1.20$ (Aggregato Calcareo)
 $\gamma_{Acc}=1.00$ (Laminato a caldo),verifica per R120(min)

X	M-	M+	$\Delta M-$	$\Delta M+$	Afs	Afi	Mr-	Mr+	C-	C+	CS	ζ_E
cm	kg*m	kg*m	kg*m	kg*m	cmq	cmq	kg*m	kg*m				
ILN	24	--	--	--	6.16	6.16	4059	4132	51	51	>100	--
25.0	4	--	--	--	6.16	6.16	4059	4132	51	51	>100	--
CAMP	59	--	--	--	6.16	6.16	4059	4132	51	51	69	--
224.6	102	--	--	--	6.16	6.16	4059	4132	51	51	40	--
FLN	160	--	--	--	6.16	6.16	4059	4132	51	51	25	--

X	x-	d-	x-/d-	x+	d+	x+/d+	Mr-	Mr+	C-	C+	Stato-	Stato +
cm	cm	cm		cm	cm		kg*m	kg*m				
ILN	8.1	18.5	0.440	--	--	--	4059	4132	51	51	Parz.	--
25.0	8.1	18.5	0.440	--	--	--	4059	4132	51	51	Parz.	--
CAMP	8.1	18.5	0.440	--	--	--	4059	4132	51	51	Parz.	--
224.6	8.1	18.5	0.440	--	--	--	4059	4132	51	51	Parz.	--
FLN	8.1	18.5	0.440	--	--	--	4059	4132	51	51	Parz.	--

Verifica a taglio: $\cot(\theta)$ Sin=2.500, $\cot(\theta)$ Des=2.500 Comb: Sin=51 Des=51

Sez	Td	VRdhs	VRcd	VRsd	VRd	Tpl	Mr	Dx	Staffe	CS	ζ_E
	kg	kg	kg	kg	kg	kg	kg*m	cm	cmq/m		
Sin	109	--	15596	11163	11163	0	4132	124.8	8.38	>100	--
Des	266	--	15596	13396	13396	0	4059	124.8	10.05	50	--

Trave: 123 [79,83], Pilastrate [--,--] Sez. R: By=50.0 cm Bz=20.0 cm L=82.8 cm Ln=82.8 cm Criterio :
 CLS_TraviSpessore_ND - Verifica a flessione: **Verificato**

X	M-	M+	$\Delta M-$	$\Delta M+$	Afs	Afi	Mr-	Mr+	C-	C+	CS	ζ_E
cm	kg*m	kg*m	kg*m	kg*m	cmq	cmq	kg*m	kg*m				
ILN	787	25	--	--	6.16	6.16	3238	3238	(16+17)-I-3	(16+17)-I-1	4.1	7.0
8.3	715	48	--	--	6.16	6.16	3238	3238	(16+17)-I-3	(16+17)-I-1	4.5	7.6
CAMP	645	147	--	--	6.16	6.16	3238	3238	(16+17)-I-3	(16+17)-I-1	5.0	8.3
74.5	231	149	--	--	6.16	6.16	3238	3238	(16+17)-I-3	(16+17)-I-1	14	17
FLN	186	148	--	--	6.16	6.16	3238	3238	(16+17)-I-3	(16+17)-I-1	17	19

X	x-	d-	x-/d-	x+	d+	x+/d+	Mr-	Mr+	C-	C+	Stato-	Stato +
cm	cm	cm		cm	cm		kg*m	kg*m				
ILN	5.7	15.9	0.360	5.7	15.9	0.355	3238	3238	(16+17)-I-3	(16+17)-I-1	Parz.	Parz.
8.3	5.7	15.9	0.359	5.7	15.9	0.356	3238	3238	(16+17)-I-3	(16+17)-I-1	Parz.	Parz.
CAMP	5.7	15.9	0.359	5.7	15.9	0.356	3238	3238	(16+17)-I-3	(16+17)-I-1	Parz.	Parz.
74.5	5.7	15.9	0.357	5.7	15.9	0.356	3238	3238	(16+17)-I-3	(16+17)-I-1	Parz.	Parz.
FLN	5.7	15.9	0.356	5.7	15.9	0.356	3238	3238	(16+17)-I-3	(16+17)-I-1	Parz.	Parz.

Verifica a taglio: $\cot(\theta) = 2.500$ Comb: (16+17)-II-2

Sez	Td	VRdhs	VRcd	VRsd	VRd	Tpl	Mr	Dx	Staffe	CS	ζ_E
	kg	kg	kg	kg	kg	kg	kg*m	cm	cmq/m		
Sin	885	--	17406	14073	14073	0	3238	82.8	10.05	16	45
Des							3238				

Verifica incendio: $T_{eqvClis}(^{\circ})=323$ $T_{eqvAcc}(^{\circ})=422$ Curva:ISO834, $\gamma_{Clis}=1.20$ (Aggregato Calcareo)
 $\gamma_{Acc}=1.00$ (Laminato a caldo),verifica per R120(min)

X	M-	M+	$\Delta M-$	$\Delta M+$	Afs	Afi	Mr-	Mr+	C-	C+	CS	ζ_E
cm	kg*m	kg*m	kg*m	kg*m	cmq	cmq	kg*m	kg*m				

X	M-	M+	ΔM-	ΔM+	Afs	Afi	Mr-	Mr+	C-	C+	CS	ζ _E
ILN	381	--	--	--	6.16	6.16	4059	4132	51	51	11	--
8.3	333	--	--	--	6.16	6.16	4059	4132	51	51	12	--
CAMP	288	--	--	--	6.16	6.16	4059	4132	51	51	14	--
74.5	41	--	--	--	6.16	6.16	4059	4132	51	51	99	--
FLN	19	--	--	--	6.16	6.16	4059	4132	51	51	>100	--

X	x-	d-	x-/d-	x+	d+	x+/d+	Mr-	Mr+	C-	C+	Stato-	Stato+
cm	cm	cm		cm	cm		kg*m	kg*m				
ILN	8.1	18.5	0.440	--	--	--	4059	4132	51	51	Parz.	--
8.3	8.1	18.5	0.440	--	--	--	4059	4132	51	51	Parz.	--
CAMP	8.1	18.5	0.440	--	--	--	4059	4132	51	51	Parz.	--
74.5	8.1	18.5	0.440	--	--	--	4059	4132	51	51	Parz.	--
FLN	8.1	18.5	0.440	--	--	--	4059	4132	51	51	Parz.	--

Verifica a taglio: $\cot(\theta) = 2.500$ Comb: 51

Sez	Td	VRd _{ns}	VRd _{cd}	VRd _{sd}	VRd	Tpl	Mr	Dx	Staffe	CS	ζ _E
	kg	kg	kg	kg	kg	kg	kg*m	cm	cmq/m		
Sin	585	--	15596	13396	13396	0	4132	82.8	10.05	23	--
Des							4059				

Trave: 124 [116,117], Pilastrate [16,17] Sez. R: By=20.0 cm Bz=40.0 cm L=276.6 cm Ln=277.4 cm Criterio : CLS_TraviAlte_ND - Verifica a flessione: **Verificato**

X	M-	M+	ΔM-	ΔM+	Afs	Afi	Mr-	Mr+	C-	C+	CS	ζ _E
cm	kg*m	kg*m	kg*m	kg*m	cmq	cmq	kg*m	kg*m				
ILN	3767	3598	--	--	4.62	3.08	5738	3903	(16+17)-I-3	(16+17)-I-1	1.1	1.1
27.7	2961	2870	--	--	4.62	3.08	5738	3903	(16+17)-I-3	(16+17)-I-1	1.4	1.4
CAMP	2713	2196	--	--	4.62	3.08	5738	3903	(16+17)-I-1	(16+17)-I-3	1.8	1.7
249.6	3579	2864	--	--	4.62	3.08	5738	3903	(16+17)-I-1	(16+17)-I-3	1.4	1.3
FLN	4463	3514	--	--	4.62	3.08	5738	3903	(16+17)-I-1	(16+17)-I-3	1.1	1.1

X	x-	d-	x-/d-	x+	d+	x+/d+	Mr-	Mr+	C-	C+	Stato-	Stato+
cm	cm	cm		cm	cm		kg*m	kg*m				
ILN	12.0	35.9	0.333	9.6	35.9	0.268	5738	3903	(16+17)-I-3	(16+17)-I-1	Parz.	Parz.
27.7	11.9	35.9	0.330	9.5	35.9	0.266	5738	3903	(16+17)-I-3	(16+17)-I-1	Parz.	Parz.
CAMP	11.8	35.9	0.330	9.5	35.9	0.264	5738	3903	(16+17)-I-1	(16+17)-I-3	Parz.	Parz.
249.6	11.9	35.9	0.333	9.5	35.9	0.266	5738	3903	(16+17)-I-1	(16+17)-I-3	Parz.	Parz.
FLN	12.1	35.9	0.336	9.6	35.9	0.267	5738	3903	(16+17)-I-1	(16+17)-I-3	Parz.	Parz.

Verifica a taglio: $\cot(\theta)$ Sin=1.608, $\cot(\theta)$ Cen=2.500, $\cot(\theta)$ Des=1.608 Comb: Sin=(16+17)-I-3
Cen=(16+17)-I-1 Des=(16+17)-I-1

Sez	Td	VRd _{ns}	VRd _{cd}	VRd _{sd}	VRd	Tpl	Mr	Dx	Staffe	CS	ζ _E
	kg	kg	kg	kg	kg	kg	kg*m	cm	cmq/m		
Sin	2936	--	20443	20443	20443	0	3903	40.0	10.05	7.0	7.3
Cen	3093	--	15720	12710	12710	--	--	--	4.02	4.1	4.5
Des	3217	--	20443	20443	20443	0	5738	40.0	10.05	6.4	7.2

Verifica incendio: TeqvCls(°)=200 TeqvAcc(°)=414 Curva:ISO834, γCls=1.20(Agregato Calcareo)
γAcc=1.00(Laminato a caldo), verifica per R120(min)

X	M-	M+	ΔM-	ΔM+	Afs	Afi	Mr-	Mr+	C-	C+	CS	ζ _E
cm	kg*m	kg*m	kg*m	kg*m	cmq	cmq	kg*m	kg*m				
ILN	84	--	--	--	4.62	3.08	6947	4754	51	51	82	--
27.7	46	--	--	--	4.62	3.08	6947	4754	51	51	>100	--
CAMP	259	--	--	--	4.62	3.08	6947	4754	51	51	27	--
249.6	358	--	--	--	4.62	3.08	6947	4754	51	51	19	--
FLN	474	--	--	--	4.62	3.08	6947	4754	51	51	15	--

X	x-	d-	x-/d-	x+	d+	x+/d+	Mr-	Mr+	C-	C+	Stato-	Stato+
cm	cm	cm		cm	cm		kg*m	kg*m				
ILN	14.9	38.4	0.388	--	--	--	6947	4754	51	51	Parz.	--
27.7	14.9	38.4	0.388	--	--	--	6947	4754	51	51	Parz.	--
CAMP	14.9	38.4	0.388	--	--	--	6947	4754	51	51	Parz.	--
249.6	14.9	38.4	0.388	--	--	--	6947	4754	51	51	Parz.	--
FLN	14.9	38.4	0.388	--	--	--	6947	4754	51	51	Parz.	--

Verifica a taglio: $\cot(\theta)$ Sin=1.609, $\cot(\theta)$ Cen=2.500, $\cot(\theta)$ Des=1.609 Comb: Sin=51 Cen=51 Des=51

Sez	Td	VRdns	VRcd	VRsd	VRd	Tpl	Mr	Dx	Staffe	CS	ζ_E
	kg	kg	kg	kg	kg	kg	kg*m	cm	cmq/m		
Sin	170	--	19826	19826	19826	0	4754	40.0	10.05	>100	--
Cen	327	--	15248	12324	12324	--	--	--	4.02	38	--
Des	451	--	19826	19826	19826	0	6947	40.0	10.05	44	--

Trave: 126 [103,107], Pilastrate [3,7] Sez. R: By=20.0 cm Bz=40.0 cm L=276.6 cm Ln=278.3 cm Criterio : CLS_TraviAlte_ND - Verifica a flessione: **Verificato**

X	M-	M+	$\Delta M-$	$\Delta M+$	Afs	Afi	Mr-	Mr+	C-	C+	CS	ζ_E
cm	kg*m	kg*m	kg*m	kg*m	cmq	cmq	kg*m	kg*m				
ILN	741	1354	--	--	3.08	3.08	3895	3895	(16+17)-II-2	(16+17)-II-1	2.9	3.4
27.8	548	1126	--	--	3.08	3.08	3895	3895	(16+17)-II-2	(16+17)-II-1	3.5	4.3
CAMP	988	--	--	--	3.08	3.08	3895	3895	(16+17)-II-1	50	3.9	5.6
250.4	1364	326	--	--	3.08	3.08	3895	3895	(16+17)-II-1	(16+17)-II-2	2.9	4.0
FLN	1759	351	--	--	3.08	3.08	3895	3895	(16+17)-II-1	(16+17)-II-2	2.2	3.0

X	x-	d-	x-/d-	x+	d+	x+/d+	Mr-	Mr+	C-	C+	Stato-	Stato+
cm	cm	cm		cm	cm		kg*m	kg*m				
ILN	9.8	35.9	0.273	9.8	35.9	0.274	3895	3895	(16+17)-II-2	(16+17)-II-1	Parz.	Parz.
27.8	9.8	35.9	0.272	9.8	35.9	0.274	3895	3895	(16+17)-II-2	(16+17)-II-1	Parz.	Parz.
CAMP	9.8	35.9	0.273	--	--	--	3895	3895	(16+17)-II-1	50	Parz.	--
250.4	9.8	35.9	0.274	9.7	35.9	0.271	3895	3895	(16+17)-II-1	(16+17)-II-2	Parz.	Parz.
FLN	9.9	35.9	0.276	9.7	35.9	0.271	3895	3895	(16+17)-II-1	(16+17)-II-2	Parz.	Parz.

Verifica a taglio: $\cot(\theta)$ Sin=1.608, $\cot(\theta)$ Cen=2.500, $\cot(\theta)$ Des=1.608 Comb: Sin=(16+17)-II-1
Cen=(16+17)-II-1 Des=(16+17)-II-1

Sez	Td	VRdns	VRcd	VRsd	VRd	Tpl	Mr	Dx	Staffe	CS	ζ_E
	kg	kg	kg	kg	kg	kg	kg*m	cm	cmq/m		
Sin	851	--	20443	20443	20443	0	3895	40.0	10.05	24	27
Cen	1319	--	15720	12710	12710	--	--	--	4.02	9.6	16
Des	1451	--	20443	20443	20443	0	3895	40.0	10.05	14	26

Verifica incendio: $T_{eqvClis}(\circ)=200$ $T_{eqvAcc}(\circ)=418$ Curva: ISO834, $\gamma_{Clis}=1.20$ (Aggregato Calcareo)
 $\gamma_{Acc}=1.00$ (Laminato a caldo), verifica per R120(min)

X	M-	M+	$\Delta M-$	$\Delta M+$	Afs	Afi	Mr-	Mr+	C-	C+	CS	ζ_E
cm	kg*m	kg*m	kg*m	kg*m	cmq	cmq	kg*m	kg*m				
ILN	--	306	--	--	3.08	3.08	4741	4752	51	51	16	--
27.8	--	289	--	--	3.08	3.08	4741	4752	51	51	16	--
CAMP	353	--	--	--	3.08	3.08	4741	4752	51	51	13	--
250.4	519	--	--	--	3.08	3.08	4741	4752	51	51	9.1	--
FLN	704	--	--	--	3.08	3.08	4741	4752	51	51	6.7	--

X	x-	d-	x-/d-	x+	d+	x+/d+	Mr-	Mr+	C-	C+	Stato-	Stato+
cm	cm	cm		cm	cm		kg*m	kg*m				

X	x-	d-	x-/d-	x+	d+	x+/d+	Mr-	Mr+	C-	C+	Stato-	Stato+
ILN	--	--	--	10.3	36.7	0.281	4741	4752	51	51	--	Parz.
27.8	--	--	--	10.3	36.7	0.281	4741	4752	51	51	--	Parz.
CAMP	12.7	38.0	0.334	--	--	--	4741	4752	51	51	Parz.	--
250.4	12.7	38.0	0.334	--	--	--	4741	4752	51	51	Parz.	--
FLN	12.7	38.0	0.334	--	--	--	4741	4752	51	51	Parz.	--

Verifica a taglio: $\cot(\theta)$ Sin=1.619, $\cot(\theta)$ Cen=2.500, $\cot(\theta)$ Des=1.619 Comb: Sin=51 Cen=51 Des=51

Sez	Td	VRdns	VRcd	VRsd	VRd	Tpl	Mr	Dx	Staffe	CS	ζ_E
	kg	kg	kg	kg	kg	kg	kg*m	cm	cmq/m		
Sin	96	--	19770	19770	19770	0	4752	40.0	10.05	>100	--
Cen	564	--	15248	12211	12211	--	--	--	4.02	22	--
Des	696	--	19770	19770	19770	0	4741	40.0	10.05	28	--

Trave: 127 [104,108], Pilastrate [4,8] Sez. R: By=20.0 cm Bz=40.0 cm L=276.6 cm Ln=278.3 cm Criterio : CLS_TraviAlte_ND - Verifica a flessione: **Verificato**

X	M-	M+	$\Delta M-$	$\Delta M+$	Afs	Afi	Mr-	Mr+	C-	C+	CS	ζ_E
cm	kg*m	kg*m	kg*m	kg*m	cmq	cmq	kg*m	kg*m				
ILN	531	1527	--	--	3.08	3.08	3895	3895	(16+17)-II-2	(16+17)-II-1	2.6	3.3
27.8	396	1259	--	--	3.08	3.08	3895	3895	(16+17)-II-2	(16+17)-II-1	3.1	4.2
CAMP	1644	--	--	--	3.08	3.08	3895	3895	2	50	2.4	--
250.4	2165	--	--	--	3.08	3.08	3895	3895	2	50	1.8	--
FLN	2726	--	--	--	3.08	3.08	3895	3895	2	50	1.4	--

X	x-	d-	x-/d-	x+	d+	x+/d+	Mr-	Mr+	C-	C+	Stato-	Stato+
cm	cm	cm		cm	cm		kg*m	kg*m				
ILN	9.8	35.9	0.272	9.9	35.9	0.275	3895	3895	(16+17)-II-2	(16+17)-II-1	Parz.	Parz.
27.8	9.7	35.9	0.272	9.8	35.9	0.274	3895	3895	(16+17)-II-2	(16+17)-II-1	Parz.	Parz.
CAMP	9.9	35.9	0.275	--	--	--	3895	3895	2	50	Parz.	--
250.4	9.9	35.9	0.277	--	--	--	3895	3895	2	50	Parz.	--
FLN	10.0	35.9	0.279	--	--	--	3895	3895	2	50	Parz.	--

Verifica a taglio: $\cot(\theta)$ Sin=1.608, $\cot(\theta)$ Cen=2.500, $\cot(\theta)$ Des=1.608 Comb: Sin=(16+17)-II-1 Cen=3 Des=3

Sez	Td	VRdns	VRcd	VRsd	VRd	Tpl	Mr	Dx	Staffe	CS	ζ_E
	kg	kg	kg	kg	kg	kg	kg*m	cm	cmq/m		
Sin	1002	--	20443	20443	20443	0	3895	40.0	10.05	20	28
Cen	1795	--	15720	12710	12710	--	--	--	4.02	7.1	--
Des	2079	--	20443	20443	20443	0	3895	40.0	10.05	9.8	--

Verifica incendio: $T_{eqvClis}(\circ)=200$ $T_{eqvAcc}(\circ)=418$ Curva:ISO834, $\gamma_{Clis}=1.20$ (Aggregato Calcareo)

$\gamma_{Acc}=1.00$ (Laminato a caldo), verifica per R120(min)

X	M-	M+	$\Delta M-$	$\Delta M+$	Afs	Afi	Mr-	Mr+	C-	C+	CS	ζ_E
cm	kg*m	kg*m	kg*m	kg*m	cmq	cmq	kg*m	kg*m				
ILN	--	498	--	--	3.08	3.08	4741	4752	51	51	9.5	--
27.8	--	432	--	--	3.08	3.08	4741	4752	51	51	11	--
CAMP	634	--	--	--	3.08	3.08	4741	4752	51	51	7.5	--
250.4	872	--	--	--	3.08	3.08	4741	4752	51	51	5.4	--
FLN	1131	--	--	--	3.08	3.08	4741	4752	51	51	4.2	--

X	x-	d-	x-/d-	x+	d+	x+/d+	Mr-	Mr+	C-	C+	Stato-	Stato+
cm	cm	cm		cm	cm		kg*m	kg*m				
ILN	--	--	--	10.3	36.7	0.281	4741	4752	51	51	--	Parz.
27.8	--	--	--	10.3	36.7	0.281	4741	4752	51	51	--	Parz.
CAMP	12.7	38.0	0.334	--	--	--	4741	4752	51	51	Parz.	--
250.4	12.7	38.0	0.334	--	--	--	4741	4752	51	51	Parz.	--

X	x-	d-	x-/d-	x+	d+	x+/d+	Mr-	Mr+	C-	C+	Stato-	Stato+
FLN	12.7	38.0	0.334	--	--	--	4741	4752	51	51	Parz.	--

Verifica a taglio: $\cot(\theta)$ Sin=1.619, $\cot(\theta)$ Cen=2.500, $\cot(\theta)$ Des=1.619 Comb: Sin=51 Cen=51 Des=51

Sez	Td	VRdns	VRcd	VRsd	VRd	Tpl	Mr	Dx	Staffe	CS	ζ_E
	kg	kg	kg	kg	kg	kg	kg*m	cm	cmq/m		
Sin	277	--	19770	19770	19770	0	4752	40.0	10.05	71	--
Cen	817	--	15248	12211	12211	--	--	--	4.02	15	--
Des	967	--	19770	19770	19770	0	4741	40.0	10.05	20	--

Trave: 128 [110,111], Pilastrate [10,11] Sez. R: By=20.0 cm Bz=40.0 cm L=276.6 cm Ln=278.3 cm Criterio : CLS_TraviAlte_ND - Verifica a flessione: **Verificato**

X	M-	M+	$\Delta M-$	$\Delta M+$	Afs	Afi	Mr-	Mr+	C-	C+	CS	ζ_E
cm	kg*m	kg*m	kg*m	kg*m	cmq	cmq	kg*m	kg*m				
ILN	1063	1147	--	--	3.08	3.08	3895	3895	(16+17)-I-3	(16+17)-I-1	3.4	3.5
27.8	815	981	--	--	3.08	3.08	3895	3895	(16+17)-I-3	(16+17)-I-1	4.0	4.2
CAMP	583	801	--	--	3.08	3.08	3895	3895	(16+17)-I-3	(16+17)-I-1	4.9	5.5
250.4	907	616	--	--	3.08	3.08	3895	3895	(16+17)-I-1	(16+17)-I-3	4.3	4.9
FLN	1212	723	--	--	3.08	3.08	3895	3895	(16+17)-I-1	(16+17)-I-3	3.2	3.8

X	x-	d-	x-/d-	x+	d+	x+/d+	Mr-	Mr+	C-	C+	Stato-	Stato+
cm	cm	cm		cm	cm		kg*m	kg*m				
ILN	9.8	35.9	0.273	9.8	35.9	0.274	3895	3895	(16+17)-I-3	(16+17)-I-1	Parz.	Parz.
27.8	9.8	35.9	0.273	9.8	35.9	0.273	3895	3895	(16+17)-I-3	(16+17)-I-1	Parz.	Parz.
CAMP	9.8	35.9	0.272	9.8	35.9	0.273	3895	3895	(16+17)-I-3	(16+17)-I-1	Parz.	Parz.
250.4	9.8	35.9	0.273	9.8	35.9	0.272	3895	3895	(16+17)-I-1	(16+17)-I-3	Parz.	Parz.
FLN	9.8	35.9	0.274	9.8	35.9	0.272	3895	3895	(16+17)-I-1	(16+17)-I-3	Parz.	Parz.

Verifica a taglio: $\cot(\theta)$ Sin=1.608, $\cot(\theta)$ Cen=2.500, $\cot(\theta)$ Des=1.608 Comb: Sin=(16+17)-I-3
Cen=(16+17)-I-1 Des=(16+17)-I-1

Sez	Td	VRdns	VRcd	VRsd	VRd	Tpl	Mr	Dx	Staffe	CS	ζ_E
	kg	kg	kg	kg	kg	kg	kg*m	cm	cmq/m		
Sin	919	--	20443	20443	20443	0	3895	40.0	10.05	22	27
Cen	1013	--	15720	12710	12710	--	--	--	4.02	13	17
Des	1124	--	20443	20443	20443	0	3895	40.0	10.05	18	27

Verifica incendio: TeqvCls(°)=200 TeqvAcc(°)=418 Curva:ISO834, γ_{Cls} =1.20(Agregato Calcareo)
 γ_{Acc} =1.00(Laminato a caldo), verifica per R120(min)

X	M-	M+	$\Delta M-$	$\Delta M+$	Afs	Afi	Mr-	Mr+	C-	C+	CS	ζ_E
cm	kg*m	kg*m	kg*m	kg*m	cmq	cmq	kg*m	kg*m				
ILN	--	42	--	--	3.08	3.08	4741	4752	51	51	>100	--
27.8	--	83	--	--	3.08	3.08	4741	4752	51	51	57	--
CAMP	--	119	--	--	3.08	3.08	4741	4752	51	51	40	--
250.4	146	--	--	--	3.08	3.08	4741	4752	51	51	32	--
FLN	244	--	--	--	3.08	3.08	4741	4752	51	51	19	--

X	x-	d-	x-/d-	x+	d+	x+/d+	Mr-	Mr+	C-	C+	Stato-	Stato+
cm	cm	cm		cm	cm		kg*m	kg*m				
ILN	--	--	--	10.3	36.7	0.281	4741	4752	51	51	--	Parz.
27.8	--	--	--	10.3	36.7	0.281	4741	4752	51	51	--	Parz.
CAMP	--	--	--	10.3	36.7	0.281	4741	4752	51	51	--	Parz.
250.4	12.7	38.0	0.334	--	--	--	4741	4752	51	51	Parz.	--
FLN	12.7	38.0	0.334	--	--	--	4741	4752	51	51	Parz.	--

Verifica a taglio: $\cot(\theta)$ Sin=1.619, $\cot(\theta)$ Cen=2.500, $\cot(\theta)$ Des=1.619 Comb: Sin=51 Cen=51 Des=51

Sez	Td	VRdhs	VRcd	VRsd	VRd	Tpl	Mr	Dx	Staffe	CS	ζ _E
	kg	kg	kg	kg	kg	kg	kg*m	cm	cmq/m		
Sin	175	--	19770	19770	19770	0	4752	40.0	10.05	>100	--
Cen	270	--	15248	12211	12211	--	--	--	4.02	45	--
Des	381	--	19770	19770	19770	0	4741	40.0	10.05	52	--

Trave: 128 [111,112], Pilastrate [11,12] Sez. R: By=20.0 cm Bz=40.0 cm L=236.2 cm Ln=237.4 cm Criterio : CLS_TraviAlte_ND - Verifica a flessione: **Verificato**

X	M-	M+	ΔM-	ΔM+	Afs	Afi	Mr-	Mr+	C-	C+	CS	ζ _E
cm	kg*m	kg*m	kg*m	kg*m	cmq	cmq	kg*m	kg*m				
ILN	1228	840	--	--	3.08	3.08	3895	3895	(16+17)-I-3	(16+17)-I-1	3.2	3.6
23.7	958	705	--	--	3.08	3.08	3895	3895	(16+17)-I-3	(16+17)-I-1	4.1	4.5
CAMP	700	--	--	--	3.08	3.08	3895	3895	(16+17)-I-3	50	5.6	6.1
213.7	789	794	--	--	3.08	3.08	3895	3895	(16+17)-I-1	(16+17)-I-3	4.9	4.9
FLN	1026	963	--	--	3.08	3.08	3895	3895	(16+17)-I-1	(16+17)-I-3	3.8	3.9

X	x-	d-	x-/d-	x+	d+	x+/d+	Mr-	Mr+	C-	C+	Stato-	Stato +
cm	cm	cm		cm	cm		kg*m	kg*m				
ILN	9.8	35.9	0.274	9.8	35.9	0.273	3895	3895	(16+17)-I-3	(16+17)-I-1	Parz.	Parz.
23.7	9.8	35.9	0.273	9.8	35.9	0.272	3895	3895	(16+17)-I-3	(16+17)-I-1	Parz.	Parz.
CAMP	9.8	35.9	0.272	--	--	--	3895	3895	(16+17)-I-3	50	Parz.	--
213.7	9.8	35.9	0.273	9.8	35.9	0.273	3895	3895	(16+17)-I-1	(16+17)-I-3	Parz.	Parz.
FLN	9.8	35.9	0.273	9.8	35.9	0.273	3895	3895	(16+17)-I-1	(16+17)-I-3	Parz.	Parz.

Verifica a taglio: $\cot(\theta) = 1.608$ Comb: (16+17)-I-3

Sez	Td	VRdhs	VRcd	VRsd	VRd	Tpl	Mr	Dx	Staffe	CS	ζ _E
	kg	kg	kg	kg	kg	kg	kg*m	cm	cmq/m		
Sin	1160	--	20443	20443	20443	0	3895	237.4	10.05	18	24
Des							3895				

Verifica incendio: TeqvCls(°)=200 TeqvAcc(°)=418 Curva:ISO834, γCls=1.20(Agregato Calcareo)
γAcc=1.00(Laminato a caldo), verifica per R120(min)

X	M-	M+	ΔM-	ΔM+	Afs	Afi	Mr-	Mr+	C-	C+	CS	ζ _E
cm	kg*m	kg*m	kg*m	kg*m	cmq	cmq	kg*m	kg*m				
ILN	194	--	--	--	3.08	3.08	4741	4752	51	51	24	--
23.7	127	--	--	--	3.08	3.08	4741	4752	51	51	37	--
CAMP	71	--	--	--	3.08	3.08	4741	4752	51	51	67	--
213.7	--	3	--	--	3.08	3.08	4741	4752	51	51	>100	--
FLN	32	--	--	--	3.08	3.08	4741	4752	51	51	>100	--

X	x-	d-	x-/d-	x+	d+	x+/d+	Mr-	Mr+	C-	C+	Stato-	Stato +
cm	cm	cm		cm	cm		kg*m	kg*m				
ILN	12.7	38.0	0.334	--	--	--	4741	4752	51	51	Parz.	--
23.7	12.7	38.0	0.334	--	--	--	4741	4752	51	51	Parz.	--
CAMP	12.7	38.0	0.334	--	--	--	4741	4752	51	51	Parz.	--
213.7	--	--	--	10.3	36.7	0.281	4741	4752	51	51	--	Parz.
FLN	12.7	38.0	0.334	--	--	--	4741	4752	51	51	Parz.	--

Verifica a taglio: $\cot(\theta) = 1.619$ Comb: 51

Sez	Td	VRdhs	VRcd	VRsd	VRd	Tpl	Mr	Dx	Staffe	CS	ζ _E
	kg	kg	kg	kg	kg	kg	kg*m	cm	cmq/m		
Sin	306	--	19770	19770	19770	0	4752	237.4	10.05	65	--
Des							4741				

Trave: 129 [130,131], Pilastrate [30,31] Sez. R: By=20.0 cm Bz=40.0 cm L=276.6 cm Ln=278.3 cm Criterio : CLS_TraviAlte_ND - Verifica a flessione: **Verificato**

X	M-	M+	ΔM-	ΔM+	Afs	Afi	Mr-	Mr+	C-	C+	CS	ζ _E
cm	kg*m	kg*m	kg*m	kg*m	cmq	cmq	kg*m	kg*m				
ILN	1790	2345	--	--	3.08	3.08	3895	3895	(16+17)-I-3	(16+17)-I-1	1.7	1.7
27.8	1359	1917	--	--	3.08	3.08	3895	3895	(16+17)-I-3	(16+17)-I-1	2.0	2.2
CAMP	1676	1080	--	--	3.08	3.08	3895	3895	(16+17)-I-1	(16+17)-I-3	2.3	2.6
250.4	2271	1345	--	--	3.08	3.08	3895	3895	(16+17)-I-1	(16+17)-I-3	1.7	1.9
FLN	2886	1590	--	--	3.08	3.08	3895	3895	(16+17)-I-1	(16+17)-I-3	1.3	1.5

X	x-	d-	x-/d-	x+	d+	x+/d+	Mr-	Mr+	C-	C+	Stato-	Stato+
cm	cm	cm		cm	cm		kg*m	kg*m				
ILN	9.9	35.9	0.276	10.0	35.9	0.277	3895	3895	(16+17)-I-3	(16+17)-I-1	Parz.	Parz.
27.8	9.8	35.9	0.274	9.9	35.9	0.276	3895	3895	(16+17)-I-3	(16+17)-I-1	Parz.	Parz.
CAMP	9.9	35.9	0.275	9.8	35.9	0.274	3895	3895	(16+17)-I-1	(16+17)-I-3	Parz.	Parz.
250.4	9.9	35.9	0.277	9.8	35.9	0.274	3895	3895	(16+17)-I-1	(16+17)-I-3	Parz.	Parz.
FLN	10.0	35.9	0.279	9.9	35.9	0.275	3895	3895	(16+17)-I-1	(16+17)-I-3	Parz.	Parz.

Verifica a taglio: $\cot(\theta) \sin = 1.608, \cot(\theta) \cos = 2.500, \cot(\theta) \tan = 1.608$ Comb: $\sin = (16+17)-I-3$
 $\cos = (16+17)-I-1 \tan = (16+17)-I-1$

Sez	Td	VRd _{ns}	VRd _c	VRd _s	VRd	Tpl	Mr	Dx	Staffe	CS	ζ _E
	kg	kg	kg	kg	kg	kg	kg*m	cm	cmq/m		
Sin	1591	--	20443	20443	20443	0	3895	40.0	10.05	13	13
Cen	2103	--	15720	12710	12710	--	--	--	4.02	6.0	7.9
Des	2245	--	20443	20443	20443	0	3895	40.0	10.05	9.1	13

Verifica incendio: $T_{eqvCl_s}(\circ) = 200$ $T_{eqvAcc}(\circ) = 418$ Curva: ISO834, $\gamma_{Cl_s} = 1.20$ (Aggregato Calcareo)
 $\gamma_{Acc} = 1.00$ (Laminato a caldo), verifica per R120(min)

X	M-	M+	ΔM-	ΔM+	Afs	Afi	Mr-	Mr+	C-	C+	CS	ζ _E
cm	kg*m	kg*m	kg*m	kg*m	cmq	cmq	kg*m	kg*m				
ILN	--	277	--	--	3.08	3.08	4741	4752	51	51	17	--
27.8	--	279	--	--	3.08	3.08	4741	4752	51	51	17	--
CAMP	298	--	--	--	3.08	3.08	4741	4752	51	51	16	--
250.4	463	--	--	--	3.08	3.08	4741	4752	51	51	10	--
FLN	648	--	--	--	3.08	3.08	4741	4752	51	51	7.3	--

X	x-	d-	x-/d-	x+	d+	x+/d+	Mr-	Mr+	C-	C+	Stato-	Stato+
cm	cm	cm		cm	cm		kg*m	kg*m				
ILN	--	--	--	10.3	36.7	0.281	4741	4752	51	51	--	Parz.
27.8	--	--	--	10.3	36.7	0.281	4741	4752	51	51	--	Parz.
CAMP	12.7	38.0	0.334	--	--	--	4741	4752	51	51	Parz.	--
250.4	12.7	38.0	0.334	--	--	--	4741	4752	51	51	Parz.	--
FLN	12.7	38.0	0.334	--	--	--	4741	4752	51	51	Parz.	--

Verifica a taglio: $\cot(\theta) \sin = 1.619, \cot(\theta) \cos = 2.500, \cot(\theta) \tan = 1.619$ Comb: $\sin = 51 \cos = 51 \tan = 51$

Sez	Td	VRd _{ns}	VRd _c	VRd _s	VRd	Tpl	Mr	Dx	Staffe	CS	ζ _E
	kg	kg	kg	kg	kg	kg	kg*m	cm	cmq/m		
Sin	44	--	19770	19770	19770	0	4752	40.0	10.05	>100	--
Cen	556	--	15248	12211	12211	--	--	--	4.02	22	--
Des	698	--	19770	19770	19770	0	4741	40.0	10.05	28	--

Trave: 130 [84,73], Pilastrate [47,41] Sez. R: $B_y = 50.0$ cm $B_z = 20.0$ cm $L = 274.3$ cm $L_n = 284.3$ cm Criterio :
CLS_TraviSpessore_ND - Verifica a flessione: **Verificato**

X	M-	M+	ΔM-	ΔM+	Afs	Afi	Mr-	Mr+	C-	C+	CS	ζ _E
cm	kg*m	kg*m	kg*m	kg*m	cmq	cmq	kg*m	kg*m				
ILN	1180	220	--	--	6.16	6.16	3238	3238	(16+17)-II-1	(16+17)-II-2	2.7	3.9
28.4	692	359	--	--	6.16	6.16	3238	3238	(16+17)-II-1	(16+17)-II-2	4.7	5.8

X	M-	M+	ΔM-	ΔM+	Afs	Afi	Mr-	Mr+	C-	C+	CS	ζ _E
CAMP	552	843	--	--	6.16	6.16	3238	3238	(16+17)-II-2	(16+17)-II-1	3.8	4.4
255.9	956	789	--	--	6.16	6.16	3238	3238	(16+17)-II-2	(16+17)-II-1	3.4	3.6
FLN	1429	665	--	--	6.16	6.16	3238	3238	(16+17)-II-2	(16+17)-II-1	2.3	2.7

X	x-	d-	x-/d-	x+	d+	x+/d+	Mr-	Mr+	C-	C+	Stato-	Stato+
cm	cm	cm		cm	cm		kg*m	kg*m				
ILN	5.8	15.9	0.362	5.7	15.9	0.356	3238	3238	(16+17)-II-1	(16+17)-II-2	Parz.	Parz.
28.4	5.7	15.9	0.359	5.7	15.9	0.357	3238	3238	(16+17)-II-1	(16+17)-II-2	Parz.	Parz.
CAMP	5.7	15.9	0.358	5.7	15.9	0.360	3238	3238	(16+17)-II-2	(16+17)-II-1	Parz.	Parz.
255.9	5.7	15.9	0.361	5.7	15.9	0.360	3238	3238	(16+17)-II-2	(16+17)-II-1	Parz.	Parz.
FLN	5.8	15.9	0.364	5.7	15.9	0.359	3238	3238	(16+17)-II-2	(16+17)-II-1	Parz.	Parz.

Verifica a taglio: $\cot(\theta)$ Sin=2.500, $\cot(\theta)$ Cen=2.500, $\cot(\theta)$ Des=2.500 Comb: Sin=3 Cen=(16+17)-II-1 Des=3

Sez	Td	VRd _{ns}	VRd _c	VRd _s	VRd	Tpl	Mr	Dx	Staffe	CS	ζ _E
	kg	kg	kg	kg	kg	kg	kg*m	cm	cmq/m		
Sin	1945	--	17406	14073	14073	0	3238	30.5	10.05	7.2	--
Cen	1366	--	17406	11728	11728	--	--	--	8.38	8.6	18
Des	1876	--	17406	14073	14073	0	3238	30.5	10.05	7.5	--

Verifica incendio: $T_{eqvClS}(^{\circ})=323$ $T_{eqvAcc}(^{\circ})=422$ Curva: ISO834, $\gamma_{ClS}=1.20$ (Aggregato Calcareo)
 $\gamma_{Acc}=1.00$ (Laminato a caldo), verifica per R120(min)

X	M-	M+	ΔM-	ΔM+	Afs	Afi	Mr-	Mr+	C-	C+	CS	ζ _E
cm	kg*m	kg*m	kg*m	kg*m	cmq	cmq	kg*m	kg*m				
ILN	480	--	--	--	6.16	6.16	4059	4132	51	51	8.5	--
28.4	167	--	--	--	6.16	6.16	4059	4132	51	51	24	--
CAMP	--	418	--	--	6.16	6.16	4059	4132	51	51	9.9	--
255.9	84	--	--	--	6.16	6.16	4059	4132	51	51	49	--
FLN	382	--	--	--	6.16	6.16	4059	4132	51	51	11	--

X	x-	d-	x-/d-	x+	d+	x+/d+	Mr-	Mr+	C-	C+	Stato-	Stato+
cm	cm	cm		cm	cm		kg*m	kg*m				
ILN	8.1	18.5	0.440	--	--	--	4059	4132	51	51	Parz.	--
28.4	8.1	18.5	0.440	--	--	--	4059	4132	51	51	Parz.	--
CAMP	--	--	--	6.0	16.3	0.367	4059	4132	51	51	--	Parz.
255.9	8.1	18.5	0.440	--	--	--	4059	4132	51	51	Parz.	--
FLN	8.1	18.5	0.440	--	--	--	4059	4132	51	51	Parz.	--

Verifica a taglio: $\cot(\theta)$ Sin=2.500, $\cot(\theta)$ Cen=2.500, $\cot(\theta)$ Des=2.500 Comb: Sin=51 Cen=51 Des=51

Sez	Td	VRd _{ns}	VRd _c	VRd _s	VRd	Tpl	Mr	Dx	Staffe	CS	ζ _E
	kg	kg	kg	kg	kg	kg	kg*m	cm	cmq/m		
Sin	1219	--	15596	13396	13396	0	4132	30.5	10.05	11	--
Cen	751	--	15596	11163	11163	--	--	--	8.38	15	--
Des	1172	--	15596	13396	13396	0	4059	30.5	10.05	11	--

Trave: 130 [84,76], Pilastrate [47,50] Sez. R: By=50.0 cm Bz=20.0 cm L=310.8 cm Ln=310.8 cm Criterio : CLS_TraviSpessore_ND - Verifica a flessione: **Verificato**

X	M-	M+	ΔM-	ΔM+	Afs	Afi	Mr-	Mr+	C-	C+	CS	ζ _E
cm	kg*m	kg*m	kg*m	kg*m	cmq	cmq	kg*m	kg*m				
ILN	891	251	--	--	6.16	6.16	3238	3238	(16+17)-II-2	(16+17)-II-1	3.6	5.1
31.1	646	233	--	--	6.16	6.16	3238	3238	(16+17)-II-2	(16+17)-II-1	5.0	6.9
CAMP	574	--	--	--	6.16	6.16	3238	3238	(16+17)-II-1	50	5.6	6.5
279.8	787	441	--	--	6.16	6.16	3238	3238	(16+17)-II-1	(16+17)-II-2	4.1	5.0
FLN	1023	468	--	--	6.16	6.16	3238	3238	(16+17)-II-1	(16+17)-II-2	3.2	4.0

X	x-	d-	x-/d-	x+	d+	x+/d+	Mr-	Mr+	C-	C+	Stato-	Stato+
cm	cm	cm		cm	cm		kg*m	kg*m				
ILN	5.7	15.9	0.360	5.7	15.9	0.357	3238	3238	(16+17)-II-2	(16+17)-II-1	Parz.	Parz.
31.1	5.7	15.9	0.359	5.7	15.9	0.357	3238	3238	(16+17)-II-2	(16+17)-II-1	Parz.	Parz.
CAMP	5.7	15.9	0.359	--	--	--	3238	3238	(16+17)-II-1	50	Parz.	--
279.8	5.7	15.9	0.360	5.7	15.9	0.358	3238	3238	(16+17)-II-1	(16+17)-II-2	Parz.	Parz.
FLN	5.7	15.9	0.361	5.7	15.9	0.358	3238	3238	(16+17)-II-1	(16+17)-II-2	Parz.	Parz.

Verifica a taglio: $\cot(\theta) \sin=2.500, \cot(\theta) \cos=2.500, \cot(\theta) \tan=2.500$ Comb: $\sin=(16+17)-II-2$
 $\cos=(16+17)-II-2 \tan=(16+17)-II-1$

Sez	Td	VRdns	VRcd	VRsd	VRd	Tpl	Mr	Dx	Staffe	CS	ζ_E
	kg	kg	kg	kg	kg	kg	kg*m	cm	cmq/m		
Sin	827	--	17406	14073	14073	0	3238	34.9	10.05	17	32
Cen	671	--	17406	11728	11728	--	--	--	8.38	17	27
Des	800	--	17406	14073	14073	0	3238	34.9	10.05	18	32

Verifica incendio: $T_{eqvClS}(\circ)=323$ $T_{eqvAcc}(\circ)=422$ Curva: ISO834, $\gamma_{ClS}=1.20$ (Aggregato Calcareo)
 $\gamma_{Acc}=1.00$ (Laminato a caldo), verifica per R120(min)

X	M-	M+	$\Delta M-$	$\Delta M+$	Afs	Afi	Mr-	Mr+	C-	C+	CS	ζ_E
cm	kg*m	kg*m	kg*m	kg*m	cmq	cmq	kg*m	kg*m				
ILN	320	--	--	--	6.16	6.16	4059	4132	51	51	13	--
31.1	207	--	--	--	6.16	6.16	4059	4132	51	51	20	--
CAMP	118	--	--	--	6.16	6.16	4059	4132	51	51	34	--
279.8	173	--	--	--	6.16	6.16	4059	4132	51	51	24	--
FLN	278	--	--	--	6.16	6.16	4059	4132	51	51	15	--

X	x-	d-	x-/d-	x+	d+	x+/d+	Mr-	Mr+	C-	C+	Stato-	Stato+
cm	cm	cm		cm	cm		kg*m	kg*m				
ILN	8.1	18.5	0.440	--	--	--	4059	4132	51	51	Parz.	--
31.1	8.1	18.5	0.440	--	--	--	4059	4132	51	51	Parz.	--
CAMP	8.1	18.5	0.440	--	--	--	4059	4132	51	51	Parz.	--
279.8	8.1	18.5	0.440	--	--	--	4059	4132	51	51	Parz.	--
FLN	8.1	18.5	0.440	--	--	--	4059	4132	51	51	Parz.	--

Verifica a taglio: $\cot(\theta) \sin=2.500, \cot(\theta) \cos=2.500, \cot(\theta) \tan=2.500$ Comb: $\sin=51$ $\cos=51$ $\tan=51$

Sez	Td	VRdns	VRcd	VRsd	VRd	Tpl	Mr	Dx	Staffe	CS	ζ_E
	kg	kg	kg	kg	kg	kg	kg*m	cm	cmq/m		
Sin	403	--	15596	13396	13396	0	4132	34.9	10.05	33	--
Cen	247	--	15596	11163	11163	--	--	--	8.38	45	--
Des	376	--	15596	13396	13396	0	4059	34.9	10.05	36	--

Trave: 130 [76,75], Pilastrate [50,54] Sez. R: $B_y=50.0$ cm $B_z=20.0$ cm $L=474.8$ cm $L_n=474.8$ cm Criterio : CLS_TraviSpessore_ND - Verifica a flessione: **Verificato**

X	M-	M+	$\Delta M-$	$\Delta M+$	Afs	Afi	Mr-	Mr+	C-	C+	CS	ζ_E
cm	kg*m	kg*m	kg*m	kg*m	cmq	cmq	kg*m	kg*m				
ILN	976	146	--	--	6.16	6.16	3238	3238	(16+17)-II-2	(16+17)-II-1	3.3	5.0
47.5	615	292	--	--	6.16	6.16	3238	3238	(16+17)-II-2	(16+17)-II-1	5.3	6.8
CAMP	--	412	--	--	6.16	6.16	3238	3238	50	(16+17)-II-1	7.9	13
427.3	590	226	--	--	6.16	6.16	3238	3238	(16+17)-II-1	(16+17)-II-2	5.5	7.5
FLN	956	76	--	--	6.16	6.16	3238	3238	(16+17)-II-1	(16+17)-II-2	3.4	5.4

X	x-	d-	x-/d-	x+	d+	x+/d+	Mr-	Mr+	C-	C+	Stato-	Stato+
cm	cm	cm		cm	cm		kg*m	kg*m				
ILN	5.7	15.9	0.361	5.7	15.9	0.356	3238	3238	(16+17)-II-2	(16+17)-II-1	Parz.	Parz.
47.5	5.7	15.9	0.359	5.7	15.9	0.357	3238	3238	(16+17)-II-2	(16+17)-II-1	Parz.	Parz.

X	x-	d-	x-/d-	x+	d+	x+/d+	Mr-	Mr+	C-	C+	Stato-	Stato+
CAMP	--	--	--	5.7	15.9	0.358	3238	3238	50	(16+17)-II-1	--	Parz.
427.3	5.7	15.9	0.359	5.7	15.9	0.357	3238	3238	(16+17)-II-1	(16+17)-II-2	Parz.	Parz.
FLN	5.7	15.9	0.361	5.7	15.9	0.356	3238	3238	(16+17)-II-1	(16+17)-II-2	Parz.	Parz.

Verifica a taglio: $\cot(\theta) \sin=2.500, \cot(\theta) \cos=2.500, \cot(\theta) \tan=2.500$ Comb: $\sin=(16+17)-II-2$
 $\cos=(16+17)-II-1$ $\tan=(16+17)-II-1$

Sez	Td	VRdns	VRcd	VRsd	VRd	Tpl	Mr	Dx	Staffe	CS	ζ_E
	kg	kg	kg	kg	kg	kg	kg*m	cm	cmq/m		
Sin	821	--	17406	14073	14073	0	3238	54.6	10.05	17	59
Cen	591	--	17406	11808	11808	--	--	--	8.44	20	50
Des	828	--	17406	14073	14073	0	3238	54.6	10.05	17	59

Verifica incendio: $T_{eqvClS}(^\circ)=323$ $T_{eqvAcc}(^\circ)=422$ Curva: ISO834, $\gamma_{ClS}=1.20$ (Aggregato Calcareo)
 $\gamma_{Acc}=1.00$ (Laminato a caldo), verifica per R120(min)

X	M-	M+	$\Delta M-$	$\Delta M+$	Afs	Afi	Mr-	Mr+	C-	C+	CS	ζ_E
cm	kg*m	kg*m	kg*m	kg*m	cmq	cmq	kg*m	kg*m				
ILN	415	--	--	--	6.16	6.16	4059	4132	51	51	9.8	--
47.5	161	--	--	--	6.16	6.16	4059	4132	51	51	25	--
CAMP	--	282	--	--	6.16	6.16	4059	4132	51	51	15	--
427.3	182	--	--	--	6.16	6.16	4059	4132	51	51	22	--
FLN	440	--	--	--	6.16	6.16	4059	4132	51	51	9.2	--

X	x-	d-	x-/d-	x+	d+	x+/d+	Mr-	Mr+	C-	C+	Stato-	Stato+
cm	cm	cm		cm	cm		kg*m	kg*m				
ILN	8.1	18.5	0.440	--	--	--	4059	4132	51	51	Parz.	--
47.5	8.1	18.5	0.440	--	--	--	4059	4132	51	51	Parz.	--
CAMP	--	--	--	6.0	16.3	0.367	4059	4132	51	51	--	Parz.
427.3	8.1	18.5	0.440	--	--	--	4059	4132	51	51	Parz.	--
FLN	8.1	18.5	0.440	--	--	--	4059	4132	51	51	Parz.	--

Verifica a taglio: $\cot(\theta) \sin=2.500, \cot(\theta) \cos=2.500, \cot(\theta) \tan=2.500$ Comb: $\sin=51$ $\cos=51$ $\tan=51$

Sez	Td	VRdns	VRcd	VRsd	VRd	Tpl	Mr	Dx	Staffe	CS	ζ_E
	kg	kg	kg	kg	kg	kg	kg*m	cm	cmq/m		
Sin	594	--	15596	13396	13396	0	4132	54.6	10.05	23	--
Cen	364	--	15596	11240	11240	--	--	--	8.44	31	--
Des	602	--	15596	13396	13396	0	4059	54.6	10.05	22	--

Trave: 130 [75,86], Pilastrate [54,56] Sez. R: $B_y=50.0$ cm $B_z=20.0$ cm $L=273.9$ cm $L_n=273.9$ cm Criterio : CLS_TraviSpessore_ND - Verifica a flessione: **Verificato**

X	M-	M+	$\Delta M-$	$\Delta M+$	Afs	Afi	Mr-	Mr+	C-	C+	CS	ζ_E
cm	kg*m	kg*m	kg*m	kg*m	cmq	cmq	kg*m	kg*m				
ILN	1215	530	--	--	6.16	6.16	3238	3238	(16+17)-II-2	(16+17)-II-1	2.7	3.3
27.4	908	456	--	--	6.16	6.16	3238	3238	(16+17)-II-2	(16+17)-II-1	3.6	4.4
CAMP	589	716	--	--	6.16	6.16	3238	3238	(16+17)-II-1	(16+17)-II-2	4.5	4.9
246.5	813	873	--	--	6.16	6.16	3238	3238	(16+17)-II-1	(16+17)-II-2	3.7	3.8
FLN	1056	1011	--	--	6.16	6.16	3238	3238	(16+17)-II-1	(16+17)-II-2	3.1	3.1

X	x-	d-	x-/d-	x+	d+	x+/d+	Mr-	Mr+	C-	C+	Stato-	Stato+
cm	cm	cm		cm	cm		kg*m	kg*m				
ILN	5.8	15.9	0.363	5.7	15.9	0.358	3238	3238	(16+17)-II-2	(16+17)-II-1	Parz.	Parz.
27.4	5.7	15.9	0.361	5.7	15.9	0.358	3238	3238	(16+17)-II-2	(16+17)-II-1	Parz.	Parz.
CAMP	5.7	15.9	0.359	5.7	15.9	0.359	3238	3238	(16+17)-II-1	(16+17)-II-2	Parz.	Parz.
246.5	5.7	15.9	0.360	5.7	15.9	0.360	3238	3238	(16+17)-II-1	(16+17)-II-2	Parz.	Parz.
FLN	5.7	15.9	0.362	5.7	15.9	0.361	3238	3238	(16+17)-II-1	(16+17)-II-2	Parz.	Parz.

Verifica a taglio: $\cot(\theta) \sin=2.500, \cot(\theta) \cos=2.500, \cot(\theta) \tan=2.500$ Comb: $\sin=(16+17)-II-2$
 $\cos=(16+17)-II-2 \tan=(16+17)-II-1$

Sez	Td	VRdns	VRcd	VRsd	VRd	Tpl	Mr	Dx	Staffe	CS	ζ_E
	kg	kg	kg	kg	kg	kg	kg*m	cm	cmq/m		
Sin	1155	--	17406	14073	14073	0	3238	30.5	10.05	12	20
Cen	1018	--	17406	11728	11728	--	--	--	8.38	12	16
Des	923	--	17406	14073	14073	0	3238	30.5	10.05	15	20

Verifica incendio: $T_{eqvClis}(\circ)=323 T_{eqvAcc}(\circ)=422$ Curva: ISO834, $\gamma_{Clis}=1.20$ (Aggregato Calcareo)
 $\gamma_{Acc}=1.00$ (Laminato a caldo), verifica per R120(min)

X	M-	M+	$\Delta M-$	$\Delta M+$	Afs	Afi	Mr-	Mr+	C-	C+	CS	ζ_E
cm	kg*m	kg*m	kg*m	kg*m	cmq	cmq	kg*m	kg*m				
ILN	342	--	--	--	6.16	6.16	4059	4132	51	51	12	--
27.4	226	--	--	--	6.16	6.16	4059	4132	51	51	18	--
CAMP	128	--	--	--	6.16	6.16	4059	4132	51	51	32	--
246.5	--	30	--	--	6.16	6.16	4059	4132	51	51	>100	--
FLN	23	--	--	--	6.16	6.16	4059	4132	51	51	>100	--

X	x-	d-	x-/d-	x+	d+	x+/d+	Mr-	Mr+	C-	C+	Stato-	Stato+
cm	cm	cm		cm	cm		kg*m	kg*m				
ILN	8.1	18.5	0.440	--	--	--	4059	4132	51	51	Parz.	--
27.4	8.1	18.5	0.440	--	--	--	4059	4132	51	51	Parz.	--
CAMP	8.1	18.5	0.440	--	--	--	4059	4132	51	51	Parz.	--
246.5	--	--	--	6.0	16.3	0.367	4059	4132	51	51	--	Parz.
FLN	8.1	18.5	0.440	--	--	--	4059	4132	51	51	Parz.	--

Verifica a taglio: $\cot(\theta) \sin=2.500, \cot(\theta) \cos=2.500, \cot(\theta) \tan=2.500$ Comb: $\sin=51 \cos=51 \tan=51$

Sez	Td	VRdns	VRcd	VRsd	VRd	Tpl	Mr	Dx	Staffe	CS	ζ_E
	kg	kg	kg	kg	kg	kg	kg*m	cm	cmq/m		
Sin	460	--	15596	13396	13396	0	4132	30.5	10.05	29	--
Cen	323	--	15596	11163	11163	--	--	--	8.38	35	--
Des	227	--	15596	13396	13396	0	4059	30.5	10.05	59	--

Trave: 131 [83,80], Pilastrate [--,32] Sez. R: $B_y=50.0 \text{ cm } B_z=20.0 \text{ cm } L=181.6 \text{ cm } L_n=181.6 \text{ cm}$ Criterio :
CLS_TraviSpessore_ND - Verifica a flessione: **Verificato**

X	M-	M+	$\Delta M-$	$\Delta M+$	Afs	Afi	Mr-	Mr+	C-	C+	CS	ζ_E
cm	kg*m	kg*m	kg*m	kg*m	cmq	cmq	kg*m	kg*m				
ILN	344	240	--	--	6.16	6.16	3238	3238	(16+17)-I-3	(16+17)-I-1	9.4	11
18.2	249	224	--	--	6.16	6.16	3238	3238	(16+17)-I-3	(16+17)-I-1	13	14
CAMP	274	189	--	--	6.16	6.16	3238	3238	(16+17)-II-1	(16+17)-II-2	12	14
163.5	386	200	--	--	6.16	6.16	3238	3238	(16+17)-II-1	(16+17)-II-2	8.4	11
FLN	511	199	--	--	6.16	6.16	3238	3238	(16+17)-II-1	(16+17)-II-2	6.3	8.7

X	x-	d-	x-/d-	x+	d+	x+/d+	Mr-	Mr+	C-	C+	Stato-	Stato+
cm	cm	cm		cm	cm		kg*m	kg*m				
ILN	5.7	15.9	0.357	5.7	15.9	0.357	3238	3238	(16+17)-I-3	(16+17)-I-1	Parz.	Parz.
18.2	5.7	15.9	0.357	5.7	15.9	0.357	3238	3238	(16+17)-I-3	(16+17)-I-1	Parz.	Parz.
CAMP	5.7	15.9	0.357	5.7	15.9	0.356	3238	3238	(16+17)-II-1	(16+17)-II-2	Parz.	Parz.
163.5	5.7	15.9	0.357	5.7	15.9	0.356	3238	3238	(16+17)-II-1	(16+17)-II-2	Parz.	Parz.
FLN	5.7	15.9	0.358	5.7	15.9	0.356	3238	3238	(16+17)-II-1	(16+17)-II-2	Parz.	Parz.

Verifica a taglio: $\cot(\theta) \sin=2.500$ Comb: (16+17)-II-1

Sez	Td	VRdns	VRcd	VRsd	VRd	Tpl	Mr	Dx	Staffe	CS	ζ_E
	kg	kg	kg	kg	kg	kg	kg*m	cm	cmq/m		
Sin	724	--	17406	14251	14251	0	3238	181.6	10.18	20	41

Sez	Td	VRdhs	VRcd	VRsd	VRd	Tpl	Mr	Dx	Staffe	CS	ζ_E
Des							3238				

Verifica incendio: $T_{eqvClis}(^{\circ})=323$ $T_{eqvAcc}(^{\circ})=422$ Curva:ISO834, $\gamma_{Clis}=1.20$ (Aggregato Calcareo)
 $\gamma_{Acc}=1.00$ (Laminato a caldo),verifica per R120(min)

X	M-	M+	$\Delta M-$	$\Delta M+$	Afs	Afi	Mr-	Mr+	C-	C+	CS	ζ_E
cm	kg*m	kg*m	kg*m	kg*m	cmq	cmq	kg*m	kg*m				
ILN	52	--	--	--	6.16	6.16	4059	4132	51	51	78	--
18.2	13	--	--	--	6.16	6.16	4059	4132	51	51	>100	--
CAMP	42	--	--	--	6.16	6.16	4059	4132	51	51	96	--
163.5	93	--	--	--	6.16	6.16	4059	4132	51	51	44	--
FLN	156	--	--	--	6.16	6.16	4059	4132	51	51	26	--

X	x-	d-	x-/d-	x+	d+	x+/d+	Mr-	Mr+	C-	C+	Stato-	Stato+
cm	cm	cm		cm	cm		kg*m	kg*m				
ILN	8.1	18.5	0.440	--	--	--	4059	4132	51	51	Parz.	--
18.2	8.1	18.5	0.440	--	--	--	4059	4132	51	51	Parz.	--
CAMP	8.1	18.5	0.440	--	--	--	4059	4132	51	51	Parz.	--
163.5	8.1	18.5	0.440	--	--	--	4059	4132	51	51	Parz.	--
FLN	8.1	18.5	0.440	--	--	--	4059	4132	51	51	Parz.	--

Verifica a taglio: $\cot(\theta) = 2.500$ Comb: 51

Sez	Td	VRdhs	VRcd	VRsd	VRd	Tpl	Mr	Dx	Staffe	CS	ζ_E
	kg	kg	kg	kg	kg	kg	kg*m	cm	cmq/m		
Sin	382	--	15596	13565	13565	0	4132	181.6	10.18	35	--
Des							4059				

Trave: 131 [81,80], Pilastrate [34,32] Sez. R: $B_y=50.0$ cm $B_z=20.0$ cm $L=300.7$ cm $L_n=310.6$ cm Criterio :
CLS_TraviSpessore_ND - Verifica a flessione: **Verificato**

X	M-	M+	$\Delta M-$	$\Delta M+$	Afs	Afi	Mr-	Mr+	C-	C+	CS	ζ_E
cm	kg*m	kg*m	kg*m	kg*m	cmq	cmq	kg*m	kg*m				
ILN	718	38	--	--	6.16	6.16	3238	3238	(16+17)-I-1	(16+17)-I-3	4.5	7.7
31.1	507	107	--	--	6.16	6.16	3238	3238	(16+17)-I-1	(16+17)-I-3	6.4	9.9
CAMP	327	--	--	--	6.16	6.16	3238	3238	(16+17)-I-1	50	9.9	13
279.5	411	116	--	--	6.16	6.16	3238	3238	(16+17)-I-3	(16+17)-I-1	7.9	12
FLN	597	73	--	--	6.16	6.16	3238	3238	(16+17)-I-3	(16+17)-I-1	5.4	8.9

X	x-	d-	x-/d-	x+	d+	x+/d+	Mr-	Mr+	C-	C+	Stato-	Stato+
cm	cm	cm		cm	cm		kg*m	kg*m				
ILN	5.7	15.9	0.359	5.7	15.9	0.355	3238	3238	(16+17)-I-1	(16+17)-I-3	Parz.	Parz.
31.1	5.7	15.9	0.358	5.7	15.9	0.356	3238	3238	(16+17)-I-1	(16+17)-I-3	Parz.	Parz.
CAMP	5.7	15.9	0.357	--	--	--	3238	3238	(16+17)-I-1	50	Parz.	--
279.5	5.7	15.9	0.358	5.7	15.9	0.356	3238	3238	(16+17)-I-3	(16+17)-I-1	Parz.	Parz.
FLN	5.7	15.9	0.359	5.7	15.9	0.356	3238	3238	(16+17)-I-3	(16+17)-I-1	Parz.	Parz.

Verifica a taglio: $\cot(\theta)$ Sin=2.500, $\cot(\theta)$ Cen=2.500, $\cot(\theta)$ Des=2.500 Comb: Sin=(16+17)-I-1
Cen=(16+17)-I-1 Des=(16+17)-I-3

Sez	Td	VRdhs	VRcd	VRsd	VRd	Tpl	Mr	Dx	Staffe	CS	ζ_E
	kg	kg	kg	kg	kg	kg	kg*m	cm	cmq/m		
Sin	725	--	17406	14073	14073	0	3238	32.9	10.05	19	59
Cen	529	--	17406	11728	11728	--	--	--	8.38	22	50
Des	638	--	17406	14073	14073	0	3238	32.9	10.05	22	60

Verifica incendio: $T_{eqvClis}(^{\circ})=323$ $T_{eqvAcc}(^{\circ})=422$ Curva:ISO834, $\gamma_{Clis}=1.20$ (Aggregato Calcareo)
 $\gamma_{Acc}=1.00$ (Laminato a caldo),verifica per R120(min)

X	M-	M+	$\Delta M-$	$\Delta M+$	Afs	Afi	Mr-	Mr+	C-	C+	CS	ζ_E
---	----	----	-------------	-------------	-----	-----	-----	-----	----	----	----	-----------

X	M-	M+	ΔM-	ΔM+	Afs	Afi	Mr-	Mr+	C-	C+	CS	ζ _E
cm	kg*m	kg*m	kg*m	kg*m	cmq	cmq	kg*m	kg*m				
ILN	340	--	--	--	6.16	6.16	4059	4132	51	51	12	--
31.1	200	--	--	--	6.16	6.16	4059	4132	51	51	20	--
CAMP	92	--	--	--	6.16	6.16	4059	4132	51	51	44	--
279.5	147	--	--	--	6.16	6.16	4059	4132	51	51	28	--
FLN	262	--	--	--	6.16	6.16	4059	4132	51	51	15	--

X	x-	d-	x-/d-	x+	d+	x+/d+	Mr-	Mr+	C-	C+	Stato-	Stato+
cm	cm	cm		cm	cm		kg*m	kg*m				
ILN	8.1	18.5	0.440	--	--	--	4059	4132	51	51	Parz.	--
31.1	8.1	18.5	0.440	--	--	--	4059	4132	51	51	Parz.	--
CAMP	8.1	18.5	0.440	--	--	--	4059	4132	51	51	Parz.	--
279.5	8.1	18.5	0.440	--	--	--	4059	4132	51	51	Parz.	--
FLN	8.1	18.5	0.440	--	--	--	4059	4132	51	51	Parz.	--

Verifica a taglio: $\cot(\theta)$ Sin=2.500, $\cot(\theta)$ Cen=2.500, $\cot(\theta)$ Des=2.500 Comb: Sin=51 Cen=51 Des=51

Sez	Td	VRdns	VRcd	VRsd	VRd	Tpl	Mr	Dx	Staffe	CS	ζ _E
	kg	kg	kg	kg	kg	kg	kg*m	cm	cmq/m		
Sin	495	--	15596	13396	13396	0	4132	32.9	10.05	27	--
Cen	300	--	15596	11163	11163	--	--	--	8.38	37	--
Des	408	--	15596	13396	13396	0	4059	32.9	10.05	33	--

Trave: 131 [82,81], Pilastrate [39,34] Sez. R: By=50.0 cm Bz=20.0 cm L=439.8 cm Ln=449.7 cm Criterio : CLS_TraviSpessore_ND - Verifica a flessione: **Verificato**

X	M-	M+	ΔM-	ΔM+	Afs	Afi	Mr-	Mr+	C-	C+	CS	ζ _E
cm	kg*m	kg*m	kg*m	kg*m	cmq	cmq	kg*m	kg*m				
ILN	825	--	--	--	6.16	6.16	3238	3238	(16+17)-I-1	50	3.9	8.9
45.0	458	30	--	--	6.16	6.16	3238	3238	(16+17)-I-1	(16+17)-I-3	7.1	12
CAMP	--	436	--	--	6.16	6.16	3238	3238	50	2	7.4	--
404.7	412	64	--	--	6.16	6.16	3238	3238	(16+17)-I-3	(16+17)-I-1	7.9	13
FLN	733	--	--	--	6.16	6.16	3238	3238	(16+17)-I-3	50	4.4	9.4

X	x-	d-	x-/d-	x+	d+	x+/d+	Mr-	Mr+	C-	C+	Stato-	Stato+
cm	cm	cm		cm	cm		kg*m	kg*m				
ILN	5.7	15.9	0.360	--	--	--	3238	3238	(16+17)-I-1	50	Parz.	--
45.0	5.7	15.9	0.358	5.7	15.9	0.355	3238	3238	(16+17)-I-1	(16+17)-I-3	Parz.	Parz.
CAMP	--	--	--	5.7	15.9	0.358	3238	3238	50	2	--	Parz.
404.7	5.7	15.9	0.358	5.7	15.9	0.356	3238	3238	(16+17)-I-3	(16+17)-I-1	Parz.	Parz.
FLN	5.7	15.9	0.360	--	--	--	3238	3238	(16+17)-I-3	50	Parz.	--

Verifica a taglio: $\cot(\theta)$ Sin=2.500, $\cot(\theta)$ Cen=2.500, $\cot(\theta)$ Des=2.500 Comb: Sin=3 Cen=3 Des=3

Sez	Td	VRdns	VRcd	VRsd	VRd	Tpl	Mr	Dx	Staffe	CS	ζ _E
	kg	kg	kg	kg	kg	kg	kg*m	cm	cmq/m		
Sin	1059	--	17406	14194	14194	0	3238	49.6	10.14	13	--
Cen	614	--	17406	11728	11728	--	--	--	8.38	19	--
Des	865	--	17406	14194	14194	0	3238	49.6	10.14	16	--

Verifica incendio: TeqvCls(°)=323 TeqvAcc(°)=422 Curva:ISO834, γCls=1.20(Agregato Calcareo)
γAcc=1.00(Laminato a caldo), verifica per R120(min)

X	M-	M+	ΔM-	ΔM+	Afs	Afi	Mr-	Mr+	C-	C+	CS	ζ _E
cm	kg*m	kg*m	kg*m	kg*m	cmq	cmq	kg*m	kg*m				
ILN	521	--	--	--	6.16	6.16	4059	4132	51	51	7.8	--
45.0	214	--	--	--	6.16	6.16	4059	4132	51	51	19	--
CAMP	--	311	--	--	6.16	6.16	4059	4132	51	51	13	--
404.7	174	--	--	--	6.16	6.16	4059	4132	51	51	23	--

X	M-	M+	ΔM-	ΔM+	Afs	Afi	Mr-	Mr+	C-	C+	CS	ζ _E
FLN	435	--	--	--	6.16	6.16	4059	4132	51	51	9.3	--

X	x-	d-	x-/d-	x+	d+	x+/d+	Mr-	Mr+	C-	C+	Stato-	Stato+
cm	cm	cm		cm	cm		kg*m	kg*m				
ILN	8.1	18.5	0.440	--	--	--	4059	4132	51	51	Parz.	--
45.0	8.1	18.5	0.440	--	--	--	4059	4132	51	51	Parz.	--
CAMP	--	--	--	6.0	16.3	0.367	4059	4132	51	51	--	Parz.
404.7	8.1	18.5	0.440	--	--	--	4059	4132	51	51	Parz.	--
FLN	8.1	18.5	0.440	--	--	--	4059	4132	51	51	Parz.	--

Verifica a taglio: $\cot(\theta)$ Sin=2.500, $\cot(\theta)$ Cen=2.500, $\cot(\theta)$ Des=2.500 Comb: Sin=51 Cen=51 Des=51

Sez	Td	VRdns	VRcd	VRsd	VRd	Tpl	Mr	Dx	Staffe	CS	ζ _E
	kg	kg	kg	kg	kg	kg	kg*m	cm	cmq/m		
Sin	756	--	15596	13511	13511	0	4132	49.6	10.14	18	--
Cen	443	--	15596	11163	11163	--	--	--	8.38	25	--
Des	636	--	15596	13511	13511	0	4059	49.6	10.14	21	--

Trave: 131 [82,73], Pilastrate [39,41] Sez. R: By=50.0 cm Bz=20.0 cm L=312.4 cm Ln=331.9 cm Criterio : CLS_TraviSpessore_ND - Verifica a flessione: **Verificato**

X	M-	M+	ΔM-	ΔM+	Afs	Afi	Mr-	Mr+	C-	C+	CS	ζ _E
cm	kg*m	kg*m	kg*m	kg*m	cmq	cmq	kg*m	kg*m				
ILN	733	123	--	--	6.16	6.16	3238	3238	(16+17)-I-3	(16+17)-I-1	4.4	6.9
33.2	484	150	--	--	6.16	6.16	3238	3238	(16+17)-I-3	(16+17)-I-1	6.7	9.7
CAMP	464	452	--	--	6.16	6.16	3238	3238	(16+17)-I-1	(16+17)-I-3	7.0	7.1
298.7	671	467	--	--	6.16	6.16	3238	3238	(16+17)-I-1	(16+17)-I-3	4.8	5.5
FLN	907	451	--	--	6.16	6.16	3238	3238	(16+17)-I-1	(16+17)-I-3	3.6	4.4

X	x-	d-	x-/d-	x+	d+	x+/d+	Mr-	Mr+	C-	C+	Stato-	Stato+
cm	cm	cm		cm	cm		kg*m	kg*m				
ILN	5.7	15.9	0.360	5.7	15.9	0.356	3238	3238	(16+17)-I-3	(16+17)-I-1	Parz.	Parz.
33.2	5.7	15.9	0.358	5.7	15.9	0.356	3238	3238	(16+17)-I-3	(16+17)-I-1	Parz.	Parz.
CAMP	5.7	15.9	0.358	5.7	15.9	0.358	3238	3238	(16+17)-I-1	(16+17)-I-3	Parz.	Parz.
298.7	5.7	15.9	0.359	5.7	15.9	0.358	3238	3238	(16+17)-I-1	(16+17)-I-3	Parz.	Parz.
FLN	5.7	15.9	0.361	5.7	15.9	0.358	3238	3238	(16+17)-I-1	(16+17)-I-3	Parz.	Parz.

Verifica a taglio: $\cot(\theta)$ Sin=2.500, $\cot(\theta)$ Cen=2.500, $\cot(\theta)$ Des=2.500 Comb: Sin=(16+17)-I-3
Cen=(16+17)-I-3 Des=(16+17)-I-1

Sez	Td	VRdns	VRcd	VRsd	VRd	Tpl	Mr	Dx	Staffe	CS	ζ _E
	kg	kg	kg	kg	kg	kg	kg*m	cm	cmq/m		
Sin	790	--	17406	14073	14073	0	3238	33.2	10.05	18	41
Cen	622	--	17406	12044	12044	--	--	--	8.60	19	35
Des	755	--	17406	14073	14073	0	3238	33.2	10.05	19	41

Verifica incendio: TeqvCls(°)=323 TeqvAcc(°)=422 Curva:ISO834, γCls=1.20(Aggregato Calcareo)
γAcc=1.00(Laminato a caldo), verifica per R120(min)

X	M-	M+	ΔM-	ΔM+	Afs	Afi	Mr-	Mr+	C-	C+	CS	ζ _E
cm	kg*m	kg*m	kg*m	kg*m	cmq	cmq	kg*m	kg*m				
ILN	305	--	--	--	6.16	6.16	4059	4132	51	51	13	--
33.2	167	--	--	--	6.16	6.16	4059	4132	51	51	24	--
CAMP	--	100	--	--	6.16	6.16	4059	4132	51	51	41	--
298.7	102	--	--	--	6.16	6.16	4059	4132	51	51	40	--
FLN	228	--	--	--	6.16	6.16	4059	4132	51	51	18	--

X	x-	d-	x-/d-	x+	d+	x+/d+	Mr-	Mr+	C-	C+	Stato-	Stato+
cm	cm	cm		cm	cm		kg*m	kg*m				
ILN	8.1	18.5	0.440	--	--	--	4059	4132	51	51	Parz.	--
33.2	8.1	18.5	0.440	--	--	--	4059	4132	51	51	Parz.	--
CAMP	--	--	--	6.0	16.3	0.367	4059	4132	51	51	--	Parz.
298.7	8.1	18.5	0.440	--	--	--	4059	4132	51	51	Parz.	--
FLN	8.1	18.5	0.440	--	--	--	4059	4132	51	51	Parz.	--

Verifica a taglio: $\cot(\theta)$ Sin=2.500, $\cot(\theta)$ Cen=2.500, $\cot(\theta)$ Des=2.500 Comb: Sin=51 Cen=51 Des=51

Sez	Td	VRdns	VRcd	VRsd	VRd	Tpl	Mr	Dx	Staffe	CS	ζ_E
	kg	kg	kg	kg	kg	kg	kg*m	cm	cmq/m		
Sin	456	--	15596	13396	13396	0	4132	33.2	10.05	29	--
Cen	288	--	15596	11465	11465	--	--	--	8.60	40	--
Des	422	--	15596	13396	13396	0	4059	33.2	10.05	32	--

Trave: 155 [75,253], Pilastrate [54,53] Sez. R: By=50.0 cm Bz=20.0 cm L=312.4 cm Ln=313.9 cm Criterio : CLS_TraviSpessore_ND - Verifica a flessione: **Verificato**

X	M-	M+	$\Delta M-$	$\Delta M+$	Afs	Afi	Mr-	Mr+	C-	C+	CS	ζ_E
cm	kg*m	kg*m	kg*m	kg*m	cmq	cmq	kg*m	kg*m				
ILN	1833	--	--	--	6.16	6.16	3238	3238	2	50	1.8	--
31.4	822	86	--	--	6.16	6.16	3238	3238	(16+17)-II-1	(16+17)-II-2	3.9	6.3
CAMP	--	1364	--	--	6.16	6.16	3238	3238	50	2	2.4	--
282.5	1221	--	--	--	6.16	6.16	3238	3238	2	50	2.7	--
FLN	2578	--	--	--	6.16	6.16	3238	3238	2	50	1.3	--

X	x-	d-	x-/d-	x+	d+	x+/d+	Mr-	Mr+	C-	C+	Stato-	Stato+
cm	cm	cm		cm	cm		kg*m	kg*m				
ILN	5.8	15.9	0.367	--	--	--	3238	3238	2	50	Parz.	--
31.4	5.7	15.9	0.360	5.7	15.9	0.356	3238	3238	(16+17)-II-1	(16+17)-II-2	Parz.	Parz.
CAMP	--	--	--	5.8	15.9	0.364	3238	3238	50	2	--	Parz.
282.5	5.8	15.9	0.363	--	--	--	3238	3238	2	50	Parz.	--
FLN	5.9	15.9	0.372	--	--	--	3238	3238	2	50	Parz.	--

Verifica a taglio: $\cot(\theta)$ Sin=2.500, $\cot(\theta)$ Cen=2.500, $\cot(\theta)$ Des=2.500 Comb: Sin=3 Cen=3 Des=3

Sez	Td	VRdns	VRcd	VRsd	VRd	Tpl	Mr	Dx	Staffe	CS	ζ_E
	kg	kg	kg	kg	kg	kg	kg*m	cm	cmq/m		
Sin	4312	--	17406	14073	14073	0	3238	33.1	10.05	3.3	--
Cen	2969	--	17406	11728	11728	--	--	--	8.38	4.0	--
Des	4655	--	17406	14073	14073	0	3238	33.1	10.05	3.0	--

Verifica incendio: $T_{eqvClis}(\circ)=323$ $T_{eqvAcc}(\circ)=422$ Curva:ISO834, $\gamma_{Clis}=1.20$ (Aggregato Calcareo)
 $\gamma_{Acc}=1.00$ (Laminato a caldo), verifica per R120(min)

X	M-	M+	$\Delta M-$	$\Delta M+$	Afs	Afi	Mr-	Mr+	C-	C+	CS	ζ_E
cm	kg*m	kg*m	kg*m	kg*m	cmq	cmq	kg*m	kg*m				
ILN	1099	--	--	--	6.16	6.16	4059	4132	51	51	3.7	--
31.4	368	--	--	--	6.16	6.16	4059	4132	51	51	11	--
CAMP	--	839	--	--	6.16	6.16	4059	4132	51	51	4.9	--
282.5	701	--	--	--	6.16	6.16	4059	4132	51	51	5.8	--
FLN	1513	--	--	--	6.16	6.16	4059	4132	51	51	2.7	--

X	x-	d-	x-/d-	x+	d+	x+/d+	Mr-	Mr+	C-	C+	Stato-	Stato+
cm	cm	cm		cm	cm		kg*m	kg*m				
ILN	8.1	18.5	0.440	--	--	--	4059	4132	51	51	Parz.	--
31.4	8.1	18.5	0.440	--	--	--	4059	4132	51	51	Parz.	--
CAMP	--	--	--	6.0	16.3	0.367	4059	4132	51	51	--	Parz.

X	x-	d-	x-/d-	x+	d+	x+/d+	Mr-	Mr+	C-	C+	Stato-	Stato+
282.5	8.1	18.5	0.440	--	--	--	4059	4132	51	51	Parz.	--
FLN	8.1	18.5	0.440	--	--	--	4059	4132	51	51	Parz.	--

Verifica a taglio: $\cot(\theta)$ Sin=2.500, $\cot(\theta)$ Cen=2.500, $\cot(\theta)$ Des=2.500 Comb: Sin=51 Cen=51 Des=51

Sez	Td	VRdhs	VRcd	VRsd	VRd	Tpl	Mr	Dx	Staffe	CS	ζ_E
	kg	kg	kg	kg	kg	kg	kg*m	cm	cmq/m		
Sin	2602	--	15596	13396	13396	0	4132	33.1	10.05	5.1	--
Cen	1774	--	15596	11163	11163	--	--	--	8.38	6.3	--
Des	2789	--	15596	13396	13396	0	4059	33.1	10.05	4.8	--

Trave: 156 [76,248], Pilastrate [50,48] Sez. R: By=50.0 cm Bz=20.0 cm L=309.9 cm Ln=309.9 cm Criterio : CLS_TraviSpessore_ND - Verifica a flessione: **Verificato**

X	M-	M+	$\Delta M-$	$\Delta M+$	Afs	Afi	Mr-	Mr+	C-	C+	CS	ζ_E
cm	kg*m	kg*m	kg*m	kg*m	cmq	cmq	kg*m	kg*m				
ILN	1866	--	--	--	6.16	6.16	3238	3238	2	50	1.7	--
31.0	874	118	--	--	6.16	6.16	3238	3238	(16+17)-I-1	(16+17)-I-3	3.7	5.8
CAMP	--	1415	--	--	6.16	6.16	3238	3238	50	2	2.3	--
278.9	1202	--	--	--	6.16	6.16	3238	3238	2	50	2.7	--
FLN	2584	--	--	--	6.16	6.16	3238	3238	2	50	1.3	--

X	x-	d-	x-/d-	x+	d+	x+/d+	Mr-	Mr+	C-	C+	Stato-	Stato+
cm	cm	cm		cm	cm		kg*m	kg*m				
ILN	5.8	15.9	0.367	--	--	--	3238	3238	2	50	Parz.	--
31.0	5.7	15.9	0.360	5.7	15.9	0.356	3238	3238	(16+17)-I-1	(16+17)-I-3	Parz.	Parz.
CAMP	--	--	--	5.8	15.9	0.364	3238	3238	50	2	--	Parz.
278.9	5.8	15.9	0.362	--	--	--	3238	3238	2	50	Parz.	--
FLN	5.9	15.9	0.372	--	--	--	3238	3238	2	50	Parz.	--

Verifica a taglio: $\cot(\theta)$ Sin=2.500, $\cot(\theta)$ Cen=2.500, $\cot(\theta)$ Des=2.500 Comb: Sin=3 Cen=3 Des=3

Sez	Td	VRdhs	VRcd	VRsd	VRd	Tpl	Mr	Dx	Staffe	CS	ζ_E
	kg	kg	kg	kg	kg	kg	kg*m	cm	cmq/m		
Sin	4467	--	17406	14073	14073	0	3238	33.0	10.05	3.2	--
Cen	3051	--	17406	11728	11728	--	--	--	8.38	3.8	--
Des	4931	--	17406	14073	14073	0	3238	33.0	10.05	2.9	--

Verifica incendio: $T_{eqvClS}(^{\circ})=323$ $T_{eqvAcc}(^{\circ})=422$ Curva:ISO834, $\gamma_{ClS}=1.20$ (Aggregato Calcareo)
 $\gamma_{Acc}=1.00$ (Laminato a caldo), verifica per R120(min)

X	M-	M+	$\Delta M-$	$\Delta M+$	Afs	Afi	Mr-	Mr+	C-	C+	CS	ζ_E
cm	kg*m	kg*m	kg*m	kg*m	cmq	cmq	kg*m	kg*m				
ILN	1126	--	--	--	6.16	6.16	4059	4132	51	51	3.6	--
31.0	378	--	--	--	6.16	6.16	4059	4132	51	51	11	--
CAMP	--	867	--	--	6.16	6.16	4059	4132	51	51	4.8	--
278.9	684	--	--	--	6.16	6.16	4059	4132	51	51	5.9	--
FLN	1509	--	--	--	6.16	6.16	4059	4132	51	51	2.7	--

X	x-	d-	x-/d-	x+	d+	x+/d+	Mr-	Mr+	C-	C+	Stato-	Stato+
cm	cm	cm		cm	cm		kg*m	kg*m				
ILN	8.1	18.5	0.440	--	--	--	4059	4132	51	51	Parz.	--
31.0	8.1	18.5	0.440	--	--	--	4059	4132	51	51	Parz.	--
CAMP	--	--	--	6.0	16.3	0.367	4059	4132	51	51	--	Parz.
278.9	8.1	18.5	0.440	--	--	--	4059	4132	51	51	Parz.	--
FLN	8.1	18.5	0.440	--	--	--	4059	4132	51	51	Parz.	--

Verifica a taglio: $\cot(\theta)$ Sin=2.500, $\cot(\theta)$ Cen=2.500, $\cot(\theta)$ Des=2.500 Comb: Sin=51 Cen=51 Des=51

Sez	Td	VRdhs	VRcd	VRsd	VRd	Tpl	Mr	Dx	Staffe	CS	ζ_E
	kg	kg	kg	kg	kg	kg	kg*m	cm	cmq/m		
Sin	2696	--	15596	13396	13396	0	4132	33.0	10.05	5.0	--
Cen	1815	--	15596	11163	11163	--	--	--	8.38	6.2	--
Des	2943	--	15596	13396	13396	0	4059	33.0	10.05	4.6	--

Trave: 157 [125,226], Pilastrate [25,26] Sez. R: By=20.0 cm Bz=30.0 cm L=334.3 cm Ln=335.7 cm Criterio : CLS_TraviAlte_ND - Verifica a flessione: **Verificato**

X	M-	M+	$\Delta M-$	$\Delta M+$	Afs	Afi	Mr-	Mr+	C-	C+	CS	ζ_E
cm	kg*m	kg*m	kg*m	kg*m	cmq	cmq	kg*m	kg*m				
ILN	2331	1389	--	--	3.08	3.08	2739	2739	(16+17)-I-3	(16+17)-I-1	1.2	1.2
33.6	1884	1149	--	--	3.08	3.08	2739	2739	(16+17)-I-3	(16+17)-I-1	1.5	1.6
CAMP	1455	--	--	--	3.08	3.08	2739	2739	(16+17)-I-3	50	1.9	2.1
302.1	1488	1016	--	--	3.08	3.08	2739	2739	(16+17)-I-1	(16+17)-I-3	1.8	2.0
FLN	1903	1289	--	--	3.08	3.08	2739	2739	(16+17)-I-1	(16+17)-I-3	1.4	1.5

X	x-	d-	x-/d-	x+	d+	x+/d+	Mr-	Mr+	C-	C+	Stato-	Stato +
cm	cm	cm		cm	cm		kg*m	kg*m				
ILN	8.3	25.9	0.322	8.2	25.9	0.317	2739	2739	(16+17)-I-3	(16+17)-I-1	Parz.	Parz.
33.6	8.3	25.9	0.320	8.2	25.9	0.315	2739	2739	(16+17)-I-3	(16+17)-I-1	Parz.	Parz.
CAMP	8.2	25.9	0.317	--	--	--	2739	2739	(16+17)-I-3	50	Parz.	--
302.1	8.2	25.9	0.317	8.1	25.9	0.314	2739	2739	(16+17)-I-1	(16+17)-I-3	Parz.	Parz.
FLN	8.3	25.9	0.320	8.2	25.9	0.316	2739	2739	(16+17)-I-1	(16+17)-I-3	Parz.	Parz.

Verifica a taglio: $\cot(\theta)$ Sin=1.503, $\cot(\theta)$ Cen=2.426, $\cot(\theta)$ Des=1.503 Comb: Sin=(16+17)-I-3
Cen=(16+17)-I-3 Des=(16+17)-I-1

Sez	Td	VRdhs	VRcd	VRsd	VRd	Tpl	Mr	Dx	Staffe	CS	ζ_E
	kg	kg	kg	kg	kg	kg	kg*m	cm	cmq/m		
Sin	1365	--	15167	15167	15167	0	2739	36.4	11.06	11	14
Cen	1250	--	11590	11590	11590	--	--	--	5.24	9.3	11
Des	1268	--	15167	15167	15167	0	2739	36.4	11.06	12	15

Verifica incendio: $T_{eqvClis}(^{\circ})=182$ $T_{eqvAcc}(^{\circ})=405$ Curva:ISO834, $\gamma_{Clis}=1.20$ (Aggregato Calcareo)
 $\gamma_{Acc}=1.00$ (Laminato a caldo), verifica per R120(min)

X	M-	M+	$\Delta M-$	$\Delta M+$	Afs	Afi	Mr-	Mr+	C-	C+	CS	ζ_E
cm	kg*m	kg*m	kg*m	kg*m	cmq	cmq	kg*m	kg*m				
ILN	471	--	--	--	3.08	3.08	3363	3367	51	51	7.1	--
33.6	367	--	--	--	3.08	3.08	3363	3367	51	51	9.2	--
CAMP	283	--	--	--	3.08	3.08	3363	3367	51	51	12	--
302.1	236	--	--	--	3.08	3.08	3363	3367	51	51	14	--
FLN	307	--	--	--	3.08	3.08	3363	3367	51	51	11	--

X	x-	d-	x-/d-	x+	d+	x+/d+	Mr-	Mr+	C-	C+	Stato-	Stato +
cm	cm	cm		cm	cm		kg*m	kg*m				
ILN	9.8	27.2	0.361	--	--	--	3363	3367	51	51	Parz.	--
33.6	9.8	27.2	0.361	--	--	--	3363	3367	51	51	Parz.	--
CAMP	9.8	27.2	0.361	--	--	--	3363	3367	51	51	Parz.	--
302.1	9.8	27.2	0.361	--	--	--	3363	3367	51	51	Parz.	--
FLN	9.8	27.2	0.361	--	--	--	3363	3367	51	51	Parz.	--

Verifica a taglio: $\cot(\theta)$ Sin=1.492, $\cot(\theta)$ Cen=2.410, $\cot(\theta)$ Des=1.492 Comb: Sin=51 Cen=51 Des=51

Sez	Td	VRdhs	VRcd	VRsd	VRd	Tpl	Mr	Dx	Staffe	CS	ζ_E
	kg	kg	kg	kg	kg	kg	kg*m	cm	cmq/m		
Sin	338	--	14878	14878	14878	0	3367	36.4	11.06	44	--
Cen	222	--	11386	11386	11386	--	--	--	5.24	51	--
Des	240	--	14878	14878	14878	0	3363	36.4	11.06	62	--

Trave: 157 [77,226], Pilastrate [27,26] Sez. R: By=50.0 cm Bz=20.0 cm L=322.6 cm Ln=306.5 cm Criterio : CLS_TraviSpessore_ND - Verifica a flessione: **Verificato**

X	M-	M+	ΔM-	ΔM+	Afs	Afi	Mr-	Mr+	C-	C+	CS	ζ _E
cm	kg*m	kg*m	kg*m	kg*m	cmq	cmq	kg*m	kg*m				
ILN	2088	--	--	--	6.16	6.16	3238	3238	(16+17)-I-1	50	1.6	2.3
30.7	1098	251	--	--	6.16	6.16	3238	3238	(16+17)-I-1	(16+17)-I-3	3.0	4.2
CAMP	--	1662	--	--	6.16	6.16	3238	3238	50	2	1.9	--
275.9	1411	252	--	--	6.16	6.16	3238	3238	(16+17)-I-3	(16+17)-I-1	2.3	3.2
FLN	2461	--	--	--	6.16	6.16	3238	3238	(16+17)-I-3	50	1.3	1.8

X	x-	d-	x-/d-	x+	d+	x+/d+	Mr-	Mr+	C-	C+	Stato-	Stato+
cm	cm	cm		cm	cm		kg*m	kg*m				
ILN	5.9	15.9	0.369	--	--	--	3238	3238	(16+17)-I-1	50	Parz.	--
30.7	5.8	15.9	0.362	5.7	15.9	0.357	3238	3238	(16+17)-I-1	(16+17)-I-3	Parz.	Parz.
CAMP	--	--	--	5.8	15.9	0.366	3238	3238	50	2	--	Parz.
275.9	5.8	15.9	0.364	5.7	15.9	0.357	3238	3238	(16+17)-I-3	(16+17)-I-1	Parz.	Parz.
FLN	5.9	15.9	0.371	--	--	--	3238	3238	(16+17)-I-3	50	Parz.	--

Verifica a taglio: cot(θ) Sin=2.500,cot(θ) Cen=2.500,cot(θ) Des=2.500 Comb: Sin=3 Cen=3 Des=3

Sez	Td	VRdns	VRcd	VRsd	VRd	Tpl	Mr	Dx	Staffe	CS	ζ _E
	kg	kg	kg	kg	kg	kg	kg*m	cm	cmq/m		
Sin	4704	--	17406	15826	15826	0	3238	35.6	11.31	3.4	--
Cen	3189	--	17406	11870	11870	--	--	--	8.48	3.7	--
Des	5239	--	17406	15826	15826	0	3238	35.6	11.31	3.0	--

Verifica incendio: TeqvCl_s(°)=323 TeqvAcc(°)=422 Curva:ISO834,γCl_s=1.20(Aggregato Calcareo)
γAcc=1.00(Laminato a caldo),verifica per R120(min)

X	M-	M+	ΔM-	ΔM+	Afs	Afi	Mr-	Mr+	C-	C+	CS	ζ _E
cm	kg*m	kg*m	kg*m	kg*m	cmq	cmq	kg*m	kg*m				
ILN	1225	--	--	--	6.16	6.16	4059	4132	51	51	3.3	--
30.7	423	--	--	--	6.16	6.16	4059	4132	51	51	9.6	--
CAMP	--	993	--	--	6.16	6.16	4059	4132	51	51	4.2	--
275.9	579	--	--	--	6.16	6.16	4059	4132	51	51	7.0	--
FLN	1442	--	--	--	6.16	6.16	4059	4132	51	51	2.8	--

X	x-	d-	x-/d-	x+	d+	x+/d+	Mr-	Mr+	C-	C+	Stato-	Stato+
cm	cm	cm		cm	cm		kg*m	kg*m				
ILN	8.1	18.5	0.440	--	--	--	4059	4132	51	51	Parz.	--
30.7	8.1	18.5	0.440	--	--	--	4059	4132	51	51	Parz.	--
CAMP	--	--	--	6.0	16.3	0.367	4059	4132	51	51	--	Parz.
275.9	8.1	18.5	0.440	--	--	--	4059	4132	51	51	Parz.	--
FLN	8.1	18.5	0.440	--	--	--	4059	4132	51	51	Parz.	--

Verifica a taglio: cot(θ) Sin=2.500,cot(θ) Cen=2.500,cot(θ) Des=2.500 Comb: Sin=51 Cen=51 Des=51

Sez	Td	VRdns	VRcd	VRsd	VRd	Tpl	Mr	Dx	Staffe	CS	ζ _E
	kg	kg	kg	kg	kg	kg	kg*m	cm	cmq/m		
Sin	2832	--	15615	15064	15064	0	4132	35.6	11.31	5.3	--
Cen	1894	--	15615	11298	11298	--	--	--	8.48	6.0	--
Des	3120	--	15615	15064	15064	0	4059	35.6	11.31	4.8	--

Trave: 157 [77,96], Pilastrate [27,22] Sez. R: By=50.0 cm Bz=20.0 cm L=378.3 cm Ln=378.3 cm Criterio : CLS_TraviSpessore_ND - Verifica a flessione: **Verificato**

X	M-	M+	ΔM-	ΔM+	Afs	Afi	Mr-	Mr+	C-	C+	CS	ζ _E
cm	kg*m	kg*m	kg*m	kg*m	cmq	cmq	kg*m	kg*m				

X	M-	M+	ΔM-	ΔM+	Afs	Afi	Mr-	Mr+	C-	C+	CS	ζ _E
ILN	1344	--	--	--	6.16	6.16	3238	3238	(16+17)-I-3	50	2.4	3.9
37.8	979	43	--	--	6.16	6.16	3238	3238	(16+17)-I-3	(16+17)-I-1	3.3	5.4
CAMP	650	--	--	--	6.16	6.16	3238	3238	(16+17)-I-3	50	5.0	8.1
340.5	631	653	--	--	6.16	6.16	3238	3238	(16+17)-I-1	(16+17)-I-3	5.0	5.0
FLN	876	696	--	--	6.16	6.16	3238	3238	(16+17)-I-1	(16+17)-I-3	3.7	4.0

X	x-	d-	x-/d-	x+	d+	x+/d+	Mr-	Mr+	C-	C+	Stato-	Stato+
cm	cm	cm		cm	cm		kg*m	kg*m				
ILN	5.8	15.9	0.363	--	--	--	3238	3238	(16+17)-I-3	50	Parz.	--
37.8	5.7	15.9	0.361	5.7	15.9	0.355	3238	3238	(16+17)-I-3	(16+17)-I-1	Parz.	Parz.
CAMP	5.7	15.9	0.359	--	--	--	3238	3238	(16+17)-I-3	50	Parz.	--
340.5	5.7	15.9	0.359	5.7	15.9	0.359	3238	3238	(16+17)-I-1	(16+17)-I-3	Parz.	Parz.
FLN	5.7	15.9	0.360	5.7	15.9	0.359	3238	3238	(16+17)-I-1	(16+17)-I-3	Parz.	Parz.

Verifica a taglio: $\cot(\theta)$ Sin=2.500, $\cot(\theta)$ Cen=2.500, $\cot(\theta)$ Des=2.500 Comb: Sin=(16+17)-I-3
Cen=(16+17)-I-3 Des=(16+17)-I-1

Sez	Td	VRdns	VRcd	VRsd	VRd	Tpl	Mr	Dx	Staffe	CS	ζ _E
	kg	kg	kg	kg	kg	kg	kg*m	cm	cmq/m		
Sin	1012	--	17406	14073	14073	0	3238	43.0	10.05	14	35
Cen	823	--	17406	11887	11887	--	--	--	8.49	14	30
Des	696	--	17406	14073	14073	0	3238	43.0	10.05	20	36

Verifica incendio: $T_{eqvClS}(^{\circ})=323$ $T_{eqvAcc}(^{\circ})=422$ Curva:ISO834, $\gamma_{ClS}=1.20$ (Aggregato Calcareo)
 $\gamma_{Acc}=1.00$ (Laminato a caldo), verifica per R120(min)

X	M-	M+	ΔM-	ΔM+	Afs	Afi	Mr-	Mr+	C-	C+	CS	ζ _E
cm	kg*m	kg*m	kg*m	kg*m	cmq	cmq	kg*m	kg*m				
ILN	689	--	--	--	6.16	6.16	4059	4132	51	51	5.9	--
37.8	468	--	--	--	6.16	6.16	4059	4132	51	51	8.7	--
CAMP	283	--	--	--	6.16	6.16	4059	4132	51	51	14	--
340.5	--	11	--	--	6.16	6.16	4059	4132	51	51	>100	--
FLN	90	--	--	--	6.16	6.16	4059	4132	51	51	45	--

X	x-	d-	x-/d-	x+	d+	x+/d+	Mr-	Mr+	C-	C+	Stato-	Stato+
cm	cm	cm		cm	cm		kg*m	kg*m				
ILN	8.1	18.5	0.440	--	--	--	4059	4132	51	51	Parz.	--
37.8	8.1	18.5	0.440	--	--	--	4059	4132	51	51	Parz.	--
CAMP	8.1	18.5	0.440	--	--	--	4059	4132	51	51	Parz.	--
340.5	--	--	--	6.0	16.3	0.367	4059	4132	51	51	--	Parz.
FLN	8.1	18.5	0.440	--	--	--	4059	4132	51	51	Parz.	--

Verifica a taglio: $\cot(\theta)$ Sin=2.500, $\cot(\theta)$ Cen=2.500, $\cot(\theta)$ Des=2.500 Comb: Sin=51 Cen=51 Des=51

Sez	Td	VRdns	VRcd	VRsd	VRd	Tpl	Mr	Dx	Staffe	CS	ζ _E
	kg	kg	kg	kg	kg	kg	kg*m	cm	cmq/m		
Sin	631	--	15596	13396	13396	0	4132	43.0	10.05	21	--
Cen	442	--	15596	11315	11315	--	--	--	8.49	26	--
Des	315	--	15596	13396	13396	0	4059	43.0	10.05	43	--

Trave: 159 [236,80], Pilastrate [36,32] Sez. R: By=50.0 cm Bz=20.0 cm L=316.0 cm Ln=312.0 cm Criterio : CLS_TraviSpessore_ND - Verifica a flessione: **Verificato**

X	M-	M+	ΔM-	ΔM+	Afs	Afi	Mr-	Mr+	C-	C+	CS	ζ _E
cm	kg*m	kg*m	kg*m	kg*m	cmq	cmq	kg*m	kg*m				
ILN	2403	--	--	--	6.16	6.16	3238	3238	2	50	1.3	--
31.2	1213	--	--	--	6.16	6.16	3238	3238	(16+17)-I-3	50	2.7	4.4
CAMP	--	1366	--	--	6.16	6.16	3238	3238	50	2	2.4	--
280.8	915	269	--	--	6.16	6.16	3238	3238	(16+17)-I-1	(16+17)-I-3	3.5	4.9

X	M-	M+	ΔM-	ΔM+	Afs	Afi	Mr-	Mr+	C-	C+	CS	ζ _E
FLN	1767	--	--	--	6.16	6.16	3238	3238	(16+17)-I-1	50	1.8	3.0

X	x-	d-	x-/d-	x+	d+	x+/d+	Mr-	Mr+	C-	C+	Stato-	Stato+
cm	cm	cm		cm	cm		kg*m	kg*m				
ILN	5.9	15.9	0.371	--	--	--	3238	3238	2	50	Parz.	--
31.2	5.8	15.9	0.363	--	--	--	3238	3238	(16+17)-I-3	50	Parz.	--
CAMP	--	--	--	5.8	15.9	0.364	3238	3238	50	2	--	Parz.
280.8	5.7	15.9	0.361	5.7	15.9	0.357	3238	3238	(16+17)-I-1	(16+17)-I-3	Parz.	Parz.
FLN	5.8	15.9	0.366	--	--	--	3238	3238	(16+17)-I-1	50	Parz.	--

Verifica a taglio: $\cot(\theta)$ Sin=2.500, $\cot(\theta)$ Cen=2.500, $\cot(\theta)$ Des=2.500 Comb: Sin=3 Cen=3 Des=3

Sez	Td	VRd _{ns}	VRd _{cd}	VRd _{sd}	VRd	Tpl	Mr	Dx	Staffe	CS	ζ _E
	kg	kg	kg	kg	kg	kg	kg*m	cm	cmq/m		
Sin	4274	--	17406	14073	14073	0	3238	33.2	10.05	3.3	--
Cen	2872	--	17406	12033	12033	--	--	--	8.60	4.2	--
Des	3992	--	17406	14073	14073	0	3238	33.2	10.05	3.5	--

Verifica incendio: $T_{eqvClS}(^{\circ})=323$ $T_{eqvAcc}(^{\circ})=422$ Curva:ISO834, $\gamma_{ClS}=1.20$ (Aggregato Calcareo)
 $\gamma_{Acc}=1.00$ (Laminato a caldo), verifica per R120(min)

X	M-	M+	ΔM-	ΔM+	Afs	Afi	Mr-	Mr+	C-	C+	CS	ζ _E
cm	kg*m	kg*m	kg*m	kg*m	cmq	cmq	kg*m	kg*m				
ILN	1354	--	--	--	6.16	6.16	4059	4132	51	51	3.0	--
31.2	617	--	--	--	6.16	6.16	4059	4132	51	51	6.6	--
CAMP	--	849	--	--	6.16	6.16	4059	4132	51	51	4.9	--
280.8	323	--	--	--	6.16	6.16	4059	4132	51	51	13	--
FLN	1027	--	--	--	6.16	6.16	4059	4132	51	51	4.0	--

X	x-	d-	x-/d-	x+	d+	x+/d+	Mr-	Mr+	C-	C+	Stato-	Stato+
cm	cm	cm		cm	cm		kg*m	kg*m				
ILN	8.1	18.5	0.440	--	--	--	4059	4132	51	51	Parz.	--
31.2	8.1	18.5	0.440	--	--	--	4059	4132	51	51	Parz.	--
CAMP	--	--	--	6.0	16.3	0.367	4059	4132	51	51	--	Parz.
280.8	8.1	18.5	0.440	--	--	--	4059	4132	51	51	Parz.	--
FLN	8.1	18.5	0.440	--	--	--	4059	4132	51	51	Parz.	--

Verifica a taglio: $\cot(\theta)$ Sin=2.500, $\cot(\theta)$ Cen=2.500, $\cot(\theta)$ Des=2.500 Comb: Sin=51 Cen=51 Des=51

Sez	Td	VRd _{ns}	VRd _{cd}	VRd _{sd}	VRd	Tpl	Mr	Dx	Staffe	CS	ζ _E
	kg	kg	kg	kg	kg	kg	kg*m	cm	cmq/m		
Sin	2538	--	15596	13396	13396	0	4132	33.2	10.05	5.3	--
Cen	1686	--	15596	11454	11454	--	--	--	8.60	6.8	--
Des	2447	--	15596	13396	13396	0	4059	33.2	10.05	5.5	--

Trave: 185 [238,81], Pilastrate [38,34] Sez. R: By=50.0 cm Bz=20.0 cm L=314.8 cm Ln=300.8 cm Criterio : CLS_TraviSpessore_ND - Verifica a flessione: **Verificato**

X	M-	M+	ΔM-	ΔM+	Afs	Afi	Mr-	Mr+	C-	C+	CS	ζ _E
cm	kg*m	kg*m	kg*m	kg*m	cmq	cmq	kg*m	kg*m				
ILN	2201	--	--	--	6.16	6.16	3238	3238	2	50	1.5	--
30.1	1116	43	--	--	6.16	6.16	3238	3238	(16+17)-II-1	(16+17)-II-2	2.9	4.7
CAMP	--	1379	--	--	6.16	6.16	3238	3238	50	2	2.3	--
270.7	1041	300	--	--	6.16	6.16	3238	3238	(16+17)-II-2	(16+17)-II-1	3.1	4.3
FLN	1853	--	--	--	6.16	6.16	3238	3238	(16+17)-II-2	50	1.7	2.7

X	x-	d-	x-/d-	x+	d+	x+/d+	Mr-	Mr+	C-	C+	Stato-	Stato+
---	----	----	-------	----	----	-------	-----	-----	----	----	--------	--------

X	x-	d-	x-/d-	x+	d+	x+/d+	Mr-	Mr+	C-	C+	Stato-	Stato+
cm	cm	cm		cm	cm		kg*m	kg*m				
ILN	5.9	15.9	0.369	--	--	--	3238	3238	2	50	Parz.	--
30.1	5.8	15.9	0.362	5.7	15.9	0.355	3238	3238	(16+17)-II-1	(16+17)-II-2	Parz.	Parz.
CAMP	--	--	--	5.8	15.9	0.364	3238	3238	50	2	--	Parz.
270.7	5.7	15.9	0.361	5.7	15.9	0.357	3238	3238	(16+17)-II-2	(16+17)-II-1	Parz.	Parz.
FLN	5.8	15.9	0.367	--	--	--	3238	3238	(16+17)-II-2	50	Parz.	--

Verifica a taglio: $\cot(\theta)$ Sin=2.500, $\cot(\theta)$ Cen=2.500, $\cot(\theta)$ Des=2.500 Comb: Sin=3 Cen=3 Des=3

Sez	Td	VRdns	VRcd	VRsd	VRd	Tpl	Mr	Dx	Staffe	CS	ζ_E
	kg	kg	kg	kg	kg	kg	kg*m	cm	cmq/m		
Sin	4529	--	17406	14073	14073	0	3238	33.1	10.05	3.1	--
Cen	2844	--	17406	11728	11728	--	--	--	8.38	4.1	--
Des	3839	--	17406	14073	14073	0	3238	33.1	10.05	3.7	--

Verifica incendio: $T_{eqvClis}(\circ)=323$ $T_{eqvAcc}(\circ)=422$ Curva: ISO834, $\gamma_{Clis}=1.20$ (Aggregato Calcareo)
 $\gamma_{Acc}=1.00$ (Laminato a caldo), verifica per R120(min)

X	M-	M+	$\Delta M-$	$\Delta M+$	Afs	Afi	Mr-	Mr+	C-	C+	CS	ζ_E
cm	kg*m	kg*m	kg*m	kg*m	cmq	cmq	kg*m	kg*m				
ILN	1283	--	--	--	6.16	6.16	4059	4132	51	51	3.2	--
30.1	537	--	--	--	6.16	6.16	4059	4132	51	51	7.6	--
CAMP	--	841	--	--	6.16	6.16	4059	4132	51	51	4.9	--
270.7	371	--	--	--	6.16	6.16	4059	4132	51	51	11	--
FLN	1027	--	--	--	6.16	6.16	4059	4132	51	51	4.0	--

X	x-	d-	x-/d-	x+	d+	x+/d+	Mr-	Mr+	C-	C+	Stato-	Stato+
cm	cm	cm		cm	cm		kg*m	kg*m				
ILN	8.1	18.5	0.440	--	--	--	4059	4132	51	51	Parz.	--
30.1	8.1	18.5	0.440	--	--	--	4059	4132	51	51	Parz.	--
CAMP	--	--	--	6.0	16.3	0.367	4059	4132	51	51	--	Parz.
270.7	8.1	18.5	0.440	--	--	--	4059	4132	51	51	Parz.	--
FLN	8.1	18.5	0.440	--	--	--	4059	4132	51	51	Parz.	--

Verifica a taglio: $\cot(\theta)$ Sin=2.500, $\cot(\theta)$ Cen=2.500, $\cot(\theta)$ Des=2.500 Comb: Sin=51 Cen=51 Des=51

Sez	Td	VRdns	VRcd	VRsd	VRd	Tpl	Mr	Dx	Staffe	CS	ζ_E
	kg	kg	kg	kg	kg	kg	kg*m	cm	cmq/m		
Sin	2704	--	15614	13396	13396	0	4132	33.1	10.05	5.0	--
Cen	1690	--	15614	11163	11163	--	--	--	8.38	6.6	--
Des	2332	--	15614	13396	13396	0	4059	33.1	10.05	5.7	--

Trave: 185 [144,238], Pilastrate [44,38] Sez. R: By=20.0 cm Bz=30.0 cm L=312.0 cm Ln=313.4 cm Criterio : CLS_TraviAlte_ND - Verifica a flessione: **Verificato**

X	M-	M+	$\Delta M-$	$\Delta M+$	Afs	Afi	Mr-	Mr+	C-	C+	CS	ζ_E
cm	kg*m	kg*m	kg*m	kg*m	cmq	cmq	kg*m	kg*m				
ILN	1322	976	--	--	3.08	3.08	2739	2739	(16+17)-II-1	(16+17)-II-2	2.1	2.2
31.3	1036	825	--	--	3.08	3.08	2739	2739	(16+17)-II-1	(16+17)-II-2	2.6	2.8
CAMP	790	--	--	--	3.08	3.08	2739	2739	(16+17)-II-2	50	3.5	4.2
282.1	1100	541	--	--	3.08	3.08	2739	2739	(16+17)-II-2	(16+17)-II-1	2.5	3.0
FLN	1429	649	--	--	3.08	3.08	2739	2739	(16+17)-II-2	(16+17)-II-1	1.9	2.3

X	x-	d-	x-/d-	x+	d+	x+/d+	Mr-	Mr+	C-	C+	Stato-	Stato+
cm	cm	cm		cm	cm		kg*m	kg*m				
ILN	8.2	25.9	0.316	8.1	25.9	0.314	2739	2739	(16+17)-II-1	(16+17)-II-2	Parz.	Parz.
31.3	8.1	25.9	0.315	8.1	25.9	0.313	2739	2739	(16+17)-II-1	(16+17)-II-2	Parz.	Parz.
CAMP	8.1	25.9	0.313	--	--	--	2739	2739	(16+17)-II-2	50	Parz.	--

X	x-	d-	x-/d-	x+	d+	x+/d+	Mr-	Mr+	C-	C+	Stato-	Stato+
282.1	8.2	25.9	0.315	8.1	25.9	0.312	2739	2739	(16+17)-II-2	(16+17)-II-1	Parz.	Parz.
FLN	8.2	25.9	0.317	8.1	25.9	0.312	2739	2739	(16+17)-II-2	(16+17)-II-1	Parz.	Parz.

Verifica a taglio: $\cot(\theta) \sin=1.608, \cot(\theta) \cos=2.485, \cot(\theta) \tan=1.608$ Comb: Sin=(16+17)-II-1
 Cen=(16+17)-II-2 Des=(16+17)-II-2

Sez	Td	VRdhs	VRcd	VRsd	VRd	Tpl	Mr	Dx	Staffe	CS	ζ_E
	kg	kg	kg	kg	kg	kg	kg*m	cm	cmq/m		
Sin	946	--	14748	14748	14748	0	2739	32.5	10.05	16	21
Cen	957	--	11392	11392	11392	--	--	--	5.03	12	16
Des	1079	--	14748	14748	14748	0	2739	32.5	10.05	14	21

Verifica incendio: $T_{eqvClS}(^{\circ})=182$ $T_{eqvAcc}(^{\circ})=405$ Curva:ISO834, $\gamma_{ClS}=1.20$ (Aggregato Calcareo)
 $\gamma_{Acc}=1.00$ (Laminato a caldo),verifica per R120(min)

X	M-	M+	$\Delta M-$	$\Delta M+$	Afs	Afi	Mr-	Mr+	C-	C+	CS	ζ_E
cm	kg*m	kg*m	kg*m	kg*m	cmq	cmq	kg*m	kg*m				
ILN	173	--	--	--	3.08	3.08	3363	3367	51	51	19	--
31.3	105	--	--	--	3.08	3.08	3363	3367	51	51	32	--
CAMP	188	--	--	--	3.08	3.08	3363	3367	51	51	18	--
282.1	279	--	--	--	3.08	3.08	3363	3367	51	51	12	--
FLN	390	--	--	--	3.08	3.08	3363	3367	51	51	8.6	--

X	x-	d-	x-/d-	x+	d+	x+/d+	Mr-	Mr+	C-	C+	Stato-	Stato+
cm	cm	cm		cm	cm		kg*m	kg*m				
ILN	9.8	27.2	0.361	--	--	--	3363	3367	51	51	Parz.	--
31.3	9.8	27.2	0.361	--	--	--	3363	3367	51	51	Parz.	--
CAMP	9.8	27.2	0.361	--	--	--	3363	3367	51	51	Parz.	--
282.1	9.8	27.2	0.361	--	--	--	3363	3367	51	51	Parz.	--
FLN	9.8	27.2	0.361	--	--	--	3363	3367	51	51	Parz.	--

Verifica a taglio: $\cot(\theta) \sin=1.598, \cot(\theta) \cos=2.472, \cot(\theta) \tan=1.598$ Comb: Sin=51 Cen=51 Des=51

Sez	Td	VRdhs	VRcd	VRsd	VRd	Tpl	Mr	Dx	Staffe	CS	ζ_E
	kg	kg	kg	kg	kg	kg	kg*m	cm	cmq/m		
Sin	248	--	14491	14491	14491	0	3367	32.5	10.05	59	--
Cen	259	--	11204	11204	11204	--	--	--	5.03	43	--
Des	381	--	14491	14491	14491	0	3363	32.5	10.05	38	--

Trave: 185 [151,144], Pilastrate [51,44] Sez. R: By=20.0 cm Bz=30.0 cm L=478.8 cm Ln=482.5 cm Criterio : CLS_TraviAlte_ND - Verifica a flessione: **Verificato**

X	M-	M+	$\Delta M-$	$\Delta M+$	Afs	Afi	Mr-	Mr+	C-	C+	CS	ζ_E
cm	kg*m	kg*m	kg*m	kg*m	cmq	cmq	kg*m	kg*m				
ILN	1039	234	--	--	3.08	3.08	2739	2739	(16+17)-II-1	(16+17)-II-2	2.6	3.7
48.3	676	320	--	--	3.08	3.08	2739	2739	(16+17)-II-1	(16+17)-II-2	4.1	5.1
CAMP	457	552	--	--	3.08	3.08	2739	2739	(16+17)-II-2	2	5.0	5.9
434.3	763	455	--	--	3.08	3.08	2739	2739	(16+17)-II-2	(16+17)-II-1	3.6	4.2
FLN	1116	378	--	--	3.08	3.08	2739	2739	(16+17)-II-2	(16+17)-II-1	2.5	3.2

X	x-	d-	x-/d-	x+	d+	x+/d+	Mr-	Mr+	C-	C+	Stato-	Stato+
cm	cm	cm		cm	cm		kg*m	kg*m				
ILN	8.1	25.9	0.315	8.0	25.9	0.310	2739	2739	(16+17)-II-1	(16+17)-II-2	Parz.	Parz.
48.3	8.1	25.9	0.313	8.0	25.9	0.311	2739	2739	(16+17)-II-1	(16+17)-II-2	Parz.	Parz.
CAMP	8.1	25.9	0.311	8.1	25.9	0.312	2739	2739	(16+17)-II-2	2	Parz.	Parz.
434.3	8.1	25.9	0.313	8.1	25.9	0.311	2739	2739	(16+17)-II-2	(16+17)-II-1	Parz.	Parz.
FLN	8.2	25.9	0.315	8.1	25.9	0.311	2739	2739	(16+17)-II-2	(16+17)-II-1	Parz.	Parz.

Verifica a taglio: $\cot(\theta)$ Sin=1.608, $\cot(\theta)$ Cen=2.485, $\cot(\theta)$ Des=1.608 Comb: Sin=3 Cen=3 Des=3

Sez	Td	VRdns	VRcd	VRsd	VRd	Tpl	Mr	Dx	Staffe	CS	ζ_E
	kg	kg	kg	kg	kg	kg	kg*m	cm	cmq/m		
Sin	1173	--	14748	14748	14748	0	2739	51.0	10.05	13	--
Cen	722	--	11392	11392	11392	--	--	--	5.03	16	--
Des	1126	--	14748	14748	14748	0	2739	51.0	10.05	13	--

Verifica incendio: $T_{eqvClS}(^{\circ})=182$ $T_{eqvAcc}(^{\circ})=405$ Curva:ISO834, $\gamma_{ClS}=1.20$ (Aggregato Calcareo)

$\gamma_{Acc}=1.00$ (Laminato a caldo), verifica per R120(min)

X	M-	M+	$\Delta M-$	$\Delta M+$	Afs	Afi	Mr-	Mr+	C-	C+	CS	ζ_E
cm	kg*m	kg*m	kg*m	kg*m	cmq	cmq	kg*m	kg*m				
ILN	402	--	--	--	3.08	3.08	3363	3367	51	51	8.4	--
48.3	178	--	--	--	3.08	3.08	3363	3367	51	51	19	--
CAMP	--	225	--	--	3.08	3.08	3363	3367	51	51	15	--
434.3	154	--	--	--	3.08	3.08	3363	3367	51	51	22	--
FLN	369	--	--	--	3.08	3.08	3363	3367	51	51	9.1	--

X	x-	d-	x-/d-	x+	d+	x+/d+	Mr-	Mr+	C-	C+	Stato-	Stato+
cm	cm	cm		cm	cm		kg*m	kg*m				
ILN	9.8	27.2	0.361	--	--	--	3363	3367	51	51	Parz.	--
48.3	9.8	27.2	0.361	--	--	--	3363	3367	51	51	Parz.	--
CAMP	--	--	--	8.4	26.1	0.321	3363	3367	51	51	--	Parz.
434.3	9.8	27.2	0.361	--	--	--	3363	3367	51	51	Parz.	--
FLN	9.8	27.2	0.361	--	--	--	3363	3367	51	51	Parz.	--

Verifica a taglio: $\cot(\theta)$ Sin=1.597, $\cot(\theta)$ Cen=2.470, $\cot(\theta)$ Des=1.597 Comb: Sin=51 Cen=51 Des=51

Sez	Td	VRdns	VRcd	VRsd	VRd	Tpl	Mr	Dx	Staffe	CS	ζ_E
	kg	kg	kg	kg	kg	kg	kg*m	cm	cmq/m		
Sin	510	--	14476	14476	14476	0	3367	51.0	10.05	28	--
Cen	311	--	11195	11195	11195	--	--	--	5.03	36	--
Des	494	--	14476	14476	14476	0	3363	51.0	10.05	29	--

Trave: 185 [152,151], Pilastrate [52,51] Sez. R: By=20.0 cm Bz=40.0 cm L=276.1 cm Ln=277.7 cm Criterio : CLS_TraviAlte_ND - Verifica a flessione: **Verificato**

X	M-	M+	$\Delta M-$	$\Delta M+$	Afs	Afi	Mr-	Mr+	C-	C+	CS	ζ_E
cm	kg*m	kg*m	kg*m	kg*m	cmq	cmq	kg*m	kg*m				
ILN	1369	1841	--	--	3.08	3.08	3895	3895	(16+17)-II-1	(16+17)-II-2	2.1	2.3
27.8	1036	1518	--	--	3.08	3.08	3895	3895	(16+17)-II-1	(16+17)-II-2	2.6	2.9
CAMP	1316	726	--	--	3.08	3.08	3895	3895	(16+17)-II-2	(16+17)-II-1	3.0	3.5
249.9	1802	896	--	--	3.08	3.08	3895	3895	(16+17)-II-2	(16+17)-II-1	2.2	2.6
FLN	2309	1046	--	--	3.08	3.08	3895	3895	(16+17)-II-2	(16+17)-II-1	1.7	1.9

X	x-	d-	x-/d-	x+	d+	x+/d+	Mr-	Mr+	C-	C+	Stato-	Stato+
cm	cm	cm		cm	cm		kg*m	kg*m				
ILN	9.8	35.9	0.274	9.9	35.9	0.276	3895	3895	(16+17)-II-1	(16+17)-II-2	Parz.	Parz.
27.8	9.8	35.9	0.273	9.9	35.9	0.275	3895	3895	(16+17)-II-1	(16+17)-II-2	Parz.	Parz.
CAMP	9.8	35.9	0.274	9.8	35.9	0.273	3895	3895	(16+17)-II-2	(16+17)-II-1	Parz.	Parz.
249.9	9.9	35.9	0.276	9.8	35.9	0.273	3895	3895	(16+17)-II-2	(16+17)-II-1	Parz.	Parz.
FLN	10.0	35.9	0.277	9.8	35.9	0.273	3895	3895	(16+17)-II-2	(16+17)-II-1	Parz.	Parz.

Verifica a taglio: $\cot(\theta)$ Sin=1.608, $\cot(\theta)$ Cen=2.500, $\cot(\theta)$ Des=1.608 Comb: Sin=(16+17)-II-1

Cen=(16+17)-II-2 Des=(16+17)-II-2

Sez	Td	VRdns	VRcd	VRsd	VRd	Tpl	Mr	Dx	Staffe	CS	ζ_E
	kg	kg	kg	kg	kg	kg	kg*m	cm	cmq/m		
Sin	1236	--	20443	20443	20443	0	3895	40.0	10.05	17	17
Cen	1715	--	15720	12710	12710	--	--	--	4.02	7.4	10

Sez	Td	VRdns	VRcd	VRsd	VRd	Tpl	Mr	Dx	Staffe	CS	ζ_E
Des	1857	--	20443	20443	20443	0	3895	40.0	10.05	11	17

Verifica incendio: $T_{eqvClS}(^{\circ})=200$ $T_{eqvAcc}(^{\circ})=418$ Curva:ISO834, $\gamma_{ClS}=1.20$ (Aggregato Calcareo)
 $\gamma_{Acc}=1.00$ (Laminato a caldo),verifica per R120(min)

X	M-	M+	$\Delta M-$	$\Delta M+$	Afs	Afi	Mr-	Mr+	C-	C+	CS	ζ_E
cm	kg*m	kg*m	kg*m	kg*m	cmq	cmq	kg*m	kg*m				
ILN	--	236	--	--	3.08	3.08	4741	4752	51	51	20	--
27.8	--	241	--	--	3.08	3.08	4741	4752	51	51	20	--
CAMP	295	--	--	--	3.08	3.08	4741	4752	51	51	16	--
249.9	453	--	--	--	3.08	3.08	4741	4752	51	51	10	--
FLN	631	--	--	--	3.08	3.08	4741	4752	51	51	7.5	--

X	x-	d-	x-/d-	x+	d+	x+/d+	Mr-	Mr+	C-	C+	Stato-	Stato+
cm	cm	cm		cm	cm		kg*m	kg*m				
ILN	--	--	--	10.3	36.7	0.281	4741	4752	51	51	--	Parz.
27.8	--	--	--	10.3	36.7	0.281	4741	4752	51	51	--	Parz.
CAMP	12.7	38.0	0.334	--	--	--	4741	4752	51	51	Parz.	--
249.9	12.7	38.0	0.334	--	--	--	4741	4752	51	51	Parz.	--
FLN	12.7	38.0	0.334	--	--	--	4741	4752	51	51	Parz.	--

Verifica a taglio: $\cot(\theta)$ Sin=1.621, $\cot(\theta)$ Cen=2.500, $\cot(\theta)$ Des=1.621 Comb: Sin=51 Cen=51 Des=51

Sez	Td	VRdns	VRcd	VRsd	VRd	Tpl	Mr	Dx	Staffe	CS	ζ_E
	kg	kg	kg	kg	kg	kg	kg*m	cm	cmq/m		
Sin	54	--	19796	19796	19796	0	4752	40.0	10.05	>100	--
Cen	533	--	15277	12211	12211	--	--	--	4.02	23	--
Des	675	--	19796	19796	19796	0	4741	40.0	10.05	29	--

Verifica dei Muri in calcestruzzo

Scenario di calcolo: **Set_NT_SLV_SLD_A2_STR/GEO_2018**

Simbologia:

Muro	Indice del muro in verifica
Nodi	[n1-n2-n3-n4...] Indici dei nodi di attacco del muro
Pann.X	Numero di pannelli in direzione locale X del muro(per muri a pannelli)
Pann.Y	Numero di pannelli in direzione locale Y del muro(per muri a pannelli)
Pann	Numero totale di pannelli (per muri a mesh)
Spess [cm]	Spessore del muro
Criterio	Criterio di verifica adottato per la verifica
Pannello	Indice del pannello
Nx [kg]	Sforzo in direzione x locale per metro lineare ($N_x = s_{xx} \cdot \text{spessore}$)
Ny [kg]	Sforzo in direzione y locale per metro lineare ($N_y = s_{yy} \cdot \text{spessore}$)
Nxy [kg]	Sforzo tagliante locale per metro lineare ($N_{xy} = s_{xy} \cdot \text{spessore}$)
Mx [kg*m]	Momento in direzione x locale per metro lineare
My [kg*m]	Momento in direzione y locale per metro lineare
Mxy [kg*m]	Momento torcente locale per metro lineare
Ax [mq]	Armatura totale pannello in direzione x locale ⁽¹⁾
Ay [mq]	Armatura totale pannello in direzione y locale ⁽¹⁾
ϵ_c	Deformazione nel cls ⁽²⁾
ϵ_f	Deformazione nell'acciaio ⁽²⁾
Massimi	Armature massime riscontrate nel muro
Massimo	massima sigma ideale riscontrata nel muro
$\sigma_{id+}, \sigma_{id-}$ [kg/cmq]	$(\sigma_x^2 + \sigma_y^2 - \sigma_x \cdot \sigma_y + 3 \cdot \tau_{xy}^2)^{1/2}$ Tensioni ideali ai lembi della lastra (Acciaio)
$\sigma_{id+}, \sigma_{id-}$ [kg/cmq]	$(\sigma_x^2 + \sigma_y^2 - \sigma_x \cdot \sigma_y + 3 \cdot \tau_{xy}^2)^{1/2}$ Tensioni ideali ai lembi della lastra (Legno)
Fatt.Ampl.Sisma	Fattore moltiplicativo di gruppo per le azioni sismiche (solo se diverso da 1.0)

Cs	Coefficiente di sicurezza definito dal rapporto $ Mr(N) / Md $ ($Mr(N)$ =Momento resistente corrispondente allo sforzo normale N, Md =momento agente), quando richiesto dal criterio di verifica
ζ_E	Livello di sicurezza sismico definito come rapporto tra l'accelerazione sopportabile e l'accelerazione di progetto, quando richiesto dal criterio di verifica

Note Verifica muri:

(¹): Le armature Ax ed Ay vanno intese come a metro lineare di pannello.

(²):Le deformazioni sono stampate a meno del fattore 10^{-3} ; esse si riferiscono alla verifica considerando quali sollecitazioni di progetto $M_{x,d}=M_x \pm |M_{xy}|$, $M_{y,d}=M_y \pm |M_{xy}|$ scegliendo il segno in modo tale da rendere massimo in valore assoluto il relativo momento flettente,le sollecitazioni stampate si riferiscono alle sollecitazioni in una data combinazione riferite al sistema locale del pannello

Muro [Platea]: 1 - Nodi: [38-2-6-23-63-64-33-42-57-43]Pann=797Spess.=45 cm, Terreno=Terreno1,
 ,Criterio=CLS_Platee_ND, Materiale=C25/30: **Verificato**

Armatura a maglia doppia

Pannello	Nx kg	Ny kg	Nxy kg	Mx kg*m	My kg*m	Mxy kg*m	Ax cmq	Ay cmq	C	Cs	ζ _E
1	1585	700	598	-431	-678	120	9.05	9.05	2	8.5	--
1	1510	2577	1012	-249	-603	121	9.05	9.05	(16+17)-I-1	8.9	8.7
2	-3164	-4546	2420	-469	561	164	9.05	9.05	2	11	--
2	-2167	-95	2470	-323	116	178	9.05	9.05	(16+17)-I-1	15	12
3	-2683	-8401	228	-342	951	-91	9.05	9.05	2	8.2	--
3	-1587	-3607	913	-290	415	23	9.05	9.05	(16+17)-II-1	17	21
4	-1635	-7396	-2076	-247	785	-154	9.05	9.05	2	8.9	--
4	-1089	-3685	-308	-250	380	-79	9.05	9.05	(16+17)-II-1	17	39
5	-1171	-1919	-2682	-327	-281	-257	9.05	9.05	2	12	--
5	-1104	-203	-3021	-289	-347	-172	9.05	9.05	(16+17)-I-3	13	15
6	625	3945	-118	-228	-301	41	9.05	9.05	2	18	--
6	852	2354	700	-228	-263	16	9.05	9.05	(16+17)-II-2	23	53
7	-1089	306	-1533	-299	40	-43	9.05	9.05	(16+17)-II-1	21	40
7	-1926	1784	-1574	-310	-34	2	9.05	9.05	(16+17)-I-3	23	29
8	-1779	4647	-1525	-400	-366	-63	9.05	9.05	(16+17)-I-3	14	8.8
9	762	10530	-267	-383	-1189	-181	9.05	9.05	2	3.6	--
9	93	10145	-2313	-399	-1215	-72	9.05	9.05	(16+17)-I-3	3.8	3.9
10	-1197	7088	4489	-415	-1102	277	9.05	9.05	(16+17)-I-1	4.0	3.8
11	-245	-5273	5756	-151	498	304	9.05	9.05	2	9.9	--
11	-458	-1373	2260	-292	136	194	9.05	9.05	(16+17)-II-1	14	18
12	-1266	-10807	4097	9	1116	250	9.05	9.05	2	6.6	--
12	-1207	-4878	1214	-122	502	157	9.05	9.05	(16+17)-II-1	12	25
13	-1377	-13419	1396	-43	1327	145	9.05	9.05	2	6.4	--
13	-1077	-6233	-512	-108	611	117	9.05	9.05	(16+17)-II-1	11	26
14	-1473	-12242	-1925	-134	1298	-47	9.05	9.05	2	6.9	--
14	-960	-4906	-2481	-164	531	-108	9.05	9.05	(16+17)-I-3	12	18
15	-946	-6632	-4160	-300	741	-181	9.05	9.05	2	8.9	--
15	-900	-466	-3442	-281	115	-159	9.05	9.05	(16+17)-I-3	16	9.9
16	-625	7535	-3813	-299	-1009	-211	9.05	9.05	(16+17)-I-3	4.5	4.2
17	1249	-195	-566	-114	7	75	9.05	9.05	(16+17)-II-2	35	46
18	-598	-3265	2086	-27	-616	-273	9.05	9.05	2	8.5	--
18	3106	-1598	-741	-372	-341	-111	9.05	9.05	(16+17)-II-1	13	6.9
19	3487	-650	2959	-408	-678	-13	9.05	9.05	2	10	--
19	1461	-621	18	-121	-323	14	9.05	9.05	(16+17)-II-1	21	30
20	6325	-285	-4552	-976	-455	20	9.05	9.05	(16+17)-II-1	5.7	3.3
21	-5901	-3196	-4456	534	-625	174	9.05	9.05	2	9.4	--
21	291	-2026	-4033	-32	-163	147	9.05	9.05	(16+17)-II-1	24	5.7
22	-9873	-2526	-2492	994	-279	221	9.05	9.05	2	7.2	--
22	-3711	-1033	-3324	388	-58	60	9.05	9.05	(16+17)-II-1	17	14
23	-10173	-1752	367	1024	-87	251	9.05	9.05	2	6.9	--
23	-6716	-573	1189	660	70	57	9.05	9.05	(16+17)-I-1	11	18
24	-7875	-1433	2847	779	-75	251	9.05	9.05	2	8.2	--
24	-5206	-497	2710	511	55	38	9.05	9.05	(16+17)-I-1	14	20
25	-1794	-647	655	88	-333	231	9.05	9.05	(16+17)-I-3	13	28
25	575	-777	3933	-143	-357	41	9.05	9.05	(16+17)-II-2	18	8.0
26	4213	659	2704	-929	-360	140	9.05	9.05	2	5.7	--
26	5493	923	3895	-951	-319	13	9.05	9.05	(16+17)-II-2	6.1	4.9
27	4526	-430	-2400	-545	-198	-85	9.05	9.05	(16+17)-II-1	9.6	6.2
28	-1159	-774	821	227	89	106	9.05	9.05	(16+17)-I-1	21	18
29	-532	-1010	-620	76	-327	173	9.05	9.05	(16+17)-I-3	14	22
29	-180	-745	1833	145	84	-97	9.05	9.05	(16+17)-I-1	29	20
30	5335	258	2264	-720	-212	100	9.05	9.05	(16+17)-II-2	7.2	6.2
31	5327	-255	-2485	-712	-237	-80	9.05	9.05	(16+17)-II-1	7.4	4.9
32	-2944	10	105	327	94	124	9.05	9.05	(16+17)-II-2	17	18
32	664	-1073	-1757	20	-186	-61	9.05	9.05	(16+17)-II-1	29	15
33	-2509	-795	-760	322	-32	54	9.05	9.05	2	20	--
33	-1798	351	291	226	46	126	9.05	9.05	(16+17)-II-2	21	18
34	234	-32	429	-217	-41	42	9.05	9.05	(16+17)-II-2	27	24

Pannello	Nx	Ny	Nxy	Mx	My	Mxy	Ax	Ay	C	Cs	ζ _E
35	-106	-1584	-1263	12	267	82	9.05	9.05	(16+17)-I-1	21	48
35	2213	-1300	376	-159	-60	-79	9.05	9.05	(16+17)-II-1	27	13
36	-1301	-1947	-1437	39	514	9	9.05	9.05	(16+17)-I-1	14	66
36	1270	-2762	-936	75	228	-32	9.05	9.05	(16+17)-II-1	29	17
37	-1589	674	-1629	28	391	-104	9.05	9.05	(16+17)-I-1	14	16
37	1695	-2923	-1070	318	187	-73	9.05	9.05	(16+17)-II-1	17	9.6
38	-2914	-2179	-2936	1099	245	13	9.05	9.05	(16+17)-II-1	6.7	11
38	502	5060	1612	-843	-311	-133	9.05	9.05	(16+17)-II-2	7.0	4.9
39	-5631	-2391	-1598	1615	105	-124	9.05	9.05	(16+17)-II-1	4.6	11
39	3756	4986	2472	-1220	-244	-34	9.05	9.05	(16+17)-II-2	4.9	3.0
40	4064	3818	986	-2014	-1316	228	9.05	9.05	(16+17)-II-2	2.7	2.1
41	2510	-84	2783	-2260	-2223	176	9.05	9.05	(16+17)-II-2	2.6	2.2
42	7863	-528	-392	-1410	-2035	141	9.05	9.05	(16+17)-II-2	3.2	2.2
43	3555	-199	-3374	-542	-991	79	9.05	9.05	(16+17)-II-2	6.5	6.4
44	2488	-46	2472	-414	-1110	-117	9.05	9.05	(16+17)-I-3	5.7	7.2
44	5561	-239	5326	-861	-941	9	9.05	9.05	(16+17)-II-1	6.7	4.9
45	10148	202	2119	-1807	-1879	-291	9.05	9.05	(16+17)-II-1	2.4	1.9
46	13448	4827	-866	-1698	-1635	171	9.05	9.05	(16+17)-II-1	2.3	1.7
47	10185	4728	-4255	-218	-608	570	9.05	9.05	(16+17)-II-1	5.1	3.1
48	1913	1460	-6345	-616	-410	128	9.05	9.05	(16+17)-II-1	8.8	15
48	1640	453	6439	84	-96	-321	9.05	9.05	(16+17)-II-2	16	9.4
49	8213	4634	2523	-1291	-961	-315	9.05	9.05	(16+17)-II-2	3.3	2.1
50	8278	4363	3401	-970	126	-472	9.05	9.05	(16+17)-II-2	3.7	2.3
51	8912	1911	89	-968	311	317	9.05	9.05	(16+17)-II-1	4.0	2.7
52	7293	3557	-2338	-523	199	257	9.05	9.05	(16+17)-II-1	7.1	3.7
53	-462	2275	-51	-402	-263	49	9.05	9.05	(16+17)-II-1	16	16
53	2171	-209	-605	119	17	19	9.05	9.05	(16+17)-II-2	47	12
54	1753	-1325	-1407	-134	225	109	9.05	9.05	(16+17)-II-2	22	12
54	-2051	1395	435	33	-169	-140	9.05	9.05	(16+17)-II-1	22	11
55	3417	-747	-2207	-201	-209	204	9.05	9.05	(16+17)-II-2	15	8.4
56	-1684	3888	945	-147	-334	95	9.05	9.05	(16+17)-I-1	14	8.9
57	-2386	-727	1637	100	240	-178	9.05	9.05	2	17	--
57	-3357	1244	2054	124	213	-112	9.05	9.05	(16+17)-I-1	21	18
58	-2962	-624	2134	234	363	-196	9.05	9.05	(16+17)-I-1	13	16
58	-2804	-140	1798	64	-11	-261	9.05	9.05	(16+17)-II-1	23	8.6
59	1926	-162	-1635	-94	-334	60	9.05	9.05	(16+17)-I-3	18	14
59	2855	-2131	-1487	-66	-160	138	9.05	9.05	(16+17)-II-2	25	9.4
60	1535	3805	463	-186	-410	86	9.05	9.05	(16+17)-II-2	12	12
61	-412	-470	480	-142	63	-137	9.05	9.05	(16+17)-II-1	25	14
62	-1799	-2117	1991	127	310	-131	9.05	9.05	(16+17)-I-1	17	73
62	923	1289	-1428	-118	-241	53	9.05	9.05	(16+17)-I-3	23	10
63	-421	1064	-105	27	-107	13	9.05	9.05	(16+17)-I-1	56	33
64	-2951	55	-1335	224	152	144	9.05	9.05	(16+17)-II-2	20	28
64	803	-334	220	-62	-83	-31	9.05	9.05	(16+17)-II-1	61	12
65	-2056	-146	-592	48	8	36	9.05	9.05	(16+17)-II-2	88	>100
65	426	842	-45	-1	-37	3	9.05	9.05	(16+17)-II-1	>100	25
66	2564	-458	331	-262	-220	-118	9.05	9.05	(16+17)-II-1	17	8.3
67	-2904	828	-602	300	117	92	9.05	9.05	(16+17)-II-2	19	19
67	1060	-1317	121	29	-113	10	9.05	9.05	(16+17)-II-1	59	13
68	999	-889	-498	32	-136	86	9.05	9.05	(16+17)-II-1	32	16
68	-2004	2335	464	-94	15	-76	9.05	9.05	(16+17)-II-2	43	14
69	3017	-1926	-1178	-317	-281	-169	9.05	9.05	(16+17)-II-1	13	7.2
70	-2444	-2595	-2411	408	89	220	9.05	9.05	2	12	--
70	-4318	-16	-616	175	183	258	9.05	9.05	(16+17)-II-2	16	12
71	-1640	-4284	-3282	589	61	230	9.05	9.05	(16+17)-II-1	8.9	12
71	-4893	1407	208	58	205	200	9.05	9.05	(16+17)-II-2	16	11
72	-4570	-3427	-3064	599	130	269	9.05	9.05	(16+17)-II-1	9.0	26
72	-1771	2969	1409	-259	3	70	9.05	9.05	(16+17)-II-2	22	8.4
73	1055	4157	2907	-645	-380	-275	9.05	9.05	(16+17)-II-2	7.3	6.0
74	-1534	-2079	-2087	128	112	131	9.05	9.05	(16+17)-II-1	28	>100
74	1762	1296	1258	-153	-106	-50	9.05	9.05	(16+17)-II-2	32	13
75	-2574	-1831	-2157	235	116	160	9.05	9.05	(16+17)-II-1	19	>100
75	1232	1030	1570	-211	-101	-70	9.05	9.05	(16+17)-II-2	24	9.9
76	702	-699	-190	-79	49	15	9.05	9.05	(16+17)-II-1	73	57

Pannello	Nx	Ny	Nxy	Mx	My	Mxy	Ax	Ay	C	Cs	ζ _E
76	-6	363	219	-7	-28	-19	9.05	9.05	(16+17)-II-2	>100	42
77	-439	-2018	600	68	103	-171	9.05	9.05	(16+17)-II-1	27	23
77	-41	451	-173	-98	-47	-22	9.05	9.05	(16+17)-II-2	58	16
78	-1465	1129	134	45	-239	-73	9.05	9.05	(16+17)-II-2	22	20
78	2566	-1013	-1083	-196	-116	34	9.05	9.05	(16+17)-II-1	28	13
79	221	6067	-1210	-438	-570	252	9.05	9.05	(16+17)-I-3	7.0	4.3
80	-3568	-4449	1341	109	355	-246	9.05	9.05	(16+17)-II-1	13	26
80	617	2599	-570	-404	-52	-58	9.05	9.05	(16+17)-II-2	15	6.7
81	-1448	-2985	557	-18	232	-325	9.05	9.05	2	13	--
81	36	-3593	861	35	67	-295	9.05	9.05	(16+17)-I-1	21	8.7
82	897	-922	-691	-139	-443	-105	9.05	9.05	2	13	--
82	3024	-2320	-1887	-242	-413	15	9.05	9.05	(16+17)-II-1	17	12
83	-849	7097	319	-458	-787	266	9.05	9.05	(16+17)-I-3	5.3	3.8
84	-90	-2095	-455	-439	190	-22	9.05	9.05	(16+17)-II-2	15	15
84	-3215	4168	-182	-347	-81	14	9.05	9.05	(16+17)-I-3	21	7.0
85	-3373	-2170	1777	21	357	-285	9.05	9.05	2	11	--
85	-322	-3974	326	-112	170	-242	9.05	9.05	(16+17)-I-1	19	15
86	-1856	-4365	1327	128	368	-335	9.05	9.05	2	11	--
86	660	-4018	-437	-57	91	-196	9.05	9.05	(16+17)-I-1	27	8.5
87	-1626	-1615	1280	-174	-98	-264	9.05	9.05	(16+17)-II-2	17	22
87	1977	-3196	-1566	66	86	-117	9.05	9.05	(16+17)-II-1	36	9.1
88	3044	544	-2885	-279	-645	158	9.05	9.05	(16+17)-I-1	8.5	11
88	4828	-378	-2768	-397	-641	176	9.05	9.05	(16+17)-II-1	8.6	6.1
89	-1817	5479	406	-507	-533	223	9.05	9.05	(16+17)-I-3	7.8	4.8
90	-2527	-1361	1607	-216	340	-208	9.05	9.05	2	13	--
90	158	-2679	-100	-244	139	-199	9.05	9.05	(16+17)-I-1	16	14
91	-2723	-4037	1531	44	510	-350	9.05	9.05	2	9.0	--
91	-1071	-3560	165	86	122	-287	9.05	9.05	(16+17)-II-1	19	9.8
92	-2900	-4882	2696	110	551	-299	9.05	9.05	(16+17)-I-3	9.3	28
92	1626	-329	-1955	-133	-297	-162	9.05	9.05	(16+17)-I-1	15	6.2
93	3292	2559	-3172	-328	-837	208	9.05	9.05	(16+17)-I-1	6.2	4.6
94	925	1408	-777	-185	-117	47	9.05	9.05	(16+17)-I-1	29	21
95	-1505	-1139	961	82	98	-145	9.05	9.05	(16+17)-II-2	29	38
95	-628	1547	-774	14	-164	6	9.05	9.05	(16+17)-I-1	39	18
96	-1963	-2842	2536	276	207	-224	9.05	9.05	(16+17)-I-1	15	22
96	1112	1939	-1826	-327	-279	55	9.05	9.05	(16+17)-I-3	18	10
97	-1503	919	2066	116	-207	-193	9.05	9.05	(16+17)-I-1	17	16
97	1050	-1377	-905	-34	-139	-189	9.05	9.05	(16+17)-II-2	22	11
98	2248	641	618	-301	-209	23	9.05	9.05	2	20	--
98	1454	870	-148	-58	-212	-3	9.05	9.05	(16+17)-I-3	31	32
99	2278	-903	-2592	-453	-296	-186	9.05	9.05	(16+17)-II-2	10	6.3
100	-5146	-1637	352	592	-116	80	9.05	9.05	(16+17)-I-3	12	>100
100	-1085	-889	-1076	168	-264	-92	9.05	9.05	(16+17)-I-1	20	15
101	-3922	-1608	1078	528	-223	56	9.05	9.05	2	13	--
101	-1248	-991	-415	179	-269	104	9.05	9.05	(16+17)-I-1	19	24
102	1448	-675	2052	-406	-327	202	9.05	9.05	2	11	--
102	1936	-779	2250	-406	-266	165	9.05	9.05	(16+17)-II-1	11	13
103	5732	1292	-2323	-969	-353	-25	9.05	9.05	2	5.9	--
103	4849	1091	-2936	-802	-286	54	9.05	9.05	(16+17)-II-2	7.0	9.0
104	753	-822	-304	-13	-364	-151	9.05	9.05	(16+17)-I-1	14	19
104	1766	-1320	-2740	-76	-313	43	9.05	9.05	(16+17)-II-2	20	13
105	-3645	-1392	281	470	-36	-110	9.05	9.05	(16+17)-I-3	13	>100
105	-1486	-1191	-2369	162	-272	201	9.05	9.05	(16+17)-I-1	15	24
106	-5388	-1802	347	737	-94	83	9.05	9.05	2	9.7	--
106	-2128	-1118	-1590	257	-212	235	9.05	9.05	(16+17)-I-1	15	22
107	-3450	-1616	2539	490	-114	138	9.05	9.05	2	12	--
107	-1563	-1021	-909	173	-205	264	9.05	9.05	(16+17)-I-1	15	23
108	-295	-99	-1275	-31	-329	341	9.05	9.05	(16+17)-I-1	10	16
108	2943	-496	834	-295	-275	138	9.05	9.05	(16+17)-II-1	15	12
109	8141	1109	2145	-1224	-344	83	9.05	9.05	2	4.1	--
109	8185	4082	3625	-1184	-467	-108	9.05	9.05	(16+17)-I-3	4.1	4.5
110	3248	-658	-2440	-633	-366	-284	9.05	9.05	2	6.9	--
110	4056	-768	-2663	-617	-286	-206	9.05	9.05	(16+17)-II-2	7.5	8.8
111	-3445	-1134	-1961	488	-173	-113	9.05	9.05	2	13	--

Pannello	Nx	Ny	Nxy	Mx	My	Mxy	Ax	Ay	C	Cs	ζ _E
111	-1451	-640	473	168	-291	-197	9.05	9.05	(16+17)-I-1	14	21
112	-5298	-1776	167	735	-106	-26	9.05	9.05	2	10	--
112	-2399	-1036	-1192	279	-198	-131	9.05	9.05	(16+17)-I-1	18	28
113	-3234	-1530	2375	444	-171	61	9.05	9.05	2	15	--
113	-1561	-924	-101	187	-235	-97	9.05	9.05	(16+17)-I-1	21	35
114	66	-262	-361	-19	-354	240	9.05	9.05	(16+17)-I-1	12	17
114	2981	-1319	3791	-179	-119	-95	9.05	9.05	(16+17)-I-3	23	16
115	9017	1550	2010	-1299	-372	60	9.05	9.05	2	3.8	--
115	8379	4481	2303	-1131	-488	-57	9.05	9.05	(16+17)-I-3	4.5	5.0
116	3132	-562	-3266	-686	-353	-315	9.05	9.05	2	6.3	--
116	3877	-693	-3224	-647	-276	-155	9.05	9.05	(16+17)-II-2	7.7	9.7
117	-4427	-760	-2931	553	-95	-155	9.05	9.05	2	11	--
117	-2023	-301	1213	220	-242	-335	9.05	9.05	(16+17)-I-1	12	15
118	-7011	-1599	-783	872	-41	-92	9.05	9.05	2	8.6	--
118	-3279	-987	1831	376	-146	-259	9.05	9.05	(16+17)-I-1	12	23
119	-5689	-1407	1442	688	-152	-20	9.05	9.05	2	11	--
119	-2150	-1117	2215	297	-195	26	9.05	9.05	(16+17)-II-1	23	22
120	2702	-838	2961	-508	-292	146	9.05	9.05	(16+17)-II-1	9.8	6.8
121	4192	773	-1778	-815	-422	-139	9.05	9.05	2	6.4	--
121	2791	1168	-2240	-339	-309	-5	9.05	9.05	(16+17)-I-3	19	21
122	-924	-2664	-1766	122	-565	-151	9.05	9.05	2	10	--
122	34	-1565	-177	62	-345	-18	9.05	9.05	(16+17)-II-1	20	28
123	-3129	-3547	-787	447	-525	-61	9.05	9.05	2	13	--
123	521	-1931	305	45	-419	77	9.05	9.05	(16+17)-II-1	15	12
124	2772	594	1366	-452	-305	27	9.05	9.05	(16+17)-II-1	13	6.1
125	-3888	-1094	-1840	253	-327	61	9.05	9.05	2	18	--
125	-1402	-735	-513	63	-208	-15	9.05	9.05	(16+17)-I-1	32	27
126	-3176	-2275	-294	387	-363	261	9.05	9.05	2	12	--
126	699	-965	-324	2	-184	212	9.05	9.05	(16+17)-II-1	18	12
127	54	-189	603	-200	-63	113	9.05	9.05	2	22	--
127	1255	112	590	-210	-15	85	9.05	9.05	(16+17)-II-1	23	21
128	2796	-858	1108	-773	-53	-70	9.05	9.05	(16+17)-II-1	7.6	6.3
129	1061	-428	-2178	-538	-82	369	9.05	9.05	(16+17)-II-1	7.4	8.3
130	-2713	-2439	-1056	-159	544	354	9.05	9.05	2	8.2	--
130	-1209	-430	-233	-65	169	164	9.05	9.05	(16+17)-I-1	21	20
131	-3174	-2516	-1086	-384	459	421	9.05	9.05	2	8.4	--
131	-1495	-440	-292	-196	106	193	9.05	9.05	(16+17)-I-1	19	17
132	-5374	-2377	-1806	-1252	-516	248	9.05	9.05	2	5.3	--
132	-1179	-624	-516	-1071	-424	54	9.05	9.05	(16+17)-II-1	6.4	11
133	1128	-1336	-1814	-583	-797	-116	9.05	9.05	2	7.9	--
133	1324	534	-127	-428	-583	-224	9.05	9.05	(16+17)-I-1	8.5	11
134	-2956	-2108	-996	-755	465	197	9.05	9.05	2	7.9	--
134	-1417	-89	-214	-403	139	186	9.05	9.05	(16+17)-I-1	12	23
135	-2595	-2653	-1282	-388	474	286	9.05	9.05	2	9.8	--
135	-1175	-486	-257	-181	146	129	9.05	9.05	(16+17)-I-1	23	20
136	-1264	-2390	-619	-331	-110	284	9.05	9.05	2	12	--
136	-1212	-364	-2120	-102	20	311	9.05	9.05	(16+17)-II-1	17	9.5
137	-467	-850	-372	-46	-313	72	9.05	9.05	2	18	--
137	1878	-833	554	-272	-345	-26	9.05	9.05	(16+17)-II-2	19	10
138	-595	450	272	22	-156	52	9.05	9.05	2	33	--
138	1239	83	485	45	-155	23	9.05	9.05	(16+17)-II-2	39	20
139	-2317	-3110	-313	-478	251	108	9.05	9.05	2	13	--
139	-1105	-610	531	-241	48	36	9.05	9.05	(16+17)-I-1	26	21
140	-3163	-2831	-2540	-495	242	-181	9.05	9.05	2	11	--
140	-2115	-277	-1022	-258	23	-74	9.05	9.05	(16+17)-I-1	22	17
141	-1695	-2557	-631	-384	264	366	9.05	9.05	2	9.7	--
141	-764	-381	166	-174	67	192	9.05	9.05	(16+17)-I-1	19	24
142	-1522	-1178	-716	134	450	-157	9.05	9.05	2	12	--
142	728	549	-870	-375	145	-33	9.05	9.05	(16+17)-II-2	17	7.8
143	23	-572	-1587	310	428	94	9.05	9.05	(16+17)-I-3	13	16
143	762	114	-1126	-91	137	-150	9.05	9.05	(16+17)-II-2	24	9.9
144	-3354	-2254	-137	550	346	112	9.05	9.05	(16+17)-II-1	11	52
144	367	86	-930	-295	78	-300	9.05	9.05	(16+17)-II-2	12	6.3
145	-3870	-2626	-876	664	357	250	9.05	9.05	(16+17)-II-1	8.4	79

Pannello	Nx	Ny	Nxy	Mx	My	Mxy	Ax	Ay	C	Cs	ζ_E
145	156	-208	-285	127	201	2	9.05	9.05	(16+17)-II-2	34	9.8
146	-1322	-1269	-506	108	457	-236	9.05	9.05	2	10	--
146	577	712	-967	-273	196	-123	9.05	9.05	(16+17)-II-2	17	8.1
147	-1030	-1286	-699	193	491	-78	9.05	9.05	2	13	--
147	705	350	-982	-237	246	-89	9.05	9.05	(16+17)-II-2	21	9.4
148	-2904	-2815	208	476	463	-88	9.05	9.05	(16+17)-II-1	13	83
148	848	947	-1106	-171	65	7	9.05	9.05	(16+17)-II-2	38	9.8
149	-2561	-3267	342	358	438	-182	9.05	9.05	(16+17)-II-1	12	63
149	627	1283	-1072	-300	-6	-93	9.05	9.05	(16+17)-II-2	17	8.2
150	-2957	-1240	-1177	434	227	333	9.05	9.05	(16+17)-I-3	9.8	19
150	-537	-2183	-500	69	-150	-23	9.05	9.05	(16+17)-II-2	42	13
151	-1200	-1483	190	337	40	135	9.05	9.05	1	15	--
151	-1649	-606	-51	190	-256	188	9.05	9.05	(16+17)-I-3	16	11
152	-735	-519	113	-1145	-461	-358	9.05	9.05	(16+17)-II-2	4.7	4.3
153	417	-2134	-729	10	-414	185	9.05	9.05	2	12	--
153	1211	-1035	-1404	272	229	187	9.05	9.05	(16+17)-I-3	15	9.9
154	432	740	-773	-298	-240	-143	9.05	9.05	(16+17)-II-2	16	14
154	-189	-2830	715	48	161	-301	9.05	9.05	(16+17)-I-1	16	10
155	-1988	50	-412	266	-353	335	9.05	9.05	(16+17)-I-3	10	12
155	817	-2097	-307	-106	-361	-23	9.05	9.05	(16+17)-II-2	19	10
156	1336	-2052	-1071	-1377	-839	-151	9.05	9.05	(16+17)-II-2	4.4	5.1
157	881	-303	439	-700	-108	-275	9.05	9.05	(16+17)-II-2	6.9	8.8
158	-2258	-2621	1	234	32	282	9.05	9.05	(16+17)-II-1	14	17
158	966	34	-636	-301	162	70	9.05	9.05	(16+17)-II-2	18	14
159	-93	758	-646	-294	-537	321	9.05	9.05	(16+17)-I-3	7.9	7.6
159	-2242	1949	1627	56	-543	-87	9.05	9.05	(16+17)-II-1	10	7.5
160	1800	1925	-1085	-877	-579	-213	9.05	9.05	(16+17)-II-2	6.0	5.4
161	-2575	-2339	466	347	131	368	9.05	9.05	(16+17)-II-1	10	16
161	189	152	-703	-29	-152	415	9.05	9.05	(16+17)-I-3	12	7.8
162	-2091	-2588	-1607	210	320	84	9.05	9.05	(16+17)-II-1	18	53
162	402	1487	1655	-299	-103	-62	9.05	9.05	(16+17)-II-2	19	10
163	-1553	-2614	-1602	288	403	20	9.05	9.05	(16+17)-II-1	18	100
163	-190	1193	670	-189	-75	-162	9.05	9.05	(16+17)-II-2	20	8.6
164	2068	-2675	-66	-446	-149	161	9.05	9.05	(16+17)-II-1	11	6.2
165	-1070	-2348	-756	348	103	341	9.05	9.05	(16+17)-II-1	10	21
165	532	-1443	-1059	-111	-41	332	9.05	9.05	(16+17)-I-3	15	8.2
166	217	1236	721	-593	-389	-244	9.05	9.05	(16+17)-II-2	8.2	8.3
167	-2401	-1661	-1683	283	352	132	9.05	9.05	(16+17)-II-1	15	74
167	738	941	1189	-197	-23	-83	9.05	9.05	(16+17)-II-2	24	11
168	-1900	141	707	-128	230	-161	9.05	9.05	(16+17)-I-1	18	24
168	259	665	665	-240	11	-134	9.05	9.05	(16+17)-II-2	18	14
169	-1322	-2310	-1228	370	385	95	9.05	9.05	(16+17)-II-1	15	31
169	49	1130	650	-210	65	-21	9.05	9.05	(16+17)-II-2	30	14
170	-799	2262	1109	-759	-276	-320	9.05	9.05	(16+17)-II-2	6.6	6.1
171	-3074	-1650	-1029	673	427	262	9.05	9.05	2	8.0	--
171	-1271	681	561	131	362	209	9.05	9.05	(16+17)-II-2	12	13
172	-3271	-3104	-1918	749	297	266	9.05	9.05	(16+17)-II-1	7.4	16
172	-1032	1325	763	-185	44	-71	9.05	9.05	(16+17)-II-2	28	9.1
173	-473	1449	498	-447	-159	-447	9.05	9.05	(16+17)-II-2	7.9	5.5
174	-2678	-1486	-738	734	399	365	9.05	9.05	2	6.8	--
174	-1108	131	402	182	378	262	9.05	9.05	(16+17)-II-2	11	16
175	-2922	-3143	-1630	812	400	318	9.05	9.05	(16+17)-II-1	6.6	11
175	-637	905	614	-420	123	-92	9.05	9.05	(16+17)-II-2	14	7.3
176	23	2393	1440	-1563	-1427	-801	9.05	9.05	(16+17)-II-2	2.9	2.7
177	1727	314	614	-1790	-753	-406	9.05	9.05	(16+17)-II-2	3.0	2.6
178	-4810	-2137	-2168	974	382	411	9.05	9.05	(16+17)-II-1	5.7	8.5
178	606	-134	737	-442	-443	63	9.05	9.05	(16+17)-II-2	14	5.1
179	-2657	-1296	-894	705	227	367	9.05	9.05	2	6.9	--
179	-103	-339	-256	312	-18	152	9.05	9.05	(16+17)-II-2	15	11
180	-377	-2080	-1429	-290	56	-342	9.05	9.05	(16+17)-II-1	11	7.0
181	-756	-1604	-968	-875	-414	-226	9.05	9.05	(16+17)-II-1	6.4	5.5
182	-2808	-21	437	528	442	336	9.05	9.05	(16+17)-II-2	8.6	8.9
183	-201	-1381	-1235	-568	201	-42	9.05	9.05	(16+17)-II-1	11	9.0
184	-2656	-1603	-1061	505	296	182	9.05	9.05	2	11	--

Pannello	Nx	Ny	Nxy	Mx	My	Mxy	Ax	Ay	C	Cs	ζ _E
184	-3236	306	324	195	327	294	9.05	9.05	(16+17)-II-2	11	11
185	-2360	-24	501	197	89	-238	9.05	9.05	(16+17)-I-1	17	12
186	476	-2900	-2039	-405	-270	-282	9.05	9.05	(16+17)-II-1	10.0	7.9
187	-1553	-765	-870	382	175	196	9.05	9.05	(16+17)-II-1	13	21
187	-754	554	-544	266	97	139	9.05	9.05	(16+17)-I-3	17	16
188	-1733	314	-272	396	203	-90	9.05	9.05	(16+17)-I-1	15	23
188	-2101	838	-23	368	-1	45	9.05	9.05	(16+17)-II-2	18	22
189	-74	-553	-450	-435	-291	-255	9.05	9.05	(16+17)-II-1	10	11
190	-1635	-450	-288	206	299	-214	9.05	9.05	(16+17)-I-1	14	22
190	436	-897	-24	-186	-214	-210	9.05	9.05	(16+17)-II-1	17	9.3
191	-1594	-1941	257	278	462	-34	9.05	9.05	(16+17)-I-1	15	65
191	-81	1144	-832	24	-230	76	9.05	9.05	(16+17)-I-3	22	9.6
192	-2146	-176	-458	130	363	-172	9.05	9.05	(16+17)-I-1	13	19
192	93	45	73	23	-175	64	9.05	9.05	(16+17)-I-3	29	17
193	-1507	186	-484	302	265	209	9.05	9.05	(16+17)-II-2	14	17
193	223	577	-940	47	-115	-48	9.05	9.05	(16+17)-I-3	42	16
194	-1968	216	-101	-165	-276	42	9.05	9.05	(16+17)-I-1	22	24
194	9	-338	-295	121	151	16	9.05	9.05	(16+17)-I-3	42	19
195	-585	-2984	-976	598	496	366	9.05	9.05	(16+17)-II-2	7.3	6.5
196	-2948	-1534	333	401	191	-87	9.05	9.05	(16+17)-II-1	15	90
196	760	222	-198	-177	-77	124	9.05	9.05	(16+17)-II-2	23	9.1
197	-2512	834	-108	178	280	-125	9.05	9.05	(16+17)-I-3	17	14
198	-740	-1077	-362	-46	-416	32	9.05	9.05	(16+17)-I-3	16	24
198	457	-1452	-117	-153	-250	101	9.05	9.05	(16+17)-II-2	21	13
199	-996	-1721	-816	407	492	228	9.05	9.05	(16+17)-I-1	10	12
199	-143	-1684	-663	392	269	280	9.05	9.05	(16+17)-II-2	10	11
200	-140	-2017	-814	491	284	210	9.05	9.05	(16+17)-II-2	9.9	7.6
201	-441	412	-472	-259	-579	89	9.05	9.05	(16+17)-I-3	10	9.7
202	-2400	139	-1462	353	-38	445	9.05	9.05	(16+17)-II-2	9.3	19
202	325	-535	618	-320	-299	-106	9.05	9.05	(16+17)-II-1	16	8.3
203	145	62	-719	-99	-130	261	9.05	9.05	(16+17)-I-3	18	9.2
204	143	-1870	-1245	267	148	302	9.05	9.05	(16+17)-II-2	12	11
204	605	-115	-926	-176	-301	189	9.05	9.05	(16+17)-I-3	14	9.0
205	782	-1336	-1074	-290	-201	129	9.05	9.05	(16+17)-II-2	16	13
205	1425	-1183	-724	-168	-9	128	9.05	9.05	(16+17)-I-3	22	13
206	-1473	1118	-99	155	-48	-83	9.05	9.05	(16+17)-II-1	30	17
206	1339	-1320	-888	-59	138	88	9.05	9.05	(16+17)-II-2	32	15
207	329	-1281	-1805	136	13	342	9.05	9.05	(16+17)-II-2	14	12
207	634	-1060	-960	-124	-132	208	9.05	9.05	(16+17)-I-3	20	9.4
208	-393	-1174	-98	173	288	-161	9.05	9.05	(16+17)-I-3	16	24
208	-1988	190	682	29	-192	-54	9.05	9.05	(16+17)-I-1	28	13
209	-1743	-871	510	355	325	-146	9.05	9.05	2	15	--
209	9	-1575	-381	96	288	-175	9.05	9.05	(16+17)-I-3	16	21
210	-1563	-537	155	472	330	-68	9.05	9.05	2	13	--
210	-34	-1394	-537	426	374	33	9.05	9.05	(16+17)-II-2	15	22
211	-1488	-918	277	408	455	-123	9.05	9.05	2	12	--
211	74	-1316	-671	178	127	-145	9.05	9.05	(16+17)-I-3	21	23
212	-505	-1094	-485	230	133	162	9.05	9.05	(16+17)-II-2	18	15
212	65	-1282	-161	-60	125	-87	9.05	9.05	(16+17)-I-3	34	12
213	-1355	4199	1271	176	-456	-258	9.05	9.05	(16+17)-I-1	8.6	5.2
214	-1264	1943	703	-264	-547	-288	9.05	9.05	(16+17)-I-1	7.9	7.0
215	284	1907	1272	126	-409	-143	9.05	9.05	(16+17)-I-1	12	6.7
216	-1672	-2732	-417	97	362	138	9.05	9.05	(16+17)-I-3	15	>100
216	64	2858	1351	-1	35	-24	9.05	9.05	(16+17)-I-1	>100	9.6
217	-1675	-3499	-1028	112	556	101	9.05	9.05	(16+17)-I-3	12	50
217	-367	1277	510	-169	-38	-143	9.05	9.05	(16+17)-I-1	22	7.9
218	-834	1572	728	-320	-594	-243	9.05	9.05	(16+17)-I-1	7.9	6.8
219	341	875	817	-384	-609	-161	9.05	9.05	(16+17)-I-1	8.8	8.0
219	758	-2120	555	-529	-449	-156	9.05	9.05	(16+17)-II-2	9.9	7.8
220	-1031	1576	1434	175	-293	-317	9.05	9.05	(16+17)-I-1	11	8.2
221	-1576	-2096	-411	405	639	-215	9.05	9.05	2	8.6	--
221	-328	-80	-576	57	302	-143	9.05	9.05	(16+17)-I-1	16	22
222	-1966	-3520	-437	325	683	47	9.05	9.05	(16+17)-I-3	10	39
222	780	-200	641	3	-315	115	9.05	9.05	(16+17)-I-1	16	7.4

Pannello	Nx	Ny	Nxy	Mx	My	Mxy	Ax	Ay	C	Cs	ζ _E
223	681	2629	-869	-669	-1257	-34	9.05	9.05	(16+17)-I-1	5.0	3.9
224	-1988	-3964	-537	257	701	55	9.05	9.05	(16+17)-I-3	10	91
224	563	943	228	-70	-261	202	9.05	9.05	(16+17)-I-1	15	5.8
225	-2172	-4369	964	261	737	-160	9.05	9.05	(16+17)-I-3	8.7	20
225	-16	1098	-1015	-286	-118	-80	9.05	9.05	(16+17)-I-1	19	6.6
226	-1968	-2040	261	208	180	-204	9.05	9.05	(16+17)-II-1	18	86
226	141	-947	-424	-127	59	-228	9.05	9.05	(16+17)-I-1	19	9.5
227	-1820	-2216	54	282	712	-305	9.05	9.05	2	7.2	--
227	-213	-99	-911	-42	180	-201	9.05	9.05	(16+17)-I-1	18	9.3
228	-1424	-1779	-97	308	466	-151	9.05	9.05	2	12	--
228	-187	-297	152	53	170	-119	9.05	9.05	(16+17)-II-2	24	22
229	-2782	-2189	-858	507	139	166	9.05	9.05	(16+17)-II-1	11	19
229	-915	-564	-13	-499	-296	63	9.05	9.05	(16+17)-II-2	13	8.6
230	1084	1706	537	-884	-1169	-164	9.05	9.05	(16+17)-I-1	5.0	5.3
231	1650	-19	763	-945	-640	-131	9.05	9.05	(16+17)-II-2	6.1	6.6
232	-253	-1133	962	-136	-371	468	9.05	9.05	2	8.5	--
232	-1697	-1809	-748	81	-123	358	9.05	9.05	(16+17)-II-1	15	13
233	-618	-780	1075	5	-436	340	9.05	9.05	2	9.1	--
233	502	414	665	101	37	167	9.05	9.05	(16+17)-I-1	25	9.4
234	-1424	-1917	0	222	453	-106	9.05	9.05	2	13	--
234	152	-815	-606	-22	267	-87	9.05	9.05	(16+17)-II-2	20	14
235	-1656	-1571	-592	282	502	94	9.05	9.05	(16+17)-I-3	12	20
235	514	-2461	-576	-21	182	-76	9.05	9.05	(16+17)-II-2	29	15
236	-584	-1838	334	183	225	205	9.05	9.05	1	17	--
236	623	-852	812	40	-5	249	9.05	9.05	(16+17)-I-1	24	11
237	-1925	-2119	-404	239	438	-232	9.05	9.05	2	11	--
237	-165	-2306	-788	-105	123	-101	9.05	9.05	(16+17)-II-2	33	10
238	-2140	-1801	-313	467	521	165	9.05	9.05	(16+17)-I-3	11	14
238	-517	-2589	-876	-231	-145	-66	9.05	9.05	(16+17)-I-1	24	12
239	282	-537	409	-272	74	142	9.05	9.05	(16+17)-I-1	17	15
240	446	-662	881	-264	79	-227	9.05	9.05	(16+17)-II-2	14	14
240	497	-769	-822	-294	-53	-165	9.05	9.05	(16+17)-I-1	15	12
241	-1908	-1755	93	242	344	-258	9.05	9.05	2	12	--
241	-49	-191	-612	-124	58	-134	9.05	9.05	(16+17)-II-2	27	9.2
242	-1882	-2267	178	281	543	-271	9.05	9.05	2	9.1	--
242	-29	-878	-684	-78	267	-116	9.05	9.05	(16+17)-II-2	19	10
243	-1651	-1762	-113	279	542	-186	9.05	9.05	2	10.0	--
243	18	-2191	-700	-67	295	-148	9.05	9.05	(16+17)-II-2	17	11
244	-2668	-572	104	531	391	-107	9.05	9.05	(16+17)-II-1	12	20
244	16	-2254	-741	-40	96	-44	9.05	9.05	(16+17)-II-2	53	11
245	-1913	-2201	-203	711	100	68	9.05	9.05	2	9.4	--
245	38	-783	592	210	-219	-32	9.05	9.05	(16+17)-I-1	28	15
246	-1923	-3267	-52	255	573	191	9.05	9.05	(16+17)-I-3	9.9	32
246	-1033	500	-1132	-33	-109	-134	9.05	9.05	(16+17)-I-1	28	8.5
247	-1985	-3108	-1034	475	587	135	9.05	9.05	(16+17)-I-3	10	43
247	-58	-243	529	130	-70	-21	9.05	9.05	(16+17)-I-1	46	11
248	-1707	-2273	-675	547	596	167	9.05	9.05	2	9.7	--
248	-155	-2167	-318	247	351	166	9.05	9.05	(16+17)-II-2	14	28
249	-1884	-2596	-651	666	587	234	9.05	9.05	2	8.1	--
249	-358	-1289	-297	260	254	147	9.05	9.05	(16+17)-II-2	17	23
250	-1816	-2235	-695	708	579	129	9.05	9.05	2	8.7	--
250	-799	-1383	-821	366	227	160	9.05	9.05	(16+17)-I-1	13	46
251	-2172	-2254	-514	742	117	100	9.05	9.05	2	8.7	--
251	-545	-1037	-315	392	106	85	9.05	9.05	(16+17)-II-2	15	32
252	-2227	-2194	-570	761	-83	159	9.05	9.05	2	8.0	--
252	-735	-970	-244	250	-77	77	9.05	9.05	(16+17)-II-2	22	17
253	-2491	-2821	-739	528	328	188	9.05	9.05	(16+17)-I-3	10	60
253	-147	-923	-144	157	302	-69	9.05	9.05	(16+17)-I-1	19	18
254	-2082	-2664	-1073	418	68	359	9.05	9.05	2	9.4	--
254	-248	-1164	-238	208	281	135	9.05	9.05	(16+17)-I-1	17	24
255	-2000	-3634	-983	313	690	199	9.05	9.05	(16+17)-I-3	8.6	18
255	-55	-1839	-384	-181	-211	-29	9.05	9.05	(16+17)-I-1	30	11
256	-1924	-3607	-543	185	742	236	9.05	9.05	(16+17)-I-3	7.8	15
256	-843	-1281	-1401	-52	-358	-19	9.05	9.05	(16+17)-I-1	19	8.5

Pannello	Nx	Ny	Nxy	Mx	My	Mxy	Ax	Ay	C	Cs	ζ _E
257	-1361	-3425	-1197	277	790	417	9.05	9.05	2	6.3	--
257	-252	-1187	-415	127	264	125	9.05	9.05	(16+17)-I-1	18	16
258	-1274	-806	-1459	-443	-601	-137	9.05	9.05	(16+17)-I-3	9.6	9.4
259	-1951	-861	-1425	-83	-283	-235	9.05	9.05	2	14	--
259	-116	-1455	-551	167	56	-185	9.05	9.05	(16+17)-II-2	20	9.1
260	-818	-1521	-741	222	384	168	9.05	9.05	(16+17)-I-1	13	31
260	-1649	-1193	-922	259	31	11	9.05	9.05	(16+17)-I-3	27	26
261	1865	709	-790	244	-186	117	9.05	9.05	(16+17)-II-1	18	15
261	1206	-951	-519	-38	54	151	9.05	9.05	(16+17)-I-3	35	14
262	-1037	1645	-735	-125	-375	165	9.05	9.05	(16+17)-II-1	12	9.4
263	-2161	1569	-4	-261	-405	-40	9.05	9.05	(16+17)-II-1	15	10
263	1957	-2198	-1213	99	190	145	9.05	9.05	(16+17)-II-2	22	9.0
264	-698	-939	-227	-458	75	-144	9.05	9.05	(16+17)-II-2	12	27
264	1589	1639	267	274	-255	245	9.05	9.05	(16+17)-II-1	13	7.9
265	271	-547	-1498	-400	-677	8	9.05	9.05	(16+17)-I-3	10	11
265	2860	-564	-1110	306	60	-140	9.05	9.05	(16+17)-II-1	14	6.3
266	-1734	-1941	-52	216	282	-181	9.05	9.05	(16+17)-II-2	16	76
266	2908	847	-709	-31	-22	150	9.05	9.05	(16+17)-II-1	35	9.2
267	-1427	-1922	24	138	203	91	9.05	9.05	(16+17)-II-2	25	>100
267	3076	431	-992	99	-93	6	9.05	9.05	(16+17)-II-1	60	14
268	136	-342	-144	106	314	-114	9.05	9.05	(16+17)-I-1	16	16
268	2601	284	-983	131	-92	96	9.05	9.05	(16+17)-II-1	28	12
269	9543	5250	-1811	-1629	-519	393	9.05	9.05	(16+17)-II-1	2.5	2.0
270	7371	1045	-2284	-1231	-372	-493	9.05	9.05	(16+17)-II-1	3.2	2.5
271	7403	1545	-1193	-1263	-799	-557	9.05	9.05	(16+17)-II-1	3.0	2.4
272	3230	1450	-2628	-326	-371	-144	9.05	9.05	(16+17)-II-1	13	7.5
273	4142	2309	-174	-2934	-1997	-255	9.05	9.05	(16+17)-II-1	1.9	1.9
274	5847	1663	-13	-1595	-1741	-394	9.05	9.05	(16+17)-II-1	2.9	2.5
275	5339	1955	-973	-1527	-1764	-31	9.05	9.05	(16+17)-II-1	3.7	3.1
276	-2059	-2046	403	394	540	-75	9.05	9.05	(16+17)-II-2	12	29
276	3651	1172	-911	-409	-415	10	9.05	9.05	(16+17)-II-1	15	7.1
277	5921	1397	-1208	-838	-885	-324	9.05	9.05	(16+17)-II-1	5.0	3.5
278	-2698	-2289	731	417	659	-98	9.05	9.05	(16+17)-II-2	9.7	21
278	4523	1670	-883	-551	-619	-12	9.05	9.05	(16+17)-II-1	10	5.7
279	4640	1264	-456	-1014	-1255	-10	9.05	9.05	(16+17)-II-1	5.3	4.2
280	-1542	-4152	524	109	1113	-49	9.05	9.05	(16+17)-I-3	6.6	11
280	-226	-1015	-454	-376	-767	90	9.05	9.05	(16+17)-I-1	8.3	5.6
281	-911	-3664	606	217	969	215	9.05	9.05	(16+17)-I-3	6.4	10
281	9	-1030	-1425	-181	-572	-92	9.05	9.05	(16+17)-I-1	11	6.5
282	157	-1723	-766	-1027	-330	47	9.05	9.05	2	6.4	--
282	455	143	609	-617	-629	-81	9.05	9.05	(16+17)-I-1	9.7	9.6
283	33	-776	-1550	-52	-273	269	9.05	9.05	(16+17)-I-1	13	8.6
284	-798	-1497	-501	-176	457	139	9.05	9.05	1	12	--
284	-348	-1467	236	0	364	48	9.05	9.05	(16+17)-II-1	17	22
285	-213	-185	-563	-178	-448	47	9.05	9.05	(16+17)-I-1	14	13
286	-1700	-2472	695	-84	444	-134	9.05	9.05	(16+17)-I-3	13	89
286	-108	-354	-649	-181	198	125	9.05	9.05	(16+17)-I-1	22	21
287	-1440	-2456	-21	683	180	30	9.05	9.05	2	10	--
287	-86	-1071	-679	238	-143	74	9.05	9.05	(16+17)-I-1	22	17
288	-1119	-2583	-275	750	339	35	9.05	9.05	2	9.1	--
288	-66	-787	-810	291	-97	90	9.05	9.05	(16+17)-I-1	18	11
289	-1726	-3572	-106	276	775	171	9.05	9.05	(16+17)-I-3	8.1	33
289	-624	-563	-967	383	-34	29	9.05	9.05	(16+17)-I-1	17	9.4
290	-1410	-2548	-476	822	454	59	9.05	9.05	2	8.2	--
290	-475	-512	215	433	-142	-5	9.05	9.05	(16+17)-I-1	16	9.8
291	-1654	-3398	172	216	840	2	9.05	9.05	(16+17)-I-3	9.0	31
291	-430	-675	-751	316	-134	-44	9.05	9.05	(16+17)-I-1	19	9.4
292	-1234	-3007	-676	181	788	-113	9.05	9.05	2	8.3	--
292	-422	-776	-863	177	288	-83	9.05	9.05	(16+17)-I-1	19	20
293	-1266	-3154	-963	153	776	232	9.05	9.05	2	7.5	--
293	-470	-795	-275	277	272	68	9.05	9.05	(16+17)-I-1	20	15
294	-2180	-3662	-1833	-579	-384	180	9.05	9.05	2	9.7	--
294	-459	-644	-208	107	413	205	9.05	9.05	(16+17)-I-1	11	6.5
295	-166	-706	-1080	85	462	-6	9.05	9.05	(16+17)-I-1	15	11

Pannello	Nx	Ny	Nxy	Mx	My	Mxy	Ax	Ay	C	Cs	ζ _E
296	-540	-3614	-436	127	854	160	9.05	9.05	2	7.5	--
296	-112	-1012	-1164	155	199	173	9.05	9.05	(16+17)-I-1	19	16
297	-84	-1048	-1038	228	660	60	9.05	9.05	(16+17)-I-1	9.9	7.3
298	-730	-3521	-747	-65	913	-14	9.05	9.05	2	8.2	--
298	-163	-1067	-1005	-137	338	-59	9.05	9.05	(16+17)-I-1	18	19
299	-280	-1143	-438	79	573	73	9.05	9.05	(16+17)-I-1	11	9.3
300	-1619	-1984	-815	483	609	68	9.05	9.05	2	11	--
300	-138	-1977	-506	327	314	134	9.05	9.05	(16+17)-II-2	15	21
301	-1592	-1719	-613	135	436	-129	9.05	9.05	2	13	--
301	52	-1883	-458	138	290	-70	9.05	9.05	(16+17)-II-2	20	22
302	-2046	-1074	-1055	1	339	132	9.05	9.05	(16+17)-I-3	15	33
302	-358	-1903	-519	244	256	36	9.05	9.05	(16+17)-II-2	25	24
303	-1600	-1449	-1020	-147	304	290	9.05	9.05	2	12	--
303	-1803	-463	-1122	-92	-33	151	9.05	9.05	(16+17)-I-3	30	13
304	603	-1390	1248	1	453	286	9.05	9.05	(16+17)-I-3	9.7	16
304	-593	-1946	-242	-155	-10	223	9.05	9.05	(16+17)-II-2	19	15
305	-455	-1863	-174	-172	336	411	9.05	9.05	2	9.8	--
305	271	-891	-8	3	161	254	9.05	9.05	(16+17)-II-1	17	11
306	-2466	1149	-503	-123	729	179	9.05	9.05	(16+17)-I-3	7.4	7.5
306	-2327	313	99	-446	-115	394	9.05	9.05	(16+17)-II-1	8.8	7.3
307	-15	-689	598	-2	328	-181	9.05	9.05	1	14	--
307	486	-1005	946	134	267	-244	9.05	9.05	(16+17)-II-1	14	12
308	229	-125	2384	190	559	213	9.05	9.05	(16+17)-I-3	9.0	15
309	94	-872	-1058	62	214	236	9.05	9.05	(16+17)-I-1	16	14
310	-6	-1057	-681	-80	398	171	9.05	9.05	2	13	--
310	-244	-881	-885	23	220	190	9.05	9.05	(16+17)-I-1	17	20
311	-58	-1883	-481	-240	209	190	9.05	9.05	2	16	--
311	55	-1154	-906	102	140	185	9.05	9.05	(16+17)-I-1	22	13
312	189	-284	-659	-341	175	148	9.05	9.05	2	14	--
312	-26	-343	-22	-188	-57	77	9.05	9.05	(16+17)-I-3	26	19
313	-575	-1086	-1148	-76	518	-103	9.05	9.05	(16+17)-I-3	11	25
314	416	718	813	-971	-460	71	9.05	9.05	2	6.6	--
314	209	2712	119	-416	192	-46	9.05	9.05	(16+17)-II-1	15	8.0
315	787	-665	1071	-186	-250	615	9.05	9.05	(16+17)-II-2	8.2	11
315	541	403	398	21	101	-371	9.05	9.05	(16+17)-II-1	15	9.3
316	1380	-799	351	-83	-512	257	9.05	9.05	(16+17)-II-2	9.2	11
317	2339	-744	-492	-1134	-913	310	9.05	9.05	(16+17)-II-2	4.5	5.7
318	-133	-926	1488	51	-447	-305	9.05	9.05	(16+17)-I-3	9.5	12
318	17	-231	1452	137	-227	-435	9.05	9.05	(16+17)-II-1	11	8.6
319	2751	609	2091	-790	-130	-643	9.05	9.05	(16+17)-II-1	4.5	4.4
320	4241	1130	1495	-1657	-272	-161	9.05	9.05	(16+17)-II-1	3.4	3.1
321	1447	779	1104	-465	190	-544	9.05	9.05	(16+17)-II-1	6.6	7.4
322	2020	1927	887	-1110	251	-136	9.05	9.05	(16+17)-II-1	5.3	5.9
323	-1787	-1650	-107	79	204	-371	9.05	9.05	(16+17)-II-2	13	27
323	-281	425	-855	35	-6	-171	9.05	9.05	(16+17)-I-3	34	13
324	-894	-129	-917	-414	-70	-422	9.05	9.05	(16+17)-I-3	8.5	8.1
325	47	1837	403	-765	-154	214	9.05	9.05	(16+17)-II-1	7.1	7.8
326	-1456	-2327	-1576	-731	-929	-225	9.05	9.05	(16+17)-I-3	6.4	9.2
326	-899	-1461	-1135	-66	338	191	9.05	9.05	(16+17)-I-1	14	8.2
327	-82	-854	65	-509	-1062	-69	9.05	9.05	(16+17)-I-3	6.3	11
327	2443	-1800	104	-800	-514	-105	9.05	9.05	(16+17)-II-1	7.1	7.2
328	741	-1586	237	-101	-811	82	9.05	9.05	(16+17)-I-3	8.1	16
328	1136	-1023	-1061	208	147	61	9.05	9.05	(16+17)-I-1	25	11
329	3547	1352	1530	159	14	256	9.05	9.05	(16+17)-II-1	15	8.7
330	3240	1712	-1046	-916	-18	-31	9.05	9.05	(16+17)-II-1	6.7	6.0
331	5146	258	-1727	-2673	-2053	49	9.05	9.05	(16+17)-II-1	2.2	2.1
332	-1752	-1700	101	231	247	-279	9.05	9.05	(16+17)-II-2	14	65
332	2360	1396	-422	-108	16	211	9.05	9.05	(16+17)-II-1	20	8.4
333	-1634	-1797	-195	282	154	-261	9.05	9.05	(16+17)-II-2	13	41
333	2448	1636	511	-273	15	208	9.05	9.05	(16+17)-II-1	13	7.5
334	-1758	-1979	211	362	388	-238	9.05	9.05	(16+17)-II-2	12	39
334	2958	1656	-306	-333	-77	210	9.05	9.05	(16+17)-II-1	12	6.6
335	2663	1957	-138	-847	57	126	9.05	9.05	(16+17)-II-1	6.6	5.9
336	3483	1555	-291	-884	-346	228	9.05	9.05	(16+17)-II-1	5.6	4.5

Pannello	Nx	Ny	Nxy	Mx	My	Mxy	Ax	Ay	C	Cs	ζ _E
337	5010	1190	-352	-1316	-710	282	9.05	9.05	(16+17)-II-1	3.7	3.1
338	-3953	-3689	-580	1080	720	337	9.05	9.05	2	5.4	--
338	-1818	-1988	-628	514	287	187	9.05	9.05	(16+17)-II-1	10	48
339	-3804	-3320	-584	928	664	307	9.05	9.05	2	6.2	--
339	-1987	-1782	-812	428	175	159	9.05	9.05	(16+17)-I-3	12	52
340	-3537	-2767	-530	601	651	307	9.05	9.05	2	7.8	--
340	-1984	-1875	-612	428	273	130	9.05	9.05	(16+17)-II-1	13	36
341	-4725	-3547	-524	1102	579	350	9.05	9.05	2	5.4	--
341	-3712	-1824	485	665	474	108	9.05	9.05	(16+17)-I-1	9.9	40
342	-6621	-3016	-185	1131	311	313	9.05	9.05	2	5.7	--
342	-3288	-1948	-618	521	-47	199	9.05	9.05	(16+17)-I-3	11	16
343	-3770	-2567	-212	594	659	242	9.05	9.05	2	8.2	--
343	-2217	-1725	-509	444	240	113	9.05	9.05	(16+17)-II-1	13	36
344	-4136	-3149	-283	899	603	282	9.05	9.05	2	6.5	--
344	-3256	-1647	714	545	484	57	9.05	9.05	(16+17)-I-1	13	40
345	-4316	-2479	5	728	546	227	9.05	9.05	2	8.1	--
345	-2478	-1600	-504	505	157	114	9.05	9.05	(16+17)-II-1	12	35
346	-5320	-2207	742	845	311	214	9.05	9.05	2	7.5	--
346	-2790	-1554	-314	402	-75	160	9.05	9.05	(16+17)-I-3	13	19
347	-3101	-2399	-434	143	706	299	9.05	9.05	2	7.4	--
347	-2348	-1157	402	-11	433	76	9.05	9.05	(16+17)-II-2	14	29
348	-1905	-1471	-60	-690	941	127	9.05	9.05	2	6.8	--
348	-1274	-611	-550	-246	265	70	9.05	9.05	(16+17)-I-3	21	28
349	-2612	-1932	-157	-404	849	228	9.05	9.05	2	6.8	--
349	-1614	-1658	-415	42	360	45	9.05	9.05	(16+17)-II-1	18	25
350	-1595	-1713	797	-690	797	68	9.05	9.05	2	8.4	--
350	-1192	-518	-198	-322	54	43	9.05	9.05	(16+17)-I-3	20	19
351	816	-1676	2379	-967	61	215	9.05	9.05	(16+17)-II-2	5.7	5.9
352	-3831	-884	108	379	-130	38	9.05	9.05	(16+17)-II-1	18	33
352	-783	-1105	1762	-78	175	-32	9.05	9.05	(16+17)-II-2	34	13
353	-3344	-2248	-24	223	716	194	9.05	9.05	2	8.1	--
353	-2024	-1634	-384	320	261	73	9.05	9.05	(16+17)-II-1	19	32
354	-3355	-2147	616	195	567	112	9.05	9.05	2	11	--
354	-1901	-1212	-412	134	-1	66	9.05	9.05	(16+17)-I-3	36	21
355	-2656	-1695	288	-220	749	79	9.05	9.05	2	8.8	--
355	-1632	-844	-557	-71	83	24	9.05	9.05	(16+17)-I-3	66	25
356	-7181	-1065	-3566	-3100	-2537	-218	9.05	9.05	2	2.5	--
356	-4569	-453	-1249	-1412	-1684	-499	9.05	9.05	(16+17)-I-1	3.2	4.9
357	-2068	-1433	-579	-982	622	115	9.05	9.05	2	6.7	--
357	-1270	-732	-819	-266	274	55	9.05	9.05	(16+17)-I-3	21	56
358	-2229	-1508	-1334	-1700	-247	136	9.05	9.05	2	4.0	--
358	-1743	-801	21	-678	-100	25	9.05	9.05	(16+17)-I-1	10	29
359	-4520	-1788	-566	204	-620	74	9.05	9.05	2	10	--
359	-2258	-858	-576	265	-87	75	9.05	9.05	(16+17)-II-1	22	27
360	-5867	-1162	-1199	-747	-1427	267	9.05	9.05	2	4.2	--
360	-3141	-501	-1211	-298	-501	254	9.05	9.05	(16+17)-I-3	9.3	28
361	-3500	-2162	-1479	-773	-242	597	9.05	9.05	2	5.5	--
361	-1862	-1132	-287	-437	-23	255	9.05	9.05	(16+17)-II-2	11	13
362	-2711	-2037	-736	-601	546	408	9.05	9.05	2	7.4	--
362	-1543	-1027	188	-322	367	156	9.05	9.05	(16+17)-II-2	14	33
363	-3269	-2452	-836	106	458	425	9.05	9.05	2	8.4	--
363	-1795	-1211	123	-22	322	169	9.05	9.05	(16+17)-II-2	15	15
364	-3727	-2289	-1048	163	-85	416	9.05	9.05	2	13	--
364	-1929	-1143	-844	255	88	120	9.05	9.05	(16+17)-II-1	19	40
365	-3569	-3657	-518	1070	751	248	9.05	9.05	2	5.8	--
365	-1663	-1933	-541	493	324	138	9.05	9.05	(16+17)-II-1	11	47
366	-3330	-3368	-274	1104	589	-102	9.05	9.05	2	6.3	--
366	-1869	-1662	-620	504	233	-2	9.05	9.05	(16+17)-I-3	14	42
367	-3408	-3521	-415	1083	692	94	9.05	9.05	2	6.4	--
367	-1627	-1836	-489	487	315	25	9.05	9.05	(16+17)-II-1	14	39
368	-3554	-2946	-415	1032	310	-58	9.05	9.05	2	7.0	--
368	-1971	-1465	-712	463	113	24	9.05	9.05	(16+17)-I-3	15	51
369	-3889	-2432	-507	775	-44	5	9.05	9.05	2	9.8	--
369	-2144	-1191	-782	347	-31	67	9.05	9.05	(16+17)-I-3	18	33

Pannello	Nx	Ny	Nxy	Mx	My	Mxy	Ax	Ay	C	Cs	ζ _E
370	-3651	-2638	-749	708	203	242	9.05	9.05	2	8.0	--
370	-1849	-1365	-660	431	214	66	9.05	9.05	(16+17)-II-1	15	46
371	-3497	-2806	-756	636	491	333	9.05	9.05	2	7.8	--
371	-1844	-1882	145	258	334	136	9.05	9.05	(16+17)-II-2	16	49
372	-3579	-3245	-643	948	604	268	9.05	9.05	2	6.3	--
372	-1789	-1969	179	511	389	128	9.05	9.05	(16+17)-II-2	11	41
373	-3536	-3096	-581	991	459	142	9.05	9.05	2	6.7	--
373	-1743	-1668	-567	469	224	36	9.05	9.05	(16+17)-II-1	14	50
374	-2716	-8108	914	277	1581	104	9.05	9.05	2	5.0	--
374	-1568	-3603	-285	13	741	96	9.05	9.05	(16+17)-II-1	9.1	34
375	-3225	-5576	483	413	1640	91	9.05	9.05	2	4.6	--
375	-1706	-2303	-221	70	779	86	9.05	9.05	(16+17)-II-1	8.5	32
376	-3031	-4779	327	441	1634	45	9.05	9.05	2	4.7	--
376	-1532	-1910	-202	87	785	56	9.05	9.05	(16+17)-II-1	8.7	26
377	-3079	-7704	-42	242	1567	35	9.05	9.05	2	5.2	--
377	-1807	-2815	-758	97	686	-33	9.05	9.05	(16+17)-I-3	10	19
378	-3146	-5450	579	413	1635	57	9.05	9.05	2	4.7	--
378	-1786	-1905	610	216	699	-8	9.05	9.05	(16+17)-I-3	10	20
379	-2962	-4907	607	467	1651	84	9.05	9.05	2	4.5	--
379	-1266	-1976	-86	69	761	133	9.05	9.05	(16+17)-II-1	8.2	23
380	-2280	-3060	1181	463	-40	-99	9.05	9.05	(16+17)-II-2	13	55
380	381	-1321	-772	-12	329	109	9.05	9.05	(16+17)-II-1	16	12
381	40	2930	-73	-289	-821	-153	9.05	9.05	(16+17)-I-3	6.5	5.9
382	-294	-2767	345	97	-893	-446	9.05	9.05	2	5.6	--
382	2333	-51	-893	-281	-357	-145	9.05	9.05	(16+17)-II-1	14	5.8
383	-2524	-4936	-675	104	1068	-39	9.05	9.05	2	7.1	--
383	-916	-1256	478	-80	749	-144	9.05	9.05	(16+17)-II-1	8.0	12
384	-2537	-4769	761	347	1222	7	9.05	9.05	2	6.4	--
384	-1303	-1201	649	165	389	-13	9.05	9.05	(16+17)-I-3	18	15
385	-2260	-5200	711	327	1333	80	9.05	9.05	2	5.6	--
385	-523	-2114	-100	-27	823	-54	9.05	9.05	(16+17)-II-1	8.4	12
386	-1120	-5812	675	-7	580	-74	9.05	9.05	2	12	--
386	595	-2329	-340	-179	436	132	9.05	9.05	(16+17)-II-1	13	9.5
387	619	-2773	567	-165	-806	-91	9.05	9.05	(16+17)-I-3	8.3	13
388	-3267	-3905	-256	1031	923	78	9.05	9.05	2	6.8	--
388	-1510	-1893	-423	419	412	31	9.05	9.05	(16+17)-II-1	16	29
389	-3162	-3752	-116	1037	837	-133	9.05	9.05	2	6.4	--
389	-1531	-1803	-361	421	386	-65	9.05	9.05	(16+17)-II-1	15	36
390	-3115	-4254	-126	884	1156	87	9.05	9.05	2	6.2	--
390	-1394	-1911	-377	310	516	46	9.05	9.05	(16+17)-II-1	13	23
391	-3000	-4097	53	860	1088	-144	9.05	9.05	2	6.3	--
391	-1448	-1830	-294	307	609	-68	9.05	9.05	(16+17)-II-1	11	28
392	-2856	-4747	339	534	1571	111	9.05	9.05	2	4.7	--
392	-1210	-1932	-177	97	893	10	9.05	9.05	(16+17)-II-1	8.1	16
393	-2814	-4579	224	493	1532	-35	9.05	9.05	2	5.0	--
393	-1382	-1845	-236	110	835	15	9.05	9.05	(16+17)-II-1	8.6	21
394	-2837	-4346	160	645	1336	-112	9.05	9.05	2	5.4	--
394	-1376	-1815	-255	187	729	-22	9.05	9.05	(16+17)-II-1	9.7	21
395	-2963	-4482	54	687	1394	113	9.05	9.05	2	5.2	--
395	-1296	-1872	-304	183	789	46	9.05	9.05	(16+17)-II-1	8.7	19
396	-2235	-5840	-1030	74	744	433	9.05	9.05	2	6.8	--
396	-1	-2433	-892	-276	501	149	9.05	9.05	(16+17)-II-1	11	6.8
397	2031	-2657	-2507	-949	-221	265	9.05	9.05	(16+17)-II-1	5.4	4.1
398	-2599	-5142	99	421	1332	264	9.05	9.05	2	5.0	--
398	-737	-2136	-303	-10	793	79	9.05	9.05	(16+17)-II-1	8.4	10
399	-6362	-3610	-1248	1138	200	394	9.05	9.05	2	5.3	--
399	-2988	-2193	-1033	522	-99	243	9.05	9.05	(16+17)-I-3	9.8	13
400	-4634	-3996	-1964	723	-113	460	9.05	9.05	2	6.6	--
400	-120	-2355	-1664	98	83	273	9.05	9.05	(16+17)-II-1	19	9.2
401	-3439	-4021	-382	1033	928	259	9.05	9.05	2	5.9	--
401	-1489	-1977	-483	421	396	152	9.05	9.05	(16+17)-II-1	13	30
402	-4612	-4065	-711	1101	566	440	9.05	9.05	2	5.1	--
402	-1591	-2108	-873	449	178	255	9.05	9.05	(16+17)-II-1	10	21
403	-3885	-4086	-548	1058	822	389	9.05	9.05	2	5.3	--

Pannello	Nx	Ny	Nxy	Mx	My	Mxy	Ax	Ay	C	Cs	ζ _E
403	-1491	-2058	-595	430	323	225	9.05	9.05	(16+17)-II-1	11	25
404	-3078	-4727	-267	699	1259	311	9.05	9.05	2	5.0	--
404	-1125	-2004	-459	163	535	150	9.05	9.05	(16+17)-II-1	11	17
405	-3404	-4479	-426	813	990	409	9.05	9.05	2	5.6	--
405	-1151	-2049	-537	227	397	222	9.05	9.05	(16+17)-II-1	12	17
406	-3251	-4370	-264	896	1109	271	9.05	9.05	2	5.6	--
406	-1324	-1996	-439	307	475	154	9.05	9.05	(16+17)-II-1	12	22
407	-3872	-4591	-1036	774	641	554	9.05	9.05	2	5.8	--
407	-784	-2183	-883	165	432	313	9.05	9.05	(16+17)-II-1	9.9	13
408	-842	96	-45	45	-287	220	9.05	9.05	(16+17)-II-2	14	15
409	-1409	-524	-718	326	534	42	9.05	9.05	(16+17)-I-1	12	18
410	-542	-1258	-630	174	526	125	9.05	9.05	2	11	--
410	-113	-367	230	40	183	70	9.05	9.05	(16+17)-I-3	28	33
411	-826	-1089	-586	250	706	50	9.05	9.05	(16+17)-I-1	9.4	25
411	32	-483	269	101	114	7	9.05	9.05	(16+17)-I-3	58	20
412	-4406	-646	-199	1115	604	-288	9.05	9.05	(16+17)-II-1	5.5	7.5
412	3328	1723	591	-485	-998	109	9.05	9.05	(16+17)-II-2	6.0	4.2
413	-5142	-793	-856	1369	396	-302	9.05	9.05	(16+17)-II-1	4.7	11
413	3481	2726	1275	-774	-772	107	9.05	9.05	(16+17)-II-2	7.1	3.5
414	-4805	-1053	599	1610	879	-347	9.05	9.05	(16+17)-II-1	4.0	6.1
414	3515	2607	75	-1042	-1260	163	9.05	9.05	(16+17)-II-2	4.5	3.1
415	-1480	-1699	-299	52	478	25	9.05	9.05	(16+17)-I-1	14	27
415	-85	-195	348	-109	-279	-10	9.05	9.05	(16+17)-I-3	24	13
416	-511	-1413	-649	-23	642	-17	9.05	9.05	2	11	--
416	-679	481	186	-86	268	73	9.05	9.05	(16+17)-II-2	20	23
417	-761	-1366	-612	110	713	11	9.05	9.05	(16+17)-I-1	9.9	33
417	-1368	487	42	-0	471	109	9.05	9.05	(16+17)-II-2	12	16
418	-799	-225	-800	63	652	-66	9.05	9.05	(16+17)-I-1	9.7	18
418	700	-2394	-511	97	519	-133	9.05	9.05	(16+17)-II-1	11	18
419	-39	-2369	-989	179	460	-236	9.05	9.05	(16+17)-II-1	11	23
419	-585	1230	440	-86	55	-3	9.05	9.05	(16+17)-II-2	79	11
420	-621	-2343	-1456	423	407	-223	9.05	9.05	(16+17)-II-1	11	19
420	-261	2018	233	-141	-17	1	9.05	9.05	(16+17)-II-2	49	9.6
421	-1401	-1811	-1224	342	364	-325	9.05	9.05	(16+17)-II-1	11	34
421	634	1660	573	-128	-240	-37	9.05	9.05	(16+17)-II-2	24	8.3
422	-2586	-1191	-1372	654	293	-334	9.05	9.05	(16+17)-II-1	7.5	12
422	1594	1673	751	-198	-439	-3	9.05	9.05	(16+17)-II-2	15	7.3
423	-2535	-1562	-1949	850	301	-238	9.05	9.05	(16+17)-II-1	6.8	17
423	1189	2516	1142	-368	-365	7	9.05	9.05	(16+17)-II-2	17	6.8
424	-4142	-883	-1188	1036	320	-273	9.05	9.05	(16+17)-II-1	5.9	13
424	2814	2215	734	-452	-607	66	9.05	9.05	(16+17)-II-2	9.7	4.6
425	-3468	-920	-676	547	225	-358	9.05	9.05	(16+17)-II-1	8.4	9.6
425	2688	1201	381	-73	-617	6	9.05	9.05	(16+17)-II-2	11	6.7
426	-4136	-581	-506	860	407	-287	9.05	9.05	(16+17)-II-1	6.7	8.7
426	3204	1348	415	-267	-815	71	9.05	9.05	(16+17)-II-2	7.5	5.0
427	3042	918	393	-31	-829	33	9.05	9.05	(16+17)-II-2	7.8	7.0
428	-234	-2019	-457	-753	-539	-5	9.05	9.05	2	9.2	--
428	517	-151	-691	-600	-685	-57	9.05	9.05	(16+17)-II-2	9.4	12
429	-660	-2083	-546	-103	435	-188	9.05	9.05	(16+17)-II-1	12	60
429	222	689	265	-208	-114	-46	9.05	9.05	(16+17)-II-2	27	10
430	-797	-276	-171	-114	-743	-302	9.05	9.05	2	6.7	--
430	3311	787	-557	128	-836	-141	9.05	9.05	(16+17)-II-2	6.9	5.8
431	1398	1102	228	-95	-487	-109	9.05	9.05	(16+17)-II-2	11	13
431	-1924	-1543	-491	72	248	-360	9.05	9.05	(16+17)-II-1	12	10
432	2872	2162	905	-1093	-1600	-71	9.05	9.05	(16+17)-II-2	3.9	3.3
433	2730	992	689	-19	-800	-75	9.05	9.05	(16+17)-II-2	7.7	7.8
434	3383	755	516	-20	-894	-11	9.05	9.05	(16+17)-II-2	7.5	7.4
435	2873	1227	513	-152	-961	-83	9.05	9.05	(16+17)-II-2	6.4	6.2
436	2925	1600	221	-427	-1172	-54	9.05	9.05	(16+17)-II-2	5.4	4.8
437	2873	902	931	2	-710	-12	9.05	9.05	(16+17)-II-2	9.4	10
438	3489	595	1530	3	-840	103	9.05	9.05	(16+17)-II-2	7.2	6.5
439	4012	467	876	155	-892	65	9.05	9.05	(16+17)-II-2	7.2	6.5
440	-2246	1338	1606	-1102	-897	17	9.05	9.05	(16+17)-II-2	6.6	14
440	925	48	-2026	211	193	-482	9.05	9.05	(16+17)-II-1	9.7	4.6

Pannello	Nx	Ny	Nxy	Mx	My	Mxy	Ax	Ay	C	Cs	ζ _E
441	-868	-2868	-2283	-1092	-2611	-308	9.05	9.05	(16+17)-I-1	2.6	4.7
442	-3760	349	-748	-1548	-87	-225	9.05	9.05	(16+17)-II-1	4.3	21
442	3697	1420	2544	1	-811	370	9.05	9.05	(16+17)-II-2	5.6	4.0
443	-1091	794	528	57	-678	-144	9.05	9.05	(16+17)-II-2	8.3	11
444	-1576	908	139	99	-754	6	9.05	9.05	(16+17)-II-2	8.9	11
445	-448	-659	-311	513	-326	-78	9.05	9.05	2	12	--
445	-922	423	286	310	-491	-68	9.05	9.05	(16+17)-II-2	12	15
446	-1758	943	355	-223	-917	-89	9.05	9.05	(16+17)-II-2	6.7	9.6
446	981	-1580	-865	196	-23	-153	9.05	9.05	(16+17)-II-1	19	9.5
447	-582	461	518	273	-435	-153	9.05	9.05	(16+17)-II-2	12	15
448	-1017	1001	811	-332	-781	-188	9.05	9.05	(16+17)-II-2	7.0	9.6
449	-769	652	625	59	-512	-213	9.05	9.05	(16+17)-II-2	9.4	12
450	-178	-827	17	-44	-783	-118	9.05	9.05	2	7.9	--
450	270	-1154	-203	-290	-379	-94	9.05	9.05	(16+17)-II-1	15	20
451	-362	193	421	407	-339	-50	9.05	9.05	(16+17)-II-2	15	25
452	-373	-735	-267	527	-304	-68	9.05	9.05	2	12	--
452	-726	401	310	405	-370	-29	9.05	9.05	(16+17)-II-2	16	20
453	-240	-659	-190	495	-343	-40	9.05	9.05	2	13	--
453	-415	349	491	377	-375	-98	9.05	9.05	(16+17)-II-2	15	18
454	-1099	-828	-682	-606	-1255	284	9.05	9.05	2	4.6	--
454	-766	21	-838	-210	-544	196	9.05	9.05	(16+17)-II-1	9.4	27
455	-518	-1588	-779	-607	-258	520	9.05	9.05	2	6.2	--
455	-414	-903	-1134	-341	89	286	9.05	9.05	(16+17)-I-3	11	9.3
456	-1824	-550	-253	-1986	-2882	-881	9.05	9.05	(16+17)-I-1	1.9	2.4
457	-93	-2370	-289	-1344	-460	7	9.05	9.05	2	5.1	--
457	-332	-679	-456	-1053	-702	-63	9.05	9.05	(16+17)-I-1	6.3	10
458	1142	-579	-658	-865	-2102	350	9.05	9.05	(16+17)-I-1	2.9	4.0
459	-997	-859	-899	296	547	149	9.05	9.05	(16+17)-I-1	10	18
459	179	-522	352	118	-162	28	9.05	9.05	(16+17)-I-3	37	15
460	1429	-280	-617	-565	105	192	9.05	9.05	(16+17)-II-2	8.8	11
460	-13	454	-938	-316	-571	102	9.05	9.05	(16+17)-I-3	10	7.2
461	385	-2331	-1633	-346	584	219	9.05	9.05	(16+17)-I-1	9.2	16
461	-490	416	491	-144	-563	-6	9.05	9.05	(16+17)-I-3	12	7.6
462	-55	-1402	-412	-264	883	65	9.05	9.05	2	7.6	--
462	-306	-269	-641	-237	214	22	9.05	9.05	(16+17)-I-3	27	17
463	-212	-1537	-481	-379	649	265	9.05	9.05	2	7.9	--
463	-162	-786	-718	-223	315	121	9.05	9.05	(16+17)-I-3	16	43
464	-221	-1355	-541	-147	853	142	9.05	9.05	2	7.2	--
464	-594	-1169	132	48	586	199	9.05	9.05	(16+17)-II-2	9.1	19
465	-577	-1233	-574	291	686	141	9.05	9.05	2	8.7	--
465	29	-468	399	91	97	90	9.05	9.05	(16+17)-I-3	38	21
466	-204	-1524	-121	-609	343	-105	9.05	9.05	2	9.8	--
466	57	-1429	-253	-540	321	-33	9.05	9.05	(16+17)-II-1	12	36
467	-372	-1248	-279	-61	652	-84	9.05	9.05	2	9.7	--
467	52	-1217	-272	-208	515	-96	9.05	9.05	(16+17)-II-1	12	25
468	60	-1201	-241	-210	130	-190	9.05	9.05	(16+17)-II-1	17	12
469	-565	-1122	-448	325	543	33	9.05	9.05	2	12	--
469	87	-1246	-351	76	456	-56	9.05	9.05	(16+17)-II-1	14	41
470	-540	-890	-351	449	-16	-68	9.05	9.05	2	14	--
470	-739	184	140	365	-193	49	9.05	9.05	(16+17)-II-2	17	20
471	1484	-2171	506	-604	-43	213	9.05	9.05	2	8.1	--
471	752	-563	1007	-339	-560	58	9.05	9.05	(16+17)-I-3	11	12
472	-759	-1093	287	-504	756	193	9.05	9.05	2	7.5	--
472	-686	-295	-165	-238	32	167	9.05	9.05	(16+17)-I-3	17	20
473	-1276	-1039	-179	-494	860	18	9.05	9.05	2	8.1	--
473	-925	-415	-528	-161	229	86	9.05	9.05	(16+17)-I-3	22	31
474	-428	-1110	667	138	673	96	9.05	9.05	(16+17)-I-1	9.3	28
474	-177	-527	-846	66	140	44	9.05	9.05	(16+17)-I-3	38	22
475	-116	-1064	810	188	530	-53	9.05	9.05	(16+17)-I-1	12	19
475	160	-859	-779	124	-157	69	9.05	9.05	(16+17)-I-3	32	17
476	-395	-881	971	265	466	130	9.05	9.05	(16+17)-I-1	12	19
476	123	-1089	-309	145	-144	36	9.05	9.05	(16+17)-I-3	38	18
477	-793	-936	-333	-44	689	-7	9.05	9.05	2	10	--
477	-600	-462	-622	15	173	103	9.05	9.05	(16+17)-I-3	26	36

Pannello	Nx	Ny	Nxy	Mx	My	Mxy	Ax	Ay	C	Cs	ζ _E
478	-395	-1012	-45	91	683	106	9.05	9.05	2	9.0	--
478	-342	-569	-437	68	57	141	9.05	9.05	(16+17)-I-3	33	27
479	-459	-1077	-366	288	608	31	9.05	9.05	2	11	--
479	-391	-560	-710	128	119	101	9.05	9.05	(16+17)-I-3	31	31
480	-27	-1449	-170	665	-430	188	9.05	9.05	2	8.1	--
480	-234	-489	-668	309	-211	91	9.05	9.05	(16+17)-I-3	17	42
481	-652	-1006	-276	211	-666	212	9.05	9.05	2	8.1	--
481	-496	-1057	328	-73	-435	155	9.05	9.05	(16+17)-II-2	12	17
482	-353	-1229	-190	578	-425	193	9.05	9.05	2	9.1	--
482	-400	-362	-687	229	-229	166	9.05	9.05	(16+17)-I-3	18	34
483	-83	-1413	-528	609	-296	99	9.05	9.05	2	9.8	--
483	-462	-1282	464	411	29	113	9.05	9.05	(16+17)-I-1	13	35
484	-503	-1204	-525	212	-219	400	9.05	9.05	2	11	--
484	-778	-1206	181	-29	-121	321	9.05	9.05	(16+17)-II-2	16	12
485	-321	-1250	-438	556	-194	219	9.05	9.05	2	9.0	--
485	-315	-1181	269	287	3	227	9.05	9.05	(16+17)-II-2	14	21
486	-324	-1131	187	332	110	155	9.05	9.05	(16+17)-II-2	14	44
487	-672	-1048	447	304	359	87	9.05	9.05	(16+17)-I-1	16	96
487	-426	-439	-891	143	126	69	9.05	9.05	(16+17)-I-3	33	40
488	-362	-1176	-577	488	206	128	9.05	9.05	2	11	--
488	-655	-404	-666	233	152	53	9.05	9.05	(16+17)-II-1	25	41
489	-359	-1261	-557	199	411	290	9.05	9.05	2	10	--
489	-665	-403	210	19	312	282	9.05	9.05	(16+17)-II-2	12	35
490	-756	-931	-775	-8	393	-163	9.05	9.05	2	13	--
490	-615	-406	-907	40	161	34	9.05	9.05	(16+17)-I-3	36	55
491	-1401	-897	-717	-629	526	-172	9.05	9.05	2	9.0	--
491	-945	-416	-855	-119	229	11	9.05	9.05	(16+17)-I-3	29	41
492	-813	-616	-1594	-833	-322	-397	9.05	9.05	2	5.8	--
492	-661	-288	-1345	-186	74	-88	9.05	9.05	(16+17)-I-3	26	20
493	4200	-1810	-2614	-1088	-1914	-120	9.05	9.05	2	3.6	--
493	2138	-916	-481	429	-802	83	9.05	9.05	(16+17)-II-2	8.0	9.0
494	462	-1784	-129	511	-591	209	9.05	9.05	2	9.1	--
494	8	-680	-635	284	-269	77	9.05	9.05	(16+17)-I-3	19	39
495	1293	-2192	-366	35	-1035	157	9.05	9.05	2	6.2	--
495	493	-1044	-526	34	-395	36	9.05	9.05	(16+17)-II-1	17	32
496	406	-1642	-683	398	-620	-15	9.05	9.05	2	11	--
496	-9	-1325	194	376	-61	120	9.05	9.05	(16+17)-II-2	14	36
497	-184	-1240	-1114	118	-236	-202	9.05	9.05	2	16	--
497	-537	-609	-939	78	-3	-101	9.05	9.05	(16+17)-II-1	39	38
498	-432	-2042	-254	435	-105	110	9.05	9.05	2	13	--
498	121	-377	-999	90	251	104	9.05	9.05	(16+17)-I-1	20	14
499	210	-1563	-144	584	-55	-109	9.05	9.05	2	9.9	--
499	132	-291	-894	281	122	-61	9.05	9.05	(16+17)-I-1	20	32
500	-227	-2096	226	681	61	11	9.05	9.05	2	10	--
500	226	-540	-869	286	323	-58	9.05	9.05	(16+17)-I-1	18	17
501	567	-4610	-1457	-943	-1577	-214	9.05	9.05	(16+17)-I-3	4.4	7.6
501	-376	-1049	-144	-400	499	228	9.05	9.05	(16+17)-I-1	9.8	5.0
502	279	-2488	1150	-1614	-798	327	9.05	9.05	(16+17)-II-2	3.5	4.9
503	-64	980	-1351	-990	-272	-142	9.05	9.05	2	6.1	--
503	380	111	-1299	-482	621	-154	9.05	9.05	(16+17)-I-3	8.9	8.5
504	-973	-2859	-4	612	781	-42	9.05	9.05	2	9.1	--
504	-205	-586	-1167	410	166	55	9.05	9.05	(16+17)-I-1	15	15
505	-78	-563	-1035	254	507	78	9.05	9.05	(16+17)-I-1	12	13
506	-63	-4676	-623	-5	1175	-43	9.05	9.05	(16+17)-I-3	6.4	17
506	-639	460	549	-618	-278	263	9.05	9.05	(16+17)-I-1	8.0	4.9
507	-617	-3304	144	-327	1081	-47	9.05	9.05	2	6.7	--
507	-475	-71	729	-253	500	84	9.05	9.05	(16+17)-I-1	12	17
508	-900	-2805	2	15	858	-90	9.05	9.05	2	7.9	--
508	-253	-277	-1144	-132	268	-209	9.05	9.05	(16+17)-I-1	15	21
509	-715	-3305	151	-377	949	-204	9.05	9.05	2	6.6	--
509	-213	326	-1008	-486	29	-207	9.05	9.05	(16+17)-I-1	10	8.7
510	-539	-3304	-60	-434	1110	11	9.05	9.05	2	6.7	--
510	-458	-99	-800	-344	546	-67	9.05	9.05	(16+17)-I-1	11	17
511	-800	-2594	-214	324	506	176	9.05	9.05	2	11	--

Pannello	Nx	Ny	Nxy	Mx	My	Mxy	Ax	Ay	C	Cs	ζ _E
511	-144	-385	-1098	45	527	-5	9.05	9.05	(16+17)-I-1	13	18
512	-472	-3542	-451	-647	538	260	9.05	9.05	2	7.7	--
512	-78	-532	-984	-256	682	11	9.05	9.05	(16+17)-I-1	10	12
513	-595	-3694	815	-673	393	-277	9.05	9.05	2	7.4	--
513	-169	-612	-190	-259	638	-54	9.05	9.05	(16+17)-I-1	10	11
514	-1034	-2496	168	672	798	-57	9.05	9.05	2	8.7	--
514	-301	-54	932	368	260	-109	9.05	9.05	(16+17)-I-1	15	18
515	-879	-2946	-588	329	918	-83	9.05	9.05	(16+17)-I-3	7.5	20
515	-228	-138	964	498	-255	-44	9.05	9.05	(16+17)-I-1	13	7.9
516	-909	-3092	-671	229	989	19	9.05	9.05	(16+17)-I-3	7.5	25
516	-204	-100	839	411	-213	149	9.05	9.05	(16+17)-I-1	12	6.8
517	-1061	-2501	189	494	870	-32	9.05	9.05	2	8.2	--
517	-366	-133	871	221	347	107	9.05	9.05	(16+17)-I-1	15	21
518	-1381	-2173	405	538	393	-170	9.05	9.05	2	10	--
518	-548	-150	950	229	453	-124	9.05	9.05	(16+17)-I-1	12	13
519	-1082	-1541	386	242	-160	167	9.05	9.05	2	17	--
519	-217	-1319	52	-62	-87	123	9.05	9.05	(16+17)-II-2	34	17
520	-860	-1899	74	643	261	-50	9.05	9.05	2	10	--
520	-539	-203	493	435	230	-14	9.05	9.05	(16+17)-I-1	16	28
521	-1372	-2042	-79	701	122	-146	9.05	9.05	2	8.5	--
521	-252	-1655	327	250	-103	-79	9.05	9.05	(16+17)-II-1	21	23
522	-927	-2124	226	317	126	-433	9.05	9.05	2	9.5	--
522	-96	-2479	-454	-54	139	-355	9.05	9.05	(16+17)-I-3	15	8.9
523	-1219	-2357	-156	746	479	8	9.05	9.05	2	9.5	--
523	-355	-166	691	320	413	-39	9.05	9.05	(16+17)-I-1	15	15
524	-2031	-2641	131	886	213	107	9.05	9.05	2	7.4	--
524	-765	-1222	-1605	309	-151	269	9.05	9.05	(16+17)-I-1	12	10
525	-830	-2655	-177	966	344	84	9.05	9.05	2	6.8	--
525	-177	-1002	-1564	407	-157	244	9.05	9.05	(16+17)-I-1	11	9.0
526	-1432	-2631	-54	849	257	33	9.05	9.05	2	8.2	--
526	-299	-1185	-1465	338	-149	218	9.05	9.05	(16+17)-I-1	13	10
527	-740	-2606	-136	866	372	-9	9.05	9.05	2	8.1	--
527	-120	-720	-1275	496	-216	94	9.05	9.05	(16+17)-I-1	12	9.2
528	-206	617	-1488	-691	-1322	180	9.05	9.05	(16+17)-I-1	4.5	3.8
529	824	-1204	2591	-306	186	-247	9.05	9.05	(16+17)-I-3	12	15
530	-1191	-1902	446	528	174	88	9.05	9.05	2	12	--
530	-403	-886	-1699	179	-163	244	9.05	9.05	(16+17)-I-1	17	12
531	-524	-781	157	-588	369	-81	9.05	9.05	2	11	--
531	-536	-126	-1850	-218	-74	16	9.05	9.05	(16+17)-I-1	30	15
532	-58	-973	2049	-473	-92	-260	9.05	9.05	(16+17)-I-3	9.5	17
533	-707	-2218	1942	325	554	-134	9.05	9.05	(16+17)-I-3	11	23
533	-180	-546	-1898	-141	-211	261	9.05	9.05	(16+17)-I-1	15	8.6
534	-373	-2286	-36	942	266	28	9.05	9.05	2	7.2	--
534	-10	-273	985	489	-262	128	9.05	9.05	(16+17)-I-1	11	8.7
535	-1776	-2501	91	919	175	-17	9.05	9.05	2	7.8	--
535	-753	-1038	1274	349	-182	-137	9.05	9.05	(16+17)-I-1	15	14
536	-797	-2052	95	716	200	42	9.05	9.05	2	9.3	--
536	-201	-862	1345	297	-177	-108	9.05	9.05	(16+17)-I-1	17	15
537	-356	-2493	46	911	251	-9	9.05	9.05	2	7.6	--
537	-671	-716	1179	370	-215	-127	9.05	9.05	(16+17)-I-1	14	11
538	-366	1210	1430	-352	-750	-152	9.05	9.05	(16+17)-I-1	7.4	6.8
539	-852	-2136	-230	568	101	-26	9.05	9.05	2	12	--
539	-77	-865	1198	208	-228	-132	9.05	9.05	(16+17)-I-1	20	14
540	1603	-900	739	-1544	-613	4	9.05	9.05	2	4.3	--
540	-401	2426	-1591	-612	-1047	220	9.05	9.05	(16+17)-I-1	5.1	4.6
541	-107	-2778	-794	380	731	194	9.05	9.05	(16+17)-I-3	8.1	14
541	-503	-216	997	305	-431	-162	9.05	9.05	(16+17)-I-1	12	7.3
542	190	-2380	-1136	416	555	139	9.05	9.05	(16+17)-I-3	11	22
542	-552	-499	1292	240	-154	-134	9.05	9.05	(16+17)-I-1	19	11
543	-139	-291	83	-1238	451	-82	9.05	9.05	2	5.3	--
543	-821	705	-917	-507	-81	23	9.05	9.05	(16+17)-I-1	13	12
544	-333	-876	-325	-783	339	-81	9.05	9.05	2	8.1	--
544	-748	350	1212	-504	-93	-82	9.05	9.05	(16+17)-I-1	12	12
545	-558	26	-400	-1188	-39	-37	9.05	9.05	2	5.7	--

Pannello	Nx	Ny	Nxy	Mx	My	Mxy	Ax	Ay	C	Cs	ζ _E
545	116	692	-1130	-786	-313	72	9.05	9.05	(16+17)-I-3	8.1	11
546	-751	1006	871	-1053	-1685	-377	9.05	9.05	(16+17)-I-1	3.3	2.9
547	36	-2493	-269	-494	-32	-219	9.05	9.05	(16+17)-I-3	9.7	18
547	-478	-428	645	134	247	-288	9.05	9.05	(16+17)-I-1	13	9.2
548	-481	-1707	87	323	53	159	9.05	9.05	2	15	--
548	-36	-1976	-211	-27	-172	182	9.05	9.05	(16+17)-I-3	21	16
549	-977	115	122	-843	37	131	9.05	9.05	2	7.3	--
549	-1064	636	629	-640	239	99	9.05	9.05	(16+17)-I-3	9.7	14
550	-512	-2914	491	-1074	-1467	127	9.05	9.05	(16+17)-I-3	4.7	9.0
550	-1500	-466	1417	-392	395	-315	9.05	9.05	(16+17)-I-1	9.9	5.0
551	-415	-406	941	-1844	-974	-274	9.05	9.05	(16+17)-II-2	3.3	4.7
552	-51	-664	-596	-382	-107	-100	9.05	9.05	(16+17)-II-1	14	24
552	357	189	-121	199	-221	-43	9.05	9.05	(16+17)-II-2	26	16
553	636	-196	-260	-416	-1206	-83	9.05	9.05	(16+17)-I-1	5.4	9.8
553	245	1006	-1604	-284	472	-235	9.05	9.05	(16+17)-I-3	9.5	5.5
554	-659	798	-419	-754	51	-76	9.05	9.05	2	8.5	--
554	-217	1140	94	-401	-117	-259	9.05	9.05	(16+17)-II-2	11	11
555	944	-2111	-298	-370	-1038	-96	9.05	9.05	(16+17)-I-3	6.5	14
555	418	-397	341	238	134	174	9.05	9.05	(16+17)-I-1	17	7.9
556	-314	-572	-228	-300	85	152	9.05	9.05	(16+17)-II-1	15	28
556	173	451	347	119	-106	-13	9.05	9.05	(16+17)-II-2	52	21
557	-180	-335	81	-5	-294	303	9.05	9.05	2	12	--
557	111	337	578	188	-246	38	9.05	9.05	(16+17)-II-2	24	17
558	80	-503	268	-138	-640	286	9.05	9.05	2	7.6	--
558	-37	261	694	180	-303	64	9.05	9.05	(16+17)-II-2	19	16
559	-78	-562	-35	305	-430	126	9.05	9.05	2	13	--
559	199	-974	-253	-3	-165	129	9.05	9.05	(16+17)-II-1	24	19
560	-779	-8	31	-720	229	23	9.05	9.05	2	9.5	--
560	-321	-692	505	-655	166	-43	9.05	9.05	(16+17)-II-2	10	28
561	-778	438	24	-768	147	121	9.05	9.05	2	8.0	--
561	-917	1061	-313	-560	28	140	9.05	9.05	(16+17)-I-3	10	32
562	41	902	1154	-1205	-862	490	9.05	9.05	2	4.1	--
562	889	-1135	509	-446	469	598	9.05	9.05	(16+17)-I-1	6.5	5.0
563	-705	661	227	-1053	-25	172	9.05	9.05	2	5.8	--
563	-917	1733	-208	-829	-336	131	9.05	9.05	(16+17)-I-3	7.4	8.4
564	-989	3223	-1362	-1483	-1918	400	9.05	9.05	(16+17)-I-3	2.7	2.8
565	-711	-111	-120	-743	-49	-154	9.05	9.05	2	7.9	--
565	-801	808	-804	-570	-245	-116	9.05	9.05	(16+17)-I-3	10	16
566	-638	-498	-246	-685	-861	-260	9.05	9.05	2	6.3	--
566	-481	-855	457	-774	-592	-203	9.05	9.05	(16+17)-II-2	7.2	19
567	197	-1060	384	614	91	-147	9.05	9.05	2	9.1	--
567	560	-1336	928	392	-39	-193	9.05	9.05	(16+17)-II-1	12	21
568	-29	-580	-6	659	-0	-92	9.05	9.05	2	9.2	--
568	272	137	-732	371	134	-92	9.05	9.05	(16+17)-I-1	15	25
569	8	-644	452	620	-73	-212	9.05	9.05	2	8.3	--
569	367	-80	-500	296	60	-132	9.05	9.05	(16+17)-I-1	16	14
570	-103	-421	355	680	-185	-139	9.05	9.05	2	8.5	--
570	395	363	-53	134	87	-32	9.05	9.05	(16+17)-II-2	41	14
571	12	-748	623	634	-198	-332	9.05	9.05	(16+17)-II-1	7.2	14
572	453	-728	486	523	-57	-560	9.05	9.05	(16+17)-II-1	6.3	7.4
572	685	168	835	-200	29	552	9.05	9.05	(16+17)-II-2	9.0	7.4
573	194	-964	678	729	-138	-453	9.05	9.05	(16+17)-II-1	5.8	8.7
573	681	307	384	-62	59	331	9.05	9.05	(16+17)-II-2	17	8.7
574	-19	-1117	926	914	-35	-531	9.05	9.05	(16+17)-II-1	4.8	6.4
574	884	535	404	-392	97	354	9.05	9.05	(16+17)-II-2	9.1	6.1
575	-134	-1211	805	834	-235	-326	9.05	9.05	(16+17)-II-1	6.0	11
575	615	612	144	-83	136	41	9.05	9.05	(16+17)-II-2	39	10
576	-586	-1329	1015	787	-129	-249	9.05	9.05	(16+17)-II-1	6.8	15
576	886	914	0	-214	70	-138	9.05	9.05	(16+17)-II-2	19	7.6
577	-472	-1234	1084	1033	-53	-370	9.05	9.05	(16+17)-II-1	5.0	8.0
577	1002	794	174	-408	97	75	9.05	9.05	(16+17)-II-2	14	6.8
578	486	-659	1233	418	100	-720	9.05	9.05	(16+17)-II-1	6.0	6.4
578	781	277	402	-354	16	681	9.05	9.05	(16+17)-II-2	6.6	6.2
579	-653	-1187	1545	1167	120	-586	9.05	9.05	(16+17)-II-1	4.0	5.2

Pannello	Nx	Ny	Nxy	Mx	My	Mxy	Ax	Ay	C	Cs	ζ _E
579	1433	710	161	-787	-76	365	9.05	9.05	(16+17)-II-2	5.8	4.3
580	-2743	-631	2682	1526	386	-599	9.05	9.05	(16+17)-II-1	3.5	5.0
580	3168	296	-322	-1286	-554	345	9.05	9.05	(16+17)-II-2	3.9	2.9
581	1489	209	-522	-508	-250	635	9.05	9.05	(16+17)-II-2	5.8	5.7
582	-1381	-1268	1229	902	224	-76	9.05	9.05	(16+17)-II-1	7.4	23
582	1454	1127	25	-408	-153	-298	9.05	9.05	(16+17)-II-2	9.4	5.2
583	-1355	-1273	1523	1304	141	-295	9.05	9.05	(16+17)-II-1	4.5	7.3
583	1652	996	56	-763	-103	-35	9.05	9.05	(16+17)-II-2	8.3	4.8
584	2395	900	1323	-1079	-1205	-369	9.05	9.05	(16+17)-II-2	4.3	3.1
585	-4302	-519	2008	1875	732	-207	9.05	9.05	(16+17)-II-1	3.7	6.6
585	3783	764	157	-1446	-971	-93	9.05	9.05	(16+17)-II-2	4.0	2.7
586	-2648	-1017	1431	1535	441	-77	9.05	9.05	(16+17)-II-1	4.6	9.1
586	2513	1087	332	-1025	-528	-251	9.05	9.05	(16+17)-II-2	5.1	3.3
587	2499	1384	407	-513	-1021	-296	9.05	9.05	(16+17)-II-2	5.1	4.2
588	-2288	-913	1075	1013	528	70	9.05	9.05	(16+17)-II-1	6.8	13
588	2020	1101	285	-517	-533	-362	9.05	9.05	(16+17)-II-2	7.4	4.3
589	107	-510	-109	253	-111	174	9.05	9.05	2	16	--
589	407	37	-310	39	-33	105	9.05	9.05	(16+17)-I-3	48	66
590	-13	-428	93	96	-63	260	9.05	9.05	2	20	--
590	660	395	593	-62	-16	11	9.05	9.05	(16+17)-II-2	93	22
591	-378	-135	530	181	-17	-338	9.05	9.05	2	13	--
591	731	1099	-288	-81	63	-323	9.05	9.05	(16+17)-II-2	17	8.1
592	23	1393	-303	-575	-170	-274	9.05	9.05	(16+17)-I-1	8.2	8.0
593	-527	-1267	35	-435	-18	353	9.05	9.05	(16+17)-II-1	8.9	26
593	86	1235	659	-599	-142	146	9.05	9.05	(16+17)-I-1	9.3	11
594	-308	176	881	-1080	-1643	-229	9.05	9.05	(16+17)-I-3	3.7	4.6
595	197	-934	653	-305	-241	196	9.05	9.05	(16+17)-II-1	14	20
595	-297	75	-946	-216	126	55	9.05	9.05	(16+17)-I-1	26	15
596	-609	92	6	-817	312	119	9.05	9.05	2	7.5	--
596	-41	32	575	-548	135	17	9.05	9.05	(16+17)-II-1	12	53
597	-258	-916	897	149	-440	-291	9.05	9.05	(16+17)-I-3	9.7	47
597	-469	708	-389	185	2	-221	9.05	9.05	(16+17)-II-2	17	8.6
598	458	-1845	1283	-1650	-1154	326	9.05	9.05	(16+17)-II-1	3.5	4.9
599	-380	-846	500	6	181	169	9.05	9.05	2	20	--
599	-218	-891	742	162	68	64	9.05	9.05	(16+17)-II-1	31	27
600	155	-783	254	247	-654	97	9.05	9.05	2	9.4	--
600	494	-1067	-97	174	-465	158	9.05	9.05	(16+17)-I-3	11	29
601	131	-1113	-97	115	-786	-66	9.05	9.05	(16+17)-I-3	8.4	27
601	271	-226	-33	-72	-447	-229	9.05	9.05	(16+17)-II-2	10	14
602	661	-807	-154	-218	-997	314	9.05	9.05	(16+17)-I-3	5.4	10
602	1185	-359	876	-1157	-795	75	9.05	9.05	(16+17)-II-2	5.4	6.7
603	195	-1034	190	451	-443	134	9.05	9.05	2	12	--
603	103	-155	518	275	-145	5	9.05	9.05	(16+17)-I-1	25	25
604	-166	1578	-66	-945	-1270	-125	9.05	9.05	(16+17)-I-1	4.8	6.0
605	300	-776	-86	351	-334	128	9.05	9.05	2	14	--
605	655	-126	233	269	-192	79	9.05	9.05	(16+17)-II-2	20	36
606	125	-635	254	187	-437	297	9.05	9.05	2	9.6	--
606	828	86	542	-40	-242	110	9.05	9.05	(16+17)-II-2	20	14
607	556	988	409	-287	7	-194	9.05	9.05	(16+17)-II-2	14	20
608	-591	427	-176	-416	156	-174	9.05	9.05	2	12	--
608	510	890	628	-346	-187	-186	9.05	9.05	(16+17)-II-2	13	10
609	-133	-589	-124	400	-249	27	9.05	9.05	2	16	--
609	132	275	575	305	-277	-116	9.05	9.05	(16+17)-II-2	16	19
610	-24	-503	-84	309	-90	130	9.05	9.05	2	16	--
610	313	231	557	243	-138	-74	9.05	9.05	(16+17)-II-2	22	31
611	34	473	689	40	-389	-249	9.05	9.05	(16+17)-II-2	11	14
612	123	444	664	0	-210	-262	9.05	9.05	(16+17)-II-2	15	16
612	-270	232	437	-0	64	-167	9.05	9.05	(16+17)-I-1	30	15
613	28	526	833	-154	-301	-282	9.05	9.05	(16+17)-II-2	12	14
613	-352	451	442	-108	97	-208	9.05	9.05	(16+17)-I-1	22	11
614	-224	429	622	194	-282	-201	9.05	9.05	(16+17)-II-2	14	16
615	-401	-809	-387	64	120	135	9.05	9.05	(16+17)-II-1	28	70
615	455	422	580	-26	-44	-153	9.05	9.05	(16+17)-II-2	35	19
616	-1925	-758	-14	-345	445	128	9.05	9.05	(16+17)-II-1	12	15

Pannello	Nx	Ny	Nxy	Mx	My	Mxy	Ax	Ay	C	Cs	ζ _E
616	1656	1451	1074	-137	-499	24	9.05	9.05	(16+17)-II-2	13	11
617	-1618	-790	193	-240	561	132	9.05	9.05	(16+17)-II-1	10	19
617	1276	1390	648	-151	-349	-80	9.05	9.05	(16+17)-II-2	16	9.0
618	1845	1251	704	-52	-531	-79	9.05	9.05	(16+17)-II-2	11	8.9
619	-708	655	336	-484	137	-8	9.05	9.05	2	14	--
619	1105	1342	803	-372	-359	-34	9.05	9.05	(16+17)-II-2	17	11
620	-1138	-1071	648	-261	440	111	9.05	9.05	(16+17)-II-1	13	70
620	835	1426	36	-166	-86	-249	9.05	9.05	(16+17)-II-2	16	8.6
621	1243	1286	-1	-159	-173	-338	9.05	9.05	(16+17)-II-2	13	7.2
622	2377	1345	255	-211	-843	-218	9.05	9.05	(16+17)-II-2	6.3	5.9
623	1858	1268	229	-178	-538	-300	9.05	9.05	(16+17)-II-2	8.0	6.1
624	2132	1204	637	-67	-607	-179	9.05	9.05	(16+17)-II-2	8.5	7.3
625	-3207	-3060	-309	290	452	-142	9.05	9.05	2	13	--
625	-671	-1538	-673	247	437	-1	9.05	9.05	(16+17)-II-1	17	26
626	-2963	-3591	-353	915	800	-70	9.05	9.05	2	7.6	--
626	-553	-1653	-735	374	589	43	9.05	9.05	(16+17)-II-1	11	20
627	-2048	-3561	-487	660	-43	-184	9.05	9.05	2	8.7	--
627	556	-1871	-749	178	-188	-20	9.05	9.05	(16+17)-II-1	34	12
628	-1515	-3012	-332	250	-20	-85	9.05	9.05	2	22	--
628	-388	-1597	367	140	-230	-78	9.05	9.05	(16+17)-I-1	24	24
629	-2329	-3123	-253	244	571	-201	9.05	9.05	2	9.7	--
629	-121	-1680	-673	156	260	-22	9.05	9.05	(16+17)-II-1	26	22
630	-2453	-3762	-251	782	595	-203	9.05	9.05	2	7.5	--
630	-85	-1764	-720	273	233	-16	9.05	9.05	(16+17)-II-1	24	15
631	-1329	-1565	-872	55	-482	106	9.05	9.05	(16+17)-I-1	12	18
632	1108	-2284	-927	-366	-545	230	9.05	9.05	(16+17)-II-1	9.5	6.1
633	-3334	-3690	-902	1047	664	168	9.05	9.05	2	6.2	--
633	-685	-1394	-1072	335	222	196	9.05	9.05	(16+17)-II-1	13	18
634	-2663	-4318	-1609	654	461	419	9.05	9.05	2	6.9	--
634	-114	-1741	-1528	143	104	386	9.05	9.05	(16+17)-II-1	13	20
635	-2900	-3921	-1195	921	663	336	9.05	9.05	2	6.0	--
635	-396	-1513	-1228	269	226	318	9.05	9.05	(16+17)-II-1	12	19
636	-2320	-4619	-738	684	605	29	9.05	9.05	2	10	--
636	57	-1911	-919	131	202	167	9.05	9.05	(16+17)-II-1	20	18
637	-3105	-3852	-757	1147	849	91	9.05	9.05	2	6.1	--
637	-609	-1567	-977	408	350	144	9.05	9.05	(16+17)-II-1	13	19
638	-2975	-3887	-561	1100	907	21	9.05	9.05	2	6.7	--
638	-1410	-1408	-65	535	341	6	9.05	9.05	(16+17)-I-1	13	20
639	-2750	-4098	-822	1020	810	122	9.05	9.05	2	6.5	--
639	-348	-1679	-992	334	331	188	9.05	9.05	(16+17)-II-1	13	19
640	-2662	-2415	-872	171	49	282	9.05	9.05	2	16	--
640	191	-717	-1741	-133	-44	261	9.05	9.05	(16+17)-II-1	18	7.7
641	-2838	-2662	-1234	640	56	365	9.05	9.05	2	7.4	--
641	-980	-981	-431	278	-92	245	9.05	9.05	(16+17)-I-1	14	11
642	-2596	-2185	-742	421	-245	319	9.05	9.05	2	10	--
642	1089	-977	-1185	-12	-122	268	9.05	9.05	(16+17)-II-1	18	6.4
643	-2865	-2722	-1212	219	503	415	9.05	9.05	2	8.1	--
643	-682	-729	-1506	-88	167	334	9.05	9.05	(16+17)-II-1	14	7.8
644	-3037	-3320	-1588	626	438	509	9.05	9.05	2	6.6	--
644	-537	-1216	-1680	126	106	393	9.05	9.05	(16+17)-II-1	14	21
645	-3735	-3279	-896	742	305	241	9.05	9.05	2	7.8	--
645	-1744	-818	-263	465	-40	225	9.05	9.05	(16+17)-I-1	11	9.2
646	-3103	-477	-354	119	-292	313	9.05	9.05	(16+17)-I-1	12	13
646	-951	-740	-1021	-202	-269	317	9.05	9.05	(16+17)-II-1	12	6.9
647	-3282	-3055	-1369	164	446	566	9.05	9.05	2	7.4	--
647	-908	-903	-1296	-150	105	421	9.05	9.05	(16+17)-II-1	12	6.5
648	-3223	-3425	-1396	673	510	512	9.05	9.05	2	6.4	--
648	-681	-1176	-1333	127	133	409	9.05	9.05	(16+17)-II-1	13	20
649	-965	-2759	-1665	313	619	289	9.05	9.05	(16+17)-I-3	8.2	14
649	-471	-324	1734	221	-262	-267	9.05	9.05	(16+17)-I-1	13	7.8
650	-1123	-2251	-2306	384	483	199	9.05	9.05	(16+17)-I-3	11	27
650	-345	-535	2069	183	-17	-263	9.05	9.05	(16+17)-I-1	16	10
651	-1810	-1929	-786	598	219	-71	9.05	9.05	2	11	--
651	-683	-828	1871	248	-102	-271	9.05	9.05	(16+17)-I-1	14	12

Pannello	Nx	Ny	Nxy	Mx	My	Mxy	Ax	Ay	C	Cs	ζ _E
652	-895	-440	451	-775	-163	83	9.05	9.05	2	8.3	--
652	-69	39	1721	-332	97	252	9.05	9.05	(16+17)-I-1	12	17
653	-892	-522	-725	-1262	-288	37	9.05	9.05	2	5.5	--
653	-1111	-48	1894	-796	18	-338	9.05	9.05	(16+17)-I-1	6.3	13
654	-881	-408	-587	-952	453	-12	9.05	9.05	2	7.4	--
654	-1067	400	1756	-474	44	-74	9.05	9.05	(16+17)-I-1	13	22
655	1176	-2459	-3832	-758	219	255	9.05	9.05	(16+17)-I-3	6.6	10.0
655	-969	1593	1926	-379	-666	-210	9.05	9.05	(16+17)-I-1	7.6	6.6
656	2090	-807	109	-1525	-534	-36	9.05	9.05	2	4.2	--
656	-53	2252	1455	-668	-952	-163	9.05	9.05	(16+17)-I-1	5.8	5.1
657	-371	-240	-60	-839	540	-127	9.05	9.05	2	7.3	--
657	-860	622	1028	-349	-18	-170	9.05	9.05	(16+17)-I-1	14	9.4
658	-296	-265	1458	-28	-317	-175	9.05	9.05	(16+17)-I-1	14	13
659	-2754	-2390	69	787	216	-130	9.05	9.05	2	8.1	--
659	-1115	-1168	1761	359	-95	-273	9.05	9.05	(16+17)-I-1	11	11
660	-2958	-2548	-335	1041	307	-104	9.05	9.05	2	6.6	--
660	-1351	-1202	1880	451	-44	-290	9.05	9.05	(16+17)-I-1	9.7	11
661	-1145	-2713	104	979	523	-42	9.05	9.05	2	7.0	--
661	-361	-894	1577	498	-6	-179	9.05	9.05	(16+17)-I-1	10	11
662	-1193	-2882	119	692	450	-102	9.05	9.05	2	9.0	--
662	-206	-1057	1520	353	85	-167	9.05	9.05	(16+17)-I-1	13	24
663	-1723	-2610	85	730	494	-121	9.05	9.05	2	8.5	--
663	-357	-1627	668	296	251	-141	9.05	9.05	(16+17)-II-1	16	31
664	-1539	-2706	-43	1045	450	-91	9.05	9.05	2	6.4	--
664	-650	-1048	1752	487	-2	-268	9.05	9.05	(16+17)-I-1	9.3	10
665	79	-1149	1363	-457	148	-103	9.05	9.05	(16+17)-II-1	12	12
666	-3643	-2070	-235	-950	78	-76	9.05	9.05	2	7.4	--
666	-1832	-381	502	-280	409	-220	9.05	9.05	(16+17)-I-1	11	13
667	-869	-3047	-665	-926	-428	-103	9.05	9.05	2	6.9	--
667	-220	-1444	417	-564	-563	-134	9.05	9.05	(16+17)-I-1	10	16
668	-485	-1139	1951	-144	-459	-219	9.05	9.05	(16+17)-I-1	11	15
668	531	-1397	1300	-563	-362	-28	9.05	9.05	(16+17)-II-1	12	11
669	-1952	-2143	387	-331	626	-109	9.05	9.05	2	10.0	--
669	-296	-1299	899	-314	413	-124	9.05	9.05	(16+17)-II-1	13	17
670	-2162	-2405	-217	-702	676	-117	9.05	9.05	2	9.0	--
670	-201	-1484	64	-330	352	-75	9.05	9.05	(16+17)-II-1	17	21
671	226	1887	905	44	-574	40	9.05	9.05	2	11	--
671	-471	2117	752	-54	-417	58	9.05	9.05	(16+17)-I-3	14	17
672	784	1670	-1231	-209	-822	-135	9.05	9.05	2	6.9	--
672	-119	809	-411	142	-530	-79	9.05	9.05	(16+17)-I-3	11	22
673	763	-4566	-184	-408	-1702	20	9.05	9.05	2	4.5	--
673	-532	-1542	274	147	-455	-57	9.05	9.05	(16+17)-I-3	14	19
674	-536	2444	1327	-597	-1210	118	9.05	9.05	(16+17)-I-1	4.9	5.4
675	266	-1453	1454	346	-1171	-63	9.05	9.05	2	5.8	--
675	558	-374	272	47	-473	-81	9.05	9.05	(16+17)-II-1	13	16
676	206	2552	2737	-422	-1625	75	9.05	9.05	2	3.8	--
676	990	333	405	-763	-834	176	9.05	9.05	(16+17)-II-1	6.8	7.7
677	-2353	-6561	1764	224	1246	143	9.05	9.05	2	5.9	--
677	-1529	-2657	371	-38	567	74	9.05	9.05	(16+17)-II-1	12	26
678	-1449	-3702	2506	40	462	96	9.05	9.05	2	14	--
678	-1112	-780	823	-185	138	32	9.05	9.05	(16+17)-II-1	33	19
679	-1897	-2798	1047	350	329	-107	9.05	9.05	(16+17)-II-2	16	55
679	-876	-1171	-121	8	35	-9	9.05	9.05	(16+17)-II-1	>100	21
680	-2032	-3039	525	300	266	-103	9.05	9.05	(16+17)-II-2	18	47
680	-731	-1769	-419	-59	40	74	9.05	9.05	(16+17)-II-1	53	19
681	-2487	-4634	50	256	1252	20	9.05	9.05	2	6.1	--
681	-1340	-1823	-346	35	591	8	9.05	9.05	(16+17)-II-1	12	21
682	-2683	-4912	496	300	1254	124	9.05	9.05	2	5.7	--
682	-1544	-1919	-145	31	577	47	9.05	9.05	(16+17)-II-1	12	33
683	-3261	1678	8	-839	-658	116	9.05	9.05	2	7.9	--
683	-1644	820	83	-663	-368	-10	9.05	9.05	(16+17)-II-1	11	13
684	-3579	-4992	2518	-1013	-1600	-121	9.05	9.05	2	4.6	--
684	-1848	-3144	854	-837	-898	71	9.05	9.05	(16+17)-II-1	7.8	10
685	-2302	-2077	-226	674	-113	331	9.05	9.05	2	7.3	--

Pannello	Nx	Ny	Nxy	Mx	My	Mxy	Ax	Ay	C	Cs	ζ _E
685	-1575	-1709	339	457	25	189	9.05	9.05	(16+17)-I-1	11	24
686	-3083	-2604	166	960	-455	-273	9.05	9.05	2	6.1	--
686	-1630	-1189	-239	334	-267	-164	9.05	9.05	(16+17)-II-1	15	32
687	-2432	-4612	139	278	1194	-189	9.05	9.05	2	5.6	--
687	-1270	-3089	-284	33	590	-70	9.05	9.05	(16+17)-II-1	11	20
688	-1936	-5065	660	-196	334	-426	9.05	9.05	2	10	--
688	-1016	-3220	-27	-228	122	-148	9.05	9.05	(16+17)-II-1	19	9.7
689	-3085	-3362	462	955	218	-579	9.05	9.05	2	4.9	--
689	-1601	-1547	-98	345	102	-283	9.05	9.05	(16+17)-II-1	12	34
690	-2623	-4107	642	514	447	-608	9.05	9.05	2	6.6	--
690	-1363	-1807	-22	123	217	-285	9.05	9.05	(16+17)-II-1	15	25
691	-2886	-3626	329	906	575	-509	9.05	9.05	2	5.3	--
691	-1483	-1660	-161	333	317	-240	9.05	9.05	(16+17)-II-1	13	33
692	-2878	-3948	207	867	872	-376	9.05	9.05	2	6.0	--
692	-1451	-1780	-220	314	420	-178	9.05	9.05	(16+17)-II-1	12	31
693	-2680	-4337	348	527	1081	-365	9.05	9.05	2	5.4	--
693	-1375	-1841	-164	133	569	-145	9.05	9.05	(16+17)-II-1	10	22
694	-3739	-2792	-1201	526	114	210	9.05	9.05	(16+17)-II-2	10	53
694	-1411	-1926	-642	-84	-1	153	9.05	9.05	(16+17)-II-1	30	9.0
695	-3100	-1241	-675	631	189	64	9.05	9.05	(16+17)-II-2	11	31
695	-1684	-416	-180	-188	-62	174	9.05	9.05	(16+17)-II-1	20	9.2
696	-1609	824	542	325	127	64	9.05	9.05	(16+17)-II-2	19	38
696	-367	-15	75	60	11	-4	9.05	9.05	(16+17)-II-1	>100	26
697	-1884	2942	1421	-273	137	170	9.05	9.05	2	16	--
697	-900	1446	828	-129	-26	180	9.05	9.05	(16+17)-II-1	23	12
698	-321	-329	511	296	-27	178	9.05	9.05	(16+17)-I-3	15	36
699	-2549	-3224	-599	428	182	195	9.05	9.05	(16+17)-II-2	12	53
699	-1902	-1715	-8	368	229	110	9.05	9.05	(16+17)-I-1	15	19
700	-2910	-4344	-818	207	828	-100	9.05	9.05	2	8.4	--
700	-1566	-2033	-59	-53	414	-44	9.05	9.05	(16+17)-II-1	16	29
701	-2975	-3350	-175	566	538	-82	9.05	9.05	2	12	--
701	-1425	-1501	27	167	253	-23	9.05	9.05	(16+17)-II-1	26	26
702	-573	1479	-429	66	51	-166	9.05	9.05	2	30	--
702	-446	77	-112	-132	22	-82	9.05	9.05	(16+17)-II-1	33	20
703	-289	-1845	-763	-436	-80	-53	9.05	9.05	(16+17)-II-1	14	17
704	-1813	985	-2104	-296	-485	-157	9.05	9.05	2	10	--
704	-381	47	-856	-481	-250	-21	9.05	9.05	(16+17)-II-1	14	15
705	-1621	-1870	-773	576	-244	37	9.05	9.05	2	12	--
705	-584	-1000	-170	167	-46	39	9.05	9.05	(16+17)-II-1	34	20
706	-3266	-3564	-433	965	892	80	9.05	9.05	2	7.2	--
706	-1691	-1318	-21	515	364	-13	9.05	9.05	(16+17)-I-1	14	22
707	-3454	-3725	-559	773	884	277	9.05	9.05	2	6.6	--
707	-974	-1705	-99	321	587	167	9.05	9.05	(16+17)-II-1	9.6	22
708	-3433	-3440	-614	427	635	201	9.05	9.05	2	9.1	--
708	-1745	-1226	-151	303	255	19	9.05	9.05	(16+17)-I-1	23	19
709	-3317	-3821	-296	780	1008	-41	9.05	9.05	2	7.3	--
709	-1194	-1657	-83	240	491	-61	9.05	9.05	(16+17)-II-1	13	20
710	-3324	-3728	-573	1169	894	-20	9.05	9.05	2	6.4	--
710	-846	-1527	-904	425	376	54	9.05	9.05	(16+17)-II-1	15	18
711	-3451	-3762	-428	1102	1009	-76	9.05	9.05	2	6.4	--
711	-1039	-1565	-9	400	459	-57	9.05	9.05	(16+17)-II-1	14	18
712	-3234	-3732	-487	1147	983	2	9.05	9.05	2	6.6	--
712	-838	-1610	-813	449	455	-28	9.05	9.05	(16+17)-II-1	15	19
713	-3663	-3807	-204	687	1055	-282	9.05	9.05	2	5.7	--
713	-1535	-1489	28	177	483	-150	9.05	9.05	(16+17)-II-1	11	22
714	-3600	-4819	-224	181	1080	-265	9.05	9.05	2	5.8	--
714	-1807	-1809	203	-96	479	-138	9.05	9.05	(16+17)-II-1	12	15
715	-5092	-2571	2225	-1583	-1201	177	9.05	9.05	2	4.5	--
715	-3596	884	1606	-872	-1185	244	9.05	9.05	(16+17)-I-1	4.7	6.0
716	-2995	-4418	378	-512	500	-281	9.05	9.05	2	9.5	--
716	-1253	-1029	848	-520	82	-47	9.05	9.05	(16+17)-II-1	13	13
717	-3848	-3332	768	325	253	-194	9.05	9.05	(16+17)-II-2	15	81
717	-1986	-826	417	129	-191	-185	9.05	9.05	(16+17)-I-1	19	9.1
718	-3511	-3650	-606	1070	732	-33	9.05	9.05	2	6.9	--

Pannello	Nx	Ny	Nxy	Mx	My	Mxy	Ax	Ay	C	Cs	ζ _E
718	-920	-1387	-20	350	261	55	9.05	9.05	(16+17)-II-1	18	18
719	-3809	-3675	-456	718	486	-156	9.05	9.05	2	8.8	--
719	-1062	-1300	147	135	90	-10	9.05	9.05	(16+17)-II-1	49	14
720	-3594	-3685	-335	881	830	-247	9.05	9.05	2	6.8	--
720	-1197	-1421	127	249	321	-145	9.05	9.05	(16+17)-II-1	15	19
721	-2918	-2558	-179	1032	78	125	9.05	9.05	2	6.5	--
721	-1621	-1969	357	422	73	68	9.05	9.05	(16+17)-I-1	15	45
722	-2431	-2817	-479	1157	141	161	9.05	9.05	2	5.6	--
722	-1339	-1437	-38	527	87	37	9.05	9.05	(16+17)-II-1	13	45
723	-4424	-1981	1379	-728	-1145	-270	9.05	9.05	2	5.2	--
723	-2576	-67	1489	-397	-37	-211	9.05	9.05	(16+17)-I-1	12	13
724	-3428	-2425	3	864	-259	-253	9.05	9.05	2	6.8	--
724	-1815	-1315	270	495	35	-37	9.05	9.05	(16+17)-II-1	14	24
725	-5119	-2513	-1492	-366	-850	107	9.05	9.05	2	7.7	--
725	-2616	-1218	-461	269	-96	101	9.05	9.05	(16+17)-II-1	20	11
726	-2105	-3142	-862	477	355	223	9.05	9.05	2	10	--
726	-1269	-1657	-217	402	184	60	9.05	9.05	(16+17)-II-1	16	45
727	-1480	-2925	322	66	285	-473	9.05	9.05	2	9.9	--
727	-914	-2382	-46	-81	209	-179	9.05	9.05	(16+17)-II-2	19	12
728	-1072	-1695	-43	385	324	242	9.05	9.05	(16+17)-II-1	11	11
729	-1709	-2903	-102	545	176	-377	9.05	9.05	2	7.9	--
729	-379	-2322	861	182	-73	-112	9.05	9.05	(16+17)-I-1	24	18
730	-1207	-2664	148	782	615	-46	9.05	9.05	2	8.7	--
730	-265	-812	1383	478	59	22	9.05	9.05	(16+17)-I-1	14	15
731	-1246	-2768	150	489	634	-208	9.05	9.05	2	8.9	--
731	-341	-861	1169	359	186	26	9.05	9.05	(16+17)-I-1	18	17
732	-3231	-3919	-998	-693	269	81	9.05	9.05	2	9.8	--
732	-1780	-901	-396	-383	-156	-32	9.05	9.05	(16+17)-I-1	18	10.0
733	-2921	-3234	272	-391	349	125	9.05	9.05	2	15	--
733	-1503	-7	821	-220	430	19	9.05	9.05	(16+17)-I-1	15	12
734	-1626	-4534	-1063	-41	615	-140	9.05	9.05	(16+17)-I-3	10	37
734	-262	-705	903	-260	-300	-13	9.05	9.05	(16+17)-I-1	23	8.3
735	-1070	-3066	413	390	478	-303	9.05	9.05	2	9.6	--
735	-367	-2617	42	515	382	-196	9.05	9.05	(16+17)-II-2	9.8	17
736	-1344	-2837	113	522	481	-262	9.05	9.05	2	9.2	--
736	-269	-886	1372	263	83	-82	9.05	9.05	(16+17)-I-1	20	16
737	-1232	-2459	-247	-229	646	-47	9.05	9.05	2	11	--
737	-919	-1156	-389	-125	231	-100	9.05	9.05	(16+17)-II-2	22	30
738	1191	-2400	-467	-173	-858	-186	9.05	9.05	(16+17)-I-1	7.1	15
738	539	-1025	-1939	75	230	-112	9.05	9.05	(16+17)-I-3	21	8.2
739	908	-2094	704	-514	-815	-235	9.05	9.05	(16+17)-I-1	7.0	16
739	387	75	-128	-170	279	-96	9.05	9.05	(16+17)-I-3	18	7.4
740	-1259	-1211	11	-78	558	-265	9.05	9.05	2	8.7	--
740	-727	-349	115	31	168	-278	9.05	9.05	(16+17)-II-2	16	15
741	-172	192	-917	-57	354	-531	9.05	9.05	(16+17)-I-3	7.8	4.8
742	-488	-1110	208	-298	-448	-431	9.05	9.05	(16+17)-II-2	8.1	19
742	-618	-1527	803	-102	115	-509	9.05	9.05	(16+17)-I-1	12	7.6
743	-869	-1674	334	-138	249	-749	9.05	9.05	2	7.3	--
743	-945	-157	-397	-50	5	-404	9.05	9.05	(16+17)-I-3	16	24
744	-1337	-1076	79	175	397	-466	9.05	9.05	2	8.3	--
744	-593	-1473	565	-59	284	-390	9.05	9.05	(16+17)-I-1	11	8.5
745	-415	-3377	-285	-52	512	205	9.05	9.05	2	11	--
745	-75	-193	774	-25	549	34	9.05	9.05	(16+17)-I-1	12	12
746	-264	-3997	-1737	-385	-1036	-400	9.05	9.05	(16+17)-I-3	5.4	11
746	-1245	-343	590	-65	296	213	9.05	9.05	(16+17)-I-1	14	5.9
747	3557	-2245	2461	-623	-1356	-45	9.05	9.05	2	5.3	--
747	1956	360	2625	41	73	69	9.05	9.05	(16+17)-I-1	48	7.0
748	-490	267	1431	-31	421	85	9.05	9.05	(16+17)-I-1	14	11
749	54	168	1323	-268	567	92	9.05	9.05	(16+17)-I-1	10	8.9
750	742	-4520	1162	-674	-1467	-3	9.05	9.05	(16+17)-I-3	5.3	15
750	1540	-1002	-242	-438	226	-148	9.05	9.05	(16+17)-I-1	11	5.8
751	-1160	-3090	-1307	131	888	185	9.05	9.05	(16+17)-I-3	7.0	19
751	-491	-189	1416	218	-258	98	9.05	9.05	(16+17)-I-1	20	7.0
752	-1169	-2377	140	-5	874	191	9.05	9.05	2	6.9	--

Pannello	Nx	Ny	Nxy	Mx	My	Mxy	Ax	Ay	C	Cs	ζ _E
752	-515	6	1266	92	259	236	9.05	9.05	(16+17)-I-1	14	20
753	-1010	-5313	-527	46	1342	-165	9.05	9.05	(16+17)-I-3	5.3	10
753	-138	1084	1504	-563	-1071	-9	9.05	9.05	(16+17)-I-1	6.2	3.9
754	-551	-3010	366	-116	995	-3	9.05	9.05	2	7.5	--
754	-153	369	932	-248	367	-154	9.05	9.05	(16+17)-I-1	13	15
755	-231	-5810	-1922	-95	1409	240	9.05	9.05	(16+17)-I-3	4.9	8.9
755	-1087	1470	1489	-1013	-1207	-64	9.05	9.05	(16+17)-I-1	5.2	3.5
756	-654	-2831	308	-518	1063	281	9.05	9.05	2	5.6	--
756	-807	543	1174	-496	381	206	9.05	9.05	(16+17)-I-1	10	14
757	-1480	-1377	50	81	753	72	9.05	9.05	2	8.7	--
757	-1397	-485	-188	78	400	65	9.05	9.05	(16+17)-II-1	15	34
758	-405	-117	352	-342	-619	-112	9.05	9.05	(16+17)-II-2	9.5	14
759	-223	-898	519	-410	-194	148	9.05	9.05	(16+17)-II-2	12	17
759	-423	134	-686	-246	65	180	9.05	9.05	(16+17)-I-3	16	15
760	-1102	-920	23	221	116	113	9.05	9.05	2	21	--
760	-553	55	-664	75	-35	156	9.05	9.05	(16+17)-I-3	31	20
761	-1443	-1233	609	43	138	-254	9.05	9.05	(16+17)-I-1	18	50
761	-674	143	-603	131	-68	63	9.05	9.05	(16+17)-I-3	36	18
762	-1262	-1045	73	308	382	74	9.05	9.05	2	16	--
762	-1352	-281	-230	144	304	39	9.05	9.05	(16+17)-II-1	20	28
763	-1254	-1333	362	-23	420	391	9.05	9.05	2	8.9	--
763	-823	-237	-390	97	39	231	9.05	9.05	(16+17)-I-3	22	36
764	-966	-1150	231	386	192	279	9.05	9.05	2	11	--
764	-608	-164	-511	257	-27	176	9.05	9.05	(16+17)-I-3	16	14
765	-462	-1333	284	509	-89	322	9.05	9.05	2	8.4	--
765	-386	-345	-466	274	-140	167	9.05	9.05	(16+17)-I-3	16	14
766	-163	-1435	132	619	-368	260	9.05	9.05	2	7.9	--
766	-278	-447	-525	316	-234	137	9.05	9.05	(16+17)-I-3	15	27
767	235	-1724	229	446	-527	347	9.05	9.05	2	8.3	--
767	-308	-1481	872	333	54	158	9.05	9.05	(16+17)-I-1	14	19
768	-425	-1502	638	21	-402	621	9.05	9.05	2	7.1	--
768	-690	-1397	1106	194	170	190	9.05	9.05	(16+17)-I-1	18	13
769	585	-1836	815	-227	-860	545	9.05	9.05	2	5.2	--
769	-135	-1564	1232	163	44	225	9.05	9.05	(16+17)-I-1	18	12
770	-376	-1184	29	507	-362	136	9.05	9.05	2	11	--
770	-375	-297	-601	210	-260	111	9.05	9.05	(16+17)-I-3	19	25
771	-537	-887	-68	99	-533	-33	9.05	9.05	2	13	--
771	-426	-84	-704	-6	-424	59	9.05	9.05	(16+17)-I-3	14	26
772	-510	-1105	130	378	-113	137	9.05	9.05	2	14	--
772	-388	-199	-590	180	-154	84	9.05	9.05	(16+17)-I-3	27	25
773	-799	-1001	104	273	100	162	9.05	9.05	2	16	--
773	-466	-71	-632	95	-27	115	9.05	9.05	(16+17)-I-3	33	20
774	-264	-934	557	-378	30	29	9.05	9.05	(16+17)-II-2	17	25
775	-315	-991	546	-283	6	-89	9.05	9.05	(16+17)-II-2	19	31
775	-393	81	-702	-97	-198	-34	9.05	9.05	(16+17)-I-3	30	28
776	-2566	-2980	-301	1150	254	-187	9.05	9.05	2	5.5	--
776	-1394	-1508	133	541	86	-115	9.05	9.05	(16+17)-II-1	11	62
777	-2928	-3096	-15	1135	346	-478	9.05	9.05	2	4.6	--
777	-1806	-1462	-508	528	141	-211	9.05	9.05	(16+17)-I-3	9.8	71
778	-2754	-3100	-39	1152	281	-461	9.05	9.05	2	4.6	--
778	-1454	-1574	-311	540	125	-216	9.05	9.05	(16+17)-II-1	9.5	68
779	-2836	-2950	-11	1031	338	-429	9.05	9.05	2	5.1	--
779	-1465	-1559	-283	511	148	-196	9.05	9.05	(16+17)-II-1	10	52
780	-2903	-3138	21	1097	223	-498	9.05	9.05	2	4.7	--
780	-1515	-1534	-291	466	103	-245	9.05	9.05	(16+17)-II-1	10	58
781	-3205	-2843	1	1007	289	-429	9.05	9.05	2	5.3	--
781	-1873	-1363	-507	470	84	-155	9.05	9.05	(16+17)-I-3	12	43
782	-3437	-2863	-191	1042	229	-276	9.05	9.05	2	5.8	--
782	-1951	-1393	-600	478	70	-73	9.05	9.05	(16+17)-I-3	13	39
783	-3067	-3577	19	1049	689	-330	9.05	9.05	2	5.5	--
783	-1530	-1719	-297	428	330	-155	9.05	9.05	(16+17)-II-1	12	40
784	-3011	-3416	119	1068	505	-468	9.05	9.05	2	4.9	--
784	-1531	-1650	-247	439	256	-223	9.05	9.05	(16+17)-II-1	11	45
785	-3088	-3139	-33	1126	398	-429	9.05	9.05	2	4.8	--

Pannello	Nx	Ny	Nxy	Mx	My	Mxy	Ax	Ay	C	Cs	ζ _E
785	-1849	-1494	-513	521	162	-161	9.05	9.05	(16+17)-I-3	11	53
786	-3235	-3235	-120	1117	485	-295	9.05	9.05	2	5.3	--
786	-1876	-1562	-550	513	197	-91	9.05	9.05	(16+17)-I-3	12	46
787	-2039	-3003	-238	546	684	-164	9.05	9.05	2	8.9	--
787	-1177	-1561	-378	376	264	-88	9.05	9.05	(16+17)-II-1	15	40
788	-1626	-2405	-78	-57	932	-42	9.05	9.05	2	7.6	--
788	-1100	-852	-566	92	365	-30	9.05	9.05	(16+17)-I-3	18	66
789	-3809	-2458	-187	781	-98	-272	9.05	9.05	2	7.3	--
789	-1880	-1296	-357	441	-24	-136	9.05	9.05	(16+17)-II-1	13	22
790	-4213	-1975	298	172	-610	-405	9.05	9.05	2	7.2	--
790	-2931	-1550	827	165	52	-243	9.05	9.05	(16+17)-I-1	18	13
791	-3455	-2575	219	506	-129	-589	9.05	9.05	2	6.9	--
791	-1969	-1181	-413	261	-143	-207	9.05	9.05	(16+17)-I-3	16	11
792	-2642	-2937	281	463	455	-505	9.05	9.05	2	7.7	--
792	-1377	-1512	-124	338	176	-215	9.05	9.05	(16+17)-II-1	13	38
793	-1830	-2462	308	-611	446	-114	9.05	9.05	2	10	--
793	-1230	-818	-382	-248	45	-37	9.05	9.05	(16+17)-I-3	25	26
794	-8060	-2120	3942	-2960	-2071	-26	9.05	9.05	2	2.8	--
794	-4186	-93	1244	-1434	-1751	410	9.05	9.05	(16+17)-I-3	3.2	4.1
795	-2436	-3142	1625	-1278	68	-279	9.05	9.05	2	4.8	--
795	-1496	-868	274	-595	-265	-80	9.05	9.05	(16+17)-I-3	11	11
796	1597	-2790	2901	-1493	-1472	591	9.05	9.05	2	3.2	--
796	383	-2366	2418	-113	508	443	9.05	9.05	(16+17)-I-1	7.8	5.2
797	-5196	-1695	1193	-825	-1190	-566	9.05	9.05	2	4.1	--
797	-2504	-764	252	-75	-543	-173	9.05	9.05	(16+17)-II-1	9.9	23
Massimi/minimi											
1							9.05				
1								9.05			
456										1.9	
46											1.7

Muro : 2 - Nodi: [62-63-79-78], Pann.X=4, Pann.Y=4Spess.=20 cm, Terreno=--,Criterio=CLS_Muri_ND, Materiale=C25/30: **Verificato**

Armatura a maglia doppia

Pannello	Nx	Ny	Nxy	Mx	My	Mxy	Ax	Ay	C	Cs	ζ _E
	kg	kg	kg	kg*m	kg*m	kg*m	cmq	cmq			
1	952	3098	831	118	1278	-224	7.54	9.05	(16+17)-I-3	1.6	1.5
1	4816	18227	4854	-47	-501	-62	7.54	9.05	(16+17)-II-1	2.1	1.3
2	152	2493	524	42	782	-367	7.54	9.05	(16+17)-I-3	2.1	2.0
3	3	1312	975	55	350	-439	7.54	9.05	(16+17)-I-3	3.2	3.5
4	2015	51	-602	-53	554	247	7.54	9.05	(16+17)-I-1	3.3	4.2
4	5135	-1847	-3100	-64	139	45	7.54	9.05	(16+17)-II-2	15	3.9
5	-844	-2003	-1330	-196	-1503	163	7.54	9.05	(16+17)-I-1	1.7	1.8
6	-316	-480	1292	119	741	-337	7.54	9.05	(16+17)-I-3	2.5	2.5
7	-771	-451	2003	141	328	-358	7.54	9.05	(16+17)-I-3	3.9	4.6
7	-227	-1194	-933	-167	19	349	7.54	9.05	(16+17)-I-1	4.4	4.3
8	354	-877	12	-189	371	374	7.54	9.05	(16+17)-I-1	3.7	3.6
9	-533	-1481	-646	-184	-1460	145	7.54	9.05	(16+17)-I-1	1.7	1.8
10	-544	-3931	1520	102	722	-319	7.54	9.05	(16+17)-I-3	2.8	3.1
10	-862	-2031	-1048	-119	-662	261	7.54	9.05	(16+17)-I-1	3.0	2.8
11	-1101	-2507	940	163	329	-306	7.54	9.05	(16+17)-I-3	4.5	4.9
12	-168	-323	-325	-269	548	408	7.54	9.05	(16+17)-I-1	2.8	3.0
13	-325	-2264	140	-132	-1465	173	7.54	9.05	(16+17)-I-1	1.7	1.7
13	3901	13940	-4355	7	144	-82	7.54	9.05	(16+17)-II-2	6.8	1.7
14	51	-2521	-396	-29	-679	-323	7.54	9.05	(16+17)-I-1	2.8	2.5
15	146	-6273	16	62	373	228	7.54	9.05	(16+17)-I-3	5.2	8.2
15	-379	2880	-2758	-34	187	-153	7.54	9.05	(16+17)-II-2	7.1	4.0
16	-1950	-3934	-1171	-232	1161	305	7.54	9.05	(16+17)-I-1	2.0	2.8
Massimi/minimi											

Pannello	Nx	Ny	Nxy	Mx	My	Mxy	Ax	Ay	C	Cs	ζ_E
1							7.54				
1								9.05			
1										1.6	
1											1.3

Verifica SLU delle aste in Legno secondo NTC

Scenario di calcolo: **Set_NT_SLV_SLD_A2_STR/GEO_2018**

Simbologia:

Sez. R	Sezione Rettangolare (Sigla)
Sez. C	Sezione Circolare (Sigla)
Fatt.Ampl.Sisma	Fattore moltiplicativo di gruppo per le azioni sismiche (solo se diverso da 1.0)
Crit.Prog	Criterio di verifica adottato per la verifica
L	Lunghezza dell'elemento
Lo	Lunghezza libera d'inflessione secondo l'asse locale più debole
Leff	Lunghezza efficace (Tab. 7-4, §7.6.1.2.1 – CNR-DT 206/2018)
x	ascissa locale che individua la sezione maggiormente sollecitata ai fini della verifica
Nd	Sforzo Normale di calcolo
Tyd	Taglio di calcolo dir. y loc.
Tzd	Taglio di calcolo dir. z loc.
Mxd	Momento torcente di calcolo dir. x loc.
Myd	Momento flettente di calcolo dir. y loc.
Mzd	Momento flettente di calcolo dir. z loc.
σ_{td}	Tensione di calcolo a trazione parallela alla fibratura calcolata sulla sezione netta
σ_{cd}	Tensione di calcolo a compressione parallela alla fibratura
σ_{myd}	Tensione di calcolo massima per flessione nel piano xz
σ_{mzd}	Tensione di calcolo massima per flessione nel piano xy
τ_d	Tensione massima tangenziale di calcolo
τ_{tord}	Tensione massima tangenziale di calcolo per torsione
f_{td}	Resistenza di calcolo a trazione parallela alla fibratura
f_{cd}	Resistenza di calcolo a compressione parallela alla fibratura
f_{myd}	Resistenza di calcolo a flessione nel piano xz
f_{mzd}	Resistenza di calcolo a flessione nel piano xy
f_{vd}	Resistenza di calcolo a taglio
kmod	Coefficiente correttivo che tiene conto dell'effetto, sui parametri di resistenza, sia della durata del carico sia dell'umidità della struttura (Tabella 4.4.IV, §4.4.7– NTC)
kh	Coefficiente moltiplicativo dei valori caratteristici delle resistenze f_{mk} e f_{tk} (§11.7.1.1 – NTC)
km	Coefficiente che tiene conto convenzionalmente della ridistribuzione delle tensioni e della disomogeneità del materiale nella sezione trasversale
kcrit,c	Coefficiente riduttivo di tensione critica per instabilità di colonna valutato per il piano in cui assume il valore minimo
kcrit,m	Coefficiente riduttivo di tensione critica per instabilità di trave, per tener conto della riduzione di resistenza dovuta allo sbandamento laterale
ksh	Coefficiente che tiene conto della forma della sezione trasversale nella verifica a torsione
Comb	Combinazione di carico: quando Comb non è sismica è individuata dal codice [C], quando è sismica è individuata dal codice [(Cx+Cy) Cm Sc].
- C	Individua la Combinazione di Carico non sismica (1, 2, ecc. come da scenario);
- Cx	Individua la Combinazione di Carico sismica in direzione x (SismaX, come da scenario);
- Cy	Individua la Combinazione di Carico sismica in direzione y (SismaY, come da scenario);
- Cm	Individua la Combinazione spostamento masse (I, II, III, IV, V, ecc. come da Combinazioni Sisma in Spostamento masse impalcato);
- Sc	Individua la sottocombinazione ottenuta mediante la permutazione dei segni (1, 2, 3, 4, 5, 6, 7, 8):
1)	$Sc = + SismaZ*fz + SismaX*fx + SismaY*fy$
2)	$Sc = + SismaZ*fz + SismaX*fx - SismaY*fy$

- 3) $Sc = + SismaZ*fz - SismaX*fx + SismaY*fy$
- 4) $Sc = + SismaZ*fz - SismaX*fx - SismaY*fy.$
- 5) $Sc = - SismaZ*fz + SismaX*fx + SismaY*fy$
- 6) $Sc = - SismaZ*fz + SismaX*fx - SismaY*fy$
- 7) $Sc = - SismaZ*fz - SismaX*fx + SismaY*fy$
- 8) $Sc = - SismaZ*fz - SismaX*fx - SismaY*fy.$

Le ultime quattro sono assenti quando non è richiesto il contributo del sisma in direzione verticale. Le combinazioni delle azioni sismiche così ottenute vengono combinate con i carichi verticali (come da scenario).

SF Coefficiente di sicurezza fornito dalla verifica

ζ_E Livello di sicurezza sismico definito come rapporto tra l'accelerazione sopportabile e l'accelerazione di progetto, quando richiesto dal criterio di verifica

Parametri verifica incendio (se richiesto):

d_{eff} Profondità zona carbonizzata

β_{char} Velocità di carbonizzazione

Asta: 104 [109,172]: Sez. R: b=20.0 cm, h=70.0 cm, L=60.8 cm, Crit.Prog: Legno_Tenso-Pressoflessione: **Verificato**

Verifica a pressoflessione (§4.4.8.1.8 - NTC, §7.6.1.2.3 - CNR DT 206/2018)

Parametri di verifica: $k_m=0.70$, $k_{h,y}=1.00$, $k_{h,z}=1.10$, $k_{crit,c}=1.00$, $k_{crit,m}=1.00$, $L_o=60.8\text{cm}$, $L_{eff}=54.7\text{cm}$

Instabilità di colonna: **Trascurabile**, Instabilità di trave: **Trascurabile**

x	Nd	Myd	Mzd	σ_{c0d}	σ_{myd}	σ_{mzd}	f_{c0d}	f_{myd}	f_{mzd}	Kmod	Comb.	SF
cm	kg	kg*m	kg*m	kg/cm q	kg/cm q	kg/cm q	kg/cm q	kg/cm q	kg/cm q			
0.0	-3018	7962	198	-2	49	4	133	149	164	0.9	3	2.9

Verifica a tensoflessione (§4.4.8.1.8 - NTC, §7.6.1.2.3 - CNR DT 206/2018)

Parametri di verifica: $k_m=0.70$, $k_h=0.98$, $k_{h,y}=1.00$, $k_{h,z}=1.10$, $k_{crit,m}=1.00$, $L_{eff}=54.7\text{cm}$

Instabilità di trave: **Trascurabile**

x	Nd	Myd	Mzd	σ_{t0d}	σ_{myd}	σ_{mzd}	f_{t0d}	f_{myd}	f_{mzd}	Kmod	Comb.	SF
cm	kg	kg*m	kg*m	kg/cm q	kg/cm q	kg/cm q	kg/cm q	kg/cm q	kg/cm q			
60.8	0	0	0	0	0	0	115	166	182	1	50	>100

Verifica a taglio (§4.4.8.1.9 - NTC)

x	Tyd	Tzd	τ_d	fvd	Kmod	Comb.	SF
cm	kg	kg	kg/cmq	kg/cmq			
0.0	355	7955	9	22	0.9	3	2.5

Verifica Incendio: R60(min), $d_{eff} = 4.9$ [cm], $\beta_{char} 0.70$ (mm/min), $b_{eff}=10.2$ cm, $h_{eff}=65.1$ cm

Verifica a pressoflessione (§4.4.8.1.8 - NTC, §7.6.1.2.3 - CNR DT 206/2018)

Parametri di verifica: $k_m=0.70$, $k_{h,y}=1.00$, $k_{h,z}=1.00$, $k_{crit,c}=1.00$, $k_{crit,m}=1.00$, $L_o=60.8\text{cm}$, $L_{eff}=54.7\text{cm}$

Instabilità di colonna: **Instabilità nel piano XY**, Instabilità di trave: **Trascurabile**

x	Nd	Myd	Mzd	σ_{c0d}	σ_{myd}	σ_{mzd}	f_{c0d}	f_{myd}	f_{mzd}	Kmod	Comb.	SF
cm	kg	kg*m	kg*m	kg/cm q	kg/cm q	kg/cm q	kg/cm q	kg/cm q	kg/cm q			
0.0	-1011	2701	16	-2	37	1	247	276	276	1	51	6.9

Verifica a taglio (§4.4.8.1.9 - NTC)

x	Tyd	Tzd	τ_d	fvd	Kmod	Comb.	SF
cm	kg	kg	kg/cmq	kg/cmq			
0.0	8	2773	6	40	1	51	6.4

Asta: 104 [108,198]: Sez. R: b=20.0 cm, h=70.0 cm, L=67.0 cm, Crit.Prog: Legno_Tenso-Pressoflessione: **Verificato**

Verifica a pressoflessione (§4.4.8.1.8 - NTC, §7.6.1.2.3 - CNR DT 206/2018)

Parametri di verifica: $k_m=0.70$, $k_{h,y}=1.00$, $k_{h,z}=1.10$, $k_{crit,c}=1.00$, $k_{crit,m}=1.00$, $L_o=67.0\text{cm}$, $L_{eff}=60.3\text{cm}$

Instabilità di colonna: **Trascurabile**, Instabilità di trave: **Trascurabile**

x	Nd	Myd	Mzd	σ_{c0d}	σ_{myd}	σ_{mzd}	f_{c0d}	f_{myd}	f_{mzd}	Kmod	Comb.	SF
cm	kg	kg*m	kg*m	kg/cm q	kg/cm q	kg/cm q	kg/cm q	kg/cm q	kg/cm q			
0.0	-1022	6029	536	-1	37	11	133	149	164	0.9	3	3.4

Verifica a tensoflessione (§4.4.8.1.8 - NTC, §7.6.1.2.3 - CNR DT 206/2018)

Parametri di verifica: $k_m=0.70$, $k_h=0.98$, $k_{h,y}=1.00$, $k_{h,z}=1.10$, $k_{crit,m}=1.00$, $L_{eff}=60.3\text{cm}$

Instabilità di trave: **Trascurabile**

x	Nd	Myd	Mzd	σ_{t0d}	σ_{myd}	σ_{mzd}	f_{t0d}	f_{myd}	f_{mzd}	Kmod	Comb.	SF
cm	kg	kg*m	kg*m	kg/cm q	kg/cm q	kg/cm q	kg/cm q	kg/cm q	kg/cm q			
0.0	838	2966	73	1	18	2	115	166	182	1	(16+17)-I-1	8.3

Verifica a taglio (§4.4.8.1.9 - NTC)

x	Tyd	Tzd	τ_d	fvd	Kmod	Comb.	SF
cm	kg	kg	kg/cmq	kg/cmq			
0.0	982	4795	5	22	0.9	3	4.1

Verifica Incendio: R60(min), $d_{eff} = 4.9$ [cm], $\beta_{char} 0.70$ (mm/min), $b_{eff}=10.2$ cm, $h_{eff}=65.1$ cm

Verifica a pressoflessione (§4.4.8.1.8 - NTC, §7.6.1.2.3 - CNR DT 206/2018)

Parametri di verifica: $k_m=0.70$, $k_{h,y}=1.00$, $k_{h,z}=1.00$, $k_{crit,c}=0.99$, $k_{crit,m}=1.00$, $L_o=67.0$ cm, $L_{eff}=60.3$ cm

Instabilità di colonna: **Instabilità nel piano XY**, Instabilità di trave: **Trascurabile**

x	Nd	Myd	Mzd	σ_{c0d}	σ_{myd}	σ_{mzd}	f_{c0d}	f_{myd}	f_{mzd}	Kmod	Comb.	SF
cm	kg	kg*m	kg*m	kg/cm q	kg/cm q	kg/cm q	kg/cm q	kg/cm q	kg/cm q			
0.0	-295	2100	186	-0	29	17	247	276	276	1	51	6.7

Verifica a taglio (§4.4.8.1.9 - NTC)

x	Tyd	Tzd	τ_d	fvd	Kmod	Comb.	SF
cm	kg	kg	kg/cmq	kg/cmq			
0.0	339	1674	4	40	1	51	10

Asta: 104 [107,171]: Sez. R: $b=20.0$ cm, $h=70.0$ cm, $L=462.5$ cm, Crit.Prog: Legno_Tenso-Pressoflessione: **Verificato**

Verifica a pressoflessione (§4.4.8.1.8 - NTC, §7.6.1.2.3 - CNR DT 206/2018)

Parametri di verifica: $k_m=0.70$, $k_{h,y}=1.00$, $k_{h,z}=1.10$, $k_{crit,c}=0.57$, $k_{crit,m}=1.00$, $L_o=462.5$ cm, $L_{eff}=416.2$ cm

Instabilità di colonna: **Instabilità nel piano XY**, Instabilità di trave: **Trascurabile**

x	Nd	Myd	Mzd	σ_{c0d}	σ_{myd}	σ_{mzd}	f_{c0d}	f_{myd}	f_{mzd}	Kmod	Comb.	SF
cm	kg	kg*m	kg*m	kg/cm q	kg/cm q	kg/cm q	kg/cm q	kg/cm q	kg/cm q			
0.0	-1757	4386	64	-1	27	1	133	149	164	0.9	3	4.9

Verifica a tensoflessione (§4.4.8.1.8 - NTC, §7.6.1.2.3 - CNR DT 206/2018)

Parametri di verifica: $k_m=0.70$, $k_{h,y}=1.00$, $k_{h,z}=1.10$, $k_{crit,m}=1.00$, $L_{eff}=416.2$ cm

Instabilità di trave: **Trascurabile**

x	Nd	Myd	Mzd	σ_{t0d}	σ_{myd}	σ_{mzd}	f_{t0d}	f_{myd}	f_{mzd}	Kmod	Comb.	SF
cm	kg	kg*m	kg*m	kg/cm q	kg/cm q	kg/cm q	kg/cm q	kg/cm q	kg/cm q			
0.0	859	2235	55	1	14	1	115	166	182	1	(16+17)-I-1	11

Verifica a taglio (§4.4.8.1.9 - NTC)

x	Tyd	Tzd	τ_d	fvd	Kmod	Comb.	SF
cm	kg	kg	kg/cmq	kg/cmq			
0.0	25	4859	5	22	0.9	3	4.2

Verifica Incendio: R60(min), $d_{eff} = 4.9$ [cm], $\beta_{char} 0.70$ (mm/min), $b_{eff}=10.2$ cm, $h_{eff}=65.1$ cm

Verifica a pressoflessione (§4.4.8.1.8 - NTC, §7.6.1.2.3 - CNR DT 206/2018)

Parametri di verifica: $k_m=0.70$, $k_{h,y}=1.00$, $k_{h,z}=1.00$, $k_{crit,c}=0.16$, $k_{crit,m}=0.82$, $L_o=462.5$ cm, $L_{eff}=416.2$ cm

Instabilità di colonna: **Instabilità nel piano XY**, Instabilità di trave: **Instabilità nel piano XY**

x	Nd	Myd	Mzd	σ_{c0d}	σ_{myd}	σ_{mzd}	f_{c0d}	f_{myd}	f_{mzd}	Kmod	Comb.	SF
cm	kg	kg*m	kg*m	kg/cm q	kg/cm q	kg/cm q	kg/cm q	kg/cm q	kg/cm q			
0.0	-524	1520	25	-1	21	2	247	276	276	1	51	8.5

Verifica a taglio (§4.4.8.1.9 - NTC)

x	Tyd	Tzd	τ_d	fvd	Kmod	Comb.	SF
cm	kg	kg	kg/cmq	kg/cmq			
0.0	10	1582	4	40	1	51	11

Asta: 105 [171,111]: Sez. R: $b=20.0$ cm, $h=70.0$ cm, $L=327.5$ cm, Crit.Prog: Legno_Tenso-Pressoflessione: **Verificato**

Verifica a pressoflessione (§4.4.8.1.8 - NTC, §7.6.1.2.3 - CNR DT 206/2018)

Parametri di verifica: $k_m=0.70$, $k_{h,y}=1.00$, $k_{h,z}=1.10$, $k_{crit,c}=0.86$, $k_{crit,m}=1.00$, $L_o=327.5$ cm, $L_{eff}=294.7$ cm

Instabilità di colonna: **Instabilità nel piano XY**, Instabilità di trave: **Trascurabile**

x	Nd	Myd	Mzd	σ_{c0d}	σ_{myd}	σ_{mzd}	f_{c0d}	f_{myd}	f_{mzd}	Kmod	Comb.	SF
---	----	-----	-----	----------------	----------------	----------------	-----------	-----------	-----------	------	-------	----

x	Nd	Myd	Mzd	σ_{c0d}	σ_{myd}	σ_{mzd}	f_{c0d}	f_{myd}	f_{mzd}	Kmod	Comb.	SF
cm	kg	kg*m	kg*m	kg/cm q	kg/cm q	kg/cm q	kg/cm q	kg/cm q	kg/cm q			
327.5	-963	4796	2	-1	29	0	133	149	164	0.9	3	4.9

Verifica a tensoflessione (§4.4.8.1.8 - NTC, §7.6.1.2.3 - CNR DT 206/2018)

Parametri di verifica: $k_m=0.70$, $k_h=0.98$, $k_{h,y}=1.00$, $k_{h,z}=1.10$, $k_{crit,m}=1.00$, $L_{eff}=294.7\text{cm}$

Instabilità di trave: **Trascurabile**

x	Nd	Myd	Mzd	σ_{t0d}	σ_{myd}	σ_{mzd}	f_{t0d}	f_{myd}	f_{mzd}	Kmod	Comb.	SF
cm	kg	kg*m	kg*m	kg/cm q	kg/cm q	kg/cm q	kg/cm q	kg/cm q	kg/cm q			
327.5	1082	2302	92	1	14	2	115	166	182	1	(16+17)-II-1	10

Verifica a taglio (§4.4.8.1.9 - NTC)

x	Tyd	Tzd	τ_d	fvd	Kmod	Comb.	SF
cm	kg	kg	kg/cmq	kg/cmq			
327.5	2	3690	4	22	0.9	3	5.5

Verifica Incendio: $R_{60}(\text{min})$, $d_{eff} = 4.9$ [cm], $\beta_{char} 0.70$ (mm/min), $b_{eff}=10.2$ cm, $h_{eff}=65.1$ cm

Verifica a pressoflessione (§4.4.8.1.8 - NTC, §7.6.1.2.3 - CNR DT 206/2018)

Parametri di verifica: $k_m=0.70$, $k_h=1.00$, $k_{h,y}=1.00$, $k_{h,z}=1.00$, $k_{crit,c}=0.32$, $k_{crit,m}=0.94$, $L_o=327.5\text{cm}$, $L_{eff}=294.7\text{cm}$

Instabilità di colonna: **Instabilità nel piano XY**, Instabilità di trave: **Instabilità nel piano XY**

x	Nd	Myd	Mzd	σ_{c0d}	σ_{myd}	σ_{mzd}	f_{c0d}	f_{myd}	f_{mzd}	Kmod	Comb.	SF
cm	kg	kg*m	kg*m	kg/cm q	kg/cm q	kg/cm q	kg/cm q	kg/cm q	kg/cm q			
327.5	-241	1650	4	-0	23	0	247	276	276	1	51	11

Verifica a taglio (§4.4.8.1.9 - NTC)

x	Tyd	Tzd	τ_d	fvd	Kmod	Comb.	SF
cm	kg	kg	kg/cmq	kg/cmq			
327.5	3	1271	3	40	1	51	14

Asta: 105 [111,117]: Sez. R: $b=20.0$ cm, $h=70.0$ cm, $L=590.0$ cm, Crit.Prog: Legno_Tenso-Pressoflessione: **Verificato**

Verifica a pressoflessione (§4.4.8.1.8 - NTC, §7.6.1.2.3 - CNR DT 206/2018)

Parametri di verifica: $k_m=0.70$, $k_h=1.00$, $k_{h,y}=1.00$, $k_{h,z}=1.10$, $k_{crit,c}=0.37$, $k_{crit,m}=1.00$, $L_o=590.0\text{cm}$, $L_{eff}=531.0\text{cm}$

Instabilità di colonna: **Instabilità nel piano XY**, Instabilità di trave: **Trascurabile**

x	Nd	Myd	Mzd	σ_{c0d}	σ_{myd}	σ_{mzd}	f_{c0d}	f_{myd}	f_{mzd}	Kmod	Comb.	SF
cm	kg	kg*m	kg*m	kg/cm q	kg/cm q	kg/cm q	kg/cm q	kg/cm q	kg/cm q			
590.0	-788	5951	59	-1	36	1	133	149	164	0.9	3	3.8

Verifica a tensoflessione (§4.4.8.1.8 - NTC, §7.6.1.2.3 - CNR DT 206/2018)

Parametri di verifica: $k_m=0.70$, $k_h=0.98$, $k_{h,y}=1.00$, $k_{h,z}=1.10$, $k_{crit,m}=1.00$, $L_{eff}=531.0\text{cm}$

Instabilità di trave: **Trascurabile**

x	Nd	Myd	Mzd	σ_{t0d}	σ_{myd}	σ_{mzd}	f_{t0d}	f_{myd}	f_{mzd}	Kmod	Comb.	SF
cm	kg	kg*m	kg*m	kg/cm q	kg/cm q	kg/cm q	kg/cm q	kg/cm q	kg/cm q			
590.0	1547	3151	21	1	19	0	115	166	182	1	(16+17)-II-1	7.8

Verifica a taglio (§4.4.8.1.9 - NTC)

x	Tyd	Tzd	τ_d	fvd	Kmod	Comb.	SF
cm	kg	kg	kg/cmq	kg/cmq			
590.0	11	5383	6	22	0.9	3	3.8

Verifica Incendio: $R_{60}(\text{min})$, $d_{eff} = 4.9$ [cm], $\beta_{char} 0.70$ (mm/min), $b_{eff}=10.2$ cm, $h_{eff}=65.1$ cm

Verifica a pressoflessione (§4.4.8.1.8 - NTC, §7.6.1.2.3 - CNR DT 206/2018)

Parametri di verifica: $k_m=0.70$, $k_h=1.00$, $k_{h,y}=1.00$, $k_{h,z}=1.00$, $k_{crit,c}=0.10$, $k_{crit,m}=0.73$, $L_o=590.0\text{cm}$, $L_{eff}=531.0\text{cm}$

Instabilità di colonna: **Instabilità nel piano XY**, Instabilità di trave: **Instabilità nel piano XY**

x	Nd	Myd	Mzd	σ_{c0d}	σ_{myd}	σ_{mzd}	f_{c0d}	f_{myd}	f_{mzd}	Kmod	Comb.	SF
---	----	-----	-----	----------------	----------------	----------------	-----------	-----------	-----------	------	-------	----

x	Nd	Myd	Mzd	σ_{c0d}	σ_{myd}	σ_{mzd}	f_{c0d}	f_{myd}	f_{mzd}	Kmod	Comb.	SF
cm	kg	kg*m	kg*m	kg/cm q	kg/cm q	kg/cm q	kg/cm q	kg/cm q	kg/cm q			
590.0	-95	2421	44	-0	34	4	247	276	276	1	51	5.5

Verifica a taglio (§4.4.8.1.9 - NTC)

x	Tyd	Tzd	τ_d	fvd	Kmod	Comb.	SF
cm	kg	kg	kg/cmq	kg/cmq			
590.0	9	1808	4	40	1	51	9.9

Asta: 105 [117,0]: Sez. R: b=20.0 cm, h=70.0 cm, L=73.8 cm, Crit.Prog: Legno_Tenso-Pressoflessione:
Verificato

Verifica a pressoflessione (§4.4.8.1.8 - NTC, §7.6.1.2.3 - CNR DT 206/2018)

Parametri di verifica: $k_m=0.70$, $k_{h,y}=1.00$, $k_{h,z}=1.10$, $k_{crit,c}=1.00$, $k_{crit,m}=1.00$, $L_o=73.8\text{cm}$, $L_{eff}=66.4\text{cm}$

Instabilità di colonna: **Trascurabile**, Instabilità di trave: **Trascurabile**

x	Nd	Myd	Mzd	σ_{c0d}	σ_{myd}	σ_{mzd}	f_{c0d}	f_{myd}	f_{mzd}	Kmod	Comb.	SF
cm	kg	kg*m	kg*m	kg/cm q	kg/cm q	kg/cm q	kg/cm q	kg/cm q	kg/cm q			
0.0	-749	5161	462	-1	32	10	89	99	109	0.6	1	2.6

Verifica a tensoflessione (§4.4.8.1.8 - NTC, §7.6.1.2.3 - CNR DT 206/2018)

Parametri di verifica: $k_m=0.70$, $k_h=0.98$, $k_{h,y}=1.00$, $k_{h,z}=1.10$, $k_{crit,m}=1.00$, $L_{eff}=66.4\text{cm}$

Instabilità di trave: **Trascurabile**

x	Nd	Myd	Mzd	σ_{t0d}	σ_{myd}	σ_{mzd}	f_{t0d}	f_{myd}	f_{mzd}	Kmod	Comb.	SF
cm	kg	kg*m	kg*m	kg/cm q	kg/cm q	kg/cm q	kg/cm q	kg/cm q	kg/cm q			
0.0	509	4471	1368	0	27	29	115	166	182	1	(16+17)-I-1	3.6

Verifica a taglio (§4.4.8.1.9 - NTC)

x	Tyd	Tzd	τ_d	fvd	Kmod	Comb.	SF
cm	kg	kg	kg/cmq	kg/cmq			
0.0	737	5317	6	14	0.6	1	2.5

Verifica Incendio: R60(min), $d_{eff} = 4.9$ [cm], $\beta_{char} 0.70$ (mm/min), $b_{eff}=10.2$ cm, $h_{eff}=65.1$ cm

Verifica a pressoflessione (§4.4.8.1.8 - NTC, §7.6.1.2.3 - CNR DT 206/2018)

Parametri di verifica: $k_m=0.70$, $k_{h,y}=1.00$, $k_{h,z}=1.00$, $k_{crit,c}=0.99$, $k_{crit,m}=1.00$, $L_o=73.8\text{cm}$, $L_{eff}=66.4\text{cm}$

Instabilità di colonna: **Instabilità nel piano XY**, Instabilità di trave: **Trascurabile**

x	Nd	Myd	Mzd	σ_{c0d}	σ_{myd}	σ_{mzd}	f_{c0d}	f_{myd}	f_{mzd}	Kmod	Comb.	SF
cm	kg	kg*m	kg*m	kg/cm q	kg/cm q	kg/cm q	kg/cm q	kg/cm q	kg/cm q			
0.0	-551	3824	343	-1	53	30	247	276	276	1	51	3.7

Verifica a taglio (§4.4.8.1.9 - NTC)

x	Tyd	Tzd	τ_d	fvd	Kmod	Comb.	SF
cm	kg	kg	kg/cmq	kg/cmq			
0.0	547	3950	9	40	1	51	4.5

Asta: 105 [124,0]: Sez. R: b=20.0 cm, h=70.0 cm, L=75.0 cm, Crit.Prog: Legno_Tenso-Pressoflessione:
Verificato

Verifica a pressoflessione (§4.4.8.1.8 - NTC, §7.6.1.2.3 - CNR DT 206/2018)

Parametri di verifica: $k_m=0.70$, $k_{h,y}=1.00$, $k_{h,z}=1.10$, $k_{crit,c}=1.00$, $k_{crit,m}=1.00$, $L_o=75.0\text{cm}$, $L_{eff}=67.5\text{cm}$

Instabilità di colonna: **Trascurabile**, Instabilità di trave: **Trascurabile**

x	Nd	Myd	Mzd	σ_{c0d}	σ_{myd}	σ_{mzd}	f_{c0d}	f_{myd}	f_{mzd}	Kmod	Comb.	SF
cm	kg	kg*m	kg*m	kg/cm q	kg/cm q	kg/cm q	kg/cm q	kg/cm q	kg/cm q			
0.0	-595	5779	450	-0	35	10	133	149	164	0.9	3	3.6

Verifica a tensoflessione (§4.4.8.1.8 - NTC, §7.6.1.2.3 - CNR DT 206/2018)

Parametri di verifica: $k_m=0.70$, $k_h=0.98$, $k_{h,y}=1.00$, $k_{h,z}=1.10$, $k_{crit,m}=1.00$, $L_{eff}=67.5\text{cm}$

Instabilità di trave: **Trascurabile**

x	Nd	Myd	Mzd	σ_{t0d}	σ_{myd}	σ_{mzd}	f_{t0d}	f_{myd}	f_{mzd}	Kmod	Comb.	SF
cm	kg	kg*m	kg*m	kg/cm q	kg/cm q	kg/cm q	kg/cm q	kg/cm q	kg/cm q			
0.0	6	3194	280	0	20	6	69	99	109	0.6	1	4.2

Verifica a taglio (§4.4.8.1.9 - NTC)

x	Tyd	Tzd	τ_d	fvd	Kmod	Comb.	SF
cm	kg	kg	kg/cmq	kg/cmq			
0.0	596	4527	5	22	0.9	3	4.4

Verifica Incendio: R60(min), $d_{eff} = 4.9$ [cm], $\beta_{char} 0.70$ (mm/min), $b_{eff}=10.2$ cm, $h_{eff}=65.1$ cm

Verifica a tensoflessione (§4.4.8.1.8 - NTC, §7.6.1.2.3 - CNR DT 206/2018)

Parametri di verifica: $k_m=0.70$, $k_h=1.00$, $k_{h,y}=1.00$, $k_{h,z}=1.00$, $k_{crit,m}=1.00$, $L_{eff}=67.5\text{cm}$

Instabilità di trave: **Trascurabile**

x	Nd	Myd	Mzd	σ_{t0d}	σ_{myd}	σ_{mzd}	f_{t0d}	f_{myd}	f_{mzd}	Kmod	Comb.	SF
cm	kg	kg*m	kg*m	kg/cm q	kg/cm q	kg/cm q	kg/cm q	kg/cm q	kg/cm q			
0.0	12	2370	207	0	33	18	195	276	276	1	51	6.0

Verifica a taglio (§4.4.8.1.9 - NTC)

x	Tyd	Tzd	τ_d	fvd	Kmod	Comb.	SF
cm	kg	kg	kg/cmq	kg/cmq			
0.0	247	1581	4	40	1	51	11

Asta: 105 [131,0]: Sez. R: $b=20.0$ cm, $h=70.0$ cm, $L=107.1$ cm, Crit.Prog: Legno_Tenso-Pressoflessione: **Verificato**

Verifica a pressoflessione (§4.4.8.1.8 - NTC, §7.6.1.2.3 - CNR DT 206/2018)

Parametri di verifica: $k_m=0.70$, $k_{h,y}=1.00$, $k_{h,z}=1.10$, $k_{crit,c}=1.00$, $k_{crit,m}=1.00$, $L_o=107.1\text{cm}$, $L_{eff}=96.4\text{cm}$

Instabilità di colonna: **Trascurabile**, Instabilità di trave: **Trascurabile**

x	Nd	Myd	Mzd	σ_{c0d}	σ_{myd}	σ_{mzd}	f_{c0d}	f_{myd}	f_{mzd}	Kmod	Comb.	SF
cm	kg	kg*m	kg*m	kg/cm q	kg/cm q	kg/cm q	kg/cm q	kg/cm q	kg/cm q			
0.0	-511	3840	171	-0	24	4	133	149	164	0.9	3	5.8

Verifica a tensoflessione (§4.4.8.1.8 - NTC, §7.6.1.2.3 - CNR DT 206/2018)

Parametri di verifica: $k_m=0.70$, $k_h=0.98$, $k_{h,y}=1.00$, $k_{h,z}=1.10$, $k_{crit,m}=1.00$, $L_{eff}=96.4\text{cm}$

Instabilità di trave: **Trascurabile**

x	Nd	Myd	Mzd	σ_{t0d}	σ_{myd}	σ_{mzd}	f_{t0d}	f_{myd}	f_{mzd}	Kmod	Comb.	SF
cm	kg	kg*m	kg*m	kg/cm q	kg/cm q	kg/cm q	kg/cm q	kg/cm q	kg/cm q			
0.0	39	1486	67	0	9	1	69	99	109	0.6	1	9.9

Verifica a taglio (§4.4.8.1.9 - NTC)

x	Tyd	Tzd	τ_d	fvd	Kmod	Comb.	SF
cm	kg	kg	kg/cmq	kg/cmq			
0.0	224	3443	4	22	0.9	3	5.9

Verifica Incendio: R60(min), $d_{eff} = 4.9$ [cm], $\beta_{char} 0.70$ (mm/min), $b_{eff}=10.2$ cm, $h_{eff}=65.1$ cm

Verifica a tensoflessione (§4.4.8.1.8 - NTC, §7.6.1.2.3 - CNR DT 206/2018)

Parametri di verifica: $k_m=0.70$, $k_h=1.00$, $k_{h,y}=1.00$, $k_{h,z}=1.00$, $k_{crit,m}=1.00$, $L_{eff}=96.4\text{cm}$

Instabilità di trave: **Trascurabile**

x	Nd	Myd	Mzd	σ_{t0d}	σ_{myd}	σ_{mzd}	f_{t0d}	f_{myd}	f_{mzd}	Kmod	Comb.	SF
cm	kg	kg*m	kg*m	kg/cm q	kg/cm q	kg/cm q	kg/cm q	kg/cm q	kg/cm q			
0.0	38	1097	50	0	15	4	195	276	276	1	51	15

Verifica a taglio (§4.4.8.1.9 - NTC)

x	Tyd	Tzd	τ_d	fvd	Kmod	Comb.	SF
---	-----	-----	----------	-----	------	-------	----

x	Tyd	Tzd	τ_d	fvd	Kmod	Comb.	SF
cm	kg	kg	kg/cm ^q	kg/cm ^q			
0.0	63	1040	2	40	1	51	17

Asta: 106 [140,0]: Sez. R: b=20.0 cm, h=70.0 cm, L=96.0 cm, Crit.Prog: Legno_Tenso-Pressoflessione:
Verificato

Verifica a pressoflessione (§4.4.8.1.8 - NTC, §7.6.1.2.3 - CNR DT 206/2018)

Parametri di verifica: km=0.70, kh,y=1.00, kh,z=1.10, kcrit,c=1.00, kcrit,m=1.00, Lo=96.0cm, Leff=86.4cm

Instabilità di colonna: **Trascurabile**, Instabilità di trave: **Trascurabile**

x	Nd	Myd	Mzd	σ_{c0d}	σ_{myd}	σ_{mzd}	fc0d	fmyd	fmzd	Kmod	Comb.	SF
cm	kg	kg*m	kg*m	kg/cm ^q	kg/cm ^q	kg/cm ^q	kg/cm ^q	kg/cm ^q	kg/cm ^q			
0.0	-413	3000	207	-0	18	4	133	149	164	0.9	3	7.0

Verifica a tensoflessione (§4.4.8.1.8 - NTC, §7.6.1.2.3 - CNR DT 206/2018)

Parametri di verifica: km=0.70, kh=0.98, kh,y=1.00, kh,z=1.10, kcrit,m=1.00, Leff=86.4cm

Instabilità di trave: **Trascurabile**

x	Nd	Myd	Mzd	σ_{t0d}	σ_{myd}	σ_{mzd}	ft0d	fmyd	fmzd	Kmod	Comb.	SF
cm	kg	kg*m	kg*m	kg/cm ^q	kg/cm ^q	kg/cm ^q	kg/cm ^q	kg/cm ^q	kg/cm ^q			
0.0	84	1146	71	0	7	2	69	99	109	0.6	1	12

Verifica a taglio (§4.4.8.1.9 - NTC)

x	Tyd	Tzd	τ_d	fvd	Kmod	Comb.	SF
cm	kg	kg	kg/cm ^q	kg/cm ^q			
0.0	200	3193	3	22	0.9	3	6.3

Verifica Incendio: R60(min), d_eff = 4.9 [cm], β_{char} 0.70 (mm/min), b_eff=10.2 cm, h_eff=65.1 cm

Verifica a tensoflessione (§4.4.8.1.8 - NTC, §7.6.1.2.3 - CNR DT 206/2018)

Parametri di verifica: km=0.70, kh=1.00, kh,y=1.00, kh,z=1.00, kcrit,m=1.00, Leff=86.4cm

Instabilità di trave: **Trascurabile**

x	Nd	Myd	Mzd	σ_{t0d}	σ_{myd}	σ_{mzd}	ft0d	fmyd	fmzd	Kmod	Comb.	SF
cm	kg	kg*m	kg*m	kg/cm ^q	kg/cm ^q	kg/cm ^q	kg/cm ^q	kg/cm ^q	kg/cm ^q			
0.0	70	845	52	0	12	5	195	276	276	1	51	18

Verifica a taglio (§4.4.8.1.9 - NTC)

x	Tyd	Tzd	τ_d	fvd	Kmod	Comb.	SF
cm	kg	kg	kg/cm ^q	kg/cm ^q			
0.0	48	969	2	40	1	51	18

Asta: 106 [146,0]: Sez. R: b=20.0 cm, h=70.0 cm, L=111.4 cm, Crit.Prog: Legno_Tenso-Pressoflessione:
Verificato

Verifica a pressoflessione (§4.4.8.1.8 - NTC, §7.6.1.2.3 - CNR DT 206/2018)

Parametri di verifica: km=0.70, kh,y=1.00, kh,z=1.10, kcrit,c=1.00, kcrit,m=1.00, Lo=111.4cm, Leff=100.3cm

Instabilità di colonna: **Trascurabile**, Instabilità di trave: **Trascurabile**

x	Nd	Myd	Mzd	σ_{c0d}	σ_{myd}	σ_{mzd}	fc0d	fmyd	fmzd	Kmod	Comb.	SF
cm	kg	kg*m	kg*m	kg/cm ^q	kg/cm ^q	kg/cm ^q	kg/cm ^q	kg/cm ^q	kg/cm ^q			
0.0	-429	3959	150	-0	24	3	133	149	164	0.9	3	5.7

Verifica a tensoflessione (§4.4.8.1.8 - NTC, §7.6.1.2.3 - CNR DT 206/2018)

Parametri di verifica: km=0.70, kh=0.98, kh,y=1.00, kh,z=1.10, kcrit,m=1.00, Leff=100.3cm

Instabilità di trave: **Trascurabile**

x	Nd	Myd	Mzd	σ_{t0d}	σ_{myd}	σ_{mzd}	ft0d	fmyd	fmzd	Kmod	Comb.	SF
cm	kg	kg*m	kg*m	kg/cm ^q	kg/cm ^q	kg/cm ^q	kg/cm ^q	kg/cm ^q	kg/cm ^q			
0.0	70	1591	75	0	10	2	69	99	109	0.6	1	9.2

Verifica a taglio (§4.4.8.1.9 - NTC)

x	T _{yd}	T _{zd}	τ _d	f _{vd}	K _{mod}	Comb.	SF
cm	kg	kg	kg/cmq	kg/cmq			
0.0	201	3493	4	22	0.9	3	5.8

Verifica Incendio: R60(min), d_{eff} = 4.9 [cm], β_{char} 0.70 (mm/min), b_{eff}=10.2 cm, h_{eff}=65.1 cm

Verifica a tensoflessione (§4.4.8.1.8 - NTC, §7.6.1.2.3 - CNR DT 206/2018)

Parametri di verifica: k_m=0.70, k_h=1.00, k_{h,y}=1.00, k_{h,z}=1.00, k_{crit,m}=1.00, L_{eff}=100.3cmInstabilità di trave: **Trascurabile**

x	N _d	M _{yd}	M _{zd}	σ _{t0d}	σ _{myd}	σ _{mzd}	f _{t0d}	f _{myd}	f _{mzd}	K _{mod}	Comb.	SF
cm	kg	kg*m	kg*m	kg/cm q	kg/cm q	kg/cm q	kg/cm q	kg/cm q	kg/cm q			
0.0	58	1175	55	0	16	5	195	276	276	1	51	14

Verifica a taglio (§4.4.8.1.9 - NTC)

x	T _{yd}	T _{zd}	τ _d	f _{vd}	K _{mod}	Comb.	SF
cm	kg	kg	kg/cmq	kg/cmq			
0.0	73	1075	2	40	1	51	17

Asta: 106 [151,0]: Sez. R: b=20.0 cm, h=70.0 cm, L=88.0 cm, Crit.Prog: Legno_Tenso-Pressoflessione: **Verificato**

Verifica a pressoflessione (§4.4.8.1.8 - NTC, §7.6.1.2.3 - CNR DT 206/2018)

Parametri di verifica: k_m=0.70, k_{h,y}=1.00, k_{h,z}=1.10, k_{crit,c}=1.00, k_{crit,m}=1.00, L_o=88.0cm, L_{eff}=79.2cmInstabilità di colonna: **Trascurabile**, Instabilità di trave: **Trascurabile**

x	N _d	M _{yd}	M _{zd}	σ _{c0d}	σ _{myd}	σ _{mzd}	f _{c0d}	f _{myd}	f _{mzd}	K _{mod}	Comb.	SF
cm	kg	kg*m	kg*m	kg/cm q	kg/cm q	kg/cm q	kg/cm q	kg/cm q	kg/cm q			
0.0	-285	2715	147	-0	17	3	133	149	164	0.9	3	8.0

Verifica a tensoflessione (§4.4.8.1.8 - NTC, §7.6.1.2.3 - CNR DT 206/2018)

Parametri di verifica: k_m=0.70, k_h=0.98, k_{h,y}=1.00, k_{h,z}=1.10, k_{crit,m}=1.00, L_{eff}=79.2cmInstabilità di trave: **Trascurabile**

x	N _d	M _{yd}	M _{zd}	σ _{t0d}	σ _{myd}	σ _{mzd}	f _{t0d}	f _{myd}	f _{mzd}	K _{mod}	Comb.	SF
cm	kg	kg*m	kg*m	kg/cm q	kg/cm q	kg/cm q	kg/cm q	kg/cm q	kg/cm q			
0.0	152	1035	61	0	6	1	69	99	109	0.6	1	14

Verifica a taglio (§4.4.8.1.9 - NTC)

x	T _{yd}	T _{zd}	τ _d	f _{vd}	K _{mod}	Comb.	SF
cm	kg	kg	kg/cmq	kg/cmq			
0.0	158	2778	3	22	0.9	3	7.3

Verifica Incendio: R60(min), d_{eff} = 4.9 [cm], β_{char} 0.70 (mm/min), b_{eff}=10.2 cm, h_{eff}=65.1 cm

Verifica a tensoflessione (§4.4.8.1.8 - NTC, §7.6.1.2.3 - CNR DT 206/2018)

Parametri di verifica: k_m=0.70, k_h=1.00, k_{h,y}=1.00, k_{h,z}=1.00, k_{crit,m}=1.00, L_{eff}=79.2cmInstabilità di trave: **Trascurabile**

x	N _d	M _{yd}	M _{zd}	σ _{t0d}	σ _{myd}	σ _{mzd}	f _{t0d}	f _{myd}	f _{mzd}	K _{mod}	Comb.	SF
cm	kg	kg*m	kg*m	kg/cm q	kg/cm q	kg/cm q	kg/cm q	kg/cm q	kg/cm q			
0.0	119	764	45	0	11	4	195	276	276	1	51	20

Verifica a taglio (§4.4.8.1.9 - NTC)

x	T _{yd}	T _{zd}	τ _d	f _{vd}	K _{mod}	Comb.	SF
cm	kg	kg	kg/cmq	kg/cmq			
0.0	48	803	2	40	1	51	22

Asta: 107 [115,183]: Sez. R: b=20.0 cm, h=70.0 cm, L=74.1 cm, Crit.Prog: Legno_Tenso-Pressoflessione: **Verificato**

Verifica a pressoflessione (§4.4.8.1.8 - NTC, §7.6.1.2.3 - CNR DT 206/2018)

Parametri di verifica: $k_m=0.70$, $k_{h,y}=1.00$, $k_{h,z}=1.10$, $k_{crit,c}=1.00$, $k_{crit,m}=1.00$, $L_o=74.1\text{cm}$, $L_{eff}=66.7\text{cm}$

Instabilità di colonna: **Trascurabile**, Instabilità di trave: **Trascurabile**

x	Nd	Myd	Mzd	σ_{c0d}	σ_{myd}	σ_{mzd}	f_{c0d}	f_{myd}	f_{mzd}	Kmod	Comb.	SF
cm	kg	kg*m	kg*m	kg/cm q	kg/cm q	kg/cm q	kg/cm q	kg/cm q	kg/cm q			
0.0	-543	2175	100	-0	13	2	148	166	182	1	(16+17)-I-1	11

Verifica a tensoflessione (§4.4.8.1.8 - NTC, §7.6.1.2.3 - CNR DT 206/2018)

Parametri di verifica: $k_m=0.70$, $k_h=0.98$, $k_{h,y}=1.00$, $k_{h,z}=1.10$, $k_{crit,m}=1.00$, $L_{eff}=66.7\text{cm}$

Instabilità di trave: **Trascurabile**

x	Nd	Myd	Mzd	σ_{t0d}	σ_{myd}	σ_{mzd}	f_{t0d}	f_{myd}	f_{mzd}	Kmod	Comb.	SF
cm	kg	kg*m	kg*m	kg/cm q	kg/cm q	kg/cm q	kg/cm q	kg/cm q	kg/cm q			
66.7	145	1593	66	0	10	1	115	166	182	1	(16+17)-I-3	15

Verifica a taglio (§4.4.8.1.9 - NTC)

x	Tyd	Tzd	τ_d	fvd	Kmod	Comb.	SF
cm	kg	kg	kg/cmq	kg/cmq			
0.0	469	4176	5	22	0.9	3	4.8

Verifica Incendio: R60(min), $d_{eff} = 4.9$ [cm], $\beta_{char} 0.70$ (mm/min), $b_{eff}=10.2$ cm, $h_{eff}=65.1$ cm

Verifica a pressoflessione (§4.4.8.1.8 - NTC, §7.6.1.2.3 - CNR DT 206/2018)

Parametri di verifica: $k_m=0.70$, $k_{h,y}=1.00$, $k_{h,z}=1.00$, $k_{crit,c}=0.99$, $k_{crit,m}=1.00$, $L_o=74.1\text{cm}$, $L_{eff}=66.7\text{cm}$

Instabilità di colonna: **Instabilità nel piano XY**, Instabilità di trave: **Trascurabile**

x	Nd	Myd	Mzd	σ_{c0d}	σ_{myd}	σ_{mzd}	f_{c0d}	f_{myd}	f_{mzd}	Kmod	Comb.	SF
cm	kg	kg*m	kg*m	kg/cm q	kg/cm q	kg/cm q	kg/cm q	kg/cm q	kg/cm q			
74.1	-200	499	44	-0	7	4	247	276	276	1	51	28

Verifica a taglio (§4.4.8.1.9 - NTC)

x	Tyd	Tzd	τ_d	fvd	Kmod	Comb.	SF
cm	kg	kg	kg/cmq	kg/cmq			
0.0	99	1424	3	40	1	51	12

Asta: 107 [114,189]: Sez. R: $b=20.0$ cm, $h=70.0$ cm, $L=74.3$ cm, Crit.Prog: Legno_Tenso-Pressoflessione: **Verificato**

Verifica a pressoflessione (§4.4.8.1.8 - NTC, §7.6.1.2.3 - CNR DT 206/2018)

Parametri di verifica: $k_m=0.70$, $k_{h,y}=1.00$, $k_{h,z}=1.10$, $k_{crit,c}=1.00$, $k_{crit,m}=1.00$, $L_o=74.3\text{cm}$, $L_{eff}=66.9\text{cm}$

Instabilità di colonna: **Trascurabile**, Instabilità di trave: **Trascurabile**

x	Nd	Myd	Mzd	σ_{c0d}	σ_{myd}	σ_{mzd}	f_{c0d}	f_{myd}	f_{mzd}	Kmod	Comb.	SF
cm	kg	kg*m	kg*m	kg/cm q	kg/cm q	kg/cm q	kg/cm q	kg/cm q	kg/cm q			
0.0	-1780	9186	408	-1	56	9	133	149	164	0.9	3	2.4

Verifica a tensoflessione (§4.4.8.1.8 - NTC, §7.6.1.2.3 - CNR DT 206/2018)

Parametri di verifica: $k_m=0.70$, $k_h=0.98$, $k_{h,y}=1.00$, $k_{h,z}=1.10$, $k_{crit,m}=1.00$, $L_{eff}=66.9\text{cm}$

Instabilità di trave: **Trascurabile**

x	Nd	Myd	Mzd	σ_{t0d}	σ_{myd}	σ_{mzd}	f_{t0d}	f_{myd}	f_{mzd}	Kmod	Comb.	SF
cm	kg	kg*m	kg*m	kg/cm q	kg/cm q	kg/cm q	kg/cm q	kg/cm q	kg/cm q			
0.0	250	1768	98	0	11	2	115	166	182	1	(16+17)-I-3	13

Verifica a taglio (§4.4.8.1.9 - NTC)

x	Tyd	Tzd	τ_d	fvd	Kmod	Comb.	SF
cm	kg	kg	kg/cmq	kg/cmq			
0.0	522	7958	9	22	0.9	3	2.5

Verifica Incendio: R60(min), $d_{eff} = 4.9$ [cm], $\beta_{char} 0.70$ (mm/min), $b_{eff}=10.2$ cm, $h_{eff}=65.1$ cm

Verifica a pressoflessione (§4.4.8.1.8 - NTC, §7.6.1.2.3 - CNR DT 206/2018)

Parametri di verifica: $k_m=0.70$, $k_{h,y}=1.00$, $k_{h,z}=1.00$, $k_{crit,c}=0.99$, $k_{crit,m}=1.00$, $L_o=74.3\text{cm}$, $L_{eff}=66.9\text{cm}$

Instabilità di colonna: **Instabilità nel piano XY**, Instabilità di trave: **Trascurabile**

x	Nd	Myd	Mzd	σ_{c0d}	σ_{myd}	σ_{mzd}	f_{c0d}	f_{myd}	f_{mzd}	Kmod	Comb.	SF
cm	kg	kg*m	kg*m	kg/cm q	kg/cm q	kg/cm q	kg/cm q	kg/cm q	kg/cm q			
0.0	-614	3163	131	-1	44	12	247	276	276	1	51	5.2

Verifica a taglio (§4.4.8.1.9 - NTC)

x	Tyd	Tzd	τ_d	fvd	Kmod	Comb.	SF
cm	kg	kg	kg/cmq	kg/cmq			
0.0	166	2729	6	40	1	51	6.5

Asta: 108 [113,118]: Sez. R: $b=20.0\text{ cm}$, $h=70.0\text{ cm}$, $L=227.5\text{ cm}$, Crit.Prog: Legno_Tenso-Pressoflessione: **Verificato**

Verifica a pressoflessione (§4.4.8.1.8 - NTC, §7.6.1.2.3 - CNR DT 206/2018)

Parametri di verifica: $k_m=0.70$, $k_{h,y}=1.00$, $k_{h,z}=1.10$, $k_{crit,c}=0.95$, $k_{crit,m}=1.00$, $L_o=227.5\text{cm}$, $L_{eff}=204.8\text{cm}$

Instabilità di colonna: **Instabilità nel piano XY**, Instabilità di trave: **Trascurabile**

x	Nd	Myd	Mzd	σ_{c0d}	σ_{myd}	σ_{mzd}	f_{c0d}	f_{myd}	f_{mzd}	Kmod	Comb.	SF
cm	kg	kg*m	kg*m	kg/cm q	kg/cm q	kg/cm q	kg/cm q	kg/cm q	kg/cm q			
227.5	-1083	1876	693	-1	11	15	148	166	182	1	(16+17)-I-3	7.4

Verifica a tensoflessione (§4.4.8.1.8 - NTC, §7.6.1.2.3 - CNR DT 206/2018)

Parametri di verifica: $k_m=0.70$, $k_h=0.98$, $k_{h,y}=1.00$, $k_{h,z}=1.10$, $k_{crit,m}=1.00$, $L_{eff}=204.8\text{cm}$

Instabilità di trave: **Trascurabile**

x	Nd	Myd	Mzd	σ_{t0d}	σ_{myd}	σ_{mzd}	f_{t0d}	f_{myd}	f_{mzd}	Kmod	Comb.	SF
cm	kg	kg*m	kg*m	kg/cm q	kg/cm q	kg/cm q	kg/cm q	kg/cm q	kg/cm q			
227.5	1252	3276	212	1	20	5	115	166	182	1	(16+17)-II-1	6.8

Verifica a taglio (§4.4.8.1.9 - NTC)

x	Tyd	Tzd	τ_d	fvd	Kmod	Comb.	SF
cm	kg	kg	kg/cmq	kg/cmq			
227.5	134	2538	3	24	1	(16+17)-II-1	8.9

Verifica Incendio: R60(min), $d_{eff} = 4.9\text{ [cm]}$, $\beta_{char} = 0.70\text{ (mm/min)}$, $b_{eff}=10.2\text{ cm}$, $h_{eff}=65.1\text{ cm}$

Verifica a tensoflessione (§4.4.8.1.8 - NTC, §7.6.1.2.3 - CNR DT 206/2018)

Parametri di verifica: $k_m=0.70$, $k_h=1.00$, $k_{h,y}=1.00$, $k_{h,z}=1.00$, $k_{crit,m}=1.00$, $L_{eff}=204.8\text{cm}$

Instabilità di trave: **Trascurabile**

x	Nd	Myd	Mzd	σ_{t0d}	σ_{myd}	σ_{mzd}	f_{t0d}	f_{myd}	f_{mzd}	Kmod	Comb.	SF
cm	kg	kg*m	kg*m	kg/cm q	kg/cm q	kg/cm q	kg/cm q	kg/cm q	kg/cm q			
0.0	505	602	153	1	8	14	195	276	276	1	51	13

Verifica a taglio (§4.4.8.1.9 - NTC)

x	Tyd	Tzd	τ_d	fvd	Kmod	Comb.	SF
cm	kg	kg	kg/cmq	kg/cmq			
227.5	82	1021	2	40	1	51	17

Asta: 108 [118,0]: Sez. R: $b=20.0\text{ cm}$, $h=70.0\text{ cm}$, $L=73.7\text{ cm}$, Crit.Prog: Legno_Tenso-Pressoflessione: **Verificato**

Verifica a pressoflessione (§4.4.8.1.8 - NTC, §7.6.1.2.3 - CNR DT 206/2018)

Parametri di verifica: $k_m=0.70$, $k_{h,y}=1.00$, $k_{h,z}=1.10$, $k_{crit,c}=1.00$, $k_{crit,m}=1.00$, $L_o=73.7\text{cm}$, $L_{eff}=66.4\text{cm}$

Instabilità di colonna: **Trascurabile**, Instabilità di trave: **Trascurabile**

x	Nd	Myd	Mzd	σ_{c0d}	σ_{myd}	σ_{mzd}	f_{c0d}	f_{myd}	f_{mzd}	Kmod	Comb.	SF
cm	kg	kg*m	kg*m	kg/cm q	kg/cm q	kg/cm q	kg/cm q	kg/cm q	kg/cm q			
0.0	-1261	6171	422	-1	38	9	89	99	109	0.6	1	2.3

Verifica a tensoflessione (§4.4.8.1.8 - NTC, §7.6.1.2.3 - CNR DT 206/2018)

Parametri di verifica: $k_m=0.70$, $k_h=0.98$, $k_{h,y}=1.00$, $k_{h,z}=1.10$, $k_{crit,m}=1.00$, $L_{eff}=66.4\text{cm}$

Instabilità di trave: **Trascurabile**

x	Nd	Myd	Mzd	σ_{t0d}	σ_{myd}	σ_{mzd}	f_{t0d}	f_{myd}	f_{mzd}	Kmod	Comb.	SF
cm	kg	kg*m	kg*m	kg/cm q	kg/cm q	kg/cm q	kg/cm q	kg/cm q	kg/cm q			
7.4	424	4701	284	0	29	6	115	166	182	1	(16+17)-I-1	5.0

Verifica a taglio (§4.4.8.1.9 - NTC)

x	Tyd	Tzd	τ_d	fvd	Kmod	Comb.	SF
cm	kg	kg	kg/cmq	kg/cmq			
0.0	680	6063	7	14	0.6	1	2.2

Verifica Incendio: R60(min), $d_{eff} = 4.9$ [cm], $\beta_{char} 0.70$ (mm/min), $b_{eff}=10.2$ cm, $h_{eff}=65.1$ cm

Verifica a pressoflessione (§4.4.8.1.8 - NTC, §7.6.1.2.3 - CNR DT 206/2018)

Parametri di verifica: $k_m=0.70$, $k_h=1.00$, $k_{h,y}=1.00$, $k_{h,z}=1.00$, $k_{crit,c}=0.99$, $k_{crit,m}=1.00$, $L_o=73.7\text{cm}$, $L_{eff}=66.4\text{cm}$

Instabilità di colonna: **Instabilità nel piano XY**, Instabilità di trave: **Trascurabile**

x	Nd	Myd	Mzd	σ_{c0d}	σ_{myd}	σ_{mzd}	f_{c0d}	f_{myd}	f_{mzd}	Kmod	Comb.	SF
cm	kg	kg*m	kg*m	kg/cm q	kg/cm q	kg/cm q	kg/cm q	kg/cm q	kg/cm q			
0.0	-936	4587	312	-1	64	28	247	276	276	1	51	3.3

Verifica a taglio (§4.4.8.1.9 - NTC)

x	Tyd	Tzd	τ_d	fvd	Kmod	Comb.	SF
cm	kg	kg	kg/cmq	kg/cmq			
0.0	504	4507	10	40	1	51	3.9

Asta: 108 [125,0]: Sez. R: $b=20.0$ cm, $h=70.0$ cm, $L=68.5$ cm, Crit.Prog: Legno_Tenso-Pressoflessione: **Verificato**

Verifica a pressoflessione (§4.4.8.1.8 - NTC, §7.6.1.2.3 - CNR DT 206/2018)

Parametri di verifica: $k_m=0.70$, $k_h=1.00$, $k_{h,y}=1.00$, $k_{h,z}=1.10$, $k_{crit,c}=1.00$, $k_{crit,m}=1.00$, $L_o=68.5\text{cm}$, $L_{eff}=61.6\text{cm}$

Instabilità di colonna: **Trascurabile**, Instabilità di trave: **Trascurabile**

x	Nd	Myd	Mzd	σ_{c0d}	σ_{myd}	σ_{mzd}	f_{c0d}	f_{myd}	f_{mzd}	Kmod	Comb.	SF
cm	kg	kg*m	kg*m	kg/cm q	kg/cm q	kg/cm q	kg/cm q	kg/cm q	kg/cm q			
0.0	-1153	1291	222	-1	8	5	148	166	182	1	(16+17)-I-3	15

Verifica a tensoflessione (§4.4.8.1.8 - NTC, §7.6.1.2.3 - CNR DT 206/2018)

Parametri di verifica: $k_m=0.70$, $k_h=0.98$, $k_{h,y}=1.00$, $k_{h,z}=1.10$, $k_{crit,m}=1.00$, $L_{eff}=61.6\text{cm}$

Instabilità di trave: **Trascurabile**

x	Nd	Myd	Mzd	σ_{t0d}	σ_{myd}	σ_{mzd}	f_{t0d}	f_{myd}	f_{mzd}	Kmod	Comb.	SF
cm	kg	kg*m	kg*m	kg/cm q	kg/cm q	kg/cm q	kg/cm q	kg/cm q	kg/cm q			
0.0	231	4236	168	0	26	4	104	149	164	0.9	3	5.2

Verifica a taglio (§4.4.8.1.9 - NTC)

x	Tyd	Tzd	τ_d	fvd	Kmod	Comb.	SF
cm	kg	kg	kg/cmq	kg/cmq			
0.0	63	3721	4	22	0.9	3	5.4

Verifica Incendio: R60(min), $d_{eff} = 4.9$ [cm], $\beta_{char} 0.70$ (mm/min), $b_{eff}=10.2$ cm, $h_{eff}=65.1$ cm

Verifica a tensoflessione (§4.4.8.1.8 - NTC, §7.6.1.2.3 - CNR DT 206/2018)

Parametri di verifica: $k_m=0.70$, $k_h=1.00$, $k_{h,y}=1.00$, $k_{h,z}=1.00$, $k_{crit,m}=1.00$, $L_{eff}=61.6\text{cm}$

Instabilità di trave: **Trascurabile**

x	Nd	Myd	Mzd	σ_{t0d}	σ_{myd}	σ_{mzd}	f_{t0d}	f_{myd}	f_{mzd}	Kmod	Comb.	SF
cm	kg	kg*m	kg*m	kg/cm q	kg/cm q	kg/cm q	kg/cm q	kg/cm q	kg/cm q			
0.0	248	1648	60	0	23	5	195	276	276	1	51	10

Verifica a taglio (§4.4.8.1.9 - NTC)

x	T _{yd}	T _{zd}	τ_d	f _{vd}	K _{mod}	Comb.	SF
cm	kg	kg	kg/cmq	kg/cmq			
0.0	33	1184	3	40	1	51	15

Asta: 108 [128,0]: Sez. R: b=20.0 cm, h=70.0 cm, L=69.4 cm, Crit.Prog: Legno_Tenso-Pressoflessione:
Verificato

Verifica a pressoflessione (§4.4.8.1.8 - NTC, §7.6.1.2.3 - CNR DT 206/2018)

Parametri di verifica: $k_m=0.70$, $k_{h,y}=1.00$, $k_{h,z}=1.10$, $k_{crit,c}=1.00$, $k_{crit,m}=1.00$, $L_o=69.4\text{cm}$, $L_{eff}=62.5\text{cm}$

Instabilità di colonna: **Trascurabile**, Instabilità di trave: **Trascurabile**

x	N _d	M _{yd}	M _{zd}	σ_{c0d}	σ_{myd}	σ_{mzd}	f _{c0d}	f _{myd}	f _{mzd}	K _{mod}	Comb.	SF
cm	kg	kg*m	kg*m	kg/cm q	kg/cm q	kg/cm q	kg/cm q	kg/cm q	kg/cm q			
0.0	-1271	1580	113	-1	10	2	148	166	182	1	(16+17)-II-2	15

Verifica a tensoflessione (§4.4.8.1.8 - NTC, §7.6.1.2.3 - CNR DT 206/2018)

Parametri di verifica: $k_m=0.70$, $k_h=0.98$, $k_{h,y}=1.00$, $k_{h,z}=1.10$, $k_{crit,m}=1.00$, $L_{eff}=62.5\text{cm}$

Instabilità di trave: **Trascurabile**

x	N _d	M _{yd}	M _{zd}	σ_{t0d}	σ_{myd}	σ_{mzd}	f _{t0d}	f _{myd}	f _{mzd}	K _{mod}	Comb.	SF
cm	kg	kg*m	kg*m	kg/cm q	kg/cm q	kg/cm q	kg/cm q	kg/cm q	kg/cm q			
0.0	322	2055	60	0	13	1	104	149	164	0.9	3	11

Verifica a taglio (§4.4.8.1.9 - NTC)

x	T _{yd}	T _{zd}	τ_d	f _{vd}	K _{mod}	Comb.	SF
cm	kg	kg	kg/cmq	kg/cmq			
0.0	33	2463	3	22	0.9	3	8.2

Verifica Incendio: R60(min), $d_{eff} = 4.9$ [cm], $\beta_{char} = 0.70$ (mm/min), $b_{eff}=10.2$ cm, $h_{eff}=65.1$ cm

Verifica a tensoflessione (§4.4.8.1.8 - NTC, §7.6.1.2.3 - CNR DT 206/2018)

Parametri di verifica: $k_m=0.70$, $k_h=1.00$, $k_{h,y}=1.00$, $k_{h,z}=1.00$, $k_{crit,m}=1.00$, $L_{eff}=62.5\text{cm}$

Instabilità di trave: **Trascurabile**

x	N _d	M _{yd}	M _{zd}	σ_{t0d}	σ_{myd}	σ_{mzd}	f _{t0d}	f _{myd}	f _{mzd}	K _{mod}	Comb.	SF
cm	kg	kg*m	kg*m	kg/cm q	kg/cm q	kg/cm q	kg/cm q	kg/cm q	kg/cm q			
0.0	202	547	20	0	8	2	195	276	276	1	51	30

Verifica a taglio (§4.4.8.1.9 - NTC)

x	T _{yd}	T _{zd}	τ_d	f _{vd}	K _{mod}	Comb.	SF
cm	kg	kg	kg/cmq	kg/cmq			
0.0	58	699	2	40	1	51	25

Asta: 109 [144,0]: Sez. R: b=20.0 cm, h=70.0 cm, L=88.0 cm, Crit.Prog: Legno_Tenso-Pressoflessione:
Verificato

Verifica a pressoflessione (§4.4.8.1.8 - NTC, §7.6.1.2.3 - CNR DT 206/2018)

Parametri di verifica: $k_m=0.70$, $k_{h,y}=1.00$, $k_{h,z}=1.10$, $k_{crit,c}=1.00$, $k_{crit,m}=1.00$, $L_o=88.0\text{cm}$, $L_{eff}=79.2\text{cm}$

Instabilità di colonna: **Trascurabile**, Instabilità di trave: **Trascurabile**

x	N _d	M _{yd}	M _{zd}	σ_{c0d}	σ_{myd}	σ_{mzd}	f _{c0d}	f _{myd}	f _{mzd}	K _{mod}	Comb.	SF
cm	kg	kg*m	kg*m	kg/cm q	kg/cm q	kg/cm q	kg/cm q	kg/cm q	kg/cm q			
0.0	-1518	2494	353	-1	15	8	148	166	182	1	(16+17)-II-2	8.2

Verifica a tensoflessione (§4.4.8.1.8 - NTC, §7.6.1.2.3 - CNR DT 206/2018)

Parametri di verifica: $k_m=0.70$, $k_h=0.98$, $k_{h,y}=1.00$, $k_{h,z}=1.10$, $k_{crit,m}=1.00$, $L_{eff}=79.2\text{cm}$

Instabilità di trave: **Trascurabile**

x	N _d	M _{yd}	M _{zd}	σ_{t0d}	σ_{myd}	σ_{mzd}	f _{t0d}	f _{myd}	f _{mzd}	K _{mod}	Comb.	SF
cm	kg	kg*m	kg*m	kg/cm q	kg/cm q	kg/cm q	kg/cm q	kg/cm q	kg/cm q			
0.0	309	4453	26	0	27	1	104	149	164	0.9	3	5.3

Verifica a taglio (§4.4.8.1.9 - NTC)

x	T _{yd}	T _{zd}	τ_d	f _{vd}	K _{mod}	Comb.	SF
cm	kg	kg	kg/cmq	kg/cmq			
0.0	2	3324	4	22	0.9	3	6.1

Verifica Incendio: R60(min), d_{eff} = 4.9 [cm], β_{char} 0.70 (mm/min), b_{eff}=10.2 cm, h_{eff}=65.1 cm

Verifica a tensoflessione (§4.4.8.1.8 - NTC, §7.6.1.2.3 - CNR DT 206/2018)

Parametri di verifica: km=0.70, kh=1.00, kh,y=1.00, kh,z=1.00, k_{crit,m}=1.00, Leff=79.2cmInstabilità di trave: **Trascurabile**

x	N _d	M _{yd}	M _{zd}	σ_{t0d}	σ_{myd}	σ_{mzd}	f _{t0d}	f _{myd}	f _{mzd}	K _{mod}	Comb.	SF
cm	kg	kg*m	kg*m	kg/cm q	kg/cm q	kg/cm q	kg/cm q	kg/cm q	kg/cm q			
0.0	261	1165	40	0	16	4	195	276	276	1	51	14

Verifica a taglio (§4.4.8.1.9 - NTC)

x	T _{yd}	T _{zd}	τ_d	f _{vd}	K _{mod}	Comb.	SF
cm	kg	kg	kg/cmq	kg/cmq			
0.0	78	859	2	40	1	51	21

Asta: 115 [171,101]: Sez. R: b=12.0 cm, h=24.0 cm, L=383.8 cm, Crit.Prog: Legno_Arcareccio: **Verificato**

Verifica a flessione (§4.4.8.1.6, §4.4.8.1.1 - NTC)

Parametri di verifica: km=0.70, kh,y=1.10, kh,z=1.10, k_{crit,m}=1.00, Leff=345.4cmInstabilità di trave: **Trascurabile**

x	M _{yd}	M _{zd}	σ_{myd}	σ_{mzd}	f _{myd}	f _{mzd}	K _{mod}	Comb.	SF
cm	kg*m	kg*m	kg/cmq	kg/cmq	kg/cmq	kg/cmq			
383.8	156	0	14	0	163	164	0.9	3	12

Verifica a taglio (§4.4.8.1.9 - NTC)

x	T _{yd}	T _{zd}	τ_d	f _{vd}	K _{mod}	Comb.	SF
cm	kg	kg	kg/cmq	kg/cmq			
383.8	1	138	1	22	0.9	3	30

Verifica Incendio: R30(min), d_{eff} = 2.2 [cm], β_{char} 0.50 (mm/min), b_{eff}=7.6 cm, h_{eff}=21.8 cm

Verifica a flessione (§4.4.8.1.6, §4.4.8.1.1 - NTC)

Parametri di verifica: km=0.70, kh,y=1.00, kh,z=1.00, k_{crit,m}=1.00, Leff=345.4cmInstabilità di trave: **Trascurabile**

x	M _{yd}	M _{zd}	σ_{myd}	σ_{mzd}	f _{myd}	f _{mzd}	K _{mod}	Comb.	SF
cm	kg*m	kg*m	kg/cmq	kg/cmq	kg/cmq	kg/cmq			
383.8	68	0	11	0	276	276	1	51	24

Verifica a taglio (§4.4.8.1.9 - NTC)

x	T _{yd}	T _{zd}	τ_d	f _{vd}	K _{mod}	Comb.	SF
cm	kg	kg	kg/cmq	kg/cmq			
383.8	0	68	1	40	1	51	65

Asta: 105 [171,102]: Sez. R: b=20.0 cm, h=40.0 cm, L=279.5 cm, Crit.Prog: Legno_Tenso-Pressoflessione: **Verificato**

Verifica a pressoflessione (§4.4.8.1.8 - NTC, §7.6.1.2.3 - CNR DT 206/2018)

Parametri di verifica: km=0.70, kh,y=1.04, kh,z=1.10, k_{crit,c}=0.92, k_{crit,m}=1.00, Lo=279.5cm, Leff=251.6cmInstabilità di colonna: **Instabilità nel piano XY**, Instabilità di trave: **Trascurabile**

x	N _d	M _{yd}	M _{zd}	σ_{c0d}	σ_{myd}	σ_{mzd}	f _{c0d}	f _{myd}	f _{mzd}	K _{mod}	Comb.	SF
cm	kg	kg*m	kg*m	kg/cm q	kg/cm q	kg/cm q	kg/cm q	kg/cm q	kg/cm q			
279.5	-1507	1578	30	-2	30	1	133	155	164	0.9	3	4.7

Verifica a tensoflessione (§4.4.8.1.8 - NTC, §7.6.1.2.3 - CNR DT 206/2018)

Parametri di verifica: km=0.70, kh=1.04, kh,y=1.04, kh,z=1.10, k_{crit,m}=1.00, Leff=251.6cm

Instabilità di trave: **Trascurabile**

x	Nd	Myd	Mzd	σ_{t0d}	σ_{myd}	σ_{mzd}	f_{t0d}	f_{myd}	f_{mzd}	Kmod	Comb.	SF
cm	kg	kg*m	kg*m	kg/cm q	kg/cm q	kg/cm q	kg/cm q	kg/cm q	kg/cm q			
0.0	33	891	132	0	17	5	122	172	182	1	(16+17)-I-1	8.6

Verifica a taglio (§4.4.8.1.9 - NTC)

x	Tyd	Tzd	τ_d	fvd	Kmod	Comb.	SF
cm	kg	kg	kg/cmq	kg/cmq			
279.5	15	1496	3	22	0.9	3	7.7

Verifica Incendio: R60(min), $d_{eff} = 4.9$ [cm], $\beta_{char} = 0.70$ (mm/min), $b_{eff} = 10.2$ cm, $h_{eff} = 35.1$ cm

Verifica a pressoflessione (§4.4.8.1.8 - NTC, §7.6.1.2.3 - CNR DT 206/2018)

Parametri di verifica: $k_m = 0.70$, $k_{h,y} = 1.00$, $k_{h,z} = 1.00$, $k_{crit,c} = 0.42$, $k_{crit,m} = 1.00$, $L_o = 279.5$ cm, $L_{eff} = 251.6$ cm

Instabilità di colonna: **Instabilità nel piano XY**, Instabilità di trave: **Trascurabile**

x	Nd	Myd	Mzd	σ_{c0d}	σ_{myd}	σ_{mzd}	f_{c0d}	f_{myd}	f_{mzd}	Kmod	Comb.	SF
cm	kg	kg*m	kg*m	kg/cm q	kg/cm q	kg/cm q	kg/cm q	kg/cm q	kg/cm q			
279.5	-462	559	10	-1	27	2	247	276	276	1	51	8.8

Verifica a taglio (§4.4.8.1.9 - NTC)

x	Tyd	Tzd	τ_d	fvd	Kmod	Comb.	SF
cm	kg	kg	kg/cmq	kg/cmq			
279.5	4	553	2	40	1	51	17

Asta: 104 [171,106]: Sez. R: $b = 20.0$ cm, $h = 40.0$ cm, $L = 279.5$ cm, Crit.Prog: Legno_Tenso-Pressoflessione: **Verificato**

Verifica a pressoflessione (§4.4.8.1.8 - NTC, §7.6.1.2.3 - CNR DT 206/2018)

Parametri di verifica: $k_m = 0.70$, $k_{h,y} = 1.04$, $k_{h,z} = 1.10$, $k_{crit,c} = 0.92$, $k_{crit,m} = 1.00$, $L_o = 279.5$ cm, $L_{eff} = 251.6$ cm

Instabilità di colonna: **Instabilità nel piano XY**, Instabilità di trave: **Trascurabile**

x	Nd	Myd	Mzd	σ_{c0d}	σ_{myd}	σ_{mzd}	f_{c0d}	f_{myd}	f_{mzd}	Kmod	Comb.	SF
cm	kg	kg*m	kg*m	kg/cm q	kg/cm q	kg/cm q	kg/cm q	kg/cm q	kg/cm q			
279.5	-2008	1345	27	-3	25	1	133	155	164	0.9	3	5.3

Verifica a tensoflessione (§4.4.8.1.8 - NTC, §7.6.1.2.3 - CNR DT 206/2018)

Parametri di verifica: $k_m = 0.70$, $k_{h,y} = 1.04$, $k_{h,z} = 1.10$, $k_{crit,m} = 1.00$, $L_{eff} = 251.6$ cm

Instabilità di trave: **Trascurabile**

x	Nd	Myd	Mzd	σ_{t0d}	σ_{myd}	σ_{mzd}	f_{t0d}	f_{myd}	f_{mzd}	Kmod	Comb.	SF
cm	kg	kg*m	kg*m	kg/cm q	kg/cm q	kg/cm q	kg/cm q	kg/cm q	kg/cm q			
279.5	125	611	100	0	11	4	122	172	182	1	(16+17)-II-2	12

Verifica a taglio (§4.4.8.1.9 - NTC)

x	Tyd	Tzd	τ_d	fvd	Kmod	Comb.	SF
cm	kg	kg	kg/cmq	kg/cmq			
279.5	27	1137	2	22	0.9	3	10

Verifica Incendio: R60(min), $d_{eff} = 4.9$ [cm], $\beta_{char} = 0.70$ (mm/min), $b_{eff} = 10.2$ cm, $h_{eff} = 35.1$ cm

Verifica a pressoflessione (§4.4.8.1.8 - NTC, §7.6.1.2.3 - CNR DT 206/2018)

Parametri di verifica: $k_m = 0.70$, $k_{h,y} = 1.00$, $k_{h,z} = 1.00$, $k_{crit,c} = 0.42$, $k_{crit,m} = 1.00$, $L_o = 279.5$ cm, $L_{eff} = 251.6$ cm

Instabilità di colonna: **Instabilità nel piano XY**, Instabilità di trave: **Trascurabile**

x	Nd	Myd	Mzd	σ_{c0d}	σ_{myd}	σ_{mzd}	f_{c0d}	f_{myd}	f_{mzd}	Kmod	Comb.	SF
cm	kg	kg*m	kg*m	kg/cm q	kg/cm q	kg/cm q	kg/cm q	kg/cm q	kg/cm q			
279.5	-663	495	10	-2	24	2	247	276	276	1	51	9.3

Verifica a taglio (§4.4.8.1.9 - NTC)

x	Tyd	Tzd	τ_d	fvd	Kmod	Comb.	SF
cm	kg	kg	kg/cmq	kg/cmq			

x	Tyd	Tzd	τ_d	fvd	Kmod	Comb.	SF
279.5	10	441	2	40	1	51	22

Asta: 115 [171,112]: Sez. R: b=20.0 cm, h=40.0 cm, L=403.8 cm, Crit.Prog: Legno_Tenso-Pressoflessione: **Verificato**

Verifica a pressoflessione (§4.4.8.1.8 - NTC, §7.6.1.2.3 - CNR DT 206/2018)

Parametri di verifica: $k_m=0.70$, $k_{h,y}=1.04$, $k_{h,z}=1.10$, $k_{crit,c}=0.70$, $k_{crit,m}=1.00$, $L_o=403.8\text{cm}$, $L_{eff}=363.4\text{cm}$

Instabilità di colonna: **Instabilità nel piano XY**, Instabilità di trave: **Trascurabile**

x	Nd	Myd	Mzd	σ_{c0d}	σ_{myd}	σ_{mzd}	f_{c0d}	f_{myd}	f_{mzd}	Kmod	Comb.	SF
cm	kg	kg*m	kg*m	kg/cm q	kg/cm q	kg/cm q	kg/cm q	kg/cm q	kg/cm q			
403.8	-709	1563	9	-1	29	0	133	155	164	0.9	3	5.0

Verifica a tensoflessione (§4.4.8.1.8 - NTC, §7.6.1.2.3 - CNR DT 206/2018)

Parametri di verifica: $k_m=0.70$, $k_h=1.04$, $k_{h,y}=1.04$, $k_{h,z}=1.10$, $k_{crit,m}=1.00$, $L_{eff}=363.4\text{cm}$

Instabilità di trave: **Trascurabile**

x	Nd	Myd	Mzd	σ_{t0d}	σ_{myd}	σ_{mzd}	f_{t0d}	f_{myd}	f_{mzd}	Kmod	Comb.	SF
cm	kg	kg*m	kg*m	kg/cm q	kg/cm q	kg/cm q	kg/cm q	kg/cm q	kg/cm q			
403.8	3127	771	27	4	14	1	122	172	182	1	(16+17)-I-1	8.3

Verifica a taglio (§4.4.8.1.9 - NTC)

x	Tyd	Tzd	τ_d	fvd	Kmod	Comb.	SF
cm	kg	kg	kg/cmq	kg/cmq			
403.8	2	1645	3	22	0.9	3	7.0

Verifica Incendio: R60(min), $d_{eff} = 4.9$ [cm], $\beta_{char} = 0.70$ (mm/min), $b_{eff}=10.2$ cm, $h_{eff}=35.1$ cm

Verifica a pressoflessione (§4.4.8.1.8 - NTC, §7.6.1.2.3 - CNR DT 206/2018)

Parametri di verifica: $k_m=0.70$, $k_{h,y}=1.00$, $k_{h,z}=1.00$, $k_{crit,c}=0.21$, $k_{crit,m}=1.00$, $L_o=403.8\text{cm}$, $L_{eff}=363.4\text{cm}$

Instabilità di colonna: **Instabilità nel piano XY**, Instabilità di trave: **Trascurabile**

x	Nd	Myd	Mzd	σ_{c0d}	σ_{myd}	σ_{mzd}	f_{c0d}	f_{myd}	f_{mzd}	Kmod	Comb.	SF
cm	kg	kg*m	kg*m	kg/cm q	kg/cm q	kg/cm q	kg/cm q	kg/cm q	kg/cm q			
403.8	-207	562	9	-1	27	1	247	276	276	1	51	8.9

Verifica a taglio (§4.4.8.1.9 - NTC)

x	Tyd	Tzd	τ_d	fvd	Kmod	Comb.	SF
cm	kg	kg	kg/cmq	kg/cmq			
403.8	3	562	2	40	1	51	17

Asta: 115 [112,113]: Sez. R: b=20.0 cm, h=40.0 cm, L=449.5 cm, Crit.Prog: Legno_Tenso-Pressoflessione: **Verificato**

Verifica a pressoflessione (§4.4.8.1.8 - NTC, §7.6.1.2.3 - CNR DT 206/2018)

Parametri di verifica: $k_m=0.70$, $k_{h,y}=1.04$, $k_{h,z}=1.10$, $k_{crit,c}=0.60$, $k_{crit,m}=1.00$, $L_o=449.5\text{cm}$, $L_{eff}=404.5\text{cm}$

Instabilità di colonna: **Instabilità nel piano XY**, Instabilità di trave: **Trascurabile**

x	Nd	Myd	Mzd	σ_{c0d}	σ_{myd}	σ_{mzd}	f_{c0d}	f_{myd}	f_{mzd}	Kmod	Comb.	SF
cm	kg	kg*m	kg*m	kg/cm q	kg/cm q	kg/cm q	kg/cm q	kg/cm q	kg/cm q			
449.5	-606	2609	28	-1	49	1	133	155	164	0.9	3	3.0

Verifica a tensoflessione (§4.4.8.1.8 - NTC, §7.6.1.2.3 - CNR DT 206/2018)

Parametri di verifica: $k_m=0.70$, $k_h=1.04$, $k_{h,y}=1.04$, $k_{h,z}=1.10$, $k_{crit,m}=1.00$, $L_{eff}=404.5\text{cm}$

Instabilità di trave: **Trascurabile**

x	Nd	Myd	Mzd	σ_{t0d}	σ_{myd}	σ_{mzd}	f_{t0d}	f_{myd}	f_{mzd}	Kmod	Comb.	SF
cm	kg	kg*m	kg*m	kg/cm q	kg/cm q	kg/cm q	kg/cm q	kg/cm q	kg/cm q			
449.5	3619	1059	114	5	20	4	122	172	182	1	(16+17)-I-1	5.9

Verifica a taglio (§4.4.8.1.9 - NTC)

x	Tyd	Tzd	τ_d	fvd	Kmod	Comb.	SF
cm	kg	kg	kg/cmq	kg/cmq			
449.5	17	3284	6	22	0.9	3	3.5

Verifica Incendio: R60(min), $d_{eff} = 4.9$ [cm], $\beta_{char} 0.70$ (mm/min), $b_{eff}=10.2$ cm, $h_{eff}=35.1$ cm

Verifica a pressoflessione (§4.4.8.1.8 - NTC, §7.6.1.2.3 - CNR DT 206/2018)

Parametri di verifica: $k_m=0.70$, $k_{h,y}=1.00$, $k_{h,z}=1.00$, $k_{crit,c}=0.17$, $k_{crit,m}=1.00$, $L_o=449.5$ cm, $L_{eff}=404.5$ cmInstabilità di colonna: **Instabilità nel piano XY**, Instabilità di trave: **Trascurabile**

x	Nd	Myd	Mzd	σ_{c0d}	σ_{myd}	σ_{mzd}	f_{c0d}	f_{myd}	f_{mzd}	Kmod	Comb.	SF
cm	kg	kg*m	kg*m	kg/cm	kg/cm	kg/cm	kg/cm	kg/cm	kg/cm			
				q	q	q	q	q	q			
449.5	-87	812	21	-0	39	3	247	276	276	1	51	6.5

Verifica a taglio (§4.4.8.1.9 - NTC)

x	Tyd	Tzd	τ_d	fvd	Kmod	Comb.	SF
cm	kg	kg	kg/cmq	kg/cmq			
449.5	10	1003	4	40	1	51	9.6

Asta: 115 [113,219]: Sez. R: $b=20.0$ cm, $h=40.0$ cm, $L=557.0$ cm, Crit.Prog: Legno_Tenso-Pressoflessione: **Verificato**

Verifica a pressoflessione (§4.4.8.1.8 - NTC, §7.6.1.2.3 - CNR DT 206/2018)

Parametri di verifica: $k_m=0.70$, $k_{h,y}=1.04$, $k_{h,z}=1.10$, $k_{crit,c}=0.41$, $k_{crit,m}=1.00$, $L_o=557.0$ cm, $L_{eff}=501.3$ cmInstabilità di colonna: **Instabilità nel piano XY**, Instabilità di trave: **Trascurabile**

x	Nd	Myd	Mzd	σ_{c0d}	σ_{myd}	σ_{mzd}	f_{c0d}	f_{myd}	f_{mzd}	Kmod	Comb.	SF
cm	kg	kg*m	kg*m	kg/cm	kg/cm	kg/cm	kg/cm	kg/cm	kg/cm			
				q	q	q	q	q	q			
557.0	-317	1477	15	-0	28	1	89	103	109	0.6	1	3.5

Verifica a tensoflessione (§4.4.8.1.8 - NTC, §7.6.1.2.3 - CNR DT 206/2018)

Parametri di verifica: $k_m=0.70$, $k_{h,y}=1.04$, $k_{h,z}=1.10$, $k_{crit,m}=1.00$, $L_{eff}=501.3$ cmInstabilità di trave: **Trascurabile**

x	Nd	Myd	Mzd	σ_{t0d}	σ_{myd}	σ_{mzd}	f_{t0d}	f_{myd}	f_{mzd}	Kmod	Comb.	SF
cm	kg	kg*m	kg*m	kg/cm	kg/cm	kg/cm	kg/cm	kg/cm	kg/cm			
				q	q	q	q	q	q			
557.0	3720	1201	52	5	23	2	122	172	182	1	(16+17)-I-1	5.7

Verifica a taglio (§4.4.8.1.9 - NTC)

x	Tyd	Tzd	τ_d	fvd	Kmod	Comb.	SF
cm	kg	kg	kg/cmq	kg/cmq			
557.0	7	1729	3	14	0.6	1	4.5

Verifica Incendio: R60(min), $d_{eff} = 4.9$ [cm], $\beta_{char} 0.70$ (mm/min), $b_{eff}=10.2$ cm, $h_{eff}=35.1$ cm

Verifica a pressoflessione (§4.4.8.1.8 - NTC, §7.6.1.2.3 - CNR DT 206/2018)

Parametri di verifica: $k_m=0.70$, $k_{h,y}=1.00$, $k_{h,z}=1.00$, $k_{crit,c}=0.11$, $k_{crit,m}=0.95$, $L_o=557.0$ cm, $L_{eff}=501.3$ cmInstabilità di colonna: **Instabilità nel piano XY**, Instabilità di trave: **Instabilità nel piano XY**

x	Nd	Myd	Mzd	σ_{c0d}	σ_{myd}	σ_{mzd}	f_{c0d}	f_{myd}	f_{mzd}	Kmod	Comb.	SF
cm	kg	kg*m	kg*m	kg/cm	kg/cm	kg/cm	kg/cm	kg/cm	kg/cm			
				q	q	q	q	q	q			
557.0	-229	1096	11	-1	52	2	247	276	276	1	51	4.4

Verifica a taglio (§4.4.8.1.9 - NTC)

x	Tyd	Tzd	τ_d	fvd	Kmod	Comb.	SF
cm	kg	kg	kg/cmq	kg/cmq			
557.0	5	1284	5	40	1	51	7.5

Asta: 116 [140,135]: Sez. R: $b=20.0$ cm, $h=40.0$ cm, $L=556.2$ cm, Crit.Prog: Legno_Tenso-Pressoflessione: **Verificato**

Verifica a pressoflessione (§4.4.8.1.8 - NTC, §7.6.1.2.3 - CNR DT 206/2018)

Parametri di verifica: $k_m=0.70$, $k_h,y=1.04$, $k_h,z=1.10$, $k_{crit,c}=0.41$, $k_{crit,m}=1.00$, $L_o=556.2\text{cm}$, $L_{eff}=500.6\text{cm}$

Instabilità di colonna: **Instabilità nel piano XY**, Instabilità di trave: **Trascurabile**

x	Nd	Myd	Mzd	σ_{c0d}	σ_{myd}	σ_{mzd}	f_{c0d}	f_{myd}	f_{mzd}	Kmod	Comb.	SF
cm	kg	kg*m	kg*m	kg/cm q	kg/cm q	kg/cm q	kg/cm q	kg/cm q	kg/cm q			
556.2	-1066	1264	14	-1	24	1	133	155	164	0.9	3	5.6

Verifica a tensoflessione (§4.4.8.1.8 - NTC, §7.6.1.2.3 - CNR DT 206/2018)

Parametri di verifica: $k_m=0.70$, $k_h,y=1.04$, $k_h,z=1.10$, $k_{crit,m}=1.00$, $L_{eff}=500.6\text{cm}$

Instabilità di trave: **Trascurabile**

x	Nd	Myd	Mzd	σ_{t0d}	σ_{myd}	σ_{mzd}	f_{t0d}	f_{myd}	f_{mzd}	Kmod	Comb.	SF
cm	kg	kg*m	kg*m	kg/cm q	kg/cm q	kg/cm q	kg/cm q	kg/cm q	kg/cm q			
556.2	1678	809	30	2	15	1	122	172	182	1	(16+17)-I-1	9.1

Verifica a taglio (§4.4.8.1.9 - NTC)

x	Tyd	Tzd	τ_d	fvd	Kmod	Comb.	SF
cm	kg	kg	kg/cm ²	kg/cm ²			
556.2	5	989	2	22	0.9	3	12

Verifica Incendio: R60(min), $d_{eff} = 4.9$ [cm], $\beta_{char} 0.70$ (mm/min), $b_{eff}=10.2$ cm, $h_{eff}=35.1$ cm

Verifica a pressoflessione (§4.4.8.1.8 - NTC, §7.6.1.2.3 - CNR DT 206/2018)

Parametri di verifica: $k_m=0.70$, $k_h,y=1.00$, $k_h,z=1.00$, $k_{crit,c}=0.11$, $k_{crit,m}=0.95$, $L_o=556.2\text{cm}$, $L_{eff}=500.6\text{cm}$

Instabilità di colonna: **Instabilità nel piano XY**, Instabilità di trave: **Instabilità nel piano XY**

x	Nd	Myd	Mzd	σ_{c0d}	σ_{myd}	σ_{mzd}	f_{c0d}	f_{myd}	f_{mzd}	Kmod	Comb.	SF
cm	kg	kg*m	kg*m	kg/cm q	kg/cm q	kg/cm q	kg/cm q	kg/cm q	kg/cm q			
556.2	-184	434	3	-1	21	0	247	276	276	1	51	10

Verifica a taglio (§4.4.8.1.9 - NTC)

x	Tyd	Tzd	τ_d	fvd	Kmod	Comb.	SF
cm	kg	kg	kg/cm ²	kg/cm ²			
556.2	1	340	1	40	1	51	28

Asta: 116 [135,233]: Sez. R: $b=20.0$ cm, $h=40.0$ cm, $L=367.4$ cm, Crit.Prog: Legno_Tenso-Pressoflessione: **Verificato**

Verifica a pressoflessione (§4.4.8.1.8 - NTC, §7.6.1.2.3 - CNR DT 206/2018)

Parametri di verifica: $k_m=0.70$, $k_h,y=1.04$, $k_h,z=1.10$, $k_{crit,c}=0.78$, $k_{crit,m}=1.00$, $L_o=367.4\text{cm}$, $L_{eff}=330.7\text{cm}$

Instabilità di colonna: **Instabilità nel piano XY**, Instabilità di trave: **Trascurabile**

x	Nd	Myd	Mzd	σ_{c0d}	σ_{myd}	σ_{mzd}	f_{c0d}	f_{myd}	f_{mzd}	Kmod	Comb.	SF
cm	kg	kg*m	kg*m	kg/cm q	kg/cm q	kg/cm q	kg/cm q	kg/cm q	kg/cm q			
0.0	-2325	435	43	-3	8	2	148	172	182	1	(16+17)-I-3	13

Verifica a tensoflessione (§4.4.8.1.8 - NTC, §7.6.1.2.3 - CNR DT 206/2018)

Parametri di verifica: $k_m=0.70$, $k_h,y=1.04$, $k_h,z=1.10$, $k_{crit,m}=1.00$, $L_{eff}=330.7\text{cm}$

Instabilità di trave: **Trascurabile**

x	Nd	Myd	Mzd	σ_{t0d}	σ_{myd}	σ_{mzd}	f_{t0d}	f_{myd}	f_{mzd}	Kmod	Comb.	SF
cm	kg	kg*m	kg*m	kg/cm q	kg/cm q	kg/cm q	kg/cm q	kg/cm q	kg/cm q			
367.4	2240	599	40	3	11	1	122	172	182	1	(16+17)-I-1	11

Verifica a taglio (§4.4.8.1.9 - NTC)

x	Tyd	Tzd	τ_d	fvd	Kmod	Comb.	SF
cm	kg	kg	kg/cm ²	kg/cm ²			
367.4	3	648	1	22	0.9	3	18

Verifica Incendio: R60(min), $d_{eff} = 4.9$ [cm], $\beta_{char} 0.70$ (mm/min), $b_{eff}=10.2$ cm, $h_{eff}=35.1$ cm

Verifica a pressoflessione (§4.4.8.1.8 - NTC, §7.6.1.2.3 - CNR DT 206/2018)

Parametri di verifica: $k_m=0.70$, $k_h,y=1.00$, $k_h,z=1.00$, $k_{crit,c}=0.25$, $k_{crit,m}=1.00$, $L_o=367.4\text{cm}$, $L_{eff}=330.7\text{cm}$

Instabilità di colonna: **Instabilità nel piano XY**, Instabilità di trave: **Trascurabile**

x	Nd	Myd	Mzd	σ_{c0d}	σ_{myd}	σ_{mzd}	f_{c0d}	f_{myd}	f_{mzd}	Kmod	Comb.	SF
cm	kg	kg*m	kg*m	kg/cm q	kg/cm q	kg/cm q	kg/cm q	kg/cm q	kg/cm q			
367.4	-29	225	5	-0	11	1	247	276	276	1	51	24

Verifica a taglio (§4.4.8.1.9 - NTC)

x	Tyd	Tzd	τ_d	fvd	Kmod	Comb.	SF
cm	kg	kg	kg/cmq	kg/cmq			
367.4	3	240	1	40	1	51	40

Asta: 120 [124,125]: Sez. R: b=20.0 cm, h=40.0 cm, L=501.1 cm, Crit.Prog: Legno_Tenso-Pressoflessione: **Verificato**

Verifica a pressoflessione (§4.4.8.1.8 - NTC, §7.6.1.2.3 - CNR DT 206/2018)

Parametri di verifica: km=0.70, kh,y=1.04, kh,z=1.10, kcrit,c=0.50, kcrit,m=1.00, Lo=501.1cm, Leff=451.0cm

Instabilità di colonna: **Instabilità nel piano XY**, Instabilità di trave: **Trascurabile**

x	Nd	Myd	Mzd	σ_{c0d}	σ_{myd}	σ_{mzd}	f_{c0d}	f_{myd}	f_{mzd}	Kmod	Comb.	SF
cm	kg	kg*m	kg*m	kg/cm q	kg/cm q	kg/cm q	kg/cm q	kg/cm q	kg/cm q			
501.1	-3519	1276	136	-4	24	5	148	172	182	1	(16+17)-I-1	4.6

Verifica a tensoflessione (§4.4.8.1.8 - NTC, §7.6.1.2.3 - CNR DT 206/2018)

Parametri di verifica: km=0.70, kh=1.04, kh,y=1.04, kh,z=1.10, kcrit,m=1.00, Leff=451.0cm

Instabilità di trave: **Trascurabile**

x	Nd	Myd	Mzd	σ_{t0d}	σ_{myd}	σ_{mzd}	f_{t0d}	f_{myd}	f_{mzd}	Kmod	Comb.	SF
cm	kg	kg*m	kg*m	kg/cm q	kg/cm q	kg/cm q	kg/cm q	kg/cm q	kg/cm q			
0.0	910	1405	121	1	26	5	122	172	182	1	(16+17)-I-3	5.6

Verifica a taglio (§4.4.8.1.9 - NTC)

x	Tyd	Tzd	τ_d	fvd	Kmod	Comb.	SF
cm	kg	kg	kg/cmq	kg/cmq			
0.0	3	823	2	14	0.6	1	9.4

Verifica Incendio: R60(min), d_eff = 4.9 [cm], β_{char} 0.70 (mm/min), b_eff=10.2 cm, h_eff=35.1 cm

Verifica a pressoflessione (§4.4.8.1.8 - NTC, §7.6.1.2.3 - CNR DT 206/2018)

Parametri di verifica: km=0.70, kh,y=1.00, kh,z=1.00, kcrit,c=0.14, kcrit,m=0.98, Lo=501.1cm, Leff=451.0cm

Instabilità di colonna: **Instabilità nel piano XY**, Instabilità di trave: **Instabilità nel piano XY**

x	Nd	Myd	Mzd	σ_{c0d}	σ_{myd}	σ_{mzd}	f_{c0d}	f_{myd}	f_{mzd}	Kmod	Comb.	SF
cm	kg	kg*m	kg*m	kg/cm q	kg/cm q	kg/cm q	kg/cm q	kg/cm q	kg/cm q			
0.0	-1237	516	22	-3	25	4	247	276	276	1	51	5.0

Verifica a taglio (§4.4.8.1.9 - NTC)

x	Tyd	Tzd	τ_d	fvd	Kmod	Comb.	SF
cm	kg	kg	kg/cmq	kg/cmq			
0.0	2	613	3	40	1	51	16

Asta: 125 [117,118]: Sez. R: b=20.0 cm, h=40.0 cm, L=501.1 cm, Crit.Prog: Legno_Tenso-Pressoflessione: **Verificato**

Verifica a pressoflessione (§4.4.8.1.8 - NTC, §7.6.1.2.3 - CNR DT 206/2018)

Parametri di verifica: km=0.70, kh,y=1.04, kh,z=1.10, kcrit,c=0.50, kcrit,m=1.00, Lo=501.1cm, Leff=451.0cm

Instabilità di colonna: **Instabilità nel piano XY**, Instabilità di trave: **Trascurabile**

x	Nd	Myd	Mzd	σ_{c0d}	σ_{myd}	σ_{mzd}	f_{c0d}	f_{myd}	f_{mzd}	Kmod	Comb.	SF
cm	kg	kg*m	kg*m	kg/cm q	kg/cm q	kg/cm q	kg/cm q	kg/cm q	kg/cm q			
501.1	-2311	1451	153	-3	27	6	148	172	182	1	(16+17)-I-1	4.6

Verifica a tensoflessione (§4.4.8.1.8 - NTC, §7.6.1.2.3 - CNR DT 206/2018)

Parametri di verifica: $k_m=0.70$, $k_h=1.04$, $k_{h,y}=1.04$, $k_{h,z}=1.10$, $k_{crit,m}=1.00$, $L_{eff}=451.0\text{cm}$

Instabilità di trave: **Trascurabile**

x	Nd	Myd	Mzd	σ_{t0d}	σ_{myd}	σ_{mzd}	f_{t0d}	f_{myd}	f_{mzd}	Kmod	Comb.	SF
cm	kg	kg*m	kg*m	kg/cm q	kg/cm q	kg/cm q	kg/cm q	kg/cm q	kg/cm q			
0.0	285	1610	110	0	30	4	122	172	182	1	(16+17)-I-3	5.2

Verifica a taglio (§4.4.8.1.9 - NTC)

x	Tyd	Tzd	τ_d	fvd	Kmod	Comb.	SF
cm	kg	kg	kg/cmq	kg/cmq			
0.0	2	773	1	14	0.6	1	10.0

Verifica Incendio: R60(min), $d_{eff} = 4.9$ [cm], $\beta_{char} 0.70$ (mm/min), $b_{eff}=10.2$ cm, $h_{eff}=35.1$ cm

Verifica a pressoflessione (§4.4.8.1.8 - NTC, §7.6.1.2.3 - CNR DT 206/2018)

Parametri di verifica: $k_m=0.70$, $k_h=1.00$, $k_{h,y}=1.00$, $k_{h,z}=1.00$, $k_{crit,c}=0.14$, $k_{crit,m}=0.98$, $L_o=501.1\text{cm}$, $L_{eff}=451.0\text{cm}$

Instabilità di colonna: **Instabilità nel piano XY**, Instabilità di trave: **Instabilità nel piano XY**

x	Nd	Myd	Mzd	σ_{c0d}	σ_{myd}	σ_{mzd}	f_{c0d}	f_{myd}	f_{mzd}	Kmod	Comb.	SF
cm	kg	kg*m	kg*m	kg/cm q	kg/cm q	kg/cm q	kg/cm q	kg/cm q	kg/cm q			
0.0	-952	519	18	-3	25	3	247	276	276	1	51	5.7

Verifica a taglio (§4.4.8.1.9 - NTC)

x	Tyd	Tzd	τ_d	fvd	Kmod	Comb.	SF
cm	kg	kg	kg/cmq	kg/cmq			
0.0	2	579	2	40	1	51	17

Asta: 104 [172,173]: Sez. R: $b=20.0$ cm, $h=70.0$ cm, $L=61.1$ cm, Crit.Prog: Legno_Tenso-Pressoflessione: **Verificato**

Verifica a pressoflessione (§4.4.8.1.8 - NTC, §7.6.1.2.3 - CNR DT 206/2018)

Parametri di verifica: $k_m=0.70$, $k_h=1.00$, $k_{h,y}=1.00$, $k_{h,z}=1.10$, $k_{crit,c}=1.00$, $k_{crit,m}=1.00$, $L_o=61.1\text{cm}$, $L_{eff}=55.0\text{cm}$

Instabilità di colonna: **Trascurabile**, Instabilità di trave: **Trascurabile**

x	Nd	Myd	Mzd	σ_{c0d}	σ_{myd}	σ_{mzd}	f_{c0d}	f_{myd}	f_{mzd}	Kmod	Comb.	SF
cm	kg	kg*m	kg*m	kg/cm q	kg/cm q	kg/cm q	kg/cm q	kg/cm q	kg/cm q			
0.0	-3021	3175	7	-2	19	0	133	149	164	0.9	3	7.6

Verifica a tensoflessione (§4.4.8.1.8 - NTC, §7.6.1.2.3 - CNR DT 206/2018)

Parametri di verifica: $k_m=0.70$, $k_h=0.98$, $k_{h,y}=1.00$, $k_{h,z}=1.10$, $k_{crit,m}=1.00$, $L_{eff}=55.0\text{cm}$

Instabilità di trave: **Trascurabile**

x	Nd	Myd	Mzd	σ_{t0d}	σ_{myd}	σ_{mzd}	f_{t0d}	f_{myd}	f_{mzd}	Kmod	Comb.	SF
cm	kg	kg*m	kg*m	kg/cm q	kg/cm q	kg/cm q	kg/cm q	kg/cm q	kg/cm q			
61.1	0	0	0	0	0	0	115	166	182	1	50	>100

Verifica a taglio (§4.4.8.1.9 - NTC)

x	Tyd	Tzd	τ_d	fvd	Kmod	Comb.	SF
cm	kg	kg	kg/cmq	kg/cmq			
0.0	163	6490	7	22	0.9	3	3.1

Verifica Incendio: R60(min), $d_{eff} = 4.9$ [cm], $\beta_{char} 0.70$ (mm/min), $b_{eff}=10.2$ cm, $h_{eff}=65.1$ cm

Verifica a pressoflessione (§4.4.8.1.8 - NTC, §7.6.1.2.3 - CNR DT 206/2018)

Parametri di verifica: $k_m=0.70$, $k_h=1.00$, $k_{h,y}=1.00$, $k_{h,z}=1.00$, $k_{crit,c}=1.00$, $k_{crit,m}=1.00$, $L_o=61.1\text{cm}$, $L_{eff}=55.0\text{cm}$

Instabilità di colonna: **Instabilità nel piano XY**, Instabilità di trave: **Trascurabile**

x	Nd	Myd	Mzd	σ_{c0d}	σ_{myd}	σ_{mzd}	f_{c0d}	f_{myd}	f_{mzd}	Kmod	Comb.	SF
cm	kg	kg*m	kg*m	kg/cm q	kg/cm q	kg/cm q	kg/cm q	kg/cm q	kg/cm q			
0.0	-1013	1042	14	-2	14	1	247	276	276	1	51	16

Verifica a taglio (§4.4.8.1.9 - NTC)

x	Tyd	Tzd	τ_d	fvd	Kmod	Comb.	SF
cm	kg	kg	kg/cmq	kg/cmq			
0.0	62	2250	5	40	1	51	7.9

Asta: 104 [173,174]: Sez. R: b=20.0 cm, h=70.0 cm, L=61.1 cm, Crit.Prog: Legno_Tenso-Pressoflessione:
Verificato

Verifica a pressoflessione (§4.4.8.1.8 - NTC, §7.6.1.2.3 - CNR DT 206/2018)

Parametri di verifica: $k_m=0.70$, $k_{h,y}=1.00$, $k_{h,z}=1.10$, $k_{crit,c}=1.00$, $k_{crit,m}=1.00$, $L_o=61.1\text{cm}$, $L_{eff}=55.0\text{cm}$

Instabilità di colonna: **Trascurabile**, Instabilità di trave: **Trascurabile**

x	Nd	Myd	Mzd	σ_{c0d}	σ_{myd}	σ_{mzd}	f_{c0d}	f_{myd}	f_{mzd}	Kmod	Comb.	SF
cm	kg	kg*m	kg*m	kg/cm q	kg/cm q	kg/cm q	kg/cm q	kg/cm q	kg/cm q			
61.1	-3029	3719	50	-2	23	1	133	149	164	0.9	3	6.3

Verifica a tensoflessione (§4.4.8.1.8 - NTC, §7.6.1.2.3 - CNR DT 206/2018)

Parametri di verifica: $k_m=0.70$, $k_h=0.98$, $k_{h,y}=1.00$, $k_{h,z}=1.10$, $k_{crit,m}=1.00$, $L_{eff}=55.0\text{cm}$

Instabilità di trave: **Trascurabile**

x	Nd	Myd	Mzd	σ_{t0d}	σ_{myd}	σ_{mzd}	f_{t0d}	f_{myd}	f_{mzd}	Kmod	Comb.	SF
cm	kg	kg*m	kg*m	kg/cm q	kg/cm q	kg/cm q	kg/cm q	kg/cm q	kg/cm q			
61.1	0	0	0	0	0	0	115	166	182	1	50	>100

Verifica a taglio (§4.4.8.1.9 - NTC)

x	Tyd	Tzd	τ_d	fvd	Kmod	Comb.	SF
cm	kg	kg	kg/cmq	kg/cmq			
0.0	83	4925	5	22	0.9	3	4.1

Verifica Incendio: R60(min), $d_{eff} = 4.9$ [cm], $\beta_{char} 0.70$ (mm/min), $b_{eff}=10.2$ cm, $h_{eff}=65.1$ cm

Verifica a pressoflessione (§4.4.8.1.8 - NTC, §7.6.1.2.3 - CNR DT 206/2018)

Parametri di verifica: $k_m=0.70$, $k_{h,y}=1.00$, $k_{h,z}=1.00$, $k_{crit,c}=1.00$, $k_{crit,m}=1.00$, $L_o=61.1\text{cm}$, $L_{eff}=55.0\text{cm}$

Instabilità di colonna: **Instabilità nel piano XY**, Instabilità di trave: **Trascurabile**

x	Nd	Myd	Mzd	σ_{c0d}	σ_{myd}	σ_{mzd}	f_{c0d}	f_{myd}	f_{mzd}	Kmod	Comb.	SF
cm	kg	kg*m	kg*m	kg/cm q	kg/cm q	kg/cm q	kg/cm q	kg/cm q	kg/cm q			
61.1	-1016	1327	14	-2	18	1	247	276	276	1	51	13

Verifica a taglio (§4.4.8.1.9 - NTC)

x	Tyd	Tzd	τ_d	fvd	Kmod	Comb.	SF
cm	kg	kg	kg/cmq	kg/cmq			
0.0	14	1706	4	40	1	51	10

Asta: 104 [174,175]: Sez. R: b=20.0 cm, h=70.0 cm, L=61.1 cm, Crit.Prog: Legno_Tenso-Pressoflessione:
Verificato

Verifica a pressoflessione (§4.4.8.1.8 - NTC, §7.6.1.2.3 - CNR DT 206/2018)

Parametri di verifica: $k_m=0.70$, $k_{h,y}=1.00$, $k_{h,z}=1.10$, $k_{crit,c}=1.00$, $k_{crit,m}=1.00$, $L_o=61.1\text{cm}$, $L_{eff}=55.0\text{cm}$

Instabilità di colonna: **Trascurabile**, Instabilità di trave: **Trascurabile**

x	Nd	Myd	Mzd	σ_{c0d}	σ_{myd}	σ_{mzd}	f_{c0d}	f_{myd}	f_{mzd}	Kmod	Comb.	SF
cm	kg	kg*m	kg*m	kg/cm q	kg/cm q	kg/cm q	kg/cm q	kg/cm q	kg/cm q			
61.1	-3037	5703	244	-2	35	5	133	149	164	0.9	3	3.9

Verifica a tensoflessione (§4.4.8.1.8 - NTC, §7.6.1.2.3 - CNR DT 206/2018)

Parametri di verifica: $k_m=0.70$, $k_h=0.98$, $k_{h,y}=1.00$, $k_{h,z}=1.10$, $k_{crit,m}=1.00$, $L_{eff}=55.0\text{cm}$

Instabilità di trave: **Trascurabile**

x	Nd	Myd	Mzd	σ_{t0d}	σ_{myd}	σ_{mzd}	f_{t0d}	f_{myd}	f_{mzd}	Kmod	Comb.	SF
cm	kg	kg*m	kg*m	kg/cm q	kg/cm q	kg/cm q	kg/cm q	kg/cm q	kg/cm q			
61.1	0	0	0	0	0	0	115	166	182	1	50	>100

Verifica a taglio (§4.4.8.1.9 - NTC)

x	T _{yd}	T _{zd}	τ _d	f _{vd}	K _{mod}	Comb.	SF
cm	kg	kg	kg/cmq	kg/cmq			
0.0	321	3330	4	22	0.9	3	6.1

Verifica Incendio: R60(min), d_{eff} = 4.9 [cm], β_{char} 0.70 (mm/min), b_{eff}=10.2 cm, h_{eff}=65.1 cm

Verifica a pressoflessione (§4.4.8.1.8 - NTC, §7.6.1.2.3 - CNR DT 206/2018)

Parametri di verifica: km=0.70, kh,y=1.00, kh,z=1.00, k_{crit,c}=1.00, k_{crit,m}=1.00, Lo=61.1cm, Leff=55.0cmInstabilità di colonna: **Instabilità nel piano XY**, Instabilità di trave: **Trascurabile**

x	N _d	M _{yd}	M _{zd}	σ _{c0d}	σ _{myd}	σ _{mzd}	f _{c0d}	f _{myd}	f _{mzd}	K _{mod}	Comb.	SF
cm	kg	kg*m	kg*m	kg/cm q	kg/cm q	kg/cm q	kg/cm q	kg/cm q	kg/cm q			
61.1	-1018	2006	81	-2	28	7	247	276	276	1	51	8.0

Verifica a taglio (§4.4.8.1.9 - NTC)

x	T _{yd}	T _{zd}	τ _d	f _{vd}	K _{mod}	Comb.	SF
cm	kg	kg	kg/cmq	kg/cmq			
0.0	109	1156	3	40	1	51	15

Asta: 104 [175,176]: Sez. R: b=20.0 cm, h=70.0 cm, L=61.1 cm, Crit.Prog: Legno_Tenso-Pressoflessione: **Verificato**

Verifica a pressoflessione (§4.4.8.1.8 - NTC, §7.6.1.2.3 - CNR DT 206/2018)

Parametri di verifica: km=0.70, kh,y=1.00, kh,z=1.10, k_{crit,c}=1.00, k_{crit,m}=1.00, Lo=61.1cm, Leff=55.0cmInstabilità di colonna: **Trascurabile**, Instabilità di trave: **Trascurabile**

x	N _d	M _{yd}	M _{zd}	σ _{c0d}	σ _{myd}	σ _{mzd}	f _{c0d}	f _{myd}	f _{mzd}	K _{mod}	Comb.	SF
cm	kg	kg*m	kg*m	kg/cm q	kg/cm q	kg/cm q	kg/cm q	kg/cm q	kg/cm q			
61.1	-3046	6819	87	-2	42	2	133	149	164	0.9	3	3.5

Verifica a tensoflessione (§4.4.8.1.8 - NTC, §7.6.1.2.3 - CNR DT 206/2018)

Parametri di verifica: km=0.70, kh=0.98, kh,y=1.00, kh,z=1.10, k_{crit,m}=1.00, Leff=55.0cmInstabilità di trave: **Trascurabile**

x	N _d	M _{yd}	M _{zd}	σ _{t0d}	σ _{myd}	σ _{mzd}	f _{t0d}	f _{myd}	f _{mzd}	K _{mod}	Comb.	SF
cm	kg	kg*m	kg*m	kg/cm q	kg/cm q	kg/cm q	kg/cm q	kg/cm q	kg/cm q			
61.1	0	0	0	0	0	0	115	166	182	1	50	>100

Verifica a taglio (§4.4.8.1.9 - NTC)

x	T _{yd}	T _{zd}	τ _d	f _{vd}	K _{mod}	Comb.	SF
cm	kg	kg	kg/cmq	kg/cmq			
0.0	548	1901	2	22	0.9	3	10

Verifica Incendio: R60(min), d_{eff} = 4.9 [cm], β_{char} 0.70 (mm/min), b_{eff}=10.2 cm, h_{eff}=65.1 cm

Verifica a pressoflessione (§4.4.8.1.8 - NTC, §7.6.1.2.3 - CNR DT 206/2018)

Parametri di verifica: km=0.70, kh,y=1.00, kh,z=1.00, k_{crit,c}=1.00, k_{crit,m}=1.00, Lo=61.1cm, Leff=55.0cmInstabilità di colonna: **Instabilità nel piano XY**, Instabilità di trave: **Trascurabile**

x	N _d	M _{yd}	M _{zd}	σ _{c0d}	σ _{myd}	σ _{mzd}	f _{c0d}	f _{myd}	f _{mzd}	K _{mod}	Comb.	SF
cm	kg	kg*m	kg*m	kg/cm q	kg/cm q	kg/cm q	kg/cm q	kg/cm q	kg/cm q			
61.1	-1021	2384	26	-2	33	2	247	276	276	1	51	7.6

Verifica a taglio (§4.4.8.1.9 - NTC)

x	T _{yd}	T _{zd}	τ _d	f _{vd}	K _{mod}	Comb.	SF
cm	kg	kg	kg/cmq	kg/cmq			
0.0	177	660	2	40	1	51	26

Asta: 104 [176,177]: Sez. R: b=20.0 cm, h=70.0 cm, L=61.1 cm, Crit.Prog: Legno_Tenso-Pressoflessione: **Verificato**

Verifica a pressoflessione (§4.4.8.1.8 - NTC, §7.6.1.2.3 - CNR DT 206/2018)

Parametri di verifica: $k_m=0.70$, $k_{h,y}=1.00$, $k_{h,z}=1.10$, $k_{crit,c}=1.00$, $k_{crit,m}=1.00$, $L_o=61.1\text{cm}$, $L_{eff}=55.0\text{cm}$

Instabilità di colonna: **Trascurabile**, Instabilità di trave: **Trascurabile**

x	Nd	Myd	Mzd	σ_{c0d}	σ_{myd}	σ_{mzd}	f_{c0d}	f_{myd}	f_{mzd}	Kmod	Comb.	SF
cm	kg	kg*m	kg*m	kg/cm q	kg/cm q	kg/cm q	kg/cm q	kg/cm q	kg/cm q			
61.1	-3050	6978	125	-2	43	3	133	149	164	0.9	3	3.4

Verifica a tensoflessione (§4.4.8.1.8 - NTC, §7.6.1.2.3 - CNR DT 206/2018)

Parametri di verifica: $k_m=0.70$, $k_h=0.98$, $k_{h,y}=1.00$, $k_{h,z}=1.10$, $k_{crit,m}=1.00$, $L_{eff}=55.0\text{cm}$

Instabilità di trave: **Trascurabile**

x	Nd	Myd	Mzd	σ_{t0d}	σ_{myd}	σ_{mzd}	f_{t0d}	f_{myd}	f_{mzd}	Kmod	Comb.	SF
cm	kg	kg*m	kg*m	kg/cm q	kg/cm q	kg/cm q	kg/cm q	kg/cm q	kg/cm q			
61.1	0	0	0	0	0	0	115	166	182	1	50	>100

Verifica a taglio (§4.4.8.1.9 - NTC)

x	Tyd	Tzd	τ_d	fvd	Kmod	Comb.	SF
cm	kg	kg	kg/cmq	kg/cmq			
0.0	342	317	0	22	0.9	3	43

Verifica Incendio: R60(min), $d_{eff} = 4.9$ [cm], $\beta_{char} 0.70$ (mm/min), $b_{eff}=10.2$ cm, $h_{eff}=65.1$ cm

Verifica a pressoflessione (§4.4.8.1.8 - NTC, §7.6.1.2.3 - CNR DT 206/2018)

Parametri di verifica: $k_m=0.70$, $k_{h,y}=1.00$, $k_{h,z}=1.00$, $k_{crit,c}=1.00$, $k_{crit,m}=1.00$, $L_o=61.1\text{cm}$, $L_{eff}=55.0\text{cm}$

Instabilità di colonna: **Instabilità nel piano XY**, Instabilità di trave: **Trascurabile**

x	Nd	Myd	Mzd	σ_{c0d}	σ_{myd}	σ_{mzd}	f_{c0d}	f_{myd}	f_{mzd}	Kmod	Comb.	SF
cm	kg	kg*m	kg*m	kg/cm q	kg/cm q	kg/cm q	kg/cm q	kg/cm q	kg/cm q			
61.1	-1022	2431	42	-2	34	4	247	276	276	1	51	7.2

Verifica a taglio (§4.4.8.1.9 - NTC)

x	Tyd	Tzd	τ_d	fvd	Kmod	Comb.	SF
cm	kg	kg	kg/cmq	kg/cmq			
0.0	110	113	0	40	1	51	>100

Asta: 104 [177,178]: Sez. R: $b=20.0$ cm, $h=70.0$ cm, $L=47.8$ cm, Crit.Prog: Legno_Tenso-Pressoflessione: **Verificato**

Verifica a pressoflessione (§4.4.8.1.8 - NTC, §7.6.1.2.3 - CNR DT 206/2018)

Parametri di verifica: $k_m=0.70$, $k_{h,y}=1.00$, $k_{h,z}=1.10$, $k_{crit,c}=1.00$, $k_{crit,m}=1.00$, $L_o=47.8\text{cm}$, $L_{eff}=43.0\text{cm}$

Instabilità di colonna: **Trascurabile**, Instabilità di trave: **Trascurabile**

x	Nd	Myd	Mzd	σ_{c0d}	σ_{myd}	σ_{mzd}	f_{c0d}	f_{myd}	f_{mzd}	Kmod	Comb.	SF
cm	kg	kg*m	kg*m	kg/cm q	kg/cm q	kg/cm q	kg/cm q	kg/cm q	kg/cm q			
0.0	-3046	6980	123	-2	43	3	133	149	164	0.9	3	3.4

Verifica a tensoflessione (§4.4.8.1.8 - NTC, §7.6.1.2.3 - CNR DT 206/2018)

Parametri di verifica: $k_m=0.70$, $k_h=0.98$, $k_{h,y}=1.00$, $k_{h,z}=1.10$, $k_{crit,m}=1.00$, $L_{eff}=43.0\text{cm}$

Instabilità di trave: **Trascurabile**

x	Nd	Myd	Mzd	σ_{t0d}	σ_{myd}	σ_{mzd}	f_{t0d}	f_{myd}	f_{mzd}	Kmod	Comb.	SF
cm	kg	kg*m	kg*m	kg/cm q	kg/cm q	kg/cm q	kg/cm q	kg/cm q	kg/cm q			
47.8	0	0	0	0	0	0	115	166	182	1	50	>100

Verifica a taglio (§4.4.8.1.9 - NTC)

x	Tyd	Tzd	τ_d	fvd	Kmod	Comb.	SF
cm	kg	kg	kg/cmq	kg/cmq			
47.8	623	956	1	22	0.9	3	18

Verifica Incendio: R60(min), $d_{eff} = 4.9$ [cm], $\beta_{char} 0.70$ (mm/min), $b_{eff}=10.2$ cm, $h_{eff}=65.1$ cm

Verifica a pressoflessione (§4.4.8.1.8 - NTC, §7.6.1.2.3 - CNR DT 206/2018)

Parametri di verifica: $k_m=0.70$, $k_{h,y}=1.00$, $k_{h,z}=1.00$, $k_{crit,c}=1.00$, $k_{crit,m}=1.00$, $L_o=47.8\text{cm}$, $L_{eff}=43.0\text{cm}$

Instabilità di colonna: **Trascurabile**, Instabilità di trave: **Trascurabile**

x	Nd	Myd	Mzd	σ_{c0d}	σ_{myd}	σ_{mzd}	f_{c0d}	f_{myd}	f_{mzd}	Kmod	Comb.	SF
cm	kg	kg*m	kg*m	kg/cm q	kg/cm q	kg/cm q	kg/cm q	kg/cm q	kg/cm q			
0.0	-1021	2433	42	-2	34	4	247	276	276	1	51	7.6

Verifica a taglio (§4.4.8.1.9 - NTC)

x	Tyd	Tzd	τ_d	fvd	Kmod	Comb.	SF
cm	kg	kg	kg/cmq	kg/cmq			
47.8	205	364	1	40	1	51	43

Asta: 104 [178,179]: Sez. R: $b=20.0\text{ cm}$, $h=70.0\text{ cm}$, $L=74.3\text{ cm}$, Crit.Prog: Legno_Tenso-Pressoflessione: **Verificato**

Verifica a pressoflessione (§4.4.8.1.8 - NTC, §7.6.1.2.3 - CNR DT 206/2018)

Parametri di verifica: $k_m=0.70$, $k_{h,y}=1.00$, $k_{h,z}=1.10$, $k_{crit,c}=1.00$, $k_{crit,m}=1.00$, $L_o=74.3\text{cm}$, $L_{eff}=66.9\text{cm}$

Instabilità di colonna: **Trascurabile**, Instabilità di trave: **Trascurabile**

x	Nd	Myd	Mzd	σ_{c0d}	σ_{myd}	σ_{mzd}	f_{c0d}	f_{myd}	f_{mzd}	Kmod	Comb.	SF
cm	kg	kg*m	kg*m	kg/cm q	kg/cm q	kg/cm q	kg/cm q	kg/cm q	kg/cm q			
0.0	-3024	6581	180	-2	40	4	133	149	164	0.9	3	3.5

Verifica a tensoflessione (§4.4.8.1.8 - NTC, §7.6.1.2.3 - CNR DT 206/2018)

Parametri di verifica: $k_m=0.70$, $k_{h,y}=0.98$, $k_{h,z}=1.10$, $k_{crit,m}=1.00$, $L_{eff}=66.9\text{cm}$

Instabilità di trave: **Trascurabile**

x	Nd	Myd	Mzd	σ_{t0d}	σ_{myd}	σ_{mzd}	f_{t0d}	f_{myd}	f_{mzd}	Kmod	Comb.	SF
cm	kg	kg*m	kg*m	kg/cm q	kg/cm q	kg/cm q	kg/cm q	kg/cm q	kg/cm q			
0.0	87	2253	79	0	14	2	115	166	182	1	(16+17)-I-1	11

Verifica a taglio (§4.4.8.1.9 - NTC)

x	Tyd	Tzd	τ_d	fvd	Kmod	Comb.	SF
cm	kg	kg	kg/cmq	kg/cmq			
74.3	346	2309	3	22	0.9	3	8.7

Verifica Incendio: R60(min), $d_{eff} = 4.9\text{ [cm]}$, $\beta_{char} 0.70\text{ (mm/min)}$, $b_{eff}=10.2\text{ cm}$, $h_{eff}=65.1\text{ cm}$

Verifica a pressoflessione (§4.4.8.1.8 - NTC, §7.6.1.2.3 - CNR DT 206/2018)

Parametri di verifica: $k_m=0.70$, $k_{h,y}=1.00$, $k_{h,z}=1.00$, $k_{crit,c}=0.99$, $k_{crit,m}=1.00$, $L_o=74.3\text{cm}$, $L_{eff}=66.9\text{cm}$

Instabilità di colonna: **Instabilità nel piano XY**, Instabilità di trave: **Trascurabile**

x	Nd	Myd	Mzd	σ_{c0d}	σ_{myd}	σ_{mzd}	f_{c0d}	f_{myd}	f_{mzd}	Kmod	Comb.	SF
cm	kg	kg*m	kg*m	kg/cm q	kg/cm q	kg/cm q	kg/cm q	kg/cm q	kg/cm q			
0.0	-1012	2284	58	-2	32	5	247	276	276	1	51	7.5

Verifica a taglio (§4.4.8.1.9 - NTC)

x	Tyd	Tzd	τ_d	fvd	Kmod	Comb.	SF
cm	kg	kg	kg/cmq	kg/cmq			
74.3	111	840	2	40	1	51	21

Asta: 104 [179,180]: Sez. R: $b=20.0\text{ cm}$, $h=70.0\text{ cm}$, $L=61.1\text{ cm}$, Crit.Prog: Legno_Tenso-Pressoflessione: **Verificato**

Verifica a pressoflessione (§4.4.8.1.8 - NTC, §7.6.1.2.3 - CNR DT 206/2018)

Parametri di verifica: $k_m=0.70$, $k_{h,y}=1.00$, $k_{h,z}=1.10$, $k_{crit,c}=1.00$, $k_{crit,m}=1.00$, $L_o=61.1\text{cm}$, $L_{eff}=55.0\text{cm}$

Instabilità di colonna: **Trascurabile**, Instabilità di trave: **Trascurabile**

x	Nd	Myd	Mzd	σ_{c0d}	σ_{myd}	σ_{mzd}	f_{c0d}	f_{myd}	f_{mzd}	Kmod	Comb.	SF
cm	kg	kg*m	kg*m	kg/cm q	kg/cm q	kg/cm q	kg/cm q	kg/cm q	kg/cm q			
0.0	-3005	4931	65	-2	30	1	133	149	164	0.9	3	4.8

Verifica a tensoflessione (§4.4.8.1.8 - NTC, §7.6.1.2.3 - CNR DT 206/2018)

Parametri di verifica: $k_m=0.70$, $k_h=0.98$, $k_{h,y}=1.00$, $k_{h,z}=1.10$, $k_{crit,m}=1.00$, $L_{eff}=55.0\text{cm}$

Instabilità di trave: **Trascurabile**

x	Nd	Myd	Mzd	σ_{t0d}	σ_{myd}	σ_{mzd}	f_{t0d}	f_{myd}	f_{mzd}	Kmod	Comb.	SF
cm	kg	kg*m	kg*m	kg/cm q	kg/cm q	kg/cm q	kg/cm q	kg/cm q	kg/cm q			
0.0	264	1864	40	0	11	1	115	166	182	1	(16+17)-I-1	14

Verifica a taglio (§4.4.8.1.9 - NTC)

x	Tyd	Tzd	τ_d	fvd	Kmod	Comb.	SF
cm	kg	kg	kg/cmq	kg/cmq			
61.1	79	4020	4	22	0.9	3	5.0

Verifica Incendio: R60(min), $d_{eff} = 4.9$ [cm], $\beta_{char} 0.70$ (mm/min), $b_{eff}=10.2$ cm, $h_{eff}=65.1$ cm

Verifica a pressoflessione (§4.4.8.1.8 - NTC, §7.6.1.2.3 - CNR DT 206/2018)

Parametri di verifica: $k_m=0.70$, $k_h=1.00$, $k_{h,y}=1.00$, $k_{h,z}=1.00$, $k_{crit,c}=1.00$, $k_{crit,m}=1.00$, $L_o=61.1\text{cm}$, $L_{eff}=55.0\text{cm}$

Instabilità di colonna: **Instabilità nel piano XY**, Instabilità di trave: **Trascurabile**

x	Nd	Myd	Mzd	σ_{c0d}	σ_{myd}	σ_{mzd}	f_{c0d}	f_{myd}	f_{mzd}	Kmod	Comb.	SF
cm	kg	kg*m	kg*m	kg/cm q	kg/cm q	kg/cm q	kg/cm q	kg/cm q	kg/cm q			
0.0	-1005	1698	20	-2	24	2	247	276	276	1	51	10

Verifica a taglio (§4.4.8.1.9 - NTC)

x	Tyd	Tzd	τ_d	fvd	Kmod	Comb.	SF
cm	kg	kg	kg/cmq	kg/cmq			
61.1	31	1423	3	40	1	51	13

Asta: 104 [180,181]: Sez. R: $b=20.0$ cm, $h=70.0$ cm, $L=61.1$ cm, Crit.Prog: Legno_Tenso-Pressoflessione: **Verificato**

Verifica a pressoflessione (§4.4.8.1.8 - NTC, §7.6.1.2.3 - CNR DT 206/2018)

Parametri di verifica: $k_m=0.70$, $k_h=1.00$, $k_{h,y}=1.00$, $k_{h,z}=1.10$, $k_{crit,c}=1.00$, $k_{crit,m}=1.00$, $L_o=61.1\text{cm}$, $L_{eff}=55.0\text{cm}$

Instabilità di colonna: **Trascurabile**, Instabilità di trave: **Trascurabile**

x	Nd	Myd	Mzd	σ_{c0d}	σ_{myd}	σ_{mzd}	f_{c0d}	f_{myd}	f_{mzd}	Kmod	Comb.	SF
cm	kg	kg*m	kg*m	kg/cm q	kg/cm q	kg/cm q	kg/cm q	kg/cm q	kg/cm q			
0.0	-2985	2538	105	-2	16	2	133	149	164	0.9	3	8.8

Verifica a tensoflessione (§4.4.8.1.8 - NTC, §7.6.1.2.3 - CNR DT 206/2018)

Parametri di verifica: $k_m=0.70$, $k_h=0.98$, $k_{h,y}=1.00$, $k_{h,z}=1.10$, $k_{crit,m}=1.00$, $L_{eff}=55.0\text{cm}$

Instabilità di trave: **Trascurabile**

x	Nd	Myd	Mzd	σ_{t0d}	σ_{myd}	σ_{mzd}	f_{t0d}	f_{myd}	f_{mzd}	Kmod	Comb.	SF
cm	kg	kg*m	kg*m	kg/cm q	kg/cm q	kg/cm q	kg/cm q	kg/cm q	kg/cm q			
0.0	423	1171	62	0	7	1	115	166	182	1	(16+17)-I-1	20

Verifica a taglio (§4.4.8.1.9 - NTC)

x	Tyd	Tzd	τ_d	fvd	Kmod	Comb.	SF
cm	kg	kg	kg/cmq	kg/cmq			
61.1	2	5643	6	22	0.9	3	3.6

Verifica Incendio: R60(min), $d_{eff} = 4.9$ [cm], $\beta_{char} 0.70$ (mm/min), $b_{eff}=10.2$ cm, $h_{eff}=65.1$ cm

Verifica a pressoflessione (§4.4.8.1.8 - NTC, §7.6.1.2.3 - CNR DT 206/2018)

Parametri di verifica: $k_m=0.70$, $k_h=1.00$, $k_{h,y}=1.00$, $k_{h,z}=1.00$, $k_{crit,c}=1.00$, $k_{crit,m}=1.00$, $L_o=61.1\text{cm}$, $L_{eff}=55.0\text{cm}$

Instabilità di colonna: **Instabilità nel piano XY**, Instabilità di trave: **Trascurabile**

x	Nd	Myd	Mzd	σ_{c0d}	σ_{myd}	σ_{mzd}	f_{c0d}	f_{myd}	f_{mzd}	Kmod	Comb.	SF
cm	kg	kg*m	kg*m	kg/cm q	kg/cm q	kg/cm q	kg/cm q	kg/cm q	kg/cm q			
0.0	-998	860	36	-2	12	3	247	276	276	1	51	17

Verifica a taglio (§4.4.8.1.9 - NTC)

x	T _{yd}	T _{zd}	τ_d	f _{vd}	K _{mod}	Comb.	SF
cm	kg	kg	kg/cm ^q	kg/cm ^q			
61.1	1	1988	4	40	1	51	9.0

Asta: 104 [181,182]: Sez. R: b=20.0 cm, h=70.0 cm, L=61.1 cm, Crit.Prog: Legno_Tenso-Pressoflessione:
Verificato

Verifica a pressoflessione (§4.4.8.1.8 - NTC, §7.6.1.2.3 - CNR DT 206/2018)

Parametri di verifica: $k_m=0.70$, $k_{h,y}=1.00$, $k_{h,z}=1.10$, $k_{crit,c}=1.00$, $k_{crit,m}=1.00$, $L_o=61.1$ cm, $L_{eff}=55.0$ cm

Instabilità di colonna: **Trascurabile**, Instabilità di trave: **Trascurabile**

x	N _d	M _{yd}	M _{zd}	σ_{c0d}	σ_{myd}	σ_{mzd}	f _{c0d}	f _{myd}	f _{mzd}	K _{mod}	Comb.	SF
cm	kg	kg*m	kg*m	kg/cm ^q	kg/cm ^q	kg/cm ^q	kg/cm ^q	kg/cm ^q	kg/cm ^q			
61.1	-2967	5286	42	-2	32	1	133	149	164	0.9	3	4.5

Verifica a tensoflessione (§4.4.8.1.8 - NTC, §7.6.1.2.3 - CNR DT 206/2018)

Parametri di verifica: $k_m=0.70$, $k_h=0.98$, $k_{h,y}=1.00$, $k_{h,z}=1.10$, $k_{crit,m}=1.00$, $L_{eff}=55.0$ cm

Instabilità di trave: **Trascurabile**

x	N _d	M _{yd}	M _{zd}	σ_{t0d}	σ_{myd}	σ_{mzd}	f _{t0d}	f _{myd}	f _{mzd}	K _{mod}	Comb.	SF
cm	kg	kg*m	kg*m	kg/cm ^q	kg/cm ^q	kg/cm ^q	kg/cm ^q	kg/cm ^q	kg/cm ^q			
61.1	577	1312	46	0	8	1	115	166	182	1	(16+17)-I-1	18

Verifica a taglio (§4.4.8.1.9 - NTC)

x	T _{yd}	T _{zd}	τ_d	f _{vd}	K _{mod}	Comb.	SF
cm	kg	kg	kg/cm ^q	kg/cm ^q			
61.1	238	7311	8	22	0.9	3	2.8

Verifica Incendio: R60(min), $d_{eff} = 4.9$ [cm], $\beta_{char} 0.70$ (mm/min), $b_{eff}=10.2$ cm, $h_{eff}=65.1$ cm

Verifica a pressoflessione (§4.4.8.1.8 - NTC, §7.6.1.2.3 - CNR DT 206/2018)

Parametri di verifica: $k_m=0.70$, $k_{h,y}=1.00$, $k_{h,z}=1.00$, $k_{crit,c}=1.00$, $k_{crit,m}=1.00$, $L_o=61.1$ cm, $L_{eff}=55.0$ cm

Instabilità di colonna: **Instabilità nel piano XY**, Instabilità di trave: **Trascurabile**

x	N _d	M _{yd}	M _{zd}	σ_{c0d}	σ_{myd}	σ_{mzd}	f _{c0d}	f _{myd}	f _{mzd}	K _{mod}	Comb.	SF
cm	kg	kg*m	kg*m	kg/cm ^q	kg/cm ^q	kg/cm ^q	kg/cm ^q	kg/cm ^q	kg/cm ^q			
61.1	-992	1874	12	-1	26	1	247	276	276	1	51	9.7

Verifica a taglio (§4.4.8.1.9 - NTC)

x	T _{yd}	T _{zd}	τ_d	f _{vd}	K _{mod}	Comb.	SF
cm	kg	kg	kg/cm ^q	kg/cm ^q			
61.1	78	2569	6	40	1	51	6.9

Asta: 104 [182,108]: Sez. R: b=20.0 cm, h=70.0 cm, L=61.1 cm, Crit.Prog: Legno_Tenso-Pressoflessione:
Verificato

Verifica a pressoflessione (§4.4.8.1.8 - NTC, §7.6.1.2.3 - CNR DT 206/2018)

Parametri di verifica: $k_m=0.70$, $k_{h,y}=1.00$, $k_{h,z}=1.10$, $k_{crit,c}=1.00$, $k_{crit,m}=1.00$, $L_o=61.1$ cm, $L_{eff}=55.0$ cm

Instabilità di colonna: **Trascurabile**, Instabilità di trave: **Trascurabile**

x	N _d	M _{yd}	M _{zd}	σ_{c0d}	σ_{myd}	σ_{mzd}	f _{c0d}	f _{myd}	f _{mzd}	K _{mod}	Comb.	SF
cm	kg	kg*m	kg*m	kg/cm ^q	kg/cm ^q	kg/cm ^q	kg/cm ^q	kg/cm ^q	kg/cm ^q			
61.1	-2954	10754	200	-2	66	4	133	149	164	0.9	3	2.2

Verifica a tensoflessione (§4.4.8.1.8 - NTC, §7.6.1.2.3 - CNR DT 206/2018)

Parametri di verifica: $k_m=0.70$, $k_h=0.98$, $k_{h,y}=1.00$, $k_{h,z}=1.10$, $k_{crit,m}=1.00$, $L_{eff}=55.0$ cm

Instabilità di trave: **Trascurabile**

x	N _d	M _{yd}	M _{zd}	σ_{t0d}	σ_{myd}	σ_{mzd}	f _{t0d}	f _{myd}	f _{mzd}	K _{mod}	Comb.	SF
cm	kg	kg*m	kg*m	kg/cm ^q	kg/cm ^q	kg/cm ^q	kg/cm ^q	kg/cm ^q	kg/cm ^q			
61.1	724	3064	207	1	19	4	115	166	182	1	(16+17)-I-1	7.4

Verifica a taglio (§4.4.8.1.9 - NTC)

x	T _{yd}	T _{zd}	τ _d	f _{vd}	K _{mod}	Comb.	SF
cm	kg	kg	kg/cmq	kg/cmq			
61.1	259	9038	10	22	0.9	3	2.2

Verifica Incendio: R60(min), d_{eff} = 4.9 [cm], β_{char} 0.70 (mm/min), b_{eff}=10.2 cm, h_{eff}=65.1 cm

Verifica a pressoflessione (§4.4.8.1.8 - NTC, §7.6.1.2.3 - CNR DT 206/2018)

Parametri di verifica: k_m=0.70, k_{h,y}=1.00, k_{h,z}=1.00, k_{crit,c}=1.00, k_{crit,m}=1.00, L_o=61.1cm, L_{eff}=55.0cm

Instabilità di colonna: **Instabilità nel piano XY**, Instabilità di trave: **Trascurabile**

x	N _d	M _{yd}	M _{zd}	σ _{c0d}	σ _{myd}	σ _{mzd}	f _{c0d}	f _{myd}	f _{mzd}	K _{mod}	Comb.	SF
cm	kg	kg*m	kg*m	kg/cm q	kg/cm q	kg/cm q	kg/cm q	kg/cm q	kg/cm q			
61.1	-987	3782	70	-1	52	6	247	276	276	1	51	4.7

Verifica a taglio (§4.4.8.1.9 - NTC)

x	T _{yd}	T _{zd}	τ _d	f _{vd}	K _{mod}	Comb.	SF
cm	kg	kg	kg/cmq	kg/cmq			
61.1	95	3171	7	40	1	51	5.6

Asta: 107 [183,184]: Sez. R: b=20.0 cm, h=70.0 cm, L=61.1 cm, Crit.Prog: Legno_Tenso-Pressoflessione: **Verificato**

Verifica a pressoflessione (§4.4.8.1.8 - NTC, §7.6.1.2.3 - CNR DT 206/2018)

Parametri di verifica: k_m=0.70, k_{h,y}=1.00, k_{h,z}=1.10, k_{crit,c}=1.00, k_{crit,m}=1.00, L_o=61.1cm, L_{eff}=55.0cm

Instabilità di colonna: **Trascurabile**, Instabilità di trave: **Trascurabile**

x	N _d	M _{yd}	M _{zd}	σ _{c0d}	σ _{myd}	σ _{mzd}	f _{c0d}	f _{myd}	f _{mzd}	K _{mod}	Comb.	SF
cm	kg	kg*m	kg*m	kg/cm q	kg/cm q	kg/cm q	kg/cm q	kg/cm q	kg/cm q			
61.1	-742	2188	136	-1	13	3	133	149	164	0.9	3	9.8

Verifica a tensoflessione (§4.4.8.1.8 - NTC, §7.6.1.2.3 - CNR DT 206/2018)

Parametri di verifica: k_m=0.70, k_h=0.98, k_{h,y}=1.00, k_{h,z}=1.10, k_{crit,m}=1.00, L_{eff}=55.0cm

Instabilità di trave: **Trascurabile**

x	N _d	M _{yd}	M _{zd}	σ _{t0d}	σ _{myd}	σ _{mzd}	f _{t0d}	f _{myd}	f _{mzd}	K _{mod}	Comb.	SF
cm	kg	kg*m	kg*m	kg/cm q	kg/cm q	kg/cm q	kg/cm q	kg/cm q	kg/cm q			
0.0	153	895	59	0	5	1	115	166	182	1	(16+17)-I-1	26

Verifica a taglio (§4.4.8.1.9 - NTC)

x	T _{yd}	T _{zd}	τ _d	f _{vd}	K _{mod}	Comb.	SF
cm	kg	kg	kg/cmq	kg/cmq			
0.0	144	2358	3	22	0.9	3	8.6

Verifica Incendio: R60(min), d_{eff} = 4.9 [cm], β_{char} 0.70 (mm/min), b_{eff}=10.2 cm, h_{eff}=65.1 cm

Verifica a pressoflessione (§4.4.8.1.8 - NTC, §7.6.1.2.3 - CNR DT 206/2018)

Parametri di verifica: k_m=0.70, k_{h,y}=1.00, k_{h,z}=1.00, k_{crit,c}=1.00, k_{crit,m}=1.00, L_o=61.1cm, L_{eff}=55.0cm

Instabilità di colonna: **Instabilità nel piano XY**, Instabilità di trave: **Trascurabile**

x	N _d	M _{yd}	M _{zd}	σ _{c0d}	σ _{myd}	σ _{mzd}	f _{c0d}	f _{myd}	f _{mzd}	K _{mod}	Comb.	SF
cm	kg	kg*m	kg*m	kg/cm q	kg/cm q	kg/cm q	kg/cm q	kg/cm q	kg/cm q			
61.1	-259	760	42	-0	11	4	247	276	276	1	51	20

Verifica a taglio (§4.4.8.1.9 - NTC)

x	T _{yd}	T _{zd}	τ _d	f _{vd}	K _{mod}	Comb.	SF
cm	kg	kg	kg/cmq	kg/cmq			
0.0	46	796	2	40	1	51	22

Asta: 107 [184,185]: Sez. R: b=20.0 cm, h=70.0 cm, L=61.1 cm, Crit.Prog: Legno_Tenso-Pressoflessione: **Verificato**

Verifica a pressoflessione (§4.4.8.1.8 - NTC, §7.6.1.2.3 - CNR DT 206/2018)

Parametri di verifica: $k_m=0.70$, $k_{h,y}=1.00$, $k_{h,z}=1.10$, $k_{crit,c}=1.00$, $k_{crit,m}=1.00$, $L_0=61.1\text{cm}$, $L_{eff}=55.0\text{cm}$

Instabilità di colonna: **Trascurabile**, Instabilità di trave: **Trascurabile**

x	Nd	Myd	Mzd	σ_{c0d}	σ_{myd}	σ_{mzd}	f_{c0d}	f_{myd}	f_{mzd}	Kmod	Comb.	SF
cm	kg	kg*m	kg*m	kg/cm q	kg/cm q	kg/cm q	kg/cm q	kg/cm q	kg/cm q			
61.1	-742	2494	113	-1	15	2	133	149	164	0.9	3	8.9

Verifica a tensoflessione (§4.4.8.1.8 - NTC, §7.6.1.2.3 - CNR DT 206/2018)

Parametri di verifica: $k_m=0.70$, $k_h=0.98$, $k_{h,y}=1.00$, $k_{h,z}=1.10$, $k_{crit,m}=1.00$, $L_{eff}=55.0\text{cm}$

Instabilità di trave: **Trascurabile**

x	Nd	Myd	Mzd	σ_{t0d}	σ_{myd}	σ_{mzd}	f_{t0d}	f_{myd}	f_{mzd}	Kmod	Comb.	SF
cm	kg	kg*m	kg*m	kg/cm q	kg/cm q	kg/cm q	kg/cm q	kg/cm q	kg/cm q			
61.1	107	689	105	0	4	2	115	166	182	1	(16+17)-II-2	29

Verifica a taglio (§4.4.8.1.9 - NTC)

x	Tyd	Tzd	τ_d	fvd	Kmod	Comb.	SF
cm	kg	kg	kg/cmq	kg/cmq			
0.0	21	859	1	24	1	(16+17)-I-1	26

Verifica Incendio: R60(min), $d_{eff} = 4.9$ [cm], $\beta_{char} 0.70$ (mm/min), $b_{eff}=10.2$ cm, $h_{eff}=65.1$ cm

Verifica a pressoflessione (§4.4.8.1.8 - NTC, §7.6.1.2.3 - CNR DT 206/2018)

Parametri di verifica: $k_m=0.70$, $k_{h,y}=1.00$, $k_{h,z}=1.00$, $k_{crit,c}=1.00$, $k_{crit,m}=1.00$, $L_0=61.1\text{cm}$, $L_{eff}=55.0\text{cm}$

Instabilità di colonna: **Instabilità nel piano XY**, Instabilità di trave: **Trascurabile**

x	Nd	Myd	Mzd	σ_{c0d}	σ_{myd}	σ_{mzd}	f_{c0d}	f_{myd}	f_{mzd}	Kmod	Comb.	SF
cm	kg	kg*m	kg*m	kg/cm q	kg/cm q	kg/cm q	kg/cm q	kg/cm q	kg/cm q			
61.1	-259	851	36	-0	12	3	247	276	276	1	51	19

Verifica a taglio (§4.4.8.1.9 - NTC)

x	Tyd	Tzd	τ_d	fvd	Kmod	Comb.	SF
cm	kg	kg	kg/cmq	kg/cmq			
0.0	12	177	0	40	1	51	>100

Asta: 107 [185,186]: Sez. R: $b=20.0$ cm, $h=70.0$ cm, $L=61.1$ cm, Crit.Prog: Legno_Tenso-Pressoflessione: **Verificato**

Verifica a pressoflessione (§4.4.8.1.8 - NTC, §7.6.1.2.3 - CNR DT 206/2018)

Parametri di verifica: $k_m=0.70$, $k_{h,y}=1.00$, $k_{h,z}=1.10$, $k_{crit,c}=1.00$, $k_{crit,m}=1.00$, $L_0=61.1\text{cm}$, $L_{eff}=55.0\text{cm}$

Instabilità di colonna: **Trascurabile**, Instabilità di trave: **Trascurabile**

x	Nd	Myd	Mzd	σ_{c0d}	σ_{myd}	σ_{mzd}	f_{c0d}	f_{myd}	f_{mzd}	Kmod	Comb.	SF
cm	kg	kg*m	kg*m	kg/cm q	kg/cm q	kg/cm q	kg/cm q	kg/cm q	kg/cm q			
0.0	-743	2494	121	-1	15	3	133	149	164	0.9	3	8.8

Verifica a tensoflessione (§4.4.8.1.8 - NTC, §7.6.1.2.3 - CNR DT 206/2018)

Parametri di verifica: $k_m=0.70$, $k_h=0.98$, $k_{h,y}=1.00$, $k_{h,z}=1.10$, $k_{crit,m}=1.00$, $L_{eff}=55.0\text{cm}$

Instabilità di trave: **Trascurabile**

x	Nd	Myd	Mzd	σ_{t0d}	σ_{myd}	σ_{mzd}	f_{t0d}	f_{myd}	f_{mzd}	Kmod	Comb.	SF
cm	kg	kg*m	kg*m	kg/cm q	kg/cm q	kg/cm q	kg/cm q	kg/cm q	kg/cm q			
0.0	245	740	114	0	5	2	115	166	182	1	(16+17)-II-2	26

Verifica a taglio (§4.4.8.1.9 - NTC)

x	Tyd	Tzd	τ_d	fvd	Kmod	Comb.	SF
cm	kg	kg	kg/cmq	kg/cmq			
61.1	95	1401	2	22	0.9	3	14

Verifica Incendio: R60(min), $d_{eff} = 4.9$ [cm], $\beta_{char} 0.70$ (mm/min), $b_{eff}=10.2$ cm, $h_{eff}=65.1$ cm

Verifica a pressoflessione (§4.4.8.1.8 - NTC, §7.6.1.2.3 - CNR DT 206/2018)

Parametri di verifica: $k_m=0.70$, $k_{h,y}=1.00$, $k_{h,z}=1.00$, $k_{crit,c}=1.00$, $k_{crit,m}=1.00$, $L_o=61.1\text{cm}$, $L_{eff}=55.0\text{cm}$

Instabilità di colonna: **Instabilità nel piano XY**, Instabilità di trave: **Trascurabile**

x	Nd	Myd	Mzd	σ_{c0d}	σ_{myd}	σ_{mzd}	f_{c0d}	f_{myd}	f_{mzd}	Kmod	Comb.	SF
cm	kg	kg*m	kg*m	kg/cm q	kg/cm q	kg/cm q	kg/cm q	kg/cm q	kg/cm q			
0.0	-260	851	39	-0	12	3	247	276	276	1	51	19

Verifica a taglio (§4.4.8.1.9 - NTC)

x	Tyd	Tzd	τ_d	fvd	Kmod	Comb.	SF
cm	kg	kg	kg/cmq	kg/cmq			
61.1	34	515	1	40	1	51	35

Asta: 107 [186,187]: Sez. R: $b=20.0\text{ cm}$, $h=70.0\text{ cm}$, $L=61.1\text{ cm}$, Crit.Prog: Legno_Tenso-Pressoflessione: **Verificato**

Verifica a pressoflessione (§4.4.8.1.8 - NTC, §7.6.1.2.3 - CNR DT 206/2018)

Parametri di verifica: $k_m=0.70$, $k_{h,y}=1.00$, $k_{h,z}=1.10$, $k_{crit,c}=1.00$, $k_{crit,m}=1.00$, $L_o=61.1\text{cm}$, $L_{eff}=55.0\text{cm}$

Instabilità di colonna: **Trascurabile**, Instabilità di trave: **Trascurabile**

x	Nd	Myd	Mzd	σ_{c0d}	σ_{myd}	σ_{mzd}	f_{c0d}	f_{myd}	f_{mzd}	Kmod	Comb.	SF
cm	kg	kg*m	kg*m	kg/cm q	kg/cm q	kg/cm q	kg/cm q	kg/cm q	kg/cm q			
0.0	-749	1658	72	-1	10	2	133	149	164	0.9	3	13

Verifica a tensoflessione (§4.4.8.1.8 - NTC, §7.6.1.2.3 - CNR DT 206/2018)

Parametri di verifica: $k_m=0.70$, $k_{h,y}=0.98$, $k_{h,z}=1.10$, $k_{crit,m}=1.00$, $L_{eff}=55.0\text{cm}$

Instabilità di trave: **Trascurabile**

x	Nd	Myd	Mzd	σ_{t0d}	σ_{myd}	σ_{mzd}	f_{t0d}	f_{myd}	f_{mzd}	Kmod	Comb.	SF
cm	kg	kg*m	kg*m	kg/cm q	kg/cm q	kg/cm q	kg/cm q	kg/cm q	kg/cm q			
0.0	381	714	86	0	4	2	115	166	182	1	(16+17)-II-2	28

Verifica a taglio (§4.4.8.1.9 - NTC)

x	Tyd	Tzd	τ_d	fvd	Kmod	Comb.	SF
cm	kg	kg	kg/cmq	kg/cmq			
61.1	45	3309	4	22	0.9	3	6.1

Verifica Incendio: R60(min), $d_{eff} = 4.9\text{ [cm]}$, $\beta_{char} 0.70\text{ (mm/min)}$, $b_{eff}=10.2\text{ cm}$, $h_{eff}=65.1\text{ cm}$

Verifica a pressoflessione (§4.4.8.1.8 - NTC, §7.6.1.2.3 - CNR DT 206/2018)

Parametri di verifica: $k_m=0.70$, $k_{h,y}=1.00$, $k_{h,z}=1.00$, $k_{crit,c}=1.00$, $k_{crit,m}=1.00$, $L_o=61.1\text{cm}$, $L_{eff}=55.0\text{cm}$

Instabilità di colonna: **Instabilità nel piano XY**, Instabilità di trave: **Trascurabile**

x	Nd	Myd	Mzd	σ_{c0d}	σ_{myd}	σ_{mzd}	f_{c0d}	f_{myd}	f_{mzd}	Kmod	Comb.	SF
cm	kg	kg*m	kg*m	kg/cm q	kg/cm q	kg/cm q	kg/cm q	kg/cm q	kg/cm q			
0.0	-262	554	22	-0	8	2	247	276	276	1	51	29

Verifica a taglio (§4.4.8.1.9 - NTC)

x	Tyd	Tzd	τ_d	fvd	Kmod	Comb.	SF
cm	kg	kg	kg/cmq	kg/cmq			
61.1	21	1163	3	40	1	51	15

Asta: 107 [187,188]: Sez. R: $b=20.0\text{ cm}$, $h=70.0\text{ cm}$, $L=61.1\text{ cm}$, Crit.Prog: Legno_Tenso-Pressoflessione: **Verificato**

Verifica a pressoflessione (§4.4.8.1.8 - NTC, §7.6.1.2.3 - CNR DT 206/2018)

Parametri di verifica: $k_m=0.70$, $k_{h,y}=1.00$, $k_{h,z}=1.10$, $k_{crit,c}=1.00$, $k_{crit,m}=1.00$, $L_o=61.1\text{cm}$, $L_{eff}=55.0\text{cm}$

Instabilità di colonna: **Trascurabile**, Instabilità di trave: **Trascurabile**

x	Nd	Myd	Mzd	σ_{c0d}	σ_{myd}	σ_{mzd}	f_{c0d}	f_{myd}	f_{mzd}	Kmod	Comb.	SF
cm	kg	kg*m	kg*m	kg/cm q	kg/cm q	kg/cm q	kg/cm q	kg/cm q	kg/cm q			
61.1	-760	3508	192	-1	21	4	133	149	164	0.9	3	6.2

Verifica a tensoflessione (§4.4.8.1.8 - NTC, §7.6.1.2.3 - CNR DT 206/2018)

Parametri di verifica: $k_m=0.70$, $k_h=0.98$, $k_{h,y}=1.00$, $k_{h,z}=1.10$, $k_{crit,m}=1.00$, $L_{eff}=55.0\text{cm}$

Instabilità di trave: **Trascurabile**

x	Nd	Myd	Mzd	σ_{t0d}	σ_{myd}	σ_{mzd}	f_{t0d}	f_{myd}	f_{mzd}	Kmod	Comb.	SF
cm	kg	kg*m	kg*m	kg/cm q	kg/cm q	kg/cm q	kg/cm q	kg/cm q	kg/cm q			
61.1	513	592	134	0	4	3	115	166	182	1	(16+17)-II-2	28

Verifica a taglio (§4.4.8.1.9 - NTC)

x	Tyd	Tzd	τ_d	fvd	Kmod	Comb.	SF
cm	kg	kg	kg/cmq	kg/cmq			
61.1	399	5210	6	22	0.9	3	3.9

Verifica Incendio: R60(min), $d_{eff} = 4.9$ [cm], $\beta_{char} 0.70$ (mm/min), $b_{eff}=10.2$ cm, $h_{eff}=65.1$ cm

Verifica a pressoflessione (§4.4.8.1.8 - NTC, §7.6.1.2.3 - CNR DT 206/2018)

Parametri di verifica: $k_m=0.70$, $k_h=1.00$, $k_{h,y}=1.00$, $k_{h,z}=1.00$, $k_{crit,c}=1.00$, $k_{crit,m}=1.00$, $L_o=61.1\text{cm}$, $L_{eff}=55.0\text{cm}$

Instabilità di colonna: **Instabilità nel piano XY**, Instabilità di trave: **Trascurabile**

x	Nd	Myd	Mzd	σ_{c0d}	σ_{myd}	σ_{mzd}	f_{c0d}	f_{myd}	f_{mzd}	Kmod	Comb.	SF
cm	kg	kg*m	kg*m	kg/cm q	kg/cm q	kg/cm q	kg/cm q	kg/cm q	kg/cm q			
61.1	-265	1226	70	-0	17	6	247	276	276	1	51	13

Verifica a taglio (§4.4.8.1.9 - NTC)

x	Tyd	Tzd	τ_d	fvd	Kmod	Comb.	SF
cm	kg	kg	kg/cmq	kg/cmq			
61.1	134	1807	4	40	1	51	9.8

Asta: 107 [188,114]: Sez. R: $b=20.0$ cm, $h=70.0$ cm, $L=47.8$ cm, Crit.Prog: Legno_Tenso-Pressoflessione: **Verificato**

Verifica a pressoflessione (§4.4.8.1.8 - NTC, §7.6.1.2.3 - CNR DT 206/2018)

Parametri di verifica: $k_m=0.70$, $k_h=1.00$, $k_{h,y}=1.00$, $k_{h,z}=1.10$, $k_{crit,c}=1.00$, $k_{crit,m}=1.00$, $L_o=47.8\text{cm}$, $L_{eff}=43.0\text{cm}$

Instabilità di colonna: **Trascurabile**, Instabilità di trave: **Trascurabile**

x	Nd	Myd	Mzd	σ_{c0d}	σ_{myd}	σ_{mzd}	f_{c0d}	f_{myd}	f_{mzd}	Kmod	Comb.	SF
cm	kg	kg*m	kg*m	kg/cm q	kg/cm q	kg/cm q	kg/cm q	kg/cm q	kg/cm q			
47.8	-765	6882	274	-1	42	6	133	149	164	0.9	3	3.2

Verifica a tensoflessione (§4.4.8.1.8 - NTC, §7.6.1.2.3 - CNR DT 206/2018)

Parametri di verifica: $k_m=0.70$, $k_h=0.98$, $k_{h,y}=1.00$, $k_{h,z}=1.10$, $k_{crit,m}=1.00$, $L_{eff}=43.0\text{cm}$

Instabilità di trave: **Trascurabile**

x	Nd	Myd	Mzd	σ_{t0d}	σ_{myd}	σ_{mzd}	f_{t0d}	f_{myd}	f_{mzd}	Kmod	Comb.	SF
cm	kg	kg*m	kg*m	kg/cm q	kg/cm q	kg/cm q	kg/cm q	kg/cm q	kg/cm q			
47.8	627	1542	440	0	9	9	115	166	182	1	(16+17)-II-2	10

Verifica a taglio (§4.4.8.1.9 - NTC)

x	Tyd	Tzd	τ_d	fvd	Kmod	Comb.	SF
cm	kg	kg	kg/cmq	kg/cmq			
47.8	177	6963	7	22	0.9	3	2.9

Verifica Incendio: R60(min), $d_{eff} = 4.9$ [cm], $\beta_{char} 0.70$ (mm/min), $b_{eff}=10.2$ cm, $h_{eff}=65.1$ cm

Verifica a pressoflessione (§4.4.8.1.8 - NTC, §7.6.1.2.3 - CNR DT 206/2018)

Parametri di verifica: $k_m=0.70$, $k_h=1.00$, $k_{h,y}=1.00$, $k_{h,z}=1.00$, $k_{crit,c}=1.00$, $k_{crit,m}=1.00$, $L_o=47.8\text{cm}$, $L_{eff}=43.0\text{cm}$

Instabilità di colonna: **Trascurabile**, Instabilità di trave: **Trascurabile**

x	Nd	Myd	Mzd	σ_{c0d}	σ_{myd}	σ_{mzd}	f_{c0d}	f_{myd}	f_{mzd}	Kmod	Comb.	SF
cm	kg	kg*m	kg*m	kg/cm q	kg/cm q	kg/cm q	kg/cm q	kg/cm q	kg/cm q			
47.8	-267	2383	84	-0	33	7	247	276	276	1	51	7.2

Verifica a taglio (§4.4.8.1.9 - NTC)

x	Tyd	Tzd	τ_d	fvd	Kmod	Comb.	SF
cm	kg	kg	kg/cmq	kg/cmq			
47.8	30	2400	5	40	1	51	7.4

Asta: 132 [172,183]: Sez. R: b=12.0 cm, h=24.0 cm, L=691.2 cm, Crit.Prog: Legno_Arcareccio: **Verificato**

Verifica a flessione (§4.4.8.1.6, §4.4.8.1.1 - NTC)

Parametri di verifica: km=0.70, kh,y=1.10, kh,z=1.10, kcrit,m=1.00, Leff=622.1cm

Instabilità di trave: **Trascurabile**

x	Myd	Mzd	σ_{myd}	σ_{mzd}	fmyd	fmzd	Kmod	Comb.	SF
cm	kg*m	kg*m	kg/cmq	kg/cmq	kg/cmq	kg/cmq			
691.2	1075	0	93	0	163	164	0.9	3	1.7

Verifica a taglio (§4.4.8.1.9 - NTC)

x	Tyd	Tzd	τ_d	fvd	Kmod	Comb.	SF
cm	kg	kg	kg/cmq	kg/cmq			
691.2	2	996	5	22	0.9	3	4.2

Verifica Incendio: R30(min), d_eff = 2.2 [cm], β_{char} 0.50 (mm/min), b_eff=7.6 cm, h_eff=21.8 cm

Verifica a flessione (§4.4.8.1.6, §4.4.8.1.1 - NTC)

Parametri di verifica: km=0.70, kh,y=1.00, kh,z=1.00, kcrit,m=0.85, Leff=622.1cm

Instabilità di trave: **Instabilità nel piano XY**

x	Myd	Mzd	σ_{myd}	σ_{mzd}	fmyd	fmzd	Kmod	Comb.	SF
cm	kg*m	kg*m	kg/cmq	kg/cmq	kg/cmq	kg/cmq			
691.2	348	0	58	0	276	276	1	51	4.1

Verifica a taglio (§4.4.8.1.9 - NTC)

x	Tyd	Tzd	τ_d	fvd	Kmod	Comb.	SF
cm	kg	kg	kg/cmq	kg/cmq			
691.2	0	323	3	40	1	51	14

Asta: 133 [173,184]: Sez. R: b=12.0 cm, h=24.0 cm, L=691.2 cm, Crit.Prog: Legno_Arcareccio: **Verificato**

Verifica a flessione (§4.4.8.1.6, §4.4.8.1.1 - NTC)

Parametri di verifica: km=0.70, kh,y=1.10, kh,z=1.10, kcrit,m=1.00, Leff=622.1cm

Instabilità di trave: **Trascurabile**

x	Myd	Mzd	σ_{myd}	σ_{mzd}	fmyd	fmzd	Kmod	Comb.	SF
cm	kg*m	kg*m	kg/cmq	kg/cmq	kg/cmq	kg/cmq			
691.2	1114	0	97	0	163	164	0.9	3	1.7

Verifica a taglio (§4.4.8.1.9 - NTC)

x	Tyd	Tzd	τ_d	fvd	Kmod	Comb.	SF
cm	kg	kg	kg/cmq	kg/cmq			
691.2	2	1019	5	22	0.9	3	4.1

Verifica Incendio: R30(min), d_eff = 2.2 [cm], β_{char} 0.50 (mm/min), b_eff=7.6 cm, h_eff=21.8 cm

Verifica a flessione (§4.4.8.1.6, §4.4.8.1.1 - NTC)

Parametri di verifica: km=0.70, kh,y=1.00, kh,z=1.00, kcrit,m=0.85, Leff=622.1cm

Instabilità di trave: **Instabilità nel piano XY**

x	Myd	Mzd	σ_{myd}	σ_{mzd}	fmyd	fmzd	Kmod	Comb.	SF
cm	kg*m	kg*m	kg/cmq	kg/cmq	kg/cmq	kg/cmq			
691.2	360	0	60	0	276	276	1	51	3.9

Verifica a taglio (§4.4.8.1.9 - NTC)

x	Tyd	Tzd	τ_d	fvd	Kmod	Comb.	SF
cm	kg	kg	kg/cmq	kg/cmq			
691.2	1	329	3	40	1	51	13

Asta: 134 [174,185]: Sez. R: b=12.0 cm, h=24.0 cm, L=691.2 cm, Crit.Prog: Legno_Arcareccio: **Verificato**

Verifica a flessione (§4.4.8.1.6, §4.4.8.1.1 - NTC)

Parametri di verifica: $k_m=0.70$, $k_{h,y}=1.10$, $k_{h,z}=1.10$, $k_{crit,m}=1.00$, $L_{eff}=622.1\text{cm}$

Instabilità di trave: **Trascurabile**

x	Myd	Mzd	σ_{myd}	σ_{mzd}	fmyd	fmzd	Kmod	Comb.	SF
cm	kg*m	kg*m	kg/cmq	kg/cmq	kg/cmq	kg/cmq			
691.2	1136	0	99	0	163	164	0.9	3	1.7

Verifica a taglio (§4.4.8.1.9 - NTC)

x	Tyd	Tzd	τ_d	fvd	Kmod	Comb.	SF
cm	kg	kg	kg/cmq	kg/cmq			
691.2	2	1032	5	22	0.9	3	4.0

Verifica Incendio: R30(min), $d_{eff} = 2.2$ [cm], $\beta_{char} 0.50$ (mm/min), $b_{eff}=7.6$ cm, $h_{eff}=21.8$ cm

Verifica a flessione (§4.4.8.1.6, §4.4.8.1.1 - NTC)

Parametri di verifica: $k_m=0.70$, $k_{h,y}=1.00$, $k_{h,z}=1.00$, $k_{crit,m}=0.85$, $L_{eff}=622.1\text{cm}$

Instabilità di trave: **Instabilità nel piano XY**

x	Myd	Mzd	σ_{myd}	σ_{mzd}	fmyd	fmzd	Kmod	Comb.	SF
cm	kg*m	kg*m	kg/cmq	kg/cmq	kg/cmq	kg/cmq			
691.2	367	0	61	0	276	276	1	51	3.9

Verifica a taglio (§4.4.8.1.9 - NTC)

x	Tyd	Tzd	τ_d	fvd	Kmod	Comb.	SF
cm	kg	kg	kg/cmq	kg/cmq			
691.2	1	334	3	40	1	51	13

Asta: 135 [175,186]: Sez. R: $b=12.0$ cm, $h=24.0$ cm, $L=691.2$ cm, Crit.Prog: Legno_Arcareccio: **Verificato**

Verifica a flessione (§4.4.8.1.6, §4.4.8.1.1 - NTC)

Parametri di verifica: $k_m=0.70$, $k_{h,y}=1.10$, $k_{h,z}=1.10$, $k_{crit,m}=1.00$, $L_{eff}=622.1\text{cm}$

Instabilità di trave: **Trascurabile**

x	Myd	Mzd	σ_{myd}	σ_{mzd}	fmyd	fmzd	Kmod	Comb.	SF
cm	kg*m	kg*m	kg/cmq	kg/cmq	kg/cmq	kg/cmq			
691.2	1168	0	101	0	163	164	0.9	3	1.6

Verifica a taglio (§4.4.8.1.9 - NTC)

x	Tyd	Tzd	τ_d	fvd	Kmod	Comb.	SF
cm	kg	kg	kg/cmq	kg/cmq			
691.2	1	1043	5	22	0.9	3	4.0

Verifica Incendio: R30(min), $d_{eff} = 2.2$ [cm], $\beta_{char} 0.50$ (mm/min), $b_{eff}=7.6$ cm, $h_{eff}=21.8$ cm

Verifica a flessione (§4.4.8.1.6, §4.4.8.1.1 - NTC)

Parametri di verifica: $k_m=0.70$, $k_{h,y}=1.00$, $k_{h,z}=1.00$, $k_{crit,m}=0.85$, $L_{eff}=622.1\text{cm}$

Instabilità di trave: **Instabilità nel piano XY**

x	Myd	Mzd	σ_{myd}	σ_{mzd}	fmyd	fmzd	Kmod	Comb.	SF
cm	kg*m	kg*m	kg/cmq	kg/cmq	kg/cmq	kg/cmq			
691.2	378	0	63	0	276	276	1	51	3.8

Verifica a taglio (§4.4.8.1.9 - NTC)

x	Tyd	Tzd	τ_d	fvd	Kmod	Comb.	SF
cm	kg	kg	kg/cmq	kg/cmq			
691.2	0	337	3	40	1	51	13

Asta: 136 [176,187]: Sez. R: $b=12.0$ cm, $h=24.0$ cm, $L=691.2$ cm, Crit.Prog: Legno_Arcareccio: **Verificato**

Verifica a flessione (§4.4.8.1.6, §4.4.8.1.1 - NTC)

Parametri di verifica: $k_m=0.70$, $k_{h,y}=1.10$, $k_{h,z}=1.10$, $k_{crit,m}=1.00$, $L_{eff}=622.1\text{cm}$

Instabilità di trave: **Trascurabile**

x	Myd	Mzd	σ_{myd}	σ_{mzd}	fmyd	fmzd	Kmod	Comb.	SF
cm	kg*m	kg*m	kg/cmq	kg/cmq	kg/cmq	kg/cmq			

x	Myd	Mzd	σ_{myd}	σ_{mzd}	fmyd	fmzd	Kmod	Comb.	SF
691.2	1232	0	107	0	163	164	0.9	3	1.5

Verifica a taglio (§4.4.8.1.9 - NTC)

x	Tyd	Tzd	τ_d	fvd	Kmod	Comb.	SF
cm	kg	kg	kg/cmq	kg/cmq			
691.2	1	1061	6	22	0.9	3	3.9

Verifica Incendio: R30(min), $d_{eff} = 2.2$ [cm], $\beta_{char} 0.50$ (mm/min), $b_{eff}=7.6$ cm, $h_{eff}=21.8$ cm

Verifica a flessione (§4.4.8.1.6, §4.4.8.1.1 - NTC)

Parametri di verifica: $k_m=0.70$, $k_{h,y}=1.00$, $k_{h,z}=1.00$, $k_{crit,m}=0.85$, $L_{eff}=622.1$ cm

Instabilità di trave: **Instabilità nel piano XY**

x	Myd	Mzd	σ_{myd}	σ_{mzd}	fmyd	fmzd	Kmod	Comb.	SF
cm	kg*m	kg*m	kg/cmq	kg/cmq	kg/cmq	kg/cmq			
691.2	400	0	66	0	276	276	1	51	3.6

Verifica a taglio (§4.4.8.1.9 - NTC)

x	Tyd	Tzd	τ_d	fvd	Kmod	Comb.	SF
cm	kg	kg	kg/cmq	kg/cmq			
691.2	0	343	3	40	1	51	13

Asta: 137 [177,188]: Sez. R: $b=12.0$ cm, $h=24.0$ cm, $L=691.2$ cm, Crit.Prog: Legno_Arcareccio: **Verificato**

Verifica a flessione (§4.4.8.1.6, §4.4.8.1.1 - NTC)

Parametri di verifica: $k_m=0.70$, $k_{h,y}=1.10$, $k_{h,z}=1.10$, $k_{crit,m}=1.00$, $L_{eff}=622.1$ cm

Instabilità di trave: **Trascurabile**

x	Myd	Mzd	σ_{myd}	σ_{mzd}	fmyd	fmzd	Kmod	Comb.	SF
cm	kg*m	kg*m	kg/cmq	kg/cmq	kg/cmq	kg/cmq			
691.2	1192	0	103	0	163	164	0.9	3	1.6

Verifica a taglio (§4.4.8.1.9 - NTC)

x	Tyd	Tzd	τ_d	fvd	Kmod	Comb.	SF
cm	kg	kg	kg/cmq	kg/cmq			
691.2	0	977	5	22	0.9	3	4.3

Verifica Incendio: R30(min), $d_{eff} = 2.2$ [cm], $\beta_{char} 0.50$ (mm/min), $b_{eff}=7.6$ cm, $h_{eff}=21.8$ cm

Verifica a flessione (§4.4.8.1.6, §4.4.8.1.1 - NTC)

Parametri di verifica: $k_m=0.70$, $k_{h,y}=1.00$, $k_{h,z}=1.00$, $k_{crit,m}=0.85$, $L_{eff}=622.1$ cm

Instabilità di trave: **Instabilità nel piano XY**

x	Myd	Mzd	σ_{myd}	σ_{mzd}	fmyd	fmzd	Kmod	Comb.	SF
cm	kg*m	kg*m	kg/cmq	kg/cmq	kg/cmq	kg/cmq			
691.2	393	0	65	0	276	276	1	51	3.6

Verifica a taglio (§4.4.8.1.9 - NTC)

x	Tyd	Tzd	τ_d	fvd	Kmod	Comb.	SF
cm	kg	kg	kg/cmq	kg/cmq			
691.2	0	321	3	40	1	51	14

Asta: 107 [189,190]: Sez. R: $b=20.0$ cm, $h=70.0$ cm, $L=61.1$ cm, Crit.Prog: Legno_Tenso-Pressoflessione: **Verificato**

Verifica a pressoflessione (§4.4.8.1.8 - NTC, §7.6.1.2.3 - CNR DT 206/2018)

Parametri di verifica: $k_m=0.70$, $k_{h,y}=1.00$, $k_{h,z}=1.10$, $k_{crit,c}=1.00$, $k_{crit,m}=1.00$, $L_o=61.1$ cm, $L_{eff}=55.0$ cm

Instabilità di colonna: **Trascurabile**, Instabilità di trave: **Trascurabile**

x	Nd	Myd	Mzd	σ_{0d}	σ_{myd}	σ_{mzd}	f_{c0d}	fmyd	fmzd	Kmod	Comb.	SF
cm	kg	kg*m	kg*m	kg/cm	kg/cm	kg/cm	kg/cm	kg/cm	kg/cm			
0.0	-1792	3286	33	-1	20	1	133	149	164	0.9	3	7.2

Verifica a tensoflessione (§4.4.8.1.8 - NTC, §7.6.1.2.3 - CNR DT 206/2018)

Parametri di verifica: $k_m=0.70$, $k_h=0.98$, $k_{h,y}=1.00$, $k_{h,z}=1.10$, $k_{crit,m}=1.00$, $L_{eff}=55.0\text{cm}$

Instabilità di trave: **Trascurabile**

x	Nd	Myd	Mzd	σ_{t0d}	σ_{myd}	σ_{mzd}	f_{t0d}	f_{myd}	f_{mzd}	Kmod	Comb.	SF
cm	kg	kg*m	kg*m	kg/cm q	kg/cm q	kg/cm q	kg/cm q	kg/cm q	kg/cm q			
61.1	244	1008	98	0	6	2	115	166	182	1	(16+17)-I-3	21

Verifica a taglio (§4.4.8.1.9 - NTC)

x	Tyd	Tzd	τ_d	fvd	Kmod	Comb.	SF
cm	kg	kg	kg/cmq	kg/cmq			
0.0	282	6725	7	22	0.9	3	3.0

Verifica Incendio: R60(min), $d_{eff} = 4.9$ [cm], $\beta_{char} 0.70$ (mm/min), $b_{eff}=10.2$ cm, $h_{eff}=65.1$ cm

Verifica a pressoflessione (§4.4.8.1.8 - NTC, §7.6.1.2.3 - CNR DT 206/2018)

Parametri di verifica: $k_m=0.70$, $k_h,y=1.00$, $k_h,z=1.00$, $k_{crit,c}=1.00$, $k_{crit,m}=1.00$, $L_o=61.1\text{cm}$, $L_{eff}=55.0\text{cm}$

Instabilità di colonna: **Instabilità nel piano XY**, Instabilità di trave: **Trascurabile**

x	Nd	Myd	Mzd	σ_{c0d}	σ_{myd}	σ_{mzd}	f_{c0d}	f_{myd}	f_{mzd}	Kmod	Comb.	SF
cm	kg	kg*m	kg*m	kg/cm q	kg/cm q	kg/cm q	kg/cm q	kg/cm q	kg/cm q			
0.0	-618	1155	12	-1	16	1	247	276	276	1	51	15

Verifica a taglio (§4.4.8.1.9 - NTC)

x	Tyd	Tzd	τ_d	fvd	Kmod	Comb.	SF
cm	kg	kg	kg/cmq	kg/cmq			
0.0	85	2292	5	40	1	51	7.8

Asta: 107 [190,191]: Sez. R: $b=20.0$ cm, $h=70.0$ cm, $L=61.1$ cm, Crit.Prog: Legno_Tenso-Pressoflessione: **Verificato**

Verifica a pressoflessione (§4.4.8.1.8 - NTC, §7.6.1.2.3 - CNR DT 206/2018)

Parametri di verifica: $k_m=0.70$, $k_h,y=1.00$, $k_h,z=1.10$, $k_{crit,c}=1.00$, $k_{crit,m}=1.00$, $L_o=61.1\text{cm}$, $L_{eff}=55.0\text{cm}$

Instabilità di colonna: **Trascurabile**, Instabilità di trave: **Trascurabile**

x	Nd	Myd	Mzd	σ_{c0d}	σ_{myd}	σ_{mzd}	f_{c0d}	f_{myd}	f_{mzd}	Kmod	Comb.	SF
cm	kg	kg*m	kg*m	kg/cm q	kg/cm q	kg/cm q	kg/cm q	kg/cm q	kg/cm q			
61.1	-1835	3428	153	-1	21	3	133	149	164	0.9	3	6.5

Verifica a tensoflessione (§4.4.8.1.8 - NTC, §7.6.1.2.3 - CNR DT 206/2018)

Parametri di verifica: $k_m=0.70$, $k_h=0.98$, $k_{h,y}=1.00$, $k_{h,z}=1.10$, $k_{crit,m}=1.00$, $L_{eff}=55.0\text{cm}$

Instabilità di trave: **Trascurabile**

x	Nd	Myd	Mzd	σ_{t0d}	σ_{myd}	σ_{mzd}	f_{t0d}	f_{myd}	f_{mzd}	Kmod	Comb.	SF
cm	kg	kg*m	kg*m	kg/cm q	kg/cm q	kg/cm q	kg/cm q	kg/cm q	kg/cm q			
61.1	232	1573	82	0	10	2	115	166	182	1	(16+17)-I-3	15

Verifica a taglio (§4.4.8.1.9 - NTC)

x	Tyd	Tzd	τ_d	fvd	Kmod	Comb.	SF
cm	kg	kg	kg/cmq	kg/cmq			
0.0	54	4668	5	22	0.9	3	4.3

Verifica Incendio: R60(min), $d_{eff} = 4.9$ [cm], $\beta_{char} 0.70$ (mm/min), $b_{eff}=10.2$ cm, $h_{eff}=65.1$ cm

Verifica a pressoflessione (§4.4.8.1.8 - NTC, §7.6.1.2.3 - CNR DT 206/2018)

Parametri di verifica: $k_m=0.70$, $k_h,y=1.00$, $k_h,z=1.00$, $k_{crit,c}=1.00$, $k_{crit,m}=1.00$, $L_o=61.1\text{cm}$, $L_{eff}=55.0\text{cm}$

Instabilità di colonna: **Instabilità nel piano XY**, Instabilità di trave: **Trascurabile**

x	Nd	Myd	Mzd	σ_{c0d}	σ_{myd}	σ_{mzd}	f_{c0d}	f_{myd}	f_{mzd}	Kmod	Comb.	SF
cm	kg	kg*m	kg*m	kg/cm q	kg/cm q	kg/cm q	kg/cm q	kg/cm q	kg/cm q			
61.1	-624	1131	49	-1	16	4	247	276	276	1	51	14

Verifica a taglio (§4.4.8.1.9 - NTC)

x	Tyd	Tzd	τ_d	fvd	Kmod	Comb.	SF
---	-----	-----	----------	-----	------	-------	----

x	Tyd	Tzd	τ_d	fvd	Kmod	Comb.	SF
cm	kg	kg	kg/cmq	kg/cmq			
0.0	26	1611	4	40	1	51	11

Asta: 107 [191,192]: Sez. R: b=20.0 cm, h=70.0 cm, L=61.1 cm, Crit.Prog: Legno_Tenso-Pressoflessione:
Verificato

Verifica a pressoflessione (§4.4.8.1.8 - NTC, §7.6.1.2.3 - CNR DT 206/2018)

Parametri di verifica: km=0.70, kh,y=1.00, kh,z=1.10, kcrit,c=1.00, kcrit,m=1.00, Lo=61.1cm, Leff=55.0cm

Instabilità di colonna: **Trascurabile**, Instabilità di trave: **Trascurabile**

x	Nd	Myd	Mzd	σ_{0d}	σ_{myd}	σ_{mzd}	fc0d	fmyd	fmzd	Kmod	Comb.	SF
cm	kg	kg*m	kg*m	kg/cm q	kg/cm q	kg/cm q	kg/cm q	kg/cm q	kg/cm q			
61.1	-1829	5007	110	-1	31	2	133	149	164	0.9	3	4.6

Verifica a tensoflessione (§4.4.8.1.8 - NTC, §7.6.1.2.3 - CNR DT 206/2018)

Parametri di verifica: km=0.70, kh=0.98, kh,y=1.00, kh,z=1.10, kcrit,m=1.00, Leff=55.0cm

Instabilità di trave: **Trascurabile**

x	Nd	Myd	Mzd	σ_{t0d}	σ_{myd}	σ_{mzd}	ft0d	fmyd	fmzd	Kmod	Comb.	SF
cm	kg	kg*m	kg*m	kg/cm q	kg/cm q	kg/cm q	kg/cm q	kg/cm q	kg/cm q			
61.1	289	1569	52	0	10	1	115	166	182	1	(16+17)-I-1	16

Verifica a taglio (§4.4.8.1.9 - NTC)

x	Tyd	Tzd	τ_d	fvd	Kmod	Comb.	SF
cm	kg	kg	kg/cmq	kg/cmq			
0.0	49	2919	3	22	0.9	3	6.9

Verifica Incendio: R60(min), d_eff = 4.9 [cm], β_{char} 0.70 (mm/min), b_eff=10.2 cm, h_eff=65.1 cm

Verifica a pressoflessione (§4.4.8.1.8 - NTC, §7.6.1.2.3 - CNR DT 206/2018)

Parametri di verifica: km=0.70, kh,y=1.00, kh,z=1.00, kcrit,c=1.00, kcrit,m=1.00, Lo=61.1cm, Leff=55.0cm

Instabilità di colonna: **Instabilità nel piano XY**, Instabilità di trave: **Trascurabile**

x	Nd	Myd	Mzd	σ_{0d}	σ_{myd}	σ_{mzd}	fc0d	fmyd	fmzd	Kmod	Comb.	SF
cm	kg	kg*m	kg*m	kg/cm q	kg/cm q	kg/cm q	kg/cm q	kg/cm q	kg/cm q			
61.1	-615	1678	39	-1	23	3	247	276	276	1	51	10

Verifica a taglio (§4.4.8.1.9 - NTC)

x	Tyd	Tzd	τ_d	fvd	Kmod	Comb.	SF
cm	kg	kg	kg/cmq	kg/cmq			
0.0	8	1018	2	40	1	51	18

Asta: 107 [192,193]: Sez. R: b=20.0 cm, h=70.0 cm, L=61.1 cm, Crit.Prog: Legno_Tenso-Pressoflessione:
Verificato

Verifica a pressoflessione (§4.4.8.1.8 - NTC, §7.6.1.2.3 - CNR DT 206/2018)

Parametri di verifica: km=0.70, kh,y=1.00, kh,z=1.10, kcrit,c=1.00, kcrit,m=1.00, Lo=61.1cm, Leff=55.0cm

Instabilità di colonna: **Trascurabile**, Instabilità di trave: **Trascurabile**

x	Nd	Myd	Mzd	σ_{0d}	σ_{myd}	σ_{mzd}	fc0d	fmyd	fmzd	Kmod	Comb.	SF
cm	kg	kg*m	kg*m	kg/cm q	kg/cm q	kg/cm q	kg/cm q	kg/cm q	kg/cm q			
61.1	-1801	5539	41	-1	34	1	133	149	164	0.9	3	4.3

Verifica a tensoflessione (§4.4.8.1.8 - NTC, §7.6.1.2.3 - CNR DT 206/2018)

Parametri di verifica: km=0.70, kh=0.98, kh,y=1.00, kh,z=1.10, kcrit,m=1.00, Leff=55.0cm

Instabilità di trave: **Trascurabile**

x	Nd	Myd	Mzd	σ_{t0d}	σ_{myd}	σ_{mzd}	ft0d	fmyd	fmzd	Kmod	Comb.	SF
cm	kg	kg*m	kg*m	kg/cm q	kg/cm q	kg/cm q	kg/cm q	kg/cm q	kg/cm q			
61.1	404	2099	23	0	13	0	115	166	182	1	(16+17)-I-1	12

Verifica a taglio (§4.4.8.1.9 - NTC)

x	T _{yd}	T _{zd}	τ _d	f _{vd}	K _{mod}	Comb.	SF
cm	kg	kg	kg/cmq	kg/cmq			
0.0	236	1222	1	22	0.9	3	16

Verifica Incendio: R60(min), d_{eff} = 4.9 [cm], β_{char} 0.70 (mm/min), b_{eff}=10.2 cm, h_{eff}=65.1 cm

Verifica a pressoflessione (§4.4.8.1.8 - NTC, §7.6.1.2.3 - CNR DT 206/2018)

Parametri di verifica: km=0.70, kh,y=1.00, kh,z=1.00, k_{crit,c}=1.00, k_{crit,m}=1.00, Lo=61.1cm, Leff=55.0cmInstabilità di colonna: **Instabilità nel piano XY**, Instabilità di trave: **Trascurabile**

x	N _d	M _{yd}	M _{zd}	σ _{c0d}	σ _{myd}	σ _{mzd}	f _{c0d}	f _{myd}	f _{mzd}	K _{mod}	Comb.	SF
cm	kg	kg*m	kg*m	kg/cm q	kg/cm q	kg/cm q	kg/cm q	kg/cm q	kg/cm q			
61.1	-597	1871	7	-1	26	1	247	276	276	1	51	10

Verifica a taglio (§4.4.8.1.9 - NTC)

x	T _{yd}	T _{zd}	τ _d	f _{vd}	K _{mod}	Comb.	SF
cm	kg	kg	kg/cmq	kg/cmq			
0.0	71	443	1	40	1	51	40

Asta: 107 [193,194]: Sez. R: b=20.0 cm, h=70.0 cm, L=67.0 cm, Crit.Prog: Legno_Tenso-Pressoflessione: **Verificato**

Verifica a pressoflessione (§4.4.8.1.8 - NTC, §7.6.1.2.3 - CNR DT 206/2018)

Parametri di verifica: km=0.70, kh,y=1.00, kh,z=1.10, k_{crit,c}=1.00, k_{crit,m}=1.00, Lo=67.0cm, Leff=60.3cmInstabilità di colonna: **Trascurabile**, Instabilità di trave: **Trascurabile**

x	N _d	M _{yd}	M _{zd}	σ _{c0d}	σ _{myd}	σ _{mzd}	f _{c0d}	f _{myd}	f _{mzd}	K _{mod}	Comb.	SF
cm	kg	kg*m	kg*m	kg/cm q	kg/cm q	kg/cm q	kg/cm q	kg/cm q	kg/cm q			
0.0	-1790	5335	43	-1	33	1	133	149	164	0.9	3	4.5

Verifica a tensoflessione (§4.4.8.1.8 - NTC, §7.6.1.2.3 - CNR DT 206/2018)

Parametri di verifica: km=0.70, kh=0.98, kh,y=1.00, kh,z=1.10, k_{crit,m}=1.00, Leff=60.3cmInstabilità di trave: **Trascurabile**

x	N _d	M _{yd}	M _{zd}	σ _{t0d}	σ _{myd}	σ _{mzd}	f _{t0d}	f _{myd}	f _{mzd}	K _{mod}	Comb.	SF
cm	kg	kg*m	kg*m	kg/cm q	kg/cm q	kg/cm q	kg/cm q	kg/cm q	kg/cm q			
67.0	555	2254	0	0	14	0	115	166	182	1	(16+17)-I-1	12

Verifica a taglio (§4.4.8.1.9 - NTC)

x	T _{yd}	T _{zd}	τ _d	f _{vd}	K _{mod}	Comb.	SF
cm	kg	kg	kg/cmq	kg/cmq			
67.0	176	644	1	22	0.9	3	30

Verifica Incendio: R60(min), d_{eff} = 4.9 [cm], β_{char} 0.70 (mm/min), b_{eff}=10.2 cm, h_{eff}=65.1 cm

Verifica a pressoflessione (§4.4.8.1.8 - NTC, §7.6.1.2.3 - CNR DT 206/2018)

Parametri di verifica: km=0.70, kh,y=1.00, kh,z=1.00, k_{crit,c}=0.99, k_{crit,m}=1.00, Lo=67.0cm, Leff=60.3cmInstabilità di colonna: **Instabilità nel piano XY**, Instabilità di trave: **Trascurabile**

x	N _d	M _{yd}	M _{zd}	σ _{c0d}	σ _{myd}	σ _{mzd}	f _{c0d}	f _{myd}	f _{mzd}	K _{mod}	Comb.	SF
cm	kg	kg*m	kg*m	kg/cm q	kg/cm q	kg/cm q	kg/cm q	kg/cm q	kg/cm q			
0.0	-580	1808	8	-1	25	1	247	276	276	1	51	10

Verifica a taglio (§4.4.8.1.9 - NTC)

x	T _{yd}	T _{zd}	τ _d	f _{vd}	K _{mod}	Comb.	SF
cm	kg	kg	kg/cmq	kg/cmq			
67.0	50	219	1	40	1	51	79

Asta: 107 [194,195]: Sez. R: b=20.0 cm, h=70.0 cm, L=67.0 cm, Crit.Prog: Legno_Tenso-Pressoflessione: **Verificato**

Verifica a pressoflessione (§4.4.8.1.8 - NTC, §7.6.1.2.3 - CNR DT 206/2018)

Parametri di verifica: $k_m=0.70$, $k_{h,y}=1.00$, $k_{h,z}=1.10$, $k_{crit,c}=1.00$, $k_{crit,m}=1.00$, $L_o=67.0\text{cm}$, $L_{eff}=60.3\text{cm}$

Instabilità di colonna: **Trascurabile**, Instabilità di trave: **Trascurabile**

x	Nd	Myd	Mzd	σ_{c0d}	σ_{myd}	σ_{mzd}	f_{c0d}	f_{myd}	f_{mzd}	Kmod	Comb.	SF
cm	kg	kg*m	kg*m	kg/cm q	kg/cm q	kg/cm q	kg/cm q	kg/cm q	kg/cm q			
0.0	-1711	4725	77	-1	29	2	133	149	164	0.9	3	5.0

Verifica a tensoflessione (§4.4.8.1.8 - NTC, §7.6.1.2.3 - CNR DT 206/2018)

Parametri di verifica: $k_m=0.70$, $k_h=0.98$, $k_{h,y}=1.00$, $k_{h,z}=1.10$, $k_{crit,m}=1.00$, $L_{eff}=60.3\text{cm}$

Instabilità di trave: **Trascurabile**

x	Nd	Myd	Mzd	σ_{t0d}	σ_{myd}	σ_{mzd}	f_{t0d}	f_{myd}	f_{mzd}	Kmod	Comb.	SF
cm	kg	kg*m	kg*m	kg/cm q	kg/cm q	kg/cm q	kg/cm q	kg/cm q	kg/cm q			
0.0	742	2248	6	1	14	0	115	166	182	1	(16+17)-I-1	11

Verifica a taglio (§4.4.8.1.9 - NTC)

x	Tyd	Tzd	τ_d	fvd	Kmod	Comb.	SF
cm	kg	kg	kg/cm q	kg/cm q			
67.0	95	2437	3	22	0.9	3	8.3

Verifica Incendio: R60(min), $d_{eff} = 4.9$ [cm], $\beta_{char} 0.70$ (mm/min), $b_{eff}=10.2$ cm, $h_{eff}=65.1$ cm

Verifica a pressoflessione (§4.4.8.1.8 - NTC, §7.6.1.2.3 - CNR DT 206/2018)

Parametri di verifica: $k_m=0.70$, $k_{h,y}=1.00$, $k_{h,z}=1.00$, $k_{crit,c}=0.99$, $k_{crit,m}=1.00$, $L_o=67.0\text{cm}$, $L_{eff}=60.3\text{cm}$

Instabilità di colonna: **Instabilità nel piano XY**, Instabilità di trave: **Trascurabile**

x	Nd	Myd	Mzd	σ_{c0d}	σ_{myd}	σ_{mzd}	f_{c0d}	f_{myd}	f_{mzd}	Kmod	Comb.	SF
cm	kg	kg*m	kg*m	kg/cm q	kg/cm q	kg/cm q	kg/cm q	kg/cm q	kg/cm q			
0.0	-538	1621	26	-1	22	2	247	276	276	1	51	11

Verifica a taglio (§4.4.8.1.9 - NTC)

x	Tyd	Tzd	τ_d	fvd	Kmod	Comb.	SF
cm	kg	kg	kg/cm q	kg/cm q			
67.0	27	821	2	40	1	51	22

Asta: 107 [195,196]: Sez. R: $b=20.0$ cm, $h=70.0$ cm, $L=67.0$ cm, Crit.Prog: Legno_Tenso-Pressoflessione: **Verificato**

Verifica a pressoflessione (§4.4.8.1.8 - NTC, §7.6.1.2.3 - CNR DT 206/2018)

Parametri di verifica: $k_m=0.70$, $k_{h,y}=1.00$, $k_{h,z}=1.10$, $k_{crit,c}=1.00$, $k_{crit,m}=1.00$, $L_o=67.0\text{cm}$, $L_{eff}=60.3\text{cm}$

Instabilità di colonna: **Trascurabile**, Instabilità di trave: **Trascurabile**

x	Nd	Myd	Mzd	σ_{c0d}	σ_{myd}	σ_{mzd}	f_{c0d}	f_{myd}	f_{mzd}	Kmod	Comb.	SF
cm	kg	kg*m	kg*m	kg/cm q	kg/cm q	kg/cm q	kg/cm q	kg/cm q	kg/cm q			
0.0	-1580	2863	147	-1	18	3	133	149	164	0.9	3	7.6

Verifica a tensoflessione (§4.4.8.1.8 - NTC, §7.6.1.2.3 - CNR DT 206/2018)

Parametri di verifica: $k_m=0.70$, $k_h=0.98$, $k_{h,y}=1.00$, $k_{h,z}=1.10$, $k_{crit,m}=1.00$, $L_{eff}=60.3\text{cm}$

Instabilità di trave: **Trascurabile**

x	Nd	Myd	Mzd	σ_{t0d}	σ_{myd}	σ_{mzd}	f_{t0d}	f_{myd}	f_{mzd}	Kmod	Comb.	SF
cm	kg	kg*m	kg*m	kg/cm q	kg/cm q	kg/cm q	kg/cm q	kg/cm q	kg/cm q			
0.0	957	1992	0	1	12	0	115	166	182	1	(16+17)-I-1	13

Verifica a taglio (§4.4.8.1.9 - NTC)

x	Tyd	Tzd	τ_d	fvd	Kmod	Comb.	SF
cm	kg	kg	kg/cm q	kg/cm q			
67.0	63	4493	5	22	0.9	3	4.5

Verifica Incendio: R60(min), $d_{eff} = 4.9$ [cm], $\beta_{char} 0.70$ (mm/min), $b_{eff}=10.2$ cm, $h_{eff}=65.1$ cm

Verifica a pressoflessione (§4.4.8.1.8 - NTC, §7.6.1.2.3 - CNR DT 206/2018)

Parametri di verifica: $k_m=0.70$, $k_{h,y}=1.00$, $k_{h,z}=1.00$, $k_{crit,c}=0.99$, $k_{crit,m}=1.00$, $L_o=67.0\text{cm}$, $L_{eff}=60.3\text{cm}$

Instabilità di colonna: **Instabilità nel piano XY**, Instabilità di trave: **Trascurabile**

x	Nd	Myd	Mzd	σ_{c0d}	σ_{myd}	σ_{mzd}	f_{c0d}	f_{myd}	f_{mzd}	Kmod	Comb.	SF
cm	kg	kg*m	kg*m	kg/cm q	kg/cm q	kg/cm q	kg/cm q	kg/cm q	kg/cm q			
0.0	-476	1017	46	-1	14	4	247	276	276	1	51	16

Verifica a taglio (§4.4.8.1.9 - NTC)

x	Tyd	Tzd	τ_d	fvd	Kmod	Comb.	SF
cm	kg	kg	kg/cmq	kg/cmq			
67.0	31	1497	3	40	1	51	12

Asta: 107 [196,197]: Sez. R: $b=20.0\text{ cm}$, $h=70.0\text{ cm}$, $L=67.0\text{ cm}$, Crit.Prog: Legno_Tenso-Pressoflessione: **Verificato**

Verifica a pressoflessione (§4.4.8.1.8 - NTC, §7.6.1.2.3 - CNR DT 206/2018)

Parametri di verifica: $k_m=0.70$, $k_{h,y}=1.00$, $k_{h,z}=1.10$, $k_{crit,c}=1.00$, $k_{crit,m}=1.00$, $L_o=67.0\text{cm}$, $L_{eff}=60.3\text{cm}$

Instabilità di colonna: **Trascurabile**, Instabilità di trave: **Trascurabile**

x	Nd	Myd	Mzd	σ_{c0d}	σ_{myd}	σ_{mzd}	f_{c0d}	f_{myd}	f_{mzd}	Kmod	Comb.	SF
cm	kg	kg*m	kg*m	kg/cm q	kg/cm q	kg/cm q	kg/cm q	kg/cm q	kg/cm q			
67.0	-1580	3828	190	-1	23	4	133	149	164	0.9	3	5.7

Verifica a tensoflessione (§4.4.8.1.8 - NTC, §7.6.1.2.3 - CNR DT 206/2018)

Parametri di verifica: $k_m=0.70$, $k_{h,y}=0.98$, $k_{h,z}=1.10$, $k_{crit,m}=1.00$, $L_{eff}=60.3\text{cm}$

Instabilità di trave: **Trascurabile**

x	Nd	Myd	Mzd	σ_{t0d}	σ_{myd}	σ_{mzd}	f_{t0d}	f_{myd}	f_{mzd}	Kmod	Comb.	SF
cm	kg	kg*m	kg*m	kg/cm q	kg/cm q	kg/cm q	kg/cm q	kg/cm q	kg/cm q			
0.0	1050	1310	110	1	8	2	115	166	182	1	(16+17)-I-1	16

Verifica a taglio (§4.4.8.1.9 - NTC)

x	Tyd	Tzd	τ_d	fvd	Kmod	Comb.	SF
cm	kg	kg	kg/cmq	kg/cmq			
67.0	573	5589	6	22	0.9	3	3.6

Verifica Incendio: R60(min), $d_{eff} = 4.9\text{ [cm]}$, $\beta_{char} 0.70\text{ (mm/min)}$, $b_{eff}=10.2\text{ cm}$, $h_{eff}=65.1\text{ cm}$

Verifica a pressoflessione (§4.4.8.1.8 - NTC, §7.6.1.2.3 - CNR DT 206/2018)

Parametri di verifica: $k_m=0.70$, $k_{h,y}=1.00$, $k_{h,z}=1.00$, $k_{crit,c}=0.99$, $k_{crit,m}=1.00$, $L_o=67.0\text{cm}$, $L_{eff}=60.3\text{cm}$

Instabilità di colonna: **Instabilità nel piano XY**, Instabilità di trave: **Trascurabile**

x	Nd	Myd	Mzd	σ_{c0d}	σ_{myd}	σ_{mzd}	f_{c0d}	f_{myd}	f_{mzd}	Kmod	Comb.	SF
cm	kg	kg*m	kg*m	kg/cm q	kg/cm q	kg/cm q	kg/cm q	kg/cm q	kg/cm q			
67.0	-476	1201	67	-1	17	6	247	276	276	1	51	13

Verifica a taglio (§4.4.8.1.9 - NTC)

x	Tyd	Tzd	τ_d	fvd	Kmod	Comb.	SF
cm	kg	kg	kg/cmq	kg/cmq			
67.0	201	1883	4	40	1	51	9.4

Asta: 107 [197,113]: Sez. R: $b=20.0\text{ cm}$, $h=70.0\text{ cm}$, $L=32.0\text{ cm}$, Crit.Prog: Legno_Tenso-Pressoflessione: **Verificato**

Verifica a pressoflessione (§4.4.8.1.8 - NTC, §7.6.1.2.3 - CNR DT 206/2018)

Parametri di verifica: $k_m=0.70$, $k_{h,y}=1.00$, $k_{h,z}=1.10$, $k_{crit,c}=1.00$, $k_{crit,m}=1.00$, $L_o=32.0\text{cm}$, $L_{eff}=28.8\text{cm}$

Instabilità di colonna: **Trascurabile**, Instabilità di trave: **Trascurabile**

x	Nd	Myd	Mzd	σ_{c0d}	σ_{myd}	σ_{mzd}	f_{c0d}	f_{myd}	f_{mzd}	Kmod	Comb.	SF
cm	kg	kg*m	kg*m	kg/cm q	kg/cm q	kg/cm q	kg/cm q	kg/cm q	kg/cm q			
32.0	-1525	5994	582	-1	37	12	133	149	164	0.9	3	3.3

Verifica a tensoflessione (§4.4.8.1.8 - NTC, §7.6.1.2.3 - CNR DT 206/2018)

Parametri di verifica: $k_m=0.70$, $k_{h,y}=1.00$, $k_{h,z}=1.10$, $k_{crit,m}=1.00$, $L_{eff}=28.8\text{cm}$

Instabilità di trave: **Trascurabile**

x	Nd	Myd	Mzd	σ_{t0d}	σ_{myd}	σ_{mzd}	f_{t0d}	f_{myd}	f_{mzd}	Kmod	Comb.	SF
cm	kg	kg*m	kg*m	kg/cm q	kg/cm q	kg/cm q	kg/cm q	kg/cm q	kg/cm q			
32.0	784	1067	116	1	7	2	115	166	182	1	(16+17)-II-2	19

Verifica a taglio (§4.4.8.1.9 - NTC)

x	Tyd	Tzd	τ_d	fvd	Kmod	Comb.	SF
cm	kg	kg	kg/cmq	kg/cmq			
32.0	1230	6487	7	22	0.9	3	3.1

Verifica Incendio: R60(min), $d_{eff} = 4.9$ [cm], $\beta_{char} 0.70$ (mm/min), $b_{eff}=10.2$ cm, $h_{eff}=65.1$ cm

Verifica a pressoflessione (§4.4.8.1.8 - NTC, §7.6.1.2.3 - CNR DT 206/2018)

Parametri di verifica: $k_m=0.70$, $k_{h,y}=1.00$, $k_{h,z}=1.00$, $k_{crit,c}=1.00$, $k_{crit,m}=1.00$, $L_o=32.0\text{cm}$, $L_{eff}=28.8\text{cm}$

Instabilità di colonna: **Trascurabile**, Instabilità di trave: **Trascurabile**

x	Nd	Myd	Mzd	σ_{c0d}	σ_{myd}	σ_{mzd}	f_{c0d}	f_{myd}	f_{mzd}	Kmod	Comb.	SF
cm	kg	kg*m	kg*m	kg/cm q	kg/cm q	kg/cm q	kg/cm q	kg/cm q	kg/cm q			
32.0	-456	1928	209	-1	27	18	247	276	276	1	51	7.0

Verifica a taglio (§4.4.8.1.9 - NTC)

x	Tyd	Tzd	τ_d	fvd	Kmod	Comb.	SF
cm	kg	kg	kg/cmq	kg/cmq			
32.0	444	2192	5	40	1	51	8.0

Asta: 138 [179,189]: Sez. R: $b=12.0$ cm, $h=24.0$ cm, $L=691.2$ cm, Crit.Prog: Legno_Arcareccio: **Verificato**

Verifica a flessione (§4.4.8.1.6, §4.4.8.1.1 - NTC)

Parametri di verifica: $k_m=0.70$, $k_{h,y}=1.10$, $k_{h,z}=1.10$, $k_{crit,m}=1.00$, $L_{eff}=622.1\text{cm}$

Instabilità di trave: **Trascurabile**

x	Myd	Mzd	σ_{myd}	σ_{mzd}	f_{myd}	f_{mzd}	Kmod	Comb.	SF
cm	kg*m	kg*m	kg/cmq	kg/cmq	kg/cmq	kg/cmq			
691.2	1302	0	113	0	163	164	0.9	3	1.4

Verifica a taglio (§4.4.8.1.9 - NTC)

x	Tyd	Tzd	τ_d	fvd	Kmod	Comb.	SF
cm	kg	kg	kg/cmq	kg/cmq			
691.2	3	1148	6	22	0.9	3	3.6

Verifica Incendio: R30(min), $d_{eff} = 2.2$ [cm], $\beta_{char} 0.50$ (mm/min), $b_{eff}=7.6$ cm, $h_{eff}=21.8$ cm

Verifica a flessione (§4.4.8.1.6, §4.4.8.1.1 - NTC)

Parametri di verifica: $k_m=0.70$, $k_{h,y}=1.00$, $k_{h,z}=1.00$, $k_{crit,m}=0.85$, $L_{eff}=622.1\text{cm}$

Instabilità di trave: **Instabilità nel piano XY**

x	Myd	Mzd	σ_{myd}	σ_{mzd}	f_{myd}	f_{mzd}	Kmod	Comb.	SF
cm	kg*m	kg*m	kg/cmq	kg/cmq	kg/cmq	kg/cmq			
691.2	418	0	69	0	276	276	1	51	3.4

Verifica a taglio (§4.4.8.1.9 - NTC)

x	Tyd	Tzd	τ_d	fvd	Kmod	Comb.	SF
cm	kg	kg	kg/cmq	kg/cmq			
691.2	1	367	3	40	1	51	12

Asta: 139 [178,114]: Sez. R: $b=12.0$ cm, $h=24.0$ cm, $L=682.7$ cm, Crit.Prog: Legno_Arcareccio: **Verificato**

Verifica a flessione (§4.4.8.1.6, §4.4.8.1.1 - NTC)

Parametri di verifica: $k_m=0.70$, $k_{h,y}=1.10$, $k_{h,z}=1.10$, $k_{crit,m}=1.00$, $L_{eff}=614.4\text{cm}$

Instabilità di trave: **Trascurabile**

x	Myd	Mzd	σ_{myd}	σ_{mzd}	fmyd	fmzd	Kmod	Comb.	SF
cm	kg*m	kg*m	kg/cmq	kg/cmq	kg/cmq	kg/cmq			
682.7	1376	0	119	0	163	164	0.9	3	1.4

Verifica a taglio (§4.4.8.1.9 - NTC)

x	Tyd	Tzd	τ_d	fvd	Kmod	Comb.	SF
cm	kg	kg	kg/cmq	kg/cmq			
682.7	2	1089	6	22	0.9	3	3.8

Verifica Incendio: R30(min), $d_{eff} = 2.2$ [cm], $\beta_{char} 0.50$ (mm/min), $b_{eff}=7.6$ cm, $h_{eff}=21.8$ cm

Verifica a flessione (§4.4.8.1.6, §4.4.8.1.1 - NTC)

Parametri di verifica: $k_m=0.70$, $k_{h,y}=1.00$, $k_{h,z}=1.00$, $k_{crit,m}=0.86$, $Leff=614.4$ cm

Instabilità di trave: **Instabilità nel piano XY**

x	Myd	Mzd	σ_{myd}	σ_{mzd}	fmyd	fmzd	Kmod	Comb.	SF
cm	kg*m	kg*m	kg/cmq	kg/cmq	kg/cmq	kg/cmq			
682.7	448	0	74	0	276	276	1	51	3.2

Verifica a taglio (§4.4.8.1.9 - NTC)

x	Tyd	Tzd	τ_d	fvd	Kmod	Comb.	SF
cm	kg	kg	kg/cmq	kg/cmq			
682.7	1	353	3	40	1	51	13

Asta: 140 [180,190]: Sez. R: $b=12.0$ cm, $h=24.0$ cm, $L=691.2$ cm, Crit.Prog: Legno_Arcareccio: **Verificato**

Verifica a flessione (§4.4.8.1.6, §4.4.8.1.1 - NTC)

Parametri di verifica: $k_m=0.70$, $k_{h,y}=1.10$, $k_{h,z}=1.10$, $k_{crit,m}=1.00$, $Leff=622.1$ cm

Instabilità di trave: **Trascurabile**

x	Myd	Mzd	σ_{myd}	σ_{mzd}	fmyd	fmzd	Kmod	Comb.	SF
cm	kg*m	kg*m	kg/cmq	kg/cmq	kg/cmq	kg/cmq			
691.2	1090	0	95	0	163	164	0.9	3	1.7

Verifica a taglio (§4.4.8.1.9 - NTC)

x	Tyd	Tzd	τ_d	fvd	Kmod	Comb.	SF
cm	kg	kg	kg/cmq	kg/cmq			
691.2	4	1022	5	22	0.9	3	4.1

Verifica Incendio: R30(min), $d_{eff} = 2.2$ [cm], $\beta_{char} 0.50$ (mm/min), $b_{eff}=7.6$ cm, $h_{eff}=21.8$ cm

Verifica a flessione (§4.4.8.1.6, §4.4.8.1.1 - NTC)

Parametri di verifica: $k_m=0.70$, $k_{h,y}=1.00$, $k_{h,z}=1.00$, $k_{crit,m}=0.85$, $Leff=622.1$ cm

Instabilità di trave: **Instabilità nel piano XY**

x	Myd	Mzd	σ_{myd}	σ_{mzd}	fmyd	fmzd	Kmod	Comb.	SF
cm	kg*m	kg*m	kg/cmq	kg/cmq	kg/cmq	kg/cmq			
691.2	353	0	59	0	276	276	1	51	4.0

Verifica a taglio (§4.4.8.1.9 - NTC)

x	Tyd	Tzd	τ_d	fvd	Kmod	Comb.	SF
cm	kg	kg	kg/cmq	kg/cmq			
691.2	1	330	3	40	1	51	13

Asta: 141 [181,191]: Sez. R: $b=12.0$ cm, $h=24.0$ cm, $L=691.2$ cm, Crit.Prog: Legno_Arcareccio: **Verificato**

Verifica a flessione (§4.4.8.1.6, §4.4.8.1.1 - NTC)

Parametri di verifica: $k_m=0.70$, $k_{h,y}=1.10$, $k_{h,z}=1.10$, $k_{crit,m}=1.00$, $Leff=622.1$ cm

Instabilità di trave: **Trascurabile**

x	Myd	Mzd	σ_{myd}	σ_{mzd}	fmyd	fmzd	Kmod	Comb.	SF
cm	kg*m	kg*m	kg/cmq	kg/cmq	kg/cmq	kg/cmq			
0.0	1021	0	89	0	163	164	0.9	3	1.8

Verifica a taglio (§4.4.8.1.9 - NTC)

x	Tyd	Tzd	τ_d	fvd	Kmod	Comb.	SF
---	-----	-----	----------	-----	------	-------	----

x	T _{yd}	T _{zd}	τ _d	f _{vd}	K _{mod}	Comb.	SF
cm	kg	kg	kg/cmq	kg/cmq			
0.0	3	1000	5	22	0.9	3	4.2

Verifica Incendio: R30(min), d_{eff} = 2.2 [cm], β_{char} 0.50 (mm/min), b_{eff}=7.6 cm, h_{eff}=21.8 cm

Verifica a flessione (§4.4.8.1.6, §4.4.8.1.1 - NTC)

Parametri di verifica: k_m=0.70, k_{h,y}=1.00, k_{h,z}=1.00, k_{crit,m}=0.85, L_{eff}=622.1cm

Instabilità di trave: **Instabilità nel piano XY**

x	M _{yd}	M _{zd}	σ _{myd}	σ _{mzd}	f _{myd}	f _{mzd}	K _{mod}	Comb.	SF
cm	kg*m	kg*m	kg/cmq	kg/cmq	kg/cmq	kg/cmq			
0.0	332	0	55	0	276	276	1	51	4.3

Verifica a taglio (§4.4.8.1.9 - NTC)

x	T _{yd}	T _{zd}	τ _d	f _{vd}	K _{mod}	Comb.	SF
cm	kg	kg	kg/cmq	kg/cmq			
0.0	1	323	3	40	1	51	14

Asta: 142 [182,192]: Sez. R: b=12.0 cm, h=24.0 cm, L=691.2 cm, Crit.Prog: Legno_Arcareccio: **Verificato**

Verifica a flessione (§4.4.8.1.6, §4.4.8.1.1 - NTC)

Parametri di verifica: k_m=0.70, k_{h,y}=1.10, k_{h,z}=1.10, k_{crit,m}=1.00, L_{eff}=622.1cm

Instabilità di trave: **Trascurabile**

x	M _{yd}	M _{zd}	σ _{myd}	σ _{mzd}	f _{myd}	f _{mzd}	K _{mod}	Comb.	SF
cm	kg*m	kg*m	kg/cmq	kg/cmq	kg/cmq	kg/cmq			
0.0	1151	0	100	0	163	164	0.9	3	1.6

Verifica a taglio (§4.4.8.1.9 - NTC)

x	T _{yd}	T _{zd}	τ _d	f _{vd}	K _{mod}	Comb.	SF
cm	kg	kg	kg/cmq	kg/cmq			
0.0	3	1032	5	22	0.9	3	4.0

Verifica Incendio: R30(min), d_{eff} = 2.2 [cm], β_{char} 0.50 (mm/min), b_{eff}=7.6 cm, h_{eff}=21.8 cm

Verifica a flessione (§4.4.8.1.6, §4.4.8.1.1 - NTC)

Parametri di verifica: k_m=0.70, k_{h,y}=1.00, k_{h,z}=1.00, k_{crit,m}=0.85, L_{eff}=622.1cm

Instabilità di trave: **Instabilità nel piano XY**

x	M _{yd}	M _{zd}	σ _{myd}	σ _{mzd}	f _{myd}	f _{mzd}	K _{mod}	Comb.	SF
cm	kg*m	kg*m	kg/cmq	kg/cmq	kg/cmq	kg/cmq			
0.0	374	0	62	0	276	276	1	51	3.8

Verifica a taglio (§4.4.8.1.9 - NTC)

x	T _{yd}	T _{zd}	τ _d	f _{vd}	K _{mod}	Comb.	SF
cm	kg	kg	kg/cmq	kg/cmq			
0.0	1	334	3	40	1	51	13

Asta: 143 [108,193]: Sez. R: b=12.0 cm, h=24.0 cm, L=691.2 cm, Crit.Prog: Legno_Arcareccio: **Verificato**

Verifica a flessione (§4.4.8.1.6, §4.4.8.1.1 - NTC)

Parametri di verifica: k_m=0.70, k_{h,y}=1.10, k_{h,z}=1.10, k_{crit,m}=1.00, L_{eff}=622.0cm

Instabilità di trave: **Trascurabile**

x	M _{yd}	M _{zd}	σ _{myd}	σ _{mzd}	f _{myd}	f _{mzd}	K _{mod}	Comb.	SF
cm	kg*m	kg*m	kg/cmq	kg/cmq	kg/cmq	kg/cmq			
0.0	1370	0	119	0	163	164	0.9	3	1.4

Verifica a taglio (§4.4.8.1.9 - NTC)

x	T _{yd}	T _{zd}	τ _d	f _{vd}	K _{mod}	Comb.	SF
cm	kg	kg	kg/cmq	kg/cmq			
0.0	1	1115	6	22	0.9	3	3.7

Verifica Incendio: R30(min), d_{eff} = 2.2 [cm], β_{char} 0.50 (mm/min), b_{eff}=7.6 cm, h_{eff}=21.8 cm

Verifica a flessione (§4.4.8.1.6, §4.4.8.1.1 - NTC)

Parametri di verifica: $k_m=0.70$, $k_{h,y}=1.00$, $k_{h,z}=1.00$, $k_{crit,m}=0.85$, $L_{eff}=622.0\text{cm}$

Instabilità di trave: **Instabilità nel piano XY**

x	Myd	Mzd	σ_{myd}	σ_{mzd}	fmyd	fmzd	Kmod	Comb.	SF
cm	kg*m	kg*m	kg/cmq	kg/cmq	kg/cmq	kg/cmq			
0.0	442	0	73	0	276	276	1	51	3.2

Verifica a taglio (§4.4.8.1.9 - NTC)

x	Tyd	Tzd	τ_d	fvd	Kmod	Comb.	SF
cm	kg	kg	kg/cmq	kg/cmq			
0.0	1	359	3	40	1	51	12

Asta: 104 [198,199]: Sez. R: $b=20.0\text{ cm}$, $h=70.0\text{ cm}$, $L=67.0\text{ cm}$, Crit.Prog: Legno_Tenso-Pressoflessione: **Verificato**

Verifica a pressoflessione (§4.4.8.1.8 - NTC, §7.6.1.2.3 - CNR DT 206/2018)

Parametri di verifica: $k_m=0.70$, $k_{h,y}=1.00$, $k_{h,z}=1.10$, $k_{crit,c}=1.00$, $k_{crit,m}=1.00$, $L_o=67.0\text{cm}$, $L_{eff}=60.3\text{cm}$

Instabilità di colonna: **Trascurabile**, Instabilità di trave: **Trascurabile**

x	Nd	Myd	Mzd	σ_{c0d}	σ_{myd}	σ_{mzd}	f_{c0d}	fmyd	fmzd	Kmod	Comb.	SF
cm	kg	kg*m	kg*m	kg/cm q	kg/cm q	kg/cm q	kg/cm q	kg/cm q	kg/cm q			
0.0	-1015	2842	109	-1	17	2	133	149	164	0.9	3	7.9

Verifica a tensoflessione (§4.4.8.1.8 - NTC, §7.6.1.2.3 - CNR DT 206/2018)

Parametri di verifica: $k_m=0.70$, $k_h=0.98$, $k_{h,y}=1.00$, $k_{h,z}=1.10$, $k_{crit,m}=1.00$, $L_{eff}=60.3\text{cm}$

Instabilità di trave: **Trascurabile**

x	Nd	Myd	Mzd	σ_{t0d}	σ_{myd}	σ_{mzd}	f_{t0d}	fmyd	fmzd	Kmod	Comb.	SF
cm	kg	kg*m	kg*m	kg/cm q	kg/cm q	kg/cm q	kg/cm q	kg/cm q	kg/cm q			
0.0	988	1517	75	1	9	2	115	166	182	1	(16+17)-I-1	15

Verifica a taglio (§4.4.8.1.9 - NTC)

x	Tyd	Tzd	τ_d	fvd	Kmod	Comb.	SF
cm	kg	kg	kg/cmq	kg/cmq			
0.0	73	2965	3	22	0.9	3	6.8

Verifica Incendio: $R_{60}(\text{min})$, $d_{eff} = 4.9\text{ [cm]}$, $\beta_{char} = 0.70\text{ (mm/min)}$, $b_{eff}=10.2\text{ cm}$, $h_{eff}=65.1\text{ cm}$

Verifica a pressoflessione (§4.4.8.1.8 - NTC, §7.6.1.2.3 - CNR DT 206/2018)

Parametri di verifica: $k_m=0.70$, $k_{h,y}=1.00$, $k_{h,z}=1.00$, $k_{crit,c}=0.99$, $k_{crit,m}=1.00$, $L_o=67.0\text{cm}$, $L_{eff}=60.3\text{cm}$

Instabilità di colonna: **Instabilità nel piano XY**, Instabilità di trave: **Trascurabile**

x	Nd	Myd	Mzd	σ_{c0d}	σ_{myd}	σ_{mzd}	f_{c0d}	fmyd	fmzd	Kmod	Comb.	SF
cm	kg	kg*m	kg*m	kg/cm q	kg/cm q	kg/cm q	kg/cm q	kg/cm q	kg/cm q			
0.0	-292	1000	36	-0	14	3	247	276	276	1	51	17

Verifica a taglio (§4.4.8.1.9 - NTC)

x	Tyd	Tzd	τ_d	fvd	Kmod	Comb.	SF
cm	kg	kg	kg/cmq	kg/cmq			
0.0	24	1042	2	40	1	51	17

Asta: 104 [199,200]: Sez. R: $b=20.0\text{ cm}$, $h=70.0\text{ cm}$, $L=67.0\text{ cm}$, Crit.Prog: Legno_Tenso-Pressoflessione: **Verificato**

Verifica a pressoflessione (§4.4.8.1.8 - NTC, §7.6.1.2.3 - CNR DT 206/2018)

Parametri di verifica: $k_m=0.70$, $k_{h,y}=1.00$, $k_{h,z}=1.10$, $k_{crit,c}=1.00$, $k_{crit,m}=1.00$, $L_o=67.0\text{cm}$, $L_{eff}=60.3\text{cm}$

Instabilità di colonna: **Trascurabile**, Instabilità di trave: **Trascurabile**

x	Nd	Myd	Mzd	σ_{c0d}	σ_{myd}	σ_{mzd}	f_{c0d}	fmyd	fmzd	Kmod	Comb.	SF
cm	kg	kg*m	kg*m	kg/cm q	kg/cm q	kg/cm q	kg/cm q	kg/cm q	kg/cm q			
0.0	-1014	890	155	-1	5	3	133	149	164	0.9	3	20

Verifica a tensoflessione (§4.4.8.1.8 - NTC, §7.6.1.2.3 - CNR DT 206/2018)

Parametri di verifica: $k_m=0.70$, $k_h=0.98$, $k_{h,y}=1.00$, $k_{h,z}=1.10$, $k_{crit,m}=1.00$, $L_{eff}=60.3\text{cm}$

Instabilità di trave: **Trascurabile**

x	Nd	Myd	Mzd	σ_{t0d}	σ_{myd}	σ_{mzd}	f_{t0d}	f_{myd}	f_{mzd}	Kmod	Comb.	SF
cm	kg	kg*m	kg*m	kg/cm q	kg/cm q	kg/cm q	kg/cm q	kg/cm q	kg/cm q			
0.0	1134	502	69	1	3	1	115	166	182	1	(16+17)-I-1	32

Verifica a taglio (§4.4.8.1.9 - NTC)

x	Tyd	Tzd	τ_d	fvd	Kmod	Comb.	SF
cm	kg	kg	kg/cmq	kg/cmq			
0.0	102	1021	1	22	0.9	3	20

Verifica Incendio: R60(min), $d_{eff} = 4.9$ [cm], $\beta_{char} 0.70$ (mm/min), $b_{eff}=10.2$ cm, $h_{eff}=65.1$ cm

Verifica a pressoflessione (§4.4.8.1.8 - NTC, §7.6.1.2.3 - CNR DT 206/2018)

Parametri di verifica: $k_m=0.70$, $k_h=1.00$, $k_{h,y}=1.00$, $k_{h,z}=1.00$, $k_{crit,c}=0.99$, $k_{crit,m}=1.00$, $L_o=67.0\text{cm}$, $L_{eff}=60.3\text{cm}$

Instabilità di colonna: **Instabilità nel piano XY**, Instabilità di trave: **Trascurabile**

x	Nd	Myd	Mzd	σ_{c0d}	σ_{myd}	σ_{mzd}	f_{c0d}	f_{myd}	f_{mzd}	Kmod	Comb.	SF
cm	kg	kg*m	kg*m	kg/cm q	kg/cm q	kg/cm q	kg/cm q	kg/cm q	kg/cm q			
0.0	-291	325	51	-0	5	4	247	276	276	1	51	34

Verifica a taglio (§4.4.8.1.9 - NTC)

x	Tyd	Tzd	τ_d	fvd	Kmod	Comb.	SF
cm	kg	kg	kg/cmq	kg/cmq			
0.0	29	371	1	40	1	51	48

Asta: 104 [200,0]: Sez. R: $b=20.0$ cm, $h=70.0$ cm, $L=67.0$ cm, Crit.Prog: Legno_Tenso-Pressoflessione:
Verificato

Verifica a pressoflessione (§4.4.8.1.8 - NTC, §7.6.1.2.3 - CNR DT 206/2018)

Parametri di verifica: $k_m=0.70$, $k_h=1.00$, $k_{h,y}=1.00$, $k_{h,z}=1.10$, $k_{crit,c}=1.00$, $k_{crit,m}=1.00$, $L_o=67.0\text{cm}$, $L_{eff}=60.3\text{cm}$

Instabilità di colonna: **Trascurabile**, Instabilità di trave: **Trascurabile**

x	Nd	Myd	Mzd	σ_{c0d}	σ_{myd}	σ_{mzd}	f_{c0d}	f_{myd}	f_{mzd}	Kmod	Comb.	SF
cm	kg	kg*m	kg*m	kg/cm q	kg/cm q	kg/cm q	kg/cm q	kg/cm q	kg/cm q			
67.0	-1018	877	44	-1	5	1	133	149	164	0.9	3	25

Verifica a tensoflessione (§4.4.8.1.8 - NTC, §7.6.1.2.3 - CNR DT 206/2018)

Parametri di verifica: $k_m=0.70$, $k_h=0.98$, $k_{h,y}=1.00$, $k_{h,z}=1.10$, $k_{crit,m}=1.00$, $L_{eff}=60.3\text{cm}$

Instabilità di trave: **Trascurabile**

x	Nd	Myd	Mzd	σ_{t0d}	σ_{myd}	σ_{mzd}	f_{t0d}	f_{myd}	f_{mzd}	Kmod	Comb.	SF
cm	kg	kg*m	kg*m	kg/cm q	kg/cm q	kg/cm q	kg/cm q	kg/cm q	kg/cm q			
67.0	983	711	61	1	4	1	115	166	182	1	(16+17)-II-1	27

Verifica a taglio (§4.4.8.1.9 - NTC)

x	Tyd	Tzd	τ_d	fvd	Kmod	Comb.	SF
cm	kg	kg	kg/cmq	kg/cmq			
67.0	283	988	1	22	0.9	3	20

Verifica Incendio: R60(min), $d_{eff} = 4.9$ [cm], $\beta_{char} 0.70$ (mm/min), $b_{eff}=10.2$ cm, $h_{eff}=65.1$ cm

Verifica a pressoflessione (§4.4.8.1.8 - NTC, §7.6.1.2.3 - CNR DT 206/2018)

Parametri di verifica: $k_m=0.70$, $k_h=1.00$, $k_{h,y}=1.00$, $k_{h,z}=1.00$, $k_{crit,c}=0.99$, $k_{crit,m}=1.00$, $L_o=67.0\text{cm}$, $L_{eff}=60.3\text{cm}$

Instabilità di colonna: **Instabilità nel piano XY**, Instabilità di trave: **Trascurabile**

x	Nd	Myd	Mzd	σ_{c0d}	σ_{myd}	σ_{mzd}	f_{c0d}	f_{myd}	f_{mzd}	Kmod	Comb.	SF
cm	kg	kg*m	kg*m	kg/cm q	kg/cm q	kg/cm q	kg/cm q	kg/cm q	kg/cm q			
0.0	-292	101	73	-0	1	7	247	276	276	1	51	35

Verifica a taglio (§4.4.8.1.9 - NTC)

x	Tyd	Tzd	τ_d	fvd	Kmod	Comb.	SF
cm	kg	kg	kg/cmq	kg/cmq			
67.0	91	356	1	40	1	51	48

Asta: 104 [0,107]: Sez. R: b=20.0 cm, h=70.0 cm, L=67.0 cm, Crit.Prog: Legno_Tenso-Pressoflessione: **Verificato**

Verifica a pressoflessione (§4.4.8.1.8 - NTC, §7.6.1.2.3 - CNR DT 206/2018)

Parametri di verifica: $k_m=0.70$, $k_{h,y}=1.00$, $k_{h,z}=1.10$, $k_{crit,c}=1.00$, $k_{crit,m}=1.00$, $L_o=67.0\text{cm}$, $L_{eff}=60.3\text{cm}$

Instabilità di colonna: **Trascurabile**, Instabilità di trave: **Trascurabile**

x	Nd	Myd	Mzd	σ_{c0d}	σ_{myd}	σ_{mzd}	f_{c0d}	f_{myd}	f_{mzd}	Kmod	Comb.	SF
cm	kg	kg*m	kg*m	kg/cm q	kg/cm q	kg/cm q	kg/cm q	kg/cm q	kg/cm q			
67.0	-1026	2671	520	-1	16	11	133	149	164	0.9	3	6.4

Verifica a tensoflessione (§4.4.8.1.8 - NTC, §7.6.1.2.3 - CNR DT 206/2018)

Parametri di verifica: $k_m=0.70$, $k_h=0.98$, $k_{h,y}=1.00$, $k_{h,z}=1.10$, $k_{crit,m}=1.00$, $L_{eff}=60.3\text{cm}$

Instabilità di trave: **Trascurabile**

x	Nd	Myd	Mzd	σ_{t0d}	σ_{myd}	σ_{mzd}	f_{t0d}	f_{myd}	f_{mzd}	Kmod	Comb.	SF
cm	kg	kg*m	kg*m	kg/cm q	kg/cm q	kg/cm q	kg/cm q	kg/cm q	kg/cm q			
67.0	1067	1631	50	1	10	1	115	166	182	1	(16+17)-II-1	14

Verifica a taglio (§4.4.8.1.9 - NTC)

x	Tyd	Tzd	τ_d	fvd	Kmod	Comb.	SF
cm	kg	kg	kg/cmq	kg/cmq			
67.0	872	2707	3	22	0.9	3	7.1

Verifica Incendio: R60(min), $d_{eff} = 4.9$ [cm], $\beta_{char} 0.70$ (mm/min), $b_{eff}=10.2$ cm, $h_{eff}=65.1$ cm

Verifica a pressoflessione (§4.4.8.1.8 - NTC, §7.6.1.2.3 - CNR DT 206/2018)

Parametri di verifica: $k_m=0.70$, $k_{h,y}=1.00$, $k_{h,z}=1.00$, $k_{crit,c}=0.99$, $k_{crit,m}=1.00$, $L_o=67.0\text{cm}$, $L_{eff}=60.3\text{cm}$

Instabilità di colonna: **Instabilità nel piano XY**, Instabilità di trave: **Trascurabile**

x	Nd	Myd	Mzd	σ_{c0d}	σ_{myd}	σ_{mzd}	f_{c0d}	f_{myd}	f_{mzd}	Kmod	Comb.	SF
cm	kg	kg*m	kg*m	kg/cm q	kg/cm q	kg/cm q	kg/cm q	kg/cm q	kg/cm q			
67.0	-294	941	163	-0	13	14	247	276	276	1	51	11

Verifica a taglio (§4.4.8.1.9 - NTC)

x	Tyd	Tzd	τ_d	fvd	Kmod	Comb.	SF
cm	kg	kg	kg/cmq	kg/cmq			
67.0	271	958	2	40	1	51	18

Asta: 144 [198,194]: Sez. R: b=12.0 cm, h=24.0 cm, L=691.1 cm, Crit.Prog: Legno_Arcareccio: **Verificato**

Verifica a flessione (§4.4.8.1.6, §4.4.8.1.1 - NTC)

Parametri di verifica: $k_m=0.70$, $k_{h,y}=1.10$, $k_{h,z}=1.10$, $k_{crit,m}=1.00$, $L_{eff}=622.0\text{cm}$

Instabilità di trave: **Trascurabile**

x	Myd	Mzd	σ_{myd}	σ_{mzd}	f_{myd}	f_{mzd}	Kmod	Comb.	SF
cm	kg*m	kg*m	kg/cmq	kg/cmq	kg/cmq	kg/cmq			
0.0	1319	0	115	0	163	164	0.9	3	1.4

Verifica a taglio (§4.4.8.1.9 - NTC)

x	Tyd	Tzd	τ_d	fvd	Kmod	Comb.	SF
cm	kg	kg	kg/cmq	kg/cmq			
0.0	0	1136	6	22	0.9	3	3.7

Verifica Incendio: R30(min), $d_{eff} = 2.2$ [cm], $\beta_{char} 0.50$ (mm/min), $b_{eff}=7.6$ cm, $h_{eff}=21.8$ cm

Verifica a flessione (§4.4.8.1.6, §4.4.8.1.1 - NTC)

Parametri di verifica: $k_m=0.70$, $k_{h,y}=1.00$, $k_{h,z}=1.00$, $k_{crit,m}=0.85$, $L_{eff}=622.0\text{cm}$

Instabilità di trave: **Instabilità nel piano XY**

x	Myd	Mzd	σ_{myd}	σ_{mzd}	fmyd	fmzd	Kmod	Comb.	SF
cm	kg*m	kg*m	kg/cmq	kg/cmq	kg/cmq	kg/cmq			
0.0	424	0	70	0	276	276	1	51	3.3

Verifica a taglio (§4.4.8.1.9 - NTC)

x	Tyd	Tzd	τ_d	fvd	Kmod	Comb.	SF
cm	kg	kg	kg/cmq	kg/cmq			
0.0	0	364	3	40	1	51	12

Asta: 145 [199,195]: Sez. R: b=12.0 cm, h=24.0 cm, L=691.1 cm, Crit.Prog: Legno_Arcareccio: **Verificato**

Verifica a flessione (§4.4.8.1.6, §4.4.8.1.1 - NTC)

Parametri di verifica: km=0.70, kh,y=1.10, kh,z=1.10, kcrit,m=1.00, Leff=622.0cm

Instabilità di trave: **Trascurabile**

x	Myd	Mzd	σ_{myd}	σ_{mzd}	fmyd	fmzd	Kmod	Comb.	SF
cm	kg*m	kg*m	kg/cmq	kg/cmq	kg/cmq	kg/cmq			
0.0	1245	0	108	0	163	164	0.9	3	1.5

Verifica a taglio (§4.4.8.1.9 - NTC)

x	Tyd	Tzd	τ_d	fvd	Kmod	Comb.	SF
cm	kg	kg	kg/cmq	kg/cmq			
0.0	0	1117	6	22	0.9	3	3.7

Verifica Incendio: R30(min), d_eff = 2.2 [cm], β_{char} 0.50 (mm/min), b_eff=7.6 cm, h_eff=21.8 cm

Verifica a flessione (§4.4.8.1.6, §4.4.8.1.1 - NTC)

Parametri di verifica: km=0.70, kh,y=1.00, kh,z=1.00, kcrit,m=0.85, Leff=622.0cm

Instabilità di trave: **Instabilità nel piano XY**

x	Myd	Mzd	σ_{myd}	σ_{mzd}	fmyd	fmzd	Kmod	Comb.	SF
cm	kg*m	kg*m	kg/cmq	kg/cmq	kg/cmq	kg/cmq			
0.0	401	0	67	0	276	276	1	51	3.5

Verifica a taglio (§4.4.8.1.9 - NTC)

x	Tyd	Tzd	τ_d	fvd	Kmod	Comb.	SF
cm	kg	kg	kg/cmq	kg/cmq			
0.0	0	357	3	40	1	51	12

Asta: 146 [200,196]: Sez. R: b=12.0 cm, h=24.0 cm, L=691.1 cm, Crit.Prog: Legno_Arcareccio: **Verificato**

Verifica a flessione (§4.4.8.1.6, §4.4.8.1.1 - NTC)

Parametri di verifica: km=0.70, kh,y=1.10, kh,z=1.10, kcrit,m=1.00, Leff=622.0cm

Instabilità di trave: **Trascurabile**

x	Myd	Mzd	σ_{myd}	σ_{mzd}	fmyd	fmzd	Kmod	Comb.	SF
cm	kg*m	kg*m	kg/cmq	kg/cmq	kg/cmq	kg/cmq			
0.0	1217	0	106	0	163	164	0.9	3	1.5

Verifica a taglio (§4.4.8.1.9 - NTC)

x	Tyd	Tzd	τ_d	fvd	Kmod	Comb.	SF
cm	kg	kg	kg/cmq	kg/cmq			
0.0	0	1105	6	22	0.9	3	3.8

Verifica Incendio: R30(min), d_eff = 2.2 [cm], β_{char} 0.50 (mm/min), b_eff=7.6 cm, h_eff=21.8 cm

Verifica a flessione (§4.4.8.1.6, §4.4.8.1.1 - NTC)

Parametri di verifica: km=0.70, kh,y=1.00, kh,z=1.00, kcrit,m=0.85, Leff=622.0cm

Instabilità di trave: **Instabilità nel piano XY**

x	Myd	Mzd	σ_{myd}	σ_{mzd}	fmyd	fmzd	Kmod	Comb.	SF
cm	kg*m	kg*m	kg/cmq	kg/cmq	kg/cmq	kg/cmq			
0.0	391	0	65	0	276	276	1	51	3.6

Verifica a taglio (§4.4.8.1.9 - NTC)

x	Tyd	Tzd	τ_d	fvd	Kmod	Comb.	SF
---	-----	-----	----------	-----	------	-------	----

x	Tyd	Tzd	τ_d	fvd	Kmod	Comb.	SF
cm	kg	kg	kg/cmq	kg/cmq			
0.0	0	353	3	40	1	51	13

Asta: 108 [107,113]: Sez. R: b=20.0 cm, h=40.0 cm, L=693.5 cm, Crit.Prog: Legno_Tenso-Pressoflessione: **Verificato**

Verifica a pressoflessione (§4.4.8.1.8 - NTC, §7.6.1.2.3 - CNR DT 206/2018)

Parametri di verifica: $k_m=0.70$, $k_{h,y}=1.04$, $k_{h,z}=1.10$, $k_{crit,c}=0.27$, $k_{crit,m}=1.00$, $L_o=693.5\text{cm}$, $L_{eff}=624.1\text{cm}$

Instabilità di colonna: **Instabilità nel piano XY**, Instabilità di trave: **Trascurabile**

x	Nd	Myd	Mzd	σ_{c0d}	σ_{myd}	σ_{mzd}	f_{c0d}	f_{myd}	f_{mzd}	Kmod	Comb.	SF
cm	kg	kg*m	kg*m	kg/cm q	kg/cm q	kg/cm q	kg/cm q	kg/cm q	kg/cm q			
0.0	-1134	924	16	-1	17	1	133	155	164	0.9	3	6.5

Verifica a tensoflessione (§4.4.8.1.8 - NTC, §7.6.1.2.3 - CNR DT 206/2018)

Parametri di verifica: $k_m=0.70$, $k_h=1.04$, $k_{h,y}=1.04$, $k_{h,z}=1.10$, $k_{crit,m}=1.00$, $L_{eff}=624.1\text{cm}$

Instabilità di trave: **Trascurabile**

x	Nd	Myd	Mzd	σ_{t0d}	σ_{myd}	σ_{mzd}	f_{t0d}	f_{myd}	f_{mzd}	Kmod	Comb.	SF
cm	kg	kg*m	kg*m	kg/cm q	kg/cm q	kg/cm q	kg/cm q	kg/cm q	kg/cm q			
0.0	301	557	21	0	10	1	122	172	182	1	(16+17)-II-2	15

Verifica a taglio (§4.4.8.1.9 - NTC)

x	Tyd	Tzd	τ_d	fvd	Kmod	Comb.	SF
cm	kg	kg	kg/cmq	kg/cmq			
0.0	2	860	2	22	0.9	3	13

Verifica Incendio: R60(min), $d_{eff} = 4.9$ [cm], $\beta_{char} 0.70$ (mm/min), $b_{eff}=10.2$ cm, $h_{eff}=35.1$ cm

Verifica a pressoflessione (§4.4.8.1.8 - NTC, §7.6.1.2.3 - CNR DT 206/2018)

Parametri di verifica: $k_m=0.70$, $k_{h,y}=1.00$, $k_{h,z}=1.00$, $k_{crit,c}=0.07$, $k_{crit,m}=0.88$, $L_o=693.5\text{cm}$, $L_{eff}=624.1\text{cm}$

Instabilità di colonna: **Instabilità nel piano XY**, Instabilità di trave: **Instabilità nel piano XY**

x	Nd	Myd	Mzd	σ_{c0d}	σ_{myd}	σ_{mzd}	f_{c0d}	f_{myd}	f_{mzd}	Kmod	Comb.	SF
cm	kg	kg*m	kg*m	kg/cm q	kg/cm q	kg/cm q	kg/cm q	kg/cm q	kg/cm q			
0.0	-252	400	7	-1	19	1	247	276	276	1	51	8.3

Verifica a taglio (§4.4.8.1.9 - NTC)

x	Tyd	Tzd	τ_d	fvd	Kmod	Comb.	SF
cm	kg	kg	kg/cmq	kg/cmq			
0.0	1	363	2	40	1	51	26

Asta: 147 [0,197]: Sez. R: b=12.0 cm, h=24.0 cm, L=691.1 cm, Crit.Prog: Legno_Arcareccio: **Verificato**

Verifica a flessione (§4.4.8.1.6, §4.4.8.1.1 - NTC)

Parametri di verifica: $k_m=0.70$, $k_{h,y}=1.10$, $k_{h,z}=1.10$, $k_{crit,m}=1.00$, $L_{eff}=622.0\text{cm}$

Instabilità di trave: **Trascurabile**

x	Myd	Mzd	σ_{myd}	σ_{mzd}	f_{myd}	f_{mzd}	Kmod	Comb.	SF
cm	kg*m	kg*m	kg/cmq	kg/cmq	kg/cmq	kg/cmq			
0.0	1079	0	94	0	163	164	0.9	3	1.7

Verifica a taglio (§4.4.8.1.9 - NTC)

x	Tyd	Tzd	τ_d	fvd	Kmod	Comb.	SF
cm	kg	kg	kg/cmq	kg/cmq			
0.0	1	1008	5	22	0.9	3	4.1

Verifica Incendio: R30(min), $d_{eff} = 2.2$ [cm], $\beta_{char} 0.50$ (mm/min), $b_{eff}=7.6$ cm, $h_{eff}=21.8$ cm

Verifica a flessione (§4.4.8.1.6, §4.4.8.1.1 - NTC)

Parametri di verifica: $k_m=0.70$, $k_{h,y}=1.00$, $k_{h,z}=1.00$, $k_{crit,m}=0.85$, $L_{eff}=622.0\text{cm}$

Instabilità di trave: **Instabilità nel piano XY**

x	Myd	Mzd	σ_{myd}	σ_{mzd}	fmyd	fmzd	Kmod	Comb.	SF
cm	kg*m	kg*m	kg/cmq	kg/cmq	kg/cmq	kg/cmq			
0.0	350	0	58	0	276	276	1	51	4.1

Verifica a taglio (§4.4.8.1.9 - NTC)

x	Tyd	Tzd	τ_d	fvd	Kmod	Comb.	SF
cm	kg	kg	kg/cmq	kg/cmq			
0.0	0	325	3	40	1	51	14

Asta: 108 [0,0]: Sez. R: b=20.0 cm, h=70.0 cm, L=73.7 cm, Crit.Prog: Legno_Tenso-Pressoflessione:
Verificato

Verifica a pressoflessione (§4.4.8.1.8 - NTC, §7.6.1.2.3 - CNR DT 206/2018)

Parametri di verifica: km=0.70, kh,y=1.00, kh,z=1.10, kcrit,c=1.00, kcrit,m=1.00, Lo=73.7cm, Leff=66.4cm

Instabilità di colonna: **Trascurabile**, Instabilità di trave: **Trascurabile**

x	Nd	Myd	Mzd	σ_{c0d}	σ_{myd}	σ_{mzd}	f_{c0d}	fmyd	fmzd	Kmod	Comb.	SF
cm	kg	kg*m	kg*m	kg/cm q	kg/cm q	kg/cm q	kg/cm q	kg/cm q	kg/cm q			
0.0	-1261	1873	77	-1	11	2	89	99	109	0.6	1	7.9

Verifica a tensoflessione (§4.4.8.1.8 - NTC, §7.6.1.2.3 - CNR DT 206/2018)

Parametri di verifica: km=0.70, kh=0.98, kh,y=1.00, kh,z=1.10, kcrit,m=1.00, Leff=66.4cm

Instabilità di trave: **Trascurabile**

x	Nd	Myd	Mzd	σ_{t0d}	σ_{myd}	σ_{mzd}	f_{t0d}	fmyd	fmzd	Kmod	Comb.	SF
cm	kg	kg*m	kg*m	kg/cm q	kg/cm q	kg/cm q	kg/cm q	kg/cm q	kg/cm q			
73.7	710	1734	182	1	11	4	115	166	182	1	(16+17)-II-1	12

Verifica a taglio (§4.4.8.1.9 - NTC)

x	Tyd	Tzd	τ_d	fvd	Kmod	Comb.	SF
cm	kg	kg	kg/cmq	kg/cmq			
0.0	122	4616	5	14	0.6	1	2.9

Verifica Incendio: R60(min), d_eff = 4.9 [cm], β_{char} 0.70 (mm/min), b_eff=10.2 cm, h_eff=65.1 cm

Verifica a pressoflessione (§4.4.8.1.8 - NTC, §7.6.1.2.3 - CNR DT 206/2018)

Parametri di verifica: km=0.70, kh,y=1.00, kh,z=1.00, kcrit,c=0.99, kcrit,m=1.00, Lo=73.7cm, Leff=66.4cm

Instabilità di colonna: **Instabilità nel piano XY**, Instabilità di trave: **Trascurabile**

x	Nd	Myd	Mzd	σ_{c0d}	σ_{myd}	σ_{mzd}	f_{c0d}	fmyd	fmzd	Kmod	Comb.	SF
cm	kg	kg*m	kg*m	kg/cm q	kg/cm q	kg/cm q	kg/cm q	kg/cm q	kg/cm q			
73.7	-936	978	124	-1	14	11	247	276	276	1	51	12

Verifica a taglio (§4.4.8.1.9 - NTC)

x	Tyd	Tzd	τ_d	fvd	Kmod	Comb.	SF
cm	kg	kg	kg/cmq	kg/cmq			
0.0	90	3431	8	40	1	51	5.2

Asta: 108 [0,0]: Sez. R: b=20.0 cm, h=70.0 cm, L=73.7 cm, Crit.Prog: Legno_Tenso-Pressoflessione:
Verificato

Verifica a pressoflessione (§4.4.8.1.8 - NTC, §7.6.1.2.3 - CNR DT 206/2018)

Parametri di verifica: km=0.70, kh,y=1.00, kh,z=1.10, kcrit,c=1.00, kcrit,m=1.00, Lo=73.7cm, Leff=66.4cm

Instabilità di colonna: **Trascurabile**, Instabilità di trave: **Trascurabile**

x	Nd	Myd	Mzd	σ_{c0d}	σ_{myd}	σ_{mzd}	f_{c0d}	fmyd	fmzd	Kmod	Comb.	SF
cm	kg	kg*m	kg*m	kg/cm q	kg/cm q	kg/cm q	kg/cm q	kg/cm q	kg/cm q			
73.7	-1260	3292	135	-1	20	3	89	99	109	0.6	1	4.5

Verifica a tensoflessione (§4.4.8.1.8 - NTC, §7.6.1.2.3 - CNR DT 206/2018)

Parametri di verifica: km=0.70, kh=0.98, kh,y=1.00, kh,z=1.10, kcrit,m=1.00, Leff=66.4cm

Instabilità di trave: **Trascurabile**

x	Nd	Myd	Mzd	σ_{t0d}	σ_{myd}	σ_{mzd}	f_{t0d}	f_{myd}	f_{mzd}	Kmod	Comb.	SF
cm	kg	kg*m	kg*m	kg/cm q	kg/cm q	kg/cm q	kg/cm q	kg/cm q	kg/cm q			
66.4	394	2745	162	0	17	3	115	166	182	1	(16+17)-II-1	8.5

Verifica a taglio (§4.4.8.1.9 - NTC)

x	Tyd	Tzd	τ_d	fvd	Kmod	Comb.	SF
cm	kg	kg	kg/cmq	kg/cmq			
0.0	41	3026	3	14	0.6	1	4.5

Verifica Incendio: R60(min), $d_{eff} = 4.9$ [cm], $\beta_{char} 0.70$ (mm/min), $b_{eff}=10.2$ cm, $h_{eff}=65.1$ cm

Verifica a pressoflessione (§4.4.8.1.8 - NTC, §7.6.1.2.3 - CNR DT 206/2018)

Parametri di verifica: $k_m=0.70$, $k_{h,y}=1.00$, $k_{h,z}=1.00$, $k_{crit,c}=0.99$, $k_{crit,m}=1.00$, $L_o=73.7$ cm, $L_{eff}=66.4$ cm

Instabilità di colonna: **Instabilità nel piano XY**, Instabilità di trave: **Trascurabile**

x	Nd	Myd	Mzd	σ_{c0d}	σ_{myd}	σ_{mzd}	f_{c0d}	f_{myd}	f_{mzd}	Kmod	Comb.	SF
cm	kg	kg*m	kg*m	kg/cm q	kg/cm q	kg/cm q	kg/cm q	kg/cm q	kg/cm q			
73.7	-936	2447	100	-1	34	9	247	276	276	1	51	6.6

Verifica a taglio (§4.4.8.1.9 - NTC)

x	Tyd	Tzd	τ_d	fvd	Kmod	Comb.	SF
cm	kg	kg	kg/cmq	kg/cmq			
0.0	30	2250	5	40	1	51	7.9

Asta: 108 [0,0]: Sez. R: $b=20.0$ cm, $h=70.0$ cm, $L=73.7$ cm, Crit.Prog: Legno_Tenso-Pressoflessione:
Verificato

Verifica a pressoflessione (§4.4.8.1.8 - NTC, §7.6.1.2.3 - CNR DT 206/2018)

Parametri di verifica: $k_m=0.70$, $k_{h,y}=1.00$, $k_{h,z}=1.10$, $k_{crit,c}=1.00$, $k_{crit,m}=1.00$, $L_o=73.7$ cm, $L_{eff}=66.4$ cm

Instabilità di colonna: **Trascurabile**, Instabilità di trave: **Trascurabile**

x	Nd	Myd	Mzd	σ_{c0d}	σ_{myd}	σ_{mzd}	f_{c0d}	f_{myd}	f_{mzd}	Kmod	Comb.	SF
cm	kg	kg*m	kg*m	kg/cm q	kg/cm q	kg/cm q	kg/cm q	kg/cm q	kg/cm q			
73.7	-1260	3982	119	-1	24	3	89	99	109	0.6	1	3.8

Verifica a tensoflessione (§4.4.8.1.8 - NTC, §7.6.1.2.3 - CNR DT 206/2018)

Parametri di verifica: $k_m=0.70$, $k_{h,y}=0.98$, $k_{h,z}=1.10$, $k_{crit,m}=1.00$, $L_{eff}=66.4$ cm

Instabilità di trave: **Trascurabile**

x	Nd	Myd	Mzd	σ_{t0d}	σ_{myd}	σ_{mzd}	f_{t0d}	f_{myd}	f_{mzd}	Kmod	Comb.	SF
cm	kg	kg*m	kg*m	kg/cm q	kg/cm q	kg/cm q	kg/cm q	kg/cm q	kg/cm q			
73.7	490	2673	386	0	16	8	115	166	182	1	(16+17)-I-1	7.5

Verifica a taglio (§4.4.8.1.9 - NTC)

x	Tyd	Tzd	τ_d	fvd	Kmod	Comb.	SF
cm	kg	kg	kg/cmq	kg/cmq			
0.0	22	1315	1	14	0.6	1	10

Verifica Incendio: R60(min), $d_{eff} = 4.9$ [cm], $\beta_{char} 0.70$ (mm/min), $b_{eff}=10.2$ cm, $h_{eff}=65.1$ cm

Verifica a pressoflessione (§4.4.8.1.8 - NTC, §7.6.1.2.3 - CNR DT 206/2018)

Parametri di verifica: $k_m=0.70$, $k_{h,y}=1.00$, $k_{h,z}=1.00$, $k_{crit,c}=0.99$, $k_{crit,m}=1.00$, $L_o=73.7$ cm, $L_{eff}=66.4$ cm

Instabilità di colonna: **Instabilità nel piano XY**, Instabilità di trave: **Trascurabile**

x	Nd	Myd	Mzd	σ_{c0d}	σ_{myd}	σ_{mzd}	f_{c0d}	f_{myd}	f_{mzd}	Kmod	Comb.	SF
cm	kg	kg*m	kg*m	kg/cm q	kg/cm q	kg/cm q	kg/cm q	kg/cm q	kg/cm q			
73.7	-935	2960	88	-1	41	8	247	276	276	1	51	5.7

Verifica a taglio (§4.4.8.1.9 - NTC)

x	Tyd	Tzd	τ_d	fvd	Kmod	Comb.	SF
cm	kg	kg	kg/cmq	kg/cmq			

x	Tyd	Tzd	τ_d	fvd	Kmod	Comb.	SF
0.0	16	978	2	40	1	51	18

Asta: 108 [0,0]: Sez. R: b=20.0 cm, h=70.0 cm, L=73.7 cm, Crit.Prog: Legno_Tenso-Pressoflessione:
Verificato

Verifica a pressoflessione (§4.4.8.1.8 - NTC, §7.6.1.2.3 - CNR DT 206/2018)

Parametri di verifica: km=0.70, kh,y=1.00, kh,z=1.10, kcrit,c=1.00, kcrit,m=1.00, Lo=73.7cm, Leff=66.4cm

Instabilità di colonna: **Trascurabile**, Instabilità di trave: **Trascurabile**

x	Nd	Myd	Mzd	σ_{c0d}	σ_{myd}	σ_{mzd}	f_{c0d}	f_{myd}	f_{mzd}	Kmod	Comb.	SF
cm	kg	kg*m	kg*m	kg/cm q	kg/cm q	kg/cm q	kg/cm q	kg/cm q	kg/cm q			
0.0	-1260	3982	119	-1	24	3	89	99	109	0.6	1	3.8

Verifica a tensoflessione (§4.4.8.1.8 - NTC, §7.6.1.2.3 - CNR DT 206/2018)

Parametri di verifica: km=0.70, kh=0.98, kh,y=1.00, kh,z=1.10, kcrit,m=1.00, Leff=66.4cm

Instabilità di trave: **Trascurabile**

x	Nd	Myd	Mzd	σ_{t0d}	σ_{myd}	σ_{mzd}	f_{t0d}	f_{myd}	f_{mzd}	Kmod	Comb.	SF
cm	kg	kg*m	kg*m	kg/cm q	kg/cm q	kg/cm q	kg/cm q	kg/cm q	kg/cm q			
0.0	521	2674	391	0	16	8	115	166	182	1	(16+17)-I-1	7.4

Verifica a taglio (§4.4.8.1.9 - NTC)

x	Tyd	Tzd	τ_d	fvd	Kmod	Comb.	SF
cm	kg	kg	kg/cmq	kg/cmq			
73.7	26	1206	1	14	0.6	1	11

Verifica Incendio: R60(min), d_eff = 4.9 [cm], β_{char} 0.70 (mm/min), b_eff=10.2 cm, h_eff=65.1 cm

Verifica a pressoflessione (§4.4.8.1.8 - NTC, §7.6.1.2.3 - CNR DT 206/2018)

Parametri di verifica: km=0.70, kh,y=1.00, kh,z=1.00, kcrit,c=0.99, kcrit,m=1.00, Lo=73.7cm, Leff=66.4cm

Instabilità di colonna: **Instabilità nel piano XY**, Instabilità di trave: **Trascurabile**

x	Nd	Myd	Mzd	σ_{c0d}	σ_{myd}	σ_{mzd}	f_{c0d}	f_{myd}	f_{mzd}	Kmod	Comb.	SF
cm	kg	kg*m	kg*m	kg/cm q	kg/cm q	kg/cm q	kg/cm q	kg/cm q	kg/cm q			
0.0	-935	2959	88	-1	41	8	247	276	276	1	51	5.7

Verifica a taglio (§4.4.8.1.9 - NTC)

x	Tyd	Tzd	τ_d	fvd	Kmod	Comb.	SF
cm	kg	kg	kg/cmq	kg/cmq			
73.7	20	896	2	40	1	51	20

Asta: 108 [0,0]: Sez. R: b=20.0 cm, h=70.0 cm, L=73.7 cm, Crit.Prog: Legno_Tenso-Pressoflessione:
Verificato

Verifica a pressoflessione (§4.4.8.1.8 - NTC, §7.6.1.2.3 - CNR DT 206/2018)

Parametri di verifica: km=0.70, kh,y=1.00, kh,z=1.10, kcrit,c=1.00, kcrit,m=1.00, Lo=73.7cm, Leff=66.4cm

Instabilità di colonna: **Trascurabile**, Instabilità di trave: **Trascurabile**

x	Nd	Myd	Mzd	σ_{c0d}	σ_{myd}	σ_{mzd}	f_{c0d}	f_{myd}	f_{mzd}	Kmod	Comb.	SF
cm	kg	kg*m	kg*m	kg/cm q	kg/cm q	kg/cm q	kg/cm q	kg/cm q	kg/cm q			
0.0	-1260	3373	140	-1	21	3	89	99	109	0.6	1	4.4

Verifica a tensoflessione (§4.4.8.1.8 - NTC, §7.6.1.2.3 - CNR DT 206/2018)

Parametri di verifica: km=0.70, kh=0.98, kh,y=1.00, kh,z=1.10, kcrit,m=1.00, Leff=66.4cm

Instabilità di trave: **Trascurabile**

x	Nd	Myd	Mzd	σ_{t0d}	σ_{myd}	σ_{mzd}	f_{t0d}	f_{myd}	f_{mzd}	Kmod	Comb.	SF
cm	kg	kg*m	kg*m	kg/cm q	kg/cm q	kg/cm q	kg/cm q	kg/cm q	kg/cm q			
0.0	556	2260	324	0	14	7	115	166	182	1	(16+17)-I-1	8.8

Verifica a taglio (§4.4.8.1.9 - NTC)

x	Tyd	Tzd	τ_d	fvd	Kmod	Comb.	SF
cm	kg	kg	kg/cmq	kg/cmq			
73.7	32	2966	3	14	0.6	1	4.6

Verifica Incendio: R60(min), $d_{eff} = 4.9$ [cm], $\beta_{char} 0.70$ (mm/min), $b_{eff}=10.2$ cm, $h_{eff}=65.1$ cm

Verifica a pressoflessione (§4.4.8.1.8 - NTC, §7.6.1.2.3 - CNR DT 206/2018)

Parametri di verifica: $k_m=0.70$, $k_{h,y}=1.00$, $k_{h,z}=1.00$, $k_{crit,c}=0.99$, $k_{crit,m}=1.00$, $L_o=73.7$ cm, $L_{eff}=66.4$ cmInstabilità di colonna: **Instabilità nel piano XY**, Instabilità di trave: **Trascurabile**

x	Nd	Myd	Mzd	σ_{c0d}	σ_{myd}	σ_{mzd}	f_{c0d}	f_{myd}	f_{mzd}	Kmod	Comb.	SF
cm	kg	kg*m	kg*m	kg/cm	kg/cm	kg/cm	kg/cm	kg/cm	kg/cm			
				q	q	q	q	q	q			
0.0	-935	2507	104	-1	35	9	247	276	276	1	51	6.4

Verifica a taglio (§4.4.8.1.9 - NTC)

x	Tyd	Tzd	τ_d	fvd	Kmod	Comb.	SF
cm	kg	kg	kg/cmq	kg/cmq			
73.7	24	2204	5	40	1	51	8.1

Asta: 108 [0,0]: Sez. R: $b=20.0$ cm, $h=70.0$ cm, $L=73.7$ cm, Crit.Prog: Legno_Tenso-Pressoflessione: **Verificato**

Verifica a pressoflessione (§4.4.8.1.8 - NTC, §7.6.1.2.3 - CNR DT 206/2018)

Parametri di verifica: $k_m=0.70$, $k_{h,y}=1.00$, $k_{h,z}=1.10$, $k_{crit,c}=1.00$, $k_{crit,m}=1.00$, $L_o=73.7$ cm, $L_{eff}=66.4$ cmInstabilità di colonna: **Trascurabile**, Instabilità di trave: **Trascurabile**

x	Nd	Myd	Mzd	σ_{c0d}	σ_{myd}	σ_{mzd}	f_{c0d}	f_{myd}	f_{mzd}	Kmod	Comb.	SF
cm	kg	kg*m	kg*m	kg/cm	kg/cm	kg/cm	kg/cm	kg/cm	kg/cm			
				q	q	q	q	q	q			
0.0	-1260	1466	166	-1	9	4	89	99	109	0.6	1	8.8

Verifica a tensoflessione (§4.4.8.1.8 - NTC, §7.6.1.2.3 - CNR DT 206/2018)

Parametri di verifica: $k_m=0.70$, $k_{h,y}=1.00$, $k_{h,z}=1.10$, $k_{crit,m}=1.00$, $L_{eff}=66.4$ cmInstabilità di trave: **Trascurabile**

x	Nd	Myd	Mzd	σ_{t0d}	σ_{myd}	σ_{mzd}	f_{t0d}	f_{myd}	f_{mzd}	Kmod	Comb.	SF
cm	kg	kg*m	kg*m	kg/cm	kg/cm	kg/cm	kg/cm	kg/cm	kg/cm			
				q	q	q	q	q	q			
73.7	593	992	251	0	6	5	115	166	182	1	(16+17)-I-1	16

Verifica a taglio (§4.4.8.1.9 - NTC)

x	Tyd	Tzd	τ_d	fvd	Kmod	Comb.	SF
cm	kg	kg	kg/cmq	kg/cmq			
73.7	175	4710	5	14	0.6	1	2.9

Verifica Incendio: R60(min), $d_{eff} = 4.9$ [cm], $\beta_{char} 0.70$ (mm/min), $b_{eff}=10.2$ cm, $h_{eff}=65.1$ cm

Verifica a pressoflessione (§4.4.8.1.8 - NTC, §7.6.1.2.3 - CNR DT 206/2018)

Parametri di verifica: $k_m=0.70$, $k_{h,y}=1.00$, $k_{h,z}=1.00$, $k_{crit,c}=0.99$, $k_{crit,m}=1.00$, $L_o=73.7$ cm, $L_{eff}=66.4$ cmInstabilità di colonna: **Instabilità nel piano XY**, Instabilità di trave: **Trascurabile**

x	Nd	Myd	Mzd	σ_{c0d}	σ_{myd}	σ_{mzd}	f_{c0d}	f_{myd}	f_{mzd}	Kmod	Comb.	SF
cm	kg	kg*m	kg*m	kg/cm	kg/cm	kg/cm	kg/cm	kg/cm	kg/cm			
				q	q	q	q	q	q			
0.0	-935	1090	123	-1	15	11	247	276	276	1	51	11

Verifica a taglio (§4.4.8.1.9 - NTC)

x	Tyd	Tzd	τ_d	fvd	Kmod	Comb.	SF
cm	kg	kg	kg/cmq	kg/cmq			
73.7	130	3500	8	40	1	51	5.1

Asta: 108 [0,125]: Sez. R: $b=20.0$ cm, $h=70.0$ cm, $L=73.7$ cm, Crit.Prog: Legno_Tenso-Pressoflessione: **Verificato**

Verifica a pressoflessione (§4.4.8.1.8 - NTC, §7.6.1.2.3 - CNR DT 206/2018)

Parametri di verifica: $k_m=0.70$, $k_{h,y}=1.00$, $k_{h,z}=1.10$, $k_{crit,c}=1.00$, $k_{crit,m}=1.00$, $L_o=73.7\text{cm}$, $L_{eff}=66.4\text{cm}$

Instabilità di colonna: **Trascurabile**, Instabilità di trave: **Trascurabile**

x	Nd	Myd	Mzd	σ_{c0d}	σ_{myd}	σ_{mzd}	f_{c0d}	f_{myd}	f_{mzd}	Kmod	Comb.	SF
cm	kg	kg*m	kg*m	kg/cm q	kg/cm q	kg/cm q	kg/cm q	kg/cm q	kg/cm q			
73.7	-1260	6183	552	-1	38	12	89	99	109	0.6	1	2.2

Verifica a tensoflessione (§4.4.8.1.8 - NTC, §7.6.1.2.3 - CNR DT 206/2018)

Parametri di verifica: $k_m=0.70$, $k_h=0.98$, $k_{h,y}=1.00$, $k_{h,z}=1.10$, $k_{crit,m}=1.00$, $L_{eff}=66.4\text{cm}$

Instabilità di trave: **Trascurabile**

x	Nd	Myd	Mzd	σ_{t0d}	σ_{myd}	σ_{mzd}	f_{t0d}	f_{myd}	f_{mzd}	Kmod	Comb.	SF
cm	kg	kg*m	kg*m	kg/cm q	kg/cm q	kg/cm q	kg/cm q	kg/cm q	kg/cm q			
73.7	631	4099	714	0	25	15	115	166	182	1	(16+17)-I-1	4.7

Verifica a taglio (§4.4.8.1.9 - NTC)

x	Tyd	Tzd	τ_d	fvd	Kmod	Comb.	SF
cm	kg	kg	kg/cmq	kg/cmq			
73.7	803	6420	7	14	0.6	1	2.1

Verifica Incendio: R60(min), $d_{eff} = 4.9$ [cm], $\beta_{char} 0.70$ (mm/min), $b_{eff}=10.2$ cm, $h_{eff}=65.1$ cm

Verifica a pressoflessione (§4.4.8.1.8 - NTC, §7.6.1.2.3 - CNR DT 206/2018)

Parametri di verifica: $k_m=0.70$, $k_{h,y}=1.00$, $k_{h,z}=1.00$, $k_{crit,c}=0.99$, $k_{crit,m}=1.00$, $L_o=73.7\text{cm}$, $L_{eff}=66.4\text{cm}$

Instabilità di colonna: **Instabilità nel piano XY**, Instabilità di trave: **Trascurabile**

x	Nd	Myd	Mzd	σ_{c0d}	σ_{myd}	σ_{mzd}	f_{c0d}	f_{myd}	f_{mzd}	Kmod	Comb.	SF
cm	kg	kg*m	kg*m	kg/cm q	kg/cm q	kg/cm q	kg/cm q	kg/cm q	kg/cm q			
73.7	-935	4593	410	-1	64	36	247	276	276	1	51	3.0

Verifica a taglio (§4.4.8.1.9 - NTC)

x	Tyd	Tzd	τ_d	fvd	Kmod	Comb.	SF
cm	kg	kg	kg/cmq	kg/cmq			
73.7	597	4771	11	40	1	51	3.7

Asta: 105 [0,0]: Sez. R: $b=20.0$ cm, $h=70.0$ cm, $L=73.7$ cm, Crit.Prog: Legno_Tenso-Pressoflessione:
Verificato

Verifica a pressoflessione (§4.4.8.1.8 - NTC, §7.6.1.2.3 - CNR DT 206/2018)

Parametri di verifica: $k_m=0.70$, $k_{h,y}=1.00$, $k_{h,z}=1.10$, $k_{crit,c}=1.00$, $k_{crit,m}=1.00$, $L_o=73.7\text{cm}$, $L_{eff}=66.4\text{cm}$

Instabilità di colonna: **Trascurabile**, Instabilità di trave: **Trascurabile**

x	Nd	Myd	Mzd	σ_{c0d}	σ_{myd}	σ_{mzd}	f_{c0d}	f_{myd}	f_{mzd}	Kmod	Comb.	SF
cm	kg	kg*m	kg*m	kg/cm q	kg/cm q	kg/cm q	kg/cm q	kg/cm q	kg/cm q			
73.7	-744	1522	137	-1	9	3	89	99	109	0.6	1	8.9

Verifica a tensoflessione (§4.4.8.1.8 - NTC, §7.6.1.2.3 - CNR DT 206/2018)

Parametri di verifica: $k_m=0.70$, $k_h=0.98$, $k_{h,y}=1.00$, $k_{h,z}=1.10$, $k_{crit,m}=1.00$, $L_{eff}=66.4\text{cm}$

Instabilità di trave: **Trascurabile**

x	Nd	Myd	Mzd	σ_{t0d}	σ_{myd}	σ_{mzd}	f_{t0d}	f_{myd}	f_{mzd}	Kmod	Comb.	SF
cm	kg	kg*m	kg*m	kg/cm q	kg/cm q	kg/cm q	kg/cm q	kg/cm q	kg/cm q			
73.7	540	1621	403	0	10	9	115	166	182	1	(16+17)-I-1	10

Verifica a taglio (§4.4.8.1.9 - NTC)

x	Tyd	Tzd	τ_d	fvd	Kmod	Comb.	SF
cm	kg	kg	kg/cmq	kg/cmq			
0.0	98	3843	4	14	0.6	1	3.5

Verifica Incendio: R60(min), $d_{eff} = 4.9$ [cm], $\beta_{char} 0.70$ (mm/min), $b_{eff}=10.2$ cm, $h_{eff}=65.1$ cm

Verifica a pressoflessione (§4.4.8.1.8 - NTC, §7.6.1.2.3 - CNR DT 206/2018)

Parametri di verifica: $k_m=0.70$, $k_{h,y}=1.00$, $k_{h,z}=1.00$, $k_{crit,c}=0.99$, $k_{crit,m}=1.00$, $L_o=73.7\text{cm}$, $L_{eff}=66.4\text{cm}$

Instabilità di colonna: **Instabilità nel piano XY**, Instabilità di trave: **Trascurabile**

x	Nd	Myd	Mzd	σ_{c0d}	σ_{myd}	σ_{mzd}	f_{c0d}	f_{myd}	f_{mzd}	Kmod	Comb.	SF
cm	kg	kg*m	kg*m	kg/cm q	kg/cm q	kg/cm q	kg/cm q	kg/cm q	kg/cm q			
73.7	-547	1138	102	-1	16	9	247	276	276	1	51	12

Verifica a taglio (§4.4.8.1.9 - NTC)

x	Tyd	Tzd	τ_d	fvd	Kmod	Comb.	SF
cm	kg	kg	kg/cmq	kg/cmq			
0.0	73	2854	6	40	1	51	6.2

Asta: 105 [0,0]: Sez. R: b=20.0 cm, h=70.0 cm, L=73.8 cm, Crit.Prog: Legno_Tenso-Pressoflessione:
Verificato

Verifica a pressoflessione (§4.4.8.1.8 - NTC, §7.6.1.2.3 - CNR DT 206/2018)

Parametri di verifica: $k_m=0.70$, $k_{h,y}=1.00$, $k_{h,z}=1.10$, $k_{crit,c}=1.00$, $k_{crit,m}=1.00$, $L_o=73.8\text{cm}$, $L_{eff}=66.4\text{cm}$

Instabilità di colonna: **Trascurabile**, Instabilità di trave: **Trascurabile**

x	Nd	Myd	Mzd	σ_{c0d}	σ_{myd}	σ_{mzd}	f_{c0d}	f_{myd}	f_{mzd}	Kmod	Comb.	SF
cm	kg	kg*m	kg*m	kg/cm q	kg/cm q	kg/cm q	kg/cm q	kg/cm q	kg/cm q			
73.8	-742	3201	106	-1	20	2	89	99	109	0.6	1	4.7

Verifica a tensoflessione (§4.4.8.1.8 - NTC, §7.6.1.2.3 - CNR DT 206/2018)

Parametri di verifica: $k_m=0.70$, $k_h=0.98$, $k_{h,y}=1.00$, $k_{h,z}=1.10$, $k_{crit,m}=1.00$, $L_{eff}=66.4\text{cm}$

Instabilità di trave: **Trascurabile**

x	Nd	Myd	Mzd	σ_{t0d}	σ_{myd}	σ_{mzd}	f_{t0d}	f_{myd}	f_{mzd}	Kmod	Comb.	SF
cm	kg	kg*m	kg*m	kg/cm q	kg/cm q	kg/cm q	kg/cm q	kg/cm q	kg/cm q			
73.8	571	3180	519	0	19	11	115	166	182	1	(16+17)-I-1	6.1

Verifica a taglio (§4.4.8.1.9 - NTC)

x	Tyd	Tzd	τ_d	fvd	Kmod	Comb.	SF
cm	kg	kg	kg/cmq	kg/cmq			
0.0	27	2330	2	14	0.6	1	5.8

Verifica Incendio: R60(min), $d_{eff} = 4.9$ [cm], $\beta_{char} 0.70$ (mm/min), $b_{eff}=10.2$ cm, $h_{eff}=65.1$ cm

Verifica a pressoflessione (§4.4.8.1.8 - NTC, §7.6.1.2.3 - CNR DT 206/2018)

Parametri di verifica: $k_m=0.70$, $k_{h,y}=1.00$, $k_{h,z}=1.00$, $k_{crit,c}=0.99$, $k_{crit,m}=1.00$, $L_o=73.8\text{cm}$, $L_{eff}=66.4\text{cm}$

Instabilità di colonna: **Instabilità nel piano XY**, Instabilità di trave: **Trascurabile**

x	Nd	Myd	Mzd	σ_{c0d}	σ_{myd}	σ_{mzd}	f_{c0d}	f_{myd}	f_{mzd}	Kmod	Comb.	SF
cm	kg	kg*m	kg*m	kg/cm q	kg/cm q	kg/cm q	kg/cm q	kg/cm q	kg/cm q			
73.8	-545	2384	78	-1	33	7	247	276	276	1	51	7.1

Verifica a taglio (§4.4.8.1.9 - NTC)

x	Tyd	Tzd	τ_d	fvd	Kmod	Comb.	SF
cm	kg	kg	kg/cmq	kg/cmq			
0.0	20	1731	4	40	1	51	10

Asta: 105 [0,0]: Sez. R: b=20.0 cm, h=70.0 cm, L=73.7 cm, Crit.Prog: Legno_Tenso-Pressoflessione:
Verificato

Verifica a pressoflessione (§4.4.8.1.8 - NTC, §7.6.1.2.3 - CNR DT 206/2018)

Parametri di verifica: $k_m=0.70$, $k_{h,y}=1.00$, $k_{h,z}=1.10$, $k_{crit,c}=1.00$, $k_{crit,m}=1.00$, $L_o=73.7\text{cm}$, $L_{eff}=66.4\text{cm}$

Instabilità di colonna: **Trascurabile**, Instabilità di trave: **Trascurabile**

x	Nd	Myd	Mzd	σ_{c0d}	σ_{myd}	σ_{mzd}	f_{c0d}	f_{myd}	f_{mzd}	Kmod	Comb.	SF
cm	kg	kg*m	kg*m	kg/cm q	kg/cm q	kg/cm q	kg/cm q	kg/cm q	kg/cm q			
73.7	-740	3760	95	-1	23	2	89	99	109	0.6	1	4.1

Verifica a tensoflessione (§4.4.8.1.8 - NTC, §7.6.1.2.3 - CNR DT 206/2018)

Parametri di verifica: $k_m=0.70$, $k_h=0.98$, $k_{h,y}=1.00$, $k_{h,z}=1.10$, $k_{crit,m}=1.00$, $L_{eff}=66.4\text{cm}$

Instabilità di trave: **Trascurabile**

x	Nd	Myd	Mzd	σ_{t0d}	σ_{myd}	σ_{mzd}	f_{t0d}	f_{myd}	f_{mzd}	Kmod	Comb.	SF
cm	kg	kg*m	kg*m	kg/cm q	kg/cm q	kg/cm q	kg/cm q	kg/cm q	kg/cm q			
73.7	604	3674	524	0	22	11	115	166	182	1	(16+17)-I-1	5.5

Verifica a taglio (§4.4.8.1.9 - NTC)

x	Tyd	Tzd	τ_d	fvd	Kmod	Comb.	SF
cm	kg	kg	kg/cmq	kg/cmq			
0.0	5	809	1	14	0.6	1	17

Verifica Incendio: R60(min), $d_{eff} = 4.9$ [cm], $\beta_{char} 0.70$ (mm/min), $b_{eff}=10.2$ cm, $h_{eff}=65.1$ cm

Verifica a pressoflessione (§4.4.8.1.8 - NTC, §7.6.1.2.3 - CNR DT 206/2018)

Parametri di verifica: $k_m=0.70$, $k_h=1.00$, $k_{h,y}=1.00$, $k_{h,z}=1.00$, $k_{crit,c}=0.99$, $k_{crit,m}=1.00$, $L_o=73.7\text{cm}$, $L_{eff}=66.4\text{cm}$

Instabilità di colonna: **Instabilità nel piano XY**, Instabilità di trave: **Trascurabile**

x	Nd	Myd	Mzd	σ_{c0d}	σ_{myd}	σ_{mzd}	f_{c0d}	f_{myd}	f_{mzd}	Kmod	Comb.	SF
cm	kg	kg*m	kg*m	kg/cm q	kg/cm q	kg/cm q	kg/cm q	kg/cm q	kg/cm q			
73.7	-545	2798	71	-1	39	6	247	276	276	1	51	6.2

Verifica a taglio (§4.4.8.1.9 - NTC)

x	Tyd	Tzd	τ_d	fvd	Kmod	Comb.	SF
cm	kg	kg	kg/cmq	kg/cmq			
0.0	4	600	1	40	1	51	30

Asta: 105 [0,0]: Sez. R: $b=20.0$ cm, $h=70.0$ cm, $L=73.8$ cm, Crit.Prog: Legno_Tenso-Pressoflessione:
Verificato

Verifica a pressoflessione (§4.4.8.1.8 - NTC, §7.6.1.2.3 - CNR DT 206/2018)

Parametri di verifica: $k_m=0.70$, $k_h=1.00$, $k_{h,y}=1.00$, $k_{h,z}=1.10$, $k_{crit,c}=1.00$, $k_{crit,m}=1.00$, $L_o=73.8\text{cm}$, $L_{eff}=66.4\text{cm}$

Instabilità di colonna: **Trascurabile**, Instabilità di trave: **Trascurabile**

x	Nd	Myd	Mzd	σ_{c0d}	σ_{myd}	σ_{mzd}	f_{c0d}	f_{myd}	f_{mzd}	Kmod	Comb.	SF
cm	kg	kg*m	kg*m	kg/cm q	kg/cm q	kg/cm q	kg/cm q	kg/cm q	kg/cm q			
0.0	-739	3761	93	-1	23	2	89	99	109	0.6	1	4.1

Verifica a tensoflessione (§4.4.8.1.8 - NTC, §7.6.1.2.3 - CNR DT 206/2018)

Parametri di verifica: $k_m=0.70$, $k_h=0.98$, $k_{h,y}=1.00$, $k_{h,z}=1.10$, $k_{crit,m}=1.00$, $L_{eff}=66.4\text{cm}$

Instabilità di trave: **Trascurabile**

x	Nd	Myd	Mzd	σ_{t0d}	σ_{myd}	σ_{mzd}	f_{t0d}	f_{myd}	f_{mzd}	Kmod	Comb.	SF
cm	kg	kg*m	kg*m	kg/cm q	kg/cm q	kg/cm q	kg/cm q	kg/cm q	kg/cm q			
0.0	641	3669	532	0	22	11	115	166	182	1	(16+17)-I-1	5.4

Verifica a taglio (§4.4.8.1.9 - NTC)

x	Tyd	Tzd	τ_d	fvd	Kmod	Comb.	SF
cm	kg	kg	kg/cmq	kg/cmq			
73.8	14	810	1	14	0.6	1	17

Verifica Incendio: R60(min), $d_{eff} = 4.9$ [cm], $\beta_{char} 0.70$ (mm/min), $b_{eff}=10.2$ cm, $h_{eff}=65.1$ cm

Verifica a pressoflessione (§4.4.8.1.8 - NTC, §7.6.1.2.3 - CNR DT 206/2018)

Parametri di verifica: $k_m=0.70$, $k_h=1.00$, $k_{h,y}=1.00$, $k_{h,z}=1.00$, $k_{crit,c}=0.99$, $k_{crit,m}=1.00$, $L_o=73.8\text{cm}$, $L_{eff}=66.4\text{cm}$

Instabilità di colonna: **Instabilità nel piano XY**, Instabilità di trave: **Trascurabile**

x	Nd	Myd	Mzd	σ_{c0d}	σ_{myd}	σ_{mzd}	f_{c0d}	f_{myd}	f_{mzd}	Kmod	Comb.	SF
cm	kg	kg*m	kg*m	kg/cm q	kg/cm q	kg/cm q	kg/cm q	kg/cm q	kg/cm q			
0.0	-544	2799	69	-1	39	6	247	276	276	1	51	6.3

Verifica a taglio (§4.4.8.1.9 - NTC)

x	Tyd	Tzd	τ_d	fvd	Kmod	Comb.	SF
cm	kg	kg	kg/cmq	kg/cmq			
73.8	10	605	1	40	1	51	29

Asta: 105 [0,0]: Sez. R: b=20.0 cm, h=70.0 cm, L=73.8 cm, Crit.Prog: Legno_Tenso-Pressoflessione:
Verificato

Verifica a pressoflessione (§4.4.8.1.8 - NTC, §7.6.1.2.3 - CNR DT 206/2018)

Parametri di verifica: km=0.70, kh,y=1.00, kh,z=1.10, kcrit,c=1.00, kcrit,m=1.00, Lo=73.8cm, Leff=66.4cm

Instabilità di colonna: **Trascurabile**, Instabilità di trave: **Trascurabile**

x	Nd	Myd	Mzd	σ_{c0d}	σ_{myd}	σ_{mzd}	f_{c0d}	f_{myd}	f_{mzd}	Kmod	Comb.	SF
cm	kg	kg*m	kg*m	kg/cm q	kg/cm q	kg/cm q	kg/cm q	kg/cm q	kg/cm q			
0.0	-738	3203	104	-1	20	2	89	99	109	0.6	1	4.7

Verifica a tensoflessione (§4.4.8.1.8 - NTC, §7.6.1.2.3 - CNR DT 206/2018)

Parametri di verifica: km=0.70, kh=0.98, kh,y=1.00, kh,z=1.10, kcrit,m=1.00, Leff=66.4cm

Instabilità di trave: **Trascurabile**

x	Nd	Myd	Mzd	σ_{t0d}	σ_{myd}	σ_{mzd}	f_{t0d}	f_{myd}	f_{mzd}	Kmod	Comb.	SF
cm	kg	kg*m	kg*m	kg/cm q	kg/cm q	kg/cm q	kg/cm q	kg/cm q	kg/cm q			
0.0	683	3070	491	0	19	11	115	166	182	1	(16+17)-I-1	6.3

Verifica a taglio (§4.4.8.1.9 - NTC)

x	Tyd	Tzd	τ_d	fvd	Kmod	Comb.	SF
cm	kg	kg	kg/cmq	kg/cmq			
73.8	37	2335	3	14	0.6	1	5.8

Verifica Incendio: R60(min), d_eff = 4.9 [cm], β_{char} 0.70 (mm/min), b_eff=10.2 cm, h_eff=65.1 cm

Verifica a pressoflessione (§4.4.8.1.8 - NTC, §7.6.1.2.3 - CNR DT 206/2018)

Parametri di verifica: km=0.70, kh,y=1.00, kh,z=1.00, kcrit,c=0.99, kcrit,m=1.00, Lo=73.8cm, Leff=66.4cm

Instabilità di colonna: **Instabilità nel piano XY**, Instabilità di trave: **Trascurabile**

x	Nd	Myd	Mzd	σ_{c0d}	σ_{myd}	σ_{mzd}	f_{c0d}	f_{myd}	f_{mzd}	Kmod	Comb.	SF
cm	kg	kg*m	kg*m	kg/cm q	kg/cm q	kg/cm q	kg/cm q	kg/cm q	kg/cm q			
0.0	-543	2382	77	-1	33	7	247	276	276	1	51	7.1

Verifica a taglio (§4.4.8.1.9 - NTC)

x	Tyd	Tzd	τ_d	fvd	Kmod	Comb.	SF
cm	kg	kg	kg/cmq	kg/cmq			
73.8	28	1738	4	40	1	51	10

Asta: 105 [0,0]: Sez. R: b=20.0 cm, h=70.0 cm, L=73.8 cm, Crit.Prog: Legno_Tenso-Pressoflessione:
Verificato

Verifica a pressoflessione (§4.4.8.1.8 - NTC, §7.6.1.2.3 - CNR DT 206/2018)

Parametri di verifica: km=0.70, kh,y=1.00, kh,z=1.10, kcrit,c=1.00, kcrit,m=1.00, Lo=73.8cm, Leff=66.4cm

Instabilità di colonna: **Trascurabile**, Instabilità di trave: **Trascurabile**

x	Nd	Myd	Mzd	σ_{c0d}	σ_{myd}	σ_{mzd}	f_{c0d}	f_{myd}	f_{mzd}	Kmod	Comb.	SF
cm	kg	kg*m	kg*m	kg/cm q	kg/cm q	kg/cm q	kg/cm q	kg/cm q	kg/cm q			
0.0	-738	1521	139	-1	9	3	89	99	109	0.6	1	8.9

Verifica a tensoflessione (§4.4.8.1.8 - NTC, §7.6.1.2.3 - CNR DT 206/2018)

Parametri di verifica: km=0.70, kh=0.98, kh,y=1.00, kh,z=1.10, kcrit,m=1.00, Leff=66.4cm

Instabilità di trave: **Trascurabile**

x	Nd	Myd	Mzd	σ_{t0d}	σ_{myd}	σ_{mzd}	f_{t0d}	f_{myd}	f_{mzd}	Kmod	Comb.	SF
cm	kg	kg*m	kg*m	kg/cm q	kg/cm q	kg/cm q	kg/cm q	kg/cm q	kg/cm q			
0.0	727	1408	338	1	9	7	115	166	182	1	(16+17)-I-1	12

Verifica a taglio (§4.4.8.1.9 - NTC)

x	T _{yd}	T _{zd}	τ _d	f _{vd}	K _{mod}	Comb.	SF
cm	kg	kg	kg/cmq	kg/cmq			
73.8	93	3857	4	14	0.6	1	3.5

Verifica Incendio: R60(min), d_{eff} = 4.9 [cm], β_{char} 0.70 (mm/min), b_{eff}=10.2 cm, h_{eff}=65.1 cm

Verifica a pressoflessione (§4.4.8.1.8 - NTC, §7.6.1.2.3 - CNR DT 206/2018)

Parametri di verifica: k_m=0.70, k_{h,y}=1.00, k_{h,z}=1.00, k_{crit,c}=0.99, k_{crit,m}=1.00, L_o=73.8cm, L_{eff}=66.4cm

Instabilità di colonna: **Instabilità nel piano XY**, Instabilità di trave: **Trascurabile**

x	N _d	M _{yd}	M _{zd}	σ _{c0d}	σ _{myd}	σ _{mzd}	f _{c0d}	f _{myd}	f _{mzd}	K _{mod}	Comb.	SF
cm	kg	kg*m	kg*m	kg/cm q	kg/cm q	kg/cm q	kg/cm q	kg/cm q	kg/cm q			
0.0	-543	1131	103	-1	16	9	247	276	276	1	51	12

Verifica a taglio (§4.4.8.1.9 - NTC)

x	T _{yd}	T _{zd}	τ _d	f _{vd}	K _{mod}	Comb.	SF
cm	kg	kg	kg/cmq	kg/cmq			
73.8	69	2869	6	40	1	51	6.2

Asta: 105 [0,124]: Sez. R: b=20.0 cm, h=70.0 cm, L=73.7 cm, Crit.Prog: Legno_Tenso-Pressoflessione: **Verificato**

Verifica a pressoflessione (§4.4.8.1.8 - NTC, §7.6.1.2.3 - CNR DT 206/2018)

Parametri di verifica: k_m=0.70, k_{h,y}=1.00, k_{h,z}=1.10, k_{crit,c}=1.00, k_{crit,m}=1.00, L_o=73.7cm, L_{eff}=66.4cm

Instabilità di colonna: **Trascurabile**, Instabilità di trave: **Trascurabile**

x	N _d	M _{yd}	M _{zd}	σ _{c0d}	σ _{myd}	σ _{mzd}	f _{c0d}	f _{myd}	f _{mzd}	K _{mod}	Comb.	SF
cm	kg	kg*m	kg*m	kg/cm q	kg/cm q	kg/cm q	kg/cm q	kg/cm q	kg/cm q			
73.7	-741	5194	471	-1	32	10	89	99	109	0.6	1	2.6

Verifica a tensoflessione (§4.4.8.1.8 - NTC, §7.6.1.2.3 - CNR DT 206/2018)

Parametri di verifica: k_m=0.70, k_h=0.98, k_{h,y}=1.00, k_{h,z}=1.10, k_{crit,m}=1.00, L_{eff}=66.4cm

Instabilità di trave: **Trascurabile**

x	N _d	M _{yd}	M _{zd}	σ _{t0d}	σ _{myd}	σ _{mzd}	f _{t0d}	f _{myd}	f _{mzd}	K _{mod}	Comb.	SF
cm	kg	kg*m	kg*m	kg/cm q	kg/cm q	kg/cm q	kg/cm q	kg/cm q	kg/cm q			
73.7	772	4840	1324	1	30	28	115	166	182	1	(16+17)-I-1	3.4

Verifica a taglio (§4.4.8.1.9 - NTC)

x	T _{yd}	T _{zd}	τ _d	f _{vd}	K _{mod}	Comb.	SF
cm	kg	kg	kg/cmq	kg/cmq			
73.7	750	5347	6	14	0.6	1	2.5

Verifica Incendio: R60(min), d_{eff} = 4.9 [cm], β_{char} 0.70 (mm/min), b_{eff}=10.2 cm, h_{eff}=65.1 cm

Verifica a pressoflessione (§4.4.8.1.8 - NTC, §7.6.1.2.3 - CNR DT 206/2018)

Parametri di verifica: k_m=0.70, k_{h,y}=1.00, k_{h,z}=1.00, k_{crit,c}=0.99, k_{crit,m}=1.00, L_o=73.7cm, L_{eff}=66.4cm

Instabilità di colonna: **Instabilità nel piano XY**, Instabilità di trave: **Trascurabile**

x	N _d	M _{yd}	M _{zd}	σ _{c0d}	σ _{myd}	σ _{mzd}	f _{c0d}	f _{myd}	f _{mzd}	K _{mod}	Comb.	SF
cm	kg	kg*m	kg*m	kg/cm q	kg/cm q	kg/cm q	kg/cm q	kg/cm q	kg/cm q			
73.7	-545	3861	348	-1	54	31	247	276	276	1	51	3.6

Verifica a taglio (§4.4.8.1.9 - NTC)

x	T _{yd}	T _{zd}	τ _d	f _{vd}	K _{mod}	Comb.	SF
cm	kg	kg	kg/cmq	kg/cmq			
73.7	556	3977	9	40	1	51	4.4

Asta: 148 [0,0]: Sez. R: b=10.0 cm, h=24.0 cm, L=501.1 cm, Crit.Prog: Legno_Arcareccio: **Verificato**

Verifica a flessione (§4.4.8.1.6, §4.4.8.1.1 - NTC)

Parametri di verifica: $k_m=0.70$, $k_{h,y}=1.10$, $k_{h,z}=1.10$, $k_{crit,m}=1.00$, $L_{eff}=451.0\text{cm}$

Instabilità di trave: **Trascurabile**

x	Myd	Mzd	σ_{myd}	σ_{mzd}	fmyd	fmzd	Kmod	Comb.	SF
cm	kg*m	kg*m	kg/cmq	kg/cmq	kg/cmq	kg/cmq			
0.0	838	0	87	0	109	109	0.6	1	1.2

Verifica a taglio (§4.4.8.1.9 - NTC)

x	Tyd	Tzd	τ_d	fvd	Kmod	Comb.	SF
cm	kg	kg	kg/cmq	kg/cmq			
0.0	0	1072	7	14	0.6	1	2.2

Verifica Incendio: R30(min), $d_{eff} = 2.2$ [cm], $\beta_{char} 0.50$ (mm/min), $b_{eff}=5.6$ cm, $h_{eff}=21.8$ cm

Verifica a flessione (§4.4.8.1.6, §4.4.8.1.1 - NTC)

Parametri di verifica: $k_m=0.70$, $k_{h,y}=1.00$, $k_{h,z}=1.00$, $k_{crit,m}=0.76$, $L_{eff}=451.0\text{cm}$

Instabilità di trave: **Instabilità nel piano XY**

x	Myd	Mzd	σ_{myd}	σ_{mzd}	fmyd	fmzd	Kmod	Comb.	SF
cm	kg*m	kg*m	kg/cmq	kg/cmq	kg/cmq	kg/cmq			
0.0	622	0	140	0	276	276	1	51	1.5

Verifica a taglio (§4.4.8.1.9 - NTC)

x	Tyd	Tzd	τ_d	fvd	Kmod	Comb.	SF
cm	kg	kg	kg/cmq	kg/cmq			
0.0	0	795	10	40	1	51	4.1

Asta: 149 [0,0]: Sez. R: $b=10.0$ cm, $h=24.0$ cm, $L=501.1$ cm, Crit.Prog: Legno_Arcareccio: **Verificato**

Verifica a flessione (§4.4.8.1.6, §4.4.8.1.1 - NTC)

Parametri di verifica: $k_m=0.70$, $k_{h,y}=1.10$, $k_{h,z}=1.10$, $k_{crit,m}=1.00$, $L_{eff}=451.0\text{cm}$

Instabilità di trave: **Trascurabile**

x	Myd	Mzd	σ_{myd}	σ_{mzd}	fmyd	fmzd	Kmod	Comb.	SF
cm	kg*m	kg*m	kg/cmq	kg/cmq	kg/cmq	kg/cmq			
0.0	813	0	85	0	109	109	0.6	1	1.3

Verifica a taglio (§4.4.8.1.9 - NTC)

x	Tyd	Tzd	τ_d	fvd	Kmod	Comb.	SF
cm	kg	kg	kg/cmq	kg/cmq			
0.0	0	1087	7	14	0.6	1	2.1

Verifica Incendio: R30(min), $d_{eff} = 2.2$ [cm], $\beta_{char} 0.50$ (mm/min), $b_{eff}=5.6$ cm, $h_{eff}=21.8$ cm

Verifica a flessione (§4.4.8.1.6, §4.4.8.1.1 - NTC)

Parametri di verifica: $k_m=0.70$, $k_{h,y}=1.00$, $k_{h,z}=1.00$, $k_{crit,m}=0.76$, $L_{eff}=451.0\text{cm}$

Instabilità di trave: **Instabilità nel piano XY**

x	Myd	Mzd	σ_{myd}	σ_{mzd}	fmyd	fmzd	Kmod	Comb.	SF
cm	kg*m	kg*m	kg/cmq	kg/cmq	kg/cmq	kg/cmq			
0.0	603	0	136	0	276	276	1	51	1.5

Verifica a taglio (§4.4.8.1.9 - NTC)

x	Tyd	Tzd	τ_d	fvd	Kmod	Comb.	SF
cm	kg	kg	kg/cmq	kg/cmq			
0.0	0	807	10	40	1	51	4.1

Asta: 150 [0,0]: Sez. R: $b=10.0$ cm, $h=24.0$ cm, $L=501.1$ cm, Crit.Prog: Legno_Arcareccio: **Verificato**

Verifica a flessione (§4.4.8.1.6, §4.4.8.1.1 - NTC)

Parametri di verifica: $k_m=0.70$, $k_{h,y}=1.10$, $k_{h,z}=1.10$, $k_{crit,m}=1.00$, $L_{eff}=451.0\text{cm}$

Instabilità di trave: **Trascurabile**

x	Myd	Mzd	σ_{myd}	σ_{mzd}	fmyd	fmzd	Kmod	Comb.	SF
cm	kg*m	kg*m	kg/cmq	kg/cmq	kg/cmq	kg/cmq			
0.0	802	0	84	0	109	109	0.6	1	1.3

Verifica a taglio (§4.4.8.1.9 - NTC)

x	T _{yd}	T _{zd}	τ _d	f _{vd}	K _{mod}	Comb.	SF
cm	kg	kg	kg/cmq	kg/cmq			
0.0	0	1098	7	14	0.6	1	2.1

Verifica Incendio: R30(min), d_{eff} = 2.2 [cm], β_{char} 0.50 (mm/min), b_{eff}=5.6 cm, h_{eff}=21.8 cm

Verifica a flessione (§4.4.8.1.6, §4.4.8.1.1 - NTC)

Parametri di verifica: km=0.70, kh,y=1.00, kh,z=1.00, k_{crit},m=0.76, Leff=451.0cmInstabilità di trave: **Instabilità nel piano XY**

x	M _{yd}	M _{zd}	σ _{myd}	σ _{mzd}	f _{myd}	f _{mzd}	K _{mod}	Comb.	SF
cm	kg*m	kg*m	kg/cmq	kg/cmq	kg/cmq	kg/cmq			
0.0	595	0	134	0	276	276	1	51	1.6

Verifica a taglio (§4.4.8.1.9 - NTC)

x	T _{yd}	T _{zd}	τ _d	f _{vd}	K _{mod}	Comb.	SF
cm	kg	kg	kg/cmq	kg/cmq			
0.0	0	815	10	40	1	51	4.0

Asta: 151 [0,0]: Sez. R: b=10.0 cm, h=24.0 cm, L=501.1 cm, Crit.Prog: Legno_Arcareccio: **Verificato**

Verifica a flessione (§4.4.8.1.6, §4.4.8.1.1 - NTC)

Parametri di verifica: km=0.70, kh,y=1.10, kh,z=1.10, k_{crit},m=1.00, Leff=451.0cmInstabilità di trave: **Trascurabile**

x	M _{yd}	M _{zd}	σ _{myd}	σ _{mzd}	f _{myd}	f _{mzd}	K _{mod}	Comb.	SF
cm	kg*m	kg*m	kg/cmq	kg/cmq	kg/cmq	kg/cmq			
0.0	799	0	83	0	109	109	0.6	1	1.3

Verifica a taglio (§4.4.8.1.9 - NTC)

x	T _{yd}	T _{zd}	τ _d	f _{vd}	K _{mod}	Comb.	SF
cm	kg	kg	kg/cmq	kg/cmq			
0.0	0	1101	7	14	0.6	1	2.1

Verifica Incendio: R30(min), d_{eff} = 2.2 [cm], β_{char} 0.50 (mm/min), b_{eff}=5.6 cm, h_{eff}=21.8 cm

Verifica a flessione (§4.4.8.1.6, §4.4.8.1.1 - NTC)

Parametri di verifica: km=0.70, kh,y=1.00, kh,z=1.00, k_{crit},m=0.76, Leff=451.0cmInstabilità di trave: **Instabilità nel piano XY**

x	M _{yd}	M _{zd}	σ _{myd}	σ _{mzd}	f _{myd}	f _{mzd}	K _{mod}	Comb.	SF
cm	kg*m	kg*m	kg/cmq	kg/cmq	kg/cmq	kg/cmq			
0.0	593	0	134	0	276	276	1	51	1.6

Verifica a taglio (§4.4.8.1.9 - NTC)

x	T _{yd}	T _{zd}	τ _d	f _{vd}	K _{mod}	Comb.	SF
cm	kg	kg	kg/cmq	kg/cmq			
0.0	0	817	10	40	1	51	4.0

Asta: 152 [0,0]: Sez. R: b=10.0 cm, h=24.0 cm, L=501.1 cm, Crit.Prog: Legno_Arcareccio: **Verificato**

Verifica a flessione (§4.4.8.1.6, §4.4.8.1.1 - NTC)

Parametri di verifica: km=0.70, kh,y=1.10, kh,z=1.10, k_{crit},m=1.00, Leff=451.0cmInstabilità di trave: **Trascurabile**

x	M _{yd}	M _{zd}	σ _{myd}	σ _{mzd}	f _{myd}	f _{mzd}	K _{mod}	Comb.	SF
cm	kg*m	kg*m	kg/cmq	kg/cmq	kg/cmq	kg/cmq			
0.0	803	0	84	0	109	109	0.6	1	1.3

Verifica a taglio (§4.4.8.1.9 - NTC)

x	T _{yd}	T _{zd}	τ _d	f _{vd}	K _{mod}	Comb.	SF
cm	kg	kg	kg/cmq	kg/cmq			
0.0	1	1098	7	14	0.6	1	2.1

Verifica Incendio: R30(min), $d_{eff} = 2.2$ [cm], $\beta_{char} 0.50$ (mm/min), $b_{eff}=5.6$ cm, $h_{eff}=21.8$ cm

Verifica a flessione (§4.4.8.1.6, §4.4.8.1.1 - NTC)

Parametri di verifica: $k_m=0.70$, $k_{h,y}=1.00$, $k_{h,z}=1.00$, $k_{crit,m}=0.76$, $L_{eff}=451.0$ cm

Instabilità di trave: **Instabilità nel piano XY**

x	Myd	Mzd	σ_{myd}	σ_{mzd}	fmyd	fmzd	Kmod	Comb.	SF
cm	kg*m	kg*m	kg/cmq	kg/cmq	kg/cmq	kg/cmq			
0.0	596	0	134	0	276	276	1	51	1.6

Verifica a taglio (§4.4.8.1.9 - NTC)

x	Tyd	Tzd	τ_d	fvd	Kmod	Comb.	SF
cm	kg	kg	kg/cmq	kg/cmq			
0.0	0	815	10	40	1	51	4.0

Asta: 153 [0,0]: Sez. R: $b=10.0$ cm, $h=24.0$ cm, $L=501.1$ cm, Crit.Prog: Legno_Arcareccio: **Verificato**

Verifica a flessione (§4.4.8.1.6, §4.4.8.1.1 - NTC)

Parametri di verifica: $k_m=0.70$, $k_{h,y}=1.10$, $k_{h,z}=1.10$, $k_{crit,m}=1.00$, $L_{eff}=451.0$ cm

Instabilità di trave: **Trascurabile**

x	Myd	Mzd	σ_{myd}	σ_{mzd}	fmyd	fmzd	Kmod	Comb.	SF
cm	kg*m	kg*m	kg/cmq	kg/cmq	kg/cmq	kg/cmq			
0.0	816	0	85	0	109	109	0.6	1	1.3

Verifica a taglio (§4.4.8.1.9 - NTC)

x	Tyd	Tzd	τ_d	fvd	Kmod	Comb.	SF
cm	kg	kg	kg/cmq	kg/cmq			
0.0	1	1089	7	14	0.6	1	2.1

Verifica Incendio: R30(min), $d_{eff} = 2.2$ [cm], $\beta_{char} 0.50$ (mm/min), $b_{eff}=5.6$ cm, $h_{eff}=21.8$ cm

Verifica a flessione (§4.4.8.1.6, §4.4.8.1.1 - NTC)

Parametri di verifica: $k_m=0.70$, $k_{h,y}=1.00$, $k_{h,z}=1.00$, $k_{crit,m}=0.76$, $L_{eff}=451.0$ cm

Instabilità di trave: **Instabilità nel piano XY**

x	Myd	Mzd	σ_{myd}	σ_{mzd}	fmyd	fmzd	Kmod	Comb.	SF
cm	kg*m	kg*m	kg/cmq	kg/cmq	kg/cmq	kg/cmq			
0.0	605	0	136	0	276	276	1	51	1.5

Verifica a taglio (§4.4.8.1.9 - NTC)

x	Tyd	Tzd	τ_d	fvd	Kmod	Comb.	SF
cm	kg	kg	kg/cmq	kg/cmq			
0.0	0	808	10	40	1	51	4.1

Asta: 154 [0,0]: Sez. R: $b=10.0$ cm, $h=24.0$ cm, $L=501.1$ cm, Crit.Prog: Legno_Arcareccio: **Verificato**

Verifica a flessione (§4.4.8.1.6, §4.4.8.1.1 - NTC)

Parametri di verifica: $k_m=0.70$, $k_{h,y}=1.10$, $k_{h,z}=1.10$, $k_{crit,m}=1.00$, $L_{eff}=451.0$ cm

Instabilità di trave: **Trascurabile**

x	Myd	Mzd	σ_{myd}	σ_{mzd}	fmyd	fmzd	Kmod	Comb.	SF
cm	kg*m	kg*m	kg/cmq	kg/cmq	kg/cmq	kg/cmq			
0.0	842	0	88	0	109	109	0.6	1	1.2

Verifica a taglio (§4.4.8.1.9 - NTC)

x	Tyd	Tzd	τ_d	fvd	Kmod	Comb.	SF
cm	kg	kg	kg/cmq	kg/cmq			
0.0	0	1074	7	14	0.6	1	2.2

Verifica Incendio: R30(min), $d_{eff} = 2.2$ [cm], $\beta_{char} 0.50$ (mm/min), $b_{eff}=5.6$ cm, $h_{eff}=21.8$ cm

Verifica a flessione (§4.4.8.1.6, §4.4.8.1.1 - NTC)

Parametri di verifica: $k_m=0.70$, $k_{h,y}=1.00$, $k_{h,z}=1.00$, $k_{crit,m}=0.76$, $L_{eff}=451.0$ cm

Instabilità di trave: **Instabilità nel piano XY**

x	Myd	Mzd	σ_{myd}	σ_{mzd}	fmyd	fmzd	Kmod	Comb.	SF
cm	kg*m	kg*m	kg/cmq	kg/cmq	kg/cmq	kg/cmq			

x	Myd	Mzd	σ_{myd}	σ_{mzd}	fmyd	fmzd	Kmod	Comb.	SF
0.0	625	0	141	0	276	276	1	51	1.5

Verifica a taglio (§4.4.8.1.9 - NTC)

x	Tyd	Tzd	τ_d	fvd	Kmod	Comb.	SF
cm	kg	kg	kg/cmq	kg/cmq			
0.0	0	797	10	40	1	51	4.1

Asta: 148 [0,0]: Sez. R: b=10.0 cm, h=24.0 cm, L=276.6 cm, Crit.Prog: Legno_Arcareccio: **Verificato**

Verifica a flessione (§4.4.8.1.6, §4.4.8.1.1 - NTC)

Parametri di verifica: $k_m=0.70$, $k_{h,y}=1.10$, $k_{h,z}=1.10$, $k_{crit,m}=1.00$, $L_{eff}=249.0\text{cm}$

Instabilità di trave: **Trascurabile**

x	Myd	Mzd	σ_{myd}	σ_{mzd}	fmyd	fmzd	Kmod	Comb.	SF
cm	kg*m	kg*m	kg/cmq	kg/cmq	kg/cmq	kg/cmq			
276.6	447	0	47	0	163	164	0.9	3	3.5

Verifica a taglio (§4.4.8.1.9 - NTC)

x	Tyd	Tzd	τ_d	fvd	Kmod	Comb.	SF
cm	kg	kg	kg/cmq	kg/cmq			
276.6	4	496	3	22	0.9	3	7.0

Verifica Incendio: R30(min), $d_{eff} = 2.2$ [cm], $\beta_{char} 0.50$ (mm/min), $b_{eff}=5.6$ cm, $h_{eff}=21.8$ cm

Verifica a flessione (§4.4.8.1.6, §4.4.8.1.1 - NTC)

Parametri di verifica: $k_m=0.70$, $k_{h,y}=1.00$, $k_{h,z}=1.00$, $k_{crit,m}=0.96$, $L_{eff}=249.0\text{cm}$

Instabilità di trave: **Instabilità nel piano XY**

x	Myd	Mzd	σ_{myd}	σ_{mzd}	fmyd	fmzd	Kmod	Comb.	SF
cm	kg*m	kg*m	kg/cmq	kg/cmq	kg/cmq	kg/cmq			
276.6	220	0	50	0	276	276	1	51	5.4

Verifica a taglio (§4.4.8.1.9 - NTC)

x	Tyd	Tzd	τ_d	fvd	Kmod	Comb.	SF
cm	kg	kg	kg/cmq	kg/cmq			
276.6	2	179	2	40	1	51	18

Asta: 149 [0,0]: Sez. R: b=10.0 cm, h=24.0 cm, L=276.6 cm, Crit.Prog: Legno_Arcareccio: **Verificato**

Verifica a flessione (§4.4.8.1.6, §4.4.8.1.1 - NTC)

Parametri di verifica: $k_m=0.70$, $k_{h,y}=1.10$, $k_{h,z}=1.10$, $k_{crit,m}=1.00$, $L_{eff}=249.0\text{cm}$

Instabilità di trave: **Trascurabile**

x	Myd	Mzd	σ_{myd}	σ_{mzd}	fmyd	fmzd	Kmod	Comb.	SF
cm	kg*m	kg*m	kg/cmq	kg/cmq	kg/cmq	kg/cmq			
276.6	421	0	44	0	109	109	0.6	1	2.5

Verifica a taglio (§4.4.8.1.9 - NTC)

x	Tyd	Tzd	τ_d	fvd	Kmod	Comb.	SF
cm	kg	kg	kg/cmq	kg/cmq			
276.6	1	561	4	22	0.9	3	6.2

Verifica Incendio: R30(min), $d_{eff} = 2.2$ [cm], $\beta_{char} 0.50$ (mm/min), $b_{eff}=5.6$ cm, $h_{eff}=21.8$ cm

Verifica a flessione (§4.4.8.1.6, §4.4.8.1.1 - NTC)

Parametri di verifica: $k_m=0.70$, $k_{h,y}=1.00$, $k_{h,z}=1.00$, $k_{crit,m}=0.96$, $L_{eff}=249.0\text{cm}$

Instabilità di trave: **Instabilità nel piano XY**

x	Myd	Mzd	σ_{myd}	σ_{mzd}	fmyd	fmzd	Kmod	Comb.	SF
cm	kg*m	kg*m	kg/cmq	kg/cmq	kg/cmq	kg/cmq			
276.6	312	0	70	0	276	276	1	51	3.8

Verifica a taglio (§4.4.8.1.9 - NTC)

x	Tyd	Tzd	τ_d	fvd	Kmod	Comb.	SF
cm	kg	kg	kg/cmq	kg/cmq			

x	Tyd	Tzd	τ_d	fvd	Kmod	Comb.	SF
276.6	0	220	3	40	1	51	15

Asta: 150 [0,0]: Sez. R: b=10.0 cm, h=24.0 cm, L=276.6 cm, Crit.Prog: Legno_Arcareccio: **Verificato**

Verifica a flessione (§4.4.8.1.6, §4.4.8.1.1 - NTC)

Parametri di verifica: $k_m=0.70$, $k_{h,y}=1.10$, $k_{h,z}=1.10$, $k_{crit,m}=1.00$, $L_{eff}=249.0\text{cm}$

Instabilità di trave: **Trascurabile**

x	Myd	Mzd	σ_{myd}	σ_{mzd}	fmyd	fmzd	Kmod	Comb.	SF
cm	kg*m	kg*m	kg/cm ²	kg/cm ²	kg/cm ²	kg/cm ²			
276.6	481	0	50	0	109	109	0.6	1	2.2

Verifica a taglio (§4.4.8.1.9 - NTC)

x	Tyd	Tzd	τ_d	fvd	Kmod	Comb.	SF
cm	kg	kg	kg/cm ²	kg/cm ²			
276.6	1	588	4	22	0.9	3	5.9

Verifica Incendio: R30(min), $d_{eff} = 2.2$ [cm], $\beta_{char} 0.50$ (mm/min), $b_{eff}=5.6$ cm, $h_{eff}=21.8$ cm

Verifica a flessione (§4.4.8.1.6, §4.4.8.1.1 - NTC)

Parametri di verifica: $k_m=0.70$, $k_{h,y}=1.00$, $k_{h,z}=1.00$, $k_{crit,m}=0.96$, $L_{eff}=249.0\text{cm}$

Instabilità di trave: **Instabilità nel piano XY**

x	Myd	Mzd	σ_{myd}	σ_{mzd}	fmyd	fmzd	Kmod	Comb.	SF
cm	kg*m	kg*m	kg/cm ²	kg/cm ²	kg/cm ²	kg/cm ²			
276.6	356	0	80	0	276	276	1	51	3.3

Verifica a taglio (§4.4.8.1.9 - NTC)

x	Tyd	Tzd	τ_d	fvd	Kmod	Comb.	SF
cm	kg	kg	kg/cm ²	kg/cm ²			
276.6	1	238	3	40	1	51	14

Asta: 151 [0,0]: Sez. R: b=10.0 cm, h=24.0 cm, L=276.6 cm, Crit.Prog: Legno_Arcareccio: **Verificato**

Verifica a flessione (§4.4.8.1.6, §4.4.8.1.1 - NTC)

Parametri di verifica: $k_m=0.70$, $k_{h,y}=1.10$, $k_{h,z}=1.10$, $k_{crit,m}=1.00$, $L_{eff}=249.0\text{cm}$

Instabilità di trave: **Trascurabile**

x	Myd	Mzd	σ_{myd}	σ_{mzd}	fmyd	fmzd	Kmod	Comb.	SF
cm	kg*m	kg*m	kg/cm ²	kg/cm ²	kg/cm ²	kg/cm ²			
276.6	497	0	52	0	109	109	0.6	1	2.1

Verifica a taglio (§4.4.8.1.9 - NTC)

x	Tyd	Tzd	τ_d	fvd	Kmod	Comb.	SF
cm	kg	kg	kg/cm ²	kg/cm ²			
276.6	2	594	4	22	0.9	3	5.8

Verifica Incendio: R30(min), $d_{eff} = 2.2$ [cm], $\beta_{char} 0.50$ (mm/min), $b_{eff}=5.6$ cm, $h_{eff}=21.8$ cm

Verifica a flessione (§4.4.8.1.6, §4.4.8.1.1 - NTC)

Parametri di verifica: $k_m=0.70$, $k_{h,y}=1.00$, $k_{h,z}=1.00$, $k_{crit,m}=0.96$, $L_{eff}=249.0\text{cm}$

Instabilità di trave: **Instabilità nel piano XY**

x	Myd	Mzd	σ_{myd}	σ_{mzd}	fmyd	fmzd	Kmod	Comb.	SF
cm	kg*m	kg*m	kg/cm ²	kg/cm ²	kg/cm ²	kg/cm ²			
276.6	369	0	83	0	276	276	1	51	3.2

Verifica a taglio (§4.4.8.1.9 - NTC)

x	Tyd	Tzd	τ_d	fvd	Kmod	Comb.	SF
cm	kg	kg	kg/cm ²	kg/cm ²			
276.6	1	242	3	40	1	51	14

Asta: 152 [0,0]: Sez. R: b=10.0 cm, h=24.0 cm, L=276.6 cm, Crit.Prog: Legno_Arcareccio: **Verificato**

Verifica a flessione (§4.4.8.1.6, §4.4.8.1.1 - NTC)

Parametri di verifica: $k_m=0.70$, $k_{h,y}=1.10$, $k_{h,z}=1.10$, $k_{crit,m}=1.00$, $L_{eff}=249.0\text{cm}$

Instabilità di trave: **Trascurabile**

x	Myd	Mzd	σ_{myd}	σ_{mzd}	fmyd	fmzd	Kmod	Comb.	SF
cm	kg*m	kg*m	kg/cmq	kg/cmq	kg/cmq	kg/cmq			
276.6	480	0	50	0	109	109	0.6	1	2.2

Verifica a taglio (§4.4.8.1.9 - NTC)

x	Tyd	Tzd	τ_d	fvd	Kmod	Comb.	SF
cm	kg	kg	kg/cmq	kg/cmq			
276.6	2	587	4	22	0.9	3	5.9

Verifica Incendio: R30(min), $d_{eff} = 2.2$ [cm], $\beta_{char} 0.50$ (mm/min), $b_{eff}=5.6$ cm, $h_{eff}=21.8$ cm

Verifica a flessione (§4.4.8.1.6, §4.4.8.1.1 - NTC)

Parametri di verifica: $k_m=0.70$, $k_{h,y}=1.00$, $k_{h,z}=1.00$, $k_{crit,m}=0.96$, $L_{eff}=249.0\text{cm}$

Instabilità di trave: **Instabilità nel piano XY**

x	Myd	Mzd	σ_{myd}	σ_{mzd}	fmyd	fmzd	Kmod	Comb.	SF
cm	kg*m	kg*m	kg/cmq	kg/cmq	kg/cmq	kg/cmq			
276.6	356	0	80	0	276	276	1	51	3.3

Verifica a taglio (§4.4.8.1.9 - NTC)

x	Tyd	Tzd	τ_d	fvd	Kmod	Comb.	SF
cm	kg	kg	kg/cmq	kg/cmq			
276.6	1	237	3	40	1	51	14

Asta: 153 [0,0]: Sez. R: $b=10.0$ cm, $h=24.0$ cm, $L=276.6$ cm, Crit.Prog: Legno_Arcareccio: **Verificato**

Verifica a flessione (§4.4.8.1.6, §4.4.8.1.1 - NTC)

Parametri di verifica: $k_m=0.70$, $k_{h,y}=1.10$, $k_{h,z}=1.10$, $k_{crit,m}=1.00$, $L_{eff}=249.0\text{cm}$

Instabilità di trave: **Trascurabile**

x	Myd	Mzd	σ_{myd}	σ_{mzd}	fmyd	fmzd	Kmod	Comb.	SF
cm	kg*m	kg*m	kg/cmq	kg/cmq	kg/cmq	kg/cmq			
276.6	418	0	44	0	109	109	0.6	1	2.5

Verifica a taglio (§4.4.8.1.9 - NTC)

x	Tyd	Tzd	τ_d	fvd	Kmod	Comb.	SF
cm	kg	kg	kg/cmq	kg/cmq			
276.6	4	558	3	22	0.9	3	6.2

Verifica Incendio: R30(min), $d_{eff} = 2.2$ [cm], $\beta_{char} 0.50$ (mm/min), $b_{eff}=5.6$ cm, $h_{eff}=21.8$ cm

Verifica a flessione (§4.4.8.1.6, §4.4.8.1.1 - NTC)

Parametri di verifica: $k_m=0.70$, $k_{h,y}=1.00$, $k_{h,z}=1.00$, $k_{crit,m}=0.96$, $L_{eff}=249.0\text{cm}$

Instabilità di trave: **Instabilità nel piano XY**

x	Myd	Mzd	σ_{myd}	σ_{mzd}	fmyd	fmzd	Kmod	Comb.	SF
cm	kg*m	kg*m	kg/cmq	kg/cmq	kg/cmq	kg/cmq			
276.6	310	0	70	0	276	276	1	51	3.8

Verifica a taglio (§4.4.8.1.9 - NTC)

x	Tyd	Tzd	τ_d	fvd	Kmod	Comb.	SF
cm	kg	kg	kg/cmq	kg/cmq			
276.6	2	219	3	40	1	51	15

Asta: 154 [0,0]: Sez. R: $b=10.0$ cm, $h=24.0$ cm, $L=276.6$ cm, Crit.Prog: Legno_Arcareccio: **Verificato**

Verifica a flessione (§4.4.8.1.6, §4.4.8.1.1 - NTC)

Parametri di verifica: $k_m=0.70$, $k_{h,y}=1.10$, $k_{h,z}=1.10$, $k_{crit,m}=1.00$, $L_{eff}=249.0\text{cm}$

Instabilità di trave: **Trascurabile**

x	Myd	Mzd	σ_{myd}	σ_{mzd}	fmyd	fmzd	Kmod	Comb.	SF
cm	kg*m	kg*m	kg/cmq	kg/cmq	kg/cmq	kg/cmq			
276.6	440	0	46	0	163	164	0.9	3	3.6

Verifica a taglio (§4.4.8.1.9 - NTC)

x	Tyd	Tzd	τ_d	fvd	Kmod	Comb.	SF
cm	kg	kg	kg/cmq	kg/cmq			
276.6	7	491	3	22	0.9	3	7.1

Verifica Incendio: R30(min), $d_{eff} = 2.2$ [cm], $\beta_{char} 0.50$ (mm/min), $b_{eff}=5.6$ cm, $h_{eff}=21.8$ cm

Verifica a flessione (§4.4.8.1.6, §4.4.8.1.1 - NTC)

Parametri di verifica: $k_m=0.70$, $k_{h,y}=1.00$, $k_{h,z}=1.00$, $k_{crit,m}=0.96$, $L_{eff}=249.0$ cmInstabilità di trave: **Instabilità nel piano XY**

x	Myd	Mzd	σ_{myd}	σ_{mzd}	fmyd	fmzd	Kmod	Comb.	SF
cm	kg*m	kg*m	kg/cmq	kg/cmq	kg/cmq	kg/cmq			
276.6	216	0	49	0	276	276	1	51	5.5

Verifica a taglio (§4.4.8.1.9 - NTC)

x	Tyd	Tzd	τ_d	fvd	Kmod	Comb.	SF
cm	kg	kg	kg/cmq	kg/cmq			
276.6	4	176	2	40	1	51	19

Asta: 105 [0,0]: Sez. R: $b=20.0$ cm, $h=70.0$ cm, $L=75.0$ cm, Crit.Prog: Legno_Tenso-Pressoflessione:
Verificato

Verifica a pressoflessione (§4.4.8.1.8 - NTC, §7.6.1.2.3 - CNR DT 206/2018)

Parametri di verifica: $k_m=0.70$, $k_{h,y}=1.00$, $k_{h,z}=1.10$, $k_{crit,c}=1.00$, $k_{crit,m}=1.00$, $L_o=75.0$ cm, $L_{eff}=67.5$ cmInstabilità di colonna: **Trascurabile**, Instabilità di trave: **Trascurabile**

x	Nd	Myd	Mzd	σ_{c0d}	σ_{myd}	σ_{mzd}	f_{c0d}	fmyd	fmzd	Kmod	Comb.	SF
cm	kg	kg*m	kg*m	kg/cm q	kg/cm q	kg/cm q	kg/cm q	kg/cm q	kg/cm q			
0.0	-586	2428	11	-0	15	0	133	149	164	0.9	3	9.9

Verifica a tensoflessione (§4.4.8.1.8 - NTC, §7.6.1.2.3 - CNR DT 206/2018)

Parametri di verifica: $k_m=0.70$, $k_h=0.98$, $k_{h,y}=1.00$, $k_{h,z}=1.10$, $k_{crit,m}=1.00$, $L_{eff}=67.5$ cmInstabilità di trave: **Trascurabile**

x	Nd	Myd	Mzd	σ_{t0d}	σ_{myd}	σ_{mzd}	f_{t0d}	fmyd	fmzd	Kmod	Comb.	SF
cm	kg	kg*m	kg*m	kg/cm q	kg/cm q	kg/cm q	kg/cm q	kg/cm q	kg/cm q			
0.0	13	1631	33	0	10	1	69	99	109	0.6	1	9.5

Verifica a taglio (§4.4.8.1.9 - NTC)

x	Tyd	Tzd	τ_d	fvd	Kmod	Comb.	SF
cm	kg	kg	kg/cmq	kg/cmq			
0.0	110	3297	4	22	0.9	3	6.1

Verifica Incendio: R60(min), $d_{eff} = 4.9$ [cm], $\beta_{char} 0.70$ (mm/min), $b_{eff}=10.2$ cm, $h_{eff}=65.1$ cm

Verifica a tensoflessione (§4.4.8.1.8 - NTC, §7.6.1.2.3 - CNR DT 206/2018)

Parametri di verifica: $k_m=0.70$, $k_h=1.00$, $k_{h,y}=1.00$, $k_{h,z}=1.00$, $k_{crit,m}=1.00$, $L_{eff}=67.5$ cmInstabilità di trave: **Trascurabile**

x	Nd	Myd	Mzd	σ_{t0d}	σ_{myd}	σ_{mzd}	f_{t0d}	fmyd	fmzd	Kmod	Comb.	SF
cm	kg	kg*m	kg*m	kg/cm q	kg/cm q	kg/cm q	kg/cm q	kg/cm q	kg/cm q			
0.0	17	1212	25	0	17	2	195	276	276	1	51	15

Verifica a taglio (§4.4.8.1.9 - NTC)

x	Tyd	Tzd	τ_d	fvd	Kmod	Comb.	SF
cm	kg	kg	kg/cmq	kg/cmq			
0.0	63	1180	3	40	1	51	15

Asta: 105 [0,0]: Sez. R: $b=20.0$ cm, $h=70.0$ cm, $L=75.0$ cm, Crit.Prog: Legno_Tenso-Pressoflessione:
Verificato

Verifica a pressoflessione (§4.4.8.1.8 - NTC, §7.6.1.2.3 - CNR DT 206/2018)

Parametri di verifica: $k_m=0.70$, $k_{h,y}=1.00$, $k_{h,z}=1.10$, $k_{crit,c}=1.00$, $k_{crit,m}=1.00$, $L_o=75.0\text{cm}$, $L_{eff}=67.5\text{cm}$

Instabilità di colonna: **Trascurabile**, Instabilità di trave: **Trascurabile**

x	Nd	Myd	Mzd	σ_{c0d}	σ_{myd}	σ_{mzd}	f_{c0d}	f_{myd}	f_{mzd}	Kmod	Comb.	SF
cm	kg	kg*m	kg*m	kg/cm q	kg/cm q	kg/cm q	kg/cm q	kg/cm q	kg/cm q			
75.0	-580	1523	24	-0	9	1	133	149	164	0.9	3	15

Verifica a tensoflessione (§4.4.8.1.8 - NTC, §7.6.1.2.3 - CNR DT 206/2018)

Parametri di verifica: $k_m=0.70$, $k_h=0.98$, $k_{h,y}=1.00$, $k_{h,z}=1.10$, $k_{crit,m}=1.00$, $L_{eff}=67.5\text{cm}$

Instabilità di trave: **Trascurabile**

x	Nd	Myd	Mzd	σ_{t0d}	σ_{myd}	σ_{mzd}	f_{t0d}	f_{myd}	f_{mzd}	Kmod	Comb.	SF
cm	kg	kg*m	kg*m	kg/cm q	kg/cm q	kg/cm q	kg/cm q	kg/cm q	kg/cm q			
0.0	20	477	27	0	3	1	69	99	109	0.6	1	30

Verifica a taglio (§4.4.8.1.9 - NTC)

x	Tyd	Tzd	τ_d	fvd	Kmod	Comb.	SF
cm	kg	kg	kg/cmq	kg/cmq			
0.0	57	2088	2	22	0.9	3	9.7

Verifica Incendio: R60(min), $d_{eff} = 4.9$ [cm], $\beta_{char} 0.70$ (mm/min), $b_{eff}=10.2$ cm, $h_{eff}=65.1$ cm

Verifica a tensoflessione (§4.4.8.1.8 - NTC, §7.6.1.2.3 - CNR DT 206/2018)

Parametri di verifica: $k_m=0.70$, $k_h=1.00$, $k_{h,y}=1.00$, $k_{h,z}=1.00$, $k_{crit,m}=1.00$, $L_{eff}=67.5\text{cm}$

Instabilità di trave: **Trascurabile**

x	Nd	Myd	Mzd	σ_{t0d}	σ_{myd}	σ_{mzd}	f_{t0d}	f_{myd}	f_{mzd}	Kmod	Comb.	SF
cm	kg	kg*m	kg*m	kg/cm q	kg/cm q	kg/cm q	kg/cm q	kg/cm q	kg/cm q			
0.0	23	358	20	0	5	2	195	276	276	1	51	44

Verifica a taglio (§4.4.8.1.9 - NTC)

x	Tyd	Tzd	τ_d	fvd	Kmod	Comb.	SF
cm	kg	kg	kg/cmq	kg/cmq			
0.0	15	791	2	40	1	51	23

Asta: 105 [0,0]: Sez. R: $b=20.0$ cm, $h=70.0$ cm, $L=75.0$ cm, Crit.Prog: Legno_Tenso-Pressoflessione:
Verificato

Verifica a pressoflessione (§4.4.8.1.8 - NTC, §7.6.1.2.3 - CNR DT 206/2018)

Parametri di verifica: $k_m=0.70$, $k_{h,y}=1.00$, $k_{h,z}=1.10$, $k_{crit,c}=1.00$, $k_{crit,m}=1.00$, $L_o=75.0\text{cm}$, $L_{eff}=67.5\text{cm}$

Instabilità di colonna: **Trascurabile**, Instabilità di trave: **Trascurabile**

x	Nd	Myd	Mzd	σ_{c0d}	σ_{myd}	σ_{mzd}	f_{c0d}	f_{myd}	f_{mzd}	Kmod	Comb.	SF
cm	kg	kg*m	kg*m	kg/cm q	kg/cm q	kg/cm q	kg/cm q	kg/cm q	kg/cm q			
75.0	-584	2168	25	-0	13	1	133	149	164	0.9	3	11

Verifica a tensoflessione (§4.4.8.1.8 - NTC, §7.6.1.2.3 - CNR DT 206/2018)

Parametri di verifica: $k_m=0.70$, $k_h=0.98$, $k_{h,y}=1.00$, $k_{h,z}=1.10$, $k_{crit,m}=1.00$, $L_{eff}=67.5\text{cm}$

Instabilità di trave: **Trascurabile**

x	Nd	Myd	Mzd	σ_{t0d}	σ_{myd}	σ_{mzd}	f_{t0d}	f_{myd}	f_{mzd}	Kmod	Comb.	SF
cm	kg	kg*m	kg*m	kg/cm q	kg/cm q	kg/cm q	kg/cm q	kg/cm q	kg/cm q			
75.0	20	675	14	0	4	0	69	99	109	0.6	1	23

Verifica a taglio (§4.4.8.1.9 - NTC)

x	Tyd	Tzd	τ_d	fvd	Kmod	Comb.	SF
cm	kg	kg	kg/cmq	kg/cmq			
0.0	5	939	1	22	0.9	3	22

Verifica Incendio: R60(min), $d_{eff} = 4.9$ [cm], $\beta_{char} 0.70$ (mm/min), $b_{eff}=10.2$ cm, $h_{eff}=65.1$ cm

Verifica a tensoflessione (§4.4.8.1.8 - NTC, §7.6.1.2.3 - CNR DT 206/2018)

Parametri di verifica: $k_m=0.70$, $k_h=1.00$, $k_{h,y}=1.00$, $k_{h,z}=1.00$, $k_{crit,m}=1.00$, $L_{eff}=67.5\text{cm}$

Instabilità di trave: **Trascurabile**

x	Nd	Myd	Mzd	σ_{t0d}	σ_{myd}	σ_{mzd}	f_{t0d}	f_{myd}	f_{mzd}	Kmod	Comb.	SF
cm	kg	kg*m	kg*m	kg/cm q	kg/cm q	kg/cm q	kg/cm q	kg/cm q	kg/cm q			
75.0	23	497	10	0	7	1	195	276	276	1	51	36

Verifica a taglio (§4.4.8.1.9 - NTC)

x	Tyd	Tzd	τ_d	fvd	Kmod	Comb.	SF
cm	kg	kg	kg/cmq	kg/cmq			
0.0	5	430	1	40	1	51	41

Asta: 105 [0,0]: Sez. R: b=20.0 cm, h=70.0 cm, L=75.0 cm, Crit.Prog: Legno_Tenso-Pressoflessione:
Verificato

Verifica a pressoflessione (§4.4.8.1.8 - NTC, §7.6.1.2.3 - CNR DT 206/2018)

Parametri di verifica: $k_m=0.70$, $k_{h,y}=1.00$, $k_{h,z}=1.10$, $k_{crit,c}=1.00$, $k_{crit,m}=1.00$, $L_o=75.0\text{cm}$, $L_{eff}=67.5\text{cm}$

Instabilità di colonna: **Trascurabile**, Instabilità di trave: **Trascurabile**

x	Nd	Myd	Mzd	σ_{c0d}	σ_{myd}	σ_{mzd}	f_{c0d}	f_{myd}	f_{mzd}	Kmod	Comb.	SF
cm	kg	kg*m	kg*m	kg/cm q	kg/cm q	kg/cm q	kg/cm q	kg/cm q	kg/cm q			
75.0	-591	1963	112	-0	12	2	133	149	164	0.9	3	11

Verifica a tensoflessione (§4.4.8.1.8 - NTC, §7.6.1.2.3 - CNR DT 206/2018)

Parametri di verifica: $k_m=0.70$, $k_h=0.98$, $k_{h,y}=1.00$, $k_{h,z}=1.10$, $k_{crit,m}=1.00$, $L_{eff}=67.5\text{cm}$

Instabilità di trave: **Trascurabile**

x	Nd	Myd	Mzd	σ_{t0d}	σ_{myd}	σ_{mzd}	f_{t0d}	f_{myd}	f_{mzd}	Kmod	Comb.	SF
cm	kg	kg*m	kg*m	kg/cm q	kg/cm q	kg/cm q	kg/cm q	kg/cm q	kg/cm q			
75.0	20	704	45	0	4	1	69	99	109	0.6	1	20

Verifica a taglio (§4.4.8.1.9 - NTC)

x	Tyd	Tzd	τ_d	fvd	Kmod	Comb.	SF
cm	kg	kg	kg/cmq	kg/cmq			
75.0	120	288	0	22	0.9	3	65

Verifica Incendio: R60(min), $d_{eff} = 4.9$ [cm], $\beta_{char} 0.70$ (mm/min), $b_{eff}=10.2$ cm, $h_{eff}=65.1$ cm

Verifica a tensoflessione (§4.4.8.1.8 - NTC, §7.6.1.2.3 - CNR DT 206/2018)

Parametri di verifica: $k_m=0.70$, $k_h=1.00$, $k_{h,y}=1.00$, $k_{h,z}=1.00$, $k_{crit,m}=1.00$, $L_{eff}=67.5\text{cm}$

Instabilità di trave: **Trascurabile**

x	Nd	Myd	Mzd	σ_{t0d}	σ_{myd}	σ_{mzd}	f_{t0d}	f_{myd}	f_{mzd}	Kmod	Comb.	SF
cm	kg	kg*m	kg*m	kg/cm q	kg/cm q	kg/cm q	kg/cm q	kg/cm q	kg/cm q			
75.0	23	519	33	0	7	3	195	276	276	1	51	30

Verifica a taglio (§4.4.8.1.9 - NTC)

x	Tyd	Tzd	τ_d	fvd	Kmod	Comb.	SF
cm	kg	kg	kg/cmq	kg/cmq			
0.0	33	76	0	40	1	51	>100

Asta: 105 [0,0]: Sez. R: b=20.0 cm, h=70.0 cm, L=75.0 cm, Crit.Prog: Legno_Tenso-Pressoflessione:
Verificato

Verifica a pressoflessione (§4.4.8.1.8 - NTC, §7.6.1.2.3 - CNR DT 206/2018)

Parametri di verifica: $k_m=0.70$, $k_{h,y}=1.00$, $k_{h,z}=1.10$, $k_{crit,c}=1.00$, $k_{crit,m}=1.00$, $L_o=75.0\text{cm}$, $L_{eff}=67.5\text{cm}$

Instabilità di colonna: **Trascurabile**, Instabilità di trave: **Trascurabile**

x	Nd	Myd	Mzd	σ_{c0d}	σ_{myd}	σ_{mzd}	f_{c0d}	f_{myd}	f_{mzd}	Kmod	Comb.	SF
cm	kg	kg*m	kg*m	kg/cm q	kg/cm q	kg/cm q	kg/cm q	kg/cm q	kg/cm q			
0.0	-570	1914	95	-0	12	2	133	149	164	0.9	3	11

Verifica a tensoflessione (§4.4.8.1.8 - NTC, §7.6.1.2.3 - CNR DT 206/2018)

Parametri di verifica: $k_m=0.70$, $k_h=0.98$, $k_{h,y}=1.00$, $k_{h,z}=1.10$, $k_{crit,m}=1.00$, $L_{eff}=67.5\text{cm}$

Instabilità di trave: **Trascurabile**

x	Nd	Myd	Mzd	σ_{t0d}	σ_{myd}	σ_{mzd}	f_{t0d}	f_{myd}	f_{mzd}	Kmod	Comb.	SF
cm	kg	kg*m	kg*m	kg/cm q	kg/cm q	kg/cm q	kg/cm q	kg/cm q	kg/cm q			
0.0	30	686	37	0	4	1	69	99	109	0.6	1	21

Verifica a taglio (§4.4.8.1.9 - NTC)

x	Tyd	Tzd	τ_d	fvd	Kmod	Comb.	SF
cm	kg	kg	kg/cmq	kg/cmq			
75.0	70	1497	2	22	0.9	3	14

Verifica Incendio: R60(min), $d_{eff} = 4.9$ [cm], $\beta_{char} 0.70$ (mm/min), $b_{eff}=10.2$ cm, $h_{eff}=65.1$ cm

Verifica a tensoflessione (§4.4.8.1.8 - NTC, §7.6.1.2.3 - CNR DT 206/2018)

Parametri di verifica: $k_m=0.70$, $k_h=1.00$, $k_{h,y}=1.00$, $k_{h,z}=1.00$, $k_{crit,m}=1.00$, $L_{eff}=67.5\text{cm}$

Instabilità di trave: **Trascurabile**

x	Nd	Myd	Mzd	σ_{t0d}	σ_{myd}	σ_{mzd}	f_{t0d}	f_{myd}	f_{mzd}	Kmod	Comb.	SF
cm	kg	kg*m	kg*m	kg/cm q	kg/cm q	kg/cm q	kg/cm q	kg/cm q	kg/cm q			
0.0	30	506	27	0	7	2	195	276	276	1	51	31

Verifica a taglio (§4.4.8.1.9 - NTC)

x	Tyd	Tzd	τ_d	fvd	Kmod	Comb.	SF
cm	kg	kg	kg/cmq	kg/cmq			
75.0	13	367	1	40	1	51	48

Asta: 105 [0,0]: Sez. R: $b=20.0$ cm, $h=70.0$ cm, $L=75.0$ cm, Crit.Prog: Legno_Tenso-Pressoflessione:
Verificato

Verifica a pressoflessione (§4.4.8.1.8 - NTC, §7.6.1.2.3 - CNR DT 206/2018)

Parametri di verifica: $k_m=0.70$, $k_{h,y}=1.00$, $k_{h,z}=1.10$, $k_{crit,c}=1.00$, $k_{crit,m}=1.00$, $L_o=75.0\text{cm}$, $L_{eff}=67.5\text{cm}$

Instabilità di colonna: **Trascurabile**, Instabilità di trave: **Trascurabile**

x	Nd	Myd	Mzd	σ_{c0d}	σ_{myd}	σ_{mzd}	f_{c0d}	f_{myd}	f_{mzd}	Kmod	Comb.	SF
cm	kg	kg*m	kg*m	kg/cm q	kg/cm q	kg/cm q	kg/cm q	kg/cm q	kg/cm q			
75.0	-563	1149	120	-0	7	3	133	149	164	0.9	3	17

Verifica a tensoflessione (§4.4.8.1.8 - NTC, §7.6.1.2.3 - CNR DT 206/2018)

Parametri di verifica: $k_m=0.70$, $k_h=0.98$, $k_{h,y}=1.00$, $k_{h,z}=1.10$, $k_{crit,m}=1.00$, $L_{eff}=67.5\text{cm}$

Instabilità di trave: **Trascurabile**

x	Nd	Myd	Mzd	σ_{t0d}	σ_{myd}	σ_{mzd}	f_{t0d}	f_{myd}	f_{mzd}	Kmod	Comb.	SF
cm	kg	kg*m	kg*m	kg/cm q	kg/cm q	kg/cm q	kg/cm q	kg/cm q	kg/cm q			
75.0	833	825	13	1	5	0	115	166	182	1	(16+17)-II-1	27

Verifica a taglio (§4.4.8.1.9 - NTC)

x	Tyd	Tzd	τ_d	fvd	Kmod	Comb.	SF
cm	kg	kg	kg/cmq	kg/cmq			
75.0	225	2644	3	22	0.9	3	7.6

Verifica Incendio: R60(min), $d_{eff} = 4.9$ [cm], $\beta_{char} 0.70$ (mm/min), $b_{eff}=10.2$ cm, $h_{eff}=65.1$ cm

Verifica a tensoflessione (§4.4.8.1.8 - NTC, §7.6.1.2.3 - CNR DT 206/2018)

Parametri di verifica: $k_m=0.70$, $k_h=1.00$, $k_{h,y}=1.00$, $k_{h,z}=1.00$, $k_{crit,m}=1.00$, $L_{eff}=67.5\text{cm}$

Instabilità di trave: **Trascurabile**

x	Nd	Myd	Mzd	σ_{t0d}	σ_{myd}	σ_{mzd}	f_{t0d}	f_{myd}	f_{mzd}	Kmod	Comb.	SF
cm	kg	kg*m	kg*m	kg/cm q	kg/cm q	kg/cm q	kg/cm q	kg/cm q	kg/cm q			
75.0	37	267	32	0	4	3	195	276	276	1	51	48

Verifica a taglio (§4.4.8.1.9 - NTC)

x	Tyd	Tzd	τ_d	fvd	Kmod	Comb.	SF
cm	kg	kg	kg/cmq	kg/cmq			
75.0	67	728	2	40	1	51	24

Asta: 105 [0,131]: Sez. R: b=20.0 cm, h=70.0 cm, L=75.3 cm, Crit.Prog: Legno_Tenso-Pressoflessione: **Verificato**

Verifica a pressoflessione (§4.4.8.1.8 - NTC, §7.6.1.2.3 - CNR DT 206/2018)

Parametri di verifica: $k_m=0.70$, $k_{h,y}=1.00$, $k_{h,z}=1.10$, $k_{crit,c}=1.00$, $k_{crit,m}=1.00$, $L_o=75.3\text{cm}$, $L_{eff}=67.7\text{cm}$

Instabilità di colonna: **Trascurabile**, Instabilità di trave: **Trascurabile**

x	Nd	Myd	Mzd	σ_{c0d}	σ_{myd}	σ_{mzd}	f_{c0d}	f_{myd}	f_{mzd}	Kmod	Comb.	SF
cm	kg	kg*m	kg*m	kg/cm q	kg/cm q	kg/cm q	kg/cm q	kg/cm q	kg/cm q			
75.3	-605	3939	80	-0	24	2	133	149	164	0.9	3	5.9

Verifica a tensoflessione (§4.4.8.1.8 - NTC, §7.6.1.2.3 - CNR DT 206/2018)

Parametri di verifica: $k_m=0.70$, $k_h=0.98$, $k_{h,y}=1.00$, $k_{h,z}=1.10$, $k_{crit,m}=1.00$, $L_{eff}=67.7\text{cm}$

Instabilità di trave: **Trascurabile**

x	Nd	Myd	Mzd	σ_{t0d}	σ_{myd}	σ_{mzd}	f_{t0d}	f_{myd}	f_{mzd}	Kmod	Comb.	SF
cm	kg	kg*m	kg*m	kg/cm q	kg/cm q	kg/cm q	kg/cm q	kg/cm q	kg/cm q			
75.3	28	1421	31	0	9	1	69	99	109	0.6	1	11

Verifica a taglio (§4.4.8.1.9 - NTC)

x	Tyd	Tzd	τ_d	fvd	Kmod	Comb.	SF
cm	kg	kg	kg/cmq	kg/cmq			
75.3	15	3668	4	22	0.9	3	5.5

Verifica Incendio: R60(min), $d_{eff} = 4.9$ [cm], $\beta_{char} 0.70$ (mm/min), $b_{eff}=10.2$ cm, $h_{eff}=65.1$ cm

Verifica a tensoflessione (§4.4.8.1.8 - NTC, §7.6.1.2.3 - CNR DT 206/2018)

Parametri di verifica: $k_m=0.70$, $k_h=1.00$, $k_{h,y}=1.00$, $k_{h,z}=1.00$, $k_{crit,m}=1.00$, $L_{eff}=67.7\text{cm}$

Instabilità di trave: **Trascurabile**

x	Nd	Myd	Mzd	σ_{t0d}	σ_{myd}	σ_{mzd}	f_{t0d}	f_{myd}	f_{mzd}	Kmod	Comb.	SF
cm	kg	kg*m	kg*m	kg/cm q	kg/cm q	kg/cm q	kg/cm q	kg/cm q	kg/cm q			
75.3	29	1049	23	0	15	2	195	276	276	1	51	17

Verifica a taglio (§4.4.8.1.9 - NTC)

x	Tyd	Tzd	τ_d	fvd	Kmod	Comb.	SF
cm	kg	kg	kg/cmq	kg/cmq			
75.3	4	1054	2	40	1	51	17

Asta: 162 [0,0]: Sez. R: b=10.0 cm, h=24.0 cm, L=276.6 cm, Crit.Prog: Legno_Arcareccio: **Verificato**

Verifica a flessione (§4.4.8.1.6, §4.4.8.1.1 - NTC)

Parametri di verifica: $k_m=0.70$, $k_{h,y}=1.10$, $k_{h,z}=1.10$, $k_{crit,m}=1.00$, $L_{eff}=249.0\text{cm}$

Instabilità di trave: **Trascurabile**

x	Myd	Mzd	σ_{myd}	σ_{mzd}	f_{myd}	f_{mzd}	Kmod	Comb.	SF
cm	kg*m	kg*m	kg/cmq	kg/cmq	kg/cmq	kg/cmq			
276.6	282	0	29	0	163	164	0.9	3	5.6

Verifica a taglio (§4.4.8.1.9 - NTC)

x	Tyd	Tzd	τ_d	fvd	Kmod	Comb.	SF
cm	kg	kg	kg/cmq	kg/cmq			
276.6	2	422	3	22	0.9	3	8.2

Verifica Incendio: R30(min), $d_{eff} = 2.2$ [cm], $\beta_{char} 0.50$ (mm/min), $b_{eff}=5.6$ cm, $h_{eff}=21.8$ cm

Verifica a flessione (§4.4.8.1.6, §4.4.8.1.1 - NTC)

Parametri di verifica: $k_m=0.70$, $k_{h,y}=1.00$, $k_{h,z}=1.00$, $k_{crit,m}=0.96$, $L_{eff}=249.0\text{cm}$

Instabilità di trave: **Instabilità nel piano XY**

x	Myd	Mzd	σ_{myd}	σ_{mzd}	fmyd	fmzd	Kmod	Comb.	SF
cm	kg*m	kg*m	kg/cmq	kg/cmq	kg/cmq	kg/cmq			
276.6	83	0	19	0	276	276	1	51	14

Verifica a taglio (§4.4.8.1.9 - NTC)

x	Tyd	Tzd	τ_d	fvd	Kmod	Comb.	SF
cm	kg	kg	kg/cmq	kg/cmq			
276.6	2	115	1	40	1	51	29

Asta: 163 [0,0]: Sez. R: b=10.0 cm, h=24.0 cm, L=276.6 cm, Crit.Prog: Legno_Arcareccio: **Verificato**

Verifica a flessione (§4.4.8.1.6, §4.4.8.1.1 - NTC)

Parametri di verifica: km=0.70, kh,y=1.10, kh,z=1.10, kcrit,m=1.00, Leff=249.0cm

Instabilità di trave: **Trascurabile**

x	Myd	Mzd	σ_{myd}	σ_{mzd}	fmyd	fmzd	Kmod	Comb.	SF
cm	kg*m	kg*m	kg/cmq	kg/cmq	kg/cmq	kg/cmq			
276.6	322	0	34	0	163	164	0.9	3	4.9

Verifica a taglio (§4.4.8.1.9 - NTC)

x	Tyd	Tzd	τ_d	fvd	Kmod	Comb.	SF
cm	kg	kg	kg/cmq	kg/cmq			
276.6	1	441	3	22	0.9	3	7.9

Verifica Incendio: R30(min), d_eff = 2.2 [cm], β_{char} 0.50 (mm/min), b_eff=5.6 cm, h_eff=21.8 cm

Verifica a flessione (§4.4.8.1.6, §4.4.8.1.1 - NTC)

Parametri di verifica: km=0.70, kh,y=1.00, kh,z=1.00, kcrit,m=0.96, Leff=249.0cm

Instabilità di trave: **Instabilità nel piano XY**

x	Myd	Mzd	σ_{myd}	σ_{mzd}	fmyd	fmzd	Kmod	Comb.	SF
cm	kg*m	kg*m	kg/cmq	kg/cmq	kg/cmq	kg/cmq			
276.6	94	0	21	0	276	276	1	51	13

Verifica a taglio (§4.4.8.1.9 - NTC)

x	Tyd	Tzd	τ_d	fvd	Kmod	Comb.	SF
cm	kg	kg	kg/cmq	kg/cmq			
276.6	1	122	1	40	1	51	27

Asta: 164 [0,0]: Sez. R: b=10.0 cm, h=24.0 cm, L=276.6 cm, Crit.Prog: Legno_Arcareccio: **Verificato**

Verifica a flessione (§4.4.8.1.6, §4.4.8.1.1 - NTC)

Parametri di verifica: km=0.70, kh,y=1.10, kh,z=1.10, kcrit,m=1.00, Leff=249.0cm

Instabilità di trave: **Trascurabile**

x	Myd	Mzd	σ_{myd}	σ_{mzd}	fmyd	fmzd	Kmod	Comb.	SF
cm	kg*m	kg*m	kg/cmq	kg/cmq	kg/cmq	kg/cmq			
276.6	336	0	35	0	163	164	0.9	3	4.7

Verifica a taglio (§4.4.8.1.9 - NTC)

x	Tyd	Tzd	τ_d	fvd	Kmod	Comb.	SF
cm	kg	kg	kg/cmq	kg/cmq			
276.6	0	446	3	22	0.9	3	7.8

Verifica Incendio: R30(min), d_eff = 2.2 [cm], β_{char} 0.50 (mm/min), b_eff=5.6 cm, h_eff=21.8 cm

Verifica a flessione (§4.4.8.1.6, §4.4.8.1.1 - NTC)

Parametri di verifica: km=0.70, kh,y=1.00, kh,z=1.00, kcrit,m=0.96, Leff=249.0cm

Instabilità di trave: **Instabilità nel piano XY**

x	Myd	Mzd	σ_{myd}	σ_{mzd}	fmyd	fmzd	Kmod	Comb.	SF
cm	kg*m	kg*m	kg/cmq	kg/cmq	kg/cmq	kg/cmq			
276.6	98	0	22	0	276	276	1	51	12

Verifica a taglio (§4.4.8.1.9 - NTC)

x	Tyd	Tzd	τ_d	fvd	Kmod	Comb.	SF
---	-----	-----	----------	-----	------	-------	----

x	Tyd	Tzd	τ_d	fvd	Kmod	Comb.	SF
cm	kg	kg	kg/cmq	kg/cmq			
276.6	1	123	2	40	1	51	27

Asta: 165 [0,0]: Sez. R: b=10.0 cm, h=24.0 cm, L=276.6 cm, Crit.Prog: Legno_Arcareccio: **Verificato**

Verifica a flessione (§4.4.8.1.6, §4.4.8.1.1 - NTC)

Parametri di verifica: $k_m=0.70$, $k_{h,y}=1.10$, $k_{h,z}=1.10$, $k_{crit,m}=1.00$, $L_{eff}=249.0\text{cm}$

Instabilità di trave: **Trascurabile**

x	Myd	Mzd	σ_{myd}	σ_{mzd}	fmyd	fmzd	Kmod	Comb.	SF
cm	kg*m	kg*m	kg/cmq	kg/cmq	kg/cmq	kg/cmq			
276.6	334	0	35	0	163	164	0.9	3	4.7

Verifica a taglio (§4.4.8.1.9 - NTC)

x	Tyd	Tzd	τ_d	fvd	Kmod	Comb.	SF
cm	kg	kg	kg/cmq	kg/cmq			
276.6	1	443	3	22	0.9	3	7.8

Verifica Incendio: R30(min), $d_{eff} = 2.2$ [cm], $\beta_{char} 0.50$ (mm/min), $b_{eff}=5.6$ cm, $h_{eff}=21.8$ cm

Verifica a flessione (§4.4.8.1.6, §4.4.8.1.1 - NTC)

Parametri di verifica: $k_m=0.70$, $k_{h,y}=1.00$, $k_{h,z}=1.00$, $k_{crit,m}=0.96$, $L_{eff}=249.0\text{cm}$

Instabilità di trave: **Instabilità nel piano XY**

x	Myd	Mzd	σ_{myd}	σ_{mzd}	fmyd	fmzd	Kmod	Comb.	SF
cm	kg*m	kg*m	kg/cmq	kg/cmq	kg/cmq	kg/cmq			
276.6	96	0	22	0	276	276	1	51	12

Verifica a taglio (§4.4.8.1.9 - NTC)

x	Tyd	Tzd	τ_d	fvd	Kmod	Comb.	SF
cm	kg	kg	kg/cmq	kg/cmq			
276.6	1	122	1	40	1	51	27

Asta: 166 [0,0]: Sez. R: b=10.0 cm, h=24.0 cm, L=276.6 cm, Crit.Prog: Legno_Arcareccio: **Verificato**

Verifica a flessione (§4.4.8.1.6, §4.4.8.1.1 - NTC)

Parametri di verifica: $k_m=0.70$, $k_{h,y}=1.10$, $k_{h,z}=1.10$, $k_{crit,m}=1.00$, $L_{eff}=249.0\text{cm}$

Instabilità di trave: **Trascurabile**

x	Myd	Mzd	σ_{myd}	σ_{mzd}	fmyd	fmzd	Kmod	Comb.	SF
cm	kg*m	kg*m	kg/cmq	kg/cmq	kg/cmq	kg/cmq			
276.6	320	0	33	0	163	164	0.9	3	4.9

Verifica a taglio (§4.4.8.1.9 - NTC)

x	Tyd	Tzd	τ_d	fvd	Kmod	Comb.	SF
cm	kg	kg	kg/cmq	kg/cmq			
276.6	1	436	3	22	0.9	3	8.0

Verifica Incendio: R30(min), $d_{eff} = 2.2$ [cm], $\beta_{char} 0.50$ (mm/min), $b_{eff}=5.6$ cm, $h_{eff}=21.8$ cm

Verifica a flessione (§4.4.8.1.6, §4.4.8.1.1 - NTC)

Parametri di verifica: $k_m=0.70$, $k_{h,y}=1.00$, $k_{h,z}=1.00$, $k_{crit,m}=0.96$, $L_{eff}=249.0\text{cm}$

Instabilità di trave: **Instabilità nel piano XY**

x	Myd	Mzd	σ_{myd}	σ_{mzd}	fmyd	fmzd	Kmod	Comb.	SF
cm	kg*m	kg*m	kg/cmq	kg/cmq	kg/cmq	kg/cmq			
276.6	91	0	20	0	276	276	1	51	13

Verifica a taglio (§4.4.8.1.9 - NTC)

x	Tyd	Tzd	τ_d	fvd	Kmod	Comb.	SF
cm	kg	kg	kg/cmq	kg/cmq			
276.6	1	119	1	40	1	51	28

Asta: 167 [0,0]: Sez. R: b=10.0 cm, h=24.0 cm, L=276.6 cm, Crit.Prog: Legno_Arcareccio: **Verificato**

Verifica a flessione (§4.4.8.1.6, §4.4.8.1.1 - NTC)

Parametri di verifica: $k_m=0.70$, $k_{h,y}=1.10$, $k_{h,z}=1.10$, $k_{crit,m}=1.00$, $L_{eff}=249.0\text{cm}$

Instabilità di trave: **Trascurabile**

x	Myd	Mzd	σ_{myd}	σ_{mzd}	fmyd	fmzd	Kmod	Comb.	SF
cm	kg*m	kg*m	kg/cmq	kg/cmq	kg/cmq	kg/cmq			
276.6	306	0	32	0	163	164	0.9	3	5.1

Verifica a taglio (§4.4.8.1.9 - NTC)

x	Tyd	Tzd	τ_d	fvd	Kmod	Comb.	SF
cm	kg	kg	kg/cmq	kg/cmq			
276.6	0	432	3	22	0.9	3	8.1

Verifica Incendio: R30(min), $d_{eff} = 2.2$ [cm], $\beta_{char} 0.50$ (mm/min), $b_{eff}=5.6$ cm, $h_{eff}=21.8$ cm

Verifica a flessione (§4.4.8.1.6, §4.4.8.1.1 - NTC)

Parametri di verifica: $k_m=0.70$, $k_{h,y}=1.00$, $k_{h,z}=1.00$, $k_{crit,m}=0.96$, $L_{eff}=249.0\text{cm}$

Instabilità di trave: **Instabilità nel piano XY**

x	Myd	Mzd	σ_{myd}	σ_{mzd}	fmyd	fmzd	Kmod	Comb.	SF
cm	kg*m	kg*m	kg/cmq	kg/cmq	kg/cmq	kg/cmq			
276.6	86	0	19	0	276	276	1	51	14

Verifica a taglio (§4.4.8.1.9 - NTC)

x	Tyd	Tzd	τ_d	fvd	Kmod	Comb.	SF
cm	kg	kg	kg/cmq	kg/cmq			
276.6	0	116	1	40	1	51	28

Asta: 168 [0,0]: Sez. R: $b=10.0$ cm, $h=24.0$ cm, $L=276.6$ cm, Crit.Prog: Legno_Arcareccio: **Verificato**

Verifica a flessione (§4.4.8.1.6, §4.4.8.1.1 - NTC)

Parametri di verifica: $k_m=0.70$, $k_{h,y}=1.10$, $k_{h,z}=1.10$, $k_{crit,m}=1.00$, $L_{eff}=249.0\text{cm}$

Instabilità di trave: **Trascurabile**

x	Myd	Mzd	σ_{myd}	σ_{mzd}	fmyd	fmzd	Kmod	Comb.	SF
cm	kg*m	kg*m	kg/cmq	kg/cmq	kg/cmq	kg/cmq			
276.6	277	0	29	0	163	164	0.9	3	5.7

Verifica a taglio (§4.4.8.1.9 - NTC)

x	Tyd	Tzd	τ_d	fvd	Kmod	Comb.	SF
cm	kg	kg	kg/cmq	kg/cmq			
276.6	1	420	3	22	0.9	3	8.3

Verifica Incendio: R30(min), $d_{eff} = 2.2$ [cm], $\beta_{char} 0.50$ (mm/min), $b_{eff}=5.6$ cm, $h_{eff}=21.8$ cm

Verifica a flessione (§4.4.8.1.6, §4.4.8.1.1 - NTC)

Parametri di verifica: $k_m=0.70$, $k_{h,y}=1.00$, $k_{h,z}=1.00$, $k_{crit,m}=0.96$, $L_{eff}=249.0\text{cm}$

Instabilità di trave: **Instabilità nel piano XY**

x	Myd	Mzd	σ_{myd}	σ_{mzd}	fmyd	fmzd	Kmod	Comb.	SF
cm	kg*m	kg*m	kg/cmq	kg/cmq	kg/cmq	kg/cmq			
276.6	78	0	18	0	276	276	1	51	15

Verifica a taglio (§4.4.8.1.9 - NTC)

x	Tyd	Tzd	τ_d	fvd	Kmod	Comb.	SF
cm	kg	kg	kg/cmq	kg/cmq			
276.6	0	112	1	40	1	51	29

Asta: 108 [0,0]: Sez. R: $b=20.0$ cm, $h=70.0$ cm, $L=68.5$ cm, Crit.Prog: Legno_Tenso-Pressoflessione: **Verificato**

Verifica a pressoflessione (§4.4.8.1.8 - NTC, §7.6.1.2.3 - CNR DT 206/2018)

Parametri di verifica: $k_m=0.70$, $k_{h,y}=1.00$, $k_{h,z}=1.10$, $k_{crit,c}=1.00$, $k_{crit,m}=1.00$, $L_o=68.5\text{cm}$, $L_{eff}=61.6\text{cm}$

Instabilità di colonna: **Trascurabile**, Instabilità di trave: **Trascurabile**

x	Nd	Myd	Mzd	σ_{c0d}	σ_{myd}	σ_{mzd}	f_{c0d}	fmyd	fmzd	Kmod	Comb.	SF
cm	kg	kg*m	kg*m	kg/cm	kg/cm	kg/cm	kg/cm	kg/cm	kg/cm			

x	Nd	Myd	Mzd	σ_{c0d}	σ_{myd}	σ_{mzd}	f_{c0d}	f_{myd}	f_{mzd}	Kmod	Comb.	SF
				q	q	q	q	q	q			
0.0	-1161	633	11	-1	4	0	148	166	182	1	(16+17)-I-3	41

Verifica a tensoflessione (§4.4.8.1.8 - NTC, §7.6.1.2.3 - CNR DT 206/2018)

Parametri di verifica: $k_m=0.70$, $k_h=0.98$, $k_{h,y}=1.00$, $k_{h,z}=1.10$, $k_{crit,m}=1.00$, $L_{eff}=61.6\text{cm}$

Instabilità di trave: **Trascurabile**

x	Nd	Myd	Mzd	σ_{t0d}	σ_{myd}	σ_{mzd}	f_{t0d}	f_{myd}	f_{mzd}	Kmod	Comb.	SF
cm	kg	kg*m	kg*m	kg/cm	kg/cm	kg/cm	kg/cm	kg/cm	kg/cm			
				q	q	q	q	q	q			
0.0	325	1158	108	0	7	2	69	99	109	0.6	1	11

Verifica a taglio (§4.4.8.1.9 - NTC)

x	Tyd	Tzd	τ_d	fvd	Kmod	Comb.	SF
cm	kg	kg	kg/cm ²	kg/cm ²			
0.0	159	2715	3	22	0.9	3	7.5

Verifica Incendio: R60(min), $d_{eff} = 4.9$ [cm], $\beta_{char} 0.70$ (mm/min), $b_{eff}=10.2$ cm, $h_{eff}=65.1$ cm

Verifica a tensoflessione (§4.4.8.1.8 - NTC, §7.6.1.2.3 - CNR DT 206/2018)

Parametri di verifica: $k_m=0.70$, $k_h=1.00$, $k_{h,y}=1.00$, $k_{h,z}=1.00$, $k_{crit,m}=1.00$, $L_{eff}=61.6\text{cm}$

Instabilità di trave: **Trascurabile**

x	Nd	Myd	Mzd	σ_{t0d}	σ_{myd}	σ_{mzd}	f_{t0d}	f_{myd}	f_{mzd}	Kmod	Comb.	SF
cm	kg	kg*m	kg*m	kg/cm	kg/cm	kg/cm	kg/cm	kg/cm	kg/cm			
				q	q	q	q	q	q			
0.0	244	859	80	0	12	7	195	276	276	1	51	16

Verifica a taglio (§4.4.8.1.9 - NTC)

x	Tyd	Tzd	τ_d	fvd	Kmod	Comb.	SF
cm	kg	kg	kg/cm ²	kg/cm ²			
0.0	99	922	2	40	1	51	19

Asta: 108 [0,0]: Sez. R: $b=20.0$ cm, $h=70.0$ cm, $L=68.5$ cm, Crit.Prog: Legno_Tenso-Pressoflessione: **Verificato**

Verifica a pressoflessione (§4.4.8.1.8 - NTC, §7.6.1.2.3 - CNR DT 206/2018)

Parametri di verifica: $k_m=0.70$, $k_{h,y}=1.00$, $k_{h,z}=1.10$, $k_{crit,c}=1.00$, $k_{crit,m}=1.00$, $L_o=68.5\text{cm}$, $L_{eff}=61.6\text{cm}$

Instabilità di colonna: **Trascurabile**, Instabilità di trave: **Trascurabile**

x	Nd	Myd	Mzd	σ_{c0d}	σ_{myd}	σ_{mzd}	f_{c0d}	f_{myd}	f_{mzd}	Kmod	Comb.	SF
cm	kg	kg*m	kg*m	kg/cm	kg/cm	kg/cm	kg/cm	kg/cm	kg/cm			
				q	q	q	q	q	q			
68.5	-695	512	59	-0	3	1	148	166	182	1	(16+17)-II-1	42

Verifica a tensoflessione (§4.4.8.1.8 - NTC, §7.6.1.2.3 - CNR DT 206/2018)

Parametri di verifica: $k_m=0.70$, $k_h=0.98$, $k_{h,y}=1.00$, $k_{h,z}=1.10$, $k_{crit,m}=1.00$, $L_{eff}=61.6\text{cm}$

Instabilità di trave: **Trascurabile**

x	Nd	Myd	Mzd	σ_{t0d}	σ_{myd}	σ_{mzd}	f_{t0d}	f_{myd}	f_{mzd}	Kmod	Comb.	SF
cm	kg	kg*m	kg*m	kg/cm	kg/cm	kg/cm	kg/cm	kg/cm	kg/cm			
				q	q	q	q	q	q			
68.5	218	1205	98	0	7	2	104	149	164	0.9	3	17

Verifica a taglio (§4.4.8.1.9 - NTC)

x	Tyd	Tzd	τ_d	fvd	Kmod	Comb.	SF
cm	kg	kg	kg/cm ²	kg/cm ²			
0.0	159	1620	2	22	0.9	3	12

Verifica Incendio: R60(min), $d_{eff} = 4.9$ [cm], $\beta_{char} 0.70$ (mm/min), $b_{eff}=10.2$ cm, $h_{eff}=65.1$ cm

Verifica a tensoflessione (§4.4.8.1.8 - NTC, §7.6.1.2.3 - CNR DT 206/2018)

Parametri di verifica: $k_m=0.70$, $k_h=1.00$, $k_{h,y}=1.00$, $k_{h,z}=1.00$, $k_{crit,m}=1.00$, $L_{eff}=61.6\text{cm}$

Instabilità di trave: **Trascurabile**

x	Nd	Myd	Mzd	σ_{t0d}	σ_{myd}	σ_{mzd}	f_{t0d}	f_{myd}	f_{mzd}	Kmod	Comb.	SF
cm	kg	kg*m	kg*m	kg/cm	kg/cm	kg/cm	kg/cm	kg/cm	kg/cm			

x	Nd	Myd	Mzd	σ_{0d}	σ_{myd}	σ_{mzd}	f_{t0d}	f_{myd}	f_{mzd}	Kmod	Comb.	SF
				q	q	q	q	q	q			
68.5	239	150	34	0	2	3	195	276	276	1	51	56

Verifica a taglio (§4.4.8.1.9 - NTC)

x	Tyd	Tzd	τ_d	fvd	Kmod	Comb.	SF
cm	kg	kg	kg/cmq	kg/cmq			
0.0	67	617	1	40	1	51	29

Asta: 108 [0,0]: Sez. R: b=20.0 cm, h=70.0 cm, L=68.5 cm, Crit.Prog: Legno_Tenso-Pressoflessione:
Verificato

Verifica a pressoflessione (§4.4.8.1.8 - NTC, §7.6.1.2.3 - CNR DT 206/2018)

Parametri di verifica: $k_m=0.70$, $k_{h,y}=1.00$, $k_{h,z}=1.10$, $k_{crit,c}=1.00$, $k_{crit,m}=1.00$, $L_o=68.5\text{cm}$, $L_{eff}=61.6\text{cm}$

Instabilità di colonna: **Trascurabile**, Instabilità di trave: **Trascurabile**

x	Nd	Myd	Mzd	σ_{0d}	σ_{myd}	σ_{mzd}	f_{c0d}	f_{myd}	f_{mzd}	Kmod	Comb.	SF
cm	kg	kg*m	kg*m	kg/cm	kg/cm	kg/cm	kg/cm	kg/cm	kg/cm			
0.0	-643	483	61	-0	3	1	148	166	182	1	(16+17)-II-1	44

Verifica a tensoflessione (§4.4.8.1.8 - NTC, §7.6.1.2.3 - CNR DT 206/2018)

Parametri di verifica: $k_m=0.70$, $k_h=0.98$, $k_{h,y}=1.00$, $k_{h,z}=1.10$, $k_{crit,m}=1.00$, $L_{eff}=61.6\text{cm}$

Instabilità di trave: **Trascurabile**

x	Nd	Myd	Mzd	σ_{0d}	σ_{myd}	σ_{mzd}	f_{t0d}	f_{myd}	f_{mzd}	Kmod	Comb.	SF
cm	kg	kg*m	kg*m	kg/cm	kg/cm	kg/cm	kg/cm	kg/cm	kg/cm			
0.0	222	1225	101	0	8	2	104	149	164	0.9	3	16

Verifica a taglio (§4.4.8.1.9 - NTC)

x	Tyd	Tzd	τ_d	fvd	Kmod	Comb.	SF
cm	kg	kg	kg/cmq	kg/cmq			
0.0	35	742	1	24	1	(16+17)-II-2	30

Verifica Incendio: R60(min), $d_{eff} = 4.9$ [cm], $\beta_{char} = 0.70$ (mm/min), $b_{eff}=10.2$ cm, $h_{eff}=65.1$ cm

Verifica a tensoflessione (§4.4.8.1.8 - NTC, §7.6.1.2.3 - CNR DT 206/2018)

Parametri di verifica: $k_m=0.70$, $k_h=1.00$, $k_{h,y}=1.00$, $k_{h,z}=1.00$, $k_{crit,m}=1.00$, $L_{eff}=61.6\text{cm}$

Instabilità di trave: **Trascurabile**

x	Nd	Myd	Mzd	σ_{0d}	σ_{myd}	σ_{mzd}	f_{t0d}	f_{myd}	f_{mzd}	Kmod	Comb.	SF
cm	kg	kg*m	kg*m	kg/cm	kg/cm	kg/cm	kg/cm	kg/cm	kg/cm			
0.0	239	155	36	0	2	3	195	276	276	1	51	53

Verifica a taglio (§4.4.8.1.9 - NTC)

x	Tyd	Tzd	τ_d	fvd	Kmod	Comb.	SF
cm	kg	kg	kg/cmq	kg/cmq			
0.0	59	262	1	40	1	51	66

Asta: 108 [0,0]: Sez. R: b=20.0 cm, h=70.0 cm, L=68.5 cm, Crit.Prog: Legno_Tenso-Pressoflessione:
Verificato

Verifica a pressoflessione (§4.4.8.1.8 - NTC, §7.6.1.2.3 - CNR DT 206/2018)

Parametri di verifica: $k_m=0.70$, $k_{h,y}=1.00$, $k_{h,z}=1.10$, $k_{crit,c}=1.00$, $k_{crit,m}=1.00$, $L_o=68.5\text{cm}$, $L_{eff}=61.6\text{cm}$

Instabilità di colonna: **Trascurabile**, Instabilità di trave: **Trascurabile**

x	Nd	Myd	Mzd	σ_{0d}	σ_{myd}	σ_{mzd}	f_{c0d}	f_{myd}	f_{mzd}	Kmod	Comb.	SF
cm	kg	kg*m	kg*m	kg/cm	kg/cm	kg/cm	kg/cm	kg/cm	kg/cm			
0.0	-1172	381	62	-1	2	1	148	166	182	1	(16+17)-I-3	52

Verifica a tensoflessione (§4.4.8.1.8 - NTC, §7.6.1.2.3 - CNR DT 206/2018)

Parametri di verifica: $k_m=0.70$, $k_h=0.98$, $k_{h,y}=1.00$, $k_{h,z}=1.10$, $k_{crit,m}=1.00$, $L_{eff}=61.6\text{cm}$

Instabilità di trave: **Trascurabile**

x	Nd	Myd	Mzd	σ_{t0d}	σ_{myd}	σ_{mzd}	f_{t0d}	f_{myd}	f_{mzd}	Kmod	Comb.	SF
cm	kg	kg*m	kg*m	kg/cm q	kg/cm q	kg/cm q	kg/cm q	kg/cm q	kg/cm q			
0.0	228	1493	14	0	9	0	104	149	164	0.9	3	16

Verifica a taglio (§4.4.8.1.9 - NTC)

x	Tyd	Tzd	τ_d	fvd	Kmod	Comb.	SF
cm	kg	kg	kg/cmq	kg/cmq			
68.5	81	852	1	22	0.9	3	24

Verifica Incendio: R60(min), $d_{eff} = 4.9$ [cm], $\beta_{char} 0.70$ (mm/min), $b_{eff}=10.2$ cm, $h_{eff}=65.1$ cm

Verifica a tensoflessione (§4.4.8.1.8 - NTC, §7.6.1.2.3 - CNR DT 206/2018)

Parametri di verifica: $k_m=0.70$, $k_{h,y}=1.00$, $k_{h,z}=1.00$, $k_{crit,m}=1.00$, $L_{eff}=61.6$ cm

Instabilità di trave: **Trascurabile**

x	Nd	Myd	Mzd	σ_{t0d}	σ_{myd}	σ_{mzd}	f_{t0d}	f_{myd}	f_{mzd}	Kmod	Comb.	SF
cm	kg	kg*m	kg*m	kg/cm q	kg/cm q	kg/cm q	kg/cm q	kg/cm q	kg/cm q			
0.0	239	318	2	0	4	0	195	276	276	1	51	55

Verifica a taglio (§4.4.8.1.9 - NTC)

x	Tyd	Tzd	τ_d	fvd	Kmod	Comb.	SF
cm	kg	kg	kg/cmq	kg/cmq			
68.5	0	141	0	40	1	51	>100

Asta: 108 [0,0]: Sez. R: $b=20.0$ cm, $h=70.0$ cm, $L=68.5$ cm, Crit.Prog: Legno_Tenso-Pressoflessione:
Verificato

Verifica a pressoflessione (§4.4.8.1.8 - NTC, §7.6.1.2.3 - CNR DT 206/2018)

Parametri di verifica: $k_m=0.70$, $k_{h,y}=1.00$, $k_{h,z}=1.10$, $k_{crit,c}=1.00$, $k_{crit,m}=1.00$, $L_o=68.5$ cm, $L_{eff}=61.6$ cm

Instabilità di colonna: **Trascurabile**, Instabilità di trave: **Trascurabile**

x	Nd	Myd	Mzd	σ_{c0d}	σ_{myd}	σ_{mzd}	f_{c0d}	f_{myd}	f_{mzd}	Kmod	Comb.	SF
cm	kg	kg*m	kg*m	kg/cm q	kg/cm q	kg/cm q	kg/cm q	kg/cm q	kg/cm q			
68.5	-571	784	68	-0	5	1	148	166	182	1	(16+17)-II-1	29

Verifica a tensoflessione (§4.4.8.1.8 - NTC, §7.6.1.2.3 - CNR DT 206/2018)

Parametri di verifica: $k_m=0.70$, $k_{h,y}=0.98$, $k_{h,z}=1.10$, $k_{crit,m}=1.00$, $L_{eff}=61.6$ cm

Instabilità di trave: **Trascurabile**

x	Nd	Myd	Mzd	σ_{t0d}	σ_{myd}	σ_{mzd}	f_{t0d}	f_{myd}	f_{mzd}	Kmod	Comb.	SF
cm	kg	kg*m	kg*m	kg/cm q	kg/cm q	kg/cm q	kg/cm q	kg/cm q	kg/cm q			
0.0	207	962	44	0	6	1	104	149	164	0.9	3	22

Verifica a taglio (§4.4.8.1.9 - NTC)

x	Tyd	Tzd	τ_d	fvd	Kmod	Comb.	SF
cm	kg	kg	kg/cmq	kg/cmq			
68.5	156	1953	2	22	0.9	3	10

Verifica Incendio: R60(min), $d_{eff} = 4.9$ [cm], $\beta_{char} 0.70$ (mm/min), $b_{eff}=10.2$ cm, $h_{eff}=65.1$ cm

Verifica a tensoflessione (§4.4.8.1.8 - NTC, §7.6.1.2.3 - CNR DT 206/2018)

Parametri di verifica: $k_m=0.70$, $k_{h,y}=1.00$, $k_{h,z}=1.00$, $k_{crit,m}=1.00$, $L_{eff}=61.6$ cm

Instabilità di trave: **Trascurabile**

x	Nd	Myd	Mzd	σ_{t0d}	σ_{myd}	σ_{mzd}	f_{t0d}	f_{myd}	f_{mzd}	Kmod	Comb.	SF
cm	kg	kg*m	kg*m	kg/cm q	kg/cm q	kg/cm q	kg/cm q	kg/cm q	kg/cm q			
68.5	231	43	36	0	1	3	195	276	276	1	51	67

Verifica a taglio (§4.4.8.1.9 - NTC)

x	Tyd	Tzd	τ_d	fvd	Kmod	Comb.	SF
cm	kg	kg	kg/cmq	kg/cmq			

x	Tyd	Tzd	τ_d	fvd	Kmod	Comb.	SF
68.5	53	460	1	40	1	51	38

Asta: 108 [0,128]: Sez. R: b=20.0 cm, h=70.0 cm, L=68.5 cm, Crit.Prog: Legno_Tenso-Pressoflessione: **Verificato**

Verifica a pressoflessione (§4.4.8.1.8 - NTC, §7.6.1.2.3 - CNR DT 206/2018)

Parametri di verifica: $k_m=0.70$, $k_{h,y}=1.00$, $k_{h,z}=1.10$, $k_{crit,c}=1.00$, $k_{crit,m}=1.00$, $L_o=68.5\text{cm}$, $L_{eff}=61.6\text{cm}$

Instabilità di colonna: **Trascurabile**, Instabilità di trave: **Trascurabile**

x	Nd	Myd	Mzd	σ_{c0d}	σ_{myd}	σ_{mzd}	f_{c0d}	f_{myd}	f_{mzd}	Kmod	Comb.	SF
cm	kg	kg*m	kg*m	kg/cm q	kg/cm q	kg/cm q	kg/cm q	kg/cm q	kg/cm q			
68.5	-557	1653	114	-0	10	2	148	166	182	1	(16+17)-II-1	14

Verifica a tensoflessione (§4.4.8.1.8 - NTC, §7.6.1.2.3 - CNR DT 206/2018)

Parametri di verifica: $k_m=0.70$, $k_h=0.98$, $k_{h,y}=1.00$, $k_{h,z}=1.10$, $k_{crit,m}=1.00$, $L_{eff}=61.6\text{cm}$

Instabilità di trave: **Trascurabile**

x	Nd	Myd	Mzd	σ_{t0d}	σ_{myd}	σ_{mzd}	f_{t0d}	f_{myd}	f_{mzd}	Kmod	Comb.	SF
cm	kg	kg*m	kg*m	kg/cm q	kg/cm q	kg/cm q	kg/cm q	kg/cm q	kg/cm q			
68.5	198	2375	56	0	15	1	104	149	164	0.9	3	9.6

Verifica a taglio (§4.4.8.1.9 - NTC)

x	Tyd	Tzd	τ_d	fvd	Kmod	Comb.	SF
cm	kg	kg	kg/cmq	kg/cmq			
68.5	9	3065	3	22	0.9	3	6.6

Verifica Incendio: R60(min), $d_{eff} = 4.9$ [cm], $\beta_{char} 0.70$ (mm/min), $b_{eff}=10.2$ cm, $h_{eff}=65.1$ cm

Verifica a tensoflessione (§4.4.8.1.8 - NTC, §7.6.1.2.3 - CNR DT 206/2018)

Parametri di verifica: $k_m=0.70$, $k_h=1.00$, $k_{h,y}=1.00$, $k_{h,z}=1.00$, $k_{crit,m}=1.00$, $L_{eff}=61.6\text{cm}$

Instabilità di trave: **Trascurabile**

x	Nd	Myd	Mzd	σ_{t0d}	σ_{myd}	σ_{mzd}	f_{t0d}	f_{myd}	f_{mzd}	Kmod	Comb.	SF
cm	kg	kg*m	kg*m	kg/cm q	kg/cm q	kg/cm q	kg/cm q	kg/cm q	kg/cm q			
68.5	224	537	15	0	7	1	195	276	276	1	51	31

Verifica a taglio (§4.4.8.1.9 - NTC)

x	Tyd	Tzd	τ_d	fvd	Kmod	Comb.	SF
cm	kg	kg	kg/cmq	kg/cmq			
68.5	74	768	2	40	1	51	23

Asta: 162 [0,0]: Sez. R: b=10.0 cm, h=24.0 cm, L=501.1 cm, Crit.Prog: Legno_Arcareccio: **Verificato**

Verifica a flessione (§4.4.8.1.6, §4.4.8.1.1 - NTC)

Parametri di verifica: $k_m=0.70$, $k_{h,y}=1.10$, $k_{h,z}=1.10$, $k_{crit,m}=1.00$, $L_{eff}=451.0\text{cm}$

Instabilità di trave: **Trascurabile**

x	Myd	Mzd	σ_{myd}	σ_{mzd}	f_{myd}	f_{mzd}	Kmod	Comb.	SF
cm	kg*m	kg*m	kg/cmq	kg/cmq	kg/cmq	kg/cmq			
0.0	496	0	52	0	163	164	0.9	3	3.2

Verifica a taglio (§4.4.8.1.9 - NTC)

x	Tyd	Tzd	τ_d	fvd	Kmod	Comb.	SF
cm	kg	kg	kg/cmq	kg/cmq			
0.0	1	632	4	22	0.9	3	5.5

Verifica Incendio: R30(min), $d_{eff} = 2.2$ [cm], $\beta_{char} 0.50$ (mm/min), $b_{eff}=5.6$ cm, $h_{eff}=21.8$ cm

Verifica a flessione (§4.4.8.1.6, §4.4.8.1.1 - NTC)

Parametri di verifica: $k_m=0.70$, $k_{h,y}=1.00$, $k_{h,z}=1.00$, $k_{crit,m}=0.76$, $L_{eff}=451.0\text{cm}$

Instabilità di trave: **Instabilità nel piano XY**

x	Myd	Mzd	σ_{myd}	σ_{mzd}	f_{myd}	f_{mzd}	Kmod	Comb.	SF
---	-----	-----	----------------	----------------	-----------	-----------	------	-------	----

x	Myd	Mzd	σ_{myd}	σ_{mzd}	fmyd	fmzd	Kmod	Comb.	SF
cm	kg*m	kg*m	kg/cmq	kg/cmq	kg/cmq	kg/cmq			
0.0	133	0	30	0	276	276	1	51	7.0

Verifica a taglio (§4.4.8.1.9 - NTC)

x	Tyd	Tzd	τ_d	fvd	Kmod	Comb.	SF
cm	kg	kg	kg/cmq	kg/cmq			
0.0	0	164	2	40	1	51	20

Asta: 163 [0,0]: Sez. R: b=10.0 cm, h=24.0 cm, L=501.3 cm, Crit.Prog: Legno_Arcareccio: **Verificato**

Verifica a flessione (§4.4.8.1.6, §4.4.8.1.1 - NTC)

Parametri di verifica: km=0.70, kh,y=1.10, kh,z=1.10, kcrit,m=1.00, Leff=451.1cm

Instabilità di trave: **Trascurabile**

x	Myd	Mzd	σ_{myd}	σ_{mzd}	fmyd	fmzd	Kmod	Comb.	SF
cm	kg*m	kg*m	kg/cmq	kg/cmq	kg/cmq	kg/cmq			
0.0	469	0	49	0	163	164	0.9	3	3.3

Verifica a taglio (§4.4.8.1.9 - NTC)

x	Tyd	Tzd	τ_d	fvd	Kmod	Comb.	SF
cm	kg	kg	kg/cmq	kg/cmq			
0.0	1	625	4	22	0.9	3	5.6

Verifica Incendio: R30(min), d_eff = 2.2 [cm], β_{char} 0.50 (mm/min), b_eff=5.6 cm, h_eff=21.8 cm

Verifica a flessione (§4.4.8.1.6, §4.4.8.1.1 - NTC)

Parametri di verifica: km=0.70, kh,y=1.00, kh,z=1.00, kcrit,m=0.76, Leff=451.1cm

Instabilità di trave: **Instabilità nel piano XY**

x	Myd	Mzd	σ_{myd}	σ_{mzd}	fmyd	fmzd	Kmod	Comb.	SF
cm	kg*m	kg*m	kg/cmq	kg/cmq	kg/cmq	kg/cmq			
0.0	126	0	28	0	276	276	1	51	7.4

Verifica a taglio (§4.4.8.1.9 - NTC)

x	Tyd	Tzd	τ_d	fvd	Kmod	Comb.	SF
cm	kg	kg	kg/cmq	kg/cmq			
0.0	0	162	2	40	1	51	20

Asta: 164 [0,0]: Sez. R: b=10.0 cm, h=24.0 cm, L=501.5 cm, Crit.Prog: Legno_Arcareccio: **Verificato**

Verifica a flessione (§4.4.8.1.6, §4.4.8.1.1 - NTC)

Parametri di verifica: km=0.70, kh,y=1.10, kh,z=1.10, kcrit,m=1.00, Leff=451.3cm

Instabilità di trave: **Trascurabile**

x	Myd	Mzd	σ_{myd}	σ_{mzd}	fmyd	fmzd	Kmod	Comb.	SF
cm	kg*m	kg*m	kg/cmq	kg/cmq	kg/cmq	kg/cmq			
501.5	480	0	50	0	163	164	0.9	3	3.3

Verifica a taglio (§4.4.8.1.9 - NTC)

x	Tyd	Tzd	τ_d	fvd	Kmod	Comb.	SF
cm	kg	kg	kg/cmq	kg/cmq			
0.0	1	619	4	22	0.9	3	5.6

Verifica Incendio: R30(min), d_eff = 2.2 [cm], β_{char} 0.50 (mm/min), b_eff=5.6 cm, h_eff=21.8 cm

Verifica a flessione (§4.4.8.1.6, §4.4.8.1.1 - NTC)

Parametri di verifica: km=0.70, kh,y=1.00, kh,z=1.00, kcrit,m=0.76, Leff=451.3cm

Instabilità di trave: **Instabilità nel piano XY**

x	Myd	Mzd	σ_{myd}	σ_{mzd}	fmyd	fmzd	Kmod	Comb.	SF
cm	kg*m	kg*m	kg/cmq	kg/cmq	kg/cmq	kg/cmq			
0.0	120	0	27	0	276	276	1	51	7.7

Verifica a taglio (§4.4.8.1.9 - NTC)

x	Tyd	Tzd	τ_d	fvd	Kmod	Comb.	SF
---	-----	-----	----------	-----	------	-------	----

x	Tyd	Tzd	τ_d	fvd	Kmod	Comb.	SF
cm	kg	kg	kg/cmq	kg/cmq			
0.0	0	160	2	40	1	51	21

Asta: 165 [0,0]: Sez. R: b=10.0 cm, h=24.0 cm, L=501.8 cm, Crit.Prog: Legno_Arcareccio: **Verificato**

Verifica a flessione (§4.4.8.1.6, §4.4.8.1.1 - NTC)

Parametri di verifica: $k_m=0.70$, $k_{h,y}=1.10$, $k_{h,z}=1.10$, $k_{crit,m}=1.00$, $L_{eff}=451.6\text{cm}$

Instabilità di trave: **Trascurabile**

x	Myd	Mzd	σ_{myd}	σ_{mzd}	fmyd	fmzd	Kmod	Comb.	SF
cm	kg*m	kg*m	kg/cmq	kg/cmq	kg/cmq	kg/cmq			
501.8	477	0	50	0	163	164	0.9	3	3.3

Verifica a taglio (§4.4.8.1.9 - NTC)

x	Tyd	Tzd	τ_d	fvd	Kmod	Comb.	SF
cm	kg	kg	kg/cmq	kg/cmq			
501.8	0	612	4	22	0.9	3	5.7

Verifica Incendio: R30(min), $d_{eff} = 2.2$ [cm], $\beta_{char} 0.50$ (mm/min), $b_{eff}=5.6$ cm, $h_{eff}=21.8$ cm

Verifica a flessione (§4.4.8.1.6, §4.4.8.1.1 - NTC)

Parametri di verifica: $k_m=0.70$, $k_{h,y}=1.00$, $k_{h,z}=1.00$, $k_{crit,m}=0.76$, $L_{eff}=451.6\text{cm}$

Instabilità di trave: **Instabilità nel piano XY**

x	Myd	Mzd	σ_{myd}	σ_{mzd}	fmyd	fmzd	Kmod	Comb.	SF
cm	kg*m	kg*m	kg/cmq	kg/cmq	kg/cmq	kg/cmq			
501.8	119	0	27	0	276	276	1	51	7.8

Verifica a taglio (§4.4.8.1.9 - NTC)

x	Tyd	Tzd	τ_d	fvd	Kmod	Comb.	SF
cm	kg	kg	kg/cmq	kg/cmq			
0.0	0	156	2	40	1	51	21

Asta: 166 [0,0]: Sez. R: b=10.0 cm, h=24.0 cm, L=495.6 cm, Crit.Prog: Legno_Arcareccio: **Verificato**

Verifica a flessione (§4.4.8.1.6, §4.4.8.1.1 - NTC)

Parametri di verifica: $k_m=0.70$, $k_{h,y}=1.10$, $k_{h,z}=1.10$, $k_{crit,m}=1.00$, $L_{eff}=446.0\text{cm}$

Instabilità di trave: **Trascurabile**

x	Myd	Mzd	σ_{myd}	σ_{mzd}	fmyd	fmzd	Kmod	Comb.	SF
cm	kg*m	kg*m	kg/cmq	kg/cmq	kg/cmq	kg/cmq			
495.6	485	0	51	0	163	164	0.9	3	3.2

Verifica a taglio (§4.4.8.1.9 - NTC)

x	Tyd	Tzd	τ_d	fvd	Kmod	Comb.	SF
cm	kg	kg	kg/cmq	kg/cmq			
495.6	0	614	4	22	0.9	3	5.7

Verifica Incendio: R30(min), $d_{eff} = 2.2$ [cm], $\beta_{char} 0.50$ (mm/min), $b_{eff}=5.6$ cm, $h_{eff}=21.8$ cm

Verifica a flessione (§4.4.8.1.6, §4.4.8.1.1 - NTC)

Parametri di verifica: $k_m=0.70$, $k_{h,y}=1.00$, $k_{h,z}=1.00$, $k_{crit,m}=0.76$, $L_{eff}=446.0\text{cm}$

Instabilità di trave: **Instabilità nel piano XY**

x	Myd	Mzd	σ_{myd}	σ_{mzd}	fmyd	fmzd	Kmod	Comb.	SF
cm	kg*m	kg*m	kg/cmq	kg/cmq	kg/cmq	kg/cmq			
495.6	122	0	27	0	276	276	1	51	7.7

Verifica a taglio (§4.4.8.1.9 - NTC)

x	Tyd	Tzd	τ_d	fvd	Kmod	Comb.	SF
cm	kg	kg	kg/cmq	kg/cmq			
0.0	0	156	2	40	1	51	21

Asta: 167 [0,0]: Sez. R: b=10.0 cm, h=24.0 cm, L=502.6 cm, Crit.Prog: Legno_Arcareccio: **Verificato**

Verifica a flessione (§4.4.8.1.6, §4.4.8.1.1 - NTC)

Parametri di verifica: $k_m=0.70$, $k_{h,y}=1.10$, $k_{h,z}=1.10$, $k_{crit,m}=1.00$, $L_{eff}=452.4\text{cm}$

Instabilità di trave: **Trascurabile**

x	Myd	Mzd	σ_{myd}	σ_{mzd}	fmyd	fmzd	Kmod	Comb.	SF
cm	kg*m	kg*m	kg/cmq	kg/cmq	kg/cmq	kg/cmq			
502.6	510	0	53	0	163	164	0.9	3	3.1

Verifica a taglio (§4.4.8.1.9 - NTC)

x	Tyd	Tzd	τ_d	fvd	Kmod	Comb.	SF
cm	kg	kg	kg/cmq	kg/cmq			
502.6	1	621	4	22	0.9	3	5.6

Verifica Incendio: R30(min), $d_{eff} = 2.2$ [cm], $\beta_{char} 0.50$ (mm/min), $b_{eff}=5.6$ cm, $h_{eff}=21.8$ cm

Verifica a flessione (§4.4.8.1.6, §4.4.8.1.1 - NTC)

Parametri di verifica: $k_m=0.70$, $k_{h,y}=1.00$, $k_{h,z}=1.00$, $k_{crit,m}=0.76$, $L_{eff}=452.4\text{cm}$

Instabilità di trave: **Instabilità nel piano XY**

x	Myd	Mzd	σ_{myd}	σ_{mzd}	fmyd	fmzd	Kmod	Comb.	SF
cm	kg*m	kg*m	kg/cmq	kg/cmq	kg/cmq	kg/cmq			
502.6	129	0	29	0	276	276	1	51	7.2

Verifica a taglio (§4.4.8.1.9 - NTC)

x	Tyd	Tzd	τ_d	fvd	Kmod	Comb.	SF
cm	kg	kg	kg/cmq	kg/cmq			
502.6	0	158	2	40	1	51	21

Asta: 169 [0,128]: Sez. R: $b=10.0$ cm, $h=24.0$ cm, $L=503.4$ cm, Crit.Prog: Legno_Arcareccio: **Verificato**

Verifica a flessione (§4.4.8.1.6, §4.4.8.1.1 - NTC)

Parametri di verifica: $k_m=0.70$, $k_{h,y}=1.10$, $k_{h,z}=1.10$, $k_{crit,m}=1.00$, $L_{eff}=453.0\text{cm}$

Instabilità di trave: **Trascurabile**

x	Myd	Mzd	σ_{myd}	σ_{mzd}	fmyd	fmzd	Kmod	Comb.	SF
cm	kg*m	kg*m	kg/cmq	kg/cmq	kg/cmq	kg/cmq			
503.4	541	0	56	0	163	164	0.9	3	2.9

Verifica a taglio (§4.4.8.1.9 - NTC)

x	Tyd	Tzd	τ_d	fvd	Kmod	Comb.	SF
cm	kg	kg	kg/cmq	kg/cmq			
503.4	1	627	4	22	0.9	3	5.5

Verifica Incendio: R30(min), $d_{eff} = 2.2$ [cm], $\beta_{char} 0.50$ (mm/min), $b_{eff}=5.6$ cm, $h_{eff}=21.8$ cm

Verifica a flessione (§4.4.8.1.6, §4.4.8.1.1 - NTC)

Parametri di verifica: $k_m=0.70$, $k_{h,y}=1.00$, $k_{h,z}=1.00$, $k_{crit,m}=0.76$, $L_{eff}=453.0\text{cm}$

Instabilità di trave: **Instabilità nel piano XY**

x	Myd	Mzd	σ_{myd}	σ_{mzd}	fmyd	fmzd	Kmod	Comb.	SF
cm	kg*m	kg*m	kg/cmq	kg/cmq	kg/cmq	kg/cmq			
503.4	139	0	31	0	276	276	1	51	6.6

Verifica a taglio (§4.4.8.1.9 - NTC)

x	Tyd	Tzd	τ_d	fvd	Kmod	Comb.	SF
cm	kg	kg	kg/cmq	kg/cmq			
503.4	0	160	2	40	1	51	20

Asta: 105 [0,0]: Sez. R: $b=20.0$ cm, $h=70.0$ cm, $L=107.4$ cm, Crit.Prog: Legno_Tenso-Pressoflessione: **Verificato**

Verifica a pressoflessione (§4.4.8.1.8 - NTC, §7.6.1.2.3 - CNR DT 206/2018)

Parametri di verifica: $k_m=0.70$, $k_{h,y}=1.00$, $k_{h,z}=1.10$, $k_{crit,c}=1.00$, $k_{crit,m}=1.00$, $L_o=107.4\text{cm}$, $L_{eff}=96.7\text{cm}$

Instabilità di colonna: **Trascurabile**, Instabilità di trave: **Trascurabile**

x	Nd	Myd	Mzd	σ_{c0d}	σ_{myd}	σ_{mzd}	f_{c0d}	fmyd	fmzd	Kmod	Comb.	SF
cm	kg	kg*m	kg*m	kg/cm	kg/cm	kg/cm	kg/cm	kg/cm	kg/cm			

x	Nd	Myd	Mzd	σ_{c0d}	σ_{myd}	σ_{mzd}	f_{c0d}	f_{myd}	f_{mzd}	Kmod	Comb.	SF
				q	q	q	q	q	q			
107.4	-463	1650	27	-0	10	1	133	149	164	0.9	3	14

Verifica a tensoflessione (§4.4.8.1.8 - NTC, §7.6.1.2.3 - CNR DT 206/2018)

Parametri di verifica: $k_m=0.70$, $k_h=0.98$, $k_{h,y}=1.00$, $k_{h,z}=1.10$, $k_{crit,m}=1.00$, $L_{eff}=96.7\text{cm}$

Instabilità di trave: **Trascurabile**

x	Nd	Myd	Mzd	σ_{t0d}	σ_{myd}	σ_{mzd}	f_{t0d}	f_{myd}	f_{mzd}	Kmod	Comb.	SF
cm	kg	kg*m	kg*m	kg/cm	kg/cm	kg/cm	kg/cm	kg/cm	kg/cm			
				q	q	q	q	q	q			
107.4	56	677	8	0	4	0	69	99	109	0.6	1	23

Verifica a taglio (§4.4.8.1.9 - NTC)

x	Tyd	Tzd	τ_d	fvd	Kmod	Comb.	SF
cm	kg	kg	kg/cm ²	kg/cm ²			
0.0	36	1841	2	22	0.9	3	11

Verifica Incendio: R60(min), $d_{eff} = 4.9$ [cm], $\beta_{char} 0.70$ (mm/min), $b_{eff}=10.2$ cm, $h_{eff}=65.1$ cm

Verifica a tensoflessione (§4.4.8.1.8 - NTC, §7.6.1.2.3 - CNR DT 206/2018)

Parametri di verifica: $k_m=0.70$, $k_h=1.00$, $k_{h,y}=1.00$, $k_{h,z}=1.00$, $k_{crit,m}=1.00$, $L_{eff}=96.7\text{cm}$

Instabilità di trave: **Trascurabile**

x	Nd	Myd	Mzd	σ_{t0d}	σ_{myd}	σ_{mzd}	f_{t0d}	f_{myd}	f_{mzd}	Kmod	Comb.	SF
cm	kg	kg*m	kg*m	kg/cm	kg/cm	kg/cm	kg/cm	kg/cm	kg/cm			
				q	q	q	q	q	q			
107.4	50	499	6	0	7	1	195	276	276	1	51	37

Verifica a taglio (§4.4.8.1.9 - NTC)

x	Tyd	Tzd	τ_d	fvd	Kmod	Comb.	SF
cm	kg	kg	kg/cm ²	kg/cm ²			
0.0	10	560	1	40	1	51	32

Asta: 105 [0,0]: Sez. R: $b=20.0$ cm, $h=70.0$ cm, $L=107.4$ cm, Crit.Prog: Legno_Tenso-Pressoflessione:
Verificato

Verifica a pressoflessione (§4.4.8.1.8 - NTC, §7.6.1.2.3 - CNR DT 206/2018)

Parametri di verifica: $k_m=0.70$, $k_{h,y}=1.00$, $k_{h,z}=1.10$, $k_{crit,c}=1.00$, $k_{crit,m}=1.00$, $L_o=107.4\text{cm}$, $L_{eff}=96.7\text{cm}$

Instabilità di colonna: **Trascurabile**, Instabilità di trave: **Trascurabile**

x	Nd	Myd	Mzd	σ_{c0d}	σ_{myd}	σ_{mzd}	f_{c0d}	f_{myd}	f_{mzd}	Kmod	Comb.	SF
cm	kg	kg*m	kg*m	kg/cm	kg/cm	kg/cm	kg/cm	kg/cm	kg/cm			
				q	q	q	q	q	q			
107.4	-484	1809	7	-0	11	0	133	149	164	0.9	3	13

Verifica a tensoflessione (§4.4.8.1.8 - NTC, §7.6.1.2.3 - CNR DT 206/2018)

Parametri di verifica: $k_m=0.70$, $k_h=0.98$, $k_{h,y}=1.00$, $k_{h,z}=1.10$, $k_{crit,m}=1.00$, $L_{eff}=96.7\text{cm}$

Instabilità di trave: **Trascurabile**

x	Nd	Myd	Mzd	σ_{t0d}	σ_{myd}	σ_{mzd}	f_{t0d}	f_{myd}	f_{mzd}	Kmod	Comb.	SF
cm	kg	kg*m	kg*m	kg/cm	kg/cm	kg/cm	kg/cm	kg/cm	kg/cm			
				q	q	q	q	q	q			
75.2	43	725	6	0	4	0	69	99	109	0.6	1	22

Verifica a taglio (§4.4.8.1.9 - NTC)

x	Tyd	Tzd	τ_d	fvd	Kmod	Comb.	SF
cm	kg	kg	kg/cm ²	kg/cm ²			
0.0	45	412	0	24	1	(16+17)-II-2	54

Verifica Incendio: R60(min), $d_{eff} = 4.9$ [cm], $\beta_{char} 0.70$ (mm/min), $b_{eff}=10.2$ cm, $h_{eff}=65.1$ cm

Verifica a tensoflessione (§4.4.8.1.8 - NTC, §7.6.1.2.3 - CNR DT 206/2018)

Parametri di verifica: $k_m=0.70$, $k_h=1.00$, $k_{h,y}=1.00$, $k_{h,z}=1.00$, $k_{crit,m}=1.00$, $L_{eff}=96.7\text{cm}$

Instabilità di trave: **Trascurabile**

x	Nd	Myd	Mzd	σ_{t0d}	σ_{myd}	σ_{mzd}	f_{t0d}	f_{myd}	f_{mzd}	Kmod	Comb.	SF
cm	kg	kg*m	kg*m	kg/cm	kg/cm	kg/cm	kg/cm	kg/cm	kg/cm			

x	Nd	Myd	Mzd	σ_{td}	σ_{myd}	σ_{mzd}	f_{td}	f_{myd}	f_{mzd}	Kmod	Comb.	SF
				q	q	q	q	q	q			
75.2	40	535	4	0	7	0	195	276	276	1	51	35

Verifica a taglio (§4.4.8.1.9 - NTC)

x	Tyd	Tzd	τ_d	fvd	Kmod	Comb.	SF
cm	kg	kg	kg/cmq	kg/cmq			
0.0	2	83	0	40	1	51	>100

Asta: 105 [0,0]: Sez. R: b=20.0 cm, h=70.0 cm, L=107.4 cm, Crit.Prog: Legno_Tenso-Pressoflessione:
Verificato

Verifica a pressoflessione (§4.4.8.1.8 - NTC, §7.6.1.2.3 - CNR DT 206/2018)

Parametri di verifica: km=0.70, kh,y=1.00, kh,z=1.10, kcrit,c=1.00, kcrit,m=1.00, Lo=107.4cm, Leff=96.7cm

Instabilità di colonna: **Trascurabile**, Instabilità di trave: **Trascurabile**

x	Nd	Myd	Mzd	σ_{td}	σ_{myd}	σ_{mzd}	f_{td}	f_{myd}	f_{mzd}	Kmod	Comb.	SF
cm	kg	kg*m	kg*m	kg/cm	kg/cm	kg/cm	kg/cm	kg/cm	kg/cm			
				q	q	q	q	q	q			
0.0	-530	1834	7	-0	11	0	133	149	164	0.9	3	13

Verifica a tensoflessione (§4.4.8.1.8 - NTC, §7.6.1.2.3 - CNR DT 206/2018)

Parametri di verifica: km=0.70, kh=0.98, kh,y=1.00, kh,z=1.10, kcrit,m=1.00, Leff=96.7cm

Instabilità di trave: **Trascurabile**

x	Nd	Myd	Mzd	σ_{td}	σ_{myd}	σ_{mzd}	f_{td}	f_{myd}	f_{mzd}	Kmod	Comb.	SF
cm	kg	kg*m	kg*m	kg/cm	kg/cm	kg/cm	kg/cm	kg/cm	kg/cm			
				q	q	q	q	q	q			
0.0	31	735	5	0	4	0	69	99	109	0.6	1	22

Verifica a taglio (§4.4.8.1.9 - NTC)

x	Tyd	Tzd	τ_d	fvd	Kmod	Comb.	SF
cm	kg	kg	kg/cmq	kg/cmq			
107.4	25	1495	2	22	0.9	3	14

Verifica Incendio: R60(min), d_eff = 4.9 [cm], β_{char} 0.70 (mm/min), b_eff=10.2 cm, h_eff=65.1 cm

Verifica a tensoflessione (§4.4.8.1.8 - NTC, §7.6.1.2.3 - CNR DT 206/2018)

Parametri di verifica: km=0.70, kh=1.00, kh,y=1.00, kh,z=1.00, kcrit,m=1.00, Leff=96.7cm

Instabilità di trave: **Trascurabile**

x	Nd	Myd	Mzd	σ_{td}	σ_{myd}	σ_{mzd}	f_{td}	f_{myd}	f_{mzd}	Kmod	Comb.	SF
cm	kg	kg*m	kg*m	kg/cm	kg/cm	kg/cm	kg/cm	kg/cm	kg/cm			
				q	q	q	q	q	q			
0.0	32	542	4	0	8	0	195	276	276	1	51	35

Verifica a taglio (§4.4.8.1.9 - NTC)

x	Tyd	Tzd	τ_d	fvd	Kmod	Comb.	SF
cm	kg	kg	kg/cmq	kg/cmq			
107.4	1	484	1	40	1	51	37

Asta: 105 [0,140]: Sez. R: b=20.0 cm, h=70.0 cm, L=107.4 cm, Crit.Prog: Legno_Tenso-Pressoflessione:
Verificato

Verifica a pressoflessione (§4.4.8.1.8 - NTC, §7.6.1.2.3 - CNR DT 206/2018)

Parametri di verifica: km=0.70, kh,y=1.00, kh,z=1.10, kcrit,c=1.00, kcrit,m=1.00, Lo=107.4cm, Leff=96.7cm

Instabilità di colonna: **Trascurabile**, Instabilità di trave: **Trascurabile**

x	Nd	Myd	Mzd	σ_{td}	σ_{myd}	σ_{mzd}	f_{td}	f_{myd}	f_{mzd}	Kmod	Comb.	SF
cm	kg	kg*m	kg*m	kg/cm	kg/cm	kg/cm	kg/cm	kg/cm	kg/cm			
				q	q	q	q	q	q			
107.4	-476	2883	107	-0	18	2	133	149	164	0.9	3	7.8

Verifica a tensoflessione (§4.4.8.1.8 - NTC, §7.6.1.2.3 - CNR DT 206/2018)

Parametri di verifica: km=0.70, kh=0.98, kh,y=1.00, kh,z=1.10, kcrit,m=1.00, Leff=96.7cm

Instabilità di trave: **Trascurabile**

x	Nd	Myd	Mzd	σ_{t0d}	σ_{myd}	σ_{mzd}	f_{t0d}	f_{myd}	f_{mzd}	Kmod	Comb.	SF
cm	kg	kg*m	kg*m	kg/cm q	kg/cm q	kg/cm q	kg/cm q	kg/cm q	kg/cm q			
107.4	1048	1750	126	1	11	3	115	166	182	1	(16+17)-II-1	12

Verifica a taglio (§4.4.8.1.9 - NTC)

x	Tyd	Tzd	τ_d	fvd	Kmod	Comb.	SF
cm	kg	kg	kg/cmq	kg/cmq			
107.4	132	3017	3	22	0.9	3	6.7

Verifica Incendio: R60(min), $d_{eff} = 4.9$ [cm], $\beta_{char} 0.70$ (mm/min), $b_{eff}=10.2$ cm, $h_{eff}=65.1$ cm

Verifica a tensoflessione (§4.4.8.1.8 - NTC, §7.6.1.2.3 - CNR DT 206/2018)

Parametri di verifica: $k_m=0.70$, $k_h=1.00$, $k_{h,y}=1.00$, $k_{h,z}=1.00$, $k_{crit,m}=1.00$, $L_{eff}=96.7$ cm

Instabilità di trave: **Trascurabile**

x	Nd	Myd	Mzd	σ_{t0d}	σ_{myd}	σ_{mzd}	f_{t0d}	f_{myd}	f_{mzd}	Kmod	Comb.	SF
cm	kg	kg*m	kg*m	kg/cm q	kg/cm q	kg/cm q	kg/cm q	kg/cm q	kg/cm q			
107.4	23	882	10	0	12	1	195	276	276	1	51	21

Verifica a taglio (§4.4.8.1.9 - NTC)

x	Tyd	Tzd	τ_d	fvd	Kmod	Comb.	SF
cm	kg	kg	kg/cmq	kg/cmq			
107.4	12	943	2	40	1	51	19

Asta: 108 [0,0]: Sez. R: $b=20.0$ cm, $h=70.0$ cm, $L=69.4$ cm, Crit.Prog: Legno_Tenso-Pressoflessione:
Verificato

Verifica a pressoflessione (§4.4.8.1.8 - NTC, §7.6.1.2.3 - CNR DT 206/2018)

Parametri di verifica: $k_m=0.70$, $k_h=1.00$, $k_{h,y}=1.00$, $k_{h,z}=1.10$, $k_{crit,c}=1.00$, $k_{crit,m}=1.00$, $L_o=69.4$ cm, $L_{eff}=62.5$ cm

Instabilità di colonna: **Trascurabile**, Instabilità di trave: **Trascurabile**

x	Nd	Myd	Mzd	σ_{c0d}	σ_{myd}	σ_{mzd}	f_{c0d}	f_{myd}	f_{mzd}	Kmod	Comb.	SF
cm	kg	kg*m	kg*m	kg/cm q	kg/cm q	kg/cm q	kg/cm q	kg/cm q	kg/cm q			
0.0	-1185	723	93	-1	4	2	148	166	182	1	(16+17)-II-2	29

Verifica a tensoflessione (§4.4.8.1.8 - NTC, §7.6.1.2.3 - CNR DT 206/2018)

Parametri di verifica: $k_m=0.70$, $k_h=0.98$, $k_{h,y}=1.00$, $k_{h,z}=1.10$, $k_{crit,m}=1.00$, $L_{eff}=62.5$ cm

Instabilità di trave: **Trascurabile**

x	Nd	Myd	Mzd	σ_{t0d}	σ_{myd}	σ_{mzd}	f_{t0d}	f_{myd}	f_{mzd}	Kmod	Comb.	SF
cm	kg	kg*m	kg*m	kg/cm q	kg/cm q	kg/cm q	kg/cm q	kg/cm q	kg/cm q			
0.0	1585	568	53	1	3	1	115	166	182	1	(16+17)-II-1	28

Verifica a taglio (§4.4.8.1.9 - NTC)

x	Tyd	Tzd	τ_d	fvd	Kmod	Comb.	SF
cm	kg	kg	kg/cmq	kg/cmq			
0.0	125	1357	1	22	0.9	3	15

Verifica Incendio: R60(min), $d_{eff} = 4.9$ [cm], $\beta_{char} 0.70$ (mm/min), $b_{eff}=10.2$ cm, $h_{eff}=65.1$ cm

Verifica a tensoflessione (§4.4.8.1.8 - NTC, §7.6.1.2.3 - CNR DT 206/2018)

Parametri di verifica: $k_m=0.70$, $k_h=1.00$, $k_{h,y}=1.00$, $k_{h,z}=1.00$, $k_{crit,m}=1.00$, $L_{eff}=62.5$ cm

Instabilità di trave: **Trascurabile**

x	Nd	Myd	Mzd	σ_{t0d}	σ_{myd}	σ_{mzd}	f_{t0d}	f_{myd}	f_{mzd}	Kmod	Comb.	SF
cm	kg	kg*m	kg*m	kg/cm q	kg/cm q	kg/cm q	kg/cm q	kg/cm q	kg/cm q			
69.4	200	177	6	0	2	0	195	276	276	1	51	86

Verifica a taglio (§4.4.8.1.9 - NTC)

x	Tyd	Tzd	τ_d	fvd	Kmod	Comb.	SF
cm	kg	kg	kg/cmq	kg/cmq			

x	Tyd	Tzd	τ_d	fvd	Kmod	Comb.	SF
0.0	37	400	1	40	1	51	44

Asta: 108 [0,0]: Sez. R: b=20.0 cm, h=70.0 cm, L=69.4 cm, Crit.Prog: Legno_Tenso-Pressoflessione:
Verificato

Verifica a pressoflessione (§4.4.8.1.8 - NTC, §7.6.1.2.3 - CNR DT 206/2018)

Parametri di verifica: $k_m=0.70$, $k_{h,y}=1.00$, $k_{h,z}=1.10$, $k_{crit,c}=1.00$, $k_{crit,m}=1.00$, $L_o=69.4\text{cm}$, $L_{eff}=62.5\text{cm}$

Instabilità di colonna: **Trascurabile**, Instabilità di trave: **Trascurabile**

x	Nd	Myd	Mzd	σ_{c0d}	σ_{myd}	σ_{mzd}	f_{c0d}	f_{myd}	f_{mzd}	Kmod	Comb.	SF
cm	kg	kg*m	kg*m	kg/cm q	kg/cm q	kg/cm q	kg/cm q	kg/cm q	kg/cm q			
69.4	-1092	282	116	-1	2	2	148	166	182	1	(16+17)-II-2	48

Verifica a tensoflessione (§4.4.8.1.8 - NTC, §7.6.1.2.3 - CNR DT 206/2018)

Parametri di verifica: $k_m=0.70$, $k_h=0.98$, $k_{h,y}=1.00$, $k_{h,z}=1.10$, $k_{crit,m}=1.00$, $L_{eff}=62.5\text{cm}$

Instabilità di trave: **Trascurabile**

x	Nd	Myd	Mzd	σ_{t0d}	σ_{myd}	σ_{mzd}	f_{t0d}	f_{myd}	f_{mzd}	Kmod	Comb.	SF
cm	kg	kg*m	kg*m	kg/cm q	kg/cm q	kg/cm q	kg/cm q	kg/cm q	kg/cm q			
69.4	304	620	102	0	4	2	104	149	164	0.9	3	27

Verifica a taglio (§4.4.8.1.9 - NTC)

x	Tyd	Tzd	τ_d	fvd	Kmod	Comb.	SF
cm	kg	kg	kg/cmq	kg/cmq			
0.0	211	509	1	24	1	(16+17)-II-2	41

Verifica Incendio: R60(min), $d_{eff} = 4.9$ [cm], $\beta_{char} = 0.70$ (mm/min), $b_{eff}=10.2$ cm, $h_{eff}=65.1$ cm

Verifica a tensoflessione (§4.4.8.1.8 - NTC, §7.6.1.2.3 - CNR DT 206/2018)

Parametri di verifica: $k_m=0.70$, $k_h=1.00$, $k_{h,y}=1.00$, $k_{h,z}=1.00$, $k_{crit,m}=1.00$, $L_{eff}=62.5\text{cm}$

Instabilità di trave: **Trascurabile**

x	Nd	Myd	Mzd	σ_{t0d}	σ_{myd}	σ_{mzd}	f_{t0d}	f_{myd}	f_{mzd}	Kmod	Comb.	SF
cm	kg	kg*m	kg*m	kg/cm q	kg/cm q	kg/cm q	kg/cm q	kg/cm q	kg/cm q			
69.4	192	196	31	0	3	3	195	276	276	1	51	54

Verifica a taglio (§4.4.8.1.9 - NTC)

x	Tyd	Tzd	τ_d	fvd	Kmod	Comb.	SF
cm	kg	kg	kg/cmq	kg/cmq			
0.0	36	44	0	40	1	51	>100

Asta: 108 [0,0]: Sez. R: b=20.0 cm, h=70.0 cm, L=69.4 cm, Crit.Prog: Legno_Tenso-Pressoflessione:
Verificato

Verifica a pressoflessione (§4.4.8.1.8 - NTC, §7.6.1.2.3 - CNR DT 206/2018)

Parametri di verifica: $k_m=0.70$, $k_{h,y}=1.00$, $k_{h,z}=1.10$, $k_{crit,c}=1.00$, $k_{crit,m}=1.00$, $L_o=69.4\text{cm}$, $L_{eff}=62.5\text{cm}$

Instabilità di colonna: **Trascurabile**, Instabilità di trave: **Trascurabile**

x	Nd	Myd	Mzd	σ_{c0d}	σ_{myd}	σ_{mzd}	f_{c0d}	f_{myd}	f_{mzd}	Kmod	Comb.	SF
cm	kg	kg*m	kg*m	kg/cm q	kg/cm q	kg/cm q	kg/cm q	kg/cm q	kg/cm q			
69.4	-1076	479	87	-1	3	2	148	166	182	1	(16+17)-II-2	40

Verifica a tensoflessione (§4.4.8.1.8 - NTC, §7.6.1.2.3 - CNR DT 206/2018)

Parametri di verifica: $k_m=0.70$, $k_h=0.98$, $k_{h,y}=1.00$, $k_{h,z}=1.10$, $k_{crit,m}=1.00$, $L_{eff}=62.5\text{cm}$

Instabilità di trave: **Trascurabile**

x	Nd	Myd	Mzd	σ_{t0d}	σ_{myd}	σ_{mzd}	f_{t0d}	f_{myd}	f_{mzd}	Kmod	Comb.	SF
cm	kg	kg*m	kg*m	kg/cm q	kg/cm q	kg/cm q	kg/cm q	kg/cm q	kg/cm q			
0.0	280	757	104	0	5	2	104	149	164	0.9	3	24

Verifica a taglio (§4.4.8.1.9 - NTC)

x	Tyd	Tzd	τ_d	fvd	Kmod	Comb.	SF
cm	kg	kg	kg/cmq	kg/cmq			
69.4	15	819	1	22	0.9	3	25

Verifica Incendio: R60(min), $d_{eff} = 4.9$ [cm], $\beta_{char} 0.70$ (mm/min), $b_{eff}=10.2$ cm, $h_{eff}=65.1$ cm

Verifica a tensoflessione (§4.4.8.1.8 - NTC, §7.6.1.2.3 - CNR DT 206/2018)

Parametri di verifica: $k_m=0.70$, $k_h=1.00$, $k_{h,y}=1.00$, $k_{h,z}=1.00$, $k_{crit,m}=1.00$, $L_{eff}=62.5$ cmInstabilità di trave: **Trascurabile**

x	Nd	Myd	Mzd	σ_{t0d}	σ_{myd}	σ_{mzd}	f_{t0d}	f_{myd}	f_{mzd}	Kmod	Comb.	SF
cm	kg	kg*m	kg*m	kg/cm q	kg/cm q	kg/cm q	kg/cm q	kg/cm q	kg/cm q			
0.0	180	230	32	0	3	3	195	276	276	1	51	50

Verifica a taglio (§4.4.8.1.9 - NTC)

x	Tyd	Tzd	τ_d	fvd	Kmod	Comb.	SF
cm	kg	kg	kg/cmq	kg/cmq			
69.4	11	262	1	40	1	51	68

Asta: 108 [0,0]: Sez. R: $b=20.0$ cm, $h=70.0$ cm, $L=69.4$ cm, Crit.Prog: Legno_Tenso-Pressoflessione:
Verificato

Verifica a pressoflessione (§4.4.8.1.8 - NTC, §7.6.1.2.3 - CNR DT 206/2018)

Parametri di verifica: $k_m=0.70$, $k_h=1.00$, $k_{h,y}=1.00$, $k_{h,z}=1.10$, $k_{crit,c}=1.00$, $k_{crit,m}=1.00$, $L_o=69.4$ cm, $L_{eff}=62.5$ cmInstabilità di colonna: **Trascurabile**, Instabilità di trave: **Trascurabile**

x	Nd	Myd	Mzd	σ_{c0d}	σ_{myd}	σ_{mzd}	f_{c0d}	f_{myd}	f_{mzd}	Kmod	Comb.	SF
cm	kg	kg*m	kg*m	kg/cm q	kg/cm q	kg/cm q	kg/cm q	kg/cm q	kg/cm q			
0.0	-967	533	95	-1	3	2	148	166	182	1	(16+17)-II-2	36

Verifica a tensoflessione (§4.4.8.1.8 - NTC, §7.6.1.2.3 - CNR DT 206/2018)

Parametri di verifica: $k_m=0.70$, $k_h=0.98$, $k_{h,y}=1.00$, $k_{h,z}=1.10$, $k_{crit,m}=1.00$, $L_{eff}=62.5$ cmInstabilità di trave: **Trascurabile**

x	Nd	Myd	Mzd	σ_{t0d}	σ_{myd}	σ_{mzd}	f_{t0d}	f_{myd}	f_{mzd}	Kmod	Comb.	SF
cm	kg	kg*m	kg*m	kg/cm q	kg/cm q	kg/cm q	kg/cm q	kg/cm q	kg/cm q			
69.4	1312	1116	56	1	7	1	115	166	182	1	(16+17)-II-1	19

Verifica a taglio (§4.4.8.1.9 - NTC)

x	Tyd	Tzd	τ_d	fvd	Kmod	Comb.	SF
cm	kg	kg	kg/cmq	kg/cmq			
69.4	130	2163	2	22	0.9	3	9.4

Verifica Incendio: R60(min), $d_{eff} = 4.9$ [cm], $\beta_{char} 0.70$ (mm/min), $b_{eff}=10.2$ cm, $h_{eff}=65.1$ cm

Verifica a tensoflessione (§4.4.8.1.8 - NTC, §7.6.1.2.3 - CNR DT 206/2018)

Parametri di verifica: $k_m=0.70$, $k_h=1.00$, $k_{h,y}=1.00$, $k_{h,z}=1.00$, $k_{crit,m}=1.00$, $L_{eff}=62.5$ cmInstabilità di trave: **Trascurabile**

x	Nd	Myd	Mzd	σ_{t0d}	σ_{myd}	σ_{mzd}	f_{t0d}	f_{myd}	f_{mzd}	Kmod	Comb.	SF
cm	kg	kg*m	kg*m	kg/cm q	kg/cm q	kg/cm q	kg/cm q	kg/cm q	kg/cm q			
69.4	172	333	3	0	5	0	195	276	276	1	51	53

Verifica a taglio (§4.4.8.1.9 - NTC)

x	Tyd	Tzd	τ_d	fvd	Kmod	Comb.	SF
cm	kg	kg	kg/cmq	kg/cmq			
69.4	33	641	1	40	1	51	28

Asta: 108 [0,135]: Sez. R: $b=20.0$ cm, $h=70.0$ cm, $L=69.4$ cm, Crit.Prog: Legno_Tenso-Pressoflessione:
Verificato

Verifica a pressoflessione (§4.4.8.1.8 - NTC, §7.6.1.2.3 - CNR DT 206/2018)

Parametri di verifica: $k_m=0.70$, $k_{h,y}=1.00$, $k_{h,z}=1.10$, $k_{crit,c}=1.00$, $k_{crit,m}=1.00$, $L_o=69.4\text{cm}$, $L_{eff}=62.5\text{cm}$

Instabilità di colonna: **Trascurabile**, Instabilità di trave: **Trascurabile**

x	Nd	Myd	Mzd	σ_{c0d}	σ_{myd}	σ_{mzd}	f_{c0d}	f_{myd}	f_{mzd}	Kmod	Comb.	SF
cm	kg	kg*m	kg*m	kg/cm q	kg/cm q	kg/cm q	kg/cm q	kg/cm q	kg/cm q			
69.4	-1037	1237	342	-1	8	7	148	166	182	1	(16+17)-I-3	14

Verifica a tensoflessione (§4.4.8.1.8 - NTC, §7.6.1.2.3 - CNR DT 206/2018)

Parametri di verifica: $k_m=0.70$, $k_h=0.98$, $k_{h,y}=1.00$, $k_{h,z}=1.10$, $k_{crit,m}=1.00$, $L_{eff}=62.5\text{cm}$

Instabilità di trave: **Trascurabile**

x	Nd	Myd	Mzd	σ_{t0d}	σ_{myd}	σ_{mzd}	f_{t0d}	f_{myd}	f_{mzd}	Kmod	Comb.	SF
cm	kg	kg*m	kg*m	kg/cm q	kg/cm q	kg/cm q	kg/cm q	kg/cm q	kg/cm q			
69.4	77	3373	335	0	21	7	104	149	164	0.9	3	5.9

Verifica a taglio (§4.4.8.1.9 - NTC)

x	Tyd	Tzd	τ_d	fvd	Kmod	Comb.	SF
cm	kg	kg	kg/cmq	kg/cmq			
69.4	512	3354	4	22	0.9	3	6.0

Verifica Incendio: R60(min), $d_{eff} = 4.9$ [cm], $\beta_{char} 0.70$ (mm/min), $b_{eff}=10.2$ cm, $h_{eff}=65.1$ cm

Verifica a tensoflessione (§4.4.8.1.8 - NTC, §7.6.1.2.3 - CNR DT 206/2018)

Parametri di verifica: $k_m=0.70$, $k_h=1.00$, $k_{h,y}=1.00$, $k_{h,z}=1.00$, $k_{crit,m}=1.00$, $L_{eff}=62.5\text{cm}$

Instabilità di trave: **Trascurabile**

x	Nd	Myd	Mzd	σ_{t0d}	σ_{myd}	σ_{mzd}	f_{t0d}	f_{myd}	f_{mzd}	Kmod	Comb.	SF
cm	kg	kg*m	kg*m	kg/cm q	kg/cm q	kg/cm q	kg/cm q	kg/cm q	kg/cm q			
69.4	126	965	93	0	13	8	195	276	276	1	51	14

Verifica a taglio (§4.4.8.1.9 - NTC)

x	Tyd	Tzd	τ_d	fvd	Kmod	Comb.	SF
cm	kg	kg	kg/cmq	kg/cmq			
69.4	143	988	2	40	1	51	18

Asta: 170 [0,0]: Sez. R: $b=10.0$ cm, $h=24.0$ cm, $L=540.8$ cm, Crit.Prog: Legno_Arcareccio: **Verificato**

Verifica a flessione (§4.4.8.1.6, §4.4.8.1.1 - NTC)

Parametri di verifica: $k_m=0.70$, $k_{h,y}=1.10$, $k_{h,z}=1.10$, $k_{crit,m}=1.00$, $L_{eff}=486.7\text{cm}$

Instabilità di trave: **Trascurabile**

x	Myd	Mzd	σ_{myd}	σ_{mzd}	f_{myd}	f_{mzd}	Kmod	Comb.	SF
cm	kg*m	kg*m	kg/cmq	kg/cmq	kg/cmq	kg/cmq			
540.8	680	0	71	0	163	164	0.9	3	2.3

Verifica a taglio (§4.4.8.1.9 - NTC)

x	Tyd	Tzd	τ_d	fvd	Kmod	Comb.	SF
cm	kg	kg	kg/cmq	kg/cmq			
0.0	1	792	5	22	0.9	3	4.4

Verifica Incendio: R30(min), $d_{eff} = 2.2$ [cm], $\beta_{char} 0.50$ (mm/min), $b_{eff}=5.6$ cm, $h_{eff}=21.8$ cm

Verifica a flessione (§4.4.8.1.6, §4.4.8.1.1 - NTC)

Parametri di verifica: $k_m=0.70$, $k_{h,y}=1.00$, $k_{h,z}=1.00$, $k_{crit,m}=0.73$, $L_{eff}=486.7\text{cm}$

Instabilità di trave: **Instabilità nel piano XY**

x	Myd	Mzd	σ_{myd}	σ_{mzd}	f_{myd}	f_{mzd}	Kmod	Comb.	SF
cm	kg*m	kg*m	kg/cmq	kg/cmq	kg/cmq	kg/cmq			
540.8	175	0	40	0	276	276	1	51	5.1

Verifica a taglio (§4.4.8.1.9 - NTC)

x	Tyd	Tzd	τ_d	fvd	Kmod	Comb.	SF
cm	kg	kg	kg/cmq	kg/cmq			
0.0	0	194	2	40	1	51	17

Asta: 171 [0,0]: Sez. R: b=10.0 cm, h=24.0 cm, L=527.6 cm, Crit.Prog: Legno_Arcareccio: **Verificato**

Verifica a flessione (§4.4.8.1.6, §4.4.8.1.1 - NTC)

Parametri di verifica: $k_m=0.70$, $k_{h,y}=1.10$, $k_{h,z}=1.10$, $k_{crit,m}=1.00$, $L_{eff}=474.9\text{cm}$

Instabilità di trave: **Trascurabile**

x	Myd	Mzd	σ_{myd}	σ_{mzd}	fmyd	fmzd	Kmod	Comb.	SF
cm	kg*m	kg*m	kg/cmq	kg/cmq	kg/cmq	kg/cmq			
527.6	627	0	65	0	163	164	0.9	3	2.5

Verifica a taglio (§4.4.8.1.9 - NTC)

x	Tyd	Tzd	τ_d	fvd	Kmod	Comb.	SF
cm	kg	kg	kg/cmq	kg/cmq			
0.0	1	796	5	22	0.9	3	4.4

Verifica Incendio: R30(min), $d_{eff} = 2.2$ [cm], $\beta_{char} 0.50$ (mm/min), $b_{eff}=5.6$ cm, $h_{eff}=21.8$ cm

Verifica a flessione (§4.4.8.1.6, §4.4.8.1.1 - NTC)

Parametri di verifica: $k_m=0.70$, $k_{h,y}=1.00$, $k_{h,z}=1.00$, $k_{crit,m}=0.74$, $L_{eff}=474.9\text{cm}$

Instabilità di trave: **Instabilità nel piano XY**

x	Myd	Mzd	σ_{myd}	σ_{mzd}	fmyd	fmzd	Kmod	Comb.	SF
cm	kg*m	kg*m	kg/cmq	kg/cmq	kg/cmq	kg/cmq			
527.6	160	0	36	0	276	276	1	51	5.6

Verifica a taglio (§4.4.8.1.9 - NTC)

x	Tyd	Tzd	τ_d	fvd	Kmod	Comb.	SF
cm	kg	kg	kg/cmq	kg/cmq			
0.0	0	195	2	40	1	51	17

Asta: 172 [0,0]: Sez. R: b=10.0 cm, h=24.0 cm, L=517.0 cm, Crit.Prog: Legno_Arcareccio: **Verificato**

Verifica a flessione (§4.4.8.1.6, §4.4.8.1.1 - NTC)

Parametri di verifica: $k_m=0.70$, $k_{h,y}=1.10$, $k_{h,z}=1.10$, $k_{crit,m}=1.00$, $L_{eff}=465.3\text{cm}$

Instabilità di trave: **Trascurabile**

x	Myd	Mzd	σ_{myd}	σ_{mzd}	fmyd	fmzd	Kmod	Comb.	SF
cm	kg*m	kg*m	kg/cmq	kg/cmq	kg/cmq	kg/cmq			
0.0	616	0	64	0	163	164	0.9	3	2.5

Verifica a taglio (§4.4.8.1.9 - NTC)

x	Tyd	Tzd	τ_d	fvd	Kmod	Comb.	SF
cm	kg	kg	kg/cmq	kg/cmq			
0.0	0	809	5	22	0.9	3	4.3

Verifica Incendio: R30(min), $d_{eff} = 2.2$ [cm], $\beta_{char} 0.50$ (mm/min), $b_{eff}=5.6$ cm, $h_{eff}=21.8$ cm

Verifica a flessione (§4.4.8.1.6, §4.4.8.1.1 - NTC)

Parametri di verifica: $k_m=0.70$, $k_{h,y}=1.00$, $k_{h,z}=1.00$, $k_{crit,m}=0.75$, $L_{eff}=465.3\text{cm}$

Instabilità di trave: **Instabilità nel piano XY**

x	Myd	Mzd	σ_{myd}	σ_{mzd}	fmyd	fmzd	Kmod	Comb.	SF
cm	kg*m	kg*m	kg/cmq	kg/cmq	kg/cmq	kg/cmq			
0.0	152	0	34	0	276	276	1	51	6.0

Verifica a taglio (§4.4.8.1.9 - NTC)

x	Tyd	Tzd	τ_d	fvd	Kmod	Comb.	SF
cm	kg	kg	kg/cmq	kg/cmq			
0.0	0	198	2	40	1	51	17

Asta: 173 [0,0]: Sez. R: b=10.0 cm, h=24.0 cm, L=509.0 cm, Crit.Prog: Legno_Arcareccio: **Verificato**

Verifica a flessione (§4.4.8.1.6, §4.4.8.1.1 - NTC)

Parametri di verifica: $k_m=0.70$, $k_{h,y}=1.10$, $k_{h,z}=1.10$, $k_{crit,m}=1.00$, $L_{eff}=458.1\text{cm}$

Instabilità di trave: **Trascurabile**

x	Myd	Mzd	σ_{myd}	σ_{mzd}	fmyd	fmzd	Kmod	Comb.	SF
---	-----	-----	----------------	----------------	------	------	------	-------	----

x	Myd	Mzd	σ_{myd}	σ_{mzd}	fmyd	fmzd	Kmod	Comb.	SF
cm	kg*m	kg*m	kg/cmq	kg/cmq	kg/cmq	kg/cmq			
0.0	637	0	66	0	163	164	0.9	3	2.5

Verifica a taglio (§4.4.8.1.9 - NTC)

x	Tyd	Tzd	τ_d	fvd	Kmod	Comb.	SF
cm	kg	kg	kg/cmq	kg/cmq			
0.0	1	816	5	22	0.9	3	4.3

Verifica Incendio: R30(min), $d_{eff} = 2.2$ [cm], $\beta_{char} 0.50$ (mm/min), $b_{eff}=5.6$ cm, $h_{eff}=21.8$ cm

Verifica a flessione (§4.4.8.1.6, §4.4.8.1.1 - NTC)

Parametri di verifica: $k_m=0.70$, $k_{h,y}=1.00$, $k_{h,z}=1.00$, $k_{crit,m}=0.75$, $Leff=458.1$ cm

Instabilità di trave: **Instabilità nel piano XY**

x	Myd	Mzd	σ_{myd}	σ_{mzd}	fmyd	fmzd	Kmod	Comb.	SF
cm	kg*m	kg*m	kg/cmq	kg/cmq	kg/cmq	kg/cmq			
0.0	157	0	36	0	276	276	1	51	5.8

Verifica a taglio (§4.4.8.1.9 - NTC)

x	Tyd	Tzd	τ_d	fvd	Kmod	Comb.	SF
cm	kg	kg	kg/cmq	kg/cmq			
0.0	0	199	2	40	1	51	16

Asta: 174 [131,0]: Sez. R: $b=10.0$ cm, $h=24.0$ cm, $L=503.7$ cm, Crit.Prog: Legno_Arcareccio: **Verificato**

Verifica a flessione (§4.4.8.1.6, §4.4.8.1.1 - NTC)

Parametri di verifica: $k_m=0.70$, $k_{h,y}=1.10$, $k_{h,z}=1.10$, $k_{crit,m}=1.00$, $Leff=453.4$ cm

Instabilità di trave: **Trascurabile**

x	Myd	Mzd	σ_{myd}	σ_{mzd}	fmyd	fmzd	Kmod	Comb.	SF
cm	kg*m	kg*m	kg/cmq	kg/cmq	kg/cmq	kg/cmq			
0.0	624	0	65	0	163	164	0.9	3	2.5

Verifica a taglio (§4.4.8.1.9 - NTC)

x	Tyd	Tzd	τ_d	fvd	Kmod	Comb.	SF
cm	kg	kg	kg/cmq	kg/cmq			
0.0	0	751	5	22	0.9	3	4.6

Verifica Incendio: R30(min), $d_{eff} = 2.2$ [cm], $\beta_{char} 0.50$ (mm/min), $b_{eff}=5.6$ cm, $h_{eff}=21.8$ cm

Verifica a flessione (§4.4.8.1.6, §4.4.8.1.1 - NTC)

Parametri di verifica: $k_m=0.70$, $k_{h,y}=1.00$, $k_{h,z}=1.00$, $k_{crit,m}=0.76$, $Leff=453.4$ cm

Instabilità di trave: **Instabilità nel piano XY**

x	Myd	Mzd	σ_{myd}	σ_{mzd}	fmyd	fmzd	Kmod	Comb.	SF
cm	kg*m	kg*m	kg/cmq	kg/cmq	kg/cmq	kg/cmq			
0.0	156	0	35	0	276	276	1	51	5.9

Verifica a taglio (§4.4.8.1.9 - NTC)

x	Tyd	Tzd	τ_d	fvd	Kmod	Comb.	SF
cm	kg	kg	kg/cmq	kg/cmq			
0.0	0	186	2	40	1	51	18

Asta: 171 [0,137]: Sez. R: $b=10.0$ cm, $h=24.0$ cm, $L=321.3$ cm, Crit.Prog: Legno_Arcareccio: **Verificato**

Verifica a flessione (§4.4.8.1.6, §4.4.8.1.1 - NTC)

Parametri di verifica: $k_m=0.70$, $k_{h,y}=1.10$, $k_{h,z}=1.10$, $k_{crit,m}=1.00$, $Leff=289.2$ cm

Instabilità di trave: **Trascurabile**

x	Myd	Mzd	σ_{myd}	σ_{mzd}	fmyd	fmzd	Kmod	Comb.	SF
cm	kg*m	kg*m	kg/cmq	kg/cmq	kg/cmq	kg/cmq			
0.0	437	0	45	0	163	164	0.9	3	3.6

Verifica a taglio (§4.4.8.1.9 - NTC)

x	Tyd	Tzd	τ_d	fvd	Kmod	Comb.	SF
---	-----	-----	----------	-----	------	-------	----

x	Tyd	Tzd	τ_d	fvd	Kmod	Comb.	SF
cm	kg	kg	kg/cmq	kg/cmq			
0.0	1	604	4	22	0.9	3	5.8

Verifica Incendio: R30(min), $d_{eff} = 2.2$ [cm], $\beta_{char} 0.50$ (mm/min), $b_{eff}=5.6$ cm, $h_{eff}=21.8$ cm

Verifica a flessione (§4.4.8.1.6, §4.4.8.1.1 - NTC)

Parametri di verifica: $k_m=0.70$, $k_{h,y}=1.00$, $k_{h,z}=1.00$, $k_{crit,m}=0.92$, $L_{eff}=289.2$ cm

Instabilità di trave: **Instabilità nel piano XY**

x	Myd	Mzd	σ_{myd}	σ_{mzd}	fmyd	fmzd	Kmod	Comb.	SF
cm	kg*m	kg*m	kg/cmq	kg/cmq	kg/cmq	kg/cmq			
0.0	111	0	25	0	276	276	1	51	10

Verifica a taglio (§4.4.8.1.9 - NTC)

x	Tyd	Tzd	τ_d	fvd	Kmod	Comb.	SF
cm	kg	kg	kg/cmq	kg/cmq			
0.0	0	150	2	40	1	51	22

Asta: 175 [0,0]: Sez. R: $b=10.0$ cm, $h=24.0$ cm, $L=297.5$ cm, Crit.Prog: Legno_Arcareccio: **Verificato**

Verifica a flessione (§4.4.8.1.6, §4.4.8.1.1 - NTC)

Parametri di verifica: $k_m=0.70$, $k_{h,y}=1.10$, $k_{h,z}=1.10$, $k_{crit,m}=1.00$, $L_{eff}=267.7$ cm

Instabilità di trave: **Trascurabile**

x	Myd	Mzd	σ_{myd}	σ_{mzd}	fmyd	fmzd	Kmod	Comb.	SF
cm	kg*m	kg*m	kg/cmq	kg/cmq	kg/cmq	kg/cmq			
297.5	436	0	45	0	163	164	0.9	3	3.6

Verifica a taglio (§4.4.8.1.9 - NTC)

x	Tyd	Tzd	τ_d	fvd	Kmod	Comb.	SF
cm	kg	kg	kg/cmq	kg/cmq			
297.5	1	640	4	22	0.9	3	5.4

Verifica Incendio: R30(min), $d_{eff} = 2.2$ [cm], $\beta_{char} 0.50$ (mm/min), $b_{eff}=5.6$ cm, $h_{eff}=21.8$ cm

Verifica a flessione (§4.4.8.1.6, §4.4.8.1.1 - NTC)

Parametri di verifica: $k_m=0.70$, $k_{h,y}=1.00$, $k_{h,z}=1.00$, $k_{crit,m}=0.94$, $L_{eff}=267.7$ cm

Instabilità di trave: **Instabilità nel piano XY**

x	Myd	Mzd	σ_{myd}	σ_{mzd}	fmyd	fmzd	Kmod	Comb.	SF
cm	kg*m	kg*m	kg/cmq	kg/cmq	kg/cmq	kg/cmq			
297.5	109	0	25	0	276	276	1	51	11

Verifica a taglio (§4.4.8.1.9 - NTC)

x	Tyd	Tzd	τ_d	fvd	Kmod	Comb.	SF
cm	kg	kg	kg/cmq	kg/cmq			
297.5	0	157	2	40	1	51	21

Asta: 173 [0,0]: Sez. R: $b=10.0$ cm, $h=24.0$ cm, $L=281.9$ cm, Crit.Prog: Legno_Arcareccio: **Verificato**

Verifica a flessione (§4.4.8.1.6, §4.4.8.1.1 - NTC)

Parametri di verifica: $k_m=0.70$, $k_{h,y}=1.10$, $k_{h,z}=1.10$, $k_{crit,m}=1.00$, $L_{eff}=253.7$ cm

Instabilità di trave: **Trascurabile**

x	Myd	Mzd	σ_{myd}	σ_{mzd}	fmyd	fmzd	Kmod	Comb.	SF
cm	kg*m	kg*m	kg/cmq	kg/cmq	kg/cmq	kg/cmq			
281.9	401	0	42	0	163	164	0.9	3	3.9

Verifica a taglio (§4.4.8.1.9 - NTC)

x	Tyd	Tzd	τ_d	fvd	Kmod	Comb.	SF
cm	kg	kg	kg/cmq	kg/cmq			
281.9	0	637	4	22	0.9	3	5.5

Verifica Incendio: R30(min), $d_{eff} = 2.2$ [cm], $\beta_{char} 0.50$ (mm/min), $b_{eff}=5.6$ cm, $h_{eff}=21.8$ cm

Verifica a flessione (§4.4.8.1.6, §4.4.8.1.1 - NTC)

Parametri di verifica: $k_m=0.70$, $k_{h,y}=1.00$, $k_{h,z}=1.00$, $k_{crit,m}=0.96$, $L_{eff}=253.7\text{cm}$

Instabilità di trave: **Instabilità nel piano XY**

x	Myd	Mzd	σ_{myd}	σ_{mzd}	fmyd	fmzd	Kmod	Comb.	SF
cm	kg*m	kg*m	kg/cmq	kg/cmq	kg/cmq	kg/cmq			
281.9	101	0	23	0	276	276	1	51	12

Verifica a taglio (§4.4.8.1.9 - NTC)

x	Tyd	Tzd	τ_d	fvd	Kmod	Comb.	SF
cm	kg	kg	kg/cmq	kg/cmq			
281.9	0	156	2	40	1	51	21

Asta: 170 [0,0]: Sez. R: $b=10.0\text{ cm}$, $h=24.0\text{ cm}$, $L=312.1\text{ cm}$, Crit.Prog: Legno_Arcareccio: **Verificato**

Verifica a flessione (§4.4.8.1.6, §4.4.8.1.1 - NTC)

Parametri di verifica: $k_m=0.70$, $k_{h,y}=1.10$, $k_{h,z}=1.10$, $k_{crit,m}=1.00$, $L_{eff}=280.9\text{cm}$

Instabilità di trave: **Trascurabile**

x	Myd	Mzd	σ_{myd}	σ_{mzd}	fmyd	fmzd	Kmod	Comb.	SF
cm	kg*m	kg*m	kg/cmq	kg/cmq	kg/cmq	kg/cmq			
312.1	397	0	41	0	163	164	0.9	3	3.9

Verifica a taglio (§4.4.8.1.9 - NTC)

x	Tyd	Tzd	τ_d	fvd	Kmod	Comb.	SF
cm	kg	kg	kg/cmq	kg/cmq			
312.1	1	556	3	22	0.9	3	6.2

Verifica Incendio: R30(min), $d_{eff} = 2.2\text{ [cm]}$, $\beta_{char} 0.50\text{ (mm/min)}$, $b_{eff}=5.6\text{ cm}$, $h_{eff}=21.8\text{ cm}$

Verifica a flessione (§4.4.8.1.6, §4.4.8.1.1 - NTC)

Parametri di verifica: $k_m=0.70$, $k_{h,y}=1.00$, $k_{h,z}=1.00$, $k_{crit,m}=0.93$, $L_{eff}=280.9\text{cm}$

Instabilità di trave: **Instabilità nel piano XY**

x	Myd	Mzd	σ_{myd}	σ_{mzd}	fmyd	fmzd	Kmod	Comb.	SF
cm	kg*m	kg*m	kg/cmq	kg/cmq	kg/cmq	kg/cmq			
312.1	105	0	24	0	276	276	1	51	11

Verifica a taglio (§4.4.8.1.9 - NTC)

x	Tyd	Tzd	τ_d	fvd	Kmod	Comb.	SF
cm	kg	kg	kg/cmq	kg/cmq			
312.1	0	142	2	40	1	51	23

Asta: 167 [0,0]: Sez. R: $b=10.0\text{ cm}$, $h=24.0\text{ cm}$, $L=334.3\text{ cm}$, Crit.Prog: Legno_Arcareccio: **Verificato**

Verifica a flessione (§4.4.8.1.6, §4.4.8.1.1 - NTC)

Parametri di verifica: $k_m=0.70$, $k_{h,y}=1.10$, $k_{h,z}=1.10$, $k_{crit,m}=1.00$, $L_{eff}=300.9\text{cm}$

Instabilità di trave: **Trascurabile**

x	Myd	Mzd	σ_{myd}	σ_{mzd}	fmyd	fmzd	Kmod	Comb.	SF
cm	kg*m	kg*m	kg/cmq	kg/cmq	kg/cmq	kg/cmq			
0.0	306	0	32	0	163	164	0.9	3	5.1

Verifica a taglio (§4.4.8.1.9 - NTC)

x	Tyd	Tzd	τ_d	fvd	Kmod	Comb.	SF
cm	kg	kg	kg/cmq	kg/cmq			
0.0	1	429	3	22	0.9	3	8.1

Verifica Incendio: R30(min), $d_{eff} = 2.2\text{ [cm]}$, $\beta_{char} 0.50\text{ (mm/min)}$, $b_{eff}=5.6\text{ cm}$, $h_{eff}=21.8\text{ cm}$

Verifica a flessione (§4.4.8.1.6, §4.4.8.1.1 - NTC)

Parametri di verifica: $k_m=0.70$, $k_{h,y}=1.00$, $k_{h,z}=1.00$, $k_{crit,m}=0.91$, $L_{eff}=300.9\text{cm}$

Instabilità di trave: **Instabilità nel piano XY**

x	Myd	Mzd	σ_{myd}	σ_{mzd}	fmyd	fmzd	Kmod	Comb.	SF
cm	kg*m	kg*m	kg/cmq	kg/cmq	kg/cmq	kg/cmq			
0.0	79	0	18	0	276	276	1	51	14

Verifica a taglio (§4.4.8.1.9 - NTC)

x	Tyd	Tzd	τ_d	fvd	Kmod	Comb.	SF
cm	kg	kg	kg/cmq	kg/cmq			
0.0	1	108	1	40	1	51	30

Asta: 166 [0,0]: Sez. R: b=10.0 cm, h=24.0 cm, L=334.3 cm, Crit.Prog: Legno_Arcareccio: **Verificato**

Verifica a flessione (§4.4.8.1.6, §4.4.8.1.1 - NTC)

Parametri di verifica: km=0.70, kh,y=1.10, kh,z=1.10, kcrit,m=1.00, Leff=300.9cm

Instabilità di trave: **Trascurabile**

x	Myd	Mzd	σ_{myd}	σ_{mzd}	fmyd	fmzd	Kmod	Comb.	SF
cm	kg*m	kg*m	kg/cmq	kg/cmq	kg/cmq	kg/cmq			
0.0	336	0	35	0	163	164	0.9	3	4.7

Verifica a taglio (§4.4.8.1.9 - NTC)

x	Tyd	Tzd	τ_d	fvd	Kmod	Comb.	SF
cm	kg	kg	kg/cmq	kg/cmq			
0.0	2	442	3	22	0.9	3	7.9

Verifica Incendio: R30(min), d_eff = 2.2 [cm], β_{char} 0.50 (mm/min), b_eff=5.6 cm, h_eff=21.8 cm

Verifica a flessione (§4.4.8.1.6, §4.4.8.1.1 - NTC)

Parametri di verifica: km=0.70, kh,y=1.00, kh,z=1.00, kcrit,m=0.91, Leff=300.9cm

Instabilità di trave: **Instabilità nel piano XY**

x	Myd	Mzd	σ_{myd}	σ_{mzd}	fmyd	fmzd	Kmod	Comb.	SF
cm	kg*m	kg*m	kg/cmq	kg/cmq	kg/cmq	kg/cmq			
0.0	88	0	20	0	276	276	1	51	13

Verifica a taglio (§4.4.8.1.9 - NTC)

x	Tyd	Tzd	τ_d	fvd	Kmod	Comb.	SF
cm	kg	kg	kg/cmq	kg/cmq			
0.0	1	112	1	40	1	51	29

Asta: 165 [0,0]: Sez. R: b=10.0 cm, h=24.0 cm, L=334.3 cm, Crit.Prog: Legno_Arcareccio: **Verificato**

Verifica a flessione (§4.4.8.1.6, §4.4.8.1.1 - NTC)

Parametri di verifica: km=0.70, kh,y=1.10, kh,z=1.10, kcrit,m=1.00, Leff=300.9cm

Instabilità di trave: **Trascurabile**

x	Myd	Mzd	σ_{myd}	σ_{mzd}	fmyd	fmzd	Kmod	Comb.	SF
cm	kg*m	kg*m	kg/cmq	kg/cmq	kg/cmq	kg/cmq			
0.0	354	0	37	0	163	164	0.9	3	4.4

Verifica a taglio (§4.4.8.1.9 - NTC)

x	Tyd	Tzd	τ_d	fvd	Kmod	Comb.	SF
cm	kg	kg	kg/cmq	kg/cmq			
0.0	1	449	3	22	0.9	3	7.7

Verifica Incendio: R30(min), d_eff = 2.2 [cm], β_{char} 0.50 (mm/min), b_eff=5.6 cm, h_eff=21.8 cm

Verifica a flessione (§4.4.8.1.6, §4.4.8.1.1 - NTC)

Parametri di verifica: km=0.70, kh,y=1.00, kh,z=1.00, kcrit,m=0.91, Leff=300.9cm

Instabilità di trave: **Instabilità nel piano XY**

x	Myd	Mzd	σ_{myd}	σ_{mzd}	fmyd	fmzd	Kmod	Comb.	SF
cm	kg*m	kg*m	kg/cmq	kg/cmq	kg/cmq	kg/cmq			
0.0	94	0	21	0	276	276	1	51	12

Verifica a taglio (§4.4.8.1.9 - NTC)

x	Tyd	Tzd	τ_d	fvd	Kmod	Comb.	SF
cm	kg	kg	kg/cmq	kg/cmq			
0.0	1	115	1	40	1	51	28

Asta: 164 [0,0]: Sez. R: b=10.0 cm, h=24.0 cm, L=334.3 cm, Crit.Prog: Legno_Arcareccio: **Verificato**

Verifica a flessione (§4.4.8.1.6, §4.4.8.1.1 - NTC)

Parametri di verifica: $k_m=0.70$, $k_{h,y}=1.10$, $k_{h,z}=1.10$, $k_{crit,m}=1.00$, $L_{eff}=300.8\text{cm}$

Instabilità di trave: **Trascurabile**

x	Myd	Mzd	σ_{myd}	σ_{mzd}	fmyd	fmzd	Kmod	Comb.	SF
cm	kg*m	kg*m	kg/cmq	kg/cmq	kg/cmq	kg/cmq			
0.0	347	0	36	0	163	164	0.9	3	4.5

Verifica a taglio (§4.4.8.1.9 - NTC)

x	Tyd	Tzd	τ_d	fvd	Kmod	Comb.	SF
cm	kg	kg	kg/cmq	kg/cmq			
0.0	1	445	3	22	0.9	3	7.8

Verifica Incendio: R30(min), $d_{eff} = 2.2$ [cm], $\beta_{char} 0.50$ (mm/min), $b_{eff}=5.6$ cm, $h_{eff}=21.8$ cm

Verifica a flessione (§4.4.8.1.6, §4.4.8.1.1 - NTC)

Parametri di verifica: $k_m=0.70$, $k_{h,y}=1.00$, $k_{h,z}=1.00$, $k_{crit,m}=0.91$, $L_{eff}=300.8\text{cm}$

Instabilità di trave: **Instabilità nel piano XY**

x	Myd	Mzd	σ_{myd}	σ_{mzd}	fmyd	fmzd	Kmod	Comb.	SF
cm	kg*m	kg*m	kg/cmq	kg/cmq	kg/cmq	kg/cmq			
0.0	93	0	21	0	276	276	1	51	12

Verifica a taglio (§4.4.8.1.9 - NTC)

x	Tyd	Tzd	τ_d	fvd	Kmod	Comb.	SF
cm	kg	kg	kg/cmq	kg/cmq			
0.0	1	114	1	40	1	51	29

Asta: 163 [0,0]: Sez. R: $b=10.0$ cm, $h=24.0$ cm, $L=334.3$ cm, Crit.Prog: Legno_Arcareccio: **Verificato**

Verifica a flessione (§4.4.8.1.6, §4.4.8.1.1 - NTC)

Parametri di verifica: $k_m=0.70$, $k_{h,y}=1.10$, $k_{h,z}=1.10$, $k_{crit,m}=1.00$, $L_{eff}=300.9\text{cm}$

Instabilità di trave: **Trascurabile**

x	Myd	Mzd	σ_{myd}	σ_{mzd}	fmyd	fmzd	Kmod	Comb.	SF
cm	kg*m	kg*m	kg/cmq	kg/cmq	kg/cmq	kg/cmq			
0.0	348	0	36	0	163	164	0.9	3	4.5

Verifica a taglio (§4.4.8.1.9 - NTC)

x	Tyd	Tzd	τ_d	fvd	Kmod	Comb.	SF
cm	kg	kg	kg/cmq	kg/cmq			
0.0	0	446	3	22	0.9	3	7.8

Verifica Incendio: R30(min), $d_{eff} = 2.2$ [cm], $\beta_{char} 0.50$ (mm/min), $b_{eff}=5.6$ cm, $h_{eff}=21.8$ cm

Verifica a flessione (§4.4.8.1.6, §4.4.8.1.1 - NTC)

Parametri di verifica: $k_m=0.70$, $k_{h,y}=1.00$, $k_{h,z}=1.00$, $k_{crit,m}=0.91$, $L_{eff}=300.9\text{cm}$

Instabilità di trave: **Instabilità nel piano XY**

x	Myd	Mzd	σ_{myd}	σ_{mzd}	fmyd	fmzd	Kmod	Comb.	SF
cm	kg*m	kg*m	kg/cmq	kg/cmq	kg/cmq	kg/cmq			
0.0	97	0	22	0	276	276	1	51	11

Verifica a taglio (§4.4.8.1.9 - NTC)

x	Tyd	Tzd	τ_d	fvd	Kmod	Comb.	SF
cm	kg	kg	kg/cmq	kg/cmq			
0.0	0	116	1	40	1	51	28

Asta: 162 [0,0]: Sez. R: $b=10.0$ cm, $h=24.0$ cm, $L=334.3$ cm, Crit.Prog: Legno_Arcareccio: **Verificato**

Verifica a flessione (§4.4.8.1.6, §4.4.8.1.1 - NTC)

Parametri di verifica: $k_m=0.70$, $k_{h,y}=1.10$, $k_{h,z}=1.10$, $k_{crit,m}=1.00$, $L_{eff}=300.9\text{cm}$

Instabilità di trave: **Trascurabile**

x	Myd	Mzd	σ_{myd}	σ_{mzd}	fmyd	fmzd	Kmod	Comb.	SF
cm	kg*m	kg*m	kg/cmq	kg/cmq	kg/cmq	kg/cmq			

x	Myd	Mzd	σ_{myd}	σ_{mzd}	fmyd	fmzd	Kmod	Comb.	SF
0.0	326	0	34	0	163	164	0.9	3	4.8

Verifica a taglio (§4.4.8.1.9 - NTC)

x	Tyd	Tzd	τ_d	fvd	Kmod	Comb.	SF
cm	kg	kg	kg/cmq	kg/cmq			
0.0	1	435	3	22	0.9	3	8.0

Verifica Incendio: R30(min), $d_{eff} = 2.2$ [cm], $\beta_{char} 0.50$ (mm/min), $b_{eff}=5.6$ cm, $h_{eff}=21.8$ cm

Verifica a flessione (§4.4.8.1.6, §4.4.8.1.1 - NTC)

Parametri di verifica: $k_m=0.70$, $k_{h,y}=1.00$, $k_{h,z}=1.00$, $k_{crit,m}=0.91$, $L_{eff}=300.9$ cm

Instabilità di trave: **Instabilità nel piano XY**

x	Myd	Mzd	σ_{myd}	σ_{mzd}	fmyd	fmzd	Kmod	Comb.	SF
cm	kg*m	kg*m	kg/cmq	kg/cmq	kg/cmq	kg/cmq			
0.0	96	0	22	0	276	276	1	51	12

Verifica a taglio (§4.4.8.1.9 - NTC)

x	Tyd	Tzd	τ_d	fvd	Kmod	Comb.	SF
cm	kg	kg	kg/cmq	kg/cmq			
0.0	1	115	1	40	1	51	29

Asta: 170 [0,0]: Sez. R: $b=10.0$ cm, $h=24.0$ cm, $L=360.7$ cm, Crit.Prog: Legno_Arcareccio: **Verificato**

Verifica a flessione (§4.4.8.1.6, §4.4.8.1.1 - NTC)

Parametri di verifica: $k_m=0.70$, $k_{h,y}=1.10$, $k_{h,z}=1.10$, $k_{crit,m}=1.00$, $L_{eff}=324.6$ cm

Instabilità di trave: **Trascurabile**

x	Myd	Mzd	σ_{myd}	σ_{mzd}	fmyd	fmzd	Kmod	Comb.	SF
cm	kg*m	kg*m	kg/cmq	kg/cmq	kg/cmq	kg/cmq			
0.0	261	0	27	0	163	164	0.9	3	6.0

Verifica a taglio (§4.4.8.1.9 - NTC)

x	Tyd	Tzd	τ_d	fvd	Kmod	Comb.	SF
cm	kg	kg	kg/cmq	kg/cmq			
0.0	3	390	2	22	0.9	3	8.9

Verifica Incendio: R30(min), $d_{eff} = 2.2$ [cm], $\beta_{char} 0.50$ (mm/min), $b_{eff}=5.6$ cm, $h_{eff}=21.8$ cm

Verifica a flessione (§4.4.8.1.6, §4.4.8.1.1 - NTC)

Parametri di verifica: $k_m=0.70$, $k_{h,y}=1.00$, $k_{h,z}=1.00$, $k_{crit,m}=0.88$, $L_{eff}=324.6$ cm

Instabilità di trave: **Instabilità nel piano XY**

x	Myd	Mzd	σ_{myd}	σ_{mzd}	fmyd	fmzd	Kmod	Comb.	SF
cm	kg*m	kg*m	kg/cmq	kg/cmq	kg/cmq	kg/cmq			
0.0	66	0	15	0	276	276	1	51	16

Verifica a taglio (§4.4.8.1.9 - NTC)

x	Tyd	Tzd	τ_d	fvd	Kmod	Comb.	SF
cm	kg	kg	kg/cmq	kg/cmq			
0.0	1	101	1	40	1	51	32

Asta: 174 [0,0]: Sez. R: $b=10.0$ cm, $h=24.0$ cm, $L=334.3$ cm, Crit.Prog: Legno_Arcareccio: **Verificato**

Verifica a flessione (§4.4.8.1.6, §4.4.8.1.1 - NTC)

Parametri di verifica: $k_m=0.70$, $k_{h,y}=1.10$, $k_{h,z}=1.10$, $k_{crit,m}=1.00$, $L_{eff}=300.9$ cm

Instabilità di trave: **Trascurabile**

x	Myd	Mzd	σ_{myd}	σ_{mzd}	fmyd	fmzd	Kmod	Comb.	SF
cm	kg*m	kg*m	kg/cmq	kg/cmq	kg/cmq	kg/cmq			
0.0	304	0	32	0	163	164	0.9	3	5.2

Verifica a taglio (§4.4.8.1.9 - NTC)

x	Tyd	Tzd	τ_d	fvd	Kmod	Comb.	SF
cm	kg	kg	kg/cmq	kg/cmq			

x	Tyd	Tzd	τ_d	fvd	Kmod	Comb.	SF
0.0	0	414	3	22	0.9	3	8.4

Verifica Incendio: R30(min), $d_{eff} = 2.2$ [cm], $\beta_{char} 0.50$ (mm/min), $b_{eff}=5.6$ cm, $h_{eff}=21.8$ cm

Verifica a flessione (§4.4.8.1.6, §4.4.8.1.1 - NTC)

Parametri di verifica: $k_m=0.70$, $k_{h,y}=1.00$, $k_{h,z}=1.00$, $k_{crit,m}=0.91$, $Leff=300.9$ cm

Instabilità di trave: **Instabilità nel piano XY**

x	Myd	Mzd	σ_{myd}	σ_{mzd}	fmyd	fmzd	Kmod	Comb.	SF
cm	kg*m	kg*m	kg/cm ²	kg/cm ²	kg/cm ²	kg/cm ²			
0.0	78	0	18	0	276	276	1	51	14

Verifica a taglio (§4.4.8.1.9 - NTC)

x	Tyd	Tzd	τ_d	fvd	Kmod	Comb.	SF
cm	kg	kg	kg/cm ²	kg/cm ²			
0.0	0	106	1	40	1	51	31

Asta: 173 [0,0]: Sez. R: $b=10.0$ cm, $h=24.0$ cm, $L=335.3$ cm, Crit.Prog: Legno_Arcareccio: **Verificato**

Verifica a flessione (§4.4.8.1.6, §4.4.8.1.1 - NTC)

Parametri di verifica: $k_m=0.70$, $k_{h,y}=1.10$, $k_{h,z}=1.10$, $k_{crit,m}=1.00$, $Leff=301.8$ cm

Instabilità di trave: **Trascurabile**

x	Myd	Mzd	σ_{myd}	σ_{mzd}	fmyd	fmzd	Kmod	Comb.	SF
cm	kg*m	kg*m	kg/cm ²	kg/cm ²	kg/cm ²	kg/cm ²			
0.0	413	0	43	0	163	164	0.9	3	3.8

Verifica a taglio (§4.4.8.1.9 - NTC)

x	Tyd	Tzd	τ_d	fvd	Kmod	Comb.	SF
cm	kg	kg	kg/cm ²	kg/cm ²			
0.0	0	562	4	22	0.9	3	6.2

Verifica Incendio: R30(min), $d_{eff} = 2.2$ [cm], $\beta_{char} 0.50$ (mm/min), $b_{eff}=5.6$ cm, $h_{eff}=21.8$ cm

Verifica a flessione (§4.4.8.1.6, §4.4.8.1.1 - NTC)

Parametri di verifica: $k_m=0.70$, $k_{h,y}=1.00$, $k_{h,z}=1.00$, $k_{crit,m}=0.90$, $Leff=301.8$ cm

Instabilità di trave: **Instabilità nel piano XY**

x	Myd	Mzd	σ_{myd}	σ_{mzd}	fmyd	fmzd	Kmod	Comb.	SF
cm	kg*m	kg*m	kg/cm ²	kg/cm ²	kg/cm ²	kg/cm ²			
0.0	103	0	23	0	276	276	1	51	11

Verifica a taglio (§4.4.8.1.9 - NTC)

x	Tyd	Tzd	τ_d	fvd	Kmod	Comb.	SF
cm	kg	kg	kg/cm ²	kg/cm ²			
0.0	0	138	2	40	1	51	24

Asta: 171 [0,0]: Sez. R: $b=10.0$ cm, $h=24.0$ cm, $L=354.6$ cm, Crit.Prog: Legno_Arcareccio: **Verificato**

Verifica a flessione (§4.4.8.1.6, §4.4.8.1.1 - NTC)

Parametri di verifica: $k_m=0.70$, $k_{h,y}=1.10$, $k_{h,z}=1.10$, $k_{crit,m}=1.00$, $Leff=319.2$ cm

Instabilità di trave: **Trascurabile**

x	Myd	Mzd	σ_{myd}	σ_{mzd}	fmyd	fmzd	Kmod	Comb.	SF
cm	kg*m	kg*m	kg/cm ²	kg/cm ²	kg/cm ²	kg/cm ²			
0.0	392	0	41	0	163	164	0.9	3	4.0

Verifica a taglio (§4.4.8.1.9 - NTC)

x	Tyd	Tzd	τ_d	fvd	Kmod	Comb.	SF
cm	kg	kg	kg/cm ²	kg/cm ²			
0.0	3	546	3	22	0.9	3	6.4

Verifica Incendio: R30(min), $d_{eff} = 2.2$ [cm], $\beta_{char} 0.50$ (mm/min), $b_{eff}=5.6$ cm, $h_{eff}=21.8$ cm

Verifica a flessione (§4.4.8.1.6, §4.4.8.1.1 - NTC)

Parametri di verifica: $k_m=0.70$, $k_{h,y}=1.00$, $k_{h,z}=1.00$, $k_{crit,m}=0.89$, $Leff=319.2$ cm

Instabilità di trave: **Instabilità nel piano XY**

x	Myd	Mzd	σ_{myd}	σ_{mzd}	fmyd	fmzd	Kmod	Comb.	SF
cm	kg*m	kg*m	kg/cmq	kg/cmq	kg/cmq	kg/cmq			
0.0	97	0	22	0	276	276	1	51	11

Verifica a taglio (§4.4.8.1.9 - NTC)

x	Tyd	Tzd	τ_d	fvd	Kmod	Comb.	SF
cm	kg	kg	kg/cmq	kg/cmq			
0.0	1	134	2	40	1	51	24

Asta: 106 [0,0]: Sez. R: b=20.0 cm, h=70.0 cm, L=96.8 cm, Crit.Prog: Legno_Tenso-Pressoflessione:
Verificato

Verifica a pressoflessione (§4.4.8.1.8 - NTC, §7.6.1.2.3 - CNR DT 206/2018)

Parametri di verifica: $k_m=0.70$, $k_{h,y}=1.00$, $k_{h,z}=1.10$, $k_{crit,c}=1.00$, $k_{crit,m}=1.00$, $L_o=96.8\text{cm}$, $L_{eff}=87.1\text{cm}$

Instabilità di colonna: **Trascurabile**, Instabilità di trave: **Trascurabile**

x	Nd	Myd	Mzd	σ_{c0d}	σ_{myd}	σ_{mzd}	f_{c0d}	fmyd	fmzd	Kmod	Comb.	SF
cm	kg	kg*m	kg*m	kg/cm	kg/cm	kg/cm	kg/cm	kg/cm	kg/cm			
96.8	-496	1829	45	-0	11	1	133	149	164	0.9	3	13

Verifica a tensoflessione (§4.4.8.1.8 - NTC, §7.6.1.2.3 - CNR DT 206/2018)

Parametri di verifica: $k_m=0.70$, $k_h=0.98$, $k_{h,y}=1.00$, $k_{h,z}=1.10$, $k_{crit,m}=1.00$, $L_{eff}=87.1\text{cm}$

Instabilità di trave: **Trascurabile**

x	Nd	Myd	Mzd	σ_{t0d}	σ_{myd}	σ_{mzd}	f_{t0d}	fmyd	fmzd	Kmod	Comb.	SF
cm	kg	kg*m	kg*m	kg/cm	kg/cm	kg/cm	kg/cm	kg/cm	kg/cm			
96.8	46	762	15	0	5	0	69	99	109	0.6	1	20

Verifica a taglio (§4.4.8.1.9 - NTC)

x	Tyd	Tzd	τ_d	fvd	Kmod	Comb.	SF
cm	kg	kg	kg/cmq	kg/cmq			
0.0	75	1709	2	22	0.9	3	12

Verifica Incendio: R60(min), $d_{eff} = 4.9$ [cm], $\beta_{char} = 0.70$ (mm/min), $b_{eff}=10.2$ cm, $h_{eff}=65.1$ cm

Verifica a tensoflessione (§4.4.8.1.8 - NTC, §7.6.1.2.3 - CNR DT 206/2018)

Parametri di verifica: $k_m=0.70$, $k_h=1.00$, $k_{h,y}=1.00$, $k_{h,z}=1.00$, $k_{crit,m}=1.00$, $L_{eff}=87.1\text{cm}$

Instabilità di trave: **Trascurabile**

x	Nd	Myd	Mzd	σ_{t0d}	σ_{myd}	σ_{mzd}	f_{t0d}	fmyd	fmzd	Kmod	Comb.	SF
cm	kg	kg*m	kg*m	kg/cm	kg/cm	kg/cm	kg/cm	kg/cm	kg/cm			
96.8	42	563	11	0	8	1	195	276	276	1	51	32

Verifica a taglio (§4.4.8.1.9 - NTC)

x	Tyd	Tzd	τ_d	fvd	Kmod	Comb.	SF
cm	kg	kg	kg/cmq	kg/cmq			
0.0	21	531	1	40	1	51	34

Asta: 106 [0,0]: Sez. R: b=20.0 cm, h=70.0 cm, L=96.8 cm, Crit.Prog: Legno_Tenso-Pressoflessione:
Verificato

Verifica a pressoflessione (§4.4.8.1.8 - NTC, §7.6.1.2.3 - CNR DT 206/2018)

Parametri di verifica: $k_m=0.70$, $k_{h,y}=1.00$, $k_{h,z}=1.10$, $k_{crit,c}=1.00$, $k_{crit,m}=1.00$, $L_o=96.8\text{cm}$, $L_{eff}=87.1\text{cm}$

Instabilità di colonna: **Trascurabile**, Instabilità di trave: **Trascurabile**

x	Nd	Myd	Mzd	σ_{c0d}	σ_{myd}	σ_{mzd}	f_{c0d}	fmyd	fmzd	Kmod	Comb.	SF
cm	kg	kg*m	kg*m	kg/cm	kg/cm	kg/cm	kg/cm	kg/cm	kg/cm			
96.8	-493	2322	55	-0	14	1	133	149	164	0.9	3	9.9

Verifica a tensoflessione (§4.4.8.1.8 - NTC, §7.6.1.2.3 - CNR DT 206/2018)

Parametri di verifica: $k_m=0.70$, $k_h=0.98$, $k_{h,y}=1.00$, $k_{h,z}=1.10$, $k_{crit,m}=1.00$, $L_{eff}=87.1\text{cm}$

Instabilità di trave: **Trascurabile**

x	Nd	Myd	Mzd	σ_{t0d}	σ_{myd}	σ_{mzd}	f_{t0d}	f_{myd}	f_{mzd}	Kmod	Comb.	SF
cm	kg	kg*m	kg*m	kg/cm q	kg/cm q	kg/cm q	kg/cm q	kg/cm q	kg/cm q			
96.8	41	934	20	0	6	0	69	99	109	0.6	1	16

Verifica a taglio (§4.4.8.1.9 - NTC)

x	Tyd	Tzd	τ_d	fvd	Kmod	Comb.	SF
cm	kg	kg	kg/cmq	kg/cmq			
0.0	33	417	0	24	1	(16+17)-I-3	54

Verifica Incendio: R60(min), $d_{eff} = 4.9$ [cm], $\beta_{char} 0.70$ (mm/min), $b_{eff}=10.2$ cm, $h_{eff}=65.1$ cm

Verifica a tensoflessione (§4.4.8.1.8 - NTC, §7.6.1.2.3 - CNR DT 206/2018)

Parametri di verifica: $k_m=0.70$, $k_h=1.00$, $k_{h,y}=1.00$, $k_{h,z}=1.00$, $k_{crit,m}=1.00$, $L_{eff}=87.1\text{cm}$

Instabilità di trave: **Trascurabile**

x	Nd	Myd	Mzd	σ_{t0d}	σ_{myd}	σ_{mzd}	f_{t0d}	f_{myd}	f_{mzd}	Kmod	Comb.	SF
cm	kg	kg*m	kg*m	kg/cm q	kg/cm q	kg/cm q	kg/cm q	kg/cm q	kg/cm q			
96.8	38	690	15	0	10	1	195	276	276	1	51	26

Verifica a taglio (§4.4.8.1.9 - NTC)

x	Tyd	Tzd	τ_d	fvd	Kmod	Comb.	SF
cm	kg	kg	kg/cmq	kg/cmq			
0.0	9	111	0	40	1	51	>100

Asta: 106 [0,0]: Sez. R: $b=20.0$ cm, $h=70.0$ cm, $L=96.8$ cm, Crit.Prog: Legno_Tenso-Pressoflessione:
Verificato

Verifica a pressoflessione (§4.4.8.1.8 - NTC, §7.6.1.2.3 - CNR DT 206/2018)

Parametri di verifica: $k_m=0.70$, $k_{h,y}=1.00$, $k_{h,z}=1.10$, $k_{crit,c}=1.00$, $k_{crit,m}=1.00$, $L_o=96.8\text{cm}$, $L_{eff}=87.1\text{cm}$

Instabilità di colonna: **Trascurabile**, Instabilità di trave: **Trascurabile**

x	Nd	Myd	Mzd	σ_{c0d}	σ_{myd}	σ_{mzd}	f_{c0d}	f_{myd}	f_{mzd}	Kmod	Comb.	SF
cm	kg	kg*m	kg*m	kg/cm q	kg/cm q	kg/cm q	kg/cm q	kg/cm q	kg/cm q			
0.0	-461	2605	43	-0	16	1	133	149	164	0.9	3	9.0

Verifica a tensoflessione (§4.4.8.1.8 - NTC, §7.6.1.2.3 - CNR DT 206/2018)

Parametri di verifica: $k_m=0.70$, $k_h=0.98$, $k_{h,y}=1.00$, $k_{h,z}=1.10$, $k_{crit,m}=1.00$, $L_{eff}=87.1\text{cm}$

Instabilità di trave: **Trascurabile**

x	Nd	Myd	Mzd	σ_{t0d}	σ_{myd}	σ_{mzd}	f_{t0d}	f_{myd}	f_{mzd}	Kmod	Comb.	SF
cm	kg	kg*m	kg*m	kg/cm q	kg/cm q	kg/cm q	kg/cm q	kg/cm q	kg/cm q			
0.0	46	1032	14	0	6	0	69	99	109	0.6	1	15

Verifica a taglio (§4.4.8.1.9 - NTC)

x	Tyd	Tzd	τ_d	fvd	Kmod	Comb.	SF
cm	kg	kg	kg/cmq	kg/cmq			
96.8	32	1276	1	22	0.9	3	16

Verifica Incendio: R60(min), $d_{eff} = 4.9$ [cm], $\beta_{char} 0.70$ (mm/min), $b_{eff}=10.2$ cm, $h_{eff}=65.1$ cm

Verifica a tensoflessione (§4.4.8.1.8 - NTC, §7.6.1.2.3 - CNR DT 206/2018)

Parametri di verifica: $k_m=0.70$, $k_h=1.00$, $k_{h,y}=1.00$, $k_{h,z}=1.00$, $k_{crit,m}=1.00$, $L_{eff}=87.1\text{cm}$

Instabilità di trave: **Trascurabile**

x	Nd	Myd	Mzd	σ_{t0d}	σ_{myd}	σ_{mzd}	f_{t0d}	f_{myd}	f_{mzd}	Kmod	Comb.	SF
cm	kg	kg*m	kg*m	kg/cm q	kg/cm q	kg/cm q	kg/cm q	kg/cm q	kg/cm q			
0.0	41	761	11	0	11	1	195	276	276	1	51	24

Verifica a taglio (§4.4.8.1.9 - NTC)

x	Tyd	Tzd	τ_d	fvd	Kmod	Comb.	SF
---	-----	-----	----------	-----	------	-------	----

x	Tyd	Tzd	τ_d	fvd	Kmod	Comb.	SF
cm	kg	kg	kg/cmq	kg/cmq			
96.8	11	415	1	40	1	51	43

Asta: 106 [0,0]: Sez. R: b=20.0 cm, h=70.0 cm, L=96.8 cm, Crit.Prog: Legno_Tenso-Pressoflessione:
Verificato

Verifica a pressoflessione (§4.4.8.1.8 - NTC, §7.6.1.2.3 - CNR DT 206/2018)

Parametri di verifica: $k_m=0.70$, $k_{h,y}=1.00$, $k_{h,z}=1.10$, $k_{crit,c}=1.00$, $k_{crit,m}=1.00$, $L_o=96.8\text{cm}$, $L_{eff}=87.1\text{cm}$

Instabilità di colonna: **Trascurabile**, Instabilità di trave: **Trascurabile**

x	Nd	Myd	Mzd	σ_{c0d}	σ_{myd}	σ_{mzd}	f_{c0d}	f_{myd}	f_{mzd}	Kmod	Comb.	SF
cm	kg	kg*m	kg*m	kg/cm q	kg/cm q	kg/cm q	kg/cm q	kg/cm q	kg/cm q			
0.0	-487	1718	65	-0	11	1	133	149	164	0.9	3	13

Verifica a tensoflessione (§4.4.8.1.8 - NTC, §7.6.1.2.3 - CNR DT 206/2018)

Parametri di verifica: $k_m=0.70$, $k_h=0.98$, $k_{h,y}=1.00$, $k_{h,z}=1.10$, $k_{crit,m}=1.00$, $L_{eff}=87.1\text{cm}$

Instabilità di trave: **Trascurabile**

x	Nd	Myd	Mzd	σ_{t0d}	σ_{myd}	σ_{mzd}	f_{t0d}	f_{myd}	f_{mzd}	Kmod	Comb.	SF
cm	kg	kg*m	kg*m	kg/cm q	kg/cm q	kg/cm q	kg/cm q	kg/cm q	kg/cm q			
96.8	1110	963	42	1	6	1	115	166	182	1	(16+17)-II-1	22

Verifica a taglio (§4.4.8.1.9 - NTC)

x	Tyd	Tzd	τ_d	fvd	Kmod	Comb.	SF
cm	kg	kg	kg/cmq	kg/cmq			
96.8	7	2771	3	22	0.9	3	7.3

Verifica Incendio: R60(min), $d_{eff} = 4.9$ [cm], $\beta_{char} = 0.70$ (mm/min), $b_{eff}=10.2$ cm, $h_{eff}=65.1$ cm

Verifica a tensoflessione (§4.4.8.1.8 - NTC, §7.6.1.2.3 - CNR DT 206/2018)

Parametri di verifica: $k_m=0.70$, $k_h=1.00$, $k_{h,y}=1.00$, $k_{h,z}=1.00$, $k_{crit,m}=1.00$, $L_{eff}=87.1\text{cm}$

Instabilità di trave: **Trascurabile**

x	Nd	Myd	Mzd	σ_{t0d}	σ_{myd}	σ_{mzd}	f_{t0d}	f_{myd}	f_{mzd}	Kmod	Comb.	SF
cm	kg	kg*m	kg*m	kg/cm q	kg/cm q	kg/cm q	kg/cm q	kg/cm q	kg/cm q			
0.0	27	478	18	0	7	2	195	276	276	1	51	35

Verifica a taglio (§4.4.8.1.9 - NTC)

x	Tyd	Tzd	τ_d	fvd	Kmod	Comb.	SF
cm	kg	kg	kg/cmq	kg/cmq			
96.8	4	862	2	40	1	51	21

Asta: 106 [0,146]: Sez. R: b=20.0 cm, h=70.0 cm, L=96.8 cm, Crit.Prog: Legno_Tenso-Pressoflessione:
Verificato

Verifica a pressoflessione (§4.4.8.1.8 - NTC, §7.6.1.2.3 - CNR DT 206/2018)

Parametri di verifica: $k_m=0.70$, $k_{h,y}=1.00$, $k_{h,z}=1.10$, $k_{crit,c}=1.00$, $k_{crit,m}=1.00$, $L_o=96.8\text{cm}$, $L_{eff}=87.1\text{cm}$

Instabilità di colonna: **Trascurabile**, Instabilità di trave: **Trascurabile**

x	Nd	Myd	Mzd	σ_{c0d}	σ_{myd}	σ_{mzd}	f_{c0d}	f_{myd}	f_{mzd}	Kmod	Comb.	SF
cm	kg	kg*m	kg*m	kg/cm q	kg/cm q	kg/cm q	kg/cm q	kg/cm q	kg/cm q			
96.8	-646	4782	107	-0	29	2	133	149	164	0.9	3	4.8

Verifica a tensoflessione (§4.4.8.1.8 - NTC, §7.6.1.2.3 - CNR DT 206/2018)

Parametri di verifica: $k_m=0.70$, $k_h=0.98$, $k_{h,y}=1.00$, $k_{h,z}=1.10$, $k_{crit,m}=1.00$, $L_{eff}=87.1\text{cm}$

Instabilità di trave: **Trascurabile**

x	Nd	Myd	Mzd	σ_{t0d}	σ_{myd}	σ_{mzd}	f_{t0d}	f_{myd}	f_{mzd}	Kmod	Comb.	SF
cm	kg	kg*m	kg*m	kg/cm q	kg/cm q	kg/cm q	kg/cm q	kg/cm q	kg/cm q			
96.8	1237	532	160	1	3	3	115	166	182	1	(16+17)-I-3	25

Verifica a taglio (§4.4.8.1.9 - NTC)

x	T _{yd}	T _{zd}	τ _d	f _{vd}	K _{mod}	Comb.	SF
cm	kg	kg	kg/cmq	kg/cmq			
96.8	168	4347	5	22	0.9	3	4.7

Verifica Incendio: R60(min), d_{eff} = 4.9 [cm], β_{char} 0.70 (mm/min), b_{eff}=10.2 cm, h_{eff}=65.1 cm

Verifica a pressoflessione (§4.4.8.1.8 - NTC, §7.6.1.2.3 - CNR DT 206/2018)

Parametri di verifica: k_m=0.70, k_{h,y}=1.00, k_{h,z}=1.00, k_{crit,c}=0.97, k_{crit,m}=1.00, L_o=96.8cm, L_{eff}=87.1cmInstabilità di colonna: **Instabilità nel piano XY**, Instabilità di trave: **Trascurabile**

x	N _d	M _{yd}	M _{zd}	σ _{c0d}	σ _{myd}	σ _{mzd}	f _{c0d}	f _{myd}	f _{mzd}	K _{mod}	Comb.	SF
cm	kg	kg*m	kg*m	kg/cm	kg/cm	kg/cm	kg/cm	kg/cm	kg/cm			
				q	q	q	q	q	q			
96.8	-32	1491	31	-0	21	3	247	276	276	1	51	12

Verifica a taglio (§4.4.8.1.9 - NTC)

x	T _{yd}	T _{zd}	τ _d	f _{vd}	K _{mod}	Comb.	SF
cm	kg	kg	kg/cmq	kg/cmq			
96.8	53	1334	3	40	1	51	13

Asta: 176 [0,0]: Sez. R: b=10.0 cm, h=24.0 cm, L=276.1 cm, Crit.Prog: Legno_Arcareccio: **Verificato**

Verifica a flessione (§4.4.8.1.6, §4.4.8.1.1 - NTC)

Parametri di verifica: k_m=0.70, k_{h,y}=1.10, k_{h,z}=1.10, k_{crit,m}=1.00, L_{eff}=248.5cmInstabilità di trave: **Trascurabile**

x	M _{yd}	M _{zd}	σ _{myd}	σ _{mzd}	f _{myd}	f _{mzd}	K _{mod}	Comb.	SF
cm	kg*m	kg*m	kg/cmq	kg/cmq	kg/cmq	kg/cmq			
276.1	388	0	40	0	163	164	0.9	3	4.0

Verifica a taglio (§4.4.8.1.9 - NTC)

x	T _{yd}	T _{zd}	τ _d	f _{vd}	K _{mod}	Comb.	SF
cm	kg	kg	kg/cmq	kg/cmq			
276.1	4	544	3	22	0.9	3	6.4

Verifica Incendio: R30(min), d_{eff} = 2.2 [cm], β_{char} 0.50 (mm/min), b_{eff}=5.6 cm, h_{eff}=21.8 cm

Verifica a flessione (§4.4.8.1.6, §4.4.8.1.1 - NTC)

Parametri di verifica: k_m=0.70, k_{h,y}=1.00, k_{h,z}=1.00, k_{crit,m}=0.96, L_{eff}=248.5cmInstabilità di trave: **Instabilità nel piano XY**

x	M _{yd}	M _{zd}	σ _{myd}	σ _{mzd}	f _{myd}	f _{mzd}	K _{mod}	Comb.	SF
cm	kg*m	kg*m	kg/cmq	kg/cmq	kg/cmq	kg/cmq			
276.1	102	0	23	0	276	276	1	51	12

Verifica a taglio (§4.4.8.1.9 - NTC)

x	T _{yd}	T _{zd}	τ _d	f _{vd}	K _{mod}	Comb.	SF
cm	kg	kg	kg/cmq	kg/cmq			
276.1	2	139	2	40	1	51	24

Asta: 177 [0,0]: Sez. R: b=10.0 cm, h=24.0 cm, L=276.1 cm, Crit.Prog: Legno_Arcareccio: **Verificato**

Verifica a flessione (§4.4.8.1.6, §4.4.8.1.1 - NTC)

Parametri di verifica: k_m=0.70, k_{h,y}=1.10, k_{h,z}=1.10, k_{crit,m}=1.00, L_{eff}=248.5cmInstabilità di trave: **Trascurabile**

x	M _{yd}	M _{zd}	σ _{myd}	σ _{mzd}	f _{myd}	f _{mzd}	K _{mod}	Comb.	SF
cm	kg*m	kg*m	kg/cmq	kg/cmq	kg/cmq	kg/cmq			
276.1	413	0	43	0	163	164	0.9	3	3.8

Verifica a taglio (§4.4.8.1.9 - NTC)

x	T _{yd}	T _{zd}	τ _d	f _{vd}	K _{mod}	Comb.	SF
cm	kg	kg	kg/cmq	kg/cmq			
276.1	7	551	3	22	0.9	3	6.3

Verifica Incendio: R30(min), $d_{eff} = 2.2$ [cm], $\beta_{char} 0.50$ (mm/min), $b_{eff}=5.6$ cm, $h_{eff}=21.8$ cm

Verifica a flessione (§4.4.8.1.6, §4.4.8.1.1 - NTC)

Parametri di verifica: $k_m=0.70$, $k_{h,y}=1.00$, $k_{h,z}=1.00$, $k_{crit,m}=0.96$, $L_{eff}=248.5$ cm

Instabilità di trave: **Instabilità nel piano XY**

x	Myd	Mzd	σ_{myd}	σ_{mzd}	fmyd	fmzd	Kmod	Comb.	SF
cm	kg*m	kg*m	kg/cmq	kg/cmq	kg/cmq	kg/cmq			
276.1	108	0	24	0	276	276	1	51	11

Verifica a taglio (§4.4.8.1.9 - NTC)

x	Tyd	Tzd	τ_d	fvd	Kmod	Comb.	SF
cm	kg	kg	kg/cmq	kg/cmq			
276.1	3	140	2	40	1	51	23

Asta: 178 [0,0]: Sez. R: $b=10.0$ cm, $h=24.0$ cm, $L=276.3$ cm, Crit.Prog: Legno_Arcareccio: **Verificato**

Verifica a flessione (§4.4.8.1.6, §4.4.8.1.1 - NTC)

Parametri di verifica: $k_m=0.70$, $k_{h,y}=1.10$, $k_{h,z}=1.10$, $k_{crit,m}=1.00$, $L_{eff}=248.7$ cm

Instabilità di trave: **Trascurabile**

x	Myd	Mzd	σ_{myd}	σ_{mzd}	fmyd	fmzd	Kmod	Comb.	SF
cm	kg*m	kg*m	kg/cmq	kg/cmq	kg/cmq	kg/cmq			
276.3	403	0	42	0	163	164	0.9	3	3.9

Verifica a taglio (§4.4.8.1.9 - NTC)

x	Tyd	Tzd	τ_d	fvd	Kmod	Comb.	SF
cm	kg	kg	kg/cmq	kg/cmq			
276.3	7	541	3	22	0.9	3	6.4

Verifica Incendio: R30(min), $d_{eff} = 2.2$ [cm], $\beta_{char} 0.50$ (mm/min), $b_{eff}=5.6$ cm, $h_{eff}=21.8$ cm

Verifica a flessione (§4.4.8.1.6, §4.4.8.1.1 - NTC)

Parametri di verifica: $k_m=0.70$, $k_{h,y}=1.00$, $k_{h,z}=1.00$, $k_{crit,m}=0.96$, $L_{eff}=248.7$ cm

Instabilità di trave: **Instabilità nel piano XY**

x	Myd	Mzd	σ_{myd}	σ_{mzd}	fmyd	fmzd	Kmod	Comb.	SF
cm	kg*m	kg*m	kg/cmq	kg/cmq	kg/cmq	kg/cmq			
276.3	105	0	24	0	276	276	1	51	11

Verifica a taglio (§4.4.8.1.9 - NTC)

x	Tyd	Tzd	τ_d	fvd	Kmod	Comb.	SF
cm	kg	kg	kg/cmq	kg/cmq			
276.3	3	137	2	40	1	51	24

Asta: 179 [0,0]: Sez. R: $b=10.0$ cm, $h=24.0$ cm, $L=276.5$ cm, Crit.Prog: Legno_Arcareccio: **Verificato**

Verifica a flessione (§4.4.8.1.6, §4.4.8.1.1 - NTC)

Parametri di verifica: $k_m=0.70$, $k_{h,y}=1.10$, $k_{h,z}=1.10$, $k_{crit,m}=1.00$, $L_{eff}=248.8$ cm

Instabilità di trave: **Trascurabile**

x	Myd	Mzd	σ_{myd}	σ_{mzd}	fmyd	fmzd	Kmod	Comb.	SF
cm	kg*m	kg*m	kg/cmq	kg/cmq	kg/cmq	kg/cmq			
276.5	378	0	39	0	163	164	0.9	3	4.1

Verifica a taglio (§4.4.8.1.9 - NTC)

x	Tyd	Tzd	τ_d	fvd	Kmod	Comb.	SF
cm	kg	kg	kg/cmq	kg/cmq			
276.5	7	529	3	22	0.9	3	6.6

Verifica Incendio: R30(min), $d_{eff} = 2.2$ [cm], $\beta_{char} 0.50$ (mm/min), $b_{eff}=5.6$ cm, $h_{eff}=21.8$ cm

Verifica a flessione (§4.4.8.1.6, §4.4.8.1.1 - NTC)

Parametri di verifica: $k_m=0.70$, $k_{h,y}=1.00$, $k_{h,z}=1.00$, $k_{crit,m}=0.96$, $L_{eff}=248.8$ cm

Instabilità di trave: **Instabilità nel piano XY**

x	Myd	Mzd	σ_{myd}	σ_{mzd}	fmyd	fmzd	Kmod	Comb.	SF
---	-----	-----	----------------	----------------	------	------	------	-------	----

x	Myd	Mzd	σ_{myd}	σ_{mzd}	fmyd	fmzd	Kmod	Comb.	SF
cm	kg*m	kg*m	kg/cmq	kg/cmq	kg/cmq	kg/cmq			
276.5	98	0	22	0	276	276	1	51	12

Verifica a taglio (§4.4.8.1.9 - NTC)

x	Tyd	Tzd	τ_d	fvd	Kmod	Comb.	SF
cm	kg	kg	kg/cmq	kg/cmq			
276.5	2	134	2	40	1	51	24

Asta: 180 [145,0]: Sez. R: b=10.0 cm, h=24.0 cm, L=276.7 cm, Crit.Prog: Legno_Arcareccio: **Verificato**

Verifica a flessione (§4.4.8.1.6, §4.4.8.1.1 - NTC)

Parametri di verifica: km=0.70, kh,y=1.10, kh,z=1.10, kcrit,m=1.00, Leff=249.0cm

Instabilità di trave: **Trascurabile**

x	Myd	Mzd	σ_{myd}	σ_{mzd}	fmyd	fmzd	Kmod	Comb.	SF
cm	kg*m	kg*m	kg/cmq	kg/cmq	kg/cmq	kg/cmq			
276.7	387	0	40	0	163	164	0.9	3	4.1

Verifica a taglio (§4.4.8.1.9 - NTC)

x	Tyd	Tzd	τ_d	fvd	Kmod	Comb.	SF
cm	kg	kg	kg/cmq	kg/cmq			
276.7	6	592	4	22	0.9	3	5.9

Verifica Incendio: R30(min), d_eff = 2.2 [cm], β_{char} 0.50 (mm/min), b_eff=5.6 cm, h_eff=21.8 cm

Verifica a flessione (§4.4.8.1.6, §4.4.8.1.1 - NTC)

Parametri di verifica: km=0.70, kh,y=1.00, kh,z=1.00, kcrit,m=0.96, Leff=249.0cm

Instabilità di trave: **Instabilità nel piano XY**

x	Myd	Mzd	σ_{myd}	σ_{mzd}	fmyd	fmzd	Kmod	Comb.	SF
cm	kg*m	kg*m	kg/cmq	kg/cmq	kg/cmq	kg/cmq			
276.7	100	0	23	0	276	276	1	51	12

Verifica a taglio (§4.4.8.1.9 - NTC)

x	Tyd	Tzd	τ_d	fvd	Kmod	Comb.	SF
cm	kg	kg	kg/cmq	kg/cmq			
276.7	2	147	2	40	1	51	22

Asta: 106 [0,0]: Sez. R: b=20.0 cm, h=70.0 cm, L=111.4 cm, Crit.Prog: Legno_Tenso-Pressoflessione: **Verificato**

Verifica a pressoflessione (§4.4.8.1.8 - NTC, §7.6.1.2.3 - CNR DT 206/2018)

Parametri di verifica: km=0.70, kh,y=1.00, kh,z=1.10, kcrit,c=1.00, kcrit,m=1.00, Lo=111.4cm, Leff=100.3cm

Instabilità di colonna: **Trascurabile**, Instabilità di trave: **Trascurabile**

x	Nd	Myd	Mzd	σ_{c0d}	σ_{myd}	σ_{mzd}	f_{c0d}	fmyd	fmzd	Kmod	Comb.	SF
cm	kg	kg*m	kg*m	kg/cm	kg/cm	kg/cm	kg/cm	kg/cm	kg/cm			
111.4	-576	1827	48	-0	11	1	133	149	164	0.9	3	13

Verifica a tensoflessione (§4.4.8.1.8 - NTC, §7.6.1.2.3 - CNR DT 206/2018)

Parametri di verifica: km=0.70, kh=0.98, kh,y=1.00, kh,z=1.10, kcrit,m=1.00, Leff=100.3cm

Instabilità di trave: **Trascurabile**

x	Nd	Myd	Mzd	σ_{t0d}	σ_{myd}	σ_{mzd}	f_{t0d}	fmyd	fmzd	Kmod	Comb.	SF
cm	kg	kg*m	kg*m	kg/cm	kg/cm	kg/cm	kg/cm	kg/cm	kg/cm			
111.4	1324	731	53	1	4	1	115	166	182	1	(16+17)-I-1	25

Verifica a taglio (§4.4.8.1.9 - NTC)

x	Tyd	Tzd	τ_d	fvd	Kmod	Comb.	SF
cm	kg	kg	kg/cmq	kg/cmq			
0.0	21	1715	2	22	0.9	3	12

Verifica Incendio: R60(min), $d_{eff} = 4.9$ [cm], $\beta_{char} 0.70$ (mm/min), $b_{eff}=10.2$ cm, $h_{eff}=65.1$ cm

Verifica a tensoflessione (§4.4.8.1.8 - NTC, §7.6.1.2.3 - CNR DT 206/2018)

Parametri di verifica: $k_m=0.70$, $k_{h,y}=1.00$, $k_{h,z}=1.00$, $k_{crit,m}=1.00$, $L_{eff}=100.3$ cm

Instabilità di trave: **Trascurabile**

x	Nd	Myd	Mzd	σ_{0d}	σ_{myd}	σ_{mzd}	f_{t0d}	f_{myd}	f_{mzd}	Kmod	Comb.	SF
cm	kg	kg*m	kg*m	kg/cm q	kg/cm q	kg/cm q	kg/cm q	kg/cm q	kg/cm q			
111.4	6	544	16	0	8	1	195	276	276	1	51	32

Verifica a taglio (§4.4.8.1.9 - NTC)

x	Tyd	Tzd	τ_d	fvd	Kmod	Comb.	SF
cm	kg	kg	kg/cmq	kg/cmq			
0.0	7	546	1	40	1	51	33

Asta: 106 [0,0]: Sez. R: $b=20.0$ cm, $h=70.0$ cm, $L=111.4$ cm, Crit.Prog: Legno_Tenso-Pressoflessione: **Verificato**

Verifica a pressoflessione (§4.4.8.1.8 - NTC, §7.6.1.2.3 - CNR DT 206/2018)

Parametri di verifica: $k_m=0.70$, $k_{h,y}=1.00$, $k_{h,z}=1.10$, $k_{crit,c}=1.00$, $k_{crit,m}=1.00$, $L_o=111.4$ cm, $L_{eff}=100.3$ cm

Instabilità di colonna: **Trascurabile**, Instabilità di trave: **Trascurabile**

x	Nd	Myd	Mzd	σ_{0d}	σ_{myd}	σ_{mzd}	f_{c0d}	f_{myd}	f_{mzd}	Kmod	Comb.	SF
cm	kg	kg*m	kg*m	kg/cm q	kg/cm q	kg/cm q	kg/cm q	kg/cm q	kg/cm q			
44.6	-576	1973	58	-0	12	1	133	149	164	0.9	3	12

Verifica a tensoflessione (§4.4.8.1.8 - NTC, §7.6.1.2.3 - CNR DT 206/2018)

Parametri di verifica: $k_m=0.70$, $k_{h,y}=1.00$, $k_{h,z}=1.10$, $k_{crit,m}=1.00$, $L_{eff}=100.3$ cm

Instabilità di trave: **Trascurabile**

x	Nd	Myd	Mzd	σ_{0d}	σ_{myd}	σ_{mzd}	f_{t0d}	f_{myd}	f_{mzd}	Kmod	Comb.	SF
cm	kg	kg*m	kg*m	kg/cm q	kg/cm q	kg/cm q	kg/cm q	kg/cm q	kg/cm q			
0.0	1249	737	45	1	5	1	115	166	182	1	(16+17)-I-1	26

Verifica a taglio (§4.4.8.1.9 - NTC)

x	Tyd	Tzd	τ_d	fvd	Kmod	Comb.	SF
cm	kg	kg	kg/cmq	kg/cmq			
111.4	24	350	0	24	1	(16+17)-II-1	64

Verifica Incendio: R60(min), $d_{eff} = 4.9$ [cm], $\beta_{char} 0.70$ (mm/min), $b_{eff}=10.2$ cm, $h_{eff}=65.1$ cm

Verifica a pressoflessione (§4.4.8.1.8 - NTC, §7.6.1.2.3 - CNR DT 206/2018)

Parametri di verifica: $k_m=0.70$, $k_{h,y}=1.00$, $k_{h,z}=1.00$, $k_{crit,c}=0.96$, $k_{crit,m}=1.00$, $L_o=111.4$ cm, $L_{eff}=100.3$ cm

Instabilità di colonna: **Instabilità nel piano XY**, Instabilità di trave: **Trascurabile**

x	Nd	Myd	Mzd	σ_{0d}	σ_{myd}	σ_{mzd}	f_{c0d}	f_{myd}	f_{mzd}	Kmod	Comb.	SF
cm	kg	kg*m	kg*m	kg/cm q	kg/cm q	kg/cm q	kg/cm q	kg/cm q	kg/cm q			
44.6	-1	589	17	-0	8	1	247	276	276	1	51	30

Verifica a taglio (§4.4.8.1.9 - NTC)

x	Tyd	Tzd	τ_d	fvd	Kmod	Comb.	SF
cm	kg	kg	kg/cmq	kg/cmq			
111.4	0	67	0	40	1	51	>100

Asta: 106 [0,0]: Sez. R: $b=20.0$ cm, $h=70.0$ cm, $L=111.4$ cm, Crit.Prog: Legno_Tenso-Pressoflessione: **Verificato**

Verifica a pressoflessione (§4.4.8.1.8 - NTC, §7.6.1.2.3 - CNR DT 206/2018)

Parametri di verifica: $k_m=0.70$, $k_{h,y}=1.00$, $k_{h,z}=1.10$, $k_{crit,c}=1.00$, $k_{crit,m}=1.00$, $L_o=111.4$ cm, $L_{eff}=100.3$ cm

Instabilità di colonna: **Trascurabile**, Instabilità di trave: **Trascurabile**

x	Nd	Myd	Mzd	σ_{0d}	σ_{myd}	σ_{mzd}	f_{c0d}	f_{myd}	f_{mzd}	Kmod	Comb.	SF
cm	kg	kg*m	kg*m	kg/cm q	kg/cm q	kg/cm q	kg/cm q	kg/cm q	kg/cm q			

x	Nd	Myd	Mzd	σ_{c0d}	σ_{myd}	σ_{mzd}	f_{c0d}	f_{myd}	f_{mzd}	Kmod	Comb.	SF
0.0	-604	2044	86	-0	13	2	133	149	164	0.9	3	11

Verifica a tensoflessione (§4.4.8.1.8 - NTC, §7.6.1.2.3 - CNR DT 206/2018)

Parametri di verifica: $k_m=0.70$, $k_h=0.98$, $k_{h,y}=1.00$, $k_{h,z}=1.10$, $k_{crit,m}=1.00$, $L_{eff}=100.3\text{cm}$

Instabilità di trave: **Trascurabile**

x	Nd	Myd	Mzd	σ_{t0d}	σ_{myd}	σ_{mzd}	f_{t0d}	f_{myd}	f_{mzd}	Kmod	Comb.	SF
cm	kg	kg*m	kg*m	kg/cm q	kg/cm q	kg/cm q	kg/cm q	kg/cm q	kg/cm q			
0.0	781	779	91	1	5	2	115	166	182	1	(16+17)-II-2	24

Verifica a taglio (§4.4.8.1.9 - NTC)

x	Tyd	Tzd	τ_d	fvd	Kmod	Comb.	SF
cm	kg	kg	kg/cmq	kg/cmq			
111.4	97	1784	2	22	0.9	3	11

Verifica Incendio: R60(min), $d_{eff} = 4.9$ [cm], $\beta_{char} 0.70$ (mm/min), $b_{eff}=10.2$ cm, $h_{eff}=65.1$ cm

Verifica a pressoflessione (§4.4.8.1.8 - NTC, §7.6.1.2.3 - CNR DT 206/2018)

Parametri di verifica: $k_m=0.70$, $k_h=1.00$, $k_{h,y}=1.00$, $k_{h,z}=1.00$, $k_{crit,c}=0.96$, $k_{crit,m}=1.00$, $L_o=111.4\text{cm}$, $L_{eff}=100.3\text{cm}$

Instabilità di colonna: **Instabilità nel piano XY**, Instabilità di trave: **Trascurabile**

x	Nd	Myd	Mzd	σ_{c0d}	σ_{myd}	σ_{mzd}	f_{c0d}	f_{myd}	f_{mzd}	Kmod	Comb.	SF
cm	kg	kg*m	kg*m	kg/cm q	kg/cm q	kg/cm q	kg/cm q	kg/cm q	kg/cm q			
0.0	-13	596	25	-0	8	2	247	276	276	1	51	28

Verifica a taglio (§4.4.8.1.9 - NTC)

x	Tyd	Tzd	τ_d	fvd	Kmod	Comb.	SF
cm	kg	kg	kg/cmq	kg/cmq			
111.4	28	560	1	40	1	51	32

Asta: 106 [0,151]: Sez. R: $b=20.0$ cm, $h=70.0$ cm, $L=111.4$ cm, Crit.Prog: Legno_Tenso-Pressoflessione: **Verificato**

Verifica a pressoflessione (§4.4.8.1.8 - NTC, §7.6.1.2.3 - CNR DT 206/2018)

Parametri di verifica: $k_m=0.70$, $k_h=1.00$, $k_{h,y}=1.00$, $k_{h,z}=1.10$, $k_{crit,c}=1.00$, $k_{crit,m}=1.00$, $L_o=111.4\text{cm}$, $L_{eff}=100.3\text{cm}$

Instabilità di colonna: **Trascurabile**, Instabilità di trave: **Trascurabile**

x	Nd	Myd	Mzd	σ_{c0d}	σ_{myd}	σ_{mzd}	f_{c0d}	f_{myd}	f_{mzd}	Kmod	Comb.	SF
cm	kg	kg*m	kg*m	kg/cm q	kg/cm q	kg/cm q	kg/cm q	kg/cm q	kg/cm q			
111.4	-600	3417	197	-0	21	4	133	149	164	0.9	3	6.3

Verifica a tensoflessione (§4.4.8.1.8 - NTC, §7.6.1.2.3 - CNR DT 206/2018)

Parametri di verifica: $k_m=0.70$, $k_h=0.98$, $k_{h,y}=1.00$, $k_{h,z}=1.10$, $k_{crit,m}=1.00$, $L_{eff}=100.3\text{cm}$

Instabilità di trave: **Trascurabile**

x	Nd	Myd	Mzd	σ_{t0d}	σ_{myd}	σ_{mzd}	f_{t0d}	f_{myd}	f_{mzd}	Kmod	Comb.	SF
cm	kg	kg*m	kg*m	kg/cm q	kg/cm q	kg/cm q	kg/cm q	kg/cm q	kg/cm q			
111.4	1089	1844	39	1	11	1	115	166	182	1	(16+17)-I-1	13

Verifica a taglio (§4.4.8.1.9 - NTC)

x	Tyd	Tzd	τ_d	fvd	Kmod	Comb.	SF
cm	kg	kg	kg/cmq	kg/cmq			
111.4	171	3328	4	22	0.9	3	6.1

Verifica Incendio: R60(min), $d_{eff} = 4.9$ [cm], $\beta_{char} 0.70$ (mm/min), $b_{eff}=10.2$ cm, $h_{eff}=65.1$ cm

Verifica a pressoflessione (§4.4.8.1.8 - NTC, §7.6.1.2.3 - CNR DT 206/2018)

Parametri di verifica: $k_m=0.70$, $k_h=1.00$, $k_{h,y}=1.00$, $k_{h,z}=1.00$, $k_{crit,c}=0.96$, $k_{crit,m}=1.00$, $L_o=111.4\text{cm}$, $L_{eff}=100.3\text{cm}$

Instabilità di colonna: **Instabilità nel piano XY**, Instabilità di trave: **Trascurabile**

x	Nd	Myd	Mzd	σ_{c0d}	σ_{myd}	σ_{mzd}	f_{c0d}	f_{myd}	f_{mzd}	Kmod	Comb.	SF
cm	kg	kg*m	kg*m	kg/cm q	kg/cm q	kg/cm q	kg/cm q	kg/cm q	kg/cm q			

x	Nd	Myd	Mzd	σ_{cd}	σ_{myd}	σ_{mzd}	f_{cd}	f_{myd}	f_{mzd}	Kmod	Comb.	SF
111.4	-16	1042	54	-0	14	5	247	276	276	1	51	15

Verifica a taglio (§4.4.8.1.9 - NTC)

x	Tyd	Tzd	τ_d	fvd	Kmod	Comb.	SF
cm	kg	kg	kg/cmq	kg/cmq			
111.4	46	1034	2	40	1	51	17

Asta: 181 [0,0]: Sez. R: b=12.0 cm, h=24.0 cm, L=276.0 cm, Crit.Prog: Legno_Arcareccio: **Verificato**

Verifica a flessione (§4.4.8.1.6, §4.4.8.1.1 - NTC)

Parametri di verifica: $k_m=0.70$, $k_{h,y}=1.10$, $k_{h,z}=1.10$, $k_{crit,m}=1.00$, $L_{eff}=248.4\text{cm}$

Instabilità di trave: **Trascurabile**

x	Myd	Mzd	σ_{myd}	σ_{mzd}	f_{myd}	f_{mzd}	Kmod	Comb.	SF
cm	kg*m	kg*m	kg/cm ²	kg/cm ²	kg/cm ²	kg/cm ²			
276.0	400	0	35	0	163	164	0.9	3	4.7

Verifica a taglio (§4.4.8.1.9 - NTC)

x	Tyd	Tzd	τ_d	fvd	Kmod	Comb.	SF
cm	kg	kg	kg/cm ²	kg/cm ²			
276.0	4	594	3	22	0.9	3	7.0

Verifica Incendio: R30(min), $d_{eff} = 2.2$ [cm], $\beta_{char} 0.50$ (mm/min), $b_{eff}=7.6$ cm, $h_{eff}=21.8$ cm

Verifica a flessione (§4.4.8.1.6, §4.4.8.1.1 - NTC)

Parametri di verifica: $k_m=0.70$, $k_{h,y}=1.00$, $k_{h,z}=1.00$, $k_{crit,m}=1.00$, $L_{eff}=248.4\text{cm}$

Instabilità di trave: **Trascurabile**

x	Myd	Mzd	σ_{myd}	σ_{mzd}	f_{myd}	f_{mzd}	Kmod	Comb.	SF
cm	kg*m	kg*m	kg/cm ²	kg/cm ²	kg/cm ²	kg/cm ²			
276.0	105	0	17	0	276	276	1	51	16

Verifica a taglio (§4.4.8.1.9 - NTC)

x	Tyd	Tzd	τ_d	fvd	Kmod	Comb.	SF
cm	kg	kg	kg/cm ²	kg/cm ²			
276.0	1	152	1	40	1	51	29

Asta: 182 [0,0]: Sez. R: b=12.0 cm, h=24.0 cm, L=276.1 cm, Crit.Prog: Legno_Arcareccio: **Verificato**

Verifica a flessione (§4.4.8.1.6, §4.4.8.1.1 - NTC)

Parametri di verifica: $k_m=0.70$, $k_{h,y}=1.10$, $k_{h,z}=1.10$, $k_{crit,m}=1.00$, $L_{eff}=248.4\text{cm}$

Instabilità di trave: **Trascurabile**

x	Myd	Mzd	σ_{myd}	σ_{mzd}	f_{myd}	f_{mzd}	Kmod	Comb.	SF
cm	kg*m	kg*m	kg/cm ²	kg/cm ²	kg/cm ²	kg/cm ²			
276.1	449	0	39	0	163	164	0.9	3	4.2

Verifica a taglio (§4.4.8.1.9 - NTC)

x	Tyd	Tzd	τ_d	fvd	Kmod	Comb.	SF
cm	kg	kg	kg/cm ²	kg/cm ²			
276.1	5	616	3	22	0.9	3	6.8

Verifica Incendio: R30(min), $d_{eff} = 2.2$ [cm], $\beta_{char} 0.50$ (mm/min), $b_{eff}=7.6$ cm, $h_{eff}=21.8$ cm

Verifica a flessione (§4.4.8.1.6, §4.4.8.1.1 - NTC)

Parametri di verifica: $k_m=0.70$, $k_{h,y}=1.00$, $k_{h,z}=1.00$, $k_{crit,m}=1.00$, $L_{eff}=248.4\text{cm}$

Instabilità di trave: **Trascurabile**

x	Myd	Mzd	σ_{myd}	σ_{mzd}	f_{myd}	f_{mzd}	Kmod	Comb.	SF
cm	kg*m	kg*m	kg/cm ²	kg/cm ²	kg/cm ²	kg/cm ²			
276.1	116	0	19	0	276	276	1	51	14

Verifica a taglio (§4.4.8.1.9 - NTC)

x	Tyd	Tzd	τ_d	fvd	Kmod	Comb.	SF
cm	kg	kg	kg/cm ²	kg/cm ²			

x	Tyd	Tzd	τ_d	fvd	Kmod	Comb.	SF
276.1	1	157	1	40	1	51	28

Asta: 183 [0,0]: Sez. R: b=12.0 cm, h=24.0 cm, L=276.1 cm, Crit.Prog: Legno_Arcareccio: **Verificato**

Verifica a flessione (§4.4.8.1.6, §4.4.8.1.1 - NTC)

Parametri di verifica: $k_m=0.70$, $k_{h,y}=1.10$, $k_{h,z}=1.10$, $k_{crit,m}=1.00$, $L_{eff}=248.5\text{cm}$

Instabilità di trave: **Trascurabile**

x	Myd	Mzd	σ_{myd}	σ_{mzd}	fmyd	fmzd	Kmod	Comb.	SF
cm	kg*m	kg*m	kg/cmq	kg/cmq	kg/cmq	kg/cmq			
276.1	471	0	41	0	163	164	0.9	3	4.0

Verifica a taglio (§4.4.8.1.9 - NTC)

x	Tyd	Tzd	τ_d	fvd	Kmod	Comb.	SF
cm	kg	kg	kg/cmq	kg/cmq			
276.1	4	629	3	22	0.9	3	6.6

Verifica Incendio: R30(min), $d_{eff} = 2.2$ [cm], $\beta_{char} 0.50$ (mm/min), $b_{eff}=7.6$ cm, $h_{eff}=21.8$ cm

Verifica a flessione (§4.4.8.1.6, §4.4.8.1.1 - NTC)

Parametri di verifica: $k_m=0.70$, $k_{h,y}=1.00$, $k_{h,z}=1.00$, $k_{crit,m}=1.00$, $L_{eff}=248.5\text{cm}$

Instabilità di trave: **Trascurabile**

x	Myd	Mzd	σ_{myd}	σ_{mzd}	fmyd	fmzd	Kmod	Comb.	SF
cm	kg*m	kg*m	kg/cmq	kg/cmq	kg/cmq	kg/cmq			
276.1	121	0	20	0	276	276	1	51	14

Verifica a taglio (§4.4.8.1.9 - NTC)

x	Tyd	Tzd	τ_d	fvd	Kmod	Comb.	SF
cm	kg	kg	kg/cmq	kg/cmq			
276.1	1	160	1	40	1	51	28

Asta: 184 [0,0]: Sez. R: b=12.0 cm, h=24.0 cm, L=276.1 cm, Crit.Prog: Legno_Arcareccio: **Verificato**

Verifica a flessione (§4.4.8.1.6, §4.4.8.1.1 - NTC)

Parametri di verifica: $k_m=0.70$, $k_{h,y}=1.10$, $k_{h,z}=1.10$, $k_{crit,m}=1.00$, $L_{eff}=248.5\text{cm}$

Instabilità di trave: **Trascurabile**

x	Myd	Mzd	σ_{myd}	σ_{mzd}	fmyd	fmzd	Kmod	Comb.	SF
cm	kg*m	kg*m	kg/cmq	kg/cmq	kg/cmq	kg/cmq			
276.1	445	0	39	0	163	164	0.9	3	4.2

Verifica a taglio (§4.4.8.1.9 - NTC)

x	Tyd	Tzd	τ_d	fvd	Kmod	Comb.	SF
cm	kg	kg	kg/cmq	kg/cmq			
276.1	0	622	3	22	0.9	3	6.7

Verifica Incendio: R30(min), $d_{eff} = 2.2$ [cm], $\beta_{char} 0.50$ (mm/min), $b_{eff}=7.6$ cm, $h_{eff}=21.8$ cm

Verifica a flessione (§4.4.8.1.6, §4.4.8.1.1 - NTC)

Parametri di verifica: $k_m=0.70$, $k_{h,y}=1.00$, $k_{h,z}=1.00$, $k_{crit,m}=1.00$, $L_{eff}=248.5\text{cm}$

Instabilità di trave: **Trascurabile**

x	Myd	Mzd	σ_{myd}	σ_{mzd}	fmyd	fmzd	Kmod	Comb.	SF
cm	kg*m	kg*m	kg/cmq	kg/cmq	kg/cmq	kg/cmq			
276.1	115	0	19	0	276	276	1	51	14

Verifica a taglio (§4.4.8.1.9 - NTC)

x	Tyd	Tzd	τ_d	fvd	Kmod	Comb.	SF
cm	kg	kg	kg/cmq	kg/cmq			
276.1	1	158	1	40	1	51	28

Asta: 109 [135,0]: Sez. R: b=20.0 cm, h=70.0 cm, L=77.6 cm, Crit.Prog: Legno_Tenso-Pressoflessione: **Verificato**

Verifica a pressoflessione (§4.4.8.1.8 - NTC, §7.6.1.2.3 - CNR DT 206/2018)

Parametri di verifica: $k_m=0.70$, $k_{h,y}=1.00$, $k_{h,z}=1.10$, $k_{crit,c}=1.00$, $k_{crit,m}=1.00$, $L_o=77.6\text{cm}$, $L_{eff}=69.8\text{cm}$

Instabilità di colonna: **Trascurabile**, Instabilità di trave: **Trascurabile**

x	Nd	Myd	Mzd	σ_{c0d}	σ_{myd}	σ_{mzd}	f_{c0d}	f_{myd}	f_{mzd}	Kmod	Comb.	SF
cm	kg	kg*m	kg*m	kg/cm q	kg/cm q	kg/cm q	kg/cm q	kg/cm q	kg/cm q			
0.0	-1519	7268	275	-1	44	6	133	149	164	0.9	3	3.1

Verifica a tensoflessione (§4.4.8.1.8 - NTC, §7.6.1.2.3 - CNR DT 206/2018)

Parametri di verifica: $k_m=0.70$, $k_h=0.98$, $k_{h,y}=1.00$, $k_{h,z}=1.10$, $k_{crit,m}=1.00$, $L_{eff}=69.8\text{cm}$

Instabilità di trave: **Trascurabile**

x	Nd	Myd	Mzd	σ_{t0d}	σ_{myd}	σ_{mzd}	f_{t0d}	f_{myd}	f_{mzd}	Kmod	Comb.	SF
cm	kg	kg*m	kg*m	kg/cm q	kg/cm q	kg/cm q	kg/cm q	kg/cm q	kg/cm q			
0.0	1706	844	372	1	5	8	115	166	182	1	(16+17)-II-1	13

Verifica a taglio (§4.4.8.1.9 - NTC)

x	Tyd	Tzd	τ_d	fvd	Kmod	Comb.	SF
cm	kg	kg	kg/cmq	kg/cmq			
0.0	367	5624	6	22	0.9	3	3.6

Verifica Incendio: R60(min), $d_{eff} = 4.9$ [cm], $\beta_{char} 0.70$ (mm/min), $b_{eff}=10.2$ cm, $h_{eff}=65.1$ cm

Verifica a pressoflessione (§4.4.8.1.8 - NTC, §7.6.1.2.3 - CNR DT 206/2018)

Parametri di verifica: $k_m=0.70$, $k_{h,y}=1.00$, $k_{h,z}=1.00$, $k_{crit,c}=0.99$, $k_{crit,m}=1.00$, $L_o=77.6\text{cm}$, $L_{eff}=69.8\text{cm}$

Instabilità di colonna: **Instabilità nel piano XY**, Instabilità di trave: **Trascurabile**

x	Nd	Myd	Mzd	σ_{c0d}	σ_{myd}	σ_{mzd}	f_{c0d}	f_{myd}	f_{mzd}	Kmod	Comb.	SF
cm	kg	kg*m	kg*m	kg/cm q	kg/cm q	kg/cm q	kg/cm q	kg/cm q	kg/cm q			
0.0	-323	2072	74	-0	29	7	247	276	276	1	51	8.1

Verifica a taglio (§4.4.8.1.9 - NTC)

x	Tyd	Tzd	τ_d	fvd	Kmod	Comb.	SF
cm	kg	kg	kg/cmq	kg/cmq			
0.0	99	1643	4	40	1	51	11

Asta: 109 [0,0]: Sez. R: $b=20.0$ cm, $h=70.0$ cm, $L=77.6$ cm, Crit.Prog: Legno_Tenso-Pressoflessione: **Verificato**

Verifica a pressoflessione (§4.4.8.1.8 - NTC, §7.6.1.2.3 - CNR DT 206/2018)

Parametri di verifica: $k_m=0.70$, $k_{h,y}=1.00$, $k_{h,z}=1.10$, $k_{crit,c}=1.00$, $k_{crit,m}=1.00$, $L_o=77.6\text{cm}$, $L_{eff}=69.8\text{cm}$

Instabilità di colonna: **Trascurabile**, Instabilità di trave: **Trascurabile**

x	Nd	Myd	Mzd	σ_{c0d}	σ_{myd}	σ_{mzd}	f_{c0d}	f_{myd}	f_{mzd}	Kmod	Comb.	SF
cm	kg	kg*m	kg*m	kg/cm q	kg/cm q	kg/cm q	kg/cm q	kg/cm q	kg/cm q			
0.0	-1339	3134	7	-1	19	0	133	149	164	0.9	3	7.7

Verifica a tensoflessione (§4.4.8.1.8 - NTC, §7.6.1.2.3 - CNR DT 206/2018)

Parametri di verifica: $k_m=0.70$, $k_h=0.98$, $k_{h,y}=1.00$, $k_{h,z}=1.10$, $k_{crit,m}=1.00$, $L_{eff}=69.8\text{cm}$

Instabilità di trave: **Trascurabile**

x	Nd	Myd	Mzd	σ_{t0d}	σ_{myd}	σ_{mzd}	f_{t0d}	f_{myd}	f_{mzd}	Kmod	Comb.	SF
cm	kg	kg*m	kg*m	kg/cm q	kg/cm q	kg/cm q	kg/cm q	kg/cm q	kg/cm q			
77.6	1761	736	74	1	5	2	115	166	182	1	(16+17)-II-1	23

Verifica a taglio (§4.4.8.1.9 - NTC)

x	Tyd	Tzd	τ_d	fvd	Kmod	Comb.	SF
cm	kg	kg	kg/cmq	kg/cmq			
0.0	46	4450	5	22	0.9	3	4.6

Verifica Incendio: R60(min), $d_{eff} = 4.9$ [cm], $\beta_{char} 0.70$ (mm/min), $b_{eff}=10.2$ cm, $h_{eff}=65.1$ cm

Verifica a pressoflessione (§4.4.8.1.8 - NTC, §7.6.1.2.3 - CNR DT 206/2018)

Parametri di verifica: $k_m=0.70$, $k_{h,y}=1.00$, $k_{h,z}=1.00$, $k_{crit,c}=0.99$, $k_{crit,m}=1.00$, $L_o=77.6\text{cm}$, $L_{eff}=69.8\text{cm}$

Instabilità di colonna: **Instabilità nel piano XY**, Instabilità di trave: **Trascurabile**

x	Nd	Myd	Mzd	σ_{c0d}	σ_{myd}	σ_{mzd}	f_{c0d}	f_{myd}	f_{mzd}	Kmod	Comb.	SF
cm	kg	kg*m	kg*m	kg/cm q	kg/cm q	kg/cm q	kg/cm q	kg/cm q	kg/cm q			
0.0	-274	878	2	-0	12	0	247	276	276	1	51	22

Verifica a taglio (§4.4.8.1.9 - NTC)

x	Tyd	Tzd	τ_d	fvd	Kmod	Comb.	SF
cm	kg	kg	kg/cmq	kg/cmq			
0.0	11	1295	3	40	1	51	14

Asta: 109 [0,0]: Sez. R: $b=20.0\text{ cm}$, $h=70.0\text{ cm}$, $L=77.6\text{ cm}$, Crit.Prog: Legno_Tenso-Pressoflessione:
Verificato

Verifica a pressoflessione (§4.4.8.1.8 - NTC, §7.6.1.2.3 - CNR DT 206/2018)

Parametri di verifica: $k_m=0.70$, $k_{h,y}=1.00$, $k_{h,z}=1.10$, $k_{crit,c}=1.00$, $k_{crit,m}=1.00$, $L_o=77.6\text{cm}$, $L_{eff}=69.8\text{cm}$

Instabilità di colonna: **Trascurabile**, Instabilità di trave: **Trascurabile**

x	Nd	Myd	Mzd	σ_{c0d}	σ_{myd}	σ_{mzd}	f_{c0d}	f_{myd}	f_{mzd}	Kmod	Comb.	SF
cm	kg	kg*m	kg*m	kg/cm q	kg/cm q	kg/cm q	kg/cm q	kg/cm q	kg/cm q			
77.6	-1302	2594	19	-1	16	0	133	149	164	0.9	3	9.2

Verifica a tensoflessione (§4.4.8.1.8 - NTC, §7.6.1.2.3 - CNR DT 206/2018)

Parametri di verifica: $k_m=0.70$, $k_{h,y}=0.98$, $k_{h,z}=1.10$, $k_{crit,m}=1.00$, $L_{eff}=69.8\text{cm}$

Instabilità di trave: **Trascurabile**

x	Nd	Myd	Mzd	σ_{t0d}	σ_{myd}	σ_{mzd}	f_{t0d}	f_{myd}	f_{mzd}	Kmod	Comb.	SF
cm	kg	kg*m	kg*m	kg/cm q	kg/cm q	kg/cm q	kg/cm q	kg/cm q	kg/cm q			
77.6	1159	1345	37	1	8	1	115	166	182	1	(16+17)-I-1	17

Verifica a taglio (§4.4.8.1.9 - NTC)

x	Tyd	Tzd	τ_d	fvd	Kmod	Comb.	SF
cm	kg	kg	kg/cmq	kg/cmq			
0.0	28	3273	4	22	0.9	3	6.2

Verifica Incendio: R60(min), $d_{eff} = 4.9\text{ [cm]}$, $\beta_{char} = 0.70\text{ (mm/min)}$, $b_{eff}=10.2\text{ cm}$, $h_{eff}=65.1\text{ cm}$

Verifica a pressoflessione (§4.4.8.1.8 - NTC, §7.6.1.2.3 - CNR DT 206/2018)

Parametri di verifica: $k_m=0.70$, $k_{h,y}=1.00$, $k_{h,z}=1.00$, $k_{crit,c}=0.99$, $k_{crit,m}=1.00$, $L_o=77.6\text{cm}$, $L_{eff}=69.8\text{cm}$

Instabilità di colonna: **Instabilità nel piano XY**, Instabilità di trave: **Trascurabile**

x	Nd	Myd	Mzd	σ_{c0d}	σ_{myd}	σ_{mzd}	f_{c0d}	f_{myd}	f_{mzd}	Kmod	Comb.	SF
cm	kg	kg*m	kg*m	kg/cm q	kg/cm q	kg/cm q	kg/cm q	kg/cm q	kg/cm q			
77.6	-264	755	5	-0	10	0	247	276	276	1	51	25

Verifica a taglio (§4.4.8.1.9 - NTC)

x	Tyd	Tzd	τ_d	fvd	Kmod	Comb.	SF
cm	kg	kg	kg/cmq	kg/cmq			
0.0	7	949	2	40	1	51	19

Asta: 109 [0,0]: Sez. R: $b=20.0\text{ cm}$, $h=70.0\text{ cm}$, $L=77.6\text{ cm}$, Crit.Prog: Legno_Tenso-Pressoflessione:
Verificato

Verifica a pressoflessione (§4.4.8.1.8 - NTC, §7.6.1.2.3 - CNR DT 206/2018)

Parametri di verifica: $k_m=0.70$, $k_{h,y}=1.00$, $k_{h,z}=1.10$, $k_{crit,c}=1.00$, $k_{crit,m}=1.00$, $L_o=77.6\text{cm}$, $L_{eff}=69.8\text{cm}$

Instabilità di colonna: **Trascurabile**, Instabilità di trave: **Trascurabile**

x	Nd	Myd	Mzd	σ_{c0d}	σ_{myd}	σ_{mzd}	f_{c0d}	f_{myd}	f_{mzd}	Kmod	Comb.	SF
cm	kg	kg*m	kg*m	kg/cm q	kg/cm q	kg/cm q	kg/cm q	kg/cm q	kg/cm q			
77.6	-1318	4051	20	-1	25	0	133	149	164	0.9	3	5.9

Verifica a tensoflessione (§4.4.8.1.8 - NTC, §7.6.1.2.3 - CNR DT 206/2018)

Parametri di verifica: $k_m=0.70$, $k_h=0.98$, $k_{h,y}=1.00$, $k_{h,z}=1.10$, $k_{crit,m}=1.00$, $L_{eff}=69.8\text{cm}$

Instabilità di trave: **Trascurabile**

x	Nd	Myd	Mzd	σ_{t0d}	σ_{myd}	σ_{mzd}	f_{t0d}	f_{myd}	f_{mzd}	Kmod	Comb.	SF
cm	kg	kg*m	kg*m	kg/cm q	kg/cm q	kg/cm q	kg/cm q	kg/cm q	kg/cm q			
77.6	1542	1463	77	1	9	2	115	166	182	1	(16+17)-II-1	14

Verifica a taglio (§4.4.8.1.9 - NTC)

x	Tyd	Tzd	τ_d	fvd	Kmod	Comb.	SF
cm	kg	kg	kg/cmq	kg/cmq			
0.0	4	2125	2	22	0.9	3	9.5

Verifica Incendio: R60(min), $d_{eff} = 4.9$ [cm], $\beta_{char} 0.70$ (mm/min), $b_{eff}=10.2$ cm, $h_{eff}=65.1$ cm

Verifica a pressoflessione (§4.4.8.1.8 - NTC, §7.6.1.2.3 - CNR DT 206/2018)

Parametri di verifica: $k_m=0.70$, $k_h=1.00$, $k_{h,y}=1.00$, $k_{h,z}=1.00$, $k_{crit,c}=0.99$, $k_{crit,m}=1.00$, $L_o=77.6\text{cm}$, $L_{eff}=69.8\text{cm}$

Instabilità di colonna: **Instabilità nel piano XY**, Instabilità di trave: **Trascurabile**

x	Nd	Myd	Mzd	σ_{c0d}	σ_{myd}	σ_{mzd}	f_{c0d}	f_{myd}	f_{mzd}	Kmod	Comb.	SF
cm	kg	kg*m	kg*m	kg/cm q	kg/cm q	kg/cm q	kg/cm q	kg/cm q	kg/cm q			
77.6	-267	1161	5	-0	16	0	247	276	276	1	51	16

Verifica a taglio (§4.4.8.1.9 - NTC)

x	Tyd	Tzd	τ_d	fvd	Kmod	Comb.	SF
cm	kg	kg	kg/cmq	kg/cmq			
0.0	1	613	1	40	1	51	29

Asta: 109 [0,0]: Sez. R: $b=20.0$ cm, $h=70.0$ cm, $L=77.6$ cm, Crit.Prog: Legno_Tenso-Pressoflessione: **Verificato**

Verifica a pressoflessione (§4.4.8.1.8 - NTC, §7.6.1.2.3 - CNR DT 206/2018)

Parametri di verifica: $k_m=0.70$, $k_h=1.00$, $k_{h,y}=1.00$, $k_{h,z}=1.10$, $k_{crit,c}=1.00$, $k_{crit,m}=1.00$, $L_o=77.6\text{cm}$, $L_{eff}=69.8\text{cm}$

Instabilità di colonna: **Trascurabile**, Instabilità di trave: **Trascurabile**

x	Nd	Myd	Mzd	σ_{c0d}	σ_{myd}	σ_{mzd}	f_{c0d}	f_{myd}	f_{mzd}	Kmod	Comb.	SF
cm	kg	kg*m	kg*m	kg/cm q	kg/cm q	kg/cm q	kg/cm q	kg/cm q	kg/cm q			
77.6	-1315	4708	36	-1	29	1	133	149	164	0.9	3	5.1

Verifica a tensoflessione (§4.4.8.1.8 - NTC, §7.6.1.2.3 - CNR DT 206/2018)

Parametri di verifica: $k_m=0.70$, $k_h=0.98$, $k_{h,y}=1.00$, $k_{h,z}=1.10$, $k_{crit,m}=1.00$, $L_{eff}=69.8\text{cm}$

Instabilità di trave: **Trascurabile**

x	Nd	Myd	Mzd	σ_{t0d}	σ_{myd}	σ_{mzd}	f_{t0d}	f_{myd}	f_{mzd}	Kmod	Comb.	SF
cm	kg	kg*m	kg*m	kg/cm q	kg/cm q	kg/cm q	kg/cm q	kg/cm q	kg/cm q			
77.6	1439	1713	72	1	10	2	115	166	182	1	(16+17)-II-1	13

Verifica a taglio (§4.4.8.1.9 - NTC)

x	Tyd	Tzd	τ_d	fvd	Kmod	Comb.	SF
cm	kg	kg	kg/cmq	kg/cmq			
0.0	23	1045	1	22	0.9	3	19

Verifica Incendio: R60(min), $d_{eff} = 4.9$ [cm], $\beta_{char} 0.70$ (mm/min), $b_{eff}=10.2$ cm, $h_{eff}=65.1$ cm

Verifica a pressoflessione (§4.4.8.1.8 - NTC, §7.6.1.2.3 - CNR DT 206/2018)

Parametri di verifica: $k_m=0.70$, $k_h=1.00$, $k_{h,y}=1.00$, $k_{h,z}=1.00$, $k_{crit,c}=0.99$, $k_{crit,m}=1.00$, $L_o=77.6\text{cm}$, $L_{eff}=69.8\text{cm}$

Instabilità di colonna: **Instabilità nel piano XY**, Instabilità di trave: **Trascurabile**

x	Nd	Myd	Mzd	σ_{c0d}	σ_{myd}	σ_{mzd}	f_{c0d}	f_{myd}	f_{mzd}	Kmod	Comb.	SF
cm	kg	kg*m	kg*m	kg/cm q	kg/cm q	kg/cm q	kg/cm q	kg/cm q	kg/cm q			
77.6	-264	1335	9	-0	19	1	247	276	276	1	51	14

Verifica a taglio (§4.4.8.1.9 - NTC)

x	Tyd	Tzd	τ_d	fvd	Kmod	Comb.	SF
cm	kg	kg	kg/cmq	kg/cmq			
0.0	6	301	1	40	1	51	59

Asta: 109 [0,0]: Sez. R: b=20.0 cm, h=70.0 cm, L=77.6 cm, Crit.Prog: Legno_Tenso-Pressoflessione:
Verificato

Verifica a pressoflessione (§4.4.8.1.8 - NTC, §7.6.1.2.3 - CNR DT 206/2018)

Parametri di verifica: km=0.70, kh,y=1.00, kh,z=1.10, kcrit,c=1.00, kcrit,m=1.00, Lo=77.6cm, Leff=69.8cm

Instabilità di colonna: **Trascurabile**, Instabilità di trave: **Trascurabile**

x	Nd	Myd	Mzd	σ_{c0d}	σ_{myd}	σ_{mzd}	f_{c0d}	f_{myd}	f_{mzd}	Kmod	Comb.	SF
cm	kg	kg*m	kg*m	kg/cm q	kg/cm q	kg/cm q	kg/cm q	kg/cm q	kg/cm q			
77.6	-1223	4663	47	-1	29	1	133	149	164	0.9	3	5.1

Verifica a tensoflessione (§4.4.8.1.8 - NTC, §7.6.1.2.3 - CNR DT 206/2018)

Parametri di verifica: km=0.70, kh=0.98, kh,y=1.00, kh,z=1.10, kcrit,m=1.00, Leff=69.8cm

Instabilità di trave: **Trascurabile**

x	Nd	Myd	Mzd	σ_{t0d}	σ_{myd}	σ_{mzd}	f_{t0d}	f_{myd}	f_{mzd}	Kmod	Comb.	SF
cm	kg	kg*m	kg*m	kg/cm q	kg/cm q	kg/cm q	kg/cm q	kg/cm q	kg/cm q			
69.8	1367	1781	60	1	11	1	115	166	182	1	(16+17)-II-1	13

Verifica a taglio (§4.4.8.1.9 - NTC)

x	Tyd	Tzd	τ_d	fvd	Kmod	Comb.	SF
cm	kg	kg	kg/cmq	kg/cmq			
77.6	42	267	0	24	1	(16+17)-I-1	83

Verifica Incendio: R60(min), d_eff = 4.9 [cm], β_{char} 0.70 (mm/min), b_eff=10.2 cm, h_eff=65.1 cm

Verifica a pressoflessione (§4.4.8.1.8 - NTC, §7.6.1.2.3 - CNR DT 206/2018)

Parametri di verifica: km=0.70, kh,y=1.00, kh,z=1.00, kcrit,c=0.99, kcrit,m=1.00, Lo=77.6cm, Leff=69.8cm

Instabilità di colonna: **Instabilità nel piano XY**, Instabilità di trave: **Trascurabile**

x	Nd	Myd	Mzd	σ_{c0d}	σ_{myd}	σ_{mzd}	f_{c0d}	f_{myd}	f_{mzd}	Kmod	Comb.	SF
cm	kg	kg*m	kg*m	kg/cm q	kg/cm q	kg/cm q	kg/cm q	kg/cm q	kg/cm q			
77.6	-234	1311	13	-0	18	1	247	276	276	1	51	14

Verifica a taglio (§4.4.8.1.9 - NTC)

x	Tyd	Tzd	τ_d	fvd	Kmod	Comb.	SF
cm	kg	kg	kg/cmq	kg/cmq			
77.6	28	55	0	40	1	51	>100

Asta: 109 [0,0]: Sez. R: b=20.0 cm, h=70.0 cm, L=77.6 cm, Crit.Prog: Legno_Tenso-Pressoflessione:
Verificato

Verifica a pressoflessione (§4.4.8.1.8 - NTC, §7.6.1.2.3 - CNR DT 206/2018)

Parametri di verifica: km=0.70, kh,y=1.00, kh,z=1.10, kcrit,c=1.00, kcrit,m=1.00, Lo=77.6cm, Leff=69.8cm

Instabilità di colonna: **Trascurabile**, Instabilità di trave: **Trascurabile**

x	Nd	Myd	Mzd	σ_{c0d}	σ_{myd}	σ_{mzd}	f_{c0d}	f_{myd}	f_{mzd}	Kmod	Comb.	SF
cm	kg	kg*m	kg*m	kg/cm q	kg/cm q	kg/cm q	kg/cm q	kg/cm q	kg/cm q			
0.0	-1226	4614	48	-1	28	1	133	149	164	0.9	3	5.2

Verifica a tensoflessione (§4.4.8.1.8 - NTC, §7.6.1.2.3 - CNR DT 206/2018)

Parametri di verifica: km=0.70, kh=0.98, kh,y=1.00, kh,z=1.10, kcrit,m=1.00, Leff=69.8cm

Instabilità di trave: **Trascurabile**

x	Nd	Myd	Mzd	σ_{t0d}	σ_{myd}	σ_{mzd}	f_{t0d}	f_{myd}	f_{mzd}	Kmod	Comb.	SF
cm	kg	kg*m	kg*m	kg/cm q	kg/cm q	kg/cm q	kg/cm q	kg/cm q	kg/cm q			
0.0	960	1160	42	1	7	1	115	166	182	1	(16+17)-I-1	19

Verifica a taglio (§4.4.8.1.9 - NTC)

x	T _{yd}	T _{zd}	τ _d	f _{vd}	K _{mod}	Comb.	SF
cm	kg	kg	kg/cmq	kg/cmq			
77.6	132	1002	1	22	0.9	3	20

Verifica Incendio: R60(min), d_{eff} = 4.9 [cm], β_{char} 0.70 (mm/min), b_{eff}=10.2 cm, h_{eff}=65.1 cm

Verifica a pressoflessione (§4.4.8.1.8 - NTC, §7.6.1.2.3 - CNR DT 206/2018)

Parametri di verifica: k_m=0.70, k_{h,y}=1.00, k_{h,z}=1.00, k_{crit,c}=0.99, k_{crit,m}=1.00, L_o=77.6cm, L_{eff}=69.8cm

Instabilità di colonna: **Instabilità nel piano XY**, Instabilità di trave: **Trascurabile**

x	N _d	M _{yd}	M _{zd}	σ _{c0d}	σ _{myd}	σ _{mzd}	f _{c0d}	f _{myd}	f _{mzd}	K _{mod}	Comb.	SF
cm	kg	kg*m	kg*m	kg/cm q	kg/cm q	kg/cm q	kg/cm q	kg/cm q	kg/cm q			
0.0	-220	1303	14	-0	18	1	247	276	276	1	51	14

Verifica a taglio (§4.4.8.1.9 - NTC)

x	T _{yd}	T _{zd}	τ _d	f _{vd}	K _{mod}	Comb.	SF
cm	kg	kg	kg/cmq	kg/cmq			
77.6	39	317	1	40	1	51	56

Asta: 109 [0,0]: Sez. R: b=20.0 cm, h=70.0 cm, L=77.6 cm, Crit.Prog: Legno_Tenso-Pressoflessione: **Verificato**

Verifica a pressoflessione (§4.4.8.1.8 - NTC, §7.6.1.2.3 - CNR DT 206/2018)

Parametri di verifica: k_m=0.70, k_{h,y}=1.00, k_{h,z}=1.10, k_{crit,c}=1.00, k_{crit,m}=1.00, L_o=77.6cm, L_{eff}=69.8cm

Instabilità di colonna: **Trascurabile**, Instabilità di trave: **Trascurabile**

x	N _d	M _{yd}	M _{zd}	σ _{c0d}	σ _{myd}	σ _{mzd}	f _{c0d}	f _{myd}	f _{mzd}	K _{mod}	Comb.	SF
cm	kg	kg*m	kg*m	kg/cm q	kg/cm q	kg/cm q	kg/cm q	kg/cm q	kg/cm q			
0.0	-1128	3852	54	-1	24	1	133	149	164	0.9	3	6.1

Verifica a tensoflessione (§4.4.8.1.8 - NTC, §7.6.1.2.3 - CNR DT 206/2018)

Parametri di verifica: k_m=0.70, k_h=0.98, k_{h,y}=1.00, k_{h,z}=1.10, k_{crit,m}=1.00, L_{eff}=69.8cm

Instabilità di trave: **Trascurabile**

x	N _d	M _{yd}	M _{zd}	σ _{t0d}	σ _{myd}	σ _{mzd}	f _{t0d}	f _{myd}	f _{mzd}	K _{mod}	Comb.	SF
cm	kg	kg*m	kg*m	kg/cm q	kg/cm q	kg/cm q	kg/cm q	kg/cm q	kg/cm q			
0.0	935	855	18	1	5	0	115	166	182	1	(16+17)-I-1	26

Verifica a taglio (§4.4.8.1.9 - NTC)

x	T _{yd}	T _{zd}	τ _d	f _{vd}	K _{mod}	Comb.	SF
cm	kg	kg	kg/cmq	kg/cmq			
77.6	52	2025	2	22	0.9	3	10

Verifica Incendio: R60(min), d_{eff} = 4.9 [cm], β_{char} 0.70 (mm/min), b_{eff}=10.2 cm, h_{eff}=65.1 cm

Verifica a pressoflessione (§4.4.8.1.8 - NTC, §7.6.1.2.3 - CNR DT 206/2018)

Parametri di verifica: k_m=0.70, k_{h,y}=1.00, k_{h,z}=1.00, k_{crit,c}=0.99, k_{crit,m}=1.00, L_o=77.6cm, L_{eff}=69.8cm

Instabilità di colonna: **Instabilità nel piano XY**, Instabilità di trave: **Trascurabile**

x	N _d	M _{yd}	M _{zd}	σ _{c0d}	σ _{myd}	σ _{mzd}	f _{c0d}	f _{myd}	f _{mzd}	K _{mod}	Comb.	SF
cm	kg	kg*m	kg*m	kg/cm q	kg/cm q	kg/cm q	kg/cm q	kg/cm q	kg/cm q			
0.0	-186	1084	16	-0	15	1	247	276	276	1	51	17

Verifica a taglio (§4.4.8.1.9 - NTC)

x	T _{yd}	T _{zd}	τ _d	f _{vd}	K _{mod}	Comb.	SF
cm	kg	kg	kg/cmq	kg/cmq			
77.6	17	601	1	40	1	51	30

Asta: 109 [0,0]: Sez. R: b=20.0 cm, h=70.0 cm, L=77.6 cm, Crit.Prog: Legno_Tenso-Pressoflessione: **Verificato**

Verifica a pressoflessione (§4.4.8.1.8 - NTC, §7.6.1.2.3 - CNR DT 206/2018)

Parametri di verifica: $k_m=0.70$, $k_{h,y}=1.00$, $k_{h,z}=1.10$, $k_{crit,c}=1.00$, $k_{crit,m}=1.00$, $L_o=77.6\text{cm}$, $L_{eff}=69.8\text{cm}$

Instabilità di colonna: **Trascurabile**, Instabilità di trave: **Trascurabile**

x	Nd	Myd	Mzd	σ_{c0d}	σ_{myd}	σ_{mzd}	f_{c0d}	f_{myd}	f_{mzd}	Kmod	Comb.	SF
cm	kg	kg*m	kg*m	kg/cm q	kg/cm q	kg/cm q	kg/cm q	kg/cm q	kg/cm q			
0.0	-1139	2284	13	-1	14	0	133	149	164	0.9	3	11

Verifica a tensoflessione (§4.4.8.1.8 - NTC, §7.6.1.2.3 - CNR DT 206/2018)

Parametri di verifica: $k_m=0.70$, $k_h=0.98$, $k_{h,y}=1.00$, $k_{h,z}=1.10$, $k_{crit,m}=1.00$, $L_{eff}=69.8\text{cm}$

Instabilità di trave: **Trascurabile**

x	Nd	Myd	Mzd	σ_{t0d}	σ_{myd}	σ_{mzd}	f_{t0d}	f_{myd}	f_{mzd}	Kmod	Comb.	SF
cm	kg	kg*m	kg*m	kg/cm q	kg/cm q	kg/cm q	kg/cm q	kg/cm q	kg/cm q			
77.6	1150	532	81	1	3	2	115	166	182	1	(16+17)-II-1	30

Verifica a taglio (§4.4.8.1.9 - NTC)

x	Tyd	Tzd	τ_d	fvd	Kmod	Comb.	SF
cm	kg	kg	kg/cm q	kg/cm q			
77.6	36	3191	3	22	0.9	3	6.4

Verifica Incendio: R60(min), $d_{eff} = 4.9$ [cm], $\beta_{char} 0.70$ (mm/min), $b_{eff}=10.2$ cm, $h_{eff}=65.1$ cm

Verifica a pressoflessione (§4.4.8.1.8 - NTC, §7.6.1.2.3 - CNR DT 206/2018)

Parametri di verifica: $k_m=0.70$, $k_{h,y}=1.00$, $k_{h,z}=1.00$, $k_{crit,c}=0.99$, $k_{crit,m}=1.00$, $L_o=77.6\text{cm}$, $L_{eff}=69.8\text{cm}$

Instabilità di colonna: **Instabilità nel piano XY**, Instabilità di trave: **Trascurabile**

x	Nd	Myd	Mzd	σ_{c0d}	σ_{myd}	σ_{mzd}	f_{c0d}	f_{myd}	f_{mzd}	Kmod	Comb.	SF
cm	kg	kg*m	kg*m	kg/cm q	kg/cm q	kg/cm q	kg/cm q	kg/cm q	kg/cm q			
0.0	-185	640	4	-0	9	0	247	276	276	1	51	29

Verifica a taglio (§4.4.8.1.9 - NTC)

x	Tyd	Tzd	τ_d	fvd	Kmod	Comb.	SF
cm	kg	kg	kg/cm q	kg/cm q			
77.6	6	927	2	40	1	51	19

Asta: 109 [0,0]: Sez. R: $b=20.0$ cm, $h=70.0$ cm, $L=77.6$ cm, Crit.Prog: Legno_Tenso-Pressoflessione: **Verificato**

Verifica a pressoflessione (§4.4.8.1.8 - NTC, §7.6.1.2.3 - CNR DT 206/2018)

Parametri di verifica: $k_m=0.70$, $k_{h,y}=1.00$, $k_{h,z}=1.10$, $k_{crit,c}=1.00$, $k_{crit,m}=1.00$, $L_o=77.6\text{cm}$, $L_{eff}=69.8\text{cm}$

Instabilità di colonna: **Trascurabile**, Instabilità di trave: **Trascurabile**

x	Nd	Myd	Mzd	σ_{c0d}	σ_{myd}	σ_{mzd}	f_{c0d}	f_{myd}	f_{mzd}	Kmod	Comb.	SF
cm	kg	kg*m	kg*m	kg/cm q	kg/cm q	kg/cm q	kg/cm q	kg/cm q	kg/cm q			
77.6	-1118	3506	58	-1	21	1	133	149	164	0.9	3	6.7

Verifica a tensoflessione (§4.4.8.1.8 - NTC, §7.6.1.2.3 - CNR DT 206/2018)

Parametri di verifica: $k_m=0.70$, $k_h=0.98$, $k_{h,y}=1.00$, $k_{h,z}=1.10$, $k_{crit,m}=1.00$, $L_{eff}=69.8\text{cm}$

Instabilità di trave: **Trascurabile**

x	Nd	Myd	Mzd	σ_{t0d}	σ_{myd}	σ_{mzd}	f_{t0d}	f_{myd}	f_{mzd}	Kmod	Comb.	SF
cm	kg	kg*m	kg*m	kg/cm q	kg/cm q	kg/cm q	kg/cm q	kg/cm q	kg/cm q			
77.6	860	1766	18	1	11	0	115	166	182	1	(16+17)-I-1	14

Verifica a taglio (§4.4.8.1.9 - NTC)

x	Tyd	Tzd	τ_d	fvd	Kmod	Comb.	SF
cm	kg	kg	kg/cm q	kg/cm q			
77.6	127	4366	5	22	0.9	3	4.6

Verifica Incendio: R60(min), $d_{eff} = 4.9$ [cm], $\beta_{char} 0.70$ (mm/min), $b_{eff}=10.2$ cm, $h_{eff}=65.1$ cm

Verifica a pressoflessione (§4.4.8.1.8 - NTC, §7.6.1.2.3 - CNR DT 206/2018)

Parametri di verifica: $k_m=0.70$, $k_{h,y}=1.00$, $k_{h,z}=1.00$, $k_{crit,c}=0.99$, $k_{crit,m}=1.00$, $L_o=77.6\text{cm}$, $L_{eff}=69.8\text{cm}$

Instabilità di colonna: **Instabilità nel piano XY**, Instabilità di trave: **Trascurabile**

x	Nd	Myd	Mzd	σ_{c0d}	σ_{myd}	σ_{mzd}	f_{c0d}	f_{myd}	f_{mzd}	Kmod	Comb.	SF
cm	kg	kg*m	kg*m	kg/cm q	kg/cm q	kg/cm q	kg/cm q	kg/cm q	kg/cm q			
77.6	-177	994	39	-0	14	3	247	276	276	1	51	17

Verifica a taglio (§4.4.8.1.9 - NTC)

x	Tyd	Tzd	τ_d	fvd	Kmod	Comb.	SF
cm	kg	kg	kg/cmq	kg/cmq			
77.6	47	1256	3	40	1	51	14

Asta: 109 [0,144]: Sez. R: $b=20.0\text{ cm}$, $h=70.0\text{ cm}$, $L=77.6\text{ cm}$, Crit.Prog: Legno_Tenso-Pressoflessione: **Verificato**

Verifica a pressoflessione (§4.4.8.1.8 - NTC, §7.6.1.2.3 - CNR DT 206/2018)

Parametri di verifica: $k_m=0.70$, $k_{h,y}=1.00$, $k_{h,z}=1.10$, $k_{crit,c}=1.00$, $k_{crit,m}=1.00$, $L_o=77.6\text{cm}$, $L_{eff}=69.8\text{cm}$

Instabilità di colonna: **Trascurabile**, Instabilità di trave: **Trascurabile**

x	Nd	Myd	Mzd	σ_{c0d}	σ_{myd}	σ_{mzd}	f_{c0d}	f_{myd}	f_{mzd}	Kmod	Comb.	SF
cm	kg	kg*m	kg*m	kg/cm q	kg/cm q	kg/cm q	kg/cm q	kg/cm q	kg/cm q			
77.6	-1132	7811	13	-1	48	0	133	149	164	0.9	3	3.1

Verifica a tensoflessione (§4.4.8.1.8 - NTC, §7.6.1.2.3 - CNR DT 206/2018)

Parametri di verifica: $k_m=0.70$, $k_h=0.98$, $k_{h,y}=1.00$, $k_{h,z}=1.10$, $k_{crit,m}=1.00$, $L_{eff}=69.8\text{cm}$

Instabilità di trave: **Trascurabile**

x	Nd	Myd	Mzd	σ_{t0d}	σ_{myd}	σ_{mzd}	f_{t0d}	f_{myd}	f_{mzd}	Kmod	Comb.	SF
cm	kg	kg*m	kg*m	kg/cm q	kg/cm q	kg/cm q	kg/cm q	kg/cm q	kg/cm q			
77.6	826	3173	315	1	19	7	115	166	182	1	(16+17)-I-1	6.7

Verifica a taglio (§4.4.8.1.9 - NTC)

x	Tyd	Tzd	τ_d	fvd	Kmod	Comb.	SF
cm	kg	kg	kg/cmq	kg/cmq			
77.6	96	5585	6	22	0.9	3	3.6

Verifica Incendio: $R_{60}(\text{min})$, $d_{eff} = 4.9\text{ [cm]}$, $\beta_{char} 0.70\text{ (mm/min)}$, $b_{eff}=10.2\text{ cm}$, $h_{eff}=65.1\text{ cm}$

Verifica a pressoflessione (§4.4.8.1.8 - NTC, §7.6.1.2.3 - CNR DT 206/2018)

Parametri di verifica: $k_m=0.70$, $k_{h,y}=1.00$, $k_{h,z}=1.00$, $k_{crit,c}=0.99$, $k_{crit,m}=1.00$, $L_o=77.6\text{cm}$, $L_{eff}=69.8\text{cm}$

Instabilità di colonna: **Instabilità nel piano XY**, Instabilità di trave: **Trascurabile**

x	Nd	Myd	Mzd	σ_{c0d}	σ_{myd}	σ_{mzd}	f_{c0d}	f_{myd}	f_{mzd}	Kmod	Comb.	SF
cm	kg	kg*m	kg*m	kg/cm q	kg/cm q	kg/cm q	kg/cm q	kg/cm q	kg/cm q			
77.6	-183	2192	70	-0	30	6	247	276	276	1	51	7.9

Verifica a taglio (§4.4.8.1.9 - NTC)

x	Tyd	Tzd	τ_d	fvd	Kmod	Comb.	SF
cm	kg	kg	kg/cmq	kg/cmq			
77.6	144	1579	4	40	1	51	11

Asta: 181 [0,0]: Sez. R: $b=10.0\text{ cm}$, $h=24.0\text{ cm}$, $L=480.0\text{ cm}$, Crit.Prog: Legno_Arcareccio: **Verificato**

Verifica a flessione (§4.4.8.1.6, §4.4.8.1.1 - NTC)

Parametri di verifica: $k_m=0.70$, $k_{h,y}=1.10$, $k_{h,z}=1.10$, $k_{crit,m}=1.00$, $L_{eff}=432.0\text{cm}$

Instabilità di trave: **Trascurabile**

x	Myd	Mzd	σ_{myd}	σ_{mzd}	f_{myd}	f_{mzd}	Kmod	Comb.	SF
cm	kg*m	kg*m	kg/cmq	kg/cmq	kg/cmq	kg/cmq			
0.0	600	0	63	0	163	164	0.9	3	2.6

Verifica a taglio (§4.4.8.1.9 - NTC)

x	Tyd	Tzd	τ_d	fvd	Kmod	Comb.	SF
cm	kg	kg	kg/cmq	kg/cmq			
0.0	2	796	5	22	0.9	3	4.4

Verifica Incendio: R30(min), $d_{eff} = 2.2$ [cm], $\beta_{char} 0.50$ (mm/min), $b_{eff}=5.6$ cm, $h_{eff}=21.8$ cm

Verifica a flessione (§4.4.8.1.6, §4.4.8.1.1 - NTC)

Parametri di verifica: $k_m=0.70$, $k_{h,y}=1.00$, $k_{h,z}=1.00$, $k_{crit,m}=0.78$, $L_{eff}=432.0$ cmInstabilità di trave: **Instabilità nel piano XY**

x	Myd	Mzd	σ_{myd}	σ_{mzd}	fmyd	fmzd	Kmod	Comb.	SF
cm	kg*m	kg*m	kg/cmq	kg/cmq	kg/cmq	kg/cmq			
0.0	150	0	34	0	276	276	1	51	6.3

Verifica a taglio (§4.4.8.1.9 - NTC)

x	Tyd	Tzd	τ_d	fvd	Kmod	Comb.	SF
cm	kg	kg	kg/cmq	kg/cmq			
0.0	1	195	2	40	1	51	17

Asta: 181 [0,0]: Sez. R: $b=10.0$ cm, $h=24.0$ cm, $L=312.2$ cm, Crit.Prog: Legno_Arcareccio: **Verificato**

Verifica a flessione (§4.4.8.1.6, §4.4.8.1.1 - NTC)

Parametri di verifica: $k_m=0.70$, $k_{h,y}=1.10$, $k_{h,z}=1.10$, $k_{crit,m}=1.00$, $L_{eff}=281.0$ cmInstabilità di trave: **Trascurabile**

x	Myd	Mzd	σ_{myd}	σ_{mzd}	fmyd	fmzd	Kmod	Comb.	SF
cm	kg*m	kg*m	kg/cmq	kg/cmq	kg/cmq	kg/cmq			
0.0	294	0	31	0	163	164	0.9	3	5.3

Verifica a taglio (§4.4.8.1.9 - NTC)

x	Tyd	Tzd	τ_d	fvd	Kmod	Comb.	SF
cm	kg	kg	kg/cmq	kg/cmq			
0.0	1	419	3	22	0.9	3	8.3

Verifica Incendio: R30(min), $d_{eff} = 2.2$ [cm], $\beta_{char} 0.50$ (mm/min), $b_{eff}=5.6$ cm, $h_{eff}=21.8$ cm

Verifica a flessione (§4.4.8.1.6, §4.4.8.1.1 - NTC)

Parametri di verifica: $k_m=0.70$, $k_{h,y}=1.00$, $k_{h,z}=1.00$, $k_{crit,m}=0.93$, $L_{eff}=281.0$ cmInstabilità di trave: **Instabilità nel piano XY**

x	Myd	Mzd	σ_{myd}	σ_{mzd}	fmyd	fmzd	Kmod	Comb.	SF
cm	kg*m	kg*m	kg/cmq	kg/cmq	kg/cmq	kg/cmq			
0.0	74	0	17	0	276	276	1	51	15

Verifica a taglio (§4.4.8.1.9 - NTC)

x	Tyd	Tzd	τ_d	fvd	Kmod	Comb.	SF
cm	kg	kg	kg/cmq	kg/cmq			
0.0	0	103	1	40	1	51	32

Asta: 187 [0,0]: Sez. R: $b=10.0$ cm, $h=24.0$ cm, $L=476.5$ cm, Crit.Prog: Legno_Arcareccio: **Verificato**

Verifica a flessione (§4.4.8.1.6, §4.4.8.1.1 - NTC)

Parametri di verifica: $k_m=0.70$, $k_{h,y}=1.10$, $k_{h,z}=1.10$, $k_{crit,m}=1.00$, $L_{eff}=428.9$ cmInstabilità di trave: **Trascurabile**

x	Myd	Mzd	σ_{myd}	σ_{mzd}	fmyd	fmzd	Kmod	Comb.	SF
cm	kg*m	kg*m	kg/cmq	kg/cmq	kg/cmq	kg/cmq			
0.0	612	0	64	0	163	164	0.9	3	2.6

Verifica a taglio (§4.4.8.1.9 - NTC)

x	Tyd	Tzd	τ_d	fvd	Kmod	Comb.	SF
cm	kg	kg	kg/cmq	kg/cmq			
0.0	1	823	5	22	0.9	3	4.2

Verifica Incendio: R30(min), $d_{eff} = 2.2$ [cm], $\beta_{char} 0.50$ (mm/min), $b_{eff}=5.6$ cm, $h_{eff}=21.8$ cm

Verifica a flessione (§4.4.8.1.6, §4.4.8.1.1 - NTC)

Parametri di verifica: $k_m=0.70$, $k_{h,y}=1.00$, $k_{h,z}=1.00$, $k_{crit,m}=0.78$, $L_{eff}=428.9\text{cm}$

Instabilità di trave: **Instabilità nel piano XY**

x	Myd	Mzd	σ_{myd}	σ_{mzd}	fmyd	fmzd	Kmod	Comb.	SF
cm	kg*m	kg*m	kg/cmq	kg/cmq	kg/cmq	kg/cmq			
0.0	155	0	35	0	276	276	1	51	6.2

Verifica a taglio (§4.4.8.1.9 - NTC)

x	Tyd	Tzd	τ_d	fvd	Kmod	Comb.	SF
cm	kg	kg	kg/cmq	kg/cmq			
0.0	1	202	2	40	1	51	16

Asta: 187 [0,0]: Sez. R: $b=10.0\text{ cm}$, $h=24.0\text{ cm}$, $L=312.8\text{ cm}$, Crit.Prog: Legno_Arcareccio: **Verificato**

Verifica a flessione (§4.4.8.1.6, §4.4.8.1.1 - NTC)

Parametri di verifica: $k_m=0.70$, $k_{h,y}=1.10$, $k_{h,z}=1.10$, $k_{crit,m}=1.00$, $L_{eff}=281.5\text{cm}$

Instabilità di trave: **Trascurabile**

x	Myd	Mzd	σ_{myd}	σ_{mzd}	fmyd	fmzd	Kmod	Comb.	SF
cm	kg*m	kg*m	kg/cmq	kg/cmq	kg/cmq	kg/cmq			
0.0	302	0	32	0	163	164	0.9	3	5.2

Verifica a taglio (§4.4.8.1.9 - NTC)

x	Tyd	Tzd	τ_d	fvd	Kmod	Comb.	SF
cm	kg	kg	kg/cmq	kg/cmq			
0.0	1	412	3	22	0.9	3	8.4

Verifica Incendio: R30(min), $d_{eff} = 2.2\text{ [cm]}$, $\beta_{char} 0.50\text{ (mm/min)}$, $b_{eff}=5.6\text{ cm}$, $h_{eff}=21.8\text{ cm}$

Verifica a flessione (§4.4.8.1.6, §4.4.8.1.1 - NTC)

Parametri di verifica: $k_m=0.70$, $k_{h,y}=1.00$, $k_{h,z}=1.00$, $k_{crit,m}=0.93$, $L_{eff}=281.5\text{cm}$

Instabilità di trave: **Instabilità nel piano XY**

x	Myd	Mzd	σ_{myd}	σ_{mzd}	fmyd	fmzd	Kmod	Comb.	SF
cm	kg*m	kg*m	kg/cmq	kg/cmq	kg/cmq	kg/cmq			
0.0	73	0	16	0	276	276	1	51	16

Verifica a taglio (§4.4.8.1.9 - NTC)

x	Tyd	Tzd	τ_d	fvd	Kmod	Comb.	SF
cm	kg	kg	kg/cmq	kg/cmq			
0.0	0	99	1	40	1	51	33

Asta: 183 [0,0]: Sez. R: $b=10.0\text{ cm}$, $h=24.0\text{ cm}$, $L=489.4\text{ cm}$, Crit.Prog: Legno_Arcareccio: **Verificato**

Verifica a flessione (§4.4.8.1.6, §4.4.8.1.1 - NTC)

Parametri di verifica: $k_m=0.70$, $k_{h,y}=1.10$, $k_{h,z}=1.10$, $k_{crit,m}=1.00$, $L_{eff}=440.5\text{cm}$

Instabilità di trave: **Trascurabile**

x	Myd	Mzd	σ_{myd}	σ_{mzd}	fmyd	fmzd	Kmod	Comb.	SF
cm	kg*m	kg*m	kg/cmq	kg/cmq	kg/cmq	kg/cmq			
0.0	688	0	72	0	163	164	0.9	3	2.3

Verifica a taglio (§4.4.8.1.9 - NTC)

x	Tyd	Tzd	τ_d	fvd	Kmod	Comb.	SF
cm	kg	kg	kg/cmq	kg/cmq			
0.0	0	860	5	22	0.9	3	4.0

Verifica Incendio: R30(min), $d_{eff} = 2.2\text{ [cm]}$, $\beta_{char} 0.50\text{ (mm/min)}$, $b_{eff}=5.6\text{ cm}$, $h_{eff}=21.8\text{ cm}$

Verifica a flessione (§4.4.8.1.6, §4.4.8.1.1 - NTC)

Parametri di verifica: $k_m=0.70$, $k_{h,y}=1.00$, $k_{h,z}=1.00$, $k_{crit,m}=0.77$, $L_{eff}=440.5\text{cm}$

Instabilità di trave: **Instabilità nel piano XY**

x	Myd	Mzd	σ_{myd}	σ_{mzd}	fmyd	fmzd	Kmod	Comb.	SF
cm	kg*m	kg*m	kg/cmq	kg/cmq	kg/cmq	kg/cmq			
0.0	174	0	39	0	276	276	1	51	5.4

Verifica a taglio (§4.4.8.1.9 - NTC)

x	T _{yd}	T _{zd}	τ_d	f _{vd}	K _{mod}	Comb.	SF
cm	kg	kg	kg/cmq	kg/cmq			
0.0	0	212	3	40	1	51	15

Asta: 183 [0,0]: Sez. R: b=10.0 cm, h=24.0 cm, L=314.0 cm, Crit.Prog: Legno_Arcareccio: **Verificato**

Verifica a flessione (§4.4.8.1.6, §4.4.8.1.1 - NTC)

Parametri di verifica: km=0.70, kh,y=1.10, kh,z=1.10, k_{crit,m}=1.00, Leff=282.6cm

Instabilità di trave: **Trascurabile**

x	M _{yd}	M _{zd}	σ_{myd}	σ_{mzd}	f _{myd}	f _{mzd}	K _{mod}	Comb.	SF
cm	kg*m	kg*m	kg/cmq	kg/cmq	kg/cmq	kg/cmq			
0.0	287	0	30	0	163	164	0.9	3	5.5

Verifica a taglio (§4.4.8.1.9 - NTC)

x	T _{yd}	T _{zd}	τ_d	f _{vd}	K _{mod}	Comb.	SF
cm	kg	kg	kg/cmq	kg/cmq			
0.0	0	392	2	22	0.9	3	8.9

Verifica Incendio: R30(min), d_{eff} = 2.2 [cm], β_{char} 0.50 (mm/min), b_{eff}=5.6 cm, h_{eff}=21.8 cm

Verifica a flessione (§4.4.8.1.6, §4.4.8.1.1 - NTC)

Parametri di verifica: km=0.70, kh,y=1.00, kh,z=1.00, k_{crit,m}=0.93, Leff=282.6cm

Instabilità di trave: **Instabilità nel piano XY**

x	M _{yd}	M _{zd}	σ_{myd}	σ_{mzd}	f _{myd}	f _{mzd}	K _{mod}	Comb.	SF
cm	kg*m	kg*m	kg/cmq	kg/cmq	kg/cmq	kg/cmq			
314.0	87	0	20	0	276	276	1	51	13

Verifica a taglio (§4.4.8.1.9 - NTC)

x	T _{yd}	T _{zd}	τ_d	f _{vd}	K _{mod}	Comb.	SF
cm	kg	kg	kg/cmq	kg/cmq			
314.0	0	102	1	40	1	51	32

Asta: 188 [0,0]: Sez. R: b=10.0 cm, h=24.0 cm, L=497.6 cm, Crit.Prog: Legno_Arcareccio: **Verificato**

Verifica a flessione (§4.4.8.1.6, §4.4.8.1.1 - NTC)

Parametri di verifica: km=0.70, kh,y=1.10, kh,z=1.10, k_{crit,m}=1.00, Leff=447.9cm

Instabilità di trave: **Trascurabile**

x	M _{yd}	M _{zd}	σ_{myd}	σ_{mzd}	f _{myd}	f _{mzd}	K _{mod}	Comb.	SF
cm	kg*m	kg*m	kg/cmq	kg/cmq	kg/cmq	kg/cmq			
0.0	762	0	79	0	163	164	0.9	3	2.1

Verifica a taglio (§4.4.8.1.9 - NTC)

x	T _{yd}	T _{zd}	τ_d	f _{vd}	K _{mod}	Comb.	SF
cm	kg	kg	kg/cmq	kg/cmq			
0.0	1	879	5	22	0.9	3	4.0

Verifica Incendio: R30(min), d_{eff} = 2.2 [cm], β_{char} 0.50 (mm/min), b_{eff}=5.6 cm, h_{eff}=21.8 cm

Verifica a flessione (§4.4.8.1.6, §4.4.8.1.1 - NTC)

Parametri di verifica: km=0.70, kh,y=1.00, kh,z=1.00, k_{crit,m}=0.76, Leff=447.9cm

Instabilità di trave: **Instabilità nel piano XY**

x	M _{yd}	M _{zd}	σ_{myd}	σ_{mzd}	f _{myd}	f _{mzd}	K _{mod}	Comb.	SF
cm	kg*m	kg*m	kg/cmq	kg/cmq	kg/cmq	kg/cmq			
0.0	194	0	44	0	276	276	1	51	4.8

Verifica a taglio (§4.4.8.1.9 - NTC)

x	T _{yd}	T _{zd}	τ_d	f _{vd}	K _{mod}	Comb.	SF
cm	kg	kg	kg/cmq	kg/cmq			
0.0	0	217	3	40	1	51	15

Asta: 188 [0,0]: Sez. R: b=10.0 cm, h=24.0 cm, L=315.5 cm, Crit.Prog: Legno_Arcareccio: **Verificato**

Verifica a flessione (§4.4.8.1.6, §4.4.8.1.1 - NTC)

Parametri di verifica: $k_m=0.70$, $k_{h,y}=1.10$, $k_{h,z}=1.10$, $k_{crit,m}=1.00$, $L_{eff}=283.9\text{cm}$

Instabilità di trave: **Trascurabile**

x	Myd	Mzd	σ_{myd}	σ_{mzd}	fmyd	fmzd	Kmod	Comb.	SF
cm	kg*m	kg*m	kg/cmq	kg/cmq	kg/cmq	kg/cmq			
315.5	324	0	34	0	163	164	0.9	3	4.8

Verifica a taglio (§4.4.8.1.9 - NTC)

x	Tyd	Tzd	τ_d	fvd	Kmod	Comb.	SF
cm	kg	kg	kg/cmq	kg/cmq			
315.5	1	393	2	22	0.9	3	8.9

Verifica Incendio: R30(min), $d_{eff} = 2.2$ [cm], $\beta_{char} 0.50$ (mm/min), $b_{eff}=5.6$ cm, $h_{eff}=21.8$ cm

Verifica a flessione (§4.4.8.1.6, §4.4.8.1.1 - NTC)

Parametri di verifica: $k_m=0.70$, $k_{h,y}=1.00$, $k_{h,z}=1.00$, $k_{crit,m}=0.92$, $L_{eff}=283.9\text{cm}$

Instabilità di trave: **Instabilità nel piano XY**

x	Myd	Mzd	σ_{myd}	σ_{mzd}	fmyd	fmzd	Kmod	Comb.	SF
cm	kg*m	kg*m	kg/cmq	kg/cmq	kg/cmq	kg/cmq			
315.5	102	0	23	0	276	276	1	51	11

Verifica a taglio (§4.4.8.1.9 - NTC)

x	Tyd	Tzd	τ_d	fvd	Kmod	Comb.	SF
cm	kg	kg	kg/cmq	kg/cmq			
315.5	0	110	1	40	1	51	30

Asta: 189 [146,0]: Sez. R: b=10.0 cm, h=24.0 cm, L=501.9 cm, Crit.Prog: Legno_Arcareccio: **Verificato**

Verifica a flessione (§4.4.8.1.6, §4.4.8.1.1 - NTC)

Parametri di verifica: $k_m=0.70$, $k_{h,y}=1.10$, $k_{h,z}=1.10$, $k_{crit,m}=1.00$, $L_{eff}=451.7\text{cm}$

Instabilità di trave: **Trascurabile**

x	Myd	Mzd	σ_{myd}	σ_{mzd}	fmyd	fmzd	Kmod	Comb.	SF
cm	kg*m	kg*m	kg/cmq	kg/cmq	kg/cmq	kg/cmq			
0.0	827	0	86	0	163	164	0.9	3	1.9

Verifica a taglio (§4.4.8.1.9 - NTC)

x	Tyd	Tzd	τ_d	fvd	Kmod	Comb.	SF
cm	kg	kg	kg/cmq	kg/cmq			
0.0	0	865	5	22	0.9	3	4.0

Verifica Incendio: R30(min), $d_{eff} = 2.2$ [cm], $\beta_{char} 0.50$ (mm/min), $b_{eff}=5.6$ cm, $h_{eff}=21.8$ cm

Verifica a flessione (§4.4.8.1.6, §4.4.8.1.1 - NTC)

Parametri di verifica: $k_m=0.70$, $k_{h,y}=1.00$, $k_{h,z}=1.00$, $k_{crit,m}=0.76$, $L_{eff}=451.7\text{cm}$

Instabilità di trave: **Instabilità nel piano XY**

x	Myd	Mzd	σ_{myd}	σ_{mzd}	fmyd	fmzd	Kmod	Comb.	SF
cm	kg*m	kg*m	kg/cmq	kg/cmq	kg/cmq	kg/cmq			
0.0	212	0	48	0	276	276	1	51	4.4

Verifica a taglio (§4.4.8.1.9 - NTC)

x	Tyd	Tzd	τ_d	fvd	Kmod	Comb.	SF
cm	kg	kg	kg/cmq	kg/cmq			
0.0	0	217	3	40	1	51	15

Asta: 189 [0,236]: Sez. R: b=10.0 cm, h=24.0 cm, L=317.5 cm, Crit.Prog: Legno_Arcareccio: **Verificato**

Verifica a flessione (§4.4.8.1.6, §4.4.8.1.1 - NTC)

Parametri di verifica: $k_m=0.70$, $k_{h,y}=1.10$, $k_{h,z}=1.10$, $k_{crit,m}=1.00$, $L_{eff}=285.8\text{cm}$

Instabilità di trave: **Trascurabile**

x	Myd	Mzd	σ_{myd}	σ_{mzd}	fmyd	fmzd	Kmod	Comb.	SF
---	-----	-----	----------------	----------------	------	------	------	-------	----

x	Myd	Mzd	σ_{myd}	σ_{mzd}	fmyd	fmzd	Kmod	Comb.	SF
cm	kg*m	kg*m	kg/cmq	kg/cmq	kg/cmq	kg/cmq			
317.5	353	0	37	0	163	164	0.9	3	4.4

Verifica a taglio (§4.4.8.1.9 - NTC)

x	Tyd	Tzd	τ_d	fvd	Kmod	Comb.	SF
cm	kg	kg	kg/cmq	kg/cmq			
317.5	1	395	2	22	0.9	3	8.8

Verifica Incendio: R30(min), $d_{eff} = 2.2$ [cm], $\beta_{char} 0.50$ (mm/min), $b_{eff}=5.6$ cm, $h_{eff}=21.8$ cm

Verifica a flessione (§4.4.8.1.6, §4.4.8.1.1 - NTC)

Parametri di verifica: $k_m=0.70$, $k_{h,y}=1.00$, $k_{h,z}=1.00$, $k_{crit,m}=0.92$, $Leff=285.8$ cm

Instabilità di trave: **Instabilità nel piano XY**

x	Myd	Mzd	σ_{myd}	σ_{mzd}	fmyd	fmzd	Kmod	Comb.	SF
cm	kg*m	kg*m	kg/cmq	kg/cmq	kg/cmq	kg/cmq			
317.5	112	0	25	0	276	276	1	51	10

Verifica a taglio (§4.4.8.1.9 - NTC)

x	Tyd	Tzd	τ_d	fvd	Kmod	Comb.	SF
cm	kg	kg	kg/cmq	kg/cmq			
317.5	0	113	1	40	1	51	29

Asta: 190 [0,0]: Sez. R: $b=10.0$ cm, $h=24.0$ cm, $L=514.6$ cm, Crit.Prog: Legno_Arcareccio: **Verificato**

Verifica a flessione (§4.4.8.1.6, §4.4.8.1.1 - NTC)

Parametri di verifica: $k_m=0.70$, $k_{h,y}=1.10$, $k_{h,z}=1.10$, $k_{crit,m}=1.00$, $Leff=463.2$ cm

Instabilità di trave: **Trascurabile**

x	Myd	Mzd	σ_{myd}	σ_{mzd}	fmyd	fmzd	Kmod	Comb.	SF
cm	kg*m	kg*m	kg/cmq	kg/cmq	kg/cmq	kg/cmq			
0.0	743	0	77	0	163	164	0.9	3	2.1

Verifica a taglio (§4.4.8.1.9 - NTC)

x	Tyd	Tzd	τ_d	fvd	Kmod	Comb.	SF
cm	kg	kg	kg/cmq	kg/cmq			
0.0	1	797	5	22	0.9	3	4.4

Verifica Incendio: R30(min), $d_{eff} = 2.2$ [cm], $\beta_{char} 0.50$ (mm/min), $b_{eff}=5.6$ cm, $h_{eff}=21.8$ cm

Verifica a flessione (§4.4.8.1.6, §4.4.8.1.1 - NTC)

Parametri di verifica: $k_m=0.70$, $k_{h,y}=1.00$, $k_{h,z}=1.00$, $k_{crit,m}=0.75$, $Leff=463.2$ cm

Instabilità di trave: **Instabilità nel piano XY**

x	Myd	Mzd	σ_{myd}	σ_{mzd}	fmyd	fmzd	Kmod	Comb.	SF
cm	kg*m	kg*m	kg/cmq	kg/cmq	kg/cmq	kg/cmq			
0.0	193	0	43	0	276	276	1	51	4.7

Verifica a taglio (§4.4.8.1.9 - NTC)

x	Tyd	Tzd	τ_d	fvd	Kmod	Comb.	SF
cm	kg	kg	kg/cmq	kg/cmq			
0.0	0	202	2	40	1	51	16

Asta: 191 [0,0]: Sez. R: $b=10.0$ cm, $h=24.0$ cm, $L=522.0$ cm, Crit.Prog: Legno_Arcareccio: **Verificato**

Verifica a flessione (§4.4.8.1.6, §4.4.8.1.1 - NTC)

Parametri di verifica: $k_m=0.70$, $k_{h,y}=1.10$, $k_{h,z}=1.10$, $k_{crit,m}=1.00$, $Leff=469.8$ cm

Instabilità di trave: **Trascurabile**

x	Myd	Mzd	σ_{myd}	σ_{mzd}	fmyd	fmzd	Kmod	Comb.	SF
cm	kg*m	kg*m	kg/cmq	kg/cmq	kg/cmq	kg/cmq			
0.0	686	0	72	0	163	164	0.9	3	2.3

Verifica a taglio (§4.4.8.1.9 - NTC)

x	Tyd	Tzd	τ_d	fvd	Kmod	Comb.	SF
---	-----	-----	----------	-----	------	-------	----

x	T _{yd}	T _{zd}	τ _d	f _{vd}	K _{mod}	Comb.	SF
cm	kg	kg	kg/cmq	kg/cmq			
0.0	0	776	5	22	0.9	3	4.5

Verifica Incendio: R30(min), d_{eff} = 2.2 [cm], β_{char} 0.50 (mm/min), b_{eff}=5.6 cm, h_{eff}=21.8 cm

Verifica a flessione (§4.4.8.1.6, §4.4.8.1.1 - NTC)

Parametri di verifica: km=0.70, kh,y=1.00, kh,z=1.00, k_{crit},m=0.74, L_{eff}=469.8cm

Instabilità di trave: **Instabilità nel piano XY**

x	My _d	Mz _d	σ _{myd}	σ _{mzd}	f _{myd}	f _{mzd}	K _{mod}	Comb.	SF
cm	kg*m	kg*m	kg/cmq	kg/cmq	kg/cmq	kg/cmq			
0.0	177	0	40	0	276	276	1	51	5.1

Verifica a taglio (§4.4.8.1.9 - NTC)

x	T _{yd}	T _{zd}	τ _d	f _{vd}	K _{mod}	Comb.	SF
cm	kg	kg	kg/cmq	kg/cmq			
0.0	0	196	2	40	1	51	17

Asta: 190 [0,0]: Sez. R: b=10.0 cm, h=24.0 cm, L=322.6 cm, Crit.Prog: Legno_Arcareccio: **Verificato**

Verifica a flessione (§4.4.8.1.6, §4.4.8.1.1 - NTC)

Parametri di verifica: km=0.70, kh,y=1.10, kh,z=1.10, k_{crit},m=1.00, L_{eff}=290.4cm

Instabilità di trave: **Trascurabile**

x	My _d	Mz _d	σ _{myd}	σ _{mzd}	f _{myd}	f _{mzd}	K _{mod}	Comb.	SF
cm	kg*m	kg*m	kg/cmq	kg/cmq	kg/cmq	kg/cmq			
322.6	333	0	35	0	163	164	0.9	3	4.7

Verifica a taglio (§4.4.8.1.9 - NTC)

x	T _{yd}	T _{zd}	τ _d	f _{vd}	K _{mod}	Comb.	SF
cm	kg	kg	kg/cmq	kg/cmq			
322.6	1	374	2	22	0.9	3	9.3

Verifica Incendio: R30(min), d_{eff} = 2.2 [cm], β_{char} 0.50 (mm/min), b_{eff}=5.6 cm, h_{eff}=21.8 cm

Verifica a flessione (§4.4.8.1.6, §4.4.8.1.1 - NTC)

Parametri di verifica: km=0.70, kh,y=1.00, kh,z=1.00, k_{crit},m=0.92, L_{eff}=290.4cm

Instabilità di trave: **Instabilità nel piano XY**

x	My _d	Mz _d	σ _{myd}	σ _{mzd}	f _{myd}	f _{mzd}	K _{mod}	Comb.	SF
cm	kg*m	kg*m	kg/cmq	kg/cmq	kg/cmq	kg/cmq			
322.6	104	0	23	0	276	276	1	51	11

Verifica a taglio (§4.4.8.1.9 - NTC)

x	T _{yd}	T _{zd}	τ _d	f _{vd}	K _{mod}	Comb.	SF
cm	kg	kg	kg/cmq	kg/cmq			
322.6	0	107	1	40	1	51	31

Asta: 191 [0,0]: Sez. R: b=10.0 cm, h=24.0 cm, L=329.1 cm, Crit.Prog: Legno_Arcareccio: **Verificato**

Verifica a flessione (§4.4.8.1.6, §4.4.8.1.1 - NTC)

Parametri di verifica: km=0.70, kh,y=1.10, kh,z=1.10, k_{crit},m=1.00, L_{eff}=296.2cm

Instabilità di trave: **Trascurabile**

x	My _d	Mz _d	σ _{myd}	σ _{mzd}	f _{myd}	f _{mzd}	K _{mod}	Comb.	SF
cm	kg*m	kg*m	kg/cmq	kg/cmq	kg/cmq	kg/cmq			
329.1	306	0	32	0	163	164	0.9	3	5.1

Verifica a taglio (§4.4.8.1.9 - NTC)

x	T _{yd}	T _{zd}	τ _d	f _{vd}	K _{mod}	Comb.	SF
cm	kg	kg	kg/cmq	kg/cmq			
329.1	1	363	2	22	0.9	3	9.6

Verifica Incendio: R30(min), d_{eff} = 2.2 [cm], β_{char} 0.50 (mm/min), b_{eff}=5.6 cm, h_{eff}=21.8 cm

Verifica a flessione (§4.4.8.1.6, §4.4.8.1.1 - NTC)

Parametri di verifica: $k_m=0.70$, $k_{h,y}=1.00$, $k_{h,z}=1.00$, $k_{crit,m}=0.91$, $L_{eff}=296.2\text{cm}$

Instabilità di trave: **Instabilità nel piano XY**

x	Myd	Mzd	σ_{myd}	σ_{mzd}	fmyd	fmzd	Kmod	Comb.	SF
cm	kg*m	kg*m	kg/cmq	kg/cmq	kg/cmq	kg/cmq			
329.1	94	0	21	0	276	276	1	51	12

Verifica a taglio (§4.4.8.1.9 - NTC)

x	Tyd	Tzd	τ_d	fvd	Kmod	Comb.	SF
cm	kg	kg	kg/cmq	kg/cmq			
329.1	0	103	1	40	1	51	32

Asta: 192 [0,0]: Sez. R: $b=10.0\text{ cm}$, $h=24.0\text{ cm}$, $L=529.9\text{ cm}$, Crit.Prog: Legno_Arcareccio: **Verificato**

Verifica a flessione (§4.4.8.1.6, §4.4.8.1.1 - NTC)

Parametri di verifica: $k_m=0.70$, $k_{h,y}=1.10$, $k_{h,z}=1.10$, $k_{crit,m}=1.00$, $L_{eff}=476.9\text{cm}$

Instabilità di trave: **Trascurabile**

x	Myd	Mzd	σ_{myd}	σ_{mzd}	fmyd	fmzd	Kmod	Comb.	SF
cm	kg*m	kg*m	kg/cmq	kg/cmq	kg/cmq	kg/cmq			
0.0	635	0	66	0	163	164	0.9	3	2.5

Verifica a taglio (§4.4.8.1.9 - NTC)

x	Tyd	Tzd	τ_d	fvd	Kmod	Comb.	SF
cm	kg	kg	kg/cmq	kg/cmq			
0.0	0	751	5	22	0.9	3	4.6

Verifica Incendio: R30(min), $d_{eff} = 2.2\text{ [cm]}$, $\beta_{char} 0.50\text{ (mm/min)}$, $b_{eff}=5.6\text{ cm}$, $h_{eff}=21.8\text{ cm}$

Verifica a flessione (§4.4.8.1.6, §4.4.8.1.1 - NTC)

Parametri di verifica: $k_m=0.70$, $k_{h,y}=1.00$, $k_{h,z}=1.00$, $k_{crit,m}=0.74$, $L_{eff}=476.9\text{cm}$

Instabilità di trave: **Instabilità nel piano XY**

x	Myd	Mzd	σ_{myd}	σ_{mzd}	fmyd	fmzd	Kmod	Comb.	SF
cm	kg*m	kg*m	kg/cmq	kg/cmq	kg/cmq	kg/cmq			
0.0	162	0	36	0	276	276	1	51	5.6

Verifica a taglio (§4.4.8.1.9 - NTC)

x	Tyd	Tzd	τ_d	fvd	Kmod	Comb.	SF
cm	kg	kg	kg/cmq	kg/cmq			
0.0	0	189	2	40	1	51	17

Asta: 192 [0,0]: Sez. R: $b=10.0\text{ cm}$, $h=24.0\text{ cm}$, $L=337.0\text{ cm}$, Crit.Prog: Legno_Arcareccio: **Verificato**

Verifica a flessione (§4.4.8.1.6, §4.4.8.1.1 - NTC)

Parametri di verifica: $k_m=0.70$, $k_{h,y}=1.10$, $k_{h,z}=1.10$, $k_{crit,m}=1.00$, $L_{eff}=303.3\text{cm}$

Instabilità di trave: **Trascurabile**

x	Myd	Mzd	σ_{myd}	σ_{mzd}	fmyd	fmzd	Kmod	Comb.	SF
cm	kg*m	kg*m	kg/cmq	kg/cmq	kg/cmq	kg/cmq			
337.0	276	0	29	0	163	164	0.9	3	5.7

Verifica a taglio (§4.4.8.1.9 - NTC)

x	Tyd	Tzd	τ_d	fvd	Kmod	Comb.	SF
cm	kg	kg	kg/cmq	kg/cmq			
0.0	1	366	2	22	0.9	3	9.5

Verifica Incendio: R30(min), $d_{eff} = 2.2\text{ [cm]}$, $\beta_{char} 0.50\text{ (mm/min)}$, $b_{eff}=5.6\text{ cm}$, $h_{eff}=21.8\text{ cm}$

Verifica a flessione (§4.4.8.1.6, §4.4.8.1.1 - NTC)

Parametri di verifica: $k_m=0.70$, $k_{h,y}=1.00$, $k_{h,z}=1.00$, $k_{crit,m}=0.90$, $L_{eff}=303.3\text{cm}$

Instabilità di trave: **Instabilità nel piano XY**

x	Myd	Mzd	σ_{myd}	σ_{mzd}	fmyd	fmzd	Kmod	Comb.	SF
cm	kg*m	kg*m	kg/cmq	kg/cmq	kg/cmq	kg/cmq			
337.0	84	0	19	0	276	276	1	51	13

Verifica a taglio (§4.4.8.1.9 - NTC)

x	Tyd	Tzd	τ_d	fvd	Kmod	Comb.	SF
cm	kg	kg	kg/cmq	kg/cmq			
337.0	0	99	1	40	1	51	33

Asta: 193 [0,0]: Sez. R: b=10.0 cm, h=24.0 cm, L=538.4 cm, Crit.Prog: Legno_Arcareccio: **Verificato**

Verifica a flessione (§4.4.8.1.6, §4.4.8.1.1 - NTC)

Parametri di verifica: km=0.70, kh,y=1.10, kh,z=1.10, kcrit,m=1.00, Leff=484.6cm

Instabilità di trave: **Trascurabile**

x	Myd	Mzd	σ_{myd}	σ_{mzd}	fmyd	fmzd	Kmod	Comb.	SF
cm	kg*m	kg*m	kg/cmq	kg/cmq	kg/cmq	kg/cmq			
0.0	602	0	63	0	163	164	0.9	3	2.6

Verifica a taglio (§4.4.8.1.9 - NTC)

x	Tyd	Tzd	τ_d	fvd	Kmod	Comb.	SF
cm	kg	kg	kg/cmq	kg/cmq			
0.0	1	729	5	22	0.9	3	4.8

Verifica Incendio: R30(min), d_eff = 2.2 [cm], β_{char} 0.50 (mm/min), b_eff=5.6 cm, h_eff=21.8 cm

Verifica a flessione (§4.4.8.1.6, §4.4.8.1.1 - NTC)

Parametri di verifica: km=0.70, kh,y=1.00, kh,z=1.00, kcrit,m=0.73, Leff=484.6cm

Instabilità di trave: **Instabilità nel piano XY**

x	Myd	Mzd	σ_{myd}	σ_{mzd}	fmyd	fmzd	Kmod	Comb.	SF
cm	kg*m	kg*m	kg/cmq	kg/cmq	kg/cmq	kg/cmq			
0.0	151	0	34	0	276	276	1	51	5.9

Verifica a taglio (§4.4.8.1.9 - NTC)

x	Tyd	Tzd	τ_d	fvd	Kmod	Comb.	SF
cm	kg	kg	kg/cmq	kg/cmq			
0.0	0	183	2	40	1	51	18

Asta: 193 [0,0]: Sez. R: b=10.0 cm, h=24.0 cm, L=346.0 cm, Crit.Prog: Legno_Arcareccio: **Verificato**

Verifica a flessione (§4.4.8.1.6, §4.4.8.1.1 - NTC)

Parametri di verifica: km=0.70, kh,y=1.10, kh,z=1.10, kcrit,m=1.00, Leff=311.4cm

Instabilità di trave: **Trascurabile**

x	Myd	Mzd	σ_{myd}	σ_{mzd}	fmyd	fmzd	Kmod	Comb.	SF
cm	kg*m	kg*m	kg/cmq	kg/cmq	kg/cmq	kg/cmq			
346.0	250	0	26	0	163	164	0.9	3	6.3

Verifica a taglio (§4.4.8.1.9 - NTC)

x	Tyd	Tzd	τ_d	fvd	Kmod	Comb.	SF
cm	kg	kg	kg/cmq	kg/cmq			
0.0	1	373	2	22	0.9	3	9.3

Verifica Incendio: R30(min), d_eff = 2.2 [cm], β_{char} 0.50 (mm/min), b_eff=5.6 cm, h_eff=21.8 cm

Verifica a flessione (§4.4.8.1.6, §4.4.8.1.1 - NTC)

Parametri di verifica: km=0.70, kh,y=1.00, kh,z=1.00, kcrit,m=0.89, Leff=311.4cm

Instabilità di trave: **Instabilità nel piano XY**

x	Myd	Mzd	σ_{myd}	σ_{mzd}	fmyd	fmzd	Kmod	Comb.	SF
cm	kg*m	kg*m	kg/cmq	kg/cmq	kg/cmq	kg/cmq			
346.0	75	0	17	0	276	276	1	51	15

Verifica a taglio (§4.4.8.1.9 - NTC)

x	Tyd	Tzd	τ_d	fvd	Kmod	Comb.	SF
cm	kg	kg	kg/cmq	kg/cmq			
346.0	0	97	1	40	1	51	34

Asta: 194 [0,0]: Sez. R: b=10.0 cm, h=24.0 cm, L=547.5 cm, Crit.Prog: Legno_Arcareccio: **Verificato**

Verifica a flessione (§4.4.8.1.6, §4.4.8.1.1 - NTC)

Parametri di verifica: $k_m=0.70$, $k_{h,y}=1.10$, $k_{h,z}=1.10$, $k_{crit,m}=1.00$, $L_{eff}=492.7\text{cm}$

Instabilità di trave: **Trascurabile**

x	Myd	Mzd	σ_{myd}	σ_{mzd}	fmyd	fmzd	Kmod	Comb.	SF
cm	kg*m	kg*m	kg/cmq	kg/cmq	kg/cmq	kg/cmq			
547.5	650	0	68	0	163	164	0.9	3	2.4

Verifica a taglio (§4.4.8.1.9 - NTC)

x	Tyd	Tzd	τ_d	fvd	Kmod	Comb.	SF
cm	kg	kg	kg/cmq	kg/cmq			
0.0	1	715	4	22	0.9	3	4.9

Verifica Incendio: R30(min), $d_{eff} = 2.2$ [cm], $\beta_{char} 0.50$ (mm/min), $b_{eff}=5.6$ cm, $h_{eff}=21.8$ cm

Verifica a flessione (§4.4.8.1.6, §4.4.8.1.1 - NTC)

Parametri di verifica: $k_m=0.70$, $k_{h,y}=1.00$, $k_{h,z}=1.00$, $k_{crit,m}=0.72$, $L_{eff}=492.7\text{cm}$

Instabilità di trave: **Instabilità nel piano XY**

x	Myd	Mzd	σ_{myd}	σ_{mzd}	fmyd	fmzd	Kmod	Comb.	SF
cm	kg*m	kg*m	kg/cmq	kg/cmq	kg/cmq	kg/cmq			
547.5	169	0	38	0	276	276	1	51	5.2

Verifica a taglio (§4.4.8.1.9 - NTC)

x	Tyd	Tzd	τ_d	fvd	Kmod	Comb.	SF
cm	kg	kg	kg/cmq	kg/cmq			
0.0	0	179	2	40	1	51	18

Asta: 194 [0,0]: Sez. R: $b=10.0$ cm, $h=24.0$ cm, $L=354.3$ cm, Crit.Prog: Legno_Arcareccio: **Verificato**

Verifica a flessione (§4.4.8.1.6, §4.4.8.1.1 - NTC)

Parametri di verifica: $k_m=0.70$, $k_{h,y}=1.10$, $k_{h,z}=1.10$, $k_{crit,m}=1.00$, $L_{eff}=318.9\text{cm}$

Instabilità di trave: **Trascurabile**

x	Myd	Mzd	σ_{myd}	σ_{mzd}	fmyd	fmzd	Kmod	Comb.	SF
cm	kg*m	kg*m	kg/cmq	kg/cmq	kg/cmq	kg/cmq			
354.3	240	0	25	0	163	164	0.9	3	6.5

Verifica a taglio (§4.4.8.1.9 - NTC)

x	Tyd	Tzd	τ_d	fvd	Kmod	Comb.	SF
cm	kg	kg	kg/cmq	kg/cmq			
0.0	2	369	2	22	0.9	3	9.4

Verifica Incendio: R30(min), $d_{eff} = 2.2$ [cm], $\beta_{char} 0.50$ (mm/min), $b_{eff}=5.6$ cm, $h_{eff}=21.8$ cm

Verifica a flessione (§4.4.8.1.6, §4.4.8.1.1 - NTC)

Parametri di verifica: $k_m=0.70$, $k_{h,y}=1.00$, $k_{h,z}=1.00$, $k_{crit,m}=0.89$, $L_{eff}=318.9\text{cm}$

Instabilità di trave: **Instabilità nel piano XY**

x	Myd	Mzd	σ_{myd}	σ_{mzd}	fmyd	fmzd	Kmod	Comb.	SF
cm	kg*m	kg*m	kg/cmq	kg/cmq	kg/cmq	kg/cmq			
354.3	71	0	16	0	276	276	1	51	15

Verifica a taglio (§4.4.8.1.9 - NTC)

x	Tyd	Tzd	τ_d	fvd	Kmod	Comb.	SF
cm	kg	kg	kg/cmq	kg/cmq			
354.3	0	98	1	40	1	51	33

Asta: 106 [0,0]: Sez. R: $b=20.0$ cm, $h=70.0$ cm, $L=88.0$ cm, Crit.Prog: Legno_Tenso-Pressoflessione: **Verificato**

Verifica a pressoflessione (§4.4.8.1.8 - NTC, §7.6.1.2.3 - CNR DT 206/2018)

Parametri di verifica: $k_m=0.70$, $k_{h,y}=1.00$, $k_{h,z}=1.10$, $k_{crit,c}=1.00$, $k_{crit,m}=1.00$, $L_o=88.0\text{cm}$, $L_{eff}=79.2\text{cm}$

Instabilità di colonna: **Trascurabile**, Instabilità di trave: **Trascurabile**

x	Nd	Myd	Mzd	σ_{c0d}	σ_{myd}	σ_{mzd}	f_{c0d}	fmyd	fmzd	Kmod	Comb.	SF
---	----	-----	-----	----------------	----------------	----------------	-----------	------	------	------	-------	----

x	Nd	Myd	Mzd	σ_{cd}	σ_{myd}	σ_{mzd}	f_{cd}	f_{myd}	f_{mzd}	Kmod	Comb.	SF
cm	kg	kg*m	kg*m	kg/cm q	kg/cm q	kg/cm q	kg/cm q	kg/cm q	kg/cm q			
88.0	-283	900	42	-0	6	1	133	149	164	0.9	3	24

Verifica a tensoflessione (§4.4.8.1.8 - NTC, §7.6.1.2.3 - CNR DT 206/2018)

Parametri di verifica: $k_m=0.70$, $k_h=0.98$, $k_{h,y}=1.00$, $k_{h,z}=1.10$, $k_{crit,m}=1.00$, $L_{eff}=79.2\text{cm}$

Instabilità di trave: **Trascurabile**

x	Nd	Myd	Mzd	σ_{td}	σ_{myd}	σ_{mzd}	f_{td}	f_{myd}	f_{mzd}	Kmod	Comb.	SF
cm	kg	kg*m	kg*m	kg/cm q	kg/cm q	kg/cm q	kg/cm q	kg/cm q	kg/cm q			
0.0	1076	505	97	1	3	2	115	166	182	1	(16+17)-II-1	30

Verifica a taglio (§4.4.8.1.9 - NTC)

x	Tyd	Tzd	τ_d	fvd	Kmod	Comb.	SF
cm	kg	kg	kg/cmq	kg/cmq			
0.0	62	1462	2	22	0.9	3	14

Verifica Incendio: R60(min), $d_{eff} = 4.9$ [cm], $\beta_{char} 0.70$ (mm/min), $b_{eff}=10.2$ cm, $h_{eff}=65.1$ cm

Verifica a tensoflessione (§4.4.8.1.8 - NTC, §7.6.1.2.3 - CNR DT 206/2018)

Parametri di verifica: $k_m=0.70$, $k_h=1.00$, $k_{h,y}=1.00$, $k_{h,z}=1.00$, $k_{crit,m}=1.00$, $L_{eff}=79.2\text{cm}$

Instabilità di trave: **Trascurabile**

x	Nd	Myd	Mzd	σ_{td}	σ_{myd}	σ_{mzd}	f_{td}	f_{myd}	f_{mzd}	Kmod	Comb.	SF
cm	kg	kg*m	kg*m	kg/cm q	kg/cm q	kg/cm q	kg/cm q	kg/cm q	kg/cm q			
88.0	120	212	12	0	3	1	195	276	276	1	51	70

Verifica a taglio (§4.4.8.1.9 - NTC)

x	Tyd	Tzd	τ_d	fvd	Kmod	Comb.	SF
cm	kg	kg	kg/cmq	kg/cmq			
0.0	19	397	1	40	1	51	45

Asta: 106 [0,0]: Sez. R: $b=20.0$ cm, $h=70.0$ cm, $L=88.0$ cm, Crit.Prog: Legno_Tenso-Pressoflessione:
Verificato

Verifica a pressoflessione (§4.4.8.1.8 - NTC, §7.6.1.2.3 - CNR DT 206/2018)

Parametri di verifica: $k_m=0.70$, $k_{h,y}=1.00$, $k_{h,z}=1.10$, $k_{crit,c}=1.00$, $k_{crit,m}=1.00$, $L_o=88.0\text{cm}$, $L_{eff}=79.2\text{cm}$

Instabilità di colonna: **Trascurabile**, Instabilità di trave: **Trascurabile**

x	Nd	Myd	Mzd	σ_{cd}	σ_{myd}	σ_{mzd}	f_{cd}	f_{myd}	f_{mzd}	Kmod	Comb.	SF
cm	kg	kg*m	kg*m	kg/cm q	kg/cm q	kg/cm q	kg/cm q	kg/cm q	kg/cm q			
88.0	-281	962	51	-0	6	1	133	149	164	0.9	3	23

Verifica a tensoflessione (§4.4.8.1.8 - NTC, §7.6.1.2.3 - CNR DT 206/2018)

Parametri di verifica: $k_m=0.70$, $k_h=0.98$, $k_{h,y}=1.00$, $k_{h,z}=1.10$, $k_{crit,m}=1.00$, $L_{eff}=79.2\text{cm}$

Instabilità di trave: **Trascurabile**

x	Nd	Myd	Mzd	σ_{td}	σ_{myd}	σ_{mzd}	f_{td}	f_{myd}	f_{mzd}	Kmod	Comb.	SF
cm	kg	kg*m	kg*m	kg/cm q	kg/cm q	kg/cm q	kg/cm q	kg/cm q	kg/cm q			
0.0	1240	384	9	1	2	0	115	166	182	1	(16+17)-I-1	44

Verifica a taglio (§4.4.8.1.9 - NTC)

x	Tyd	Tzd	τ_d	fvd	Kmod	Comb.	SF
cm	kg	kg	kg/cmq	kg/cmq			
88.0	71	564	1	24	1	(16+17)-II-1	40

Verifica Incendio: R60(min), $d_{eff} = 4.9$ [cm], $\beta_{char} 0.70$ (mm/min), $b_{eff}=10.2$ cm, $h_{eff}=65.1$ cm

Verifica a tensoflessione (§4.4.8.1.8 - NTC, §7.6.1.2.3 - CNR DT 206/2018)

Parametri di verifica: $k_m=0.70$, $k_h=1.00$, $k_{h,y}=1.00$, $k_{h,z}=1.00$, $k_{crit,m}=1.00$, $L_{eff}=79.2\text{cm}$

Instabilità di trave: **Trascurabile**

x	Nd	Myd	Mzd	σ_{td}	σ_{myd}	σ_{mzd}	f_{td}	f_{myd}	f_{mzd}	Kmod	Comb.	SF
---	----	-----	-----	---------------	----------------	----------------	----------	-----------	-----------	------	-------	----

x	Nd	Myd	Mzd	σ_{t0d}	σ_{myd}	σ_{mzd}	f_{t0d}	f_{myd}	f_{mzd}	Kmod	Comb.	SF
cm	kg	kg*m	kg*m	kg/cm q	kg/cm q	kg/cm q	kg/cm q	kg/cm q	kg/cm q			
0.0	121	212	11	0	3	1	195	276	276	1	51	72

Verifica a taglio (§4.4.8.1.9 - NTC)

x	Tyd	Tzd	τ_d	fvd	Kmod	Comb.	SF
cm	kg	kg	kg/cmq	kg/cmq			
88.0	1	97	0	40	1	51	>100

Asta: 106 [0,0]: Sez. R: b=20.0 cm, h=70.0 cm, L=88.0 cm, Crit.Prog: Legno_Tenso-Pressoflessione:
Verificato

Verifica a pressoflessione (§4.4.8.1.8 - NTC, §7.6.1.2.3 - CNR DT 206/2018)

Parametri di verifica: $k_m=0.70$, $k_{h,y}=1.00$, $k_{h,z}=1.10$, $k_{crit,c}=1.00$, $k_{crit,m}=1.00$, $L_o=88.0\text{cm}$, $L_{eff}=79.2\text{cm}$

Instabilità di colonna: **Trascurabile**, Instabilità di trave: **Trascurabile**

x	Nd	Myd	Mzd	σ_{c0d}	σ_{myd}	σ_{mzd}	f_{c0d}	f_{myd}	f_{mzd}	Kmod	Comb.	SF
cm	kg	kg*m	kg*m	kg/cm q	kg/cm q	kg/cm q	kg/cm q	kg/cm q	kg/cm q			
0.0	-279	964	50	-0	6	1	133	149	164	0.9	3	23

Verifica a tensoflessione (§4.4.8.1.8 - NTC, §7.6.1.2.3 - CNR DT 206/2018)

Parametri di verifica: $k_m=0.70$, $k_h=0.98$, $k_{h,y}=1.00$, $k_{h,z}=1.10$, $k_{crit,m}=1.00$, $L_{eff}=79.2\text{cm}$

Instabilità di trave: **Trascurabile**

x	Nd	Myd	Mzd	σ_{t0d}	σ_{myd}	σ_{mzd}	f_{t0d}	f_{myd}	f_{mzd}	Kmod	Comb.	SF
cm	kg	kg*m	kg*m	kg/cm q	kg/cm q	kg/cm q	kg/cm q	kg/cm q	kg/cm q			
88.0	1149	788	20	1	5	0	115	166	182	1	(16+17)-I-1	26

Verifica a taglio (§4.4.8.1.9 - NTC)

x	Tyd	Tzd	τ_d	fvd	Kmod	Comb.	SF
cm	kg	kg	kg/cmq	kg/cmq			
88.0	11	1320	1	22	0.9	3	15

Verifica Incendio: R60(min), $d_{eff} = 4.9$ [cm], $\beta_{char} 0.70$ (mm/min), $b_{eff}=10.2$ cm, $h_{eff}=65.1$ cm

Verifica a tensoflessione (§4.4.8.1.8 - NTC, §7.6.1.2.3 - CNR DT 206/2018)

Parametri di verifica: $k_m=0.70$, $k_h=1.00$, $k_{h,y}=1.00$, $k_{h,z}=1.00$, $k_{crit,m}=1.00$, $L_{eff}=79.2\text{cm}$

Instabilità di trave: **Trascurabile**

x	Nd	Myd	Mzd	σ_{t0d}	σ_{myd}	σ_{mzd}	f_{t0d}	f_{myd}	f_{mzd}	Kmod	Comb.	SF
cm	kg	kg*m	kg*m	kg/cm q	kg/cm q	kg/cm q	kg/cm q	kg/cm q	kg/cm q			
88.0	122	230	4	0	3	0	195	276	276	1	51	74

Verifica a taglio (§4.4.8.1.9 - NTC)

x	Tyd	Tzd	τ_d	fvd	Kmod	Comb.	SF
cm	kg	kg	kg/cmq	kg/cmq			
88.0	7	497	1	40	1	51	36

Asta: 106 [0,253]: Sez. R: b=20.0 cm, h=70.0 cm, L=88.0 cm, Crit.Prog: Legno_Tenso-Pressoflessione:
Verificato

Verifica a pressoflessione (§4.4.8.1.8 - NTC, §7.6.1.2.3 - CNR DT 206/2018)

Parametri di verifica: $k_m=0.70$, $k_{h,y}=1.00$, $k_{h,z}=1.10$, $k_{crit,c}=1.00$, $k_{crit,m}=1.00$, $L_o=88.0\text{cm}$, $L_{eff}=79.2\text{cm}$

Instabilità di colonna: **Trascurabile**, Instabilità di trave: **Trascurabile**

x	Nd	Myd	Mzd	σ_{c0d}	σ_{myd}	σ_{mzd}	f_{c0d}	f_{myd}	f_{mzd}	Kmod	Comb.	SF
cm	kg	kg*m	kg*m	kg/cm q	kg/cm q	kg/cm q	kg/cm q	kg/cm q	kg/cm q			
88.0	-278	2404	138	-0	15	3	133	149	164	0.9	3	9.0

Verifica a tensoflessione (§4.4.8.1.8 - NTC, §7.6.1.2.3 - CNR DT 206/2018)

Parametri di verifica: $k_m=0.70$, $k_h=0.98$, $k_{h,y}=1.00$, $k_{h,z}=1.10$, $k_{crit,m}=1.00$, $L_{eff}=79.2\text{cm}$

Instabilità di trave: **Trascurabile**

x	Nd	Myd	Mzd	σ_{t0d}	σ_{myd}	σ_{mzd}	f_{t0d}	f_{myd}	f_{mzd}	Kmod	Comb.	SF
cm	kg	kg*m	kg*m	kg/cm q	kg/cm q	kg/cm q	kg/cm q	kg/cm q	kg/cm q			
88.0	1061	1921	177	1	12	4	115	166	182	1	(16+17)-I-1	11

Verifica a taglio (§4.4.8.1.9 - NTC)

x	Tyd	Tzd	τ_d	fvd	Kmod	Comb.	SF
cm	kg	kg	kg/cmq	kg/cmq			
88.0	203	2639	3	22	0.9	3	7.7

Verifica Incendio: R60(min), $d_{eff} = 4.9$ [cm], $\beta_{char} 0.70$ (mm/min), $b_{eff}=10.2$ cm, $h_{eff}=65.1$ cm

Verifica a tensoflessione (§4.4.8.1.8 - NTC, §7.6.1.2.3 - CNR DT 206/2018)

Parametri di verifica: $k_m=0.70$, $k_h=1.00$, $k_{h,y}=1.00$, $k_{h,z}=1.00$, $k_{crit,m}=1.00$, $L_{eff}=79.2\text{cm}$

Instabilità di trave: **Trascurabile**

x	Nd	Myd	Mzd	σ_{t0d}	σ_{myd}	σ_{mzd}	f_{t0d}	f_{myd}	f_{mzd}	Kmod	Comb.	SF
cm	kg	kg*m	kg*m	kg/cm q	kg/cm q	kg/cm q	kg/cm q	kg/cm q	kg/cm q			
88.0	122	979	22	0	14	2	195	276	276	1	51	18

Verifica a taglio (§4.4.8.1.9 - NTC)

x	Tyd	Tzd	τ_d	fvd	Kmod	Comb.	SF
cm	kg	kg	kg/cmq	kg/cmq			
88.0	29	896	2	40	1	51	20

Asta: 109 [0,0]: Sez. R: $b=20.0$ cm, $h=70.0$ cm, $L=88.0$ cm, Crit.Prog: Legno_Tenso-Pressoflessione:
Verificato

Verifica a pressoflessione (§4.4.8.1.8 - NTC, §7.6.1.2.3 - CNR DT 206/2018)

Parametri di verifica: $k_m=0.70$, $k_{h,y}=1.00$, $k_{h,z}=1.10$, $k_{crit,c}=1.00$, $k_{crit,m}=1.00$, $L_o=88.0\text{cm}$, $L_{eff}=79.2\text{cm}$

Instabilità di colonna: **Trascurabile**, Instabilità di trave: **Trascurabile**

x	Nd	Myd	Mzd	σ_{c0d}	σ_{myd}	σ_{mzd}	f_{c0d}	f_{myd}	f_{mzd}	Kmod	Comb.	SF
cm	kg	kg*m	kg*m	kg/cm q	kg/cm q	kg/cm q	kg/cm q	kg/cm q	kg/cm q			
0.0	-1385	1303	129	-1	8	3	148	166	182	1	(16+17)-II-2	17

Verifica a tensoflessione (§4.4.8.1.8 - NTC, §7.6.1.2.3 - CNR DT 206/2018)

Parametri di verifica: $k_m=0.70$, $k_h=0.98$, $k_{h,y}=1.00$, $k_{h,z}=1.10$, $k_{crit,m}=1.00$, $L_{eff}=79.2\text{cm}$

Instabilità di trave: **Trascurabile**

x	Nd	Myd	Mzd	σ_{t0d}	σ_{myd}	σ_{mzd}	f_{t0d}	f_{myd}	f_{mzd}	Kmod	Comb.	SF
cm	kg	kg*m	kg*m	kg/cm q	kg/cm q	kg/cm q	kg/cm q	kg/cm q	kg/cm q			
0.0	309	1585	28	0	10	1	104	149	164	0.9	3	14

Verifica a taglio (§4.4.8.1.9 - NTC)

x	Tyd	Tzd	τ_d	fvd	Kmod	Comb.	SF
cm	kg	kg	kg/cmq	kg/cmq			
0.0	69	2003	2	22	0.9	3	10

Verifica Incendio: R60(min), $d_{eff} = 4.9$ [cm], $\beta_{char} 0.70$ (mm/min), $b_{eff}=10.2$ cm, $h_{eff}=65.1$ cm

Verifica a tensoflessione (§4.4.8.1.8 - NTC, §7.6.1.2.3 - CNR DT 206/2018)

Parametri di verifica: $k_m=0.70$, $k_h=1.00$, $k_{h,y}=1.00$, $k_{h,z}=1.00$, $k_{crit,m}=1.00$, $L_{eff}=79.2\text{cm}$

Instabilità di trave: **Trascurabile**

x	Nd	Myd	Mzd	σ_{t0d}	σ_{myd}	σ_{mzd}	f_{t0d}	f_{myd}	f_{mzd}	Kmod	Comb.	SF
cm	kg	kg*m	kg*m	kg/cm q	kg/cm q	kg/cm q	kg/cm q	kg/cm q	kg/cm q			
0.0	261	448	29	0	6	3	195	276	276	1	51	32

Verifica a taglio (§4.4.8.1.9 - NTC)

x	Tyd	Tzd	τ_d	fvd	Kmod	Comb.	SF
---	-----	-----	----------	-----	------	-------	----

x	Tyd	Tzd	τ_d	fvd	Kmod	Comb.	SF
cm	kg	kg	kg/cmq	kg/cmq			
0.0	40	502	1	40	1	51	35

Asta: 109 [0,0]: Sez. R: b=20.0 cm, h=70.0 cm, L=88.0 cm, Crit.Prog: Legno_Tenso-Pressoflessione:
Verificato

Verifica a pressoflessione (§4.4.8.1.8 - NTC, §7.6.1.2.3 - CNR DT 206/2018)

Parametri di verifica: km=0.70, kh,y=1.00, kh,z=1.10, kcrit,c=1.00, kcrit,m=1.00, Lo=88.0cm, Leff=79.2cm

Instabilità di colonna: **Trascurabile**, Instabilità di trave: **Trascurabile**

x	Nd	Myd	Mzd	σ_{c0d}	σ_{myd}	σ_{mzd}	f_{c0d}	f_{myd}	f_{mzd}	Kmod	Comb.	SF
cm	kg	kg*m	kg*m	kg/cm q	kg/cm q	kg/cm q	kg/cm q	kg/cm q	kg/cm q			
0.0	-1244	412	34	-1	3	1	148	166	182	1	(16+17)-II-2	55

Verifica a tensoflessione (§4.4.8.1.8 - NTC, §7.6.1.2.3 - CNR DT 206/2018)

Parametri di verifica: km=0.70, kh=0.98, kh,y=1.00, kh,z=1.10, kcrit,m=1.00, Leff=79.2cm

Instabilità di trave: **Trascurabile**

x	Nd	Myd	Mzd	σ_{t0d}	σ_{myd}	σ_{mzd}	f_{t0d}	f_{myd}	f_{mzd}	Kmod	Comb.	SF
cm	kg	kg*m	kg*m	kg/cm q	kg/cm q	kg/cm q	kg/cm q	kg/cm q	kg/cm q			
88.0	309	629	39	0	4	1	104	149	164	0.9	3	32

Verifica a taglio (§4.4.8.1.9 - NTC)

x	Tyd	Tzd	τ_d	fvd	Kmod	Comb.	SF
cm	kg	kg	kg/cmq	kg/cmq			
0.0	7	645	1	22	0.9	3	31

Verifica Incendio: R60(min), d_eff = 4.9 [cm], β_{char} 0.70 (mm/min), b_eff=10.2 cm, h_eff=65.1 cm

Verifica a tensoflessione (§4.4.8.1.8 - NTC, §7.6.1.2.3 - CNR DT 206/2018)

Parametri di verifica: km=0.70, kh=1.00, kh,y=1.00, kh,z=1.00, kcrit,m=1.00, Leff=79.2cm

Instabilità di trave: **Trascurabile**

x	Nd	Myd	Mzd	σ_{t0d}	σ_{myd}	σ_{mzd}	f_{t0d}	f_{myd}	f_{mzd}	Kmod	Comb.	SF
cm	kg	kg*m	kg*m	kg/cm q	kg/cm q	kg/cm q	kg/cm q	kg/cm q	kg/cm q			
88.0	261	18	11	0	0	1	195	276	276	1	51	>100

Verifica a taglio (§4.4.8.1.9 - NTC)

x	Tyd	Tzd	τ_d	fvd	Kmod	Comb.	SF
cm	kg	kg	kg/cmq	kg/cmq			
0.0	6	119	0	40	1	51	>100

Asta: 109 [0,0]: Sez. R: b=20.0 cm, h=70.0 cm, L=88.0 cm, Crit.Prog: Legno_Tenso-Pressoflessione:
Verificato

Verifica a pressoflessione (§4.4.8.1.8 - NTC, §7.6.1.2.3 - CNR DT 206/2018)

Parametri di verifica: km=0.70, kh,y=1.00, kh,z=1.10, kcrit,c=1.00, kcrit,m=1.00, Lo=88.0cm, Leff=79.2cm

Instabilità di colonna: **Trascurabile**, Instabilità di trave: **Trascurabile**

x	Nd	Myd	Mzd	σ_{c0d}	σ_{myd}	σ_{mzd}	f_{c0d}	f_{myd}	f_{mzd}	Kmod	Comb.	SF
cm	kg	kg*m	kg*m	kg/cm q	kg/cm q	kg/cm q	kg/cm q	kg/cm q	kg/cm q			
88.0	-1100	380	124	-1	2	3	148	166	182	1	(16+17)-II-2	41

Verifica a tensoflessione (§4.4.8.1.8 - NTC, §7.6.1.2.3 - CNR DT 206/2018)

Parametri di verifica: km=0.70, kh=0.98, kh,y=1.00, kh,z=1.10, kcrit,m=1.00, Leff=79.2cm

Instabilità di trave: **Trascurabile**

x	Nd	Myd	Mzd	σ_{t0d}	σ_{myd}	σ_{mzd}	f_{t0d}	f_{myd}	f_{mzd}	Kmod	Comb.	SF
cm	kg	kg*m	kg*m	kg/cm q	kg/cm q	kg/cm q	kg/cm q	kg/cm q	kg/cm q			
88.0	1623	894	116	1	5	2	115	166	182	1	(16+17)-II-1	19

Verifica a taglio (§4.4.8.1.9 - NTC)

x	T _{yd}	T _{zd}	τ _d	f _{vd}	K _{mod}	Comb.	SF
cm	kg	kg	kg/cmq	kg/cmq			
88.0	27	839	1	22	0.9	3	24

Verifica Incendio: R60(min), d_{eff} = 4.9 [cm], β_{char} 0.70 (mm/min), b_{eff}=10.2 cm, h_{eff}=65.1 cm

Verifica a tensoflessione (§4.4.8.1.8 - NTC, §7.6.1.2.3 - CNR DT 206/2018)

Parametri di verifica: km=0.70, kh=1.00, kh,y=1.00, kh,z=1.00, k_{crit,m}=1.00, Leff=79.2cm

Instabilità di trave: **Trascurabile**

x	N _d	M _{yd}	M _{zd}	σ _{t0d}	σ _{myd}	σ _{mzd}	f _{t0d}	f _{myd}	f _{mzd}	K _{mod}	Comb.	SF
cm	kg	kg*m	kg*m	kg/cm q	kg/cm q	kg/cm q	kg/cm q	kg/cm q	kg/cm q			
88.0	261	257	4	0	4	0	195	276	276	1	51	63

Verifica a taglio (§4.4.8.1.9 - NTC)

x	T _{yd}	T _{zd}	τ _d	f _{vd}	K _{mod}	Comb.	SF
cm	kg	kg	kg/cmq	kg/cmq			
88.0	18	358	1	40	1	51	50

Asta: 109 [0,248]: Sez. R: b=20.0 cm, h=70.0 cm, L=97.7 cm, Crit.Prog: Legno_Tenso-Pressoflessione: **Verificato**

Verifica a pressoflessione (§4.4.8.1.8 - NTC, §7.6.1.2.3 - CNR DT 206/2018)

Parametri di verifica: km=0.70, kh,y=1.00, kh,z=1.10, k_{crit,c}=1.00, k_{crit,m}=1.00, Lo=97.7cm, Leff=87.9cm

Instabilità di colonna: **Trascurabile**, Instabilità di trave: **Trascurabile**

x	N _d	M _{yd}	M _{zd}	σ _{c0d}	σ _{myd}	σ _{mzd}	f _{c0d}	f _{myd}	f _{mzd}	K _{mod}	Comb.	SF
cm	kg	kg*m	kg*m	kg/cm q	kg/cm q	kg/cm q	kg/cm q	kg/cm q	kg/cm q			
97.7	-741	386	203	-1	2	4	148	166	182	1	(16+17)-I-3	29

Verifica a tensoflessione (§4.4.8.1.8 - NTC, §7.6.1.2.3 - CNR DT 206/2018)

Parametri di verifica: km=0.70, kh=0.98, kh,y=1.00, kh,z=1.10, k_{crit,m}=1.00, Leff=87.9cm

Instabilità di trave: **Trascurabile**

x	N _d	M _{yd}	M _{zd}	σ _{t0d}	σ _{myd}	σ _{mzd}	f _{t0d}	f _{myd}	f _{mzd}	K _{mod}	Comb.	SF
cm	kg	kg*m	kg*m	kg/cm q	kg/cm q	kg/cm q	kg/cm q	kg/cm q	kg/cm q			
97.7	1288	2108	177	1	13	4	115	166	182	1	(16+17)-I-1	9.9

Verifica a taglio (§4.4.8.1.9 - NTC)

x	T _{yd}	T _{zd}	τ _d	f _{vd}	K _{mod}	Comb.	SF
cm	kg	kg	kg/cmq	kg/cmq			
97.7	166	2166	2	22	0.9	3	9.3

Verifica Incendio: R60(min), d_{eff} = 4.9 [cm], β_{char} 0.70 (mm/min), b_{eff}=10.2 cm, h_{eff}=65.1 cm

Verifica a tensoflessione (§4.4.8.1.8 - NTC, §7.6.1.2.3 - CNR DT 206/2018)

Parametri di verifica: km=0.70, kh=1.00, kh,y=1.00, kh,z=1.00, k_{crit,m}=1.00, Leff=87.9cm

Instabilità di trave: **Trascurabile**

x	N _d	M _{yd}	M _{zd}	σ _{t0d}	σ _{myd}	σ _{mzd}	f _{t0d}	f _{myd}	f _{mzd}	K _{mod}	Comb.	SF
cm	kg	kg*m	kg*m	kg/cm q	kg/cm q	kg/cm q	kg/cm q	kg/cm q	kg/cm q			
97.7	273	861	13	0	12	1	195	276	276	1	51	21

Verifica a taglio (§4.4.8.1.9 - NTC)

x	T _{yd}	T _{zd}	τ _d	f _{vd}	K _{mod}	Comb.	SF
cm	kg	kg	kg/cmq	kg/cmq			
97.7	12	736	2	40	1	51	24

Asta: 195 [0,0]: Sez. R: b=10.0 cm, h=24.0 cm, L=276.0 cm, Crit.Prog: Legno_Arcareccio: **Verificato**

Verifica a flessione (§4.4.8.1.6, §4.4.8.1.1 - NTC)

Parametri di verifica: $k_m=0.70$, $k_{h,y}=1.10$, $k_{h,z}=1.10$, $k_{crit,m}=1.00$, $L_{eff}=248.4\text{cm}$

Instabilità di trave: **Trascurabile**

x	Myd	Mzd	σ_{myd}	σ_{mzd}	fmyd	fmzd	Kmod	Comb.	SF
cm	kg*m	kg*m	kg/cmq	kg/cmq	kg/cmq	kg/cmq			
276.0	298	0	31	0	163	164	0.9	3	5.3

Verifica a taglio (§4.4.8.1.9 - NTC)

x	Tyd	Tzd	τ_d	fvd	Kmod	Comb.	SF
cm	kg	kg	kg/cmq	kg/cmq			
276.0	1	464	3	22	0.9	3	7.5

Verifica Incendio: R30(min), $d_{eff} = 2.2$ [cm], $\beta_{char} 0.50$ (mm/min), $b_{eff}=5.6$ cm, $h_{eff}=21.8$ cm

Verifica a flessione (§4.4.8.1.6, §4.4.8.1.1 - NTC)

Parametri di verifica: $k_m=0.70$, $k_{h,y}=1.00$, $k_{h,z}=1.00$, $k_{crit,m}=0.96$, $L_{eff}=248.4\text{cm}$

Instabilità di trave: **Instabilità nel piano XY**

x	Myd	Mzd	σ_{myd}	σ_{mzd}	fmyd	fmzd	Kmod	Comb.	SF
cm	kg*m	kg*m	kg/cmq	kg/cmq	kg/cmq	kg/cmq			
276.0	81	0	18	0	276	276	1	51	15

Verifica a taglio (§4.4.8.1.9 - NTC)

x	Tyd	Tzd	τ_d	fvd	Kmod	Comb.	SF
cm	kg	kg	kg/cmq	kg/cmq			
276.0	1	121	1	40	1	51	27

Asta: 195 [0,0]: Sez. R: $b=10.0$ cm, $h=24.0$ cm, $L=478.8$ cm, Crit.Prog: Legno_Arcareccio: **Verificato**

Verifica a flessione (§4.4.8.1.6, §4.4.8.1.1 - NTC)

Parametri di verifica: $k_m=0.70$, $k_{h,y}=1.10$, $k_{h,z}=1.10$, $k_{crit,m}=1.00$, $L_{eff}=430.9\text{cm}$

Instabilità di trave: **Trascurabile**

x	Myd	Mzd	σ_{myd}	σ_{mzd}	fmyd	fmzd	Kmod	Comb.	SF
cm	kg*m	kg*m	kg/cmq	kg/cmq	kg/cmq	kg/cmq			
478.8	541	0	56	0	163	164	0.9	3	2.9

Verifica a taglio (§4.4.8.1.9 - NTC)

x	Tyd	Tzd	τ_d	fvd	Kmod	Comb.	SF
cm	kg	kg	kg/cmq	kg/cmq			
478.8	0	704	4	22	0.9	3	4.9

Verifica Incendio: R30(min), $d_{eff} = 2.2$ [cm], $\beta_{char} 0.50$ (mm/min), $b_{eff}=5.6$ cm, $h_{eff}=21.8$ cm

Verifica a flessione (§4.4.8.1.6, §4.4.8.1.1 - NTC)

Parametri di verifica: $k_m=0.70$, $k_{h,y}=1.00$, $k_{h,z}=1.00$, $k_{crit,m}=0.78$, $L_{eff}=430.9\text{cm}$

Instabilità di trave: **Instabilità nel piano XY**

x	Myd	Mzd	σ_{myd}	σ_{mzd}	fmyd	fmzd	Kmod	Comb.	SF
cm	kg*m	kg*m	kg/cmq	kg/cmq	kg/cmq	kg/cmq			
478.8	133	0	30	0	276	276	1	51	7.2

Verifica a taglio (§4.4.8.1.9 - NTC)

x	Tyd	Tzd	τ_d	fvd	Kmod	Comb.	SF
cm	kg	kg	kg/cmq	kg/cmq			
478.8	0	174	2	40	1	51	19

Asta: 195 [0,0]: Sez. R: $b=10.0$ cm, $h=24.0$ cm, $L=311.9$ cm, Crit.Prog: Legno_Arcareccio: **Verificato**

Verifica a flessione (§4.4.8.1.6, §4.4.8.1.1 - NTC)

Parametri di verifica: $k_m=0.70$, $k_{h,y}=1.10$, $k_{h,z}=1.10$, $k_{crit,m}=1.00$, $L_{eff}=280.7\text{cm}$

Instabilità di trave: **Trascurabile**

x	Myd	Mzd	σ_{myd}	σ_{mzd}	fmyd	fmzd	Kmod	Comb.	SF
cm	kg*m	kg*m	kg/cmq	kg/cmq	kg/cmq	kg/cmq			
0.0	330	0	34	0	163	164	0.9	3	4.7

Verifica a taglio (§4.4.8.1.9 - NTC)

x	T _{yd}	T _{zd}	τ_d	f _{vd}	K _{mod}	Comb.	SF
cm	kg	kg	kg/cmq	kg/cmq			
0.0	1	497	3	22	0.9	3	7.0

Verifica Incendio: R30(min), d_{eff} = 2.2 [cm], β_{char} 0.50 (mm/min), b_{eff}=5.6 cm, h_{eff}=21.8 cm

Verifica a flessione (§4.4.8.1.6, §4.4.8.1.1 - NTC)

Parametri di verifica: k_m=0.70, k_{h,y}=1.00, k_{h,z}=1.00, k_{crit,m}=0.93, L_{eff}=280.7cm

Instabilità di trave: **Instabilità nel piano XY**

x	M _{yd}	M _{zd}	σ_{myd}	σ_{mzd}	f _{myd}	f _{mzd}	K _{mod}	Comb.	SF
cm	kg*m	kg*m	kg/cmq	kg/cmq	kg/cmq	kg/cmq			
0.0	85	0	19	0	276	276	1	51	13

Verifica a taglio (§4.4.8.1.9 - NTC)

x	T _{yd}	T _{zd}	τ_d	f _{vd}	K _{mod}	Comb.	SF
cm	kg	kg	kg/cmq	kg/cmq			
0.0	0	122	2	40	1	51	27

Asta: 196 [0,0]: Sez. R: b=10.0 cm, h=24.0 cm, L=276.0 cm, Crit.Prog: Legno_Arcareccio: **Verificato**

Verifica a flessione (§4.4.8.1.6, §4.4.8.1.1 - NTC)

Parametri di verifica: k_m=0.70, k_{h,y}=1.10, k_{h,z}=1.10, k_{crit,m}=1.00, L_{eff}=248.4cm

Instabilità di trave: **Trascurabile**

x	M _{yd}	M _{zd}	σ_{myd}	σ_{mzd}	f _{myd}	f _{mzd}	K _{mod}	Comb.	SF
cm	kg*m	kg*m	kg/cmq	kg/cmq	kg/cmq	kg/cmq			
276.0	336	0	35	0	163	164	0.9	3	4.7

Verifica a taglio (§4.4.8.1.9 - NTC)

x	T _{yd}	T _{zd}	τ_d	f _{vd}	K _{mod}	Comb.	SF
cm	kg	kg	kg/cmq	kg/cmq			
276.0	2	484	3	22	0.9	3	7.2

Verifica Incendio: R30(min), d_{eff} = 2.2 [cm], β_{char} 0.50 (mm/min), b_{eff}=5.6 cm, h_{eff}=21.8 cm

Verifica a flessione (§4.4.8.1.6, §4.4.8.1.1 - NTC)

Parametri di verifica: k_m=0.70, k_{h,y}=1.00, k_{h,z}=1.00, k_{crit,m}=0.96, L_{eff}=248.4cm

Instabilità di trave: **Instabilità nel piano XY**

x	M _{yd}	M _{zd}	σ_{myd}	σ_{mzd}	f _{myd}	f _{mzd}	K _{mod}	Comb.	SF
cm	kg*m	kg*m	kg/cmq	kg/cmq	kg/cmq	kg/cmq			
276.0	90	0	20	0	276	276	1	51	13

Verifica a taglio (§4.4.8.1.9 - NTC)

x	T _{yd}	T _{zd}	τ_d	f _{vd}	K _{mod}	Comb.	SF
cm	kg	kg	kg/cmq	kg/cmq			
276.0	1	126	2	40	1	51	26

Asta: 196 [0,0]: Sez. R: b=10.0 cm, h=24.0 cm, L=478.8 cm, Crit.Prog: Legno_Arcareccio: **Verificato**

Verifica a flessione (§4.4.8.1.6, §4.4.8.1.1 - NTC)

Parametri di verifica: k_m=0.70, k_{h,y}=1.10, k_{h,z}=1.10, k_{crit,m}=1.00, L_{eff}=430.9cm

Instabilità di trave: **Trascurabile**

x	M _{yd}	M _{zd}	σ_{myd}	σ_{mzd}	f _{myd}	f _{mzd}	K _{mod}	Comb.	SF
cm	kg*m	kg*m	kg/cmq	kg/cmq	kg/cmq	kg/cmq			
478.8	534	0	56	0	163	164	0.9	3	2.9

Verifica a taglio (§4.4.8.1.9 - NTC)

x	T _{yd}	T _{zd}	τ_d	f _{vd}	K _{mod}	Comb.	SF
cm	kg	kg	kg/cmq	kg/cmq			
478.8	0	707	4	22	0.9	3	4.9

Verifica Incendio: R30(min), $d_{eff} = 2.2$ [cm], $\beta_{char} 0.50$ (mm/min), $b_{eff}=5.6$ cm, $h_{eff}=21.8$ cm

Verifica a flessione (§4.4.8.1.6, §4.4.8.1.1 - NTC)

Parametri di verifica: $k_m=0.70$, $k_{h,y}=1.00$, $k_{h,z}=1.00$, $k_{crit,m}=0.78$, $L_{eff}=430.9$ cm

Instabilità di trave: **Instabilità nel piano XY**

x	Myd	Mzd	σ_{myd}	σ_{mzd}	fmyd	fmzd	Kmod	Comb.	SF
cm	kg*m	kg*m	kg/cmq	kg/cmq	kg/cmq	kg/cmq			
478.8	132	0	30	0	276	276	1	51	7.2

Verifica a taglio (§4.4.8.1.9 - NTC)

x	Tyd	Tzd	τ_d	fvd	Kmod	Comb.	SF
cm	kg	kg	kg/cmq	kg/cmq			
478.8	0	175	2	40	1	51	19

Asta: 196 [0,0]: Sez. R: $b=10.0$ cm, $h=24.0$ cm, $L=312.0$ cm, Crit.Prog: Legno_Arcareccio: **Verificato**

Verifica a flessione (§4.4.8.1.6, §4.4.8.1.1 - NTC)

Parametri di verifica: $k_m=0.70$, $k_{h,y}=1.10$, $k_{h,z}=1.10$, $k_{crit,m}=1.00$, $L_{eff}=280.8$ cm

Instabilità di trave: **Trascurabile**

x	Myd	Mzd	σ_{myd}	σ_{mzd}	fmyd	fmzd	Kmod	Comb.	SF
cm	kg*m	kg*m	kg/cmq	kg/cmq	kg/cmq	kg/cmq			
0.0	368	0	38	0	163	164	0.9	3	4.3

Verifica a taglio (§4.4.8.1.9 - NTC)

x	Tyd	Tzd	τ_d	fvd	Kmod	Comb.	SF
cm	kg	kg	kg/cmq	kg/cmq			
0.0	1	513	3	22	0.9	3	6.8

Verifica Incendio: R30(min), $d_{eff} = 2.2$ [cm], $\beta_{char} 0.50$ (mm/min), $b_{eff}=5.6$ cm, $h_{eff}=21.8$ cm

Verifica a flessione (§4.4.8.1.6, §4.4.8.1.1 - NTC)

Parametri di verifica: $k_m=0.70$, $k_{h,y}=1.00$, $k_{h,z}=1.00$, $k_{crit,m}=0.93$, $L_{eff}=280.8$ cm

Instabilità di trave: **Instabilità nel piano XY**

x	Myd	Mzd	σ_{myd}	σ_{mzd}	fmyd	fmzd	Kmod	Comb.	SF
cm	kg*m	kg*m	kg/cmq	kg/cmq	kg/cmq	kg/cmq			
0.0	95	0	21	0	276	276	1	51	12

Verifica a taglio (§4.4.8.1.9 - NTC)

x	Tyd	Tzd	τ_d	fvd	Kmod	Comb.	SF
cm	kg	kg	kg/cmq	kg/cmq			
0.0	0	127	2	40	1	51	26

Asta: 197 [0,0]: Sez. R: $b=10.0$ cm, $h=24.0$ cm, $L=276.0$ cm, Crit.Prog: Legno_Arcareccio: **Verificato**

Verifica a flessione (§4.4.8.1.6, §4.4.8.1.1 - NTC)

Parametri di verifica: $k_m=0.70$, $k_{h,y}=1.10$, $k_{h,z}=1.10$, $k_{crit,m}=1.00$, $L_{eff}=248.4$ cm

Instabilità di trave: **Trascurabile**

x	Myd	Mzd	σ_{myd}	σ_{mzd}	fmyd	fmzd	Kmod	Comb.	SF
cm	kg*m	kg*m	kg/cmq	kg/cmq	kg/cmq	kg/cmq			
276.0	339	0	35	0	163	164	0.9	3	4.6

Verifica a taglio (§4.4.8.1.9 - NTC)

x	Tyd	Tzd	τ_d	fvd	Kmod	Comb.	SF
cm	kg	kg	kg/cmq	kg/cmq			
276.0	2	486	3	22	0.9	3	7.2

Verifica Incendio: R30(min), $d_{eff} = 2.2$ [cm], $\beta_{char} 0.50$ (mm/min), $b_{eff}=5.6$ cm, $h_{eff}=21.8$ cm

Verifica a flessione (§4.4.8.1.6, §4.4.8.1.1 - NTC)

Parametri di verifica: $k_m=0.70$, $k_{h,y}=1.00$, $k_{h,z}=1.00$, $k_{crit,m}=0.96$, $L_{eff}=248.4$ cm

Instabilità di trave: **Instabilità nel piano XY**

x	Myd	Mzd	σ_{myd}	σ_{mzd}	fmyd	fmzd	Kmod	Comb.	SF
cm	kg*m	kg*m	kg/cmq	kg/cmq	kg/cmq	kg/cmq			

x	Myd	Mzd	σ_{myd}	σ_{mzd}	fmyd	fmzd	Kmod	Comb.	SF
276.0	90	0	20	0	276	276	1	51	13

Verifica a taglio (§4.4.8.1.9 - NTC)

x	Tyd	Tzd	τ_d	fvd	Kmod	Comb.	SF
cm	kg	kg	kg/cmq	kg/cmq			
276.0	1	126	2	40	1	51	26

Asta: 197 [0,0]: Sez. R: b=10.0 cm, h=24.0 cm, L=478.8 cm, Crit.Prog: Legno_Arcareccio: **Verificato**

Verifica a flessione (§4.4.8.1.6, §4.4.8.1.1 - NTC)

Parametri di verifica: km=0.70, kh,y=1.10, kh,z=1.10, kcrit,m=1.00, Leff=430.9cm

Instabilità di trave: **Trascurabile**

x	Myd	Mzd	σ_{myd}	σ_{mzd}	fmyd	fmzd	Kmod	Comb.	SF
cm	kg*m	kg*m	kg/cmq	kg/cmq	kg/cmq	kg/cmq			
478.8	535	0	56	0	163	164	0.9	3	2.9

Verifica a taglio (§4.4.8.1.9 - NTC)

x	Tyd	Tzd	τ_d	fvd	Kmod	Comb.	SF
cm	kg	kg	kg/cmq	kg/cmq			
478.8	0	707	4	22	0.9	3	4.9

Verifica Incendio: R30(min), d_eff = 2.2 [cm], β_{char} 0.50 (mm/min), b_eff=5.6 cm, h_eff=21.8 cm

Verifica a flessione (§4.4.8.1.6, §4.4.8.1.1 - NTC)

Parametri di verifica: km=0.70, kh,y=1.00, kh,z=1.00, kcrit,m=0.78, Leff=430.9cm

Instabilità di trave: **Instabilità nel piano XY**

x	Myd	Mzd	σ_{myd}	σ_{mzd}	fmyd	fmzd	Kmod	Comb.	SF
cm	kg*m	kg*m	kg/cmq	kg/cmq	kg/cmq	kg/cmq			
478.8	132	0	30	0	276	276	1	51	7.2

Verifica a taglio (§4.4.8.1.9 - NTC)

x	Tyd	Tzd	τ_d	fvd	Kmod	Comb.	SF
cm	kg	kg	kg/cmq	kg/cmq			
478.8	0	175	2	40	1	51	19

Asta: 197 [0,0]: Sez. R: b=10.0 cm, h=24.0 cm, L=312.0 cm, Crit.Prog: Legno_Arcareccio: **Verificato**

Verifica a flessione (§4.4.8.1.6, §4.4.8.1.1 - NTC)

Parametri di verifica: km=0.70, kh,y=1.10, kh,z=1.10, kcrit,m=1.00, Leff=280.8cm

Instabilità di trave: **Trascurabile**

x	Myd	Mzd	σ_{myd}	σ_{mzd}	fmyd	fmzd	Kmod	Comb.	SF
cm	kg*m	kg*m	kg/cmq	kg/cmq	kg/cmq	kg/cmq			
0.0	374	0	39	0	163	164	0.9	3	4.2

Verifica a taglio (§4.4.8.1.9 - NTC)

x	Tyd	Tzd	τ_d	fvd	Kmod	Comb.	SF
cm	kg	kg	kg/cmq	kg/cmq			
0.0	0	517	3	22	0.9	3	6.7

Verifica Incendio: R30(min), d_eff = 2.2 [cm], β_{char} 0.50 (mm/min), b_eff=5.6 cm, h_eff=21.8 cm

Verifica a flessione (§4.4.8.1.6, §4.4.8.1.1 - NTC)

Parametri di verifica: km=0.70, kh,y=1.00, kh,z=1.00, kcrit,m=0.93, Leff=280.8cm

Instabilità di trave: **Instabilità nel piano XY**

x	Myd	Mzd	σ_{myd}	σ_{mzd}	fmyd	fmzd	Kmod	Comb.	SF
cm	kg*m	kg*m	kg/cmq	kg/cmq	kg/cmq	kg/cmq			
0.0	96	0	22	0	276	276	1	51	12

Verifica a taglio (§4.4.8.1.9 - NTC)

x	Tyd	Tzd	τ_d	fvd	Kmod	Comb.	SF
cm	kg	kg	kg/cmq	kg/cmq			

x	Tyd	Tzd	τ_d	fvd	Kmod	Comb.	SF
0.0	0	128	2	40	1	51	26

Asta: 198 [0,0]: Sez. R: b=10.0 cm, h=24.0 cm, L=276.1 cm, Crit.Prog: Legno_Arcareccio: **Verificato**

Verifica a flessione (§4.4.8.1.6, §4.4.8.1.1 - NTC)

Parametri di verifica: $k_m=0.70$, $k_{h,y}=1.10$, $k_{h,z}=1.10$, $k_{crit,m}=1.00$, $L_{eff}=248.4\text{cm}$

Instabilità di trave: **Trascurabile**

x	Myd	Mzd	σ_{myd}	σ_{mzd}	fmyd	fmzd	Kmod	Comb.	SF
cm	kg*m	kg*m	kg/cm ²	kg/cm ²	kg/cm ²	kg/cm ²			
276.1	309	0	32	0	163	164	0.9	3	5.1

Verifica a taglio (§4.4.8.1.9 - NTC)

x	Tyd	Tzd	τ_d	fvd	Kmod	Comb.	SF
cm	kg	kg	kg/cm ²	kg/cm ²			
276.1	2	471	3	22	0.9	3	7.4

Verifica Incendio: R30(min), $d_{eff} = 2.2$ [cm], $\beta_{char} 0.50$ (mm/min), $b_{eff}=5.6$ cm, $h_{eff}=21.8$ cm

Verifica a flessione (§4.4.8.1.6, §4.4.8.1.1 - NTC)

Parametri di verifica: $k_m=0.70$, $k_{h,y}=1.00$, $k_{h,z}=1.00$, $k_{crit,m}=0.96$, $L_{eff}=248.4\text{cm}$

Instabilità di trave: **Instabilità nel piano XY**

x	Myd	Mzd	σ_{myd}	σ_{mzd}	fmyd	fmzd	Kmod	Comb.	SF
cm	kg*m	kg*m	kg/cm ²	kg/cm ²	kg/cm ²	kg/cm ²			
276.1	82	0	19	0	276	276	1	51	14

Verifica a taglio (§4.4.8.1.9 - NTC)

x	Tyd	Tzd	τ_d	fvd	Kmod	Comb.	SF
cm	kg	kg	kg/cm ²	kg/cm ²			
276.1	1	122	1	40	1	51	27

Asta: 198 [0,0]: Sez. R: b=10.0 cm, h=24.0 cm, L=478.7 cm, Crit.Prog: Legno_Arcareccio: **Verificato**

Verifica a flessione (§4.4.8.1.6, §4.4.8.1.1 - NTC)

Parametri di verifica: $k_m=0.70$, $k_{h,y}=1.10$, $k_{h,z}=1.10$, $k_{crit,m}=1.00$, $L_{eff}=430.9\text{cm}$

Instabilità di trave: **Trascurabile**

x	Myd	Mzd	σ_{myd}	σ_{mzd}	fmyd	fmzd	Kmod	Comb.	SF
cm	kg*m	kg*m	kg/cm ²	kg/cm ²	kg/cm ²	kg/cm ²			
478.7	542	0	56	0	163	164	0.9	3	2.9

Verifica a taglio (§4.4.8.1.9 - NTC)

x	Tyd	Tzd	τ_d	fvd	Kmod	Comb.	SF
cm	kg	kg	kg/cm ²	kg/cm ²			
478.7	0	705	4	22	0.9	3	4.9

Verifica Incendio: R30(min), $d_{eff} = 2.2$ [cm], $\beta_{char} 0.50$ (mm/min), $b_{eff}=5.6$ cm, $h_{eff}=21.8$ cm

Verifica a flessione (§4.4.8.1.6, §4.4.8.1.1 - NTC)

Parametri di verifica: $k_m=0.70$, $k_{h,y}=1.00$, $k_{h,z}=1.00$, $k_{crit,m}=0.78$, $L_{eff}=430.9\text{cm}$

Instabilità di trave: **Instabilità nel piano XY**

x	Myd	Mzd	σ_{myd}	σ_{mzd}	fmyd	fmzd	Kmod	Comb.	SF
cm	kg*m	kg*m	kg/cm ²	kg/cm ²	kg/cm ²	kg/cm ²			
0.0	132	0	30	0	276	276	1	51	7.2

Verifica a taglio (§4.4.8.1.9 - NTC)

x	Tyd	Tzd	τ_d	fvd	Kmod	Comb.	SF
cm	kg	kg	kg/cm ²	kg/cm ²			
0.0	0	174	2	40	1	51	19

Asta: 198 [0,0]: Sez. R: b=10.0 cm, h=24.0 cm, L=312.0 cm, Crit.Prog: Legno_Arcareccio: **Verificato**

Verifica a flessione (§4.4.8.1.6, §4.4.8.1.1 - NTC)

Parametri di verifica: $k_m=0.70$, $k_{h,y}=1.10$, $k_{h,z}=1.10$, $k_{crit,m}=1.00$, $L_{eff}=280.8\text{cm}$

Instabilità di trave: **Trascurabile**

x	Myd	Mzd	σ_{myd}	σ_{mzd}	fmyd	fmzd	Kmod	Comb.	SF
cm	kg*m	kg*m	kg/cmq	kg/cmq	kg/cmq	kg/cmq			
0.0	345	0	36	0	163	164	0.9	3	4.5

Verifica a taglio (§4.4.8.1.9 - NTC)

x	Tyd	Tzd	τ_d	fvd	Kmod	Comb.	SF
cm	kg	kg	kg/cmq	kg/cmq			
0.0	0	502	3	22	0.9	3	6.9

Verifica Incendio: R30(min), $d_{eff} = 2.2$ [cm], $\beta_{char} 0.50$ (mm/min), $b_{eff}=5.6$ cm, $h_{eff}=21.8$ cm

Verifica a flessione (§4.4.8.1.6, §4.4.8.1.1 - NTC)

Parametri di verifica: $k_m=0.70$, $k_{h,y}=1.00$, $k_{h,z}=1.00$, $k_{crit,m}=0.93$, $L_{eff}=280.8\text{cm}$

Instabilità di trave: **Instabilità nel piano XY**

x	Myd	Mzd	σ_{myd}	σ_{mzd}	fmyd	fmzd	Kmod	Comb.	SF
cm	kg*m	kg*m	kg/cmq	kg/cmq	kg/cmq	kg/cmq			
0.0	89	0	20	0	276	276	1	51	13

Verifica a taglio (§4.4.8.1.9 - NTC)

x	Tyd	Tzd	τ_d	fvd	Kmod	Comb.	SF
cm	kg	kg	kg/cmq	kg/cmq			
0.0	0	123	2	40	1	51	27

Asta: 132 [183,0]: Sez. R: $b=10.0$ cm, $h=24.0$ cm, $L=447.4$ cm, Crit.Prog: Legno_Arcareccio: **Verificato**

Verifica a flessione (§4.4.8.1.6, §4.4.8.1.1 - NTC)

Parametri di verifica: $k_m=0.70$, $k_{h,y}=1.10$, $k_{h,z}=1.10$, $k_{crit,m}=1.00$, $L_{eff}=402.7\text{cm}$

Instabilità di trave: **Trascurabile**

x	Myd	Mzd	σ_{myd}	σ_{mzd}	fmyd	fmzd	Kmod	Comb.	SF
cm	kg*m	kg*m	kg/cmq	kg/cmq	kg/cmq	kg/cmq			
0.0	631	0	66	0	163	164	0.9	3	2.5

Verifica a taglio (§4.4.8.1.9 - NTC)

x	Tyd	Tzd	τ_d	fvd	Kmod	Comb.	SF
cm	kg	kg	kg/cmq	kg/cmq			
0.0	0	682	4	22	0.9	3	5.1

Verifica Incendio: R30(min), $d_{eff} = 2.2$ [cm], $\beta_{char} 0.50$ (mm/min), $b_{eff}=5.6$ cm, $h_{eff}=21.8$ cm

Verifica a flessione (§4.4.8.1.6, §4.4.8.1.1 - NTC)

Parametri di verifica: $k_m=0.70$, $k_{h,y}=1.00$, $k_{h,z}=1.00$, $k_{crit,m}=0.80$, $L_{eff}=402.7\text{cm}$

Instabilità di trave: **Instabilità nel piano XY**

x	Myd	Mzd	σ_{myd}	σ_{mzd}	fmyd	fmzd	Kmod	Comb.	SF
cm	kg*m	kg*m	kg/cmq	kg/cmq	kg/cmq	kg/cmq			
0.0	205	0	46	0	276	276	1	51	4.8

Verifica a taglio (§4.4.8.1.9 - NTC)

x	Tyd	Tzd	τ_d	fvd	Kmod	Comb.	SF
cm	kg	kg	kg/cmq	kg/cmq			
0.0	0	217	3	40	1	51	15

Asta: 133 [184,0]: Sez. R: $b=10.0$ cm, $h=24.0$ cm, $L=447.4$ cm, Crit.Prog: Legno_Arcareccio: **Verificato**

Verifica a flessione (§4.4.8.1.6, §4.4.8.1.1 - NTC)

Parametri di verifica: $k_m=0.70$, $k_{h,y}=1.10$, $k_{h,z}=1.10$, $k_{crit,m}=1.00$, $L_{eff}=402.7\text{cm}$

Instabilità di trave: **Trascurabile**

x	Myd	Mzd	σ_{myd}	σ_{mzd}	fmyd	fmzd	Kmod	Comb.	SF
cm	kg*m	kg*m	kg/cmq	kg/cmq	kg/cmq	kg/cmq			
0.0	707	0	74	0	163	164	0.9	3	2.2

Verifica a taglio (§4.4.8.1.9 - NTC)

x	T _{yd}	T _{zd}	τ _d	f _{vd}	K _{mod}	Comb.	SF
cm	kg	kg	kg/cmq	kg/cmq			
0.0	0	709	4	22	0.9	3	4.9

Verifica Incendio: R30(min), d_{eff} = 2.2 [cm], β_{char} 0.50 (mm/min), b_{eff}=5.6 cm, h_{eff}=21.8 cm

Verifica a flessione (§4.4.8.1.6, §4.4.8.1.1 - NTC)

Parametri di verifica: km=0.70, kh,y=1.00, kh,z=1.00, k_{crit,m}=0.80, Leff=402.7cmInstabilità di trave: **Instabilità nel piano XY**

x	M _{yd}	M _{zd}	σ _{myd}	σ _{mzd}	f _{myd}	f _{mzd}	K _{mod}	Comb.	SF
cm	kg*m	kg*m	kg/cmq	kg/cmq	kg/cmq	kg/cmq			
0.0	229	0	52	0	276	276	1	51	4.3

Verifica a taglio (§4.4.8.1.9 - NTC)

x	T _{yd}	T _{zd}	τ _d	f _{vd}	K _{mod}	Comb.	SF
cm	kg	kg	kg/cmq	kg/cmq			
0.0	0	226	3	40	1	51	15

Asta: 134 [185,0]: Sez. R: b=10.0 cm, h=24.0 cm, L=447.4 cm, Crit.Prog: Legno_Arcareccio: **Verificato**

Verifica a flessione (§4.4.8.1.6, §4.4.8.1.1 - NTC)

Parametri di verifica: km=0.70, kh,y=1.10, kh,z=1.10, k_{crit,m}=1.00, Leff=402.7cmInstabilità di trave: **Trascurabile**

x	M _{yd}	M _{zd}	σ _{myd}	σ _{mzd}	f _{myd}	f _{mzd}	K _{mod}	Comb.	SF
cm	kg*m	kg*m	kg/cmq	kg/cmq	kg/cmq	kg/cmq			
0.0	746	0	78	0	163	164	0.9	3	2.1

Verifica a taglio (§4.4.8.1.9 - NTC)

x	T _{yd}	T _{zd}	τ _d	f _{vd}	K _{mod}	Comb.	SF
cm	kg	kg	kg/cmq	kg/cmq			
0.0	1	723	5	22	0.9	3	4.8

Verifica Incendio: R30(min), d_{eff} = 2.2 [cm], β_{char} 0.50 (mm/min), b_{eff}=5.6 cm, h_{eff}=21.8 cm

Verifica a flessione (§4.4.8.1.6, §4.4.8.1.1 - NTC)

Parametri di verifica: km=0.70, kh,y=1.00, kh,z=1.00, k_{crit,m}=0.80, Leff=402.7cmInstabilità di trave: **Instabilità nel piano XY**

x	M _{yd}	M _{zd}	σ _{myd}	σ _{mzd}	f _{myd}	f _{mzd}	K _{mod}	Comb.	SF
cm	kg*m	kg*m	kg/cmq	kg/cmq	kg/cmq	kg/cmq			
0.0	242	0	54	0	276	276	1	51	4.1

Verifica a taglio (§4.4.8.1.9 - NTC)

x	T _{yd}	T _{zd}	τ _d	f _{vd}	K _{mod}	Comb.	SF
cm	kg	kg	kg/cmq	kg/cmq			
0.0	1	230	3	40	1	51	14

Asta: 135 [186,0]: Sez. R: b=10.0 cm, h=24.0 cm, L=447.5 cm, Crit.Prog: Legno_Arcareccio: **Verificato**

Verifica a flessione (§4.4.8.1.6, §4.4.8.1.1 - NTC)

Parametri di verifica: km=0.70, kh,y=1.10, kh,z=1.10, k_{crit,m}=1.00, Leff=402.7cmInstabilità di trave: **Trascurabile**

x	M _{yd}	M _{zd}	σ _{myd}	σ _{mzd}	f _{myd}	f _{mzd}	K _{mod}	Comb.	SF
cm	kg*m	kg*m	kg/cmq	kg/cmq	kg/cmq	kg/cmq			
0.0	749	0	78	0	163	164	0.9	3	2.1

Verifica a taglio (§4.4.8.1.9 - NTC)

x	T _{yd}	T _{zd}	τ _d	f _{vd}	K _{mod}	Comb.	SF
cm	kg	kg	kg/cmq	kg/cmq			
0.0	1	724	5	22	0.9	3	4.8

Verifica Incendio: R30(min), d_{eff} = 2.2 [cm], β_{char} 0.50 (mm/min), b_{eff}=5.6 cm, h_{eff}=21.8 cm

Verifica a flessione (§4.4.8.1.6, §4.4.8.1.1 - NTC)

Parametri di verifica: $k_m=0.70$, $k_{h,y}=1.00$, $k_{h,z}=1.00$, $k_{crit,m}=0.80$, $L_{eff}=402.7\text{cm}$

Instabilità di trave: **Instabilità nel piano XY**

x	Myd	Mzd	σ_{myd}	σ_{mzd}	fmyd	fmzd	Kmod	Comb.	SF
cm	kg*m	kg*m	kg/cmq	kg/cmq	kg/cmq	kg/cmq			
0.0	242	0	55	0	276	276	1	51	4.1

Verifica a taglio (§4.4.8.1.9 - NTC)

x	Tyd	Tzd	τ_d	fvd	Kmod	Comb.	SF
cm	kg	kg	kg/cmq	kg/cmq			
0.0	1	230	3	40	1	51	14

Asta: 136 [187,0]: Sez. R: $b=10.0\text{ cm}$, $h=24.0\text{ cm}$, $L=447.5\text{ cm}$, Crit.Prog: Legno_Arcareccio: **Verificato**

Verifica a flessione (§4.4.8.1.6, §4.4.8.1.1 - NTC)

Parametri di verifica: $k_m=0.70$, $k_{h,y}=1.10$, $k_{h,z}=1.10$, $k_{crit,m}=1.00$, $L_{eff}=402.8\text{cm}$

Instabilità di trave: **Trascurabile**

x	Myd	Mzd	σ_{myd}	σ_{mzd}	fmyd	fmzd	Kmod	Comb.	SF
cm	kg*m	kg*m	kg/cmq	kg/cmq	kg/cmq	kg/cmq			
0.0	709	0	74	0	163	164	0.9	3	2.2

Verifica a taglio (§4.4.8.1.9 - NTC)

x	Tyd	Tzd	τ_d	fvd	Kmod	Comb.	SF
cm	kg	kg	kg/cmq	kg/cmq			
0.0	1	710	4	22	0.9	3	4.9

Verifica Incendio: R30(min), $d_{eff} = 2.2\text{ [cm]}$, $\beta_{char} 0.50\text{ (mm/min)}$, $b_{eff}=5.6\text{ cm}$, $h_{eff}=21.8\text{ cm}$

Verifica a flessione (§4.4.8.1.6, §4.4.8.1.1 - NTC)

Parametri di verifica: $k_m=0.70$, $k_{h,y}=1.00$, $k_{h,z}=1.00$, $k_{crit,m}=0.80$, $L_{eff}=402.8\text{cm}$

Instabilità di trave: **Instabilità nel piano XY**

x	Myd	Mzd	σ_{myd}	σ_{mzd}	fmyd	fmzd	Kmod	Comb.	SF
cm	kg*m	kg*m	kg/cmq	kg/cmq	kg/cmq	kg/cmq			
0.0	228	0	51	0	276	276	1	51	4.3

Verifica a taglio (§4.4.8.1.9 - NTC)

x	Tyd	Tzd	τ_d	fvd	Kmod	Comb.	SF
cm	kg	kg	kg/cmq	kg/cmq			
0.0	1	226	3	40	1	51	15

Asta: 137 [188,0]: Sez. R: $b=10.0\text{ cm}$, $h=24.0\text{ cm}$, $L=447.6\text{ cm}$, Crit.Prog: Legno_Arcareccio: **Verificato**

Verifica a flessione (§4.4.8.1.6, §4.4.8.1.1 - NTC)

Parametri di verifica: $k_m=0.70$, $k_{h,y}=1.10$, $k_{h,z}=1.10$, $k_{crit,m}=1.00$, $L_{eff}=402.8\text{cm}$

Instabilità di trave: **Trascurabile**

x	Myd	Mzd	σ_{myd}	σ_{mzd}	fmyd	fmzd	Kmod	Comb.	SF
cm	kg*m	kg*m	kg/cmq	kg/cmq	kg/cmq	kg/cmq			
0.0	593	0	62	0	163	164	0.9	3	2.6

Verifica a taglio (§4.4.8.1.9 - NTC)

x	Tyd	Tzd	τ_d	fvd	Kmod	Comb.	SF
cm	kg	kg	kg/cmq	kg/cmq			
0.0	1	637	4	22	0.9	3	5.5

Verifica Incendio: R30(min), $d_{eff} = 2.2\text{ [cm]}$, $\beta_{char} 0.50\text{ (mm/min)}$, $b_{eff}=5.6\text{ cm}$, $h_{eff}=21.8\text{ cm}$

Verifica a flessione (§4.4.8.1.6, §4.4.8.1.1 - NTC)

Parametri di verifica: $k_m=0.70$, $k_{h,y}=1.00$, $k_{h,z}=1.00$, $k_{crit,m}=0.80$, $L_{eff}=402.8\text{cm}$

Instabilità di trave: **Instabilità nel piano XY**

x	Myd	Mzd	σ_{myd}	σ_{mzd}	fmyd	fmzd	Kmod	Comb.	SF
cm	kg*m	kg*m	kg/cmq	kg/cmq	kg/cmq	kg/cmq			
0.0	191	0	43	0	276	276	1	51	5.1

Verifica a taglio (§4.4.8.1.9 - NTC)

x	T _{yd}	T _{zd}	τ_d	f _{vd}	K _{mod}	Comb.	SF
cm	kg	kg	kg/cmq	kg/cmq			
0.0	0	204	3	40	1	51	16

Asta: 199 [195,219]: Sez. R: b=10.0 cm, h=24.0 cm, L=477.6 cm, Crit.Prog: Legno_Arcareccio: **Verificato**

Verifica a flessione (§4.4.8.1.6, §4.4.8.1.1 - NTC)

Parametri di verifica: km=0.70, kh,y=1.10, kh,z=1.10, k_{crit,m}=1.00, Leff=429.9cm

Instabilità di trave: **Trascurabile**

x	M _{yd}	M _{zd}	σ_{myd}	σ_{mzd}	f _{myd}	f _{mzd}	K _{mod}	Comb.	SF
cm	kg*m	kg*m	kg/cmq	kg/cmq	kg/cmq	kg/cmq			
0.0	875	0	91	0	163	164	0.9	3	1.8

Verifica a taglio (§4.4.8.1.9 - NTC)

x	T _{yd}	T _{zd}	τ_d	f _{vd}	K _{mod}	Comb.	SF
cm	kg	kg	kg/cmq	kg/cmq			
0.0	2	973	6	22	0.9	3	3.6

Verifica Incendio: R30(min), d_{eff} = 2.2 [cm], β_{char} 0.50 (mm/min), b_{eff}=5.6 cm, h_{eff}=21.8 cm

Verifica a flessione (§4.4.8.1.6, §4.4.8.1.1 - NTC)

Parametri di verifica: km=0.70, kh,y=1.00, kh,z=1.00, k_{crit,m}=0.78, Leff=429.9cm

Instabilità di trave: **Instabilità nel piano XY**

x	M _{yd}	M _{zd}	σ_{myd}	σ_{mzd}	f _{myd}	f _{mzd}	K _{mod}	Comb.	SF
cm	kg*m	kg*m	kg/cmq	kg/cmq	kg/cmq	kg/cmq			
0.0	273	0	62	0	276	276	1	51	3.5

Verifica a taglio (§4.4.8.1.9 - NTC)

x	T _{yd}	T _{zd}	τ_d	f _{vd}	K _{mod}	Comb.	SF
cm	kg	kg	kg/cmq	kg/cmq			
0.0	1	299	4	40	1	51	11

Asta: 200 [194,0]: Sez. R: b=10.0 cm, h=24.0 cm, L=471.2 cm, Crit.Prog: Legno_Arcareccio: **Verificato**

Verifica a flessione (§4.4.8.1.6, §4.4.8.1.1 - NTC)

Parametri di verifica: km=0.70, kh,y=1.10, kh,z=1.10, k_{crit,m}=1.00, Leff=424.1cm

Instabilità di trave: **Trascurabile**

x	M _{yd}	M _{zd}	σ_{myd}	σ_{mzd}	f _{myd}	f _{mzd}	K _{mod}	Comb.	SF
cm	kg*m	kg*m	kg/cmq	kg/cmq	kg/cmq	kg/cmq			
0.0	752	0	78	0	163	164	0.9	3	2.1

Verifica a taglio (§4.4.8.1.9 - NTC)

x	T _{yd}	T _{zd}	τ_d	f _{vd}	K _{mod}	Comb.	SF
cm	kg	kg	kg/cmq	kg/cmq			
0.0	1	716	4	22	0.9	3	4.9

Verifica Incendio: R30(min), d_{eff} = 2.2 [cm], β_{char} 0.50 (mm/min), b_{eff}=5.6 cm, h_{eff}=21.8 cm

Verifica a flessione (§4.4.8.1.6, §4.4.8.1.1 - NTC)

Parametri di verifica: km=0.70, kh,y=1.00, kh,z=1.00, k_{crit,m}=0.78, Leff=424.1cm

Instabilità di trave: **Instabilità nel piano XY**

x	M _{yd}	M _{zd}	σ_{myd}	σ_{mzd}	f _{myd}	f _{mzd}	K _{mod}	Comb.	SF
cm	kg*m	kg*m	kg/cmq	kg/cmq	kg/cmq	kg/cmq			
0.0	240	0	54	0	276	276	1	51	4.0

Verifica a taglio (§4.4.8.1.9 - NTC)

x	T _{yd}	T _{zd}	τ_d	f _{vd}	K _{mod}	Comb.	SF
cm	kg	kg	kg/cmq	kg/cmq			
0.0	0	228	3	40	1	51	14

Asta: 201 [193,0]: Sez. R: b=10.0 cm, h=24.0 cm, L=465.4 cm, Crit.Prog: Legno_Arcareccio: **Verificato**

Verifica a flessione (§4.4.8.1.6, §4.4.8.1.1 - NTC)

Parametri di verifica: $k_m=0.70$, $k_{h,y}=1.10$, $k_{h,z}=1.10$, $k_{crit,m}=1.00$, $L_{eff}=418.9\text{cm}$

Instabilità di trave: **Trascurabile**

x	Myd	Mzd	σ_{myd}	σ_{mzd}	fmyd	fmzd	Kmod	Comb.	SF
cm	kg*m	kg*m	kg/cmq	kg/cmq	kg/cmq	kg/cmq			
0.0	763	0	79	0	163	164	0.9	3	2.1

Verifica a taglio (§4.4.8.1.9 - NTC)

x	Tyd	Tzd	τ_d	fvd	Kmod	Comb.	SF
cm	kg	kg	kg/cmq	kg/cmq			
0.0	1	705	4	22	0.9	3	4.9

Verifica Incendio: R30(min), $d_{eff} = 2.2$ [cm], $\beta_{char} 0.50$ (mm/min), $b_{eff}=5.6$ cm, $h_{eff}=21.8$ cm

Verifica a flessione (§4.4.8.1.6, §4.4.8.1.1 - NTC)

Parametri di verifica: $k_m=0.70$, $k_{h,y}=1.00$, $k_{h,z}=1.00$, $k_{crit,m}=0.79$, $L_{eff}=418.9\text{cm}$

Instabilità di trave: **Instabilità nel piano XY**

x	Myd	Mzd	σ_{myd}	σ_{mzd}	fmyd	fmzd	Kmod	Comb.	SF
cm	kg*m	kg*m	kg/cmq	kg/cmq	kg/cmq	kg/cmq			
0.0	245	0	55	0	276	276	1	51	3.9

Verifica a taglio (§4.4.8.1.9 - NTC)

x	Tyd	Tzd	τ_d	fvd	Kmod	Comb.	SF
cm	kg	kg	kg/cmq	kg/cmq			
0.0	0	225	3	40	1	51	15

Asta: 142 [192,0]: Sez. R: b=10.0 cm, h=24.0 cm, L=461.9 cm, Crit.Prog: Legno_Arcareccio: **Verificato**

Verifica a flessione (§4.4.8.1.6, §4.4.8.1.1 - NTC)

Parametri di verifica: $k_m=0.70$, $k_{h,y}=1.10$, $k_{h,z}=1.10$, $k_{crit,m}=1.00$, $L_{eff}=415.7\text{cm}$

Instabilità di trave: **Trascurabile**

x	Myd	Mzd	σ_{myd}	σ_{mzd}	fmyd	fmzd	Kmod	Comb.	SF
cm	kg*m	kg*m	kg/cmq	kg/cmq	kg/cmq	kg/cmq			
0.0	759	0	79	0	163	164	0.9	3	2.1

Verifica a taglio (§4.4.8.1.9 - NTC)

x	Tyd	Tzd	τ_d	fvd	Kmod	Comb.	SF
cm	kg	kg	kg/cmq	kg/cmq			
0.0	0	691	4	22	0.9	3	5.0

Verifica Incendio: R30(min), $d_{eff} = 2.2$ [cm], $\beta_{char} 0.50$ (mm/min), $b_{eff}=5.6$ cm, $h_{eff}=21.8$ cm

Verifica a flessione (§4.4.8.1.6, §4.4.8.1.1 - NTC)

Parametri di verifica: $k_m=0.70$, $k_{h,y}=1.00$, $k_{h,z}=1.00$, $k_{crit,m}=0.79$, $L_{eff}=415.7\text{cm}$

Instabilità di trave: **Instabilità nel piano XY**

x	Myd	Mzd	σ_{myd}	σ_{mzd}	fmyd	fmzd	Kmod	Comb.	SF
cm	kg*m	kg*m	kg/cmq	kg/cmq	kg/cmq	kg/cmq			
0.0	245	0	55	0	276	276	1	51	4.0

Verifica a taglio (§4.4.8.1.9 - NTC)

x	Tyd	Tzd	τ_d	fvd	Kmod	Comb.	SF
cm	kg	kg	kg/cmq	kg/cmq			
0.0	0	221	3	40	1	51	15

Asta: 141 [191,0]: Sez. R: b=10.0 cm, h=24.0 cm, L=458.7 cm, Crit.Prog: Legno_Arcareccio: **Verificato**

Verifica a flessione (§4.4.8.1.6, §4.4.8.1.1 - NTC)

Parametri di verifica: $k_m=0.70$, $k_{h,y}=1.10$, $k_{h,z}=1.10$, $k_{crit,m}=1.00$, $L_{eff}=412.9\text{cm}$

Instabilità di trave: **Trascurabile**

x	Myd	Mzd	σ_{myd}	σ_{mzd}	fmyd	fmzd	Kmod	Comb.	SF
---	-----	-----	----------------	----------------	------	------	------	-------	----

x	Myd	Mzd	σ_{myd}	σ_{mzd}	fmyd	fmzd	Kmod	Comb.	SF
cm	kg*m	kg*m	kg/cmq	kg/cmq	kg/cmq	kg/cmq			
0.0	757	0	79	0	163	164	0.9	3	2.1

Verifica a taglio (§4.4.8.1.9 - NTC)

x	Tyd	Tzd	τ_d	fvd	Kmod	Comb.	SF
cm	kg	kg	kg/cmq	kg/cmq			
0.0	1	691	4	22	0.9	3	5.0

Verifica Incendio: R30(min), $d_{eff} = 2.2$ [cm], $\beta_{char} 0.50$ (mm/min), $b_{eff}=5.6$ cm, $h_{eff}=21.8$ cm

Verifica a flessione (§4.4.8.1.6, §4.4.8.1.1 - NTC)

Parametri di verifica: $k_m=0.70$, $k_{h,y}=1.00$, $k_{h,z}=1.00$, $k_{crit,m}=0.79$, $Leff=412.9$ cm

Instabilità di trave: **Instabilità nel piano XY**

x	Myd	Mzd	σ_{myd}	σ_{mzd}	fmyd	fmzd	Kmod	Comb.	SF
cm	kg*m	kg*m	kg/cmq	kg/cmq	kg/cmq	kg/cmq			
0.0	245	0	55	0	276	276	1	51	4.0

Verifica a taglio (§4.4.8.1.9 - NTC)

x	Tyd	Tzd	τ_d	fvd	Kmod	Comb.	SF
cm	kg	kg	kg/cmq	kg/cmq			
0.0	0	221	3	40	1	51	15

Asta: 140 [190,0]: Sez. R: $b=10.0$ cm, $h=24.0$ cm, $L=455.9$ cm, Crit.Prog: Legno_Arcareccio: **Verificato**

Verifica a flessione (§4.4.8.1.6, §4.4.8.1.1 - NTC)

Parametri di verifica: $k_m=0.70$, $k_{h,y}=1.10$, $k_{h,z}=1.10$, $k_{crit,m}=1.00$, $Leff=410.4$ cm

Instabilità di trave: **Trascurabile**

x	Myd	Mzd	σ_{myd}	σ_{mzd}	fmyd	fmzd	Kmod	Comb.	SF
cm	kg*m	kg*m	kg/cmq	kg/cmq	kg/cmq	kg/cmq			
0.0	900	0	94	0	163	164	0.9	3	1.7

Verifica a taglio (§4.4.8.1.9 - NTC)

x	Tyd	Tzd	τ_d	fvd	Kmod	Comb.	SF
cm	kg	kg	kg/cmq	kg/cmq			
0.0	2	938	6	22	0.9	3	3.7

Verifica Incendio: R30(min), $d_{eff} = 2.2$ [cm], $\beta_{char} 0.50$ (mm/min), $b_{eff}=5.6$ cm, $h_{eff}=21.8$ cm

Verifica a flessione (§4.4.8.1.6, §4.4.8.1.1 - NTC)

Parametri di verifica: $k_m=0.70$, $k_{h,y}=1.00$, $k_{h,z}=1.00$, $k_{crit,m}=0.80$, $Leff=410.4$ cm

Instabilità di trave: **Instabilità nel piano XY**

x	Myd	Mzd	σ_{myd}	σ_{mzd}	fmyd	fmzd	Kmod	Comb.	SF
cm	kg*m	kg*m	kg/cmq	kg/cmq	kg/cmq	kg/cmq			
0.0	283	0	64	0	276	276	1	51	3.4

Verifica a taglio (§4.4.8.1.9 - NTC)

x	Tyd	Tzd	τ_d	fvd	Kmod	Comb.	SF
cm	kg	kg	kg/cmq	kg/cmq			
0.0	1	290	4	40	1	51	11

Asta: 147 [0,0]: Sez. R: $b=10.0$ cm, $h=24.0$ cm, $L=271.7$ cm, Crit.Prog: Legno_Arcareccio: **Verificato**

Verifica a flessione (§4.4.8.1.6, §4.4.8.1.1 - NTC)

Parametri di verifica: $k_m=0.70$, $k_{h,y}=1.10$, $k_{h,z}=1.10$, $k_{crit,m}=1.00$, $Leff=244.5$ cm

Instabilità di trave: **Trascurabile**

x	Myd	Mzd	σ_{myd}	σ_{mzd}	fmyd	fmzd	Kmod	Comb.	SF
cm	kg*m	kg*m	kg/cmq	kg/cmq	kg/cmq	kg/cmq			
271.7	454	0	47	0	163	164	0.9	3	3.5

Verifica a taglio (§4.4.8.1.9 - NTC)

x	Tyd	Tzd	τ_d	fvd	Kmod	Comb.	SF
---	-----	-----	----------	-----	------	-------	----

x	Tyd	Tzd	τ_d	fvd	Kmod	Comb.	SF
cm	kg	kg	kg/cmq	kg/cmq			
271.7	8	568	4	22	0.9	3	6.1

Verifica Incendio: R30(min), $d_{eff} = 2.2$ [cm], $\beta_{char} 0.50$ (mm/min), $b_{eff}=5.6$ cm, $h_{eff}=21.8$ cm

Verifica a flessione (§4.4.8.1.6, §4.4.8.1.1 - NTC)

Parametri di verifica: $k_m=0.70$, $k_{h,y}=1.00$, $k_{h,z}=1.00$, $k_{crit,m}=0.97$, $L_{eff}=244.5$ cm

Instabilità di trave: **Instabilità nel piano XY**

x	Myd	Mzd	σ_{myd}	σ_{mzd}	fmyd	fmzd	Kmod	Comb.	SF
cm	kg*m	kg*m	kg/cmq	kg/cmq	kg/cmq	kg/cmq			
271.7	151	0	34	0	276	276	1	51	7.9

Verifica a taglio (§4.4.8.1.9 - NTC)

x	Tyd	Tzd	τ_d	fvd	Kmod	Comb.	SF
cm	kg	kg	kg/cmq	kg/cmq			
271.7	2	184	2	40	1	51	18

Asta: 146 [0,200]: Sez. R: $b=10.0$ cm, $h=24.0$ cm, $L=271.7$ cm, Crit.Prog: Legno_Arcareccio: **Verificato**

Verifica a flessione (§4.4.8.1.6, §4.4.8.1.1 - NTC)

Parametri di verifica: $k_m=0.70$, $k_{h,y}=1.10$, $k_{h,z}=1.10$, $k_{crit,m}=1.00$, $L_{eff}=244.5$ cm

Instabilità di trave: **Trascurabile**

x	Myd	Mzd	σ_{myd}	σ_{mzd}	fmyd	fmzd	Kmod	Comb.	SF
cm	kg*m	kg*m	kg/cmq	kg/cmq	kg/cmq	kg/cmq			
271.7	583	0	61	0	163	164	0.9	3	2.7

Verifica a taglio (§4.4.8.1.9 - NTC)

x	Tyd	Tzd	τ_d	fvd	Kmod	Comb.	SF
cm	kg	kg	kg/cmq	kg/cmq			
271.7	4	642	4	22	0.9	3	5.4

Verifica Incendio: R30(min), $d_{eff} = 2.2$ [cm], $\beta_{char} 0.50$ (mm/min), $b_{eff}=5.6$ cm, $h_{eff}=21.8$ cm

Verifica a flessione (§4.4.8.1.6, §4.4.8.1.1 - NTC)

Parametri di verifica: $k_m=0.70$, $k_{h,y}=1.00$, $k_{h,z}=1.00$, $k_{crit,m}=0.97$, $L_{eff}=244.5$ cm

Instabilità di trave: **Instabilità nel piano XY**

x	Myd	Mzd	σ_{myd}	σ_{mzd}	fmyd	fmzd	Kmod	Comb.	SF
cm	kg*m	kg*m	kg/cmq	kg/cmq	kg/cmq	kg/cmq			
271.7	191	0	43	0	276	276	1	51	6.2

Verifica a taglio (§4.4.8.1.9 - NTC)

x	Tyd	Tzd	τ_d	fvd	Kmod	Comb.	SF
cm	kg	kg	kg/cmq	kg/cmq			
271.7	1	208	3	40	1	51	16

Asta: 145 [0,199]: Sez. R: $b=10.0$ cm, $h=24.0$ cm, $L=271.7$ cm, Crit.Prog: Legno_Arcareccio: **Verificato**

Verifica a flessione (§4.4.8.1.6, §4.4.8.1.1 - NTC)

Parametri di verifica: $k_m=0.70$, $k_{h,y}=1.10$, $k_{h,z}=1.10$, $k_{crit,m}=1.00$, $L_{eff}=244.5$ cm

Instabilità di trave: **Trascurabile**

x	Myd	Mzd	σ_{myd}	σ_{mzd}	fmyd	fmzd	Kmod	Comb.	SF
cm	kg*m	kg*m	kg/cmq	kg/cmq	kg/cmq	kg/cmq			
271.7	605	0	63	0	163	164	0.9	3	2.6

Verifica a taglio (§4.4.8.1.9 - NTC)

x	Tyd	Tzd	τ_d	fvd	Kmod	Comb.	SF
cm	kg	kg	kg/cmq	kg/cmq			
271.7	2	655	4	22	0.9	3	5.3

Verifica Incendio: R30(min), $d_{eff} = 2.2$ [cm], $\beta_{char} 0.50$ (mm/min), $b_{eff}=5.6$ cm, $h_{eff}=21.8$ cm

Verifica a flessione (§4.4.8.1.6, §4.4.8.1.1 - NTC)

Parametri di verifica: $k_m=0.70$, $k_{h,y}=1.00$, $k_{h,z}=1.00$, $k_{crit,m}=0.97$, $L_{eff}=244.5\text{cm}$

Instabilità di trave: **Instabilità nel piano XY**

x	Myd	Mzd	σ_{myd}	σ_{mzd}	fmyd	fmzd	Kmod	Comb.	SF
cm	kg*m	kg*m	kg/cmq	kg/cmq	kg/cmq	kg/cmq			
271.7	198	0	45	0	276	276	1	51	6.0

Verifica a taglio (§4.4.8.1.9 - NTC)

x	Tyd	Tzd	τ_d	fvd	Kmod	Comb.	SF
cm	kg	kg	kg/cmq	kg/cmq			
271.7	1	212	3	40	1	51	15

Asta: 144 [0,198]: Sez. R: $b=10.0\text{ cm}$, $h=24.0\text{ cm}$, $L=265.8\text{ cm}$, Crit.Prog: Legno_Arcareccio: **Verificato**

Verifica a flessione (§4.4.8.1.6, §4.4.8.1.1 - NTC)

Parametri di verifica: $k_m=0.70$, $k_{h,y}=1.10$, $k_{h,z}=1.10$, $k_{crit,m}=1.00$, $L_{eff}=239.3\text{cm}$

Instabilità di trave: **Trascurabile**

x	Myd	Mzd	σ_{myd}	σ_{mzd}	fmyd	fmzd	Kmod	Comb.	SF
cm	kg*m	kg*m	kg/cmq	kg/cmq	kg/cmq	kg/cmq			
265.8	505	0	53	0	163	164	0.9	3	3.1

Verifica a taglio (§4.4.8.1.9 - NTC)

x	Tyd	Tzd	τ_d	fvd	Kmod	Comb.	SF
cm	kg	kg	kg/cmq	kg/cmq			
265.8	7	599	4	22	0.9	3	5.8

Verifica Incendio: R30(min), $d_{eff} = 2.2\text{ [cm]}$, $\beta_{char} 0.50\text{ (mm/min)}$, $b_{eff}=5.6\text{ cm}$, $h_{eff}=21.8\text{ cm}$

Verifica a flessione (§4.4.8.1.6, §4.4.8.1.1 - NTC)

Parametri di verifica: $k_m=0.70$, $k_{h,y}=1.00$, $k_{h,z}=1.00$, $k_{crit,m}=0.98$, $L_{eff}=239.3\text{cm}$

Instabilità di trave: **Instabilità nel piano XY**

x	Myd	Mzd	σ_{myd}	σ_{mzd}	fmyd	fmzd	Kmod	Comb.	SF
cm	kg*m	kg*m	kg/cmq	kg/cmq	kg/cmq	kg/cmq			
265.8	166	0	38	0	276	276	1	51	7.2

Verifica a taglio (§4.4.8.1.9 - NTC)

x	Tyd	Tzd	τ_d	fvd	Kmod	Comb.	SF
cm	kg	kg	kg/cmq	kg/cmq			
265.8	3	194	2	40	1	51	17

Asta: 142 [0,182]: Sez. R: $b=10.0\text{ cm}$, $h=24.0\text{ cm}$, $L=271.7\text{ cm}$, Crit.Prog: Legno_Arcareccio: **Verificato**

Verifica a flessione (§4.4.8.1.6, §4.4.8.1.1 - NTC)

Parametri di verifica: $k_m=0.70$, $k_{h,y}=1.10$, $k_{h,z}=1.10$, $k_{crit,m}=1.00$, $L_{eff}=244.5\text{cm}$

Instabilità di trave: **Trascurabile**

x	Myd	Mzd	σ_{myd}	σ_{mzd}	fmyd	fmzd	Kmod	Comb.	SF
cm	kg*m	kg*m	kg/cmq	kg/cmq	kg/cmq	kg/cmq			
271.7	495	0	52	0	163	164	0.9	3	3.2

Verifica a taglio (§4.4.8.1.9 - NTC)

x	Tyd	Tzd	τ_d	fvd	Kmod	Comb.	SF
cm	kg	kg	kg/cmq	kg/cmq			
271.7	10	552	3	22	0.9	3	6.3

Verifica Incendio: R30(min), $d_{eff} = 2.2\text{ [cm]}$, $\beta_{char} 0.50\text{ (mm/min)}$, $b_{eff}=5.6\text{ cm}$, $h_{eff}=21.8\text{ cm}$

Verifica a flessione (§4.4.8.1.6, §4.4.8.1.1 - NTC)

Parametri di verifica: $k_m=0.70$, $k_{h,y}=1.00$, $k_{h,z}=1.00$, $k_{crit,m}=0.97$, $L_{eff}=244.5\text{cm}$

Instabilità di trave: **Instabilità nel piano XY**

x	Myd	Mzd	σ_{myd}	σ_{mzd}	fmyd	fmzd	Kmod	Comb.	SF
cm	kg*m	kg*m	kg/cmq	kg/cmq	kg/cmq	kg/cmq			
271.7	164	0	37	0	276	276	1	51	7.3

Verifica a taglio (§4.4.8.1.9 - NTC)

x	Tyd	Tzd	τ_d	fvd	Kmod	Comb.	SF
cm	kg	kg	kg/cmq	kg/cmq			
271.7	4	180	2	40	1	51	18

Asta: 141 [0,181]: Sez. R: b=10.0 cm, h=24.0 cm, L=271.7 cm, Crit.Prog: Legno_Arcareccio: **Verificato**

Verifica a flessione (§4.4.8.1.6, §4.4.8.1.1 - NTC)

Parametri di verifica: km=0.70, kh,y=1.10, kh,z=1.10, kcrit,m=1.00, Leff=244.5cm

Instabilità di trave: **Trascurabile**

x	Myd	Mzd	σ_{myd}	σ_{mzd}	fmyd	fmzd	Kmod	Comb.	SF
cm	kg*m	kg*m	kg/cmq	kg/cmq	kg/cmq	kg/cmq			
271.7	584	0	61	0	163	164	0.9	3	2.7

Verifica a taglio (§4.4.8.1.9 - NTC)

x	Tyd	Tzd	τ_d	fvd	Kmod	Comb.	SF
cm	kg	kg	kg/cmq	kg/cmq			
271.7	14	581	4	22	0.9	3	6.0

Verifica Incendio: R30(min), d_eff = 2.2 [cm], β_{char} 0.50 (mm/min), b_eff=5.6 cm, h_eff=21.8 cm

Verifica a flessione (§4.4.8.1.6, §4.4.8.1.1 - NTC)

Parametri di verifica: km=0.70, kh,y=1.00, kh,z=1.00, kcrit,m=0.97, Leff=244.5cm

Instabilità di trave: **Instabilità nel piano XY**

x	Myd	Mzd	σ_{myd}	σ_{mzd}	fmyd	fmzd	Kmod	Comb.	SF
cm	kg*m	kg*m	kg/cmq	kg/cmq	kg/cmq	kg/cmq			
271.7	192	0	43	0	276	276	1	51	6.2

Verifica a taglio (§4.4.8.1.9 - NTC)

x	Tyd	Tzd	τ_d	fvd	Kmod	Comb.	SF
cm	kg	kg	kg/cmq	kg/cmq			
271.7	5	189	2	40	1	51	17

Asta: 140 [0,180]: Sez. R: b=10.0 cm, h=24.0 cm, L=271.7 cm, Crit.Prog: Legno_Arcareccio: **Verificato**

Verifica a flessione (§4.4.8.1.6, §4.4.8.1.1 - NTC)

Parametri di verifica: km=0.70, kh,y=1.10, kh,z=1.10, kcrit,m=1.00, Leff=244.5cm

Instabilità di trave: **Trascurabile**

x	Myd	Mzd	σ_{myd}	σ_{mzd}	fmyd	fmzd	Kmod	Comb.	SF
cm	kg*m	kg*m	kg/cmq	kg/cmq	kg/cmq	kg/cmq			
271.7	604	0	63	0	163	164	0.9	3	2.6

Verifica a taglio (§4.4.8.1.9 - NTC)

x	Tyd	Tzd	τ_d	fvd	Kmod	Comb.	SF
cm	kg	kg	kg/cmq	kg/cmq			
271.7	16	573	4	22	0.9	3	6.1

Verifica Incendio: R30(min), d_eff = 2.2 [cm], β_{char} 0.50 (mm/min), b_eff=5.6 cm, h_eff=21.8 cm

Verifica a flessione (§4.4.8.1.6, §4.4.8.1.1 - NTC)

Parametri di verifica: km=0.70, kh,y=1.00, kh,z=1.00, kcrit,m=0.97, Leff=244.5cm

Instabilità di trave: **Instabilità nel piano XY**

x	Myd	Mzd	σ_{myd}	σ_{mzd}	fmyd	fmzd	Kmod	Comb.	SF
cm	kg*m	kg*m	kg/cmq	kg/cmq	kg/cmq	kg/cmq			
271.7	197	0	44	0	276	276	1	51	6.0

Verifica a taglio (§4.4.8.1.9 - NTC)

x	Tyd	Tzd	τ_d	fvd	Kmod	Comb.	SF
cm	kg	kg	kg/cmq	kg/cmq			
271.7	6	186	2	40	1	51	18

Asta: 138 [0,179]: Sez. R: b=10.0 cm, h=24.0 cm, L=271.7 cm, Crit.Prog: Legno_Arcareccio: **Verificato**

Verifica a flessione (§4.4.8.1.6, §4.4.8.1.1 - NTC)

Parametri di verifica: $k_m=0.70$, $k_{h,y}=1.10$, $k_{h,z}=1.10$, $k_{crit,m}=1.00$, $L_{eff}=244.5\text{cm}$

Instabilità di trave: **Trascurabile**

x	Myd	Mzd	σ_{myd}	σ_{mzd}	fmyd	fmzd	Kmod	Comb.	SF
cm	kg*m	kg*m	kg/cmq	kg/cmq	kg/cmq	kg/cmq			
271.7	598	0	62	0	163	164	0.9	3	2.6

Verifica a taglio (§4.4.8.1.9 - NTC)

x	Tyd	Tzd	τ_d	fvd	Kmod	Comb.	SF
cm	kg	kg	kg/cmq	kg/cmq			
271.7	16	574	4	22	0.9	3	6.1

Verifica Incendio: R30(min), $d_{eff} = 2.2$ [cm], $\beta_{char} 0.50$ (mm/min), $b_{eff}=5.6$ cm, $h_{eff}=21.8$ cm

Verifica a flessione (§4.4.8.1.6, §4.4.8.1.1 - NTC)

Parametri di verifica: $k_m=0.70$, $k_{h,y}=1.00$, $k_{h,z}=1.00$, $k_{crit,m}=0.97$, $L_{eff}=244.5\text{cm}$

Instabilità di trave: **Instabilità nel piano XY**

x	Myd	Mzd	σ_{myd}	σ_{mzd}	fmyd	fmzd	Kmod	Comb.	SF
cm	kg*m	kg*m	kg/cmq	kg/cmq	kg/cmq	kg/cmq			
271.7	194	0	44	0	276	276	1	51	6.1

Verifica a taglio (§4.4.8.1.9 - NTC)

x	Tyd	Tzd	τ_d	fvd	Kmod	Comb.	SF
cm	kg	kg	kg/cmq	kg/cmq			
271.7	6	185	2	40	1	51	18

Asta: 202 [0,178]: Sez. R: $b=10.0$ cm, $h=24.0$ cm, $L=272.0$ cm, Crit.Prog: Legno_Arcareccio: **Verificato**

Verifica a flessione (§4.4.8.1.6, §4.4.8.1.1 - NTC)

Parametri di verifica: $k_m=0.70$, $k_{h,y}=1.10$, $k_{h,z}=1.10$, $k_{crit,m}=1.00$, $L_{eff}=244.8\text{cm}$

Instabilità di trave: **Trascurabile**

x	Myd	Mzd	σ_{myd}	σ_{mzd}	fmyd	fmzd	Kmod	Comb.	SF
cm	kg*m	kg*m	kg/cmq	kg/cmq	kg/cmq	kg/cmq			
272.0	550	0	57	0	163	164	0.9	3	2.8

Verifica a taglio (§4.4.8.1.9 - NTC)

x	Tyd	Tzd	τ_d	fvd	Kmod	Comb.	SF
cm	kg	kg	kg/cmq	kg/cmq			
272.0	9	513	3	22	0.9	3	6.8

Verifica Incendio: R30(min), $d_{eff} = 2.2$ [cm], $\beta_{char} 0.50$ (mm/min), $b_{eff}=5.6$ cm, $h_{eff}=21.8$ cm

Verifica a flessione (§4.4.8.1.6, §4.4.8.1.1 - NTC)

Parametri di verifica: $k_m=0.70$, $k_{h,y}=1.00$, $k_{h,z}=1.00$, $k_{crit,m}=0.97$, $L_{eff}=244.8\text{cm}$

Instabilità di trave: **Instabilità nel piano XY**

x	Myd	Mzd	σ_{myd}	σ_{mzd}	fmyd	fmzd	Kmod	Comb.	SF
cm	kg*m	kg*m	kg/cmq	kg/cmq	kg/cmq	kg/cmq			
272.0	179	0	40	0	276	276	1	51	6.6

Verifica a taglio (§4.4.8.1.9 - NTC)

x	Tyd	Tzd	τ_d	fvd	Kmod	Comb.	SF
cm	kg	kg	kg/cmq	kg/cmq			
272.0	3	166	2	40	1	51	20

Asta: 137 [0,177]: Sez. R: $b=10.0$ cm, $h=24.0$ cm, $L=265.8$ cm, Crit.Prog: Legno_Arcareccio: **Verificato**

Verifica a flessione (§4.4.8.1.6, §4.4.8.1.1 - NTC)

Parametri di verifica: $k_m=0.70$, $k_{h,y}=1.10$, $k_{h,z}=1.10$, $k_{crit,m}=1.00$, $L_{eff}=239.3\text{cm}$

Instabilità di trave: **Trascurabile**

x	Myd	Mzd	σ_{myd}	σ_{mzd}	fmyd	fmzd	Kmod	Comb.	SF
cm	kg*m	kg*m	kg/cmq	kg/cmq	kg/cmq	kg/cmq			

x	Myd	Mzd	σ_{myd}	σ_{mzd}	fmyd	fmzd	Kmod	Comb.	SF
265.8	505	0	53	0	163	164	0.9	3	3.1

Verifica a taglio (§4.4.8.1.9 - NTC)

x	Tyd	Tzd	τ_d	fvd	Kmod	Comb.	SF
cm	kg	kg	kg/cmq	kg/cmq			
265.8	3	463	3	22	0.9	3	7.5

Verifica Incendio: R30(min), $d_{eff} = 2.2$ [cm], $\beta_{char} 0.50$ (mm/min), $b_{eff}=5.6$ cm, $h_{eff}=21.8$ cm

Verifica a flessione (§4.4.8.1.6, §4.4.8.1.1 - NTC)

Parametri di verifica: $k_m=0.70$, $k_{h,y}=1.00$, $k_{h,z}=1.00$, $k_{crit,m}=0.98$, $L_{eff}=239.3$ cm

Instabilità di trave: **Instabilità nel piano XY**

x	Myd	Mzd	σ_{myd}	σ_{mzd}	fmyd	fmzd	Kmod	Comb.	SF
cm	kg*m	kg*m	kg/cmq	kg/cmq	kg/cmq	kg/cmq			
265.8	165	0	37	0	276	276	1	51	7.2

Verifica a taglio (§4.4.8.1.9 - NTC)

x	Tyd	Tzd	τ_d	fvd	Kmod	Comb.	SF
cm	kg	kg	kg/cmq	kg/cmq			
265.8	1	151	2	40	1	51	22

Asta: 136 [0,176]: Sez. R: $b=10.0$ cm, $h=24.0$ cm, $L=271.7$ cm, Crit.Prog: Legno_Arcareccio: **Verificato**

Verifica a flessione (§4.4.8.1.6, §4.4.8.1.1 - NTC)

Parametri di verifica: $k_m=0.70$, $k_{h,y}=1.10$, $k_{h,z}=1.10$, $k_{crit,m}=1.00$, $L_{eff}=244.5$ cm

Instabilità di trave: **Trascurabile**

x	Myd	Mzd	σ_{myd}	σ_{mzd}	fmyd	fmzd	Kmod	Comb.	SF
cm	kg*m	kg*m	kg/cmq	kg/cmq	kg/cmq	kg/cmq			
271.7	529	0	55	0	163	164	0.9	3	3.0

Verifica a taglio (§4.4.8.1.9 - NTC)

x	Tyd	Tzd	τ_d	fvd	Kmod	Comb.	SF
cm	kg	kg	kg/cmq	kg/cmq			
271.7	3	500	3	22	0.9	3	7.0

Verifica Incendio: R30(min), $d_{eff} = 2.2$ [cm], $\beta_{char} 0.50$ (mm/min), $b_{eff}=5.6$ cm, $h_{eff}=21.8$ cm

Verifica a flessione (§4.4.8.1.6, §4.4.8.1.1 - NTC)

Parametri di verifica: $k_m=0.70$, $k_{h,y}=1.00$, $k_{h,z}=1.00$, $k_{crit,m}=0.97$, $L_{eff}=244.5$ cm

Instabilità di trave: **Instabilità nel piano XY**

x	Myd	Mzd	σ_{myd}	σ_{mzd}	fmyd	fmzd	Kmod	Comb.	SF
cm	kg*m	kg*m	kg/cmq	kg/cmq	kg/cmq	kg/cmq			
271.7	172	0	39	0	276	276	1	51	6.9

Verifica a taglio (§4.4.8.1.9 - NTC)

x	Tyd	Tzd	τ_d	fvd	Kmod	Comb.	SF
cm	kg	kg	kg/cmq	kg/cmq			
271.7	1	161	2	40	1	51	20

Asta: 135 [0,175]: Sez. R: $b=10.0$ cm, $h=24.0$ cm, $L=265.8$ cm, Crit.Prog: Legno_Arcareccio: **Verificato**

Verifica a flessione (§4.4.8.1.6, §4.4.8.1.1 - NTC)

Parametri di verifica: $k_m=0.70$, $k_{h,y}=1.10$, $k_{h,z}=1.10$, $k_{crit,m}=1.00$, $L_{eff}=239.3$ cm

Instabilità di trave: **Trascurabile**

x	Myd	Mzd	σ_{myd}	σ_{mzd}	fmyd	fmzd	Kmod	Comb.	SF
cm	kg*m	kg*m	kg/cmq	kg/cmq	kg/cmq	kg/cmq			
265.8	528	0	55	0	163	164	0.9	3	3.0

Verifica a taglio (§4.4.8.1.9 - NTC)

x	Tyd	Tzd	τ_d	fvd	Kmod	Comb.	SF
cm	kg	kg	kg/cmq	kg/cmq			

x	Tyd	Tzd	τ_d	fvd	Kmod	Comb.	SF
265.8	7	508	3	22	0.9	3	6.8

Verifica Incendio: R30(min), $d_{eff} = 2.2$ [cm], $\beta_{char} 0.50$ (mm/min), $b_{eff}=5.6$ cm, $h_{eff}=21.8$ cm

Verifica a flessione (§4.4.8.1.6, §4.4.8.1.1 - NTC)

Parametri di verifica: $k_m=0.70$, $k_{h,y}=1.00$, $k_{h,z}=1.00$, $k_{crit,m}=0.98$, $Leff=239.3$ cm

Instabilità di trave: **Instabilità nel piano XY**

x	Myd	Mzd	σ_{myd}	σ_{mzd}	fmyd	fmzd	Kmod	Comb.	SF
cm	kg*m	kg*m	kg/cm ²	kg/cm ²	kg/cm ²	kg/cm ²			
265.8	172	0	39	0	276	276	1	51	6.9

Verifica a taglio (§4.4.8.1.9 - NTC)

x	Tyd	Tzd	τ_d	fvd	Kmod	Comb.	SF
cm	kg	kg	kg/cm ²	kg/cm ²			
265.8	2	164	2	40	1	51	20

Asta: 134 [0,174]: Sez. R: $b=10.0$ cm, $h=24.0$ cm, $L=271.7$ cm, Crit.Prog: Legno_Arcareccio: **Verificato**

Verifica a flessione (§4.4.8.1.6, §4.4.8.1.1 - NTC)

Parametri di verifica: $k_m=0.70$, $k_{h,y}=1.10$, $k_{h,z}=1.10$, $k_{crit,m}=1.00$, $Leff=244.5$ cm

Instabilità di trave: **Trascurabile**

x	Myd	Mzd	σ_{myd}	σ_{mzd}	fmyd	fmzd	Kmod	Comb.	SF
cm	kg*m	kg*m	kg/cm ²	kg/cm ²	kg/cm ²	kg/cm ²			
271.7	541	0	56	0	163	164	0.9	3	2.9

Verifica a taglio (§4.4.8.1.9 - NTC)

x	Tyd	Tzd	τ_d	fvd	Kmod	Comb.	SF
cm	kg	kg	kg/cm ²	kg/cm ²			
271.7	7	530	3	22	0.9	3	6.6

Verifica Incendio: R30(min), $d_{eff} = 2.2$ [cm], $\beta_{char} 0.50$ (mm/min), $b_{eff}=5.6$ cm, $h_{eff}=21.8$ cm

Verifica a flessione (§4.4.8.1.6, §4.4.8.1.1 - NTC)

Parametri di verifica: $k_m=0.70$, $k_{h,y}=1.00$, $k_{h,z}=1.00$, $k_{crit,m}=0.97$, $Leff=244.5$ cm

Instabilità di trave: **Instabilità nel piano XY**

x	Myd	Mzd	σ_{myd}	σ_{mzd}	fmyd	fmzd	Kmod	Comb.	SF
cm	kg*m	kg*m	kg/cm ²	kg/cm ²	kg/cm ²	kg/cm ²			
271.7	177	0	40	0	276	276	1	51	6.7

Verifica a taglio (§4.4.8.1.9 - NTC)

x	Tyd	Tzd	τ_d	fvd	Kmod	Comb.	SF
cm	kg	kg	kg/cm ²	kg/cm ²			
271.7	2	171	2	40	1	51	19

Asta: 133 [0,173]: Sez. R: $b=10.0$ cm, $h=24.0$ cm, $L=271.7$ cm, Crit.Prog: Legno_Arcareccio: **Verificato**

Verifica a flessione (§4.4.8.1.6, §4.4.8.1.1 - NTC)

Parametri di verifica: $k_m=0.70$, $k_{h,y}=1.10$, $k_{h,z}=1.10$, $k_{crit,m}=1.00$, $Leff=244.5$ cm

Instabilità di trave: **Trascurabile**

x	Myd	Mzd	σ_{myd}	σ_{mzd}	fmyd	fmzd	Kmod	Comb.	SF
cm	kg*m	kg*m	kg/cm ²	kg/cm ²	kg/cm ²	kg/cm ²			
271.7	511	0	53	0	163	164	0.9	3	3.1

Verifica a taglio (§4.4.8.1.9 - NTC)

x	Tyd	Tzd	τ_d	fvd	Kmod	Comb.	SF
cm	kg	kg	kg/cm ²	kg/cm ²			
271.7	6	532	3	22	0.9	3	6.5

Verifica Incendio: R30(min), $d_{eff} = 2.2$ [cm], $\beta_{char} 0.50$ (mm/min), $b_{eff}=5.6$ cm, $h_{eff}=21.8$ cm

Verifica a flessione (§4.4.8.1.6, §4.4.8.1.1 - NTC)

Parametri di verifica: $k_m=0.70$, $k_{h,y}=1.00$, $k_{h,z}=1.00$, $k_{crit,m}=0.97$, $Leff=244.5$ cm

Instabilità di trave: **Instabilità nel piano XY**

x	Myd	Mzd	σ_{myd}	σ_{mzd}	fmyd	fmzd	Kmod	Comb.	SF
cm	kg*m	kg*m	kg/cmq	kg/cmq	kg/cmq	kg/cmq			
271.7	170	0	38	0	276	276	1	51	7.0

Verifica a taglio (§4.4.8.1.9 - NTC)

x	Tyd	Tzd	τ_d	fvd	Kmod	Comb.	SF
cm	kg	kg	kg/cmq	kg/cmq			
271.7	2	173	2	40	1	51	19

Asta: 132 [0,172]: Sez. R: b=10.0 cm, h=24.0 cm, L=271.7 cm, Crit.Prog: Legno_Arcareccio: **Verificato**

Verifica a flessione (§4.4.8.1.6, §4.4.8.1.1 - NTC)

Parametri di verifica: km=0.70, kh,y=1.10, kh,z=1.10, kcrit,m=1.00, Leff=244.5cm

Instabilità di trave: **Trascurabile**

x	Myd	Mzd	σ_{myd}	σ_{mzd}	fmyd	fmzd	Kmod	Comb.	SF
cm	kg*m	kg*m	kg/cmq	kg/cmq	kg/cmq	kg/cmq			
271.7	413	0	43	0	163	164	0.9	3	3.8

Verifica a taglio (§4.4.8.1.9 - NTC)

x	Tyd	Tzd	τ_d	fvd	Kmod	Comb.	SF
cm	kg	kg	kg/cmq	kg/cmq			
271.7	2	492	3	22	0.9	3	7.1

Verifica Incendio: R30(min), d_eff = 2.2 [cm], β_{char} 0.50 (mm/min), b_eff=5.6 cm, h_eff=21.8 cm

Verifica a flessione (§4.4.8.1.6, §4.4.8.1.1 - NTC)

Parametri di verifica: km=0.70, kh,y=1.00, kh,z=1.00, kcrit,m=0.97, Leff=244.5cm

Instabilità di trave: **Instabilità nel piano XY**

x	Myd	Mzd	σ_{myd}	σ_{mzd}	fmyd	fmzd	Kmod	Comb.	SF
cm	kg*m	kg*m	kg/cmq	kg/cmq	kg/cmq	kg/cmq			
271.7	142	0	32	0	276	276	1	51	8.3

Verifica a taglio (§4.4.8.1.9 - NTC)

x	Tyd	Tzd	τ_d	fvd	Kmod	Comb.	SF
cm	kg	kg	kg/cmq	kg/cmq			
271.7	1	163	2	40	1	51	20

Verifiche stato limite di esercizio

Verifica delle travi (Stati limite esercizio)

Scenario di calcolo: **Set_NT_SLV_SLD_A2_STR/GEO_2018**

Simbologia

Terreno Nome della stratigrafia per travi Winkler
 L [cm] Lunghezza teorica elemento (distanza tra i nodi)
 Ln [cm] Lunghezza netta elemento (tiene conto dei conci rigidi)
 L2,L3 [cm] Lunghezze libere di inflessione
 Sez. R: Sezione Rettangolare
 By[cm]: Larghezza (asse locale y)
 Bz[cm]: Larghezza (asse locale z)
 Sez. T: Sezione a T (rovescia e non)
 Ba[cm]: Larghezza base inferiore
 Ha[cm]: Altezza inferiore
 Bs[cm]: Larghezza superiore
 Hs[cm]: Altezza superiore

Sez. L: Sezione ad L (rovescia e non)

Ba[cm]: Larghezza base inferiore

Ha[cm]: Altezza inferiore

Bs[cm]: Larghezza superiore

Hs[cm]: Altezza superiore

Sez. C: Sezione circolare

R[cm]: Raggio

Sez. G: Sezione generica

B[cm]: Larghezza

H[cm]: Altezza

X [cm]

Punto di verifica

σ_{ca} [kg/cm²]

Tensione ammissibile nel cls

σ_{fa} [kg/cm²]

Tensione ammissibile nell'acciaio

σ_{cta} [kg/cm²]

Tensione ammissibile a trazione (quando richiesto dalla verifica)

M- [kg*m]

Momento negativo massimo di calcolo

M+ [kg*m]

Momento positivo massimo di calcolo

M [kg*m]

Momento di calcolo (travi a flessione, pilastri circolari)

My [kg*m]

Momento calcolo per verifiche a pressoflessione

Mz [kg*m]

Momento calcolo per verifiche a pressoflessione (Sez. L, Pilastri)

N [kg]

Sforzo normale corrispondente ad My (e Mz per Sez. L, Pilastri)

Afsup [cm²]

Area di ferro superiore

Afinf [cm²]

Area di ferro inferiore

Afsin [cm²]

Area di ferro sinistra (Sez. L)

Afdes [cm²]

Area di ferro destra (Sez. L)

σ_c - [kg/cm²]

Tensione nel cls compresso per effetto di M-

σ_c + [kg/cm²]

Tensione nel cls compresso per effetto di M+

σ_{ct} - [kg/cm²]

Tensione nel cls teso per effetto di M-

σ_{ct} + [kg/cm²]

Tensione nel cls teso per effetto di M+

σ_f - [kg/cm²]

Tensione nell'acciaio per effetto di M-

σ_f + [kg/cm²]

Tensione nell'acciaio per effetto di M+

Cb-

Combinazione di carico generatore di M-

Cb+

Combinazione di carico generatore di M+

σ_c [kg/cm²]

Tensione nel cls per effetto di N My

σ_f [kg/cm²]

Tensione nell'acciaio per effetto di N My

Cb

Combinazione di carico generatore di N My

Act [mq]

Area di calcestruzzo teso

Aft [cm²]

Area di acciaio teso

pAft [cm]

Perimetro area di acciaio teso

S_{r,max} [cm]

Distanza massima delle fessure

σ_{sfmed} [kg/cm²]

Tensione media dell'acciaio

Wd [mm]

Apertura delle fessure

Wk [mm]

Apertura caratteristica delle fessure

Wamm_Freq [mm] Apertura ammissibile delle fessure per combinazione Frequente

Wamm_Qp [mm] Apertura ammissibile delle fessure per combinazione Quasi Permanente

Wamm_Rara [mm] Apertura ammissibile delle fessure per combinazione Rara

Cs

Coefficiente di sicurezza definito come minimo di σ_{Amm}/σ tra acciaio e calcestruzzo oppure Wamm/Wk

Trave: 101 [155,0], Pilastrate [55,--] Sez. R: By=30.0 cm Bz=80.0 cm L=88.0 cm Ln=88.0 cm Criterio: CLS_TraviAlte_ND

Combinazione Rara: σ_{ca} [kg/cmq]=149 σ_{fa} [kg/cmq]=3600

X	M+	M-	Afsup	Afinf	σ_{c+}	σ_{f+}	σ_{c-}	σ_{f-}	Cb+	Cb-	Ver.	CS
cm	kg*m	kg*m	cmq	cmq	kg/cmq	kg/cmq	kg/cmq	kg/cmq				
0.0	--	1663	7.70	7.70	--	--	-7	307	22	18	Si	12
8.8	--	1441	7.70	7.70	--	--	-6	266	22	18	Si	14
44.0	--	638	7.70	7.70	--	--	-2	118	22	18	Si	31
79.2	28	31	7.70	7.70	-0	5	-0	6	18	22	Si	>100
88.0	173	--	7.70	7.70	-1	32	--	--	18	22	Si	>100

Combinazione QP: σ_{ca} [kg/cmq]=112 σ_{fa} [kg/cmq]=3600

X	M+	M-	Afsup	Afinf	σ_{c+}	σ_{f+}	σ_{c-}	σ_{f-}	Cb+	Cb-	Ver.	CS
cm	kg*m	kg*m	cmq	cmq	kg/cmq	kg/cmq	kg/cmq	kg/cmq				
0.0	--	1375	7.70	7.70	--	--	-5	254	48	48	Si	14
8.8	--	1195	7.70	7.70	--	--	-5	221	48	48	Si	16
44.0	--	551	7.70	7.70	--	--	-2	102	48	48	Si	35
79.2	--	31	7.70	7.70	--	--	-0	6	48	48	Si	>100
88.0	80	--	7.70	7.70	-0	15	--	--	48	48	Si	>100

Verifica aperture fessure:Wamm_Freq[mm]=0.400 Wamm_Qp[mm]=0.300

X	M	Act	Aft	pAft	$S_{r,max}$	σ_{fmed}	Wd	Wk	Cb	Ver.	Cs
cm	kg*m	mq	cmq	cm	cm	kg/cmq	mm	mm			
0.0	1375	0.0	7.70	21.99	18.0	254	0.013	0.013	32(Fr)	Si	31
0.0	1375	0.0	7.70	21.99	18.0	254	0.013	0.013	48(Qp)	Si	23
8.8	1195	0.0	7.70	21.99	18.0	221	0.011	0.011	48(Qp)	Si	26
8.8	1195	0.0	7.70	21.99	18.0	221	0.011	0.011	32(Fr)	Si	35
44.0	551	0.0	7.70	21.99	18.0	102	0.005	0.005	48(Qp)	Si	57
44.0	551	0.0	7.70	21.99	18.0	102	0.005	0.005	32(Fr)	Si	76
79.2	31	0.0	7.70	21.99	18.0	6	0.000	0.000	48(Qp)	Si	>100
79.2	31	0.0	7.70	21.99	18.0	6	0.000	0.000	32(Fr)	Si	>100
88.0	-80	0.0	7.70	21.99	18.0	15	0.001	0.001	48(Qp)	Si	>100
88.0	-80	0.0	7.70	21.99	18.0	15	0.001	0.001	32(Fr)	Si	>100

Trave: 101 [152,0], Pilastrate [52,--] Sez. R: By=30.0 cm Bz=80.0 cm L=111.4 cm Ln=111.4 cm Criterio: CLS_TraviAlte_ND

Combinazione Rara: σ_{ca} [kg/cmq]=149 σ_{fa} [kg/cmq]=3600

X	M+	M-	Afsup	Afinf	σ_{c+}	σ_{f+}	σ_{c-}	σ_{f-}	Cb+	Cb-	Ver.	CS
cm	kg*m	kg*m	cmq	cmq	kg/cmq	kg/cmq	kg/cmq	kg/cmq				
0.0	--	3095	7.70	7.70	--	--	-12	572	22	18	Si	6.3
11.1	--	2707	7.70	7.70	--	--	-11	500	22	18	Si	7.2
55.7	--	1292	7.70	7.70	--	--	-5	239	22	18	Si	15
100.3	--	141	7.70	7.70	--	--	-1	26	18	22	Si	>100
111.4	168	--	7.70	7.70	-1	31	--	--	18	22	Si	>100

Combinazione QP: σ_{ca} [kg/cmq]=112 σ_{fa} [kg/cmq]=3600

X	M+	M-	Afsup	Afinf	σ_{c+}	σ_{f+}	σ_{c-}	σ_{f-}	Cb+	Cb-	Ver.	CS
cm	kg*m	kg*m	cmq	cmq	kg/cmq	kg/cmq	kg/cmq	kg/cmq				
0.0	--	2559	7.70	7.70	--	--	-10	473	48	48	Si	7.6
11.1	--	2241	7.70	7.70	--	--	-9	414	48	48	Si	8.7
55.7	--	1091	7.70	7.70	--	--	-4	202	48	48	Si	18
100.3	--	141	7.70	7.70	--	--	-1	26	48	48	Si	>100
111.4	65	--	7.70	7.70	-0	12	--	--	48	48	Si	>100

Verifica aperture fessure:Wamm_Freq[mm]=0.400 Wamm_Qp[mm]=0.300

X	M	Act	Aft	pAft	$S_{r,max}$	σ_{fmed}	Wd	Wk	Cb	Ver.	Cs
cm	kg*m	mq	cmq	cm	cm	kg/cmq	mm	mm			
0.0	2559	0.0	7.70	21.99	18.0	473	0.024	0.024	32(Fr)	Si	16
0.0	2559	0.0	7.70	21.99	18.0	473	0.024	0.024	48(Qp)	Si	12
11.1	2241	0.0	7.70	21.99	18.0	414	0.021	0.021	48(Qp)	Si	14

X	M	Act	Aft	pAft	$S_{r,max}$	σ_{fmed}	Wd	Wk	Cb	Ver.	Cs
11.1	2241	0.0	7.70	21.99	18.0	414	0.021	0.021	32(Fr)	Si	19
55.7	1091	0.0	7.70	21.99	18.0	202	0.010	0.010	48(Qp)	Si	29
55.7	1091	0.0	7.70	21.99	18.0	202	0.010	0.010	32(Fr)	Si	39
100.3	141	0.0	7.70	21.99	18.0	26	0.001	0.001	48(Qp)	Si	>100
100.3	141	0.0	7.70	21.99	18.0	26	0.001	0.001	32(Fr)	Si	>100
111.4	-65	0.0	7.70	21.99	18.0	12	0.001	0.001	48(Qp)	Si	>100
111.4	-65	0.0	7.70	21.99	18.0	12	0.001	0.001	32(Fr)	Si	>100

Trave: 101 [149,0], Pilastrate [49,--] Sez. R: By=30.0 cm Bz=80.0 cm L=100.4 cm Ln=100.4 cm Criterio: CLS_TraviAlte_ND

Combinazione Rara: σ_{ca} [kg/cmq]=149 σ_{fa} [kg/cmq]=3600

X	M+	M-	Afsup	Afinf	σ_{C+}	σ_{f+}	σ_{C-}	σ_{f-}	Cb+	Cb-	Ver.	CS
cm	kg*m	kg*m	cmq	cmq	kg/cmq	kg/cmq	kg/cmq	kg/cmq				
0.0	--	3568	7.70	7.70	--	--	-14	659	22	18	Si	5.5
10.0	--	3214	7.70	7.70	--	--	-13	594	22	18	Si	6.1
50.2	--	1911	7.70	7.70	--	--	-7	353	22	18	Si	10
90.4	--	786	7.70	7.70	--	--	-3	145	22	18	Si	25
100.4	--	533	7.70	7.70	--	--	-2	99	22	18	Si	37

Combinazione QP: σ_{ca} [kg/cmq]=112 σ_{fa} [kg/cmq]=3600

X	M+	M-	Afsup	Afinf	σ_{C+}	σ_{f+}	σ_{C-}	σ_{f-}	Cb+	Cb-	Ver.	CS
cm	kg*m	kg*m	cmq	cmq	kg/cmq	kg/cmq	kg/cmq	kg/cmq				
0.0	--	2903	7.70	7.70	--	--	-11	537	48	48	Si	6.7
10.0	--	2613	7.70	7.70	--	--	-10	483	48	48	Si	7.5
50.2	--	1555	7.70	7.70	--	--	-6	287	48	48	Si	13
90.4	--	658	7.70	7.70	--	--	-3	122	48	48	Si	30
100.4	--	459	7.70	7.70	--	--	-2	85	48	48	Si	42

Verifica aperture fessure: Wamm_Freq[mm]=0.400 Wamm_Qp[mm]=0.300

X	M	Act	Aft	pAft	$S_{r,max}$	σ_{fmed}	Wd	Wk	Cb	Ver.	Cs
cm	kg*m	mq	cmq	cm	cm	kg/cmq	mm	mm			
0.0	2903	0.0	7.70	21.99	18.0	537	0.028	0.028	32(Fr)	Si	14
0.0	2903	0.0	7.70	21.99	18.0	537	0.028	0.028	48(Qp)	Si	11
10.0	2613	0.0	7.70	21.99	18.0	483	0.025	0.025	48(Qp)	Si	12
10.0	2613	0.0	7.70	21.99	18.0	483	0.025	0.025	32(Fr)	Si	16
50.2	1555	0.0	7.70	21.99	18.0	287	0.015	0.015	48(Qp)	Si	20
50.2	1555	0.0	7.70	21.99	18.0	287	0.015	0.015	32(Fr)	Si	27
90.4	658	0.0	7.70	21.99	18.0	122	0.006	0.006	48(Qp)	Si	48
90.4	658	0.0	7.70	21.99	18.0	122	0.006	0.006	32(Fr)	Si	64
100.4	459	0.0	7.70	21.99	18.0	85	0.004	0.004	48(Qp)	Si	69
100.4	459	0.0	7.70	21.99	18.0	85	0.004	0.004	32(Fr)	Si	92

Trave: 101 [145,142], Pilastrate [45,42] Sez. R: By=30.0 cm Bz=80.0 cm L=202.0 cm Ln=202.0 cm Criterio: CLS_TraviAlte_ND

Combinazione Rara: σ_{ca} [kg/cmq]=149 σ_{fa} [kg/cmq]=3600

X	M+	M-	Afsup	Afinf	σ_{C+}	σ_{f+}	σ_{C-}	σ_{f-}	Cb+	Cb-	Ver.	CS
cm	kg*m	kg*m	cmq	cmq	kg/cmq	kg/cmq	kg/cmq	kg/cmq				
0.0	--	1894	7.70	7.70	--	--	-7	350	22	18	Si	10
20.2	--	1466	7.70	7.70	--	--	-6	271	22	18	Si	13
101.0	--	204	7.70	7.70	--	--	-1	38	22	18	Si	96
181.8	331	--	7.70	7.70	-1	61	--	--	22	18	Si	59
202.0	349	--	7.70	7.70	-1	65	--	--	18	22	Si	56

Combinazione QP: σ_{ca} [kg/cmq]=112 σ_{fa} [kg/cmq]=3600

X	M+	M-	Afsup	Afinf	σ_{C+}	σ_{f+}	σ_{C-}	σ_{f-}	Cb+	Cb-	Ver.	CS
cm	kg*m	kg*m	cmq	cmq	kg/cmq	kg/cmq	kg/cmq	kg/cmq				
0.0	--	1611	7.70	7.70	--	--	-6	298	48	48	Si	12
20.2	--	1232	7.70	7.70	--	--	-5	228	48	48	Si	16
101.0	--	122	7.70	7.70	--	--	-0	23	48	48	Si	>100

X	M+	M-	Afsup	Afinf	σ_{C+}	σ_{f+}	σ_{C-}	σ_{f-}	Cb+	Cb-	Ver.	CS
181.8	331	--	7.70	7.70	-1	61	--	--	48	48	Si	59
202.0	342	--	7.70	7.70	-1	63	--	--	48	48	Si	57

Verifica aperture fessure: Wamm_Freq[mm]=0.400 Wamm_Qp[mm]=0.300

X	M	Act	Aft	pAft	$S_{r,max}$	σ_{fmed}	Wd	Wk	Cb	Ver.	Cs
cm	kg*m	mq	cmq	cm	cm	kg/cmq	mm	mm			
0.0	1611	0.0	7.70	21.99	18.0	298	0.015	0.015	32(Fr)	Si	26
0.0	1611	0.0	7.70	21.99	18.0	298	0.015	0.015	48(Qp)	Si	20
20.2	1232	0.0	7.70	21.99	18.0	228	0.012	0.012	48(Qp)	Si	26
20.2	1232	0.0	7.70	21.99	18.0	228	0.012	0.012	32(Fr)	Si	34
101.0	122	0.0	7.70	21.99	18.0	23	0.001	0.001	48(Qp)	Si	>100
101.0	122	0.0	7.70	21.99	18.0	23	0.001	0.001	32(Fr)	Si	>100
181.8	-331	0.0	7.70	21.99	18.0	61	0.003	0.003	48(Qp)	Si	95
181.8	-331	0.0	7.70	21.99	18.0	61	0.003	0.003	32(Fr)	Si	>100
202.0	-342	0.0	7.70	21.99	18.0	63	0.003	0.003	48(Qp)	Si	92
202.0	-342	0.0	7.70	21.99	18.0	63	0.003	0.003	32(Fr)	Si	>100

Trave: 101 [86,155], Pilastrate [56,55] Sez. R: By=20.0 cm Bz=80.0 cm L=311.4 cm Ln=291.5 cm Criterio: CLS_TraviAlte_ND

Combinazione Rara: σ_{ca} [kg/cmq]=149 σ_{fa} [kg/cmq]=3600

X	M+	M-	Afsup	Afinf	σ_{C+}	σ_{f+}	σ_{C-}	σ_{f-}	Cb+	Cb-	Ver.	CS
cm	kg*m	kg*m	cmq	cmq	kg/cmq	kg/cmq	kg/cmq	kg/cmq				
0.0	290	--	6.16	6.16	-2	67	--	--	18	22	Si	54
29.2	695	--	6.16	6.16	-4	161	--	--	18	22	Si	22
145.8	973	--	6.16	6.16	-5	226	--	--	18	22	Si	16
262.4	--	898	6.16	6.16	--	--	-5	208	22	18	Si	17
291.5	--	1702	6.16	6.16	--	--	-9	395	22	18	Si	9.1

Combinazione QP: σ_{ca} [kg/cmq]=112 σ_{fa} [kg/cmq]=3600

X	M+	M-	Afsup	Afinf	σ_{C+}	σ_{f+}	σ_{C-}	σ_{f-}	Cb+	Cb-	Ver.	CS
cm	kg*m	kg*m	cmq	cmq	kg/cmq	kg/cmq	kg/cmq	kg/cmq				
0.0	264	--	6.16	6.16	-1	61	--	--	48	48	Si	59
29.2	610	--	6.16	6.16	-3	142	--	--	48	48	Si	25
145.8	856	--	6.16	6.16	-5	198	--	--	48	48	Si	18
262.4	--	727	6.16	6.16	--	--	-4	169	48	48	Si	21
291.5	--	1409	6.16	6.16	--	--	-8	327	48	48	Si	11

Verifica aperture fessure: Wamm_Freq[mm]=0.400 Wamm_Qp[mm]=0.300

X	M	Act	Aft	pAft	$S_{r,max}$	σ_{fmed}	Wd	Wk	Cb	Ver.	Cs
cm	kg*m	mq	cmq	cm	cm	kg/cmq	mm	mm			
0.0	-264	0.0	6.16	17.59	16.4	61	0.003	0.003	32(Fr)	Si	>100
0.0	-264	0.0	6.16	17.59	16.4	61	0.003	0.003	48(Qp)	Si	>100
29.2	-610	0.0	6.16	17.59	16.4	142	0.007	0.007	48(Qp)	Si	45
29.2	-610	0.0	6.16	17.59	16.4	142	0.007	0.007	32(Fr)	Si	60
145.8	-856	0.0	6.16	17.59	16.4	198	0.009	0.009	48(Qp)	Si	32
145.8	-856	0.0	6.16	17.59	16.4	198	0.009	0.009	32(Fr)	Si	43
262.4	727	0.0	6.16	17.59	16.4	169	0.008	0.008	48(Qp)	Si	38
262.4	727	0.0	6.16	17.59	16.4	169	0.008	0.008	32(Fr)	Si	51
291.5	1409	0.0	6.16	17.59	16.4	327	0.015	0.015	48(Qp)	Si	20
291.5	1409	0.0	6.16	17.59	16.4	327	0.015	0.015	32(Fr)	Si	26

Trave: 101 [0,0], Pilastrate [--,--] Sez. R: By=30.0 cm Bz=80.0 cm L=100.4 cm Ln=100.4 cm Criterio: CLS_TraviAlte_ND

Combinazione Rara: σ_{ca} [kg/cmq]=149 σ_{fa} [kg/cmq]=3600

X	M+	M-	Afsup	Afinf	σ_{C+}	σ_{f+}	σ_{C-}	σ_{f-}	Cb+	Cb-	Ver.	CS
cm	kg*m	kg*m	cmq	cmq	kg/cmq	kg/cmq	kg/cmq	kg/cmq				
0.0	--	535	7.70	7.70	--	--	-2	99	22	18	Si	36
10.0	--	315	7.70	7.70	--	--	-1	58	22	18	Si	62
50.2	453	--	9.24	15.39	-1	43	--	--	18	22	Si	84

X	M+	M-	Afsup	Afinf	σ_c+	σ_f+	σ_c-	σ_f-	Cb+	Cb-	Ver.	CS
90.4	1042	--	9.24	15.39	-3	99	--	--	18	22	Si	37
100.4	1162	--	9.24	15.39	-3	110	--	--	18	22	Si	33

Combinazione QP: $\sigma_{ca}[\text{kg/cm}^2]=112$ $\sigma_{fa}[\text{kg/cm}^2]=3600$

X	M+	M-	Afsup	Afinf	σ_c+	σ_f+	σ_c-	σ_f-	Cb+	Cb-	Ver.	CS
cm	kg*m	kg*m	cmq	cmq	kg/cmq	kg/cmq	kg/cmq	kg/cmq				
0.0	--	461	7.70	7.70	--	--	-2	85	48	48	Si	42
10.0	--	279	7.70	7.70	--	--	-1	52	48	48	Si	70
50.2	348	--	9.24	15.39	-1	33	--	--	48	48	Si	>100
90.4	812	--	9.24	15.39	-2	77	--	--	48	48	Si	46
100.4	903	--	9.24	15.39	-3	85	--	--	48	48	Si	41

Verifica aperture fessure: $W_{amm_Freq}[\text{mm}]=0.400$ $W_{amm_Qp}[\text{mm}]=0.300$

X	M	Act	Aft	pAft	$S_{r,max}$	σ_{fmed}	Wd	Wk	Cb	Ver.	Cs
cm	kg*m	mq	cmq	cm	cm	kg/cmq	mm	mm			
0.0	461	0.0	7.70	21.99	18.0	85	0.004	0.004	32(Fr)	Si	91
0.0	461	0.0	7.70	21.99	18.0	85	0.004	0.004	48(Qp)	Si	68
10.0	279	0.0	7.70	21.99	18.0	52	0.003	0.003	48(Qp)	Si	>100
10.0	279	0.0	7.70	21.99	18.0	52	0.003	0.003	32(Fr)	Si	>100
50.2	-348	0.0	15.39	43.98	13.3	33	0.001	0.001	48(Qp)	Si	>100
50.2	-348	0.0	15.39	43.98	13.3	33	0.001	0.001	32(Fr)	Si	>100
90.4	-812	0.0	15.39	43.98	13.3	77	0.003	0.003	48(Qp)	Si	>100
90.4	-812	0.0	15.39	43.98	13.3	77	0.003	0.003	32(Fr)	Si	>100
100.4	-903	0.0	15.39	43.98	13.3	85	0.003	0.003	48(Qp)	Si	93
100.4	-903	0.0	15.39	43.98	13.3	85	0.003	0.003	32(Fr)	Si	>100

Trave: 101 [0,0], Pilastrate [--,--] Sez. R: $B_y=30.0$ cm $B_z=80.0$ cm $L=100.4$ cm $L_n=100.4$ cm Criterio: CLS_TraviAlte_ND

Combinazione Rara: $\sigma_{ca}[\text{kg/cm}^2]=149$ $\sigma_{fa}[\text{kg/cm}^2]=3600$

X	M+	M-	Afsup	Afinf	σ_c+	σ_f+	σ_c-	σ_f-	Cb+	Cb-	Ver.	CS
cm	kg*m	kg*m	cmq	cmq	kg/cmq	kg/cmq	kg/cmq	kg/cmq				
0.0	1158	--	7.70	15.39	-4	110	--	--	18	22	Si	33
10.0	1243	--	7.70	15.39	-4	118	--	--	18	22	Si	31
50.2	1471	--	7.70	15.39	-5	140	--	--	18	22	Si	26
90.4	1521	--	7.70	7.70	-6	281	--	--	18	22	Si	13
100.4	1505	--	7.70	7.70	-6	278	--	--	18	22	Si	13

Combinazione QP: $\sigma_{ca}[\text{kg/cm}^2]=112$ $\sigma_{fa}[\text{kg/cm}^2]=3600$

X	M+	M-	Afsup	Afinf	σ_c+	σ_f+	σ_c-	σ_f-	Cb+	Cb-	Ver.	CS
cm	kg*m	kg*m	cmq	cmq	kg/cmq	kg/cmq	kg/cmq	kg/cmq				
0.0	901	--	7.70	15.39	-3	86	--	--	48	48	Si	40
10.0	975	--	7.70	15.39	-3	93	--	--	48	48	Si	37
50.2	1167	--	7.70	15.39	-4	111	--	--	48	48	Si	31
90.4	1197	--	7.70	7.70	-5	221	--	--	48	48	Si	16
100.4	1180	--	7.70	7.70	-5	218	--	--	48	48	Si	17

Verifica aperture fessure: $W_{amm_Freq}[\text{mm}]=0.400$ $W_{amm_Qp}[\text{mm}]=0.300$

X	M	Act	Aft	pAft	$S_{r,max}$	σ_{fmed}	Wd	Wk	Cb	Ver.	Cs
cm	kg*m	mq	cmq	cm	cm	kg/cmq	mm	mm			
0.0	-901	0.0	15.39	43.98	13.3	86	0.003	0.003	32(Fr)	Si	>100
0.0	-901	0.0	15.39	43.98	13.3	86	0.003	0.003	48(Qp)	Si	93
10.0	-975	0.0	15.39	43.98	13.3	93	0.004	0.004	48(Qp)	Si	86
10.0	-975	0.0	15.39	43.98	13.3	93	0.004	0.004	32(Fr)	Si	>100
50.2	-1167	0.0	15.39	43.98	13.3	111	0.004	0.004	48(Qp)	Si	72
50.2	-1167	0.0	15.39	43.98	13.3	111	0.004	0.004	32(Fr)	Si	95
90.4	-1197	0.0	7.70	21.99	18.0	221	0.011	0.011	48(Qp)	Si	26
90.4	-1197	0.0	7.70	21.99	18.0	221	0.011	0.011	32(Fr)	Si	35
100.4	-1180	0.0	7.70	21.99	18.0	218	0.011	0.011	48(Qp)	Si	27
100.4	-1180	0.0	7.70	21.99	18.0	218	0.011	0.011	32(Fr)	Si	36

Trave: 101 [0,0], Pilastrate [--,--] Sez. R: By=30.0 cm Bz=80.0 cm L=100.4 cm Ln=100.4 cm Criterio: CLS_TraviAlte_ND

Combinazione Rara: $\sigma_{ca}[\text{kg/cmq}]=149$ $\sigma_{fa}[\text{kg/cmq}]=3600$

X cm	M+ kg*m	M- kg*m	Afsup cmq	Afinf cmq	σ_{c+} kg/cmq	σ_{f+} kg/cmq	σ_{c-} kg/cmq	σ_{f-} kg/cmq	Cb+	Cb-	Ver.	CS
0.0	1499	--	7.70	7.70	-6	277	--	--	18	22	Si	13
10.0	1448	--	7.70	7.70	-6	268	--	--	18	22	Si	13
50.2	1130	--	7.70	7.70	-4	209	--	--	18	22	Si	17
90.4	634	--	7.70	7.70	-2	117	--	--	18	22	Si	31
100.4	482	--	7.70	7.70	-2	89	--	--	18	22	Si	40

Combinazione QP: $\sigma_{ca}[\text{kg/cmq}]=112$ $\sigma_{fa}[\text{kg/cmq}]=3600$

X cm	M+ kg*m	M- kg*m	Afsup cmq	Afinf cmq	σ_{c+} kg/cmq	σ_{f+} kg/cmq	σ_{c-} kg/cmq	σ_{f-} kg/cmq	Cb+	Cb-	Ver.	CS
0.0	1177	--	7.70	7.70	-5	218	--	--	48	48	Si	17
10.0	1141	--	7.70	7.70	-4	211	--	--	48	48	Si	17
50.2	897	--	7.70	7.70	-4	166	--	--	48	48	Si	22
90.4	491	--	7.70	7.70	-2	91	--	--	48	48	Si	40
100.4	364	--	7.70	7.70	-1	67	--	--	48	48	Si	54

Verifica aperture fessure: Wamm_Freq[mm]=0.400 Wamm_Qp[mm]=0.300

X cm	M kg*m	Act mq	Aft cmq	pAft cm	$S_{r,max}$ cm	σ_{fmed} kg/cmq	Wd mm	Wk mm	Cb	Ver.	Cs
0.0	-1177	0.0	7.70	21.99	18.0	218	0.011	0.011	32(Fr)	Si	36
0.0	-1177	0.0	7.70	21.99	18.0	218	0.011	0.011	48(Qp)	Si	27
10.0	-1141	0.0	7.70	21.99	18.0	211	0.011	0.011	48(Qp)	Si	28
10.0	-1141	0.0	7.70	21.99	18.0	211	0.011	0.011	32(Fr)	Si	37
50.2	-897	0.0	7.70	21.99	18.0	166	0.009	0.009	48(Qp)	Si	35
50.2	-897	0.0	7.70	21.99	18.0	166	0.009	0.009	32(Fr)	Si	47
90.4	-491	0.0	7.70	21.99	18.0	91	0.005	0.005	48(Qp)	Si	64
90.4	-491	0.0	7.70	21.99	18.0	91	0.005	0.005	32(Fr)	Si	86
100.4	-364	0.0	7.70	21.99	18.0	67	0.003	0.003	48(Qp)	Si	87
100.4	-364	0.0	7.70	21.99	18.0	67	0.003	0.003	32(Fr)	Si	>100

Trave: 101 [0,145], Pilastrate [--,45] Sez. R: By=30.0 cm Bz=80.0 cm L=100.4 cm Ln=100.4 cm Criterio: CLS_TraviAlte_ND

Combinazione Rara: $\sigma_{ca}[\text{kg/cmq}]=149$ $\sigma_{fa}[\text{kg/cmq}]=3600$

X cm	M+ kg*m	M- kg*m	Afsup cmq	Afinf cmq	σ_{c+} kg/cmq	σ_{f+} kg/cmq	σ_{c-} kg/cmq	σ_{f-} kg/cmq	Cb+	Cb-	Ver.	CS
0.0	474	--	7.70	7.70	-2	88	--	--	18	22	Si	41
10.0	285	--	7.70	7.70	-1	53	--	--	18	22	Si	68
50.2	--	581	7.70	7.70	--	--	-2	107	22	18	Si	34
90.4	--	1626	7.70	7.70	--	--	-6	300	22	18	Si	12
100.4	--	1915	7.70	7.70	--	--	-7	354	22	18	Si	10

Combinazione QP: $\sigma_{ca}[\text{kg/cmq}]=112$ $\sigma_{fa}[\text{kg/cmq}]=3600$

X cm	M+ kg*m	M- kg*m	Afsup cmq	Afinf cmq	σ_{c+} kg/cmq	σ_{f+} kg/cmq	σ_{c-} kg/cmq	σ_{f-} kg/cmq	Cb+	Cb-	Ver.	CS
0.0	360	--	7.70	7.70	-1	67	--	--	48	48	Si	54
10.0	215	--	7.70	7.70	-1	40	--	--	48	48	Si	91
50.2	--	468	7.70	7.70	--	--	-2	86	48	48	Si	42
90.4	--	1312	7.70	7.70	--	--	-5	243	48	48	Si	15
100.4	--	1549	7.70	7.70	--	--	-6	286	48	48	Si	13

Verifica aperture fessure: Wamm_Freq[mm]=0.400 Wamm_Qp[mm]=0.300

X cm	M kg*m	Act mq	Aft cmq	pAft cm	$S_{r,max}$ cm	σ_{fmed} kg/cmq	Wd mm	Wk mm	Cb	Ver.	Cs
0.0	-360	0.0	7.70	21.99	18.0	67	0.003	0.003	32(Fr)	Si	>100
0.0	-360	0.0	7.70	21.99	18.0	67	0.003	0.003	48(Qp)	Si	88
10.0	-215	0.0	7.70	21.99	18.0	40	0.002	0.002	48(Qp)	Si	>100

X	M	Act	Aft	pAft	$S_{r,max}$	σ_{fmed}	Wd	Wk	Cb	Ver.	Cs
10.0	-215	0.0	7.70	21.99	18.0	40	0.002	0.002	32(Fr)	Si	>100
50.2	468	0.0	7.70	21.99	18.0	86	0.004	0.004	48(Qp)	Si	67
50.2	468	0.0	7.70	21.99	18.0	86	0.004	0.004	32(Fr)	Si	90
90.4	1312	0.0	7.70	21.99	18.0	243	0.012	0.012	48(Qp)	Si	24
90.4	1312	0.0	7.70	21.99	18.0	243	0.012	0.012	32(Fr)	Si	32
100.4	1549	0.0	7.70	21.99	18.0	286	0.015	0.015	48(Qp)	Si	20
100.4	1549	0.0	7.70	21.99	18.0	286	0.015	0.015	32(Fr)	Si	27

Trave: 101 [0,0], Pilastrate [--,--] Sez. R: By=30.0 cm Bz=80.0 cm L=111.4 cm Ln=111.4 cm Criterio: CLS_TraviAlte_ND

Combinazione Rara: σ_{ca} [kg/cm²]=149 σ_{fa} [kg/cm²]=3600

X	M+	M-	Afsup	Afinf	σ_{C+}	σ_{f+}	σ_{C-}	σ_{f-}	Cb+	Cb-	Ver.	CS
cm	kg*m	kg*m	cmq	cmq	kg/cm ²	kg/cm ²	kg/cm ²	kg/cm ²				
0.0	172	--	7.70	7.70	-1	32	--	--	18	22	Si	>100
11.1	390	--	7.70	7.70	-2	72	--	--	18	22	Si	50
55.7	1123	--	7.70	15.39	-3	107	--	--	18	22	Si	34
100.3	1635	--	7.70	13.85	-5	172	--	--	18	22	Si	21
111.4	1728	--	7.70	13.85	-6	181	--	--	18	22	Si	20

Combinazione QP: σ_{ca} [kg/cm²]=112 σ_{fa} [kg/cm²]=3600

X	M+	M-	Afsup	Afinf	σ_{C+}	σ_{f+}	σ_{C-}	σ_{f-}	Cb+	Cb-	Ver.	CS
cm	kg*m	kg*m	cmq	cmq	kg/cm ²	kg/cm ²	kg/cm ²	kg/cm ²				
0.0	67	--	7.70	7.70	-0	12	--	--	48	48	Si	>100
11.1	250	--	7.70	7.70	-1	46	--	--	48	48	Si	78
55.7	860	--	7.70	15.39	-3	82	--	--	48	48	Si	42
100.3	1270	--	7.70	13.85	-4	133	--	--	48	48	Si	27
111.4	1341	--	7.70	13.85	-4	141	--	--	48	48	Si	26

Verifica aperture fessure: Wamm_Freq[mm]=0.400 Wamm_Qp[mm]=0.300

X	M	Act	Aft	pAft	$S_{r,max}$	σ_{fmed}	Wd	Wk	Cb	Ver.	Cs
cm	kg*m	m ²	cmq	cm	cm	kg/cm ²	mm	mm			
0.0	-67	0.0	7.70	21.99	18.0	12	0.001	0.001	32(Fr)	Si	>100
0.0	-67	0.0	7.70	21.99	18.0	12	0.001	0.001	48(Qp)	Si	>100
11.1	-250	0.0	7.70	21.99	18.0	46	0.002	0.002	48(Qp)	Si	>100
11.1	-250	0.0	7.70	21.99	18.0	46	0.002	0.002	32(Fr)	Si	>100
55.7	-860	0.0	15.39	43.98	13.3	82	0.003	0.003	48(Qp)	Si	97
55.7	-860	0.0	15.39	43.98	13.3	82	0.003	0.003	32(Fr)	Si	>100
100.3	-1270	0.0	13.85	39.58	13.8	133	0.005	0.005	48(Qp)	Si	57
100.3	-1270	0.0	13.85	39.58	13.8	133	0.005	0.005	32(Fr)	Si	76
111.4	-1341	0.0	13.85	39.58	13.8	141	0.006	0.006	48(Qp)	Si	54
111.4	-1341	0.0	13.85	39.58	13.8	141	0.006	0.006	32(Fr)	Si	72

Trave: 101 [0,0], Pilastrate [--,--] Sez. R: By=30.0 cm Bz=80.0 cm L=111.4 cm Ln=111.4 cm Criterio: CLS_TraviAlte_ND

Combinazione Rara: σ_{ca} [kg/cm²]=149 σ_{fa} [kg/cm²]=3600

X	M+	M-	Afsup	Afinf	σ_{C+}	σ_{f+}	σ_{C-}	σ_{f-}	Cb+	Cb-	Ver.	CS
cm	kg*m	kg*m	cmq	cmq	kg/cm ²	kg/cm ²	kg/cm ²	kg/cm ²				
0.0	1732	--	13.85	13.85	-5	180	--	--	18	22	Si	20
11.1	1782	--	13.85	13.85	-5	185	--	--	18	22	Si	19
55.7	1846	--	13.85	13.85	-5	191	--	--	18	22	Si	19
100.3	1690	--	13.85	13.85	-5	175	--	--	18	22	Si	21
111.4	1617	--	13.85	13.85	-5	168	--	--	18	22	Si	21

Combinazione QP: σ_{ca} [kg/cm²]=112 σ_{fa} [kg/cm²]=3600

X	M+	M-	Afsup	Afinf	σ_{C+}	σ_{f+}	σ_{C-}	σ_{f-}	Cb+	Cb-	Ver.	CS
cm	kg*m	kg*m	cmq	cmq	kg/cm ²	kg/cm ²	kg/cm ²	kg/cm ²				
0.0	1342	--	13.85	13.85	-4	139	--	--	48	48	Si	26
11.1	1392	--	13.85	13.85	-4	144	--	--	48	48	Si	25
55.7	1465	--	13.85	13.85	-4	152	--	--	48	48	Si	24

X	M+	M-	Afsup	Afinf	σ_c+	σ_f+	σ_c-	σ_f-	Cb+	Cb-	Ver.	CS
100.3	1339	--	13.85	13.85	-4	139	--	--	48	48	Si	26
111.4	1277	--	13.85	13.85	-4	132	--	--	48	48	Si	27

Verifica aperture fessure: Wamm_Freq[mm]=0.400 Wamm_Qp[mm]=0.300

X	M	Act	Aft	pAft	$S_{r,max}$	σ_{fmed}	Wd	Wk	Cb	Ver.	Cs
cm	kg*m	mq	cmq	cm	cm	kg/cmq	mm	mm			
0.0	-1342	0.0	13.85	39.58	13.8	139	0.005	0.005	32(Fr)	Si	73
0.0	-1342	0.0	13.85	39.58	13.8	139	0.005	0.005	48(Qp)	Si	55
11.1	-1392	0.0	13.85	39.58	13.8	144	0.006	0.006	48(Qp)	Si	53
11.1	-1392	0.0	13.85	39.58	13.8	144	0.006	0.006	32(Fr)	Si	70
55.7	-1465	0.0	13.85	39.58	13.8	152	0.006	0.006	48(Qp)	Si	50
55.7	-1465	0.0	13.85	39.58	13.8	152	0.006	0.006	32(Fr)	Si	67
100.3	-1339	0.0	13.85	39.58	13.8	139	0.005	0.005	48(Qp)	Si	55
100.3	-1339	0.0	13.85	39.58	13.8	139	0.005	0.005	32(Fr)	Si	73
111.4	-1277	0.0	13.85	39.58	13.8	132	0.005	0.005	48(Qp)	Si	58
111.4	-1277	0.0	13.85	39.58	13.8	132	0.005	0.005	32(Fr)	Si	77

Trave: 101 [0,0], Pilastrate [--,--] Sez. R: By=30.0 cm Bz=80.0 cm L=111.4 cm Ln=111.4 cm Criterio: CLS_TraviAlte_ND

Combinazione Rara: σ_{ca} [kg/cmq]=149 σ_{fa} [kg/cmq]=3600

X	M+	M-	Afsup	Afinf	σ_c+	σ_f+	σ_c-	σ_f-	Cb+	Cb-	Ver.	CS
cm	kg*m	kg*m	cmq	cmq	kg/cmq	kg/cmq	kg/cmq	kg/cmq				
0.0	1617	--	7.70	7.70	-6	299	--	--	18	22	Si	12
11.1	1501	--	7.70	7.70	-6	277	--	--	18	22	Si	13
55.7	898	--	7.70	7.70	-4	166	--	--	18	22	Si	22
100.3	76	--	7.70	7.70	-0	14	--	--	18	22	Si	>100
111.4	--	165	7.70	7.70	--	--	-1	30	22	18	Si	>100

Combinazione QP: σ_{ca} [kg/cmq]=112 σ_{fa} [kg/cmq]=3600

X	M+	M-	Afsup	Afinf	σ_c+	σ_f+	σ_c-	σ_f-	Cb+	Cb-	Ver.	CS
cm	kg*m	kg*m	cmq	cmq	kg/cmq	kg/cmq	kg/cmq	kg/cmq				
0.0	1277	--	7.70	7.70	-5	236	--	--	48	48	Si	15
11.1	1192	--	7.70	7.70	-5	220	--	--	48	48	Si	16
55.7	730	--	7.70	7.70	-3	135	--	--	48	48	Si	27
100.3	69	--	7.70	7.70	-0	13	--	--	48	48	Si	>100
111.4	--	128	7.70	7.70	--	--	-0	24	48	48	Si	>100

Verifica aperture fessure: Wamm_Freq[mm]=0.400 Wamm_Qp[mm]=0.300

X	M	Act	Aft	pAft	$S_{r,max}$	σ_{fmed}	Wd	Wk	Cb	Ver.	Cs
cm	kg*m	mq	cmq	cm	cm	kg/cmq	mm	mm			
0.0	-1277	0.0	7.70	21.99	18.0	236	0.012	0.012	32(Fr)	Si	33
0.0	-1277	0.0	7.70	21.99	18.0	236	0.012	0.012	48(Qp)	Si	25
11.1	-1192	0.0	7.70	21.99	18.0	220	0.011	0.011	48(Qp)	Si	26
11.1	-1192	0.0	7.70	21.99	18.0	220	0.011	0.011	32(Fr)	Si	35
55.7	-730	0.0	7.70	21.99	18.0	135	0.007	0.007	48(Qp)	Si	43
55.7	-730	0.0	7.70	21.99	18.0	135	0.007	0.007	32(Fr)	Si	58
100.3	-69	0.0	7.70	21.99	18.0	13	0.001	0.001	48(Qp)	Si	>100
100.3	-69	0.0	7.70	21.99	18.0	13	0.001	0.001	32(Fr)	Si	>100
111.4	128	0.0	7.70	21.99	18.0	24	0.001	0.001	48(Qp)	Si	>100
111.4	128	0.0	7.70	21.99	18.0	24	0.001	0.001	32(Fr)	Si	>100

Trave: 101 [0,149], Pilastrate [--,49] Sez. R: By=30.0 cm Bz=80.0 cm L=111.4 cm Ln=111.4 cm Criterio: CLS_TraviAlte_ND

Combinazione Rara: σ_{ca} [kg/cmq]=149 σ_{fa} [kg/cmq]=3600

X	M+	M-	Afsup	Afinf	σ_c+	σ_f+	σ_c-	σ_f-	Cb+	Cb-	Ver.	CS
cm	kg*m	kg*m	cmq	cmq	kg/cmq	kg/cmq	kg/cmq	kg/cmq				
0.0	--	168	7.70	7.70	--	--	-1	31	22	18	Si	>100
11.1	--	449	7.70	7.70	--	--	-2	83	22	18	Si	43
55.7	--	1711	7.70	7.70	--	--	-7	316	22	18	Si	11

X	M+	M-	Afsup	Afinf	σ_{C+}	σ_{f+}	σ_{C-}	σ_{f-}	Cb+	Cb-	Ver.	CS
100.3	--	3194	7.70	7.70	--	--	-12	590	22	18	Si	6.1
111.4	--	3599	7.70	7.70	--	--	-14	665	22	18	Si	5.4

Combinazione QP: $\sigma_{ca}[\text{kg/cm}^2]=112$ $\sigma_{fa}[\text{kg/cm}^2]=3600$

X	M+	M-	Afsup	Afinf	σ_{C+}	σ_{f+}	σ_{C-}	σ_{f-}	Cb+	Cb-	Ver.	CS
cm	kg*m	kg*m	cmq	cmq	kg/cmq	kg/cmq	kg/cmq	kg/cmq				
0.0	--	129	7.70	7.70	--	--	-1	24	48	48	Si	>100
11.1	--	347	7.70	7.70	--	--	-1	64	48	48	Si	56
55.7	--	1342	7.70	7.70	--	--	-5	248	48	48	Si	15
100.3	--	2537	7.70	7.70	--	--	-10	469	48	48	Si	7.7
111.4	--	2867	7.70	7.70	--	--	-11	530	48	48	Si	6.8

Verifica aperture fessure: $W_{amm_Freq}[\text{mm}]=0.400$ $W_{amm_Qp}[\text{mm}]=0.300$

X	M	Act	Aft	pAft	$S_{r,max}$	σ_{fmed}	Wd	Wk	Cb	Ver.	Cs
cm	kg*m	mq	cmq	cm	cm	kg/cmq	mm	mm			
0.0	129	0.0	7.70	21.99	18.0	24	0.001	0.001	32(Fr)	Si	>100
0.0	129	0.0	7.70	21.99	18.0	24	0.001	0.001	48(Qp)	Si	>100
11.1	347	0.0	7.70	21.99	18.0	64	0.003	0.003	48(Qp)	Si	91
11.1	347	0.0	7.70	21.99	18.0	64	0.003	0.003	32(Fr)	Si	>100
55.7	1342	0.0	7.70	21.99	18.0	248	0.013	0.013	48(Qp)	Si	23
55.7	1342	0.0	7.70	21.99	18.0	248	0.013	0.013	32(Fr)	Si	31
100.3	2537	0.0	7.70	21.99	18.0	469	0.024	0.024	48(Qp)	Si	12
100.3	2537	0.0	7.70	21.99	18.0	469	0.024	0.024	32(Fr)	Si	17
111.4	2867	0.0	7.70	21.99	18.0	530	0.027	0.027	48(Qp)	Si	11
111.4	2867	0.0	7.70	21.99	18.0	530	0.027	0.027	32(Fr)	Si	15

Trave: 101 [0,0], Pilastrate [--,--] Sez. R: $B_y=30.0$ cm $B_z=80.0$ cm $L=88.0$ cm $L_n=88.0$ cm Criterio: CLS_TraviAlte_ND

Combinazione Rara: $\sigma_{ca}[\text{kg/cm}^2]=149$ $\sigma_{fa}[\text{kg/cm}^2]=3600$

X	M+	M-	Afsup	Afinf	σ_{C+}	σ_{f+}	σ_{C-}	σ_{f-}	Cb+	Cb-	Ver.	CS
cm	kg*m	kg*m	cmq	cmq	kg/cmq	kg/cmq	kg/cmq	kg/cmq				
0.0	173	--	7.70	7.70	-1	32	--	--	18	22	Si	>100
8.8	288	--	7.70	7.70	-1	53	--	--	18	22	Si	68
44.0	665	--	7.70	7.70	-3	123	--	--	18	22	Si	29
79.2	905	--	7.70	7.70	-4	167	--	--	18	22	Si	22
88.0	943	--	7.70	7.70	-4	174	--	--	18	22	Si	21

Combinazione QP: $\sigma_{ca}[\text{kg/cm}^2]=112$ $\sigma_{fa}[\text{kg/cm}^2]=3600$

X	M+	M-	Afsup	Afinf	σ_{C+}	σ_{f+}	σ_{C-}	σ_{f-}	Cb+	Cb-	Ver.	CS
cm	kg*m	kg*m	cmq	cmq	kg/cmq	kg/cmq	kg/cmq	kg/cmq				
0.0	79	--	7.70	7.70	-0	15	--	--	48	48	Si	>100
8.8	176	--	7.70	7.70	-1	32	--	--	48	48	Si	>100
44.0	483	--	7.70	7.70	-2	89	--	--	48	48	Si	40
79.2	666	--	7.70	7.70	-3	123	--	--	48	48	Si	29
88.0	693	--	7.70	7.70	-3	128	--	--	48	48	Si	28

Verifica aperture fessure: $W_{amm_Freq}[\text{mm}]=0.400$ $W_{amm_Qp}[\text{mm}]=0.300$

X	M	Act	Aft	pAft	$S_{r,max}$	σ_{fmed}	Wd	Wk	Cb	Ver.	Cs
cm	kg*m	mq	cmq	cm	cm	kg/cmq	mm	mm			
0.0	-79	0.0	7.70	21.99	18.0	15	0.001	0.001	32(Fr)	Si	>100
0.0	-79	0.0	7.70	21.99	18.0	15	0.001	0.001	48(Qp)	Si	>100
8.8	-176	0.0	7.70	21.99	18.0	32	0.002	0.002	48(Qp)	Si	>100
8.8	-176	0.0	7.70	21.99	18.0	32	0.002	0.002	32(Fr)	Si	>100
44.0	-483	0.0	7.70	21.99	18.0	89	0.005	0.005	48(Qp)	Si	65
44.0	-483	0.0	7.70	21.99	18.0	89	0.005	0.005	32(Fr)	Si	87
79.2	-666	0.0	7.70	21.99	18.0	123	0.006	0.006	48(Qp)	Si	47
79.2	-666	0.0	7.70	21.99	18.0	123	0.006	0.006	32(Fr)	Si	63
88.0	-693	0.0	7.70	21.99	18.0	128	0.007	0.007	48(Qp)	Si	46
88.0	-693	0.0	7.70	21.99	18.0	128	0.007	0.007	32(Fr)	Si	61

Trave: 101 [0,0], Pilastrate [--,--] Sez. R: By=30.0 cm Bz=80.0 cm L=88.0 cm Ln=88.0 cm Criterio: CLS_TraviAlte_ND

Combinazione Rara: $\sigma_{ca}[\text{kg/cm}^2]=149$ $\sigma_{fa}[\text{kg/cm}^2]=3600$

X cm	M+ kg*m	M- kg*m	Afsup cmq	Afinf cmq	σ_{c+} kg/cm ²	σ_{f+} kg/cm ²	σ_{c-} kg/cm ²	σ_{f-} kg/cm ²	Cb+	Cb-	Ver.	CS
0.0	943	--	7.70	7.70	-4	174	--	--	18	22	Si	21
8.8	953	--	7.70	7.70	-4	176	--	--	18	22	Si	20
44.0	910	--	7.70	7.70	-4	168	--	--	18	22	Si	21
79.2	729	--	7.70	7.70	-3	135	--	--	18	22	Si	27
88.0	662	--	7.70	7.70	-3	122	--	--	18	22	Si	29

Combinazione QP: $\sigma_{ca}[\text{kg/cm}^2]=112$ $\sigma_{fa}[\text{kg/cm}^2]=3600$

X cm	M+ kg*m	M- kg*m	Afsup cmq	Afinf cmq	σ_{c+} kg/cm ²	σ_{f+} kg/cm ²	σ_{c-} kg/cm ²	σ_{f-} kg/cm ²	Cb+	Cb-	Ver.	CS
0.0	692	--	7.70	7.70	-3	128	--	--	48	48	Si	28
8.8	705	--	7.70	7.70	-3	130	--	--	48	48	Si	28
44.0	677	--	7.70	7.70	-3	125	--	--	48	48	Si	29
79.2	525	--	7.70	7.70	-2	97	--	--	48	48	Si	37
88.0	467	--	7.70	7.70	-2	86	--	--	48	48	Si	42

Verifica aperture fessure: Wamm_Freq[mm]=0.400 Wamm_Qp[mm]=0.300

X cm	M kg*m	Act mq	Aft cmq	pAft cm	$S_{r,max}$ cm	σ_{fmed} kg/cm ²	Wd mm	Wk mm	Cb	Ver.	Cs
0.0	-692	0.0	7.70	21.99	18.0	128	0.007	0.007	32(Fr)	Si	61
0.0	-692	0.0	7.70	21.99	18.0	128	0.007	0.007	48(Qp)	Si	46
8.8	-705	0.0	7.70	21.99	18.0	130	0.007	0.007	48(Qp)	Si	45
8.8	-705	0.0	7.70	21.99	18.0	130	0.007	0.007	32(Fr)	Si	60
44.0	-677	0.0	7.70	21.99	18.0	125	0.006	0.006	48(Qp)	Si	47
44.0	-677	0.0	7.70	21.99	18.0	125	0.006	0.006	32(Fr)	Si	62
79.2	-525	0.0	7.70	21.99	18.0	97	0.005	0.005	48(Qp)	Si	60
79.2	-525	0.0	7.70	21.99	18.0	97	0.005	0.005	32(Fr)	Si	80
88.0	-467	0.0	7.70	21.99	18.0	86	0.004	0.004	48(Qp)	Si	67
88.0	-467	0.0	7.70	21.99	18.0	86	0.004	0.004	32(Fr)	Si	90

Trave: 101 [0,0], Pilastrate [--,--] Sez. R: By=30.0 cm Bz=80.0 cm L=88.0 cm Ln=88.0 cm Criterio: CLS_TraviAlte_ND

Combinazione Rara: $\sigma_{ca}[\text{kg/cm}^2]=149$ $\sigma_{fa}[\text{kg/cm}^2]=3600$

X cm	M+ kg*m	M- kg*m	Afsup cmq	Afinf cmq	σ_{c+} kg/cm ²	σ_{f+} kg/cm ²	σ_{c-} kg/cm ²	σ_{f-} kg/cm ²	Cb+	Cb-	Ver.	CS
0.0	661	--	7.70	7.70	-3	122	--	--	18	22	Si	29
8.8	566	--	7.70	7.70	-2	105	--	--	18	22	Si	34
44.0	103	--	7.70	7.70	-0	19	--	--	18	22	Si	>100
79.2	--	498	7.70	7.70	--	--	-2	92	22	18	Si	39
88.0	--	669	7.70	7.70	--	--	-3	124	22	18	Si	29

Combinazione QP: $\sigma_{ca}[\text{kg/cm}^2]=112$ $\sigma_{fa}[\text{kg/cm}^2]=3600$

X cm	M+ kg*m	M- kg*m	Afsup cmq	Afinf cmq	σ_{c+} kg/cm ²	σ_{f+} kg/cm ²	σ_{c-} kg/cm ²	σ_{f-} kg/cm ²	Cb+	Cb-	Ver.	CS
0.0	467	--	7.70	7.70	-2	86	--	--	48	48	Si	42
8.8	395	--	7.70	7.70	-2	73	--	--	48	48	Si	49
44.0	33	--	7.70	7.70	-0	6	--	--	48	48	Si	>100
79.2	--	454	7.70	7.70	--	--	-2	84	48	48	Si	43
88.0	--	595	7.70	7.70	--	--	-2	110	48	48	Si	33

Verifica aperture fessure: Wamm_Freq[mm]=0.400 Wamm_Qp[mm]=0.300

X cm	M kg*m	Act mq	Aft cmq	pAft cm	$S_{r,max}$ cm	σ_{fmed} kg/cm ²	Wd mm	Wk mm	Cb	Ver.	Cs
0.0	-467	0.0	7.70	21.99	18.0	86	0.004	0.004	32(Fr)	Si	90
0.0	-467	0.0	7.70	21.99	18.0	86	0.004	0.004	48(Qp)	Si	68
8.8	-395	0.0	7.70	21.99	18.0	73	0.004	0.004	48(Qp)	Si	80

X	M	Act	Aft	pAft	S _{r,max}	σ _{fmed}	Wd	Wk	Cb	Ver.	Cs
8.8	-395	0.0	7.70	21.99	18.0	73	0.004	0.004	32(Fr)	Si	>100
44.0	-33	0.0	7.70	21.99	18.0	6	0.000	0.000	48(Qp)	Si	>100
44.0	-33	0.0	7.70	21.99	18.0	6	0.000	0.000	32(Fr)	Si	>100
79.2	454	0.0	7.70	21.99	18.0	84	0.004	0.004	48(Qp)	Si	70
79.2	454	0.0	7.70	21.99	18.0	84	0.004	0.004	32(Fr)	Si	93
88.0	595	0.0	7.70	21.99	18.0	110	0.006	0.006	48(Qp)	Si	53
88.0	595	0.0	7.70	21.99	18.0	110	0.006	0.006	32(Fr)	Si	71

Trave: 101 [0,152], Pilastrate [--,52] Sez. R: By=30.0 cm Bz=80.0 cm L=88.0 cm Ln=88.0 cm Criterio: CLS_TraviAlte_ND

Combinazione Rara: σ_{ca}[kg/cm²]=149 σ_{fa}[kg/cm²]=3600

X	M+	M-	Afsup	Afinf	σ _{C+}	σ _{f+}	σ _{C-}	σ _{f-}	Cb+	Cb-	Ver.	CS
cm	kg*m	kg*m	cmq	cmq	kg/cm ²	kg/cm ²	kg/cm ²	kg/cm ²				
0.0	--	671	7.70	7.70	--	--	-3	124	22	18	Si	29
8.8	--	872	7.70	7.70	--	--	-3	161	22	18	Si	22
44.0	--	1759	7.70	7.70	--	--	-7	325	22	18	Si	11
79.2	--	2784	7.70	7.70	--	--	-11	514	22	18	Si	7.0
88.0	--	3061	7.70	7.70	--	--	-12	566	22	18	Si	6.4

Combinazione QP: σ_{ca}[kg/cm²]=112 σ_{fa}[kg/cm²]=3600

X	M+	M-	Afsup	Afinf	σ _{C+}	σ _{f+}	σ _{C-}	σ _{f-}	Cb+	Cb-	Ver.	CS
cm	kg*m	kg*m	cmq	cmq	kg/cm ²	kg/cm ²	kg/cm ²	kg/cm ²				
0.0	--	596	7.70	7.70	--	--	-2	110	48	48	Si	33
8.8	--	751	7.70	7.70	--	--	-3	139	48	48	Si	26
44.0	--	1449	7.70	7.70	--	--	-6	268	48	48	Si	13
79.2	--	2271	7.70	7.70	--	--	-9	420	48	48	Si	8.6
88.0	--	2496	7.70	7.70	--	--	-10	461	48	48	Si	7.8

Verifica aperture fessure: Wamm_Freq[mm]=0.400 Wamm_Qp[mm]=0.300

X	M	Act	Aft	pAft	S _{r,max}	σ _{fmed}	Wd	Wk	Cb	Ver.	Cs
cm	kg*m	m ²	cmq	cm	cm	kg/cm ²	mm	mm			
0.0	596	0.0	7.70	21.99	18.0	110	0.006	0.006	32(Fr)	Si	71
0.0	596	0.0	7.70	21.99	18.0	110	0.006	0.006	48(Qp)	Si	53
8.8	751	0.0	7.70	21.99	18.0	139	0.007	0.007	48(Qp)	Si	42
8.8	751	0.0	7.70	21.99	18.0	139	0.007	0.007	32(Fr)	Si	56
44.0	1449	0.0	7.70	21.99	18.0	268	0.014	0.014	48(Qp)	Si	22
44.0	1449	0.0	7.70	21.99	18.0	268	0.014	0.014	32(Fr)	Si	29
79.2	2271	0.0	7.70	21.99	18.0	420	0.022	0.022	48(Qp)	Si	14
79.2	2271	0.0	7.70	21.99	18.0	420	0.022	0.022	32(Fr)	Si	19
88.0	2496	0.0	7.70	21.99	18.0	461	0.024	0.024	48(Qp)	Si	13
88.0	2496	0.0	7.70	21.99	18.0	461	0.024	0.024	32(Fr)	Si	17

Trave: 102 [142,0], Pilastrate [42,--] Sez. R: By=30.0 cm Bz=80.0 cm L=107.4 cm Ln=107.4 cm Criterio: CLS_TraviAlte_ND

Combinazione Rara: σ_{ca}[kg/cm²]=149 σ_{fa}[kg/cm²]=3600

X	M+	M-	Afsup	Afinf	σ _{C+}	σ _{f+}	σ _{C-}	σ _{f-}	Cb+	Cb-	Ver.	CS
cm	kg*m	kg*m	cmq	cmq	kg/cm ²	kg/cm ²	kg/cm ²	kg/cm ²				
0.0	155	--	7.70	7.70	-1	29	--	--	18	22	Si	>100
10.7	209	--	7.70	7.70	-1	39	--	--	18	22	Si	93
53.7	298	--	7.70	7.70	-1	55	--	--	18	22	Si	65
96.7	182	--	7.70	7.70	-1	34	--	--	18	22	Si	>100
107.4	122	--	7.70	7.70	-0	22	--	--	18	22	Si	>100

Combinazione QP: σ_{ca}[kg/cm²]=112 σ_{fa}[kg/cm²]=3600

X	M+	M-	Afsup	Afinf	σ _{C+}	σ _{f+}	σ _{C-}	σ _{f-}	Cb+	Cb-	Ver.	CS
cm	kg*m	kg*m	cmq	cmq	kg/cm ²	kg/cm ²	kg/cm ²	kg/cm ²				
0.0	149	--	7.70	7.70	-1	28	--	--	48	48	Si	>100
10.7	193	--	7.70	7.70	-1	36	--	--	48	48	Si	>100
53.7	251	--	7.70	7.70	-1	46	--	--	48	48	Si	78

X	M+	M-	Afsup	Afinf	σ_{C+}	σ_{f+}	σ_{C-}	σ_{f-}	Cb+	Cb-	Ver.	CS
96.7	124	--	7.70	7.70	-0	23	--	--	48	48	Si	>100
107.4	63	--	7.70	7.70	-0	12	--	--	48	48	Si	>100

Verifica aperture fessure: Wamm_Freq[mm]=0.400 Wamm_Qp[mm]=0.300

X	M	Act	Aft	pAft	$S_{r,max}$	σ_{fmed}	Wd	Wk	Cb	Ver.	Cs
cm	kg*m	mq	cmq	cm	cm	kg/cmq	mm	mm			
0.0	-149	0.0	7.70	21.99	18.0	28	0.001	0.001	32(Fr)	Si	>100
0.0	-149	0.0	7.70	21.99	18.0	28	0.001	0.001	48(Qp)	Si	>100
10.7	-193	0.0	7.70	21.99	18.0	36	0.002	0.002	48(Qp)	Si	>100
10.7	-193	0.0	7.70	21.99	18.0	36	0.002	0.002	32(Fr)	Si	>100
53.7	-251	0.0	7.70	21.99	18.0	46	0.002	0.002	48(Qp)	Si	>100
53.7	-251	0.0	7.70	21.99	18.0	46	0.002	0.002	32(Fr)	Si	>100
96.7	-124	0.0	7.70	21.99	18.0	23	0.001	0.001	48(Qp)	Si	>100
96.7	-124	0.0	7.70	21.99	18.0	23	0.001	0.001	32(Fr)	Si	>100
107.4	-63	0.0	7.70	21.99	18.0	12	0.001	0.001	48(Qp)	Si	>100
107.4	-63	0.0	7.70	21.99	18.0	12	0.001	0.001	32(Fr)	Si	>100

Trave: 102 [137,0], Pilastrate [37,--] Sez. R: By=30.0 cm Bz=80.0 cm L=161.7 cm Ln=161.7 cm Criterio: CLS_TraviAlte_ND

Combinazione Rara: σ_{ca} [kg/cmq]=149 σ_{fa} [kg/cmq]=3600

X	M+	M-	Afsup	Afinf	σ_{C+}	σ_{f+}	σ_{C-}	σ_{f-}	Cb+	Cb-	Ver.	CS
cm	kg*m	kg*m	cmq	cmq	kg/cmq	kg/cmq	kg/cmq	kg/cmq				
0.0	--	1386	7.70	7.70	--	--	-5	256	22	18	Si	14
16.2	--	986	7.70	7.70	--	--	-4	182	22	18	Si	20
80.9	327	--	7.70	7.70	-1	60	--	--	18	22	Si	60
145.5	1179	--	7.70	7.70	-5	218	--	--	18	22	Si	17
161.7	1320	--	7.70	7.70	-5	244	--	--	18	22	Si	15

Combinazione QP: σ_{ca} [kg/cmq]=112 σ_{fa} [kg/cmq]=3600

X	M+	M-	Afsup	Afinf	σ_{C+}	σ_{f+}	σ_{C-}	σ_{f-}	Cb+	Cb-	Ver.	CS
cm	kg*m	kg*m	cmq	cmq	kg/cmq	kg/cmq	kg/cmq	kg/cmq				
0.0	--	1183	7.70	7.70	--	--	-5	219	48	48	Si	16
16.2	--	847	7.70	7.70	--	--	-3	156	48	48	Si	23
80.9	237	--	7.70	7.70	-1	44	--	--	48	48	Si	82
145.5	903	--	7.70	7.70	-4	167	--	--	48	48	Si	22
161.7	1004	--	7.70	7.70	-4	186	--	--	48	48	Si	19

Verifica aperture fessure: Wamm_Freq[mm]=0.400 Wamm_Qp[mm]=0.300

X	M	Act	Aft	pAft	$S_{r,max}$	σ_{fmed}	Wd	Wk	Cb	Ver.	Cs
cm	kg*m	mq	cmq	cm	cm	kg/cmq	mm	mm			
0.0	1183	0.0	7.70	21.99	18.0	219	0.011	0.011	32(Fr)	Si	36
0.0	1183	0.0	7.70	21.99	18.0	219	0.011	0.011	48(Qp)	Si	27
16.2	847	0.0	7.70	21.99	18.0	156	0.008	0.008	48(Qp)	Si	37
16.2	847	0.0	7.70	21.99	18.0	156	0.008	0.008	32(Fr)	Si	50
80.9	-237	0.0	7.70	21.99	18.0	44	0.002	0.002	48(Qp)	Si	>100
80.9	-237	0.0	7.70	21.99	18.0	44	0.002	0.002	32(Fr)	Si	>100
145.5	-903	0.0	7.70	21.99	18.0	167	0.009	0.009	48(Qp)	Si	35
145.5	-903	0.0	7.70	21.99	18.0	167	0.009	0.009	32(Fr)	Si	47
161.7	-1004	0.0	7.70	21.99	18.0	186	0.010	0.010	48(Qp)	Si	31
161.7	-1004	0.0	7.70	21.99	18.0	186	0.010	0.010	32(Fr)	Si	42

Trave: 102 [130,0], Pilastrate [30,--] Sez. R: By=30.0 cm Bz=80.0 cm L=75.3 cm Ln=75.3 cm Criterio: CLS_TraviAlte_ND

Combinazione Rara: σ_{ca} [kg/cmq]=149 σ_{fa} [kg/cmq]=3600

X	M+	M-	Afsup	Afinf	σ_{C+}	σ_{f+}	σ_{C-}	σ_{f-}	Cb+	Cb-	Ver.	CS
cm	kg*m	kg*m	cmq	cmq	kg/cmq	kg/cmq	kg/cmq	kg/cmq				
0.0	--	3801	9.24	9.24	--	--	-14	587	22	18	Si	6.1
7.5	--	3505	9.24	9.24	--	--	-12	542	22	18	Si	6.6
37.6	--	2384	9.24	9.24	--	--	-8	368	22	18	Si	9.8

X	M+	M-	Afsup	Afinf	σ_c+	σ_f+	σ_c-	σ_f-	Cb+	Cb-	Ver.	CS
67.7	--	1363	9.24	9.24	--	--	-5	211	22	18	Si	17
75.3	--	1123	9.24	9.24	--	--	-4	174	22	18	Si	21

Combinazione QP: $\sigma_{ca}[\text{kg/cm}^2]=112$ $\sigma_{fa}[\text{kg/cm}^2]=3600$

X	M+	M-	Afsup	Afinf	σ_c+	σ_f+	σ_c-	σ_f-	Cb+	Cb-	Ver.	CS
cm	kg*m	kg*m	cmq	cmq	kg/cmq	kg/cmq	kg/cmq	kg/cmq				
0.0	--	3070	9.24	9.24	--	--	-11	474	48	48	Si	7.6
7.5	--	2831	9.24	9.24	--	--	-10	437	48	48	Si	8.2
37.6	--	1931	9.24	9.24	--	--	-7	298	48	48	Si	12
67.7	--	1122	9.24	9.24	--	--	-4	173	48	48	Si	21
75.3	--	933	9.24	9.24	--	--	-3	144	48	48	Si	25

Verifica aperture fessure: $W_{amm_Freq}[\text{mm}]=0.400$ $W_{amm_Qp}[\text{mm}]=0.300$

X	M	Act	Aft	pAft	$S_{r,max}$	σ_{fmed}	Wd	Wk	Cb	Ver.	Cs
cm	kg*m	mq	cmq	cm	cm	kg/cmq	mm	mm			
0.0	3070	0.0	9.24	26.39	16.4	474	0.022	0.022	32(Fr)	Si	18
0.0	3070	0.0	9.24	26.39	16.4	474	0.022	0.022	48(Qp)	Si	13
7.5	2831	0.0	9.24	26.39	16.4	437	0.021	0.021	48(Qp)	Si	15
7.5	2831	0.0	9.24	26.39	16.4	437	0.021	0.021	32(Fr)	Si	19
37.6	1931	0.0	9.24	26.39	16.4	298	0.014	0.014	48(Qp)	Si	21
37.6	1931	0.0	9.24	26.39	16.4	298	0.014	0.014	32(Fr)	Si	29
67.7	1122	0.0	9.24	26.39	16.4	173	0.008	0.008	48(Qp)	Si	37
67.7	1122	0.0	9.24	26.39	16.4	173	0.008	0.008	32(Fr)	Si	49
75.3	933	0.0	9.24	26.39	16.4	144	0.007	0.007	48(Qp)	Si	44
75.3	933	0.0	9.24	26.39	16.4	144	0.007	0.007	32(Fr)	Si	59

Trave: 102 [123,0], Pilastrate [23,--] Sez. R: $B_y=30.0$ cm $B_z=80.0$ cm $L=73.8$ cm $L_n=73.8$ cm Criterio: CLS_TraviAlte_ND

Combinazione Rara: $\sigma_{ca}[\text{kg/cm}^2]=149$ $\sigma_{fa}[\text{kg/cm}^2]=3600$

X	M+	M-	Afsup	Afinf	σ_c+	σ_f+	σ_c-	σ_f-	Cb+	Cb-	Ver.	CS
cm	kg*m	kg*m	cmq	cmq	kg/cmq	kg/cmq	kg/cmq	kg/cmq				
0.0	--	3613	9.24	9.24	--	--	-13	558	22	18	Si	6.4
7.4	--	3358	9.24	9.24	--	--	-12	519	22	18	Si	6.9
36.9	--	2394	9.24	9.24	--	--	-9	370	22	18	Si	9.7
66.4	--	1527	9.24	9.24	--	--	-5	236	22	18	Si	15
73.8	--	1325	9.24	9.24	--	--	-5	205	22	18	Si	18

Combinazione QP: $\sigma_{ca}[\text{kg/cm}^2]=112$ $\sigma_{fa}[\text{kg/cm}^2]=3600$

X	M+	M-	Afsup	Afinf	σ_c+	σ_f+	σ_c-	σ_f-	Cb+	Cb-	Ver.	CS
cm	kg*m	kg*m	cmq	cmq	kg/cmq	kg/cmq	kg/cmq	kg/cmq				
0.0	--	2804	9.24	9.24	--	--	-10	433	48	48	Si	8.3
7.4	--	2602	9.24	9.24	--	--	-9	402	48	48	Si	9.0
36.9	--	1850	9.24	9.24	--	--	-7	286	48	48	Si	13
66.4	--	1185	9.24	9.24	--	--	-4	183	48	48	Si	20
73.8	--	1033	9.24	9.24	--	--	-4	160	48	48	Si	23

Verifica aperture fessure: $W_{amm_Freq}[\text{mm}]=0.400$ $W_{amm_Qp}[\text{mm}]=0.300$

X	M	Act	Aft	pAft	$S_{r,max}$	σ_{fmed}	Wd	Wk	Cb	Ver.	Cs
cm	kg*m	mq	cmq	cm	cm	kg/cmq	mm	mm			
0.0	2804	0.0	9.24	26.39	16.4	433	0.020	0.020	32(Fr)	Si	20
0.0	2804	0.0	9.24	26.39	16.4	433	0.020	0.020	48(Qp)	Si	15
7.4	2602	0.0	9.24	26.39	16.4	402	0.019	0.019	48(Qp)	Si	16
7.4	2602	0.0	9.24	26.39	16.4	402	0.019	0.019	32(Fr)	Si	21
36.9	1850	0.0	9.24	26.39	16.4	286	0.013	0.013	48(Qp)	Si	22
36.9	1850	0.0	9.24	26.39	16.4	286	0.013	0.013	32(Fr)	Si	30
66.4	1185	0.0	9.24	26.39	16.4	183	0.009	0.009	48(Qp)	Si	35
66.4	1185	0.0	9.24	26.39	16.4	183	0.009	0.009	32(Fr)	Si	47
73.8	1033	0.0	9.24	26.39	16.4	160	0.007	0.007	48(Qp)	Si	40
73.8	1033	0.0	9.24	26.39	16.4	160	0.007	0.007	32(Fr)	Si	53

Trave: 102 [116,110], Pilastrate [16,10] Sez. R: By=30.0 cm Bz=80.0 cm L=590.0 cm Ln=590.0 cm Criterio: CLS_TraviAlte_ND

Combinazione Rara: $\sigma_{ca}[\text{kg/cmq}]=149$ $\sigma_{fa}[\text{kg/cmq}]=3600$

X	M+	M-	Afsup	Afinf	σ_{c+}	σ_{f+}	σ_{c-}	σ_{f-}	Cb+	Cb-	Ver.	CS
cm	kg*m	kg*m	cmq	cmq	kg/cmq	kg/cmq	kg/cmq	kg/cmq				
0.0	--	4180	7.70	7.70	--	--	-16	772	22	18	Si	4.7
59.0	--	1762	7.70	7.70	--	--	-7	326	22	18	Si	11
295.0	2660	--	7.70	7.70	-10	492	--	--	18	22	Si	7.3
531.0	--	1317	7.70	7.70	--	--	-5	243	22	18	Si	15
590.0	--	3624	7.70	7.70	--	--	-14	670	22	18	Si	5.4

Combinazione QP: $\sigma_{ca}[\text{kg/cmq}]=112$ $\sigma_{fa}[\text{kg/cmq}]=3600$

X	M+	M-	Afsup	Afinf	σ_{c+}	σ_{f+}	σ_{c-}	σ_{f-}	Cb+	Cb-	Ver.	CS
cm	kg*m	kg*m	cmq	cmq	kg/cmq	kg/cmq	kg/cmq	kg/cmq				
0.0	--	3225	7.70	7.70	--	--	-13	596	48	48	Si	6.0
59.0	--	1360	7.70	7.70	--	--	-5	251	48	48	Si	14
295.0	2040	--	7.70	7.70	-8	377	--	--	48	48	Si	9.5
531.0	--	1054	7.70	7.70	--	--	-4	195	48	48	Si	18
590.0	--	2842	7.70	7.70	--	--	-11	525	48	48	Si	6.9

Verifica aperture fessure: Wamm_Freq[mm]=0.400 Wamm_Qp[mm]=0.300

X	M	Act	Aft	pAft	$S_{r,max}$	σ_{fmed}	Wd	Wk	Cb	Ver.	Cs
cm	kg*m	mq	cmq	cm	cm	kg/cmq	mm	mm			
0.0	3225	0.0	7.70	21.99	18.0	596	0.031	0.031	32(Fr)	Si	13
0.0	3225	0.0	7.70	21.99	18.0	596	0.031	0.031	48(Qp)	Si	9.8
59.0	1360	0.0	7.70	21.99	18.0	251	0.013	0.013	48(Qp)	Si	23
59.0	1360	0.0	7.70	21.99	18.0	251	0.013	0.013	32(Fr)	Si	31
295.0	-2040	0.0	7.70	21.99	18.0	377	0.019	0.019	48(Qp)	Si	15
295.0	-2040	0.0	7.70	21.99	18.0	377	0.019	0.019	32(Fr)	Si	21
531.0	1054	0.0	7.70	21.99	18.0	195	0.010	0.010	48(Qp)	Si	30
531.0	1054	0.0	7.70	21.99	18.0	195	0.010	0.010	32(Fr)	Si	40
590.0	2842	0.0	7.70	21.99	18.0	525	0.027	0.027	48(Qp)	Si	11
590.0	2842	0.0	7.70	21.99	18.0	525	0.027	0.027	32(Fr)	Si	15

Trave: 102 [110,106], Pilastrate [10,6] Sez. R: By=30.0 cm Bz=80.0 cm L=327.5 cm Ln=327.5 cm Criterio: CLS_TraviAlte_ND

Combinazione Rara: $\sigma_{ca}[\text{kg/cmq}]=149$ $\sigma_{fa}[\text{kg/cmq}]=3600$

X	M+	M-	Afsup	Afinf	σ_{c+}	σ_{f+}	σ_{c-}	σ_{f-}	Cb+	Cb-	Ver.	CS
cm	kg*m	kg*m	cmq	cmq	kg/cmq	kg/cmq	kg/cmq	kg/cmq				
0.0	--	3218	7.70	7.70	--	--	-13	595	22	18	Si	6.1
32.7	--	2291	7.70	7.70	--	--	-9	423	22	18	Si	8.5
163.7	--	200	7.70	7.70	--	--	-1	37	22	18	Si	97
294.7	--	698	7.70	7.70	--	--	-3	129	22	18	Si	28
327.5	--	1227	7.70	7.70	--	--	-5	227	22	18	Si	16

Combinazione QP: $\sigma_{ca}[\text{kg/cmq}]=112$ $\sigma_{fa}[\text{kg/cmq}]=3600$

X	M+	M-	Afsup	Afinf	σ_{c+}	σ_{f+}	σ_{c-}	σ_{f-}	Cb+	Cb-	Ver.	CS
cm	kg*m	kg*m	cmq	cmq	kg/cmq	kg/cmq	kg/cmq	kg/cmq				
0.0	--	2529	7.70	7.70	--	--	-10	467	48	48	Si	7.7
32.7	--	1811	7.70	7.70	--	--	-7	335	48	48	Si	11
163.7	--	188	7.70	7.70	--	--	-1	35	48	48	Si	>100
294.7	--	567	7.70	7.70	--	--	-2	105	48	48	Si	34
327.5	--	974	7.70	7.70	--	--	-4	180	48	48	Si	20

Verifica aperture fessure: Wamm_Freq[mm]=0.400 Wamm_Qp[mm]=0.300

X	M	Act	Aft	pAft	$S_{r,max}$	σ_{fmed}	Wd	Wk	Cb	Ver.	Cs
cm	kg*m	mq	cmq	cm	cm	kg/cmq	mm	mm			
0.0	2529	0.0	7.70	21.99	18.0	467	0.024	0.024	32(Fr)	Si	17
0.0	2529	0.0	7.70	21.99	18.0	467	0.024	0.024	48(Qp)	Si	12
32.7	1811	0.0	7.70	21.99	18.0	335	0.017	0.017	48(Qp)	Si	17

X	M	Act	Aft	pAft	$S_{r,max}$	σ_{fmed}	Wd	Wk	Cb	Ver.	Cs
32.7	1811	0.0	7.70	21.99	18.0	335	0.017	0.017	32(Fr)	Si	23
163.7	188	0.0	7.70	21.99	18.0	35	0.002	0.002	48(Qp)	Si	>100
163.7	188	0.0	7.70	21.99	18.0	35	0.002	0.002	32(Fr)	Si	>100
294.7	567	0.0	7.70	21.99	18.0	105	0.005	0.005	48(Qp)	Si	56
294.7	567	0.0	7.70	21.99	18.0	105	0.005	0.005	32(Fr)	Si	74
327.5	974	0.0	7.70	21.99	18.0	180	0.009	0.009	48(Qp)	Si	32
327.5	974	0.0	7.70	21.99	18.0	180	0.009	0.009	32(Fr)	Si	43

Trave: 102 [106,101], Pilastrate [6,1] Sez. R: By=30.0 cm Bz=80.0 cm L=265.0 cm Ln=265.0 cm Criterio: CLS_TraviAlte_ND

Combinazione Rara: σ_{ca} [kg/cm²]=149 σ_{fa} [kg/cm²]=3600

X	M+	M-	Afsup	Afinf	σ_{C+}	σ_{f+}	σ_{C-}	σ_{f-}	Cb+	Cb-	Ver.	CS
cm	kg*m	kg*m	cmq	cmq	kg/cm ²	kg/cm ²	kg/cm ²	kg/cm ²				
0.0	--	1373	7.70	7.70	--	--	-5	254	22	18	Si	14
26.5	--	812	7.70	7.70	--	--	-3	150	22	18	Si	24
132.5	607	--	7.70	7.70	-2	112	--	--	18	22	Si	32
238.5	568	--	7.70	7.70	-2	105	--	--	18	22	Si	34
265.0	310	--	7.70	7.70	-1	57	--	--	18	22	Si	63

Combinazione QP: σ_{ca} [kg/cm²]=112 σ_{fa} [kg/cm²]=3600

X	M+	M-	Afsup	Afinf	σ_{C+}	σ_{f+}	σ_{C-}	σ_{f-}	Cb+	Cb-	Ver.	CS
cm	kg*m	kg*m	cmq	cmq	kg/cm ²	kg/cm ²	kg/cm ²	kg/cm ²				
0.0	--	1134	7.70	7.70	--	--	-4	210	48	48	Si	17
26.5	--	661	7.70	7.70	--	--	-3	122	48	48	Si	29
132.5	505	--	7.70	7.70	-2	93	--	--	48	48	Si	39
238.5	458	--	7.70	7.70	-2	85	--	--	48	48	Si	43
265.0	248	--	7.70	7.70	-1	46	--	--	48	48	Si	79

Verifica aperture fessure: Wamm_Freq[mm]=0.400 Wamm_Qp[mm]=0.300

X	M	Act	Aft	pAft	$S_{r,max}$	σ_{fmed}	Wd	Wk	Cb	Ver.	Cs
cm	kg*m	m ²	cmq	cm	cm	kg/cm ²	mm	mm			
0.0	1134	0.0	7.70	21.99	18.0	210	0.011	0.011	32(Fr)	Si	37
0.0	1134	0.0	7.70	21.99	18.0	210	0.011	0.011	48(Qp)	Si	28
26.5	661	0.0	7.70	21.99	18.0	122	0.006	0.006	48(Qp)	Si	48
26.5	661	0.0	7.70	21.99	18.0	122	0.006	0.006	32(Fr)	Si	64
132.5	-505	0.0	7.70	21.99	18.0	93	0.005	0.005	48(Qp)	Si	62
132.5	-505	0.0	7.70	21.99	18.0	93	0.005	0.005	32(Fr)	Si	83
238.5	-458	0.0	7.70	21.99	18.0	85	0.004	0.004	48(Qp)	Si	69
238.5	-458	0.0	7.70	21.99	18.0	85	0.004	0.004	32(Fr)	Si	92
265.0	-248	0.0	7.70	21.99	18.0	46	0.002	0.002	48(Qp)	Si	>100
265.0	-248	0.0	7.70	21.99	18.0	46	0.002	0.002	32(Fr)	Si	>100

Trave: 102 [0,0], Pilastrate [--,--] Sez. R: By=30.0 cm Bz=80.0 cm L=73.8 cm Ln=73.8 cm Criterio: CLS_TraviAlte_ND

Combinazione Rara: σ_{ca} [kg/cm²]=149 σ_{fa} [kg/cm²]=3600

X	M+	M-	Afsup	Afinf	σ_{C+}	σ_{f+}	σ_{C-}	σ_{f-}	Cb+	Cb-	Ver.	CS
cm	kg*m	kg*m	cmq	cmq	kg/cm ²	kg/cm ²	kg/cm ²	kg/cm ²				
0.0	--	1318	7.70	7.70	--	--	-5	244	22	18	Si	15
7.4	--	1132	7.70	7.70	--	--	-4	209	22	18	Si	17
36.9	--	450	7.70	7.70	--	--	-2	83	22	18	Si	43
66.4	136	--	7.70	7.70	-1	25	--	--	18	22	Si	>100
73.8	268	--	7.70	7.70	-1	50	--	--	18	22	Si	73

Combinazione QP: σ_{ca} [kg/cm²]=112 σ_{fa} [kg/cm²]=3600

X	M+	M-	Afsup	Afinf	σ_{C+}	σ_{f+}	σ_{C-}	σ_{f-}	Cb+	Cb-	Ver.	CS
cm	kg*m	kg*m	cmq	cmq	kg/cm ²	kg/cm ²	kg/cm ²	kg/cm ²				
0.0	--	1027	7.70	7.70	--	--	-4	190	48	48	Si	19
7.4	--	880	7.70	7.70	--	--	-3	163	48	48	Si	22
36.9	--	346	7.70	7.70	--	--	-1	64	48	48	Si	56

X	M+	M-	Afsup	Afinf	σ_{C+}	σ_{f+}	σ_{C-}	σ_{f-}	Cb+	Cb-	Ver.	CS
66.4	101	--	7.70	7.70	-0	19	--	--	48	48	Si	>100
73.8	199	--	7.70	7.70	-1	37	--	--	48	48	Si	98

Verifica aperture fessure: Wamm_Freq[mm]=0.400 Wamm_Qp[mm]=0.300

X	M	Act	Aft	pAft	$S_{r,max}$	σ_{fmed}	Wd	Wk	Cb	Ver.	Cs
cm	kg*m	mq	cmq	cm	cm	kg/cmq	mm	mm			
0.0	1027	0.0	7.70	21.99	18.0	190	0.010	0.010	32(Fr)	Si	41
0.0	1027	0.0	7.70	21.99	18.0	190	0.010	0.010	48(Qp)	Si	31
7.4	880	0.0	7.70	21.99	18.0	163	0.008	0.008	48(Qp)	Si	36
7.4	880	0.0	7.70	21.99	18.0	163	0.008	0.008	32(Fr)	Si	48
36.9	346	0.0	7.70	21.99	18.0	64	0.003	0.003	48(Qp)	Si	91
36.9	346	0.0	7.70	21.99	18.0	64	0.003	0.003	32(Fr)	Si	>100
66.4	-101	0.0	7.70	21.99	18.0	19	0.001	0.001	48(Qp)	Si	>100
66.4	-101	0.0	7.70	21.99	18.0	19	0.001	0.001	32(Fr)	Si	>100
73.8	-199	0.0	7.70	21.99	18.0	37	0.002	0.002	48(Qp)	Si	>100
73.8	-199	0.0	7.70	21.99	18.0	37	0.002	0.002	32(Fr)	Si	>100

Trave: 102 [0,0], Pilastrate [--,--] Sez. R: By=30.0 cm Bz=80.0 cm L=73.8 cm Ln=73.8 cm Criterio: CLS_TraviAlte_ND

Combinazione Rara: σ_{ca} [kg/cmq]=149 σ_{fa} [kg/cmq]=3600

X	M+	M-	Afsup	Afinf	σ_{C+}	σ_{f+}	σ_{C-}	σ_{f-}	Cb+	Cb-	Ver.	CS
cm	kg*m	kg*m	cmq	cmq	kg/cmq	kg/cmq	kg/cmq	kg/cmq				
0.0	274	--	7.70	7.70	-1	51	--	--	18	22	Si	71
7.4	393	--	7.70	7.70	-2	73	--	--	18	22	Si	50
36.9	812	--	7.70	7.70	-3	150	--	--	18	22	Si	24
66.4	1136	--	7.70	7.70	-4	210	--	--	18	22	Si	17
73.8	1201	--	7.70	7.70	-5	222	--	--	18	22	Si	16

Combinazione QP: σ_{ca} [kg/cmq]=112 σ_{fa} [kg/cmq]=3600

X	M+	M-	Afsup	Afinf	σ_{C+}	σ_{f+}	σ_{C-}	σ_{f-}	Cb+	Cb-	Ver.	CS
cm	kg*m	kg*m	cmq	cmq	kg/cmq	kg/cmq	kg/cmq	kg/cmq				
0.0	204	--	7.70	7.70	-1	38	--	--	48	48	Si	96
7.4	300	--	7.70	7.70	-1	55	--	--	48	48	Si	65
36.9	631	--	7.70	7.70	-2	117	--	--	48	48	Si	31
66.4	874	--	7.70	7.70	-3	162	--	--	48	48	Si	22
73.8	922	--	7.70	7.70	-4	170	--	--	48	48	Si	21

Verifica aperture fessure: Wamm_Freq[mm]=0.400 Wamm_Qp[mm]=0.300

X	M	Act	Aft	pAft	$S_{r,max}$	σ_{fmed}	Wd	Wk	Cb	Ver.	Cs
cm	kg*m	mq	cmq	cm	cm	kg/cmq	mm	mm			
0.0	-204	0.0	7.70	21.99	18.0	38	0.002	0.002	32(Fr)	Si	>100
0.0	-204	0.0	7.70	21.99	18.0	38	0.002	0.002	48(Qp)	Si	>100
7.4	-300	0.0	7.70	21.99	18.0	55	0.003	0.003	48(Qp)	Si	>100
7.4	-300	0.0	7.70	21.99	18.0	55	0.003	0.003	32(Fr)	Si	>100
36.9	-631	0.0	7.70	21.99	18.0	117	0.006	0.006	48(Qp)	Si	50
36.9	-631	0.0	7.70	21.99	18.0	117	0.006	0.006	32(Fr)	Si	67
66.4	-874	0.0	7.70	21.99	18.0	162	0.008	0.008	48(Qp)	Si	36
66.4	-874	0.0	7.70	21.99	18.0	162	0.008	0.008	32(Fr)	Si	48
73.8	-922	0.0	7.70	21.99	18.0	170	0.009	0.009	48(Qp)	Si	34
73.8	-922	0.0	7.70	21.99	18.0	170	0.009	0.009	32(Fr)	Si	46

Trave: 102 [0,0], Pilastrate [--,--] Sez. R: By=30.0 cm Bz=80.0 cm L=73.8 cm Ln=73.8 cm Criterio: CLS_TraviAlte_ND

Combinazione Rara: σ_{ca} [kg/cmq]=149 σ_{fa} [kg/cmq]=3600

X	M+	M-	Afsup	Afinf	σ_{C+}	σ_{f+}	σ_{C-}	σ_{f-}	Cb+	Cb-	Ver.	CS
cm	kg*m	kg*m	cmq	cmq	kg/cmq	kg/cmq	kg/cmq	kg/cmq				
0.0	1204	--	7.70	7.70	-5	223	--	--	18	22	Si	16
7.4	1259	--	7.70	7.70	-5	233	--	--	18	22	Si	15
36.9	1419	--	7.70	7.70	-6	262	--	--	18	22	Si	14

X	M+	M-	Afsup	Afinf	σ_c+	σ_f+	σ_c-	σ_f-	Cb+	Cb-	Ver.	CS
66.4	1484	--	7.70	7.70	-6	274	--	--	18	22	Si	13
73.8	1485	--	7.70	7.70	-6	274	--	--	18	22	Si	13

Combinazione QP: $\sigma_{ca}[\text{kg/cm}^2]=112$ $\sigma_{fa}[\text{kg/cm}^2]=3600$

X	M+	M-	Afsup	Afinf	σ_c+	σ_f+	σ_c-	σ_f-	Cb+	Cb-	Ver.	CS
cm	kg*m	kg*m	cmq	cmq	kg/cmq	kg/cmq	kg/cmq	kg/cmq				
0.0	924	--	7.70	7.70	-4	171	--	--	48	48	Si	21
7.4	970	--	7.70	7.70	-4	179	--	--	48	48	Si	20
36.9	1102	--	7.70	7.70	-4	204	--	--	48	48	Si	18
66.4	1146	--	7.70	7.70	-4	212	--	--	48	48	Si	17
73.8	1144	--	7.70	7.70	-4	211	--	--	48	48	Si	17

Verifica aperture fessure: $W_{amm_Freq}[\text{mm}]=0.400$ $W_{amm_Qp}[\text{mm}]=0.300$

X	M	Act	Aft	pAft	$S_{r,max}$	σ_{fmed}	Wd	Wk	Cb	Ver.	Cs
cm	kg*m	mq	cmq	cm	cm	kg/cmq	mm	mm			
0.0	-924	0.0	7.70	21.99	18.0	171	0.009	0.009	32(Fr)	Si	46
0.0	-924	0.0	7.70	21.99	18.0	171	0.009	0.009	48(Qp)	Si	34
7.4	-970	0.0	7.70	21.99	18.0	179	0.009	0.009	48(Qp)	Si	33
7.4	-970	0.0	7.70	21.99	18.0	179	0.009	0.009	32(Fr)	Si	43
36.9	-1102	0.0	7.70	21.99	18.0	204	0.010	0.010	48(Qp)	Si	29
36.9	-1102	0.0	7.70	21.99	18.0	204	0.010	0.010	32(Fr)	Si	38
66.4	-1146	0.0	7.70	21.99	18.0	212	0.011	0.011	48(Qp)	Si	28
66.4	-1146	0.0	7.70	21.99	18.0	212	0.011	0.011	32(Fr)	Si	37
73.8	-1144	0.0	7.70	21.99	18.0	211	0.011	0.011	48(Qp)	Si	28
73.8	-1144	0.0	7.70	21.99	18.0	211	0.011	0.011	32(Fr)	Si	37

Trave: 102 [0,0], Pilastrate [--,--] Sez. R: $B_y=30.0$ cm $B_z=80.0$ cm $L=73.8$ cm $L_n=73.8$ cm Criterio: CLS_TraviAlte_ND

Combinazione Rara: $\sigma_{ca}[\text{kg/cm}^2]=149$ $\sigma_{fa}[\text{kg/cm}^2]=3600$

X	M+	M-	Afsup	Afinf	σ_c+	σ_f+	σ_c-	σ_f-	Cb+	Cb-	Ver.	CS
cm	kg*m	kg*m	cmq	cmq	kg/cmq	kg/cmq	kg/cmq	kg/cmq				
0.0	1484	--	7.70	7.70	-6	274	--	--	18	22	Si	13
7.4	1474	--	7.70	7.70	-6	272	--	--	18	22	Si	13
36.9	1376	--	7.70	7.70	-5	254	--	--	18	22	Si	14
66.4	1181	--	7.70	7.70	-5	218	--	--	18	22	Si	16
73.8	1118	--	7.70	7.70	-4	207	--	--	18	22	Si	17

Combinazione QP: $\sigma_{ca}[\text{kg/cm}^2]=112$ $\sigma_{fa}[\text{kg/cm}^2]=3600$

X	M+	M-	Afsup	Afinf	σ_c+	σ_f+	σ_c-	σ_f-	Cb+	Cb-	Ver.	CS
cm	kg*m	kg*m	cmq	cmq	kg/cmq	kg/cmq	kg/cmq	kg/cmq				
0.0	1143	--	7.70	7.70	-4	211	--	--	48	48	Si	17
7.4	1139	--	7.70	7.70	-4	211	--	--	48	48	Si	17
36.9	1072	--	7.70	7.70	-4	198	--	--	48	48	Si	18
66.4	917	--	7.70	7.70	-4	169	--	--	48	48	Si	21
73.8	865	--	7.70	7.70	-3	160	--	--	48	48	Si	23

Verifica aperture fessure: $W_{amm_Freq}[\text{mm}]=0.400$ $W_{amm_Qp}[\text{mm}]=0.300$

X	M	Act	Aft	pAft	$S_{r,max}$	σ_{fmed}	Wd	Wk	Cb	Ver.	Cs
cm	kg*m	mq	cmq	cm	cm	kg/cmq	mm	mm			
0.0	-1143	0.0	7.70	21.99	18.0	211	0.011	0.011	32(Fr)	Si	37
0.0	-1143	0.0	7.70	21.99	18.0	211	0.011	0.011	48(Qp)	Si	28
7.4	-1139	0.0	7.70	21.99	18.0	211	0.011	0.011	48(Qp)	Si	28
7.4	-1139	0.0	7.70	21.99	18.0	211	0.011	0.011	32(Fr)	Si	37
36.9	-1072	0.0	7.70	21.99	18.0	198	0.010	0.010	48(Qp)	Si	29
36.9	-1072	0.0	7.70	21.99	18.0	198	0.010	0.010	32(Fr)	Si	39
66.4	-917	0.0	7.70	21.99	18.0	169	0.009	0.009	48(Qp)	Si	34
66.4	-917	0.0	7.70	21.99	18.0	169	0.009	0.009	32(Fr)	Si	46
73.8	-865	0.0	7.70	21.99	18.0	160	0.008	0.008	48(Qp)	Si	36
73.8	-865	0.0	7.70	21.99	18.0	160	0.008	0.008	32(Fr)	Si	49

Trave: 102 [0,0], Pilastrate [--,--] Sez. R: By=30.0 cm Bz=80.0 cm L=73.8 cm Ln=73.8 cm Criterio: CLS_TraviAlte_ND

Combinazione Rara: $\sigma_{ca}[\text{kg/cm}^2]=149$ $\sigma_{fa}[\text{kg/cm}^2]=3600$

X cm	M+ kg*m	M- kg*m	Afsup cmq	Afinf cmq	σ_{c+} kg/cm ²	σ_{f+} kg/cm ²	σ_{c-} kg/cm ²	σ_{f-} kg/cm ²	Cb+	Cb-	Ver.	CS
0.0	1114	--	7.70	7.70	-4	206	--	--	18	22	Si	17
7.4	1039	--	7.70	7.70	-4	192	--	--	18	22	Si	19
36.9	681	--	7.70	7.70	-3	126	--	--	18	22	Si	29
66.4	227	--	7.70	7.70	-1	42	--	--	18	22	Si	86
73.8	99	--	7.70	7.70	-0	18	--	--	18	22	Si	>100

Combinazione QP: $\sigma_{ca}[\text{kg/cm}^2]=112$ $\sigma_{fa}[\text{kg/cm}^2]=3600$

X cm	M+ kg*m	M- kg*m	Afsup cmq	Afinf cmq	σ_{c+} kg/cm ²	σ_{f+} kg/cm ²	σ_{c-} kg/cm ²	σ_{f-} kg/cm ²	Cb+	Cb-	Ver.	CS
0.0	861	--	7.70	7.70	-3	159	--	--	48	48	Si	23
7.4	808	--	7.70	7.70	-3	149	--	--	48	48	Si	24
36.9	540	--	7.70	7.70	-2	100	--	--	48	48	Si	36
66.4	186	--	7.70	7.70	-1	34	--	--	48	48	Si	>100
73.8	84	--	7.70	7.70	-0	15	--	--	48	48	Si	>100

Verifica aperture fessure: Wamm_Freq[mm]=0.400 Wamm_Qp[mm]=0.300

X cm	M kg*m	Act mq	Aft cmq	pAft cm	$S_{r,max}$ cm	σ_{fmed} kg/cm ²	Wd mm	Wk mm	Cb	Ver.	Cs
0.0	-861	0.0	7.70	21.99	18.0	159	0.008	0.008	32(Fr)	Si	49
0.0	-861	0.0	7.70	21.99	18.0	159	0.008	0.008	48(Qp)	Si	37
7.4	-808	0.0	7.70	21.99	18.0	149	0.008	0.008	48(Qp)	Si	39
7.4	-808	0.0	7.70	21.99	18.0	149	0.008	0.008	32(Fr)	Si	52
36.9	-540	0.0	7.70	21.99	18.0	100	0.005	0.005	48(Qp)	Si	58
36.9	-540	0.0	7.70	21.99	18.0	100	0.005	0.005	32(Fr)	Si	78
66.4	-186	0.0	7.70	21.99	18.0	34	0.002	0.002	48(Qp)	Si	>100
66.4	-186	0.0	7.70	21.99	18.0	34	0.002	0.002	32(Fr)	Si	>100
73.8	-84	0.0	7.70	21.99	18.0	15	0.001	0.001	48(Qp)	Si	>100
73.8	-84	0.0	7.70	21.99	18.0	15	0.001	0.001	32(Fr)	Si	>100

Trave: 102 [0,0], Pilastrate [--,--] Sez. R: By=30.0 cm Bz=80.0 cm L=73.8 cm Ln=73.8 cm Criterio: CLS_TraviAlte_ND

Combinazione Rara: $\sigma_{ca}[\text{kg/cm}^2]=149$ $\sigma_{fa}[\text{kg/cm}^2]=3600$

X cm	M+ kg*m	M- kg*m	Afsup cmq	Afinf cmq	σ_{c+} kg/cm ²	σ_{f+} kg/cm ²	σ_{c-} kg/cm ²	σ_{f-} kg/cm ²	Cb+	Cb-	Ver.	CS
0.0	92	--	9.24	9.24	-0	14	--	--	18	22	Si	>100
7.4	--	49	9.24	9.24	--	--	-0	8	22	18	Si	>100
36.9	--	672	9.24	9.24	--	--	-2	104	22	18	Si	35
66.4	--	1390	13.85	13.85	--	--	-4	144	22	18	Si	25
73.8	--	1585	13.85	13.85	--	--	-5	164	22	18	Si	22

Combinazione QP: $\sigma_{ca}[\text{kg/cm}^2]=112$ $\sigma_{fa}[\text{kg/cm}^2]=3600$

X cm	M+ kg*m	M- kg*m	Afsup cmq	Afinf cmq	σ_{c+} kg/cm ²	σ_{f+} kg/cm ²	σ_{c-} kg/cm ²	σ_{f-} kg/cm ²	Cb+	Cb-	Ver.	CS
0.0	78	--	9.24	9.24	-0	12	--	--	48	48	Si	>100
7.4	--	27	9.24	9.24	--	--	-0	4	48	48	Si	>100
36.9	--	499	9.24	9.24	--	--	-2	77	48	48	Si	47
66.4	--	1058	13.85	13.85	--	--	-3	110	48	48	Si	33
73.8	--	1212	13.85	13.85	--	--	-3	126	48	48	Si	29

Verifica aperture fessure: Wamm_Freq[mm]=0.400 Wamm_Qp[mm]=0.300

X cm	M kg*m	Act mq	Aft cmq	pAft cm	$S_{r,max}$ cm	σ_{fmed} kg/cm ²	Wd mm	Wk mm	Cb	Ver.	Cs
0.0	-78	0.0	9.24	26.39	16.4	12	0.001	0.001	32(Fr)	Si	>100
0.0	-78	0.0	9.24	26.39	16.4	12	0.001	0.001	48(Qp)	Si	>100
7.4	27	0.0	9.24	26.39	16.4	4	0.000	0.000	48(Qp)	Si	>100

X	M	Act	Aft	pAft	$S_{r,max}$	σ_{fmed}	Wd	Wk	Cb	Ver.	Cs
7.4	27	0.0	9.24	26.39	16.4	4	0.000	0.000	32(Fr)	Si	>100
36.9	499	0.0	9.24	26.39	16.4	77	0.004	0.004	48(Qp)	Si	83
36.9	499	0.0	9.24	26.39	16.4	77	0.004	0.004	32(Fr)	Si	>100
66.4	1058	0.0	13.85	39.58	13.8	110	0.004	0.004	48(Qp)	Si	69
66.4	1058	0.0	13.85	39.58	13.8	110	0.004	0.004	32(Fr)	Si	93
73.8	1212	0.0	13.85	39.58	13.8	126	0.005	0.005	48(Qp)	Si	61
73.8	1212	0.0	13.85	39.58	13.8	126	0.005	0.005	32(Fr)	Si	81

Trave: 102 [0,116], Pilastrate [--,16] Sez. R: By=30.0 cm Bz=80.0 cm L=73.7 cm Ln=73.7 cm Criterio: CLS_TraviAlte_ND

Combinazione Rara: σ_{ca} [kg/cmq]=149 σ_{fa} [kg/cmq]=3600

X	M+	M-	Afsup	Afinf	σ_{C+}	σ_{f+}	σ_{C-}	σ_{f-}	Cb+	Cb-	Ver.	CS
cm	kg*m	kg*m	cmq	cmq	kg/cmq	kg/cmq	kg/cmq	kg/cmq				
0.0	--	1593	13.85	13.85	--	--	-5	165	22	18	Si	22
7.4	--	1805	13.85	13.85	--	--	-5	187	22	18	Si	19
36.9	--	2711	10.78	13.85	--	--	-8	358	22	18	Si	10
66.4	--	3712	10.78	10.78	--	--	-12	493	22	18	Si	7.3
73.7	--	3977	10.78	10.78	--	--	-13	528	22	18	Si	6.8

Combinazione QP: σ_{ca} [kg/cmq]=112 σ_{fa} [kg/cmq]=3600

X	M+	M-	Afsup	Afinf	σ_{C+}	σ_{f+}	σ_{C-}	σ_{f-}	Cb+	Cb-	Ver.	CS
cm	kg*m	kg*m	cmq	cmq	kg/cmq	kg/cmq	kg/cmq	kg/cmq				
0.0	--	1219	13.85	13.85	--	--	-3	126	48	48	Si	28
7.4	--	1379	13.85	13.85	--	--	-4	143	48	48	Si	25
36.9	--	2071	10.78	13.85	--	--	-6	274	48	48	Si	13
66.4	--	2851	10.78	10.78	--	--	-9	379	48	48	Si	9.5
73.7	--	3059	10.78	10.78	--	--	-10	406	48	48	Si	8.9

Verifica aperture fessure: Wamm_Freq[mm]=0.400 Wamm_Qp[mm]=0.300

X	M	Act	Aft	pAft	$S_{r,max}$	σ_{fmed}	Wd	Wk	Cb	Ver.	Cs
cm	kg*m	m	cmq	cm	cm	kg/cmq	mm	mm			
0.0	1219	0.0	13.85	39.58	13.8	126	0.005	0.005	32(Fr)	Si	80
0.0	1219	0.0	13.85	39.58	13.8	126	0.005	0.005	48(Qp)	Si	60
7.4	1379	0.0	13.85	39.58	13.8	143	0.006	0.006	48(Qp)	Si	53
7.4	1379	0.0	13.85	39.58	13.8	143	0.006	0.006	32(Fr)	Si	71
36.9	2071	0.0	10.78	30.79	15.3	274	0.012	0.012	48(Qp)	Si	25
36.9	2071	0.0	10.78	30.79	15.3	274	0.012	0.012	32(Fr)	Si	33
66.4	2851	0.0	10.78	30.79	15.3	379	0.017	0.017	48(Qp)	Si	18
66.4	2851	0.0	10.78	30.79	15.3	379	0.017	0.017	32(Fr)	Si	24
73.7	3059	0.0	10.78	30.79	15.3	406	0.018	0.018	48(Qp)	Si	17
73.7	3059	0.0	10.78	30.79	15.3	406	0.018	0.018	32(Fr)	Si	23

Trave: 102 [0,0], Pilastrate [--,--] Sez. R: By=30.0 cm Bz=80.0 cm L=75.0 cm Ln=75.0 cm Criterio: CLS_TraviAlte_ND

Combinazione Rara: σ_{ca} [kg/cmq]=149 σ_{fa} [kg/cmq]=3600

X	M+	M-	Afsup	Afinf	σ_{C+}	σ_{f+}	σ_{C-}	σ_{f-}	Cb+	Cb-	Ver.	CS
cm	kg*m	kg*m	cmq	cmq	kg/cmq	kg/cmq	kg/cmq	kg/cmq				
0.0	--	1122	7.70	7.70	--	--	-4	207	22	18	Si	17
7.5	--	906	7.70	7.70	--	--	-4	167	22	18	Si	21
37.5	--	108	7.70	7.70	--	--	-0	20	18	22	Si	>100
67.5	598	--	7.70	7.70	-2	111	--	--	18	22	Si	33
75.0	759	--	7.70	7.70	-3	140	--	--	18	22	Si	26

Combinazione QP: σ_{ca} [kg/cmq]=112 σ_{fa} [kg/cmq]=3600

X	M+	M-	Afsup	Afinf	σ_{C+}	σ_{f+}	σ_{C-}	σ_{f-}	Cb+	Cb-	Ver.	CS
cm	kg*m	kg*m	cmq	cmq	kg/cmq	kg/cmq	kg/cmq	kg/cmq				
0.0	--	933	7.70	7.70	--	--	-4	173	48	48	Si	21
7.5	--	757	7.70	7.70	--	--	-3	140	48	48	Si	26
37.5	--	108	7.70	7.70	--	--	-0	20	48	48	Si	>100

X	M+	M-	Afsup	Afinf	σ_{C+}	σ_{f+}	σ_{C-}	σ_{f-}	Cb+	Cb-	Ver.	CS
67.5	452	--	7.70	7.70	-2	84	--	--	48	48	Si	43
75.0	578	--	7.70	7.70	-2	107	--	--	48	48	Si	34

Verifica aperture fessure: Wamm_Freq[mm]=0.400 Wamm_Qp[mm]=0.300

X	M	Act	Aft	pAft	$S_{r,max}$	σ_{fmed}	Wd	Wk	Cb	Ver.	Cs
cm	kg*m	mq	cmq	cm	cm	kg/cmq	mm	mm			
0.0	933	0.0	7.70	21.99	18.0	173	0.009	0.009	32(Fr)	Si	45
0.0	933	0.0	7.70	21.99	18.0	173	0.009	0.009	48(Qp)	Si	34
7.5	757	0.0	7.70	21.99	18.0	140	0.007	0.007	48(Qp)	Si	42
7.5	757	0.0	7.70	21.99	18.0	140	0.007	0.007	32(Fr)	Si	56
37.5	108	0.0	7.70	21.99	18.0	20	0.001	0.001	48(Qp)	Si	>100
37.5	108	0.0	7.70	21.99	18.0	20	0.001	0.001	32(Fr)	Si	>100
67.5	-452	0.0	7.70	21.99	18.0	84	0.004	0.004	48(Qp)	Si	70
67.5	-452	0.0	7.70	21.99	18.0	84	0.004	0.004	32(Fr)	Si	93
75.0	-578	0.0	7.70	21.99	18.0	107	0.005	0.005	48(Qp)	Si	55
75.0	-578	0.0	7.70	21.99	18.0	107	0.005	0.005	32(Fr)	Si	73

Trave: 102 [0,0], Pilastrate [--,--] Sez. R: By=30.0 cm Bz=80.0 cm L=75.0 cm Ln=75.0 cm Criterio: CLS_TraviAlte_ND

Combinazione Rara: σ_{ca} [kg/cmq]=149 σ_{fa} [kg/cmq]=3600

X	M+	M-	Afsup	Afinf	σ_{C+}	σ_{f+}	σ_{C-}	σ_{f-}	Cb+	Cb-	Ver.	CS
cm	kg*m	kg*m	cmq	cmq	kg/cmq	kg/cmq	kg/cmq	kg/cmq				
0.0	760	--	7.70	7.70	-3	140	--	--	18	22	Si	26
7.5	899	--	7.70	7.70	-4	166	--	--	18	22	Si	22
37.5	1395	--	7.70	7.70	-5	258	--	--	18	22	Si	14
67.5	1791	--	7.70	7.70	-7	331	--	--	18	22	Si	11
75.0	1874	--	7.70	7.70	-7	346	--	--	18	22	Si	10

Combinazione QP: σ_{ca} [kg/cmq]=112 σ_{fa} [kg/cmq]=3600

X	M+	M-	Afsup	Afinf	σ_{C+}	σ_{f+}	σ_{C-}	σ_{f-}	Cb+	Cb-	Ver.	CS
cm	kg*m	kg*m	cmq	cmq	kg/cmq	kg/cmq	kg/cmq	kg/cmq				
0.0	578	--	7.70	7.70	-2	107	--	--	48	48	Si	34
7.5	693	--	7.70	7.70	-3	128	--	--	48	48	Si	28
37.5	1100	--	7.70	7.70	-4	203	--	--	48	48	Si	18
67.5	1416	--	7.70	7.70	-6	262	--	--	48	48	Si	14
75.0	1481	--	7.70	7.70	-6	274	--	--	48	48	Si	13

Verifica aperture fessure: Wamm_Freq[mm]=0.400 Wamm_Qp[mm]=0.300

X	M	Act	Aft	pAft	$S_{r,max}$	σ_{fmed}	Wd	Wk	Cb	Ver.	Cs
cm	kg*m	mq	cmq	cm	cm	kg/cmq	mm	mm			
0.0	-578	0.0	7.70	21.99	18.0	107	0.005	0.005	32(Fr)	Si	73
0.0	-578	0.0	7.70	21.99	18.0	107	0.005	0.005	48(Qp)	Si	55
7.5	-693	0.0	7.70	21.99	18.0	128	0.007	0.007	48(Qp)	Si	45
7.5	-693	0.0	7.70	21.99	18.0	128	0.007	0.007	32(Fr)	Si	61
37.5	-1100	0.0	7.70	21.99	18.0	203	0.010	0.010	48(Qp)	Si	29
37.5	-1100	0.0	7.70	21.99	18.0	203	0.010	0.010	32(Fr)	Si	38
67.5	-1416	0.0	7.70	21.99	18.0	262	0.013	0.013	48(Qp)	Si	22
67.5	-1416	0.0	7.70	21.99	18.0	262	0.013	0.013	32(Fr)	Si	30
75.0	-1481	0.0	7.70	21.99	18.0	274	0.014	0.014	48(Qp)	Si	21
75.0	-1481	0.0	7.70	21.99	18.0	274	0.014	0.014	32(Fr)	Si	28

Trave: 102 [0,0], Pilastrate [--,--] Sez. R: By=30.0 cm Bz=80.0 cm L=75.0 cm Ln=75.0 cm Criterio: CLS_TraviAlte_ND

Combinazione Rara: σ_{ca} [kg/cmq]=149 σ_{fa} [kg/cmq]=3600

X	M+	M-	Afsup	Afinf	σ_{C+}	σ_{f+}	σ_{C-}	σ_{f-}	Cb+	Cb-	Ver.	CS
cm	kg*m	kg*m	cmq	cmq	kg/cmq	kg/cmq	kg/cmq	kg/cmq				
0.0	1875	--	7.70	7.70	-7	347	--	--	18	22	Si	10
7.5	1939	--	7.70	7.70	-8	358	--	--	18	22	Si	10
37.5	2134	--	7.70	7.70	-8	394	--	--	18	22	Si	9.1

X	M+	M-	Afsup	Afinf	σ_c+	σ_f+	σ_c-	σ_f-	Cb+	Cb-	Ver.	CS
67.5	2231	--	7.70	7.70	-9	412	--	--	18	22	Si	8.7
75.0	2239	--	7.70	7.70	-9	414	--	--	18	22	Si	8.7

Combinazione QP: $\sigma_{ca}[\text{kg/cm}^2]=112$ $\sigma_{fa}[\text{kg/cm}^2]=3600$

X	M+	M-	Afsup	Afinf	σ_c+	σ_f+	σ_c-	σ_f-	Cb+	Cb-	Ver.	CS
cm	kg*m	kg*m	cmq	cmq	kg/cmq	kg/cmq	kg/cmq	kg/cmq				
0.0	1480	--	7.70	7.70	-6	274	--	--	48	48	Si	13
7.5	1536	--	7.70	7.70	-6	284	--	--	48	48	Si	13
37.5	1701	--	7.70	7.70	-7	314	--	--	48	48	Si	11
67.5	1776	--	7.70	7.70	-7	328	--	--	48	48	Si	11
75.0	1781	--	7.70	7.70	-7	329	--	--	48	48	Si	11

Verifica aperture fessure: $W_{amm_Freq}[\text{mm}]=0.400$ $W_{amm_Qp}[\text{mm}]=0.300$

X	M	Act	Aft	pAft	$S_{r,max}$	σ_{fmed}	Wd	Wk	Cb	Ver.	Cs
cm	kg*m	mq	cmq	cm	cm	kg/cmq	mm	mm			
0.0	-1480	0.0	7.70	21.99	18.0	274	0.014	0.014	32(Fr)	Si	28
0.0	-1480	0.0	7.70	21.99	18.0	274	0.014	0.014	48(Qp)	Si	21
7.5	-1536	0.0	7.70	21.99	18.0	284	0.015	0.015	48(Qp)	Si	21
7.5	-1536	0.0	7.70	21.99	18.0	284	0.015	0.015	32(Fr)	Si	27
37.5	-1701	0.0	7.70	21.99	18.0	314	0.016	0.016	48(Qp)	Si	19
37.5	-1701	0.0	7.70	21.99	18.0	314	0.016	0.016	32(Fr)	Si	25
67.5	-1776	0.0	7.70	21.99	18.0	328	0.017	0.017	48(Qp)	Si	18
67.5	-1776	0.0	7.70	21.99	18.0	328	0.017	0.017	32(Fr)	Si	24
75.0	-1781	0.0	7.70	21.99	18.0	329	0.017	0.017	48(Qp)	Si	18
75.0	-1781	0.0	7.70	21.99	18.0	329	0.017	0.017	32(Fr)	Si	24

Trave: 102 [0,0], Pilastrate [--,--] Sez. R: $B_y=30.0$ cm $B_z=80.0$ cm $L=75.0$ cm $L_n=75.0$ cm Criterio: CLS_TraviAlte_ND

Combinazione Rara: $\sigma_{ca}[\text{kg/cm}^2]=149$ $\sigma_{fa}[\text{kg/cm}^2]=3600$

X	M+	M-	Afsup	Afinf	σ_c+	σ_f+	σ_c-	σ_f-	Cb+	Cb-	Ver.	CS
cm	kg*m	kg*m	cmq	cmq	kg/cmq	kg/cmq	kg/cmq	kg/cmq				
0.0	2238	--	7.70	7.70	-9	414	--	--	18	22	Si	8.7
7.5	2227	--	7.70	7.70	-9	412	--	--	18	22	Si	8.7
37.5	2119	--	7.70	7.70	-8	392	--	--	18	22	Si	9.2
67.5	1913	--	7.70	7.70	-7	353	--	--	18	22	Si	10
75.0	1845	--	7.70	7.70	-7	341	--	--	18	22	Si	11

Combinazione QP: $\sigma_{ca}[\text{kg/cm}^2]=112$ $\sigma_{fa}[\text{kg/cm}^2]=3600$

X	M+	M-	Afsup	Afinf	σ_c+	σ_f+	σ_c-	σ_f-	Cb+	Cb-	Ver.	CS
cm	kg*m	kg*m	cmq	cmq	kg/cmq	kg/cmq	kg/cmq	kg/cmq				
0.0	1780	--	7.70	7.70	-7	329	--	--	48	48	Si	11
7.5	1775	--	7.70	7.70	-7	328	--	--	48	48	Si	11
37.5	1698	--	7.70	7.70	-7	314	--	--	48	48	Si	11
67.5	1532	--	7.70	7.70	-6	283	--	--	48	48	Si	13
75.0	1476	--	7.70	7.70	-6	273	--	--	48	48	Si	13

Verifica aperture fessure: $W_{amm_Freq}[\text{mm}]=0.400$ $W_{amm_Qp}[\text{mm}]=0.300$

X	M	Act	Aft	pAft	$S_{r,max}$	σ_{fmed}	Wd	Wk	Cb	Ver.	Cs
cm	kg*m	mq	cmq	cm	cm	kg/cmq	mm	mm			
0.0	-1780	0.0	7.70	21.99	18.0	329	0.017	0.017	32(Fr)	Si	24
0.0	-1780	0.0	7.70	21.99	18.0	329	0.017	0.017	48(Qp)	Si	18
7.5	-1775	0.0	7.70	21.99	18.0	328	0.017	0.017	48(Qp)	Si	18
7.5	-1775	0.0	7.70	21.99	18.0	328	0.017	0.017	32(Fr)	Si	24
37.5	-1698	0.0	7.70	21.99	18.0	314	0.016	0.016	48(Qp)	Si	19
37.5	-1698	0.0	7.70	21.99	18.0	314	0.016	0.016	32(Fr)	Si	25
67.5	-1532	0.0	7.70	21.99	18.0	283	0.015	0.015	48(Qp)	Si	21
67.5	-1532	0.0	7.70	21.99	18.0	283	0.015	0.015	32(Fr)	Si	27
75.0	-1476	0.0	7.70	21.99	18.0	273	0.014	0.014	48(Qp)	Si	21
75.0	-1476	0.0	7.70	21.99	18.0	273	0.014	0.014	32(Fr)	Si	28

Trave: 102 [0,0], Pilastrate [--,--] Sez. R: By=30.0 cm Bz=80.0 cm L=75.0 cm Ln=75.0 cm Criterio: CLS_TraviAlte_ND

Combinazione Rara: $\sigma_{ca}[\text{kg/cm}^2]=149$ $\sigma_{fa}[\text{kg/cm}^2]=3600$

X cm	M+ kg*m	M- kg*m	Afsup cmq	Afinf cmq	σ_{c+} kg/cm ²	σ_{f+} kg/cm ²	σ_{c-} kg/cm ²	σ_{f-} kg/cm ²	Cb+	Cb-	Ver.	CS
0.0	1844	--	10.78	10.78	-6	245	--	--	18	22	Si	15
7.5	1757	--	10.78	10.78	-6	233	--	--	18	22	Si	15
37.5	1346	--	10.78	10.78	-4	179	--	--	18	22	Si	20
67.5	837	--	10.78	10.78	-3	111	--	--	18	22	Si	32
75.0	694	--	10.78	10.78	-2	92	--	--	18	22	Si	39

Combinazione QP: $\sigma_{ca}[\text{kg/cm}^2]=112$ $\sigma_{fa}[\text{kg/cm}^2]=3600$

X cm	M+ kg*m	M- kg*m	Afsup cmq	Afinf cmq	σ_{c+} kg/cm ²	σ_{f+} kg/cm ²	σ_{c-} kg/cm ²	σ_{f-} kg/cm ²	Cb+	Cb-	Ver.	CS
0.0	1475	--	10.78	10.78	-5	196	--	--	48	48	Si	18
7.5	1410	--	10.78	10.78	-5	187	--	--	48	48	Si	19
37.5	1092	--	10.78	10.78	-4	145	--	--	48	48	Si	25
67.5	684	--	10.78	10.78	-2	91	--	--	48	48	Si	40
75.0	568	--	10.78	10.78	-2	75	--	--	48	48	Si	48

Verifica aperture fessure: Wamm_Freq[mm]=0.400 Wamm_Qp[mm]=0.300

X cm	M kg*m	Act mq	Aft cmq	pAft cm	$S_{r,max}$ cm	σ_{fmed} kg/cm ²	Wd mm	Wk mm	Cb	Ver.	Cs
0.0	-1475	0.0	10.78	30.79	15.3	196	0.009	0.009	32(Fr)	Si	47
0.0	-1475	0.0	10.78	30.79	15.3	196	0.009	0.009	48(Qp)	Si	35
7.5	-1410	0.0	10.78	30.79	15.3	187	0.008	0.008	48(Qp)	Si	37
7.5	-1410	0.0	10.78	30.79	15.3	187	0.008	0.008	32(Fr)	Si	49
37.5	-1092	0.0	10.78	30.79	15.3	145	0.006	0.006	48(Qp)	Si	47
37.5	-1092	0.0	10.78	30.79	15.3	145	0.006	0.006	32(Fr)	Si	63
67.5	-684	0.0	10.78	30.79	15.3	91	0.004	0.004	48(Qp)	Si	76
67.5	-684	0.0	10.78	30.79	15.3	91	0.004	0.004	32(Fr)	Si	>100
75.0	-568	0.0	10.78	30.79	15.3	75	0.003	0.003	48(Qp)	Si	91
75.0	-568	0.0	10.78	30.79	15.3	75	0.003	0.003	32(Fr)	Si	>100

Trave: 102 [0,0], Pilastrate [--,--] Sez. R: By=30.0 cm Bz=80.0 cm L=75.0 cm Ln=75.0 cm Criterio: CLS_TraviAlte_ND

Combinazione Rara: $\sigma_{ca}[\text{kg/cm}^2]=149$ $\sigma_{fa}[\text{kg/cm}^2]=3600$

X cm	M+ kg*m	M- kg*m	Afsup cmq	Afinf cmq	σ_{c+} kg/cm ²	σ_{f+} kg/cm ²	σ_{c-} kg/cm ²	σ_{f-} kg/cm ²	Cb+	Cb-	Ver.	CS
0.0	692	--	10.78	10.78	-2	92	--	--	18	22	Si	39
7.5	529	--	10.78	10.78	-2	70	--	--	18	22	Si	51
37.5	--	182	9.24	10.78	--	--	-1	28	22	18	Si	>100
67.5	--	992	9.24	9.24	--	--	-4	153	22	18	Si	23
75.0	--	1210	9.24	9.24	--	--	-4	187	22	18	Si	19

Combinazione QP: $\sigma_{ca}[\text{kg/cm}^2]=112$ $\sigma_{fa}[\text{kg/cm}^2]=3600$

X cm	M+ kg*m	M- kg*m	Afsup cmq	Afinf cmq	σ_{c+} kg/cm ²	σ_{f+} kg/cm ²	σ_{c-} kg/cm ²	σ_{f-} kg/cm ²	Cb+	Cb-	Ver.	CS
0.0	567	--	10.78	10.78	-2	75	--	--	48	48	Si	48
7.5	442	--	10.78	10.78	-1	59	--	--	48	48	Si	61
37.5	--	115	9.24	10.78	--	--	-0	18	48	48	Si	>100
67.5	--	763	9.24	9.24	--	--	-3	118	48	48	Si	31
75.0	--	938	9.24	9.24	--	--	-3	145	48	48	Si	25

Verifica aperture fessure: Wamm_Freq[mm]=0.400 Wamm_Qp[mm]=0.300

X cm	M kg*m	Act mq	Aft cmq	pAft cm	$S_{r,max}$ cm	σ_{fmed} kg/cm ²	Wd mm	Wk mm	Cb	Ver.	Cs
0.0	-567	0.0	10.78	30.79	15.3	75	0.003	0.003	32(Fr)	Si	>100
0.0	-567	0.0	10.78	30.79	15.3	75	0.003	0.003	48(Qp)	Si	91
7.5	-442	0.0	10.78	30.79	15.3	59	0.003	0.003	48(Qp)	Si	>100

X	M	Act	Aft	pAft	$S_{r,max}$	σ_{fmed}	Wd	Wk	Cb	Ver.	Cs
7.5	-442	0.0	10.78	30.79	15.3	59	0.003	0.003	32(Fr)	Si	>100
37.5	115	0.0	9.24	26.39	16.4	18	0.001	0.001	48(Qp)	Si	>100
37.5	115	0.0	9.24	26.39	16.4	18	0.001	0.001	32(Fr)	Si	>100
67.5	763	0.0	9.24	26.39	16.4	118	0.006	0.006	48(Qp)	Si	54
67.5	763	0.0	9.24	26.39	16.4	118	0.006	0.006	32(Fr)	Si	72
75.0	938	0.0	9.24	26.39	16.4	145	0.007	0.007	48(Qp)	Si	44
75.0	938	0.0	9.24	26.39	16.4	145	0.007	0.007	32(Fr)	Si	59

Trave: 102 [0,123], Pilastrate [--,23] Sez. R: By=30.0 cm Bz=80.0 cm L=75.0 cm Ln=75.0 cm Criterio: CLS_TraviAlte_ND

Combinazione Rara: σ_{ca} [kg/cmq]=149 σ_{fa} [kg/cmq]=3600

X	M+	M-	Afsup	Afinf	σ_{C+}	σ_{f+}	σ_{C-}	σ_{f-}	Cb+	Cb-	Ver.	CS
cm	kg*m	kg*m	cmq	cmq	kg/cmq	kg/cmq	kg/cmq	kg/cmq				
0.0	--	1212	9.24	9.24	--	--	-4	187	22	18	Si	19
7.5	--	1451	9.24	9.24	--	--	-5	224	22	18	Si	16
37.5	--	2467	9.24	9.24	--	--	-9	381	22	18	Si	9.4
67.5	--	3582	9.24	9.24	--	--	-13	554	22	18	Si	6.5
75.0	--	3876	9.24	9.24	--	--	-14	599	22	18	Si	6.0

Combinazione QP: σ_{ca} [kg/cmq]=112 σ_{fa} [kg/cmq]=3600

X	M+	M-	Afsup	Afinf	σ_{C+}	σ_{f+}	σ_{C-}	σ_{f-}	Cb+	Cb-	Ver.	CS
cm	kg*m	kg*m	cmq	cmq	kg/cmq	kg/cmq	kg/cmq	kg/cmq				
0.0	--	939	9.24	9.24	--	--	-3	145	48	48	Si	25
7.5	--	1124	9.24	9.24	--	--	-4	174	48	48	Si	21
37.5	--	1923	9.24	9.24	--	--	-7	297	48	48	Si	12
67.5	--	2811	9.24	9.24	--	--	-10	434	48	48	Si	8.3
75.0	--	3047	9.24	9.24	--	--	-11	471	48	48	Si	7.6

Verifica aperture fessure: Wamm_Freq[mm]=0.400 Wamm_Qp[mm]=0.300

X	M	Act	Aft	pAft	$S_{r,max}$	σ_{fmed}	Wd	Wk	Cb	Ver.	Cs
cm	kg*m	mq	cmq	cm	cm	kg/cmq	mm	mm			
0.0	939	0.0	9.24	26.39	16.4	145	0.007	0.007	32(Fr)	Si	59
0.0	939	0.0	9.24	26.39	16.4	145	0.007	0.007	48(Qp)	Si	44
7.5	1124	0.0	9.24	26.39	16.4	174	0.008	0.008	48(Qp)	Si	37
7.5	1124	0.0	9.24	26.39	16.4	174	0.008	0.008	32(Fr)	Si	49
37.5	1923	0.0	9.24	26.39	16.4	297	0.014	0.014	48(Qp)	Si	22
37.5	1923	0.0	9.24	26.39	16.4	297	0.014	0.014	32(Fr)	Si	29
67.5	2811	0.0	9.24	26.39	16.4	434	0.020	0.020	48(Qp)	Si	15
67.5	2811	0.0	9.24	26.39	16.4	434	0.020	0.020	32(Fr)	Si	20
75.0	3047	0.0	9.24	26.39	16.4	471	0.022	0.022	48(Qp)	Si	14
75.0	3047	0.0	9.24	26.39	16.4	471	0.022	0.022	32(Fr)	Si	18

Trave: 102 [0,0], Pilastrate [--,--] Sez. R: By=30.0 cm Bz=80.0 cm L=161.8 cm Ln=161.8 cm Criterio: CLS_TraviAlte_ND

Combinazione Rara: σ_{ca} [kg/cmq]=149 σ_{fa} [kg/cmq]=3600

X	M+	M-	Afsup	Afinf	σ_{C+}	σ_{f+}	σ_{C-}	σ_{f-}	Cb+	Cb-	Ver.	CS
cm	kg*m	kg*m	cmq	cmq	kg/cmq	kg/cmq	kg/cmq	kg/cmq				
0.0	1393	--	7.70	7.70	-5	258	--	--	18	22	Si	14
16.2	1442	--	7.70	7.70	-6	267	--	--	18	22	Si	14
80.9	1349	--	7.70	7.70	-5	249	--	--	18	22	Si	14
145.6	795	--	7.70	7.70	-3	147	--	--	18	22	Si	25
161.8	584	--	7.70	7.70	-2	108	--	--	18	22	Si	33

Combinazione QP: σ_{ca} [kg/cmq]=112 σ_{fa} [kg/cmq]=3600

X	M+	M-	Afsup	Afinf	σ_{C+}	σ_{f+}	σ_{C-}	σ_{f-}	Cb+	Cb-	Ver.	CS
cm	kg*m	kg*m	cmq	cmq	kg/cmq	kg/cmq	kg/cmq	kg/cmq				
0.0	1031	--	7.70	7.70	-4	191	--	--	48	48	Si	19
16.2	1086	--	7.70	7.70	-4	201	--	--	48	48	Si	18
80.9	1043	--	7.70	7.70	-4	193	--	--	48	48	Si	19

X	M+	M-	Afsup	Afinf	σ_{C+}	σ_{f+}	σ_{C-}	σ_{f-}	Cb+	Cb-	Ver.	CS
145.6	581	--	7.70	7.70	-2	107	--	--	48	48	Si	34
161.8	400	--	7.70	7.70	-2	74	--	--	48	48	Si	49

Verifica aperture fessure: Wamm_Freq[mm]=0.400 Wamm_Qp[mm]=0.300

X	M	Act	Aft	pAft	$S_{r,max}$	σ_{fmed}	Wd	Wk	Cb	Ver.	Cs
cm	kg*m	mq	cmq	cm	cm	kg/cmq	mm	mm			
0.0	-1031	0.0	7.70	21.99	18.0	191	0.010	0.010	32(Fr)	Si	41
0.0	-1031	0.0	7.70	21.99	18.0	191	0.010	0.010	48(Qp)	Si	31
16.2	-1086	0.0	7.70	21.99	18.0	201	0.010	0.010	48(Qp)	Si	29
16.2	-1086	0.0	7.70	21.99	18.0	201	0.010	0.010	32(Fr)	Si	39
80.9	-1043	0.0	7.70	21.99	18.0	193	0.010	0.010	48(Qp)	Si	30
80.9	-1043	0.0	7.70	21.99	18.0	193	0.010	0.010	32(Fr)	Si	40
145.6	-581	0.0	7.70	21.99	18.0	107	0.006	0.006	48(Qp)	Si	54
145.6	-581	0.0	7.70	21.99	18.0	107	0.006	0.006	32(Fr)	Si	72
161.8	-400	0.0	7.70	21.99	18.0	74	0.004	0.004	48(Qp)	Si	79
161.8	-400	0.0	7.70	21.99	18.0	74	0.004	0.004	32(Fr)	Si	>100

Trave: 102 [0,130], Pilastrate [--,30] Sez. R: By=30.0 cm Bz=80.0 cm L=161.5 cm Ln=161.5 cm Criterio: CLS_TraviAlte_ND

Combinazione Rara: σ_{ca} [kg/cmq]=149 σ_{fa} [kg/cmq]=3600

X	M+	M-	Afsup	Afinf	σ_{C+}	σ_{f+}	σ_{C-}	σ_{f-}	Cb+	Cb-	Ver.	CS
cm	kg*m	kg*m	cmq	cmq	kg/cmq	kg/cmq	kg/cmq	kg/cmq				
0.0	603	--	7.70	7.70	-2	111	--	--	18	22	Si	32
16.1	297	--	7.70	7.70	-1	55	--	--	18	22	Si	66
80.7	--	1213	9.24	12.32	--	--	-4	187	22	18	Si	19
145.3	--	3183	9.24	9.24	--	--	-11	492	22	18	Si	7.3
161.5	--	3747	9.24	9.24	--	--	-13	579	22	18	Si	6.2

Combinazione QP: σ_{ca} [kg/cmq]=112 σ_{fa} [kg/cmq]=3600

X	M+	M-	Afsup	Afinf	σ_{C+}	σ_{f+}	σ_{C-}	σ_{f-}	Cb+	Cb-	Ver.	CS
cm	kg*m	kg*m	cmq	cmq	kg/cmq	kg/cmq	kg/cmq	kg/cmq				
0.0	411	--	7.70	7.70	-2	76	--	--	48	48	Si	47
16.1	184	--	7.70	7.70	-1	34	--	--	48	48	Si	>100
80.7	--	987	9.24	12.32	--	--	-3	152	48	48	Si	24
145.3	--	2575	9.24	9.24	--	--	-9	398	48	48	Si	9.0
161.5	--	3037	9.24	9.24	--	--	-11	469	48	48	Si	7.7

Verifica aperture fessure: Wamm_Freq[mm]=0.400 Wamm_Qp[mm]=0.300

X	M	Act	Aft	pAft	$S_{r,max}$	σ_{fmed}	Wd	Wk	Cb	Ver.	Cs
cm	kg*m	mq	cmq	cm	cm	kg/cmq	mm	mm			
0.0	-411	0.0	7.70	21.99	18.0	76	0.004	0.004	32(Fr)	Si	>100
0.0	-411	0.0	7.70	21.99	18.0	76	0.004	0.004	48(Qp)	Si	77
16.1	-184	0.0	7.70	21.99	18.0	34	0.002	0.002	48(Qp)	Si	>100
16.1	-184	0.0	7.70	21.99	18.0	34	0.002	0.002	32(Fr)	Si	>100
80.7	987	0.0	9.24	26.39	16.4	152	0.007	0.007	48(Qp)	Si	42
80.7	987	0.0	9.24	26.39	16.4	152	0.007	0.007	32(Fr)	Si	56
145.3	2575	0.0	9.24	26.39	16.4	398	0.019	0.019	48(Qp)	Si	16
145.3	2575	0.0	9.24	26.39	16.4	398	0.019	0.019	32(Fr)	Si	21
161.5	3037	0.0	9.24	26.39	16.4	469	0.022	0.022	48(Qp)	Si	14
161.5	3037	0.0	9.24	26.39	16.4	469	0.022	0.022	32(Fr)	Si	18

Trave: 102 [0,137], Pilastrate [--,37] Sez. R: By=30.0 cm Bz=80.0 cm L=107.5 cm Ln=107.5 cm Criterio: CLS_TraviAlte_ND

Combinazione Rara: σ_{ca} [kg/cmq]=149 σ_{fa} [kg/cmq]=3600

X	M+	M-	Afsup	Afinf	σ_{C+}	σ_{f+}	σ_{C-}	σ_{f-}	Cb+	Cb-	Ver.	CS
cm	kg*m	kg*m	cmq	cmq	kg/cmq	kg/cmq	kg/cmq	kg/cmq				
0.0	185	--	7.70	7.70	-1	34	--	--	18	22	Si	>100
10.8	81	--	7.70	7.70	-0	15	--	--	18	22	Si	>100
53.8	--	465	7.70	7.70	--	--	-2	86	22	18	Si	42

X	M+	M-	Afsup	Afinf	σ_c+	σ_f+	σ_c-	σ_f-	Cb+	Cb-	Ver.	CS
96.8	--	1215	7.70	7.70	--	--	-5	225	22	18	Si	16
107.5	--	1434	7.70	7.70	--	--	-6	265	22	18	Si	14

Combinazione QP: $\sigma_{ca}[\text{kg/cm}^2]=112$ $\sigma_{fa}[\text{kg/cm}^2]=3600$

X	M+	M-	Afsup	Afinf	σ_c+	σ_f+	σ_c-	σ_f-	Cb+	Cb-	Ver.	CS
cm	kg*m	kg*m	cmq	cmq	kg/cmq	kg/cmq	kg/cmq	kg/cmq				
0.0	96	--	7.70	7.70	-0	18	--	--	48	48	Si	>100
10.8	14	--	7.70	7.70	-0	3	--	--	48	48	Si	>100
53.8	--	431	7.70	7.70	--	--	-2	80	48	48	Si	45
96.8	--	1061	7.70	7.70	--	--	-4	196	48	48	Si	18
107.5	--	1247	7.70	7.70	--	--	-5	230	48	48	Si	16

Verifica aperture fessure: $W_{amm_Freq}[\text{mm}]=0.400$ $W_{amm_Qp}[\text{mm}]=0.300$

X	M	Act	Aft	pAft	$S_{r,max}$	σ_{fmed}	Wd	Wk	Cb	Ver.	Cs
cm	kg*m	mq	cmq	cm	cm	kg/cmq	mm	mm			
0.0	-96	0.0	7.70	21.99	18.0	18	0.001	0.001	32(Fr)	Si	>100
0.0	-96	0.0	7.70	21.99	18.0	18	0.001	0.001	48(Qp)	Si	>100
10.8	-14	0.0	7.70	21.99	18.0	3	0.000	0.000	48(Qp)	Si	>100
10.8	-14	0.0	7.70	21.99	18.0	3	0.000	0.000	32(Fr)	Si	>100
53.8	431	0.0	7.70	21.99	18.0	80	0.004	0.004	48(Qp)	Si	73
53.8	431	0.0	7.70	21.99	18.0	80	0.004	0.004	32(Fr)	Si	98
96.8	1061	0.0	7.70	21.99	18.0	196	0.010	0.010	48(Qp)	Si	30
96.8	1061	0.0	7.70	21.99	18.0	196	0.010	0.010	32(Fr)	Si	40
107.5	1247	0.0	7.70	21.99	18.0	230	0.012	0.012	48(Qp)	Si	25
107.5	1247	0.0	7.70	21.99	18.0	230	0.012	0.012	32(Fr)	Si	34

Trave: 103 [101,102], Pilastrate [1,2] Sez. R: $B_y=30.0$ cm $B_z=80.0$ cm $L=275.2$ cm $L_n=275.4$ cm Criterio: CLS_TraviAlte_ND

Combinazione Rara: $\sigma_{ca}[\text{kg/cm}^2]=149$ $\sigma_{fa}[\text{kg/cm}^2]=3600$

X	M+	M-	Afsup	Afinf	σ_c+	σ_f+	σ_c-	σ_f-	Cb+	Cb-	Ver.	CS
cm	kg*m	kg*m	cmq	cmq	kg/cmq	kg/cmq	kg/cmq	kg/cmq				
0.0	178	--	7.70	7.70	-1	33	--	--	18	22	Si	>100
27.5	447	--	7.70	7.70	-2	83	--	--	18	22	Si	44
137.7	205	--	7.70	7.70	-1	38	--	--	18	22	Si	95
247.8	--	1853	7.70	7.70	--	--	-7	342	22	18	Si	11
275.4	--	2606	7.70	7.70	--	--	-10	482	22	18	Si	7.5

Combinazione QP: $\sigma_{ca}[\text{kg/cm}^2]=112$ $\sigma_{fa}[\text{kg/cm}^2]=3600$

X	M+	M-	Afsup	Afinf	σ_c+	σ_f+	σ_c-	σ_f-	Cb+	Cb-	Ver.	CS
cm	kg*m	kg*m	cmq	cmq	kg/cmq	kg/cmq	kg/cmq	kg/cmq				
0.0	173	--	7.70	7.70	-1	32	--	--	48	48	Si	>100
27.5	358	--	7.70	7.70	-1	66	--	--	48	48	Si	54
137.7	143	--	7.70	7.70	-1	26	--	--	48	48	Si	>100
247.8	--	1482	7.70	7.70	--	--	-6	274	48	48	Si	13
275.4	--	2090	7.70	7.70	--	--	-8	386	48	48	Si	9.3

Verifica aperture fessure: $W_{amm_Freq}[\text{mm}]=0.400$ $W_{amm_Qp}[\text{mm}]=0.300$

X	M	Act	Aft	pAft	$S_{r,max}$	σ_{fmed}	Wd	Wk	Cb	Ver.	Cs
cm	kg*m	mq	cmq	cm	cm	kg/cmq	mm	mm			
0.0	-173	0.0	7.70	21.99	18.0	32	0.002	0.002	32(Fr)	Si	>100
0.0	-173	0.0	7.70	21.99	18.0	32	0.002	0.002	48(Qp)	Si	>100
27.5	-358	0.0	7.70	21.99	18.0	66	0.003	0.003	48(Qp)	Si	88
27.5	-358	0.0	7.70	21.99	18.0	66	0.003	0.003	32(Fr)	Si	>100
137.7	-143	0.0	7.70	21.99	18.0	26	0.001	0.001	48(Qp)	Si	>100
137.7	-143	0.0	7.70	21.99	18.0	26	0.001	0.001	32(Fr)	Si	>100
247.8	1482	0.0	7.70	21.99	18.0	274	0.014	0.014	48(Qp)	Si	21
247.8	1482	0.0	7.70	21.99	18.0	274	0.014	0.014	32(Fr)	Si	28
275.4	2090	0.0	7.70	21.99	18.0	386	0.020	0.020	48(Qp)	Si	15
275.4	2090	0.0	7.70	21.99	18.0	386	0.020	0.020	32(Fr)	Si	20

Trave: 103 [102,103], Pilastrate [2,3] Sez. R: By=30.0 cm Bz=80.0 cm L=465.0 cm Ln=465.0 cm Criterio: CLS_TraviAlte_ND

Combinazione Rara: $\sigma_{ca}[\text{kg/cm}^2]=149$ $\sigma_{fa}[\text{kg/cm}^2]=3600$

X	M+	M-	Afsup	Afinf	σ_{c+}	σ_{f+}	σ_{c-}	σ_{f-}	Cb+	Cb-	Ver.	CS
cm	kg*m	kg*m	cmq	cmq	kg/cmq	kg/cmq	kg/cmq	kg/cmq				
0.0	--	2608	7.70	7.70	--	--	-10	482	22	18	Si	7.5
46.5	--	1092	7.70	7.70	--	--	-4	202	22	18	Si	18
232.5	1713	--	7.70	7.70	-7	317	--	--	18	22	Si	11
418.5	--	700	7.70	7.70	--	--	-3	129	22	18	Si	28
465.0	--	2118	7.70	7.70	--	--	-8	391	22	18	Si	9.2

Combinazione QP: $\sigma_{ca}[\text{kg/cm}^2]=112$ $\sigma_{fa}[\text{kg/cm}^2]=3600$

X	M+	M-	Afsup	Afinf	σ_{c+}	σ_{f+}	σ_{c-}	σ_{f-}	Cb+	Cb-	Ver.	CS
cm	kg*m	kg*m	cmq	cmq	kg/cmq	kg/cmq	kg/cmq	kg/cmq				
0.0	--	2036	7.70	7.70	--	--	-8	376	48	48	Si	9.6
46.5	--	867	7.70	7.70	--	--	-3	160	48	48	Si	22
232.5	1285	--	7.70	7.70	-5	237	--	--	48	48	Si	15
418.5	--	597	7.70	7.70	--	--	-2	110	48	48	Si	33
465.0	--	1698	7.70	7.70	--	--	-7	314	48	48	Si	11

Verifica aperture fessure: Wamm_Freq[mm]=0.400 Wamm_Qp[mm]=0.300

X	M	Act	Aft	pAft	$S_{r,max}$	σ_{fmed}	Wd	Wk	Cb	Ver.	Cs
cm	kg*m	mq	cmq	cm	cm	kg/cmq	mm	mm			
0.0	2036	0.0	7.70	21.99	18.0	376	0.019	0.019	32(Fr)	Si	21
0.0	2036	0.0	7.70	21.99	18.0	376	0.019	0.019	48(Qp)	Si	15
46.5	867	0.0	7.70	21.99	18.0	160	0.008	0.008	48(Qp)	Si	36
46.5	867	0.0	7.70	21.99	18.0	160	0.008	0.008	32(Fr)	Si	49
232.5	-1285	0.0	7.70	21.99	18.0	237	0.012	0.012	48(Qp)	Si	25
232.5	-1285	0.0	7.70	21.99	18.0	237	0.012	0.012	32(Fr)	Si	33
418.5	597	0.0	7.70	21.99	18.0	110	0.006	0.006	48(Qp)	Si	53
418.5	597	0.0	7.70	21.99	18.0	110	0.006	0.006	32(Fr)	Si	70
465.0	1698	0.0	7.70	21.99	18.0	314	0.016	0.016	48(Qp)	Si	19
465.0	1698	0.0	7.70	21.99	18.0	314	0.016	0.016	32(Fr)	Si	25

Trave: 103 [103,0], Pilastrate [3,--] Sez. R: By=30.0 cm Bz=80.0 cm L=64.7 cm Ln=64.7 cm Criterio: CLS_TraviAlte_ND

Combinazione Rara: $\sigma_{ca}[\text{kg/cm}^2]=149$ $\sigma_{fa}[\text{kg/cm}^2]=3600$

X	M+	M-	Afsup	Afinf	σ_{c+}	σ_{f+}	σ_{c-}	σ_{f-}	Cb+	Cb-	Ver.	CS
cm	kg*m	kg*m	cmq	cmq	kg/cmq	kg/cmq	kg/cmq	kg/cmq				
0.0	--	1991	7.70	15.39	--	--	-7	364	22	18	Si	9.9
6.5	--	1869	7.70	15.39	--	--	-6	342	22	18	Si	11
32.3	--	1427	7.70	15.39	--	--	-5	261	22	18	Si	14
58.2	--	1060	7.70	15.39	--	--	-4	194	22	18	Si	19
64.7	--	980	7.70	15.39	--	--	-3	179	22	18	Si	20

Combinazione QP: $\sigma_{ca}[\text{kg/cm}^2]=112$ $\sigma_{fa}[\text{kg/cm}^2]=3600$

X	M+	M-	Afsup	Afinf	σ_{c+}	σ_{f+}	σ_{c-}	σ_{f-}	Cb+	Cb-	Ver.	CS
cm	kg*m	kg*m	cmq	cmq	kg/cmq	kg/cmq	kg/cmq	kg/cmq				
0.0	--	1580	7.70	15.39	--	--	-5	289	48	48	Si	12
6.5	--	1479	7.70	15.39	--	--	-5	271	48	48	Si	13
32.3	--	1116	7.70	15.39	--	--	-4	204	48	48	Si	18
58.2	--	821	7.70	15.39	--	--	-3	150	48	48	Si	24
64.7	--	758	7.70	15.39	--	--	-3	139	48	48	Si	26

Verifica aperture fessure: Wamm_Freq[mm]=0.400 Wamm_Qp[mm]=0.300

X	M	Act	Aft	pAft	$S_{r,max}$	σ_{fmed}	Wd	Wk	Cb	Ver.	Cs
cm	kg*m	mq	cmq	cm	cm	kg/cmq	mm	mm			
0.0	1580	0.0	7.70	21.99	18.0	289	0.015	0.015	32(Fr)	Si	27
0.0	1580	0.0	7.70	21.99	18.0	289	0.015	0.015	48(Qp)	Si	20
6.5	1479	0.0	7.70	21.99	18.0	271	0.014	0.014	48(Qp)	Si	22

X	M	Act	Aft	pAft	$S_{r,max}$	σ_{fmed}	Wd	Wk	Cb	Ver.	Cs
6.5	1479	0.0	7.70	21.99	18.0	271	0.014	0.014	32(Fr)	Si	29
32.3	1116	0.0	7.70	21.99	18.0	204	0.011	0.011	48(Qp)	Si	29
32.3	1116	0.0	7.70	21.99	18.0	204	0.011	0.011	32(Fr)	Si	38
58.2	821	0.0	7.70	21.99	18.0	150	0.008	0.008	48(Qp)	Si	39
58.2	821	0.0	7.70	21.99	18.0	150	0.008	0.008	32(Fr)	Si	52
64.7	758	0.0	7.70	21.99	18.0	139	0.007	0.007	48(Qp)	Si	42
64.7	758	0.0	7.70	21.99	18.0	139	0.007	0.007	32(Fr)	Si	56

Trave: 103 [104,0], Pilastrate [4,--] Sez. R: By=30.0 cm Bz=80.0 cm L=63.8 cm Ln=63.8 cm Criterio: CLS_TraviAlte_ND

Combinazione Rara: σ_{ca} [kg/cmq]=149 σ_{fa} [kg/cmq]=3600

X	M+	M-	Afsup	Afinf	σ_{C+}	σ_{f+}	σ_{C-}	σ_{f-}	Cb+	Cb-	Ver.	CS
cm	kg*m	kg*m	cmq	cmq	kg/cmq	kg/cmq	kg/cmq	kg/cmq				
0.0	--	5701	7.70	10.78	--	--	-21	1049	22	18	Si	3.4
6.4	--	5388	7.70	10.78	--	--	-20	991	22	18	Si	3.6
31.9	--	4178	7.70	10.78	--	--	-15	769	22	18	Si	4.7
57.4	--	3041	7.70	10.78	--	--	-11	559	22	18	Si	6.4
63.8	--	2768	7.70	10.78	--	--	-10	509	22	18	Si	7.1

Combinazione QP: σ_{ca} [kg/cmq]=112 σ_{fa} [kg/cmq]=3600

X	M+	M-	Afsup	Afinf	σ_{C+}	σ_{f+}	σ_{C-}	σ_{f-}	Cb+	Cb-	Ver.	CS
cm	kg*m	kg*m	cmq	cmq	kg/cmq	kg/cmq	kg/cmq	kg/cmq				
0.0	--	4582	7.70	10.78	--	--	-17	843	48	48	Si	4.3
6.4	--	4325	7.70	10.78	--	--	-16	796	48	48	Si	4.5
31.9	--	3342	7.70	10.78	--	--	-12	615	48	48	Si	5.9
57.4	--	2423	7.70	10.78	--	--	-9	446	48	48	Si	8.1
63.8	--	2204	7.70	10.78	--	--	-8	405	48	48	Si	8.9

Verifica aperture fessure: Wamm_Freq[mm]=0.400 Wamm_Qp[mm]=0.300

X	M	Act	Aft	pAft	$S_{r,max}$	σ_{fmed}	Wd	Wk	Cb	Ver.	Cs
cm	kg*m	mq	cmq	cm	cm	kg/cmq	mm	mm			
0.0	4582	0.0	7.70	21.99	18.0	843	0.043	0.043	32(Fr)	Si	9.2
0.0	4582	0.0	7.70	21.99	18.0	843	0.043	0.043	48(Qp)	Si	6.9
6.4	4325	0.0	7.70	21.99	18.0	796	0.041	0.041	48(Qp)	Si	7.3
6.4	4325	0.0	7.70	21.99	18.0	796	0.041	0.041	32(Fr)	Si	9.8
31.9	3342	0.0	7.70	21.99	18.0	615	0.032	0.032	48(Qp)	Si	9.5
31.9	3342	0.0	7.70	21.99	18.0	615	0.032	0.032	32(Fr)	Si	13
57.4	2423	0.0	7.70	21.99	18.0	446	0.023	0.023	48(Qp)	Si	13
57.4	2423	0.0	7.70	21.99	18.0	446	0.023	0.023	32(Fr)	Si	17
63.8	2204	0.0	7.70	21.99	18.0	405	0.021	0.021	48(Qp)	Si	14
63.8	2204	0.0	7.70	21.99	18.0	405	0.021	0.021	32(Fr)	Si	19

Trave: 103 [0,0], Pilastrate [--,--] Sez. R: By=30.0 cm Bz=80.0 cm L=67.0 cm Ln=67.0 cm Criterio: CLS_TraviAlte_ND

Combinazione Rara: σ_{ca} [kg/cmq]=149 σ_{fa} [kg/cmq]=3600

X	M+	M-	Afsup	Afinf	σ_{C+}	σ_{f+}	σ_{C-}	σ_{f-}	Cb+	Cb-	Ver.	CS
cm	kg*m	kg*m	cmq	cmq	kg/cmq	kg/cmq	kg/cmq	kg/cmq				
0.0	--	970	7.70	15.39	--	--	-3	178	22	18	Si	20
6.7	--	904	7.70	15.39	--	--	-3	165	22	18	Si	22
33.5	--	689	7.70	15.39	--	--	-2	126	22	18	Si	29
60.3	--	553	7.70	15.39	--	--	-2	101	22	18	Si	36
67.0	--	531	7.70	15.39	--	--	-2	97	22	18	Si	37

Combinazione QP: σ_{ca} [kg/cmq]=112 σ_{fa} [kg/cmq]=3600

X	M+	M-	Afsup	Afinf	σ_{C+}	σ_{f+}	σ_{C-}	σ_{f-}	Cb+	Cb-	Ver.	CS
cm	kg*m	kg*m	cmq	cmq	kg/cmq	kg/cmq	kg/cmq	kg/cmq				
0.0	--	752	7.70	15.39	--	--	-3	138	48	48	Si	26
6.7	--	696	7.70	15.39	--	--	-2	127	48	48	Si	28
33.5	--	515	7.70	15.39	--	--	-2	94	48	48	Si	38

X	M+	M-	Afsup	Afinf	σ_{C+}	σ_{f+}	σ_{C-}	σ_{f-}	Cb+	Cb-	Ver.	CS
60.3	--	406	7.70	15.39	--	--	-1	74	48	48	Si	48
67.0	--	390	7.70	15.39	--	--	-1	71	48	48	Si	50

Verifica aperture fessure: Wamm_Freq[mm]=0.400 Wamm_Qp[mm]=0.300

X	M	Act	Aft	pAft	$S_{r,max}$	σ_{fmed}	Wd	Wk	Cb	Ver.	Cs
cm	kg*m	mq	cmq	cm	cm	kg/cmq	mm	mm			
0.0	752	0.0	7.70	21.99	18.0	138	0.007	0.007	32(Fr)	Si	57
0.0	752	0.0	7.70	21.99	18.0	138	0.007	0.007	48(Qp)	Si	42
6.7	696	0.0	7.70	21.99	18.0	127	0.007	0.007	48(Qp)	Si	46
6.7	696	0.0	7.70	21.99	18.0	127	0.007	0.007	32(Fr)	Si	61
33.5	515	0.0	7.70	21.99	18.0	94	0.005	0.005	48(Qp)	Si	62
33.5	515	0.0	7.70	21.99	18.0	94	0.005	0.005	32(Fr)	Si	83
60.3	406	0.0	7.70	21.99	18.0	74	0.004	0.004	48(Qp)	Si	78
60.3	406	0.0	7.70	21.99	18.0	74	0.004	0.004	32(Fr)	Si	>100
67.0	390	0.0	7.70	21.99	18.0	71	0.004	0.004	48(Qp)	Si	82
67.0	390	0.0	7.70	21.99	18.0	71	0.004	0.004	32(Fr)	Si	>100

Trave: 103 [0,0], Pilastrate [--,--] Sez. R: By=30.0 cm Bz=80.0 cm L=67.0 cm Ln=67.0 cm Criterio: CLS_TraviAlte_ND

Combinazione Rara: σ_{ca} [kg/cmq]=149 σ_{fa} [kg/cmq]=3600

X	M+	M-	Afsup	Afinf	σ_{C+}	σ_{f+}	σ_{C-}	σ_{f-}	Cb+	Cb-	Ver.	CS
cm	kg*m	kg*m	cmq	cmq	kg/cmq	kg/cmq	kg/cmq	kg/cmq				
0.0	--	529	7.70	7.70	--	--	-2	98	22	18	Si	37
6.7	--	520	7.70	7.70	--	--	-2	96	22	18	Si	37
33.5	--	534	7.70	7.70	--	--	-2	99	22	18	Si	37
60.3	--	626	7.70	7.70	--	--	-2	116	22	18	Si	31
67.0	--	661	7.70	7.70	--	--	-3	122	22	18	Si	29

Combinazione QP: σ_{ca} [kg/cmq]=112 σ_{fa} [kg/cmq]=3600

X	M+	M-	Afsup	Afinf	σ_{C+}	σ_{f+}	σ_{C-}	σ_{f-}	Cb+	Cb-	Ver.	CS
cm	kg*m	kg*m	cmq	cmq	kg/cmq	kg/cmq	kg/cmq	kg/cmq				
0.0	--	390	7.70	7.70	--	--	-2	72	48	48	Si	50
6.7	--	381	7.70	7.70	--	--	-1	70	48	48	Si	51
33.5	--	392	7.70	7.70	--	--	-2	72	48	48	Si	50
60.3	--	474	7.70	7.70	--	--	-2	88	48	48	Si	41
67.0	--	506	7.70	7.70	--	--	-2	93	48	48	Si	39

Verifica aperture fessure: Wamm_Freq[mm]=0.400 Wamm_Qp[mm]=0.300

X	M	Act	Aft	pAft	$S_{r,max}$	σ_{fmed}	Wd	Wk	Cb	Ver.	Cs
cm	kg*m	mq	cmq	cm	cm	kg/cmq	mm	mm			
0.0	390	0.0	7.70	21.99	18.0	72	0.004	0.004	32(Fr)	Si	>100
0.0	390	0.0	7.70	21.99	18.0	72	0.004	0.004	48(Qp)	Si	81
6.7	381	0.0	7.70	21.99	18.0	70	0.004	0.004	48(Qp)	Si	83
6.7	381	0.0	7.70	21.99	18.0	70	0.004	0.004	32(Fr)	Si	>100
33.5	392	0.0	7.70	21.99	18.0	72	0.004	0.004	48(Qp)	Si	81
33.5	392	0.0	7.70	21.99	18.0	72	0.004	0.004	32(Fr)	Si	>100
60.3	474	0.0	7.70	21.99	18.0	88	0.005	0.005	48(Qp)	Si	67
60.3	474	0.0	7.70	21.99	18.0	88	0.005	0.005	32(Fr)	Si	89
67.0	506	0.0	7.70	21.99	18.0	93	0.005	0.005	48(Qp)	Si	62
67.0	506	0.0	7.70	21.99	18.0	93	0.005	0.005	32(Fr)	Si	83

Trave: 103 [0,0], Pilastrate [--,--] Sez. R: By=30.0 cm Bz=80.0 cm L=67.0 cm Ln=67.0 cm Criterio: CLS_TraviAlte_ND

Combinazione Rara: σ_{ca} [kg/cmq]=149 σ_{fa} [kg/cmq]=3600

X	M+	M-	Afsup	Afinf	σ_{C+}	σ_{f+}	σ_{C-}	σ_{f-}	Cb+	Cb-	Ver.	CS
cm	kg*m	kg*m	cmq	cmq	kg/cmq	kg/cmq	kg/cmq	kg/cmq				
0.0	--	662	7.70	7.70	--	--	-3	122	22	18	Si	29
6.7	--	709	7.70	7.70	--	--	-3	131	22	18	Si	27
33.5	--	945	7.70	7.70	--	--	-4	175	22	18	Si	21

X	M+	M-	Afsup	Afinf	σ_{C+}	σ_{f+}	σ_{C-}	σ_{f-}	Cb+	Cb-	Ver.	CS
60.3	--	1259	7.70	7.70	--	--	-5	233	22	18	Si	15
67.0	--	1350	7.70	7.70	--	--	-5	250	22	18	Si	14

Combinazione QP: $\sigma_{ca}[\text{kg/cm}^2]=112$ $\sigma_{fa}[\text{kg/cm}^2]=3600$

X	M+	M-	Afsup	Afinf	σ_{C+}	σ_{f+}	σ_{C-}	σ_{f-}	Cb+	Cb-	Ver.	CS
cm	kg*m	kg*m	cmq	cmq	kg/cmq	kg/cmq	kg/cmq	kg/cmq				
0.0	--	506	7.70	7.70	--	--	-2	94	48	48	Si	38
6.7	--	545	7.70	7.70	--	--	-2	101	48	48	Si	36
33.5	--	743	7.70	7.70	--	--	-3	137	48	48	Si	26
60.3	--	1014	7.70	7.70	--	--	-4	187	48	48	Si	19
67.0	--	1093	7.70	7.70	--	--	-4	202	48	48	Si	18

Verifica aperture fessure: $W_{amm_Freq}[\text{mm}]=0.400$ $W_{amm_Qp}[\text{mm}]=0.300$

X	M	Act	Aft	pAft	$S_{r,max}$	σ_{fmed}	Wd	Wk	Cb	Ver.	Cs
cm	kg*m	mq	cmq	cm	cm	kg/cmq	mm	mm			
0.0	506	0.0	7.70	21.99	18.0	94	0.005	0.005	32(Fr)	Si	83
0.0	506	0.0	7.70	21.99	18.0	94	0.005	0.005	48(Qp)	Si	62
6.7	545	0.0	7.70	21.99	18.0	101	0.005	0.005	48(Qp)	Si	58
6.7	545	0.0	7.70	21.99	18.0	101	0.005	0.005	32(Fr)	Si	77
33.5	743	0.0	7.70	21.99	18.0	137	0.007	0.007	48(Qp)	Si	42
33.5	743	0.0	7.70	21.99	18.0	137	0.007	0.007	32(Fr)	Si	57
60.3	1014	0.0	7.70	21.99	18.0	187	0.010	0.010	48(Qp)	Si	31
60.3	1014	0.0	7.70	21.99	18.0	187	0.010	0.010	32(Fr)	Si	41
67.0	1093	0.0	7.70	21.99	18.0	202	0.010	0.010	48(Qp)	Si	29
67.0	1093	0.0	7.70	21.99	18.0	202	0.010	0.010	32(Fr)	Si	38

Trave: 103 [0,104], Pilastrate [--,4] Sez. R: $B_y=30.0$ cm $B_z=80.0$ cm $L=64.7$ cm $L_n=64.7$ cm Criterio: CLS_TraviAlte_ND

Combinazione Rara: $\sigma_{ca}[\text{kg/cm}^2]=149$ $\sigma_{fa}[\text{kg/cm}^2]=3600$

X	M+	M-	Afsup	Afinf	σ_{C+}	σ_{f+}	σ_{C-}	σ_{f-}	Cb+	Cb-	Ver.	CS
cm	kg*m	kg*m	cmq	cmq	kg/cmq	kg/cmq	kg/cmq	kg/cmq				
0.0	--	1340	7.70	7.70	--	--	-5	248	22	18	Si	15
6.5	--	1444	7.70	7.70	--	--	-6	267	22	18	Si	13
32.3	--	1907	7.70	7.70	--	--	-7	353	22	18	Si	10
58.2	--	2444	7.70	7.70	--	--	-10	452	22	18	Si	8.0
64.7	--	2590	7.70	7.70	--	--	-10	479	22	18	Si	7.5

Combinazione QP: $\sigma_{ca}[\text{kg/cm}^2]=112$ $\sigma_{fa}[\text{kg/cm}^2]=3600$

X	M+	M-	Afsup	Afinf	σ_{C+}	σ_{f+}	σ_{C-}	σ_{f-}	Cb+	Cb-	Ver.	CS
cm	kg*m	kg*m	cmq	cmq	kg/cmq	kg/cmq	kg/cmq	kg/cmq				
0.0	--	1087	7.70	7.70	--	--	-4	201	48	48	Si	18
6.5	--	1172	7.70	7.70	--	--	-5	217	48	48	Si	17
32.3	--	1555	7.70	7.70	--	--	-6	287	48	48	Si	13
58.2	--	2004	7.70	7.70	--	--	-8	370	48	48	Si	9.7
64.7	--	2127	7.70	7.70	--	--	-8	393	48	48	Si	9.2

Verifica aperture fessure: $W_{amm_Freq}[\text{mm}]=0.400$ $W_{amm_Qp}[\text{mm}]=0.300$

X	M	Act	Aft	pAft	$S_{r,max}$	σ_{fmed}	Wd	Wk	Cb	Ver.	Cs
cm	kg*m	mq	cmq	cm	cm	kg/cmq	mm	mm			
0.0	1087	0.0	7.70	21.99	18.0	201	0.010	0.010	32(Fr)	Si	39
0.0	1087	0.0	7.70	21.99	18.0	201	0.010	0.010	48(Qp)	Si	29
6.5	1172	0.0	7.70	21.99	18.0	217	0.011	0.011	48(Qp)	Si	27
6.5	1172	0.0	7.70	21.99	18.0	217	0.011	0.011	32(Fr)	Si	36
32.3	1555	0.0	7.70	21.99	18.0	287	0.015	0.015	48(Qp)	Si	20
32.3	1555	0.0	7.70	21.99	18.0	287	0.015	0.015	32(Fr)	Si	27
58.2	2004	0.0	7.70	21.99	18.0	370	0.019	0.019	48(Qp)	Si	16
58.2	2004	0.0	7.70	21.99	18.0	370	0.019	0.019	32(Fr)	Si	21
64.7	2127	0.0	7.70	21.99	18.0	393	0.020	0.020	48(Qp)	Si	15
64.7	2127	0.0	7.70	21.99	18.0	393	0.020	0.020	32(Fr)	Si	20

Trave: 103 [0,0], Pilastrate [--,--] Sez. R: By=30.0 cm Bz=80.0 cm L=61.1 cm Ln=61.1 cm Criterio: CLS_TraviAlte_ND

Combinazione Rara: $\sigma_{ca}[\text{kg/cm}^2]=149$ $\sigma_{fa}[\text{kg/cm}^2]=3600$

X cm	M+ kg*m	M- kg*m	Afsup cmq	Afinf cmq	σ_{c+} kg/cm ²	σ_{f+} kg/cm ²	σ_{c-} kg/cm ²	σ_{f-} kg/cm ²	Cb+	Cb-	Ver.	CS
0.0	--	2764	7.70	10.78	--	--	-10	508	22	18	Si	7.1
6.1	--	2515	7.70	10.78	--	--	-9	463	22	18	Si	7.8
30.5	--	1559	7.70	10.78	--	--	-6	287	22	18	Si	13
55.0	--	668	7.70	10.78	--	--	-2	123	22	18	Si	29
61.1	--	456	7.70	10.78	--	--	-2	84	22	18	Si	43

Combinazione QP: $\sigma_{ca}[\text{kg/cm}^2]=112$ $\sigma_{fa}[\text{kg/cm}^2]=3600$

X cm	M+ kg*m	M- kg*m	Afsup cmq	Afinf cmq	σ_{c+} kg/cm ²	σ_{f+} kg/cm ²	σ_{c-} kg/cm ²	σ_{f-} kg/cm ²	Cb+	Cb-	Ver.	CS
0.0	--	2205	7.70	10.78	--	--	-8	406	48	48	Si	8.9
6.1	--	2002	7.70	10.78	--	--	-7	368	48	48	Si	9.8
30.5	--	1226	7.70	10.78	--	--	-4	226	48	48	Si	16
55.0	--	510	7.70	10.78	--	--	-2	94	48	48	Si	38
61.1	--	341	7.70	10.78	--	--	-1	63	48	48	Si	57

Verifica aperture fessure: Wamm_Freq[mm]=0.400 Wamm_Qp[mm]=0.300

X cm	M kg*m	Act mq	Aft cmq	pAft cm	$S_{r,max}$ cm	σ_{fmed} kg/cm ²	Wd mm	Wk mm	Cb	Ver.	Cs
0.0	2205	0.0	7.70	21.99	18.0	406	0.021	0.021	32(Fr)	Si	19
0.0	2205	0.0	7.70	21.99	18.0	406	0.021	0.021	48(Qp)	Si	14
6.1	2002	0.0	7.70	21.99	18.0	368	0.019	0.019	48(Qp)	Si	16
6.1	2002	0.0	7.70	21.99	18.0	368	0.019	0.019	32(Fr)	Si	21
30.5	1226	0.0	7.70	21.99	18.0	226	0.012	0.012	48(Qp)	Si	26
30.5	1226	0.0	7.70	21.99	18.0	226	0.012	0.012	32(Fr)	Si	34
55.0	510	0.0	7.70	21.99	18.0	94	0.005	0.005	48(Qp)	Si	62
55.0	510	0.0	7.70	21.99	18.0	94	0.005	0.005	32(Fr)	Si	83
61.1	341	0.0	7.70	21.99	18.0	63	0.003	0.003	48(Qp)	Si	93
61.1	341	0.0	7.70	21.99	18.0	63	0.003	0.003	32(Fr)	Si	>100

Trave: 103 [0,0], Pilastrate [--,--] Sez. R: By=30.0 cm Bz=80.0 cm L=61.1 cm Ln=61.1 cm Criterio: CLS_TraviAlte_ND

Combinazione Rara: $\sigma_{ca}[\text{kg/cm}^2]=149$ $\sigma_{fa}[\text{kg/cm}^2]=3600$

X cm	M+ kg*m	M- kg*m	Afsup cmq	Afinf cmq	σ_{c+} kg/cm ²	σ_{f+} kg/cm ²	σ_{c-} kg/cm ²	σ_{f-} kg/cm ²	Cb+	Cb-	Ver.	CS
0.0	--	453	7.70	10.78	--	--	-2	83	22	18	Si	43
6.1	--	253	7.70	10.78	--	--	-1	46	22	18	Si	77
30.5	506	--	7.70	10.78	-2	68	--	--	18	22	Si	53
55.0	1199	--	9.24	10.78	-4	160	--	--	18	22	Si	23
61.1	1362	--	9.24	10.78	-5	181	--	--	18	22	Si	20

Combinazione QP: $\sigma_{ca}[\text{kg/cm}^2]=112$ $\sigma_{fa}[\text{kg/cm}^2]=3600$

X cm	M+ kg*m	M- kg*m	Afsup cmq	Afinf cmq	σ_{c+} kg/cm ²	σ_{f+} kg/cm ²	σ_{c-} kg/cm ²	σ_{f-} kg/cm ²	Cb+	Cb-	Ver.	CS
0.0	--	340	7.70	10.78	--	--	-1	62	48	48	Si	58
6.1	--	177	7.70	10.78	--	--	-1	33	48	48	Si	>100
30.5	436	--	7.70	10.78	-2	58	--	--	48	48	Si	62
55.0	989	--	9.24	10.78	-3	132	--	--	48	48	Si	27
61.1	1118	--	9.24	10.78	-4	149	--	--	48	48	Si	24

Verifica aperture fessure: Wamm_Freq[mm]=0.400 Wamm_Qp[mm]=0.300

X cm	M kg*m	Act mq	Aft cmq	pAft cm	$S_{r,max}$ cm	σ_{fmed} kg/cm ²	Wd mm	Wk mm	Cb	Ver.	Cs
0.0	340	0.0	7.70	21.99	18.0	62	0.003	0.003	32(Fr)	Si	>100
0.0	340	0.0	7.70	21.99	18.0	62	0.003	0.003	48(Qp)	Si	93
6.1	177	0.0	7.70	21.99	18.0	33	0.002	0.002	48(Qp)	Si	>100

X	M	Act	Aft	pAft	$S_{r,max}$	σ_{fmed}	Wd	Wk	Cb	Ver.	Cs
6.1	177	0.0	7.70	21.99	18.0	33	0.002	0.002	32(Fr)	Si	>100
30.5	-436	0.0	10.78	30.79	15.3	58	0.003	0.003	48(Qp)	Si	>100
30.5	-436	0.0	10.78	30.79	15.3	58	0.003	0.003	32(Fr)	Si	>100
55.0	-989	0.0	10.78	30.79	15.3	132	0.006	0.006	48(Qp)	Si	52
55.0	-989	0.0	10.78	30.79	15.3	132	0.006	0.006	32(Fr)	Si	69
61.1	-1118	0.0	10.78	30.79	15.3	149	0.007	0.007	48(Qp)	Si	46
61.1	-1118	0.0	10.78	30.79	15.3	149	0.007	0.007	32(Fr)	Si	61

Trave: 103 [0,0], Pilastrate [--,--] Sez. R: By=30.0 cm Bz=80.0 cm L=61.1 cm Ln=61.1 cm Criterio: CLS_TraviAlte_ND

Combinazione Rara: σ_{ca} [kg/cm²]=149 σ_{fa} [kg/cm²]=3600

X	M+	M-	Afsup	Afinf	σ_{C+}	σ_{f+}	σ_{C-}	σ_{f-}	Cb+	Cb-	Ver.	CS
cm	kg*m	kg*m	cmq	cmq	kg/cm ²	kg/cm ²	kg/cm ²	kg/cm ²				
0.0	1364	--	9.24	10.78	-5	182	--	--	18	22	Si	20
6.1	1515	--	9.24	10.78	-5	202	--	--	18	22	Si	18
30.5	2075	--	9.24	7.70	-8	383	--	--	18	22	Si	9.4
55.0	2570	--	9.24	7.70	-10	474	--	--	18	22	Si	7.6
61.1	2683	--	9.24	7.70	-10	495	--	--	18	22	Si	7.3

Combinazione QP: σ_{ca} [kg/cm²]=112 σ_{fa} [kg/cm²]=3600

X	M+	M-	Afsup	Afinf	σ_{C+}	σ_{f+}	σ_{C-}	σ_{f-}	Cb+	Cb-	Ver.	CS
cm	kg*m	kg*m	cmq	cmq	kg/cm ²	kg/cm ²	kg/cm ²	kg/cm ²				
0.0	1119	--	9.24	10.78	-4	149	--	--	48	48	Si	24
6.1	1241	--	9.24	10.78	-4	165	--	--	48	48	Si	22
30.5	1690	--	9.24	7.70	-6	312	--	--	48	48	Si	12
55.0	2080	--	9.24	7.70	-8	384	--	--	48	48	Si	9.4
61.1	2169	--	9.24	7.70	-8	400	--	--	48	48	Si	9.0

Verifica aperture fessure: Wamm_Freq[mm]=0.400 Wamm_Qp[mm]=0.300

X	M	Act	Aft	pAft	$S_{r,max}$	σ_{fmed}	Wd	Wk	Cb	Ver.	Cs
cm	kg*m	mq	cmq	cm	cm	kg/cm ²	mm	mm			
0.0	-1119	0.0	10.78	30.79	15.3	149	0.007	0.007	32(Fr)	Si	61
0.0	-1119	0.0	10.78	30.79	15.3	149	0.007	0.007	48(Qp)	Si	46
6.1	-1241	0.0	10.78	30.79	15.3	165	0.007	0.007	48(Qp)	Si	42
6.1	-1241	0.0	10.78	30.79	15.3	165	0.007	0.007	32(Fr)	Si	55
30.5	-1690	0.0	7.70	21.99	18.0	312	0.016	0.016	48(Qp)	Si	19
30.5	-1690	0.0	7.70	21.99	18.0	312	0.016	0.016	32(Fr)	Si	25
55.0	-2080	0.0	7.70	21.99	18.0	384	0.020	0.020	48(Qp)	Si	15
55.0	-2080	0.0	7.70	21.99	18.0	384	0.020	0.020	32(Fr)	Si	20
61.1	-2169	0.0	7.70	21.99	18.0	400	0.021	0.021	48(Qp)	Si	15
61.1	-2169	0.0	7.70	21.99	18.0	400	0.021	0.021	32(Fr)	Si	19

Trave: 103 [0,0], Pilastrate [--,--] Sez. R: By=30.0 cm Bz=80.0 cm L=61.1 cm Ln=61.1 cm Criterio: CLS_TraviAlte_ND

Combinazione Rara: σ_{ca} [kg/cm²]=149 σ_{fa} [kg/cm²]=3600

X	M+	M-	Afsup	Afinf	σ_{C+}	σ_{f+}	σ_{C-}	σ_{f-}	Cb+	Cb-	Ver.	CS
cm	kg*m	kg*m	cmq	cmq	kg/cm ²	kg/cm ²	kg/cm ²	kg/cm ²				
0.0	2684	--	9.24	7.70	-10	495	--	--	18	22	Si	7.3
6.1	2783	--	9.24	7.70	-11	513	--	--	18	22	Si	7.0
30.5	3139	--	9.24	7.70	-12	579	--	--	18	22	Si	6.2
55.0	3429	--	9.24	7.70	-13	632	--	--	18	22	Si	5.7
61.1	3491	--	9.24	7.70	-13	644	--	--	18	22	Si	5.6

Combinazione QP: σ_{ca} [kg/cm²]=112 σ_{fa} [kg/cm²]=3600

X	M+	M-	Afsup	Afinf	σ_{C+}	σ_{f+}	σ_{C-}	σ_{f-}	Cb+	Cb-	Ver.	CS
cm	kg*m	kg*m	cmq	cmq	kg/cm ²	kg/cm ²	kg/cm ²	kg/cm ²				
0.0	2168	--	9.24	7.70	-8	400	--	--	48	48	Si	9.0
6.1	2249	--	9.24	7.70	-9	415	--	--	48	48	Si	8.7
30.5	2532	--	9.24	7.70	-10	467	--	--	48	48	Si	7.7

X	M+	M-	Afsup	Afinf	σ_c+	σ_f+	σ_c-	σ_f-	Cb+	Cb-	Ver.	CS
55.0	2755	--	9.24	7.70	-10	508	--	--	48	48	Si	7.1
61.1	2802	--	9.24	7.70	-11	517	--	--	48	48	Si	7.0

Verifica aperture fessure: Wamm_Freq[mm]=0.400 Wamm_Qp[mm]=0.300

X	M	Act	Aft	pAft	$S_{r,max}$	σ_{fmed}	Wd	Wk	Cb	Ver.	Cs
cm	kg*m	mq	cmq	cm	cm	kg/cmq	mm	mm			
0.0	-2168	0.0	7.70	21.99	18.0	400	0.021	0.021	32(Fr)	Si	19
0.0	-2168	0.0	7.70	21.99	18.0	400	0.021	0.021	48(Qp)	Si	15
6.1	-2249	0.0	7.70	21.99	18.0	415	0.021	0.021	48(Qp)	Si	14
6.1	-2249	0.0	7.70	21.99	18.0	415	0.021	0.021	32(Fr)	Si	19
30.5	-2532	0.0	7.70	21.99	18.0	467	0.024	0.024	48(Qp)	Si	12
30.5	-2532	0.0	7.70	21.99	18.0	467	0.024	0.024	32(Fr)	Si	17
55.0	-2755	0.0	7.70	21.99	18.0	508	0.026	0.026	48(Qp)	Si	11
55.0	-2755	0.0	7.70	21.99	18.0	508	0.026	0.026	32(Fr)	Si	15
61.1	-2802	0.0	7.70	21.99	18.0	517	0.027	0.027	48(Qp)	Si	11
61.1	-2802	0.0	7.70	21.99	18.0	517	0.027	0.027	32(Fr)	Si	15

Trave: 103 [0,0], Pilastrate [--,--] Sez. R: By=30.0 cm Bz=80.0 cm L=61.1 cm Ln=61.1 cm Criterio: CLS_TraviAlte_ND

Combinazione Rara: σ_{ca} [kg/cmq]=149 σ_{fa} [kg/cmq]=3600

X	M+	M-	Afsup	Afinf	σ_c+	σ_f+	σ_c-	σ_f-	Cb+	Cb-	Ver.	CS
cm	kg*m	kg*m	cmq	cmq	kg/cmq	kg/cmq	kg/cmq	kg/cmq				
0.0	3491	--	7.70	7.70	-14	645	--	--	18	22	Si	5.6
6.1	3537	--	7.70	7.70	-14	654	--	--	18	22	Si	5.5
30.5	3681	--	7.70	7.70	-14	680	--	--	18	22	Si	5.3
55.0	3758	--	7.70	7.70	-15	695	--	--	18	22	Si	5.2
61.1	3768	--	7.70	7.70	-15	696	--	--	18	22	Si	5.2

Combinazione QP: σ_{ca} [kg/cmq]=112 σ_{fa} [kg/cmq]=3600

X	M+	M-	Afsup	Afinf	σ_c+	σ_f+	σ_c-	σ_f-	Cb+	Cb-	Ver.	CS
cm	kg*m	kg*m	cmq	cmq	kg/cmq	kg/cmq	kg/cmq	kg/cmq				
0.0	2801	--	7.70	7.70	-11	518	--	--	48	48	Si	7.0
6.1	2839	--	7.70	7.70	-11	525	--	--	48	48	Si	6.9
30.5	2951	--	7.70	7.70	-12	545	--	--	48	48	Si	6.6
55.0	3004	--	7.70	7.70	-12	555	--	--	48	48	Si	6.5
61.1	3008	--	7.70	7.70	-12	556	--	--	48	48	Si	6.5

Verifica aperture fessure: Wamm_Freq[mm]=0.400 Wamm_Qp[mm]=0.300

X	M	Act	Aft	pAft	$S_{r,max}$	σ_{fmed}	Wd	Wk	Cb	Ver.	Cs
cm	kg*m	mq	cmq	cm	cm	kg/cmq	mm	mm			
0.0	-2801	0.0	7.70	21.99	18.0	518	0.027	0.027	32(Fr)	Si	15
0.0	-2801	0.0	7.70	21.99	18.0	518	0.027	0.027	48(Qp)	Si	11
6.1	-2839	0.0	7.70	21.99	18.0	525	0.027	0.027	48(Qp)	Si	11
6.1	-2839	0.0	7.70	21.99	18.0	525	0.027	0.027	32(Fr)	Si	15
30.5	-2951	0.0	7.70	21.99	18.0	545	0.028	0.028	48(Qp)	Si	11
30.5	-2951	0.0	7.70	21.99	18.0	545	0.028	0.028	32(Fr)	Si	14
55.0	-3004	0.0	7.70	21.99	18.0	555	0.029	0.029	48(Qp)	Si	11
55.0	-3004	0.0	7.70	21.99	18.0	555	0.029	0.029	32(Fr)	Si	14
61.1	-3008	0.0	7.70	21.99	18.0	556	0.029	0.029	48(Qp)	Si	10
61.1	-3008	0.0	7.70	21.99	18.0	556	0.029	0.029	32(Fr)	Si	14

Trave: 103 [0,0], Pilastrate [--,--] Sez. R: By=30.0 cm Bz=80.0 cm L=61.1 cm Ln=61.1 cm Criterio: CLS_TraviAlte_ND

Combinazione Rara: σ_{ca} [kg/cmq]=149 σ_{fa} [kg/cmq]=3600

X	M+	M-	Afsup	Afinf	σ_c+	σ_f+	σ_c-	σ_f-	Cb+	Cb-	Ver.	CS
cm	kg*m	kg*m	cmq	cmq	kg/cmq	kg/cmq	kg/cmq	kg/cmq				
0.0	3767	--	7.70	7.70	-15	696	--	--	18	22	Si	5.2
6.1	3757	--	7.70	7.70	-15	694	--	--	18	22	Si	5.2
30.5	3674	--	7.70	7.70	-14	679	--	--	18	22	Si	5.3

X	M+	M-	Afsup	Afinf	σ_c+	σ_f+	σ_c-	σ_f-	Cb+	Cb-	Ver.	CS
55.0	3526	--	7.70	7.70	-14	652	--	--	18	22	Si	5.5
61.1	3479	--	7.70	7.70	-14	643	--	--	18	22	Si	5.6

Combinazione QP: $\sigma_{ca}[\text{kg/cm}^2]=112$ $\sigma_{fa}[\text{kg/cm}^2]=3600$

X	M+	M-	Afsup	Afinf	σ_c+	σ_f+	σ_c-	σ_f-	Cb+	Cb-	Ver.	CS
cm	kg*m	kg*m	cmq	cmq	kg/cmq	kg/cmq	kg/cmq	kg/cmq				
0.0	3007	--	7.70	7.70	-12	556	--	--	48	48	Si	6.5
6.1	3001	--	7.70	7.70	-12	555	--	--	48	48	Si	6.5
30.5	2936	--	7.70	7.70	-11	543	--	--	48	48	Si	6.6
55.0	2812	--	7.70	7.70	-11	520	--	--	48	48	Si	6.9
61.1	2772	--	7.70	7.70	-11	512	--	--	48	48	Si	7.0

Verifica aperture fessure: $W_{amm_Freq}[\text{mm}]=0.400$ $W_{amm_Qp}[\text{mm}]=0.300$

X	M	Act	Aft	pAft	$S_{r,max}$	σ_{fmed}	Wd	Wk	Cb	Ver.	Cs
cm	kg*m	mq	cmq	cm	cm	kg/cmq	mm	mm			
0.0	-3007	0.0	7.70	21.99	18.0	556	0.029	0.029	32(Fr)	Si	14
0.0	-3007	0.0	7.70	21.99	18.0	556	0.029	0.029	48(Qp)	Si	10
6.1	-3001	0.0	7.70	21.99	18.0	555	0.029	0.029	48(Qp)	Si	11
6.1	-3001	0.0	7.70	21.99	18.0	555	0.029	0.029	32(Fr)	Si	14
30.5	-2936	0.0	7.70	21.99	18.0	543	0.028	0.028	48(Qp)	Si	11
30.5	-2936	0.0	7.70	21.99	18.0	543	0.028	0.028	32(Fr)	Si	14
55.0	-2812	0.0	7.70	21.99	18.0	520	0.027	0.027	48(Qp)	Si	11
55.0	-2812	0.0	7.70	21.99	18.0	520	0.027	0.027	32(Fr)	Si	15
61.1	-2772	0.0	7.70	21.99	18.0	512	0.026	0.026	48(Qp)	Si	11
61.1	-2772	0.0	7.70	21.99	18.0	512	0.026	0.026	32(Fr)	Si	15

Trave: 103 [0,0], Pilastrate [--,--] Sez. R: $B_y=30.0$ cm $B_z=80.0$ cm $L=61.1$ cm $L_n=61.1$ cm Criterio: CLS_TraviAlte_ND

Combinazione Rara: $\sigma_{ca}[\text{kg/cm}^2]=149$ $\sigma_{fa}[\text{kg/cm}^2]=3600$

X	M+	M-	Afsup	Afinf	σ_c+	σ_f+	σ_c-	σ_f-	Cb+	Cb-	Ver.	CS
cm	kg*m	kg*m	cmq	cmq	kg/cmq	kg/cmq	kg/cmq	kg/cmq				
0.0	3477	--	7.70	7.70	-14	643	--	--	18	22	Si	5.6
6.1	3418	--	7.70	7.70	-13	632	--	--	18	22	Si	5.7
30.5	3139	--	7.70	7.70	-12	580	--	--	18	22	Si	6.2
55.0	2796	--	7.70	7.70	-11	517	--	--	18	22	Si	7.0
61.1	2699	--	7.70	7.70	-11	499	--	--	18	22	Si	7.2

Combinazione QP: $\sigma_{ca}[\text{kg/cm}^2]=112$ $\sigma_{fa}[\text{kg/cm}^2]=3600$

X	M+	M-	Afsup	Afinf	σ_c+	σ_f+	σ_c-	σ_f-	Cb+	Cb-	Ver.	CS
cm	kg*m	kg*m	cmq	cmq	kg/cmq	kg/cmq	kg/cmq	kg/cmq				
0.0	2771	--	7.70	7.70	-11	512	--	--	48	48	Si	7.0
6.1	2723	--	7.70	7.70	-11	503	--	--	48	48	Si	7.2
30.5	2496	--	7.70	7.70	-10	461	--	--	48	48	Si	7.8
55.0	2209	--	7.70	7.70	-9	408	--	--	48	48	Si	8.8
61.1	2128	--	7.70	7.70	-8	393	--	--	48	48	Si	9.2

Verifica aperture fessure: $W_{amm_Freq}[\text{mm}]=0.400$ $W_{amm_Qp}[\text{mm}]=0.300$

X	M	Act	Aft	pAft	$S_{r,max}$	σ_{fmed}	Wd	Wk	Cb	Ver.	Cs
cm	kg*m	mq	cmq	cm	cm	kg/cmq	mm	mm			
0.0	-2771	0.0	7.70	21.99	18.0	512	0.026	0.026	32(Fr)	Si	15
0.0	-2771	0.0	7.70	21.99	18.0	512	0.026	0.026	48(Qp)	Si	11
6.1	-2723	0.0	7.70	21.99	18.0	503	0.026	0.026	48(Qp)	Si	12
6.1	-2723	0.0	7.70	21.99	18.0	503	0.026	0.026	32(Fr)	Si	15
30.5	-2496	0.0	7.70	21.99	18.0	461	0.024	0.024	48(Qp)	Si	13
30.5	-2496	0.0	7.70	21.99	18.0	461	0.024	0.024	32(Fr)	Si	17
55.0	-2209	0.0	7.70	21.99	18.0	408	0.021	0.021	48(Qp)	Si	14
55.0	-2209	0.0	7.70	21.99	18.0	408	0.021	0.021	32(Fr)	Si	19
61.1	-2128	0.0	7.70	21.99	18.0	393	0.020	0.020	48(Qp)	Si	15
61.1	-2128	0.0	7.70	21.99	18.0	393	0.020	0.020	32(Fr)	Si	20

Trave: 103 [0,0], Pilastrate [--,--] Sez. R: By=30.0 cm Bz=80.0 cm L=61.1 cm Ln=61.1 cm Criterio: CLS_TraviAlte_ND

Combinazione Rara: $\sigma_{ca}[\text{kg/cmq}]=149$ $\sigma_{fa}[\text{kg/cmq}]=3600$

X cm	M+ kg*m	M- kg*m	Afsup cmq	Afinf cmq	σ_{c+} kg/cmq	σ_{f+} kg/cmq	σ_{c-} kg/cmq	σ_{f-} kg/cmq	Cb+	Cb-	Ver.	CS
0.0	2696	--	7.70	7.70	-11	498	--	--	18	22	Si	7.2
6.1	2581	--	7.70	7.70	-10	477	--	--	18	22	Si	7.5
30.5	2082	--	7.70	7.70	-8	385	--	--	18	22	Si	9.4
55.0	1517	--	7.70	7.70	-6	280	--	--	18	22	Si	13
61.1	1365	--	7.70	7.70	-5	252	--	--	18	22	Si	14

Combinazione QP: $\sigma_{ca}[\text{kg/cmq}]=112$ $\sigma_{fa}[\text{kg/cmq}]=3600$

X cm	M+ kg*m	M- kg*m	Afsup cmq	Afinf cmq	σ_{c+} kg/cmq	σ_{f+} kg/cmq	σ_{c-} kg/cmq	σ_{f-} kg/cmq	Cb+	Cb-	Ver.	CS
0.0	2127	--	7.70	7.70	-8	393	--	--	48	48	Si	9.2
6.1	2036	--	7.70	7.70	-8	376	--	--	48	48	Si	9.6
30.5	1634	--	7.70	7.70	-6	302	--	--	48	48	Si	12
55.0	1172	--	7.70	7.70	-5	217	--	--	48	48	Si	17
61.1	1048	--	7.70	7.70	-4	194	--	--	48	48	Si	19

Verifica aperture fessure: Wamm_Freq[mm]=0.400 Wamm_Qp[mm]=0.300

X cm	M kg*m	Act mq	Aft cmq	pAft cm	$S_{r,max}$ cm	σ_{fmed} kg/cmq	Wd mm	Wk mm	Cb	Ver.	Cs
0.0	-2127	0.0	7.70	21.99	18.0	393	0.020	0.020	32(Fr)	Si	20
0.0	-2127	0.0	7.70	21.99	18.0	393	0.020	0.020	48(Qp)	Si	15
6.1	-2036	0.0	7.70	21.99	18.0	376	0.019	0.019	48(Qp)	Si	15
6.1	-2036	0.0	7.70	21.99	18.0	376	0.019	0.019	32(Fr)	Si	21
30.5	-1634	0.0	7.70	21.99	18.0	302	0.016	0.016	48(Qp)	Si	19
30.5	-1634	0.0	7.70	21.99	18.0	302	0.016	0.016	32(Fr)	Si	26
55.0	-1172	0.0	7.70	21.99	18.0	217	0.011	0.011	48(Qp)	Si	27
55.0	-1172	0.0	7.70	21.99	18.0	217	0.011	0.011	32(Fr)	Si	36
61.1	-1048	0.0	7.70	21.99	18.0	194	0.010	0.010	48(Qp)	Si	30
61.1	-1048	0.0	7.70	21.99	18.0	194	0.010	0.010	32(Fr)	Si	40

Trave: 103 [0,0], Pilastrate [--,--] Sez. R: By=30.0 cm Bz=80.0 cm L=61.1 cm Ln=61.1 cm Criterio: CLS_TraviAlte_ND

Combinazione Rara: $\sigma_{ca}[\text{kg/cmq}]=149$ $\sigma_{fa}[\text{kg/cmq}]=3600$

X cm	M+ kg*m	M- kg*m	Afsup cmq	Afinf cmq	σ_{c+} kg/cmq	σ_{f+} kg/cmq	σ_{c-} kg/cmq	σ_{f-} kg/cmq	Cb+	Cb-	Ver.	CS
0.0	1359	--	7.70	7.70	-5	251	--	--	18	22	Si	14
6.1	1195	--	7.70	7.70	-5	221	--	--	18	22	Si	16
30.5	496	--	7.70	7.70	-2	92	--	--	18	22	Si	39
55.0	--	279	7.70	7.70	--	--	-1	52	18	22	Si	70
61.1	--	470	7.70	7.70	--	--	-2	87	22	18	Si	41

Combinazione QP: $\sigma_{ca}[\text{kg/cmq}]=112$ $\sigma_{fa}[\text{kg/cmq}]=3600$

X cm	M+ kg*m	M- kg*m	Afsup cmq	Afinf cmq	σ_{c+} kg/cmq	σ_{f+} kg/cmq	σ_{c-} kg/cmq	σ_{f-} kg/cmq	Cb+	Cb-	Ver.	CS
0.0	1045	--	7.70	7.70	-4	193	--	--	48	48	Si	19
6.1	913	--	7.70	7.70	-4	169	--	--	48	48	Si	21
30.5	346	--	7.70	7.70	-1	64	--	--	48	48	Si	56
55.0	--	279	7.70	7.70	--	--	-1	52	48	48	Si	70
61.1	--	445	7.70	7.70	--	--	-2	82	48	48	Si	44

Verifica aperture fessure: Wamm_Freq[mm]=0.400 Wamm_Qp[mm]=0.300

X cm	M kg*m	Act mq	Aft cmq	pAft cm	$S_{r,max}$ cm	σ_{fmed} kg/cmq	Wd mm	Wk mm	Cb	Ver.	Cs
0.0	-1045	0.0	7.70	21.99	18.0	193	0.010	0.010	32(Fr)	Si	40
0.0	-1045	0.0	7.70	21.99	18.0	193	0.010	0.010	48(Qp)	Si	30
6.1	-913	0.0	7.70	21.99	18.0	169	0.009	0.009	48(Qp)	Si	35

X	M	Act	Aft	pAft	$S_{r,max}$	σ_{fmed}	Wd	Wk	Cb	Ver.	Cs
6.1	-913	0.0	7.70	21.99	18.0	169	0.009	0.009	32(Fr)	Si	46
30.5	-346	0.0	7.70	21.99	18.0	64	0.003	0.003	48(Qp)	Si	91
30.5	-346	0.0	7.70	21.99	18.0	64	0.003	0.003	32(Fr)	Si	>100
55.0	279	0.0	7.70	21.99	18.0	52	0.003	0.003	48(Qp)	Si	>100
55.0	279	0.0	7.70	21.99	18.0	52	0.003	0.003	32(Fr)	Si	>100
61.1	445	0.0	7.70	21.99	18.0	82	0.004	0.004	48(Qp)	Si	71
61.1	445	0.0	7.70	21.99	18.0	82	0.004	0.004	32(Fr)	Si	94

Trave: 103 [0,0], Pilastrate [--,--] Sez. R: By=30.0 cm Bz=80.0 cm L=61.1 cm Ln=61.1 cm Criterio: CLS_TraviAlte_ND

Combinazione Rara: σ_{ca} [kg/cm²]=149 σ_{fa} [kg/cm²]=3600

X	M+	M-	Afsup	Afinf	σ_{C+}	σ_{f+}	σ_{C-}	σ_{f-}	Cb+	Cb-	Ver.	CS
cm	kg*m	kg*m	cmq	cmq	kg/cm ²	kg/cm ²	kg/cm ²	kg/cm ²				
0.0	--	478	7.70	7.70	--	--	-2	88	22	18	Si	41
6.1	--	694	7.70	7.70	--	--	-3	128	22	18	Si	28
30.5	--	1601	7.70	23.09	--	--	-5	291	22	18	Si	12
55.0	--	2574	7.70	23.09	--	--	-8	468	22	18	Si	7.7
61.1	--	2827	7.70	23.09	--	--	-8	514	22	18	Si	7.0

Combinazione QP: σ_{ca} [kg/cm²]=112 σ_{fa} [kg/cm²]=3600

X	M+	M-	Afsup	Afinf	σ_{C+}	σ_{f+}	σ_{C-}	σ_{f-}	Cb+	Cb-	Ver.	CS
cm	kg*m	kg*m	cmq	cmq	kg/cm ²	kg/cm ²	kg/cm ²	kg/cm ²				
0.0	--	449	7.70	7.70	--	--	-2	83	48	48	Si	43
6.1	--	623	7.70	7.70	--	--	-2	115	48	48	Si	31
30.5	--	1357	7.70	23.09	--	--	-4	247	48	48	Si	15
55.0	--	2151	7.70	23.09	--	--	-6	391	48	48	Si	9.2
61.1	--	2359	7.70	23.09	--	--	-7	429	48	48	Si	8.4

Verifica aperture fessure: Wamm_Freq[mm]=0.400 Wamm_Qp[mm]=0.300

X	M	Act	Aft	pAft	$S_{r,max}$	σ_{fmed}	Wd	Wk	Cb	Ver.	Cs
cm	kg*m	m ²	cmq	cm	cm	kg/cm ²	mm	mm			
0.0	449	0.0	7.70	21.99	18.0	83	0.004	0.004	32(Fr)	Si	94
0.0	449	0.0	7.70	21.99	18.0	83	0.004	0.004	48(Qp)	Si	70
6.1	623	0.0	7.70	21.99	18.0	115	0.006	0.006	48(Qp)	Si	51
6.1	623	0.0	7.70	21.99	18.0	115	0.006	0.006	32(Fr)	Si	68
30.5	1357	0.0	7.70	21.99	18.0	247	0.013	0.013	48(Qp)	Si	24
30.5	1357	0.0	7.70	21.99	18.0	247	0.013	0.013	32(Fr)	Si	31
55.0	2151	0.0	7.70	21.99	18.0	391	0.020	0.020	48(Qp)	Si	15
55.0	2151	0.0	7.70	21.99	18.0	391	0.020	0.020	32(Fr)	Si	20
61.1	2359	0.0	7.70	21.99	18.0	429	0.022	0.022	48(Qp)	Si	14
61.1	2359	0.0	7.70	21.99	18.0	429	0.022	0.022	32(Fr)	Si	18

Trave: 103 [0,105], Pilastrate [--,5] Sez. R: By=30.0 cm Bz=80.0 cm L=51.0 cm Ln=16.5 cm Criterio: CLS_TraviAlte_ND

Combinazione Rara: σ_{ca} [kg/cm²]=149 σ_{fa} [kg/cm²]=3600

X	M+	M-	Afsup	Afinf	σ_{C+}	σ_{f+}	σ_{C-}	σ_{f-}	Cb+	Cb-	Ver.	CS
cm	kg*m	kg*m	cmq	cmq	kg/cm ²	kg/cm ²	kg/cm ²	kg/cm ²				
0.0	--	2724	7.70	23.09	--	--	-8	496	22	18	Si	7.3
1.7	--	2797	7.70	23.09	--	--	-8	509	22	18	Si	7.1
8.3	--	3089	7.70	23.09	--	--	-9	562	22	18	Si	6.4
14.9	--	3386	7.70	23.09	--	--	-10	616	22	18	Si	5.8
16.5	--	3461	7.70	23.09	--	--	-10	630	22	18	Si	5.7

Combinazione QP: σ_{ca} [kg/cm²]=112 σ_{fa} [kg/cm²]=3600

X	M+	M-	Afsup	Afinf	σ_{C+}	σ_{f+}	σ_{C-}	σ_{f-}	Cb+	Cb-	Ver.	CS
cm	kg*m	kg*m	cmq	cmq	kg/cm ²	kg/cm ²	kg/cm ²	kg/cm ²				
0.0	--	2270	7.70	23.09	--	--	-7	413	48	48	Si	8.7
1.7	--	2328	7.70	23.09	--	--	-7	424	48	48	Si	8.5
8.3	--	2563	7.70	23.09	--	--	-8	466	48	48	Si	7.7

X	M+	M-	Afsup	Afinf	σ_{C+}	σ_{f+}	σ_{C-}	σ_{f-}	Cb+	Cb-	Ver.	CS
14.9	--	2802	7.70	23.09	--	--	-8	510	48	48	Si	7.1
16.5	--	2863	7.70	23.09	--	--	-8	521	48	48	Si	6.9

Verifica aperture fessure: Wamm_Freq[mm]=0.400 Wamm_Qp[mm]=0.300

X	M	Act	Aft	pAft	$S_{r,max}$	σ_{fmed}	Wd	Wk	Cb	Ver.	Cs
cm	kg*m	mq	cmq	cm	cm	kg/cmq	mm	mm			
0.0	2270	0.0	7.70	21.99	18.0	413	0.021	0.021	32(Fr)	Si	19
0.0	2270	0.0	7.70	21.99	18.0	413	0.021	0.021	48(Qp)	Si	14
1.7	2328	0.0	7.70	21.99	18.0	424	0.022	0.022	48(Qp)	Si	14
1.7	2328	0.0	7.70	21.99	18.0	424	0.022	0.022	32(Fr)	Si	18
8.3	2563	0.0	7.70	21.99	18.0	466	0.024	0.024	48(Qp)	Si	13
8.3	2563	0.0	7.70	21.99	18.0	466	0.024	0.024	32(Fr)	Si	17
14.9	2802	0.0	7.70	21.99	18.0	510	0.026	0.026	48(Qp)	Si	11
14.9	2802	0.0	7.70	21.99	18.0	510	0.026	0.026	32(Fr)	Si	15
16.5	2863	0.0	7.70	21.99	18.0	521	0.027	0.027	48(Qp)	Si	11
16.5	2863	0.0	7.70	21.99	18.0	521	0.027	0.027	32(Fr)	Si	15

Trave: 110 [221,0], Pilastrate [21,--] Sez. R: By=30.0 cm Bz=60.0 cm L=58.9 cm Ln=58.9 cm L2=58.9 cm L3=58.9 cm Criterio: CLS_TraviAlte_ND

Verifica snellezza: fcd=141 [kg/cm²] - **Verificato**

Cb	N	fcd*Ac	v	λ_{max}	λ_{lim}
	kg	kg			
18	304	253980	0.001	6.798	722.720

Combinazione Rara: σ_{ca} [kg/cm²]=149 σ_{fa} [kg/cm²]=3600

X	M+	M-	Afsup	Afinf	σ_{C+}	σ_{f+}	σ_{C-}	σ_{f-}	Cb+	Cb-	Ver.	CS
cm	kg*m	kg*m	cmq	cmq	kg/cm ²	kg/cm ²	kg/cm ²	kg/cm ²				
0.0	--	543	6.16	6.16	--	--	-4	172	22	18	Si	21
5.9	--	441	6.16	6.16	--	--	-3	140	22	18	Si	26
29.4	--	62	6.16	6.16	--	--	-0	19	18	22	Si	>100
53.0	319	--	6.16	6.16	-2	101	--	--	18	22	Si	36
58.9	407	--	6.16	6.16	-3	129	--	--	18	22	Si	28

Combinazione QP: σ_{ca} [kg/cm²]=112 σ_{fa} [kg/cm²]=3600

X	M+	M-	Afsup	Afinf	σ_{C+}	σ_{f+}	σ_{C-}	σ_{f-}	Cb+	Cb-	Ver.	CS
cm	kg*m	kg*m	cmq	cmq	kg/cm ²	kg/cm ²	kg/cm ²	kg/cm ²				
0.0	--	406	6.16	6.16	--	--	-3	128	48	48	Si	28
5.9	--	334	6.16	6.16	--	--	-2	106	48	48	Si	34
29.4	--	62	6.16	6.16	--	--	-0	19	48	48	Si	>100
53.0	186	--	6.16	6.16	-1	59	--	--	48	48	Si	61
58.9	244	--	6.16	6.16	-2	77	--	--	48	48	Si	47

Verifica aperture fessure: Wamm_Freq[mm]=0.400 Wamm_Qp[mm]=0.300

X	M	Act	Aft	pAft	$S_{r,max}$	σ_{fmed}	Wd	Wk	Cb	Ver.	Cs
cm	kg*m	mq	cmq	cm	cm	kg/cm ²	mm	mm			
0.0	406	0.0	6.16	17.59	20.4	128	0.007	0.007	32(Fr)	Si	53
0.0	406	0.0	6.16	17.59	20.4	128	0.007	0.007	48(Qp)	Si	40
5.9	334	0.0	6.16	17.59	20.4	106	0.006	0.006	48(Qp)	Si	49
5.9	334	0.0	6.16	17.59	20.4	106	0.006	0.006	32(Fr)	Si	65
29.4	62	0.0	6.16	17.59	20.4	19	0.001	0.001	48(Qp)	Si	>100
29.4	62	0.0	6.16	17.59	20.4	19	0.001	0.001	32(Fr)	Si	>100
53.0	-186	0.0	6.16	17.59	20.4	59	0.003	0.003	48(Qp)	Si	88
53.0	-186	0.0	6.16	17.59	20.4	59	0.003	0.003	32(Fr)	Si	>100
58.9	-244	0.0	6.16	17.59	20.4	77	0.004	0.004	48(Qp)	Si	67
58.9	-244	0.0	6.16	17.59	20.4	77	0.004	0.004	32(Fr)	Si	89

Trave: 110 [220,0], Pilastrate [20,--] Sez. R: By=30.0 cm Bz=60.0 cm L=47.6 cm Ln=47.6 cm L2=47.6 cm L3=47.6 cm Criterio: CLS_TraviAlte_ND

Verifica snellezza: fcd=141 [kg/cm²] - **Verificato**

Cb	N	fcd*Ac	v	λ_{max}	λ_{lim}
	kg	kg			

Cb	N	fcd*Ac	v	λ_{max}	λ_{lim}
18	265	253980	0.001	5.496	773.967

Combinazione Rara: σ_{ca} [kg/cmq]=149 σ_{fa} [kg/cmq]=3600

X	M+	M-	Afsup	Afinf	σ_{C+}	σ_{f+}	σ_{C-}	σ_{f-}	Cb+	Cb-	Ver.	CS
cm	kg*m	kg*m	cmq	cmq	kg/cmq	kg/cmq	kg/cmq	kg/cmq				
0.0	--	1778	6.16	6.16	--	--	-13	562	22	18	Si	6.4
4.8	--	1626	6.16	6.16	--	--	-11	514	22	18	Si	7.0
23.8	--	1050	6.16	6.16	--	--	-7	332	22	18	Si	11
42.8	--	527	6.16	6.16	--	--	-4	167	22	18	Si	22
47.6	--	404	6.16	6.16	--	--	-3	128	22	18	Si	28

Combinazione QP: σ_{ca} [kg/cmq]=112 σ_{fa} [kg/cmq]=3600

X	M+	M-	Afsup	Afinf	σ_{C+}	σ_{f+}	σ_{C-}	σ_{f-}	Cb+	Cb-	Ver.	CS
cm	kg*m	kg*m	cmq	cmq	kg/cmq	kg/cmq	kg/cmq	kg/cmq				
0.0	--	1262	6.16	6.16	--	--	-9	399	48	48	Si	9.0
4.8	--	1148	6.16	6.16	--	--	-8	363	48	48	Si	9.9
23.8	--	723	6.16	6.16	--	--	-5	229	48	48	Si	16
42.8	--	344	6.16	6.16	--	--	-2	109	48	48	Si	33
47.6	--	256	6.16	6.16	--	--	-2	81	48	48	Si	45

Verifica aperture fessure: Wamm_Freq[mm]=0.400 Wamm_Qp[mm]=0.300

X	M	Act	Aft	pAft	$S_{r,max}$	σ_{fmed}	Wd	Wk	Cb	Ver.	Cs
cm	kg*m	mq	cmq	cm	cm	kg/cmq	mm	mm			
0.0	1262	0.0	6.16	17.59	20.4	399	0.023	0.023	32(Fr)	Si	17
0.0	1262	0.0	6.16	17.59	20.4	399	0.023	0.023	48(Qp)	Si	13
4.8	1148	0.0	6.16	17.59	20.4	363	0.021	0.021	48(Qp)	Si	14
4.8	1148	0.0	6.16	17.59	20.4	363	0.021	0.021	32(Fr)	Si	19
23.8	723	0.0	6.16	17.59	20.4	229	0.013	0.013	48(Qp)	Si	23
23.8	723	0.0	6.16	17.59	20.4	229	0.013	0.013	32(Fr)	Si	30
42.8	344	0.0	6.16	17.59	20.4	109	0.006	0.006	48(Qp)	Si	47
42.8	344	0.0	6.16	17.59	20.4	109	0.006	0.006	32(Fr)	Si	63
47.6	256	0.0	6.16	17.59	20.4	81	0.005	0.005	48(Qp)	Si	64
47.6	256	0.0	6.16	17.59	20.4	81	0.005	0.005	32(Fr)	Si	85

Trave: 110 [0,0], Pilastrate [--,-] Sez. R: By=30.0 cm Bz=60.0 cm L=59.2 cm Ln=59.2 cm L2=59.2 cm L3=59.2 cm Criterio: CLS_TraviAlte_ND

Verifica snellezza: fcd=141 [kg/cmq] - **Verificato**

Cb	N	fcd*Ac	v	λ_{max}	λ_{lim}
	kg	kg			
18	303	253980	0.001	6.833	723.373

Combinazione Rara: σ_{ca} [kg/cmq]=149 σ_{fa} [kg/cmq]=3600

X	M+	M-	Afsup	Afinf	σ_{C+}	σ_{f+}	σ_{C-}	σ_{f-}	Cb+	Cb-	Ver.	CS
cm	kg*m	kg*m	cmq	cmq	kg/cmq	kg/cmq	kg/cmq	kg/cmq				
0.0	409	--	6.16	6.16	-3	129	--	--	18	22	Si	28
5.9	473	--	6.16	6.16	-3	150	--	--	18	22	Si	24
29.6	715	--	6.16	6.16	-5	226	--	--	18	22	Si	16
53.3	931	--	6.16	6.16	-7	294	--	--	18	22	Si	12
59.2	981	--	6.16	6.16	-7	310	--	--	18	22	Si	12

Combinazione QP: σ_{ca} [kg/cmq]=112 σ_{fa} [kg/cmq]=3600

X	M+	M-	Afsup	Afinf	σ_{C+}	σ_{f+}	σ_{C-}	σ_{f-}	Cb+	Cb-	Ver.	CS
cm	kg*m	kg*m	cmq	cmq	kg/cmq	kg/cmq	kg/cmq	kg/cmq				
0.0	245	--	6.16	6.16	-2	77	--	--	48	48	Si	47
5.9	291	--	6.16	6.16	-2	92	--	--	48	48	Si	39
29.6	461	--	6.16	6.16	-3	146	--	--	48	48	Si	25
53.3	605	--	6.16	6.16	-4	191	--	--	48	48	Si	19
59.2	637	--	6.16	6.16	-4	201	--	--	48	48	Si	18

Verifica aperture fessure: Wamm_Freq[mm]=0.400 Wamm_Qp[mm]=0.300

X	M	Act	Aft	pAft	$S_{r,max}$	σ_{fmed}	Wd	Wk	Cb	Ver.	Cs
---	---	-----	-----	------	-------------	-----------------	----	----	----	------	----

X	M	Act	Aft	pAft	S _{r,max}	σfmed	Wd	Wk	Cb	Ver.	Cs
cm	kg*m	mq	cmq	cm	cm	kg/cmq	mm	mm			
0.0	-245	0.0	6.16	17.59	20.4	77	0.005	0.005	32(Fr)	Si	89
0.0	-245	0.0	6.16	17.59	20.4	77	0.005	0.005	48(Qp)	Si	67
5.9	-291	0.0	6.16	17.59	20.4	92	0.005	0.005	48(Qp)	Si	56
5.9	-291	0.0	6.16	17.59	20.4	92	0.005	0.005	32(Fr)	Si	75
29.6	-461	0.0	6.16	17.59	20.4	146	0.008	0.008	48(Qp)	Si	35
29.6	-461	0.0	6.16	17.59	20.4	146	0.008	0.008	32(Fr)	Si	47
53.3	-605	0.0	6.16	17.59	20.4	191	0.011	0.011	48(Qp)	Si	27
53.3	-605	0.0	6.16	17.59	20.4	191	0.011	0.011	32(Fr)	Si	36
59.2	-637	0.0	6.16	17.59	20.4	201	0.012	0.012	48(Qp)	Si	26
59.2	-637	0.0	6.16	17.59	20.4	201	0.012	0.012	32(Fr)	Si	34

Trave: 110 [0,0], Pilastrate [--,--] Sez. R: By=30.0 cm Bz=60.0 cm L=59.2 cm Ln=59.2 cm L2=59.2 cm L3=59.2 cm Criterio: CLS_TraviAlte_ND

Verifica snellezza: fcd=141 [kg/cm²] - **Verificato**

Cb	N	fcd*Ac	v	λ _{max}	λ _{lim}
	kg	kg			
18	302	253980	0.001	6.833	724.941

Combinazione Rara: σ_{ca}[kg/cm²]=149 σ_{fa}[kg/cm²]=3600

X	M+	M-	Afsup	Afinf	σ _{c+}	σ _{f+}	σ _{c-}	σ _{f-}	Cb+	Cb-	Ver.	CS
cm	kg*m	kg*m	cmq	cmq	kg/cm ²	kg/cm ²	kg/cm ²	kg/cm ²				
0.0	983	--	6.16	6.16	-7	311	--	--	18	22	Si	12
5.9	1009	--	6.16	6.16	-7	319	--	--	18	22	Si	11
29.6	1100	--	6.16	6.16	-8	348	--	--	18	22	Si	10
53.3	1166	--	6.16	6.16	-8	369	--	--	18	22	Si	9.8
59.2	1179	--	6.16	6.16	-8	373	--	--	18	22	Si	9.7

Combinazione QP: σ_{ca}[kg/cm²]=112 σ_{fa}[kg/cm²]=3600

X	M+	M-	Afsup	Afinf	σ _{c+}	σ _{f+}	σ _{c-}	σ _{f-}	Cb+	Cb-	Ver.	CS
cm	kg*m	kg*m	cmq	cmq	kg/cm ²	kg/cm ²	kg/cm ²	kg/cm ²				
0.0	638	--	6.16	6.16	-5	202	--	--	48	48	Si	18
5.9	658	--	6.16	6.16	-5	208	--	--	48	48	Si	17
29.6	725	--	6.16	6.16	-5	229	--	--	48	48	Si	16
53.3	766	--	6.16	6.16	-5	242	--	--	48	48	Si	15
59.2	773	--	6.16	6.16	-5	244	--	--	48	48	Si	15

Verifica aperture fessure: Wamm_Freq[mm]=0.400 Wamm_Qp[mm]=0.300

X	M	Act	Aft	pAft	S _{r,max}	σfmed	Wd	Wk	Cb	Ver.	Cs
cm	kg*m	mq	cmq	cm	cm	kg/cm ²	mm	mm			
0.0	-638	0.0	6.16	17.59	20.4	202	0.012	0.012	32(Fr)	Si	34
0.0	-638	0.0	6.16	17.59	20.4	202	0.012	0.012	48(Qp)	Si	26
5.9	-658	0.0	6.16	17.59	20.4	208	0.012	0.012	48(Qp)	Si	25
5.9	-658	0.0	6.16	17.59	20.4	208	0.012	0.012	32(Fr)	Si	33
29.6	-725	0.0	6.16	17.59	20.4	229	0.013	0.013	48(Qp)	Si	22
29.6	-725	0.0	6.16	17.59	20.4	229	0.013	0.013	32(Fr)	Si	30
53.3	-766	0.0	6.16	17.59	20.4	242	0.014	0.014	48(Qp)	Si	21
53.3	-766	0.0	6.16	17.59	20.4	242	0.014	0.014	32(Fr)	Si	28
59.2	-773	0.0	6.16	17.59	20.4	244	0.014	0.014	48(Qp)	Si	21
59.2	-773	0.0	6.16	17.59	20.4	244	0.014	0.014	32(Fr)	Si	28

Trave: 110 [0,0], Pilastrate [--,--] Sez. R: By=30.0 cm Bz=60.0 cm L=59.2 cm Ln=59.2 cm L2=59.2 cm L3=59.2 cm Criterio: CLS_TraviAlte_ND

Verifica snellezza: fcd=141 [kg/cm²] - **Verificato**

Cb	N	fcd*Ac	v	λ _{max}	λ _{lim}
	kg	kg			
18	300	253980	0.001	6.833	727.824

Combinazione Rara: σ_{ca}[kg/cm²]=149 σ_{fa}[kg/cm²]=3600

X	M+	M-	Afsup	Afinf	σ _{c+}	σ _{f+}	σ _{c-}	σ _{f-}	Cb+	Cb-	Ver.	CS
cm	kg*m	kg*m	cmq	cmq	kg/cm ²	kg/cm ²	kg/cm ²	kg/cm ²				

X	M+	M-	Afsup	Afinf	σ_{C+}	σ_{f+}	σ_{C-}	σ_{f-}	Cb+	Cb-	Ver.	CS
0.0	1180	--	6.16	6.16	-8	373	--	--	18	22	Si	9.6
5.9	1170	--	6.16	6.16	-8	370	--	--	18	22	Si	9.7
29.6	1113	--	6.16	6.16	-8	352	--	--	18	22	Si	10
53.3	1031	--	6.16	6.16	-7	326	--	--	18	22	Si	11
59.2	1006	--	6.16	6.16	-7	318	--	--	18	22	Si	11

Combinazione QP: σ_{ca} [kg/cm²]=112 σ_{fa} [kg/cm²]=3600

X	M+	M-	Afsup	Afinf	σ_{C+}	σ_{f+}	σ_{C-}	σ_{f-}	Cb+	Cb-	Ver.	CS
cm	kg*m	kg*m	cmq	cmq	kg/cm ²	kg/cm ²	kg/cm ²	kg/cm ²				
0.0	773	--	6.16	6.16	-5	245	--	--	48	48	Si	15
5.9	769	--	6.16	6.16	-5	243	--	--	48	48	Si	15
29.6	734	--	6.16	6.16	-5	232	--	--	48	48	Si	16
53.3	673	--	6.16	6.16	-5	213	--	--	48	48	Si	17
59.2	654	--	6.16	6.16	-5	207	--	--	48	48	Si	17

Verifica aperture fessure: Wamm_Freq[mm]=0.400 Wamm_Qp[mm]=0.300

X	M	Act	Aft	pAft	S _{r,max}	σ_{fmed}	Wd	Wk	Cb	Ver.	Cs
cm	kg*m	mq	cmq	cm	cm	kg/cm ²	mm	mm			
0.0	-773	0.0	6.16	17.59	20.4	245	0.014	0.014	32(Fr)	Si	28
0.0	-773	0.0	6.16	17.59	20.4	245	0.014	0.014	48(Qp)	Si	21
5.9	-769	0.0	6.16	17.59	20.4	243	0.014	0.014	48(Qp)	Si	21
5.9	-769	0.0	6.16	17.59	20.4	243	0.014	0.014	32(Fr)	Si	28
29.6	-734	0.0	6.16	17.59	20.4	232	0.014	0.014	48(Qp)	Si	22
29.6	-734	0.0	6.16	17.59	20.4	232	0.014	0.014	32(Fr)	Si	30
53.3	-673	0.0	6.16	17.59	20.4	213	0.012	0.012	48(Qp)	Si	24
53.3	-673	0.0	6.16	17.59	20.4	213	0.012	0.012	32(Fr)	Si	32
59.2	-654	0.0	6.16	17.59	20.4	207	0.012	0.012	48(Qp)	Si	25
59.2	-654	0.0	6.16	17.59	20.4	207	0.012	0.012	32(Fr)	Si	33

Trave: 110 [0,0], Pilastrate [--,-] Sez. R: By=30.0 cm Bz=60.0 cm L=59.2 cm Ln=59.2 cm L2=59.2 cm L3=59.2 cm Criterio: CLS_TraviAlte_ND

Verifica snellezza: fcd=141 [kg/cm²] - **Verificato**

Cb	N	fcd*Ac	v	λ_{max}	λ_{lim}
	kg	kg			
18	295	253980	0.001	6.833	734.087

Combinazione Rara: σ_{ca} [kg/cm²]=149 σ_{fa} [kg/cm²]=3600

X	M+	M-	Afsup	Afinf	σ_{C+}	σ_{f+}	σ_{C-}	σ_{f-}	Cb+	Cb-	Ver.	CS
cm	kg*m	kg*m	cmq	cmq	kg/cm ²	kg/cm ²	kg/cm ²	kg/cm ²				
0.0	1007	--	6.16	6.16	-7	319	--	--	18	22	Si	11
5.9	961	--	6.16	6.16	-7	304	--	--	18	22	Si	12
29.6	757	--	6.16	6.16	-5	240	--	--	18	22	Si	15
53.3	529	--	6.16	6.16	-4	167	--	--	18	22	Si	22
59.2	468	--	6.16	6.16	-3	148	--	--	18	22	Si	24

Combinazione QP: σ_{ca} [kg/cm²]=112 σ_{fa} [kg/cm²]=3600

X	M+	M-	Afsup	Afinf	σ_{C+}	σ_{f+}	σ_{C-}	σ_{f-}	Cb+	Cb-	Ver.	CS
cm	kg*m	kg*m	cmq	cmq	kg/cm ²	kg/cm ²	kg/cm ²	kg/cm ²				
0.0	654	--	6.16	6.16	-5	207	--	--	48	48	Si	17
5.9	624	--	6.16	6.16	-4	197	--	--	48	48	Si	18
29.6	489	--	6.16	6.16	-3	154	--	--	48	48	Si	23
53.3	327	--	6.16	6.16	-2	104	--	--	48	48	Si	35
59.2	283	--	6.16	6.16	-2	90	--	--	48	48	Si	40

Verifica aperture fessure: Wamm_Freq[mm]=0.400 Wamm_Qp[mm]=0.300

X	M	Act	Aft	pAft	S _{r,max}	σ_{fmed}	Wd	Wk	Cb	Ver.	Cs
cm	kg*m	mq	cmq	cm	cm	kg/cm ²	mm	mm			
0.0	-654	0.0	6.16	17.59	20.4	207	0.012	0.012	32(Fr)	Si	33
0.0	-654	0.0	6.16	17.59	20.4	207	0.012	0.012	48(Qp)	Si	25
5.9	-624	0.0	6.16	17.59	20.4	197	0.012	0.012	48(Qp)	Si	26
5.9	-624	0.0	6.16	17.59	20.4	197	0.012	0.012	32(Fr)	Si	35

X	M	Act	Aft	pAft	S _{r,max}	σfmed	Wd	Wk	Cb	Ver.	Cs
29.6	-489	0.0	6.16	17.59	20.4	154	0.009	0.009	48(Qp)	Si	33
29.6	-489	0.0	6.16	17.59	20.4	154	0.009	0.009	32(Fr)	Si	44
53.3	-327	0.0	6.16	17.59	20.4	104	0.006	0.006	48(Qp)	Si	50
53.3	-327	0.0	6.16	17.59	20.4	104	0.006	0.006	32(Fr)	Si	66
59.2	-283	0.0	6.16	17.59	20.4	90	0.005	0.005	48(Qp)	Si	58
59.2	-283	0.0	6.16	17.59	20.4	90	0.005	0.005	32(Fr)	Si	77

Trave: 110 [0,0], Pilastrate [--,-] Sez. R: By=30.0 cm Bz=60.0 cm L=59.2 cm Ln=59.2 cm L2=59.2 cm L3=59.2 cm Criterio: CLS_TraviAlte_ND

Verifica snellezza: fcd=141 [kg/cmq] - **Verificato**

Cb	N	fcd*Ac	v	λmax	λlim
	kg	kg			
18	286	253980	0.001	6.833	744.521

Combinazione Rara: σca[kg/cm²]=149 σfa[kg/cm²]=3600

X	M+	M-	Afsup	Afinf	σC+	σf+	σC-	σf-	Cb+	Cb-	Ver.	CS
cm	kg*m	kg*m	cmq	cmq	kg/cm ²	kg/cm ²	kg/cm ²	kg/cm ²				
0.0	469	--	6.16	6.16	-3	148	--	--	18	22	Si	24
5.9	386	--	6.16	6.16	-3	122	--	--	18	22	Si	30
29.6	36	9	6.16	6.16	-0	11	-0	3	18	22	Si	>100
53.3	--	339	6.16	6.16	--	--	-2	107	22	18	Si	34
59.2	--	436	6.16	6.16	--	--	-3	138	22	18	Si	26

Combinazione QP: σca[kg/cm²]=112 σfa[kg/cm²]=3600

X	M+	M-	Afsup	Afinf	σC+	σf+	σC-	σf-	Cb+	Cb-	Ver.	CS
cm	kg*m	kg*m	cmq	cmq	kg/cm ²	kg/cm ²	kg/cm ²	kg/cm ²				
0.0	283	--	6.16	6.16	-2	90	--	--	48	48	Si	40
5.9	228	--	6.16	6.16	-2	72	--	--	48	48	Si	50
29.6	--	9	6.16	6.16	--	--	-0	3	48	48	Si	>100
53.3	--	271	6.16	6.16	--	--	-2	86	48	48	Si	42
59.2	--	341	6.16	6.16	--	--	-2	108	48	48	Si	33

Verifica aperture fessure: Wamm_Freq[mm]=0.400 Wamm_Qp[mm]=0.300

X	M	Act	Aft	pAft	S _{r,max}	σfmed	Wd	Wk	Cb	Ver.	Cs
cm	kg*m	mq	cmq	cm	cm	kg/cm ²	mm	mm			
0.0	-283	0.0	6.16	17.59	20.4	90	0.005	0.005	32(Fr)	Si	77
0.0	-283	0.0	6.16	17.59	20.4	90	0.005	0.005	48(Qp)	Si	57
5.9	-228	0.0	6.16	17.59	20.4	72	0.004	0.004	48(Qp)	Si	71
5.9	-228	0.0	6.16	17.59	20.4	72	0.004	0.004	32(Fr)	Si	95
29.6	9	0.0	6.16	17.59	20.4	3	0.000	0.000	48(Qp)	Si	>100
29.6	9	0.0	6.16	17.59	20.4	3	0.000	0.000	32(Fr)	Si	>100
53.3	271	0.0	6.16	17.59	20.4	86	0.005	0.005	48(Qp)	Si	60
53.3	271	0.0	6.16	17.59	20.4	86	0.005	0.005	32(Fr)	Si	80
59.2	341	0.0	6.16	17.59	20.4	108	0.006	0.006	48(Qp)	Si	48
59.2	341	0.0	6.16	17.59	20.4	108	0.006	0.006	32(Fr)	Si	64

Trave: 110 [0,220], Pilastrate [--,20] Sez. R: By=30.0 cm Bz=60.0 cm L=59.2 cm Ln=59.2 cm L2=59.2 cm L3=59.2 cm Criterio: CLS_TraviAlte_ND

Verifica snellezza: fcd=141 [kg/cm²] - **Verificato**

Cb	N	fcd*Ac	v	λmax	λlim
	kg	kg			
18	280	253980	0.001	6.833	752.633

Combinazione Rara: σca[kg/cm²]=149 σfa[kg/cm²]=3600

X	M+	M-	Afsup	Afinf	σC+	σf+	σC-	σf-	Cb+	Cb-	Ver.	CS
cm	kg*m	kg*m	cmq	cmq	kg/cm ²	kg/cm ²	kg/cm ²	kg/cm ²				
0.0	--	433	6.16	6.16	--	--	-3	137	22	18	Si	26
5.9	--	554	6.16	6.16	--	--	-4	175	22	18	Si	21
29.6	--	1053	6.16	6.16	--	--	-7	333	22	18	Si	11
53.3	--	1578	6.16	6.16	--	--	-11	499	22	18	Si	7.2
59.2	--	1714	6.16	6.16	--	--	-12	542	22	18	Si	6.6

Combinazione QP: $\sigma_{ca}[\text{kg/cm}^2]=112$ $\sigma_{fa}[\text{kg/cm}^2]=3600$

X	M+	M-	Afsup	Afinf	σ_{C+}	σ_{f+}	σ_{C-}	σ_{f-}	Cb+	Cb-	Ver.	CS
cm	kg*m	kg*m	cmq	cmq	kg/cmq	kg/cmq	kg/cmq	kg/cmq				
0.0	--	339	6.16	6.16	--	--	-2	107	48	48	Si	34
5.9	--	420	6.16	6.16	--	--	-3	133	48	48	Si	27
29.6	--	761	6.16	6.16	--	--	-5	241	48	48	Si	15
53.3	--	1127	6.16	6.16	--	--	-8	356	48	48	Si	10
59.2	--	1222	6.16	6.16	--	--	-9	387	48	48	Si	9.3

Verifica aperture fessure: $W_{amm_Freq}[\text{mm}]=0.400$ $W_{amm_Qp}[\text{mm}]=0.300$

X	M	Act	Aft	pAft	$S_{r,max}$	σ_{fmed}	Wd	Wk	Cb	Ver.	Cs
cm	kg*m	mq	cmq	cm	cm	kg/cmq	mm	mm			
0.0	339	0.0	6.16	17.59	20.4	107	0.006	0.006	32(Fr)	Si	64
0.0	339	0.0	6.16	17.59	20.4	107	0.006	0.006	48(Qp)	Si	48
5.9	420	0.0	6.16	17.59	20.4	133	0.008	0.008	48(Qp)	Si	39
5.9	420	0.0	6.16	17.59	20.4	133	0.008	0.008	32(Fr)	Si	52
29.6	761	0.0	6.16	17.59	20.4	241	0.014	0.014	48(Qp)	Si	21
29.6	761	0.0	6.16	17.59	20.4	241	0.014	0.014	32(Fr)	Si	29
53.3	1127	0.0	6.16	17.59	20.4	356	0.021	0.021	48(Qp)	Si	14
53.3	1127	0.0	6.16	17.59	20.4	356	0.021	0.021	32(Fr)	Si	19
59.2	1222	0.0	6.16	17.59	20.4	387	0.023	0.023	48(Qp)	Si	13
59.2	1222	0.0	6.16	17.59	20.4	387	0.023	0.023	32(Fr)	Si	18

Trave: 110 [0,0], Pilastrate [--,--] Sez. R: $B_y=30.0$ cm $B_z=60.0$ cm $L=47.6$ cm $L_n=47.6$ cm Criterio: CLS_TraviAlte_ND

Combinazione Rara: $\sigma_{ca}[\text{kg/cm}^2]=149$ $\sigma_{fa}[\text{kg/cm}^2]=3600$

X	M+	M-	Afsup	Afinf	σ_{C+}	σ_{f+}	σ_{C-}	σ_{f-}	Cb+	Cb-	Ver.	CS
cm	kg*m	kg*m	cmq	cmq	kg/cmq	kg/cmq	kg/cmq	kg/cmq				
0.0	--	352	6.16	6.16	--	--	-2	111	22	18	Si	32
4.8	--	251	6.16	6.16	--	--	-2	79	22	18	Si	45
23.8	126	--	6.16	6.16	-1	40	--	--	22	18	Si	90
42.8	442	--	6.16	6.16	-3	140	--	--	18	22	Si	26
47.6	514	--	6.16	6.16	-4	162	--	--	18	22	Si	22

Combinazione QP: $\sigma_{ca}[\text{kg/cm}^2]=112$ $\sigma_{fa}[\text{kg/cm}^2]=3600$

X	M+	M-	Afsup	Afinf	σ_{C+}	σ_{f+}	σ_{C-}	σ_{f-}	Cb+	Cb-	Ver.	CS
cm	kg*m	kg*m	cmq	cmq	kg/cmq	kg/cmq	kg/cmq	kg/cmq				
0.0	--	229	6.16	6.16	--	--	-2	72	48	48	Si	50
4.8	--	153	6.16	6.16	--	--	-1	48	48	48	Si	75
23.8	126	--	6.16	6.16	-1	40	--	--	48	48	Si	90
42.8	359	--	6.16	6.16	-3	114	--	--	48	48	Si	32
47.6	411	--	6.16	6.16	-3	130	--	--	48	48	Si	28

Verifica aperture fessure: $W_{amm_Freq}[\text{mm}]=0.400$ $W_{amm_Qp}[\text{mm}]=0.300$

X	M	Act	Aft	pAft	$S_{r,max}$	σ_{fmed}	Wd	Wk	Cb	Ver.	Cs
cm	kg*m	mq	cmq	cm	cm	kg/cmq	mm	mm			
0.0	229	0.0	6.16	17.59	20.4	72	0.004	0.004	32(Fr)	Si	95
0.0	229	0.0	6.16	17.59	20.4	72	0.004	0.004	48(Qp)	Si	71
4.8	153	0.0	6.16	17.59	20.4	48	0.003	0.003	48(Qp)	Si	>100
4.8	153	0.0	6.16	17.59	20.4	48	0.003	0.003	32(Fr)	Si	>100
23.8	-126	0.0	6.16	17.59	20.4	40	0.002	0.002	48(Qp)	Si	>100
23.8	-126	0.0	6.16	17.59	20.4	40	0.002	0.002	32(Fr)	Si	>100
42.8	-359	0.0	6.16	17.59	20.4	114	0.007	0.007	48(Qp)	Si	45
42.8	-359	0.0	6.16	17.59	20.4	114	0.007	0.007	32(Fr)	Si	60
47.6	-411	0.0	6.16	17.59	20.4	130	0.008	0.008	48(Qp)	Si	40
47.6	-411	0.0	6.16	17.59	20.4	130	0.008	0.008	32(Fr)	Si	53

Trave: 110 [0,0], Pilastrate [--,--] Sez. R: $B_y=30.0$ cm $B_z=60.0$ cm $L=47.6$ cm $L_n=47.6$ cm Criterio: CLS_TraviAlte_ND

Combinazione Rara: $\sigma_{ca}[\text{kg/cm}^2]=149$ $\sigma_{fa}[\text{kg/cm}^2]=3600$

X	M+	M-	Afsup	Afinf	σ_{C+}	σ_{f+}	σ_{C-}	σ_{f-}	Cb+	Cb-	Ver.	CS
cm	kg*m	kg*m	cmq	cmq	kg/cmq	kg/cmq	kg/cmq	kg/cmq				
0.0	564	--	6.16	6.16	-4	178	--	--	18	22	Si	20
4.8	617	--	6.16	6.16	-4	195	--	--	18	22	Si	18
23.8	800	--	6.16	6.16	-6	253	--	--	18	22	Si	14
42.8	930	--	6.16	6.16	-7	294	--	--	18	22	Si	12
47.6	954	--	6.16	6.16	-7	302	--	--	18	22	Si	12

Combinazione QP: $\sigma_{ca}[\text{kg/cm}^2]=112$ $\sigma_{fa}[\text{kg/cm}^2]=3600$

X	M+	M-	Afsup	Afinf	σ_{C+}	σ_{f+}	σ_{C-}	σ_{f-}	Cb+	Cb-	Ver.	CS
cm	kg*m	kg*m	cmq	cmq	kg/cmq	kg/cmq	kg/cmq	kg/cmq				
0.0	437	--	6.16	6.16	-3	138	--	--	48	48	Si	26
4.8	478	--	6.16	6.16	-3	151	--	--	48	48	Si	24
23.8	616	--	6.16	6.16	-4	195	--	--	48	48	Si	18
42.8	708	--	6.16	6.16	-5	224	--	--	48	48	Si	16
47.6	724	--	6.16	6.16	-5	229	--	--	48	48	Si	16

Verifica aperture fessure: Wamm_Freq[mm]=0.400 Wamm_Qp[mm]=0.300

X	M	Act	Aft	pAft	$S_{r,max}$	σ_{fmed}	Wd	Wk	Cb	Ver.	Cs
cm	kg*m	mq	cmq	cm	cm	kg/cmq	mm	mm			
0.0	-437	0.0	6.16	17.59	20.4	138	0.008	0.008	32(Fr)	Si	50
0.0	-437	0.0	6.16	17.59	20.4	138	0.008	0.008	48(Qp)	Si	37
4.8	-478	0.0	6.16	17.59	20.4	151	0.009	0.009	48(Qp)	Si	34
4.8	-478	0.0	6.16	17.59	20.4	151	0.009	0.009	32(Fr)	Si	45
23.8	-616	0.0	6.16	17.59	20.4	195	0.011	0.011	48(Qp)	Si	26
23.8	-616	0.0	6.16	17.59	20.4	195	0.011	0.011	32(Fr)	Si	35
42.8	-708	0.0	6.16	17.59	20.4	224	0.013	0.013	48(Qp)	Si	23
42.8	-708	0.0	6.16	17.59	20.4	224	0.013	0.013	32(Fr)	Si	31
47.6	-724	0.0	6.16	17.59	20.4	229	0.013	0.013	48(Qp)	Si	22
47.6	-724	0.0	6.16	17.59	20.4	229	0.013	0.013	32(Fr)	Si	30

Trave: 110 [0,0], Pilastrate [--,--] Sez. R: By=30.0 cm Bz=60.0 cm L=47.6 cm Ln=47.6 cm L2=47.6 cm L3=47.6 cm Criterio: CLS_TraviAlte_ND

Verifica snellezza: $f_{cd}=141$ [kg/cm²] - **Verificato**

Cb	N	$f_{cd} \cdot A_c$	ν	λ_{max}	λ_{lim}
	kg	kg			
18	269	253980	0.001	5.496	767.920

Combinazione Rara: $\sigma_{ca}[\text{kg/cm}^2]=149$ $\sigma_{fa}[\text{kg/cm}^2]=3600$

X	M+	M-	Afsup	Afinf	σ_{C+}	σ_{f+}	σ_{C-}	σ_{f-}	Cb+	Cb-	Ver.	CS
cm	kg*m	kg*m	cmq	cmq	kg/cmq	kg/cmq	kg/cmq	kg/cmq				
0.0	1017	--	6.16	6.16	-7	322	--	--	18	22	Si	11
4.8	1023	--	6.16	6.16	-7	323	--	--	18	22	Si	11
23.8	1013	--	6.16	6.16	-7	320	--	--	18	22	Si	11
42.8	951	--	6.16	6.16	-7	301	--	--	18	22	Si	12
47.6	927	--	6.16	6.16	-7	293	--	--	18	22	Si	12

Combinazione QP: $\sigma_{ca}[\text{kg/cm}^2]=112$ $\sigma_{fa}[\text{kg/cm}^2]=3600$

X	M+	M-	Afsup	Afinf	σ_{C+}	σ_{f+}	σ_{C-}	σ_{f-}	Cb+	Cb-	Ver.	CS
cm	kg*m	kg*m	cmq	cmq	kg/cmq	kg/cmq	kg/cmq	kg/cmq				
0.0	757	--	6.16	6.16	-5	239	--	--	48	48	Si	15
4.8	763	--	6.16	6.16	-5	241	--	--	48	48	Si	15
23.8	759	--	6.16	6.16	-5	240	--	--	48	48	Si	15
42.8	709	--	6.16	6.16	-5	224	--	--	48	48	Si	16
47.6	689	--	6.16	6.16	-5	218	--	--	48	48	Si	17

Verifica aperture fessure: Wamm_Freq[mm]=0.400 Wamm_Qp[mm]=0.300

X	M	Act	Aft	pAft	$S_{r,max}$	σ_{fmed}	Wd	Wk	Cb	Ver.	Cs
cm	kg*m	mq	cmq	cm	cm	kg/cmq	mm	mm			
0.0	-757	0.0	6.16	17.59	20.4	239	0.014	0.014	32(Fr)	Si	29
0.0	-757	0.0	6.16	17.59	20.4	239	0.014	0.014	48(Qp)	Si	22

X	M	Act	Aft	pAft	S _{r,max}	σ _{fmed}	Wd	Wk	Cb	Ver.	Cs
4.8	-763	0.0	6.16	17.59	20.4	241	0.014	0.014	48(Qp)	Si	21
4.8	-763	0.0	6.16	17.59	20.4	241	0.014	0.014	32(Fr)	Si	28
23.8	-759	0.0	6.16	17.59	20.4	240	0.014	0.014	48(Qp)	Si	21
23.8	-759	0.0	6.16	17.59	20.4	240	0.014	0.014	32(Fr)	Si	29
42.8	-709	0.0	6.16	17.59	20.4	224	0.013	0.013	48(Qp)	Si	23
42.8	-709	0.0	6.16	17.59	20.4	224	0.013	0.013	32(Fr)	Si	31
47.6	-689	0.0	6.16	17.59	20.4	218	0.013	0.013	48(Qp)	Si	24
47.6	-689	0.0	6.16	17.59	20.4	218	0.013	0.013	32(Fr)	Si	32

Trave: 110 [0,0], Pilastrate [--,--] Sez. R: By=30.0 cm Bz=60.0 cm L=47.6 cm Ln=47.6 cm L2=47.6 cm L3=47.6 cm Criterio: CLS_TraviAlte_ND

Verifica snellezza: fcd=141 [kg/cm²] - **Verificato**

Cb	N	fcd*Ac	v	λ _{max}	λ _{lim}
	kg	kg			
18	280	253980	0.001	5.496	753.106

Combinazione Rara: σ_{ca}[kg/cm²]=149 σ_{fa}[kg/cm²]=3600

X	M+	M-	Afsup	Afinf	σ _{C+}	σ _{f+}	σ _{C-}	σ _{f-}	Cb+	Cb-	Ver.	CS
cm	kg*m	kg*m	cmq	cmq	kg/cm ²	kg/cm ²	kg/cm ²	kg/cm ²				
0.0	993	--	6.16	6.16	-7	314	--	--	18	22	Si	11
4.8	950	--	6.16	6.16	-7	300	--	--	18	22	Si	12
23.8	747	--	6.16	6.16	-5	236	--	--	18	22	Si	15
42.8	491	--	6.16	6.16	-3	155	--	--	18	22	Si	23
47.6	419	--	6.16	6.16	-3	133	--	--	18	22	Si	27

Combinazione QP: σ_{ca}[kg/cm²]=112 σ_{fa}[kg/cm²]=3600

X	M+	M-	Afsup	Afinf	σ _{C+}	σ _{f+}	σ _{C-}	σ _{f-}	Cb+	Cb-	Ver.	CS
cm	kg*m	kg*m	cmq	cmq	kg/cm ²	kg/cm ²	kg/cm ²	kg/cm ²				
0.0	726	--	6.16	6.16	-5	229	--	--	48	48	Si	16
4.8	696	--	6.16	6.16	-5	220	--	--	48	48	Si	16
23.8	549	--	6.16	6.16	-4	173	--	--	48	48	Si	21
42.8	356	--	6.16	6.16	-3	113	--	--	48	48	Si	32
47.6	301	--	6.16	6.16	-2	95	--	--	48	48	Si	38

Verifica aperture fessure: Wamm_Freq[mm]=0.400 Wamm_Qp[mm]=0.300

X	M	Act	Aft	pAft	S _{r,max}	σ _{fmed}	Wd	Wk	Cb	Ver.	Cs
cm	kg*m	mq	cmq	cm	cm	kg/cm ²	mm	mm			
0.0	-726	0.0	6.16	17.59	20.4	229	0.013	0.013	32(Fr)	Si	30
0.0	-726	0.0	6.16	17.59	20.4	229	0.013	0.013	48(Qp)	Si	22
4.8	-696	0.0	6.16	17.59	20.4	220	0.013	0.013	48(Qp)	Si	23
4.8	-696	0.0	6.16	17.59	20.4	220	0.013	0.013	32(Fr)	Si	31
23.8	-549	0.0	6.16	17.59	20.4	173	0.010	0.010	48(Qp)	Si	30
23.8	-549	0.0	6.16	17.59	20.4	173	0.010	0.010	32(Fr)	Si	40
42.8	-356	0.0	6.16	17.59	20.4	113	0.007	0.007	48(Qp)	Si	46
42.8	-356	0.0	6.16	17.59	20.4	113	0.007	0.007	32(Fr)	Si	61
47.6	-301	0.0	6.16	17.59	20.4	95	0.006	0.006	48(Qp)	Si	54
47.6	-301	0.0	6.16	17.59	20.4	95	0.006	0.006	32(Fr)	Si	72

Trave: 110 [0,219], Pilastrate [--,19] Sez. R: By=30.0 cm Bz=60.0 cm L=47.6 cm Ln=47.6 cm L2=47.6 cm L3=47.6 cm Criterio: CLS_TraviAlte_ND

Verifica snellezza: fcd=141 [kg/cm²] - **Verificato**

Cb	N	fcd*Ac	v	λ _{max}	λ _{lim}
	kg	kg			
18	337	253980	0.001	5.496	686.127

Combinazione Rara: σ_{ca}[kg/cm²]=149 σ_{fa}[kg/cm²]=3600

X	M+	M-	Afsup	Afinf	σ _{C+}	σ _{f+}	σ _{C-}	σ _{f-}	Cb+	Cb-	Ver.	CS
cm	kg*m	kg*m	cmq	cmq	kg/cm ²	kg/cm ²	kg/cm ²	kg/cm ²				
0.0	518	--	6.16	6.16	-4	164	--	--	18	22	Si	22
4.8	426	--	6.16	6.16	-3	135	--	--	18	22	Si	27
23.8	25	4	6.16	6.16	-0	8	-0	1	18	22	Si	>100

X	M+	M-	Afsup	Afinf	σ_c+	σ_f+	σ_c-	σ_f-	Cb+	Cb-	Ver.	CS
42.8	--	428	6.16	6.16	--	--	-3	135	22	18	Si	27
47.6	--	550	6.16	6.16	--	--	-4	174	22	18	Si	21

Combinazione QP: $\sigma_{ca}[\text{kg/cm}^2]=112$ $\sigma_{fa}[\text{kg/cm}^2]=3600$

X	M+	M-	Afsup	Afinf	σ_c+	σ_f+	σ_c-	σ_f-	Cb+	Cb-	Ver.	CS
cm	kg*m	kg*m	cmq	cmq	kg/cmq	kg/cmq	kg/cmq	kg/cmq				
0.0	354	--	6.16	6.16	-2	112	--	--	48	48	Si	32
4.8	288	--	6.16	6.16	-2	91	--	--	48	48	Si	40
23.8	--	4	6.16	6.16	--	--	-0	1	48	48	Si	>100
42.8	--	341	6.16	6.16	--	--	-2	108	48	48	Si	33
47.6	--	433	6.16	6.16	--	--	-3	137	48	48	Si	26

Verifica aperture fessure: $W_{amm_Freq}[\text{mm}]=0.400$ $W_{amm_Qp}[\text{mm}]=0.300$

X	M	Act	Aft	pAft	$S_{r,max}$	σ_{fmed}	Wd	Wk	Cb	Ver.	Cs
cm	kg*m	mq	cmq	cm	cm	kg/cmq	mm	mm			
0.0	-354	0.0	6.16	17.59	20.4	112	0.007	0.007	32(Fr)	Si	61
0.0	-354	0.0	6.16	17.59	20.4	112	0.007	0.007	48(Qp)	Si	46
4.8	-288	0.0	6.16	17.59	20.4	91	0.005	0.005	48(Qp)	Si	57
4.8	-288	0.0	6.16	17.59	20.4	91	0.005	0.005	32(Fr)	Si	75
23.8	4	0.0	6.16	17.59	20.4	1	0.000	0.000	48(Qp)	Si	>100
23.8	4	0.0	6.16	17.59	20.4	1	0.000	0.000	32(Fr)	Si	>100
42.8	341	0.0	6.16	17.59	20.4	108	0.006	0.006	48(Qp)	Si	48
42.8	341	0.0	6.16	17.59	20.4	108	0.006	0.006	32(Fr)	Si	64
47.6	433	0.0	6.16	17.59	20.4	137	0.008	0.008	48(Qp)	Si	38
47.6	433	0.0	6.16	17.59	20.4	137	0.008	0.008	32(Fr)	Si	50

Trave: 111 [219,226], Pilastrate [19,26] Sez. R: $B_y=30.0$ cm $B_z=60.0$ cm $L=372.5$ cm $L_n=372.5$ cm Criterio: CLS_TraviAlte_ND

Combinazione Rara: $\sigma_{ca}[\text{kg/cm}^2]=149$ $\sigma_{fa}[\text{kg/cm}^2]=3600$

X	M+	M-	Afsup	Afinf	σ_c+	σ_f+	σ_c-	σ_f-	Cb+	Cb-	Ver.	CS
cm	kg*m	kg*m	cmq	cmq	kg/cmq	kg/cmq	kg/cmq	kg/cmq				
0.0	--	1759	6.16	6.16	--	--	-12	556	22	18	Si	6.5
37.2	--	946	6.16	6.16	--	--	-7	299	22	18	Si	12
186.2	604	--	6.16	6.16	-4	191	--	--	22	18	Si	19
335.2	--	862	6.16	6.16	--	--	-6	273	22	18	Si	13
372.5	--	1654	6.16	6.16	--	--	-12	523	22	18	Si	6.9

Combinazione QP: $\sigma_{ca}[\text{kg/cm}^2]=112$ $\sigma_{fa}[\text{kg/cm}^2]=3600$

X	M+	M-	Afsup	Afinf	σ_c+	σ_f+	σ_c-	σ_f-	Cb+	Cb-	Ver.	CS
cm	kg*m	kg*m	cmq	cmq	kg/cmq	kg/cmq	kg/cmq	kg/cmq				
0.0	--	1310	6.16	6.16	--	--	-9	414	48	48	Si	8.7
37.2	--	617	6.16	6.16	--	--	-4	195	48	48	Si	18
186.2	604	--	6.16	6.16	-4	191	--	--	48	48	Si	19
335.2	--	658	6.16	6.16	--	--	-5	208	48	48	Si	17
372.5	--	1361	6.16	6.16	--	--	-10	430	48	48	Si	8.4

Verifica aperture fessure: $W_{amm_Freq}[\text{mm}]=0.400$ $W_{amm_Qp}[\text{mm}]=0.300$

X	M	Act	Aft	pAft	$S_{r,max}$	σ_{fmed}	Wd	Wk	Cb	Ver.	Cs
cm	kg*m	mq	cmq	cm	cm	kg/cmq	mm	mm			
0.0	1310	0.0	6.16	17.59	20.4	414	0.024	0.024	32(Fr)	Si	17
0.0	1310	0.0	6.16	17.59	20.4	414	0.024	0.024	48(Qp)	Si	12
37.2	617	0.0	6.16	17.59	20.4	195	0.011	0.011	48(Qp)	Si	26
37.2	617	0.0	6.16	17.59	20.4	195	0.011	0.011	32(Fr)	Si	35
186.2	-604	0.0	6.16	17.59	20.4	191	0.011	0.011	48(Qp)	Si	27
186.2	-604	0.0	6.16	17.59	20.4	191	0.011	0.011	32(Fr)	Si	36
335.2	658	0.0	6.16	17.59	20.4	208	0.012	0.012	48(Qp)	Si	25
335.2	658	0.0	6.16	17.59	20.4	208	0.012	0.012	32(Fr)	Si	33
372.5	1361	0.0	6.16	17.59	20.4	430	0.025	0.025	48(Qp)	Si	12
372.5	1361	0.0	6.16	17.59	20.4	430	0.025	0.025	32(Fr)	Si	16

Trave: 111 [226,0], Pilastrate [26,--] Sez. R: By=30.0 cm Bz=60.0 cm L=68.5 cm Ln=68.5 cm Criterio: CLS_TraviAlte_ND

Combinazione Rara: $\sigma_{ca}[\text{kg/cm}^2]=149$ $\sigma_{fa}[\text{kg/cm}^2]=3600$

X	M+	M-	Afsup	Afinf	σ_{c+}	σ_{f+}	σ_{c-}	σ_{f-}	Cb+	Cb-	Ver.	CS
cm	kg*m	kg*m	cmq	cmq	kg/cmq	kg/cmq	kg/cmq	kg/cmq				
0.0	--	1043	6.16	6.16	--	--	-7	330	22	18	Si	11
6.8	--	928	6.16	6.16	--	--	-7	293	22	18	Si	12
34.2	--	488	6.16	6.16	--	--	-3	154	22	18	Si	23
61.6	--	82	6.16	6.16	--	--	-1	26	22	18	Si	>100
68.5	14	6	6.16	6.16	-0	4	-0	2	18	22	Si	>100

Combinazione QP: $\sigma_{ca}[\text{kg/cm}^2]=112$ $\sigma_{fa}[\text{kg/cm}^2]=3600$

X	M+	M-	Afsup	Afinf	σ_{c+}	σ_{f+}	σ_{c-}	σ_{f-}	Cb+	Cb-	Ver.	CS
cm	kg*m	kg*m	cmq	cmq	kg/cmq	kg/cmq	kg/cmq	kg/cmq				
0.0	--	773	6.16	6.16	--	--	-5	245	48	48	Si	15
6.8	--	687	6.16	6.16	--	--	-5	217	48	48	Si	17
34.2	--	363	6.16	6.16	--	--	-3	115	48	48	Si	31
61.6	--	73	6.16	6.16	--	--	-1	23	48	48	Si	>100
68.5	--	6	6.16	6.16	--	--	-0	2	48	48	Si	>100

Verifica aperture fessure: Wamm_Freq[mm]=0.400 Wamm_Qp[mm]=0.300

X	M	Act	Aft	pAft	$S_{r,max}$	σ_{fmed}	Wd	Wk	Cb	Ver.	Cs
cm	kg*m	mq	cmq	cm	cm	kg/cmq	mm	mm			
0.0	773	0.0	6.16	17.59	20.4	245	0.014	0.014	32(Fr)	Si	28
0.0	773	0.0	6.16	17.59	20.4	245	0.014	0.014	48(Qp)	Si	21
6.8	687	0.0	6.16	17.59	20.4	217	0.013	0.013	48(Qp)	Si	24
6.8	687	0.0	6.16	17.59	20.4	217	0.013	0.013	32(Fr)	Si	32
34.2	363	0.0	6.16	17.59	20.4	115	0.007	0.007	48(Qp)	Si	45
34.2	363	0.0	6.16	17.59	20.4	115	0.007	0.007	32(Fr)	Si	60
61.6	73	0.0	6.16	17.59	20.4	23	0.001	0.001	48(Qp)	Si	>100
61.6	73	0.0	6.16	17.59	20.4	23	0.001	0.001	32(Fr)	Si	>100
68.5	6	0.0	6.16	17.59	20.4	2	0.000	0.000	48(Qp)	Si	>100
68.5	6	0.0	6.16	17.59	20.4	2	0.000	0.000	32(Fr)	Si	>100

Trave: 111 [229,0], Pilastrate [29,--] Sez. R: By=30.0 cm Bz=60.0 cm L=51.8 cm Ln=51.8 cm L2=51.8 cm L3=51.8 cm Criterio: CLS_TraviAlte_ND

Verifica snellezza: fcd=141 [kg/cmq] - **Verificato**

Cb	N	fcd*Ac	v	λ_{max}	λ_{lim}
	kg	kg			
18	274	253980	0.001	5.984	761.172

Combinazione Rara: $\sigma_{ca}[\text{kg/cm}^2]=149$ $\sigma_{fa}[\text{kg/cm}^2]=3600$

X	M+	M-	Afsup	Afinf	σ_{c+}	σ_{f+}	σ_{c-}	σ_{f-}	Cb+	Cb-	Ver.	CS
cm	kg*m	kg*m	cmq	cmq	kg/cmq	kg/cmq	kg/cmq	kg/cmq				
0.0	--	849	6.16	6.16	--	--	-6	269	22	18	Si	13
5.2	--	744	6.16	6.16	--	--	-5	235	22	18	Si	15
25.9	--	335	6.16	6.16	--	--	-2	106	22	18	Si	34
46.6	125	--	6.16	6.16	-1	40	--	--	22	18	Si	91
51.8	188	--	6.16	6.16	-1	59	--	--	22	18	Si	61

Combinazione QP: $\sigma_{ca}[\text{kg/cm}^2]=112$ $\sigma_{fa}[\text{kg/cm}^2]=3600$

X	M+	M-	Afsup	Afinf	σ_{c+}	σ_{f+}	σ_{c-}	σ_{f-}	Cb+	Cb-	Ver.	CS
cm	kg*m	kg*m	cmq	cmq	kg/cmq	kg/cmq	kg/cmq	kg/cmq				
0.0	--	568	6.16	6.16	--	--	-4	180	48	48	Si	20
5.2	--	484	6.16	6.16	--	--	-3	153	48	48	Si	24
25.9	--	160	6.16	6.16	--	--	-1	51	48	48	Si	71
46.6	125	--	6.16	6.16	-1	40	--	--	48	48	Si	91
51.8	188	--	6.16	6.16	-1	59	--	--	48	48	Si	61

Verifica aperture fessure: Wamm_Freq[mm]=0.400 Wamm_Qp[mm]=0.300

X	M	Act	Aft	pAft	$S_{r,max}$	σ_{fmed}	Wd	Wk	Cb	Ver.	Cs
---	---	-----	-----	------	-------------	-----------------	----	----	----	------	----

X	M	Act	Aft	pAft	S _{r,max}	σfmed	Wd	Wk	Cb	Ver.	Cs
cm	kg*m	mq	cmq	cm	cm	kg/cmq	mm	mm			
0.0	568	0.0	6.16	17.59	20.4	180	0.010	0.010	32(Fr)	Si	38
0.0	568	0.0	6.16	17.59	20.4	180	0.010	0.010	48(Qp)	Si	29
5.2	484	0.0	6.16	17.59	20.4	153	0.009	0.009	48(Qp)	Si	34
5.2	484	0.0	6.16	17.59	20.4	153	0.009	0.009	32(Fr)	Si	45
25.9	160	0.0	6.16	17.59	20.4	51	0.003	0.003	48(Qp)	Si	>100
25.9	160	0.0	6.16	17.59	20.4	51	0.003	0.003	32(Fr)	Si	>100
46.6	-125	0.0	6.16	17.59	20.4	40	0.002	0.002	48(Qp)	Si	>100
46.6	-125	0.0	6.16	17.59	20.4	40	0.002	0.002	32(Fr)	Si	>100
51.8	-188	0.0	6.16	17.59	20.4	59	0.003	0.003	48(Qp)	Si	87
51.8	-188	0.0	6.16	17.59	20.4	59	0.003	0.003	32(Fr)	Si	>100

Trave: 111 [0,0], Pilastrate [--,--] Sez. R: By=30.0 cm Bz=60.0 cm L=68.5 cm Ln=68.5 cm Criterio: CLS_TraviAlte_ND

Combinazione Rara: σ_{ca} [kg/cmq]=149 σ_{fa} [kg/cmq]=3600

X	M+	M-	Afsup	Afinf	σC+	σf+	σC-	σf-	Cb+	Cb-	Ver.	CS
cm	kg*m	kg*m	cmq	cmq	kg/cmq	kg/cmq	kg/cmq	kg/cmq				
0.0	14	6	6.16	6.16	-0	4	-0	2	18	22	Si	>100
6.8	88	--	6.16	6.16	-1	28	--	--	18	22	Si	>100
34.2	364	--	6.16	6.16	-3	115	--	--	18	22	Si	31
61.6	607	--	6.16	6.16	-4	192	--	--	18	22	Si	19
68.5	662	--	6.16	6.16	-5	209	--	--	18	22	Si	17

Combinazione QP: σ_{ca} [kg/cmq]=112 σ_{fa} [kg/cmq]=3600

X	M+	M-	Afsup	Afinf	σC+	σf+	σC-	σf-	Cb+	Cb-	Ver.	CS
cm	kg*m	kg*m	cmq	cmq	kg/cmq	kg/cmq	kg/cmq	kg/cmq				
0.0	--	6	6.16	6.16	--	--	-0	2	48	48	Si	>100
6.8	50	--	6.16	6.16	-0	16	--	--	48	48	Si	>100
34.2	255	--	6.16	6.16	-2	81	--	--	48	48	Si	45
61.6	426	--	6.16	6.16	-3	135	--	--	48	48	Si	27
68.5	463	--	6.16	6.16	-3	146	--	--	48	48	Si	25

Verifica aperture fessure: Wamm_Freq[mm]=0.400 Wamm_Qp[mm]=0.300

X	M	Act	Aft	pAft	S _{r,max}	σfmed	Wd	Wk	Cb	Ver.	Cs
cm	kg*m	mq	cmq	cm	cm	kg/cmq	mm	mm			
0.0	6	0.0	6.16	17.59	20.4	2	0.000	0.000	32(Fr)	Si	>100
0.0	6	0.0	6.16	17.59	20.4	2	0.000	0.000	48(Qp)	Si	>100
6.8	-50	0.0	6.16	17.59	20.4	16	0.001	0.001	48(Qp)	Si	>100
6.8	-50	0.0	6.16	17.59	20.4	16	0.001	0.001	32(Fr)	Si	>100
34.2	-255	0.0	6.16	17.59	20.4	81	0.005	0.005	48(Qp)	Si	64
34.2	-255	0.0	6.16	17.59	20.4	81	0.005	0.005	32(Fr)	Si	85
61.6	-426	0.0	6.16	17.59	20.4	135	0.008	0.008	48(Qp)	Si	38
61.6	-426	0.0	6.16	17.59	20.4	135	0.008	0.008	32(Fr)	Si	51
68.5	-463	0.0	6.16	17.59	20.4	146	0.009	0.009	48(Qp)	Si	35
68.5	-463	0.0	6.16	17.59	20.4	146	0.009	0.009	32(Fr)	Si	47

Trave: 111 [0,0], Pilastrate [--,--] Sez. R: By=30.0 cm Bz=60.0 cm L=68.5 cm Ln=68.5 cm Criterio: CLS_TraviAlte_ND

Combinazione Rara: σ_{ca} [kg/cmq]=149 σ_{fa} [kg/cmq]=3600

X	M+	M-	Afsup	Afinf	σC+	σf+	σC-	σf-	Cb+	Cb-	Ver.	CS
cm	kg*m	kg*m	cmq	cmq	kg/cmq	kg/cmq	kg/cmq	kg/cmq				
0.0	663	--	6.16	6.16	-5	210	--	--	18	22	Si	17
6.8	699	--	6.16	6.16	-5	221	--	--	18	22	Si	16
34.2	820	--	6.16	6.16	-6	259	--	--	18	22	Si	14
61.6	908	--	6.16	6.16	-6	287	--	--	18	22	Si	13
68.5	925	--	6.16	6.16	-7	293	--	--	18	22	Si	12

Combinazione QP: σ_{ca} [kg/cmq]=112 σ_{fa} [kg/cmq]=3600

X	M+	M-	Afsup	Afinf	σC+	σf+	σC-	σf-	Cb+	Cb-	Ver.	CS
---	----	----	-------	-------	-----	-----	-----	-----	-----	-----	------	----

X	M+	M-	Afsup	Afinf	σ_{C+}	σ_{f+}	σ_{C-}	σ_{f-}	Cb+	Cb-	Ver.	CS
cm	kg*m	kg*m	cmq	cmq	kg/cmq	kg/cmq	kg/cmq	kg/cmq				
0.0	463	--	6.16	6.16	-3	146	--	--	48	48	Si	25
6.8	491	--	6.16	6.16	-3	155	--	--	48	48	Si	23
34.2	584	--	6.16	6.16	-4	185	--	--	48	48	Si	19
61.6	643	--	6.16	6.16	-5	203	--	--	48	48	Si	18
68.5	652	--	6.16	6.16	-5	206	--	--	48	48	Si	17

Verifica aperture fessure: Wamm_Freq[mm]=0.400 Wamm_Qp[mm]=0.300

X	M	Act	Aft	pAft	$S_{r,max}$	σ_{fmed}	Wd	Wk	Cb	Ver.	Cs
cm	kg*m	mq	cmq	cm	cm	kg/cmq	mm	mm			
0.0	-463	0.0	6.16	17.59	20.4	146	0.009	0.009	32(Fr)	Si	47
0.0	-463	0.0	6.16	17.59	20.4	146	0.009	0.009	48(Qp)	Si	35
6.8	-491	0.0	6.16	17.59	20.4	155	0.009	0.009	48(Qp)	Si	33
6.8	-491	0.0	6.16	17.59	20.4	155	0.009	0.009	32(Fr)	Si	44
34.2	-584	0.0	6.16	17.59	20.4	185	0.011	0.011	48(Qp)	Si	28
34.2	-584	0.0	6.16	17.59	20.4	185	0.011	0.011	32(Fr)	Si	37
61.6	-643	0.0	6.16	17.59	20.4	203	0.012	0.012	48(Qp)	Si	25
61.6	-643	0.0	6.16	17.59	20.4	203	0.012	0.012	32(Fr)	Si	34
68.5	-652	0.0	6.16	17.59	20.4	206	0.012	0.012	48(Qp)	Si	25
68.5	-652	0.0	6.16	17.59	20.4	206	0.012	0.012	32(Fr)	Si	33

Trave: 111 [0,0], Pilastrate [--,--] Sez. R: By=30.0 cm Bz=60.0 cm L=68.5 cm Ln=68.5 cm Criterio: CLS_TraviAlte_ND

Combinazione Rara: σ_{ca} [kg/cmq]=149 σ_{fa} [kg/cmq]=3600

X	M+	M-	Afsup	Afinf	σ_{C+}	σ_{f+}	σ_{C-}	σ_{f-}	Cb+	Cb-	Ver.	CS
cm	kg*m	kg*m	cmq	cmq	kg/cmq	kg/cmq	kg/cmq	kg/cmq				
0.0	925	--	6.16	6.16	-7	293	--	--	18	22	Si	12
6.8	926	--	6.16	6.16	-7	293	--	--	18	22	Si	12
34.2	909	--	6.16	6.16	-6	287	--	--	18	22	Si	13
61.6	858	--	6.16	6.16	-6	271	--	--	18	22	Si	13
68.5	840	--	6.16	6.16	-6	266	--	--	18	22	Si	14

Combinazione QP: σ_{ca} [kg/cmq]=112 σ_{fa} [kg/cmq]=3600

X	M+	M-	Afsup	Afinf	σ_{C+}	σ_{f+}	σ_{C-}	σ_{f-}	Cb+	Cb-	Ver.	CS
cm	kg*m	kg*m	cmq	cmq	kg/cmq	kg/cmq	kg/cmq	kg/cmq				
0.0	652	--	6.16	6.16	-5	206	--	--	48	48	Si	17
6.8	655	--	6.16	6.16	-5	207	--	--	48	48	Si	17
34.2	643	--	6.16	6.16	-5	203	--	--	48	48	Si	18
61.6	597	--	6.16	6.16	-4	189	--	--	48	48	Si	19
68.5	580	--	6.16	6.16	-4	183	--	--	48	48	Si	20

Verifica aperture fessure: Wamm_Freq[mm]=0.400 Wamm_Qp[mm]=0.300

X	M	Act	Aft	pAft	$S_{r,max}$	σ_{fmed}	Wd	Wk	Cb	Ver.	Cs
cm	kg*m	mq	cmq	cm	cm	kg/cmq	mm	mm			
0.0	-652	0.0	6.16	17.59	20.4	206	0.012	0.012	32(Fr)	Si	33
0.0	-652	0.0	6.16	17.59	20.4	206	0.012	0.012	48(Qp)	Si	25
6.8	-655	0.0	6.16	17.59	20.4	207	0.012	0.012	48(Qp)	Si	25
6.8	-655	0.0	6.16	17.59	20.4	207	0.012	0.012	32(Fr)	Si	33
34.2	-643	0.0	6.16	17.59	20.4	203	0.012	0.012	48(Qp)	Si	25
34.2	-643	0.0	6.16	17.59	20.4	203	0.012	0.012	32(Fr)	Si	34
61.6	-597	0.0	6.16	17.59	20.4	189	0.011	0.011	48(Qp)	Si	27
61.6	-597	0.0	6.16	17.59	20.4	189	0.011	0.011	32(Fr)	Si	36
68.5	-580	0.0	6.16	17.59	20.4	183	0.011	0.011	48(Qp)	Si	28
68.5	-580	0.0	6.16	17.59	20.4	183	0.011	0.011	32(Fr)	Si	37

Trave: 111 [0,0], Pilastrate [--,--] Sez. R: By=30.0 cm Bz=60.0 cm L=68.5 cm Ln=68.5 cm Criterio: CLS_TraviAlte_ND

Combinazione Rara: σ_{ca} [kg/cmq]=149 σ_{fa} [kg/cmq]=3600

X	M+	M-	Afsup	Afinf	σ_{C+}	σ_{f+}	σ_{C-}	σ_{f-}	Cb+	Cb-	Ver.	CS
---	----	----	-------	-------	---------------	---------------	---------------	---------------	-----	-----	------	----

X	M+	M-	Afsup	Afinf	σ_c+	σ_f+	σ_c-	σ_f-	Cb+	Cb-	Ver.	CS
cm	kg*m	kg*m	cmq	cmq	kg/cmq	kg/cmq	kg/cmq	kg/cmq				
0.0	840	--	6.16	6.16	-6	265	--	--	18	22	Si	14
6.8	803	--	6.16	6.16	-6	254	--	--	18	22	Si	14
34.2	634	--	6.16	6.16	-4	200	--	--	18	22	Si	18
61.6	431	--	6.16	6.16	-3	136	--	--	18	22	Si	26
68.5	376	--	6.16	6.16	-3	119	--	--	18	22	Si	30

Combinazione QP: σ_{ca} [kg/cmq]=112 σ_{fa} [kg/cmq]=3600

X	M+	M-	Afsup	Afinf	σ_c+	σ_f+	σ_c-	σ_f-	Cb+	Cb-	Ver.	CS
cm	kg*m	kg*m	cmq	cmq	kg/cmq	kg/cmq	kg/cmq	kg/cmq				
0.0	580	--	6.16	6.16	-4	183	--	--	48	48	Si	20
6.8	555	--	6.16	6.16	-4	175	--	--	48	48	Si	21
34.2	433	--	6.16	6.16	-3	137	--	--	48	48	Si	26
61.6	277	--	6.16	6.16	-2	88	--	--	48	48	Si	41
68.5	233	--	6.16	6.16	-2	74	--	--	48	48	Si	49

Verifica aperture fessure: Wamm_Freq[mm]=0.400 Wamm_Qp[mm]=0.300

X	M	Act	Aft	pAft	$S_{r,max}$	σ_{fmed}	Wd	Wk	Cb	Ver.	Cs
cm	kg*m	mq	cmq	cm	cm	kg/cmq	mm	mm			
0.0	-580	0.0	6.16	17.59	20.4	183	0.011	0.011	32(Fr)	Si	37
0.0	-580	0.0	6.16	17.59	20.4	183	0.011	0.011	48(Qp)	Si	28
6.8	-555	0.0	6.16	17.59	20.4	175	0.010	0.010	48(Qp)	Si	29
6.8	-555	0.0	6.16	17.59	20.4	175	0.010	0.010	32(Fr)	Si	39
34.2	-433	0.0	6.16	17.59	20.4	137	0.008	0.008	48(Qp)	Si	38
34.2	-433	0.0	6.16	17.59	20.4	137	0.008	0.008	32(Fr)	Si	50
61.6	-277	0.0	6.16	17.59	20.4	88	0.005	0.005	48(Qp)	Si	59
61.6	-277	0.0	6.16	17.59	20.4	88	0.005	0.005	32(Fr)	Si	78
68.5	-233	0.0	6.16	17.59	20.4	74	0.004	0.004	48(Qp)	Si	70
68.5	-233	0.0	6.16	17.59	20.4	74	0.004	0.004	32(Fr)	Si	93

Trave: 111 [0,0], Pilastrate [--,--] Sez. R: By=30.0 cm Bz=60.0 cm L=68.5 cm Ln=68.5 cm Criterio: CLS_TraviAlte_ND

Combinazione Rara: σ_{ca} [kg/cmq]=149 σ_{fa} [kg/cmq]=3600

X	M+	M-	Afsup	Afinf	σ_c+	σ_f+	σ_c-	σ_f-	Cb+	Cb-	Ver.	CS
cm	kg*m	kg*m	cmq	cmq	kg/cmq	kg/cmq	kg/cmq	kg/cmq				
0.0	375	--	6.16	6.16	-3	118	--	--	18	22	Si	30
6.8	300	--	6.16	6.16	-2	95	--	--	18	22	Si	38
34.2	--	53	6.16	6.16	--	--	-0	17	18	22	Si	>100
61.6	--	377	6.16	6.16	--	--	-3	119	22	18	Si	30
68.5	--	472	6.16	6.16	--	--	-3	149	22	18	Si	24

Combinazione QP: σ_{ca} [kg/cmq]=112 σ_{fa} [kg/cmq]=3600

X	M+	M-	Afsup	Afinf	σ_c+	σ_f+	σ_c-	σ_f-	Cb+	Cb-	Ver.	CS
cm	kg*m	kg*m	cmq	cmq	kg/cmq	kg/cmq	kg/cmq	kg/cmq				
0.0	233	--	6.16	6.16	-2	74	--	--	48	48	Si	49
6.8	180	--	6.16	6.16	-1	57	--	--	48	48	Si	63
34.2	--	53	6.16	6.16	--	--	-0	17	48	48	Si	>100
61.6	--	320	6.16	6.16	--	--	-2	101	48	48	Si	36
68.5	--	392	6.16	6.16	--	--	-3	124	48	48	Si	29

Verifica aperture fessure: Wamm_Freq[mm]=0.400 Wamm_Qp[mm]=0.300

X	M	Act	Aft	pAft	$S_{r,max}$	σ_{fmed}	Wd	Wk	Cb	Ver.	Cs
cm	kg*m	mq	cmq	cm	cm	kg/cmq	mm	mm			
0.0	-233	0.0	6.16	17.59	20.4	74	0.004	0.004	32(Fr)	Si	93
0.0	-233	0.0	6.16	17.59	20.4	74	0.004	0.004	48(Qp)	Si	70
6.8	-180	0.0	6.16	17.59	20.4	57	0.003	0.003	48(Qp)	Si	91
6.8	-180	0.0	6.16	17.59	20.4	57	0.003	0.003	32(Fr)	Si	>100
34.2	53	0.0	6.16	17.59	20.4	17	0.001	0.001	48(Qp)	Si	>100
34.2	53	0.0	6.16	17.59	20.4	17	0.001	0.001	32(Fr)	Si	>100
61.6	320	0.0	6.16	17.59	20.4	101	0.006	0.006	48(Qp)	Si	51

X	M	Act	Aft	pAft	S _{r,max}	σ _{fmed}	Wd	Wk	Cb	Ver.	Cs
61.6	320	0.0	6.16	17.59	20.4	101	0.006	0.006	32(Fr)	Si	68
68.5	392	0.0	6.16	17.59	20.4	124	0.007	0.007	48(Qp)	Si	42
68.5	392	0.0	6.16	17.59	20.4	124	0.007	0.007	32(Fr)	Si	55

Trave: 111 [0,229], Pilastrate [--,29] Sez. R: By=30.0 cm Bz=60.0 cm L=68.5 cm Ln=68.5 cm Criterio: CLS_TraviAlte_ND

Combinazione Rara: σ_{ca}[kg/cmq]=149 σ_{fa}[kg/cmq]=3600

X	M+	M-	Afsup	Afinf	σ _{C+}	σ _{f+}	σ _{C-}	σ _{f-}	Cb+	Cb-	Ver.	CS
cm	kg*m	kg*m	cmq	cmq	kg/cmq	kg/cmq	kg/cmq	kg/cmq				
0.0	--	473	6.16	6.16	--	--	-3	149	22	18	Si	24
6.8	--	587	6.16	6.16	--	--	-4	186	22	18	Si	19
34.2	--	1067	6.16	6.16	--	--	-8	337	22	18	Si	11
61.6	--	1580	6.16	6.16	--	--	-11	500	22	18	Si	7.2
68.5	--	1713	6.16	6.16	--	--	-12	542	22	18	Si	6.6

Combinazione QP: σ_{ca}[kg/cmq]=112 σ_{fa}[kg/cmq]=3600

X	M+	M-	Afsup	Afinf	σ _{C+}	σ _{f+}	σ _{C-}	σ _{f-}	Cb+	Cb-	Ver.	CS
cm	kg*m	kg*m	cmq	cmq	kg/cmq	kg/cmq	kg/cmq	kg/cmq				
0.0	--	393	6.16	6.16	--	--	-3	124	48	48	Si	29
6.8	--	474	6.16	6.16	--	--	-3	150	48	48	Si	24
34.2	--	823	6.16	6.16	--	--	-6	260	48	48	Si	14
61.6	--	1206	6.16	6.16	--	--	-9	381	48	48	Si	9.4
68.5	--	1307	6.16	6.16	--	--	-9	413	48	48	Si	8.7

Verifica aperture fessure: Wamm_Freq[mm]=0.400 Wamm_Qp[mm]=0.300

X	M	Act	Aft	pAft	S _{r,max}	σ _{fmed}	Wd	Wk	Cb	Ver.	Cs
cm	kg*m	mq	cmq	cm	cm	kg/cmq	mm	mm			
0.0	393	0.0	6.16	17.59	20.4	124	0.007	0.007	32(Fr)	Si	55
0.0	393	0.0	6.16	17.59	20.4	124	0.007	0.007	48(Qp)	Si	41
6.8	474	0.0	6.16	17.59	20.4	150	0.009	0.009	48(Qp)	Si	34
6.8	474	0.0	6.16	17.59	20.4	150	0.009	0.009	32(Fr)	Si	46
34.2	823	0.0	6.16	17.59	20.4	260	0.015	0.015	48(Qp)	Si	20
34.2	823	0.0	6.16	17.59	20.4	260	0.015	0.015	32(Fr)	Si	26
61.6	1206	0.0	6.16	17.59	20.4	381	0.022	0.022	48(Qp)	Si	14
61.6	1206	0.0	6.16	17.59	20.4	381	0.022	0.022	32(Fr)	Si	18
68.5	1307	0.0	6.16	17.59	20.4	413	0.024	0.024	48(Qp)	Si	12
68.5	1307	0.0	6.16	17.59	20.4	413	0.024	0.024	32(Fr)	Si	17

Trave: 111 [0,0], Pilastrate [--,--] Sez. R: By=30.0 cm Bz=60.0 cm L=51.8 cm Ln=51.8 cm L2=51.8 cm L3=51.8 cm Criterio: CLS_TraviAlte_ND

Verifica snellezza: fcd=141 [kg/cmq] - **Verificato**

Cb	N	fcd*Ac	v	λ _{max}	λ _{lim}
	kg	kg			
18	286	253980	0.001	5.984	745.152

Combinazione Rara: σ_{ca}[kg/cmq]=149 σ_{fa}[kg/cmq]=3600

X	M+	M-	Afsup	Afinf	σ _{C+}	σ _{f+}	σ _{C-}	σ _{f-}	Cb+	Cb-	Ver.	CS
cm	kg*m	kg*m	cmq	cmq	kg/cmq	kg/cmq	kg/cmq	kg/cmq				
0.0	197	--	6.16	6.16	-1	62	--	--	22	18	Si	58
5.2	250	--	6.16	6.16	-2	79	--	--	22	18	Si	46
25.9	430	--	6.16	6.16	-3	136	--	--	22	18	Si	26
46.6	568	--	6.16	6.16	-4	180	--	--	18	22	Si	20
51.8	598	--	6.16	6.16	-4	189	--	--	18	22	Si	19

Combinazione QP: σ_{ca}[kg/cmq]=112 σ_{fa}[kg/cmq]=3600

X	M+	M-	Afsup	Afinf	σ _{C+}	σ _{f+}	σ _{C-}	σ _{f-}	Cb+	Cb-	Ver.	CS
cm	kg*m	kg*m	cmq	cmq	kg/cmq	kg/cmq	kg/cmq	kg/cmq				
0.0	197	--	6.16	6.16	-1	62	--	--	48	48	Si	58
5.2	250	--	6.16	6.16	-2	79	--	--	48	48	Si	46
25.9	430	--	6.16	6.16	-3	136	--	--	48	48	Si	26

X	M+	M-	Afsup	Afinf	$\sigma C+$	$\sigma f+$	$\sigma C-$	$\sigma f-$	Cb+	Cb-	Ver.	CS
46.6	554	--	6.16	6.16	-4	175	--	--	48	48	Si	21
51.8	577	--	6.16	6.16	-4	182	--	--	48	48	Si	20

Verifica aperture fessure: Wamm_Freq[mm]=0.400 Wamm_Qp[mm]=0.300

X	M	Act	Aft	pAft	$S_{r,max}$	$\sigma fmed$	Wd	Wk	Cb	Ver.	Cs
cm	kg*m	mq	cmq	cm	cm	kg/cmq	mm	mm			
0.0	-197	0.0	6.16	17.59	20.4	62	0.004	0.004	32(Fr)	Si	>100
0.0	-197	0.0	6.16	17.59	20.4	62	0.004	0.004	48(Qp)	Si	83
5.2	-250	0.0	6.16	17.59	20.4	79	0.005	0.005	48(Qp)	Si	65
5.2	-250	0.0	6.16	17.59	20.4	79	0.005	0.005	32(Fr)	Si	87
25.9	-430	0.0	6.16	17.59	20.4	136	0.008	0.008	48(Qp)	Si	38
25.9	-430	0.0	6.16	17.59	20.4	136	0.008	0.008	32(Fr)	Si	51
46.6	-554	0.0	6.16	17.59	20.4	175	0.010	0.010	48(Qp)	Si	29
46.6	-554	0.0	6.16	17.59	20.4	175	0.010	0.010	32(Fr)	Si	39
51.8	-577	0.0	6.16	17.59	20.4	182	0.011	0.011	48(Qp)	Si	28
51.8	-577	0.0	6.16	17.59	20.4	182	0.011	0.011	32(Fr)	Si	38

Trave: 111 [0,0], Pilastrate [--,--] Sez. R: By=30.0 cm Bz=60.0 cm L=51.8 cm Ln=51.8 cm L2=51.8 cm L3=51.8 cm Criterio: CLS_TraviAlte_ND

Verifica snellezza: fcd=141 [kg/cm²] - **Verificato**

Cb	N	fcd*Ac	v	λ_{max}	λ_{lim}
	kg	kg			
18	294	253980	0.001	5.984	734.299

Combinazione Rara: σca [kg/cm²]=149 σfa [kg/cm²]=3600

X	M+	M-	Afsup	Afinf	$\sigma C+$	$\sigma f+$	$\sigma C-$	$\sigma f-$	Cb+	Cb-	Ver.	CS
cm	kg*m	kg*m	cmq	cmq	kg/cmq	kg/cmq	kg/cmq	kg/cmq				
0.0	615	--	6.16	6.16	-4	194	--	--	18	22	Si	19
5.2	628	--	6.16	6.16	-4	199	--	--	18	22	Si	18
25.9	644	--	6.16	6.16	-5	204	--	--	18	22	Si	18
46.6	599	--	6.16	6.16	-4	189	--	--	18	22	Si	19
51.8	582	--	6.16	6.16	-4	184	--	--	22	18	Si	20

Combinazione QP: σca [kg/cm²]=112 σfa [kg/cm²]=3600

X	M+	M-	Afsup	Afinf	$\sigma C+$	$\sigma f+$	$\sigma C-$	$\sigma f-$	Cb+	Cb-	Ver.	CS
cm	kg*m	kg*m	cmq	cmq	kg/cmq	kg/cmq	kg/cmq	kg/cmq				
0.0	588	--	6.16	6.16	-4	186	--	--	48	48	Si	19
5.2	602	--	6.16	6.16	-4	190	--	--	48	48	Si	19
25.9	626	--	6.16	6.16	-4	198	--	--	48	48	Si	18
46.6	597	--	6.16	6.16	-4	189	--	--	48	48	Si	19
51.8	582	--	6.16	6.16	-4	184	--	--	48	48	Si	20

Verifica aperture fessure: Wamm_Freq[mm]=0.400 Wamm_Qp[mm]=0.300

X	M	Act	Aft	pAft	$S_{r,max}$	$\sigma fmed$	Wd	Wk	Cb	Ver.	Cs
cm	kg*m	mq	cmq	cm	cm	kg/cmq	mm	mm			
0.0	-588	0.0	6.16	17.59	20.4	186	0.011	0.011	32(Fr)	Si	37
0.0	-588	0.0	6.16	17.59	20.4	186	0.011	0.011	48(Qp)	Si	28
5.2	-602	0.0	6.16	17.59	20.4	190	0.011	0.011	48(Qp)	Si	27
5.2	-602	0.0	6.16	17.59	20.4	190	0.011	0.011	32(Fr)	Si	36
25.9	-626	0.0	6.16	17.59	20.4	198	0.012	0.012	48(Qp)	Si	26
25.9	-626	0.0	6.16	17.59	20.4	198	0.012	0.012	32(Fr)	Si	35
46.6	-597	0.0	6.16	17.59	20.4	189	0.011	0.011	48(Qp)	Si	27
46.6	-597	0.0	6.16	17.59	20.4	189	0.011	0.011	32(Fr)	Si	36
51.8	-582	0.0	6.16	17.59	20.4	184	0.011	0.011	48(Qp)	Si	28
51.8	-582	0.0	6.16	17.59	20.4	184	0.011	0.011	32(Fr)	Si	37

Trave: 111 [0,0], Pilastrate [--,--] Sez. R: By=30.0 cm Bz=60.0 cm L=51.8 cm Ln=51.8 cm L2=51.8 cm L3=51.8 cm Criterio: CLS_TraviAlte_ND

Verifica snellezza: fcd=141 [kg/cm²] - **Verificato**

Cb	N	fcd*Ac	v	λ_{max}	λ_{lim}
	kg	kg			

Cb	N	fcd*Ac	v	λ_{max}	λ_{lim}
18	282	253980	0.001	5.984	750.711

Combinazione Rara: $\sigma_{ca}[\text{kg/cm}^2]=149$ $\sigma_{fa}[\text{kg/cm}^2]=3600$

X	M+	M-	Afsup	Afinf	σ_{C+}	σ_{f+}	σ_{C-}	σ_{f-}	Cb+	Cb-	Ver.	CS
cm	kg*m	kg*m	cmq	cmq	kg/cmq	kg/cmq	kg/cmq	kg/cmq				
0.0	622	--	6.16	6.16	-4	197	--	--	18	22	Si	18
5.2	585	--	6.16	6.16	-4	185	--	--	18	22	Si	19
25.9	455	--	6.16	6.16	-3	144	--	--	22	18	Si	25
46.6	280	--	6.16	6.16	-2	89	--	--	22	18	Si	41
51.8	229	--	6.16	6.16	-2	72	--	--	22	18	Si	50

Combinazione QP: $\sigma_{ca}[\text{kg/cm}^2]=112$ $\sigma_{fa}[\text{kg/cm}^2]=3600$

X	M+	M-	Afsup	Afinf	σ_{C+}	σ_{f+}	σ_{C-}	σ_{f-}	Cb+	Cb-	Ver.	CS
cm	kg*m	kg*m	cmq	cmq	kg/cmq	kg/cmq	kg/cmq	kg/cmq				
0.0	603	--	6.16	6.16	-4	191	--	--	48	48	Si	19
5.2	580	--	6.16	6.16	-4	183	--	--	48	48	Si	20
25.9	455	--	6.16	6.16	-3	144	--	--	48	48	Si	25
46.6	280	--	6.16	6.16	-2	89	--	--	48	48	Si	41
51.8	229	--	6.16	6.16	-2	72	--	--	48	48	Si	50

Verifica aperture fessure: $W_{amm_Freq}[\text{mm}]=0.400$ $W_{amm_Qp}[\text{mm}]=0.300$

X	M	Act	Aft	pAft	$S_{r,max}$	σ_{fmed}	Wd	Wk	Cb	Ver.	Cs
cm	kg*m	mq	cmq	cm	cm	kg/cmq	mm	mm			
0.0	-603	0.0	6.16	17.59	20.4	191	0.011	0.011	32(Fr)	Si	36
0.0	-603	0.0	6.16	17.59	20.4	191	0.011	0.011	48(Qp)	Si	27
5.2	-580	0.0	6.16	17.59	20.4	183	0.011	0.011	48(Qp)	Si	28
5.2	-580	0.0	6.16	17.59	20.4	183	0.011	0.011	32(Fr)	Si	37
25.9	-455	0.0	6.16	17.59	20.4	144	0.008	0.008	48(Qp)	Si	36
25.9	-455	0.0	6.16	17.59	20.4	144	0.008	0.008	32(Fr)	Si	48
46.6	-280	0.0	6.16	17.59	20.4	89	0.005	0.005	48(Qp)	Si	58
46.6	-280	0.0	6.16	17.59	20.4	89	0.005	0.005	32(Fr)	Si	77
51.8	-229	0.0	6.16	17.59	20.4	72	0.004	0.004	48(Qp)	Si	71
51.8	-229	0.0	6.16	17.59	20.4	72	0.004	0.004	32(Fr)	Si	95

Trave: 111 [0,233], Pilastrate [--,33] Sez. R: By=30.0 cm Bz=60.0 cm L=51.8 cm Ln=51.8 cm Criterio: CLS_TraviAlte_ND

Combinazione Rara: $\sigma_{ca}[\text{kg/cm}^2]=149$ $\sigma_{fa}[\text{kg/cm}^2]=3600$

X	M+	M-	Afsup	Afinf	σ_{C+}	σ_{f+}	σ_{C-}	σ_{f-}	Cb+	Cb-	Ver.	CS
cm	kg*m	kg*m	cmq	cmq	kg/cmq	kg/cmq	kg/cmq	kg/cmq				
0.0	245	--	7.70	7.70	-2	62	--	--	22	18	Si	58
5.2	187	--	7.70	7.70	-1	47	--	--	22	18	Si	76
25.9	--	329	7.70	7.70	--	--	-2	84	22	18	Si	43
46.6	--	752	7.70	7.70	--	--	-5	191	22	18	Si	19
51.8	--	866	7.70	7.70	--	--	-5	220	22	18	Si	16

Combinazione QP: $\sigma_{ca}[\text{kg/cm}^2]=112$ $\sigma_{fa}[\text{kg/cm}^2]=3600$

X	M+	M-	Afsup	Afinf	σ_{C+}	σ_{f+}	σ_{C-}	σ_{f-}	Cb+	Cb-	Ver.	CS
cm	kg*m	kg*m	cmq	cmq	kg/cmq	kg/cmq	kg/cmq	kg/cmq				
0.0	245	--	7.70	7.70	-2	62	--	--	48	48	Si	58
5.2	187	--	7.70	7.70	-1	47	--	--	48	48	Si	76
25.9	--	79	7.70	7.70	--	--	-0	20	48	48	Si	>100
46.6	--	392	7.70	7.70	--	--	-2	100	48	48	Si	36
51.8	--	477	7.70	7.70	--	--	-3	121	48	48	Si	30

Verifica aperture fessure: $W_{amm_Freq}[\text{mm}]=0.400$ $W_{amm_Qp}[\text{mm}]=0.300$

X	M	Act	Aft	pAft	$S_{r,max}$	σ_{fmed}	Wd	Wk	Cb	Ver.	Cs
cm	kg*m	mq	cmq	cm	cm	kg/cmq	mm	mm			
0.0	-245	0.0	7.70	21.99	18.0	62	0.003	0.003	32(Fr)	Si	>100
0.0	-245	0.0	7.70	21.99	18.0	62	0.003	0.003	48(Qp)	Si	93
5.2	-187	0.0	7.70	21.99	18.0	47	0.002	0.002	48(Qp)	Si	>100

X	M	Act	Aft	pAft	$S_{r,max}$	σ_{fmed}	Wd	Wk	Cb	Ver.	Cs
5.2	-187	0.0	7.70	21.99	18.0	47	0.002	0.002	32(Fr)	Si	>100
25.9	79	0.0	7.70	21.99	18.0	20	0.001	0.001	48(Qp)	Si	>100
25.9	79	0.0	7.70	21.99	18.0	20	0.001	0.001	32(Fr)	Si	>100
46.6	392	0.0	7.70	21.99	18.0	100	0.005	0.005	48(Qp)	Si	59
46.6	392	0.0	7.70	21.99	18.0	100	0.005	0.005	32(Fr)	Si	78
51.8	477	0.0	7.70	21.99	18.0	121	0.006	0.006	48(Qp)	Si	48
51.8	477	0.0	7.70	21.99	18.0	121	0.006	0.006	32(Fr)	Si	64

Trave: 112 [238,0], Pilastrate [38,--] Sez. R: By=30.0 cm Bz=60.0 cm L=88.0 cm Ln=88.0 cm Criterio: CLS_TraviAlte_ND

Combinazione Rara: σ_{ca} [kg/cmq]=149 σ_{fa} [kg/cmq]=3600

X	M+	M-	Afsup	Afinf	σ_{C+}	σ_{f+}	σ_{C-}	σ_{f-}	Cb+	Cb-	Ver.	CS
cm	kg*m	kg*m	cmq	cmq	kg/cmq	kg/cmq	kg/cmq	kg/cmq				
0.0	--	809	6.16	6.16	--	--	-6	256	22	18	Si	14
8.8	--	672	6.16	6.16	--	--	-5	212	22	18	Si	17
44.0	--	161	6.16	6.16	--	--	-1	51	22	18	Si	71
79.2	276	--	6.16	6.16	-2	87	--	--	18	22	Si	41
88.0	374	--	6.16	6.16	-3	118	--	--	18	22	Si	30

Combinazione QP: σ_{ca} [kg/cmq]=112 σ_{fa} [kg/cmq]=3600

X	M+	M-	Afsup	Afinf	σ_{C+}	σ_{f+}	σ_{C-}	σ_{f-}	Cb+	Cb-	Ver.	CS
cm	kg*m	kg*m	cmq	cmq	kg/cmq	kg/cmq	kg/cmq	kg/cmq				
0.0	--	610	6.16	6.16	--	--	-4	193	48	48	Si	19
8.8	--	504	6.16	6.16	--	--	-4	160	48	48	Si	23
44.0	--	121	6.16	6.16	--	--	-1	38	48	48	Si	94
79.2	194	--	6.16	6.16	-1	61	--	--	48	48	Si	59
88.0	262	--	6.16	6.16	-2	83	--	--	48	48	Si	43

Verifica aperture fessure: Wamm_Freq[mm]=0.400 Wamm_Qp[mm]=0.300

X	M	Act	Aft	pAft	$S_{r,max}$	σ_{fmed}	Wd	Wk	Cb	Ver.	Cs
cm	kg*m	mq	cmq	cm	cm	kg/cmq	mm	mm			
0.0	610	0.0	6.16	17.59	20.4	193	0.011	0.011	32(Fr)	Si	36
0.0	610	0.0	6.16	17.59	20.4	193	0.011	0.011	48(Qp)	Si	27
8.8	504	0.0	6.16	17.59	20.4	160	0.009	0.009	48(Qp)	Si	32
8.8	504	0.0	6.16	17.59	20.4	160	0.009	0.009	32(Fr)	Si	43
44.0	121	0.0	6.16	17.59	20.4	38	0.002	0.002	48(Qp)	Si	>100
44.0	121	0.0	6.16	17.59	20.4	38	0.002	0.002	32(Fr)	Si	>100
79.2	-194	0.0	6.16	17.59	20.4	61	0.004	0.004	48(Qp)	Si	84
79.2	-194	0.0	6.16	17.59	20.4	61	0.004	0.004	32(Fr)	Si	>100
88.0	-262	0.0	6.16	17.59	20.4	83	0.005	0.005	48(Qp)	Si	62
88.0	-262	0.0	6.16	17.59	20.4	83	0.005	0.005	32(Fr)	Si	83

Trave: 112 [233,0], Pilastrate [33,--] Sez. R: By=30.0 cm Bz=60.0 cm L=55.6 cm Ln=55.6 cm Criterio: CLS_TraviAlte_ND

Combinazione Rara: σ_{ca} [kg/cmq]=149 σ_{fa} [kg/cmq]=3600

X	M+	M-	Afsup	Afinf	σ_{C+}	σ_{f+}	σ_{C-}	σ_{f-}	Cb+	Cb-	Ver.	CS
cm	kg*m	kg*m	cmq	cmq	kg/cmq	kg/cmq	kg/cmq	kg/cmq				
0.0	--	562	6.16	6.16	--	--	-4	178	22	18	Si	20
5.6	--	481	6.16	6.16	--	--	-3	152	22	18	Si	24
27.8	--	173	6.16	6.16	--	--	-1	55	22	18	Si	66
50.0	159	--	6.16	6.16	-1	50	--	--	22	18	Si	71
55.6	202	--	6.16	6.16	-1	64	--	--	22	18	Si	56

Combinazione QP: σ_{ca} [kg/cmq]=112 σ_{fa} [kg/cmq]=3600

X	M+	M-	Afsup	Afinf	σ_{C+}	σ_{f+}	σ_{C-}	σ_{f-}	Cb+	Cb-	Ver.	CS
cm	kg*m	kg*m	cmq	cmq	kg/cmq	kg/cmq	kg/cmq	kg/cmq				
0.0	--	294	6.16	6.16	--	--	-2	93	48	48	Si	39
5.6	--	237	6.16	6.16	--	--	-2	75	48	48	Si	48
27.8	--	25	6.16	6.16	--	--	-0	8	48	48	Si	>100

X	M+	M-	Afsup	Afinf	σ_c+	σ_f+	σ_c-	σ_f-	Cb+	Cb-	Ver.	CS
50.0	159	--	6.16	6.16	-1	50	--	--	48	48	Si	71
55.6	202	--	6.16	6.16	-1	64	--	--	48	48	Si	56

Verifica aperture fessure: Wamm_Freq[mm]=0.400 Wamm_Qp[mm]=0.300

X	M	Act	Aft	pAft	$S_{r,max}$	σ_{fmed}	Wd	Wk	Cb	Ver.	Cs
cm	kg*m	mq	cmq	cm	cm	kg/cmq	mm	mm			
0.0	294	0.0	6.16	17.59	20.4	93	0.005	0.005	32(Fr)	Si	74
0.0	294	0.0	6.16	17.59	20.4	93	0.005	0.005	48(Qp)	Si	55
5.6	237	0.0	6.16	17.59	20.4	75	0.004	0.004	48(Qp)	Si	69
5.6	237	0.0	6.16	17.59	20.4	75	0.004	0.004	32(Fr)	Si	92
27.8	25	0.0	6.16	17.59	20.4	8	0.000	0.000	48(Qp)	Si	>100
27.8	25	0.0	6.16	17.59	20.4	8	0.000	0.000	32(Fr)	Si	>100
50.0	-159	0.0	6.16	17.59	20.4	50	0.003	0.003	48(Qp)	Si	>100
50.0	-159	0.0	6.16	17.59	20.4	50	0.003	0.003	32(Fr)	Si	>100
55.6	-202	0.0	6.16	17.59	20.4	64	0.004	0.004	48(Qp)	Si	81
55.6	-202	0.0	6.16	17.59	20.4	64	0.004	0.004	32(Fr)	Si	>100

Trave: 112 [243,84], Pilastrate [43,47] Sez. R: By=50.0 cm Bz=20.0 cm L=309.9 cm Ln=309.9 cm Criterio: CLS_TraviSpessore_ND

Combinazione Rara: σ_{ca} [kg/cmq]=149 σ_{fa} [kg/cmq]=3600

X	M+	M-	Afsup	Afinf	σ_c+	σ_f+	σ_c-	σ_f-	Cb+	Cb-	Ver.	CS
cm	kg*m	kg*m	cmq	cmq	kg/cmq	kg/cmq	kg/cmq	kg/cmq				
0.0	--	908	6.16	6.16	--	--	-40	1078	22	18	Si	3.3
31.0	--	435	6.16	6.16	--	--	-19	517	22	18	Si	7.0
154.9	465	--	6.16	6.16	-20	553	--	--	18	22	Si	6.5
278.9	--	214	6.16	6.16	--	--	-9	254	22	18	Si	14
309.9	--	630	6.16	6.16	--	--	-28	749	22	18	Si	4.8

Verifica aperture fessure: Wamm_Freq[mm]=0.400 Wamm_Qp[mm]=0.300

X	M	Act	Aft	pAft	$S_{r,max}$	σ_{fmed}	Wd	Wk	Cb	Ver.	Cs
cm	kg*m	mq	cmq	cm	cm	kg/cmq	mm	mm			
0.0	767	0.0	6.16	17.59	17.7	910	0.046	0.046	32(Fr)	Si	8.7
0.0	767	0.0	6.16	17.59	17.7	910	0.046	0.046	48(Qp)	Si	6.5
31.0	366	0.0	6.16	17.59	17.7	435	0.022	0.022	48(Qp)	Si	14
31.0	366	0.0	6.16	17.59	17.7	435	0.022	0.022	32(Fr)	Si	18
154.9	-399	0.0	6.16	17.59	17.7	473	0.024	0.024	48(Qp)	Si	13
154.9	-399	0.0	6.16	17.59	17.7	473	0.024	0.024	32(Fr)	Si	17
278.9	178	0.0	6.16	17.59	17.7	211	0.011	0.011	48(Qp)	Si	28
278.9	178	0.0	6.16	17.59	17.7	211	0.011	0.011	32(Fr)	Si	37
309.9	531	0.0	6.16	17.59	17.7	631	0.032	0.032	48(Qp)	Si	9.4
309.9	531	0.0	6.16	17.59	17.7	631	0.032	0.032	32(Fr)	Si	13

Trave: 112 [238,0], Pilastrate [38,--] Sez. R: By=30.0 cm Bz=60.0 cm L=65.8 cm Ln=65.8 cm Criterio: CLS_TraviAlte_ND

Combinazione Rara: σ_{ca} [kg/cmq]=149 σ_{fa} [kg/cmq]=3600

X	M+	M-	Afsup	Afinf	σ_c+	σ_f+	σ_c-	σ_f-	Cb+	Cb-	Ver.	CS
cm	kg*m	kg*m	cmq	cmq	kg/cmq	kg/cmq	kg/cmq	kg/cmq				
0.0	--	1423	6.16	6.16	--	--	-10	450	22	18	Si	8.0
6.6	--	1322	6.16	6.16	--	--	-9	418	22	18	Si	8.6
32.9	--	941	6.16	6.16	--	--	-7	297	22	18	Si	12
59.2	--	592	6.16	6.16	--	--	-4	187	22	18	Si	19
65.8	--	510	6.16	6.16	--	--	-4	161	22	18	Si	22

Combinazione QP: σ_{ca} [kg/cmq]=112 σ_{fa} [kg/cmq]=3600

X	M+	M-	Afsup	Afinf	σ_c+	σ_f+	σ_c-	σ_f-	Cb+	Cb-	Ver.	CS
cm	kg*m	kg*m	cmq	cmq	kg/cmq	kg/cmq	kg/cmq	kg/cmq				
0.0	--	1145	6.16	6.16	--	--	-8	362	48	48	Si	9.9
6.6	--	1064	6.16	6.16	--	--	-8	337	48	48	Si	11
32.9	--	763	6.16	6.16	--	--	-5	241	48	48	Si	15

X	M+	M-	Afsup	Afinf	σ_{C+}	σ_{f+}	σ_{C-}	σ_{f-}	Cb+	Cb-	Ver.	CS
59.2	--	494	6.16	6.16	--	--	-3	156	48	48	Si	23
65.8	--	432	6.16	6.16	--	--	-3	137	48	48	Si	26

Verifica aperture fessure: Wamm_Freq[mm]=0.400 Wamm_Qp[mm]=0.300

X	M	Act	Aft	pAft	$S_{r,max}$	σ_{fmed}	Wd	Wk	Cb	Ver.	Cs
cm	kg*m	mq	cmq	cm	cm	kg/cmq	mm	mm			
0.0	1145	0.0	6.16	17.59	20.4	362	0.021	0.021	32(Fr)	Si	19
0.0	1145	0.0	6.16	17.59	20.4	362	0.021	0.021	48(Qp)	Si	14
6.6	1064	0.0	6.16	17.59	20.4	337	0.020	0.020	48(Qp)	Si	15
6.6	1064	0.0	6.16	17.59	20.4	337	0.020	0.020	32(Fr)	Si	20
32.9	763	0.0	6.16	17.59	20.4	241	0.014	0.014	48(Qp)	Si	21
32.9	763	0.0	6.16	17.59	20.4	241	0.014	0.014	32(Fr)	Si	28
59.2	494	0.0	6.16	17.59	20.4	156	0.009	0.009	48(Qp)	Si	33
59.2	494	0.0	6.16	17.59	20.4	156	0.009	0.009	32(Fr)	Si	44
65.8	432	0.0	6.16	17.59	20.4	137	0.008	0.008	48(Qp)	Si	38
65.8	432	0.0	6.16	17.59	20.4	137	0.008	0.008	32(Fr)	Si	50

Trave: 112 [0,0], Pilastrate [--,--] Sez. R: By=30.0 cm Bz=60.0 cm L=65.8 cm Ln=65.8 cm Criterio: CLS_TraviAlte_ND

Combinazione Rara: σ_{ca} [kg/cmq]=149 σ_{fa} [kg/cmq]=3600

X	M+	M-	Afsup	Afinf	σ_{C+}	σ_{f+}	σ_{C-}	σ_{f-}	Cb+	Cb-	Ver.	CS
cm	kg*m	kg*m	cmq	cmq	kg/cmq	kg/cmq	kg/cmq	kg/cmq				
0.0	--	497	6.16	6.16	--	--	-4	157	22	18	Si	23
6.6	--	433	6.16	6.16	--	--	-3	137	22	18	Si	26
32.9	--	201	6.16	6.16	--	--	-1	63	22	18	Si	57
59.2	--	27	6.16	6.16	--	--	-0	9	18	22	Si	>100
65.8	42	--	6.16	6.16	-0	13	--	--	18	22	Si	>100

Combinazione QP: σ_{ca} [kg/cmq]=112 σ_{fa} [kg/cmq]=3600

X	M+	M-	Afsup	Afinf	σ_{C+}	σ_{f+}	σ_{C-}	σ_{f-}	Cb+	Cb-	Ver.	CS
cm	kg*m	kg*m	cmq	cmq	kg/cmq	kg/cmq	kg/cmq	kg/cmq				
0.0	--	424	6.16	6.16	--	--	-3	134	48	48	Si	27
6.6	--	371	6.16	6.16	--	--	-3	117	48	48	Si	31
32.9	--	182	6.16	6.16	--	--	-1	58	48	48	Si	62
59.2	--	27	6.16	6.16	--	--	-0	9	48	48	Si	>100
65.8	6	--	6.16	6.16	-0	2	--	--	48	48	Si	>100

Verifica aperture fessure: Wamm_Freq[mm]=0.400 Wamm_Qp[mm]=0.300

X	M	Act	Aft	pAft	$S_{r,max}$	σ_{fmed}	Wd	Wk	Cb	Ver.	Cs
cm	kg*m	mq	cmq	cm	cm	kg/cmq	mm	mm			
0.0	424	0.0	6.16	17.59	20.4	134	0.008	0.008	32(Fr)	Si	51
0.0	424	0.0	6.16	17.59	20.4	134	0.008	0.008	48(Qp)	Si	38
6.6	371	0.0	6.16	17.59	20.4	117	0.007	0.007	48(Qp)	Si	44
6.6	371	0.0	6.16	17.59	20.4	117	0.007	0.007	32(Fr)	Si	58
32.9	182	0.0	6.16	17.59	20.4	58	0.003	0.003	48(Qp)	Si	89
32.9	182	0.0	6.16	17.59	20.4	58	0.003	0.003	32(Fr)	Si	>100
59.2	27	0.0	6.16	17.59	20.4	9	0.001	0.001	48(Qp)	Si	>100
59.2	27	0.0	6.16	17.59	20.4	9	0.001	0.001	32(Fr)	Si	>100
65.8	-6	0.0	6.16	17.59	20.4	2	0.000	0.000	48(Qp)	Si	>100
65.8	-6	0.0	6.16	17.59	20.4	2	0.000	0.000	32(Fr)	Si	>100

Trave: 112 [0,0], Pilastrate [--,--] Sez. R: By=30.0 cm Bz=60.0 cm L=65.8 cm Ln=65.8 cm Criterio: CLS_TraviAlte_ND

Combinazione Rara: σ_{ca} [kg/cmq]=149 σ_{fa} [kg/cmq]=3600

X	M+	M-	Afsup	Afinf	σ_{C+}	σ_{f+}	σ_{C-}	σ_{f-}	Cb+	Cb-	Ver.	CS
cm	kg*m	kg*m	cmq	cmq	kg/cmq	kg/cmq	kg/cmq	kg/cmq				
0.0	61	--	6.16	6.16	-0	19	--	--	18	22	Si	>100
6.6	87	--	6.16	6.16	-1	28	--	--	18	22	Si	>100
32.9	169	--	6.16	6.16	-1	53	--	--	18	22	Si	67

X	M+	M-	Afsup	Afinf	σ_c+	σ_f+	σ_c-	σ_f-	Cb+	Cb-	Ver.	CS
59.2	214	--	6.16	6.16	-2	68	--	--	18	22	Si	53
65.8	219	--	6.16	6.16	-2	69	--	--	18	22	Si	52

Combinazione QP: $\sigma_{ca}[\text{kg/cm}^2]=112$ $\sigma_{fa}[\text{kg/cm}^2]=3600$

X	M+	M-	Afsup	Afinf	σ_c+	σ_f+	σ_c-	σ_f-	Cb+	Cb-	Ver.	CS
cm	kg*m	kg*m	cmq	cmq	kg/cmq	kg/cmq	kg/cmq	kg/cmq				
0.0	16	--	6.16	6.16	-0	5	--	--	48	48	Si	>100
6.6	41	--	6.16	6.16	-0	13	--	--	48	48	Si	>100
32.9	118	--	6.16	6.16	-1	37	--	--	48	48	Si	96
59.2	160	--	6.16	6.16	-1	51	--	--	48	48	Si	71
65.8	165	--	6.16	6.16	-1	52	--	--	48	48	Si	69

Verifica aperture fessure: $W_{amm_Freq}[\text{mm}]=0.400$ $W_{amm_Qp}[\text{mm}]=0.300$

X	M	Act	Aft	pAft	$S_{r,max}$	σ_{fmed}	Wd	Wk	Cb	Ver.	Cs
cm	kg*m	mq	cmq	cm	cm	kg/cmq	mm	mm			
0.0	-16	0.0	6.16	17.59	20.4	5	0.000	0.000	32(Fr)	Si	>100
0.0	-16	0.0	6.16	17.59	20.4	5	0.000	0.000	48(Qp)	Si	>100
6.6	-41	0.0	6.16	17.59	20.4	13	0.001	0.001	48(Qp)	Si	>100
6.6	-41	0.0	6.16	17.59	20.4	13	0.001	0.001	32(Fr)	Si	>100
32.9	-118	0.0	6.16	17.59	20.4	37	0.002	0.002	48(Qp)	Si	>100
32.9	-118	0.0	6.16	17.59	20.4	37	0.002	0.002	32(Fr)	Si	>100
59.2	-160	0.0	6.16	17.59	20.4	51	0.003	0.003	48(Qp)	Si	>100
59.2	-160	0.0	6.16	17.59	20.4	51	0.003	0.003	32(Fr)	Si	>100
65.8	-165	0.0	6.16	17.59	20.4	52	0.003	0.003	48(Qp)	Si	98
65.8	-165	0.0	6.16	17.59	20.4	52	0.003	0.003	32(Fr)	Si	>100

Trave: 112 [0,0], Pilastrate [--,--] Sez. R: $B_y=30.0$ cm $B_z=60.0$ cm $L=65.8$ cm $L_n=65.8$ cm Criterio: CLS_TraviAlte_ND

Combinazione Rara: $\sigma_{ca}[\text{kg/cm}^2]=149$ $\sigma_{fa}[\text{kg/cm}^2]=3600$

X	M+	M-	Afsup	Afinf	σ_c+	σ_f+	σ_c-	σ_f-	Cb+	Cb-	Ver.	CS
cm	kg*m	kg*m	cmq	cmq	kg/cmq	kg/cmq	kg/cmq	kg/cmq				
0.0	249	--	6.16	6.16	-2	79	--	--	18	22	Si	46
6.6	235	--	6.16	6.16	-2	74	--	--	18	22	Si	48
32.9	157	--	6.16	6.16	-1	49	--	--	18	22	Si	73
59.2	60	--	6.16	6.16	-0	19	--	--	22	18	Si	>100
65.8	36	--	6.16	6.16	-0	11	--	--	22	18	Si	>100

Combinazione QP: $\sigma_{ca}[\text{kg/cm}^2]=112$ $\sigma_{fa}[\text{kg/cm}^2]=3600$

X	M+	M-	Afsup	Afinf	σ_c+	σ_f+	σ_c-	σ_f-	Cb+	Cb-	Ver.	CS
cm	kg*m	kg*m	cmq	cmq	kg/cmq	kg/cmq	kg/cmq	kg/cmq				
0.0	180	--	6.16	6.16	-1	57	--	--	48	48	Si	63
6.6	175	--	6.16	6.16	-1	55	--	--	48	48	Si	65
32.9	136	--	6.16	6.16	-1	43	--	--	48	48	Si	84
59.2	60	--	6.16	6.16	-0	19	--	--	48	48	Si	>100
65.8	36	--	6.16	6.16	-0	11	--	--	48	48	Si	>100

Verifica aperture fessure: $W_{amm_Freq}[\text{mm}]=0.400$ $W_{amm_Qp}[\text{mm}]=0.300$

X	M	Act	Aft	pAft	$S_{r,max}$	σ_{fmed}	Wd	Wk	Cb	Ver.	Cs
cm	kg*m	mq	cmq	cm	cm	kg/cmq	mm	mm			
0.0	-180	0.0	6.16	17.59	20.4	57	0.003	0.003	32(Fr)	Si	>100
0.0	-180	0.0	6.16	17.59	20.4	57	0.003	0.003	48(Qp)	Si	91
6.6	-175	0.0	6.16	17.59	20.4	55	0.003	0.003	48(Qp)	Si	93
6.6	-175	0.0	6.16	17.59	20.4	55	0.003	0.003	32(Fr)	Si	>100
32.9	-136	0.0	6.16	17.59	20.4	43	0.003	0.003	48(Qp)	Si	>100
32.9	-136	0.0	6.16	17.59	20.4	43	0.003	0.003	32(Fr)	Si	>100
59.2	-60	0.0	6.16	17.59	20.4	19	0.001	0.001	48(Qp)	Si	>100
59.2	-60	0.0	6.16	17.59	20.4	19	0.001	0.001	32(Fr)	Si	>100
65.8	-36	0.0	6.16	17.59	20.4	11	0.001	0.001	48(Qp)	Si	>100
65.8	-36	0.0	6.16	17.59	20.4	11	0.001	0.001	32(Fr)	Si	>100

Trave: 112 [0,236], Pilastrate [--,36] Sez. R: By=30.0 cm Bz=60.0 cm L=65.8 cm Ln=65.8 cm Criterio: CLS_TraviAlte_ND

Combinazione Rara: $\sigma_{ca}[\text{kg/cm}^2]=149$ $\sigma_{fa}[\text{kg/cm}^2]=3600$

X cm	M+ kg*m	M- kg*m	Afsup cmq	Afinf cmq	σ_{c+} kg/cm ²	σ_{f+} kg/cm ²	σ_{c-} kg/cm ²	σ_{f-} kg/cm ²	Cb+	Cb-	Ver.	CS
0.0	61	--	6.16	6.16	-0	19	--	--	22	18	Si	>100
6.6	26	1	6.16	6.16	-0	8	-0	0	22	18	Si	>100
32.9	--	253	6.16	6.16	--	--	-2	80	22	18	Si	45
59.2	--	545	6.16	6.16	--	--	-4	172	22	18	Si	21
65.8	--	624	6.16	6.16	--	--	-4	197	22	18	Si	18

Combinazione QP: $\sigma_{ca}[\text{kg/cm}^2]=112$ $\sigma_{fa}[\text{kg/cm}^2]=3600$

X cm	M+ kg*m	M- kg*m	Afsup cmq	Afinf cmq	σ_{c+} kg/cm ²	σ_{f+} kg/cm ²	σ_{c-} kg/cm ²	σ_{f-} kg/cm ²	Cb+	Cb-	Ver.	CS
0.0	61	--	6.16	6.16	-0	19	--	--	48	48	Si	>100
6.6	26	--	6.16	6.16	-0	8	--	--	48	48	Si	>100
32.9	--	138	6.16	6.16	--	--	-1	44	48	48	Si	83
59.2	--	339	6.16	6.16	--	--	-2	107	48	48	Si	34
65.8	--	395	6.16	6.16	--	--	-3	125	48	48	Si	29

Verifica aperture fessure: Wamm_Freq[mm]=0.400 Wamm_Qp[mm]=0.300

X cm	M kg*m	Act mq	Aft cmq	pAft cm	$S_{r,max}$ cm	σ_{fmed} kg/cm ²	Wd mm	Wk mm	Cb	Ver.	Cs
0.0	-61	0.0	6.16	17.59	20.4	19	0.001	0.001	32(Fr)	Si	>100
0.0	-61	0.0	6.16	17.59	20.4	19	0.001	0.001	48(Qp)	Si	>100
6.6	-26	0.0	6.16	17.59	20.4	8	0.000	0.000	48(Qp)	Si	>100
6.6	-26	0.0	6.16	17.59	20.4	8	0.000	0.000	32(Fr)	Si	>100
32.9	138	0.0	6.16	17.59	20.4	44	0.003	0.003	48(Qp)	Si	>100
32.9	138	0.0	6.16	17.59	20.4	44	0.003	0.003	32(Fr)	Si	>100
59.2	339	0.0	6.16	17.59	20.4	107	0.006	0.006	48(Qp)	Si	48
59.2	339	0.0	6.16	17.59	20.4	107	0.006	0.006	32(Fr)	Si	64
65.8	395	0.0	6.16	17.59	20.4	125	0.007	0.007	48(Qp)	Si	41
65.8	395	0.0	6.16	17.59	20.4	125	0.007	0.007	32(Fr)	Si	55

Trave: 112 [0,0], Pilastrate [--,--] Sez. R: By=30.0 cm Bz=60.0 cm L=55.6 cm Ln=55.6 cm Criterio: CLS_TraviAlte_ND

Combinazione Rara: $\sigma_{ca}[\text{kg/cm}^2]=149$ $\sigma_{fa}[\text{kg/cm}^2]=3600$

X cm	M+ kg*m	M- kg*m	Afsup cmq	Afinf cmq	σ_{c+} kg/cm ²	σ_{f+} kg/cm ²	σ_{c-} kg/cm ²	σ_{f-} kg/cm ²	Cb+	Cb-	Ver.	CS
0.0	177	--	6.16	6.16	-1	56	--	--	22	18	Si	64
5.6	212	--	6.16	6.16	-1	67	--	--	22	18	Si	54
27.8	359	--	6.16	6.16	-3	114	--	--	18	22	Si	32
50.0	517	--	6.16	6.16	-4	164	--	--	18	22	Si	22
55.6	553	--	6.16	6.16	-4	175	--	--	18	22	Si	21

Combinazione QP: $\sigma_{ca}[\text{kg/cm}^2]=112$ $\sigma_{fa}[\text{kg/cm}^2]=3600$

X cm	M+ kg*m	M- kg*m	Afsup cmq	Afinf cmq	σ_{c+} kg/cm ²	σ_{f+} kg/cm ²	σ_{c-} kg/cm ²	σ_{f-} kg/cm ²	Cb+	Cb-	Ver.	CS
0.0	177	--	6.16	6.16	-1	56	--	--	48	48	Si	64
5.6	212	--	6.16	6.16	-1	67	--	--	48	48	Si	54
27.8	336	--	6.16	6.16	-2	106	--	--	48	48	Si	34
50.0	434	--	6.16	6.16	-3	137	--	--	48	48	Si	26
55.6	454	--	6.16	6.16	-3	144	--	--	48	48	Si	25

Verifica aperture fessure: Wamm_Freq[mm]=0.400 Wamm_Qp[mm]=0.300

X cm	M kg*m	Act mq	Aft cmq	pAft cm	$S_{r,max}$ cm	σ_{fmed} kg/cm ²	Wd mm	Wk mm	Cb	Ver.	Cs
0.0	-177	0.0	6.16	17.59	20.4	56	0.003	0.003	32(Fr)	Si	>100
0.0	-177	0.0	6.16	17.59	20.4	56	0.003	0.003	48(Qp)	Si	92
5.6	-212	0.0	6.16	17.59	20.4	67	0.004	0.004	48(Qp)	Si	77

X	M	Act	Aft	pAft	$S_{r,max}$	σ_{fmed}	Wd	Wk	Cb	Ver.	Cs
5.6	-212	0.0	6.16	17.59	20.4	67	0.004	0.004	32(Fr)	Si	>100
27.8	-336	0.0	6.16	17.59	20.4	106	0.006	0.006	48(Qp)	Si	48
27.8	-336	0.0	6.16	17.59	20.4	106	0.006	0.006	32(Fr)	Si	65
50.0	-434	0.0	6.16	17.59	20.4	137	0.008	0.008	48(Qp)	Si	38
50.0	-434	0.0	6.16	17.59	20.4	137	0.008	0.008	32(Fr)	Si	50
55.6	-454	0.0	6.16	17.59	20.4	144	0.008	0.008	48(Qp)	Si	36
55.6	-454	0.0	6.16	17.59	20.4	144	0.008	0.008	32(Fr)	Si	48

Trave: 112 [0,0], Pilastrate [--,--] Sez. R: By=30.0 cm Bz=60.0 cm L=55.6 cm Ln=55.6 cm Criterio: CLS_TraviAlte_ND

Combinazione Rara: σ_{ca} [kg/cm²]=149 σ_{fa} [kg/cm²]=3600

X	M+	M-	Afsup	Afinf	σ_{C+}	σ_{f+}	σ_{C-}	σ_{f-}	Cb+	Cb-	Ver.	CS
cm	kg*m	kg*m	cmq	cmq	kg/cm ²	kg/cm ²	kg/cm ²	kg/cm ²				
0.0	497	--	6.16	6.16	-4	157	--	--	18	22	Si	23
5.6	518	--	6.16	6.16	-4	164	--	--	18	22	Si	22
27.8	584	--	6.16	6.16	-4	185	--	--	18	22	Si	19
50.0	624	--	6.16	6.16	-4	197	--	--	18	22	Si	18
55.6	630	--	6.16	6.16	-4	199	--	--	18	22	Si	18

Combinazione QP: σ_{ca} [kg/cm²]=112 σ_{fa} [kg/cm²]=3600

X	M+	M-	Afsup	Afinf	σ_{C+}	σ_{f+}	σ_{C-}	σ_{f-}	Cb+	Cb-	Ver.	CS
cm	kg*m	kg*m	cmq	cmq	kg/cm ²	kg/cm ²	kg/cm ²	kg/cm ²				
0.0	427	--	6.16	6.16	-3	135	--	--	48	48	Si	27
5.6	441	--	6.16	6.16	-3	139	--	--	48	48	Si	26
27.8	479	--	6.16	6.16	-3	151	--	--	48	48	Si	24
50.0	491	--	6.16	6.16	-3	155	--	--	48	48	Si	23
55.6	490	--	6.16	6.16	-3	155	--	--	48	48	Si	23

Verifica aperture fessure: Wamm_Freq[mm]=0.400 Wamm_Qp[mm]=0.300

X	M	Act	Aft	pAft	$S_{r,max}$	σ_{fmed}	Wd	Wk	Cb	Ver.	Cs
cm	kg*m	m ²	cmq	cm	cm	kg/cm ²	mm	mm			
0.0	-427	0.0	6.16	17.59	20.4	135	0.008	0.008	32(Fr)	Si	51
0.0	-427	0.0	6.16	17.59	20.4	135	0.008	0.008	48(Qp)	Si	38
5.6	-441	0.0	6.16	17.59	20.4	139	0.008	0.008	48(Qp)	Si	37
5.6	-441	0.0	6.16	17.59	20.4	139	0.008	0.008	32(Fr)	Si	49
27.8	-479	0.0	6.16	17.59	20.4	151	0.009	0.009	48(Qp)	Si	34
27.8	-479	0.0	6.16	17.59	20.4	151	0.009	0.009	32(Fr)	Si	45
50.0	-491	0.0	6.16	17.59	20.4	155	0.009	0.009	48(Qp)	Si	33
50.0	-491	0.0	6.16	17.59	20.4	155	0.009	0.009	32(Fr)	Si	44
55.6	-490	0.0	6.16	17.59	20.4	155	0.009	0.009	48(Qp)	Si	33
55.6	-490	0.0	6.16	17.59	20.4	155	0.009	0.009	32(Fr)	Si	44

Trave: 112 [0,0], Pilastrate [--,--] Sez. R: By=30.0 cm Bz=60.0 cm L=55.6 cm Ln=55.6 cm Criterio: CLS_TraviAlte_ND

Combinazione Rara: σ_{ca} [kg/cm²]=149 σ_{fa} [kg/cm²]=3600

X	M+	M-	Afsup	Afinf	σ_{C+}	σ_{f+}	σ_{C-}	σ_{f-}	Cb+	Cb-	Ver.	CS
cm	kg*m	kg*m	cmq	cmq	kg/cm ²	kg/cm ²	kg/cm ²	kg/cm ²				
0.0	570	--	6.16	6.16	-4	180	--	--	18	22	Si	20
5.6	561	--	6.16	6.16	-4	177	--	--	18	22	Si	20
27.8	508	--	6.16	6.16	-4	161	--	--	18	22	Si	22
50.0	430	--	6.16	6.16	-3	136	--	--	18	22	Si	26
55.6	407	--	6.16	6.16	-3	129	--	--	18	22	Si	28

Combinazione QP: σ_{ca} [kg/cm²]=112 σ_{fa} [kg/cm²]=3600

X	M+	M-	Afsup	Afinf	σ_{C+}	σ_{f+}	σ_{C-}	σ_{f-}	Cb+	Cb-	Ver.	CS
cm	kg*m	kg*m	cmq	cmq	kg/cm ²	kg/cm ²	kg/cm ²	kg/cm ²				
0.0	462	--	6.16	6.16	-3	146	--	--	48	48	Si	25
5.6	454	--	6.16	6.16	-3	144	--	--	48	48	Si	25
27.8	407	--	6.16	6.16	-3	129	--	--	48	48	Si	28

X	M+	M-	Afsup	Afinf	σ_c+	σ_f+	σ_c-	σ_f-	Cb+	Cb-	Ver.	CS
50.0	335	--	6.16	6.16	-2	106	--	--	48	48	Si	34
55.6	314	--	6.16	6.16	-2	99	--	--	48	48	Si	36

Verifica aperture fessure: Wamm_Freq[mm]=0.400 Wamm_Qp[mm]=0.300

X	M	Act	Aft	pAft	$S_{r,max}$	σ_{fmed}	Wd	Wk	Cb	Ver.	Cs
cm	kg*m	mq	cmq	cm	cm	kg/cmq	mm	mm			
0.0	-462	0.0	6.16	17.59	20.4	146	0.009	0.009	32(Fr)	Si	47
0.0	-462	0.0	6.16	17.59	20.4	146	0.009	0.009	48(Qp)	Si	35
5.6	-454	0.0	6.16	17.59	20.4	144	0.008	0.008	48(Qp)	Si	36
5.6	-454	0.0	6.16	17.59	20.4	144	0.008	0.008	32(Fr)	Si	48
27.8	-407	0.0	6.16	17.59	20.4	129	0.007	0.007	48(Qp)	Si	40
27.8	-407	0.0	6.16	17.59	20.4	129	0.007	0.007	32(Fr)	Si	53
50.0	-335	0.0	6.16	17.59	20.4	106	0.006	0.006	48(Qp)	Si	49
50.0	-335	0.0	6.16	17.59	20.4	106	0.006	0.006	32(Fr)	Si	65
55.6	-314	0.0	6.16	17.59	20.4	99	0.006	0.006	48(Qp)	Si	52
55.6	-314	0.0	6.16	17.59	20.4	99	0.006	0.006	32(Fr)	Si	69

Trave: 112 [0,0], Pilastrate [--,--] Sez. R: By=30.0 cm Bz=60.0 cm L=55.6 cm Ln=55.6 cm Criterio: CLS_TraviAlte_ND

Combinazione Rara: σ_{ca} [kg/cmq]=149 σ_{fa} [kg/cmq]=3600

X	M+	M-	Afsup	Afinf	σ_c+	σ_f+	σ_c-	σ_f-	Cb+	Cb-	Ver.	CS
cm	kg*m	kg*m	cmq	cmq	kg/cmq	kg/cmq	kg/cmq	kg/cmq				
0.0	338	--	6.16	6.16	-2	107	--	--	18	22	Si	34
5.6	299	--	6.16	6.16	-2	95	--	--	18	22	Si	38
27.8	126	--	6.16	6.16	-1	40	--	--	18	22	Si	90
50.0	--	70	6.16	6.16	--	--	-0	22	22	18	Si	>100
55.6	--	123	6.16	6.16	--	--	-1	39	22	18	Si	92

Combinazione QP: σ_{ca} [kg/cmq]=112 σ_{fa} [kg/cmq]=3600

X	M+	M-	Afsup	Afinf	σ_c+	σ_f+	σ_c-	σ_f-	Cb+	Cb-	Ver.	CS
cm	kg*m	kg*m	cmq	cmq	kg/cmq	kg/cmq	kg/cmq	kg/cmq				
0.0	281	--	6.16	6.16	-2	89	--	--	48	48	Si	40
5.6	252	--	6.16	6.16	-2	80	--	--	48	48	Si	45
27.8	121	--	6.16	6.16	-1	38	--	--	48	48	Si	94
50.0	--	34	6.16	6.16	--	--	-0	11	48	48	Si	>100
55.6	--	77	6.16	6.16	--	--	-1	24	48	48	Si	>100

Verifica aperture fessure: Wamm_Freq[mm]=0.400 Wamm_Qp[mm]=0.300

X	M	Act	Aft	pAft	$S_{r,max}$	σ_{fmed}	Wd	Wk	Cb	Ver.	Cs
cm	kg*m	mq	cmq	cm	cm	kg/cmq	mm	mm			
0.0	-281	0.0	6.16	17.59	20.4	89	0.005	0.005	32(Fr)	Si	77
0.0	-281	0.0	6.16	17.59	20.4	89	0.005	0.005	48(Qp)	Si	58
5.6	-252	0.0	6.16	17.59	20.4	80	0.005	0.005	48(Qp)	Si	65
5.6	-252	0.0	6.16	17.59	20.4	80	0.005	0.005	32(Fr)	Si	86
27.8	-121	0.0	6.16	17.59	20.4	38	0.002	0.002	48(Qp)	Si	>100
27.8	-121	0.0	6.16	17.59	20.4	38	0.002	0.002	32(Fr)	Si	>100
50.0	34	0.0	6.16	17.59	20.4	11	0.001	0.001	48(Qp)	Si	>100
50.0	34	0.0	6.16	17.59	20.4	11	0.001	0.001	32(Fr)	Si	>100
55.6	77	0.0	6.16	17.59	20.4	24	0.001	0.001	48(Qp)	Si	>100
55.6	77	0.0	6.16	17.59	20.4	24	0.001	0.001	32(Fr)	Si	>100

Trave: 112 [0,236], Pilastrate [--,36] Sez. R: By=30.0 cm Bz=60.0 cm L=55.6 cm Ln=55.6 cm Criterio: CLS_TraviAlte_ND

Combinazione Rara: σ_{ca} [kg/cmq]=149 σ_{fa} [kg/cmq]=3600

X	M+	M-	Afsup	Afinf	σ_c+	σ_f+	σ_c-	σ_f-	Cb+	Cb-	Ver.	CS
cm	kg*m	kg*m	cmq	cmq	kg/cmq	kg/cmq	kg/cmq	kg/cmq				
0.0	--	198	6.16	6.16	--	--	-1	63	22	18	Si	57
5.6	--	268	6.16	6.16	--	--	-2	85	22	18	Si	42
27.8	--	562	6.16	6.16	--	--	-4	178	22	18	Si	20

X	M+	M-	Afsup	Afinf	σ_c+	σ_f+	σ_c-	σ_f-	Cb+	Cb-	Ver.	CS
50.0	--	880	6.16	6.16	--	--	-6	278	22	18	Si	13
55.6	--	963	6.16	6.16	--	--	-7	304	22	18	Si	12

Combinazione QP: $\sigma_{ca}[\text{kg/cm}^2]=112$ $\sigma_{fa}[\text{kg/cm}^2]=3600$

X	M+	M-	Afsup	Afinf	σ_c+	σ_f+	σ_c-	σ_f-	Cb+	Cb-	Ver.	CS
cm	kg*m	kg*m	cmq	cmq	kg/cmq	kg/cmq	kg/cmq	kg/cmq				
0.0	--	114	6.16	6.16	--	--	-1	36	48	48	Si	>100
5.6	--	164	6.16	6.16	--	--	-1	52	48	48	Si	69
27.8	--	381	6.16	6.16	--	--	-3	120	48	48	Si	30
50.0	--	620	6.16	6.16	--	--	-4	196	48	48	Si	18
55.6	--	683	6.16	6.16	--	--	-5	216	48	48	Si	17

Verifica aperture fessure: $W_{amm_Freq}[\text{mm}]=0.400$ $W_{amm_Qp}[\text{mm}]=0.300$

X	M	Act	Aft	pAft	$S_{r,max}$	σ_{fmed}	Wd	Wk	Cb	Ver.	Cs
cm	kg*m	mq	cmq	cm	cm	kg/cmq	mm	mm			
0.0	114	0.0	6.16	17.59	20.4	36	0.002	0.002	32(Fr)	Si	>100
0.0	114	0.0	6.16	17.59	20.4	36	0.002	0.002	48(Qp)	Si	>100
5.6	164	0.0	6.16	17.59	20.4	52	0.003	0.003	48(Qp)	Si	99
5.6	164	0.0	6.16	17.59	20.4	52	0.003	0.003	32(Fr)	Si	>100
27.8	381	0.0	6.16	17.59	20.4	120	0.007	0.007	48(Qp)	Si	43
27.8	381	0.0	6.16	17.59	20.4	120	0.007	0.007	32(Fr)	Si	57
50.0	620	0.0	6.16	17.59	20.4	196	0.011	0.011	48(Qp)	Si	26
50.0	620	0.0	6.16	17.59	20.4	196	0.011	0.011	32(Fr)	Si	35
55.6	683	0.0	6.16	17.59	20.4	216	0.013	0.013	48(Qp)	Si	24
55.6	683	0.0	6.16	17.59	20.4	216	0.013	0.013	32(Fr)	Si	32

Trave: 112 [0,0], Pilastrate [--,--] Sez. R: $B_y=30.0$ cm $B_z=60.0$ cm $L=88.0$ cm $L_n=88.0$ cm Criterio: CLS_TraviAlte_ND

Combinazione Rara: $\sigma_{ca}[\text{kg/cm}^2]=149$ $\sigma_{fa}[\text{kg/cm}^2]=3600$

X	M+	M-	Afsup	Afinf	σ_c+	σ_f+	σ_c-	σ_f-	Cb+	Cb-	Ver.	CS
cm	kg*m	kg*m	cmq	cmq	kg/cmq	kg/cmq	kg/cmq	kg/cmq				
0.0	374	--	6.16	6.16	-3	118	--	--	18	22	Si	30
8.8	441	--	6.16	6.16	-3	140	--	--	18	22	Si	26
44.0	665	--	6.16	6.16	-5	210	--	--	18	22	Si	17
79.2	817	--	6.16	6.16	-6	258	--	--	18	22	Si	14
88.0	845	--	6.16	6.16	-6	267	--	--	18	22	Si	13

Combinazione QP: $\sigma_{ca}[\text{kg/cm}^2]=112$ $\sigma_{fa}[\text{kg/cm}^2]=3600$

X	M+	M-	Afsup	Afinf	σ_c+	σ_f+	σ_c-	σ_f-	Cb+	Cb-	Ver.	CS
cm	kg*m	kg*m	cmq	cmq	kg/cmq	kg/cmq	kg/cmq	kg/cmq				
0.0	262	--	6.16	6.16	-2	83	--	--	48	48	Si	43
8.8	314	--	6.16	6.16	-2	99	--	--	48	48	Si	36
44.0	482	--	6.16	6.16	-3	152	--	--	48	48	Si	24
79.2	581	--	6.16	6.16	-4	184	--	--	48	48	Si	20
88.0	596	--	6.16	6.16	-4	188	--	--	48	48	Si	19

Verifica aperture fessure: $W_{amm_Freq}[\text{mm}]=0.400$ $W_{amm_Qp}[\text{mm}]=0.300$

X	M	Act	Aft	pAft	$S_{r,max}$	σ_{fmed}	Wd	Wk	Cb	Ver.	Cs
cm	kg*m	mq	cmq	cm	cm	kg/cmq	mm	mm			
0.0	-262	0.0	6.16	17.59	20.4	83	0.005	0.005	32(Fr)	Si	83
0.0	-262	0.0	6.16	17.59	20.4	83	0.005	0.005	48(Qp)	Si	62
8.8	-314	0.0	6.16	17.59	20.4	99	0.006	0.006	48(Qp)	Si	52
8.8	-314	0.0	6.16	17.59	20.4	99	0.006	0.006	32(Fr)	Si	69
44.0	-482	0.0	6.16	17.59	20.4	152	0.009	0.009	48(Qp)	Si	34
44.0	-482	0.0	6.16	17.59	20.4	152	0.009	0.009	32(Fr)	Si	45
79.2	-581	0.0	6.16	17.59	20.4	184	0.011	0.011	48(Qp)	Si	28
79.2	-581	0.0	6.16	17.59	20.4	184	0.011	0.011	32(Fr)	Si	37
88.0	-596	0.0	6.16	17.59	20.4	188	0.011	0.011	48(Qp)	Si	27
88.0	-596	0.0	6.16	17.59	20.4	188	0.011	0.011	32(Fr)	Si	36

Trave: 112 [0,0], Pilastrate [--,--] Sez. R: By=30.0 cm Bz=60.0 cm L=88.0 cm Ln=88.0 cm Criterio: CLS_TraviAlte_ND

Combinazione Rara: $\sigma_{ca}[\text{kg/cm}^2]=149$ $\sigma_{fa}[\text{kg/cm}^2]=3600$

X cm	M+ kg*m	M- kg*m	Afsup cmq	Afinf cmq	σ_{c+} kg/cm ²	σ_{f+} kg/cm ²	σ_{c-} kg/cm ²	σ_{f-} kg/cm ²	Cb+	Cb-	Ver.	CS
0.0	845	--	6.16	6.16	-6	267	--	--	18	22	Si	13
8.8	844	--	6.16	6.16	-6	267	--	--	18	22	Si	13
44.0	796	--	6.16	6.16	-6	252	--	--	18	22	Si	14
79.2	681	--	6.16	6.16	-5	215	--	--	18	22	Si	17
88.0	642	--	6.16	6.16	-5	203	--	--	18	22	Si	18

Combinazione QP: $\sigma_{ca}[\text{kg/cm}^2]=112$ $\sigma_{fa}[\text{kg/cm}^2]=3600$

X cm	M+ kg*m	M- kg*m	Afsup cmq	Afinf cmq	σ_{c+} kg/cm ²	σ_{f+} kg/cm ²	σ_{c-} kg/cm ²	σ_{f-} kg/cm ²	Cb+	Cb-	Ver.	CS
0.0	596	--	6.16	6.16	-4	188	--	--	48	48	Si	19
8.8	597	--	6.16	6.16	-4	189	--	--	48	48	Si	19
44.0	561	--	6.16	6.16	-4	177	--	--	48	48	Si	20
79.2	461	--	6.16	6.16	-3	146	--	--	48	48	Si	25
88.0	426	--	6.16	6.16	-3	135	--	--	48	48	Si	27

Verifica aperture fessure: Wamm_Freq[mm]=0.400 Wamm_Qp[mm]=0.300

X cm	M kg*m	Act mq	Aft cmq	pAft cm	$S_{r,max}$ cm	σ_{fmed} kg/cm ²	Wd mm	Wk mm	Cb	Ver.	Cs
0.0	-596	0.0	6.16	17.59	20.4	188	0.011	0.011	32(Fr)	Si	36
0.0	-596	0.0	6.16	17.59	20.4	188	0.011	0.011	48(Qp)	Si	27
8.8	-597	0.0	6.16	17.59	20.4	189	0.011	0.011	48(Qp)	Si	27
8.8	-597	0.0	6.16	17.59	20.4	189	0.011	0.011	32(Fr)	Si	36
44.0	-561	0.0	6.16	17.59	20.4	177	0.010	0.010	48(Qp)	Si	29
44.0	-561	0.0	6.16	17.59	20.4	177	0.010	0.010	32(Fr)	Si	39
79.2	-461	0.0	6.16	17.59	20.4	146	0.008	0.008	48(Qp)	Si	35
79.2	-461	0.0	6.16	17.59	20.4	146	0.008	0.008	32(Fr)	Si	47
88.0	-426	0.0	6.16	17.59	20.4	135	0.008	0.008	48(Qp)	Si	38
88.0	-426	0.0	6.16	17.59	20.4	135	0.008	0.008	32(Fr)	Si	51

Trave: 112 [0,0], Pilastrate [--,--] Sez. R: By=30.0 cm Bz=60.0 cm L=88.0 cm Ln=88.0 cm Criterio: CLS_TraviAlte_ND

Combinazione Rara: $\sigma_{ca}[\text{kg/cm}^2]=149$ $\sigma_{fa}[\text{kg/cm}^2]=3600$

X cm	M+ kg*m	M- kg*m	Afsup cmq	Afinf cmq	σ_{c+} kg/cm ²	σ_{f+} kg/cm ²	σ_{c-} kg/cm ²	σ_{f-} kg/cm ²	Cb+	Cb-	Ver.	CS
0.0	642	--	6.16	6.16	-5	203	--	--	18	22	Si	18
8.8	574	--	6.16	6.16	-4	182	--	--	18	22	Si	20
44.0	264	--	6.16	6.16	-2	83	--	--	18	22	Si	43
79.2	--	146	6.16	6.16	--	--	-1	46	18	22	Si	78
88.0	--	229	6.16	6.16	--	--	-2	72	18	22	Si	50

Combinazione QP: $\sigma_{ca}[\text{kg/cm}^2]=112$ $\sigma_{fa}[\text{kg/cm}^2]=3600$

X cm	M+ kg*m	M- kg*m	Afsup cmq	Afinf cmq	σ_{c+} kg/cm ²	σ_{f+} kg/cm ²	σ_{c-} kg/cm ²	σ_{f-} kg/cm ²	Cb+	Cb-	Ver.	CS
0.0	426	--	6.16	6.16	-3	135	--	--	48	48	Si	27
8.8	378	--	6.16	6.16	-3	119	--	--	48	48	Si	30
44.0	147	--	6.16	6.16	-1	46	--	--	48	48	Si	78
79.2	--	146	6.16	6.16	--	--	-1	46	48	48	Si	78
88.0	--	229	6.16	6.16	--	--	-2	72	48	48	Si	50

Verifica aperture fessure: Wamm_Freq[mm]=0.400 Wamm_Qp[mm]=0.300

X cm	M kg*m	Act mq	Aft cmq	pAft cm	$S_{r,max}$ cm	σ_{fmed} kg/cm ²	Wd mm	Wk mm	Cb	Ver.	Cs
0.0	-426	0.0	6.16	17.59	20.4	135	0.008	0.008	32(Fr)	Si	51
0.0	-426	0.0	6.16	17.59	20.4	135	0.008	0.008	48(Qp)	Si	38
8.8	-378	0.0	6.16	17.59	20.4	119	0.007	0.007	48(Qp)	Si	43

X	M	Act	Aft	pAft	S _{r,max}	σ _{fmed}	Wd	Wk	Cb	Ver.	Cs
8.8	-378	0.0	6.16	17.59	20.4	119	0.007	0.007	32(Fr)	Si	57
44.0	-147	0.0	6.16	17.59	20.4	46	0.003	0.003	48(Qp)	Si	>100
44.0	-147	0.0	6.16	17.59	20.4	46	0.003	0.003	32(Fr)	Si	>100
79.2	146	0.0	6.16	17.59	20.4	46	0.003	0.003	48(Qp)	Si	>100
79.2	146	0.0	6.16	17.59	20.4	46	0.003	0.003	32(Fr)	Si	>100
88.0	229	0.0	6.16	17.59	20.4	72	0.004	0.004	48(Qp)	Si	71
88.0	229	0.0	6.16	17.59	20.4	72	0.004	0.004	32(Fr)	Si	95

Trave: 112 [0,243], Pilastrate [--,43] Sez. R: By=30.0 cm Bz=60.0 cm L=88.0 cm Ln=88.0 cm Criterio: CLS_TraviAlte_ND

Combinazione Rara: σ_{ca}[kg/cmq]=149 σ_{fa}[kg/cmq]=3600

X	M+	M-	Afsup	Afinf	σ _{C+}	σ _{f+}	σ _{C-}	σ _{f-}	Cb+	Cb-	Ver.	CS
cm	kg*m	kg*m	cmq	cmq	kg/cmq	kg/cmq	kg/cmq	kg/cmq				
0.0	--	228	6.16	7.70	--	--	-2	72	18	22	Si	50
8.8	--	347	6.16	7.70	--	--	-2	109	22	18	Si	33
44.0	--	915	6.16	7.70	--	--	-6	289	22	18	Si	12
79.2	--	1543	6.16	7.70	--	--	-10	487	22	18	Si	7.4
88.0	--	1709	6.16	7.70	--	--	-12	539	22	18	Si	6.7

Combinazione QP: σ_{ca}[kg/cmq]=112 σ_{fa}[kg/cmq]=3600

X	M+	M-	Afsup	Afinf	σ _{C+}	σ _{f+}	σ _{C-}	σ _{f-}	Cb+	Cb-	Ver.	CS
cm	kg*m	kg*m	cmq	cmq	kg/cmq	kg/cmq	kg/cmq	kg/cmq				
0.0	--	228	6.16	7.70	--	--	-2	72	48	48	Si	50
8.8	--	324	6.16	7.70	--	--	-2	102	48	48	Si	35
44.0	--	746	6.16	7.70	--	--	-5	235	48	48	Si	15
79.2	--	1226	6.16	7.70	--	--	-8	387	48	48	Si	9.3
88.0	--	1356	6.16	7.70	--	--	-9	428	48	48	Si	8.4

Verifica aperture fessure: Wamm_Freq[mm]=0.400 Wamm_Qp[mm]=0.300

X	M	Act	Aft	pAft	S _{r,max}	σ _{fmed}	Wd	Wk	Cb	Ver.	Cs
cm	kg*m	mq	cmq	cm	cm	kg/cmq	mm	mm			
0.0	228	0.0	6.16	17.59	20.4	72	0.004	0.004	32(Fr)	Si	95
0.0	228	0.0	6.16	17.59	20.4	72	0.004	0.004	48(Qp)	Si	72
8.8	324	0.0	6.16	17.59	20.4	102	0.006	0.006	48(Qp)	Si	50
8.8	324	0.0	6.16	17.59	20.4	102	0.006	0.006	32(Fr)	Si	67
44.0	746	0.0	6.16	17.59	20.4	235	0.014	0.014	48(Qp)	Si	22
44.0	746	0.0	6.16	17.59	20.4	235	0.014	0.014	32(Fr)	Si	29
79.2	1226	0.0	6.16	17.59	20.4	387	0.023	0.023	48(Qp)	Si	13
79.2	1226	0.0	6.16	17.59	20.4	387	0.023	0.023	32(Fr)	Si	18
88.0	1356	0.0	6.16	17.59	20.4	428	0.025	0.025	48(Qp)	Si	12
88.0	1356	0.0	6.16	17.59	20.4	428	0.025	0.025	32(Fr)	Si	16

Trave: 113 [105,109], Pilastrate [5,9] Sez. R: By=30.0 cm Bz=40.0 cm L=276.8 cm Ln=278.4 cm Criterio: CLS_TraviAlte_ND

Combinazione Rara: σ_{ca}[kg/cmq]=149 σ_{fa}[kg/cmq]=3600

X	M+	M-	Afsup	Afinf	σ _{C+}	σ _{f+}	σ _{C-}	σ _{f-}	Cb+	Cb-	Ver.	CS
cm	kg*m	kg*m	cmq	cmq	kg/cmq	kg/cmq	kg/cmq	kg/cmq				
0.0	334	--	4.62	4.62	-6	223	--	--	18	22	Si	16
27.8	331	--	4.62	4.62	-5	221	--	--	18	22	Si	16
139.2	--	128	4.62	4.62	--	--	-2	85	22	18	Si	42
250.6	--	1308	4.62	4.62	--	--	-22	872	22	18	Si	4.1
278.4	--	1717	4.62	4.62	--	--	-28	1145	22	18	Si	3.1

Combinazione QP: σ_{ca}[kg/cmq]=112 σ_{fa}[kg/cmq]=3600

X	M+	M-	Afsup	Afinf	σ _{C+}	σ _{f+}	σ _{C-}	σ _{f-}	Cb+	Cb-	Ver.	CS
cm	kg*m	kg*m	cmq	cmq	kg/cmq	kg/cmq	kg/cmq	kg/cmq				
0.0	317	--	4.62	4.62	-5	211	--	--	48	48	Si	17
27.8	320	--	4.62	4.62	-5	214	--	--	48	48	Si	17
139.2	--	47	4.62	4.62	--	--	-1	32	48	48	Si	>100

X	M+	M-	Afsup	Afinf	σ_{C+}	σ_{f+}	σ_{C-}	σ_{f-}	Cb+	Cb-	Ver.	CS
250.6	--	1026	4.62	4.62	--	--	-17	684	48	48	Si	5.3
278.4	--	1366	4.62	4.62	--	--	-23	911	48	48	Si	4.0

Verifica aperture fessure: Wamm_Freq[mm]=0.400 Wamm_Qp[mm]=0.300

X	M	Act	Aft	pAft	$S_{r,max}$	σ_{fmed}	Wd	Wk	Cb	Ver.	Cs
cm	kg*m	mq	cmq	cm	cm	kg/cmq	mm	mm			
0.0	-317	0.0	4.62	13.19	24.1	211	0.015	0.015	32(Fr)	Si	27
0.0	-317	0.0	4.62	13.19	24.1	211	0.015	0.015	48(Qp)	Si	21
27.8	-320	0.0	4.62	13.19	24.1	214	0.015	0.015	48(Qp)	Si	20
27.8	-320	0.0	4.62	13.19	24.1	214	0.015	0.015	32(Fr)	Si	27
139.2	47	0.0	4.62	13.19	24.1	32	0.002	0.002	48(Qp)	Si	>100
139.2	47	0.0	4.62	13.19	24.1	32	0.002	0.002	32(Fr)	Si	>100
250.6	1026	0.0	4.62	13.19	24.1	684	0.047	0.047	48(Qp)	Si	6.4
250.6	1026	0.0	4.62	13.19	24.1	684	0.047	0.047	32(Fr)	Si	8.5
278.4	1366	0.0	4.62	13.19	24.1	911	0.063	0.063	48(Qp)	Si	4.8
278.4	1366	0.0	4.62	13.19	24.1	911	0.063	0.063	32(Fr)	Si	6.4

Trave: 113 [109,115], Pilastrate [9,15] Sez. R: By=30.0 cm Bz=40.0 cm L=690.7 cm Ln=691.3 cm Criterio: CLS_TraviAlte_ND

Combinazione Rara: σ_{ca} [kg/cmq]=149 σ_{fa} [kg/cmq]=3600

X	M+	M-	Afsup	Afinf	σ_{C+}	σ_{f+}	σ_{C-}	σ_{f-}	Cb+	Cb-	Ver.	CS
cm	kg*m	kg*m	cmq	cmq	kg/cmq	kg/cmq	kg/cmq	kg/cmq				
0.0	--	1874	4.62	4.62	--	--	-31	1250	22	18	Si	2.9
69.1	--	667	4.62	4.62	--	--	-11	445	22	18	Si	8.1
345.7	1445	--	4.62	4.62	-24	964	--	--	18	22	Si	3.7
622.2	--	879	4.62	4.62	--	--	-15	586	22	18	Si	6.1
691.3	--	2167	4.62	4.62	--	--	-36	1445	22	18	Si	2.5

Combinazione QP: σ_{ca} [kg/cmq]=112 σ_{fa} [kg/cmq]=3600

X	M+	M-	Afsup	Afinf	σ_{C+}	σ_{f+}	σ_{C-}	σ_{f-}	Cb+	Cb-	Ver.	CS
cm	kg*m	kg*m	cmq	cmq	kg/cmq	kg/cmq	kg/cmq	kg/cmq				
0.0	--	1691	4.62	4.62	--	--	-28	1128	48	48	Si	3.2
69.1	--	653	4.62	4.62	--	--	-11	435	48	48	Si	8.3
345.7	1170	--	4.62	4.62	-19	780	--	--	48	48	Si	4.6
622.2	--	774	4.62	4.62	--	--	-13	516	48	48	Si	7.0
691.3	--	1854	4.62	4.62	--	--	-31	1237	48	48	Si	2.9

Verifica aperture fessure: Wamm_Freq[mm]=0.400 Wamm_Qp[mm]=0.300

X	M	Act	Aft	pAft	$S_{r,max}$	σ_{fmed}	Wd	Wk	Cb	Ver.	Cs
cm	kg*m	mq	cmq	cm	cm	kg/cmq	mm	mm			
0.0	1691	0.0	4.62	13.19	24.1	1128	0.078	0.078	32(Fr)	Si	5.2
0.0	1691	0.0	4.62	13.19	24.1	1128	0.078	0.078	48(Qp)	Si	3.9
69.1	653	0.0	4.62	13.19	24.1	435	0.030	0.030	48(Qp)	Si	10
69.1	653	0.0	4.62	13.19	24.1	435	0.030	0.030	32(Fr)	Si	13
345.7	-1170	0.0	4.62	13.19	24.1	780	0.054	0.054	48(Qp)	Si	5.6
345.7	-1170	0.0	4.62	13.19	24.1	780	0.054	0.054	32(Fr)	Si	7.4
622.2	774	0.0	4.62	13.19	24.1	516	0.036	0.036	48(Qp)	Si	8.4
622.2	774	0.0	4.62	13.19	24.1	516	0.036	0.036	32(Fr)	Si	11
691.3	1854	0.0	4.62	13.19	24.1	1237	0.085	0.085	48(Qp)	Si	3.5
691.3	1854	0.0	4.62	13.19	24.1	1237	0.085	0.085	32(Fr)	Si	4.7

Trave: 113 [115,221], Pilastrate [15,21] Sez. R: By=30.0 cm Bz=40.0 cm L=445.0 cm Ln=445.0 cm Criterio: CLS_TraviAlte_ND

Combinazione Rara: σ_{ca} [kg/cmq]=149 σ_{fa} [kg/cmq]=3600

X	M+	M-	Afsup	Afinf	σ_{C+}	σ_{f+}	σ_{C-}	σ_{f-}	Cb+	Cb-	Ver.	CS
cm	kg*m	kg*m	cmq	cmq	kg/cmq	kg/cmq	kg/cmq	kg/cmq				
0.0	--	1705	4.62	4.62	--	--	-28	1137	22	18	Si	3.2
44.5	--	1090	4.62	4.62	--	--	-18	727	22	18	Si	5.0
222.5	205	--	4.62	4.62	-3	137	--	--	18	22	Si	26

X	M+	M-	Afsup	Afinf	σ_c+	σ_f+	σ_c-	σ_f-	Cb+	Cb-	Ver.	CS
400.5	--	375	4.62	4.62	--	--	-6	250	18	22	Si	14
445.0	--	797	4.62	4.62	--	--	-13	531	22	18	Si	6.8

Combinazione QP: $\sigma_{ca}[\text{kg/cm}^2]=112$ $\sigma_{fa}[\text{kg/cm}^2]=3600$

X	M+	M-	Afsup	Afinf	σ_c+	σ_f+	σ_c-	σ_f-	Cb+	Cb-	Ver.	CS
cm	kg*m	kg*m	cmq	cmq	kg/cmq	kg/cmq	kg/cmq	kg/cmq				
0.0	--	1319	4.62	4.62	--	--	-22	880	48	48	Si	4.1
44.5	--	821	4.62	4.62	--	--	-14	548	48	48	Si	6.6
222.5	188	--	4.62	4.62	-3	125	--	--	48	48	Si	29
400.5	--	375	4.62	4.62	--	--	-6	250	48	48	Si	14
445.0	--	761	4.62	4.62	--	--	-13	507	48	48	Si	7.1

Verifica aperture fessure: $W_{amm_Freq}[\text{mm}]=0.400$ $W_{amm_Qp}[\text{mm}]=0.300$

X	M	Act	Aft	pAft	$S_{r,max}$	σ_{fmed}	Wd	Wk	Cb	Ver.	Cs
cm	kg*m	mq	cmq	cm	cm	kg/cmq	mm	mm			
0.0	1319	0.0	4.62	13.19	24.1	880	0.061	0.061	32(Fr)	Si	6.6
0.0	1319	0.0	4.62	13.19	24.1	880	0.061	0.061	48(Qp)	Si	5.0
44.5	821	0.0	4.62	13.19	24.1	548	0.038	0.038	48(Qp)	Si	8.0
44.5	821	0.0	4.62	13.19	24.1	548	0.038	0.038	32(Fr)	Si	11
222.5	-188	0.0	4.62	13.19	24.1	125	0.009	0.009	48(Qp)	Si	35
222.5	-188	0.0	4.62	13.19	24.1	125	0.009	0.009	32(Fr)	Si	46
400.5	375	0.0	4.62	13.19	24.1	250	0.017	0.017	48(Qp)	Si	17
400.5	375	0.0	4.62	13.19	24.1	250	0.017	0.017	32(Fr)	Si	23
445.0	761	0.0	4.62	13.19	24.1	507	0.035	0.035	48(Qp)	Si	8.6
445.0	761	0.0	4.62	13.19	24.1	507	0.035	0.035	32(Fr)	Si	11

Trave: 113 [96,221], Pilastrate [22,21] Sez. R: $B_y=50.0$ cm $B_z=20.0$ cm $L=398.9$ cm $L_n=374.2$ cm Criterio: CLS_TraviSpessore_ND

Combinazione Rara: $\sigma_{ca}[\text{kg/cm}^2]=149$ $\sigma_{fa}[\text{kg/cm}^2]=3600$

X	M+	M-	Afsup	Afinf	σ_c+	σ_f+	σ_c-	σ_f-	Cb+	Cb-	Ver.	CS
cm	kg*m	kg*m	cmq	cmq	kg/cmq	kg/cmq	kg/cmq	kg/cmq				
0.0	--	1135	6.16	6.16	--	--	-50	1348	22	18	Si	2.7
37.4	--	398	6.16	6.16	--	--	-17	473	22	18	Si	7.6
187.1	844	--	6.16	6.16	-37	1002	--	--	18	22	Si	3.6
336.8	--	727	6.16	6.16	--	--	-32	864	22	18	Si	4.2
374.2	--	1572	6.16	6.16	--	--	-69	1867	22	18	Si	1.9

Verifica aperture fessure: $W_{amm_Freq}[\text{mm}]=0.400$ $W_{amm_Qp}[\text{mm}]=0.300$

X	M	Act	Aft	pAft	$S_{r,max}$	σ_{fmed}	Wd	Wk	Cb	Ver.	Cs
cm	kg*m	mq	cmq	cm	cm	kg/cmq	mm	mm			
0.0	962	0.0	6.16	17.59	17.7	1142	0.058	0.058	32(Fr)	Si	6.9
0.0	962	0.0	6.16	17.59	17.7	1142	0.058	0.058	48(Qp)	Si	5.2
37.4	340	0.0	6.16	17.59	17.7	404	0.020	0.020	48(Qp)	Si	15
37.4	340	0.0	6.16	17.59	17.7	404	0.020	0.020	32(Fr)	Si	20
187.1	-711	0.0	6.16	17.59	17.7	845	0.043	0.043	48(Qp)	Si	7.0
187.1	-711	0.0	6.16	17.59	17.7	845	0.043	0.043	32(Fr)	Si	9.3
336.8	599	0.0	6.16	17.59	17.7	712	0.036	0.036	48(Qp)	Si	8.3
336.8	599	0.0	6.16	17.59	17.7	712	0.036	0.036	32(Fr)	Si	11
374.2	1306	0.0	6.16	17.59	17.7	1551	0.084	0.084	48(Qp)	Si	3.6
374.2	1306	0.0	6.16	17.59	17.7	1551	0.084	0.084	32(Fr)	Si	4.8

Trave: 114 [243,248], Pilastrate [43,48] Sez. R: $B_y=30.0$ cm $B_z=40.0$ cm $L=310.6$ cm $L_n=310.6$ cm Criterio: CLS_TraviAlte_ND

Combinazione Rara: $\sigma_{ca}[\text{kg/cm}^2]=149$ $\sigma_{fa}[\text{kg/cm}^2]=3600$

X	M+	M-	Afsup	Afinf	σ_c+	σ_f+	σ_c-	σ_f-	Cb+	Cb-	Ver.	CS
cm	kg*m	kg*m	cmq	cmq	kg/cmq	kg/cmq	kg/cmq	kg/cmq				
0.0	--	1054	4.62	4.62	--	--	-17	703	22	18	Si	5.1
31.1	--	816	4.62	4.62	--	--	-14	544	22	18	Si	6.6
155.3	--	244	4.62	4.62	--	--	-4	163	22	18	Si	22

X	M+	M-	Afsup	Afinf	σ_c+	σ_f+	σ_c-	σ_f-	Cb+	Cb-	Ver.	CS
279.6	--	283	4.62	4.62	--	--	-5	189	22	18	Si	19
310.6	--	389	4.62	4.62	--	--	-6	259	22	18	Si	14

Combinazione QP: $\sigma_{ca}[\text{kg/cm}^2]=112$ $\sigma_{fa}[\text{kg/cm}^2]=3600$

X	M+	M-	Afsup	Afinf	σ_c+	σ_f+	σ_c-	σ_f-	Cb+	Cb-	Ver.	CS
cm	kg*m	kg*m	cmq	cmq	kg/cmq	kg/cmq	kg/cmq	kg/cmq				
0.0	--	931	4.62	4.62	--	--	-15	621	48	48	Si	5.8
31.1	--	723	4.62	4.62	--	--	-12	482	48	48	Si	7.5
155.3	--	209	4.62	4.62	--	--	-3	139	48	48	Si	26
279.6	--	203	4.62	4.62	--	--	-3	135	48	48	Si	27
310.6	--	281	4.62	4.62	--	--	-5	188	48	48	Si	19

Verifica aperture fessure: $W_{amm_Freq}[\text{mm}]=0.400$ $W_{amm_Qp}[\text{mm}]=0.300$

X	M	Act	Aft	pAft	$S_{r,max}$	σ_{fmed}	Wd	Wk	Cb	Ver.	Cs
cm	kg*m	mq	cmq	cm	cm	kg/cmq	mm	mm			
0.0	931	0.0	4.62	13.19	24.1	621	0.043	0.043	32(Fr)	Si	9.4
0.0	931	0.0	4.62	13.19	24.1	621	0.043	0.043	48(Qp)	Si	7.0
31.1	723	0.0	4.62	13.19	24.1	482	0.033	0.033	48(Qp)	Si	9.0
31.1	723	0.0	4.62	13.19	24.1	482	0.033	0.033	32(Fr)	Si	12
155.3	209	0.0	4.62	13.19	24.1	139	0.010	0.010	48(Qp)	Si	31
155.3	209	0.0	4.62	13.19	24.1	139	0.010	0.010	32(Fr)	Si	42
279.6	203	0.0	4.62	13.19	24.1	135	0.009	0.009	48(Qp)	Si	32
279.6	203	0.0	4.62	13.19	24.1	135	0.009	0.009	32(Fr)	Si	43
310.6	281	0.0	4.62	13.19	24.1	188	0.013	0.013	48(Qp)	Si	23
310.6	281	0.0	4.62	13.19	24.1	188	0.013	0.013	32(Fr)	Si	31

Trave: 114 [248,253], Pilastrate [48,53] Sez. R: $B_y=30.0$ cm $B_z=40.0$ cm $L=475.9$ cm $L_n=476.9$ cm Criterio: CLS_TraviAlte_ND

Combinazione Rara: $\sigma_{ca}[\text{kg/cm}^2]=149$ $\sigma_{fa}[\text{kg/cm}^2]=3600$

X	M+	M-	Afsup	Afinf	σ_c+	σ_f+	σ_c-	σ_f-	Cb+	Cb-	Ver.	CS
cm	kg*m	kg*m	cmq	cmq	kg/cmq	kg/cmq	kg/cmq	kg/cmq				
0.0	--	631	4.62	4.62	--	--	-10	420	22	18	Si	8.6
47.7	--	227	4.62	4.62	--	--	-4	152	22	18	Si	24
238.4	487	--	4.62	4.62	-8	325	--	--	18	22	Si	11
429.2	--	238	4.62	4.62	--	--	-4	159	22	18	Si	23
476.9	--	645	4.62	4.62	--	--	-11	430	22	18	Si	8.4

Combinazione QP: $\sigma_{ca}[\text{kg/cm}^2]=112$ $\sigma_{fa}[\text{kg/cm}^2]=3600$

X	M+	M-	Afsup	Afinf	σ_c+	σ_f+	σ_c-	σ_f-	Cb+	Cb-	Ver.	CS
cm	kg*m	kg*m	cmq	cmq	kg/cmq	kg/cmq	kg/cmq	kg/cmq				
0.0	--	542	4.62	4.62	--	--	-9	362	48	48	Si	10.0
47.7	--	208	4.62	4.62	--	--	-3	139	48	48	Si	26
238.4	381	--	4.62	4.62	-6	254	--	--	48	48	Si	14
429.2	--	229	4.62	4.62	--	--	-4	153	48	48	Si	24
476.9	--	569	4.62	4.62	--	--	-9	379	48	48	Si	9.5

Verifica aperture fessure: $W_{amm_Freq}[\text{mm}]=0.400$ $W_{amm_Qp}[\text{mm}]=0.300$

X	M	Act	Aft	pAft	$S_{r,max}$	σ_{fmed}	Wd	Wk	Cb	Ver.	Cs
cm	kg*m	mq	cmq	cm	cm	kg/cmq	mm	mm			
0.0	542	0.0	4.62	13.19	24.1	362	0.025	0.025	32(Fr)	Si	16
0.0	542	0.0	4.62	13.19	24.1	362	0.025	0.025	48(Qp)	Si	12
47.7	208	0.0	4.62	13.19	24.1	139	0.010	0.010	48(Qp)	Si	31
47.7	208	0.0	4.62	13.19	24.1	139	0.010	0.010	32(Fr)	Si	42
238.4	-381	0.0	4.62	13.19	24.1	254	0.017	0.017	48(Qp)	Si	17
238.4	-381	0.0	4.62	13.19	24.1	254	0.017	0.017	32(Fr)	Si	23
429.2	229	0.0	4.62	13.19	24.1	153	0.011	0.011	48(Qp)	Si	29
429.2	229	0.0	4.62	13.19	24.1	153	0.011	0.011	32(Fr)	Si	38
476.9	569	0.0	4.62	13.19	24.1	379	0.026	0.026	48(Qp)	Si	11
476.9	569	0.0	4.62	13.19	24.1	379	0.026	0.026	32(Fr)	Si	15

Trave: 114 [253,155], Pilastrate [53,55] Sez. R: By=30.0 cm Bz=40.0 cm L=276.1 cm Ln=277.7 cm Criterio: CLS_TraviAlte_ND

Combinazione Rara: $\sigma_{ca}[\text{kg/cmq}]=149$ $\sigma_{fa}[\text{kg/cmq}]=3600$

X	M+	M-	Afsup	Afinf	σ_{C+}	σ_{f+}	σ_{C-}	σ_{f-}	Cb+	Cb-	Ver.	CS
cm	kg*m	kg*m	cmq	cmq	kg/cmq	kg/cmq	kg/cmq	kg/cmq				
0.0	--	856	4.62	4.62	--	--	-14	571	22	18	Si	6.3
27.8	--	610	4.62	4.62	--	--	-10	407	22	18	Si	8.9
138.8	68	--	4.62	4.62	-1	45	--	--	18	22	Si	79
249.9	258	--	4.62	4.62	-4	172	--	--	18	22	Si	21
277.7	229	--	4.62	4.62	-4	153	--	--	18	22	Si	24

Combinazione QP: $\sigma_{ca}[\text{kg/cmq}]=112$ $\sigma_{fa}[\text{kg/cmq}]=3600$

X	M+	M-	Afsup	Afinf	σ_{C+}	σ_{f+}	σ_{C-}	σ_{f-}	Cb+	Cb-	Ver.	CS
cm	kg*m	kg*m	cmq	cmq	kg/cmq	kg/cmq	kg/cmq	kg/cmq				
0.0	--	669	4.62	4.62	--	--	-11	446	48	48	Si	8.1
27.8	--	471	4.62	4.62	--	--	-8	314	48	48	Si	11
138.8	66	--	4.62	4.62	-1	44	--	--	48	48	Si	81
249.9	197	--	4.62	4.62	-3	132	--	--	48	48	Si	27
277.7	167	--	4.62	4.62	-3	111	--	--	48	48	Si	32

Verifica aperture fessure: Wamm_Freq[mm]=0.400 Wamm_Qp[mm]=0.300

X	M	Act	Aft	pAft	$S_{r,max}$	σ_{fmed}	Wd	Wk	Cb	Ver.	Cs
cm	kg*m	mq	cmq	cm	cm	kg/cmq	mm	mm			
0.0	669	0.0	4.62	13.19	24.1	446	0.031	0.031	32(Fr)	Si	13
0.0	669	0.0	4.62	13.19	24.1	446	0.031	0.031	48(Qp)	Si	9.8
27.8	471	0.0	4.62	13.19	24.1	314	0.022	0.022	48(Qp)	Si	14
27.8	471	0.0	4.62	13.19	24.1	314	0.022	0.022	32(Fr)	Si	18
138.8	-66	0.0	4.62	13.19	24.1	44	0.003	0.003	48(Qp)	Si	99
138.8	-66	0.0	4.62	13.19	24.1	44	0.003	0.003	32(Fr)	Si	>100
249.9	-197	0.0	4.62	13.19	24.1	132	0.009	0.009	48(Qp)	Si	33
249.9	-197	0.0	4.62	13.19	24.1	132	0.009	0.009	32(Fr)	Si	44
277.7	-167	0.0	4.62	13.19	24.1	111	0.008	0.008	48(Qp)	Si	39
277.7	-167	0.0	4.62	13.19	24.1	111	0.008	0.008	32(Fr)	Si	52

Trave: 114 [243,82], Pilastrate [43,39] Sez. R: By=50.0 cm Bz=20.0 cm L=314.8 cm Ln=300.8 cm Criterio: CLS_TraviSpessore_ND

Combinazione Rara: $\sigma_{ca}[\text{kg/cmq}]=149$ $\sigma_{fa}[\text{kg/cmq}]=3600$

X	M+	M-	Afsup	Afinf	σ_{C+}	σ_{f+}	σ_{C-}	σ_{f-}	Cb+	Cb-	Ver.	CS
cm	kg*m	kg*m	cmq	cmq	kg/cmq	kg/cmq	kg/cmq	kg/cmq				
0.0	--	1530	6.16	6.16	--	--	-67	1817	22	18	Si	2.0
30.1	--	680	6.16	6.16	--	--	-30	808	22	18	Si	4.5
150.4	966	--	6.16	6.16	-42	1147	--	--	18	22	Si	3.1
270.7	--	407	6.16	6.16	--	--	-18	483	22	18	Si	7.5
300.8	--	1223	6.16	6.16	--	--	-54	1452	22	18	Si	2.5

Verifica aperture fessure: Wamm_Freq[mm]=0.400 Wamm_Qp[mm]=0.300

X	M	Act	Aft	pAft	$S_{r,max}$	σ_{fmed}	Wd	Wk	Cb	Ver.	Cs
cm	kg*m	mq	cmq	cm	cm	kg/cmq	mm	mm			
0.0	1253	0.0	6.16	17.59	17.7	1488	0.078	0.078	32(Fr)	Si	5.1
0.0	1253	0.0	6.16	17.59	17.7	1488	0.078	0.078	48(Qp)	Si	3.8
30.1	553	0.0	6.16	17.59	17.7	657	0.033	0.033	48(Qp)	Si	9.0
30.1	553	0.0	6.16	17.59	17.7	657	0.033	0.033	32(Fr)	Si	12
150.4	-800	0.0	6.16	17.59	17.7	950	0.048	0.048	48(Qp)	Si	6.2
150.4	-800	0.0	6.16	17.59	17.7	950	0.048	0.048	32(Fr)	Si	8.3
270.7	335	0.0	6.16	17.59	17.7	397	0.020	0.020	48(Qp)	Si	15
270.7	335	0.0	6.16	17.59	17.7	397	0.020	0.020	32(Fr)	Si	20
300.8	1008	0.0	6.16	17.59	17.7	1197	0.061	0.061	48(Qp)	Si	4.9
300.8	1008	0.0	6.16	17.59	17.7	1197	0.061	0.061	32(Fr)	Si	6.6

Trave: 117 [149,146], Pilastrate [49,46] Sez. R: By=20.0 cm Bz=40.0 cm L=276.1 cm Ln=277.8 cm Criterio:

CLS_TraviAlte_ND

Combinazione Rara: $\sigma_{ca}[\text{kg/cm}^2]=149$ $\sigma_{fa}[\text{kg/cm}^2]=3600$

X	M+	M-	Afsup	Afinf	σ_{c+}	σ_{f+}	σ_{c-}	σ_{f-}	Cb+	Cb-	Ver.	CS
cm	kg*m	kg*m	cmq	cmq	kg/cmq	kg/cmq	kg/cmq	kg/cmq				
0.0	797	--	3.08	3.08	-20	798	--	--	18	22	Si	4.5
27.8	704	--	3.08	3.08	-17	704	--	--	18	22	Si	5.1
138.9	63	--	3.08	3.08	-2	63	--	--	22	18	Si	57
250.0	--	1225	3.08	3.08	--	--	-30	1226	22	18	Si	2.9
277.8	--	1613	3.08	3.08	--	--	-40	1613	22	18	Si	2.2

Combinazione QP: $\sigma_{ca}[\text{kg/cm}^2]=112$ $\sigma_{fa}[\text{kg/cm}^2]=3600$

X	M+	M-	Afsup	Afinf	σ_{c+}	σ_{f+}	σ_{c-}	σ_{f-}	Cb+	Cb-	Ver.	CS
cm	kg*m	kg*m	cmq	cmq	kg/cmq	kg/cmq	kg/cmq	kg/cmq				
0.0	431	--	3.08	3.08	-11	431	--	--	48	48	Si	8.4
27.8	399	--	3.08	3.08	-10	399	--	--	48	48	Si	9.0
138.9	63	--	3.08	3.08	-2	63	--	--	48	48	Si	57
250.0	--	604	3.08	3.08	--	--	-15	604	48	48	Si	6.0
277.8	--	822	3.08	3.08	--	--	-20	823	48	48	Si	4.4

Verifica aperture fessure: Wamm_Freq[mm]=0.400 Wamm_Qp[mm]=0.300

X	M	Act	Aft	pAft	$S_{r,max}$	σ_{fmed}	Wd	Wk	Cb	Ver.	Cs
cm	kg*m	mq	cmq	cm	cm	kg/cmq	mm	mm			
0.0	-431	0.0	3.08	8.80	24.1	431	0.030	0.030	32(Fr)	Si	13
0.0	-431	0.0	3.08	8.80	24.1	431	0.030	0.030	48(Qp)	Si	10
27.8	-399	0.0	3.08	8.80	24.1	399	0.027	0.027	48(Qp)	Si	11
27.8	-399	0.0	3.08	8.80	24.1	399	0.027	0.027	32(Fr)	Si	15
138.9	-63	0.0	3.08	8.80	24.1	63	0.004	0.004	48(Qp)	Si	69
138.9	-63	0.0	3.08	8.80	24.1	63	0.004	0.004	32(Fr)	Si	92
250.0	604	0.0	3.08	8.80	24.1	604	0.042	0.042	48(Qp)	Si	7.2
250.0	604	0.0	3.08	8.80	24.1	604	0.042	0.042	32(Fr)	Si	9.6
277.8	822	0.0	3.08	8.80	24.1	823	0.057	0.057	48(Qp)	Si	5.3
277.8	822	0.0	3.08	8.80	24.1	823	0.057	0.057	32(Fr)	Si	7.1

Trave: 118 [142,140], Pilastrate [42,40] Sez. R: By=20.0 cm Bz=40.0 cm L=303.2 cm Ln=304.7 cm

L2=303.2 cm L3=303.2 cm Criterio: CLS_TraviAlte_ND

Verifica snellezza: fcd=141 [kg/cm²] - **Verificato**

Cb	N	fcd*Ac	v	λ_{max}	λ_{lim}
	kg	kg			
18	500	112880	0.004	52.520	375.532

Combinazione Rara: $\sigma_{ca}[\text{kg/cm}^2]=149$ $\sigma_{fa}[\text{kg/cm}^2]=3600$

X	M+	M-	Afsup	Afinf	σ_{c+}	σ_{f+}	σ_{c-}	σ_{f-}	Cb+	Cb-	Ver.	CS
cm	kg*m	kg*m	cmq	cmq	kg/cmq	kg/cmq	kg/cmq	kg/cmq				
0.0	389	--	3.08	3.08	-10	389	--	--	18	22	Si	9.2
30.5	379	--	3.08	3.08	-9	379	--	--	18	22	Si	9.5
152.4	--	95	3.08	3.08	--	--	-2	95	22	18	Si	38
274.2	--	1215	3.08	3.08	--	--	-30	1216	22	18	Si	3.0
304.7	--	1588	3.08	3.08	--	--	-39	1589	22	18	Si	2.3

Combinazione QP: $\sigma_{ca}[\text{kg/cm}^2]=112$ $\sigma_{fa}[\text{kg/cm}^2]=3600$

X	M+	M-	Afsup	Afinf	σ_{c+}	σ_{f+}	σ_{c-}	σ_{f-}	Cb+	Cb-	Ver.	CS
cm	kg*m	kg*m	cmq	cmq	kg/cmq	kg/cmq	kg/cmq	kg/cmq				
0.0	281	--	3.08	3.08	-7	281	--	--	48	48	Si	13
30.5	275	--	3.08	3.08	-7	275	--	--	48	48	Si	13
152.4	--	9	3.08	3.08	--	--	-0	9	48	48	Si	>100
274.2	--	696	3.08	3.08	--	--	-17	696	48	48	Si	5.2
304.7	--	928	3.08	3.08	--	--	-23	928	48	48	Si	3.9

Verifica aperture fessure: Wamm_Freq[mm]=0.400 Wamm_Qp[mm]=0.300

X	M	Act	Aft	pAft	$S_{r,max}$	σ_{fmed}	Wd	Wk	Cb	Ver.	Cs
cm	kg*m	mq	cmq	cm	cm	kg/cmq	mm	mm			

X	M	Act	Aft	pAft	S _{r,max}	σ _{fmed}	Wd	Wk	Cb	Ver.	Cs
0.0	-281	0.0	3.08	8.80	24.1	281	0.019	0.019	32(Fr)	Si	21
0.0	-281	0.0	3.08	8.80	24.1	281	0.019	0.019	48(Qp)	Si	16
30.5	-275	0.0	3.08	8.80	24.1	275	0.019	0.019	48(Qp)	Si	16
30.5	-275	0.0	3.08	8.80	24.1	275	0.019	0.019	32(Fr)	Si	21
152.4	9	0.0	3.08	8.80	24.1	9	0.001	0.001	48(Qp)	Si	>100
152.4	9	0.0	3.08	8.80	24.1	9	0.001	0.001	32(Fr)	Si	>100
274.2	696	0.0	3.08	8.80	24.1	696	0.048	0.048	48(Qp)	Si	6.3
274.2	696	0.0	3.08	8.80	24.1	696	0.048	0.048	32(Fr)	Si	8.3
304.7	928	0.0	3.08	8.80	24.1	928	0.064	0.064	48(Qp)	Si	4.7
304.7	928	0.0	3.08	8.80	24.1	928	0.064	0.064	32(Fr)	Si	6.3

Trave: 119 [123,124], Pilastrate [23,24] Sez. R: By=20.0 cm Bz=40.0 cm L=276.6 cm Ln=277.4 cm
L2=276.6 cm L3=276.6 cm Criterio: CLS_TraviAlte_ND

Verifica snellezza: fcd=141 [kg/cm²] - **Verificato**

Cb	N	fcd*Ac	v	λ _{max}	λ _{lim}
	kg	kg			
22	198	112880	0.002	47.914	596.833

Combinazione Rara: σ_{ca}[kg/cm²]=149 σ_{fa}[kg/cm²]=3600

X	M+	M-	Afsup	Afinf	σ _{c+}	σ _{f+}	σ _{c-}	σ _{f-}	Cb+	Cb-	Ver.	CS
cm	kg*m	kg*m	cmq	cmq	kg/cm ²	kg/cm ²	kg/cm ²	kg/cm ²				
0.0	185	--	4.62	3.08	-4	184	--	--	18	22	Si	20
27.7	198	--	4.62	3.08	-5	198	--	--	18	22	Si	18
138.7	--	58	4.62	3.08	--	--	-1	39	18	22	Si	92
249.6	--	687	4.62	3.08	--	--	-15	465	22	18	Si	7.7
277.4	--	922	4.62	3.08	--	--	-20	624	22	18	Si	5.8

Combinazione QP: σ_{ca}[kg/cm²]=112 σ_{fa}[kg/cm²]=3600

X	M+	M-	Afsup	Afinf	σ _{c+}	σ _{f+}	σ _{c-}	σ _{f-}	Cb+	Cb-	Ver.	CS
cm	kg*m	kg*m	cmq	cmq	kg/cm ²	kg/cm ²	kg/cm ²	kg/cm ²				
0.0	60	--	4.62	3.08	-1	60	--	--	48	48	Si	60
27.7	75	--	4.62	3.08	-2	74	--	--	48	48	Si	48
138.7	--	58	4.62	3.08	--	--	-1	39	48	48	Si	90
249.6	--	496	4.62	3.08	--	--	-11	336	48	48	Si	11
277.4	--	653	4.62	3.08	--	--	-14	442	48	48	Si	8.0

Verifica aperture fessure: Wamm_Freq[mm]=0.400 Wamm_Qp[mm]=0.300

X	M	Act	Aft	pAft	S _{r,max}	σ _{fmed}	Wd	Wk	Cb	Ver.	Cs
cm	kg*m	mq	cmq	cm	cm	kg/cm ²	mm	mm			
0.0	-60	0.0	3.08	8.80	24.3	60	0.004	0.004	32(Fr)	Si	96
0.0	-60	0.0	3.08	8.80	24.3	60	0.004	0.004	48(Qp)	Si	72
27.7	-75	0.0	3.08	8.80	24.3	74	0.005	0.005	48(Qp)	Si	58
27.7	-75	0.0	3.08	8.80	24.3	74	0.005	0.005	32(Fr)	Si	77
138.7	58	0.0	4.62	13.19	18.3	39	0.002	0.002	48(Qp)	Si	>100
138.7	58	0.0	4.62	13.19	18.3	39	0.002	0.002	32(Fr)	Si	>100
249.6	496	0.0	4.62	13.19	18.3	336	0.018	0.018	48(Qp)	Si	17
249.6	496	0.0	4.62	13.19	18.3	336	0.018	0.018	32(Fr)	Si	23
277.4	653	0.0	4.62	13.19	18.3	442	0.023	0.023	48(Qp)	Si	13
277.4	653	0.0	4.62	13.19	18.3	442	0.023	0.023	32(Fr)	Si	17

Trave: 122 [128,229], Pilastrate [28,29] Sez. R: By=20.0 cm Bz=30.0 cm L=334.3 cm Ln=335.7 cm
L2=334.3 cm L3=334.3 cm Criterio: CLS_TraviAlte_ND

Verifica snellezza: fcd=141 [kg/cm²] - **Verificato**

Cb	N	fcd*Ac	v	λ _{max}	λ _{lim}
	kg	kg			
22	169	84660	0.002	57.911	559.371

Combinazione Rara: σ_{ca}[kg/cm²]=149 σ_{fa}[kg/cm²]=3600

X	M+	M-	Afsup	Afinf	σ _{c+}	σ _{f+}	σ _{c-}	σ _{f-}	Cb+	Cb-	Ver.	CS
cm	kg*m	kg*m	cmq	cmq	kg/cm ²	kg/cm ²	kg/cm ²	kg/cm ²				
0.0	--	401	3.08	3.08	--	--	-17	568	22	18	Si	6.3

X	M+	M-	Afsup	Afinf	σ_{C+}	σ_{f+}	σ_{C-}	σ_{f-}	Cb+	Cb-	Ver.	CS
33.6	--	252	3.08	3.08	--	--	-11	357	22	18	Si	10
167.8	12	--	3.08	3.08	-1	17	--	--	18	22	Si	>100
302.1	--	245	3.08	3.08	--	--	-10	347	22	18	Si	10
335.7	--	389	3.08	3.08	--	--	-16	551	22	18	Si	6.5

Combinazione QP: $\sigma_{ca}[\text{kg/cm}^2]=112$ $\sigma_{fa}[\text{kg/cm}^2]=3600$

X	M+	M-	Afsup	Afinf	σ_{C+}	σ_{f+}	σ_{C-}	σ_{f-}	Cb+	Cb-	Ver.	CS
cm	kg*m	kg*m	cmq	cmq	kg/cmq	kg/cmq	kg/cmq	kg/cmq				
0.0	--	185	3.08	3.08	--	--	-8	262	48	48	Si	14
33.6	--	103	3.08	3.08	--	--	-4	146	48	48	Si	25
167.8	5	--	3.08	3.08	-0	7	--	--	48	48	Si	>100
302.1	--	232	3.08	3.08	--	--	-10	329	48	48	Si	11
335.7	--	345	3.08	3.08	--	--	-15	489	48	48	Si	7.4

Verifica aperture fessure: $W_{amm_Freq}[\text{mm}]=0.400$ $W_{amm_Qp}[\text{mm}]=0.300$

X	M	Act	Aft	pAft	$S_{r,max}$	σ_{fmed}	Wd	Wk	Cb	Ver.	Cs
cm	kg*m	mq	cmq	cm	cm	kg/cmq	mm	mm			
0.0	185	0.0	3.08	8.80	19.8	262	0.015	0.015	32(Fr)	Si	27
0.0	185	0.0	3.08	8.80	19.8	262	0.015	0.015	48(Qp)	Si	20
33.6	103	0.0	3.08	8.80	19.8	146	0.008	0.008	48(Qp)	Si	36
33.6	103	0.0	3.08	8.80	19.8	146	0.008	0.008	32(Fr)	Si	48
167.8	-5	0.0	3.08	8.80	19.8	7	0.000	0.000	48(Qp)	Si	>100
167.8	-5	0.0	3.08	8.80	19.8	7	0.000	0.000	32(Fr)	Si	>100
302.1	232	0.0	3.08	8.80	19.8	329	0.019	0.019	48(Qp)	Si	16
302.1	232	0.0	3.08	8.80	19.8	329	0.019	0.019	32(Fr)	Si	21
335.7	345	0.0	3.08	8.80	19.8	489	0.028	0.028	48(Qp)	Si	11
335.7	345	0.0	3.08	8.80	19.8	489	0.028	0.028	32(Fr)	Si	14

Trave: 122 [229,79], Pilastrate [29,--] Sez. R: $B_y=50.0$ cm $B_z=20.0$ cm $L=321.7$ cm $L_n=306.8$ cm Criterio: CLS_TraviSpessore_ND

Combinazione Rara: $\sigma_{ca}[\text{kg/cm}^2]=149$ $\sigma_{fa}[\text{kg/cm}^2]=3600$

X	M+	M-	Afsup	Afinf	σ_{C+}	σ_{f+}	σ_{C-}	σ_{f-}	Cb+	Cb-	Ver.	CS
cm	kg*m	kg*m	cmq	cmq	kg/cmq	kg/cmq	kg/cmq	kg/cmq				
0.0	--	1355	6.16	6.16	--	--	-59	1609	22	18	Si	2.2
30.7	--	557	6.16	6.16	--	--	-24	661	22	18	Si	5.4
153.4	831	--	6.16	6.16	-36	987	--	--	18	22	Si	3.6
276.2	--	296	6.16	6.16	--	--	-13	352	22	18	Si	10
306.8	--	930	6.16	6.16	--	--	-41	1104	22	18	Si	3.3

Verifica aperture fessure: $W_{amm_Freq}[\text{mm}]=0.400$ $W_{amm_Qp}[\text{mm}]=0.300$

X	M	Act	Aft	pAft	$S_{r,max}$	σ_{fmed}	Wd	Wk	Cb	Ver.	Cs
cm	kg*m	mq	cmq	cm	cm	kg/cmq	mm	mm			
0.0	1105	0.0	6.16	17.59	17.7	1312	0.066	0.066	32(Fr)	Si	6.0
0.0	1105	0.0	6.16	17.59	17.7	1312	0.066	0.066	48(Qp)	Si	4.5
30.7	446	0.0	6.16	17.59	17.7	529	0.027	0.027	48(Qp)	Si	11
30.7	446	0.0	6.16	17.59	17.7	529	0.027	0.027	32(Fr)	Si	15
153.4	-700	0.0	6.16	17.59	17.7	831	0.042	0.042	48(Qp)	Si	7.1
153.4	-700	0.0	6.16	17.59	17.7	831	0.042	0.042	32(Fr)	Si	9.5
276.2	242	0.0	6.16	17.59	17.7	287	0.015	0.015	48(Qp)	Si	21
276.2	242	0.0	6.16	17.59	17.7	287	0.015	0.015	32(Fr)	Si	28
306.8	770	0.0	6.16	17.59	17.7	914	0.046	0.046	48(Qp)	Si	6.5
306.8	770	0.0	6.16	17.59	17.7	914	0.046	0.046	32(Fr)	Si	8.6

Trave: 123 [114,220], Pilastrate [14,20] Sez. R: $B_y=20.0$ cm $B_z=30.0$ cm $L=446.0$ cm $L_n=447.0$ cm Criterio: CLS_TraviAlte_ND

Combinazione Rara: $\sigma_{ca}[\text{kg/cm}^2]=149$ $\sigma_{fa}[\text{kg/cm}^2]=3600$

X	M+	M-	Afsup	Afinf	σ_{C+}	σ_{f+}	σ_{C-}	σ_{f-}	Cb+	Cb-	Ver.	CS
cm	kg*m	kg*m	cmq	cmq	kg/cmq	kg/cmq	kg/cmq	kg/cmq				
0.0	--	907	3.08	3.08	--	--	-38	1285	22	18	Si	2.8

X	M+	M-	Afsup	Afinf	σ_c+	σ_f+	σ_c-	σ_f-	Cb+	Cb-	Ver.	CS
44.7	--	525	3.08	3.08	--	--	-22	744	22	18	Si	4.8
223.5	209	--	3.08	3.08	-9	296	--	--	18	22	Si	12
402.3	--	225	3.08	3.08	--	--	-10	319	22	18	Si	11
447.0	--	499	3.08	3.08	--	--	-21	708	22	18	Si	5.1

Combinazione QP: $\sigma_{ca}[\text{kg/cm}^2]=112$ $\sigma_{fa}[\text{kg/cm}^2]=3600$

X	M+	M-	Afsup	Afinf	σ_c+	σ_f+	σ_c-	σ_f-	Cb+	Cb-	Ver.	CS
cm	kg*m	kg*m	cmq	cmq	kg/cmq	kg/cmq	kg/cmq	kg/cmq				
0.0	--	527	3.08	3.08	--	--	-22	748	48	48	Si	4.8
44.7	--	293	3.08	3.08	--	--	-12	416	48	48	Si	8.7
223.5	142	--	3.08	3.08	-6	201	--	--	48	48	Si	18
402.3	--	183	3.08	3.08	--	--	-8	259	48	48	Si	14
447.0	--	376	3.08	3.08	--	--	-16	533	48	48	Si	6.8

Verifica aperture fessure: $W_{amm_Freq}[\text{mm}]=0.400$ $W_{amm_Qp}[\text{mm}]=0.300$

X	M	Act	Aft	pAft	$S_{r,max}$	σ_{fmed}	Wd	Wk	Cb	Ver.	Cs
cm	kg*m	mq	cmq	cm	cm	kg/cmq	mm	mm			
0.0	527	0.0	3.08	8.80	19.8	748	0.042	0.042	32(Fr)	Si	9.4
0.0	527	0.0	3.08	8.80	19.8	748	0.042	0.042	48(Qp)	Si	7.1
44.7	293	0.0	3.08	8.80	19.8	416	0.024	0.024	48(Qp)	Si	13
44.7	293	0.0	3.08	8.80	19.8	416	0.024	0.024	32(Fr)	Si	17
223.5	-142	0.0	3.08	8.80	19.8	201	0.011	0.011	48(Qp)	Si	26
223.5	-142	0.0	3.08	8.80	19.8	201	0.011	0.011	32(Fr)	Si	35
402.3	183	0.0	3.08	8.80	19.8	259	0.015	0.015	48(Qp)	Si	20
402.3	183	0.0	3.08	8.80	19.8	259	0.015	0.015	32(Fr)	Si	27
447.0	376	0.0	3.08	8.80	19.8	533	0.030	0.030	48(Qp)	Si	9.9
447.0	376	0.0	3.08	8.80	19.8	533	0.030	0.030	32(Fr)	Si	13

Trave: 123 [78,79], Pilastrate [--,--] Sez. R: By=50.0 cm Bz=20.0 cm L=249.6 cm Ln=249.6 cm Criterio: CLS_TraviSpessore_ND

Combinazione Rara: $\sigma_{ca}[\text{kg/cm}^2]=149$ $\sigma_{fa}[\text{kg/cm}^2]=3600$

X	M+	M-	Afsup	Afinf	σ_c+	σ_f+	σ_c-	σ_f-	Cb+	Cb-	Ver.	CS
cm	kg*m	kg*m	cmq	cmq	kg/cmq	kg/cmq	kg/cmq	kg/cmq				
0.0	--	26	6.16	6.16	--	--	-1	31	22	18	Si	>100
25.0	--	5	6.16	6.16	--	--	-0	6	22	18	Si	>100
124.8	--	12	6.16	6.16	--	--	-1	15	22	18	Si	>100
224.6	--	118	6.16	6.16	--	--	-5	140	22	18	Si	26
249.6	--	184	6.16	6.16	--	--	-8	218	22	18	Si	17

Verifica aperture fessure: $W_{amm_Freq}[\text{mm}]=0.400$ $W_{amm_Qp}[\text{mm}]=0.300$

X	M	Act	Aft	pAft	$S_{r,max}$	σ_{fmed}	Wd	Wk	Cb	Ver.	Cs
cm	kg*m	mq	cmq	cm	cm	kg/cmq	mm	mm			
0.0	24	0.0	6.16	17.59	17.7	28	0.001	0.001	32(Fr)	Si	>100
0.0	24	0.0	6.16	17.59	17.7	28	0.001	0.001	48(Qp)	Si	>100
25.0	4	0.0	6.16	17.59	17.7	5	0.000	0.000	48(Qp)	Si	>100
25.0	4	0.0	6.16	17.59	17.7	5	0.000	0.000	32(Fr)	Si	>100
124.8	12	0.0	6.16	17.59	17.7	15	0.001	0.001	48(Qp)	Si	>100
124.8	12	0.0	6.16	17.59	17.7	15	0.001	0.001	32(Fr)	Si	>100
224.6	102	0.0	6.16	17.59	17.7	121	0.006	0.006	48(Qp)	Si	49
224.6	102	0.0	6.16	17.59	17.7	121	0.006	0.006	32(Fr)	Si	65
249.6	160	0.0	6.16	17.59	17.7	190	0.010	0.010	48(Qp)	Si	31
249.6	160	0.0	6.16	17.59	17.7	190	0.010	0.010	32(Fr)	Si	41

Trave: 123 [79,83], Pilastrate [--,--] Sez. R: By=50.0 cm Bz=20.0 cm L=82.8 cm Ln=82.8 cm Criterio: CLS_TraviSpessore_ND

Combinazione Rara: $\sigma_{ca}[\text{kg/cm}^2]=149$ $\sigma_{fa}[\text{kg/cm}^2]=3600$

X	M+	M-	Afsup	Afinf	σ_c+	σ_f+	σ_c-	σ_f-	Cb+	Cb-	Ver.	CS
cm	kg*m	kg*m	cmq	cmq	kg/cmq	kg/cmq	kg/cmq	kg/cmq				
0.0	--	433	6.16	6.16	--	--	-19	514	22	18	Si	7.0

X	M+	M-	Afsup	Afinf	σ_c+	σ_f+	σ_c-	σ_f-	Cb+	Cb-	Ver.	CS
8.3	--	380	6.16	6.16	--	--	-17	452	22	18	Si	8.0
41.4	--	194	6.16	6.16	--	--	-9	231	22	18	Si	16
74.5	--	58	6.16	6.16	--	--	-3	69	22	18	Si	52
82.8	--	34	6.16	6.16	--	--	-1	40	22	18	Si	90

Verifica aperture fessure: Wamm_Freq[mm]=0.400 Wamm_Qp[mm]=0.300

X	M	Act	Aft	pAft	$S_{r,max}$	σ_{fmed}	Wd	Wk	Cb	Ver.	Cs
cm	kg*m	mq	cmq	cm	cm	kg/cmq	mm	mm			
0.0	381	0.0	6.16	17.59	17.7	452	0.023	0.023	32(Fr)	Si	17
0.0	381	0.0	6.16	17.59	17.7	452	0.023	0.023	48(Qp)	Si	13
8.3	333	0.0	6.16	17.59	17.7	396	0.020	0.020	48(Qp)	Si	15
8.3	333	0.0	6.16	17.59	17.7	396	0.020	0.020	32(Fr)	Si	20
41.4	165	0.0	6.16	17.59	17.7	196	0.010	0.010	48(Qp)	Si	30
41.4	165	0.0	6.16	17.59	17.7	196	0.010	0.010	32(Fr)	Si	40
74.5	41	0.0	6.16	17.59	17.7	49	0.002	0.002	48(Qp)	Si	>100
74.5	41	0.0	6.16	17.59	17.7	49	0.002	0.002	32(Fr)	Si	>100
82.8	19	0.0	6.16	17.59	17.7	22	0.001	0.001	48(Qp)	Si	>100
82.8	19	0.0	6.16	17.59	17.7	22	0.001	0.001	32(Fr)	Si	>100

Trave: 123 [78,77], Pilastrate [--,27] Sez. R: By=50.0 cm Bz=20.0 cm L=213.7 cm Ln=213.7 cm L2=213.7 cm L3=213.7 cm Criterio: CLS_TraviSpessore_ND

Verifica snellezza: fcd=141 [kg/cm²] - **Verificato**

Cb	N	fcd*Ac	v	λ_{max}	λ_{lim}
	kg	kg			
22	288	141100	0.002	37.014	553.143

Combinazione Rara: σ_{ca} [kg/cm²]=149 σ_{fa} [kg/cm²]=3600

X	M+	M-	Afsup	Afinf	σ_c+	σ_f+	σ_c-	σ_f-	Cb+	Cb-	Ver.	CS
cm	kg*m	kg*m	cmq	cmq	kg/cm ²	kg/cm ²	kg/cm ²	kg/cm ²				
0.0	--	63	6.16	6.16	--	--	-3	75	22	18	Si	48
21.4	--	43	6.16	6.16	--	--	-2	51	22	18	Si	71
106.9	--	76	6.16	6.16	--	--	-3	90	22	18	Si	40
192.3	--	291	6.16	6.16	--	--	-13	346	22	18	Si	10
213.7	--	374	6.16	6.16	--	--	-16	444	22	18	Si	8.1

Verifica aperture fessure: Wamm_Freq[mm]=0.400 Wamm_Qp[mm]=0.300

X	M	Act	Aft	pAft	$S_{r,max}$	σ_{fmed}	Wd	Wk	Cb	Ver.	Cs
cm	kg*m	mq	cmq	cm	cm	kg/cm ²	mm	mm			
0.0	61	0.0	6.16	17.59	17.7	72	0.004	0.004	32(Fr)	Si	>100
0.0	61	0.0	6.16	17.59	17.7	72	0.004	0.004	48(Qp)	Si	82
21.4	37	0.0	6.16	17.59	17.7	43	0.002	0.002	48(Qp)	Si	>100
21.4	37	0.0	6.16	17.59	17.7	43	0.002	0.002	32(Fr)	Si	>100
106.9	55	0.0	6.16	17.59	17.7	65	0.003	0.003	48(Qp)	Si	91
106.9	55	0.0	6.16	17.59	17.7	65	0.003	0.003	32(Fr)	Si	>100
192.3	256	0.0	6.16	17.59	17.7	303	0.015	0.015	48(Qp)	Si	20
192.3	256	0.0	6.16	17.59	17.7	303	0.015	0.015	32(Fr)	Si	26
213.7	334	0.0	6.16	17.59	17.7	397	0.020	0.020	48(Qp)	Si	15
213.7	334	0.0	6.16	17.59	17.7	397	0.020	0.020	32(Fr)	Si	20

Trave: 123 [220,77], Pilastrate [20,27] Sez. R: By=50.0 cm Bz=20.0 cm L=400.5 cm Ln=400.5 cm Criterio: CLS_TraviSpessore_ND

Combinazione Rara: σ_{ca} [kg/cm²]=149 σ_{fa} [kg/cm²]=3600

X	M+	M-	Afsup	Afinf	σ_c+	σ_f+	σ_c-	σ_f-	Cb+	Cb-	Ver.	CS
cm	kg*m	kg*m	cmq	cmq	kg/cm ²	kg/cm ²	kg/cm ²	kg/cm ²				
0.0	--	1847	6.16	6.16	--	--	-81	2194	22	18	Si	1.6
40.1	--	848	6.16	6.16	--	--	-37	1007	22	18	Si	3.6
200.3	958	--	6.16	6.16	-42	1137	--	--	18	22	Si	3.2
360.5	--	575	6.16	6.16	--	--	-25	683	22	18	Si	5.3
400.5	--	1454	6.16	6.16	--	--	-64	1726	22	18	Si	2.1

Verifica aperture fessure: Wamm_Freq[mm]=0.400 Wamm_Qp[mm]=0.300

X	M	Act	Aft	pAft	S _{r,max}	σfmed	Wd	Wk	Cb	Ver.	Cs
cm	kg*m	mq	cmq	cm	cm	kg/cmq	mm	mm			
0.0	1532	0.0	6.16	17.59	17.7	1820	0.106	0.106	32(Fr)	Si	3.8
0.0	1532	0.0	6.16	17.59	17.7	1820	0.106	0.106	48(Qp)	Si	2.8
40.1	697	0.0	6.16	17.59	17.7	828	0.042	0.042	48(Qp)	Si	7.1
40.1	697	0.0	6.16	17.59	17.7	828	0.042	0.042	32(Fr)	Si	9.5
200.3	-809	0.0	6.16	17.59	17.7	961	0.049	0.049	48(Qp)	Si	6.2
200.3	-809	0.0	6.16	17.59	17.7	961	0.049	0.049	32(Fr)	Si	8.2
360.5	484	0.0	6.16	17.59	17.7	575	0.029	0.029	48(Qp)	Si	10
360.5	484	0.0	6.16	17.59	17.7	575	0.029	0.029	32(Fr)	Si	14
400.5	1224	0.0	6.16	17.59	17.7	1454	0.076	0.076	48(Qp)	Si	4.0
400.5	1224	0.0	6.16	17.59	17.7	1454	0.076	0.076	32(Fr)	Si	5.3

Trave: 124 [116,117], Pilastrate [16,17] Sez. R: By=20.0 cm Bz=40.0 cm L=276.6 cm Ln=277.4 cm Criterio: CLS_TraviAlte_ND

Combinazione Rara: σca[kg/cmq]=149 σfa[kg/cmq]=3600

X	M+	M-	Afsup	Afinf	σc+	σf+	σc-	σf-	Cb+	Cb-	Ver.	CS
cm	kg*m	kg*m	cmq	cmq	kg/cmq	kg/cmq	kg/cmq	kg/cmq				
0.0	--	84	4.62	3.08	--	--	-2	57	18	22	Si	63
27.7	30	46	4.62	3.08	-1	30	-1	31	18	22	Si	>100
138.7	--	64	4.62	3.08	--	--	-1	43	18	22	Si	83
249.6	--	442	4.62	3.08	--	--	-9	299	22	18	Si	12
277.4	--	598	4.62	3.08	--	--	-13	405	22	18	Si	8.9

Combinazione QP: σca[kg/cmq]=112 σfa[kg/cmq]=3600

X	M+	M-	Afsup	Afinf	σc+	σf+	σc-	σf-	Cb+	Cb-	Ver.	CS
cm	kg*m	kg*m	cmq	cmq	kg/cmq	kg/cmq	kg/cmq	kg/cmq				
0.0	--	84	4.62	3.08	--	--	-2	57	48	48	Si	62
27.7	--	46	4.62	3.08	--	--	-1	31	48	48	Si	>100
138.7	--	64	4.62	3.08	--	--	-1	43	48	48	Si	81
249.6	--	358	4.62	3.08	--	--	-8	242	48	48	Si	15
277.4	--	474	4.62	3.08	--	--	-10	321	48	48	Si	11

Verifica aperture fessure: Wamm_Freq[mm]=0.400 Wamm_Qp[mm]=0.300

X	M	Act	Aft	pAft	S _{r,max}	σfmed	Wd	Wk	Cb	Ver.	Cs
cm	kg*m	mq	cmq	cm	cm	kg/cmq	mm	mm			
0.0	84	0.0	4.62	13.19	18.3	57	0.003	0.003	32(Fr)	Si	>100
0.0	84	0.0	4.62	13.19	18.3	57	0.003	0.003	48(Qp)	Si	>100
27.7	46	0.0	4.62	13.19	18.3	31	0.002	0.002	48(Qp)	Si	>100
27.7	46	0.0	4.62	13.19	18.3	31	0.002	0.002	32(Fr)	Si	>100
138.7	64	0.0	4.62	13.19	18.3	43	0.002	0.002	48(Qp)	Si	>100
138.7	64	0.0	4.62	13.19	18.3	43	0.002	0.002	32(Fr)	Si	>100
249.6	358	0.0	4.62	13.19	18.3	242	0.013	0.013	48(Qp)	Si	24
249.6	358	0.0	4.62	13.19	18.3	242	0.013	0.013	32(Fr)	Si	32
277.4	474	0.0	4.62	13.19	18.3	321	0.017	0.017	48(Qp)	Si	18
277.4	474	0.0	4.62	13.19	18.3	321	0.017	0.017	32(Fr)	Si	24

Trave: 126 [103,107], Pilastrate [3,7] Sez. R: By=20.0 cm Bz=40.0 cm L=276.6 cm Ln=278.3 cm L2=276.6 cm L3=276.6 cm Criterio: CLS_TraviAlte_ND

Verifica snellezza: fcd=141 [kg/cmq] - **Verificato**

Cb	N	fcd*Ac	v	λmax	λlim
	kg	kg			
18	153	112880	0.001	47.916	677.955

Combinazione Rara: σca[kg/cmq]=149 σfa[kg/cmq]=3600

X	M+	M-	Afsup	Afinf	σc+	σf+	σc-	σf-	Cb+	Cb-	Ver.	CS
cm	kg*m	kg*m	cmq	cmq	kg/cmq	kg/cmq	kg/cmq	kg/cmq				
0.0	392	--	3.08	3.08	-10	392	--	--	18	22	Si	9.2
27.8	359	--	3.08	3.08	-9	359	--	--	18	22	Si	10
139.1	34	3	3.08	3.08	-1	34	-0	3	22	18	Si	>100

X	M+	M-	Afsup	Afinf	σ_c+	σ_f+	σ_c-	σ_f-	Cb+	Cb-	Ver.	CS
250.4	--	735	3.08	3.08	--	--	-18	735	22	18	Si	4.9
278.3	--	976	3.08	3.08	--	--	-24	977	22	18	Si	3.7

Combinazione QP: $\sigma_{ca}[\text{kg/cm}^2]=112$ $\sigma_{fa}[\text{kg/cm}^2]=3600$

X	M+	M-	Afsup	Afinf	σ_c+	σ_f+	σ_c-	σ_f-	Cb+	Cb-	Ver.	CS
cm	kg*m	kg*m	cmq	cmq	kg/cmq	kg/cmq	kg/cmq	kg/cmq				
0.0	306	--	3.08	3.08	-8	306	--	--	48	48	Si	12
27.8	289	--	3.08	3.08	-7	289	--	--	48	48	Si	12
139.1	34	--	3.08	3.08	-1	34	--	--	48	48	Si	>100
250.4	--	519	3.08	3.08	--	--	-13	519	48	48	Si	6.9
278.3	--	704	3.08	3.08	--	--	-17	704	48	48	Si	5.1

Verifica aperture fessure: $W_{amm_Freq}[\text{mm}]=0.400$ $W_{amm_Qp}[\text{mm}]=0.300$

X	M	Act	Aft	pAft	$S_{r,max}$	σ_{fmed}	Wd	Wk	Cb	Ver.	Cs
cm	kg*m	mq	cmq	cm	cm	kg/cmq	mm	mm			
0.0	-306	0.0	3.08	8.80	24.1	306	0.021	0.021	32(Fr)	Si	19
0.0	-306	0.0	3.08	8.80	24.1	306	0.021	0.021	48(Qp)	Si	14
27.8	-289	0.0	3.08	8.80	24.1	289	0.020	0.020	48(Qp)	Si	15
27.8	-289	0.0	3.08	8.80	24.1	289	0.020	0.020	32(Fr)	Si	20
139.1	-34	0.0	3.08	8.80	24.1	34	0.002	0.002	48(Qp)	Si	>100
139.1	-34	0.0	3.08	8.80	24.1	34	0.002	0.002	32(Fr)	Si	>100
250.4	519	0.0	3.08	8.80	24.1	519	0.036	0.036	48(Qp)	Si	8.4
250.4	519	0.0	3.08	8.80	24.1	519	0.036	0.036	32(Fr)	Si	11
278.3	704	0.0	3.08	8.80	24.1	704	0.048	0.048	48(Qp)	Si	6.2
278.3	704	0.0	3.08	8.80	24.1	704	0.048	0.048	32(Fr)	Si	8.3

Trave: 127 [104,108], Pilastrate [4,8] Sez. R: $B_y=20.0$ cm $B_z=40.0$ cm $L=276.6$ cm $L_n=278.3$ cm Criterio: CLS_TraviAlte_ND

Combinazione Rara: $\sigma_{ca}[\text{kg/cm}^2]=149$ $\sigma_{fa}[\text{kg/cm}^2]=3600$

X	M+	M-	Afsup	Afinf	σ_c+	σ_f+	σ_c-	σ_f-	Cb+	Cb-	Ver.	CS
cm	kg*m	kg*m	cmq	cmq	kg/cmq	kg/cmq	kg/cmq	kg/cmq				
0.0	736	--	3.08	3.08	-18	736	--	--	18	22	Si	4.9
27.8	605	--	3.08	3.08	-15	605	--	--	18	22	Si	5.9
139.1	--	220	3.08	3.08	--	--	-5	220	22	18	Si	16
250.4	--	1527	3.08	3.08	--	--	-38	1528	22	18	Si	2.4
278.3	--	1929	3.08	3.08	--	--	-48	1930	22	18	Si	1.9

Combinazione QP: $\sigma_{ca}[\text{kg/cm}^2]=112$ $\sigma_{fa}[\text{kg/cm}^2]=3600$

X	M+	M-	Afsup	Afinf	σ_c+	σ_f+	σ_c-	σ_f-	Cb+	Cb-	Ver.	CS
cm	kg*m	kg*m	cmq	cmq	kg/cmq	kg/cmq	kg/cmq	kg/cmq				
0.0	498	--	3.08	3.08	-12	499	--	--	48	48	Si	7.2
27.8	432	--	3.08	3.08	-11	432	--	--	48	48	Si	8.3
139.1	--	48	3.08	3.08	--	--	-1	48	48	48	Si	75
250.4	--	872	3.08	3.08	--	--	-22	872	48	48	Si	4.1
278.3	--	1131	3.08	3.08	--	--	-28	1131	48	48	Si	3.2

Verifica aperture fessure: $W_{amm_Freq}[\text{mm}]=0.400$ $W_{amm_Qp}[\text{mm}]=0.300$

X	M	Act	Aft	pAft	$S_{r,max}$	σ_{fmed}	Wd	Wk	Cb	Ver.	Cs
cm	kg*m	mq	cmq	cm	cm	kg/cmq	mm	mm			
0.0	-498	0.0	3.08	8.80	24.1	499	0.034	0.034	32(Fr)	Si	12
0.0	-498	0.0	3.08	8.80	24.1	499	0.034	0.034	48(Qp)	Si	8.7
27.8	-432	0.0	3.08	8.80	24.1	432	0.030	0.030	48(Qp)	Si	10
27.8	-432	0.0	3.08	8.80	24.1	432	0.030	0.030	32(Fr)	Si	13
139.1	48	0.0	3.08	8.80	24.1	48	0.003	0.003	48(Qp)	Si	90
139.1	48	0.0	3.08	8.80	24.1	48	0.003	0.003	32(Fr)	Si	>100
250.4	872	0.0	3.08	8.80	24.1	872	0.060	0.060	48(Qp)	Si	5.0
250.4	872	0.0	3.08	8.80	24.1	872	0.060	0.060	32(Fr)	Si	6.7
278.3	1131	0.0	3.08	8.80	24.1	1131	0.078	0.078	48(Qp)	Si	3.9
278.3	1131	0.0	3.08	8.80	24.1	1131	0.078	0.078	32(Fr)	Si	5.1

Trave: 128 [110,111], Pilastrate [10,11] Sez. R: By=20.0 cm Bz=40.0 cm L=276.6 cm Ln=278.3 cm Criterio: CLS_TraviAlte_ND

Combinazione Rara: $\sigma_{ca}[\text{kg/cmq}]=149$ $\sigma_{fa}[\text{kg/cmq}]=3600$

X	M+	M-	Afsup	Afinf	σ_{c+}	σ_{f+}	σ_{c-}	σ_{f-}	Cb+	Cb-	Ver.	CS
cm	kg*m	kg*m	cmq	cmq	kg/cmq	kg/cmq	kg/cmq	kg/cmq				
0.0	42	--	3.08	3.08	-1	42	--	--	22	18	Si	86
27.8	83	--	3.08	3.08	-2	83	--	--	22	18	Si	43
139.1	114	--	3.08	3.08	-3	114	--	--	18	22	Si	32
250.4	--	146	3.08	3.08	--	--	-4	146	18	22	Si	25
278.3	--	244	3.08	3.08	--	--	-6	244	18	22	Si	15

Combinazione QP: $\sigma_{ca}[\text{kg/cmq}]=112$ $\sigma_{fa}[\text{kg/cmq}]=3600$

X	M+	M-	Afsup	Afinf	σ_{c+}	σ_{f+}	σ_{c-}	σ_{f-}	Cb+	Cb-	Ver.	CS
cm	kg*m	kg*m	cmq	cmq	kg/cmq	kg/cmq	kg/cmq	kg/cmq				
0.0	42	--	3.08	3.08	-1	42	--	--	48	48	Si	86
27.8	83	--	3.08	3.08	-2	83	--	--	48	48	Si	43
139.1	92	--	3.08	3.08	-2	92	--	--	48	48	Si	39
250.4	--	146	3.08	3.08	--	--	-4	146	48	48	Si	25
278.3	--	244	3.08	3.08	--	--	-6	244	48	48	Si	15

Verifica aperture fessure: Wamm_Freq[mm]=0.400 Wamm_Qp[mm]=0.300

X	M	Act	Aft	pAft	$S_{r,max}$	σ_{fmed}	Wd	Wk	Cb	Ver.	Cs
cm	kg*m	mq	cmq	cm	cm	kg/cmq	mm	mm			
0.0	-42	0.0	3.08	8.80	24.1	42	0.003	0.003	32(Fr)	Si	>100
0.0	-42	0.0	3.08	8.80	24.1	42	0.003	0.003	48(Qp)	Si	>100
27.8	-83	0.0	3.08	8.80	24.1	83	0.006	0.006	48(Qp)	Si	52
27.8	-83	0.0	3.08	8.80	24.1	83	0.006	0.006	32(Fr)	Si	70
139.1	-92	0.0	3.08	8.80	24.1	92	0.006	0.006	48(Qp)	Si	47
139.1	-92	0.0	3.08	8.80	24.1	92	0.006	0.006	32(Fr)	Si	63
250.4	146	0.0	3.08	8.80	24.1	146	0.010	0.010	48(Qp)	Si	30
250.4	146	0.0	3.08	8.80	24.1	146	0.010	0.010	32(Fr)	Si	40
278.3	244	0.0	3.08	8.80	24.1	244	0.017	0.017	48(Qp)	Si	18
278.3	244	0.0	3.08	8.80	24.1	244	0.017	0.017	32(Fr)	Si	24

Trave: 128 [111,112], Pilastrate [11,12] Sez. R: By=20.0 cm Bz=40.0 cm L=236.2 cm Ln=237.4 cm Criterio: CLS_TraviAlte_ND

Combinazione Rara: $\sigma_{ca}[\text{kg/cmq}]=149$ $\sigma_{fa}[\text{kg/cmq}]=3600$

X	M+	M-	Afsup	Afinf	σ_{c+}	σ_{f+}	σ_{c-}	σ_{f-}	Cb+	Cb-	Ver.	CS
cm	kg*m	kg*m	cmq	cmq	kg/cmq	kg/cmq	kg/cmq	kg/cmq				
0.0	--	194	3.08	3.08	--	--	-5	194	18	22	Si	19
23.7	--	127	3.08	3.08	--	--	-3	127	18	22	Si	28
118.7	28	--	3.08	3.08	-1	28	--	--	22	18	Si	>100
213.7	3	53	3.08	3.08	-0	3	-1	53	22	18	Si	68
237.4	--	95	3.08	3.08	--	--	-2	95	22	18	Si	38

Combinazione QP: $\sigma_{ca}[\text{kg/cmq}]=112$ $\sigma_{fa}[\text{kg/cmq}]=3600$

X	M+	M-	Afsup	Afinf	σ_{c+}	σ_{f+}	σ_{c-}	σ_{f-}	Cb+	Cb-	Ver.	CS
cm	kg*m	kg*m	cmq	cmq	kg/cmq	kg/cmq	kg/cmq	kg/cmq				
0.0	--	194	3.08	3.08	--	--	-5	194	48	48	Si	19
23.7	--	127	3.08	3.08	--	--	-3	127	48	48	Si	28
118.7	28	--	3.08	3.08	-1	28	--	--	48	48	Si	>100
213.7	3	--	3.08	3.08	-0	3	--	--	48	48	Si	>100
237.4	--	32	3.08	3.08	--	--	-1	32	48	48	Si	>100

Verifica aperture fessure: Wamm_Freq[mm]=0.400 Wamm_Qp[mm]=0.300

X	M	Act	Aft	pAft	$S_{r,max}$	σ_{fmed}	Wd	Wk	Cb	Ver.	Cs
cm	kg*m	mq	cmq	cm	cm	kg/cmq	mm	mm			
0.0	194	0.0	3.08	8.80	24.1	194	0.013	0.013	32(Fr)	Si	30
0.0	194	0.0	3.08	8.80	24.1	194	0.013	0.013	48(Qp)	Si	22
23.7	127	0.0	3.08	8.80	24.1	127	0.009	0.009	48(Qp)	Si	34

X	M	Act	Aft	pAft	S _{r,max}	σfmed	Wd	Wk	Cb	Ver.	Cs
23.7	127	0.0	3.08	8.80	24.1	127	0.009	0.009	32(Fr)	Si	46
118.7	-28	0.0	3.08	8.80	24.1	28	0.002	0.002	48(Qp)	Si	>100
118.7	-28	0.0	3.08	8.80	24.1	28	0.002	0.002	32(Fr)	Si	>100
213.7	-3	0.0	3.08	8.80	24.1	3	0.000	0.000	48(Qp)	Si	>100
213.7	-3	0.0	3.08	8.80	24.1	3	0.000	0.000	32(Fr)	Si	>100
237.4	32	0.0	3.08	8.80	24.1	32	0.002	0.002	48(Qp)	Si	>100
237.4	32	0.0	3.08	8.80	24.1	32	0.002	0.002	32(Fr)	Si	>100

Trave: 129 [130,131], Pilastrate [30,31] Sez. R: By=20.0 cm Bz=40.0 cm L=276.6 cm Ln=278.3 cm Criterio: CLS_TraviAlte_ND

Combinazione Rara: σca[kg/cm²]=149 σfa[kg/cm²]=3600

X	M+	M-	Afsup	Afinf	σC+	σf+	σC-	σf-	Cb+	Cb-	Ver.	CS
cm	kg*m	kg*m	cmq	cmq	kg/cm ²	kg/cm ²	kg/cm ²	kg/cm ²				
0.0	382	--	3.08	3.08	-9	382	--	--	18	22	Si	9.4
27.8	393	--	3.08	3.08	-10	394	--	--	18	22	Si	9.1
139.1	96	--	3.08	3.08	-2	96	--	--	18	22	Si	38
250.4	--	728	3.08	3.08	--	--	-18	728	22	18	Si	4.9
278.3	--	1012	3.08	3.08	--	--	-25	1013	22	18	Si	3.6

Combinazione QP: σca[kg/cm²]=112 σfa[kg/cm²]=3600

X	M+	M-	Afsup	Afinf	σC+	σf+	σC-	σf-	Cb+	Cb-	Ver.	CS
cm	kg*m	kg*m	cmq	cmq	kg/cm ²	kg/cm ²	kg/cm ²	kg/cm ²				
0.0	277	--	3.08	3.08	-7	278	--	--	48	48	Si	13
27.8	279	--	3.08	3.08	-7	279	--	--	48	48	Si	13
139.1	74	--	3.08	3.08	-2	74	--	--	48	48	Si	49
250.4	--	463	3.08	3.08	--	--	-11	463	48	48	Si	7.8
278.3	--	648	3.08	3.08	--	--	-16	648	48	48	Si	5.6

Verifica aperture fessure: Wamm_Freq[mm]=0.400 Wamm_Qp[mm]=0.300

X	M	Act	Aft	pAft	S _{r,max}	σfmed	Wd	Wk	Cb	Ver.	Cs
cm	kg*m	mq	cmq	cm	cm	kg/cm ²	mm	mm			
0.0	-277	0.0	3.08	8.80	24.1	278	0.019	0.019	32(Fr)	Si	21
0.0	-277	0.0	3.08	8.80	24.1	278	0.019	0.019	48(Qp)	Si	16
27.8	-279	0.0	3.08	8.80	24.1	279	0.019	0.019	48(Qp)	Si	16
27.8	-279	0.0	3.08	8.80	24.1	279	0.019	0.019	32(Fr)	Si	21
139.1	-74	0.0	3.08	8.80	24.1	74	0.005	0.005	48(Qp)	Si	59
139.1	-74	0.0	3.08	8.80	24.1	74	0.005	0.005	32(Fr)	Si	79
250.4	463	0.0	3.08	8.80	24.1	463	0.032	0.032	48(Qp)	Si	9.4
250.4	463	0.0	3.08	8.80	24.1	463	0.032	0.032	32(Fr)	Si	13
278.3	648	0.0	3.08	8.80	24.1	648	0.045	0.045	48(Qp)	Si	6.7
278.3	648	0.0	3.08	8.80	24.1	648	0.045	0.045	32(Fr)	Si	9.0

Trave: 130 [76,75], Pilastrate [50,54] Sez. R: By=50.0 cm Bz=20.0 cm L=474.8 cm Ln=474.8 cm Criterio: CLS_TraviSpessore_ND

Combinazione Rara: σca[kg/cm²]=149 σfa[kg/cm²]=3600

X	M+	M-	Afsup	Afinf	σC+	σf+	σC-	σf-	Cb+	Cb-	Ver.	CS
cm	kg*m	kg*m	cmq	cmq	kg/cm ²	kg/cm ²	kg/cm ²	kg/cm ²				
0.0	--	415	6.16	6.16	--	--	-18	493	18	22	Si	7.3
47.5	--	161	6.16	6.16	--	--	-7	192	18	22	Si	19
237.4	286	--	6.16	6.16	-13	339	--	--	18	22	Si	11
427.3	--	183	6.16	6.16	--	--	-8	217	22	18	Si	17
474.8	--	442	6.16	6.16	--	--	-19	524	22	18	Si	6.9

Verifica aperture fessure: Wamm_Freq[mm]=0.400 Wamm_Qp[mm]=0.300

X	M	Act	Aft	pAft	S _{r,max}	σfmed	Wd	Wk	Cb	Ver.	Cs
cm	kg*m	mq	cmq	cm	cm	kg/cm ²	mm	mm			
0.0	415	0.0	6.16	17.59	17.7	493	0.025	0.025	32(Fr)	Si	16
0.0	415	0.0	6.16	17.59	17.7	493	0.025	0.025	48(Qp)	Si	12
47.5	161	0.0	6.16	17.59	17.7	192	0.010	0.010	48(Qp)	Si	31

X	M	Act	Aft	pAft	S _{r,max}	σfmed	Wd	Wk	Cb	Ver.	Cs
47.5	161	0.0	6.16	17.59	17.7	192	0.010	0.010	32(Fr)	Si	41
237.4	-282	0.0	6.16	17.59	17.7	335	0.017	0.017	48(Qp)	Si	18
237.4	-282	0.0	6.16	17.59	17.7	335	0.017	0.017	32(Fr)	Si	24
427.3	182	0.0	6.16	17.59	17.7	217	0.011	0.011	48(Qp)	Si	27
427.3	182	0.0	6.16	17.59	17.7	217	0.011	0.011	32(Fr)	Si	36
474.8	440	0.0	6.16	17.59	17.7	522	0.026	0.026	48(Qp)	Si	11
474.8	440	0.0	6.16	17.59	17.7	522	0.026	0.026	32(Fr)	Si	15

Trave: 130 [84,76], Pilastrate [47,50] Sez. R: By=50.0 cm Bz=20.0 cm L=310.8 cm Ln=310.8 cm Criterio: CLS_TraviSpessore_ND

Combinazione Rara: σ_{ca} [kg/cm²]=149 σ_{fa} [kg/cm²]=3600

X	M+	M-	Afsup	Afinf	σC+	σf+	σC-	σf-	Cb+	Cb-	Ver.	CS
cm	kg*m	kg*m	cmq	cmq	kg/cm ²	kg/cm ²	kg/cm ²	kg/cm ²				
0.0	--	357	6.16	6.16	--	--	-16	423	22	18	Si	8.5
31.1	--	239	6.16	6.16	--	--	-10	284	22	18	Si	13
155.4	4	11	6.16	6.16	-0	5	-0	13	22	18	Si	>100
279.8	--	173	6.16	6.16	--	--	-8	205	18	22	Si	18
310.8	--	278	6.16	6.16	--	--	-12	330	18	22	Si	11

Verifica aperture fessure:Wamm_Freq[mm]=0.400 Wamm_Qp[mm]=0.300

X	M	Act	Aft	pAft	S _{r,max}	σfmed	Wd	Wk	Cb	Ver.	Cs
cm	kg*m	mq	cmq	cm	cm	kg/cm ²	mm	mm			
0.0	320	0.0	6.16	17.59	17.7	380	0.019	0.019	32(Fr)	Si	21
0.0	320	0.0	6.16	17.59	17.7	380	0.019	0.019	48(Qp)	Si	16
31.1	207	0.0	6.16	17.59	17.7	246	0.012	0.012	48(Qp)	Si	24
31.1	207	0.0	6.16	17.59	17.7	246	0.012	0.012	32(Fr)	Si	32
155.4	-4	0.0	6.16	17.59	17.7	5	0.000	0.000	48(Qp)	Si	>100
155.4	-4	0.0	6.16	17.59	17.7	5	0.000	0.000	32(Fr)	Si	>100
279.8	173	0.0	6.16	17.59	17.7	205	0.010	0.010	48(Qp)	Si	29
279.8	173	0.0	6.16	17.59	17.7	205	0.010	0.010	32(Fr)	Si	38
310.8	278	0.0	6.16	17.59	17.7	330	0.017	0.017	48(Qp)	Si	18
310.8	278	0.0	6.16	17.59	17.7	330	0.017	0.017	32(Fr)	Si	24

Trave: 130 [75,86], Pilastrate [54,56] Sez. R: By=50.0 cm Bz=20.0 cm L=273.9 cm Ln=273.9 cm Criterio: CLS_TraviSpessore_ND

Combinazione Rara: σ_{ca} [kg/cm²]=149 σ_{fa} [kg/cm²]=3600

X	M+	M-	Afsup	Afinf	σC+	σf+	σC-	σf-	Cb+	Cb-	Ver.	CS
cm	kg*m	kg*m	cmq	cmq	kg/cm ²	kg/cm ²	kg/cm ²	kg/cm ²				
0.0	--	345	6.16	6.16	--	--	-15	409	22	18	Si	8.8
27.4	--	228	6.16	6.16	--	--	-10	270	22	18	Si	13
137.0	53	--	6.16	6.16	-2	63	--	--	18	22	Si	57
246.5	32	--	6.16	6.16	-1	38	--	--	18	22	Si	94
273.9	--	23	6.16	6.16	--	--	-1	27	18	22	Si	>100

Verifica aperture fessure:Wamm_Freq[mm]=0.400 Wamm_Qp[mm]=0.300

X	M	Act	Aft	pAft	S _{r,max}	σfmed	Wd	Wk	Cb	Ver.	Cs
cm	kg*m	mq	cmq	cm	cm	kg/cm ²	mm	mm			
0.0	342	0.0	6.16	17.59	17.7	406	0.021	0.021	32(Fr)	Si	19
0.0	342	0.0	6.16	17.59	17.7	406	0.021	0.021	48(Qp)	Si	15
27.4	226	0.0	6.16	17.59	17.7	268	0.014	0.014	48(Qp)	Si	22
27.4	226	0.0	6.16	17.59	17.7	268	0.014	0.014	32(Fr)	Si	29
137.0	-53	0.0	6.16	17.59	17.7	62	0.003	0.003	48(Qp)	Si	95
137.0	-53	0.0	6.16	17.59	17.7	62	0.003	0.003	32(Fr)	Si	>100
246.5	-30	0.0	6.16	17.59	17.7	36	0.002	0.002	48(Qp)	Si	>100
246.5	-30	0.0	6.16	17.59	17.7	36	0.002	0.002	32(Fr)	Si	>100
273.9	23	0.0	6.16	17.59	17.7	27	0.001	0.001	48(Qp)	Si	>100
273.9	23	0.0	6.16	17.59	17.7	27	0.001	0.001	32(Fr)	Si	>100

Trave: 130 [84,73], Pilastrate [47,41] Sez. R: By=50.0 cm Bz=20.0 cm L=274.3 cm Ln=284.3 cm Criterio:

CLS_TraviSpessore_ND

Combinazione Rara: $\sigma_{ca}[\text{kg/cm}^2]=149$ $\sigma_{fa}[\text{kg/cm}^2]=3600$

X	M+	M-	Afsup	Afinf	σ_{c+}	σ_{f+}	σ_{c-}	σ_{f-}	Cb+	Cb-	Ver.	CS
cm	kg*m	kg*m	cmq	cmq	kg/cmq	kg/cmq	kg/cmq	kg/cmq				
0.0	--	557	6.16	6.16	--	--	-24	662	22	18	Si	5.4
28.4	--	189	6.16	6.16	--	--	-8	225	22	18	Si	16
142.1	498	--	6.16	6.16	-22	592	--	--	18	22	Si	6.1
255.9	--	93	6.16	6.16	--	--	-4	110	22	18	Si	33
284.3	--	444	6.16	6.16	--	--	-19	527	22	18	Si	6.8

Verifica aperture fessure: Wamm_Freq[mm]=0.400 Wamm_Qp[mm]=0.300

X	M	Act	Aft	pAft	$S_{r,max}$	σ_{fmed}	Wd	Wk	Cb	Ver.	Cs
cm	kg*m	mq	cmq	cm	cm	kg/cmq	mm	mm			
0.0	480	0.0	6.16	17.59	17.7	570	0.029	0.029	32(Fr)	Si	14
0.0	480	0.0	6.16	17.59	17.7	570	0.029	0.029	48(Qp)	Si	10
28.4	167	0.0	6.16	17.59	17.7	198	0.010	0.010	48(Qp)	Si	30
28.4	167	0.0	6.16	17.59	17.7	198	0.010	0.010	32(Fr)	Si	40
142.1	-418	0.0	6.16	17.59	17.7	497	0.025	0.025	48(Qp)	Si	12
142.1	-418	0.0	6.16	17.59	17.7	497	0.025	0.025	32(Fr)	Si	16
255.9	84	0.0	6.16	17.59	17.7	99	0.005	0.005	48(Qp)	Si	60
255.9	84	0.0	6.16	17.59	17.7	99	0.005	0.005	32(Fr)	Si	79
284.3	382	0.0	6.16	17.59	17.7	453	0.023	0.023	48(Qp)	Si	13
284.3	382	0.0	6.16	17.59	17.7	453	0.023	0.023	32(Fr)	Si	17

Trave: 131 [82,81], Pilastrate [39,34] Sez. R: By=50.0 cm Bz=20.0 cm L=439.8 cm Ln=449.7 cm Criterio: CLS_TraviSpessore_ND

Combinazione Rara: $\sigma_{ca}[\text{kg/cm}^2]=149$ $\sigma_{fa}[\text{kg/cm}^2]=3600$

X	M+	M-	Afsup	Afinf	σ_{c+}	σ_{f+}	σ_{c-}	σ_{f-}	Cb+	Cb-	Ver.	CS
cm	kg*m	kg*m	cmq	cmq	kg/cmq	kg/cmq	kg/cmq	kg/cmq				
0.0	--	544	6.16	6.16	--	--	-24	646	22	18	Si	5.6
45.0	--	218	6.16	6.16	--	--	-10	259	22	18	Si	14
224.8	330	--	6.16	6.16	-14	392	--	--	18	22	Si	9.2
404.7	--	183	6.16	6.16	--	--	-8	218	22	18	Si	17
449.7	--	454	6.16	6.16	--	--	-20	539	22	18	Si	6.7

Verifica aperture fessure: Wamm_Freq[mm]=0.400 Wamm_Qp[mm]=0.300

X	M	Act	Aft	pAft	$S_{r,max}$	σ_{fmed}	Wd	Wk	Cb	Ver.	Cs
cm	kg*m	mq	cmq	cm	cm	kg/cmq	mm	mm			
0.0	521	0.0	6.16	17.59	17.7	619	0.031	0.031	32(Fr)	Si	13
0.0	521	0.0	6.16	17.59	17.7	619	0.031	0.031	48(Qp)	Si	9.6
45.0	214	0.0	6.16	17.59	17.7	254	0.013	0.013	48(Qp)	Si	23
45.0	214	0.0	6.16	17.59	17.7	254	0.013	0.013	32(Fr)	Si	31
224.8	-311	0.0	6.16	17.59	17.7	370	0.019	0.019	48(Qp)	Si	16
224.8	-311	0.0	6.16	17.59	17.7	370	0.019	0.019	32(Fr)	Si	21
404.7	174	0.0	6.16	17.59	17.7	207	0.010	0.010	48(Qp)	Si	29
404.7	174	0.0	6.16	17.59	17.7	207	0.010	0.010	32(Fr)	Si	38
449.7	435	0.0	6.16	17.59	17.7	516	0.026	0.026	48(Qp)	Si	11
449.7	435	0.0	6.16	17.59	17.7	516	0.026	0.026	32(Fr)	Si	15

Trave: 131 [81,80], Pilastrate [34,32] Sez. R: By=50.0 cm Bz=20.0 cm L=300.7 cm Ln=310.6 cm Criterio: CLS_TraviSpessore_ND

Combinazione Rara: $\sigma_{ca}[\text{kg/cm}^2]=149$ $\sigma_{fa}[\text{kg/cm}^2]=3600$

X	M+	M-	Afsup	Afinf	σ_{c+}	σ_{f+}	σ_{c-}	σ_{f-}	Cb+	Cb-	Ver.	CS
cm	kg*m	kg*m	cmq	cmq	kg/cmq	kg/cmq	kg/cmq	kg/cmq				
0.0	--	348	6.16	6.16	--	--	-15	414	22	18	Si	8.7
31.1	--	204	6.16	6.16	--	--	-9	242	22	18	Si	15
155.3	53	--	6.16	6.16	-2	63	--	--	22	18	Si	58
279.5	--	167	6.16	6.16	--	--	-7	198	22	18	Si	18
310.6	--	286	6.16	6.16	--	--	-13	340	22	18	Si	11

Verifica aperture fessure: Wamm_Freq[mm]=0.400 Wamm_Qp[mm]=0.300

X	M	Act	Aft	pAft	S _{r,max}	σ _{fmed}	Wd	Wk	Cb	Ver.	Cs
cm	kg*m	mq	cmq	cm	cm	kg/cmq	mm	mm			
0.0	340	0.0	6.16	17.59	17.7	404	0.020	0.020	32(Fr)	Si	20
0.0	340	0.0	6.16	17.59	17.7	404	0.020	0.020	48(Qp)	Si	15
31.1	200	0.0	6.16	17.59	17.7	238	0.012	0.012	48(Qp)	Si	25
31.1	200	0.0	6.16	17.59	17.7	238	0.012	0.012	32(Fr)	Si	33
155.3	-53	0.0	6.16	17.59	17.7	63	0.003	0.003	48(Qp)	Si	95
155.3	-53	0.0	6.16	17.59	17.7	63	0.003	0.003	32(Fr)	Si	>100
279.5	147	0.0	6.16	17.59	17.7	175	0.009	0.009	48(Qp)	Si	34
279.5	147	0.0	6.16	17.59	17.7	175	0.009	0.009	32(Fr)	Si	45
310.6	262	0.0	6.16	17.59	17.7	311	0.016	0.016	48(Qp)	Si	19
310.6	262	0.0	6.16	17.59	17.7	311	0.016	0.016	32(Fr)	Si	25

Trave: 131 [83,80], Pilastrate [--,32] Sez. R: By=50.0 cm Bz=20.0 cm L=181.6 cm Ln=181.6 cm Criterio: CLS_TraviSpessore_ND

Combinazione Rara: σ_{ca}[kg/cmq]=149 σ_{fa}[kg/cmq]=3600

X	M+	M-	Afsup	Afinf	σ _{C+}	σ _{f+}	σ _{C-}	σ _{f-}	Cb+	Cb-	Ver.	CS
cm	kg*m	kg*m	cmq	cmq	kg/cmq	kg/cmq	kg/cmq	kg/cmq				
0.0	--	66	6.16	6.16	--	--	-3	78	22	18	Si	46
18.2	--	23	6.16	6.16	--	--	-1	27	22	18	Si	>100
90.8	38	--	6.16	6.16	-2	45	--	--	22	18	Si	79
163.5	--	97	6.16	6.16	--	--	-4	115	22	18	Si	31
181.6	--	164	6.16	6.16	--	--	-7	194	22	18	Si	19

Verifica aperture fessure: Wamm_Freq[mm]=0.400 Wamm_Qp[mm]=0.300

X	M	Act	Aft	pAft	S _{r,max}	σ _{fmed}	Wd	Wk	Cb	Ver.	Cs
cm	kg*m	mq	cmq	cm	cm	kg/cmq	mm	mm			
0.0	52	0.0	6.16	17.59	17.7	62	0.003	0.003	32(Fr)	Si	>100
0.0	52	0.0	6.16	17.59	17.7	62	0.003	0.003	48(Qp)	Si	96
18.2	13	0.0	6.16	17.59	17.7	15	0.001	0.001	48(Qp)	Si	>100
18.2	13	0.0	6.16	17.59	17.7	15	0.001	0.001	32(Fr)	Si	>100
90.8	-38	0.0	6.16	17.59	17.7	45	0.002	0.002	48(Qp)	Si	>100
90.8	-38	0.0	6.16	17.59	17.7	45	0.002	0.002	32(Fr)	Si	>100
163.5	93	0.0	6.16	17.59	17.7	111	0.006	0.006	48(Qp)	Si	54
163.5	93	0.0	6.16	17.59	17.7	111	0.006	0.006	32(Fr)	Si	71
181.6	156	0.0	6.16	17.59	17.7	186	0.009	0.009	48(Qp)	Si	32
181.6	156	0.0	6.16	17.59	17.7	186	0.009	0.009	32(Fr)	Si	43

Trave: 131 [82,73], Pilastrate [39,41] Sez. R: By=50.0 cm Bz=20.0 cm L=312.4 cm Ln=331.9 cm Criterio: CLS_TraviSpessore_ND

Combinazione Rara: σ_{ca}[kg/cmq]=149 σ_{fa}[kg/cmq]=3600

X	M+	M-	Afsup	Afinf	σ _{C+}	σ _{f+}	σ _{C-}	σ _{f-}	Cb+	Cb-	Ver.	CS
cm	kg*m	kg*m	cmq	cmq	kg/cmq	kg/cmq	kg/cmq	kg/cmq				
0.0	--	310	6.16	6.16	--	--	-14	368	22	18	Si	9.8
33.2	--	171	6.16	6.16	--	--	-7	203	22	18	Si	18
166.0	100	--	6.16	6.16	-4	119	--	--	22	18	Si	30
298.7	--	110	6.16	6.16	--	--	-5	131	22	18	Si	28
331.9	--	239	6.16	6.16	--	--	-10	284	22	18	Si	13

Verifica aperture fessure: Wamm_Freq[mm]=0.400 Wamm_Qp[mm]=0.300

X	M	Act	Aft	pAft	S _{r,max}	σ _{fmed}	Wd	Wk	Cb	Ver.	Cs
cm	kg*m	mq	cmq	cm	cm	kg/cmq	mm	mm			
0.0	305	0.0	6.16	17.59	17.7	362	0.018	0.018	32(Fr)	Si	22
0.0	305	0.0	6.16	17.59	17.7	362	0.018	0.018	48(Qp)	Si	16
33.2	167	0.0	6.16	17.59	17.7	199	0.010	0.010	48(Qp)	Si	30
33.2	167	0.0	6.16	17.59	17.7	199	0.010	0.010	32(Fr)	Si	40
166.0	-100	0.0	6.16	17.59	17.7	119	0.006	0.006	48(Qp)	Si	50
166.0	-100	0.0	6.16	17.59	17.7	119	0.006	0.006	32(Fr)	Si	66

X	M	Act	Aft	pAft	S _{r,max}	σfmed	Wd	Wk	Cb	Ver.	Cs
298.7	102	0.0	6.16	17.59	17.7	121	0.006	0.006	48(Qp)	Si	49
298.7	102	0.0	6.16	17.59	17.7	121	0.006	0.006	32(Fr)	Si	65
331.9	228	0.0	6.16	17.59	17.7	271	0.014	0.014	48(Qp)	Si	22
331.9	228	0.0	6.16	17.59	17.7	271	0.014	0.014	32(Fr)	Si	29

Trave: 155 [75,253], Pilastrate [54,53] Sez. R: By=50.0 cm Bz=20.0 cm L=312.4 cm Ln=313.9 cm L2=312.4 cm L3=312.4 cm Criterio: CLS_TraviSpessore_ND

Verifica snellezza: fcd=141 [kg/cm²] - **Verificato**

Cb	N	fcd*Ac	v	λmax	λlim
	kg	kg			
18	150	141100	0.001	54.113	767.019

Combinazione Rara: σca[kg/cm²]=149 σfa[kg/cm²]=3600

X	M+	M-	Afsup	Afinf	σC+	σf+	σC-	σf-	Cb+	Cb-	Ver.	CS
cm	kg*m	kg*m	cmq	cmq	kg/cm ²	kg/cm ²	kg/cm ²	kg/cm ²				
0.0	--	1337	6.16	6.16	--	--	-59	1588	22	18	Si	2.3
31.4	--	454	6.16	6.16	--	--	-20	539	22	18	Si	6.7
156.9	997	--	6.16	6.16	-44	1184	--	--	18	22	Si	3.0
282.5	--	887	6.16	6.16	--	--	-39	1054	22	18	Si	3.4
313.9	--	1877	6.16	6.16	--	--	-82	2229	22	18	Si	1.6

Verifica aperture fessure: Wamm_Freq[mm]=0.400 Wamm_Qp[mm]=0.300

X	M	Act	Aft	pAft	S _{r,max}	σfmed	Wd	Wk	Cb	Ver.	Cs
cm	kg*m	mq	cmq	cm	cm	kg/cm ²	mm	mm			
0.0	1099	0.0	6.16	17.59	17.7	1305	0.066	0.066	32(Fr)	Si	6.0
0.0	1099	0.0	6.16	17.59	17.7	1305	0.066	0.066	48(Qp)	Si	4.5
31.4	368	0.0	6.16	17.59	17.7	437	0.022	0.022	48(Qp)	Si	14
31.4	368	0.0	6.16	17.59	17.7	437	0.022	0.022	32(Fr)	Si	18
156.9	-839	0.0	6.16	17.59	17.7	996	0.050	0.050	48(Qp)	Si	5.9
156.9	-839	0.0	6.16	17.59	17.7	996	0.050	0.050	32(Fr)	Si	7.9
282.5	701	0.0	6.16	17.59	17.7	832	0.042	0.042	48(Qp)	Si	7.1
282.5	701	0.0	6.16	17.59	17.7	832	0.042	0.042	32(Fr)	Si	9.5
313.9	1513	0.0	6.16	17.59	17.7	1797	0.105	0.105	48(Qp)	Si	2.9
313.9	1513	0.0	6.16	17.59	17.7	1797	0.105	0.105	32(Fr)	Si	3.8

Trave: 156 [76,248], Pilastrate [50,48] Sez. R: By=50.0 cm Bz=20.0 cm L=309.9 cm Ln=309.9 cm Criterio: CLS_TraviSpessore_ND

Combinazione Rara: σca[kg/cm²]=149 σfa[kg/cm²]=3600

X	M+	M-	Afsup	Afinf	σC+	σf+	σC-	σf-	Cb+	Cb-	Ver.	CS
cm	kg*m	kg*m	cmq	cmq	kg/cm ²	kg/cm ²	kg/cm ²	kg/cm ²				
0.0	--	1362	6.16	6.16	--	--	-60	1617	22	18	Si	2.2
31.0	--	458	6.16	6.16	--	--	-20	543	22	18	Si	6.6
155.0	1034	--	6.16	6.16	-45	1228	--	--	18	22	Si	2.9
278.9	--	873	6.16	6.16	--	--	-38	1036	22	18	Si	3.5
309.9	--	1881	6.16	6.16	--	--	-82	2233	22	18	Si	1.6

Verifica aperture fessure: Wamm_Freq[mm]=0.400 Wamm_Qp[mm]=0.300

X	M	Act	Aft	pAft	S _{r,max}	σfmed	Wd	Wk	Cb	Ver.	Cs
cm	kg*m	mq	cmq	cm	cm	kg/cm ²	mm	mm			
0.0	1126	0.0	6.16	17.59	17.7	1338	0.068	0.068	32(Fr)	Si	5.9
0.0	1126	0.0	6.16	17.59	17.7	1338	0.068	0.068	48(Qp)	Si	4.4
31.0	378	0.0	6.16	17.59	17.7	449	0.023	0.023	48(Qp)	Si	13
31.0	378	0.0	6.16	17.59	17.7	449	0.023	0.023	32(Fr)	Si	18
155.0	-867	0.0	6.16	17.59	17.7	1030	0.052	0.052	48(Qp)	Si	5.8
155.0	-867	0.0	6.16	17.59	17.7	1030	0.052	0.052	32(Fr)	Si	7.7
278.9	684	0.0	6.16	17.59	17.7	812	0.041	0.041	48(Qp)	Si	7.3
278.9	684	0.0	6.16	17.59	17.7	812	0.041	0.041	32(Fr)	Si	9.7
309.9	1509	0.0	6.16	17.59	17.7	1791	0.104	0.104	48(Qp)	Si	2.9
309.9	1509	0.0	6.16	17.59	17.7	1791	0.104	0.104	32(Fr)	Si	3.8

Trave: 157 [125,226], Pilastrate [25,26] Sez. R: By=20.0 cm Bz=30.0 cm L=334.3 cm Ln=335.7 cm

L2=334.3 cm L3=334.3 cm Criterio: CLS_TraviAlte_ND

Verifica snellezza: fcd=141 [kg/cm²] - **Verificato**

Cb	N	fcd*Ac	v	λ _{max}	λ _{lim}
	kg	kg			
22	216	84660	0.003	57.911	494.759

Combinazione Rara: σ_{ca}[kg/cm²]=149 σ_{fa}[kg/cm²]=3600

X	M+	M-	Afsup	Afinf	σ _{C+}	σ _{f+}	σ _{C-}	σ _{f-}	Cb+	Cb-	Ver.	CS
cm	kg*m	kg*m	cmq	cmq	kg/cm ²	kg/cm ²	kg/cm ²	kg/cm ²				
0.0	--	633	3.08	3.08	--	--	-27	898	22	18	Si	4.0
33.6	--	492	3.08	3.08	--	--	-21	698	22	18	Si	5.2
167.8	--	180	3.08	3.08	--	--	-8	255	22	18	Si	14
302.1	--	271	3.08	3.08	--	--	-11	384	22	18	Si	9.4
335.7	--	357	3.08	3.08	--	--	-15	506	22	18	Si	7.1

Combinazione QP: σ_{ca}[kg/cm²]=112 σ_{fa}[kg/cm²]=3600

X	M+	M-	Afsup	Afinf	σ _{C+}	σ _{f+}	σ _{C-}	σ _{f-}	Cb+	Cb-	Ver.	CS
cm	kg*m	kg*m	cmq	cmq	kg/cm ²	kg/cm ²	kg/cm ²	kg/cm ²				
0.0	--	471	3.08	3.08	--	--	-20	668	48	48	Si	5.4
33.6	--	367	3.08	3.08	--	--	-16	521	48	48	Si	6.9
167.8	--	146	3.08	3.08	--	--	-6	208	48	48	Si	17
302.1	--	236	3.08	3.08	--	--	-10	335	48	48	Si	11
335.7	--	307	3.08	3.08	--	--	-13	435	48	48	Si	8.3

Verifica aperture fessure:Wamm_Freq[mm]=0.400 Wamm_Qp[mm]=0.300

X	M	Act	Aft	pAft	S _{r,max}	σ _{fmed}	Wd	Wk	Cb	Ver.	Cs
cm	kg*m	mq	cmq	cm	cm	kg/cm ²	mm	mm			
0.0	471	0.0	3.08	8.80	19.8	668	0.038	0.038	32(Fr)	Si	11
0.0	471	0.0	3.08	8.80	19.8	668	0.038	0.038	48(Qp)	Si	7.9
33.6	367	0.0	3.08	8.80	19.8	521	0.030	0.030	48(Qp)	Si	10
33.6	367	0.0	3.08	8.80	19.8	521	0.030	0.030	32(Fr)	Si	14
167.8	146	0.0	3.08	8.80	19.8	208	0.012	0.012	48(Qp)	Si	26
167.8	146	0.0	3.08	8.80	19.8	208	0.012	0.012	32(Fr)	Si	34
302.1	236	0.0	3.08	8.80	19.8	335	0.019	0.019	48(Qp)	Si	16
302.1	236	0.0	3.08	8.80	19.8	335	0.019	0.019	32(Fr)	Si	21
335.7	307	0.0	3.08	8.80	19.8	435	0.025	0.025	48(Qp)	Si	12
335.7	307	0.0	3.08	8.80	19.8	435	0.025	0.025	32(Fr)	Si	16

Trave: 157 [77,96], Pilastrate [27,22] Sez. R: By=50.0 cm Bz=20.0 cm L=378.3 cm Ln=378.3 cm Criterio: CLS_TraviSpessore_ND

Combinazione Rara: σ_{ca}[kg/cm²]=149 σ_{fa}[kg/cm²]=3600

X	M+	M-	Afsup	Afinf	σ _{C+}	σ _{f+}	σ _{C-}	σ _{f-}	Cb+	Cb-	Ver.	CS
cm	kg*m	kg*m	cmq	cmq	kg/cm ²	kg/cm ²	kg/cm ²	kg/cm ²				
0.0	--	772	6.16	6.16	--	--	-34	917	22	18	Si	3.9
37.8	--	541	6.16	6.16	--	--	-24	642	22	18	Si	5.6
189.1	58	--	6.16	6.16	-3	69	--	--	22	18	Si	52
340.5	20	--	6.16	6.16	-1	23	--	--	18	22	Si	>100
378.3	--	90	6.16	6.16	--	--	-4	107	18	22	Si	34

Verifica aperture fessure:Wamm_Freq[mm]=0.400 Wamm_Qp[mm]=0.300

X	M	Act	Aft	pAft	S _{r,max}	σ _{fmed}	Wd	Wk	Cb	Ver.	Cs
cm	kg*m	mq	cmq	cm	cm	kg/cm ²	mm	mm			
0.0	689	0.0	6.16	17.59	17.7	818	0.041	0.041	32(Fr)	Si	9.7
0.0	689	0.0	6.16	17.59	17.7	818	0.041	0.041	48(Qp)	Si	7.2
37.8	468	0.0	6.16	17.59	17.7	555	0.028	0.028	48(Qp)	Si	11
37.8	468	0.0	6.16	17.59	17.7	555	0.028	0.028	32(Fr)	Si	14
189.1	-58	0.0	6.16	17.59	17.7	69	0.003	0.003	48(Qp)	Si	86
189.1	-58	0.0	6.16	17.59	17.7	69	0.003	0.003	32(Fr)	Si	>100
340.5	-11	0.0	6.16	17.59	17.7	13	0.001	0.001	48(Qp)	Si	>100
340.5	-11	0.0	6.16	17.59	17.7	13	0.001	0.001	32(Fr)	Si	>100

X	M	Act	Aft	pAft	$S_{r,max}$	σ_{fmed}	Wd	Wk	Cb	Ver.	Cs
378.3	90	0.0	6.16	17.59	17.7	107	0.005	0.005	48(Qp)	Si	55
378.3	90	0.0	6.16	17.59	17.7	107	0.005	0.005	32(Fr)	Si	74

Trave: 157 [77,226], Pilastrate [27,26] Sez. R: By=50.0 cm Bz=20.0 cm L=322.6 cm Ln=306.5 cm L2=322.6 cm L3=322.6 cm Criterio: CLS_TraviSpessore_ND

Verifica snellezza: $f_{cd}=141$ [kg/cmq] - **Verificato**

Cb	N	$f_{cd} \cdot A_c$	v	λ_{max}	λ_{lim}
	kg	kg			
18	170	141100	0.001	55.873	719.966

Combinazione Rara: σ_{ca} [kg/cmq]=149 σ_{fa} [kg/cmq]=3600

X	M+	M-	Afsup	Afinf	σ_{C+}	σ_{f+}	σ_{C-}	σ_{f-}	Cb+	Cb-	Ver.	CS
cm	kg*m	kg*m	cmq	cmq	kg/cmq	kg/cmq	kg/cmq	kg/cmq				
0.0	--	1472	6.16	6.16	--	--	-64	1748	22	18	Si	2.1
30.7	--	499	6.16	6.16	--	--	-22	593	22	18	Si	6.1
153.3	1210	--	6.16	6.16	-53	1437	--	--	18	22	Si	2.5
275.9	--	723	6.16	6.16	--	--	-32	859	22	18	Si	4.2
306.5	--	1778	6.16	6.16	--	--	-78	2112	22	18	Si	1.7

Verifica aperture fessure: W_{amm_Freq} [mm]=0.400 W_{amm_Qp} [mm]=0.300

X	M	Act	Aft	pAft	$S_{r,max}$	σ_{fmed}	Wd	Wk	Cb	Ver.	Cs
cm	kg*m	mq	cmq	cm	cm	kg/cmq	mm	mm			
0.0	1225	0.0	6.16	17.59	17.7	1455	0.076	0.076	32(Fr)	Si	5.3
0.0	1225	0.0	6.16	17.59	17.7	1455	0.076	0.076	48(Qp)	Si	4.0
30.7	423	0.0	6.16	17.59	17.7	503	0.025	0.025	48(Qp)	Si	12
30.7	423	0.0	6.16	17.59	17.7	503	0.025	0.025	32(Fr)	Si	16
153.3	-993	0.0	6.16	17.59	17.7	1180	0.060	0.060	48(Qp)	Si	5.0
153.3	-993	0.0	6.16	17.59	17.7	1180	0.060	0.060	32(Fr)	Si	6.7
275.9	579	0.0	6.16	17.59	17.7	688	0.035	0.035	48(Qp)	Si	8.6
275.9	579	0.0	6.16	17.59	17.7	688	0.035	0.035	32(Fr)	Si	11
306.5	1442	0.0	6.16	17.59	17.7	1712	0.097	0.097	48(Qp)	Si	3.1
306.5	1442	0.0	6.16	17.59	17.7	1712	0.097	0.097	32(Fr)	Si	4.1

Trave: 159 [236,80], Pilastrate [36,32] Sez. R: By=50.0 cm Bz=20.0 cm L=316.0 cm Ln=312.0 cm Criterio: CLS_TraviSpessore_ND

Combinazione Rara: σ_{ca} [kg/cmq]=149 σ_{fa} [kg/cmq]=3600

X	M+	M-	Afsup	Afinf	σ_{C+}	σ_{f+}	σ_{C-}	σ_{f-}	Cb+	Cb-	Ver.	CS
cm	kg*m	kg*m	cmq	cmq	kg/cmq	kg/cmq	kg/cmq	kg/cmq				
0.0	--	1744	6.16	6.16	--	--	-76	2071	22	18	Si	1.7
31.2	--	837	6.16	6.16	--	--	-37	994	22	18	Si	3.6
156.0	1000	--	6.16	6.16	-44	1187	--	--	18	22	Si	3.0
280.8	--	364	6.16	6.16	--	--	-16	432	22	18	Si	8.3
312.0	--	1202	6.16	6.16	--	--	-53	1428	22	18	Si	2.5

Verifica aperture fessure: W_{amm_Freq} [mm]=0.400 W_{amm_Qp} [mm]=0.300

X	M	Act	Aft	pAft	$S_{r,max}$	σ_{fmed}	Wd	Wk	Cb	Ver.	Cs
cm	kg*m	mq	cmq	cm	cm	kg/cmq	mm	mm			
0.0	1354	0.0	6.16	17.59	17.7	1608	0.089	0.089	32(Fr)	Si	4.5
0.0	1354	0.0	6.16	17.59	17.7	1608	0.089	0.089	48(Qp)	Si	3.4
31.2	617	0.0	6.16	17.59	17.7	733	0.037	0.037	48(Qp)	Si	8.1
31.2	617	0.0	6.16	17.59	17.7	733	0.037	0.037	32(Fr)	Si	11
156.0	-849	0.0	6.16	17.59	17.7	1008	0.051	0.051	48(Qp)	Si	5.9
156.0	-849	0.0	6.16	17.59	17.7	1008	0.051	0.051	32(Fr)	Si	7.8
280.8	323	0.0	6.16	17.59	17.7	384	0.019	0.019	48(Qp)	Si	15
280.8	323	0.0	6.16	17.59	17.7	384	0.019	0.019	32(Fr)	Si	21
312.0	1027	0.0	6.16	17.59	17.7	1219	0.062	0.062	48(Qp)	Si	4.9
312.0	1027	0.0	6.16	17.59	17.7	1219	0.062	0.062	32(Fr)	Si	6.5

Trave: 185 [238,81], Pilastrate [38,34] Sez. R: By=50.0 cm Bz=20.0 cm L=314.8 cm Ln=300.8 cm L2=314.8 cm L3=314.8 cm Criterio: CLS_TraviSpessore_ND

Verifica snellezza: $f_{cd}=141$ [kg/cm²] - **Verificato**

Cb	N	$f_{cd} \cdot A_c$	v	λ_{max}	λ_{lim}
	kg	kg			
18	246	141100	0.002	54.526	598.945

Combinazione Rara: σ_{ca} [kg/cm²]=149 σ_{fa} [kg/cm²]=3600

X	M+	M-	Afsup	Afinf	σ_{c+}	σ_{f+}	σ_{c-}	σ_{f-}	Cb+	Cb-	Ver.	CS
cm	kg*m	kg*m	cmq	cmq	kg/cm ²	kg/cm ²	kg/cm ²	kg/cm ²				
0.0	--	1602	6.16	6.16	--	--	-70	1902	22	18	Si	1.9
30.1	--	689	6.16	6.16	--	--	-30	818	22	18	Si	4.4
150.4	1007	--	6.16	6.16	-44	1196	--	--	18	22	Si	3.0
270.7	--	442	6.16	6.16	--	--	-19	525	22	18	Si	6.9
300.8	--	1231	6.16	6.16	--	--	-54	1462	22	18	Si	2.5

Verifica aperture fessure: W_{amm_Freq} [mm]=0.400 W_{amm_Qp} [mm]=0.300

X	M	Act	Aft	pAft	$S_{r,max}$	σ_{fmed}	Wd	Wk	Cb	Ver.	Cs
cm	kg*m	m ²	cmq	cm	cm	kg/cm ²	mm	mm			
0.0	1283	0.0	6.16	17.59	17.7	1524	0.081	0.081	32(Fr)	Si	4.9
0.0	1283	0.0	6.16	17.59	17.7	1524	0.081	0.081	48(Qp)	Si	3.7
30.1	537	0.0	6.16	17.59	17.7	637	0.032	0.032	48(Qp)	Si	9.3
30.1	537	0.0	6.16	17.59	17.7	637	0.032	0.032	32(Fr)	Si	12
150.4	-841	0.0	6.16	17.59	17.7	999	0.051	0.051	48(Qp)	Si	5.9
150.4	-841	0.0	6.16	17.59	17.7	999	0.051	0.051	32(Fr)	Si	7.9
270.7	371	0.0	6.16	17.59	17.7	440	0.022	0.022	48(Qp)	Si	13
270.7	371	0.0	6.16	17.59	17.7	440	0.022	0.022	32(Fr)	Si	18
300.8	1027	0.0	6.16	17.59	17.7	1219	0.062	0.062	48(Qp)	Si	4.9
300.8	1027	0.0	6.16	17.59	17.7	1219	0.062	0.062	32(Fr)	Si	6.5

Trave: 185 [152,151], Pilastrate [52,51] Sez. R: $B_y=20.0$ cm $B_z=40.0$ cm $L=276.1$ cm $L_n=277.7$ cm $L_2=276.1$ cm $L_3=276.1$ cm Criterio: CLS_TraviAlte_NDVerifica snellezza: $f_{cd}=141$ [kg/cm²] - **Verificato**

Cb	N	$f_{cd} \cdot A_c$	v	λ_{max}	λ_{lim}
	kg	kg			
22	209	112880	0.002	47.814	580.536

Combinazione Rara: σ_{ca} [kg/cm²]=149 σ_{fa} [kg/cm²]=3600

X	M+	M-	Afsup	Afinf	σ_{c+}	σ_{f+}	σ_{c-}	σ_{f-}	Cb+	Cb-	Ver.	CS
cm	kg*m	kg*m	cmq	cmq	kg/cm ²	kg/cm ²	kg/cm ²	kg/cm ²				
0.0	325	--	3.08	3.08	-8	325	--	--	18	22	Si	11
27.8	337	--	3.08	3.08	-8	337	--	--	18	22	Si	11
138.8	66	--	3.08	3.08	-2	67	--	--	18	22	Si	54
249.9	--	715	3.08	3.08	--	--	-18	715	22	18	Si	5.0
277.7	--	990	3.08	3.08	--	--	-25	990	22	18	Si	3.6

Combinazione QP: σ_{ca} [kg/cm²]=112 σ_{fa} [kg/cm²]=3600

X	M+	M-	Afsup	Afinf	σ_{c+}	σ_{f+}	σ_{c-}	σ_{f-}	Cb+	Cb-	Ver.	CS
cm	kg*m	kg*m	cmq	cmq	kg/cm ²	kg/cm ²	kg/cm ²	kg/cm ²				
0.0	236	--	3.08	3.08	-6	236	--	--	48	48	Si	15
27.8	241	--	3.08	3.08	-6	241	--	--	48	48	Si	15
138.8	57	--	3.08	3.08	-1	57	--	--	48	48	Si	63
249.9	--	453	3.08	3.08	--	--	-11	453	48	48	Si	7.9
277.7	--	631	3.08	3.08	--	--	-16	631	48	48	Si	5.7

Verifica aperture fessure: W_{amm_Freq} [mm]=0.400 W_{amm_Qp} [mm]=0.300

X	M	Act	Aft	pAft	$S_{r,max}$	σ_{fmed}	Wd	Wk	Cb	Ver.	Cs
cm	kg*m	m ²	cmq	cm	cm	kg/cm ²	mm	mm			
0.0	-236	0.0	3.08	8.80	24.1	236	0.016	0.016	32(Fr)	Si	25
0.0	-236	0.0	3.08	8.80	24.1	236	0.016	0.016	48(Qp)	Si	18
27.8	-241	0.0	3.08	8.80	24.1	241	0.017	0.017	48(Qp)	Si	18
27.8	-241	0.0	3.08	8.80	24.1	241	0.017	0.017	32(Fr)	Si	24
138.8	-57	0.0	3.08	8.80	24.1	57	0.004	0.004	48(Qp)	Si	76
138.8	-57	0.0	3.08	8.80	24.1	57	0.004	0.004	32(Fr)	Si	>100

X	M	Act	Aft	pAft	$S_{r,max}$	σ_{fmed}	Wd	Wk	Cb	Ver.	Cs
249.9	453	0.0	3.08	8.80	24.1	453	0.031	0.031	48(Qp)	Si	9.6
249.9	453	0.0	3.08	8.80	24.1	453	0.031	0.031	32(Fr)	Si	13
277.7	631	0.0	3.08	8.80	24.1	631	0.043	0.043	48(Qp)	Si	6.9
277.7	631	0.0	3.08	8.80	24.1	631	0.043	0.043	32(Fr)	Si	9.2

Trave: 185 [151,144], Pilastrate [51,44] Sez. R: By=20.0 cm Bz=30.0 cm L=478.8 cm Ln=482.5 cm
L2=478.8 cm L3=478.8 cm Criterio: CLS_TraviAlte_ND

Verifica snellezza: $f_{cd}=141$ [kg/cm²] - **Verificato**

Cb	N	$f_{cd} \cdot A_c$	v	λ_{max}	λ_{lim}
	kg	kg			
18	494	84660	0.006	82.927	327.274

Combinazione Rara: σ_{ca} [kg/cm²]=149 σ_{fa} [kg/cm²]=3600

X	M+	M-	Afsup	Afinf	σ_{C+}	σ_{f+}	σ_{C-}	σ_{f-}	Cb+	Cb-	Ver.	CS
cm	kg*m	kg*m	cmq	cmq	kg/cm ²	kg/cm ²	kg/cm ²	kg/cm ²				
0.0	--	650	3.08	3.08	--	--	-28	921	22	18	Si	3.9
48.3	--	275	3.08	3.08	--	--	-12	390	22	18	Si	9.2
241.3	393	--	3.08	3.08	-17	557	--	--	18	22	Si	6.5
434.3	--	233	3.08	3.08	--	--	-10	330	22	18	Si	11
482.5	--	585	3.08	3.08	--	--	-25	829	22	18	Si	4.3

Combinazione QP: σ_{ca} [kg/cm²]=112 σ_{fa} [kg/cm²]=3600

X	M+	M-	Afsup	Afinf	σ_{C+}	σ_{f+}	σ_{C-}	σ_{f-}	Cb+	Cb-	Ver.	CS
cm	kg*m	kg*m	cmq	cmq	kg/cm ²	kg/cm ²	kg/cm ²	kg/cm ²				
0.0	--	402	3.08	3.08	--	--	-17	570	48	48	Si	6.3
48.3	--	178	3.08	3.08	--	--	-8	252	48	48	Si	14
241.3	225	--	3.08	3.08	-10	318	--	--	48	48	Si	11
434.3	--	154	3.08	3.08	--	--	-7	218	48	48	Si	16
482.5	--	369	3.08	3.08	--	--	-16	523	48	48	Si	6.9

Verifica aperture fessure: W_{amm_Freq} [mm]=0.400 W_{amm_Qp} [mm]=0.300

X	M	Act	Aft	pAft	$S_{r,max}$	σ_{fmed}	Wd	Wk	Cb	Ver.	Cs
cm	kg*m	mq	cmq	cm	cm	kg/cm ²	mm	mm			
0.0	402	0.0	3.08	8.80	19.8	570	0.032	0.032	32(Fr)	Si	12
0.0	402	0.0	3.08	8.80	19.8	570	0.032	0.032	48(Qp)	Si	9.3
48.3	178	0.0	3.08	8.80	19.8	252	0.014	0.014	48(Qp)	Si	21
48.3	178	0.0	3.08	8.80	19.8	252	0.014	0.014	32(Fr)	Si	28
241.3	-225	0.0	3.08	8.80	19.8	318	0.018	0.018	48(Qp)	Si	17
241.3	-225	0.0	3.08	8.80	19.8	318	0.018	0.018	32(Fr)	Si	22
434.3	154	0.0	3.08	8.80	19.8	218	0.012	0.012	48(Qp)	Si	24
434.3	154	0.0	3.08	8.80	19.8	218	0.012	0.012	32(Fr)	Si	32
482.5	369	0.0	3.08	8.80	19.8	523	0.030	0.030	48(Qp)	Si	10
482.5	369	0.0	3.08	8.80	19.8	523	0.030	0.030	32(Fr)	Si	14

Trave: 185 [144,238], Pilastrate [44,38] Sez. R: By=20.0 cm Bz=30.0 cm L=312.0 cm Ln=313.4 cm
L2=312.0 cm L3=312.0 cm Criterio: CLS_TraviAlte_ND

Verifica snellezza: $f_{cd}=141$ [kg/cm²] - **Verificato**

Cb	N	$f_{cd} \cdot A_c$	v	λ_{max}	λ_{lim}
	kg	kg			
22	369	84660	0.004	54.042	378.689

Combinazione Rara: σ_{ca} [kg/cm²]=149 σ_{fa} [kg/cm²]=3600

X	M+	M-	Afsup	Afinf	σ_{C+}	σ_{f+}	σ_{C-}	σ_{f-}	Cb+	Cb-	Ver.	CS
cm	kg*m	kg*m	cmq	cmq	kg/cm ²	kg/cm ²	kg/cm ²	kg/cm ²				
0.0	--	355	3.08	3.08	--	--	-15	504	22	18	Si	7.1
31.3	--	223	3.08	3.08	--	--	-9	316	22	18	Si	11
156.7	--	34	3.08	3.08	--	--	-1	48	18	22	Si	76
282.1	--	306	3.08	3.08	--	--	-13	434	22	18	Si	8.3
313.4	--	457	3.08	3.08	--	--	-19	648	22	18	Si	5.6

Combinazione QP: σ_{ca} [kg/cm²]=112 σ_{fa} [kg/cm²]=3600

X	M+	M-	Afsup	Afinf	σ_{C+}	σ_{f+}	σ_{C-}	σ_{f-}	Cb+	Cb-	Ver.	CS
cm	kg*m	kg*m	cmq	cmq	kg/cmq	kg/cmq	kg/cmq	kg/cmq				
0.0	--	173	3.08	3.08	--	--	-7	245	48	48	Si	15
31.3	--	105	3.08	3.08	--	--	-4	149	48	48	Si	24
156.7	--	34	3.08	3.08	--	--	-1	48	48	48	Si	76
282.1	--	279	3.08	3.08	--	--	-12	396	48	48	Si	9.1
313.4	--	390	3.08	3.08	--	--	-17	553	48	48	Si	6.5

Verifica aperture fessure: Wamm_Freq[mm]=0.400 Wamm_Qp[mm]=0.300

X	M	Act	Aft	pAft	$S_{r,max}$	σ_{fmed}	Wd	Wk	Cb	Ver.	Cs
cm	kg*m	mq	cmq	cm	cm	kg/cmq	mm	mm			
0.0	173	0.0	3.08	8.80	19.8	245	0.014	0.014	32(Fr)	Si	29
0.0	173	0.0	3.08	8.80	19.8	245	0.014	0.014	48(Qp)	Si	22
31.3	105	0.0	3.08	8.80	19.8	149	0.008	0.008	48(Qp)	Si	35
31.3	105	0.0	3.08	8.80	19.8	149	0.008	0.008	32(Fr)	Si	47
156.7	34	0.0	3.08	8.80	19.8	48	0.003	0.003	48(Qp)	Si	>100
156.7	34	0.0	3.08	8.80	19.8	48	0.003	0.003	32(Fr)	Si	>100
282.1	279	0.0	3.08	8.80	19.8	396	0.022	0.022	48(Qp)	Si	13
282.1	279	0.0	3.08	8.80	19.8	396	0.022	0.022	32(Fr)	Si	18
313.4	390	0.0	3.08	8.80	19.8	553	0.031	0.031	48(Qp)	Si	9.6
313.4	390	0.0	3.08	8.80	19.8	553	0.031	0.031	32(Fr)	Si	13

Verifica dei pilastri (Stati limite esercizio)

Scenario di calcolo: Set_NT_SLV_SLD_A2_STR/GEO_2018

Simbologia

Terreno	Nome della stratigrafia per travi Winkler
L [cm]	Lunghezza teorica elemento (distanza tra i nodi)
Ln [cm]	Lunghezza netta elemento (tiene conto dei conci rigidi)
L2,L3 [cm]	Lunghezze libere di inflessione
Sez. R: Sezione Rettangolare	
	By[cm]: Larghezza (asse locale y)
	Bz[cm]: Larghezza (asse locale z)
Sez. T: Sezione a T (rovescia e non)	
	Ba[cm]: Larghezza base inferiore
	Ha[cm]: Altezza inferiore
	Bs[cm]: Larghezza superiore
	Hs[cm]: Altezza superiore
Sez. L: Sezione ad L (rovescia e non)	
	Ba[cm]: Larghezza base inferiore
	Ha[cm]: Altezza inferiore
	Bs[cm]: Larghezza superiore
	Hs[cm]: Altezza superiore
Sez. C: Sezione circolare	
	R[cm]: Raggio
Sez. G: Sezione generica	
	B[cm]: Larghezza
	H[cm]: Altezza
X [cm]	Punto di verifica
σ_{ca} [kg/cmq]	Tensione ammissibile nel cls
σ_{fa} [kg/cmq]	Tensione ammissibile nell'acciaio
σ_{cta} [kg/cmq]	Tensione ammissibile a trazione (quando richiesto dalla verifica)
M- [kg*m]	Momento negativo massimo di calcolo
M+ [kg*m]	Momento positivo massimo di calcolo
M [kg*m]	Momento di calcolo (travi a flessione, pilastri circolari)
My [kg*m]	Momento calcolo per verifiche a pressoflessione
Mz [kg*m]	Momento calcolo per verifiche a pressoflessione (Sez. L, Pilastri)

N [kg]	Sforzo normale corrispondente ad M_y (e M_z per Sez. L, Pilastri)
Afsup [cmq]	Area di ferro superiore
Afinf [cmq]	Area di ferro inferiore
Afsin [cmq]	Area di ferro sinistra (Sez. L)
Afdes [cmq]	Area di ferro destra (Sez. L)
σ_c^- [kg/cmq]	Tensione nel cls compresso per effetto di M-
σ_c^+ [kg/cmq]	Tensione nel cls compresso per effetto di M+
σ_{ct}^- [kg/cmq]	Tensione nel cls teso per effetto di M-
σ_{ct}^+ [kg/cmq]	Tensione nel cls teso per effetto di M+
σ_f^- [kg/cmq]	Tensione nell'acciaio per effetto di M-
σ_f^+ [kg/cmq]	Tensione nell'acciaio per effetto di M+
Cb-	Combinazione di carico generatore di M-
Cb+	Combinazione di carico generatore di M+
σ_c [kg/cmq]	Tensione nel cls per effetto di N My
σ_f [kg/cmq]	Tensione nell'acciaio per effetto di N My
Cb	Combinazione di carico generatore di N My
Act [mq]	Area di calcestruzzo teso
Aft [cmq]	Area di acciaio teso
pAft [cm]	Perimetro area di acciaio teso
$S_{r,max}$ [cm]	Distanza massima delle fessure
σ_{sfmed} [kg/cmq]	Tensione media dell'acciaio
Wd [mm]	Apertura delle fessure
Wk [mm]	Apertura caratteristica delle fessure
Wamm_Freq [mm]	Apertura ammissibile delle fessure per combinazione Frequente
Wamm_Qp [mm]	Apertura ammissibile delle fessure per combinazione Quasi Permanente
Wamm_Rara [mm]	Apertura ammissibile delle fessure per combinazione Rara
Cs	Coefficiente di sicurezza definito come minimo di σ_{Amm}/σ tra acciaio e calcestruzzo oppure Wamm/Wk

Pilastro: 1 [1,101] Sez. R: By=30.0 cm Bz=50.0 cm L=330.0 cm Ln=330.0 cm L2=330.0 cm L3=330.0 cm
Criterio: CLS_Pilastrini_ND

Zona	Armature		
cm	cmq	cmq	cmq
0.0	AfSpigolo = 3.14	Afy = 0.00	Afz = 1.54
330.0	AfSpigolo = 3.14	Afy = 0.00	Afz = 1.54

Verifica snellezza: fcd=141 [kg/cm²] - **Verificato**

Cb	N	fcd*Ac	v	λ _{max}	λ _{lim}
	kg	kg			
18	3819	211650	0.018	38.105	186.101

Combinazione Rara: σ_{ca}[kg/cm²]=149 σ_{fa}[kg/cm²]=3600

X	N	My	Mz	σ _{cmax}	σ _{fmax}	Cb	Ver.	Cs
cm	kg	kg*m	kg*m	kg/cm ²	kg/cm ²			
0.0	-3130	-314	160	-6	25	22	Si	25
0.0	-3819	-339	160	-6	17	18	Si	24
330.0	-1893	171	-105	-4	14	31	Si	42

Combinazione QP: σ_{ca}[kg/cm²]=112 σ_{fa}[kg/cm²]=3600

X	N	My	Mz	σ _{cmax}	σ _{fmax}	Cb	Ver.	Cs
cm	kg	kg*m	kg*m	kg/cm ²	kg/cm ²			
0.0	-3130	-314	160	-6	25	48	Si	19
330.0	-1893	171	-105	-4	14	48	Si	32

Verifica aperture fessure:Wamm_Freq[mm]=0.400 Wamm_Qp[mm]=0.300

X	N	My	Mz	Act	Aft	pAft	S _{r,max}	σ _{fmed}	Wd	Wk	Cb	Ver.	Cs
cm	kg	kg*m	kg*m	m ²	cm ²	cm	cm	kg/cm ²	mm	mm			
0.0	-3130	-314	160	0.0	3.81	8.19	16.1	25	0.001	0.001	48(Qp)	Si	>100
0.0	-3130	-314	160	0.0	3.81	8.19	16.1	25	0.001	0.001	47(Fr)	Si	>100
330.0	-1893	171	-105	0.0	3.85	8.30	16.2	14	0.001	0.001	48(Qp)	Si	>100
330.0	-1893	171	-105	0.0	3.85	8.30	16.2	14	0.001	0.001	33(Fr)	Si	>100

Pilastro: 2 [2,102] Sez. R: By=50.0 cm Bz=30.0 cm L=330.0 cm Ln=330.0 cm L2=330.0 cm L3=330.0 cm
Criterio: CLS_Pilastrini_ND

Zona	Armature		
cm	cmq	cmq	cmq
0.0	AfSpigolo = 3.14	Afy = 1.54	Afz = 0.00
330.0	AfSpigolo = 3.14	Afy = 1.54	Afz = 0.00

Verifica snellezza: fcd=141 [kg/cm²] - **Verificato**

Cb	N	fcd*Ac	v	λ _{max}	λ _{lim}
	kg	kg			
18	9015	211650	0.043	38.105	121.136

Combinazione Rara: σ_{ca}[kg/cm²]=149 σ_{fa}[kg/cm²]=3600

X	N	My	Mz	σ _{cmax}	σ _{fmax}	Cb	Ver.	Cs
cm	kg	kg*m	kg*m	kg/cm ²	kg/cm ²			
0.0	-9015	186	264	-9	-35	18	Si	17
330.0	-7777	-558	-31	-11	6	21	Si	14

Combinazione QP: σ_{ca}[kg/cm²]=112 σ_{fa}[kg/cm²]=3600

X	N	My	Mz	σ _{cmax}	σ _{fmax}	Cb	Ver.	Cs
cm	kg	kg*m	kg*m	kg/cm ²	kg/cm ²			
0.0	-7019	2	279	-6	-38	48	Si	19
330.0	-5782	-241	-101	-7	-14	48	Si	17

Verifica aperture fessure:Wamm_Freq[mm]=0.400 Wamm_Qp[mm]=0.300

X	N	My	Mz	Act	Aft	pAft	$S_{r,max}$	σ_{fmed}	Wd	Wk	Cb	Ver.	Cs
cm	kg	kg*m	kg*m	mq	cmq	cm	cm	kg/cmq	mm	mm			
0.0	-7019	2	279	0.0	0.00	0.00	0.0	0	0.000	0.000	48(Qp)	Si	>100
0.0	-7019	2	279	0.0	0.00	0.00	0.0	0	0.000	0.000	47(Fr)	Si	>100
330.0	-5782	-241	-101	0.0	0.00	0.00	0.0	0	0.000	0.000	48(Qp)	Si	>100
330.0	-5782	-241	-101	0.0	0.00	0.00	0.0	0	0.000	0.000	33(Fr)	Si	>100

Pilastro: 3 [3,103] Sez. R: By=50.0 cm Bz=30.0 cm L=330.0 cm Ln=330.0 cm L2=330.0 cm L3=330.0 cm
Criterio: CLS_Pilastrì_ND

Zona	Armature		
cm	cmq	cmq	cmq
0.0	AfSpigolo = 3.14	Afy = 1.54	Afz = 0.00
330.0	AfSpigolo = 3.14	Afy = 1.54	Afz = 0.00

Verifica snellezza: fcd=141 [kg/cm²] - **Verificato**

Cb	N	fcd*Ac	v	λ_{max}	λ_{lim}
	kg	kg			
18	6480	211650	0.031	38.105	142.876

Combinazione Rara: σ_{ca} [kg/cm²]=149 σ_{fa} [kg/cm²]=3600

X	N	My	Mz	σ_{cmax}	σ_{fmax}	Cb	Ver.	Cs
cm	kg	kg*m	kg*m	kg/cm ²	kg/cm ²			
0.0	-5441	-221	-73	-6	-16	22	Si	25
0.0	-6480	-237	-123	-7	-19	18	Si	21
330.0	-4203	111	-151	-5	-11	31	Si	33
330.0	-5243	102	-179	-5	-19	21	Si	28

Combinazione QP: σ_{ca} [kg/cm²]=112 σ_{fa} [kg/cm²]=3600

X	N	My	Mz	σ_{cmax}	σ_{fmax}	Cb	Ver.	Cs
cm	kg	kg*m	kg*m	kg/cm ²	kg/cm ²			
0.0	-5441	-221	-73	-6	-16	48	Si	19
330.0	-4203	111	-151	-5	-11	48	Si	25

Verifica aperture fessure: Wamm_Freq[mm]=0.400 Wamm_Qp[mm]=0.300

X	N	My	Mz	Act	Aft	pAft	$S_{r,max}$	σ_{fmed}	Wd	Wk	Cb	Ver.	Cs
cm	kg	kg*m	kg*m	mq	cmq	cm	cm	kg/cm ²	mm	mm			
0.0	-5441	-221	-73	0.0	0.00	0.00	0.0	0	0.000	0.000	48(Qp)	Si	>100
0.0	-5441	-221	-73	0.0	0.00	0.00	0.0	0	0.000	0.000	47(Fr)	Si	>100
330.0	-4203	111	-151	0.0	0.00	0.00	0.0	0	0.000	0.000	48(Qp)	Si	>100
330.0	-4203	111	-151	0.0	0.00	0.00	0.0	0	0.000	0.000	33(Fr)	Si	>100

Pilastro: 4 [4,104] Sez. R: By=100.0 cm Bz=30.0 cm L=330.0 cm Ln=330.0 cm L2=330.0 cm L3=330.0 cm
Criterio: CLS_Pilastrì_ND

Zona	Armature		
cm	cmq	cmq	cmq
0.0	AfSpigolo = 3.14	Afy = 7.70	Afz = 1.54
330.0	AfSpigolo = 3.14	Afy = 7.70	Afz = 1.54

Verifica snellezza: fcd=141 [kg/cm²] - **Verificato**

Cb	N	fcd*Ac	v	λ_{max}	λ_{lim}
	kg	kg			
18	9297	423300	0.022	38.105	168.695

Combinazione Rara: σ_{ca} [kg/cm²]=149 σ_{fa} [kg/cm²]=3600

X	N	My	Mz	σ_{cmax}	σ_{fmax}	Cb	Ver.	Cs
cm	kg	kg*m	kg*m	kg/cm ²	kg/cm ²			
0.0	-9297	-619	23	-6	-1	18	Si	24
330.0	-6822	303	3649	-13	186	21	Si	12

Combinazione QP: σ_{ca} [kg/cmq]=112 σ_{fa} [kg/cmq]=3600

X	N	My	Mz	σ_{cmax}	σ_{fmax}	Cb	Ver.	Cs
cm	kg	kg*m	kg*m	kg/cmq	kg/cmq			
0.0	-8254	-500	84	-5	-3	48	Si	21
330.0	-5779	228	2828	-10	130	48	Si	11

Verifica aperture fessure: Wamm_Freq[mm]=0.400 Wamm_Qp[mm]=0.300

X	N	My	Mz	Act	Aft	pAft	$S_{r,max}$	σ_{fmed}	Wd	Wk	Cb	Ver.	Cs
cm	kg	kg*m	kg*m	mq	cmq	cm	cm	kg/cmq	mm	mm			
0.0	-8254	-500	84	0.0	0.00	0.00	0.0	0	0.000	0.000	48(Qp)	Si	>100
0.0	-8254	-500	84	0.0	0.00	0.00	0.0	0	0.000	0.000	47(Fr)	Si	>100
330.0	-5779	228	2828	0.1	15.60	39.19	17.8	70	0.004	0.004	48(Qp)	Si	84
330.0	-5779	228	2828	0.1	15.60	39.19	17.8	70	0.004	0.004	33(Fr)	Si	>100

Pilastro: 5 [5,105] Sez. R: By=100.0 cm Bz=30.0 cm L=330.0 cm Ln=330.0 cm L2=330.0 cm L3=330.0 cm
Criterio: CLS_Pilastr ND

Zona	Armature		
cm	cmq	cmq	cmq
0.0	AfSpigolo = 3.14	Afy = 7.70	Afz = 1.54
330.0	AfSpigolo = 3.14	Afy = 7.70	Afz = 1.54

Verifica snellezza: fcd=141 [kg/cmq] - **Verificato**

Cb	N	fcd*Ac	v	λ_{max}	λ_{lim}
	kg	kg			
18	7093	423300	0.017	38.105	193.130

Combinazione Rara: σ_{ca} [kg/cmq]=149 σ_{fa} [kg/cmq]=3600

X	N	My	Mz	σ_{cmax}	σ_{fmax}	Cb	Ver.	Cs
cm	kg	kg*m	kg*m	kg/cmq	kg/cmq			
0.0	-7093	-63	-2594	-8	64	18	Si	20
330.0	-4618	-202	-4412	-14	310	21	Si	11

Combinazione QP: σ_{ca} [kg/cmq]=112 σ_{fa} [kg/cmq]=3600

X	N	My	Mz	σ_{cmax}	σ_{fmax}	Cb	Ver.	Cs
cm	kg	kg*m	kg*m	kg/cmq	kg/cmq			
0.0	-6222	-249	-1867	-7	51	48	Si	16
330.0	-3747	4	-3417	-9	215	48	Si	12

Verifica aperture fessure: Wamm_Freq[mm]=0.400 Wamm_Qp[mm]=0.300

X	N	My	Mz	Act	Aft	pAft	$S_{r,max}$	σ_{fmed}	Wd	Wk	Cb	Ver.	Cs
cm	kg	kg*m	kg*m	mq	cmq	cm	cm	kg/cmq	mm	mm			
0.0	-6222	-249	-1867	0.0	12.41	30.06	16.0	29	0.001	0.001	48(Qp)	Si	>100
0.0	-6222	-249	-1867	0.0	12.41	30.06	16.0	29	0.001	0.001	47(Fr)	Si	>100
330.0	-3747	4	-3417	0.1	17.61	44.94	18.5	140	0.007	0.007	48(Qp)	Si	41
330.0	-3747	4	-3417	0.1	17.61	44.94	18.5	140	0.007	0.007	33(Fr)	Si	54

Pilastro: 6 [6,106] Sez. R: By=30.0 cm Bz=50.0 cm L=330.0 cm Ln=330.0 cm L2=330.0 cm L3=330.0 cm
Criterio: CLS_Pilastr ND

Zona	Armature		
cm	cmq	cmq	cmq
0.0	AfSpigolo = 3.14	Afy = 0.00	Afz = 1.54
330.0	AfSpigolo = 3.14	Afy = 0.00	Afz = 1.54

Verifica snellezza: fcd=141 [kg/cmq] - **Verificato**

Cb	N	fcd*Ac	v	λ_{max}	λ_{lim}
	kg	kg			
18	6488	211650	0.031	38.105	142.793

Combinazione Rara: $\sigma_{ca}[\text{kg/cm}^2]=149$ $\sigma_{fa}[\text{kg/cm}^2]=3600$

X	N	My	Mz	σ_{cmax}	σ_{fmax}	Cb	Ver.	Cs
cm	kg	kg*m	kg*m	kg/cm ²	kg/cm ²			
0.0	-6488	-208	-398	-9	10	18	Si	16
330.0	-5250	217	600	-13	98	21	Si	12

Combinazione QP: $\sigma_{ca}[\text{kg/cm}^2]=112$ $\sigma_{fa}[\text{kg/cm}^2]=3600$

X	N	My	Mz	σ_{cmax}	σ_{fmax}	Cb	Ver.	Cs
cm	kg	kg*m	kg*m	kg/cm ²	kg/cm ²			
0.0	-5182	-213	-129	-6	-13	48	Si	20
330.0	-3944	223	271	-7	23	48	Si	16

Verifica aperture fessure: Wamm_Freq[mm]=0.400 Wamm_Qp[mm]=0.300

X	N	My	Mz	Act	Aft	pAft	$S_{r,max}$	σ_{fmed}	Wd	Wk	Cb	Ver.	Cs
cm	kg	kg*m	kg*m	mq	cmq	cm	cm	kg/cm ²	mm	mm			
0.0	-5182	-213	-129	0.0	0.00	0.00	0.0	0	0.000	0.000	48(Qp)	Si	>100
0.0	-5182	-213	-129	0.0	0.00	0.00	0.0	0	0.000	0.000	47(Fr)	Si	>100
330.0	-3944	223	271	0.0	4.01	8.76	15.6	13	0.001	0.001	48(Qp)	Si	>100
330.0	-3944	223	271	0.0	4.01	8.76	15.6	13	0.001	0.001	33(Fr)	Si	>100

Pilastro: 7 [7,107] Sez. R: By=30.0 cm Bz=50.0 cm L=360.0 cm Ln=360.0 cm L2=360.0 cm L3=360.0 cm
Criterio: CLS_Pilastrini_ND

Zona	Armature		
cm	cmq	cmq	cmq
0.0	AfSpigolo = 3.14	Afy = 0.00	Afz = 1.54
360.0	AfSpigolo = 3.14	Afy = 0.00	Afz = 1.54

Verifica snellezza: fcd=141 [kg/cm²] - **Verificato**

Cb	N	fcd*Ac	v	λ_{max}	λ_{lim}
	kg	kg			
18	8053	211650	0.038	41.569	128.163

Combinazione Rara: $\sigma_{ca}[\text{kg/cm}^2]=149$ $\sigma_{fa}[\text{kg/cm}^2]=3600$

X	N	My	Mz	σ_{cmax}	σ_{fmax}	Cb	Ver.	Cs
cm	kg	kg*m	kg*m	kg/cm ²	kg/cm ²			
0.0	-4925	-344	160	-7	4	22	Si	22
0.0	-8053	-297	349	-10	-5	18	Si	15
360.0	-6703	-455	-809	-19	171	21	Si	7.9

Combinazione QP: $\sigma_{ca}[\text{kg/cm}^2]=112$ $\sigma_{fa}[\text{kg/cm}^2]=3600$

X	N	My	Mz	σ_{cmax}	σ_{fmax}	Cb	Ver.	Cs
cm	kg	kg*m	kg*m	kg/cm ²	kg/cm ²			
0.0	-4925	-344	160	-7	4	48	Si	17
360.0	-3575	-78	-395	-8	52	48	Si	14

Verifica aperture fessure: Wamm_Freq[mm]=0.400 Wamm_Qp[mm]=0.300

X	N	My	Mz	Act	Aft	pAft	$S_{r,max}$	σ_{fmed}	Wd	Wk	Cb	Ver.	Cs
cm	kg	kg*m	kg*m	mq	cmq	cm	cm	kg/cm ²	mm	mm			
0.0	-4925	-344	160	0.0	3.26	6.62	10.7	4	0.000	0.000	48(Qp)	Si	>100
0.0	-4925	-344	160	0.0	3.26	6.62	10.7	4	0.000	0.000	47(Fr)	Si	>100
360.0	-3575	-78	-395	0.0	7.82	16.96	16.7	43	0.002	0.002	48(Qp)	Si	>100
360.0	-3575	-78	-395	0.0	7.82	16.96	16.7	43	0.002	0.002	33(Fr)	Si	>100

Pilastro: 8 [8,108] Sez. R: By=30.0 cm Bz=50.0 cm L=360.0 cm Ln=360.0 cm L2=360.0 cm L3=360.0 cm
Criterio: CLS_Pilastrini_ND

Zona	Armature		
cm	cmq	cmq	cmq

Zona	Armature		
0.0	AfSpigolo = 3.14	Afy = 0.00	Afz = 1.54
360.0	AfSpigolo = 3.14	Afy = 0.00	Afz = 1.54

Verifica snellezza: $f_{cd}=141$ [kg/cm²] - **Verificato**

Cb	N	$f_{cd} \cdot A_c$	ν	λ_{max}	λ_{lim}
	kg	kg			
18	13241	211650	0.063	41.569	99.951

Combinazione Rara: σ_{ca} [kg/cm²]=149 σ_{fa} [kg/cm²]=3600

X	N	My	Mz	σ_{cmax}	σ_{fmax}	Cb	Ver.	Cs
cm	kg	kg*m	kg*m	kg/cm ²	kg/cm ²			
0.0	-13241	-93	-1443	-27	161	18	Si	5.6
360.0	-11891	-1886	2509	-67	1044	21	Si	2.2

Combinazione QP: σ_{ca} [kg/cm²]=112 σ_{fa} [kg/cm²]=3600

X	N	My	Mz	σ_{cmax}	σ_{fmax}	Cb	Ver.	Cs
cm	kg	kg*m	kg*m	kg/cm ²	kg/cm ²			
0.0	-7517	-312	-743	-16	96	48	Si	6.9
360.0	-6167	-635	1284	-30	466	48	Si	3.7

Verifica aperture fessure: W_{amm_Freq} [mm]=0.400 W_{amm_Qp} [mm]=0.300

X	N	My	Mz	Act	Aft	pAft	$S_{r,max}$	σ_{fmed}	Wd	Wk	Cb	Ver.	Cs
cm	kg	kg*m	kg*m	mq	cmq	cm	cm	kg/cm ²	mm	mm			
0.0	-7517	-312	-743	0.0	7.82	16.96	15.7	62	0.003	0.003	48(Qp)	Si	>100
0.0	-7517	-312	-743	0.0	7.82	16.96	15.7	62	0.003	0.003	47(Fr)	Si	>100
360.0	-6167	-635	1284	0.0	7.82	16.96	21.0	372	0.022	0.022	48(Qp)	Si	13
360.0	-6167	-635	1284	0.0	7.82	16.96	21.0	372	0.022	0.022	33(Fr)	Si	18

Pilastro: 9 [9,109] Sez. R: By=30.0 cm Bz=50.0 cm L=360.0 cm Ln=360.0 cm L2=360.0 cm L3=360.0 cm
Criterio: CLS_Pilastrini_ND

Zona	Armature		
cm	cmq	cmq	cmq
0.0	AfSpigolo = 3.14	Afy = 0.00	Afz = 1.54
360.0	AfSpigolo = 3.14	Afy = 0.00	Afz = 1.54

Verifica snellezza: $f_{cd}=141$ [kg/cm²] - **Verificato**

Cb	N	$f_{cd} \cdot A_c$	ν	λ_{max}	λ_{lim}
	kg	kg			
18	10383	211650	0.049	41.569	112.874

Combinazione Rara: σ_{ca} [kg/cm²]=149 σ_{fa} [kg/cm²]=3600

X	N	My	Mz	σ_{cmax}	σ_{fmax}	Cb	Ver.	Cs
cm	kg	kg*m	kg*m	kg/cm ²	kg/cm ²			
0.0	-10383	310	1536	-31	336	18	Si	4.9
360.0	-9033	-1801	-3469	-84	1721	21	Si	1.8

Combinazione QP: σ_{ca} [kg/cm²]=112 σ_{fa} [kg/cm²]=3600

X	N	My	Mz	σ_{cmax}	σ_{fmax}	Cb	Ver.	Cs
cm	kg	kg*m	kg*m	kg/cm ²	kg/cm ²			
0.0	-7083	12	699	-13	55	48	Si	8.8
360.0	-5733	-1027	-1713	-43	800	48	Si	2.6

Verifica aperture fessure: W_{amm_Freq} [mm]=0.400 W_{amm_Qp} [mm]=0.300

X	N	My	Mz	Act	Aft	pAft	$S_{r,max}$	σ_{fmed}	Wd	Wk	Cb	Ver.	Cs
cm	kg	kg*m	kg*m	mq	cmq	cm	cm	kg/cm ²	mm	mm			
0.0	-7083	12	699	0.0	7.82	16.96	15.5	54	0.002	0.002	48(Qp)	Si	>100
0.0	-7083	12	699	0.0	7.82	16.96	15.5	54	0.002	0.002	47(Fr)	Si	>100
360.0	-5733	-1027	-1713	0.0	7.82	16.96	22.1	634	0.040	0.040	48(Qp)	Si	7.5
360.0	-5733	-1027	-1713	0.0	7.82	16.96	22.1	634	0.040	0.040	33(Fr)	Si	10.0

Pilastro: 10 [10,110] Sez. R: By=30.0 cm Bz=50.0 cm L=330.0 cm Ln=330.0 cm L2=330.0 cm L3=330.0 cm
Criterio: CLS_Pilastrini_ND

Zona	Armature		
cm	cmq	cmq	cmq
0.0	AfSpigolo = 3.14	Afy = 0.00	Afz = 1.54
330.0	AfSpigolo = 3.14	Afy = 0.00	Afz = 1.54

Verifica snellezza: fcd=141 [kg/cm²] - **Verificato**

Cb	N	fcd*Ac	v	λmax	λlim
	kg	kg			
18	8866	211650	0.042	38.105	122.145

Combinazione Rara: σca[kg/cm²]=149 σfa[kg/cm²]=3600

X	N	My	Mz	σcmax	σfmax	Cb	Ver.	Cs
cm	kg	kg*m	kg*m	kg/cm ²	kg/cm ²			
0.0	-7172	32	-6	-4	-59	22	Si	34
0.0	-8866	61	-88	-6	-62	18	Si	23
330.0	-7629	-450	157	-9	-12	21	Si	17

Combinazione QP: σca[kg/cm²]=112 σfa[kg/cm²]=3600

X	N	My	Mz	σcmax	σfmax	Cb	Ver.	Cs
cm	kg	kg*m	kg*m	kg/cm ²	kg/cm ²			
0.0	-7172	32	-6	-4	-59	48	Si	25
330.0	-5934	-333	52	-6	-19	48	Si	18

Verifica aperture fessure: Wamm_Freq[mm]=0.400 Wamm_Qp[mm]=0.300

X	N	My	Mz	Act	Aft	pAft	S _{r,max}	σfmed	Wd	Wk	Cb	Ver.	Cs
cm	kg	kg*m	kg*m	m ²	cm ²	cm	cm	kg/cm ²	mm	mm			
0.0	-7172	32	-6	0.0	0.00	0.00	0.0	0	0.000	0.000	48(Qp)	Si	>100
0.0	-7172	32	-6	0.0	0.00	0.00	0.0	0	0.000	0.000	47(Fr)	Si	>100
330.0	-5934	-333	52	0.0	0.00	0.00	0.0	0	0.000	0.000	48(Qp)	Si	>100
330.0	-5934	-333	52	0.0	0.00	0.00	0.0	0	0.000	0.000	33(Fr)	Si	>100

Pilastro: 11 [11,111] Sez. R: By=50.0 cm Bz=30.0 cm L=360.0 cm Ln=360.0 cm L2=360.0 cm L3=360.0 cm
Criterio: CLS_Pilastrini_ND

Zona	Armature		
cm	cmq	cmq	cmq
0.0	AfSpigolo = 3.14	Afy = 1.54	Afz = 0.00
360.0	AfSpigolo = 3.14	Afy = 1.54	Afz = 0.00

Verifica snellezza: fcd=141 [kg/cm²] - **Verificato**

Cb	N	fcd*Ac	v	λmax	λlim
	kg	kg			
18	7450	211650	0.035	41.569	133.250

Combinazione Rara: σca[kg/cm²]=149 σfa[kg/cm²]=3600

X	N	My	Mz	σcmax	σfmax	Cb	Ver.	Cs
cm	kg	kg*m	kg*m	kg/cm ²	kg/cm ²			
0.0	-4541	-214	-60	-5	-10	22	Si	28
0.0	-7450	-215	-193	-8	-24	18	Si	19
360.0	-3191	285	-23	-5	17	31	Si	28
360.0	-6100	243	65	-7	-19	21	Si	23

Combinazione QP: σca[kg/cm²]=112 σfa[kg/cm²]=3600

X	N	My	Mz	σcmax	σfmax	Cb	Ver.	Cs
cm	kg	kg*m	kg*m	kg/cm ²	kg/cm ²			
0.0	-4541	-214	-60	-5	-10	48	Si	21

X	N	My	Mz	σ_{\max}	σ_{\max}	Cb	Ver.	Cs
360.0	-3191	285	-23	-5	17	48	Si	21

Verifica aperture fessure: Wamm_Freq[mm]=0.400 Wamm_Qp[mm]=0.300

X	N	My	Mz	Act	Aft	pAft	$S_{r,\max}$	σ_{fmed}	Wd	Wk	Cb	Ver.	Cs
cm	kg	kg*m	kg*m	mq	cmq	cm	cm	kg/cmq	mm	mm			
0.0	-4541	-214	-60	0.0	0.00	0.00	0.0	0	0.000	0.000	48(Qp)	Si	>100
0.0	-4541	-214	-60	0.0	0.00	0.00	0.0	0	0.000	0.000	47(Fr)	Si	>100
360.0	-3191	285	-23	0.0	7.82	16.96	14.4	15	0.001	0.001	48(Qp)	Si	>100
360.0	-3191	285	-23	0.0	7.82	16.96	14.4	15	0.001	0.001	33(Fr)	Si	>100

Pilastro: 12 [12,112] Sez. C: Ø=40.0 cm L=336.0 cm Ln=336.0 cm L2=336.0 cm L3=336.0 cm Criterio: CLS_Pilastr ND

Zona	Armature
cm	cmq
0.0	Aftotale = 18.85
336.0	Aftotale = 18.85

Verifica snellezza: fcd=141 [kg/cm²] - **Verificato**

Cb	N	fcd*Ac	v	λ_{\max}	λ_{\lim}
	kg	kg			
18	4180	177027	0.024	33.627	162.685

Combinazione Rara: σ_{ca} [kg/cm²]=149 σ_{fa} [kg/cm²]=3600

X	N	M	σ_{\max}	σ_{\max}	Cb	Ver.	Cs
cm	kg	kg*m	kg/cm ²	kg/cm ²			
0.0	-2579	264	-5	19	22	Si	27
0.0	-4180	337	-7	7	18	Si	21
336.0	-3127	239	-5	3	21	Si	29

Combinazione QP: σ_{ca} [kg/cm²]=112 σ_{fa} [kg/cm²]=3600

X	N	M	σ_{\max}	σ_{\max}	Cb	Ver.	Cs
cm	kg	kg*m	kg/cm ²	kg/cm ²			
0.0	-2579	264	-5	19	48	Si	21
336.0	-1525	80	-2	-5	48	Si	55

Verifica aperture fessure: Wamm_Freq[mm]=0.400 Wamm_Qp[mm]=0.300

X	N	M	Act	Aft	pAft	$S_{r,\max}$	σ_{fmed}	Wd	Wk	Cb	Ver.	Cs
cm	kg	kg*m	mq	cmq	cm	cm	kg/cmq	mm	mm			
0.0	-2579	264	0.0	1.88	3.77	29.6	19	0.002	0.002	48(Qp)	Si	>100
0.0	-2579	264	0.0	1.88	3.77	29.6	19	0.002	0.002	47(Fr)	Si	>100
336.0	-1525	80	0.0	0.00	0.00	0.0	0	0.000	0.000	48(Qp)	Si	>100
336.0	-1525	80	0.0	0.00	0.00	0.0	0	0.000	0.000	33(Fr)	Si	>100

Pilastro: 13 [13,113] Sez. C: Ø=40.0 cm L=300.0 cm Ln=300.0 cm L2=300.0 cm L3=300.0 cm Criterio: CLS_Pilastr ND

Zona	Armature
cm	cmq
0.0	Aftotale = 18.85
300.0	Aftotale = 18.85

Verifica snellezza: fcd=141 [kg/cm²] - **Verificato**

Cb	N	fcd*Ac	v	λ_{\max}	λ_{\lim}
	kg	kg			
18	10343	177027	0.058	30.024	103.427

Combinazione Rara: $\sigma_{ca}[\text{kg/cm}^2]=149$ $\sigma_{fa}[\text{kg/cm}^2]=3600$

X cm	N kg	M kg*m	σ_{cmax} kg/cm ²	σ_{fmax} kg/cm ²	Cb	Ver.	Cs
0.0	-10343	1419	-29	201	18	Si	5.1
300.0	-9402	3034	-64	972	21	Si	2.3

Combinazione QP: $\sigma_{ca}[\text{kg/cm}^2]=112$ $\sigma_{fa}[\text{kg/cm}^2]=3600$

X cm	N kg	M kg*m	σ_{cmax} kg/cm ²	σ_{fmax} kg/cm ²	Cb	Ver.	Cs
0.0	-5483	652	-13	70	48	Si	8.4
300.0	-4542	1481	-31	477	48	Si	3.6

Verifica aperture fessure: $Wamm_Freq[\text{mm}]=0.400$ $Wamm_Qp[\text{mm}]=0.300$

X cm	N kg	M kg*m	Act mq	Aft cmq	pAft cm	$S_{r,max}$ cm	σ_{fmed} kg/cm ²	Wd mm	Wk mm	Cb	Ver.	Cs
0.0	-5483	652	0.0	1.88	3.77	35.2	70	0.007	0.007	48(Qp)	Si	43
0.0	-5483	652	0.0	1.88	3.77	35.2	70	0.007	0.007	47(Fr)	Si	57
300.0	-4542	1481	0.0	3.77	7.54	32.3	285	0.026	0.026	48(Qp)	Si	11
300.0	-4542	1481	0.0	3.77	7.54	32.3	285	0.026	0.026	33(Fr)	Si	15

Pilastro: 14 [14,114] Sez. R: $B_y=30.0$ cm $B_z=50.0$ cm $L=300.0$ cm $L_n=300.0$ cm $L_2=300.0$ cm $L_3=300.0$ cm
Criterio: CLS_Pilastrini_ND

Zona cm	Armature cmq		
0.0	AfSpigolo = 3.14		
300.0	AfSpigolo = 3.14		

Verifica snellezza: $f_{cd}=141$ [kg/cm²] - **Verificato**

Cb	N kg	$f_{cd} \cdot A_c$ kg	ν	λ_{max}	λ_{lim}
18	13315	211650	0.063	34.641	99.671

Combinazione Rara: $\sigma_{ca}[\text{kg/cm}^2]=149$ $\sigma_{fa}[\text{kg/cm}^2]=3600$

X cm	N kg	M_y kg*m	M_z kg*m	σ_{cmax} kg/cm ²	σ_{fmax} kg/cm ²	Cb	Ver.	Cs
0.0	-13315	-1137	813	-25	106	18	Si	5.9
300.0	-12190	2771	-1325	-53	675	21	Si	2.8

Combinazione QP: $\sigma_{ca}[\text{kg/cm}^2]=112$ $\sigma_{fa}[\text{kg/cm}^2]=3600$

X cm	N kg	M_y kg*m	M_z kg*m	σ_{cmax} kg/cm ²	σ_{fmax} kg/cm ²	Cb	Ver.	Cs
0.0	-7233	-499	403	-12	34	48	Si	9.3
300.0	-6108	1195	-646	-24	278	48	Si	4.7

Verifica aperture fessure: $Wamm_Freq[\text{mm}]=0.400$ $Wamm_Qp[\text{mm}]=0.300$

X cm	N kg	M_y kg*m	M_z kg*m	Act mq	Aft cmq	pAft cm	$S_{r,max}$ cm	σ_{fmed} kg/cm ²	Wd mm	Wk mm	Cb	Ver.	Cs
0.0	-7233	-499	403	0.0	3.74	7.99	14.3	34	0.001	0.001	48(Qp)	Si	>100
0.0	-7233	-499	403	0.0	3.74	7.99	14.3	34	0.001	0.001	47(Fr)	Si	>100
300.0	-6108	1195	-646	0.0	7.80	16.91	19.0	143	0.008	0.008	48(Qp)	Si	38
300.0	-6108	1195	-646	0.0	7.80	16.91	19.0	143	0.008	0.008	33(Fr)	Si	51

Pilastro: 15 [15,115] Sez. R: $B_y=30.0$ cm $B_z=50.0$ cm $L=330.0$ cm $L_n=330.0$ cm $L_2=330.0$ cm $L_3=330.0$ cm
Criterio: CLS_Pilastrini_ND

Zona cm	Armature cmq		
0.0	AfSpigolo = 3.14		
	Afy = 0.00		
	Afz = 1.54		

Zona	Armature		
330.0	AfSpigolo = 3.14	Afy = 0.00	Afz = 1.54

Verifica snellezza: $f_{cd}=141$ [kg/cm²] - **Verificato**

Cb	N	$f_{cd} \cdot A_c$	ν	λ_{max}	λ_{lim}
	kg	kg			
18	7711	211650	0.036	38.105	130.974

Combinazione Rara: σ_{ca} [kg/cm²]=149 σ_{fa} [kg/cm²]=3600

X	N	My	Mz	σ_{cmax}	σ_{fmax}	Cb	Ver.	Cs
cm	kg	kg*m	kg*m	kg/cm ²	kg/cm ²			
0.0	-7711	-258	658	-14	56	18	Si	11
330.0	-6474	1464	-1319	-41	638	21	Si	3.7

Combinazione QP: σ_{ca} [kg/cm²]=112 σ_{fa} [kg/cm²]=3600

X	N	My	Mz	σ_{cmax}	σ_{fmax}	Cb	Ver.	Cs
cm	kg	kg*m	kg*m	kg/cm ²	kg/cm ²			
0.0	-5617	-182	299	-8	2	48	Si	15
330.0	-4379	1025	-629	-23	313	48	Si	5.0

Verifica aperture fessure: W_{amm} Freq[mm]=0.400 W_{amm_Qp} [mm]=0.300

X	N	My	Mz	Act	Aft	pAft	$S_{r,max}$	σ_{fmed}	Wd	Wk	Cb	Ver.	Cs
cm	kg	kg*m	kg*m	mq	cmq	cm	cm	kg/cm ²	mm	mm			
0.0	-5617	-182	299	0.0	3.24	6.56	11.1	2	0.000	0.000	48(Qp)	Si	>100
0.0	-5617	-182	299	0.0	3.24	6.56	11.1	2	0.000	0.000	47(Fr)	Si	>100
330.0	-4379	1025	-629	0.0	11.17	23.85	17.1	133	0.007	0.007	48(Qp)	Si	46
330.0	-4379	1025	-629	0.0	11.17	23.85	17.1	133	0.007	0.007	33(Fr)	Si	61

Pilastro: 16 [16,116] Sez. R: By=30.0 cm Bz=50.0 cm L=330.0 cm Ln=330.0 cm L2=330.0 cm L3=330.0 cm
Criterio: CLS_Pilastri_ND

Zona	Armature		
cm	cmq	cmq	cmq
0.0	AfSpigolo = 3.14	Afy = 0.00	Afz = 1.54
330.0	AfSpigolo = 3.14	Afy = 0.00	Afz = 1.54

Verifica snellezza: $f_{cd}=141$ [kg/cm²] - **Verificato**

Cb	N	$f_{cd} \cdot A_c$	ν	λ_{max}	λ_{lim}
	kg	kg			
18	9595	211650	0.045	38.105	117.415

Combinazione Rara: σ_{ca} [kg/cm²]=149 σ_{fa} [kg/cm²]=3600

X	N	My	Mz	σ_{cmax}	σ_{fmax}	Cb	Ver.	Cs
cm	kg	kg*m	kg*m	kg/cm ²	kg/cm ²			
0.0	-7776	81	-63	-6	-53	22	Si	26
0.0	-9595	82	-90	-7	-66	18	Si	21
330.0	-6539	47	6	-4	-52	31	Si	36
330.0	-8358	92	88	-6	-55	21	Si	24

Combinazione QP: σ_{ca} [kg/cm²]=112 σ_{fa} [kg/cm²]=3600

X	N	My	Mz	σ_{cmax}	σ_{fmax}	Cb	Ver.	Cs
cm	kg	kg*m	kg*m	kg/cm ²	kg/cm ²			
0.0	-7776	81	-63	-6	-53	48	Si	20
330.0	-6539	47	6	-4	-52	48	Si	27

Verifica aperture fessure: W_{amm} Freq[mm]=0.400 W_{amm_Qp} [mm]=0.300

X	N	My	Mz	Act	Aft	pAft	$S_{r,max}$	σ_{fmed}	Wd	Wk	Cb	Ver.	Cs
cm	kg	kg*m	kg*m	mq	cmq	cm	cm	kg/cm ²	mm	mm			
0.0	-7776	81	-63	0.0	0.00	0.00	0.0	0	0.000	0.000	48(Qp)	Si	>100
0.0	-7776	81	-63	0.0	0.00	0.00	0.0	0	0.000	0.000	47(Fr)	Si	>100
330.0	-6539	47	6	0.0	0.00	0.00	0.0	0	0.000	0.000	48(Qp)	Si	>100

X	N	My	Mz	Act	Aft	pAft	$S_{r,max}$	σ_{fmed}	Wd	Wk	Cb	Ver.	Cs
330.0	-6539	47	6	0.0	0.00	0.00	0.0	0	0.000	0.000	33(Fr)	Si	>100

Pilastro: 17 [17,117] Sez. R: By=50.0 cm Bz=30.0 cm L=360.0 cm Ln=360.0 cm L2=360.0 cm L3=360.0 cm
Criterio: CLS_Pilastr ND

Zona	Armature		
cm	cmq	cmq	cmq
0.0	AfSpigolo = 3.14	Afy = 1.54	Afz = 0.00
360.0	AfSpigolo = 3.14	Afy = 1.54	Afz = 0.00

Verifica snellezza: fcd=141 [kg/cm²] - **Verificato**

Cb	N	fcd*Ac	v	λ_{max}	λ_{lim}
	kg	kg			
18	11484	211650	0.054	41.569	107.323

Combinazione Rara: σ_{ca} [kg/cm²]=149 σ_{fa} [kg/cm²]=3600

X	N	My	Mz	σ_{cmax}	σ_{fmax}	Cb	Ver.	Cs
cm	kg	kg*m	kg*m	kg/cm ²	kg/cm ²			
0.0	-8019	609	-561	-16	76	22	Si	9.3
360.0	-6669	-1146	1013	-32	440	31	Si	4.7

Combinazione QP: σ_{ca} [kg/cm²]=112 σ_{fa} [kg/cm²]=3600

X	N	My	Mz	σ_{cmax}	σ_{fmax}	Cb	Ver.	Cs
cm	kg	kg*m	kg*m	kg/cm ²	kg/cm ²			
0.0	-8019	609	-561	-16	76	48	Si	7.0
360.0	-6669	-1146	1013	-32	440	48	Si	3.5

Verifica aperture fessure: Wamm_Freq[mm]=0.400 Wamm_Qp[mm]=0.300

X	N	My	Mz	Act	Aft	pAft	$S_{r,max}$	σ_{fmed}	Wd	Wk	Cb	Ver.	Cs
cm	kg	kg*m	kg*m	mq	cmq	cm	cm	kg/cm ²	mm	mm			
0.0	-8019	609	-561	0.0	4.21	9.34	17.5	49	0.002	0.002	48(Qp)	Si	>100
0.0	-8019	609	-561	0.0	4.21	9.34	17.5	49	0.002	0.002	47(Fr)	Si	>100
360.0	-6669	-1146	1013	0.0	7.82	16.96	20.4	295	0.017	0.017	48(Qp)	Si	17
360.0	-6669	-1146	1013	0.0	7.82	16.96	20.4	295	0.017	0.017	33(Fr)	Si	23

Pilastro: 18 [18,118] Sez. R: By=30.0 cm Bz=50.0 cm L=300.0 cm Ln=300.0 cm L2=300.0 cm L3=300.0 cm
Criterio: CLS_Pilastr ND

Zona	Armature		
cm	cmq	cmq	cmq
0.0	AfSpigolo = 3.14	Afy = 0.00	Afz = 1.54
300.0	AfSpigolo = 3.14	Afy = 0.00	Afz = 1.54

Verifica snellezza: fcd=141 [kg/cm²] - **Verificato**

Cb	N	fcd*Ac	v	λ_{max}	λ_{lim}
	kg	kg			
18	8639	211650	0.041	34.641	123.739

Combinazione Rara: σ_{ca} [kg/cm²]=149 σ_{fa} [kg/cm²]=3600

X	N	My	Mz	σ_{cmax}	σ_{fmax}	Cb	Ver.	Cs
cm	kg	kg*m	kg*m	kg/cm ²	kg/cm ²			
0.0	-8639	1764	603	-29	307	18	Si	5.2
300.0	-7514	-3313	-1571	-67	1209	21	Si	2.2

Combinazione QP: σ_{ca} [kg/cm²]=112 σ_{fa} [kg/cm²]=3600

X	N	My	Mz	σ_{cmax}	σ_{fmax}	Cb	Ver.	Cs
cm	kg	kg*m	kg*m	kg/cm ²	kg/cm ²			
0.0	-7213	1528	467	-24	261	48	Si	4.7
300.0	-6088	-2791	-1309	-56	1028	48	Si	2.0

Verifica aperture fessure: Wamm_Freq[mm]=0.400 Wamm_Qp[mm]=0.300

X	N	My	Mz	Act	Aft	pAft	S _{r,max}	σ _{fmed}	Wd	Wk	Cb	Ver.	Cs
cm	kg	kg*m	kg*m	mq	cmq	cm	cm	kg/cmq	mm	mm			
0.0	-7213	1528	467	0.0	7.70	16.61	18.6	140	0.007	0.007	48(Qp)	Si	40
0.0	-7213	1528	467	0.0	7.70	16.61	18.6	140	0.007	0.007	47(Fr)	Si	54
300.0	-6088	-2791	-1309	0.0	11.54	24.88	18.2	492	0.026	0.026	48(Qp)	Si	12
300.0	-6088	-2791	-1309	0.0	11.54	24.88	18.2	492	0.026	0.026	33(Fr)	Si	16

Pilastro: 19 [19,219] Sez. R: By=30.0 cm Bz=50.0 cm L=330.0 cm Ln=330.0 cm L2=330.0 cm L3=330.0 cm
Criterio: CLS_Pilastrì_ND

Zona	Armature		
cm	cmq	cmq	cmq
0.0	AfSpigolo = 3.14	Afy = 0.00	Afz = 1.54
330.0	AfSpigolo = 3.14	Afy = 0.00	Afz = 1.54

Verifica snellezza: fcd=141 [kg/cmq] - **Verificato**

Cb	N	fcd*Ac	v	λ _{max}	λ _{lim}
	kg	kg			
18	8257	211650	0.039	38.105	126.572

Combinazione Rara: σ_{ca}[kg/cmq]=149 σ_{fa}[kg/cmq]=3600

X	N	My	Mz	σ _{cmax}	σ _{fmax}	Cb	Ver.	Cs
cm	kg	kg*m	kg*m	kg/cmq	kg/cmq			
0.0	-6712	101	-41	-5	-45	22	Si	30
330.0	-5474	-112	107	-5	-26	31	Si	30
330.0	-7020	104	91	-6	-42	21	Si	26

Combinazione QP: σ_{ca}[kg/cmq]=112 σ_{fa}[kg/cmq]=3600

X	N	My	Mz	σ _{cmax}	σ _{fmax}	Cb	Ver.	Cs
cm	kg	kg*m	kg*m	kg/cmq	kg/cmq			
0.0	-6712	101	-41	-5	-45	48	Si	23
330.0	-5474	-112	107	-5	-26	48	Si	22

Verifica aperture fessure: Wamm_Freq[mm]=0.400 Wamm_Qp[mm]=0.300

X	N	My	Mz	Act	Aft	pAft	S _{r,max}	σ _{fmed}	Wd	Wk	Cb	Ver.	Cs
cm	kg	kg*m	kg*m	mq	cmq	cm	cm	kg/cmq	mm	mm			
0.0	-6712	101	-41	0.0	0.00	0.00	0.0	0	0.000	0.000	48(Qp)	Si	>100
0.0	-6712	101	-41	0.0	0.00	0.00	0.0	0	0.000	0.000	47(Fr)	Si	>100
330.0	-5474	-112	107	0.0	0.00	0.00	0.0	0	0.000	0.000	48(Qp)	Si	>100
330.0	-5474	-112	107	0.0	0.00	0.00	0.0	0	0.000	0.000	33(Fr)	Si	>100

Pilastro: 20 [20,220] Sez. R: By=30.0 cm Bz=50.0 cm L=330.0 cm Ln=330.0 cm L2=330.0 cm L3=330.0 cm
Criterio: CLS_Pilastrì_ND

Zona	Armature		
cm	cmq	cmq	cmq
0.0	AfSpigolo = 3.14	Afy = 0.00	Afz = 1.54
330.0	AfSpigolo = 3.14	Afy = 0.00	Afz = 1.54

Verifica snellezza: fcd=141 [kg/cmq] - **Verificato**

Cb	N	fcd*Ac	v	λ _{max}	λ _{lim}
	kg	kg			
18	10227	211650	0.048	38.105	113.728

Combinazione Rara: σ_{ca}[kg/cmq]=149 σ_{fa}[kg/cmq]=3600

X	N	My	Mz	σ _{cmax}	σ _{fmax}	Cb	Ver.	Cs
cm	kg	kg*m	kg*m	kg/cmq	kg/cmq			
0.0	-8073	168	39	-6	-52	22	Si	24

X	N	My	Mz	σ_{cmax}	σ_{fmax}	Cb	Ver.	Cs
0.0	-10227	8	102	-7	-76	18	Si	21
330.0	-6836	-611	-34	-8	-7	31	Si	18
330.0	-8990	-378	-85	-8	-38	21	Si	18

Combinazione QP: $\sigma_{\text{ca}}[\text{kg/cm}^2]=112$ $\sigma_{\text{fa}}[\text{kg/cm}^2]=3600$

X	N	My	Mz	σ_{cmax}	σ_{fmax}	Cb	Ver.	Cs
cm	kg	kg*m	kg*m	kg/cm ²	kg/cm ²			
0.0	-8073	168	39	-6	-52	48	Si	18
330.0	-6836	-611	-34	-8	-7	48	Si	14

Verifica aperture fessure: $W_{\text{amm_Freq}}[\text{mm}]=0.400$ $W_{\text{amm_Qp}}[\text{mm}]=0.300$

X	N	My	Mz	Act	Aft	pAft	$S_{r,\text{max}}$	σ_{fmed}	Wd	Wk	Cb	Ver.	Cs
cm	kg	kg*m	kg*m	m ²	cm ²	cm	cm	kg/cm ²	mm	mm			
0.0	-8073	168	39	0.0	0.00	0.00	0.0	0	0.000	0.000	48(Qp)	Si	>100
0.0	-8073	168	39	0.0	0.00	0.00	0.0	0	0.000	0.000	47(Fr)	Si	>100
330.0	-6836	-611	-34	0.0	0.00	0.00	0.0	0	0.000	0.000	48(Qp)	Si	>100
330.0	-6836	-611	-34	0.0	0.00	0.00	0.0	0	0.000	0.000	33(Fr)	Si	>100

Pilastro: 21 [21,221] Sez. R: $B_y=30.0$ cm $B_z=50.0$ cm $L=330.0$ cm $L_n=330.0$ cm $L_2=330.0$ cm $L_3=330.0$ cm
Criterio: CLS_Pilastri_ND

Zona	Armature		
cm	cm ²	cm ²	cm ²
0.0	AfSpigolo = 3.14	Afy = 0.00	Afz = 1.54
330.0	AfSpigolo = 3.14	Afy = 0.00	Afz = 1.54

Verifica snellezza: $f_{\text{cd}}=141$ [kg/cm²] - **Verificato**

Cb	N	$f_{\text{cd}} \cdot A_c$	v	λ_{max}	λ_{lim}
	kg	kg			
18	6859	211650	0.032	38.105	138.873

Combinazione Rara: $\sigma_{\text{ca}}[\text{kg/cm}^2]=149$ $\sigma_{\text{fa}}[\text{kg/cm}^2]=3600$

X	N	My	Mz	σ_{cmax}	σ_{fmax}	Cb	Ver.	Cs
cm	kg	kg*m	kg*m	kg/cm ²	kg/cm ²			
0.0	-6859	571	146	-9	4	18	Si	16
330.0	-5622	-948	-365	-16	139	21	Si	9.4

Combinazione QP: $\sigma_{\text{ca}}[\text{kg/cm}^2]=112$ $\sigma_{\text{fa}}[\text{kg/cm}^2]=3600$

X	N	My	Mz	σ_{cmax}	σ_{fmax}	Cb	Ver.	Cs
cm	kg	kg*m	kg*m	kg/cm ²	kg/cm ²			
0.0	-5761	525	45	-7	-3	48	Si	16
330.0	-4523	-913	-191	-13	123	48	Si	8.8

Verifica aperture fessure: $W_{\text{amm_Freq}}[\text{mm}]=0.400$ $W_{\text{amm_Qp}}[\text{mm}]=0.300$

X	N	My	Mz	Act	Aft	pAft	$S_{r,\text{max}}$	σ_{fmed}	Wd	Wk	Cb	Ver.	Cs
cm	kg	kg*m	kg*m	m ²	cm ²	cm	cm	kg/cm ²	mm	mm			
0.0	-5761	525	45	0.0	0.00	0.00	0.0	0	0.000	0.000	48(Qp)	Si	>100
0.0	-5761	525	45	0.0	0.00	0.00	0.0	0	0.000	0.000	47(Fr)	Si	>100
330.0	-4523	-913	-191	0.0	7.57	16.25	18.1	65	0.003	0.003	48(Qp)	Si	90
330.0	-4523	-913	-191	0.0	7.57	16.25	18.1	65	0.003	0.003	33(Fr)	Si	>100

Pilastro: 22 [22,96] Sez. R: $B_y=20.0$ cm $B_z=40.0$ cm $L=332.2$ cm $L_n=332.2$ cm $L_2=332.2$ cm $L_3=332.2$ cm
Criterio: CLS_Pilastri_ND

Zona	Armature		
cm	cm ²	cm ²	cm ²
0.0	AfSpigolo = 3.14	Afy = 0.00	Afz = 1.54
332.2	AfSpigolo = 3.14	Afy = 0.00	Afz = 1.54

Verifica snellezza: $f_{cd}=141$ [kg/cm²] - **Verificato**

Cb	N	$f_{cd} \cdot A_c$	ν	λ_{max}	λ_{lim}
	kg	kg			
18	3108	112880	0.028	57.535	150.664

Combinazione Rara: σ_{ca} [kg/cm²]=149 σ_{fa} [kg/cm²]=3600

X	N	My	Mz	σ_{cmax}	σ_{fmax}	Cb	Ver.	Cs
cm	kg	kg*m	kg*m	kg/cm ²	kg/cm ²			
0.0	-3108	-469	31	-11	67	18	Si	14
332.2	-2448	1112	-46	-23	392	21	Si	6.4

Combinazione QP: σ_{ca} [kg/cm²]=112 σ_{fa} [kg/cm²]=3600

X	N	My	Mz	σ_{cmax}	σ_{fmax}	Cb	Ver.	Cs
cm	kg	kg*m	kg*m	kg/cm ²	kg/cm ²			
0.0	-2797	-411	29	-10	56	48	Si	11
332.2	-2137	942	-53	-21	336	48	Si	5.4

Verifica aperture fessure: W_{amm_Freq} [mm]=0.400 W_{amm_Qp} [mm]=0.300

X	N	My	Mz	Act	Aft	pAft	$S_{r,max}$	σ_{fmed}	Wd	Wk	Cb	Ver.	Cs
cm	kg	kg*m	kg*m	mq	cmq	cm	cm	kg/cm ²	mm	mm			
0.0	-2797	-411	29	0.0	7.20	15.18	12.8	46	0.002	0.002	48(Qp)	Si	>100
0.0	-2797	-411	29	0.0	7.20	15.18	12.8	46	0.002	0.002	47(Fr)	Si	>100
332.2	-2137	942	-53	0.0	8.15	17.90	14.8	183	0.008	0.008	48(Qp)	Si	39
332.2	-2137	942	-53	0.0	8.15	17.90	14.8	183	0.008	0.008	33(Fr)	Si	52

Pilastro: 23 [23,123] Sez. R: $B_y=30.0$ cm $B_z=50.0$ cm $L=330.0$ cm $L_n=330.0$ cm $L_2=330.0$ cm $L_3=330.0$ cm
 Criterio: CLS_Pilastrì_ND

Zona	Armature		
cm	cmq	cmq	cmq
0.0	AfSpigolo = 3.14	Afy = 0.00	Afz = 1.54
330.0	AfSpigolo = 3.14	Afy = 0.00	Afz = 1.54

Verifica snellezza: $f_{cd}=141$ [kg/cm²] - **Verificato**

Cb	N	$f_{cd} \cdot A_c$	ν	λ_{max}	λ_{lim}
	kg	kg			
18	8817	211650	0.042	38.105	122.489

Combinazione Rara: σ_{ca} [kg/cm²]=149 σ_{fa} [kg/cm²]=3600

X	N	My	Mz	σ_{cmax}	σ_{fmax}	Cb	Ver.	Cs
cm	kg	kg*m	kg*m	kg/cm ²	kg/cm ²			
0.0	-7289	138	93	-6	-41	22	Si	25
0.0	-8817	158	12	-6	-62	18	Si	24
330.0	-6051	-199	-104	-6	-24	31	Si	26
330.0	-7579	-232	57	-6	-41	21	Si	23

Combinazione QP: σ_{ca} [kg/cm²]=112 σ_{fa} [kg/cm²]=3600

X	N	My	Mz	σ_{cmax}	σ_{fmax}	Cb	Ver.	Cs
cm	kg	kg*m	kg*m	kg/cm ²	kg/cm ²			
0.0	-7289	138	93	-6	-41	48	Si	18
330.0	-6051	-199	-104	-6	-24	48	Si	19

Verifica aperture fessure: W_{amm_Freq} [mm]=0.400 W_{amm_Qp} [mm]=0.300

X	N	My	Mz	Act	Aft	pAft	$S_{r,max}$	σ_{fmed}	Wd	Wk	Cb	Ver.	Cs
cm	kg	kg*m	kg*m	mq	cmq	cm	cm	kg/cm ²	mm	mm			
0.0	-7289	138	93	0.0	0.00	0.00	0.0	0	0.000	0.000	48(Qp)	Si	>100
0.0	-7289	138	93	0.0	0.00	0.00	0.0	0	0.000	0.000	47(Fr)	Si	>100
330.0	-6051	-199	-104	0.0	0.00	0.00	0.0	0	0.000	0.000	48(Qp)	Si	>100
330.0	-6051	-199	-104	0.0	0.00	0.00	0.0	0	0.000	0.000	33(Fr)	Si	>100

Pilastro: 24 [24,124] Sez. R: $B_y=50.0$ cm $B_z=30.0$ cm $L=360.0$ cm $L_n=360.0$ cm $L_2=360.0$ cm $L_3=360.0$ cm

Criterio: CLS_Pilastri_ND

Zona	Armature		
cm	cmq	cmq	cmq
0.0	AfSpigolo = 3.14	Afy = 1.54	Afz = 0.00
360.0	AfSpigolo = 3.14	Afy = 1.54	Afz = 0.00

Verifica snellezza: fcd=141 [kg/cm²] - **Verificato**

Cb	N	fcd*Ac	v	λ _{max}	λ _{lim}
	kg	kg			
18	11367	211650	0.054	41.569	107.877

Combinazione Rara: σ_{ca}[kg/cm²]=149 σ_{fa}[kg/cm²]=3600

X	N	My	Mz	σ _{cmax}	σ _{fmax}	Cb	Ver.	Cs
cm	kg	kg*m	kg*m	kg/cm ²	kg/cm ²			
0.0	-7963	-656	-246	-14	49	22	Si	11
0.0	-11367	-568	-391	-15	0	18	Si	9.8
360.0	-6613	1175	847	-30	424	31	Si	4.9

Combinazione QP: σ_{ca}[kg/cm²]=112 σ_{fa}[kg/cm²]=3600

X	N	My	Mz	σ _{cmax}	σ _{fmax}	Cb	Ver.	Cs
cm	kg	kg*m	kg*m	kg/cm ²	kg/cm ²			
0.0	-7963	-656	-246	-14	49	48	Si	8.0
360.0	-6613	1175	847	-30	424	48	Si	3.7

Verifica aperture fessure: Wamm_Freq[mm]=0.400 Wamm_Qp[mm]=0.300

X	N	My	Mz	Act	Aft	pAft	S _{r,max}	σ _{fmed}	Wd	Wk	Cb	Ver.	Cs
cm	kg	kg*m	kg*m	m ²	cm ²	cm	cm	kg/cm ²	mm	mm			
0.0	-7963	-656	-246	0.0	7.82	16.96	13.6	24	0.001	0.001	48(Qp)	Si	>100
0.0	-7963	-656	-246	0.0	7.82	16.96	13.6	24	0.001	0.001	47(Fr)	Si	>100
360.0	-6613	1175	847	0.0	7.82	16.96	20.4	303	0.018	0.018	48(Qp)	Si	17
360.0	-6613	1175	847	0.0	7.82	16.96	20.4	303	0.018	0.018	33(Fr)	Si	23

Pilastro: 25 [25,125] Sez. R: By=30.0 cm Bz=50.0 cm L=300.0 cm Ln=300.0 cm L2=300.0 cm L3=300.0 cm
Criterio: CLS_Pilastri_ND

Zona	Armature		
cm	cmq	cmq	cmq
0.0	AfSpigolo = 3.14	Afy = 0.00	Afz = 1.54
300.0	AfSpigolo = 3.14	Afy = 0.00	Afz = 1.54

Verifica snellezza: fcd=141 [kg/cm²] - **Verificato**

Cb	N	fcd*Ac	v	λ _{max}	λ _{lim}
	kg	kg			
18	10998	211650	0.052	34.641	109.670

Combinazione Rara: σ_{ca}[kg/cm²]=149 σ_{fa}[kg/cm²]=3600

X	N	My	Mz	σ _{cmax}	σ _{fmax}	Cb	Ver.	Cs
cm	kg	kg*m	kg*m	kg/cm ²	kg/cm ²			
0.0	-8094	-1179	444	-19	136	22	Si	7.7
0.0	-10998	-1088	653	-22	105	18	Si	6.8
300.0	-6969	2497	-1121	-49	804	31	Si	3.1
300.0	-9873	2382	-1558	-54	788	21	Si	2.7

Combinazione QP: σ_{ca}[kg/cm²]=112 σ_{fa}[kg/cm²]=3600

X	N	My	Mz	σ _{cmax}	σ _{fmax}	Cb	Ver.	Cs
cm	kg	kg*m	kg*m	kg/cm ²	kg/cm ²			
0.0	-8094	-1179	444	-19	136	48	Si	5.8
300.0	-6969	2497	-1121	-49	804	48	Si	2.3

Verifica aperture fessure: Wamm_Freq[mm]=0.400 Wamm_Qp[mm]=0.300

X	N	My	Mz	Act	Aft	pAft	S _{r,max}	σfmed	Wd	Wk	Cb	Ver.	Cs
cm	kg	kg*m	kg*m	mq	cmq	cm	cm	kg/cmq	mm	mm			
0.0	-8094	-1179	444	0.0	4.01	8.77	21.4	76	0.005	0.005	48(Qp)	Si	65
0.0	-8094	-1179	444	0.0	4.01	8.77	21.4	76	0.005	0.005	47(Fr)	Si	86
300.0	-6969	2497	-1121	0.0	8.30	18.33	20.9	491	0.029	0.029	48(Qp)	Si	10
300.0	-6969	2497	-1121	0.0	8.30	18.33	20.9	491	0.029	0.029	33(Fr)	Si	14

Pilastro: 26 [26,226] Sez. R: By=30.0 cm Bz=50.0 cm L=330.0 cm Ln=330.0 cm L2=330.0 cm L3=330.0 cm
Criterio: CLS_Pilastrini_ND

Zona	Armature		
cm	cmq	cmq	cmq
0.0	AfSpigolo = 3.14	Afy = 0.00	Afz = 1.54
330.0	AfSpigolo = 3.14	Afy = 0.00	Afz = 1.54

Verifica snellezza: fcd=141 [kg/cm²] - **Verificato**

Cb	N	fcd*Ac	v	λ _{max}	λ _{lim}
	kg	kg			
18	9741	211650	0.046	38.105	116.532

Combinazione Rara: σ_{ca}[kg/cm²]=149 σ_{fa}[kg/cm²]=3600

X	N	My	Mz	σ _{cmax}	σ _{fmax}	Cb	Ver.	Cs
cm	kg	kg*m	kg*m	kg/cm ²	kg/cm ²			
0.0	-8234	52	-391	-9	-22	22	Si	16
0.0	-9741	128	-405	-11	-27	18	Si	14
330.0	-8504	-335	1046	-22	188	21	Si	6.8

Combinazione QP: σ_{ca}[kg/cm²]=112 σ_{fa}[kg/cm²]=3600

X	N	My	Mz	σ _{cmax}	σ _{fmax}	Cb	Ver.	Cs
cm	kg	kg*m	kg*m	kg/cm ²	kg/cm ²			
0.0	-8234	52	-391	-9	-22	48	Si	12
330.0	-6997	-161	939	-18	174	48	Si	6.1

Verifica aperture fessure: Wamm_Freq[mm]=0.400 Wamm_Qp[mm]=0.300

X	N	My	Mz	Act	Aft	pAft	S _{r,max}	σfmed	Wd	Wk	Cb	Ver.	Cs
cm	kg	kg*m	kg*m	mq	cmq	cm	cm	kg/cm ²	mm	mm			
0.0	-8234	52	-391	0.0	0.00	0.00	0.0	0	0.000	0.000	48(Qp)	Si	>100
0.0	-8234	52	-391	0.0	0.00	0.00	0.0	0	0.000	0.000	47(Fr)	Si	>100
330.0	-6997	-161	939	0.0	7.82	16.96	18.4	154	0.008	0.008	48(Qp)	Si	37
330.0	-6997	-161	939	0.0	7.82	16.96	18.4	154	0.008	0.008	33(Fr)	Si	49

Pilastro: 27 [27,77] Sez. R: By=20.0 cm Bz=40.0 cm L=332.3 cm Ln=332.3 cm L2=332.3 cm L3=332.3 cm
Criterio: CLS_Pilastrini_ND

Zona	Armature		
cm	cmq	cmq	cmq
0.0	AfSpigolo = 3.14	Afy = 0.00	Afz = 1.54
332.3	AfSpigolo = 3.14	Afy = 0.00	Afz = 1.54

Verifica snellezza: fcd=141 [kg/cm²] - **Verificato**

Cb	N	fcd*Ac	v	λ _{max}	λ _{lim}
	kg	kg			
18	7596	112880	0.067	57.553	96.373

Combinazione Rara: σ_{ca}[kg/cm²]=149 σ_{fa}[kg/cm²]=3600

X	N	My	Mz	σ _{cmax}	σ _{fmax}	Cb	Ver.	Cs
cm	kg	kg*m	kg*m	kg/cm ²	kg/cm ²			
0.0	-7596	-544	245	-22	55	18	Si	6.7
332.3	-6936	976	-476	-41	353	21	Si	3.6

Combinazione QP: σ_{ca} [kg/cmq]=112 σ_{fa} [kg/cmq]=3600

X	N	My	Mz	σ_{cmax}	σ_{fmax}	Cb	Ver.	Cs
cm	kg	kg*m	kg*m	kg/cmq	kg/cmq			
0.0	-6569	-443	188	-18	31	48	Si	6.2
332.3	-5909	802	-372	-33	267	48	Si	3.4

Verifica aperture fessure: Wamm_Freq[mm]=0.400 Wamm_Qp[mm]=0.300

X	N	My	Mz	Act	Aft	pAft	$S_{r,max}$	σ_{fmed}	Wd	Wk	Cb	Ver.	Cs
cm	kg	kg*m	kg*m	mq	cmq	cm	cm	kg/cmq	mm	mm			
0.0	-6569	-443	188	0.0	3.47	7.22	11.6	31	0.001	0.001	48(Qp)	Si	>100
0.0	-6569	-443	188	0.0	3.47	7.22	11.6	31	0.001	0.001	47(Fr)	Si	>100
332.3	-5909	802	-372	0.0	4.33	9.68	16.6	180	0.009	0.009	48(Qp)	Si	35
332.3	-5909	802	-372	0.0	4.33	9.68	16.6	180	0.009	0.009	33(Fr)	Si	47

Pilastro: 28 [28,128] Sez. C: Ø=40.0 cm L=300.0 cm Ln=300.0 cm L2=300.0 cm L3=300.0 cm Criterio: CLS_Pilastru_ND

Zona	Armature
cm	cmq
0.0	Aftotale = 18.85
300.0	Aftotale = 18.85

Verifica snellezza: fcd=141 [kg/cmq] - **Verificato**

Cb	N	fcd*Ac	v	λ_{max}	λ_{lim}
	kg	kg			
18	5753	177027	0.032	30.024	138.684

Combinazione Rara: σ_{ca} [kg/cmq]=149 σ_{fa} [kg/cmq]=3600

X	N	M	σ_{cmax}	σ_{fmax}	Cb	Ver.	Cs
cm	kg	kg*m	kg/cmq	kg/cmq			
0.0	-2861	72	-3	-19	22	Si	53
0.0	-5753	262	-7	-22	18	Si	21
300.0	-4812	605	-12	73	21	Si	12

Combinazione QP: σ_{ca} [kg/cmq]=112 σ_{fa} [kg/cmq]=3600

X	N	M	σ_{cmax}	σ_{fmax}	Cb	Ver.	Cs
cm	kg	kg*m	kg/cmq	kg/cmq			
0.0	-2861	72	-3	-19	48	Si	40
300.0	-1920	142	-3	1	48	Si	36

Verifica aperture fessure: Wamm_Freq[mm]=0.400 Wamm_Qp[mm]=0.300

X	N	M	Act	Aft	pAft	$S_{r,max}$	σ_{fmed}	Wd	Wk	Cb	Ver.	Cs
cm	kg	kg*m	mq	cmq	cm	cm	kg/cmq	mm	mm			
0.0	-2861	72	0.0	0.00	0.00	0.0	0	0.000	0.000	48(Qp)	Si	>100
0.0	-2861	72	0.0	0.00	0.00	0.0	0	0.000	0.000	47(Fr)	Si	>100
300.0	-1920	142	0.0	1.88	3.77	17.2	1	0.000	0.000	48(Qp)	Si	>100
300.0	-1920	142	0.0	1.88	3.77	17.2	1	0.000	0.000	33(Fr)	Si	>100

Pilastro: 29 [29,229] Sez. R: By=30.0 cm Bz=50.0 cm L=330.0 cm Ln=330.0 cm L2=330.0 cm L3=330.0 cm Criterio: CLS_Pilastru_ND

Zona	Armature		
cm	cmq	cmq	cmq
0.0	AfSpigolo = 3.14	Afy = 0.00	Afz = 1.54
330.0	AfSpigolo = 3.14	Afv = 0.00	Afz = 1.54

Verifica snellezza: $f_{cd}=141$ [kg/cm²] - **Verificato**

Cb	N	$f_{cd} \cdot A_c$	ν	λ_{max}	λ_{lim}
	kg	kg			
18	8892	211650	0.042	38.105	121.972

Combinazione Rara: σ_{ca} [kg/cm²]=149 σ_{fa} [kg/cm²]=3600

X	N	My	Mz	σ_{cmax}	σ_{fmax}	Cb	Ver.	Cs
cm	kg	kg*m	kg*m	kg/cm ²	kg/cm ²			
0.0	-7338	-82	-246	-7	-28	22	Si	20
0.0	-8892	-26	-208	-8	-51	18	Si	20
330.0	-6101	100	593	-12	55	31	Si	13

Combinazione QP: σ_{ca} [kg/cm²]=112 σ_{fa} [kg/cm²]=3600

X	N	My	Mz	σ_{cmax}	σ_{fmax}	Cb	Ver.	Cs
cm	kg	kg*m	kg*m	kg/cm ²	kg/cm ²			
0.0	-7338	-82	-246	-7	-28	48	Si	15
330.0	-6101	100	593	-12	55	48	Si	9.7

Verifica aperture fessure: W_{amm_Freq} [mm]=0.400 W_{amm_Qp} [mm]=0.300

X	N	My	Mz	Act	Aft	pAft	$S_{r,max}$	σ_{fmed}	Wd	Wk	Cb	Ver.	Cs
cm	kg	kg*m	kg*m	mq	cmq	cm	cm	kg/cm ²	mm	mm			
0.0	-7338	-82	-246	0.0	0.00	0.00	0.0	0	0.000	0.000	48(Qp)	Si	>100
0.0	-7338	-82	-246	0.0	0.00	0.00	0.0	0	0.000	0.000	47(Fr)	Si	>100
330.0	-6101	100	593	0.0	7.82	16.96	15.4	44	0.002	0.002	48(Qp)	Si	>100
330.0	-6101	100	593	0.0	7.82	16.96	15.4	44	0.002	0.002	33(Fr)	Si	>100

Pilastro: 30 [30,130] Sez. R: By=30.0 cm Bz=50.0 cm L=330.0 cm Ln=330.0 cm L2=330.0 cm L3=330.0 cm
 Criterio: CLS_Pilastrini_ND

Zona	Armature		
cm	cmq	cmq	cmq
0.0	AfSpigolo = 3.14	Afy = 0.00	Afz = 1.54
330.0	AfSpigolo = 3.14	Afy = 0.00	Afz = 1.54

Verifica snellezza: $f_{cd}=141$ [kg/cm²] - **Verificato**

Cb	N	$f_{cd} \cdot A_c$	ν	λ_{max}	λ_{lim}
	kg	kg			
18	8899	211650	0.042	38.105	121.923

Combinazione Rara: σ_{ca} [kg/cm²]=149 σ_{fa} [kg/cm²]=3600

X	N	My	Mz	σ_{cmax}	σ_{fmax}	Cb	Ver.	Cs
cm	kg	kg*m	kg*m	kg/cm ²	kg/cm ²			
0.0	-7440	104	264	-8	-25	22	Si	19
0.0	-8899	101	207	-8	-45	18	Si	19
330.0	-6202	12	-159	-5	-34	31	Si	28

Combinazione QP: σ_{ca} [kg/cm²]=112 σ_{fa} [kg/cm²]=3600

X	N	My	Mz	σ_{cmax}	σ_{fmax}	Cb	Ver.	Cs
cm	kg	kg*m	kg*m	kg/cm ²	kg/cm ²			
0.0	-7440	104	264	-8	-25	48	Si	14
330.0	-6202	12	-159	-5	-34	48	Si	21

Verifica aperture fessure: W_{amm_Freq} [mm]=0.400 W_{amm_Qp} [mm]=0.300

X	N	My	Mz	Act	Aft	pAft	$S_{r,max}$	σ_{fmed}	Wd	Wk	Cb	Ver.	Cs
cm	kg	kg*m	kg*m	mq	cmq	cm	cm	kg/cm ²	mm	mm			
0.0	-7440	104	264	0.0	0.00	0.00	0.0	0	0.000	0.000	48(Qp)	Si	>100
0.0	-7440	104	264	0.0	0.00	0.00	0.0	0	0.000	0.000	47(Fr)	Si	>100
330.0	-6202	12	-159	0.0	0.00	0.00	0.0	0	0.000	0.000	48(Qp)	Si	>100
330.0	-6202	12	-159	0.0	0.00	0.00	0.0	0	0.000	0.000	33(Fr)	Si	>100

Pilastro: 31 [31,131] Sez. R: By=50.0 cm Bz=30.0 cm L=360.0 cm Ln=360.0 cm L2=360.0 cm L3=360.0 cm

Criterio: CLS_Pilastrini_ND

Zona	Armature		
cm	cmq	cmq	cmq
0.0	AfSpigolo = 3.14	Afy = 1.54	Afz = 0.00
360.0	AfSpigolo = 3.14	Afy = 1.54	Afz = 0.00

Verifica snellezza: fcd=141 [kg/cm²] - **Verificato**

Cb	N	fcd*Ac	v	λ _{max}	λ _{lim}
	kg	kg			
18	7901	211650	0.037	41.569	129.389

Combinazione Rara: σ_{ca}[kg/cm²]=149 σ_{fa}[kg/cm²]=3600

X	N	My	Mz	σ _{cmax}	σ _{fmax}	Cb	Ver.	Cs
cm	kg	kg*m	kg*m	kg/cm ²	kg/cm ²			
0.0	-4346	30	487	-6	7	22	Si	25
0.0	-7901	-3	344	-7	-41	18	Si	22
360.0	-2996	-31	-228	-4	-4	31	Si	43
360.0	-6551	67	224	-6	-31	21	Si	25

Combinazione QP: σ_{ca}[kg/cm²]=112 σ_{fa}[kg/cm²]=3600

X	N	My	Mz	σ _{cmax}	σ _{fmax}	Cb	Ver.	Cs
cm	kg	kg*m	kg*m	kg/cm ²	kg/cm ²			
0.0	-4346	30	487	-6	7	48	Si	19
360.0	-2996	-31	-228	-4	-4	48	Si	32

Verifica aperture fessure: Wamm_Freq[mm]=0.400 Wamm_Qp[mm]=0.300

X	N	My	Mz	Act	Aft	pAft	S _{r,max}	σ _{fmed}	Wd	Wk	Cb	Ver.	Cs
cm	kg	kg*m	kg*m	mq	cmq	cm	cm	kg/cm ²	mm	mm			
0.0	-4346	30	487	0.0	3.27	6.65	14.5	7	0.000	0.000	48(Qp)	Si	>100
0.0	-4346	30	487	0.0	3.27	6.65	14.5	7	0.000	0.000	47(Fr)	Si	>100
360.0	-2996	-31	-228	0.0	0.00	0.00	0.0	0	0.000	0.000	48(Qp)	Si	>100
360.0	-2996	-31	-228	0.0	0.00	0.00	0.0	0	0.000	0.000	33(Fr)	Si	>100

Pilastrino: 32 [32,80] Sez. R: By=20.0 cm Bz=40.0 cm L=332.2 cm Ln=332.2 cm L2=332.2 cm L3=332.2 cm
Criterio: CLS_Pilastrini_ND

Zona	Armature		
cm	cmq	cmq	cmq
0.0	AfSpigolo = 3.14	Afy = 0.00	Afz = 1.54
332.2	AfSpigolo = 3.14	Afy = 0.00	Afz = 1.54

Verifica snellezza: fcd=141 [kg/cm²] - **Verificato**

Cb	N	fcd*Ac	v	λ _{max}	λ _{lim}
	kg	kg			
18	4378	112880	0.039	57.535	126.939

Combinazione Rara: σ_{ca}[kg/cm²]=149 σ_{fa}[kg/cm²]=3600

X	N	My	Mz	σ _{cmax}	σ _{fmax}	Cb	Ver.	Cs
cm	kg	kg*m	kg*m	kg/cm ²	kg/cm ²			
0.0	-4378	453	103	-14	51	18	Si	11
332.2	-3718	-1170	-178	-31	413	21	Si	4.8

Combinazione QP: σ_{ca}[kg/cm²]=112 σ_{fa}[kg/cm²]=3600

X	N	My	Mz	σ _{cmax}	σ _{fmax}	Cb	Ver.	Cs
cm	kg	kg*m	kg*m	kg/cm ²	kg/cm ²			
0.0	-3873	414	94	-13	50	48	Si	8.8
332.2	-3213	-1006	-156	-27	355	48	Si	4.1

Verifica aperture fessure: Wamm_Freq[mm]=0.400 Wamm_Qp[mm]=0.300

X	N	My	Mz	Act	Aft	pAft	S _{r,max}	σfmed	Wd	Wk	Cb	Ver.	Cs
cm	kg	kg*m	kg*m	mq	cmq	cm	cm	kg/cmq	mm	mm			
0.0	-3873	414	94	0.0	3.67	7.80	13.9	50	0.002	0.002	48(Qp)	Si	>100
0.0	-3873	414	94	0.0	3.67	7.80	13.9	50	0.002	0.002	47(Fr)	Si	>100
332.2	-3213	-1006	-156	0.0	8.01	17.49	14.5	224	0.009	0.009	48(Qp)	Si	32
332.2	-3213	-1006	-156	0.0	8.01	17.49	14.5	224	0.009	0.009	33(Fr)	Si	43

Pilastro: 33 [33,233] Sez. C: Ø=40.0 cm L=330.0 cm Ln=330.0 cm L2=330.0 cm L3=330.0 cm Criterio: CLS_Pilastr ND

Zona	Armature
cm	cmq
0.0	Aftotale = 18.85
330.0	Aftotale = 18.85

Verifica snellezza: fcd=141 [kg/cm²] - **Verificato**

Cb	N	fcd*Ac	v	λ _{max}	λ _{lim}
	kg	kg			
18	5190	177027	0.029	33.027	146.012

Combinazione Rara: σ_{ca}[kg/cm²]=149 σ_{fa}[kg/cm²]=3600

X	N	M	σ _{cmax}	σ _{fmax}	Cb	Ver.	Cs
cm	kg	kg*m	kg/cm ²	kg/cm ²			
0.0	-3994	143	-4	-21	22	Si	34
0.0	-5190	118	-5	-36	18	Si	30
330.0	-2959	265	-6	11	31	Si	27

Combinazione QP: σ_{ca}[kg/cm²]=112 σ_{fa}[kg/cm²]=3600

X	N	M	σ _{cmax}	σ _{fmax}	Cb	Ver.	Cs
cm	kg	kg*m	kg/cm ²	kg/cm ²			
0.0	-3994	143	-4	-21	48	Si	25
330.0	-2959	265	-6	11	48	Si	20

Verifica aperture fessure: Wamm_Freq[mm]=0.400 Wamm_Qp[mm]=0.300

X	N	M	Act	Aft	pAft	S _{r,max}	σfmed	Wd	Wk	Cb	Ver.	Cs
cm	kg	kg*m	mq	cmq	cm	cm	kg/cm ²	mm	mm			
0.0	-3994	143	0.0	0.00	0.00	0.0	0	0.000	0.000	48(Qp)	Si	>10 0
0.0	-3994	143	0.0	0.00	0.00	0.0	0	0.000	0.000	47(Fr)	Si	>10 0
330.0	-2959	265	0.0	1.88	3.77	24.4	11	0.001	0.001	48(Qp)	Si	>10 0
330.0	-2959	265	0.0	1.88	3.77	24.4	11	0.001	0.001	33(Fr)	Si	>10 0

Pilastro: 34 [34,81] Sez. R: By=20.0 cm Bz=40.0 cm L=332.0 cm Ln=332.0 cm L2=332.0 cm L3=332.0 cm Criterio: CLS_Pilastr ND

Zona	Armature		
cm	cmq	cmq	cmq
0.0	AfSpigolo = 3.14	Afy = 0.00	Afz = 1.54
332.0	AfSpigolo = 3.14	Afy = 0.00	Afz = 1.54

Verifica snellezza: fcd=141 [kg/cm²] - **Verificato**

Cb	N	fcd*Ac	v	λ _{max}	λ _{lim}
	kg	kg			
18	4615	112880	0.041	57.498	123.635

Combinazione Rara: σ_{ca}[kg/cm²]=149 σ_{fa}[kg/cm²]=3600

X	N	My	Mz	σ _{cmax}	σ _{fmax}	Cb	Ver.	Cs
cm	kg	kg*m	kg*m	kg/cm ²	kg/cm ²			

X	N	My	Mz	σ_{cmax}	σ_{fmax}	Cb	Ver.	Cs
0.0	-4615	547	20	-13	38	18	Si	12
332.0	-3955	-1273	18	-26	367	21	Si	5.8

Combinazione QP: $\sigma_{\text{ca}}[\text{kg/cm}^2]=112$ $\sigma_{\text{fa}}[\text{kg/cm}^2]=3600$

X	N	My	Mz	σ_{cmax}	σ_{fmax}	Cb	Ver.	Cs
cm	kg	kg*m	kg*m	kg/cm ²	kg/cm ²			
0.0	-4109	461	16	-11	26	48	Si	10
332.0	-3449	-1063	23	-22	302	48	Si	5.1

Verifica aperture fessure: $W_{\text{amm_Freq}}[\text{mm}]=0.400$ $W_{\text{amm_Qp}}[\text{mm}]=0.300$

X	N	My	Mz	Act	Aft	pAft	$S_{r,\text{max}}$	σ_{fmed}	Wd	Wk	Cb	Ver.	Cs
cm	kg	kg*m	kg*m	mq	cmq	cm	cm	kg/cm ²	mm	mm			
0.0	-4109	461	16	0.0	6.71	13.78	11.5	21	0.001	0.001	48(Qp)	Si	>100
0.0	-4109	461	16	0.0	6.71	13.78	11.5	21	0.001	0.001	47(Fr)	Si	>100
332.0	-3449	-1063	23	0.0	7.97	17.37	14.4	158	0.007	0.007	48(Qp)	Si	46
332.0	-3449	-1063	23	0.0	7.97	17.37	14.4	158	0.007	0.007	33(Fr)	Si	61

Pilastro: 35 [35,135] Sez. C: $\varnothing=40.0$ cm L=300.0 cm L_n=300.0 cm L₂=300.0 cm L₃=300.0 cm Criterio: CLS_Pilastrini_ND

Zona	Armature
cm	cmq
0.0	Aftotale = 18.85
300.0	Aftotale = 18.85

Verifica snellezza: $f_{\text{cd}}=141$ [kg/cm²] - **Verificato**

Cb	N	$f_{\text{cd}} \cdot A_{\text{c}}$	v	λ_{max}	λ_{lim}
	kg	kg			
18	8152	177027	0.046	30.024	116.499

Combinazione Rara: $\sigma_{\text{ca}}[\text{kg/cm}^2]=149$ $\sigma_{\text{fa}}[\text{kg/cm}^2]=3600$

X	N	M	σ_{cmax}	σ_{fmax}	Cb	Ver.	Cs
cm	kg	kg*m	kg/cm ²	kg/cm ²			
0.0	-8152	1152	-24	172	18	Si	6.3
300.0	-7211	2301	-48	733	21	Si	3.1

Combinazione QP: $\sigma_{\text{ca}}[\text{kg/cm}^2]=112$ $\sigma_{\text{fa}}[\text{kg/cm}^2]=3600$

X	N	M	σ_{cmax}	σ_{fmax}	Cb	Ver.	Cs
cm	kg	kg*m	kg/cm ²	kg/cm ²			
0.0	-4031	450	-9	41	48	Si	12
300.0	-3090	938	-20	291	48	Si	5.7

Verifica aperture fessure: $W_{\text{amm_Freq}}[\text{mm}]=0.400$ $W_{\text{amm_Qp}}[\text{mm}]=0.300$

X	N	M	Act	Aft	pAft	$S_{r,\text{max}}$	σ_{fmed}	Wd	Wk	Cb	Ver.	Cs
cm	kg	kg*m	mq	cmq	cm	cm	kg/cm ²	mm	mm			
0.0	-4031	450	0.0	1.88	3.77	32.9	41	0.004	0.004	48(Qp)	Si	77
0.0	-4031	450	0.0	1.88	3.77	32.9	41	0.004	0.004	47(Fr)	Si	>100
300.0	-3090	938	0.0	3.77	7.54	32.0	172	0.016	0.016	48(Qp)	Si	19
300.0	-3090	938	0.0	3.77	7.54	32.0	172	0.016	0.016	33(Fr)	Si	26

Pilastro: 36 [36,236] Sez. R: B_y=30.0 cm B_z=50.0 cm L=330.0 cm L_n=330.0 cm L₂=330.0 cm L₃=330.0 cm Criterio: CLS_Pilastrini_ND

Zona	Armature
cm	cmq
0.0	AfSpigolo = 3.14
330.0	AfSpigolo = 3.14

Verifica snellezza: $f_{cd}=141$ [kg/cm²] - **Verificato**

Cb	N	$f_{cd} \cdot A_c$	ν	λ_{max}	λ_{lim}
	kg	kg			
18	7424	211650	0.035	38.105	133.486

Combinazione Rara: σ_{ca} [kg/cm²]=149 σ_{fa} [kg/cm²]=3600

X	N	My	Mz	σ_{cmax}	σ_{fmax}	Cb	Ver.	Cs
cm	kg	kg*m	kg*m	kg/cm ²	kg/cm ²			
0.0	-5961	-209	-412	-10	20	22	Si	16
0.0	-7424	-272	-405	-10	7	18	Si	14
330.0	-4724	235	733	-16	184	31	Si	9.6

Combinazione QP: σ_{ca} [kg/cm²]=112 σ_{fa} [kg/cm²]=3600

X	N	My	Mz	σ_{cmax}	σ_{fmax}	Cb	Ver.	Cs
cm	kg	kg*m	kg*m	kg/cm ²	kg/cm ²			
0.0	-5961	-209	-412	-10	20	48	Si	12
330.0	-4724	235	733	-16	184	48	Si	7.2

Verifica aperture fessure: W_{amm_Freq} [mm]=0.400 W_{amm_Qp} [mm]=0.300

X	N	My	Mz	Act	Aft	pAft	$S_{r,max}$	σ_{fmed}	Wd	Wk	Cb	Ver.	Cs
cm	kg	kg*m	kg*m	mq	cmq	cm	cm	kg/cm ²	mm	mm			
0.0	-5961	-209	-412	0.0	3.97	8.65	14.6	11	0.000	0.000	48(Qp)	Si	>100
0.0	-5961	-209	-412	0.0	3.97	8.65	14.6	11	0.000	0.000	47(Fr)	Si	>100
330.0	-4724	235	733	0.0	7.82	16.96	19.4	153	0.008	0.008	48(Qp)	Si	35
330.0	-4724	235	733	0.0	7.82	16.96	19.4	153	0.008	0.008	33(Fr)	Si	47

Pilastro: 37 [37,137] Sez. R: By=30.0 cm Bz=50.0 cm L=330.0 cm Ln=330.0 cm L2=330.0 cm L3=330.0 cm
 Criterio: CLS_Pilastrini_ND

Zona	Armature		
cm	cmq	cmq	cmq
0.0	AfSpigolo = 3.14	Afy = 0.00	Afz = 1.54
330.0	AfSpigolo = 3.14	Afy = 0.00	Afz = 1.54

Verifica snellezza: $f_{cd}=141$ [kg/cm²] - **Verificato**

Cb	N	$f_{cd} \cdot A_c$	ν	λ_{max}	λ_{lim}
	kg	kg			
18	6246	211650	0.030	38.105	145.529

Combinazione Rara: σ_{ca} [kg/cm²]=149 σ_{fa} [kg/cm²]=3600

X	N	My	Mz	σ_{cmax}	σ_{fmax}	Cb	Ver.	Cs
cm	kg	kg*m	kg*m	kg/cm ²	kg/cm ²			
0.0	-5302	294	226	-7	5	22	Si	20
330.0	-4064	-85	-17	-3	-26	31	Si	49
330.0	-5008	6	114	-4	-29	21	Si	36

Combinazione QP: σ_{ca} [kg/cm²]=112 σ_{fa} [kg/cm²]=3600

X	N	My	Mz	σ_{cmax}	σ_{fmax}	Cb	Ver.	Cs
cm	kg	kg*m	kg*m	kg/cm ²	kg/cm ²			
0.0	-5302	294	226	-7	5	48	Si	15
330.0	-4064	-85	-17	-3	-26	48	Si	37

Verifica aperture fessure: W_{amm_Freq} [mm]=0.400 W_{amm_Qp} [mm]=0.300

X	N	My	Mz	Act	Aft	pAft	$S_{r,max}$	σ_{fmed}	Wd	Wk	Cb	Ver.	Cs
cm	kg	kg*m	kg*m	mq	cmq	cm	cm	kg/cm ²	mm	mm			
0.0	-5302	294	226	0.0	3.31	6.76	11.0	5	0.000	0.000	48(Qp)	Si	>100
0.0	-5302	294	226	0.0	3.31	6.76	11.0	5	0.000	0.000	47(Fr)	Si	>100
330.0	-4064	-85	-17	0.0	0.00	0.00	0.0	0	0.000	0.000	48(Qp)	Si	>100
330.0	-4064	-85	-17	0.0	0.00	0.00	0.0	0	0.000	0.000	33(Fr)	Si	>100

Pilastro: 38 [38,238] Sez. R: By=30.0 cm Bz=50.0 cm L=330.0 cm Ln=330.0 cm L2=330.0 cm L3=330.0 cm

Criterio: CLS_Pilastrini_ND

Zona	Armature		
cm	cmq	cmq	cmq
0.0	AfSpigolo = 3.14	Afy = 0.00	Afz = 1.54
330.0	AfSpigolo = 3.14	Afy = 0.00	Afz = 1.54

Verifica snellezza: fcd=141 [kg/cm²] - **Verificato**

Cb	N	fcd*Ac	v	λ _{max}	λ _{lim}
	kg	kg			
18	8369	211650	0.040	38.105	125.720

Combinazione Rara: σ_{ca}[kg/cm²]=149 σ_{fa}[kg/cm²]=3600

X	N	My	Mz	σ _{cmax}	σ _{fmax}	Cb	Ver.	Cs
cm	kg	kg*m	kg*m	kg/cm ²	kg/cm ²			
0.0	-6923	-132	-401	-9	-2	22	Si	16
0.0	-8369	-175	-418	-10	-10	18	Si	14
330.0	-5686	-70	789	-15	146	31	Si	10
330.0	-7132	-82	815	-15	105	21	Si	9.8

Combinazione QP: σ_{ca}[kg/cm²]=112 σ_{fa}[kg/cm²]=3600

X	N	My	Mz	σ _{cmax}	σ _{fmax}	Cb	Ver.	Cs
cm	kg	kg*m	kg*m	kg/cm ²	kg/cm ²			
0.0	-6923	-132	-401	-9	-2	48	Si	12
330.0	-5686	-70	789	-15	146	48	Si	7.6

Verifica aperture fessure: Wamm_Freq[mm]=0.400 Wamm_Qp[mm]=0.300

X	N	My	Mz	Act	Aft	pAft	S _{r,max}	σ _{fmed}	Wd	Wk	Cb	Ver.	Cs
cm	kg	kg*m	kg*m	mq	cmq	cm	cm	kg/cm ²	mm	mm			
0.0	-6923	-132	-401	0.0	0.00	0.00	0.0	0	0.000	0.000	48(Qp)	Si	>100
0.0	-6923	-132	-401	0.0	0.00	0.00	0.0	0	0.000	0.000	47(Fr)	Si	>100
330.0	-5686	-70	789	0.0	7.82	16.96	18.6	137	0.007	0.007	48(Qp)	Si	41
330.0	-5686	-70	789	0.0	7.82	16.96	18.6	137	0.007	0.007	33(Fr)	Si	55

Pilastro: 39 [39,82] Sez. R: By=20.0 cm Bz=40.0 cm L=332.0 cm Ln=332.0 cm L2=332.0 cm L3=332.0 cm
Criterio: CLS_Pilastrini_ND

Zona	Armature		
cm	cmq	cmq	cmq
0.0	AfSpigolo = 3.14	Afy = 0.00	Afz = 1.54
332.0	AfSpigolo = 3.14	Afy = 0.00	Afz = 1.54

Verifica snellezza: fcd=141 [kg/cm²] - **Verificato**

Cb	N	fcd*Ac	v	λ _{max}	λ _{lim}
	kg	kg			
18	4895	112880	0.043	57.498	120.051

Combinazione Rara: σ_{ca}[kg/cm²]=149 σ_{fa}[kg/cm²]=3600

X	N	My	Mz	σ _{cmax}	σ _{fmax}	Cb	Ver.	Cs
cm	kg	kg*m	kg*m	kg/cm ²	kg/cm ²			
0.0	-4895	497	108	-15	51	18	Si	9.9
332.0	-4235	-1155	-189	-32	382	21	Si	4.7

Combinazione QP: σ_{ca}[kg/cm²]=112 σ_{fa}[kg/cm²]=3600

X	N	My	Mz	σ _{cmax}	σ _{fmax}	Cb	Ver.	Cs
cm	kg	kg*m	kg*m	kg/cm ²	kg/cm ²			
0.0	-4330	403	93	-13	34	48	Si	8.8
332.0	-3670	-945	-162	-26	305	48	Si	4.3

Verifica aperture fessure: Wamm_Freq[mm]=0.400 Wamm_Qp[mm]=0.300

X	N	My	Mz	Act	Aft	pAft	S _{r,max}	σfmed	Wd	Wk	Cb	Ver.	Cs
cm	kg	kg*m	kg*m	mq	cmq	cm	cm	kg/cmq	mm	mm			
0.0	-4330	403	93	0.0	3.53	7.40	12.6	34	0.001	0.001	48(Qp)	Si	>100
0.0	-4330	403	93	0.0	3.53	7.40	12.6	34	0.001	0.001	47(Fr)	Si	>100
332.0	-3670	-945	-162	0.0	7.88	17.13	14.3	184	0.007	0.007	48(Qp)	Si	40
332.0	-3670	-945	-162	0.0	7.88	17.13	14.3	184	0.007	0.007	33(Fr)	Si	53

Pilastro: 40 [40,140] Sez. C: Ø=40.0 cm L=360.0 cm Ln=360.0 cm L2=360.0 cm L3=360.0 cm Criterio: CLS_Pilastr ND

Zona	Armature
cm	cmq
0.0	Aftotale = 18.85
360.0	Aftotale = 18.85

Verifica snellezza: fcd=141 [kg/cm²] - **Verificato**

Cb	N	fcd*Ac	v	λ _{max}	λ _{lim}
	kg	kg			
18	7188	177027	0.041	36.029	124.066

Combinazione Rara: σ_{ca}[kg/cm²]=149 σ_{fa}[kg/cm²]=3600

X	N	M	σ _{cmax}	σ _{fmax}	Cb	Ver.	Cs
cm	kg	kg*m	kg/cm ²	kg/cm ²			
0.0	-4068	155	-5	-20	22	Si	32
0.0	-7188	69	-6	-62	18	Si	27
360.0	-6059	747	-15	87	21	Si	9.7

Combinazione QP: σ_{ca}[kg/cm²]=112 σ_{fa}[kg/cm²]=3600

X	N	M	σ _{cmax}	σ _{fmax}	Cb	Ver.	Cs
cm	kg	kg*m	kg/cm ²	kg/cm ²			
0.0	-4068	155	-5	-20	48	Si	24
360.0	-2939	189	-4	-4	48	Si	26

Verifica aperture fessure: Wamm_Freq[mm]=0.400 Wamm_Qp[mm]=0.300

X	N	M	Act	Aft	pAft	S _{r,max}	σfmed	Wd	Wk	Cb	Ver.	Cs
cm	kg	kg*m	mq	cmq	cm	cm	kg/cm ²	mm	mm			
0.0	-4068	155	0.0	0.00	0.00	0.0	0	0.000	0.000	48(Qp)	Si	>10 0
0.0	-4068	155	0.0	0.00	0.00	0.0	0	0.000	0.000	47(Fr)	Si	>10 0
360.0	-2939	189	0.0	0.00	0.00	0.0	0	0.000	0.000	48(Qp)	Si	>10 0
360.0	-2939	189	0.0	0.00	0.00	0.0	0	0.000	0.000	33(Fr)	Si	>10 0

Pilastro: 41 [41,73] Sez. R: By=20.0 cm Bz=40.0 cm L=332.2 cm Ln=332.2 cm L2=332.2 cm L3=332.2 cm Criterio: CLS_Pilastr ND

Zona	Armature		
cm	cmq	cmq	cmq
0.0	AfSpigolo = 3.14	Afy = 0.00	Afz = 1.54
332.2	AfSpigolo = 3.14	Afy = 0.00	Afz = 1.54

Verifica snellezza: fcd=141 [kg/cm²] - **Verificato**

Cb	N	fcd*Ac	v	λ _{max}	λ _{lim}
	kg	kg			
18	2595	112880	0.023	57.534	164.870

Combinazione Rara: σ_{ca}[kg/cm²]=149 σ_{fa}[kg/cm²]=3600

X	N	My	Mz	σ _{cmax}	σ _{fmax}	Cb	Ver.	Cs
cm	kg	kg*m	kg*m	kg/cm ²	kg/cm ²			

X	N	My	Mz	σ_{\max}	σ_{\min}	Cb	Ver.	Cs
0.0	-2595	-192	79	-8	18	18	Si	20
332.2	-1935	194	-217	-14	145	21	Si	11

Combinazione QP: $\sigma_{ca}[\text{kg/cm}^2]=112$ $\sigma_{fa}[\text{kg/cm}^2]=3600$

X	N	My	Mz	σ_{\max}	σ_{\min}	Cb	Ver.	Cs
cm	kg	kg*m	kg*m	kg/cm ²	kg/cm ²			
0.0	-2354	-172	62	-6	12	48	Si	17
332.2	-1694	177	-175	-12	116	48	Si	9.6

Verifica aperture fessure: $W_{amm_Freq}[\text{mm}]=0.400$ $W_{amm_Qp}[\text{mm}]=0.300$

X	N	My	Mz	Act	Aft	pAft	$S_{r,\max}$	σ_{med}	Wd	Wk	Cb	Ver.	Cs
cm	kg	kg*m	kg*m	mq	cmq	cm	cm	kg/cm ²	mm	mm			
0.0	-2354	-172	62	0.0	3.46	7.21	11.6	12	0.000	0.000	48(Qp)	Si	>100
0.0	-2354	-172	62	0.0	3.46	7.21	11.6	12	0.000	0.000	47(Fr)	Si	>100
332.2	-1694	177	-175	0.0	7.82	16.96	14.2	74	0.003	0.003	48(Qp)	Si	100
332.2	-1694	177	-175	0.0	7.82	16.96	14.2	74	0.003	0.003	33(Fr)	Si	>100

Pilastro: 42 [42,142] Sez. R: $B_y=30.0$ cm $B_z=50.0$ cm $L=330.0$ cm $L_n=330.0$ cm $L_2=330.0$ cm $L_3=330.0$ cm
Criterio: CLS_Pilastrini_ND

Zona	Armature		
cm	cmq	cmq	cmq
0.0	AfSpigolo = 3.14	Afy = 0.00	Afz = 1.54
330.0	AfSpigolo = 3.14	Afy = 0.00	Afz = 1.54

Verifica snellezza: $f_{cd}=141$ [kg/cm²] - **Verificato**

Cb	N	$f_{cd} \cdot A_c$	ν	λ_{\max}	λ_{\lim}
	kg	kg			
18	1869	211650	0.009	38.105	266.034

Combinazione Rara: $\sigma_{ca}[\text{kg/cm}^2]=149$ $\sigma_{fa}[\text{kg/cm}^2]=3600$

X	N	My	Mz	σ_{\max}	σ_{\min}	Cb	Ver.	Cs
cm	kg	kg*m	kg*m	kg/cm ²	kg/cm ²			
0.0	-1769	-364	236	-8	105	22	Si	18
330.0	-532	247	-149	-6	106	31	Si	26

Combinazione QP: $\sigma_{ca}[\text{kg/cm}^2]=112$ $\sigma_{fa}[\text{kg/cm}^2]=3600$

X	N	My	Mz	σ_{\max}	σ_{\min}	Cb	Ver.	Cs
cm	kg	kg*m	kg*m	kg/cm ²	kg/cm ²			
0.0	-1769	-364	236	-8	105	48	Si	14
330.0	-532	247	-149	-6	106	48	Si	20

Verifica aperture fessure: $W_{amm_Freq}[\text{mm}]=0.400$ $W_{amm_Qp}[\text{mm}]=0.300$

X	N	My	Mz	Act	Aft	pAft	$S_{r,\max}$	σ_{med}	Wd	Wk	Cb	Ver.	Cs
cm	kg	kg*m	kg*m	mq	cmq	cm	cm	kg/cm ²	mm	mm			
0.0	-1769	-364	236	0.0	11.08	23.58	16.8	43	0.002	0.002	48(Qp)	Si	>100
0.0	-1769	-364	236	0.0	11.08	23.58	16.8	43	0.002	0.002	47(Fr)	Si	>100
330.0	-532	247	-149	0.0	11.43	24.58	18.6	53	0.003	0.003	48(Qp)	Si	>100
330.0	-532	247	-149	0.0	11.43	24.58	18.6	53	0.003	0.003	33(Fr)	Si	>100

Pilastro: 43 [43,243] Sez. R: $B_y=30.0$ cm $B_z=50.0$ cm $L=330.0$ cm $L_n=330.0$ cm $L_2=330.0$ cm $L_3=330.0$ cm
Criterio: CLS_Pilastrini_ND

Zona	Armature		
cm	cmq	cmq	cmq
0.0	AfSpigolo = 3.14	Afy = 0.00	Afz = 1.54
330.0	AfSpigolo = 3.14	Afy = 0.00	Afz = 1.54

Verifica snellezza: $f_{cd}=141$ [kg/cm²] - **Verificato**

Cb	N	fcd*Ac	v	λ_{max}	λ_{lim}
	kg	kg			
18	8821	211650	0.042	38.105	122.457

Combinazione Rara: σ_{ca} [kg/cmq]=149 σ_{fa} [kg/cmq]=3600

X	N	My	Mz	σ_{cmax}	σ_{fmax}	Cb	Ver.	Cs
cm	kg	kg*m	kg*m	kg/cmq	kg/cmq			
0.0	-8821	-149	-373	-10	-21	18	Si	15
330.0	-7584	138	737	-14	69	21	Si	10

Combinazione QP: σ_{ca} [kg/cmq]=112 σ_{fa} [kg/cmq]=3600

X	N	My	Mz	σ_{cmax}	σ_{fmax}	Cb	Ver.	Cs
cm	kg	kg*m	kg*m	kg/cmq	kg/cmq			
0.0	-7480	-35	-339	-8	-22	48	Si	14
330.0	-6242	-14	659	-12	64	48	Si	9.4

Verifica aperture fessure: Wamm_Freq[mm]=0.400 Wamm_Qp[mm]=0.300

X	N	My	Mz	Act	Aft	pAft	$S_{r,max}$	σ_{fmed}	Wd	Wk	Cb	Ver.	Cs
cm	kg	kg*m	kg*m	mq	cmq	cm	cm	kg/cmq	mm	mm			
0.0	-7480	-35	-339	0.0	0.00	0.00	0.0	0	0.000	0.000	48(Qp)	Si	>100
0.0	-7480	-35	-339	0.0	0.00	0.00	0.0	0	0.000	0.000	47(Fr)	Si	>100
330.0	-6242	-14	659	0.0	7.82	16.96	16.2	63	0.003	0.003	48(Qp)	Si	>100
330.0	-6242	-14	659	0.0	7.82	16.96	16.2	63	0.003	0.003	33(Fr)	Si	>100

Pilastro: 44 [44,144] Sez. R: By=50.0 cm Bz=30.0 cm L=300.0 cm Ln=300.0 cm L2=300.0 cm L3=300.0 cm
Criterio: CLS_Pilastrì_ND

Zona	Armature		
cm	cmq	cmq	cmq
0.0	AfSpigolo = 3.14	Afy = 1.54	Afz = 0.00
300.0	AfSpigolo = 3.14	Afy = 1.54	Afz = 0.00

Verifica snellezza: fcd=141 [kg/cmq] - **Verificato**

Cb	N	fcd*Ac	v	λ_{max}	λ_{lim}
	kg	kg			
18	8581	211650	0.041	34.641	124.162

Combinazione Rara: σ_{ca} [kg/cmq]=149 σ_{fa} [kg/cmq]=3600

X	N	My	Mz	σ_{cmax}	σ_{fmax}	Cb	Ver.	Cs
cm	kg	kg*m	kg*m	kg/cmq	kg/cmq			
0.0	-8581	-1065	79	-20	160	18	Si	7.6
300.0	-7456	1872	-926	-44	766	21	Si	3.4

Combinazione QP: σ_{ca} [kg/cmq]=112 σ_{fa} [kg/cmq]=3600

X	N	My	Mz	σ_{cmax}	σ_{fmax}	Cb	Ver.	Cs
cm	kg	kg*m	kg*m	kg/cmq	kg/cmq			
0.0	-4304	-478	-74	-9	61	48	Si	12
300.0	-3179	821	-377	-19	336	48	Si	5.8

Verifica aperture fessure: Wamm_Freq[mm]=0.400 Wamm_Qp[mm]=0.300

X	N	My	Mz	Act	Aft	pAft	$S_{r,max}$	σ_{fmed}	Wd	Wk	Cb	Ver.	Cs
cm	kg	kg*m	kg*m	mq	cmq	cm	cm	kg/cmq	mm	mm			
0.0	-4304	-478	-74	0.0	7.82	16.96	16.7	52	0.002	0.002	48(Qp)	Si	>100
0.0	-4304	-478	-74	0.0	7.82	16.96	16.7	52	0.002	0.002	47(Fr)	Si	>100
300.0	-3179	821	-377	0.0	7.82	16.96	21.7	277	0.017	0.017	48(Qp)	Si	17
300.0	-3179	821	-377	0.0	7.82	16.96	21.7	277	0.017	0.017	33(Fr)	Si	23

Pilastro: 45 [45,145] Sez. R: By=30.0 cm Bz=50.0 cm L=330.0 cm Ln=330.0 cm L2=330.0 cm L3=330.0 cm
Criterio: CLS_Pilastrì_ND

Zona	Armature		
cm	cmq	cmq	cmq
0.0	AfSpigolo = 3.14	Afy = 0.00	Afz = 1.54
330.0	AfSpigolo = 3.14	Afy = 0.00	Afz = 1.54

Verifica snellezza: $f_{cd}=141$ [kg/cmq] - **Verificato**

Cb	N	$f_{cd} \cdot A_c$	ν	λ_{max}	λ_{lim}
	kg	kg			
18	6758	211650	0.032	38.105	139.907

Combinazione Rara: σ_{ca} [kg/cm²]=149 σ_{fa} [kg/cm²]=3600

X	N	My	Mz	σ_{cmax}	σ_{fmax}	Cb	Ver.	Cs
cm	kg	kg*m	kg*m	kg/cm ²	kg/cm ²			
0.0	-5734	-307	241	-8	4	22	Si	19
330.0	-4497	107	-70	-4	-22	31	Si	37

Combinazione QP: σ_{ca} [kg/cm²]=112 σ_{fa} [kg/cm²]=3600

X	N	My	Mz	σ_{cmax}	σ_{fmax}	Cb	Ver.	Cs
cm	kg	kg*m	kg*m	kg/cm ²	kg/cm ²			
0.0	-5734	-307	241	-8	4	48	Si	14
330.0	-4497	107	-70	-4	-22	48	Si	28

Verifica aperture fessure: W_{amm_Freq} [mm]=0.400 W_{amm_Qp} [mm]=0.300

X	N	My	Mz	Act	Aft	pAft	$S_{r,max}$	σ_{fmed}	Wd	Wk	Cb	Ver.	Cs
cm	kg	kg*m	kg*m	mq	cmq	cm	cm	kg/cm ²	mm	mm			
0.0	-5734	-307	241	0.0	3.27	6.64	10.7	4	0.000	0.000	48(Qp)	Si	>100
0.0	-5734	-307	241	0.0	3.27	6.64	10.7	4	0.000	0.000	47(Fr)	Si	>100
330.0	-4497	107	-70	0.0	0.00	0.00	0.0	0	0.000	0.000	48(Qp)	Si	>100
330.0	-4497	107	-70	0.0	0.00	0.00	0.0	0	0.000	0.000	33(Fr)	Si	>100

Pilastro: 46 [46,146] Sez. C: Ø=40.0 cm L=360.0 cm $L_n=360.0$ cm $L_2=360.0$ cm $L_3=360.0$ cm Criterio: CLS_Pilastrini_ND

Zona	Armature
cm	cmq
0.0	Aftotale = 18.85
360.0	Aftotale = 18.85

Verifica snellezza: $f_{cd}=141$ [kg/cm²] - **Verificato**

Cb	N	$f_{cd} \cdot A_c$	ν	λ_{max}	λ_{lim}
	kg	kg			
18	8659	177027	0.049	36.029	113.040

Combinazione Rara: σ_{ca} [kg/cm²]=149 σ_{fa} [kg/cm²]=3600

X	N	M	σ_{cmax}	σ_{fmax}	Cb	Ver.	Cs
cm	kg	kg*m	kg/cm ²	kg/cm ²			
0.0	-4592	487	-10	39	22	Si	15
0.0	-8659	710	-15	18	18	Si	9.8
360.0	-3462	322	-7	17	31	Si	22
360.0	-7530	328	-9	-31	21	Si	16

Combinazione QP: σ_{ca} [kg/cm²]=112 σ_{fa} [kg/cm²]=3600

X	N	M	σ_{cmax}	σ_{fmax}	Cb	Ver.	Cs
cm	kg	kg*m	kg/cm ²	kg/cm ²			
0.0	-4592	487	-10	39	48	Si	11
360.0	-3462	322	-7	17	48	Si	17

Verifica aperture fessure: W_{amm_Freq} [mm]=0.400 W_{amm_Qp} [mm]=0.300

X	N	M	Act	Aft	pAft	$S_{r,max}$	σ_{fmed}	Wd	Wk	Cb	Ver.	Cs
cm	kg	kg*m	mq	cmq	cm	cm	kg/cm ²	mm	mm			
0.0	-4592	487	0.0	1.88	3.77	31.0	39	0.003	0.003	48(Qp)	Si	86

X	N	M	Act	Aft	pAft	$S_{r,max}$	σ_{fmed}	Wd	Wk	Cb	Ver.	Cs
0.0	-4592	487	0.0	1.88	3.77	31.0	39	0.003	0.003	47(Fr)	Si	>10 0
360.0	-3462	322	0.0	1.88	3.77	25.9	17	0.001	0.001	48(Qp)	Si	>10 0
360.0	-3462	322	0.0	1.88	3.77	25.9	17	0.001	0.001	33(Fr)	Si	>10 0

Pilastro: 47 [47,84] Sez. R: By=20.0 cm Bz=40.0 cm L=332.2 cm Ln=332.2 cm L2=332.2 cm L3=332.2 cm
Criterio: CLS_Pilastrì_ND

Zona	Armature		
cm	cmq	cmq	cmq
0.0	AfSpigolo = 3.14	Afy = 0.00	Afz = 1.54
332.2	AfSpigolo = 3.14	Afy = 0.00	Afz = 1.54

Verifica snellezza: $f_{cd}=141$ [kg/cmq] - **Verificato**

Cb	N	$f_{cd} \cdot A_c$	ν	λ_{max}	λ_{lim}
	kg	kg			
18	4003	112880	0.035	57.531	132.755

Combinazione Rara: σ_{ca} [kg/cmq]=149 σ_{fa} [kg/cmq]=3600

X	N	My	Mz	σ_{cmax}	σ_{fmax}	Cb	Ver.	Cs
cm	kg	kg*m	kg*m	kg/cmq	kg/cmq			
0.0	-4003	-363	-112	-13	40	18	Si	12
332.2	-3343	639	204	-22	216	21	Si	6.8

Combinazione QP: σ_{ca} [kg/cmq]=112 σ_{fa} [kg/cmq]=3600

X	N	My	Mz	σ_{cmax}	σ_{fmax}	Cb	Ver.	Cs
cm	kg	kg*m	kg*m	kg/cmq	kg/cmq			
0.0	-3552	-296	-93	-10	26	48	Si	11
332.2	-2892	534	168	-18	175	48	Si	6.1

Verifica aperture fessure: W_{amm_Freq} [mm]=0.400 W_{amm_Qp} [mm]=0.300

X	N	My	Mz	Act	Aft	pAft	$S_{r,max}$	σ_{fmed}	Wd	Wk	Cb	Ver.	Cs
cm	kg	kg*m	kg*m	mq	cmq	cm	cm	kg/cmq	mm	mm			
0.0	-3552	-296	-93	0.0	3.55	7.46	12.3	26	0.001	0.001	48(Qp)	Si	>100
0.0	-3552	-296	-93	0.0	3.55	7.46	12.3	26	0.001	0.001	47(Fr)	Si	>100
332.2	-2892	534	168	0.0	7.67	16.54	13.9	90	0.004	0.004	48(Qp)	Si	84
332.2	-2892	534	168	0.0	7.67	16.54	13.9	90	0.004	0.004	33(Fr)	Si	>100

Pilastro: 48 [48,248] Sez. R: By=50.0 cm Bz=30.0 cm L=330.0 cm Ln=330.0 cm L2=330.0 cm L3=330.0 cm
Criterio: CLS_Pilastrì_ND

Zona	Armature		
cm	cmq	cmq	cmq
0.0	AfSpigolo = 3.14	Afy = 1.54	Afz = 0.00
330.0	AfSpigolo = 3.14	Afy = 1.54	Afz = 0.00

Verifica snellezza: $f_{cd}=141$ [kg/cmq] - **Verificato**

Cb	N	$f_{cd} \cdot A_c$	ν	λ_{max}	λ_{lim}
	kg	kg			
18	7692	211650	0.036	38.105	131.134

Combinazione Rara: σ_{ca} [kg/cmq]=149 σ_{fa} [kg/cmq]=3600

X	N	My	Mz	σ_{cmax}	σ_{fmax}	Cb	Ver.	Cs
cm	kg	kg*m	kg*m	kg/cmq	kg/cmq			
0.0	-6002	258	73	-7	-16	22	Si	22
0.0	-7692	193	117	-7	-35	18	Si	21
330.0	-4764	-501	-421	-13	106	31	Si	12

Combinazione QP: σ_{ca} [kg/cmq]=112 σ_{fa} [kg/cmq]=3600

X	N	My	Mz	σ_{cmax}	σ_{fmax}	Cb	Ver.	Cs
cm	kg	kg*m	kg*m	kg/cmq	kg/cmq			
0.0	-6002	258	73	-7	-16	48	Si	17
330.0	-4764	-501	-421	-13	106	48	Si	8.6

Verifica aperture fessure: Wamm_Freq[mm]=0.400 Wamm_Qp[mm]=0.300

X	N	My	Mz	Act	Aft	pAft	$S_{r,max}$	σ_{fmed}	Wd	Wk	Cb	Ver.	Cs
cm	kg	kg*m	kg*m	mq	cmq	cm	cm	kg/cmq	mm	mm			
0.0	-6002	258	73	0.0	0.00	0.00	0.0	0	0.000	0.000	48(Qp)	Si	>100
0.0	-6002	258	73	0.0	0.00	0.00	0.0	0	0.000	0.000	47(Fr)	Si	>100
330.0	-4764	-501	-421	0.0	7.82	16.96	16.8	58	0.003	0.003	48(Qp)	Si	>100
330.0	-4764	-501	-421	0.0	7.82	16.96	16.8	58	0.003	0.003	33(Fr)	Si	>100

Pilastro: 49 [49,149] Sez. R: By=30.0 cm Bz=50.0 cm L=330.0 cm Ln=330.0 cm L2=330.0 cm L3=330.0 cm
Criterio: CLS_Pilastr ND

Zona	Armature		
cm	cmq	cmq	cmq
0.0	AfSpigolo = 3.14	Afy = 0.00	Afz = 1.54
330.0	AfSpigolo = 3.14	Afy = 0.00	Afz = 1.54

Verifica snellezza: fcd=141 [kg/cmq] - **Verificato**

Cb	N	fcd*Ac	v	λ_{max}	λ_{lim}
	kg	kg			
18	8234	211650	0.039	38.105	126.747

Combinazione Rara: σ_{ca} [kg/cmq]=149 σ_{fa} [kg/cmq]=3600

X	N	My	Mz	σ_{cmax}	σ_{fmax}	Cb	Ver.	Cs
cm	kg	kg*m	kg*m	kg/cmq	kg/cmq			
0.0	-8234	-22	763	-14	49	18	Si	11
330.0	-6997	-38	-514	-10	9	21	Si	15

Combinazione QP: σ_{ca} [kg/cmq]=112 σ_{fa} [kg/cmq]=3600

X	N	My	Mz	σ_{cmax}	σ_{fmax}	Cb	Ver.	Cs
cm	kg	kg*m	kg*m	kg/cmq	kg/cmq			
0.0	-7110	-96	478	-10	6	48	Si	11
330.0	-5872	48	-338	-7	-7	48	Si	15

Verifica aperture fessure: Wamm_Freq[mm]=0.400 Wamm_Qp[mm]=0.300

X	N	My	Mz	Act	Aft	pAft	$S_{r,max}$	σ_{fmed}	Wd	Wk	Cb	Ver.	Cs
cm	kg	kg*m	kg*m	mq	cmq	cm	cm	kg/cmq	mm	mm			
0.0	-7110	-96	478	0.0	3.66	7.77	14.0	6	0.000	0.000	48(Qp)	Si	>100
0.0	-7110	-96	478	0.0	3.66	7.77	14.0	6	0.000	0.000	47(Fr)	Si	>100
330.0	-5872	48	-338	0.0	0.00	0.00	0.0	0	0.000	0.000	48(Qp)	Si	>100
330.0	-5872	48	-338	0.0	0.00	0.00	0.0	0	0.000	0.000	33(Fr)	Si	>100

Pilastro: 50 [50,76] Sez. R: By=20.0 cm Bz=40.0 cm L=332.1 cm Ln=332.1 cm L2=332.1 cm L3=332.1 cm
Criterio: CLS_Pilastr ND

Zona	Armature		
cm	cmq	cmq	cmq
0.0	AfSpigolo = 3.14	Afy = 0.00	Afz = 1.54
332.1	AfSpigolo = 3.14	Afy = 0.00	Afz = 1.54

Verifica snellezza: fcd=141 [kg/cmq] - **Verificato**

Cb	N	fcd*Ac	v	λ_{max}	λ_{lim}
	kg	kg			
18	4843	112880	0.043	57.529	120.693

Combinazione Rara: $\sigma_{ca}[\text{kg/cm}^2]=149$ $\sigma_{fa}[\text{kg/cm}^2]=3600$

X	N	My	Mz	σ_{cmax}	σ_{fmax}	Cb	Ver.	Cs
cm	kg	kg*m	kg*m	kg/cm ²	kg/cm ²			
0.0	-4843	-604	37	-14	56	18	Si	10
332.1	-4183	1276	-110	-30	398	21	Si	4.9

Combinazione QP: $\sigma_{ca}[\text{kg/cm}^2]=112$ $\sigma_{fa}[\text{kg/cm}^2]=3600$

X	N	My	Mz	σ_{cmax}	σ_{fmax}	Cb	Ver.	Cs
cm	kg	kg*m	kg*m	kg/cm ²	kg/cm ²			
0.0	-4301	-490	39	-12	37	48	Si	9.2
332.1	-3641	1055	-106	-26	326	48	Si	4.4

Verifica aperture fessure: Wamm_Freq[mm]=0.400 Wamm_Qp[mm]=0.300

X	N	My	Mz	Act	Aft	pAft	$S_{r,max}$	σ_{fmed}	Wd	Wk	Cb	Ver.	Cs
cm	kg	kg*m	kg*m	mq	cmq	cm	cm	kg/cm ²	mm	mm			
0.0	-4301	-490	39	0.0	6.75	13.90	11.6	25	0.001	0.001	48(Qp)	Si	>100
0.0	-4301	-490	39	0.0	6.75	13.90	11.6	25	0.001	0.001	47(Fr)	Si	>100
332.1	-3641	1055	-106	0.0	7.94	17.30	14.4	209	0.009	0.009	48(Qp)	Si	35
332.1	-3641	1055	-106	0.0	7.94	17.30	14.4	209	0.009	0.009	33(Fr)	Si	47

Pilastro: 51 [51,151] Sez. R: By=50.0 cm Bz=30.0 cm L=360.0 cm Ln=360.0 cm L2=360.0 cm L3=360.0 cm
Criterio: CLS_Pilastri_ND

Zona	Armature		
cm	cmq	cmq	cmq
0.0	AfSpigolo = 3.14	Afy = 1.54	Afz = 0.00
360.0	AfSpigolo = 3.14	Afy = 1.54	Afz = 0.00

Verifica snellezza: $f_{cd}=141$ [kg/cm²] - **Verificato**

Cb	N	$f_{cd} \cdot A_c$	v	λ_{max}	λ_{lim}
	kg	kg			
18	7475	211650	0.035	41.569	133.025

Combinazione Rara: $\sigma_{ca}[\text{kg/cm}^2]=149$ $\sigma_{fa}[\text{kg/cm}^2]=3600$

X	N	My	Mz	σ_{cmax}	σ_{fmax}	Cb	Ver.	Cs
cm	kg	kg*m	kg*m	kg/cm ²	kg/cm ²			
0.0	-4372	-163	236	-6	0	22	Si	26
0.0	-7475	-283	60	-8	-27	18	Si	19
360.0	-6125	420	540	-13	63	21	Si	12

Combinazione QP: $\sigma_{ca}[\text{kg/cm}^2]=112$ $\sigma_{fa}[\text{kg/cm}^2]=3600$

X	N	My	Mz	σ_{cmax}	σ_{fmax}	Cb	Ver.	Cs
cm	kg	kg*m	kg*m	kg/cm ²	kg/cm ²			
0.0	-4372	-163	236	-6	0	48	Si	19
360.0	-3022	227	44	-5	8	48	Si	24

Verifica aperture fessure: Wamm_Freq[mm]=0.400 Wamm_Qp[mm]=0.300

X	N	My	Mz	Act	Aft	pAft	$S_{r,max}$	σ_{fmed}	Wd	Wk	Cb	Ver.	Cs
cm	kg	kg*m	kg*m	mq	cmq	cm	cm	kg/cm ²	mm	mm			
0.0	-4372	-163	236	0.0	3.15	6.32	10.0	0	0.000	0.000	48(Qp)	Si	>100
0.0	-4372	-163	236	0.0	3.15	6.32	10.0	0	0.000	0.000	47(Fr)	Si	>100
360.0	-3022	227	44	0.0	4.59	10.42	14.8	6	0.000	0.000	48(Qp)	Si	>100
360.0	-3022	227	44	0.0	4.59	10.42	14.8	6	0.000	0.000	33(Fr)	Si	>100

Pilastro: 52 [52,152] Sez. R: By=30.0 cm Bz=50.0 cm L=330.0 cm Ln=330.0 cm L2=330.0 cm L3=330.0 cm
Criterio: CLS_Pilastri_ND

Zona	Armature		
cm	cmq	cmq	cmq
0.0	AfSpigolo = 3.14	Afy = 0.00	Afz = 1.54
330.0	AfSpigolo = 3.14	Afy = 0.00	Afz = 1.54

Verifica snellezza: $f_{cd}=141$ [kg/cm²] - **Verificato**

Cb	N	$f_{cd} \cdot A_c$	ν	λ_{max}	λ_{lim}
	kg	kg			
18	8084	211650	0.038	38.105	127.921

Combinazione Rara: σ_{ca} [kg/cm²]=149 σ_{fa} [kg/cm²]=3600

X	N	My	Mz	σ_{cmax}	σ_{fmax}	Cb	Ver.	Cs
cm	kg	kg*m	kg*m	kg/cm ²	kg/cm ²			
0.0	-6805	41	157	-6	-37	22	Si	25
0.0	-8084	94	97	-6	-51	18	Si	24
330.0	-5568	66	-81	-4	-33	31	Si	33
330.0	-6846	38	29	-5	-53	21	Si	33

Combinazione QP: σ_{ca} [kg/cm²]=112 σ_{fa} [kg/cm²]=3600

X	N	My	Mz	σ_{cmax}	σ_{fmax}	Cb	Ver.	Cs
cm	kg	kg*m	kg*m	kg/cm ²	kg/cm ²			
0.0	-6805	41	157	-6	-37	48	Si	19
330.0	-5568	66	-81	-4	-33	48	Si	25

Verifica aperture fessure: W_{amm_Freq} [mm]=0.400 W_{amm_Qp} [mm]=0.300

X	N	My	Mz	Act	Aft	pAft	$S_{r,max}$	σ_{fmed}	Wd	Wk	Cb	Ver.	Cs
cm	kg	kg*m	kg*m	mq	cmq	cm	cm	kg/cm ²	mm	mm			
0.0	-6805	41	157	0.0	0.00	0.00	0.0	0	0.000	0.000	48(Qp)	Si	>100
0.0	-6805	41	157	0.0	0.00	0.00	0.0	0	0.000	0.000	47(Fr)	Si	>100
330.0	-5568	66	-81	0.0	0.00	0.00	0.0	0	0.000	0.000	48(Qp)	Si	>100
330.0	-5568	66	-81	0.0	0.00	0.00	0.0	0	0.000	0.000	33(Fr)	Si	>100

Pilastro: 53 [53,253] Sez. R: $B_y=50.0$ cm $B_z=30.0$ cm $L=360.0$ cm $L_n=360.0$ cm $L_2=360.0$ cm $L_3=360.0$ cm
 Criterio: CLS_Pilastrì_ND

Zona	Armature		
cm	cmq	cmq	cmq
0.0	AfSpigolo = 3.14	Afy = 1.54	Afz = 0.00
360.0	AfSpigolo = 3.14	Afy = 1.54	Afz = 0.00

Verifica snellezza: $f_{cd}=141$ [kg/cm²] - **Verificato**

Cb	N	$f_{cd} \cdot A_c$	ν	λ_{max}	λ_{lim}
	kg	kg			
18	8470	211650	0.040	41.569	124.970

Combinazione Rara: σ_{ca} [kg/cm²]=149 σ_{fa} [kg/cm²]=3600

X	N	My	Mz	σ_{cmax}	σ_{fmax}	Cb	Ver.	Cs
cm	kg	kg*m	kg*m	kg/cm ²	kg/cm ²			
0.0	-6583	162	218	-7	-21	22	Si	22
360.0	-5233	-321	25	-7	-5	31	Si	23
360.0	-7120	-164	219	-7	-25	21	Si	21

Combinazione QP: σ_{ca} [kg/cm²]=112 σ_{fa} [kg/cm²]=3600

X	N	My	Mz	σ_{cmax}	σ_{fmax}	Cb	Ver.	Cs
cm	kg	kg*m	kg*m	kg/cm ²	kg/cm ²			
0.0	-6583	162	218	-7	-21	48	Si	16
360.0	-5233	-321	25	-7	-5	48	Si	17

Verifica aperture fessure: W_{amm_Freq} [mm]=0.400 W_{amm_Qp} [mm]=0.300

X	N	My	Mz	Act	Aft	pAft	$S_{r,max}$	σ_{fmed}	Wd	Wk	Cb	Ver.	Cs
cm	kg	kg*m	kg*m	mq	cmq	cm	cm	kg/cm ²	mm	mm			
0.0	-6583	162	218	0.0	0.00	0.00	0.0	0	0.000	0.000	48(Qp)	Si	>100
0.0	-6583	162	218	0.0	0.00	0.00	0.0	0	0.000	0.000	47(Fr)	Si	>100
360.0	-5233	-321	25	0.0	0.00	0.00	0.0	0	0.000	0.000	48(Qp)	Si	>100
360.0	-5233	-321	25	0.0	0.00	0.00	0.0	0	0.000	0.000	33(Fr)	Si	>100

Pilastro: 54 [54,75] Sez. R: By=20.0 cm Bz=40.0 cm L=332.1 cm Ln=332.1 cm L2=332.1 cm L3=332.1 cm
Criterio: CLS_Pilastrini_ND

Zona	Armature		
cm	cmq	cmq	cmq
0.0	AfSpigolo = 3.14	Afy = 0.00	Afz = 1.54
332.1	AfSpigolo = 3.14	Afy = 0.00	Afz = 1.54

Verifica snellezza: fcd=141 [kg/cm²] - **Verificato**

Cb	N	fcd*Ac	v	λ _{max}	λ _{lim}
	kg	kg			
18	4859	112880	0.043	57.526	120.495

Combinazione Rara: σ_{ca}[kg/cm²]=149 σ_{fa}[kg/cm²]=3600

X	N	My	Mz	σ _{cmax}	σ _{fmax}	Cb	Ver.	Cs
cm	kg	kg*m	kg*m	kg/cm ²	kg/cm ²			
0.0	-4859	-599	-22	-14	48	18	Si	11
332.1	-4199	1237	80	-28	365	21	Si	5.3

Combinazione QP: σ_{ca}[kg/cm²]=112 σ_{fa}[kg/cm²]=3600

X	N	My	Mz	σ _{cmax}	σ _{fmax}	Cb	Ver.	Cs
cm	kg	kg*m	kg*m	kg/cm ²	kg/cm ²			
0.0	-4315	-454	-17	-11	19	48	Si	10
332.1	-3655	1003	72	-23	286	48	Si	4.8

Verifica aperture fessure: Wamm_Freq[mm]=0.400 Wamm_Qp[mm]=0.300

X	N	My	Mz	Act	Aft	pAft	S _{r,max}	σ _{fmed}	Wd	Wk	Cb	Ver.	Cs
cm	kg	kg*m	kg*m	m ²	cm ²	cm	cm	kg/cm ²	mm	mm			
0.0	-4315	-454	-17	0.0	6.58	13.41	11.1	14	0.000	0.000	48(Qp)	Si	>100
0.0	-4315	-454	-17	0.0	6.58	13.41	11.1	14	0.000	0.000	47(Fr)	Si	>100
332.1	-3655	1003	72	0.0	7.89	17.17	14.3	184	0.008	0.008	48(Qp)	Si	40
332.1	-3655	1003	72	0.0	7.89	17.17	14.3	184	0.008	0.008	33(Fr)	Si	53

Pilastro: 55 [55,155] Sez. R: By=30.0 cm Bz=50.0 cm L=330.0 cm Ln=330.0 cm L2=330.0 cm L3=330.0 cm
Criterio: CLS_Pilastrini_ND

Zona	Armature		
cm	cmq	cmq	cmq
0.0	AfSpigolo = 3.14	Afy = 0.00	Afz = 1.54
330.0	AfSpigolo = 3.14	Afy = 0.00	Afz = 1.54

Verifica snellezza: fcd=141 [kg/cm²] - **Verificato**

Cb	N	fcd*Ac	v	λ _{max}	λ _{lim}
	kg	kg			
18	6951	211650	0.033	38.105	137.949

Combinazione Rara: σ_{ca}[kg/cm²]=149 σ_{fa}[kg/cm²]=3600

X	N	My	Mz	σ _{cmax}	σ _{fmax}	Cb	Ver.	Cs
cm	kg	kg*m	kg*m	kg/cm ²	kg/cm ²			
0.0	-6019	186	137	-6	-21	22	Si	24
0.0	-6951	208	111	-7	-31	18	Si	23
330.0	-4781	-162	-76	-5	-20	31	Si	33

Combinazione QP: σ_{ca}[kg/cm²]=112 σ_{fa}[kg/cm²]=3600

X	N	My	Mz	σ _{cmax}	σ _{fmax}	Cb	Ver.	Cs
cm	kg	kg*m	kg*m	kg/cm ²	kg/cm ²			
0.0	-6019	186	137	-6	-21	48	Si	18
330.0	-4781	-162	-76	-5	-20	48	Si	24

Verifica aperture fessure: Wamm_Freq[mm]=0.400 Wamm_Qp[mm]=0.300

X	N	My	Mz	Act	Aft	pAft	S _{r,max}	σfmed	Wd	Wk	Cb	Ver.	Cs
cm	kg	kg*m	kg*m	mq	cmq	cm	cm	kg/cmq	mm	mm			
0.0	-6019	186	137	0.0	0.00	0.00	0.0	0	0.000	0.000	48(Qp)	Si	>100
0.0	-6019	186	137	0.0	0.00	0.00	0.0	0	0.000	0.000	47(Fr)	Si	>100
330.0	-4781	-162	-76	0.0	0.00	0.00	0.0	0	0.000	0.000	48(Qp)	Si	>100
330.0	-4781	-162	-76	0.0	0.00	0.00	0.0	0	0.000	0.000	33(Fr)	Si	>100

Pilastro: 56 [56,86] Sez. R: By=20.0 cm Bz=40.0 cm L=332.1 cm Ln=332.1 cm L2=332.1 cm L3=332.1 cm
 Criterio: CLS_Pilastri_ND

Zona	Armature		
cm	cmq	cmq	cmq
0.0	AfSpigolo = 3.14	Afy = 0.00	Afz = 1.54
332.1	AfSpigolo = 3.14	Afy = 0.00	Afz = 1.54

Verifica snellezza: fcd=141 [kg/cmq] - **Verificato**

Cb	N	fcd*Ac	v	λmax	λlim
	kg	kg			
18	2659	112880	0.024	57.523	162.878

Combinazione Rara: σca[kg/cm²]=149 σfa[kg/cm²]=3600

X	N	My	Mz	σcmax	σfmax	Cb	Ver.	Cs
cm	kg	kg*m	kg*m	kg/cm ²	kg/cm ²			
0.0	-2397	-7	19	-3	-29	22	Si	51
0.0	-2659	-7	14	-3	-34	18	Si	49
332.1	-1999	76	12	-3	-14	21	Si	46

Combinazione QP: σca[kg/cm²]=112 σfa[kg/cm²]=3600

X	N	My	Mz	σcmax	σfmax	Cb	Ver.	Cs
cm	kg	kg*m	kg*m	kg/cm ²	kg/cm ²			
0.0	-2397	-7	19	-3	-29	48	Si	38
332.1	-1737	61	6	-3	-14	48	Si	43

Verifica aperture fessure: Wamm_Freq[mm]=0.400 Wamm_Qp[mm]=0.300

X	N	My	Mz	Act	Aft	pAft	S _{r,max}	σfmed	Wd	Wk	Cb	Ver.	Cs
cm	kg	kg*m	kg*m	mq	cmq	cm	cm	kg/cmq	mm	mm			
0.0	-2397	-7	19	0.0	0.00	0.00	0.0	0	0.000	0.000	48(Qp)	Si	>100
0.0	-2397	-7	19	0.0	0.00	0.00	0.0	0	0.000	0.000	47(Fr)	Si	>100
332.1	-1737	61	6	0.0	0.00	0.00	0.0	0	0.000	0.000	48(Qp)	Si	>100
332.1	-1737	61	6	0.0	0.00	0.00	0.0	0	0.000	0.000	33(Fr)	Si	>100

Verifica dei Muri (Stati limite esercizio)

Scenario di calcolo: Set_NT_SLV_SLD_A2_STR/GEO_2018

Simbologia

P.	Numero pannello
Nx [kg/cm ²]	Sforzo normale in direzione x
Ny [kg/cm ²]	Sforzo normale in direzione y
Nxy [kg/cm ²]	Sforzo tagliante in direzione xy
Mx [kg]	Momento flettente in direzione x
My [kg]	Momento flettente in direzione y
Mxy [kg]	Momento torcente
Afx [cmq/m]	Area acciaio in direzione x per metro lineare
Afy [cmq/m]	Area acciaio in direzione y per metro lineare
σcmax [kg/cm ²]	Tensione massima nel calcestruzzo
σfmax [kg/cm ²]	Tensione massima nell'acciaio

σ_{sc} [kg/cm ²]	Tensione nel calcestruzzo compresso
σ_{st} [kg/cm ²]	Tensione nel calcestruzzo teso (quando richiesto dalla verifica)
σ_{sca} [kg/cm ²]	Tensione ammissibile nel calcestruzzo
σ_{fa} [kg/cm ²]	Tensione ammissibile nell'acciaio
σ_{sta} [kg/cm ²]	Tensione ammissibile nel calcestruzzo teso
Cbc	Combinazione generatore tensione massima cls
Cbf	Combinazione generatore tensione massima acciaio
Cb	Combinazione
σ_{fmed} [kg/cm ²]	Tensione media dell'acciaio
Wd [mm]	Apertura delle fessure
Wk [mm]	Apertura caratteristica delle fessure
Wamm_Freq [mm]	Apertura ammissibile delle fessure per combinazione Frequente
Wamm_Qp [mm]	Apertura ammissibile delle fessure per combinazione Quasi Permanente
Wamm_Rara [mm]	Apertura ammissibile delle fessure per combinazione Rara
Cs	Coefficiente di sicurezza definito come minimo di σ_{Amm}/σ tra acciaio e calcestruzzo oppure Wamm/Wk

Muro [Platea]: 1 - Nodi: [38-2-6-23-63-64-33-42-57-43]Pann=797Spess.=45 cm, Terreno=Terreno1,
 ,Criterio=CLS_Platee_ND, Materiale=C25/30

Armatura a maglia doppia, Stampa elementi piu' gravosi

Combinazione Rara: σ_{ca} [kg/cmq]=149 σ_{fa} [kg/cmq]=3600

P.	Nx	Ny	Nxy	Mx	My	Mxy	Afx	Afy	σ_{cmax}	σ_{fmax}	Cbc	Cbf	Ver	Cs
	kg/cmq	kg/cmq	kg/cmq	kg	kg	kg	cmq/m	cmq/m	kg/cmq	kg/cmq				
45	-0.28	-0.43	-0.30	-1625	-1432	-183	9.05	9.05	-12	910	22	21	Si	4.0
6														
9	0.12	1.72	-0.06	-297	-880	-137	9.05	9.05	-2	1094	18	31	Si	3.3

Combinazione QP: σ_{ca} [kg/cmq]=112 σ_{fa} [kg/cmq]=3600

P.	Nx	Ny	Nxy	Mx	My	Mxy	Afx	Afy	σ_{cmax}	σ_{fmax}	Cbc	Cbf	Ver	Cs
	kg/cmq	kg/cmq	kg/cmq	kg	kg	kg	cmq/m	cmq/m	kg/cmq	kg/cmq				
45	-0.28	-0.43	-0.30	-1625	-1432	-183	9.05	9.05	-12	782	48	48	Si	4.6
6														
9	0.08	1.34	-0.11	-320	-735	-131	9.05	9.05	-2	1094	48	48	Si	3.3

Verifica aperture fessure:Wamm_Freq[mm]=0.400 Wamm_Qp[mm]=0.300

P.	Nx	Ny	Nxy	Mx	My	Mxy	σ_{fmed}	Wd	Wk	Cb	Ver	Cs
	kg/cmq	kg/cmq	kg/cmq	kg	kg	kg	kg/cmq	mm	mm			
9	0.08	1.34	-0.11	-320	-735	-131	1094	0.170	0.170	48(Qp)	Si	1.8
9	0.08	1.34	-0.11	-320	-735	-131	1094	0.170	0.170	32(Fr)	Si	2.4

Muro : 2 - Nodi: [62-63-79-78], Pann.X=4, Pann.Y=4Spess.=20 cm, Terreno=--,Criterio=CLS_Muri_ND,
 Materiale=C25/30

Armatura a maglia doppia, Stampa elementi piu' gravosi

Combinazione Rara: σ_{ca} [kg/cmq]=149 σ_{fa} [kg/cmq]=3600

P.	Nx	Ny	Nxy	Mx	My	Mxy	Afx	Afy	σ_{cmax}	σ_{fmax}	Cbc	Cbf	Ver	Cs
	kg/cmq	kg/cmq	kg/cmq	kg	kg	kg	cmq/m	cmq/m	kg/cmq	kg/cmq				
16	-1.57	-2.13	-0.83	43	528	142	7.54	9.05	-15	318	22	31	Si	9.9
12	-0.22	0.02	0.35	14	280	92	7.54	9.05	-9	416	22	31	Si	8.7

Combinazione QP: σ_{ca} [kg/cmq]=112 σ_{fa} [kg/cmq]=3600

P.	Nx	Ny	Nxy	Mx	My	Mxy	Afx	Afy	σ_{cmax}	σ_{fmax}	Cbc	Cbf	Ver	Cs
	kg/cmq	kg/cmq	kg/cmq	kg	kg	kg	cmq/m	cmq/m	kg/cmq	kg/cmq				
16	-1.57	-2.13	-0.83	43	528	142	7.54	9.05	-15	318	48	48	Si	7.4
12	-0.22	0.02	0.35	14	280	92	7.54	9.05	-9	416	48	48	Si	8.7

Verifica aperture fessure:Wamm_Freq[mm]=0.400 Wamm_Qp[mm]=0.300

P.	Nx	Ny	Nxy	Mx	My	Mxy	σ_{fmed}	Wd	Wk	Cb	Ver	Cs
	kg/cmq	kg/cmq	kg/cmq	kg	kg	kg	kg/cmq	mm	mm			
12	-0.22	0.02	0.35	14	280	92	416	0.038	0.038	48(Qp)	Si	7.8
12	-0.22	0.02	0.35	14	280	92	416	0.038	0.038	32(Fr)	Si	10

Il Progettista
 Dott. Ing. Paolo MANCINI